

STEFANIE SCHAEFER-DI MAIDA

UNTER HÜGELN

Bronzezeitliche Transformationsprozesse in Schleswig-Holstein am
Beispiel des Fundplatzes von Mang de Barga (Bornhöved, Kr. Segeberg)

BAND I

UNTER HÜGELN

STEFANIE SCHAEFER-DI MAIDA

UNTER HÜGELN

Bronzezeitliche Transformationsprozesse in Schleswig-Holstein
am Beispiel des Fundplatzes von Mang de Bargaen
(Bornhöved, Kr. Segeberg)

BAND I

© 2023 Stefanie Schaefer-Di Maida

Published by Sidestone Press, Leiden
www.sidestone.com

Imprint: Sidestone Press Dissertations

This book was originally written as a dissertation and successfully defended at Kiel University in 2020.

Layout & cover design: CRC 1266/Esther Thelen and Sidestone Press

Cover image: Stefanie Schaefer-Di Maida/Esther Thelen

ISBN 978-94-6428-048-7 (softcover)

ISBN 978-94-6428-049-4 (hardcover)

ISBN 978-94-6428-050-0 (PDF e-book)

The STPAS publications originate from or are involved with the Collaborative Research Centre 1266, which is funded by the Deutsche Forschungsgemeinschaft (DFG, German Research Foundation; Projektnummer 2901391021 – SFB 1266).

Für Rosi

Preface of the series editors

With this book series, the Collaborative Research Centre Scales of Transformation: Human-Environmental Interaction in Prehistoric and Archaic Societies (CRC 1266) at Kiel University enables the bundled presentation of current research outcomes of the multiple aspects of socio-environmental transformations in ancient societies. As editors of this publication platform, we are pleased to be able to publish monographs with detailed basic data and comprehensive interpretations from different case studies and landscapes as well as the extensive output from numerous scientific meetings and international workshops.

The book series is dedicated to the fundamental research questions of CRC 1266, dealing with transformations on different temporal, spatial and social scales, here defined as processes leading to a substantial and enduring reorganization of socio-environmental interaction patterns. What are the substantial transformations that describe human development from 15,000 years ago to the beginning of the Common Era? How did interactions between the natural environment and human populations change over time? What role did humans play as cognitive actors trying to deal with changing social and environmental conditions? Which factors triggered the transformations that led to substantial societal and economic inequality?

The understanding of human practices within often intertwined social and environmental contexts is one of the most fundamental aspects of archaeological research. Moreover, in current debates, the dynamics and feedback involved in human-environmental relationships have become a major issue, particularly when looking at the detectable and sometimes devastating consequences of human interference with nature. Archaeology, with its long-term perspective on human societies and landscapes, is in the unique position to trace and link comparable phenomena in the past, to study human involvement with the natural environment, to investigate the impact of humans on nature, and to outline the consequences of environmental change on human societies. Modern interdisciplinary research enables us to reach beyond simplistic monocausal lines of explanation and overcome evolutionary perspectives. Looking at the period from 15,000 to 1 BCE, CRC 1266 takes a diachronic view in order to investigate transformations involved in the development of Late Pleistocene hunter-gatherers, horticulturalists, early agriculturalists, early metallurgists as well as early state societies, thus covering a wide array of societal formations and environmental conditions.

In this new monography, Stefanie Schaefer-Di Maida deals with transformation processes on different spatial levels over a relatively long period of time. With the Bronze Age, a new metal spread throughout Europe. Subsequently, societies changed economic practices, networks, world views. Various transformations are detectable in diverse areas of life. This book focuses on all recognisable transformation processes of the Bronze Age for the South Cimbrian Peninsula. The Mang de Bergen

site near Bornhöved is now one of the best-dated Bronze Age sites in North Central Europe. The cemetery was used as a burial ground from the Late Neolithic to the Pre-Roman Iron Age. During this long period of use, several changes can be traced; such as burial rites, grave furnishings, and other activities. The consistent dating of almost all graves allows, in particular, a precise determination of the time of the transition from inhumation to cremation, and the transition from burial mounds with tree coffins to the beginning of the use of urns in northern Germany. Anthropological analyses of the cremation burials from Mang de Barga and other sites in the region also provide information on their age-related placement and equipment, which in turn stimulates new discussions. A comparison with environmental data (archaeobotany and palynology) displays the extent of human influence compared to archaeological investigations. The inclusion of data on graves, hoards, and settlements for the whole of Schleswig-Holstein aids in answering questions, like how differently transformation processes manifested themselves at local, regional and supra-regional levels.

We are very thankful to graphic illustrator Carsten Reckweg and Esther Thelen for their deep engagement in this publication. We also wish to thank Karsten Wentink, Corné van Woerdekom, and Eric van den Bandt from Sidestone Press for their responsive support in realising this volume and Nicole Taylor for organising the whole publication process.

Wiebke Kirleis and Johannes Müller

Vorwort der Autorin

Veränderungen sind eine Konstante und der Wandel bildet somit einen beständigen Prozess ab – dies stellte bereits Heraklit von Ephesus (535-475 v. Chr.) in Schriftfragmenten fest (Stegmaier 1992, 123). Auslöser und Verlauf eines Wandels können dabei unterschiedlichste Gestalten annehmen und mannigfache Motive aufweisen. Ihre Rekonstruktionen bedürfen umfangreicher Untersuchungen und mit der vorliegenden Arbeit wurde sich dem Unterfangen angenommen die bronzezeitlichen Transformationsprozesse in Schleswig-Holstein zu rekonstruieren. An dieser Stelle möchte ich meinen besonderen Dank nachstehenden Personen entgegenbringen, ohne deren Mithilfe die Anfertigung dieser Dissertation in vorliegender Form nicht zustande gekommen wäre. Zuallererst danke ich meiner Projektleitung (D3) Dr. Jutta Kneisel, die mich all die Jahre – sowohl während meines Studiums, als auch während meiner Doktorarbeit – fachlich unterstützt hat und an die ich mich jederzeit wenden konnte und somit immer wieder transformierende Fahrwasser fand. Meinen Gutachtern Prof. Johannes Müller und Prof. Oliver Nakoinz, die sich immer Zeit für mich nahmen, danke ich recht herzlich für die Betreuung, sowie das motivierende und denkanstoßende Hinterfragen von Betrachtungsweisen. Für unbändigen wissenschaftlichen Austausch und die Bereitstellung von unabdingbaren Daten sowie Analyseergebnissen danke ich ganz besonders (in alphabetischer Reihenfolge) Dr. Jan Piet Brozio, Siegmund Burkhardt, Diplom-Biol. Yasmin Dannath, Dr. Stefan Dreibrodt, Prof. Berit Valentin Eriksen, Dr. Ingo Feeser, Dr. Dragana Filipović, Dr. Katharina Fuchs, Dr. Christan Hamann, Dr. Ingo Lütjens, Tanja Reiser, Helene Rose, Susanne Storch sowie allen nicht-namentlich genannten Kollegen. Für die Hilfe bei den Digitalisierungen und Fotografieren von Funden, sowie der Hilfe bei der Zusammenstellung und Überarbeitung der Tafeln danke ich Michael Bilger, Sara Jagiolla, Dorothea Küster, Anna Carina Lange, Carsten Reckweg, Esther Thelen und Karin Winter. Für die tolle Unterstützung im Publikationsprozess danke ich Dr. Nicole Taylor. Die Mithilfe von studentischen Hilfswissenschaftlern war ebenso unverzichtbar und ich möchte daher ganz besonders Laura Rose, Dennis Bradtke, Thorsten Rohwer und Thies Heuer danken. Für die Bereitstellung von Dokumentationsmaterial, der großen Menge an Funden sowie eines temporären Arbeitsplatzes im Schloss Gottorf danke ich Dr. Joachim Schultze, Dr. Mechthild Freudenberg, Inga Sommerfeld, Michael Dohme und Sönke Hartz. Ohne den Rückhalt im Kollegium und Freundeskreis wäre die Vollendung dieser Arbeit wesentlich herausfordernder gewesen. Dementsprechend dankbar bin ich Hendrik, Michael, Sandra, Robert, Johanna, Anastasia, Marta, Diana, Werner, Michelle und Christian sowie allen nicht-namentlich genannten. Mein größter Dank gilt meiner lieben Familie. Meinen Eltern danke ich für die emotionale und auch finanzielle Hilfe, ohne die ich nicht da wäre, wo ich jetzt bin. Tief verbunden und dankbar bin ich meinem Mann Gianpiero für seine Unterstützung sowie sein Verständnis, sodass mir eine unbeschwerter Fertigstellung der Arbeit bis zum Schluss möglich war.

Contents

Preface of the series editors	7
Vorwort der Autorin	9
1. Einleitung	15
1.1. Projektvorstellung	15
1.2. Kooperationen	16
1.3. Aufbau der Arbeit	17
2. Transformationsbegriff	19
2.1. Definition	19
2.2. Transformationstypen	20
2.3. Transformationsmodelle	20
3. Ziele und Fragestellungen	23
4. Methoden und theoretische Grundlagen	25
5. Arbeitsgebiet: Geographie und Geologie	27
5.1. Schleswig-Holstein	27
5.2. Fundplatz von Mang de Bargaen, Bornhöved (Kr. Segeberg)	29
6. Quellen und Quellenkritik	33
7. Chronologie der ‚Nordischen Bronzezeit‘	35
7.1. Forschungsgeschichte	35
7.2. Bronzezeitliche Chronologie im Arbeitsgebiet	36
7.2.1. Mecklenburg-Vorpommern	36
7.2.2. Schleswig-Holstein & Jütland	37
7.3. Eisenzeit	39
8. Mikroebene: Transformationsprozesse am Fundplatz von Mang de Bargaen	41
8.1. Forschungsgeschichte und Stand der Forschung	41
8.1.1. Grabhügelfeld	41
8.1.2. Pollenprofile	44
8.2. Neue Feldforschungen	46
8.2.1. Geomagnetik	46
8.2.2. Oberflächenbegehungen	49
8.2.3. Testgrabungen	51
8.2.4. Ausgrabung	52

8.3. Befunde	54
8.3.1. Grabhügel	54
8.3.2. Synthese zu den Grabhügelbefunden	99
8.3.3. Brandgräberfeld: LA 115 (2014-111)	106
8.3.4. Befunde mit Siedlungscharakter	115
8.3.5. Kochsteingruben	119
8.4. Fundmaterial	136
8.4.1. Materialanalyse	136
8.4.2. Zur Datierung des bronzezeitlichen Fundmaterials	181
8.4.3. Entwicklungen im Fundmaterial	182
8.5. Chorologie des Fundmaterials	183
8.6. Chronologie	186
8.6.1. Relative Chronologie	186
8.6.2. Absolute Chronologie	190
8.6.3. Kombination relativer und absoluter Datierungen	199
8.7. Leichenbrandanalysen	206
8.7.1. Auswahl der Leichenbrände	206
8.7.2. Methoden der anthropologischen Bestimmung	207
8.7.3. Knochenmaterial vom Fundplatz von Mang de Barga	207
8.7.4. Ergebnisse der anthropologischen Untersuchungen	209
8.8. Botanische Großrestanalysen	216
8.9. Pollenanalysen	219
8.9.1. Analyse ökologischer near-site-Daten	219
8.9.2. Transformationsphasen: archäologisch-ökologische Analyse	219
8.10. Lokale und regionale Einbettung des Fundplatzes von Mang de Barga	223
8.10.1. Lokale Einbettung	223
8.10.2. Regionale Einbettung	226
8.11. Transformationsprozesse am Fundplatz von Mang de Barga	234
8.11.1. Übergang vom Spätneolithikum zur Frühbronzezeit: Wandel der materiellen Kultur	234
8.11.2. Periode I zu Periode II: Wandel der materiellen Kultur und erhöhte Bestattungsintensität	235
8.11.3. Periode II zu Periode III: Wandel der Totenbehandlung	236
8.11.4. Periode III: Wandel im Grabbau	239
8.11.5. Periode IV bis Periode V: Wendepunkt in der Bestattungsaktivität	242
8.11.6. Periode VI: neues Beigabenspektrum	243
8.11.7. Übergang zur Vorrömischen Eisenzeit	243
8.11.8. Fazit zu Transformationen auf Mikrobene	244
9. Mesebene: Transformationsprozesse in Schleswig-Holstein	245
9.1. Zur Datenaufnahme	245
9.2. Zur Datenauswertung	246
9.3. Befunde	246
9.3.1. Gräber	247
9.3.2. Depots	267

9.3.3. Einzelfundplätze	270
9.3.4. Siedlungen	272
9.4. Materielle Kultur	281
9.4.1. Materialvorkommen	282
9.4.2. Grabfunde	283
9.4.3. Depotfunde	292
9.4.4. Einzelfunde	294
9.4.5. Vergleich von Fundvorkommen nach Befundkategorie	294
9.5. Formenkunde: Gliederung älterbronzezeitlicher Keramik Schleswig-Holsteins	296
9.5.1. Vorhaben	296
9.5.2. Grundlagen der typologischen Vorgehensweise	296
9.5.3. Anwendung in der Archäologie – ein forschungsgeschichtlicher Abriss	297
9.5.4. Ziel einer Typengliederung in der Archäologie	298
9.5.5. Methodenkritik	298
9.5.6. Keramik der Älteren Bronzezeit – Stand der Forschung	299
9.5.7. Typengliederung	300
9.5.8. Gefäßformen der Älteren Bronzezeit in Schleswig-Holstein	302
9.5.9. Auswertung	311
9.5.10. Zusammenfassung: Keramik der Älteren Bronzezeit	314
9.6. Transformationsprozesse in Schleswig-Holstein	315
9.6.1. Transformationsphase 1: Neue soziale und architektonische Organisierungen	316
9.6.2. Transformationsphase 2: Wandel der Totenbehandlung	323
9.6.3. Transformationsphase 3: Wandel im Grabbau	327
9.6.4. Periode IV und V: Keine Transformation?	329
9.6.5. Transformationsphase 4: Kleinere Häuser und neues Fundspektrum	330
9.6.6. Fazit zu Transformationen auf Mesoebene	331
10. Schlussbetrachtung	333
11. Fazit und Ausblick	337
Literaturverzeichnis	339
Anhang I: Katalog	363
Anhang I.1: Befundkatalog	363
Anhang I.2: Fundkatalog	493
Anhang II: Gesamtplana	495
Anhang III: Hauptprofile	509
Anhang IV: Tabelle zu den ¹⁴C-Datierungsergebnissen	519
Anhang V. Tabelle zu den vorläufigen anthropologischen Analysen zu den Datierungsproben	529

1. Einleitung

1.1. Projektvorstellung

Im Rahmen des SFB 1266 ‚TransformationsDimensionen – Mensch-Umwelt Wechselwirkungen in Prähistorischen und Archaischen Gesellschaften‘ bildet das Teilprojekt D3 unter der Leitung von Dr. Jutta Kneisel den bronzezeitlichen Teil für die Auseinandersetzung mit Transformationsprozessen entlang eines Transekts von Schleswig-Holstein über Mecklenburg-Vorpommern bis Polen. Ausgangspunkt dazu verschafft die bereits gut erforschte Früh- und Mittelbronzezeit in Brandenburg und Großpolen. Fundplätze in diesen Regionen zeigten im Rahmen von Forschungsprojekten, die auch von der CAU Kiel ausgingen, Übergangsphasen, die Transformationen – sowohl hinsichtlich archäologischer als auch ökologischer Daten – feststellen ließen.¹ Zuverlässige Daten stammen zum Beispiel vom Fundplatz von Bruszczewo (Fundstelle 5, Gmn. Śmigiel, Kościan Region) in Großpolen, der einen einschneidenden Siedlungsabbruch um 1650 v. Chr. sowohl in den archäologischen, als auch palynologischen Daten erfassen ließ (Kneisel 2013a, 95ff.; Czebreszuk *et al.* 2015a, 50; Czebreszuk *et al.* 2015b, 297; Kneisel 2012a, 214f.; Haas und Wahlmüller 2010, 73f., 77-81). Der Fundplatz ist beispielhaft für die Entwicklungen zu diesem Zeitpunkt in Brandenburg und Großpolen, denn in diesen Regionen lassen sich um 1600 v. Chr. Siedlungslücken überregional feststellen. Doch wie verhält sich die Entwicklung in Schleswig-Holstein zu diesem Zeitpunkt? Erste Untersuchungen ließen bisher keinen Siedlungsabbruch zu diesem Zeitpunkt in Schleswig-Holstein (Bsp. Bredenbek) erkennen, sodass mit dieser Arbeit versucht werden soll, diesen Moment weitergehend zu beleuchten. Eine mögliche Transformation um 1600 v. Chr. bietet damit einen Augenblick, der bei der Datenaufnahme und bei der Analyse der vorliegenden Arbeit sowohl hinsichtlich archäologischer als auch ökologischer Daten interessant ist. Jedoch gilt zu beachten, dass die Daten, die im Rahmen dieser Dissertation erhoben wurden, zunächst unabhängig dieser Zeitphase betrachtet werden, um den Fokus nicht von Beginn an zu setzen, sondern an die tatsächlichen Daten anzupassen. Vorkenntnisse zu möglichen Transformationsprozessen ermöglichen lediglich eine erhöhte Sensibilität bei der Analyse dieser bekannten Momente. Ähnlich wird hinsichtlich des zweiten prägnanten Transformationsmoments verfahren, der sich um 1300/1200 v. Chr. mit dem Übergang von der Körper- zur Brandbestattung ereignet und sich dabei scheinbar unter der Ausbreitung und dem Einfluss

1 U. a.: Bruszczewo: Bronzezeit in der großpolnischen Siedlungskammer von Koscian (DFG); Kultureller Wandel am Übergang von der FBZ zur MBZ im nordöstlichen Mitteleuropa (DFG); Bredenbek (LA 29) (Landesamt); Smoszew (CAU).

des Urnenfelderphänomens ausbildete. Diese Entwicklung ist für die meisten Teile Europas nachvollziehbar und die Übernahme des neuen Bestattungsritus scheint unvermeidbar (Ausnahmen sind jedoch zum Beispiel sog. ‚Fürstengräber‘ und Höhlenbestattungen [S. Schaefer-Di Maida in prep.]). Diese Entwicklung wird begleitet von weiteren Indikatoren (z. Bsp. Wandel der Hortsitten; Wandel der materiellen Kultur), die die Intensität einer Transformation unterstreichen können. Die bronzezeitlichen Entwicklungen in Nord- und Zentraleuropa umfassen zudem weitere Aspekte des alltäglichen Lebens wie Veränderungen in der Metalltechnologie, erweiterte Funktionalitäten von Objekten und Materialien (z. B. Bronzesichel statt Flintsichel) oder auch elaboriertere Mobilitäten (Vgl. Falkenstein 2017a, 1-23). Diese Beispiele von Transformationsmomenten sind zunächst prägnante und damit offensichtliche Transformationen, die jedoch unterschiedliche Charakterzüge haben, wie z. B. verschiedene Geschwindigkeiten, Intensitäten und Einflüsse auf die Gesellschaft. Der Charakter einer Transformation wird im nächsten Kapitel genauer behandelt (Kap. 2). Die Eigenschaften einer Transformation können sehr unterschiedlich sein und müssen unter Hinzuziehung sämtlicher Indikatoren, die eine komplexe prähistorische Gesellschaft ausmachen, analysiert werden, um auch bisher im Verborgenen gebliebene Elemente sichtbar machen zu können. Im Rahmen des SFB bildet diese Dissertation des genannten Teilprojekts die Auseinandersetzung mit bronzezeitlichen Transformationsprozessen in Schleswig-Holstein, die mit anderen metallführenden und wirtschaftenden Gesellschaften diachron (Transformationsdynamik: Neolithikum – Bronzezeit – Eisenzeit) und theoretisch (Vergleich von Transformationsmodellen) vergleichbar sind, sowie auch hinsichtlich der räumlichen Verbreitung Hinweise auf Auslöser und Dynamiken geben können (Vgl. Projekte D1, D2, E2).

1.2. Kooperationen

Kooperationen mit anderen Teilprojekten sind auf unterschiedlichen Ebenen im Rahmen dieser Dissertation zu erfassen. Meistens handelt es sich um einen Austausch von Daten, um Auseinandersetzungen hinsichtlich der Analyse und Interpretation, sowie der konkreten Durchführung von Methoden, die eine zielführende Datenerhebung erst ermöglichten. Eine Zusammenarbeit fand im Rahmen praktischer Untersuchungen zum einen mit dem G2-Teilprojekt statt, das an die Dissertation von Diana Panning zur geophysikalischen Prospektion gebunden war (*Klassifizierung und Validierung von Befunden anhand von Georadar*). Diese Kooperation ermöglichte zum einen den Vergleich von magnetischen und Radar-Daten, die Ausgrabungen sehr präzise planen ließen. Des Weiteren lieferten die projekteigenen Ausgrabungsdaten einen Vergleich zu den Radar-Daten, die beim Erstellen eines Befundkatalogs das zukünftige Erkennen von Befunden – allein anhand der Radardaten – begünstigen sollen (Panning in prep). Ein regelmäßiger Austausch unterstützte dabei das zielführende Verstehen von Standpunkten. Eine Kooperation mit dem Teilprojekt F3 umfasste die Analyse von Makroresten, die sowohl bei Ausgrabungstätigkeiten des Dissertationsprojekts gefunden wurden, als auch von vorangegangenen Ausgrabungen desselben Fundplatzes stammen. Die Untersuchung und anschließende Datierung der Großreste diente der Analyse wirtschaftlicher Entwicklungen und Ernährungsweisen, die auch mit möglichen Transformationen verbunden sein können. Eine weitere Komponente der Kooperationen bildete der Datenaustausch von archäologischen und palynologischen Daten, um sozio-ökologische Analysen durchführen und Schlussfolgerungen ziehen zu können. Dabei handelte es sich um eine Zusammenarbeit mit dem Teilprojekt F2, das die Analyse von Pollendaten aus Seesedimenten (z. Bsp. Belauer See, Mang de Bargaen Torfloch) ermöglichte (Feuser et al. 2019, 1596ff.), die für einen Vergleich mit archäologischen Daten unabdingbar

sind, um schließlich Aussagen zu Transformationen, die umweltbedingt sein können, klären zu können. Des Weiteren ist das Verstehen von Sedimentverhältnissen am Fundplatz, v. a. bei aktiven Ausgrabungen wichtig, um auch kolluviale Prozesse rekonstruieren und vor dem Hintergrund möglicher Transformationen verstehen zu können. Indirekte Kooperationen können im Rahmen von Auseinandersetzungen und Dialektiken genannt werden, die ein Hinterfragen sowie Perspektivwechsel erforderten und stets neue Elemente sichtbar werden ließen, die für die eigene Analyse neue Wege aufzeigten (Lunchtime Seminare, Querschnittsgruppen-Treffen, PhD-Workshops, Teilprojekt-Treffen, Retreats, Konferenzen).

1.3. Aufbau der Arbeit

Die vorliegende Dissertation ist in 5 Abschnitte gegliedert: Der erste dieser Abschnitte beschäftigt sich mit dem Ausgangspunkt der Arbeit, die den Forschungsgegenstand beschreibt. Auf welchen Zielen und Fragestellungen basiert die vorliegende Arbeit? Welche Methoden werden angewandt und wie lauten deren theoretischen Grundlagen? Zentrale Begriffe werden genannt und für die vorliegende Arbeit definiert. In einem zweiten Teil, wird die Fallstudie untersucht, die sich mit dem Fundplatz von Mang de Barga (Bornhöved, Kreis Segeberg) beschäftigt (Mikro-Ebene) und den Hauptteil dieser Arbeit bildet. Die Darstellung bisheriger Forschungen, die Befund- und Fundanalyse, sowie die Datierungen liefern Daten, die Transformationen sichtbar und mit ökologischen Daten vergleichbar werden lassen. Der dritte Teil (Meso-Ebene) dient der quantitativen Analyse von Fundkontexten und materieller Kultur in ganz Schleswig-Holstein, die darauf ausgerichtet ist, Kontinuitäten und Diskontinuitäten für die Herausarbeitung von Transformationen, festzustellen und schließlich mit dem Fundplatz von Mang de Barga zu vergleichen. Dabei spielen Veränderungen der räumlichen und zeitlichen Verteilungsmuster von Funden, sowie Wechsel im Ritus, der Ökonomie und Ideologie eine besondere Rolle. Auf beiden Ebenen erfolgt die Auswertung der Ergebnisse und damit die Setzung von Transformationsphasen. Eine finale Zusammenführung beider Ergebnisstränge ermöglicht das Erkennen lokaler und überregionaler Entwicklungen, die mögliche Muster aufzeigen können, um zukünftig mit anderen prähistorischen Entwicklungen verglichen werden zu können – sowohl zeitlich als auch räumlich. Alle verwendeten Daten werden im Anhang aufgeführt, um nachvollziehbar und rückverfolgbar zu sein.

2. Transformationsbegriff

2.1. Definition

Der Begriff ‚Transformation‘ stammt vom lateinischen Wort ‚transformare‘ ab und bedeutet, dass etwas umgewandelt, umgeformt oder umgestaltet wird (Brockhaus Enzyklopädie 2006, 311). Dabei kann es sich sowohl um einen Gegenstand in der Natur-, als auch in der Geisteswissenschaft handeln, der sich transformiert bzw. transformiert wird. Die Folgen einer Transformation sind Veränderungen, die auch eine Gesellschaft strukturell umgestalten können.

„Die Prozesse laufen koevolutionär, gleichzeitig oder zeitlich versetzt in verschiedenen Bereichen oder Sektoren ab und können sich gegenseitig erheblich beeinflussen, verstärken oder schwächen. Entscheidend für eine Transformation ist, dass sich die Prozesse im Lauf der Zeit verdichten und zu grundlegenden unumkehrbaren Änderungen im vorherrschenden System führen (Paradigmenwechsel). Die Transformationen können ungeplant oder intentional sein, sie können einige Jahrzehnte dauern und mit sehr unterschiedlicher Geschwindigkeit ablaufen.“ (Brohmann und Griefshammer 2015, 13).

Eine wichtige Charaktereigenschaft einer Transformation ist auch, dass sich der Prozess an sich immer mehr verstärkt und schließlich zu fundamentalen und irreversiblen Veränderungen führt. In der Wissenschaft wird der Transformationsbegriff immer häufiger und beliebt verwendet.

„Transformation ist ein wissenschaftliches Allerweltswort, denn wo wird nicht etwas umgeformt?“ (Kollmorgen et al. 2015, 11) – Und das ist auch gut so, denn im Rahmen des Sonderforschungsbereiches 1266 werden Transformationen aus den unterschiedlichsten fachspezifischen Blickwinkeln, sowie auf verschiedenen räumlichen und zeitlichen Skalen (15.000 bis 1 v. Chr.) betrachtet und erst der offene Umgang mit dem Transformationsbegriff lässt eine Diskussion und Ergebnisfindung zu. Für den SFB 1266 wurde der Transformationsbegriff deswegen wie folgt definiert: Bei einer Transformation handelt es sich in erster Linie um Prozesse, die zu einer substanziellen und nachhaltigen Neuorganisation sozio-ökologischer Interaktionsmuster führen. Dazu wurden im Rahmen von 4 Foki des SFB in 20 Teilprojekten archäologische Daten und Umweltdaten in verschiedenen Landschaften erhoben und hinsichtlich sozio-ökologischer Transformationen analysiert. Die Kombination verschiedener Ansätze und Perspektiven, sowie die unterschiedlichen räumlichen Fokuse ermöglichen schließlich die Betrachtung sämtlicher Auslöser und Dynamiken von Transformationsprozessen zwischen 15000 und 1 v. Chr. im Detail, sodass

das ‚große Ganze‘, sowie miteinander verbundene Veränderungen sichtbar gemacht werden können. Darüberhinaus ist es ein Ziel, Muster von Transformationen zu erkennen und zu verstehen, um dergleichen zwischen den Projekten – unabhängig von Raum und Zeit – zu verstehen und allgemein anwendbare Modelle zu entwickeln. Für diese Arbeit basiert der Transformationsbegriff – aus der archäologischen Perspektive betrachtet – auf der folgenden Definition: *Eine Transformation beschreibt bei der Analyse archäologischer Daten den Moment, wenn sich etwas so stark gewandelt hat, dass eine Rückkehr zu alten Mustern nicht mehr möglich ist.* Der Transformation kann demnach ein Wandlungsprozess oder ein Bruch voran- bzw. nachstehen (Schaefer-Di Maida 2018, 27f.).

2.2. Transformationstypen

Kollmorgen *et al.* unterscheiden in ihrem Handbuch zur Transformationsforschung fünf Achsen mit konträren Idealtypen:

- *systemsprengende vs. reformierende Wandlung*
- *einzelne Aspekte vs. das ganze System*
- *gesteuert vs. ungesteuert*
- *revolutionär/kurzfristig/radikal vs. evolutionär/schrittweise*
- *Innovativ vs. Imitativ* (Kollmorgen *et al.* 2015, 11)

In Ergänzung dazu unterschied Menger 1883 ‚pragmatisch‘ und ‚organisch‘ entstandene Sozialgebilde (Kollmorgen *et al.* 2015, 13). Diese Typen lassen sich gut auf archäologische sowie umwelt-archäologische Daten anwenden, da sie Idealtypen darstellen, die genügend Spielraum für die Auslegung der einzelnen Typen ermöglichen.

Dabei ergeben sich folgende **Fragestellungen**:

- Welche Bereiche der Gesellschaft werden von der Transformation erfasst (Wirtschaft; politisches System; Ideologie; Rechte; gesamte Gesellschaftsstruktur)?
- Haben wir es überhaupt mit einer Transformation zu tun?
- Gibt es klare Auslöser für eine Transformation? Ergab sich die Transformation aus gegebenen Umständen oder wurde sie durch bestimmte beeinflussende Faktoren bedingt?
- Mit welcher Geschwindigkeit und/oder Intensität vollzog sich die Transformation? Handelt es sich um einen kontinuierlichen und lang andauernden oder eher um einen abrupten und schnellen Prozess.
- Zeigt der Transformationsprozess ein bekanntes Muster oder handelt es sich um einen völlig neu orientierten Wandlungsprozess?

Diese Fragen bilden den Grundstock der folgenden Auseinandersetzung mit bronzezeitlichen Transformationsprozessen und lassen individuelle Ziele und Fragestellungen entstehen, die in den nächsten Kapiteln weiter behandelt werden.

2.3. Transformationsmodelle

Der Verlauf einer Transformation wird nach Kemp und Loorbach (2006) entlang einer Zeitachse als S-Kurve dargestellt, die mit einer Vorentwicklung beginnt, welche bereits einige Innovationen mit sich bringt (Nischen). Auslöser bzw. bestimmte Veränderungen verursachen zunächst den tatsächlichen Start und darauf den ‚Durchbruch‘ der Transformation. Letztere ist struktureller Art und resultiert aus der Intensivierung von Veränderungen. Ab einem gewissen Punkt erreicht die

zunächst steil ansteigende Kurve eine ‚Stabilisationsphase‘, die auf einem dynamischen Gleichgewicht und neuen Reglementierungen basiert. Als Beispiel wird von Kemp und Loorbach das Car-Sharing-Konzept herangezogen, das zunächst von lokalen Initiativen (non-profit Gesellschaften und unbezahlten Mitgliedern) erfunden und genutzt wurde. Bald darauf wurde es jedoch als Nische erkannt und zielführend mit einem Innovationsmanagement ausgestattet. Dieses Modell basiert auf der ‚*multi-level-perspective*‘, die sich aus drei Ebenen zusammensetzt: Nischen, Regierung/Staat und Umwelt, die untereinander agieren. Regierungsgebundene Institutionen befinden sich dabei in der Mitte und sind für die Lösung gesellschaftlicher und wirtschaftlicher Probleme zuständig. Diese Mesoebene wird auf der einen Seite von Umweltfaktoren und auf der anderen Seite von innovationsgetriebenen Nischen beeinflusst. Interaktionen begünstigen oder verhindern dabei die Transformationsprozesse (Kemp und Loorbach 2006, Abb. 1.1). Ein ähnliches Modell wurde von Hofmann 2008 besprochen. Sie setzte sich mit Modellen zu Innovationsentwicklungen auseinander. Dabei übernimmt sie zum Beispiel die Adaptionkurve nach Rogers (Rogers 1958, 350f., Fig. 1). Der Kurvenverlauf zeigt, dass eine Neuheit durch ‚frühe Adaptoren‘ in die Gesellschaft getragen wird, dort durch ‚frühe Mehrheiten‘ ein Maximum der Adaptoren erreicht und über die ‚späte Mehrheit‘ schließlich mit ‚Nachzüglern‘ ausklingt und die Innovationsübernahme abschließt (Hofmann 2008, 76ff., 79, Abb. 25). Durch den Vergleich von bronzezeitlichen Entwicklungsabläufen unterschiedlicher Indikatoren kann eine Gesamtentwicklung erfasst werden, die möglicherweise in abstrahierter Form vergleichbare Modelle zulässt.

3. Ziele und Fragestellungen

Die Erhebung und Analyse archäologischer Daten zielt in der vorliegenden Dissertation grundlegend darauf ab, Veränderungen, Umbrüche, Kollapse und Wandlungserscheinungen hinsichtlich sozialer (z. B. Prestigeobjekte), ökonomischer (z. B. Ressourcennutzung), ökologischer (z. B. Bewaldung vs. Rodung), kultureller (z. B. materielle Kultur, Importwaren) und ideologischer Aspekte (z. B. Wandel der Bestattungssitte) zu identifizieren, um Transformationsprozesse in ihrer Komplexität feststellen zu können. Dabei ist die Beschreibung und Charakterisierung von Transformationsprozessen ein wichtiges Ziel, um Prozesse zu identifizieren, in ihrer Komplexität zu begreifen und mit anderen Regionen vergleichen zu können, sodass auch regionale und überregionale Transformationsentwicklungen formuliert werden können. Sofern ein Modell bzw. Ablauf einer Transformationserscheinung sichtbar wird, ist in einem zukünftigen Schritt auch der Vergleich mit anderen Zeitphasen weiterer Teilprojekte relevant (zweite Phase des SFB). Diese Dissertation bildet dementsprechend eine Basis dieses zukünftigen Ziels. Entsprechend der formulierten Ziele sind die folgenden Fragestellungen wesentlich:

Welche nachweisbaren Transformationen sind anhand der Datenanalyse erfassbar?

Diese Frage dient der grundsätzlichen Darstellung von Transformationen anhand archäologischer und ökologischer Daten. In einem späteren Schritt kann diese Darstellung von Transformationen mit anderen Regionen verglichen werden.

Inwieweit wird die Gesellschaft von der jeweiligen Transformation beeinflusst? Zieht die Transformation eine Reorganisation der Gesellschaft in ihrer Gesamtheit nach sich oder werden nur bestimmte Teile der Gesellschaft von der Transformation erfasst?

Die prähistorische Gesellschaft ist von einer Komplexität geprägt, die aus heutiger Perspektive teilweise nur schwer zu beurteilen ist. Die Elemente, die uns in archäologischen Daten begegnen, können wir versuchen in Relation zueinander zu stellen. Wir erkennen, welche Elemente mit anderen einhergehen, sich bedingen oder ausschließen. Demzufolge können wir feststellen, in welchem Maß eine Gesellschaft von einer Transformation (ob ökologisch, sozial, ideologisch, kulturell usw.) beeinflusst wird.

Wann und wie zeigen sich Transformationen in archäologischen und zugleich ökologischen Daten während der Bronzezeit in Norddeutschland?

Die dargestellten Transformationen werden mit dieser Frage hinsichtlich ihrer Komplexität bewertet. Dabei ist *z. B.* wichtig zu analysieren, ob sich eine Transformation, die in den archäologischen Daten sichtbar ist, auch in den ökologischen Daten widerspiegelt und umgekehrt.

Mit welcher Geschwindigkeit vollzogen sich die jeweiligen Transformationen im Arbeitsgebiet?

Die Datierung von Transformationsmomenten ist ein wichtiger Teil der Dissertation, um auch bestehende Theorien zur Entwicklung von Transformationen eingrenzen zu können. So gilt es *z. B.* den Zeitpunkt des Übergangs von der Körper- zur Brandbestattung zu spezifizieren und die Phasen dieses Übergangs präziser definieren zu können – zum Beispiel: gibt es Phasen zwischen Körperbestattungen in Baumsärgen unter Grabhügeln und Urnen auf einem Urnengräberfeld? Wann genau wandelt sich der Ritus der Totenbehandlung (Einäschierung vs. Beerdigung) und sowohl wann, als auch wie wandelt sich der Grabbau?

Einen Hinweis für die Transformationsforschung in der Bronzezeit in Norddeutschland bildeten die bisherigen Untersuchungen in Polen und Brandenburg – wie bereits in der Projektvorstellung beschreiben. Dabei zeigten sich insbesondere zwei Umbruchsphasen (1600 und 1300/1200 v. Chr.), die lediglich als vorläufige Indikatoren, jedoch nicht als Ausgangspunkt der Datenanalyse herangezogen werden.

4. Methoden und theoretische Grundlagen

Die Wahl der Methoden basiert zum einen auf den Zielen und Fragestellungen, die diese Dissertation entstehen ließen und zum anderen auf den Daten und Möglichkeiten, die schließlich zur Verfügung standen. Sowohl auf der Mikroebene (Fundplatzstudie) als auch auf der Mesoebene (Schleswig-Holstein) gliedert sich die Vorgehensweise in die Aufnahme, Analyse und Auswertung von Daten, die am Ende verglichen werden. Für die Fundplatzstudie ist der Forschungsansatz qualitativ ausgerichtet. Um die methodische Erfassung von Daten am Fundplatz darstellen zu können, wird zunächst die praktische Feldarbeit genannt, die das Sammeln konkreter (Funde, Befunde usw.) und abstrakter Daten (für Quantifizierungen) ermöglicht. In der vorliegenden Dissertation zählen dazu geophysikalische Prospektionen und Oberflächenbegehungen, die Fundplatzareale erfassen ließen. Die gesammelten Daten ermöglichten daraufhin die Kartierung von Befunden und Funden, sodass in einem weiteren Schritt Sondagen und umfangreiche Ausgrabungen geplant werden konnten. Die daraus resultierenden Daten wiederum gewährten Material (Funde, Befunde, Proben), das zunächst im Rahmen archäologischer Dokumentationsschritte (Beschreibung, Zeichnung, Digitalisierung) erfasst und analysiert (Formenkunde, Stratigrafie) werden konnte. Fundverteilungen, Befundanalysen und interdisziplinäre Fundanalysen – wie zum Beispiel die anthropologische Untersuchung von Knochenmaterial, botanische Analyse von Großresten, Palynologie sowie absolute Datierungsmethoden (^{14}C) – liefern Ergebnisse, die eine qualitative Auswertung des Fundplatzes ermöglichen, sodass Aktivitäten und Nutzungsphasen von Material (z. B. einer bestimmten Keramikform) und Strukturen (z. B. einer bestimmten Grabform) rekonstruiert und in Verbindung gebracht bzw. voneinander abgegrenzt werden können. Auf der Mesoebene beschäftigt sich diese Dissertation mit quantitativen Daten. Das Sammeln von Daten und ihre Quantifizierung sowie Bewertung bedingt verschiedene Aspekte, die ein Gesellschaftsbild konzipieren und unterschiedliche Einflussfaktoren bzw. Abhängigkeiten schlussfolgern lassen. Das Auszählen und sowohl das räumliche, als auch zeitliche Kartieren von Daten soll in dieser Arbeit Wechselwirkungen verschiedener Faktoren einer komplexen Gesellschaft analysierbar und rekonstruierbar machen. Bei der Datenanalyse basiert die Untersuchung zum Beispiel hinsichtlich wirtschaftlicher Faktoren wie auf der theoretischen Grundlage Polanyis. Er wendet sich im Rahmen seines Substantivismus beispielsweise gegen die Theorie, dass Wirtschaftstheorien der Neuzeit (Klassik, Neoklassik) auf vorangehende Gesellschaften (vor der Durchsetzung des selbstregulierenden Marktes, siehe auch *The Great Transformation*) projiziert werden können (Polanyi 1944 [2001]). Ein substantivistischer Ansatz beinhaltet hingegen die Mensch-Umwelt-Beziehung, sodass die resultierende Wirtschaft als sozialer Prozess betrachtet werden muss (Schrader 1995, 3). Erst die Verknüpfung

verschiedener Aspekte (Wirtschaft, Ideologie, Gesellschaft, Ökologie, Kultur) ermöglicht eine ergebnisorientierte Diskussion und eine angängige Rekonstruktion vergangener Gesellschaftsentwicklungen. Die Übertragung solcher Entwicklungen auf andere Epochen, die wahrscheinlich auch ein anderes Gesellschaftsmodell voraussetzen müssten, sei zunächst dahingestellt. In Anlehnung an die *Kritische Theorie* Adorno's und Horkheimer's wird das Ziel verfolgt bei der Analyse einen vielschichtigen Prozess durchzuführen, um das Wesen und die Entwicklung einer Gesellschaft im Ganzen objektiv erfassen zu können (Horkheimer 1937, 60ff.). In der Archäologie wird dies auch als kontextueller Ansatz bezeichnet, bei dem die Identifizierung und Untersuchung von Kontexten sowie deren Verknüpfung untereinander im Zentrum stehen. Für die vorliegende Arbeit wurden außerdem Informationen zu bronzezeitlichen Aktivitäten in Schleswig-Holstein im Rahmen einer Datenbank gesammelt. Ziel ist es, verschiedene Elemente, wie zum Beispiel die materielle Kultur oder die Grabbauweise (Bspw. Konstruktionselemente) auszuwerten und regionale Entwicklungen oder Trends festzustellen. Jeder Befund (z. B. ein Grab) erhielt einen Eintrag, zu dem alle vorhandenen Informationen zusammengetragen wurden (siehe Kap. 9.1.). Die Auswertung der Daten erfolgte mithilfe statistischer Werkzeuge, deren Visualisierung einen Trend von Transformationsprozessen durch die Bronzezeit aufzeigen sollen. Die Auswertung konzentriert sich dabei auf die zeitliche und räumliche Verteilung sowie die Korrelation von Elementen, die Zusammenhänge oder gar Abhängigkeiten auf verschiedenen Ebenen (gesellschaftlich, wirtschaftlich, ideologisch usw.) feststellen lassen. Die aoristische Methode wird dabei angewandt, um Funde und Befunde, die nicht ausreichend datierbar sind, einer Zeitphase zuzuordnen, indem sie gleichmäßig auf bestimmte Zeitabschnitte eines Zeitraums aufgeteilt werden (Mischka 2004, 233ff.; Kneisel et al. 2019). In Ergänzung dazu unterstützen uni- und bivariate Analysemethoden die Auswertung und Visualisierung der Daten sowie ihrer Anlehnungen. In Ergänzung zu diesen Ansätzen werden vereinzelt Vergleiche zur Ethnoarchäologie oder auch Experimentalarchäologie herangezogen, wenn zum Beispiel keine oder nur wenige archäologische Daten verfügbar sind. Die Auswertung von Transformationsprozessen hat schlussendlich die Rekonstruktion bronzezeitlicher Gesellschaften in Schleswig-Holstein zum Ziel, die möglicherweise die Bildung von Transformationsmodellen für die Bronzezeit zulässt. Lässt sich ein Muster beim Verlauf einer Transformation erkennen? Dazu bedient sich diese Untersuchung verschiedenen Transformationsmodellen, wie jene von Kemp und Loorbach (2006), die einen ‚typischen Verlauf‘ einer Transformation vom Start (Take-off) über den Durchbruch (Breakthrough) bis zur Stabilisierung (Stabilization) beschreiben (Kemp und Loorbach 2006, Abb. 1.1). Des Weiteren wird die bereits beschriebene Kurve zu Innovationsübernahmen nach Rogers (1958), die von Hofmann (2008) hinsichtlich prähistorischer Kontexte besprochen wurde, angewandt, um Transformationsprozesse zu beschreiben (Hofmann 2008, 76ff., 79, Abb. 25).

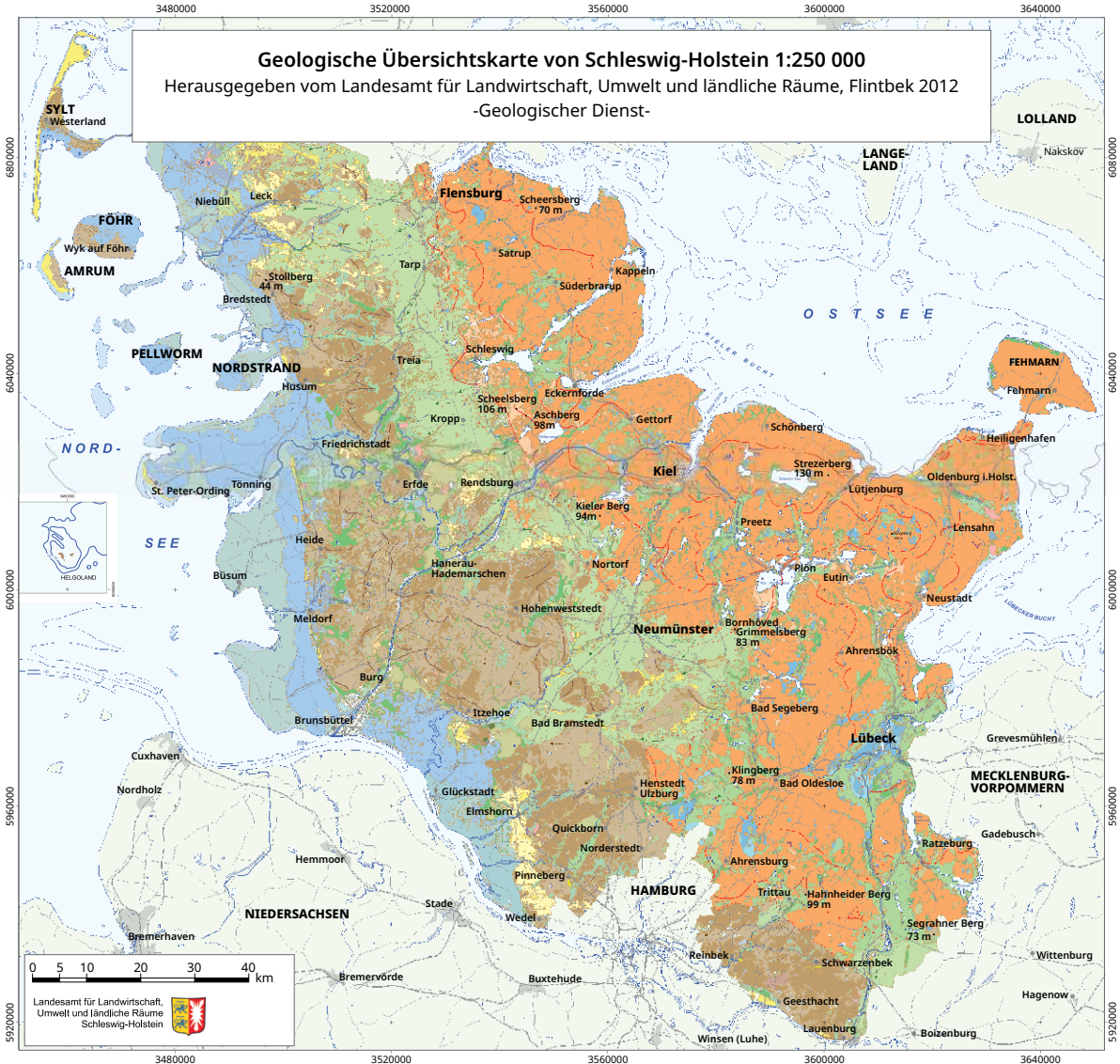
Solche Modelle ermöglichen es, die eigens festgestellten Entwicklungen greifbar zu machen, jedoch ohne die Komplexität und Abhängigkeiten einer solchen Entwicklung aus den Augen zu verlieren.

5. Arbeitsgebiet: Geographie und Geologie

5.1. Schleswig-Holstein

Das Betätigungsgebiet der vorliegenden Arbeit orientiert sich zunächst an den politischen Grenzen Schleswig-Holsteins und grenzt damit an die Nachbarbundesländer Mecklenburg-Vorpommern im Südosten, Hamburg mit der Elbmündung im Süden und Niedersachsen im Westen. Im Norden schließt das Gebiet an Jütland an. Umgeben wird der sogenannte südliche Teil der Kimbrische Halbinsel von der Nordsee im Westen und der Ostsee im Osten. Um den Erhalt von Befunden und die Lokalisierung prähistorischer Aktivitäten bewerten zu können, muss zunächst die Geomorphologie der Erdoberfläche dargestellt werden. Schleswig-Holstein ist geprägt von eiszeitlichen Landschaftselementen, die eine vielfältige Alt- und Jungmoränenlandschaft hervorbrachten und die Wahl eines prähistorischen Siedlungs- oder Bestattungsplatzes bedingten. Im Folgenden werden lediglich geomorphologische Entwicklungen beschrieben, die das prähistorische und auch heutige Landschaftsbild prägten und eine entsprechende Relevanz für die Besiedlung und Landnutzung hatten. Die Eiszeiten der Elster-, Saale- und Weichsel-Kaltzeit weisen Ablagerungen im Arbeitsgebiet auf. Die Gletscher der Elstereiszeit und der älteren Phase der Saaleeiszeit (Drenthe-, Burg-Phase) haben vor ungefähr 130.000-140.000 Jahren die heutige Altmoränenlandschaft gebildet, die die Hohe und Niedere Geest im Zentrum Schleswig-Holsteins entstehen ließ. Mit der Weichsel-Eiszeit (allgemein ab ca. 115.000 vor heute bis ca. 9700 vor heute) bildete sich die Jungmoränenlandschaft und damit das östliche Hügelland (Geschiebemergel) Schleswig-Holsteins, das von Schmelzwassersandzonen und -rinnen durchsetzt ist und Flusssysteme bildete (Stephan 2003, 102f.; Piotrowski 1991, 46ff.). Der westliche Teil Schleswig-Holsteins ist von ebener Marsch, Watt und Mooren (Überflutungsmoore) gekennzeichnet. Viele kleine Inseln bilden das heutige Küstengebiet.

Diese geomorphologische Dreiteilung (Westen: Marsch, Moor, Watt; Zentrum: hohe und niedere Geest (mit Niederungen und Urstromtälern); Osten: Hügelland mit vielen Binnengewässern) bedingte die Besiedlung und Landnutzung. Die Fundplätze des prähistorischen Norddeutschlands konzentrierten sich vor allem auf die leichten, sandigen Böden der (Vor-)Geest (Abb. 1), die zwar weniger Ernteerträge erbrachten, jedoch besser zu bearbeiten waren und bei feuchtem Klima eine natürliche Drainage begünstigten. Auf die Bodenverarmung wurde vor allem ab der jüngeren Bronzezeit mit dem Anbau anpassungsfähiger Getreidepflanzen reagiert (z. B. steigende Anteile von Hirse und Hafer, später auch Roggen, sowie Leindotter statt



Holozän

- marine Ablagerungen (überwiegend Marsch, kalkig, stw. unterlagert von Sand) Schluff bis Ton
- brackische Ablagerungen (Marschenschluff bis -ton) Schluff bis Ton, stw. feinsandig
- Hochmoor, stw. über Niedermoor, Mudde, Marsch, Ton, Sphagnum-Torf schwach bis stark zersetzt, stw. über Bruchwald-, Schilf- oder Seggentorf, meist stark zersetzt oder Detritusmudde bzw. Ton
- Niedermoor Bruchwald-, Schilf- oder Seggentorf, meist stark zersetzt
- äolische Ablagerungen (Dünen) (z.T. Pleistozän) Fein- bis Mittelsand

Saale Komplex

- glazifluviale Ablagerungen Sand, untergeordnet Kies
- glazifluviale Ablagerungen Sand, untergeordnet Kies

Diese Karte ist gesetzlich geschützt.
Vervielfältigungen nur mit Genehmigung des Herausgebers.
Als Vervielfältigung gelten z. B. Nachdruck, Fotokopie, Scannen, Mikroverfilmung, Digitalisierung sowie Speicherung auf Datenträger

Weichsel-Kaltzeit

- fluviatile (und fluviatil-äolische bzw. periglaziär-fluviatile) Ablagerungen Feinsand, Mittelsand, Grobsand
- glazifluviale Ablagerungen (Sander im morphologischen Sinn) Sand, untergeordnet Kies, Schmelzwassersande und -kiese der Außen-sander (reliefarm), Abflusstäler und Kames, nur stw. eisrandnah gestaut, im Randbereich zur Weichselmoräne mit einzelnen Geschiebelehmdurchtragungen
- glazifluviale Ablagerungen Sand, untergeordnet Kies, glazifluviale Schmelzwassersande und -kiese der Binnensander, Stielsander, Abflusstäler und Kames; nur stw. eisrandnah gestaut, im Randbereich zum weichselzeitlichen Moränengebiet mit einzelnen Geschiebelehmdurchtragungen
- glazigene Ablagerungen (Till der Grundmoränen und Endmoränen) Schluff, tonig, sandig, kiesig (Geschiebelehm, oft über Geschiebemergel)

Wissenschaftliche Bearbeitung: H. Kaufhold
B. Burbaum und A. Grube
Kartographie / Layout: S. Dölger-Schwermer
C. Verdick

Vertrieb: Landesamt für Landwirtschaft, Umwelt und ländliche Räume (LLUR) - Öffentlichkeitsarbeit / Vertriebsstelle
Hamburger Chaussee 25 - 24220 Flintbek - Telefon: 04347/704-230 - Telefax: 04347/704-702
e-mail: broschuere@llur.landsh.de - Internet: <http://www.llur.schleswig-holstein.de>

Inhalt: Geologischer Dienst im Landesamt für Landwirtschaft, Umwelt und ländliche Räume Schleswig-Holstein
Topographische Grundlage: Vektordaten des Digitalen Landschaftsmodells 1:250.000 (Ebenen)
Kartenrahmen: Gauß-Krüger-Abbildung im 3. Meridianstreifen (Mittelmeridian 9°)
Vervielfältigt mit Genehmigung vom 02.12.2010 ©GeoBasis-DE/ BKG2010
Druck: Landesamt für Vermessung und Geoinformation Schleswig-Holstein

Abbildung 1: Geologische Karte Schleswig-Holsteins (LLUR 2012).

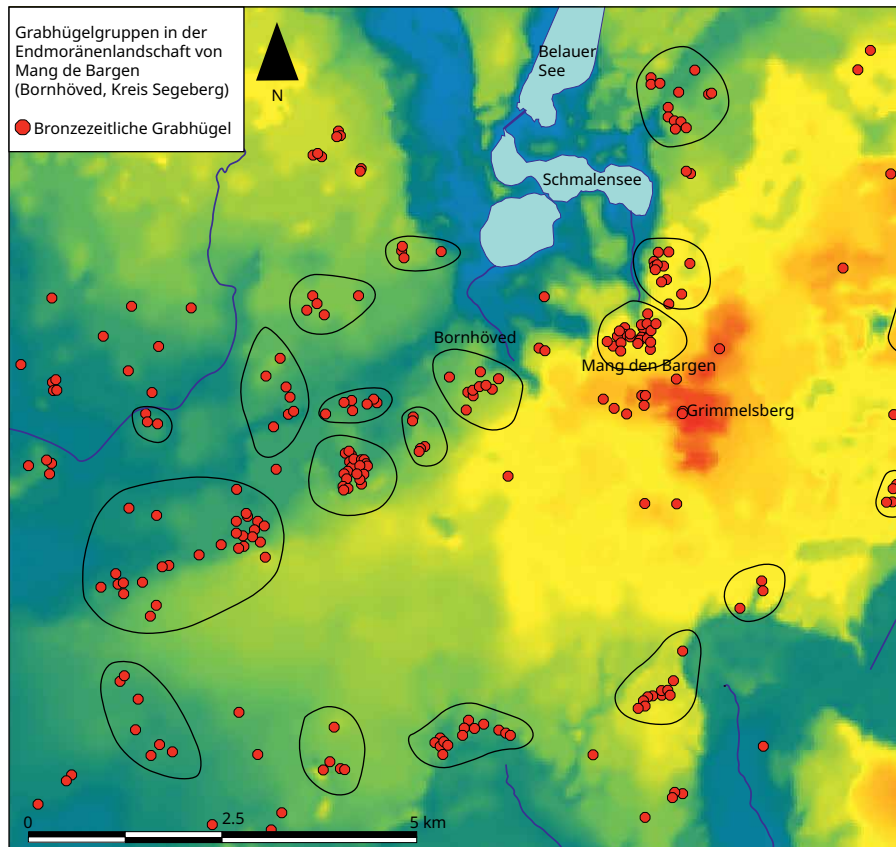


Abbildung 2: Fundplatz von Mang de Barga in einer Grabhügelgruppen-Reihe entlang der Endmoräne.

Lein, Effenberger 2018, 104f.). Die Bevorzugung sandiger Böden bestätigt auch eine regionale Studie von Lüth (2012), demzufolge sowohl älterbronzezeitliche Grabhügel, als auch Siedlungen vorzugsweise auf sandigen Böden errichtet wurden. Lehmmige Standorte wurden für Grabhügel nur sehr selten und für Siedlungsbefunde nicht so häufig genutzt. Der Vorzug sandiger Böden verstärkte sich in der Jüngeren Bronzezeit sowohl in Siedlungen als auch hinsichtlich Urnengräberfeldern. Siedlungen bevorzugten des Weiteren eher eine Uferrandlage als Grabhügel oder Urnengräber der Bronzezeit. Mit der Jüngeren Bronzezeit wurden Siedlungen auch häufiger an offenen Gewässern errichtet. Demgegenüber werden für älterbronzezeitliche Grabhügel zumeist exponierte Positionen gewählt. Jungbronzezeitliche Fundstellen fanden ihren Platz dagegen eher im flachen Gelände (Lüth 2012, 79ff., 84ff.). Siedlungsbereiche, Gräber und Acker-, sowie Weideflächen lagen während der Bronzezeit oft dicht beieinander (Bsp. Bjerre: Ackerflächen von 300-1000 m²) und Siedlungen befanden sich dabei nicht selten nur wenige hundert Meter voneinander entfernt (Effenberger 2018, 103; Bech 1997, 4, Abb. 2c).

5.2. Fundplatz von Mang de Barga, Bornhöved (Kr. Segeberg)

Der Fundplatz und zugleich die Flur von *Mang de Barga* gehört zur Gemeinde Bornhöved und befindet sich westlich jener Amtskommune sowie südöstlich von Schmalensee und nördlich von Tarbek im Kreis Segeberg, circa 30 Kilometer südlich von Kiel und etwa 20 Kilometer östlich von Neumünster. Dieser Fundplatz wird für diese Arbeit als Fallbeispiel herangezogen und weist eine interessante Geomorphologie auf: Während der letzten Phase der Weichseleiszeit – dem sogenannten ‚Jungbaltischen

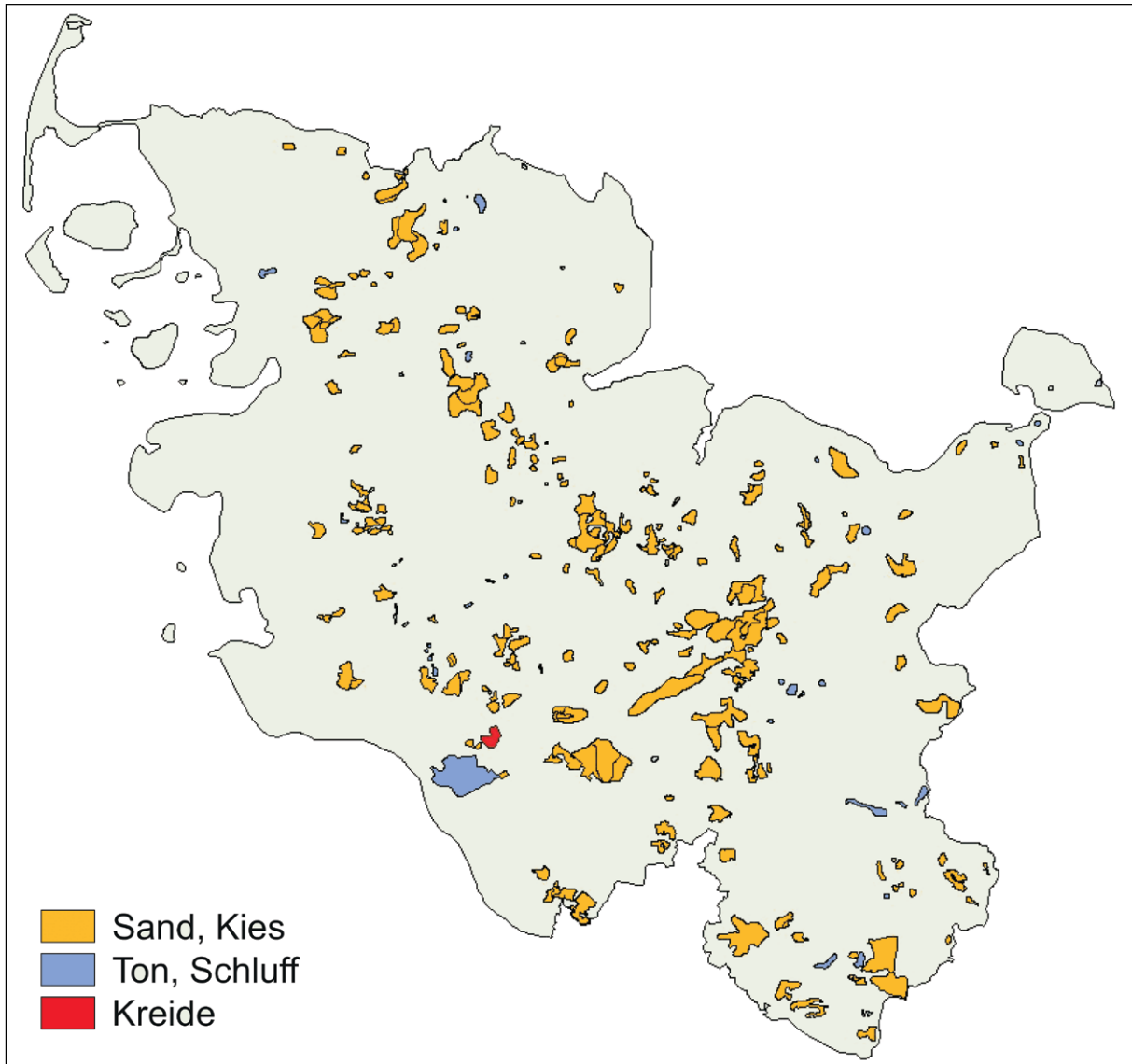


Abbildung 3: Verbreitung oberflächennaher mineralischer Rohstoffe (nach LLUR 2012, 28).

Vorstoß' (auch Mecklenburg-Phase) (Stephan 2003, Tab. 1) um 15.000-13.000 vor heute, kam es zu einer Bedeckung u. a. Schleswig-Holsteins Jungmoränenlandschaft und hinterließ ‚bei Gönnebek bis Bornhöved eine Sanderstufe als Endmoränenvertreter [...]. Endmoränen sind selten, offenbar vielfach von Schmelzwasserabflüssen zerspült, oder das Eis formte Endmoränen, angelehnt an bereits vorhandene saalzeitliche Höhen wie am Grimmelsberg und Ahnsberg bei Bornhöved, dessen aufgestauchte ‚paläobaltische Moräne‘ (Geschiebeanalyse von G. Schlüter) eemzeitlich verwittert und tiefgründig entkalkt ist.‘ (Stephan 1994, 7f.). Der Fundplatz befindet sich zum einen an der sich im Norden angrenzenden Bornhöveder Seenkette (Bornhöveder See, Schmalensee, Belauer See, Schiersee, Stolper See), die sich im Zuge der wiederholten Gletschererosionsprozesse bildete und Nord-Süd-ausgerichtet erstreckt. Zum anderen grenzt der Fundplatz im Süden an die anschließende Stauchendmoräne, die im Grimmelsberg ihren höchsten Punkt von 83,2 mNN erreicht. Diese Endmoräne verläuft ‚entlang der südlichen Umrahmung der Seenkette [und] verdeutlicht den Zungenbecken-Charakter der gegenwärtig durch die Seen belegte Depression.‘ (Piotrowski 1991, 6). Die südlichen Seen werden von der Alten Schwentine (Kührener Au) durchflossen, die im Belauer See, der mit 25,6 m der tiefste See jener Seenkette

ist, mündet (Piotrowski 1991, 6ff.). Der Untergrund des Fundplatzareals setzt sich aus Geschiebemergel sowie Geschiebelehm (Till) und sandigen Gletscherablagerungssubstraten (sandige Variation des Tills) zusammen, die von Luvisol-, Cambisol- und Kolluvisol-Bodenschichten bedeckt werden (Dreibrodt und Withold 2015, 297; Piotrowski 1991, 10, 23f.). Im Raum Bornhöved kommen vor allem sandige Braunerden mit Übergängen zu Rostbraunerden, Pararendzinen und Regosole vor (Wiethold 1997, 17). Kolluvisole treten insbesondere an Unterhängen und Hangfüßen auf, *„während [sich] in den Senken und im Seerandgebiet (...) bevorzugt eutrophe Gleye, Moorgleye und Niedermoore entwickelten.“* (Piotrowski 1991, 10). In der Bronzezeit wurden um die Endmoräne herum Grabhügel errichtet, die in Gruppen angeordnet wurden. Schwerin von Krosig kartierte diese Gruppen bereits 1976 (Schwerin von Krosig 1976). Mit heutigen digitalen Geländemodellen wird die Nutzung des Gebiets entlang der Endmoräne besonders deutlich. Der Fundplatz von Mang de Barga hat dabei eine besondere Stellung, da er sich zwischen der Endmoräne in der Nähe des Grimmelsberges und der ‚Bornhöveder Rinne‘ befindet, die ihre tiefste Stelle bei -191 m üNN aufweist (Piotrowski 1991, 43ff., 66f.). Die vielen Grabhügel auf engstem Raum und die Entscheidung natürliche Anhöhen zu nutzen, können auf dem Höhenplan besonders gut erkannt werden (Abb. 2). Die Gräbergruppe von Mang de Barga weist dabei eine der stärksten Grabhügelkonzentration auf.

Die Wahl des Fundplatzes für die Beisetzung von Toten scheint sich demnach aus der Tradition der Anlage von Gräbergruppen entlang der Endmoräne entwickelt zu haben und wird vermutlich einem ideologischen Konzept gefolgt sein, das auch eine räumliche Bezugnahme auf bereits bestehende Grabanlagen im Umkreis berücksichtigte – wie es auch von anderen bronzezeitlich genutzten Gräberfeldern bekannt ist (Hofmann 2008, 145ff.).

Das Fundplatzareal wird heute landwirtschaftlich genutzt und wird zudem immer weiter vom Kieswerk *Krebs* abgebaut. Der natürlich vorkommende Sand und Kies sind in dieser Region besonders ausgeprägt und heute von entsprechend hohem wirtschaftlichem Interesse (Abb. 3).

Ein Teil des Fundplatzes ist bereits durch Kiesabbauarbeiten abgetragen worden (z. B. Urnengräberfeld der vorrömischen Eisenzeit und viele Grabhügel vom Spätneolithikum bis zur Jüngerer Bronzezeit/Älteren vorrömischen Eisenzeit) und das verbliebene Areal wurde bereits an das angrenzende Kieswerk verkauft. Die archäologische Aufarbeitung dieses Fundplatzes ist dementsprechend wichtig.

6. Quellen und Quellenkritik

Die Auseinandersetzung mit dem Fundplatz von Mang de Barga erfolgte vor dem Hintergrund paläo-ökologischer Untersuchungen, die zum einen auf archäologischen Daten basieren, die u. a. im Rahmen von Ausgrabungen zwischen 2004 und 2014 durch das Landesamt erhoben wurden. Zum anderen stützt sich die vergleichende Analyse archäologischer und ökologischer Daten auf die Untersuchungen, die seit den 80er Jahren die Erforschung des dortigen Ökosystems betrifft. Alle diese Daten lagen vor und konnten für die Untersuchungen auf der Mikroebene dieser Dissertation verwendet werden. Auf eine Vervollständigung der archäologischen Untersuchungen am Fundplatz wird mit der vorliegenden Arbeit abgezielt. Einige Denkmäler am Fundplatz sind jedoch teilweise bereits landwirtschaftlichen Einebnungsprozessen, Grabraub oder unkontrollierten Kiesabbauvorgängen zum Opfer gefallen (Vgl. Kap. 8.1). Des Weiteren spiegelt die Verteilung von Fundplätzen in der Region um den Belauer See eher den Bearbeitungsstand wider als ein tatsächliches Siedlungsbild: nördlich der Bornhöveder Seenkette gibt es kaum Fundstellen, während die Sandflächen im Süden eine hohe Fundstellendichte (v. a. der Älteren Bronzezeit) aufweisen (Wiethold 1997, 259). Im Rahmen der Mesoebene beschäftigt sich die Untersuchung mit Transformationsprozessen in Schleswig-Holstein, die sich entsprechend auf Daten stützt, die im Rahmen der archäologischen Landesaufnahme und diversen Einzelstudien erhoben wurden. Die Daten der archäologischen Landesaufnahme basieren dabei auf unterschiedlichen Quellen (Privatsammler; Ausgrabungen usw.) und liegen als Zettelkatalog (mittlerweile in gescannter Form) vor. Die Bände von Aner und Kersten ab 1973 (bzw. Willroth ab 1995) zu Älterbronzezeitlichen Funden in Schleswig-Holstein, Dänemark und Niedersachsen liefern Darstellungen, die – in Ergänzung durch diverse Studien zur Jüngeren Bronzezeit (z. B. Schmidt 1993) – eine Basis umfangreicher Auseinandersetzungen bilden und damit das Quellenbild für einen Großteil Schleswig-Holsteins formieren. Bei der Verarbeitung dieser Daten fällt immer wieder auf, dass Ungleichgewichte hinsichtlich Fundverteilungen und Befundrepräsentativitäten vorherrschen. Lüth konnte zum Beispiel im Rahmen seiner Untersuchungen auf der Holsteinischen Seenplatte feststellen, dass es in der Älteren Bronzezeit Ungleichgewichte im Verhältnis von 9:1 von Gräbern zu Siedlungen (sowie deren Befunde) gibt. In der Jüngeren Bronzezeit verringerte sich das Verhältnis auf 3:1 (Lüth 2012, 74). Für die vorrömische Eisenzeit berufen sich viele Forschungen zudem lediglich auf Urnengräberfelder, die meistens nicht vollständig ausgegraben wurden. Auch das Gräberfeld von Mang de Barga wurde nicht lückenlos untersucht. Es müssen ca. weitere 100 Gräber vermutet werden, die dem Kiesabbau bereits zum Opfer fielen. Die eisenzeitliche Siedlung nordwestlich des Gräberfeldes wurde bisher auch nur oberflächlich untersucht. Des Weiteren liegen aus den wenigen Siedlungskontexten ganz Schleswig-Holsteins oft nur stark fragmentierte Keramikobjekte vor, während

aus Gräbern ganze Gefäße geborgen wurden. Dieses Problem ist auch aus dem dänischen Raum bekannt (Lolk 2009, 59). Diese ungleiche Verteilung ist nicht zuletzt dem Umstand geschuldet, dass zum Beispiel Grabhügel einfacher zu erkennen und aufzunehmen sind, während das Auffinden von Siedlungen oder Siedlungsbefunden eher dem Zufall überlassen ist. Für Schleswig-Holstein können lediglich acht älterbronzezeitliche Fundplätze mit mindestens einem Hausgrundriss gezählt werden. Eine Analyse der Besiedlungsaktivität im Arbeitsgebiet dieser Untersuchung ist dementsprechend nur unter Einschränkungen von Siedlungsbefunden möglich (siehe Kap. 9.3.4). Die Forschungen in Schleswig-Holstein beschränken sich meistens auf die Lokalisierung von Fundplätzen und ihrer Notbergung sofern dies ‚nötig‘ ist. Baumaßnahmen wie lineare Projekte werden nur bedingt begleitet – ganz im Kontrast zum Beispiel zu den denkmalpflegerischen Kontrollen solcher Projekte in Dänemark. Diese Entwicklung ist auch historisch bedingt (Steigerwald 2015). Dementsprechend liegen aus Dänemark repräsentativere Siedlungsdaten vor, auf die beispielsweise im Rahmen der Untersuchung auf Mesoebene Bezug genommen wird.

7. Chronologie der ‚Nordischen Bronzezeit‘

Dieses Kapitel beschäftigt sich mit der bronzezeitlichen Chronologie im Arbeitsgebiet und angrenzenden Regionen, um dieser Untersuchung eine chronologische Einteilung vorzugeben, auf die im weiteren Verlauf stets Bezug genommen wird (Abb. 4).

7.1. Forschungsgeschichte

Mit der Aufstellung des Dreiperiodensystems und dessen Einteilung anhand von zentralen Materialien in die Abschnitte Stein, Bronze und Eisen bereitete C. J. Thomsen (Thomsen 1836) die Grundlage für darauffolgende Auseinandersetzungen mit den entsprechenden Phasen und ließ weitere Unterteilungen der Materialphasen zu. Ungefähr zwanzig Jahre später stellte zuerst N. G. Bruzelius und dann auch J. J. A. Worsaae bei Erforschungen von Grabhügeln fest, dass sich Körper- und Brandbestattungen chronologisch trennen lassen (Bruzelius 1854, 339-357.; Worsaae 1859, 1-37). Schließlich teilte O. Montelius die Nordische Bronzezeit (anhand schwedischen Materials) in die Perioden I bis VI ein (Montelius 1885), die in den letzten über 130 Jahren zwar immer wieder hinterfragt und verfeinert wurden, aber dennoch bis heute benutzt werden. S. Müller versuchte 1909 diese Periodeneinteilung zu verfeinern und bildete 9 Stufen (Stufen 1-6 korrelieren mit den Per. I-III; Stufen 7-9 mit Per. IV-VI) anhand der Stile seines dänischen Fundmaterials (Müller 1909). Verwendet wurde und wird hingegen vornehmlich das Schema von Montelius. Während die Jüngere Bronzezeit vielfach Eingang in Untersuchungen fand (Baudou 1960, Menke 1972, Schmidt 1993), wurde die Ältere Bronzezeit eher vernachlässigt. Erste Fundaufnahmen bronzezeitlicher Funde Norddeutschlands wurden von Splieth, Rothmann und Mestorf ab 1885 durchgeführt (Mestorf 1885; Splieth 1900) und eine umfangreiche Aufnahme fand ab den 20er und 30er Jahren im Rahmen der Landesaufnahme durch Tode (1926) und die Aufnahmen durch Aner und Kersten nicht nur für Schleswig-Holstein, sondern auch für Dänemark und Niedersachsen, statt. Eine Auseinandersetzung mit dem älterbronzezeitlichen Material erfolgte jedoch seit 1936 nicht mehr für den Schleswig-Holsteinischen Raum (Kersten 1936). Das gleiche gilt für das dänische Material. Lediglich Vandkilde befasste sich 1996 mit dem Übergang vom Spätneolithikum zur Bronzezeit. Seitdem liegen auch ¹⁴C-Daten, sowie Dendrochronologie-Daten (z. B. Randsborg und Christensen 2006) vor, die sich in den letzten 30 Jahren vermehrt haben und nun eine gute Grundlage für diese Untersuchung liefern. Des Weiteren befassten sich Einzelstudien mit bronzezeitlichen Funden wie Textilien (Ehlers 1998), Goldfunden (Pahlow 2006), Depotfunden (Endrigkeit 2010) oder Vollgriffschwertern (Bunnefeld 2016).

7.2. Bronzezeitliche Chronologie im Arbeitsgebiet

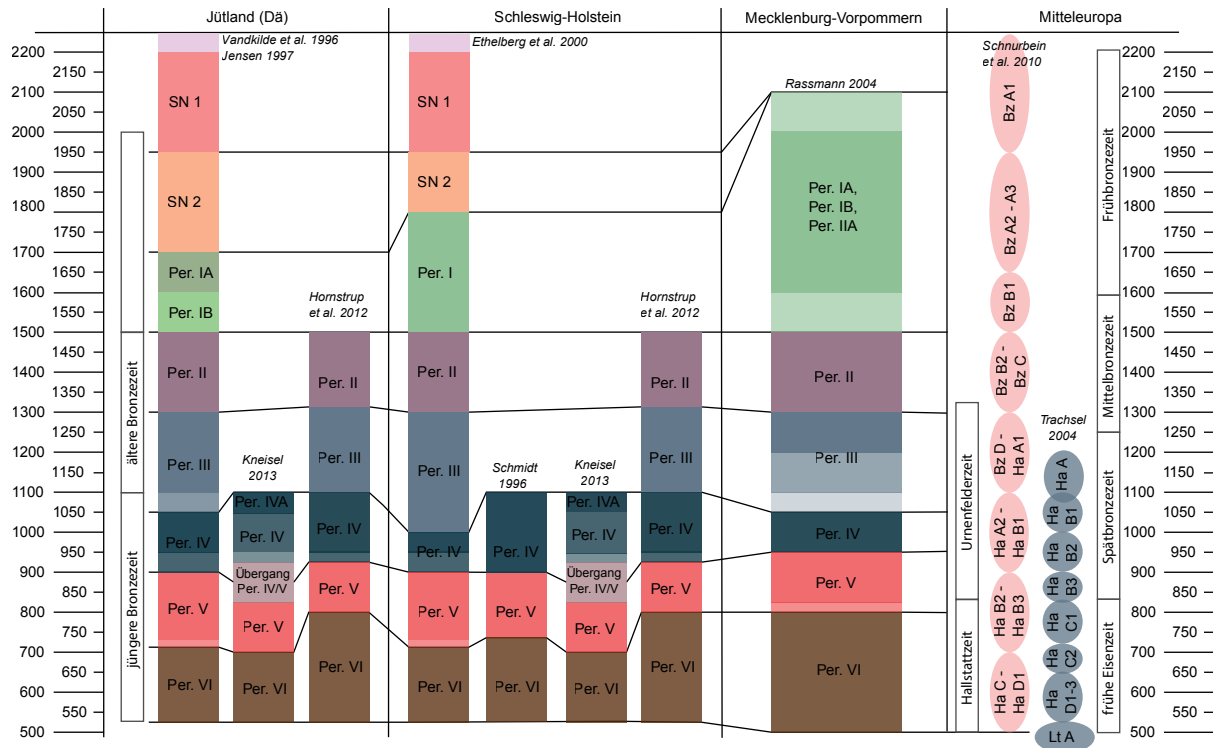
Die Chronologie der Schleswig-Holsteinischen Bronzezeit wurde durch die genannten Entwicklungen geformt und vor allem durch ¹⁴C-Datierungen der letzten 30 Jahre geprägt. Eine aktuelle Chronologie-Tabelle dient der Einordnung der schleswig-holsteinischen Chronologie zwischen die angrenzenden jütländischen und mecklenburg-vorpommerischen Zeitfolgen. Letzterer Chronologiebezug ist wichtig für den Transformationstransect des Teilprojektes. Ein Vergleich mit der mitteleuropäischen Datierung ist für überregionale Gegenüberstellungen entscheidend. Für den mitteleuropäischen Raum wurde auf die übersichtlichen Chronologien Schnurbein's *et al.* (2010) und Trachsel's (2004) Bezug genommen.

7.2.1. Mecklenburg-Vorpommern

Für die chronologische Abfolge der Perioden in Mecklenburg-Vorpommern wurde die Chronologie Rassmann's (2004) übernommen. Die Frühbronzezeit setzt er aus den Perioden IA, IB und IIA zusammen und basiert sowohl auf den Hortfunden, als auch auf neuen Radiokarbonaten. Die ¹⁴C-Daten basieren dabei auf den Fundorten Melz (Mecklenburg-Vorpommern), Leubingen (Thüringen) und Helmsdorf (Sachsen-Anhalt). Des Weiteren wurden Siedlungsdaten aus dem Voralpenraum zum Vergleich herangezogen, um die Frühbronzezeit im Norden schließlich auf 2100/2000 bis 1600/1500 v. Chr. datieren zu können (Rassmann 2004, 46). Die Folgeperioden IIB und IIIA zeichnen sich nach Rassmann in Mecklenburg-Vorpommern durch Hortfunde und eine Zunahme der Gräber aus. Des Weiteren weisen das Fundmaterial Importfunde aus dem Süden sowie einheimisches Bronzehandwerk auf, das Ähnlichkeiten zu skandinavischen Erzeugnissen zeigt. Den Beginn der Älteren Bronzezeit datiert Rassmann anhand von Daten aus den Seeufersiedlungen zwischen 1600 und 1500 v. Chr. Ab 1500 v. Chr. stehen jedoch keine Daten mehr zur Verfügung – es wird auf eine besiedlungsgeschichtliche Lücke geschlossen (Rassmann 2004, 46). Neue ¹⁴C-Daten aus Zahrendorf 18² und Warsaw 16³ (Mecklenburg-Vorpommern) zeigen jedoch auch nach 1500 v. Chr. weitere Aktivitäten. Bei Warsaw 16 handelt es sich um ein Totenhaus, das zwischen 1600 und 1450 v. Chr. datiert. Die Zahrendorfer Daten stammen aus zwei übereinanderliegenden Häusern, deren Datierung kritisch betrachtet werden muss, da sich Datierung und Stratigrafie widersprechen (Christmann und Selent 2014, 142). Rassmann schließt auf die Datierung von Periode IIB zwischen 1400 und 1300 v. Chr. und Periode IIIA ab 1300 v. Chr. – letztere Datierung beruht jedoch lediglich auf zwei Daten. Im Vergleich mit Südkandinavien legt er schließlich den Periodenabschnitt IIB zwischen 1500 und 1300 v. Chr. und Periode IIIA von 1300 bis 1200 v. Chr. fest (Rassmann 2004, 46). Der Übergang von Periode IIIA zu IIIB verläuft im Norden eher fließend (Vgl. Bsp. Hortfund von Neustrelitz, der Formen der Periode IIIA und Funde im Stil der Periode IIIB enthält). Für den Abschnitt IIIB datiert Rassmann, in Anlehnung an eine Korrelation nordischer und südmitteleuropäischer Chronologien anhand von Austauschfunden, zwischen 1200/1100 und 1050 v. Chr.. Das Ende der Periode IIIB wird anhand von Seeufersiedlungen in die Zeit von 1100 bis 830 v. Chr. datiert – dies entspricht den mitteleuropäischen Stufen Ha A2-Ha C.

2 Zahrendorf 18: Erl 17291: 3863±57 BP; KIA 48424a: 3365±25 BP; KIA 48423a: 3290±30 BP; KIA 48424b: 3280±30 BP; KIA 48423b: 3255±25 BP; KIA 48422a: 3190±25 BP; KIA 48422b: 3110±30 BP; Erl 17289: 3100±53 BP; Erl 17292: 3010±55 BP (Möllmann 2014, 109-112).

3 Warsaw 16: MAMS 13323: 3354±23 BP; MAMS 13324: 3338±22 BP; MAMS 13325: 3329±22 BP; beta 323540: 3180±30 BP (Christmann und Selent 2014, 141-144.).



Die Funde der Älteren Bronzezeit wurden von Schubart gegliedert und den Perioden nach Montelius zugeordnet (Schubart 1972). Diese Abfolge müsste noch mit den Hortfunden und absoluten Datierungen überprüft und ggf. neu gegliedert werden (Rassmann 2004, 47). Den Beginn der Periode IV setzt Rassmann mit der Stufe Ha A (A2) und der frühen Stufe Ha B (Ha B1) gleich. Dendrochronologische Datierungen weisen auf einen Zeitraum von 1050 bis 950 v. Chr. hin. Ein Beginn bereits um 1100 v. Chr. könne Rassmann zufolge jedoch bereits angenommen werden (Rassmann 2004, 47) (dieser Übergang wurde in der Tabelle heller markiert). Die Periode V parallelisiert Rassmann mit den Stufen Ha B2 bis B3 (vielleicht sogar bis Ha C). Seeufersiedlungen weisen auf eine absolute Datierung zwischen 950 und 830 v. Chr. hin. Der Beginn der Eisenzeit und damit auch der Übergang zu Periode VI kann nicht absolut festgelegt werden. Rassmann nimmt eine wagen Datierung zwischen 800 bis 500 v. Chr. (800/700-600/500 v. Chr.) vor, die aus einer Korrelation mit der süddeutschen Chronologie resultiert. Frühe Eisenfunde (z. B. Wendelringe) der Periode VI und auch bimetallische Objekte (v. a. aus Pommern) zeigen eine vielschichtige Entwicklung (Rassmann 2004, 48).

Abbildung 4: Chronologietabelle zur Bronzezeit in Norddeutschland im Vergleich zu Mitteleuropa und Südkandinavien.

7.2.2. Schleswig-Holstein & Jütland

Die Abfolge der Perioden verläuft in Schleswig-Holstein und Jütland relativ ähnlich – jedoch mit kleinen Abweichungen. Sie werden nun vergleichend zusammen behandelt, da sie des Öfteren auch als zusammenhängendes Gebiet in der Chronologieforschung betrachtet werden (Z. B.: Hornstrup et al. 2012; Vandkilde 2014). Des Weiteren zeigen beide Gebiete gemeinsame Unterschiede zu den soeben ausgeführten Entwicklungen in Mecklenburg-Vorpommern.

Um 2000 v. Chr. setzt sich in Nordeuropa das Metall während des Spätneolithikums I durch. Vandkilde datiert diese Phase auf 2350 bis 1950 v. Chr., die sich durch Mehrfach-Horte mit Flintdolchen der Typen I-III auszeichnet und mit der mitteleuropäischen Bz AI-Phase einhergeht. In Schleswig-Holstein und Jütland halten

während dieser Zeit noch soziokulturelle Bindungen an westeuropäische Glockenbecher an. Das anschließende Spätneolithikum II entspricht der Entstehung einer lokalen Metallproduktion im Norden und Süden Südkanindiens. Im Zuge dessen treten sowohl Fischschwanzdolche in Erscheinung (teilweise schon in SN I), sowie die metallenen dreieckigen Dolche der Aunjetitzer Kultur. Vandkilde datiert diesen Zeitabschnitt zwischen 1950 und 1700 v. Chr. und dies entspricht der mitteleuropäischen Phase Bz A2 (Vgl. Łęki Małe) (Vandkilde 2014, 56ff.). Ethelberg *et al.* datieren das Spätneolithikum II für Schleswig-Holstein lediglich bis 1800 v. Chr., da die Bronzezeit hier durch Einflüsse des Sögel-Wohlde-Kreises bereits etwas früher einsetze (Ethelberg *et al.* 2000, 142f.). In Schleswig-Holstein setzt die Periode I demnach bereits um 1800 ein, während für Jütland eine Zweiteilung der Periode I erfolgt, mit der Periode IA zwischen 1700 und 1600 v. Chr. anhand von Speerspitzen aus Silex und Bronze sowie Randleistenbeilformen. Diese Periodenphase kann mit der mitteleuropäischen Stufe Bz A2b vergleichen werden. Mit dem zweiten Teil der Periode IB zwischen 1600 und 1500 v. Chr. setzt sich in Skandinavien eine elaborierte Metallverarbeitung durch. Seeufersiedlungen liefern außerdem entsprechende Dendrodaten, die mit der Stufe Bz B1 parallelisiert werden können. Schaftlochäxte, die normalerweise aus Stein hergestellt wurden, werden nun ab 1600 v. Chr. in Bronze gegossen und es findet eine Wechselwirkung von Schwertern und Dolchen aus Feuerstein und Bronze statt, während ein Trend zur Bronzeverwendung immer mehr zunimmt. Erste zwei- und dreischiffige Häuser sind für das Ende der Periode I sehr wahrscheinlich (Vandkilde 2014, 61ff.). Um 1500 v. Chr. treffen sich die Datierungsansätze Jütlands und Schleswig-Holsteins wieder, denn bis zu diesem Zeitpunkt standen kaum noch Daten zur Verfügung – es scheint eine Siedlungslücke gegeben zu haben. Grabhügel nehmen ab 1500 v. Chr. zu. Vandkilde datiert den Beginn der Periode II ab 1500 v. Chr. und zieht dazu vor allem ¹⁴C-Datierungen von Siedlungen und Gräbern heran (Vandkilde 1996, 171ff.). Letztere lieferten auch Datierungen von Eichensärgen (Vandkilde 1996, 174). Die Periode II datiert sie damit für Jütland und Schleswig-Holstein zwischen 1500 und 1300 v. Chr. Neue ¹⁴C-Datierungen ließen insbesondere das Ende der Periode II weiter schärfen. Olsen *et al.* (2011) und Hornstrup *et al.* (2012) datieren auf Basis neuer absoluter Daten den jütländischen Teil bis 1330 v. Chr. (= Br B - C in Zentraleuropa) (Olsen *et al.* 2011, 271f.; Hornstrup *et al.* 2012, 11). Der Übergang zur Periode III scheint fließend und kann sich nach dem Modell von Olsen *et al.* (2011, 271) und Hornstrup *et al.* (2012, 21) zwischen 1360 und 1290 v. Chr. vollzogen haben. Randsborg empfiehlt anhand von dendrochronologischen Daten einen überlappenden Übergang von Periode II zu III hingegen zwischen 1344 und 1319 v. Chr. (Randsborg und Christensen 2006, 6). An diesem Periodenübergang kommt es auch zur Einflussnahme durch das Urnenfelderphänomen und damit auch zum Übergang von der Körper- zur Brandbestattung (in Mitteleuropa Bz D – Ha A1). Diese Periode ist zudem geprägt von der Zunahme von Hortfunden und Gräbern. Des Weiteren finden Miniaturschwerter Eingang in Gräber Südkanindiens. Neben einem einheimischen Bronzehandwerk gibt es auch Importfunde aus dem Süden (Notroff 2012, 48ff.). Dieser Periodenübergang steht u. a. im Zentrum der vorliegenden Untersuchung und wird anhand neuer Datierungen und der Auswertung eines Gräberfeldes ganz besonders in den Fokus genommen. Das Ende der Periode III kann anhand absoluter Datierungen von Gräbern nach Olsen *et al.* (2011), Hornstrup *et al.* (2012) und Kneisel (2013b) um 1100 v. Chr. angesetzt werden. Ethelberg *et al.* (2000) datieren die Periode III in Schleswig-Holstein hingegen bis 1000 v. Chr. und postuliert, dass die Periode IV von 1000 bis 950/900 v. Chr. zu datieren ist. Auch Schmidt (1993) datieren die Periode IV bis 900 v. Chr., ließ sie aber bereits um 1100 v. Chr. beginnen. Dabei bezieht er sich auf ¹⁴C-Datierungen aus dem dänischen und niedersächsischen Raum sowie süddeutsche und schweizerische Zeitansätze (Schmidt 1993, 118f.). Die Periode IV zeichnet sich im Allgemeinen durch eher sparsam ausgestattete Gräber

aus. Metallfunde liegen zu dieser Zeit eher aus Hortfunden vor. Des Weiteren zeigt dieser Zeitabschnitt regionale Variationen (Baudou 1960, 110). Nach den absoluten Datierungen von Hornstrup *et al.* (2012, 11) dauerte Periode IV sowohl in Jütland, als auch in Schleswig-Holstein bis 950/920 v. Chr. an, während Kneisel (2013b, 109) eine Unterteilung in IV A zwischen 1100-1050 v. Chr. als Übergangsphase mit einer anschließenden sicheren Periode IV von 1050 bis 950/920 v. Chr. vornimmt. Daran schließt nach Kneisel eine erneute Phase von 950/920 bis 820 v. Chr. mit Übergang zu Periode V an. Sie geht davon aus, dass der Übergang zur Periode V eher allmählich stattfindet und untermauert dies mit einer vierfachen Abstufung anhand von Ähnlichkeiten und Häufigkeiten von Artefaktgruppen in Grabkontexten. Eine absolute Datierung ist aufgrund des Hallstattplateaus an diesem Periodenübergang oft mit Schwierigkeiten verbunden (Kneisel 2013b, 107ff.). Mit derselben Vorgehensweise konnte Kneisel die Periode V in Jütland und Schleswig-Holstein zwischen 950/920-820 (=Übergang) und 700 v. Chr. einordnen (Kneisel 2013b, 109). Den ¹⁴C-Datierungen nach Olsen *et al.* (2011) sowie Hornstrup *et al.* (2012) zufolge höre die Periode V hingegen etwas früher auf und datiere von 950/920 bis 800 v. Chr. und verlaufe damit parallel zu Ha B2-B3. Die Periode VI wird von den genannten Autoren in Jütland und Schleswig-Holstein bis 530/500 v. Chr. datiert (= Ha C-D1/(D2)) und geht dann in die frühe vorrömische Eisenzeit über (Vgl. Schmidt 1993; Vandkilde 1996; Jensen 1997; Ethelberg *et al.* 2000, 143; Olsen *et al.* 2011, 269; Hornstrup *et al.* 2012, 11; Kneisel 2013b, 109). Dieser Übergang ist aufgrund fehlender Daten aus der jüngsten Bronzezeit und frühesten Eisenzeit nicht ganz eindeutig.

7.3. Eisenzeit

Auch die Forschungen zur Eisenzeit in Schleswig-Holstein haben ihren Ursprung in den Untersuchungen von J. Mestorf im 19. Jahrhundert (siehe oben). Danach beschäftigte sich Schwantes (1911, 1935, 1952) mit der regionalen Entwicklung der vorrömischen Eisenzeit und unterschied die Stufen Jastorf, Ripdorf und Seedorf. Die Forschungen von Hingst (1959; 1974; 1980; 1983; 1986; 1989) wurden für den Schleswig-Holsteinischen Raum schließlich richtungsweisend, da er anhand verschiedener Gräberfelder eine Chronologie für die ältere und jüngere vorrömische Eisenzeit auf Basis der Metall- und Keramikformen entwickelte. Auf seine Chronologie wird in der vorliegenden Arbeit entsprechend Bezug genommen, da sie auf mehr oder weniger verlässlichen Verknüpfungen geschlossener Funde beruht. Eine neue Auseinandersetzung zum Übergang von der Bronze- zur Eisenzeit anhand der Funde liefert Kneisel (2021). Für den dänischen Raum ist die Einteilung der Eisenzeit nach Jensen (2005) relevant und für Mecklenburg-Vorpommern liegt eine Chronologie nach Keiling (1969) vor.

8. Mikroebene: Transformationsprozesse am Fundplatz von Mang de Barga

8.1. Forschungsgeschichte und Stand der Forschung

8.1.1. Grabhügelfeld

Das Grabhügelfeld ‚Mang de Barga‘ (oder auch ‚Mank den Barga‘ genannt) (Schwerin von Krosigk 1976, 106) befindet sich ungefähr 2 km östlich von Bornhöved im Kreis Segeberg. Der Fundort liegt dabei zwischen dem Grimmelsberg im Südosten und der Bornhöveder Seenkette im Nordwesten (Abb. 1). Die Grabhügel liegen am nordwestlichen Fuße der bis zu 83 m hohen Grimmelsbergerhebung, die durch mehrere Bergkuppen gegliedert ist. Es handelt sich dabei um eine Endmoräne der letzten Vergletscherung, wie bereits eingangs dargestellt wurde (siehe *Arbeitsgebiet*). Im Bereich des Bestattungsortes werden noch Höhen von 50 - 55 m über dem Meeresspiegel erreicht. Im Nordwesten sinkt das Gelände bis auf 30 m ü. NN bis zu den Seen ab. Der Untergrund besteht hauptsächlich aus sandig-kiesigem Material und wird durch Lehmlinsen ergänzt. Für den Bau der Grabhügel, die heute in unterschiedlichem Maße im Gelände erhalten sind, wurden oft natürliche Anhöhen genutzt. Die Hügel wurden bereits in den 1960er Jahren im Rahmen der archäologischen Landesaufnahme dargestellt. Das Gräberfeld bildet eine der um die zwanzig Grabhügelgruppen, die sich entlang des Endmoränenzuges anordnen. Von H. Schwerin von Krosigk wurden die Grabhügel 1976 als Grabhügelgruppe ‚K‘ kartiert, aber nur teilweise näher beschrieben. Dabei wurden 23 Grabhügel und ein Langbett für dieses Gräberfeld hinsichtlich obertägig sichtbarer Erhaltung, Ausmaße und Höhe aufgenommen (Schwerin von Krosigk 1976, 106-108). Nach ersten Voruntersuchungen durch Ingo Clausen⁴ 2004 begannen die Hauptuntersuchungen unter der Leitung von Ingo Lütjens⁵ im Jahr 2005. Dabei wurden die Grabhügel LA 17, 18, 20, 58, 59 und 60 ausgegraben. Bei dem Rundhügel LA 22 wurden lediglich nur noch Reste einer Hügelerschüttung, jedoch kein zugehöriges Grab gefunden. Bei LA 20 lagen nur noch Reste menschlicher Aktivitäten und keine Hinweise auf einen Grabhügel vor. 2014 wurden die Arbeiten anlässlich eines geplanten Kiesabbauvorhabens fortgesetzt und es wurden die Grabhügel LA 23, 63-66, 68-69 sowie

4 Außenstelle Neumünster des Archäologischen Landesamtes.

5 Außenstelle Neumünster des Archäologischen Landesamtes.

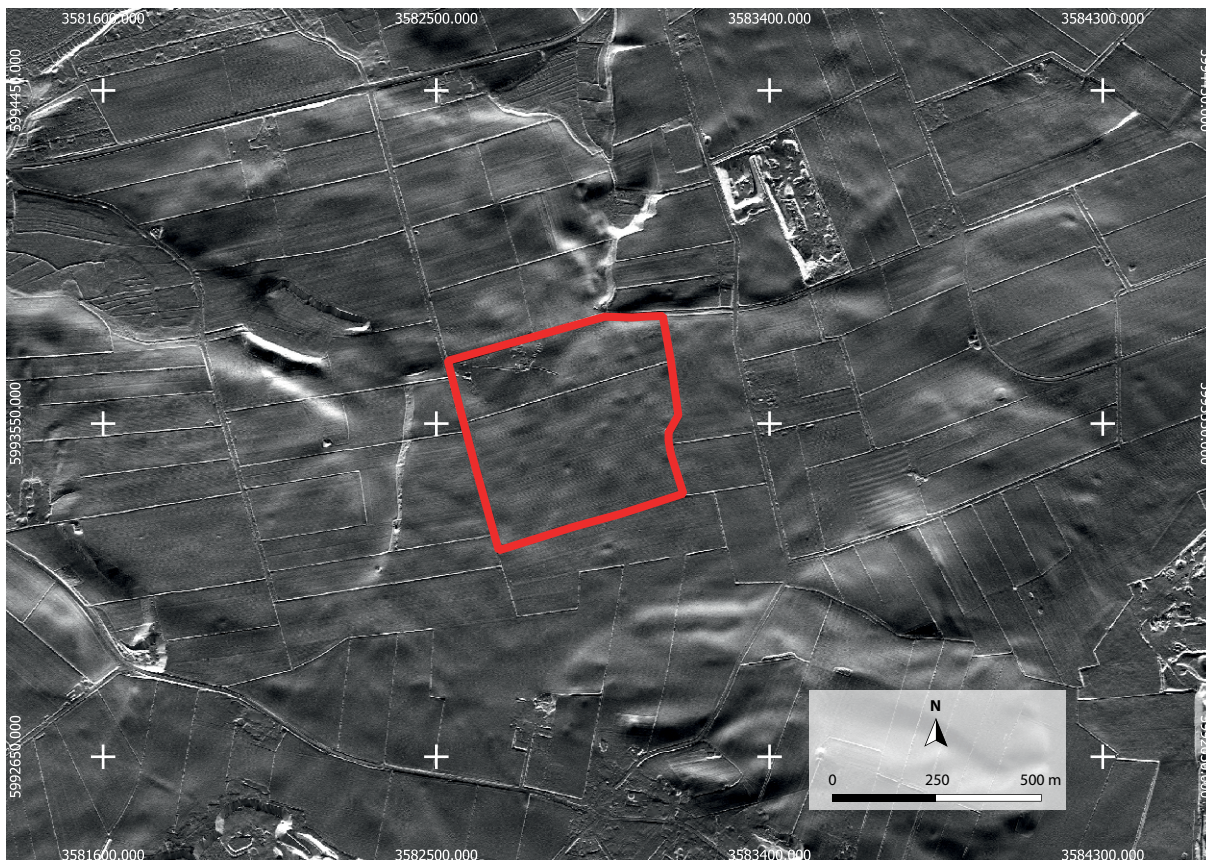


Abbildung 5: Lidarscan vom Fundplatz von Mang de Borgen, Bornhöved (Kr. Segeberg).

das Urnengräberfeld LA 115 und ein Areal mit Siedlungsspuren LA 116 unter der Leitung von Ingo Clausen (mit Siegmund Burkhardt als Techniker) durchgeführt. Das Urnengräberfeld schloss auch die Untersuchung der Grabhügel LA 21 und 24 ein, bei denen keine Hügelschüttung mehr nachgewiesen werden konnte. Der gesamte Fundplatz zeigt Aktivitäten vom Spätneolithikum bis in die vorrömische Eisenzeit. Zwei Grabhügel in Knicksituationen (LA 25, LA 61 und LA 67) wurden bisher noch nicht ausgegraben. Der Grabhügel LA 61 ist bereits stark gestört. Der Bereich um das Langbett LA 62 war beim Eintreffen der Archäologen tiefgründig zerstört, sodass ein Grab an dieser Stelle nicht mehr nachweisbar war.⁶ Im Rahmen dieser Arbeit wurden 2017 zudem der Grabhügel LA 57 sowie zwei weitere Flächen auf dem Gräberfeld untersucht (siehe unten). Parallel zu den ersten archäologischen Untersuchungen im Jahr 2005 führte das Ökologie-Zentrum der CAU Kiel außerdem Untersuchungen an den Böden und Kolluvialschichten rund um die Grabhügel durch, um Landöffnungs-Hypothesen anhand der Kolluvienbildung zu testen (Dreibroth *et al.* 2009, 481-491). Dazu wurden sechs Schnitte von drei Metern Tiefe und bis zu 200 Metern Länge ausgehoben, deren Profile hinsichtlich Kolluvialschichten und Bodenhorizonten untersucht wurden. Die Schnitte befinden sich dabei auch zwischen den Grabhügeln, die sich auf natürlichen Anhöhen befanden (Abb. 5-6).

Dabei wurden vier abgelagerte Kolluvialschichten in Senken entdeckt. Bei der Annäherung an die Hügel erodieren diese Bodenhorizonte und verschwinden allmählich. Die Untersuchungen zeigen für das Areal Hinweise auf eine Landöffnung und erste eindeutig beweisbare landwirtschaftliche Nutzungen des Bodens im frühen Spätneolithikum (um 2200 bis 2400 cal. BCE), die ein Herabrinnen von Bodenschichten in Vertiefungen bedingten. Für die Bronzezeit, in der die vier um diese

⁶ Freundliche Mitteilung von Ingo Lütjens am 8.2.2018.

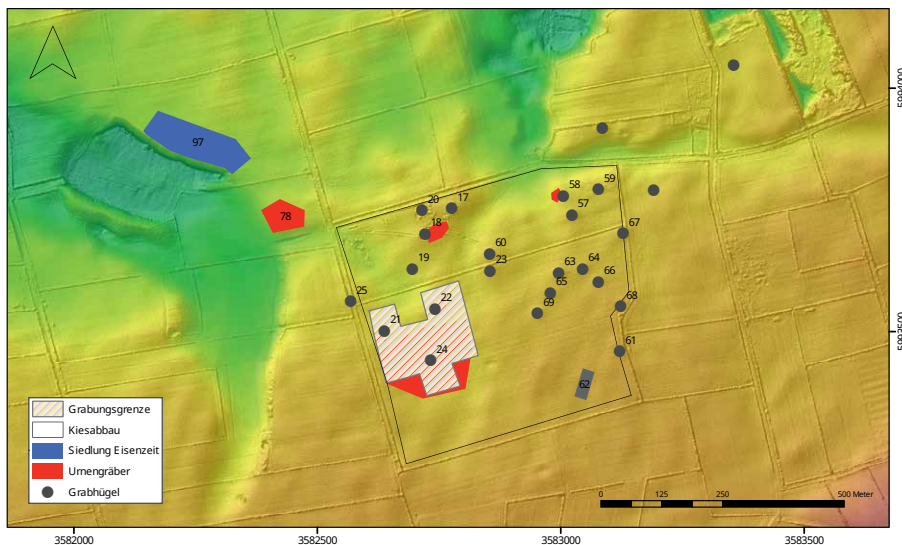


Abbildung 6: Fundplatz von Mang de Barga [nach Lütjens 2014a, nach DGM2 ©GeoBasis-DE/LVermGeoSH].

Schnitte umliegenden Grabhügel genutzt wurden, konnte keine Kolluvialschicht entdeckt werden. In dieser Zeit scheinen die Rodungsprozesse auf kleine Gebiete beschränkt gewesen zu sein – wahrscheinlich auf die Hügelkuppen, um den Bau der Grabhügel zu ermöglichen. Einige Vertiefungen könnten von der Materialentnahme für den Hügelbau stammen, die Bodenoberfläche blieb jedoch weitestgehend von Bodenablösungen verschont. Es scheint eine schnelle Stabilisierung der Bodenoberfläche an der Stelle stattgefunden zu haben (Dreibroth *et al.* 2009, 494). Entweder wurden die Böden geschont genutzt, sodass die Vegetationsdecke geschützt und erhalten wurde, um die vermutliche Landschaftsoffenheit zu realisieren, oder das Einzugsgebiet wurde bewaldet (Dreibroth *et al.* 2009, 495f.). Erst mit der römischen Kaiserzeit zeigen sich starke Ablagerungen von Kolluvien (Dreibroth *et al.* 2009, 494). Die Abbildung 6 zeigt die Verteilung der Grabhügel und Urnengräber am Fundplatz.

In 750 m Luftlinie in Richtung NNW des Fundplatzes befinden sich zudem Siedlungsbefunde der Eisenzeit (LA 97). Des Weiteren wurden in direkter Nachbarschaft dazu, circa 450 m NNW des Fundplatzes ein kleines Brandgräberfeld der jüngeren Bronzezeit/vorrömischen Eisenzeit entdeckt (LA 78). Die folgende Tabelle zeigt die Forschungen am Fundplatz in übersichtlicher Form:

Damit wurde der Fundplatz umfassend erforscht. Im Rahmen der Untersuchungen von LA 18 und LA 58 konnten mehrere Brandbestattungen (Urnengräber und Leichenbrandschüttungsgräber⁷) im unmittelbaren Umfeld des jeweiligen Hügels gefunden werden. Die maximale Ausdehnung der Brandgräber konnte mit den Ausgrabungsschnitten, die mit dem Pächter und Besitzer des Landes vorab festgelegt worden waren, nicht erfasst werden. Es muss also mit noch mehr Brandgräbern in den entsprechenden Arealen gerechnet werden. Zumindest müsste das Kiesabbauvorhaben an diesen Stellen intensiv begleitet werden.

7 Bei Leichenbrandschüttungsgräbern handelt es sich um eine Bestattungsform bei der der Leichenbrand ohne Behälter auf bzw. in einer Steinpackung verstreut wurde. Diese Steinpackungen können rundlich oder auch länglich geformt worden sein (Schmidt 1993, 12f.).

LA (SH-Nummer)	Befund	Jahr
17 (2008-426)	Grabhügel	2005
18 (2008-427)	Grabhügel	2005
20 (2008-428)	Grabhügel ?	2005
21 (2014-676)	Befand sich unter LA 115, keine Hügelschüttung mehr nachweisbar	2014
22 (2014-677)	Grabhügel, Reste einer Hügelschüttung vorhanden, jedoch kein Grab mehr nachweisbar	2005
23 (2014-241)	Grabhügel	2014
24 (2014-678)	Befand sich unter LA 115, keine Hügelschüttung mehr nachweisbar	2014
25	Grabhügel in Knicklage	
57 (2017-99)	Grabhügel	2017
58 (2008-429)	Grabhügel	2005
59 (2008-430)	Grabhügel	2005
60 (2008-431)	Grabhügel	2005
61	Grabhügel, Knicklage, zusätzlich stark gestört	
62	Langbett, Tiefgründig gestört	
63 (2014-346)	Grabhügel	2014
64 (2014-351)	Grabhügel	2014
65 (2014-470)	Grabhügel ?	2014
66 (2014-471)	Grabhügel ?	2014
67	Grabhügel in Knicklage	
68 (2014-679)	Grabhügel ?	2014
69 (2014-472)	Grabhügel	2014
115 (2014-111)	Urnengräberfeld	2014
116 (2014-473)	Siedlungsbefunde	2014

Tabelle 1: Überblick über Forschungen am Fundplatz von Mang de Bargaen.

8.1.2. Pollenprofile

Der Fundplatz von Mang de Bargaen liegt unweit von zwei Pollenansammlungsbereichen entfernt, die für palynologische Analysen herangezogen wurden. In maximal 500 Metern Luftlinie zum Gräberfeld befindet sich ein Torfloch, das Aussagen zur lokalen Landschaftsentwicklung ermöglicht. Des Weiteren steht ein Pollenprofil vom Belauer See zur Verfügung, der in ungefähr 3,75 Kilometern Luftlinie vom Fundplatz von Mang de Bargaen entfernt liegt (Abb. 7).

8.1.2.1. Belauer See

Der Belauer See ist der zweitgrößte und tiefste See (29 m ü. NN) der bereits vorgestellten Bornhöveder Seenkette. Er hat dabei eine Länge von 2,23 km und eine maximale Breite von 0,75 km und erreicht somit eine freie Wasserfläche von ungefähr 1,133 km² sowie ein Wasservolumen von 10,179 Mio. m³. Die geomorphologischen Attribute der Seenkette und deren Umgebung wurden oben bereits aufgeführt (siehe *Arbeitsgebiet*). Das unmittelbare Einzugsgebiet des eutrophen Sees (dimiktisch-holmiktischer Seentypus) beläuft sich auf 4,35 km², während das Gesamteinzugsgebiet (also zusammen mit Bornhöveder See und Schmalensee) einen Umkreis von 26,43 km² umfasst (Wiethold 1997, 21). Seit den 80er/90er Jahren steht die Bornhöveder Seenkette im Mittelpunkt lokaler Forschungstätigkeiten, wie im BMFT-Projekt ‚Ökosystemforschung Bornhöveder Seenkette‘ (1988-1995) und im DFG-Projekt ‚Neolithisierung in Schleswig-Holstein‘. Die Rekonstruktion der Vegetations- und Besiedlungsgeschichte der Bornhöveder Seenkette war dabei eines der wichtigen Ziele der Untersuchungen (Wiethold 1997, 55).

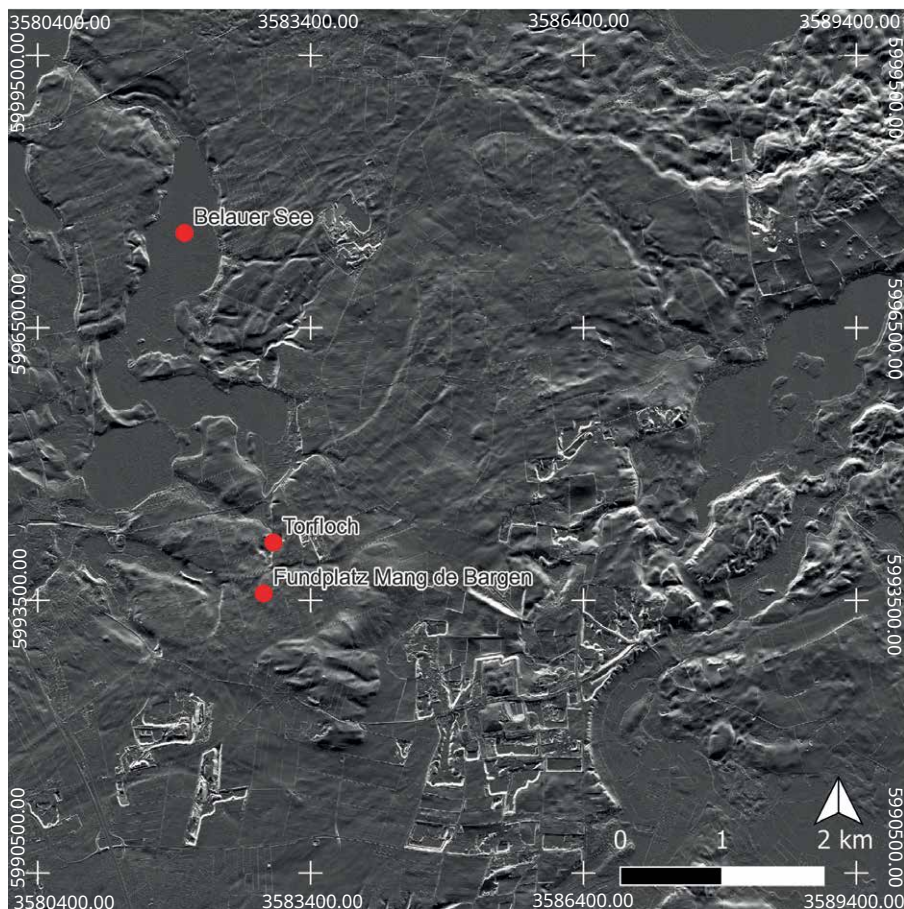


Abbildung 7: Lokalisierung des Fundplatzes und der Pollenansammlungsbereiche (Belauer See; Torfloch).

Die ersten Bohrungen im Belauer See erfolgten 1991 und wurden interdisziplinär ausgewertet (Isotopenanalysen, ^{14}C -Datierungen, pH-Wert-Analysen, paläofaunistische Untersuchungen usw.) (Wiethold 1997, 56). Für die Bohrpunkte wurde ein West-Ost orientierter Transekt vom Westufer bis zur Seemitte (tiefster Punkt des Sees) angelegt. Mehrere, sich überlappende Bohrungen wurden durchgeführt und ermöglichten ein lückenloses Idealprofil mit jahreszeitlich geschichteten (lamierten) Sedimenten, das für paläo-ökologische Untersuchungen herangezogen werden kann. Die Schichtung von Kalkmudde begünstigt dabei eine datierbare Abfolge (Warvenchronologie), die für die Verknüpfung mit archäologischen Ereignissen besonders wichtig ist (Wiethold 1997, 57ff.). Das Profil wird dabei in lokale Pollenzonen (pollen-assemblage-zones = PAZ) gegliedert, die dann mit archäologisch-historischen Perioden verglichen werden können (Wiethold 1997, 112). Erste archäologisch-ökologische Vergleiche anhand des Pollenprofils wurden von Wiethold (1997) unternommen. Unter anderem wurde das Pollenprofil im Rahmen des SFB 1266 weitergehend und im Detail auch für die Bronzezeit – insbesondere hinsichtlich einer genaueren Datierung – untersucht (Teilprojekt F2) (Dörfler *et al.* 2012, 1413-1426), sodass die Pollendaten für einen zuverlässigen Vergleich absolut datierbarer archäologischer Ereignisse herangezogen werden können. Das Einzugsgebiet des Belauer Sees wurden auch hinsichtlich der Landnutzung und Erosionen anhand von Sedimenten und Bodenbildungsprozessen untersucht, die im Vergleich mit archäologischen Daten wichtige Hinweise liefern (Dreibrodt und Wiethold 2015, 296-322). Das Pollenprofil des Belauer Sees wird in dieser Arbeit v. a. im Vergleich mit den quantitativen Daten der Mesoebene (siehe Kap. 9) herangezogen. Für den Fundplatz von Mang de Barga ist das Pollenprofil aus dem angrenzenden Gewässer (Torfloch) ausschlaggebend.

8.1.2.2. Torfloch am Fundplatz von Mang de Bargaen

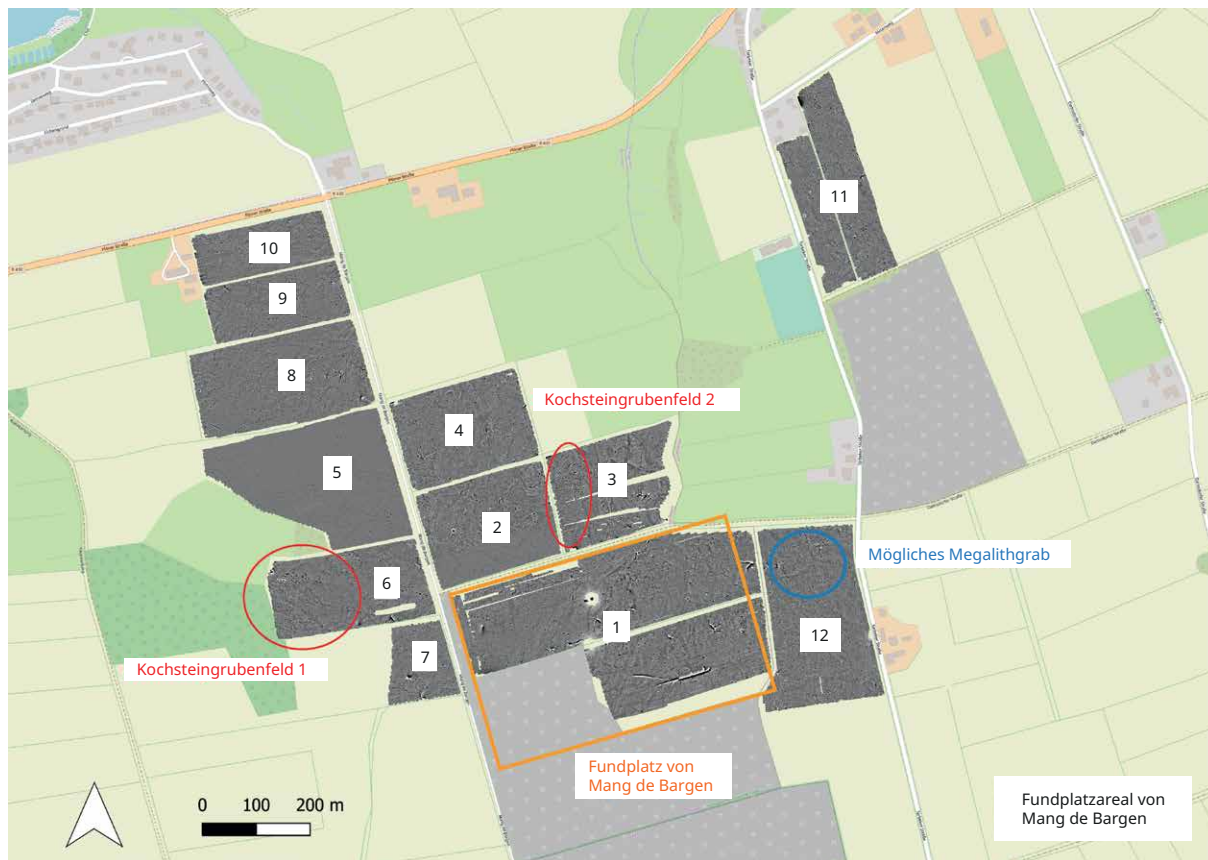
In maximal 500 Metern Entfernung (Luftlinie) vom Fundplatz befindet sich ein Torfloch, aus dem im Jahr 2018 ein Pollenprofil durch das F2-Teilprojekt des SFB untersucht wurde. Es spiegelt die lokale Pollenansammlung wider und lässt somit Aussagen zur Umweltentwicklung während der Gräberfeldnutzung zu, um somit entsprechende Verknüpfungen von Umwelt- und Gesellschaftstransformationen feststellen zu können. Die Entwicklungen lassen sich anhand einzelner Sedimentschichten aufzeigen, die Pollenkonzentrationen erkennen lassen und mit Zeitphasen korreliert werden können (Vgl. Kap. 8.9). Das Pollenprofil aus dem Torfloch wird für den Vergleich ökologischer und archäologischer Daten vom Fundplatz von Mang de Bargaen herangezogen, da es die lokale Pollenzusammensetzung widerspiegelt und somit genauere Aussagen auf lokaler Ebene zulässt.

8.2. Neue Feldforschungen

Die Feldforschungen, die in Ergänzung zu den o. g. Untersuchungen unternommen wurden, dienten der Vervollständigung der Forschungen auf dem Gräberfeld von Mang de Bargaen und der unmittelbaren Umgebung. Es wurden zunächst nicht-zerstörerische Untersuchungsmethoden angewandt (Magnetische Prospektionen, Radar, Oberflächenbegehungen). Im Nachgang folgten Testgrabungen und eine umfangreiche Ausgrabung, um das Gräberfeld von Mang de Bargaen abschließen zu können, sowie datierbares Material aus weiteren umliegenden Befunden zu gewinnen. Die Forschungstätigkeiten werden im Folgenden zusammengefasst. Die Testgrabungen und die Ausgrabung werden hier nur kurz beschrieben und in den folgenden Kapiteln im Rahmen der Befund- und Fundanalyse im Detail dargestellt.

8.2.1. Geomagnetik

Anhand geomagnetischer Messungen lassen sich Störungen des Erdmagnetfeldes feststellen, die verschiedene Ursachen im Untergrund haben können. Charakteristische Anordnungen in Kombination mit eher geringen Nanotesla-Werten (zwischen 5 und 20 nT) können archäologische Befunde vermuten lassen. Meistens lässt erst die archäologische Untersuchung (Ausgrabung) schließlich Aussagen über den Befund und seine Zusammensetzung zu. Mit dem Beginn des Dissertationsprojektes wurden das Gräberfeldareal sowie nördlich daran angrenzende Felder magnetisch prospektiert (November/Dezember 2016, Januar-März 2017). Das Ziel dieser Untersuchungen war es, die nähere Umgebung des Hauptfundplatzes dieser Arbeit zu beleuchten, um weitere menschliche Aktivitäten, die in den gleichen Zeithorizont des Gräberfeldes datieren, in die Fundplatzanalyse mit einzubeziehen. Dazu wurde ein Sensys 8-Sonden-Magnetikgerät (mit Leica-Basis und -Rover) verwendet. Die Messungen wurden als Lehrveranstaltung angeboten und zusammen mit Studierenden durchgeführt. Der für die Messungen nötige Basispunkt wurde mit einem DGPS-Gerät (*Stonex*) eingemessen und die Datenmessung erfolgte im Universal Transverse Mercator-Koordinatensystem (UTM). Somit wurde die Basis über einem bekannten Punkt stationiert, um mögliche Abweichungen der Messung zu verhindern. Über eine Verbindung der Basis (feste Messstation) mit einem Rover (tragbares Messgerät), kennen die damit verbundenen Sonden ihre Position und die Messung magnetischer Widerstände kann mehr oder weniger exakt erfolgen. Wenige Zentimeter Abweichung müssen stets bedacht werden, während die Messungen im internen System (einzelne Messungen der Sonden untereinander) jedoch exakt sind. Die Laufrichtung orientierte sich dabei an den Fahrspuren der landwirtschaftlichen Fahrzeuge, die überwiegend West-Ost bzw. Ost-West orientiert sind. Auf drei Feldern



wurde die Laufrichtung den Fahrinnen in Nord-Süd/Süd-Nord-Richtung angepasst. Auf allen Feldern wurde mit Sondenabständen von 0,25 m gemessen.

Die Auswertung der Magnetikpläne für den verbleibenden Grabhügel (LA 57 – alle anderen wurden bereits vom Landesamt ausgegraben, s.o.) wurde teilweise durch den steinigen Untergrund beeinträchtigt. Eine mehr oder minder kreisförmige Struktur des Grabhügels kann lediglich gemutmaßt werden. Demzufolge wurden Georadarmessungen angewandt, die die Tiefe möglicher Befunde aufzeigen und eine Aussage hinsichtlich der Plausibilität archäologischer Befunde ermöglichen (Vgl. Dissertationsprojekt Diana Panning: Panning in prep.). Die geomagnetischen Untersuchungen erfolgten auf elf Feldern, die in Abbildung 8 gekennzeichnet sind. Auf Feld 6 – nordwestlich des Gräberfeldes – konnte eine weitläufige Gruppierung von ca. 250 Anomalien auf einem Areal von ungefähr 4300 Quadratmetern erfasst werden (Abb. 9). Es handelt sich dabei um punktförmige Anomalien, die zum Teil in Kreisen mit 6-8 Punktanomalien auftreten. Topographisch handelt es sich um einen natürlichen Abhang, der in einer Niederung ausläuft. Die Anomalien konzentrieren sich dabei auf den nordwestlichen Niederungsbereich und laufen nach Süden aus. Vergleichbare Punktanomalien sind von anderen Fundplätzen Norddeutschlands und Skandinaviens bekannt, bei denen es sich um Kochsteinsgruben handelt. Mithilfe von Testgrabungen konnten Kochsteingruben an dieser Stelle bestätigt werden (siehe unten). Des Weiteren wurde auf Feld 3 – unmittelbar auf dem nördlich an das Grabhügelareal angrenzende Feld – die gleiche punktförmige Anomalie, jedoch in Form einer mehr oder weniger gleichmäßigen Reihe, erkannt (Abb. 10). Die Anomalien befinden sich auf einem ebenmäßigen Gelände, das an einen Abhang mit vielen Bodenwellen angrenzt, der schließlich in eine Niederung – einem ehemaligen Bachbett der Schwentine – mündet.

Abbildung 8: Überblick über das Fundplatzareal von Mang de Barga (mit Nummerierung der Felder).

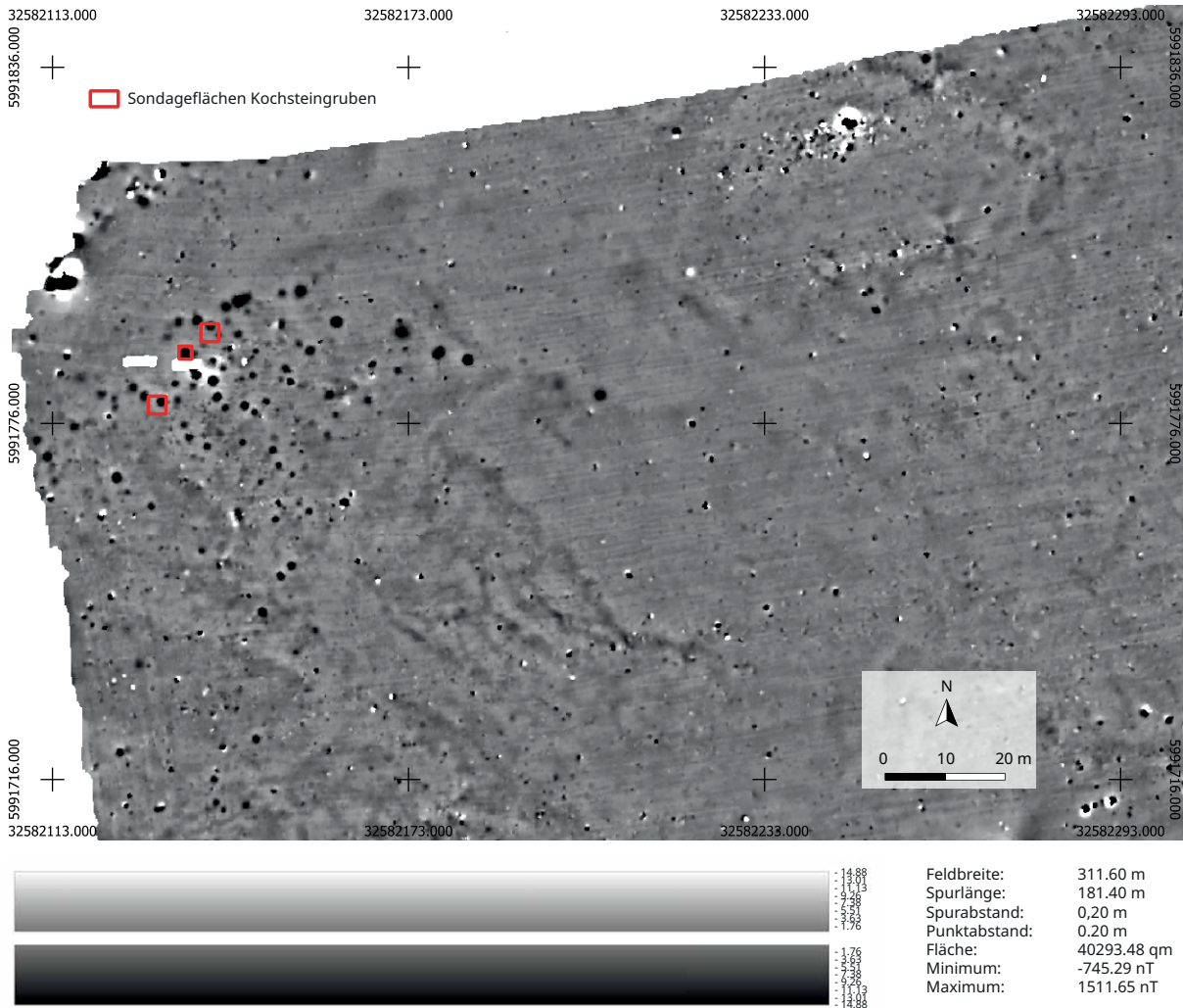


Abbildung 9: Geomagnetische Karte vom Kochsteingrubensfeld 1 mit den eingezeichneten Sondageflächen (2017-2018).

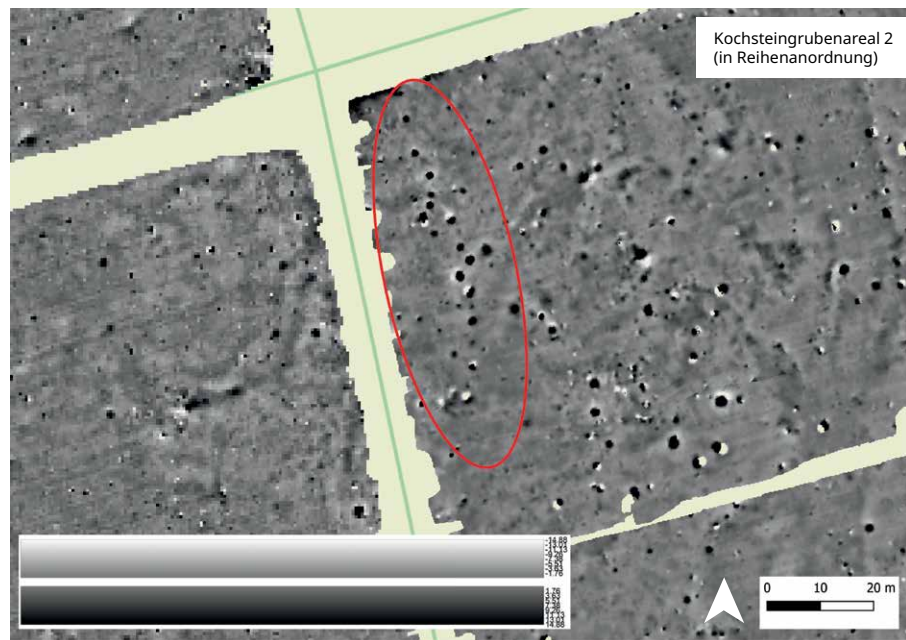


Abbildung 10: Geomagnetische Karte vom Kochsteingrubensfeld 2 nördlich des Gräberfeldes.



Östlich des Grabhügelfeldes grenzte ein Feld an (Nr. 12), auf dem sich ein weiterer Grabhügel befindet, sowie der Grabhügel LA 67 im Knick (Abb. 11). Im Magnetikbild ist der Grabhügel auf dem Feld nicht ganz so deutlich bzw. es scheint sich möglicherweise um ein Megalithgrab zu handeln, mit großen Ausschlägen von Steinen. Vereinzelt Anomalien könnten Kochsteingruben oder aber Siedlungsstrukturen sein. Letzteres müsste mithilfe von Testschnitten überprüft werden und verbleibt für diese Untersuchung zunächst als Mutmaßung.

Abbildung 11: Geomagnetische Karte von Feld 12 mit einem möglichen Megalithgrab im Norden der Fläche.

8.2.2. Oberflächenbegehungen

Parallel zu den Geomagnetischen Messungen erfolgten Oberflächenbegehungen, die die Verteilung von Oberflächenfunden und somit mögliche neue Fundstellenareale feststellen lassen. Dazu wurde die gleiche Laufrichtung – wie sie bei den magnetischen Messungen erfolgte – zum Ablaufen der Felder eingehalten. Die Begehungen wurden zusammen mit Studierenden vorgenommen. Die Funde wurden mit einem DGPS-Gerät eingemessen. Nicht alle magnetisch gemessenen Felder konnten auch begangen werden. Nur die Felder 2, 5-7 und 9-10 wurden oberflächlich hinsichtlich möglicher Funde untersucht. Es handelt sich um Funde aus den Materialien Flint, Keramik, Bronze, Eisen, Schlacke, Stein, Knochen und Brandlehm (Taf. 265). Die räumliche Verteilung im Areal kann der Abbildung 13 entnommen werden. Insgesamt wurden 240 Artefakte gefunden (Abb. 12). Funde von gebranntem Flint überwiegen mit 107 Funden. Darauf folgen Keramikfragmente mit 84 Funden und Abschlüge mit 76 Funden. Retuschierte Abschlüge kommen 23 Mal und Funde von Schlacke 17 Mal vor. Diverse Werkzeuge wie Kratzer wurden in 10 Fällen gefunden. Des Weiteren: 9 Klingenfragmente, 8 Klingen, 7 sonstige Funde, 4 vermutliche Abschlüge und 2 retuschierte Trümmer.

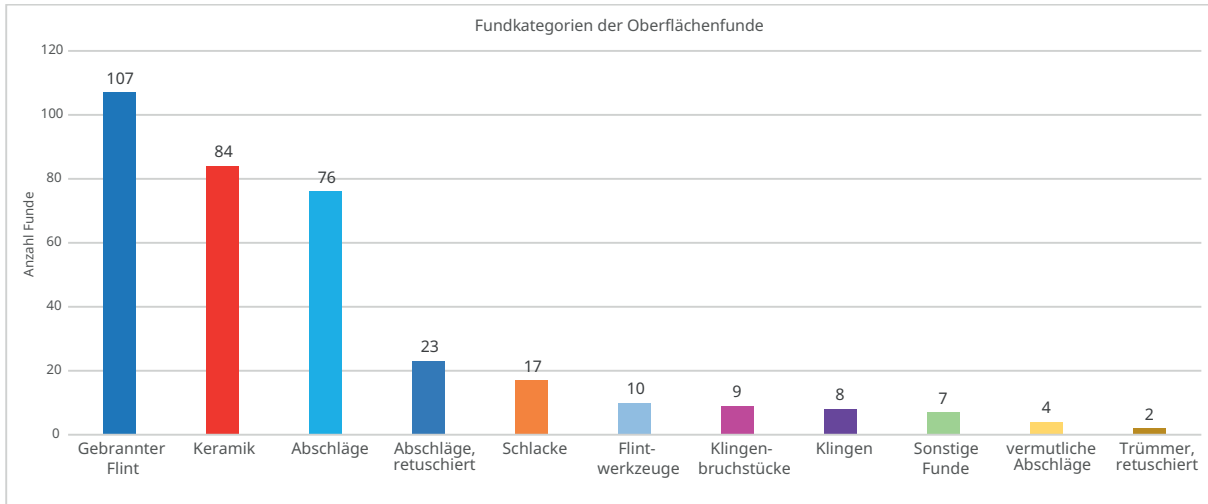


Abbildung 12: Verteilung von Oberflächenfunden nach Fundkategorien.

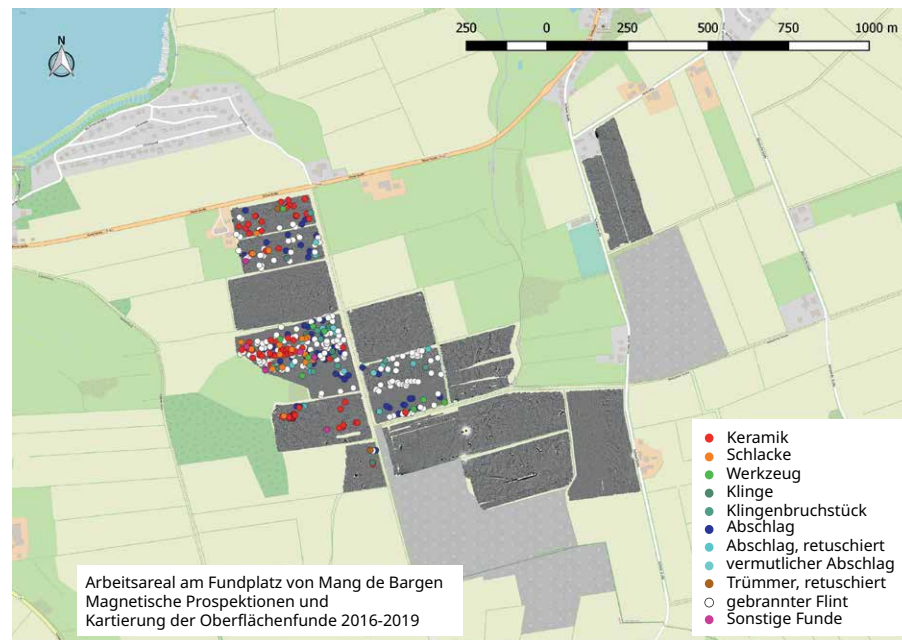


Abbildung 13: Räumliche Verteilung der Oberflächenfunde im Untersuchungsgebiet.

Anhand der Fundverteilung können neue Fundstellen erwägt werden, die auch durch die Dichtekartierung (Abb. 14) aller Funde bestätigt werden.

Das Kochsteingrubenareal 1 (Feld 6) zeigt ein erhöhtes Fundaufkommen, bei dem Keramikfunde überwiegen. Das stärkste Fundvorkommen zeigt sich jedoch auf dem Hang, nördlich und oberhalb der Kochsteingruben. An dieser Stelle wurde bereits eine eisenzeitliche Siedlung identifiziert (LA 97), die durch Funde von Keramik, Schlacke, Flint-Werkzeugen und -Klingen erneut bestätigt werden kann (Abb. 15). Durch landwirtschaftliche Tätigkeiten wurden viele Funde wahrscheinlich über das gesamte Feld verteilt.

Ein Areal, das als Fundstelle neu in die Landesaufnahme aufgenommen werden musste, befindet sich ganz im Norden des Untersuchungsareals (Felder 9-10). Hier wurden v. a. Keramikfragmente und gebrannter Flint geborgen. Westlich des zweiten Kochsteingrubenareals konnten des Weiteren viele Funde von gebranntem Flint und einige Abschläge gefunden werden. Ob diese Funde in Verbindung mit den Kochsteingruben stehen bleibt ungewiss, ist aber eher unwahrscheinlich, da genannte Funde über das gesamte Areal verbreitet sind. Kochsteingruben sind

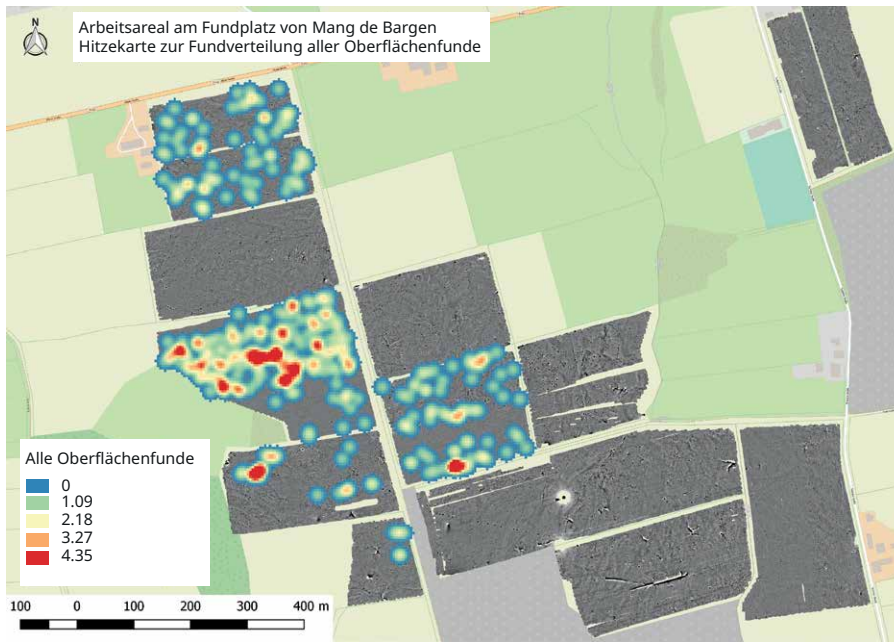


Abbildung 14: Dichtekartierung von Oberflächenfunden im Untersuchungsgebiet.

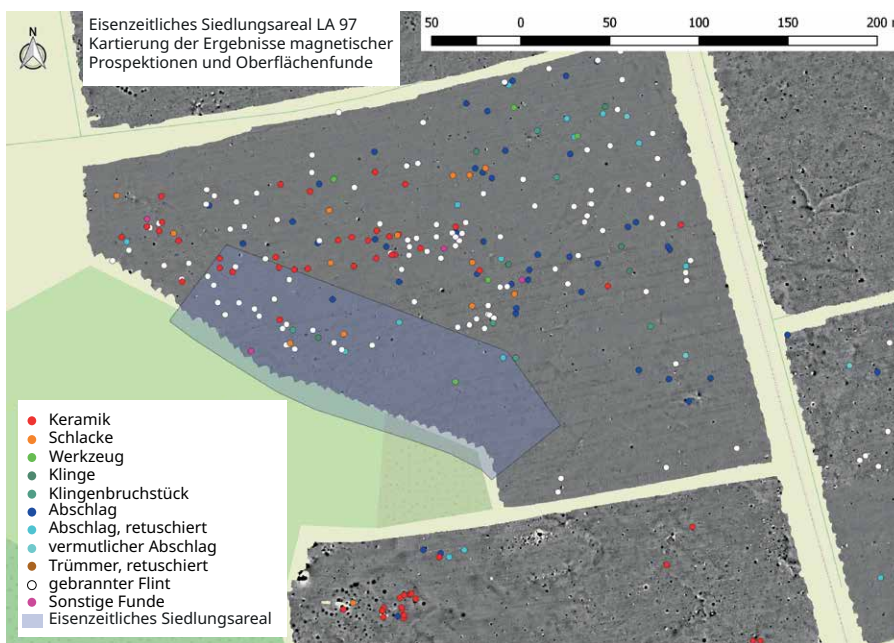


Abbildung 15: Kartierung des eisenzeitlichen Siedlungsplatzes LA 97 und der Oberflächenfunde.

zudem eher eine fundarme Befundkategorie und sollten nicht anhand naheliegender Funde datiert werden (Vgl. dazu Kapitel 8.3.4 zu Kochsteingruben).

8.2.3. Testgrabungen

Aufgrund der Konzentration von Anomalien sowie dem erhöhten Vorkommen von Keramikfunden auf Feld 6 wurden im April 2017 und im September 2018 Testschnitte im Bereich des vermutlichen Kochsteingrubenareals angelegt. Die Anomalien konnten anhand der Messgenauigkeit des DGPS-Geräts getroffen und geschnitten werden. Die Testschnitte bestätigten das Vorhandensein von Kochsteingruben, die kreisförmig zueinander arrangiert worden waren. Es handelt sich dabei um Gruben, die im Allgemeinen unterschiedliche Formen haben können. Im Fall dieser

Exemplare zeigen sie einen rundlich-amorphen Grundriss im Planum, während sie ein rundlich-ovales bis wannenförmiges Profil aufweisen. Der Grubeninhalt setzt sich aus angekohlten und hitzeermürbten bzw. gesprungenen Steinen sowie Asche und vereinzelt Holzkohle zusammen. Eine Auseinandersetzung mit dieser Befundgattung und dem Phänomen der Kochsteingruben wird in einem anderen Kapitel ausführlich behandelt (Vgl. dazu Kapitel 8.3.4 zu Kochsteingruben).

8.2.4. Ausgrabung

Die Ausgrabungstätigkeiten wurden im Rahmen einer Lehrgrabung von Ende Juli bis Anfang Dezember 2017 durchgeführt. Dabei lassen sich die Tätigkeiten auf vier Flächen unterteilen, die anhand ihrer Lage auf einer reliefmodellierten Laserscankarte, sowie anhand der Ergebnisse geophysikalischer Prospektionen (Geomagnetik, -radar und -elektrik), gesetzt wurden. Auf den vier Flächen wurden die folgenden Befunde erwartet: Fläche 1 (2017-96): Mögliche Hauswand, Fläche 2 (2017-97): Mögliche Urnenbestattungen, Fläche 3 (2017-98): Möglicher Grabhügel, Fläche 4 (LA 57, 2017-99): Grabhügel.

In Abbildung 16 kann die Lage der Flächen auf dem Feld 1 nachvollzogen werden. Da das Feld in den ersten Wochen mit Weizen bepflanzt und noch nicht abgeerntet worden war, wurden die Grabungstätigkeiten zunächst auf den $4,5 \times 16,5$ m großen Schnitt der Fläche 1 konzentriert. Hier wurde anhand des Magnetikplans eine Hausstruktur von ungefähr 13 m Länge und 9 m Breite vermutet. Die westliche längliche Hauswand wurde aufgrund der Intensität magnetischer Widerstände für einen Testschnitt ausgewählt. Die obere 30-40 cm starke Humusschicht wurde im Fall der möglichen Hauswand von Hand abgetragen. Beim Ausgraben der beiden Grabhügel und der möglichen Urnenbestattungen wurde der Mutterboden mithilfe eines Baggers unter der Aufsicht der Grabungsleitung (Autorin) abgezogen. Ziel war es, die ungestörte Oberfläche zu erreichen. Die Grabhügelschnitte wurde in vier Flächen unterteilt, die durch ein 1-Meter breites Kreuzprofil voneinander getrennt wurden. Im Fall der Fläche 3 – dem vermutlichen Grabhügel (2017-98) – maßen die vier Flächen jeweils ungefähr 10×10 Meter. Die Flächen, die für den Grabhügel LA 57 geöffnet wurden, waren ungefähr 60×25 Meter groß. Dokumentiert wurden jedoch lediglich Teilfläche 1 mit 10×10 Metern, Teilfläche 2 mit 25×25 Metern, Teilfläche 3 von ca. 15×15 Metern und Teilfläche 4 von 6×18 Metern, sodass eine Fläche von 1040 Quadratmetern für den Grabhügel vollständig untersucht wurde. Sobald Verfärbungen auftraten wurde das entsprechende Planum dokumentiert (Zeichnung, Foto, TachyCAD & Fotogrammetrie). Befunde wurden durchnummeriert, geschnitten und ggf. in Zwischenplana sowie im Profil zeichnerisch und fotografisch dokumentiert. Sofern es sich um einen archäologisch relevanten Befund handelte, wurde mindestens eine Sedimentprobe entnommen. Gegebenenfalls wurden Teilbereiche weiter abgetieft und entsprechend untersucht. Die Funde (Artefakte, Holzkohle, Knochen) wurden nach Quadranten und Befunden mit dem Tachymeter einzeln eingemessen. Parallel zu den Grabungen wurden weitere geophysikalische Messungen (v. a. Radar) im Bereich der Grabung vorgenommen, um die vorherigen Messergebnisse mit jenen nach der Entfernung des Oberbodens vergleichen zu können und ggf. Rückschlüsse auf die Interpretation zukünftiger Radarmessungen ziehen zu können (Vgl. Dissertation Diana Panning im SFB1266, G2-Projekt: Panning in prep.). Auf den vier Flächen konnten die Erwartungen an den jeweiligen Befund nur teilweise erfüllt werden (Tab. 2). Auf Fläche 1 (2017-96) zeigte sich eine mehr oder weniger lineare Pfostenreihe und könnte somit möglicherweise eine Hauswand darstellen. Die möglichen Urnenbestattungen, die auf Fläche 2 (2017-97) vermutet wurden, stellten sich als Überreste spätglazialen Geschiebes heraus. Geologische Steinansammlungen verursachten womöglich entsprechende Anomalien. Auf Fläche 3 (2017-98) wurde ein Grabhügel vermutet, der jedoch nicht vorhanden gewesen ist. Es handelte sich um eine natürliche Anhöhe. Bis auf einige wenige

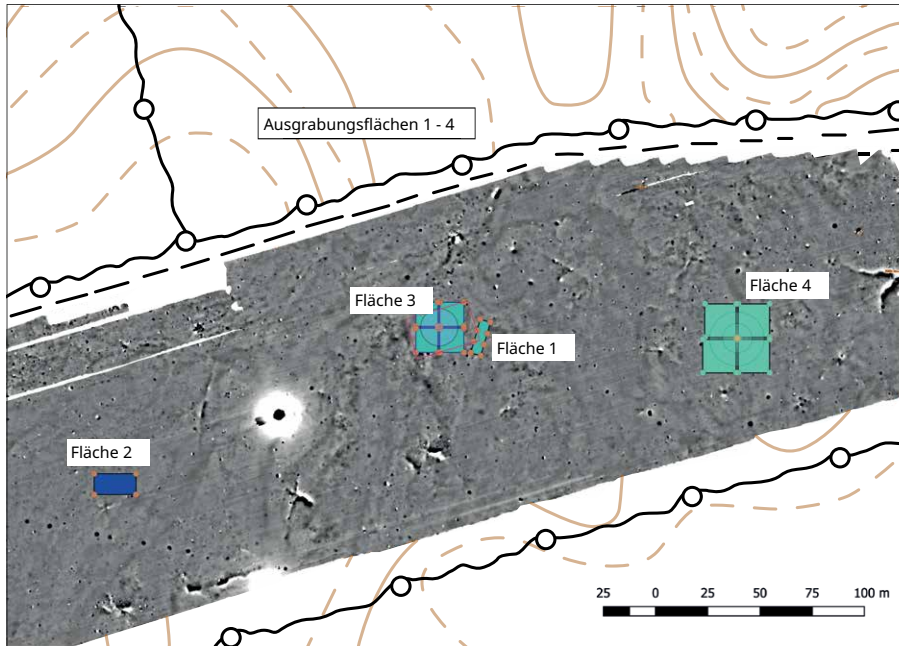


Abbildung 16: Lage der Ausgrabungsareale von 2017 auf dem Gräberfeld von Mang de Barga.

Fläche	Erwarteter Befund	Tatsächlicher Befund
Fläche 1 (2017-96)	Mögliche Hauswand	Pfostenreihe
Fläche 2 (2017-97)	Mögliche Urnenbestattungen	Keine archäologisch relevanten Befunde
Fläche 3 (2017-98)	Möglicher Grabhügel	Vereinzelte Gruben
Fläche 4 LA 57 (2017-99)	Grabhügel	Grabhügel mit Zentralbestattung und mindestens einer Urnennachbestattung, sowie Grubenbefunde, gestörte Steinkonstruktionen, Pfostenlöcher und eine Feuerstelle zeugen von weiteren Aktivitäten im direkten Umfeld des Grabhügels

Grubenbefunde, konnte an dieser Stelle keine weiteren archäologisch-relevanten Befunde entdeckt werden. Der Grabhügel LA 57 der Fläche 4 konnte hingegen bestätigt werden. Er umfasst eine zentrale Bestattung mit einer Leichenbrandschüttung in einem vergangenen Baumsarg, sowie mindestens eine nachbestattete Urne im Hügelmantel (mind. eine weitere Urnenbestattung wird vermutet, jedoch scheint sie stark gestört oder beraubt worden zu sein). Zwei Steinsetzungen könnten auf ehemalige Grabanlagen hindeuten. Weitere Grubenbefunde, Pfostenlöcher und eine Feuerstelle zeugen von weiteren Aktivitäten im direkten Umfeld des Grabhügels, die aber auch aus der Zeit vor seiner Anlegung stammen können.

Das Gräberfeld von Mang de Barga lässt sich somit auf Basis bisher bekannter Befunde und Fundverteilungen in eine Landschaft eingliedern, die von Höhenlagen und Gewässern umgeben, sowie von Kochsteingrubenarealen und möglichen Zonen mit Siedlungscharakter geformt wurde und somit eine räumliche Organisation vermuten lässt. Die Darstellung der Befunde und Funde sowie die Auseinandersetzung mit jenen erfolgt in den nächsten Kapiteln – im Vergleich mit sämtlichen Befunden des Fundplatzes. Dabei gilt es – da nun alle Grabhügel archäologisch untersucht wurden – die Nutzungsgeschichte des Fundplatzes zu rekonstruieren und Transformationsphasen abzuleiten.

Tabelle 2: Ausgrabungsergebnisse: Erwartungen vs. tatsächlicher Befund.

8.3. Befunde

In diesem Kapitel werden die Befunde von Mang de Barga beschrieben und miteinander verglichen. Dabei wird zunächst jeder Grabhügel hinsichtlich seines Hügelaufbaues, seiner Grabanlage(n) und weiterer Befunde sowie auch ansatzweise der vorkommenden Funde behandelt. Einzelne Befund- und Fundbeschreibungen sind den Katalogen im Anhang zu entnehmen. Die Gesamtplana und Hauptprofile sowie Tafeln zu den Funden und Befunden sind ebenfalls im Anhang abgebildet. Der Vergleich der Merkmale zwischen den Grabhügeln lässt das Erkennen von Ähnlichkeiten und Unterschieden zu, sodass mögliche Trends und Entwicklungen im Hügelaufbau und der Hügelnutzung, sowie dem Grabaufbau erkannt werden können. Des Weiteren erfolgt die Darstellung des Urnengräberfeldes (LA 115) und der Siedlungsbefunde (LA 116). Ziel ist es, eine Nutzungsabfolge des Fundplatzes und seiner Umgebung rekonstruieren zu können. Mit der anschließenden Fundanalyse und unter Einbeziehung naturwissenschaftlicher Analysen und Datierungen (Kapitel 8.4 - 8.6) kann eine konkrete Entwicklung nachvollzogen werden, sodass ein Überblick über die Transformationsphasen am Fundplatz möglich wird (Kap. 8.11).

8.3.1. Grabhügel

Im Folgenden werden 12 Grabhügel, die eine nachweisbare Hügelschüttung aufweisen (LA 17, 18,⁸ 20, 22, 23, 57, 58, 59, 60, 63, 64, 69) sowie drei Grabhügel, deren Hügelschüttungen nicht mehr nachweisbar waren (LA 65, 66, 68) und zwei Grabhügel, die sich unter dem Urnengräberfeld LA 115 befanden und nicht mehr nachweisbar sind (LA 21, 24), hinsichtlich ihrer Erhaltung, ihres Aufbaues, ihrer Bestattungen und weiterer Befunde dargestellt. Im Rahmen einer Synthese werden der Hügel- und Grabaufbau schließlich miteinander verglichen. Bis auf den Grabhügel LA 57 wird bei der Darstellung der Hügel und ihrer Gräber auf die Berichte und Dokumentationen der Hauptuntersuchungen vom Archäologischen Landesamt Schleswig-Holstein (ALSH) Bezug genommen, die von Ingo Lütjens und Siegmur Burkhardt erstellt wurden. Es handelt sich dabei zum Großteil um ausführliche Hauptberichte. Einige wenige Aktivitäten liegen, aufgrund der wenigen Befundanzahl, lediglich in Form von Kurzberichten vor (siehe Aktivitäten 2014-676, -677, -678). Die Angaben zu Hügelgrößen können im Folgenden nur unter Vorbehalt angegeben werden. Während Hügeldurchmesser noch anhand von Befunden wiedergegeben werden können, ist die Höhe der Hügel aufgrund von Erosionen, Einebnungen und landwirtschaftlichen Aktivitäten auf dem Feld schwieriger. Die Verteilung der Grabhügel auf dem Feld zeigt eine reihenförmige Grüppchenbildung im Osten mit den Hügeln LA 63, 64, 65, 66 und 69. Alle anderen Hügel verteilen sich überwiegend gleichmäßig und mit regelmäßigen Abständen zueinander über das Areal. Bei sechs der Grabhügel (LA 18, 21, 22, 57, 58 und 64) konnte mindestens eine sichere nachbestattete Brandbestattung gefunden werden. LA 21 und 22 überschneiden sich mit dem Urnengräberfeld, das in die vorrömische Eisenzeit datiert.

8.3.1.1. LA 17 (2008-426)

Der Grabhügel LA 17 wurde im Jahr 2004 von Clausen vorläufig untersucht. Dabei wurde die Steinpackung eines Grabes entdeckt. Im Folgejahr war der Grabhügel mithilfe dreier Suchschnitte lokalisiert worden und durch drei weitere Schnitte erschlossen. Die Entfernung des Oberbodens erfolgte unter Zuhilfenahme eines

⁸ LA 19 wurde nicht ausgegraben. Es handelt sich um einen bereits eingeebneten Grabhügel, der einst einen Durchmesser von 34 m und eine Höhe von 1,1 m gehabt haben soll (Schwerin von Krosigk 1976, 106).

Baggers unter der Aufsicht durch die Grabungsleitung (Lütjens). Verfärbungen wurden nummeriert, dokumentiert und geschnitten. Im Zentrum der Untersuchung lag das Hauptgrab, das in sieben Plana abgetragen wurde. Mit dem vierten Planum wurde ein Profilkreuz durch den Befund gelegt (Längsprofil A-B wurde mit dem sechsten Planum entfernt; Querprofil C-D blieb bis zum letzten Abtrag stehen). Insgesamt wurde eine Fläche von 140 m² ausgegraben. Dabei wurden acht Befundnummern vergeben, die ein Grab, sechs Steinstandspuren und eine Baumwurfgrube umfassen.

Hügelaufbau

Der Hügel befand sich auf dem höchsten Punkt einer natürlichen Kuppe und war durch landwirtschaftliche Aktivitäten bereits vollständig eingeebnet. Während der Landesaufnahme in den 1960er Jahren war er noch 1 m hoch und 36 m im Durchmesser erkennbar (Schwerin von Krosigk 1976, 106). Während der Ausgrabungen konnte der Hügel im Profil nicht mehr nachgewiesen werden. Einzig die Zentralbestattung bestätigt seine ehemalige Existenz.

Primärbestattung (Taf. 2-15)

Die zentrale Hauptbestattung erhielt die Befundnummer 1 und bestand aus einer 2 × 3,4 m großen abgerundet-rechteckigen Grabgrube, die im Profil noch eine ungefähre Eintiefung von 0,6 m zeigte, die sich flach bis steil-trichterförmig abzeichnete. Der obere Bereich setzte sich aus einer Steinpackung aus kopf- bis doppelkopfgroßen Steinen zusammen. Unterhalb davon wurden nur noch vereinzelt Steine in der sonst humosen Verfüllung dokumentiert (Plana 5-7).

Auf der Sohle zeigte sich ein Steinrahmen von 1,9 × 3,1 m, der sich in drei Reihen flacher Steinplatten, die quer zur Grabausrichtung verliefen, gliederte (Taf. 7-9). An der westlichen Schmalseite des Steinrahmens und unterhalb eines Steins der Deckpackung befand sich eine Grube von 0,2-0,3 m im Durchmesser, die sich durch eine humose Füllung bis zur Grabsohle absetzte. Darin und auf dessen Sohle wurde eine menschliche Schädelkalotte entdeckt (Taf. 7-8). Ein Teil des Schädels fehlte also. Die AMS-Datierung⁹ derselben ergab eine Datierung in das Spätneolithikum I. Da diese Grube in die Verfüllung des Zentralgrabes eingelassen worden war, müsste die Schädelkalotte jünger sein als das Hauptgrab. Lütjens vermutet einen Zusammenhang zwischen diesem Befund und einer Beraubung oder sekundären Störung des Hauptgrabes. Dafür spräche auch eine dunkelhumose Schicht, die bereits in den Plana 2b und 3 zu sehen war und mit einer sekundären Öffnung des Grabes zusammenhängen könnte (Taf. 4-5). Dass es sich dabei um eine Schädelnachbestattung handelt, kann nicht ausgeschlossen werden. Besondere Totenbehandlungen, die auch das Abtrennen bestimmter Teile des Körpers wie Langknochen oder dem Schädel einschließt, sind im Neolithikum zwar selten aber auch nicht unüblich. Dazu gehört auch die Platzierung abgetrennter Körperteile an anderen Stellen in Gräbern (Vgl. z. B.: Kaul 1991-92, 7-49).

Zu den Beigaben (Taf. 10)

Während der Ausgrabung wurden 10 Fundnummern vergeben, darunter 18 Flintartefakte (unter 7 Fundnummern: 17 Abschlüge¹⁰ und ein Feuerschlagstein¹¹) und vier Keramikscherben (unter 3 Fundnummern: vier Scherben¹²). Sämtliche Funde stammen aus dem Grab bzw. dessen Verfüllung. Ein wenig westlich der Mittleren dieser Steinreihen wurde ein Feuerschlagstein gefunden, der als einzige sichere Grabbeigabe gedeutet werden kann. Sieben weitere Flintartefakte kamen in der

9 LA 17, Befund 1: KIA 37473:3670±30uncalBP: 2141-1951calBC.

10 SH2008-426.1, 6-9, 29, aus Befund 1.

11 SH2008-426.28 aus Befund 1.

12 SH2008-426.3, 5 und 11 aus Befund 1.

Grubenfüllung, auf dem Planum 7/8 sowie im Querprofil zum Vorschein. Des Weiteren wurden drei Keramikscherben aus der Grubenverfüllung, auf Planum 6/7 und aus dem Querprofil aus der unteren dunkleren Schicht geborgen. Aus den Plana 3 bis 6 sind zudem insgesamt 16 Holzkohlefunde geborgen worden.

Weitere Befunde (Taf. 1)

Neben der Zentralbestattung wurden des Weiteren sechs mögliche Steinstandspuren und eine Baumwurfgrube¹³ erfasst. Die möglichen Steinstandspuren zeigten sich im Planum als ovale humose Verfärbungen. Ihre Profile waren – sofern dokumentierbar – trichterförmig, oftmals jedoch unklar oder nur noch in undefinierbaren Resten vorhanden. Teilweise können sie als Pfostengruben angesprochen werden.¹⁴ Die Baumwurfgrube zeigte sich in der Aufsicht nur noch als kranzförmige humose Verfärbung und im Profil als unregelmäßige Eintiefung. Funde wurden aus diesen Befunden keine geborgen.

Nutzung und Datierung

Die Hauptbestattung kann der Datierung der nachbestatteten Schädelkalotte zufolge in das Spätneolithikum I oder älter datiert werden. Die mögliche Schädelnachbestattung ereignete sich nachweislich im Spätneolithikum I. Die Steinstandspuren datieren sehr wahrscheinlich in die Zeit der Errichtung des Grabhügels mit der ersten Bestattung. Demnach datiert der Grabhügel LA 17 in das Spätneolithikum I oder älter und seine weitere Nutzung erfolgte mindestens bis in das Spätneolithikum I.

8.3.1.2. LA 18 (2008-427)

Der Grabhügel LA 18 wurde im Jahr 2004 von Clausen vorläufig untersucht und im Folgejahr von Lütjens ausgegraben. Dazu wurde der höchste Punkt des Grabhügels als Mittelpunkt des Kreuzprofils ausgewählt. Die vier Flächenabschnitte wurden in einen Nordwestsektor, einen Nordostsektor, einen Südwestsektor und einen Südostsektor eingeteilt. An der Nordwestecke des Südwestsektors grenzt der Suchschnitt des Ökologie-Zentrums der Universität zu Kiel an, der der Untersuchung von Böden und Kolluvien diene (siehe *Kap. 8.1. Forschungsgeschichte und Stand der Forschung*). Der humose Oberboden wurde mithilfe eines Kettenbaggers unter der Aufsicht der Grabungsleitung abgezogen. Befunde wurden dokumentiert und geschnitten. Über die Ausgrabungsfläche von insgesamt 1600 m² erstreckten sich 125 Befunde, von denen sich 83 als archäologische und 42 als vermutlich natürliche Verfärbungen (2 Baumwurfgruben, 13 Steinstandspuren und 27 unklare) herausstellten. Bei den archäologischen Befunden handelt es sich um 36 Gräber (ein Körpergrab, 29 Urnengräber, sechs Leichenbrandschüttungen), elf Steinpflasterungen, zehn Steinkonzentrationen, sieben Branderdestellen, fünf Pfostengruben, zwei Kochsteingruben und 12 Gruben unbestimmter Funktion.

Hügelaufbau

Hinweise auf den Hügel liefert die Hügelschüttung, die sich in den Profilen noch zwischen circa 5,5 und 10 m Radius feststellen ließ. Sie tritt direkt unterhalb des modernen Pflughorizonts in Erscheinung und geht in anstehenden gelben Sand über. Manchmal zeigt sich ein schwacher, verwaschener Übergangshorizont dazwischen. Das Nordprofil (Südwestsektor) wies die Hügelschüttung vom Hügelmittelpunkt ausgehend noch bis ca. 6 m auf, bevor die Schicht dunkler und homogener wurde und nach ungefähr 10,5 m in eine leicht abfallende kolluviale Schicht überging und an die entsprechenden Testschnitte des Ökologie-Zentrums angrenzte.

¹³ Befund 7.

¹⁴ Befund 2 und 5 (Taf. 1).

Im Ostprofil (Südwestsektor) war die Hügelschüttung noch bis auf 7 m Radius verfolgbar, wobei sie bereits ab 3,5 m dunkler, humoser und auch dünner wurde. Das Südprofil wies die Hügelschüttung noch sicher bis 5 m auf. Zwischen 6,5 und 7,5 m endet diese kurz vor einem Urnengrab (Bef. 86). Im Westprofil war die Hügelschüttung noch bis circa 5,2 m erkennbar und brach dann ab. Aus der Dokumentation geht nicht ganz klar hervor, ob die Schüttung aufgrund einer Störung durch den Suchschnitt von 2004 abbrach oder ob die angrenzende holzkohlehaltige Schicht die Hügelschüttung dort sowieso hätte enden lassen. In diesem Profil waren zwischen dem zweiten und dritten Profilmeter noch einige Reste des Körpergrabes sichtbar, die den Randbereich des Grabes markierten und in Form von schwarzen Streifen in Erscheinung traten. Unterhalb der Hügelschüttung zeigte sich in diesem Profil auf ganzer Länge der verwaschene Übergangshorizont, der ab dem dritten Meter, also kurz hinter dem Körpergrab, besonders ausgeprägt war und dort eine mögliche Pfostengrube mit stark verwaschenen Konturen einschloss. Aus stratigrafischen Gründen muss die mögliche Pfostengrube demnach entsprechend älter sein als das Grab. Die Hügelschüttung ließ sich im West-Ost-Profil nur noch mit einer Mächtigkeit von 0,25 m über insgesamt 17 m nachweisen und setzte sich dabei aus braunem bis dunkelbraunem, humosen Sand zusammen, der mit hellgraubraunen Flecken durchsetzt war. Das im Nordprofil angrenzende Kolluvium zeigte jedoch, dass der Hügel bereits stark an Höhe verloren haben muss. Nach Schwerin von Krosigk erbrachte die Landesaufnahme von 1960, dass der Hügel bereits überpflügt war und 28 m im Durchmesser maß, sowie eine Höhe von 0,3 m aufwies (Schwerin von Krosigk 1976, 106). Während die durch Einebnung bedingte Höhe ungefähr erfasst werden konnte, wies der Hügel im Grabungsbefund lediglich 17 m im Durchmesser auf. Dieses Maß wird auch in der folgenden Beschreibung angewandt, um das Vorhandensein von Befunden innerhalb oder außerhalb des Grabhügels festzustellen. Hinweise auf eine Mehrphasigkeit konnten nicht bestimmt werden.

Primärbestattung (Taf. 21-23)

In der Mitte des Hügels zeigte sich unterhalb des modernen Pflughorizontes eine abgerundet-rechteckige Verfärbung, die sich aus mittel- bis dunkelgrauem, schwach lehmigen Sand zusammensetzte und auf $0,72 \times 2,87$ m eingrenzen ließ.¹⁵ Darin eingebettet konnte ein dunklerer Bereich auf $2,39 \times 0,33$ m erfasst werden, der wahrscheinlich die Baumsargreste darstellte und sich v. a. im Osten und Südosten des Grabes durch einen dunklen Streifen zum Sand abgrenzte. In dem Bereich des vergangenen Baumsarges befand sich in einer weiteren braunen, rundovalen Verfärbung von 0,45 m Durchmesser eine bronzene Knopfsichel. Organische Reste wurden unterhalb der Sichel entdeckt und im Block geborgen, haben sich jedoch nicht erhalten. Davon ausgehend zeigten sich in einem Meter nordwestlich davon schmierige, unverbrannte, sehr weiche Knochenreste, die ebenfalls geborgen wurden, sich jedoch nicht erhalten haben. Die Datierung des Grabes basiert auf der Knopfsichel, die das Grab in die Periode II datiert.

Nachbestattete Brandgräber (Taf. 24-86)

Insgesamt konnten 35 Brandbestattungen¹⁶ aufgedeckt werden. Ein Teil der Gräber war in den östlichen Hügelmantel eingetieft worden, während weitere Gräber weiter östlich vor dem Hügel Platz fanden. Eine Fortsetzung des Brandgräberfeldes nach Westen, Süden und Osten ist nach Lütjens anzunehmen, jedoch war die Ausgrabungsfläche auf ein Areal begrenzt, sodass diese weiteren Bereiche nicht ausgegraben werden konnten. Weitere Brandgräber sind zudem wahrscheinlich im

15 Befund 77.

16 29 Urnengräber (Befunde 30, 55, 58, 61, 63, 64, 71, 76, 80, 82, 86, 87, 88a, 89, 91, 92, 95, 99, 101, 102, 103, 104, 105, 106, 107, 108, 109, 111, 117) und 6 Leichenbrandschüttungsgräber in länglichen Steinpackungen (Befund 56, 59, 66/66a, 81, 83, 88b).

LA 18: Lage von Urnen

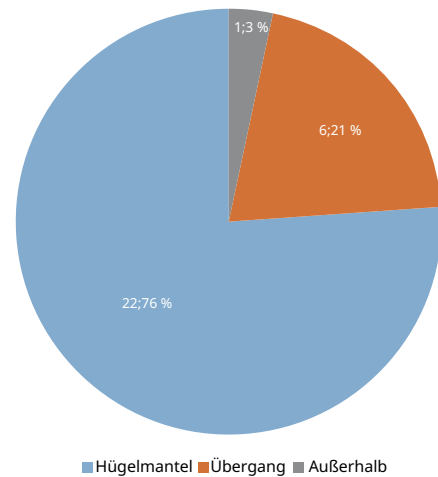


Abbildung 17: Die Lage der Urnen des Grabhügels LA 18.

LA 18: Bauelemente der Urnengräber

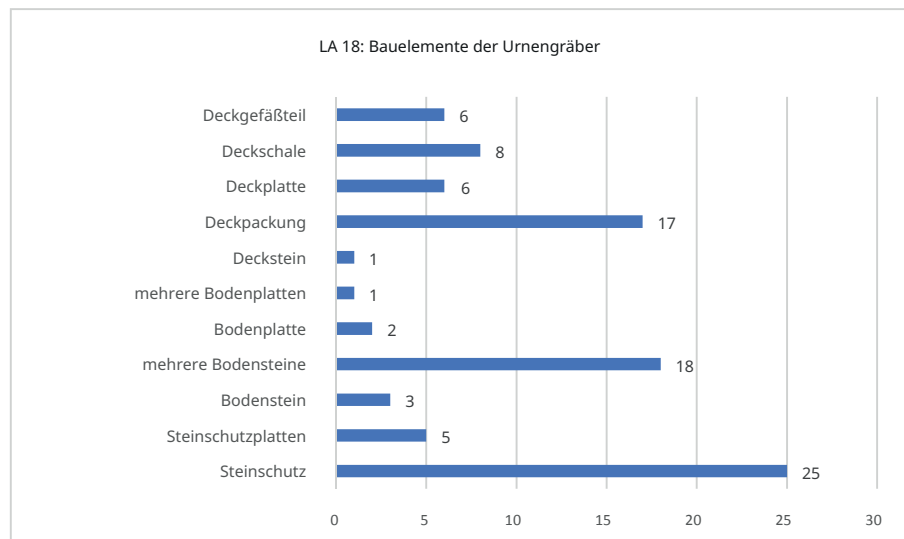


Abbildung 18: Die Bauelemente der Urnengräber des Grabhügels LA 18.

Zuge landwirtschaftlicher Tätigkeiten weitestgehend zerstört worden waren. Einige Gräber konnten jedoch noch mehr oder weniger vollständig erfasst werden, sodass auch Gefäßrekonstruktionen der Urnen möglich waren. Sofern ein Durchmesser des Grabhügels von 17 m angenommen wird (s.o.), kann festgestellt werden, dass sich die Lage der **Urnbestattungen** zum Großteil (76%) auf den Bereich außerhalb des Grabhügels konzentrierte (Abb. 17). Lediglich 3% der Urnen (= 1 Urne) wurden als Nachbestattung im Hügelmantel vorgefunden, während 6 Urnen (= 21%) am Hügelrand, also entweder am äußersten Rand innerhalb oder unmittelbar vor dem Hügelrand (1-2 m) platziert wurden.

Der Aufbau eines Urnengrabes des LA 18 setzte sich dabei für gewöhnlich aus einem Steinschutz, einer Abdeckung und einer Unterlage zusammen (Abb. 18). Fast alle Urnen hatten einen Steinschutz, der aus zusammengesetzten, kopfgroßen Rollsteinen sowie Spaltstücken bestand. Oberhalb der Urne schloss die Steinpackung oft mit einer Art Deckpackung ab. Dabei standen die Gefäße meistens auf mehreren Bodensteinen, weniger häufig auf einem einzelnen Bodenstein, einer Steinplatte (z. B. aus Granit) und noch seltener auf mehreren Steinplatten.

Manchmal wiesen die Urnen eine Abdeckung auf – meistens eine Deckplatte, ein Gefäßteil oder eine aufrechte oder umgedrehte Deckschale. Selten wurde ein Deckstein verwendet. An Funden wurden aus den Urnen meistens Nadeln, Pfieme,

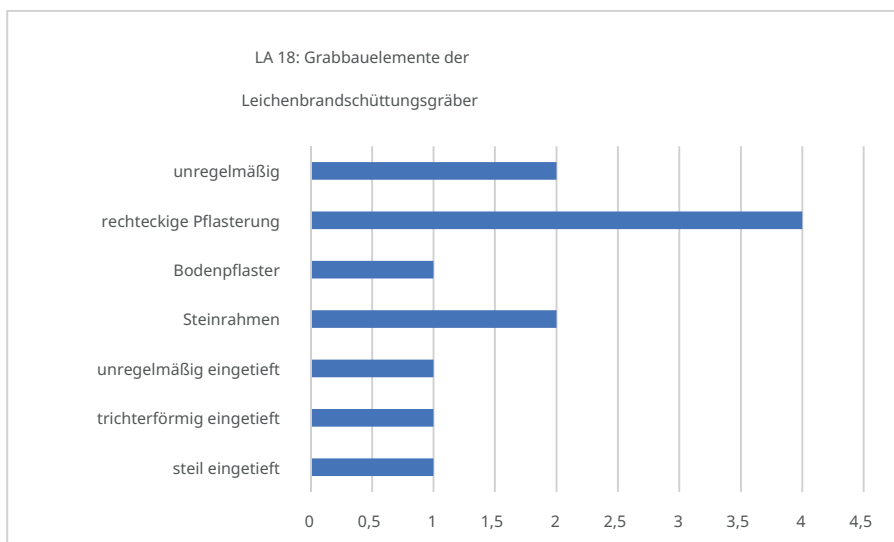


Abbildung 19: Die Bauelemente der Leichenbrandschüttungen des Grabhügels LA 18.

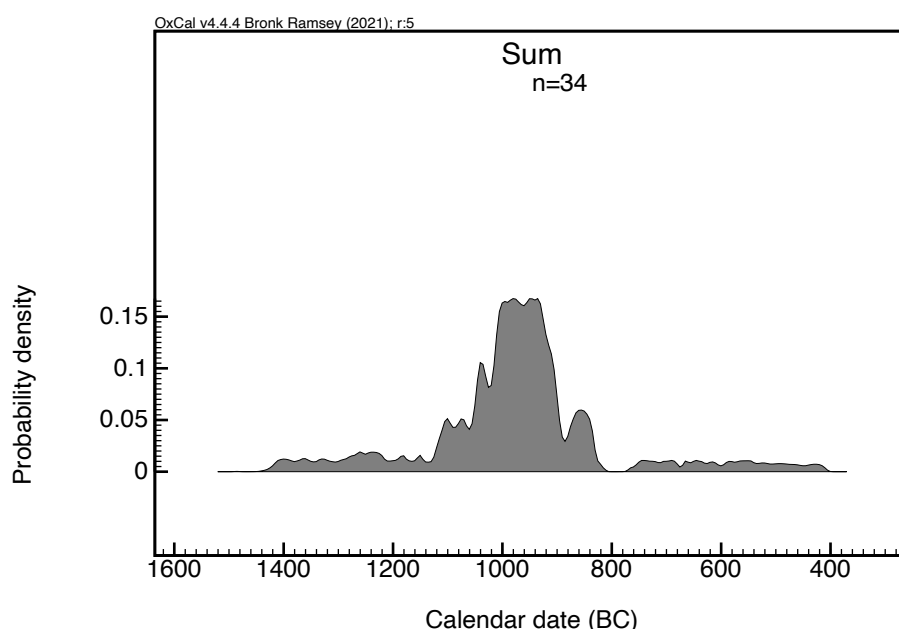


Abbildung 20: Summenkalibration zu den Nachbestattungen des Grabhügels LA 18 (Radiokohlenstoff-Bestimmungen, kalibriert mit OxCal. v4.4 (Bronk Ramsey 2021) und der IntCal20-Atmosphärenkurve (Reimer et al. 2020)).

Doppelknöpfe und verschiedene Ringe geborgen. Vereinzelt Abschlüge und eine verzierte Knochennadel bilden die Ausnahmen im Beigabenrepertoire (Vgl. Kap. 8.4). Das Fundmaterial und die Datierungen der Leichenbrände lassen die Urnen von der Mitte der Periode II bis zur eisenzeitlichen Stufe I b datieren (siehe Kap. 8.6). Die Urnen am Grabhügel LA 18 weisen damit eine sehr lange andauernde Nachbestattungsphase mit Schwerpunkt in Periode IV und am Übergang von Periode IV zu Periode V auf. Die sechs **Leichenbrandschüttungsgräber** kommen zum Großteil als Nachbestattungen im Hügelrandbereich vor (insgesamt 3 Bestattungen). Lediglich eine Leichenbrandbestattung wurde in den Hügelmantel eingetieft (am äußersten Rand) und zwei Gräber befanden sich außerhalb des Grabhügels, sofern die Annahme von 17 m Hügeldurchmesser stimmt. Insgesamt fällt jedoch auf, dass sich die Leichenbrandbestattungen relativ dicht am Grabhügel befanden, sodass ein deutlicher Bezug festgestellt werden kann, während einige Urnenbestattungen hingegen weiter entfernt sein können. Die Gräber haben eine durchschnittliche Länge von ungefähr 1,5 m und eine durchschnittliche Breite von rund 0,6 m. Meistens

weist die Steinpackung eine abgerundet-rechteckige Form auf. In zwei Fällen hingegen ist die Form eher unregelmäßig.¹⁷

Das Fundmaterial aus den Leichenbrandschüttungen ist etwas spärlicher. Neben vereinzelt Keramikscherben wurden gelegentlich Gefäßreste geborgen. Ein Pfriem, ein Ösenknopf und Bronzefragmente bilden die bronzenen Metallfunde. Gebrannter Flint ist ebenso singular bekannt (Vgl. Kap. 8.4). In einem Fall konnte unterhalb der Brandschüttung ein Bodenpflaster festgestellt werden.¹⁸ In zwei Befunden befand sich unterhalb des Leichenbrandes ein Steinrahmen (Abb. 19).¹⁹ Die Datierung der Funde und des Leichenbrandes lassen die Leichenbrandschüttungsgräber von der Mitte der Periode II bis zum Übergang von Periode IV zu Periode V datieren (Abb. 20 & siehe Kap. 8.6).

Sowohl die Urnengräber als auch die Leichenbrandschüttungsgräber lassen somit einen Schwerpunkt zwischen 1000 und 900 v. Chr. (ca. Periode IV-IV/V) erkennen (Abb. 20).

Weitere Befunde

Unterhalb des Grabhügels kamen in der westlichen Hälfte **alte Ackerspuren**, die von einem Hakenpflug stammen, zum Vorschein. Sie erstreckten sich über eine Fläche von 50 m². Im selben Areal wurden verkohlte Getreidekörner gefunden, die womöglich aus einer flachen Grube stammen (Bef. 119), welche sich unmittelbar unter dem südwestlichen Hügelrand befand. Eine AMS-Datierung deutet auf ein spätneolithisches bis frühbronzezeitliches Alter hin.²⁰ Sofern die Getreidekörner tatsächlich aus dem Grubenbefund (Bef. 119) stammen, ist ein Zusammenhang zu den Pflugspuren, der Stratigraphie nach, denkbar. Die Hakenpflugspuren deuten auf eine landwirtschaftliche Nutzung des Areals vor der Errichtung des Grabhügels hin. Es gibt auch Theorien zu rituellem Pflügen zu denen sich Pätzold bereits 1960 äußerte. Dabei wies er auf mehrere Beispiele hin, in denen Pflugtätigkeiten oder Bodenbearbeitungen in unmittelbarer Nähe von Grabanlagen auftraten und zieht Analogien (Pätzold 1960, 189-239; Tegtmeier 1993). Vier Meter nördlich der Zentralbestattung wurden außerdem **zwei Pfostengruben**²¹ (Taf. 20) und **Branderdeflecken**²² gefunden, die verkohltes Material enthielten. Darunter befanden sich auch Getreidekörner, die sich als Dinkel- und Emmerkörner herausstellten. Deren Datierung wies in die Periode II.²³ Nach Alsleben handelt es sich demnach um die ältesten Dinkelfunde Schleswig-Holsteins (Alsleben 2013, 236). Eine Nachdatierung der Pfostengruben bestätigt diesen Zeithorizont (KIA-54920, KIA-54921). Die räumliche Gliederung der Pfostengruben gibt keine Hinweise zu ihren Funktionen. Ein gemeinsamer Zeithorizont mit der Zentralbestattung ist v. a. hinsichtlich ihrer mehr oder weniger ähnlichen Datierung möglich, jedoch befindet sich das Grab den Höhenangaben zufolge ein wenig höher als die Pfostengruben, aber auf gleicher Höhe mit den Branderdeflecken, die jedoch verschleppt worden sein können. Es könnte sich bei dem ehemaligen Pfosten womöglich um eine einstige obertägige Markierung der Grabanlage gehandelt haben. Die zehn **Steinpflaster**²⁴ und weiteren zehn **Steinkonzentrationen**²⁵ befinden sich im Nordost- und Südostsektor, also

17 Befunde 59 und 83.

18 Befund 88b.

19 Befunde 66/66a und 81.

20 KIA 40039: 1945-1771 BC, 95,4% Wahrscheinlichkeit (Freundliche Mitteilung von Almut Alsleben).

21 Befunde 78, 120.

22 Befund 79.

23 Befund 78 (Dinkel): KIA 40037: 3168±29uncalBP(1499-1402calBC, 95,4% Wahrscheinlichkeit); Befund 79 (Emmer): KIA 40038: 1435-1314calBC (95,4% Wahrscheinlichkeit); Befund 120 (Dinkel): KIA 40040: 1435-1314calBC (95,4% Wahrscheinlichkeit) (Freundliche Mitteilung von Almut Alsleben).

24 Befunde 53, 60, 65, 68, 69, 72, 74, 75, 97, 98.

25 Befunde 52, 54, 67, 73, 84, 85, 94, 110, 112, 113.

in den Bereichen, die auch für die Urnengräber genutzt wurden (Taf. 87). Die Steinpflaster hatten meistens eine unregelmäßige Form, seltener unregelmäßig-länglich oder rund- bis ovalförmig. Zu einem Großteil (6 von 10) hatten sie eine lockere bis lückenhafte Struktur, während vier der Steinpflaster dicht gepackt und entsprechend ungestört wirkten. In einem Fall befand sich ein großer Stein im Zentrum des Pflasters.²⁶ Die Steinkonzentrationen setzten sich aus unregelmäßig zueinander liegenden sehr lückenhaften Steinvorkommen zusammen. Manchmal traten sie in unmittelbarer Nähe der o. g. Steinpflaster auf.²⁷ Eine Erklärung wäre, dass es sich um die Reste von Grabanlagen, vielleicht Urnengräbern, handelte, die durch landwirtschaftliche Tätigkeiten zerstört wurden. In einem Fall wird die Lage des Steinpflasters auf moderner Pflughöhe genannt²⁸, sodass es sich dabei möglicherweise um das Bodenpflaster einer – vom Pflug zerstörten – Urne handeln könnte. Eine andere Befundart bilden die sieben **Branderdestellen**²⁹ (Taf. 16). Sie wiesen entweder eine unregelmäßige oder eine rundlich-ovale Form im Planum auf (50:50) und hatten eine durchschnittliche Größe von 0,5 × 0,8 m. Dabei hatten sie ein unregelmäßiges oder muldenförmiges Profil. In der Verfüllung können kalzinierte Knochen und Holzkohle oder Getreidekörner (s.o.) aufgetreten sein. Alle Branderdestellen lagen innerhalb des Grabhügels. Die meisten befanden sich im westlichen Sektor und wiesen keinen Bezug zu den Bestattungen auf. Nur einer der Befunde (Bef. 118) befand sich im östlichen Sektor und grenzte rechtwinklig an eine Leichenbrand-schüttung (Bef. 56). Ein zeitlicher Zusammenhang ist dennoch unklar. Der stratigraphischen Beobachtungen nach zu urteilen, die aus den Zeichnungen hervorgehen, wurden die Branderdestellen in den anstehenden hellen Sand eingetieft und befanden sich damit unterhalb der Hügelschüttung und waren entsprechend älter als der Grabhügel. Sie können damit auf menschliche Aktivitäten vor dem Hügelbau an dieser Stelle hinweisen, wie z. B. rituelle Feuer, wie sie auch in Bornhöved (LA 117) stattfanden (Kneisel *et al.* 2020a; Kneisel *et al.* 2020b). Des Weiteren wurden fünf **Gruben**³⁰ sowie neun unsichere Gruben³¹ entdeckt (Taf. 17-19). Sie hatten meistens eine unregelmäßige Form (sowohl in der Aufsicht, als auch im Profil). Mehrere der Gruben gehörten zu einem größeren amorphen Grubenkomplex³² im Nordwestsektor unmittelbar hinter dem Grabhügelrand, dessen Funktion unklar ist. Einige andere verteilten sich über die Ausgrabungsfläche außerhalb des Hügels – ohne eine bestimmte Anordnung oder Funktion aufzuweisen. Inwieweit sie der Entnahme von Schüttungsmaterial für den Grabhügelbau dienten, ist nicht zu klären. Während der Grabung konnten zwei **Kochsteingruben**³³ außerhalb des Grabhügels aufgefunden werden. Diese werden in einem späteren Kapitel genauer behandelt (Kap. 8.3.4). Von den dreizehn **Steinstandspuren** könnten einige möglicherweise zu einem ehemaligen Steinkranz gehört haben und traten passenderweise ab und zu in einer kreisförmigen Reihe³⁴ auf. Meistens muss jedoch davon ausgegangen werden, dass es sich um Geologie handelt.

Zu den Funden

Während der Ausgrabung wurden 126 Fundnummern vergeben, darunter 89 Fundnummern mit Keramik, 19 Fundnummern mit Flintartefakten, eine Fundnummer mit gebranntem Flint, 15 Fundnummern mit Bronzeartefakten, sowie eine

26 Befund 69.

27 Z. B. Befunde 52 und 54 treten neben Steinpflaster mit der Befundnr. 53 auf.

28 Befund 53.

29 Befunde 33, 34, 38, 44, 118, 119, 79.

30 Befunde 9, 10, 12, 96, 124.

31 Befunde 8, 11, 17, 18, 19, 62, 90, 114, 122.

32 Befunde 8-12, 17, 18, 19.

33 Befunde 70 und 93.

34 Befunde 49, 50, 51.

Fundnummer mit einem Eisenartefakt und eine Fundnummer mit einem Knochenartefakt (Vgl. Kap. 8.4). Des Weiteren wurden 10 Holzkohleproben und 12 Bodenproben entnommen, die jedoch nicht mehr vorhanden sind, sodass entsprechende Analysen für diese Arbeit fehlen. Die Leichenbrände aus einem Großteil der Urnen und Leichenbrandschüttungsgräbern wurden teilweise anthropologisch von Storch (Berlin) analysiert, deren Ergebnisse in diese Arbeit einfließen. Die absoluten Datierungen dieser ausgewählten Leichenbrände dienen des Weiteren der Fundplatzanalyse.

Nutzung und Datierung

Die Ackerspuren und Getreidegruben befanden sich zuunterst und können der Periode II zugeschrieben werden. Zugleich oder darauf folgte in Periode II die Anlage des Grabes mit der Zentralbestattung und der Hügel-schüttung. Eine Errichtung eines Steinkranzes zusammen mit der Bestattung kann nur vermutet werden. Die Nachbestattungen, die sowohl im Hügelmantel, als auch außerhalb des Hügel-s erfolgten, deuten auf eine Nutzung des Hügel-s als Nachbestattungsplatz von maximal 1433 bis 404 calBC, d. h. von der Periode II bis zur eisenzeitlichen Stufe I b hin. Die ältesten Nachbestattungen (insbesondere Bef. 56, 58, und 83) lagen dicht am Grabhügel, jedoch befanden sich auch die jüngsten Nachbestattungen dagegen nicht unbedingt wesentlich weiter vom Grabhügel entfernt, sodass hinsichtlich der Datierung und Platzierung auf dem Gräberfeld kein deutliches Muster festgestellt werden kann. Die zeitliche Abfolge von Bestattungen liefert demnach nicht unbedingt ein Kriterium, welchen Platz das Grab im Hügel erhielt. Einen evidenten Hinweis auf die räumliche Verteilung der Bestattungen liefern hingegen die anthropologischen Analyseergebnisse (Kap. 8.7). Der Grabhügel hatte den Datierungen zufolge eine Gesamtnutzungsdauer von der Periode II bis zum Beginn der Eisenzeit.

8.3.1.3. LA 20 (2008-428)

Der Grabhügel mit der LA-Nummer 20 befand sich auf einer kleinen, natürlichen Kuppe, die sich auf derselben Geländeerhebung befand, welche auch für die Errichtung der Grabhügel LA 17 und 18 genutzt worden war. Auch dieser Hügel wurde im Jahr 2004 zunächst im Rahmen eines Suchschnittes durch Clausen geöffnet und im Jahr 2005 durch Lütjens umfassend untersucht. Es wurde ein Kreuzprofil angelegt, das einen Profilsteig von einem Meter Breite hatte. Insgesamt wurde eine Fläche von 750 m² untersucht. Der Oberboden wurde unter Begleitung des Grabungsleiters mit einem Kettenbagger entfernt. Befunde wurden dokumentiert und geschnitten.

Befunde

Es wurden insgesamt 84 Befundnummern vergeben, von denen sich 18 Befunde als archäologisch relevant herausstellten. Es handelt sich dabei um sieben Pfosten-gruben³⁵, sechs Siedlungsgruben³⁶ und fünf Kochsteingruben.³⁷ Diese Befunde zeigten keine Struktur hinsichtlich ihrer Anordnung und können lediglich als Hinweis menschlicher Aktivitäten in diesem Areal herangezogen werden. Eine **Hügel-schüttung** konnte nicht gefunden werden. Stattdessen grenzte der moderne Pflug-horizont sogleich auf den sandig-kiesigen anstehenden Boden. Auch wurden keine Hinweise auf eine Bestattung gefunden. Lütjens schließt jedoch nicht aus, dass eine Bestattung durch die landwirtschaftliche Nutzung vollständig beseitigt worden war. Im Rahmen der Landesaufnahme von 1960 wurde der Hügel noch mit einem Durchmesser von 28 Metern und einer Höhe von 0,3 m aufgenommen (Vgl. Schwerin von Krosigk 1976, 107), sodass eine Einebnung des Hügel-s seitdem möglich ist, da solche

35 Befunde 18, 25, 41, 53, 60, 67, 84.

36 Befunde 40, 70, 71, 72, 80, 81.

37 Befunde 6, 7, 39, 61, 75.

Maße nicht im Geringsten nachvollzogen werden konnten. Vier der **Pfostengruben**³⁸ (Taf. 94) befanden sich im südlichen Bereich in einer Reihe, die nördlich und südlich von je einer Kochsteingrube³⁹ abgeschlossen wurde. Aufgrund fehlenden datierbaren Materials ist eine Aussage über eine Gleichzeitigkeit oder Zusammengehörigkeit der Befunde nicht möglich. Möglicherweise handelte es sich um einen Befundkomplex, der im nicht-dokumentierten Areal östlich der Pfostengruben anschließen könnte. Zwei weitere **Kochsteingruben**⁴⁰ (Taf. 93) befanden sich im Südosten des Nordwestsektors nebeneinander und waren umgeben von Steinstandspuren sowie anderen Verfärbungen⁴¹, die vielleicht eine leicht kreisförmige Anordnung um die Kochsteingruben aufwiesen, sofern es sich um gleichzeitige Verfärbungen handelte. Eine weitere befand sich im Südwesten des Südwestsektors.⁴² Im Südosten befand sich ein kleiner Grubenkomplex aus drei **Gruben**⁴³ (Taf. 90-92) von denen die Grube mit der Befundnummer 72 alle vorhandenen Funde beinhaltete (Absplisse, Keramik- und kalzinierte Knochenreste). Die Knochenreste stammen von Lang- und Schädelknochen, sodass es sich um den Rest einer Leichenverbrennung handeln könnte, der in der Grube entsorgt wurde. Einer der kremierten Knochen wurde zwischen 978 und 828 calBC datiert, d. h. von der Mitte der Periode IV bis zum Ende von Übergang Periode IV zu Periode V.⁴⁴ Es dürfte sich hierbei um eine Abfallgrube handeln. Die zugehörige Ustrine ist nicht klar festzustellen, da zum Beispiel die Kochsteingruben keine Funde enthielten, die eine Annahme eines Leichenverbrennungsplatzes erhärten könnten. Zwei weitere Gruben befanden sich in der südöstlichen Teilfläche⁴⁵ und eine weitere im Nordosten der Südwestfläche.⁴⁶ Bei der Dokumentation der 65 archäologisch eher irrelevanten Befunde kamen Tiergänge, Baumwurfgruben und Steinstandspuren zum Vorschein. Die Anordnung der Steinstandspuren lässt keine Erwägungen zu einer ehemaligen Existenz eines Steinkranzes oder sonstiger räumlicher Ordnungen zu.

Zu den Funden

Während der Ausgrabung wurden 12 Fundnummern vergeben, von denen fünf Fundnummern⁴⁷ nach der Grabung nicht mehr aufzufinden waren. Entsprechend setzt sich das Fundmaterial aus fünf Flintabsplissen⁴⁸, 29 Keramikscherben⁴⁹, zwei Bodenproben⁵⁰ (eine dritte ist nicht auffindbar) und zwei Fundnummern mit insgesamt dreizehn Stücken an kalzinierten Knochen⁵¹ zusammen. Die Keramikscherben sind eventuell einer Gefäßseinheit zuzuordnen. Während der Grabung wurden vier Holzkohleproben entnommen, die ebenfalls nicht mehr auffindbar sind.

Nutzung und Datierung

Ein Grabhügel konnte an dieser Stelle nicht nachgewiesen werden. Es konnten einige Siedlungsbefunde aufgedeckt werden. Des Weiteren wurden Kochsteingruben entdeckt, deren Funktion in einem gesonderten Kapitel behandelt wird (siehe unten). Eine Abfolge der Befunde konnte nicht rekonstruiert werden. Für die fundführende

38 Befunde 41, 53, 60, 67.

39 Befunde 39 und 61.

40 Befunde 6 und 7.

41 Befunde 1-5, 8-11, 13.

42 Befund 75.

43 Befunde 70-72.

44 LA 20, Befund 72: KIA-54066:2756±23uncalBP(978-828calBC).

45 Befunde 80 und 81.

46 Befund 40.

47 SH2008-428.4-7.

48 SH2008-428.7 (3).

49 SH2008-428.3 (9), SH2008-428.1 (1).

50 SH2008-428.11-12.

51 SH2008-428.2, SH2008-428.10.

Grube (Bef. 72) konnte anhand eines kalzinierten Knochens aus dem Befund ein absolutes Datum gewonnen werden, das in die Periode IV und bis zum Übergang von Periode IV bis V datiert⁵² – also einer Zeitphase in der viele Urnen am Fundplatz bestattet wurden. Aufgrund der wenigen verschiedenen kalzinierten menschlichen Knochen könnte es sich um die Reste eines Verbrennungsplatzes handeln, der für die Bestattung von Urnen der umliegenden Bereiche genutzt worden sein könnte. Eine Beschreibung als Siedlungsgrube kann aufgrund der Knochen eher ausgeschlossen werden. Lütjens nimmt an, dass die Aktivitäten in diesen Arealen mit den Grabhügeln der LA-Nummern 17 und 18 in Verbindung gesehen werden könnten. Die Charakterisierung als Verbrennungsplatz von LA 20 für die Urnen vom Grabhügel LA 18 wäre demnach sehr gut möglich. Das Vorkommen von Ustrinen und Gräbern auf einem Gräberfeld ist auch von anderen Fundplätzen bekannt. Vom Gräberfeld der Lausitzer Kultur von Müllrose sind zum Beispiel auch Tier- und Menschenknochen zusammen aus Ustrinenbefunden aufgefunden worden.⁵³

8.3.1.4. LA 21 (2014-676)

Der ehemalige Grabhügel befand sich – genauso wie die Grabhügel LA 22 und 24 – auf der Fläche des Brandgräberfeldes LA 115 (siehe unten) und wurde im Rahmen der Notbergung jenes Gräberfeldes aufgrund der Errichtung einer Kiessortier- und Waschanlage unter der Leitung von Burkhardt untersucht. Der Hügel wurde auf einer natürlichen Erhöhung, die sich aus lehmigem Sand und braunen Kieslinsen zusammensetzte, erbaut.

Befunde

Der Oberboden wurde an der Stelle des Hügels unbeaufsichtigt entfernt, sodass an dieser Stelle keine Hügelschüttung mehr erfasst werden konnte. Auch Verfärbungen konnten in dem Areal nicht bemerkt werden. Hinweise auf eine Zentralbestattung gibt es entsprechend keine. Im westlichen Hügelrandareal wurden ein jungbronzezeitliches und drei eisenzeitliche Urnengräber⁵⁴ gefunden, die im Gesamtplanum zum Brandgräberfeld LA 115 dargestellt wurden. Der Landesaufnahme zufolge wurde der Hügel 1960 noch mit 25 m im Durchmesser und einer Höhe von 0,25 m aufgenommen (Schwerin von Krosigk 1976, 107). Sofern diese Angaben stimmen, müssen sich die genannten Urnengräber als Nachbestattung im Hügelmantel befunden haben. Da die Hügelausmaße jedoch häufig überschätzt werden⁵⁵ – nicht zuletzt weil die Ausmaße der natürlichen Anhöhe oder des erodierten Hügelmaterials statt des tatsächlich aufgeschütteten Hügels gemessen wurden – kann der Durchmesser auch kleiner gewesen sein, sodass die Urnenbestattungen nicht als Nachbestattungen des Hügels gesehen werden müssen. Abgesehen davon scheinen sich einige Brandbestattungen im Westen⁵⁶ und Südwesten⁵⁷ des Grabhügels zu gruppieren, sodass ein Lagebezug erwägt werden könnte. Im Südwesten des Grabhügels handelt es sich jedoch nicht um Urnengräber, sondern um einen Ringgraben, der noch zu einem Viertel nachgewiesen werden konnte. Er umschloss ein Leichenbranddepot und wahrscheinlich auch ein Urnengrab. Sollte es sich dabei – wie auch bei den anderen Ringgräben – um einen mehr oder weniger geschlossenen Ring handeln, müsste er den Rand des Grabhügels LA 21 geschnitten haben, sofern tatsächlich ein

52 LA 20, Befund 72: KIA-54066:2756±23uncalBP(978-828calBC).

53 Mündliche Mitteilung von Verena Thiedtke, November 2019.

54 Befunde 321, 322, 323 und 381.

55 Vergleich der Hügelmaße von LA 18: 1960 geschätzt: 28 m; 2005 ausgegraben: 17 m, siehe oben.

56 Urnen mit den Befundnummern 321, 322, 323, 381.

57 Befunde 326 (Urnengrab), 327 (Urnengrab), 328 (Leichenbranddepot), 329 (Urnengrab), 330 (Leichenbranddepot), 360 (Leichenbranddepot).

Hügeldurchmesser von 28 m angenommen werden kann. Bis auf die nachbestatteten Urnen im Hügelareal, wurden während der Untersuchung keine Funde entdeckt.

Nutzung und Datierung

Eine Datierung des ehemaligen Grabhügels ist auf Basis der Befundsituation nicht möglich. Lediglich die nachbestattete Urne kann relativchronologisch in die Periode IV bis Übergang IV/V datiert werden. Diese Datierung wird von der Leichenbranddatierung bestätigt, die einen Zeitraum zwischen 1015 und 844 calBC⁵⁸ angibt und damit anzeigt, dass der ehemalige Hügel vor der Errichtung des eisenzeitlichen Brandgräberfeldes Bestand hatte.

8.3.1.5. LA 22 (2014-677)

Der Grabhügel LA 22 wurde – genauso wie die Grabhügel LA 21 und 24 – im Rahmen der Untersuchung des Brandgräberfeldes LA 115 unter der Leitung von Burkhardt untersucht. Auch dieser Grabhügel befand sich auf einer natürlichen Erhöhung, die sich aus graugelbem Sand und Lehmlinsen sowie Kies-Sand-Gemischen zusammensetzte und auch hier wurde der Oberboden unbeaufsichtigt abgezogen. Der Hügel wurde mit einem Querschnitt in vier Flächen eingeteilt.

Hügelaufbau

Im Gegensatz zu den anderen beiden Grabhügeln, die sich auf dem Brandgräberfeld befanden, ließ sich im Fall des LA 22 noch eine 10-20 cm starke Hügelerschüttung aus graugelben bis gelbbraunen schwach gefleckten humosen Sand nachweisen. Im Hügelinneren zeigte sich eher graubrauner humoser gefleckter Sand mit einem Durchmesser von 4,5 m. Es scheint demnach möglich zu sein, dass der Grabhügel in zwei Phasen aufgeschüttet worden war, oder unterschiedliche Sedimente zur Aufschüttung genutzt wurden. Insgesamt konnte ein Durchmesser von circa 10 Metern belegt werden, der jedoch sehr diffuse Grenzen aufwies. Die Sohle der Hügelerschüttung war durch Tiergänge gestört. Im Rahmen der Landesaufnahme von 1960 wurde hingegen ein Durchmesser von 28 Metern bei einer Höhe von 0,25 m aufgenommen (Schwerin von Krosigk 1976, 107).

Befunde

Im Nordostsektor des Hügels wurde eine langovale Grube⁵⁹ von 3 × 1,5 m Größe und mit einer Tiefe von 30 cm entdeckt, die als ältere Raubgrabung einer Grabstelle angesprochen wurde. Aus der Grube wurde eine urgeschichtliche Wandungsscherbe geborgen, die als einziger Fund der Grabung aufgenommen wurde, jedoch während der Fundaufnahme für die vorliegende Untersuchung nicht mehr vorlag. Auf Höhe der Mitte des Westprofils des Südostsektors wurde des Weiteren ein völlig zerstörtes Urnengrab⁶⁰ gefunden. Es scheint im Rand der Hügelerschüttung nachbestattet gewesen zu sein.

Nutzung und Datierung

Es handelt sich um einen Grabhügel, der eventuell eine beraubte Grabanlage sowie ein nachbestattetes Urnengrab enthielt. Die Zweiteilung in der Hügelerschicht-Zusammensetzung kann auf eine mögliche Mehrphasigkeit hinweisen. Da im Hügelzentrum eine andere Zusammensetzung des Schüttungsmaterials vorlag, könnte erwägt werden, dass der Hügel einst erneut überhügelt wurde. Im Profil treffen diese zwei Schichten nicht mehr eindeutig aufeinander. Dies könnte aus der Einbettung des Hügels resultieren, sodass die Schicht der Überhügelung bereits durch

58 LA 115/LA 21, Befund 321: KIA-54116:2798±26uncalBP(1015-844calBC).

59 Befund 130.

60 Befund 387.

landwirtschaftliche Aktivitäten abgetragen wurde und dementsprechend nur noch im Planum und anhand des Schichtübergangs im Profil zu sehen war. Die Datierung des ehemaligen Grabhügels ist nicht möglich. Lediglich die Urnennachbestattung deutet auf eine erneute Hügelnutzung hin. Die Einordnung der Urne ist aufgrund der Fragmentierung unklar.

8.3.1.6. LA 23 (2014-241)

Der Grabhügel LA 23 wurde im Sommer 2014 unter der Leitung von Burkhardt durchgeführt. Die Ausgrabung umfasste dabei eine Fläche von 600 m² und wurde mit dem Mittelpunkt auf der höchsten Erhebung und im Zentrum einer bereits aufgepflügten Steinsetzung platziert. Der Grabhügel wurde mittels eines Kreuzschnitts in vier Flächen eingeteilt, die von einem 0,5 m breiten Profilsteg getrennt wurden. Der Abtrag des 20-25 cm starken Oberbodens erfolgte mithilfe eines Hydraulikbaggers. Bodenverfärbungen wurden mit Befundnummern versehen und entsprechend dokumentiert. Die Hügelschüttung wurde nach der Dokumentation bis zum anstehenden Boden abgetragen (2 Plana). Gräber wurden in vier Plana aufgenommen. Im Norden des Grabungsschnitts grenzte der Grabhügel an einen modernen Knickwall und wurde dadurch entsprechend begrenzt, sodass der Hügel nicht vollständig erfasst werden konnte.

Es wurden insgesamt acht Befundnummern vergeben, die eine Hügelschüttung, drei Gräber, eine Pfostengrube, eine Grube und eine Scherbenkonzentration umfassten. Des Weiteren wird im Bericht einmalig ein Entnahmegraben (ohne angegebene Bef.-Nr.) genannt, jedoch wird Jener an keiner Stelle beschrieben oder lokalisiert. Womöglich handelte es sich um eine Verfärbung, die während der Grabung den Anschein eines solchen Grabens machte, jedoch nicht weitergehend dokumentiert wurde. Alle Befunde befanden sich innerhalb des Grabhügels und standen somit im unmittelbaren Bezug zu ihm.

Hügelaufbau

Die Hügelschüttung (Bef. 1) zeigte sich nach dem ersten Abtrag in allen Teilflächen mit einem Durchmesser von circa 14 m mit diffusen Grenzen. Im Profil zeigte sich die Hügelschüttung auf 13 m Durchmesser unterhalb eines 30 bis 40 cm starken A-Horizonts. Im zweiten Planum dezimierte sich der Hügeldurchmesser um die Hälfte und damit auf sieben Meter. In der Landesaufnahme von 1960 wurde der Grabhügel mit 22 m Durchmesser beschrieben (Schwerin von Krosigk 1976, 107). Die Hügelschüttung setzte sich aus graubraunem, kompaktem und stark lehmigen Sand mit Wurzelresten sowie verkohltem Material zusammen, das teilweise braungraue Flecken aufwies, die von der Ortsteinbildung stammten und Einlagerungen von schotter- bis faustgroßen Geröllsteinen auf einer relativ ebenen Sohle aufwiesen. Das verkohlte Material deutet darauf hin, dass es sich bei dem Schüttungsmaterial um zuvor genutzte Bodenschichten handelte. Die Hügelstärke konnte im Profil auf 10 bis 25 cm bemessen werden. In der Landesaufnahme wurde der Hügel mit einer Höhe von 0,2 m aufgenommen (Schwerin von Krosigk 1976, 107). Begrenzt wurde die Hügelschüttung durch den anstehenden braunen Lehm und Kies mit Lehmlinsen, auf dem die Schüttung auch im Profil auflag. Als bronzezeitlicher A-Horizont kann die Geländeoberfläche dabei nicht identifiziert werden, sodass angenommen werden kann, dass die Oberfläche vor dem Bau des Hügel abgetragen worden ist. Aus der Hügelschüttung wurden einige Absplisse geborgen.⁶¹

61 SH 2014-241.10.

Primärbestattung

Das sogenannte **Grab 3 (Bef. 8)** befand sich westlich der Hügelmitte. In den Plana zeigte es sich als Ost-West ausgerichtete rechteckige Steinsetzung von $2,7 \times 1,1$ m mit abgerundeten Ecken. Diese Setzung war dabei von einer bis zu 15 cm tiefen grabenförmigen Einfassung umschlossen, die sich aus graubraunem humosem und holzkohlehaltigem Sand zusammensetzte. Innerhalb der Setzung war im östlichen Bereich noch eine runde und kompakte vierlagige Steinsetzung von 1 m Durchmesser vorhanden, die graubraunen gefleckten stark holzkohlehaltigen Sand enthielt (Taf. 98). An der östlichen Stirnseite konnte im Profil eine muldenförmige kreisrunde Grube entdeckt werden, die aus faust- bis doppelfaustgroßen Geröllsteinen in vier Lagen mit graubraun geflecktem stark holzkohlehaltigem Sand verfüllt war. Das Grab reichte 20 cm tief in den anstehenden Lehm und wurde von der Hügel-schüttung bedeckt (Taf. 99). Burkhardt vermutet, dass es sich bei dem Befund um einen Steinpackungsmantel für einen Baumsarg mit einer Körperbestattung handelte. Hinweise auf einen Leichenschatten oder Verfärbungen vom Baumsarg werden im Bericht jedoch nicht genannt. Der Steinpackungsmantel könnte tatsächlich für einen vergangenen Baumsarg sprechen. Es muss sich jedoch nicht unbedingt um eine Körperbestattung handeln, sondern es könnte sich ebenso um eine Leichenbrandschüttung handeln, deren Fragmente so gering bzw. nicht mehr vorhanden sind, sodass sie nicht mehr erkannt werden konnten. **Funde** konnten aus dem Grab keine geborgen werden. Eine Datierung in die ältere Bronzezeit wurde von Burkhardt aufgrund der Konstruktion angenommen. Dass das Grab ins Spätneolithikum datiert, schließt er jedoch auch nicht aus. Aus stratigrafischen Gründen kann das Grab in die Periode II oder älter datieren (siehe unten).

Nachbestattungen

Das **Grab 1 (Bef. 2)** befand sich ein wenig östlich der Hügelmitte und setzte sich aus zwei parallel zueinander verlaufenden, Nord-Süd-ausgerichteten Steinreihen aus doppelfaust- bis kopfgroßen teils auch plattigen Geröllsteinen zusammen (Taf. 96). Die Steinsetzung erreichte dabei eine Länge von 2,6 m und eine Breite von 1,2 m. An den Schmalseiten konnte diese Steinsetzung nur noch anhand größerer Steinstandspuren rekonstruiert werden. Innerhalb der Setzung wurden viele schottergroße, teils zerschlagene Steinchen entdeckt. Auch Flintabschläge und Keramikscherben konnten aus diesem Areal geborgen werden. Im Planum darunter setzte sich das Grabinnere aus graubraunem feinem geflecktem Sand zusammen, der mit Holzkohlepartikeln stark durchsetzt war sowie graubrauner, stark mit Tiergängen durchzogener Lehm und Teile der Hügel-schüttung. Die Steinsetzung ist demnach in die Hügel-schüttung eingelassen worden. Dies ist auch anhand des Profilverlaufs nachvollziehbar (Taf. 96). Unmittelbar darunter und in das Grab hineinreichend wurde ein Baumwurf aus bräunlich lehmigem stark mit Holzkohle-Konzentrationen durchsetztem Sand gefunden. Darunter folgte der anstehende braune Lehm. Auch bei diesem Grab vermutet Burkhardt, dass der Steinpackungsmantel einen Baumsarg mit einer Körperbestattung umfasste und zieht diese Konstruktion als Indikator für eine älterbronzezeitliche Einordnung heran, die jedoch jünger als die Primärbestattung und die Hügel-schüttung sein muss. An **Funden** liegen aus der Bestattung lediglich ein paar stark verrollte Keramikscherben vor, die nicht rekonstruiert oder bestimmt werden können. Des Weiteren wurden neun Abschläge und 29 Absplisse gefunden.⁶² Genauso wie bei Grab 3 (Bef. 8) kann ein vergangener Baumsarg sehr gut angenommen werden, da es sich bei der Steinsetzung um eine Einfassung handelt. Eine Körperbestattung muss jedoch nicht zwangsläufig vorliegen, da dem Bericht nach kein Leichenschatten vorhanden gewesen ist. Dementsprechend ist es auch nicht auszuschließen, dass es sich um eine Leichenbrandschüttung handelte, deren

Rückstände vergangen sind oder verlagert wurden. Eine Holzkohleprobe⁶³ aus dem Grab stammt nach Dannath von der Eiche (*Quercus*) und datiert den Befund zwischen 1496 und 1305 calBC, d. h. in die Periode II.⁶⁴ Da das Holzkohlestück jedoch nur einen Jahrring lieferte, ist die Datierung nicht unkritisch zu sehen. Die zweite Nachbestattung – das **Grab 2 (Bef. 5)** – befand sich leicht nordwestlich des Hügelzentrums und bestand aus einem Ost-West-ausgerichteten verrissenen einlagigen Steinpflaster, das aus doppelfaust- und kopfgroben Geröllsteinen zusammengesetzt worden war. Die Steinsetzung hatte dabei eine Länge von zwei Metern und eine Breite von 1,2 Metern. Bereits im ersten Planum zeigten sich die deutlich auseinandergerissenen Steine und auch, dass das Steinpflaster auf der Hügelanschüttung auflag, bevor die Schichtung in den anstehenden braunen Lehm überging (Taf. 97). Dabei war sie teilweise zweilagig vorhanden und wies am westlichen Rand größere Einfassungssteine auf. Aus dem Grab wurde ein kleines Stück kalzinierter Knochen⁶⁵ sowie an **Funden** ein Flintabschlag und ein Flintabspliss⁶⁶ geborgen (Taf. 97). Burkhardt geht bei dem Grab von einer Körperbestattung aus, die aufgrund der Stratigrafie aus der jüngsten Hügelnutzungsphase stammen müsste. Hinweise auf Leichenreste liegen lediglich in Form eines Leichenbrandfragments vor, sodass es sich auch um ein Leichenbrandschüttungsgrab handeln könnte. Aufgrund des bereits zerstörten Steinpflasters muss davon ausgegangen werden, dass weitere Knochenfragmente bereits durch moderne Landwirtschaftsaktivitäten gestört wurden. Das einzelne Stück Leichenbrand kann jedoch auch aus einem anderen Befund in die Bestattung verlagert bzw. verschleppt worden sein. Das Grab ist jünger als Befund 2 und dürfte somit in die Periode II oder jünger datieren.

Weitere Befunde

In der Südwest-Fläche des Schnittes wurde mit dem ersten Planum eine **Steinsetzung**⁶⁷ aufgedeckt, die aus doppelfaust- bis kopfgroßen Geröllsteinen bestand. Sie war ungefähr von NO nach SW ausgerichtet und lag auf der Hügelanschüttung auf. Die Steinsetzung war bereits stark gestört, sodass angenommen werden muss, dass ein Großteil der ehemaligen Konstruktion aufgepflügt worden war. Aus der Nähe des Befundes stammen sechs Abschlüge.⁶⁸ Eine zeitliche Einordnung ist unmöglich. Es könnte sein, dass es sich um eine zerpflügte Nachbestattung handelt. Südöstlich davon wurde eine **Keramikkonzentration**⁶⁹ (Taf. 95) freigelegt, die sich am Rande einer flachen Verfärbung graubraunen leicht humosen Sandes von 0,5 × 0,9 m befand. Der Befund war in den Hügelanschüttungsrand eingetieft worden. Darunter folgte brauner anstehender Lehm. Ob es sich um den Rest einer nachbestatteten Urnenbestattung handelt, die vom modernen Pflug erfasst wurde, bleibt ungewiss. Die Scherben sind stark verrollt und nicht mehr bestimmbar. Im Osten der Nordostfläche befand sich eine amorphe **Grube**⁷⁰ (Taf. 95). Sie setzte sich aus stark lehmigem Sand mit einem hohen Anteil weißlich-grauer Holzasche zusammen und wurde von einem braunen circa fünf cm breiten Streifen der Ortsteinbildung begrenzt. Das Profil der Grube ist wannenförmig und zeigte noch eine Resttiefe von 30 cm, die in die Hügelanschüttung eingetieft worden war. Sie ist damit jünger als die Hügelanschüttung. An Funden konnte laut Bericht eine Keramikscherbe aus der Grube geborgen werden. In der Fundliste wurde der Fund jedoch nicht erwähnt und auch bei der Fundaufnahme, konnten diesem Befund keine Funde zugeordnet werden. Nördlich

63 SH2014-241.13.

64 LA 23, Befund 2: KIA-54347:3137±26uncalBP(1496-1305calBC).

65 SH 2014-241.8.

66 SH 2014-241.9.

67 Befund 3.

68 SH 2014-241.6.

69 Befund 4.

70 Befund 6.

der Grube wurde zudem eine **Pfostengrube**⁷¹ freigelegt (Taf. 95). Im ersten Planum wurde der Befund als runde Verfärbung aus schwarzgrauem stark holzkohlepartikelhaltigem Sand von 27 cm Durchmesser wahrgenommen. Beim Schneiden der Pfostengrube wies sie nur noch eine Tiefe von zehn cm auf. Der Befund befand sich unterhalb der Grabhügelschüttung im anstehenden braunen Lehm und ist damit älter als der Grabhügel. Der Holzbestimmung nach Dannath zufolge handelte es sich bei dem Pfosten wahrscheinlich um einen Eichenpfosten (*Quercus*).⁷²

Zu den Funden

Während der Ausgrabungstätigkeiten wurden 16 Fundnummern vergeben. Dabei handelt es sich um zwei Bodenproben⁷³, zwei Holzkohleproben⁷⁴, ein Knochenfragment⁷⁵, 30 Keramikscherben⁷⁶, 21 Flintabschläge⁷⁷, zwei retuschierte Flintabschläge⁷⁸, drei Flintklingen⁷⁹, 40 Flintabsplisse⁸⁰, zwei Kratzer aus Flint⁸¹ und ein Flintdolchgrifffragment⁸² (Taf. 100). Letzterer könnte aufgrund seiner Lage einen Bezug zu Grab 1 (Bef. 2) vermuten lassen. Burkhardt berichtet, dass die Flintartefakte auf die neolithische Nutzung des Hügels hinweisen. Es ist jedoch wahrscheinlich damit zu rechnen, dass die Artefakte im Zuge der Hügelaufschüttung, die mithilfe des umliegenden Erdreichs erbaut wurde, mit in den Hügel gelangt sind. Dies wird auch von o. g. verkohltem Material in der Hügelschüttung unterstützt. Diese Funde sollten deswegen keinesfalls als Datierungsindikatoren herangezogen werden. Des Weiteren sind Flintartefakte wie Abschläge, Absplisse oder ähnliches keine Datierungsmarker, da sie in sämtlichen Zeitphasen der Vorgeschichte vorkommen. Ein Beigabencharakter muss jedoch stets bedacht werden, sofern sich die Objekte im unmittelbaren Bezug zum Grab befinden.

Nutzung und Datierung

Auf die Entfernung des – möglicherweise älterbronzezeitlichen – A-Horizonts, bei der der Rest einer Pfostengrube im Boden verblieb, folgte die Anlage des Primärgrabes, das in den Boden eingetieft und schließlich überhügelt wurde. Die Primärbestattung muss dabei in die Periode II oder älter datieren, da die erste Nachbestattung (Grab 1, Bef. 2) mithilfe einer Holzkohleprobe in die Periode II datiert werden konnte. Darauf folgte die zweite Nachbestattung von Grab 2 (Bef. 5), das demnach in die Periode II oder jünger datieren müsste. Die Scherbenkonzentrationen, die Steinsetzung und die Grube wurden zu bisher unbestimmten Zeitpunkten angelegt.

8.3.1.7. LA 24 (2014-678)

Der Grabhügel wurde – genauso wie die Grabhügel LA 21 und 22 – unter der Leitung von Burkhardt im Rahmen der Untersuchung des Brandgräberfeldes LA 115 erforscht. Der Oberboden wurde unbeaufsichtigt entfernt, wobei der Abzug bis zum anstehenden Kies erfolgte. Der Grabhügel wurde dabei weitestgehend entfernt. Er befand sich dabei auf einer natürlichen Erhebung, die sich aus lehmigen Kies-Sand-Gemischen zusammensetzte.

71 Befund 7.

72 SH 2014-241.14.

73 SH 2014-241.15-16 (Befund 1-2).

74 SH 2014-241.13-14 (Befund 2 und 7).

75 SH 2014-241.8 (Befund 5).

76 SH 2014-241.11-12 (Befund 2 und 4).

77 SH 2014-241.2, 5-7 und 9.

78 SH 2014-241.2 und 7.

79 SH 2014-241.2 (Abtragsfund).

80 SH 2014-241.2, 7, 9 und 10.

81 SH 2014-241.3 und 4 (Abtragsfunde).

82 SH 2014-241.1 (Abtragsfund).

Befunde

Eine Hügelerschüttung konnte nicht mehr erfasst werden. Mögliche tiefergehende Eingrabungen und Steinstandspuren konnten nicht (mehr) beobachtet werden. Es konnten auch keine zum Grabhügel zugehörigen Funde geborgen werden. Lediglich drei Urnen und ein Nadelfragment aus Eisen aus einer Urne⁸³ wurden geborgen. Im Südosten des vermutlichen Randbereichs des Grabhügels befanden sich drei eisenzeitliche Urnengräber⁸⁴ sowie eine annähernd quadratische Vierpfostenstruktur⁸⁵ von 2 × 1,8 m. Aufgrund ihrer Form und Größe, könnte letzterer Befund Teil einer ehemaligen Grabkonstruktion – zum Beispiel einer einfachen Totenhütte oder Grab-einfriedung – gewesen sein. Innerhalb dieser Struktur konnten noch drei diffuse Verfärbungen mit geringen Holzkohleanteilen beobachtet werden. Ob es sich dabei möglicherweise um Staken handelt und es sich somit um einen komplexeren Bau handelte, wurde im Bericht nicht erwähnt. Der Landesaufnahme zufolge befand sich an dieser Stelle um 1960 ein Grabhügel von 38 m Durchmesser und 0,5 m Höhe (Schwerin von Krosigk 1976, 107). Sofern ein solch großer Hügeldurchmesser angenommen werden könnte, müssten wesentlich mehr Urnengräber in Beziehung zum Grabhügel gestanden haben und beispielsweise als Nachbestattung im Hügelmantel oder als Bestattung zum Umfeld des Hügels gezählt werden. Es konnte weder eine Hügelerschüttung, noch eine zentrale Bestattung nachgewiesen werden. Es ist jedoch sehr wahrscheinlich, dass jene Befunde während des unbeaufsichtigten Bodenabtrages entfernt wurden und entsprechend verloren gegangen sind. Eine Datierung des Grabhügels ist dementsprechend nicht möglich. Die Einordnung der Urnen ist unbestimmt. Aufgrund des Nadelfragments ist ein eisenzeitlicher Kontext mindestens für eine Urne wahrscheinlich.

8.3.1.8. LA 57 (2017-99)

Der Grabhügel LA 57 wurde im Rahmen dieser Dissertation untersucht. Die Rahmendaten, Vorgehensweise und Grabungsmethode wurde bereits im vorherigen Kapitel beschrieben. Das wellige Relief des Feldes und die bereits starke Einebnung des Grabhügels durch landwirtschaftliche Tätigkeiten, ließ den Hügel nur schwer im Gelände erkennen. Während der Grabung wurden 141 Befundnummern vergeben. Dabei handelte es sich um 88 archäologische Befunde: die Hügelerschüttung, eine Zentralbestattung⁸⁶, zwei gestörte Urnengräber, 35 Pfostenlöcher, 33 Gruben, 15 Steinstandspuren (Taf. 137-138, 141) und eine Feuerstelle. 54 Befunde sind als geologische Befunde zu identifizieren: darunter 31 Schichtreste, acht Baumwürfe (Taf. 101-102), neun Tier-/Wurzelgänge und andere geologisch bedingte Verfärbungen. Des Weiteren wurden zwei moderne Gruben und zwei weitere mögliche Raubgruben, die modern oder vorgeschichtlich sein könnten, entdeckt. Darüber hinaus konnte im Nordprofil eine prähistorische wohl ackerbaulich genutzte Schicht freigelegt werden.

Hügelaufbau

1960 wurde der Grabhügel noch mit einem Durchmesser von 38 m und einer Höhe von 0,8 m beschrieben (Schwerin von Krosigk 1976, 107). Der Hügeldurchmesser betrug bei der Ausgrabung ungefähr 20 m. In den Teilflächen 1 und 2 war die Hügelerschüttung auch im Planum sichtbar, während eine Orientierung an den Profilen in den Teilflächen 3 und 4 nötig war. Die alte Humusoberfläche hob sich als helles ausgewaschenes Band ab, das den Übergang von der Hügelerschüttung zum natürlich

83 Befund 355.

84 Befunde 354 (¹⁴C-datiert), 355, 375.

85 Befund 350-354.

86 Befund 1001/2001.

gewachsenen Boden bildete. Der Rand des Grabhügels war im Profil durch Sedimente, die von Oxidbändern durchzogen waren oder den anstehenden Boden durch Sand-Kies-Gemische aufzeigten, gekennzeichnet. In der Mitte der Hügelschüttung war die Aufschüttung nur sehr gering erhalten, da dieser ehemals höchste Punkt wahrscheinlich im Zuge der landwirtschaftlichen Feldnutzung eingeebnet worden war. Die Schüttung des Grabhügels LA 57 war nur noch mit einer Mächtigkeit von circa 0,40 m vorhanden. Dies ließ sich am deutlichsten in den Profilen erkennen. Die ehemalige Höhe des Grabhügels ist nicht nachvollziehbar. Bei Annahme einer Schüttung in Halbkugelform, würde sich bei dem rekonstruierbaren Hügeldurchmesser von ca. 20 m eine Höhe von 10 m ergeben. Es konnte keine Mehrphasigkeit in der Stratigrafie festgestellt werden. Ein Steinkranz kann lediglich in Teilfläche 3 erahnt werden, weil mehrere große Steine in einer Reihe lagen. Es kann allerdings davon ausgegangen werden, dass die Steine eher auf dem Grabhügel verteilt lagen und nicht um ihn herum. In Teilfläche 2 befanden sich viele Steine am Hügelrand. Dabei handelte es sich aber höchstwahrscheinlich um größtenteils geologische Steinhäufungen, die einem ausgedehnten Kiesbett angehörten. Möglicherweise handelt es sich demzufolge bei den registrierten Steinen im Gesamtplan, die vor allem in Teilfläche 3 vorliegen, nicht um einen Steinkranz, sondern um eine Steinhäufung, die zum Grabhügel gehörte – etwa zum Stabilisieren der Hügelschüttung. Es ist also unklar, ob es sich um artifizielle oder natürliche Strukturen handelte. Besonders große Steine im Planum und Profil könnten jedoch unterschiedliche Reihen an Steinen, die auf dem Hügel abgelegt wurden, markiert haben (ungefähr bei 3 m und bei 7 m, vergleiche Nordprofil in Teilfläche 3). Einige Baumwürfe könnten darauf hindeuten, dass der Hügelrand von einigen Bäumen umrandet war. Bis auf Teilfläche 2 weisen alle Flächen mindestens einen Baumwurf in Hügelrandnähe auf.

Primärbestattung

Die Hauptbestattung befand sich zentral im Grabhügel und wurde deswegen auch vom Profilsteg der Teilflächen 1 und 2 geschnitten. Zudem lag sie sehr dicht neben dem Kreuzprofil, dem Mittelpunkt des Schnitts und zugleich höchsten Punkt des Rundhügels. Es wurde in zehn Plana dokumentiert, um die Veränderung der Verfärbungen genau dokumentieren zu können. Das Grab zeichnete sich als braune Verfärbung ab und kam direkt unter der Humusoberfläche zum Vorschein, sodass davon ausgegangen werden muss, dass einige Schichten bereits durch landwirtschaftliche Tätigkeiten zerstört wurden. Die Verfärbung erstreckte sich vier Meter in W-O-Richtung und wies eine maximale Breite von 1,6 m auf. Dabei handelt es sich wahrscheinlich um die vergangenen Überreste des Baumsarges. Am südwestlichen Rand des Grabes kündigte sich bereits ab dem dritten Planum eine zweilagige Steinsetzung auf 52,9-53,01 m über NN aus faust- bis kopfgroßen Steinen an, die mit dem siebten Planum besonders deutlich zu sehen war. Die Steine wurden vermutlich zum Abstützen des vergangenen Baumsarges im weichen Sand genutzt. Im Osten des Grabes war eine solche Steinsetzung vermutlich nicht nötig, weil der natürlich anstehende Kies in diesem Bereich einen stabilen Untergrund bildete. Im Profil konnten aber auch im östlichen Bereich einige größere Steine registriert werden, die den Baumsarg abstützten. Anhand der Verfärbungen im Planum des Grabes kann eine bräunliche Schicht am Grabrandbereich von einer schwärzlichen Schicht in der Grabmitte getrennt werden. Die schwärzliche Schicht kann organische Spuren der Zersetzung von Beigaben (z. B. Textilien) oder dem Sarg darstellen (Taf. 139). Im Ostteil des Grabes wurde zunächst ein Leichenschatten vermutet, dabei handelte es sich aber wahrscheinlich eher um die vermoderten Reste organischen Materials. Im Profil ist eine klare Dreiteilung in den Verfärbungen zu erkennen: An die Humusoberfläche grenzt unmittelbar eine mittelbraune Schicht (ca. 10 cm) an, die von einem schwärzlich-dunkelbraunen Stratum (ca. 15 cm) gefolgt wird. Eine erneute mittelbraune Schicht (ca. 15-20 cm) schließt den Befund halbrund muldenförmig

nach unten ab. Der Umriss eines Baumsarges kann bei der Form der Verfärbung im Profil stark angenommen werden (Taf. 140). Aus dem Grab konnten 13 Keramikscherben und 45 Flintartefakte (davon 43 Abschlüge, eine Klinge und ein Klingensplitter) sowie 10 Stücke gebrannter Flint geborgen werden (Taf. 141). Des Weiteren wurden einige Leichenbrandfragmente (14 Stück) gefunden. Die Analyse des Leichenbrandes durch Susanne Storch ergab, dass es sich wahrscheinlich um die Reste menschlichen Leichenbrandes handelt. Kompaktahaltige Fragmente verweisen eher auf Langknochenbereiche. Die vorhandenen spongiosahaltigen Fragmente könnten sowohl zu Langknochen, als auch Epiphysen gehören. Aufgrund der geringen Größe der Knochenfragmente sei eine genaue Zuordnung jedoch schwierig. Des Weiteren erwies sich ein unverbranntes Fragment als Tierknochenrest. Dementsprechend könnte im Grab eine Fleischbeigabe gelegen haben. Ein Pfostenloch, das unmittelbar neben der Zentralbestattung gefunden wurde, könnte die Position des Grabes oberirdisch markiert haben, da es singular auftritt. Eine ähnliche Befundsituation liegt vom Grabhügel LA 69 vor. Ein Holzkohlestück von der Kiefer (*pinus*) datiert den Befund von 1917 bis 1747 calBC, d. h. vom Spätneolithikum II bis zur Mitte der Periode I. Dieses im Vergleich zum Grabbefund datierende Datum kann auf die mittelmäßige Eignung der Holzkohleprobe rückgeschlossen werden, da für Kiefern eine mögliche Alterung von 600 Jahren kalkuliert werden muss. Für das Grab wurde demzufolge mindestens ein Individuum verbrannt und der Leichenbrand wurde dann in einem Baumsarg ausgestreut. Der Sarg wurde anschließend auf der natürlichen Geländekuppe platziert. Dazu wurde der Oberboden abgetragen, denn zwischen dem anstehenden Boden und der Hügelschüttung waren keine Verfärbungen zu sehen. Der Befund wurde in den anstehenden Boden leicht eingetieft. Im Osten lag er auf dem Kiesbett auf und der Sarg wurde dort besonders gut von den im Sediment enthaltenen Steinen abgestützt, während im Westen einige Steine untergelegt werden mussten, um den Sarg im anstehenden Sand abzustützen bzw. ihn gerade auszurichten. Der Sarg wurde dann mit einer Schüttung aus Sand und kleinen bis größeren Steinen überhügelt.

Nachbestattungen

Südwestlich des Hügels konnte während der Ausgrabung ein gestörtes **Urnengrab**⁸⁷ freigelegt werden. Eine weitere Steinpackung, deren Größe auf eine Urne hinweisen könnte, konnte im Nordwesten des Grabhügels als mögliches beraubtes Urnengrab⁸⁸ angesprochen werden, da es an eine mögliche Raubgrube anschloss. Ersteres⁸⁹ wies eine Keramikkonzentration auf. Teilweise steckten die Scherben noch zusammenhängend kreisförmig in der Verfärbung. Die vermutliche Urne war von einer Steinpackung umgeben und mit einem eventuellen Mahlsteinfragment abgedeckt (Taf. 142-144). Die Keramikfragmente wiesen zum Teil längliche Knubben auf. Des Weiteren wurden aus dem Befund Stücke gebrannten Flints und Abschlüge gefunden. Der gebrannte Flint könnte vom Verbrennungsvorgang stammen. Die Zeitstellung dieses Urnengrabes ist nicht sicher. Aufgrund der Bestattungsweise kann eine Datierung in die Jüngere Bronzezeit vermutet werden. Insbesondere die Randform von der Urne aus Befund 4003 lässt einen jüngerbronzezeitlichen Horizont vermuten (Vgl. Kap. 8.4.1.7). Ein Holzkohlefragment von der Hasel aus dem Grab datiert zwischen 2137 und 1952 v. Chr. und würde den Befund damit wesentlich früher einordnen, sodass vermutet werden muss, dass dieses Holzkohlefragment keine präzise Datierung liefert, da die Eintiefung der Urne in den Hügel nicht vor dem Bestehen des Hügels stattgefunden haben kann.⁹⁰ Aufgrund der Störung des Grabes kann davon ausgegangen werden, dass das Holzkohlefragment aus anderen

87 Befund 4003.

88 Befund 1019.

89 Befund 4003.

90 LA 57, Befund 4003: KIA-54340: 3662±27uncalBP (2137-1952calBC).

Schichten in den Befund gelangte. Das andere, eher **unsichere Urnengrab**⁹¹ bestand überwiegend nur noch aus einer sehr kompakten Steinpackung (ca. 5 übereinanderliegende Steinschichten). Es befand sich unmittelbar neben einer länglichen Verfärbung, die zunächst als Grube angesprochen wurde. Darin wurden Abschlüge und Keramikscherben entdeckt (Taf. 145-146). Es ist möglich, dass diese Grube von Raubgräbern stammt, die das Grab dabei so durchwühlt haben, dass die Urne völlig zerstört und aus dem Steinverbund gerissen wurde. Möglicherweise fiel die Urne dem sogenannten ‚Urnenstechen‘ des 18./19. Jahrhunderts zum Opfer. Die Datierung eines Holzkohlefundes aus dem Befund, das zwischen 1516 und 1426 calBC, d. h. vom Ende der Periode I bis zur Mitte der Periode II datiert, überrascht, da diese frühe Datierung noch vor den Bau des Grabhügels reichen würde. Es wäre demnach durchaus möglich, dass das sehr kleine Holzkohlestück, das von einer Eiche stammt, älter ist als der Befund oder aus älteren Schichten stammt und während der grabräuberischen Tätigkeiten aus umliegenden Schichten in den Befund gelangte. Des Weiteren könnte es sich bei dem Befund nicht um ein Urnengrab, sondern um eine Steingrube handeln, wie sie auch von anderen Grabhügelarealen des Fundplatzes bekannt sind und somit aus der Zeit vor Erbauung des Grabhügels LA 57 stammen.

Weitere Befunde

In allen Teilflächen zeichneten sich **moderne Pflugspuren** ab, die den landwirtschaftlichen Bodeneingriff oft bis unter die humose Oberfläche zeigten. **Prähistorische Hakenpflugspuren** konnten lediglich unsicher vor dem Ostprofil der Teilfläche 1 nördlich des Grabes entdeckt werden. Es handelt sich um kurze, querzueinander laufende humose Pflugspurenreste. Sofern es sich tatsächlich um prähistorische Pflugspuren handelt, dürften sie auf Beackerungen unterhalb des Grabhügels hindeuten. Im Allgemeinen gibt es Theorien zu rituellen Pflugtätigkeiten (siehe oben). Es kann sich aber auch um Reste handeln, die keine Verbindung zum Grabhügel gehabt haben. In der Teilfläche 2 wurde festgestellt, dass sich an den Grabhügel nach dem Humusabtrag eine dunkelbraune bis schwärzliche Schicht anschloss. Im Nordprofil der Teilfläche 2 konnte im Profil beobachtet werden, dass sich unter dem Humus ein Kolluvium zeigte, das eine schwarze Schicht überdeckt hatte. Pollenanalysen ergaben, dass es sich bei dem schwarzen Stratum um eine agrarisch genutzte Schicht handelt, die neolithisch oder jünger sein kann. Ein prähistorisches Alter ist gesichert. Es wurden OSL-Proben sowohl aus der schwarzen Kulturschicht bei 90 cm über NN, als auch oberhalb der Kulturschicht aus dem Kolluvium bei 73 cm über NN, sowie darüber aus 54 cm über NN entnommen. Der **prähistorische Ackerboden** datiert zwischen 3140 bis 2660 BC (OSL: 4.85 +/- 0.24 BP) und zeigt demnach, dass auf dem Feld landwirtschaftliche Tätigkeiten in jungneolithischer Zeit, vor dem Bau des Grabhügels, stattgefunden haben. Das Kolluvium 1 oberhalb dieses Ackerhorizonts datiert derweil zwischen 1100 und 560 BC (OSL: 2.78 +/- 0.27 BP), d. h. vom Ende der Periode III bis zum Ende der Periode VI. Ein Getreidekorn, das an der Unterkante des Kolluvium 1 gefunden wurde, konnte zwischen 777 und 544 calBC, d. h. von der Mitte der Periode V bis zum frühen Ende der Periode VI datiert werden⁹² und schließt damit genau an das OSL-Datum des Kolluviums an. Das Kolluvium 1 konnte auch in dem Westprofil der Teilfläche 2 verfolgt werden. Dabei begann es ab circa 14 m vom Mittelpunkt des Kreuzprofilsschnittes und zog sich bis zum Ende des dokumentierten W-Profiles. Auch im Nordprofil der Teilfläche 3 war die dunklere Färbung unterhalb der Ackerkrume erkennbar. Je näher es an den Mittelpunkt des Profilkreuzes grenzte, wurde die Schicht dünner und verwaschener. Eine ähnliche Schichtung konnte auch in den Profilen von LA 18 an verschiedenen Stellen erfasst werden. Ob es sich dabei auch um einen agrarischen Horizont handelt, kann im

91 Befund 1019.

92 LA 57, Baggeraushub: KIA-55329:2510±26uncalBP(777-544calBC).

Nachhinein nur noch gemutmaßt werden, da keine messbaren Proben entnommen wurden. Das Kolluvium 2 ist dagegen neuzeitlich und stammt womöglich von den landwirtschaftlichen Tätigkeiten mit dem modernen Pflug. Steinansammlungen, die teilweise nahezu rechteckige Anordnungen aufweisen und auf **ehemalige Grabanlagen** hindeuten könnten, können mithilfe dieser kolluvialen Schichtung einem Zeithorizont zugeordnet werden. Eine der Steinkonstruktionen kann mehr als acht Meter nördlich der Zentralbestattung angenommen werden.⁹³ Dabei handelt es sich um eine NO-SW-ausgerichtete längliche rundlich-ovale Anlage von circa 6,60 m Länge und 3 m Breite mit mehreren Querreihen (Taf. 147). Die Anlage befand sich unterhalb des Kolluvium 1 und müsste demnach älter als das Kolluvium 1, also in die Periode III bis VI datieren oder älter sein. Nach Funden suchte man in diesem Befund jedoch vergebens. Lediglich ein paar Holzkohlestücke konnten aus den Steinarealen gewonnen werden, die zwei frühmittelalterliche Datierungen ergaben.⁹⁴ Diese Zeitstellung könnte auf frühgeschichtlichen Grabraub hindeuten, der durch den Fund einer Raubgrube (siehe unten) gezeigt wird. Weitere Steinkonzentrationen befanden sich südöstlich der möglichen Anlage unterhalb derselben kolluvialen Schicht 1. Ob es sich bei den weiteren Steinen um erodierte Teile der Konstruktion, um weitere, nicht feststellbare Anlagen oder um die Reste von grabräuberischen Aktivitäten handelte, ist nicht mehr zu sagen. Bei einer zweiten Steinkonstruktion⁹⁵ handelte es sich um eine südlich der Zentralbestattung (ca. 3-4 m Entfernung) liegende NW-SO-ausgerichtete längliche, rundlich-ovale Steinanordnung von ungefähr 3,3 m Länge und 1,3 m Breite, die eine ehemalige Grabanlage darstellen könnte (Taf. 148). Wahrscheinlich wurde das Grab vom Pflug erfasst, sodass keine Rückstände der Bestattung mehr aufzufinden waren. Möglicherweise bestand sie aus mehreren querliegenden Steinreihen, die jedoch nur noch erahnt werden können. Der Befund befand sich in der Hügelschüttung, sodass es sich möglicherweise um eine Nachbestattung gehandelt haben könnte. Des Weiteren lag sie unterhalb der kolluvialen Schicht 1, sodass auch dieser Befund um bzw. älter als Perioden III-VI datiert. In Teilfläche 3 wurde eine **Feuerstelle**⁹⁶ entdeckt, die viel verkohltes Material wie Holzkohle und Steine, sowie einen Abschlag enthielt. Während des Schneidens des Befundes wurden auch noch in ca. 0,60 m Tiefe Holzkohlepartikel und Abschläge gefunden. Als diese Tiefe erreicht wurde, zeichnete sich eine **Grube** ab, deren Reichweite weiter nachgegraben wurde, bis ein Umfang von ca. 2 × 1 m Breite sowie 1,20-1,30 m Tiefe erreicht worden war. Im Profil wurde der Umfang der Grube deutlich, indem die Oxidbänder und das anstehende Kiesband dem Grubenrand entlang abbrachen und sich die mittelbraune Verfärbung im weißen Sand abzeichnete und als Eintiefung in das anstehende Kiesbett zeigte. Eine leichte Verfärbung und die Konsistenz des Sediments und Steinkonzentration in der Mitte des Profils weisen darauf hin, dass sich womöglich zwei Verfüllungen ereigneten. Der größte Grubenanteil wurde demnach zuerst verfüllt, während die zweite Verfüllung nachträglich und möglicherweise in Verbindung mit der Feuerstelle eingebracht wurde. Im letzten Planum – am Boden der Grube – wurden Keramikscherben gefunden. Der länglich-ovalen Form nach könnte es sich also um eine Grube oder sogar um ein Grab handeln. Ein ähnlicher Befund befand sich unterhalb des Grabhügels LA 59 mit einer tiefen Siedlungsgrube, die jedoch eine frühneolithische Halskragenflasche auf dem Befundboden aufwies (siehe unten, LA 59). Die Scherben aus der Grube vom Grabhügel LA 57 konnten nicht zu einem datierbaren Gefäß rekonstruiert werden. Eine zeitliche Einordnung der Scherben ist aufgrund fehlender Charakteristiken nicht möglich. Die grobe Magerung und der unregelmäßige

93 Befund 2032.

94 LA 57, Steinbereich Fläche 2: KIA-55334:1272±23uncalBP(667 AD-820 AD); KIA-55335:1303±20 uncalBP(662 AD-775 AD).

95 Befund 3077.

96 Befund 3048.

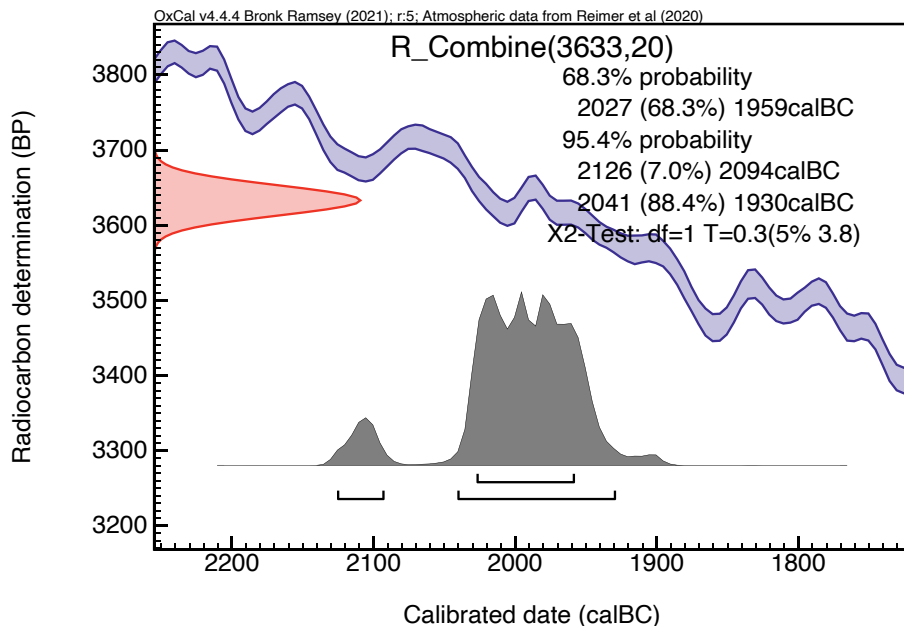


Abbildung 21: Datierung von zwei Holzkohlen aus der Grube des Befundes 3048 mithilfe von R-Combine (Radiokohlenstoff-Bestimmungen, kalibriert mit OxCal. v4.4 (Bronk Ramsey 2021) und der IntCal20-Atmosphärenkurve (Reimer et al. 2020)).

Brennvorgang lassen eine neolithische bis älterbronzezeitliche Datierung lediglich erwägen. Drei Holzkohlefunde wurden zur absoluten Datierung eingereicht. Sie alle stammen aus demselben ersten Abtrag und datieren damit die Phase der Feuerstellennutzung. Alle anderen Holzkohlen aus Schichten der Grubenphase des Befundes eigneten sich leider nicht für eine Datierung. Die drei ausgewählten Holzkohlestückchen des ersten Abtrags, datieren in einen Zeitraum zwischen 2135 und 1782 calBC, d. h. zwischen das Spätneolithikum I und der Periode I. Eine Kombination der beiden älteren Datierungen, die von der Erle und der Hasel stammen, ergab ein Datum zwischen 2126 und 1930 calBC, während das dritte Datum von einer Haselnusschalendatierung stammt und zwischen 2020 und 1782 calBC datiert (Abb. 21). Die Datierungen könnten dabei den letzten Nutzungshorizont repräsentieren. Ob es sich bei der Feuerstelle um ein Abschlussevent zum Verschließen der Grube handelte, könnte gemutmaßt werden.

Über alle Teilflächen des Grabungsschnitts verteilt befanden sich ungefähr 32 mehr oder weniger sichere **Gruben** von unterschiedlichem Umfang und Inhalt (Taf. 103-122). Die meisten dieser Gruben lagen in den Teilflächen 1 und 3, außerhalb der Hügelschüttung, sodass sie nicht unbedingt mit dem Grabhügel in Verbindung stehen müssen. Während sich einige der Gruben als klare Verfärbung abzeichneten, konnten andere lediglich anhand eines anderen Sediments mit anderer Konsistenz nachgewiesen werden. Eine der Gruben war länglich-halbkreisförmig und dabei bis zu 3 m lang.⁹⁷ Sie schien in die Hügelschüttung eingetieft worden zu sein und zeigte eine fleckige Schicht, die durchwühlt zu sein schien und demnach wahrscheinlich eine Raubgrube darstellt. Während die Keramikreste aus der Grube eher bronzezeitlich sind, weist die Datierung eines Holzkohlestücks in das Frühmittelalter⁹⁸ und könnte damit den möglichen Zeitpunkt des Grabraubes widerspiegeln. Die Motive für Grabraub können sehr unterschiedlich sein und wurden von Kümmel bereits umfassend zusammengefasst (Kümmel 2009). Weitere frühmittelalterliche Spuren ließen sich am Grabhügel erfassen. So datiert eine weitere Grube in diese Zeitstellung.⁹⁹ Eine dritte mögliche Grube (bei der es sich aber auch um

97 Befund 4002.

98 LA 57, Befund 4002: KIA-55341:1372±24uncalBP(606 AD-758 AD).

99 LA 57, Befund 1006: KIA-55333:1274±23uncalBP(667 AD-817 AD).

den Rest eines Pfostenlochs handeln könnte)¹⁰⁰ deutete an den Beginn des Mesolithikums. Die Nutzung des Areals durch die Zeiten wird damit umso deutlicher. Das mesolithische Alter von der verkohlten Kiefer könnte dabei aber auch einen Altholzeffekt darstellen. Die Inhalte der Sedimentproben von weiteren Gruben weisen auf Funktionen hin, die im Kap. 8.8 zu den botanischen Großrestanalysen weitergehend behandelt werden. Ähnlich wie die Gruben, sind auch die 33 mehr oder weniger sicheren **Pfostenlöcher** (Taf. 123-136, 141) über alle Teilflächen verteilt und befanden sich ebenfalls vorzugsweise außerhalb der Hügelschüttung. Sie konzentrierten sich auf den Osten der Teilflächen 2 und 3. Eine deutliche Pfostenstruktur zeichnete sich nicht ab. Im Süden der Teilfläche 3 und im Osten der Teilfläche 2 konnte eine Struktur lediglich vermutet werden, da nicht klar ist, ob die Pfostenlöcher gleichzeitig waren. Datierungen anhand archäobotanischer Reste (Holzkohle, sofern nicht anders erwähnt) aus den Sedimentproben deuten für vereinzelte Pfostenlöcher in einen frühen mesolithischen Horizont (8289-7732 calBC).¹⁰¹ Ein Pfostenloch mit Pfostenstandspur datiert in das Jungneolithikum zwischen 3966 und 3800 calBC und ein weiteres Pfostenloch¹⁰² datiert zudem auf Basis eines Emmer-Getreidekorns vom Spätneolithikum I bis zur Mitte der Periode I, bzw. von 1880 bis 1645 calBC. Das Areal um den Grabhügel war dementsprechend ab dem frühen Mesolithikum immer wieder in Nutzung. Doch die weiträumige Verteilung der Pfosten lässt auch nach Datierung dieser vereinzelten Pfostenlöcher keine Muster erkennen. Bei sieben weiteren Befunden ist eine Unterscheidung zwischen Grube und Pfostenloch nicht eindeutig und in einem Fall handelt es sich um einen Befund mit Grube und Pfosten.

Funde

Durch die Ausgrabung und die 259 Sedimentproben ergibt sich eine Anzahl von 374 Artefakten aus Flint, Keramik und Stein. Vereinzelt wurde Brandlehm geborgen. Des Weiteren wurden 186 Holzkohleproben entnommen. 16 kalzinierte Knochenfragmente aus dem Zentralgrab und neun Lesefunde (u. a. aus Metall) aus der Umgebung der Grabungsfläche ergänzen das Inventar. Die Analyse botanischer Reste wurde im Rahmen des SFB1266 von dem Teil-Projekt F3 durchgeführt (Anhang VII.2) und in dieser Arbeit hinsichtlich ihrer Bedeutung für die Interpretation der Landnutzung um den Grabhügel in einem separaten Kapitel behandelt (Vgl. Kap. 8.8).

Nutzung und Datierung

Das Areal des Grabhügels LA 57 wurde zwischen dem frühen Mesolithikum und dem ausgehenden Mittelneolithikum sporadisch zur Anlegung von Gruben und Pfosten genutzt. Bis zum Jungneolithikum diente es dann als Ackerfläche. Ab dem Spätneolithikum wurden auf der Fläche Gruben und Pfosten angelegt. Spätestens am Übergang von der Periode II bis III¹⁰³ folgte der Bau des Grabhügels mit der Leichenbrandschüttung mit Baumsarg im Zentrum. Zwei Steinkonstruktionen wurden wahrscheinlich zwischen dem Grabhügelbau und dem Beginn des Kolluviums 1 (um Periode V/VI) angelegt und stellen mögliche weitere Bestattungen des Hügels dar. Sie können auch älter oder genauso alt wie das Zentralgrab (Bef. 1001) gewesen sein. Während der Jüngeren Bronzezeit erfolgte die Nachbestattung mindestens einer Urne im Süden der Hügelschüttung (Profil Teilfläche 3/4, Bef. 4003). Weitere Nachbestattungen können unterhalb des Kolluviums 1 nördlich und südlich der Zentralbestattung vermutet werden. Das Kolluvium 1 schließt Tätigkeiten um Periode VI ab. Frühmittelalterliche grabräuberische Verrichtungen konnten für

100 LA 57, Befund 1008: KIA-55331:9450±40uncalBP(9112-8622calBC).

101 LA 57, Befund 1020: KIA-55332:8810±40uncalBP(8197-7732calBC); Befund 2022: KIA-55336:8985±35uncalBP(8289-7973calBC) und Befund 2031: KIA-55337:8895±35uncalBP(8236-7946calBC).

102 LA 57, Befund 3038.

103 LA 57, Befund 1001/2001: KIA-53284: 3109±25 uncalBP (1438-1293 calBC (95.4%)).

verschiedene Befunde festgestellt werden. Das zweite Kolluvium beendet die Tätigkeiten am Grabhügel mit der neuzeitlichen landwirtschaftlichen Nutzung des Areals mit modernem Pflug.

8.3.1.9. LA 58 (2008-429)

Im Zuge der Hauptuntersuchungen des Jahres 2005 wurde auch der Grabhügel LA 58 unter der Leitung von Lütjens untersucht, nachdem eine Voruntersuchung bereits im Jahr zuvor durch Clausen stattgefunden hatte. Der höchste Punkt des Grabhügels diente als Mittelpunkt des Kreuzprofilsschnittes mit einem Profilsteg von einem Meter. Die Entfernung des humosen Oberbodens erfolgte mithilfe eines Baggers unter der Aufsicht der Grabungsleitung. Außerhalb des unmittelbaren Hügelbereiches wurde die Oberfläche bis auf den gelben anstehenden Sand abgetragen. Verfärbungen wurden dokumentiert, nummeriert und untersucht. Komplexere Befunde wie Gräber und Steinpflasterungen wurden in mehreren Plana abgetragen. Die Profilstege wurden am Ende ebenfalls entfernt. Die Sedimentproben ausgewählter Befunde wurden von Alsleben hinsichtlich botanischer Großreste analysiert (Vgl. Kap. 8.8). Insgesamt wurde während der Ausgrabung eine Fläche von 850 m² untersucht und 138 Befunde wurden erkannt, die sich in 88 archäologische, zwei geologische und 48 ungeklärte Befunde trennen lassen. Bei den archäologischen Befunden handelt es sich nach Lütjens um 40 Steinstandspuren eines möglichen Steinkranzes, ein Körpergrab¹⁰⁴, 16 Brandgräber¹⁰⁵, fünf sichere und 13 mögliche Pfostengruben¹⁰⁶, neun Gruben unbestimmter Funktion¹⁰⁷, zwei Steinkonzentrationen¹⁰⁸, ein Steinpflaster¹⁰⁹, eine Hügelschüttung¹¹⁰ und eine Kochsteingrube.¹¹¹

Hügelaufbau

Den Angaben der Landesaufnahme von 1960 zufolge hatte der Hügel einen Durchmesser von 40 m und eine Höhe von 0,4 m (Schwerin von Krosigk 1976, 107). Mit der Ausgrabung konnte ein Durchmesser von 15,5 m und eine Mächtigkeit der Hügelschüttung von 0,35 m nachgewiesen werden. Dabei setzte sich der Hügel aus zwei Bauphasen zusammen. Während der ersten Bauphase A wurde ein Hügel von neun Metern Durchmesser aus gelbbraunem, humosem, leicht lehmigem Sand aufgeschüttet, der verkohltes Material und viele gelbgraue Flecken aufwies. Der Rand wurde durch eine 0,2-0,3 m starke Anschüttung aus dunkelbraunem, humosem, stark kohlehaltigem Sand angeschüttet. Lediglich im Nordwest- und Nordostsektor fehlte diese Anschüttung. Dieser Bauphase wird das Körpergrab B (Primärbestattung, Bef. 58) zugeordnet. Die Ausmaße der zweiten Bauphase B konnten anhand des fragmentarisch überlieferten Steinkranzes von 15,5 m Durchmesser gut eingegrenzt werden. Außerhalb und unmittelbar vor dem Steinkranz wurde ein 3,7 × 1,8 m breites einlagiges Steinpflaster aus faust- bis doppelfaustgroßen Steinen aufgedeckt, dessen Funktion unklar ist. In der Hügelmitte wurden mehrere faust- bis kopfgroße Steine auf einer Fläche von 1,5 × 3,6 m entdeckt, die Lütjens als mögliches zweites Grab (A) auffasst. Möglicherweise gehörte es zu der zweiten Bauphase, die im Zuge der Einebnung abgetragen wurde. Es ist aber auch möglich, dass es sich um die verlagerten Steine des Primärgrabes (Grab B) handelt. Aus der Schicht

104 Befund 58.

105 Befunde 2, 13, 17, 19 (Doppelbestattung), 33, 62, 75-81, 127 und 130.

106 Sichere Pfostengruben: Befunde 30, 32, 82 (modern), 86 und 141; Unsichere Pfostengruben: Befunde 9, 61, 65, 73, 89, 100, 105, 108, 116, 133, 137, 138, 140.

107 Befunde 91, 102, 106, 112-113, 115, 120, 131 und 139.

108 Befunde 111 und 135.

109 Befund 12.

110 Befund 46.

111 Befund 129.

zwischen den beiden Hügelerschüttungen konnte ein verkohltes Emmerkorn gewonnen werden, dessen Datierung (3200±26 BP) dem Beginn der Periode II zugeordnet werden kann.¹¹²

Primärbestattung

Die zentrale Bestattung¹¹³ der ersten Bauphase zeigte sich bereits nach dem Abtrag des Pflughorizontes in Form einer Westnordwest nach Ost-südost ausgerichteten Steinpackung aus faust- bis kopfgroßen Rollsteinen auf 1,15 × 3 m Fläche im oberen Befundbereich (Taf. 158-159). Es muss also davon ausgegangen werden, dass ein Teil des Grabes möglicherweise bereits abgepflügt worden war. Mit dem fünften Planum wurde ein Steinrahmen mit freier Innenfläche von 2,2 × 0,4 m (Gesamtmaß des Steinrahmens: 0,9-1 × 2,6-2,7 m) sichtbar, dessen Sohle 0,6 m eingetieft und weitestgehend steinfrei war (Taf. 160-161). Auf dieser Innenfläche traten an den Rändern teilweise dunkelgraue Streifen auf, bei denen es sich nach Lütjens wahrscheinlich um die Moderspuren eines Baum- oder Bohllensarges gehandelt hat. Der nordwestliche Bereich zeigte eine Störung der Steinsetzung, die auf eine Beraubung hindeuten könnte. Dies würde auch die spärliche Beigabenausstattung erklären. Vor dem südlichen Steinrahmen wurde ein kleines Keramikgefäß entdeckt, sowie eine mondsichelförmige Bernsteinperle und ein kleines Bronzeobjekt (punzverziertes Bronzeplättchen) vor der nördlichen Steinreihe (Taf. 162-163). Dort wurden auch Zahnreste gefunden, die den Kopf des Bestatteten im Westen vermuten lassen. Aufgrund der Grabkonstruktion und der Tatsache, dass die Leiche unverbrannt ist, sowie auf Basis der Funde, lässt sich für das Primärgrab eine Datierung in die Periode I bis II annehmen (Vgl. Kap. 8.4.1.4). Die Datierung der Hügelerschüttung bestätigt diese Einordnung.

Nachbestattungen

Die Nachbestattungen können in **eine Leichenbrandstreuung** (Taf. 168-172) in einer langgestreckten Steinpackung¹¹⁴ und **15 Urnengräber**¹¹⁵ (Taf. 164-168, 173-195) unterteilt werden. Nach Lütjens sind im Westen, jenseits der Grabungsfläche, weitere Brandgräber zu erwarten, die im Zuge der Ausgrabungen jedoch nicht erfasst werden konnten. Eine Urnengräbergruppe von sieben Bestattungen konnte im Nordostsektor außerhalb, jedoch unmittelbar am nördlichen Rand des Steinkranzes gefunden werden (Taf. 179).¹¹⁶ Bei dieser Urnengruppe (Bef. 75-81) handelt es sich zu einem Teil nachweislich um Kinderbestattungen, die anscheinend zusammen bestattet wurden (Vgl. Kap. 8.7). Die restlichen Urnen verteilten sich überwiegend unregelmäßig im Nordwest- und Südwestsektor um den Grabhügel. Darunter befinden sich zwei Urnenbestattungen, die stark gestört und nur noch in Resten aufzufinden waren¹¹⁷ sowie eine Doppelbestattung.¹¹⁸ Daraus geht zunächst hervor, dass die Urnen nicht im Grabhügelmantel nachbestattet wurden, sondern dass die Niederlegungen außerhalb stattfanden, jedoch teilweise einen deutlichen Bezug zum Hügel aufwiesen (Abb. 22). Es kann aber auch nicht ausgeschlossen werden, dass Urnen, die im Grabhügel nachbestattet wurden, bereits vom Pflug erfasst worden waren.

Im Vergleich zu den Leichenbrandschüttungen des Grabhügels LA 18, die im Grabhügel oder Grabhügelrand nachbestattet worden waren, wurde die Leichenbrandschüttung des LA 58¹¹⁹ weit außerhalb des Grabhügels im äußersten Westen des

112 LA 58, Befund 46: KIA-40041: 3200±26 uncalBP (1507-1423 calBC (95.4%)).

113 Befund 58.

114 Befund 17.

115 Befunde 2, 13, 19 (Doppelbestattung), 33, 62, 75, 76, 77, 78, 79, 80, 81, 127, 130.

116 Befunde 75-81.

117 Befunde 127 und 130.

118 Befund 19.

119 Befund 17.

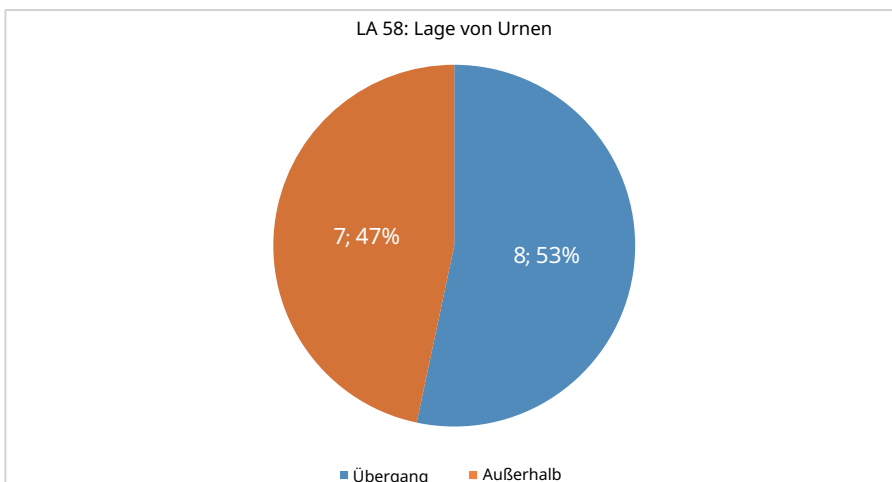


Abbildung 22: Die Lage der Urnen des Grabhügels LA 58.

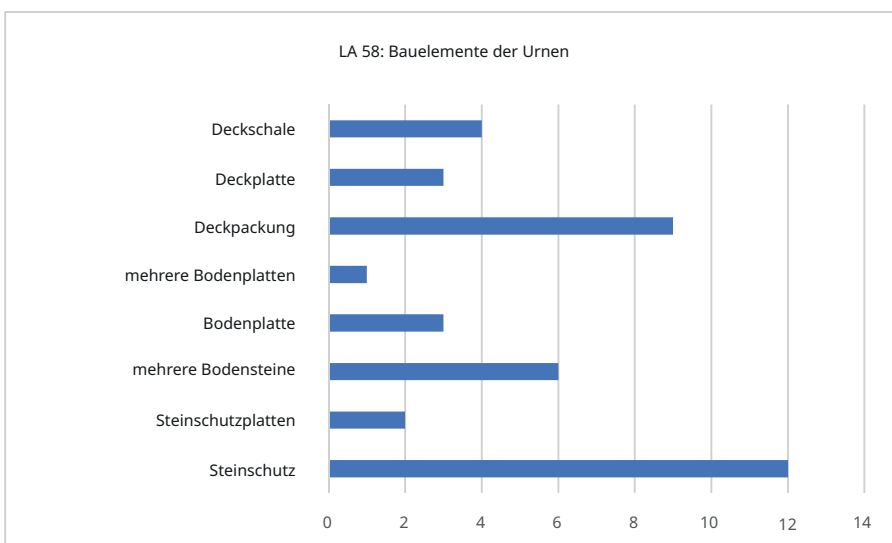


Abbildung 23: Die Bauelemente der Urnengräber des Grabhügels LA 58.

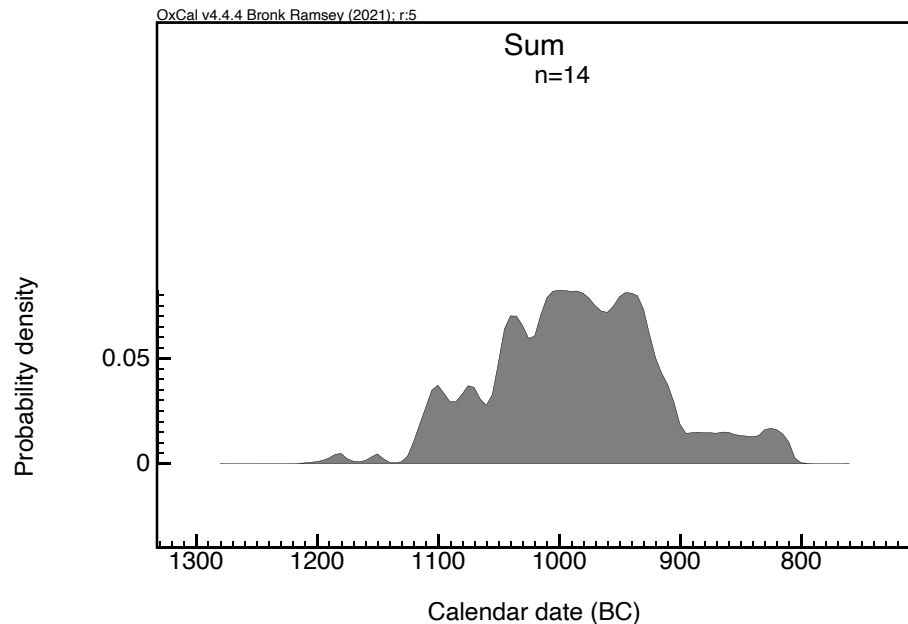
Nordwestsektors neben einer Urnendoppelbestattung¹²⁰ gefunden. Das Leichenbrand-schüttungsgrab (Bef. 17) bestand aus einer mehrlagigen, abgerundet-rechteckigen Pflasterung aus doppelfaust- bis kopfgroßen Rollsteinen, die sich über 1,7 m Länge und 0,75 m Breite erstreckte. Die Urnenbestattungen wurden dagegen zum Großteil (85,71%) in einem Steinschutz aus Roll- und Kantsteinen niedergelegt. Nur in zwei Fällen (14,29%) wurden auch Steinschutzplatten verwendet. Für mehr als die Hälfte (64,29%) konnte auch noch eine geschlossene Deckschicht an Steinen nachgewiesen werden (Abb. 23). Nur vier der Urnen (28,57%) hatten eine noch nachweisbare direkte Abdeckung durch eine Schale,¹²¹ während eine Urne mit einem anderen Deckgefäß ausgestattet war (7,14%)¹²² (Vgl. Kap. 8.4.1.7.3.4). Zwei Urnen (14,29%) hatten eine zusätzliche Abdeckung mit einer bzw. zwei Deckplatten. Dies hängt damit zusammen, dass einige der Urnen im oberen Bereich gestört waren. Die Abdeckung mit einem Gefäßunterteil ist im Vergleich zu den Urnen des Grabhügel LA 18 nicht vertreten. Der Urnenboden befand sich dagegen sehr häufig noch auf Bodensteinen, Bodenplatten

120 Befund 19.

121 Befunde 62, 75, 77, 78.

122 Befund 2.

Abbildung 24: Summenkalibration zu den Nachbestattungen des Grabhügels LA 58 (Radio-kohlenstoff-Bestimmungen, kalibriert mit OxCal. v4.4 (Bronk Ramsey 2021) und der IntCal20-Atmosphärenkurve (Reimer et al. 2020)).



bzw. auf einer einzelnen Bodenplatte (zusammen 71,43%). Diese Auffindungssituationen sind entsprechend erhaltungs- und störungsbedingt.

Funde und Datierung der Gräber

Die Funde aus den Gräbern weisen einen jüngerbronzezeitlichen Charakter auf. Das Fundmaterial wird von den **Keramikfunden** mit vielen Gefäßresten sowie sechzehn mehr oder weniger rekonstruierten Gefäßen dominiert. Dabei handelt es sich zum Großteil um Grabkeramikgefäße wie Terrinen, Tonnen, Näpfe, aber auch ein Kegelhalsgefäß und ein Doppelkonus sowie vier Deckschalen und ein Deckgefäß. Eine stark verzierte Urne¹²³ (Taf. 189-190) und eine Lappenschale¹²⁴ bilden die Ausnahmen. Aus den Urnen stammen außerdem sieben Bronzefunde, darunter zwei Nadeln (ein unbestimmtes Nadelfragment¹²⁵ (Taf. 175), eine Vasenkopfnadel¹²⁶, Taf. 180), ein Doppelknopf¹²⁷ (Taf. 183), ein Drahtrest¹²⁸ (Taf. 175), ein Drahtspiralring¹²⁹ (Taf. 194) und ein fragmentierter Drahtspiralring¹³⁰ (Taf. 186). Weiterhin lagen aus einem der Urnengräber zwei im Flint versteinerte und durch Feuer farbveränderte Seeigel¹³¹ vor. Aus der Leichenbrandschüttung wurde ein einschneidiges Rasiermesser¹³² mit einem s-förmig zurückgebogenen Griff geborgen (Taf. 172).

Anhand der relativchronologischen Datierung des Fundmaterials aus den Urnen (Vgl. Kap. 8.4) sowie der Leichenbranddatierungen (Vgl. Kap. 8.6 & Anhang IV) können die Brandbestattungen des Grabhügelareals von LA 58 von der Mitte der Periode III bis zur Periode V datiert werden. Die Leichenbrandschüttung datiert dabei in die Periode IV bis Übergang Periode IV bis V, während einige der Urnen¹³³ dagegen älter datieren. Der Großteil der Bestattungen wurde in der Periode IV bestattet (Abb. 24).

123 Befund 79.

124 Befund 77.

125 SH 2008-429.36(58) aus Befund 33.

126 SH 2008-429.40(194) aus Befund 75.

127 SH 2008-429.39(271) aus Befund 77.

128 SH 2008-429.35(36) aus Befund 33.

129 SH 2008-429.37(177) aus Befund 81.

130 SH 2008-429.38(268) aus Befund 78.

131 SH 2008-429.133(195) aus Befund 75.

132 SH 2008-429.34(35) aus Befund 17.

133 Vgl. Befunde 19, 62, 76, 79, 80, 81, 127.

Weitere Befunde

Andere Befunde wie Pfostengruben und (Siedlungs-)Gruben (u. a. eine Kochsteingrube), die innerhalb des Hügellareals gefunden wurden, datieren älter als der Grabhügel, da sie nicht in die Hügelschüttung eingetieft wurden, sondern darunter zum Vorschein kamen. Diese Befunde deuten auf Aktivitäten hin, die vor der Errichtung des Grabhügels in diesem Areal stattgefunden haben. Steinkonzentrationen und -pflaster können aufgrund ihrer Form und Lage hingegen jünger sein und als Nachbestattungen interpretiert werden. Die **Pfostengruben** (Taf. 153-156) lassen sich nach Lütjens in fünf sichere und dreizehn unsichere Befunde unterteilen. Sie verteilen sich über die gesamte Fläche und zeigen am nordöstlichen Rand des Grabungsschnittes eine Pfostenreihe aus fünf Pfosten¹³⁴ von 11-15 m Länge (hängt davon ab, ob der Bef. 100 auch dazu gehört), die auch regelmäßige Pfostenabstände von vier Metern aufwiesen, sofern angenommen wird, dass es sich auch bei Befund 103 um ein mögliches Pfostenloch mit Pfostengrube handelt. Die Datierung ist unklar. Auch die **Gruben** befunde verteilen sich über die gesamte Fläche, aber wiesen keine bestimmte Anordnung auf (Taf. 150-152). Unterhalb des Hügels vorkommende Gruben waren entsprechend älter als der Hügel, während die Datierungen der Gruben außerhalb des Hügellareals unklar sind. Die einzelne **Kochsteingrube** befand sich außerhalb des Grabhügels und am nordöstlichen Rand des Grabungsschnittes (Taf. 153). Sie kann sowohl mit den Siedlungsspuren als auch mit dem Grabhügel in Verbindung stehen, da die Funktion von Kochsteingruben sehr variabel ist (siehe dazu das Kapitel zu den Kochsteingruben). Ihre Datierung ist unklar. Die beiden **Steinkonzentrationen** und das **Steinpflaster** scheinen aufgrund ihrer Lückenhaftigkeit gestörte Befunde darzustellen, deren Funktion nicht mehr geklärt werden kann. Möglicherweise handelte es sich um zerstörte Grabanlagen. Im Fall des Nordost-Südwest ausgerichteten Steinpflasters¹³⁵ (Taf. 157) im Hügelrand des Nordwestsektors und einer ungefähr Nordwest-Südost ausgerichteten Steinkonzentration¹³⁶ in der Hügelmitte handelte es sich um längliche, mehr oder weniger unregelmäßige Setzungen. Eine zweite Steinkonzentration¹³⁷ östlich des Grabhügels war dagegen rundlich-oval geformt und könnte auf ein ehemaliges Urnengrab hindeuten. Der zeitliche Hintergrund eines möglichen Sekundärgrabes wäre jünger als die wahrscheinlich älterbronzezeitliche Primärbestattung, da sie außerhalb des Hügels (Bef. 135), am Hügelrand (Bef. 12) oder in der Hügelmitte oberhalb der Primärbestattung vorkamen und demnach älterbronzezeitlich oder jünger gewesen sein könnten.

Funde

Während der Ausgrabung wurden 271 Fundnummern vergeben. Einige der Funde wurden entfernt oder konnten im Zuge der Inventarisierung nicht mehr gefunden werden. Deswegen dezimierte sich der Bestand während der Fundaufnahme auf 97 Fundnummern. Das Fundmaterial besteht aus 78 Fundnummern mit keramischem Inhalt, neun Flintartefakten (unter acht Fundnummern, überwiegend Streufunde), einem Stück gebrannten Flint, acht Bronzeobjekten, einer Bernsteinperle sowie einem Steinartefakt. Während der Grabungstätigkeiten wurden 41 **Bodenproben** aus archäologisch relevanten Befunden und Hügelschichten entnommen. Die archäobotanische Großrestanalyse wurde von A. Alsleben übernommen. Des Weiteren wurden 13 kg **Leichenbrand** geborgen, die zu einem Großteil von Storch anthropologisch untersucht wurden (Vgl. Kap. 8.7 & Anhang VII.1).

134 Befunde 9, 86, 89, 103, 100.

135 Befund 12.

136 Befund 111.

137 Befund 135.

Nutzung und Datierung

Die Ausgrabung konnte eine zentrale Körperbestattung der Perioden I-II unter einem Grabhügel nachweisen, der mit einer zweiten Schüttung überhügelt wurde, die möglicherweise ein bereits zerstörtes sekundäres Grab enthielt. Im mehr oder weniger direkten Umfeld des Grabhügels wurden eine Leichenbrandschüttung und 15 Urnengräber bestattet, die anhand ihrer Funde und ¹⁴C-Datierungen der Leichenbrände zwischen 1191 und 807 calBC, d. h. vom Ende der Periode III bis zur Periode V datiert werden können. Dabei folgen die Bestattungen keinem räumlich-zeitlichem Muster, sondern verteilen sich am Hügelrand und außerhalb des Grabhügels (ähnlich wie bei LA 18). Teilweise traten sie in Gruppen auf, die wahrscheinlich soziale Gruppen widerspiegeln (v. a. Kinderbestattungen, siehe oben). Die Fläche wurde bereits vor dem Grabhügelbau genutzt. Dies belegten vielfache Siedlungsbefunde, die sich unterhalb der Hügelerschüttung und auch im Umfeld im anstehenden Boden eingetieft finden ließen. Zeitlich müssten diese Befunde älter als der Grabhügel mit der Primärbestattung sein und könnten demnach den Perioden I-II angehören oder älter sein.

8.3.1.10. LA 59 (2008-430)

Parallel zu den Untersuchungen des Grabhügels LA 58 wurde auch der Grabhügel LA 59 im Jahr 2004 durch Clausen voruntersucht und im Folgejahr durch Lütjens ausgegraben. Die Vorgehensweise und Grabungsmethodik wurden in gleicher Weise angewandt (s.o.). Dabei wurde für diesen Grabhügel ein Areal von 550 m² untersucht. Im Zuge der Ausgrabung wurden 112 Befunde erkannt, von denen 38 als archäologische Befunde angesprochen werden konnten. Davon konnten 22 Befunde als mehr oder weniger sichere Steinstandspuren identifiziert werden, die zum Teil dem inneren Steinkranz zugeordnet werden konnten. Die anderen archäologischen Befunde lassen sich nach Lütjens in eine Körperbestattung¹³⁸, sieben Pfostengruben¹³⁹, fünf Gruben unbestimmter Funktion¹⁴⁰, zwei Steinkonzentrationen¹⁴¹ und eine Kochsteingrube¹⁴² unterteilen. Bei 74 der nicht-archäologischen Befunde handelte es sich um natürlich entstandene¹⁴³ oder ungeklärte Verfärbungen.

Hügelaufbau

Es konnte eine Grabhügelschüttung mit einer erhaltenen Höhe von 0,4 m nachgewiesen werden. Nach Schwerin von Krosigk (1976) wurde eine Höhe von 0,8 m bei einem Durchmesser von 38 m gemessen (Schwerin von Krosigk 1976, 107). Der Durchmesser zeigte sich während der Ausgrabung nur noch mit 13 m. Im Planum wurde zudem eine Zweiteilung der Hügelerschichten sichtbar, die auf eine Mehrphasigkeit hindeutet. Im Profil war sie in Folge der Einebnung nicht mehr zu erkennen. Die Ausmaße der **ersten Bauphase A** ließen sich insbesondere im Südostsektor des Grabhügels anhand radial angeordneter Steinstandspuren des ehemaligen Steinkranzes erfassen, sodass ein ursprünglicher Grabhügeldurchmesser von acht Metern rekonstruiert werden konnte. Lütjens stellte fest, dass sich die Steine des Kranzes nicht auf dem anstehenden Boden, sondern auf der Hügelerschüttung befanden. Möglicherweise ist diese Beobachtung dem Umstand geschuldet, dass die Schicht unterhalb der Steine zu einer nicht erkannten, alten Oberfläche gehörte, da sie sich nach Lütjens möglicherweise nicht deutlich genug von der Hügelerschüttung abgehoben hatte. Der Kranz wäre demnach jünger als die Hügelerschüttung. Dieser Bauphase

138 Befund 1.

139 Befunde 43, 73, 78, 110-113.

140 Befunde 10, 11, 15, 70, 104.

141 Befunde 35 und 36.

142 Befund 82.

143 16 Tier- und Wurzelgänge und eine Baumwurfgrube.

konnte kein Bestattungsbefund zugewiesen werden. Möglicherweise wurde ein ehemaliges Grab durch landwirtschaftliche Aktivitäten und Einebnungen abgetragen. Die **zweite Bauphase (B)** ließ sich ebenfalls im Südostsektor und teilweise auch im Nordostsektor am ehesten nachweisen, da sich dort ein unregelmäßiger, leicht radialer Streifen aus faust- bis doppelfaustgroßen Rollsteinen des ehemaligen Steinkranzes von circa 13 m Durchmesser abzeichnete. Möglicherweise gehörte dieser Bauphase das Körpergrab 1¹⁴⁴ an. Aufgrund der dezentralen Lage des Grabes vermutet Lütjens, dass es sich um eine Nachbestattung gehandelt hat.

Bestattungen

Die einzige Bestattung, die im Grabhügel gefunden wurde und bei der nicht geklärt werden konnte, ob es sich um eine primäre oder eine nachträgliche Bestattung in der zweiten Hügelaufschüttung handelte, befand sich im Norden des Hügelzentrums und erstreckte sich der Länge nach von West nach Ost. Die Konstruktion zeigte einen mehrschichtigen, abgerundet-rechteckigen Steinrahmen aus einer Packung doppelfaust- bis kopfgroßer Steine, die eine Größe von 1,4 × 3,7 m aufwies. Im Westen war sie etwas schmaler (Taf. 201-202). Darunter befand sich ein lockeres Bodenpflaster. Moderspuren des vergangenen Holzсарges konnten im Sohlenbereich und damit auf den Bodensteinen und den angrenzenden Randsteinen der Grabkonstruktion gefunden werden (Taf. 203-204). Die Faserrichtung des Holzes war noch erkennbar und wies in Längsrichtung der Steinsetzung. Das Grab wies dabei noch eine 1,25 m breite, steiltrichterförmige Eintiefung von 0,45 m auf, die in eine muldenförmige Sohle mit stark verwaschener Kontur überging, sodass sie einzig anhand der Steine rekonstruiert werden konnte. Im Profil war auch ersichtlich, dass das Grab in die Hügelschüttung der ersten Bauphase eingetieft war. Damit handelt es sich um eine Nachbestattung in der ersten Bauphase, die möglicherweise von der zweiten Hügelschüttung bedeckt worden war und damit jünger als die erste Bauphase ist. Es ist unklar, ob es sich um eine Körperbestattung oder Leichenbrandschüttung handelte, da weder ein Leichenschatten, noch verbrannte Knochen aufgefunden wurden. An **Funden** konnten aus der Bestattung drei grob gemagerte aber geglättete Wandscherben¹⁴⁵, drei erhitzte Flintstücke¹⁴⁶, ein weiteres Stück Flint¹⁴⁷ sowie verkohltes Material¹⁴⁸ geborgen werden. Nach Lütjens wird eine Datierung der Grabanlage in das Spätneolithikum oder die Ältere Bronzezeit angenommen. Da die verkohlten Makroreste nicht mehr vorhanden sind, ist eine absolute Datierung nicht mehr möglich.

Weitere Befunde

Von den fünf **Gruben**befunden ließen sich drei fundleere ovale Gruben¹⁴⁹ mit Größen um 0,4 × 0,55 m von zwei großen, unförmigen Gruben unterscheiden (Taf. 197-198). Dabei handelte es sich zum einen um eine sehr große, unregelmäßige abgerundet rechteckige, humose Verfärbung von 3,36-4,48 × 2,57 m Durchmesser bei einer steiltrichterförmigen Eintiefung von 0,28 m.¹⁵⁰ Ein klingenförmiger Abschlag und Holzkohlefunde geben keinerlei Hinweise auf die Datierung dieses großen Befundes. Die andere Grube bestand aus einer langgestreckten, humosen Verfärbung, die die Maße von 1,69 × 0,52-0,8 m in der Aufsicht, sowie eine steiltrichterförmige bis trichterförmige Eintiefung von 0,58 m mit einer muldenförmigen Sohle hatte.¹⁵¹ Aufgrund

144 Befund 1.

145 SH 2008-430.19(18) aus Befund 1.

146 Nicht mehr vorhanden.

147 Nicht mehr vorhanden.

148 Nicht mehr vorhanden.

149 Befunde 10, 70, 104.

150 Befund 15.

151 Befund 11.

der Form der Grube schloss Lütjens einen Grabbefund eher aus. Im Norden führte die Sohle zu einer ovalen Erweiterung, in der sich eine frühneolithische Kragenflasche¹⁵² befand, die neben einem größeren Stein lag (Taf. 197). Ob es sich bei dem Befund um ein möglicherweise nicht erkanntes frühneolithisches Erdgrab oder um eine Siedlungsgrube handelte, war nicht festzustellen. Jene Flaschen können sowohl aus Gräbern, Siedlungen und Mooren stammen, als auch Einzelfunde darstellen (Knöll 1981, 12). Die Funktion von Kragenflaschen lässt sich nicht konkret auf einen Zweck eingrenzen. Anhand von Flascheninhalten wie Schwefel oder ätherischen Ölen kann ein medizinischer Sinn bestanden haben (Knöll 1981, 53). Die Funktion der Grube als gewöhnliche Siedlungsgrube ist daher fraglich. Jedoch steht mit dem Befund fest, dass das Areal bereits im Frühneolithikum genutzt wurde. Südwestlich des Grabhügels wurde eine **Kochsteingrube**¹⁵³ freigelegt (Taf. 199). Ähnlich wie die einzelne Kochsteingrube im Umfeld des Grabhügel LA 58 kann diese sowohl mit den Siedlungsspuren als auch mit dem Grabhügel in Verbindung stehen, da die Funktion von Kochsteingruben sehr variabel ist (siehe dazu Kap. 8.3.4.4). Entsprechend unklar ist auch die Datierung. Die sieben mehr oder weniger sicheren **Pfostengruben**¹⁵⁴ (Taf. 199-200) verteilten sich über die gesamte Fläche und ließen keine Anordnung erkennen. Da die Pfostengruben, die sich innerhalb des Hügelareals befanden, in den anstehenden Boden eingetieft wurden, waren sie älter als der Grabhügel. Zu den beiden Nordwest-Südost ausgerichteten **Steinkonzentrationen**¹⁵⁵, die als längliche und lückenhafte Steinvorkommen sowohl innerhalb des Hügelareals als auch im direkten Grenzbereich des äußeren Steinkranzes vorkamen, lagen leider keine Profilansichten oder Vermessungspunkte vor, sodass nicht sicher geklärt werden kann, ob sie älter oder jünger als die Hügelerschüttung sind. Falls sie in die Hügelerschüttung eingetieft wurden und somit jünger als der Hügel sind, könnte es sich um tiefgründig zerstörte Nachbestattungen handeln. Funde stammen aus diesen beiden Befunden keine.

Zu den Funden

Während der Ausgrabung wurden zunächst 43 Fundnummern vergeben. Nach dem Abzug der fünf Boden- und 19 Holzkohleproben, konnten während der Fundaufnahme noch 16 Fundnummern berücksichtigt werden. Dabei handelt es sich um acht Fundnummern mit 19 Keramikscherben, die zum Großteil als Streufunde (Taf. 205) sowohl innerhalb als auch außerhalb des Hügelareals gefunden wurden (wenige Scherben stammen aus dem Grab (Bef. 1, s. o.) und der frühneolithischen Grube (Bef. 11). Des Weiteren wurden sieben Flintfunde (sechs Abschlüge und eine Klinge) aufgenommen, die überwiegend Streufunde darstellen, sowie 15 Stücke Brandlehm. Letztere wurden in einer humosen Verfärbung¹⁵⁶ weit außerhalb des Grabhügels gefunden.

Nutzung und Datierung

Die Datierung und Abfolge der Befunde sind aufgrund fehlender Datierungen ungewiss. Einzig die Grube mit der frühneolithischen Kragenflasche kann sicher an den Anfang der Nutzung gestellt werden. Wahrscheinliche folgte darauf die Nutzung des Areals durch verschiedene Aktivitäten, die das Anlegen von zumindest einem Teil der Gruben und Pfostenlöchern bedingten, die sich stratigrafisch unterhalb des Hügelareals befunden haben. Darauf folgte der Grabhügelbau, der allgemein lediglich in das Spätneolithikum und die Ältere Bronzezeit datiert werden kann. Die Grabanlage der ersten Bauphase scheint nicht mehr erhalten zu sein, sofern es eine solche gab.

152 SH 2008-430.4(4).

153 Befund 82.

154 Sichere Pfostengruben: Befunde 43, 78, 110; unsichere Pfostengruben: Befunde 73, 111, 112, 113.

155 Befund 35 + 36.

156 Befund 20.

Darüber erfolgte die erste Hügelschüttung von acht Metern im Durchmesser, die in den gleichen Horizont datieren dürfte. Im nächsten Schritt dürfte das noch vorhandene Grab (Bef. 1) in jener ersten Hügelschüttung (nach)bestattet und mit einem zweiten Hügel von 13 m im Durchmesser überhügelt worden sein.

8.3.1.11. LA 60 (2008-431)

Der Grabhügel LA 60 wurde im Zuge der Hauptuntersuchungen des Jahres 2005 unter der Grabungsleitung Lütjens' ausgegraben, nachdem er bereits während einer Voruntersuchung 2004 durch Clausen erfasst werden konnte. Wie bei den anderen Grabhügeln, die in dieser Kampagne erforscht wurden, erfolgte auch beim Hügel LA 60 zunächst die Lokalisierung des Mittelpunktes anhand der höchsten Position des Hügels. Dieser Punkt diente der Ausrichtung des Kreuzprofilschnittes, der mit etwa einem Meter breiten Profilstegen in vier Flächen getrennt worden war. Mit einem Kettenbagger wurde der Oberboden unter Aufsicht der Grabungsleitung abgetragen. Verfärbungen wurden nummeriert, im Planum dokumentiert, geschnitten und im Profil dokumentiert. Hauptbefunde wurden in mehreren Abträgen und Detailplana aufgenommen. Die Profile konnten nach ihrer Dokumentation abgetragen und auf weitere Befunde hin untersucht werden. Während der Ausgrabung des Grabhügels LA 60 wurden 560 m² Fläche untersucht und 107 Befunde erkannt, die sich in 26 archäologische und 81 natürlich entstandene oder ungeklärte Befunde einteilen lassen. Zu den archäologischen Befunden zählen nach Lütjens ein Körpergrab¹⁵⁷, 15 Pfostengruben¹⁵⁸, drei mehr oder weniger sichere (Siedlungs-)Gruben unbestimmter Funktion¹⁵⁹, eine Branderdestelle¹⁶⁰, drei Steinkonzentrationen¹⁶¹, eine Steinreihe¹⁶² und eine Steingrube¹⁶³. Unterhalb des Grabhügels konnten des Weiteren Hakenpflugspuren¹⁶⁴ erfasst werden.

Hügelaufbau

Anhand der Profile konnte die Mächtigkeit der Hügelschüttung noch mit 0,45 m und ein Durchmesser des Hügels mit 15 m bemessen werden. Im Rahmen der Landesaufnahme von 1960 wurde der Hügel noch mit 40 m Durchmesser und einer Höhe von einem Meter beschrieben (Schwerin von Krosigk 1976, 107). Ein Steinkranz war während der Ausgrabung nicht entdeckt worden. Der Hügel wies mehrere Bauphasen auf, die sich insbesondere im Südprofil zeigten. Dabei konnten drei Phasen unterschieden werden. Zunächst konnte festgestellt werden, dass der Grabhügel auf einer noch 0,15 m vorhandenen alten, humosen Oberfläche aufgebaut wurde. Darauf folgte die erste Bauphase A, die sich in einem Radius von 2,5 m erstreckte. Sie setzte sich aus grauem bis braungrauem, gelegentlich blaugrauem, humosem und kohlehaltigem lehmigem Sand mit vielen Rostflecken zusammen. Darüber ließ sich eine hellere graubraune Schicht (Bauphase B) feststellen, die sich bis zu vier Meter im Radius erstreckte. Sie grenzte an die Bauphase C an, die sich aus einer graubraunen Strate aus humosem Sand mit vielen helleren sandigen Bereichen zusammensetzte. Letztere sprach Lütjens als mögliche Reste von Soden an. Die Schicht war zudem von vielen dunkelbraunen Flecken – möglichen Manganoxidflecken – bedeckt. Diese dritte Hügelschüttung erstreckte sich 7,6 m im Radius entlang des

157 Befund 95.

158 Sichere Pfostengrube: Befunde 7 und 57; unsichere Pfostengruben: Befunde 4, 6, 17, 33, 41, 45, 58, 60, 66, 74, 88, 100, 105.

159 Befunde 20, 85, 99. Unsichere gestörte Grube oder gestörtes Pfostenloch Befund 41.

160 Befund 90.

161 Befund 55, 76, 93.

162 Befund 102.

163 Befund 44.

164 Befund 108.

Südprofils. Den einzelnen Bauphasen konnten keine Befunde eindeutig zugewiesen werden. An Bestattungen konnte lediglich ein sicheres Grab¹⁶⁵ erfasst werden, das in die Bauphase A eingetieft worden war. Jedoch ist unklar, von welcher der Bauphasen aus die Eintiefung erfolgte, da der Bereich oberhalb des Grabes vom Pflug bereits abgetragen worden war.

Bestattung

Das Grab bestand aus einer kompakten, von Südwest nach Nordost ausgerichteten Steinpackung von 1,4 × 3,7 m Ausdehnung. Die Steinpackung setzte sich dabei aus faust- bis kopfgroßen Rollsteinen zusammen und war in der Mitte von der Randzone leicht rechteckig abgesetzt, sodass sich ein etwas tieferer, ebener Innenbereich von 0,4 × 2,4 m abzeichnete, der wahrscheinlich einst den Holzsarg barg, von dem viele Holzreste gefunden wurden (Taf. 211-216). Auf den Bodensteinen dieses Innenbereiches wurden im südwestlichen Teil Knochen- und Zahnreste der unverbrannten Bestattung gefunden. Die Knochenreste lagen dabei nur noch als weißgelbe, schmierige weiche Substanz vor.¹⁶⁶

Funde und Datierung der Bestattung (Taf. 213-215)

Lütjens zufolge lagen auf den Bodensteinen mehrere Beigaben: im Nordosten ein kleiner Tonbecher (11,5 cm hoch) und im mittleren bis südwestlichen Teil ein fragmentierter Bronzedolch mit herausgebrochener Heftplatte und zwei Pflocknieten, ein kleiner Bronzefingerring aus Draht und eine über 21 cm lange schwergerippte Trompetenkopfnadel. Dazu kamen Fingerringfragmente und Bruchstücke von Bronzenadeln sowie wenige unbestimmbare Wandscherbenreste. Anhand der Trompetenkopfnadel wird der Befund in die Periode II datiert (Vgl. Kap. 8.4.1.6.8).

Weitere Befunde

Im Südostsektor wurde innerhalb des Hügelareals eine West-Ost ausgerichtete **Steinkonzentration**¹⁶⁷ festgestellt, die sich unregelmäßig-länglich in einer lockeren bis lückenhaften Steinstreueung über vier Meter bei einer Breite von einem Meter erstreckte. Es handelte sich womöglich um ein gestörtes Steinpflaster. In der fotografischen Aufsicht ist zu sehen, dass die Steine in eine graubraun humose Schicht eingetieft wurden, die wahrscheinlich zur Hügelanschüttung gehörte und sich vom anstehenden gelben Sand abhob. Die Steinkonzentration ist demnach jünger als der Grabhügel und kann wahrscheinlich der Bauphase C zugeordnet werden. Womöglich handelte es sich um eine Nachbestattung auf einem Steinpflaster. Aus dem Befund konnten zwei mittelgrob gemagerte Wandscherben geborgen werden, die keine genauere zeitliche Einordnung zulassen. Eine weitere längliche Steinkonzentration¹⁶⁸ (ungefähr 3 × 1,5 m) konnte außerhalb des Hügelareals aufgedeckt werden. Sie war von Nordost nach Südwest ausgerichtet. Der Befund war sehr locker bis lückenhaft und deutete auf die ehemalige Existenz eines weiteren Steinpflasters aus faust- bis kopfgroßen Steinen hin. Ob es sich um ein Flachgrab des Hügelareals handelte, konnte nicht geklärt werden. Der zeitliche Hintergrund ist ebenso unklar. Eine kleine längliche Nordnordost-Südsüdwest ausgerichtete Steinkonzentration¹⁶⁹ (Taf. 217) östlich des Hügelareals setzte sich aus einer gestörten Konzentration faust- bis doppefaustgroßer Steine von 0,5 × 0,43 m zusammen. Funde von einer Keramikscherbe (gut geglättet, mittelgrob gemagert), kalzinierten Knochen, drei Flintartefakten (ein

165 Befund 95.

166 Sämtliche Knochen- und Zahnreste sowie organische Proben und Sedimentproben waren nach der Ausgrabung nicht mehr auffindbar.

167 Befund 55.

168 Befund 93.

169 Befund 76.

Trümmer und zwei Abschlage) sowie einem Stuck gebrannten Flints¹⁷⁰ konnten auf die ehemalige Existenz eines Brandgrabes (Urnengrab?) hinweisen, das durch landwirtschaftliche Aktivitaten womoglich bereits vollstandig zerstort wurde. Dafur spricht auch die Positionierung ostlich des Grabhugels. Unmittelbar westlich dieses Befundes (ca. 0,5 m Entfernung) wurde zudem eine dichte parallel ausgerichtete **Steinreihe**¹⁷¹ von ungefahr zwei Metern freigelegt, die eine mogliche Begrenzung zwischen dem Grabhugel und dem denkbaren Urnengrab darstellen konnte. Die Datierung dieser Befunde sowie ihre Zusammengehorigkeit sind unklar. Bei dem moglichen Urnengrab (Bef. 76) konnte vermutet werden, dass dieser Befund junger ist als der Grabhugel. Im Nordostsektor konnten in der Naher der Hugelmitte, unterhalb und sudostlich der Grabanlage, **Hakenflugspuren**¹⁷² entdeckt werden, die sich in einem Areal von 11 × 6 m von Nord nach Sud erstreckten. Teilweise traten sie rechtwinklig zueinander in Erscheinung. Die Spuren sind damit stratigraphisch alter als die Bestattung (Bef. 95) und die Hugelschuttung und stammen nach Lutjens damit spatestens aus der alteren Bronzezeit. An Funden konnten Holzkohle¹⁷³ und organisches Material aus den Beackerungsspuren geborgen werden. Die oben aufgefuhrten **Pfostengruben**¹⁷⁴ (Taf. 207-210) befanden sich sowohl im Hugelareal, als auch auerhalb. Eine Anordnung konnte nicht festgestellt werden. Sie alle wurden in den anstehenden Sand eingetieft. Die Pfostengruben im Hugelareal sind demnach alter als der Grabhugel. Eine der Pfostengruben¹⁷⁵ wies mehrere doppelfaust- bis kopfgroe Steine auf, die zum Verkeilen des ehemaligen Pfostens genutzt worden sein konnten. Die drei (bis vier) **Gruben**¹⁷⁶ (Taf. 206-207) hatten alle sehr unterschiedliche Formen und traten auerhalb des Grabhugels in keinerlei Anordnung auf und konnen lediglich als Anzeiger menschlicher Aktivitaten im Umfeld des Hugels herangezogen werden. Eine zeitliche Einordnung ist nicht moglich. Eine langliche **Steingrube**¹⁷⁷ (Taf. 206) wurde auerhalb des Grabhugels im Sudwestsektor gefunden. Die darin entdeckten Steine waren faustgro, wiesen jedoch keinerlei Hitzeeinwirkung auf, sodass es sich nicht um eine Kochsteingrube handelte. Eine zeitliche Einordnung ist auch hier nicht moglich. Die kreisrunde **Branderdestelle**¹⁷⁸ konnte nur noch als Rest nordnordostlich, auerhalb des Hugels aufgefunden werden. Die Datierung ist unklar.

Zu den Funden

Die Funde gliedern sich in Keramik, Flintartefakte, Bronzeartefakte, ein Steinartefakt und gebrannten Lehm. Unter den **keramischen Objekten** befinden sich 43 Wandscherben und lediglich eine Randscherbe. Ein vollstandiges Gefa ist zudem aus dem Korpergrab erhalten. Zusatzlich beinhaltete das Grab funf weitere Scherben. Die meisten Scherben stammen aus Streufundkontexten. Lediglich eine Scherbe stammt aus einem Pfostengrubenbefund¹⁷⁹, wahrend drei Scherben aus den gestorten Steinkonzentrationen¹⁸⁰ zutage kamen. Im Fall der Steinkonzentrationen konnte es sich bei den Scherben um Gefareste handeln, sofern eine Deutung als Grabanlagen angenommen wird. Scherbenmaterial aus den Streufundkontexten weist auf Aktivitaten im Areal hin. Die **Flintartefakte** lassen sich in 38 Abschlage, acht

170 Wurde durch Lutjens aus dem Fundmaterial entfernt.

171 Befund 102.

172 Befund 108.

173 F40, F44, F100, nicht mehr vorhanden, wurden vom Ausgraber entfernt.

174 Sichere Pfostengrube: Befunde 7 und 57; unsichere Pfostengruben: Befunde 4, 6, 17, 33, (41,) 45, 58, 60, 66, 74, 88, 100, 105.

175 Befund 57.

176 Befunde 20, 85, 99, (41).

177 Befund 44.

178 Befund 90.

179 Befund 41.

180 Eine Scherbe aus Befund 76 und eine Scherbe aus Befund 55.

Klingen, sechs Kernsteine, fünf Absplisse, fünf Trümmer, drei gebrannte Flintstücke, drei Fragmente, zwei Stichel und zwei Kratzer unterteilen. Der Großteil wurde als Streufund u. a. aus der Hügelschüttung geborgen (Taf. 218), während einige wenige Objekte aus mehr oder weniger eindeutigen Befunden wie Pfostengruben, Steinkonzentrationen und dem Grab stammten.¹⁸¹ Es ist sehr gut möglich, dass es sich bei einem Großteil der Funde um Material handelte, das sich in dem aufgeschütteten Material aus der Umgebung befand. Die oben aufgeführten **Bronzefunde** stammten alle aus dem Grab und können als Grabausstattung gedeutet werden. Ein **Schleifsteinfragment** wurde beim Abtrag mit dem Bagger zwischen der Steinpackung des Befundes 95 und dem Ost-Profilsteg im modernen Pflughorizont entdeckt. Womöglich wurde es vom Pflug aus der Steinpackung gerissen. Es handelte sich wohl eher um einen Teil der Packung als um eine Beigabe, da es sich um ein alt zerbrochenes Stück handelt. Die drei **gebrannten Lehmfragmente** wurden aus dem Profil geborgen und können keinem Befund zugewiesen werden. Sie weisen keine Abdrücke und auch keine spezifischen Formen auf.

Nutzung und Datierung

Die Abfolge der Nutzung kann aufgrund fehlender und entfernter Probenmaterialien nur bedingt rekonstruiert werden. Hakenpflugspuren und einige der Pfostengruben befanden sich unterhalb des Hügels und können damit an den Anfang gestellt werden. Die erste Bauphase des Hügels müsste aus stratigraphischen Gründen älter als Periode II datieren. Ein mögliches zugehöriges Grab für die erste Hügelschüttung konnte nicht aufgefunden werden. In diese erste Bauphase wurde das erhaltene Grab (Bef. 95), das anhand der Funde in die Periode II datiert werden kann, eingetieft und mit dem Hügel der Bauphase B überschüttet. Eine Steinkonzentration, die auf ein mögliches weiteres Grab hindeutet, wurde in dieser zweiten Bauphase angelegt und im Rahmen der dritten Bauphase C überhügelt und müsste den Schichten zufolge in die Periode II oder jünger datieren. Zwei Nachbestattungen außerhalb des Hügels können anhand zweier Steinkonstruktionen vermutet werden. Bei der einen Anlage deuten die Funde auf ein Brandgrab hin. Weitere Befunde außerhalb des Grabhügels wie Gruben, weitere Pfostenlöcher, eine Steingrube und eine Branderdestelle sind ohne Bezug und entsprechend unbestimmten Alters.

8.3.1.12. LA 62

Am südöstlichen Rand des Grabhügelfeldes befand sich ein einzelnes Langbett. Es war bereits während der Landesaufnahme um 1960 beackert und hatte nach Schwerin von Krosigk eine Nord-Süd-Länge von 75 m und eine Breite von 30 m. Die Höhe schwankte zwischen 0,7 m im Nordabschnitt und 0,5 m im Süden. Während der Hauptuntersuchung 2005 wurde festgestellt, dass das Langbett tiefgründig gestört ist, sodass keine Angaben mehr dazu gemacht werden können.

8.3.1.13. LA 63 (2014-346)

Der Grabhügel mit der LA-Nummer 63 befindet sich in einer V-förmigen Aufreihung zusammen mit fünf weiteren Grabhügeln (LA 64, 65, 66, 68, 69), die im Zuge des Kiesabbauvorhabens unter der Leitung von Burkhardt 2014 untersucht und bearbeitet wurden. Das Grabhügelareal wurde zu Beginn der Ausgrabungstätigkeiten mit einer Metallsonde begangen. Ausgehend von der höchsten Erhebung wurde der Hügel mit einem Kreuzprofilschnitt mit 0,5 m breiten Profilstegen in vier Teilflächen eingeteilt, deren 20 bis 25 cm starke Ackerkrume (20 cm in der Hügelmitte und 25 cm

¹⁸¹ Befunde 90 (1 Abspliss), 86 (1 Abschlag), 66 (1 Kernstein), 76 (1 Trümmer, 1 Abschlag, 1 Abspliss), 40 (1 Trümmer).

am Hügel Fuß) mithilfe eines Hydraulikbaggers abgetragen wurde. Befunde und die Hügelschüttung wurden nummeriert, dokumentiert und geschnitten. Ein zweites Planum ermöglichte das Erkennen und Dokumentieren von Befunden, die sich unterhalb der Hügelschüttung befanden. Schließlich folgte die Dokumentation der Profile. Insgesamt wurde eine Fläche von 600 m², die 12 Befunde barg, untersucht. Darunter befanden sich zehn archäologisch relevante Befunde, bei denen es sich um ein Grab¹⁸², zwei Hügelschüttungen¹⁸³, zwei Pfostengruben¹⁸⁴, zwei Feuerstellen¹⁸⁵, einen Steinkranz¹⁸⁶, eine Steinsetzung¹⁸⁷ und eine Holzkohlekonzentration¹⁸⁸ handelte. Des Weiteren wurden Hakenpflugspuren gefunden (ohne Bef.-Nr.).

Hügelaufbau

Der Hügel lässt sich in zwei Phasen unterteilen. Die erste Hügelschüttungsphase (A, Bef. 7) wurde auf dem anstehenden braunen Lehmboden aufgeschüttet. Die Schüttung bestand aus braungrauem stark lehmigem Sand, der sich im Planum nur diffus vom Untergrund trennen ließ. Im Durchmesser erreichte diese Schüttung 13 m und eine Stärke von 0,24 m, die sich im Profil feststellen ließen. Dort trat sie als braun gefleckter lehmiger Sand in Erscheinung.

Schwerin von Krosigk gab für den Grabhügel noch einen Durchmesser von 40 m und eine Höhe von 0,9 m an (Schwerin von Krosigk 1976, 107). Des Weiteren wurde im Profil eine circa zehn Zentimeter starke Schicht von 0,8 m Länge aus dunkelbraunem stark bindigem Sand als homogene Einfüllung erkannt. Ein Grab kann dieser Phase jedoch nicht zugeordnet werden. Darüber zeigte sich eine Aufschüttung einer zweiten Hügelphase (B, Bef. 1) aus graubraunem schwach geflecktem stark lehmigem Sand mit humosen Anteilen, die sich auf 7,5 m im Durchmesser erstreckte. Ob es sich dabei auch um den ursprünglichen Durchmesser handelt ist unklar. Die Schüttung trat direkt unterhalb des 30-40 cm starken A-Horizontes in Erscheinung und wurde wahrscheinlich schon zu einem Teil vom modernen Pflug gestört und abgetragen. Dementsprechend war diese zweite Schüttungsphase lediglich im ersten Planum mit diffusen Grenzen sichtbar. Dieser Phase kann ein zentrales Grab (Bef. 6) zugewiesen werden. Die Anordnung von Steinen und Steinstandspuren deuten eventuell auf einen ehemaligen **Steinkranz**¹⁸⁹ hin, der wahrscheinlich einen Durchmesser von 19 m gehabt haben könnte, während der Ausgrabung jedoch nur noch fragmentarisch rekonstruiert werden konnte. Ein Teil des Steinkranzes war als separater Befund einer Steinsetzung¹⁹⁰ aufgenommen worden, die auch einen Findling von 0,75 m Durchmesser beinhaltet hatte. Inwieweit auf die ursprüngliche Ausdehnung der zweiten Bauphase oder aber das Ausmaß einer dritten Hügelschüttung anhand dieses Durchmessers geschlossen werden könnte ist unklar, da sich keine Hinweise dazu in den Plana oder Profilen zeigten. Die dokumentierbaren Steine des Steinkranzes könnten auch verlagert worden sein, sodass sie einst entlang der zweiten Hügelschüttung gelegen haben könnten. Möglicherweise handelt es sich aber auch um die Reste einer weiteren Grabkonstruktion.

Grab

Das zentrale Grab¹⁹¹ wurde in die Schüttung der ersten Hügelphase eingetieft und vom zweiten Hügel überlagert. Im ersten Planum wurde der Befund als lose

182 Befund 6.

183 Befunde 1 (Hügelschüttung B) und 7 (Hügelschüttung A).

184 Befunde 11 und 12.

185 Befunde 4 und 5.

186 Befund 2.

187 Befund 3.

188 Befund 9.

189 Befund 2.

190 Befund 3.

191 Befund 6.

Ansammlung vorwiegend kopfgroßer Steine wahrgenommen, die sich auf 9 m² bis in den Pflughorizont erstreckten. Die Grabgrenzen konnten lediglich anhand der Profile rekonstruiert werden. Es zeigte sich ein flacher schräger Verlauf einer Eintiefung in die Hügelschüttung A (Bef. 7), die sich über 3,6 m Länge und 1,2 m Breite erstreckte und dabei eine Resttiefe von 0,14 m aufwies (Taf. 221). Die Verfüllung setzte sich aus dunkelbraunem bindigem Sand zusammen, die sich von der grau gefleckten Hügelschüttung A absetzte und sich noch mit einer Mächtigkeit von 0,2 m darunter nachweisen ließ. Beigaben sind aus dem Grab nicht bekannt. Es ist unklar, ob es sich um eine Körper- oder Leichenbrandbestattung handelte. Lediglich zwei Abschlüge und zwei Absplisse konnten aus einem der Abträge geborgen werden, sodass es sich wahrscheinlich um einen Begleitfund des Verfüllungsmaterials handelte, wobei eine Beigabe nicht auszuschließen ist. Die Datierung des Grabes basiert auf einem Makrorest, der aus dem Grab geborgen worden war und die Bestattung zwischen 2196 und 1981 calBC, d. h. in das Spätneolithikum I datiert.¹⁹²

Weitere Befunde

Unterhalb der Hügelschüttung wurden **Hakenpflugspuren** gefunden, die noch ungefähr zwei cm im anstehenden Boden erhalten waren. Sie hatten teilweise sehr diffuse Anordnungen und waren lediglich im südöstlichen Quadranten noch nachweisbar. Im Areal der Hügelschüttung A wurden zwei **Pfostengruben**¹⁹³ (Taf. 220) in der Nordostfläche gefunden, die mit drei Meter Abstand zueinander in den anstehenden braunen Lehm eingetieft waren. Beide wiesen eine stark holzkohlehaltige Verfüllung auf, sodass vermutet werden kann, dass es sich um die Reste abgebrannter Pfosten handelte. Auf eine Funktion kann anhand dieser beiden Befunde nicht geschlossen werden. Den Profilzeichnungen zufolge befanden sich die beiden Pfosten unterhalb der Hügelschüttung und waren entsprechend älter als der Grabhügel und weisen lediglich auf Aktivitäten auf dem Feld hin, die vor der Hügelerichtung dort stattgefunden haben. Unterhalb der Hügelschüttung kam nordöstlich des Grabes eine **Holzkohlekonzentration**¹⁹⁴ (Taf. 220) mit ungewöhnlich vielen Holzkohlestücken zum Vorschein, die sich in einer flachen muldenförmigen Eintiefung befand. Die Funktion ist unklar. Aufgrund der Stratigrafie müsste dieser Befund älter als der Grabhügel sein. Außerhalb des Hügelareals wurden zudem zwei **Feuerstellen**¹⁹⁵ (Taf. 219) in der Südostfläche gefunden, die – von ihren Mittelpunkten ausgehend – weniger als einen Meter voneinander entfernt lagen. Eine der beiden enthielt hitzeermürbte Steine¹⁹⁶, während die andere viele Holzkohlestücke barg. Es könnte einen funktionalen Zusammenhang zwischen den beiden Befunden gegeben haben, sodass beide gleichzeitig gewesen sein könnten. Die Datierung der beiden Befunde ist unklar. Aus beiden Feuerstellen konnten Holzkohlereste von der Eiche (*Quercus*) geborgen werden, die von Dannath bestimmt wurden.¹⁹⁷ Die Holzkohleproben aus dem Befund 5 ergaben zusätzlich die Überreste verkohlten Holzes von der Hasel (*Corylus*) und Weide (*Salix*) bzw. Pappel (*Populus*). Diese Vielfalt ist vergleichbar mit dem Holzart-Spektrum, das in Kochsteingruben vorkommt. Das Vorkommen von drei verschiedenen Baumarten in einer Kochsteingrube tritt dabei sehr häufig vor.¹⁹⁸ Aufgrund der hitzeermürbten Steine könnte eine entsprechend ähnliche Funktion vermutet werden. Kochsteingruben werden in einem späteren Kapitel ausführlich behandelt (Vgl. Kap. 8.3.4).

192 LA 63, Makrorest aus Befund 6, SH2014-346.19: KIA-54423:3695±25uncalBP(2196-1981calBC).

193 Befunde 11 und 12.

194 Befund 9.

195 Befunde 4 und 5.

196 Befund 5.

197 SH2014-346.12-13.

198 Kruse und Matthes 2019, 214; Bartholin und Mikkelsen 2015.

Zu den Funden

Das Fundmaterial setzt sich aus drei Bronzefunden aus der Ackerkrume, zwei Keramikscherben aus dem östlichen Steinkranzareal, sechs Abschlügen, zwei Absplissen und einem Flintklingenfragment aus der Hügelschüttung zusammen. Die Bronzefunde wurden mithilfe eines Metalldetektors aus dem Pflughorizont geborgen. Dabei handelt es sich zum einen um ein Griffzungenschwert¹⁹⁹ (Taf. 222) und einen Schwertknauf²⁰⁰ (Taf. 223). Beide datieren in die Periode II (Vgl. Kap. 8.4.1.6.1-2). Ein einschneidiges Messerklingenfragment²⁰¹ aus Bronze wurde außerhalb des Grabhügels im südlichsten Rand der Grabungsfläche gefunden. Ein Bezug zum Grabhügel ist möglich. Aus einigen Befunden²⁰² wurden sechs Bodenproben²⁰³ und aus den beiden Feuerstellen²⁰⁴ jeweils eine Holzkohleprobe²⁰⁵ entnommen.

Nutzung und Datierung

Vor der Errichtung des Hügels wurde das Areal beackert und anderweitig genutzt. Davon zeugen Hakenpflugspuren, Pflostengruben und eine Holzkohlekonzentration unterhalb des späteren Hügels. Anhand der Datierung des Grabes müssten diese Spuren älter sein als Spätneolithikum I. Für die erste Hügelschüttung konnten keine deutlichen Spuren eines Grabes gefunden werden. Diese erste Hügelschüttung muss in das Spätneolithikum I oder älter datieren. Ein zentrales Grab wurde dann auf der ersten Bauphase bestattet und von einer zweiten Hügelschüttung bedeckt vorgefunden. Ein Makrorest datiert das Grab in das Spätneolithikum I. Möglicherweise war der Grabhügel von einem Steinkranz umgrenzt. Außerhalb des Hügels deuten eine Feuerstelle und eine mögliche Kochsteingrube auf weitere undatierte Aktivitäten hin. Die Bronzefunde zeigen zudem Tätigkeiten der Periode II an diesem Grabhügel. Womöglich muss mit mindestens einem weiteren, bereits vom Pflug erfassten, älter-bronzezeitlichen Grab gerechnet werden.

8.3.1.14. LA 64 (2014-351)

Der Grabhügel LA 64 befindet sich in einer V-förmigen Reihe zusammen mit fünf weiteren Grabhügeln (LA 63, 65, 66, 68, 69), die im Zuge des Kiesabbauvorhabens unter der Leitung von Burkhardt 2014 untersucht und bearbeitet wurden. Das Grabhügelareal wurde zu Beginn der Ausgrabungstätigkeiten mit einer Metallsonde begangen. Ausgehend von der höchsten Erhebung wurde der Grabhügel mit einem Kreuzprofilsschnitt mit 0,5 m breiten Profilstegen in vier Teilflächen eingeteilt, deren 20 bis 25 cm starke Ackerkrume (20 cm in der Hügelmitte und 25 cm am Hügelfuß) mithilfe eines Hydraulikbaggers abgetragen wurde. Befunde und die Hügelschüttung wurden nummeriert, dokumentiert und geschnitten. Ein zweites Planum ermöglichte das Erkennen und Dokumentieren von Befunden, die sich unterhalb der Hügelschüttung befanden. Schließlich folgte die Dokumentation der Profile. Auf einer Fläche von 500 m² wurden neun Befunde erkannt. Acht der Befunde sind archäologisch relevant und lassen sich nach Burkhardt in drei Gräber²⁰⁶, eine

199 SH 2014-346.1 mit den Fragmenten 2, 4-6.

200 SH 2014-346.3+7.

201 SH 2014-346.8.

202 Befunde 6, 7, 10, 11.

203 SH2014-346.14-19.

204 Befunde 4 und 5.

205 SH2014-346.12-13.

206 Befunde 2-3, 8.

Hügelschüttung²⁰⁷, zwei Steinkränze²⁰⁸, eine Urnennachbestattung²⁰⁹ und eine Grube mit Holzkohlekonzentration²¹⁰ einteilen.

Hügelaufbau

Die **Hügelschüttung (Bef. 1)** ließ sich unterhalb des 30-40 cm starken Oberbodens als graubraun schwach gefleckter Sand mit humosen Anteilen und vielen Holzkohlepartikeln auffinden. Sie zeigte sich in den beiden Plana mit einem Durchmesser zwischen 7,5 und 9 m. Die Grenzen der Hügelschüttung waren teilweise sehr diffus. Unterhalb der Hügelschüttung befanden sich die Gräber 1 (Bef. 3) und 3 (Bef. 8). Diese gehörten entsprechend zu der Schüttung, während Grab 2 (Bef. 2) in die Hügelschüttung eingetieft wurde und somit eine Nachbestattung darstellt. In der nordöstlichen Teilfläche war ein **innerer Steinkranz**²¹¹ mit bis zu 0,4 m großen Steinen noch auf der Schüttung entlang ihrer Grenzen nachweisbar. Dieser innere Steinkranz wies einen Durchmesser von maximal neun Metern auf. Dabei war er oftmals nur noch in Form von Steinstandspuren erhalten und konnte teilweise nur fragmentarisch erfasst werden. Ein zweiter, äußerer Steinkranz²¹² umgrenzte den Grabhügel mit einem Durchmesser von 16 m. Dabei setzte er sich aus doppel Faustgroßen Steinen zusammen, deren mauerartige Setzung vor allem noch in der nordöstlichen Teilfläche vorhanden war. In den anderen Teilflächen war der Kranz oft bereits gestört und nur noch fragmentarisch oder anhand von Steinstandspuren erhalten. Entlang dieses Steinkranzes befand sich die Randbestattung (Bef. 9) in der Nordwestfläche. Dieser Steinkranz deutet darauf hin, dass es einst eine zweite Hügelphase gehabt haben müsste, die 16 m im Durchmesser gemessen haben müsste. Im Zuge landwirtschaftlicher Aktivitäten und Einebnungsprozesse wurde diese Überhügelung anscheinend abgetragen, sodass sie weder in den Plana, noch in den Profilen während der Ausgrabung zu sehen war. Dieser zweiten Bauphase kann sehr wahrscheinlich das Grab 2 (Bef. 2) zugeordnet werden. Auf eine Einebnung und Abtragung der oberen Schüttung könnte auch das Kolluvium entlang des äußeren Steinkranzes in der Nordwestfläche hinweisen.

Die Nachbestattung eines Urnengrabes (Bef. 9) wurde am äußeren Steinkranz der Nordwestfläche beobachtet. Damit konnte ein Grabhügel mit 16 m Durchmesser und noch 0,4 erhaltenen Metern Höhe nachgewiesen werden. Schwerin von Krosigk hatte 1976 einen Durchmesser von 35 m und eine Höhe von 0,5 m angegeben (Schwerin von Krosigk 1976, 107).

Primärbestattungen

Zu den Primärbestattungen, die im Zuge der ersten Phase der Hügelerrichtung aufgeschüttet wurden gehörten die Gräber 1 (Bef. 3) und 3 (Bef. 8), die sich etwas schräg nebeneinander versetzt im Hügelzentrum auf gleicher Höhe befanden. Vom **Grab 1 (Bef. 3)** wurden im ersten Planum bereits einige Faust- bis doppelkopfgroße Geröllsteine auf 4 × 3 m gefunden, die teilweise schon im Pflughorizont lagen. Mindestens die obere Steinlage des Grabes war also vom Pflug bereits gestört worden. Im zweiten Planum wurde dann eine annähernd rechteckige Steinsetzung sichtbar, die sich im vierten Planum zu einer Nordwest-Südost-ausgerichteten parallelen Reihe aus Faust- bis kopfgroßen Steinen entwickelte (Taf. 225). Am südlichen Rand der Konstruktion war eine steinlose Fläche von 1,8 × 0,3 m sichtbar, die sich aus dunkelbraunem bis grauen leicht bindigen Sand zusammensetzte und Holzmoderspuren vom Baumsarg aufwies. Die parallel verlaufenden Reihen Faust- bis kopfgroßer Steine

207 Befund 1.

208 Befund 4-5.

209 Befund 9.

210 Befund 6.

211 Befund 5.

212 Befund 4.

bilden den Steinmantel, der im Westen und Osten mit je einem größeren Stein eingefasst wurde. Zwischen diesen parallel ausgerichteten Steinen befand sich am westlichen mittigen Rand ein Fischschwanzdolch²¹³ (Taf. 235). In der Mitte des Grabes wurden außerdem zwei größere Steine gefunden, die wahrscheinlich den Baumsarg abgestützt hatten, der sich vor allem im fünften Planum durch eine 1,3 × 0,3 m große schwärzlich-braune Verfärbung aus schwach schlierigem Sand zeigte (Taf. 236). Die Grabsohle bestand aus leicht fleckigem gelbbraunem schwach humosem Sand. Darunter folgte der rötlichbraune schwach sandige anstehende Lehm, auf dem die Randsteine des Grabes lagen und eine Maße der Grabinnenfläche mit 2,2 × 0,7 m hatten (Taf. 237). Sowohl in den Plana als auch im Profil wird damit ersichtlich, dass das Grab auf dem anstehenden Boden angelegt worden war. Die Oberkante des den Baumsarg umgebenden Steinmantels befand sich dabei bereits im Pflughorizont. Das Grab 1 kann aufgrund des Fischschwanzdolches (Taf. 238-239), der nach Kühn dem Typ IV b zugeordnet werden kann, tendenziell in das Spätneolithikum II datiert werden (siehe Kap. 8.4.1.2). Aufgrund der Datierung von Befund 2 in das Spätneolithikum I könnte das Grab mit dem Dolch auch früher datieren. Fischschwanzdolche sind im Allgemeinen auch aus Gräbern des Spätneolithikums I bekannt, sodass diese frühere Datierung nicht verwundert. In Ergänzung dazu wurde aus dem Grabmaterial ein gebrannter Abspiss²¹⁴ geborgen, der wahrscheinlich einen Zufallsfund aus dem Schüttungsmaterial darstellt. Im Befund ließen sich keine direkten Hinweise auf einer Körper- oder Brandbestattung feststellen. Aufgrund der Datierung und der Konstruktion ist eine Körperbestattung jedoch sehr plausibel. Aus der gleichen Hügelfase stammt auch das **Grab 3 (Bef. 8)**, welches sich leicht nördlich in 1,5 m Entfernung zu Grab 1 befand. Während der Ausgrabung war zunächst ein Doppelgrab erwägt worden. Das Grab war parallel zu Grab 1 von NW nach SO ausgerichtet. Dabei lag es zum Teil innerhalb der durchpflügten Steinpackung von Grab 1. Es bestand nach Burkhardt aus einer länglichen unförmigen Verfärbung von 2 m Länge und 0,8 m Breite aus schwärzlich braunem leicht schlierigem Sand, der wahrscheinlich die Baumsargreste darstellte (Taf. 236). Das Grab 3 besaß nur noch eine Mächtigkeit von 1-2 cm und hatte recht diffuse Grenzen (Taf. 240). Aufgrund der vermutlichen Gleichzeitigkeit mit Grab 1 und der früheren Datierung von Grab 2 in das Spätneolithikum I kann angenommen werden, dass auch das Grab 3 dem Spätneolithikum I oder einer älteren Phase zugeordnet werden kann. Reste des Toten waren nicht vorhanden.

Nachbestattungen (Taf. 225-243)

Das **Grab 2 (Bef. 2)** wurde ungefähr 2,5 m südlich von Grab 1 aufgedeckt. Im Pflughorizont machte es sich durch faust- bis kopfgroße Geröllsteine auf einer Fläche von 3 × 1,5 m bemerkbar und wies dabei einige Lücken auf, die auf eine Störung durch den Pflug hindeuten. Im zweiten Planum konnte das Grab als eine von Nordwest nach Südost ausgerichtete Steinsetzung erkannt werden (Taf. 225). Die Setzung war dem dritten Planum nach kompakt, in rechteckiger Form angeordnet und wies in der Mitte einen dunkelbraunen leicht schlierigen Sand auf (Taf. 226), der sich im vierten Planum intensivierte und wahrscheinlich vom vermoderten Baumsarg stammte, dessen Steinabdeckung eingestürzt war (Taf. 227). Es konnten weder ein Leichenschatten noch Leichenbrandreste geborgen werden, sodass unklar ist, ob es sich um ein Körper- oder Brandgrab handelte. In den folgenden Plana wurden die Eingrabungsgrenzen immer deutlicher und ließen erkennen, dass das Grab bis auf das anstehende braungelbe Kies-Sand-Gemisch mit Ortsteinschichten eingelassen war (Taf. 228-231). Die Grabsohle setzte sich aus einer Pflasterung faust- bis kopfgroßer Steine zusammen, das leicht muldenförmig war (Taf. 232). Darauf

213 SH2014-351.8.

214 SH 2014-351.7.

lagen die Randsteine, die eine Innenfläche von $1,65 \times 0,40$ m und eine Gesamtfläche von $2 \times 0,75$ m aufzeigten. Im Profil konnte die Grabgrube mit einer Resttiefe von 0,6 m bemessen werden. Dabei war sie um 0,1 m in die Hügelschüttung und um 0,5 m in den anstehenden Boden eingelassen (Taf. 233-234). Aus dem Grab wurden fünf Abschlüge, zwei Absplisse und ein Klingenfragment²¹⁵ geborgen, bei denen es sich entweder um Zufallsfunde des Schüttungsmaterials oder um eine intentionelle Niederlegung als Beigabe handelte. Des Weiteren wurden vier Bodenproben und eine Holzkohleprobe geborgen, die von Dannath analysiert wurden. Bei der Holzkohleprobe handelt es sich um das Fragment von der Birke (*Betula*), dessen Datierung ein jungneolithisches Alter ergab.²¹⁶ Da diese Datierung recht alt schien, wurde ein Samen datiert, der das Grab hingegen in das Spätneolithikum I einordnen lässt.²¹⁷ Demnach müsste der Grabhügel mit den beiden Primärbestattungen in das Spätneolithikum I oder älter datieren, da das Grab 2 (Bef. 2) die Hügelschüttung stört und somit sicher jünger ist als die Gräber 1 und 3 (Bef. 3 und 8). Im äußeren Steinkranz wurde eine **Urnennachbestattung (Bef. 9)** aufgedeckt (Taf. 241-243), die stark gestört war. Diese Störung ergab sich wahrscheinlich während des oberflächlichen Abtrags durch den Bagger. Die Urne war ursprünglich mit einem kompakten Steinschutz aus doppelfaustgroßen Steinen umgeben, der einen Durchmesser von 0,4 m hatte. Das Gefäß war noch bis zum Bauchumbruch vorhanden. Es befand sich in einer muldenförmigen Grabgrube, die in den anstehenden Kies eingetieft war. Eine Resttiefe von 15 cm ist noch erkennbar. Dabei stand sie auf einem $15 \times 9 \times 7$ cm großen plattigen Boden Stein. Anhand von Scherben konnte eine Urnenabdeckung mit einem zweiten schalenförmigen Gefäß rekonstruiert werden. Die Abdeckung des Steinschutzes war zudem mit einem doppelkopfgroßen Deckstein abgeschlossen, der vom Bagger heruntergerissen worden war. Wenige kleine Leichenbrandstücke, die nicht geborgen wurden, waren außerhalb der Urne gefunden worden. Die Keramik wurde außen geglättet und mineralisch sowie organisch (mit Muschelgruß) mittelgrob gemagert.²¹⁸ Die Form der Urne lässt eine Datierung in die Periode IV bis V vermuten (siehe Kap. 8.4.1.7.3.3).

Weitere Befunde

Zwischen dem inneren und äußeren Steinkranz wurde in der nordöstlichen Teilfläche eine flache (0,1 m tief) muldenförmige langovale Eintiefung von $1,25 \times 0,75$ m mit Ost-West-Ausrichtung gefunden, die aus graubraunem schwach humosem Sand mit ungewöhnlich vielen **Holzkohlestücken** bestand (**Bef. 6**). Der Befund war in den anstehenden gelben Kies eingetieft und wies sehr diffuse Grenzen auf (Taf. 224). Möglicherweise handelt es sich um einen Befund, der auf die Nutzung des Areals vor dem Grabhügelbau hinweist und somit älter als der Grabhügel, also älter als das Spätneolithikum I war. Da die Hügelschüttung in diesem Areal vollständig fehlte, ist jedoch unklar, ob der Befund nicht doch später eingetieft wurde und bis auf den anstehenden Boden reichte. Eine **rezente Störung (Bef. 7)** in der Nordwestfläche wurde zunächst als eine weitere Grabstelle in Betracht gezogen. Bei der stark humosen Verfüllung mit vielen ungeordneten großen Steinen handelte es sich aber wahrscheinlich lediglich um eine neuzeitliche Steinversenkung.

Zu den Funden

Das Fundmaterial wurde unter 16 Fundnummern aufgenommen. Dabei handelt es sich um zwei Holzkohle- und sechs Bodenproben²¹⁹, 77 Keramikscherben²²⁰,

215 SH 2014-351.5-6.

216 LA 64, Befund 2 (Holzkohle): KIA-54348:3851±27uncalBP(2456-2204calBC).

217 LA 64, Befund 2 (Makrorest): KIA-54422:3679±29uncalBP(2192-1961calBC).

218 SH 2014-351.2-4.

219 Aus den Befunden 2-3, siehe oben.

220 73 Scherben aus Befund 9 und vier Scherben aus Befund 3, siehe oben.

einen Flintdolch²²¹, einen gebrannten Abspliss²²², 2 ungebrannte Absplisse und fünf Abschläge²²³ (Vgl. Kap. 8.4).

Nutzung und Datierung

HolzkohleKonzentrationen unterhalb des Hügels deuten auf eine vorangehende Nutzung des Areals hin, die wahrscheinlich älter als das Spätneolithikum I gewesen sein müsste. Die Gräber 1 und 3 wurden im Spätneolithikum I oder früher auf dem anstehenden Boden angelegt und mit einem Hügel bedeckt, der mit einem Steinkranz begrenzt wurde. Im Spätneolithikum I folgte dann die Nachbestattung eines dritten Grabes (Bef. 2), das in die erste Hügelschüttung eingetieft und daraufhin möglicherweise mit einem zweiten Hügel überschüttet wurde, der lediglich anhand eines zweiten Steinkranzes erahnt werden kann. Eine Urnennachbestattung erfolgte wahrscheinlich in der Periode IV bis V im äußeren Hügelrand in der Nähe des Steinkranzes.

8.3.1.15. LA 65 (2014-470)

Der Grabhügel LA 65 gehört zu einer V-förmigen Reihenanordnung zusammen mit fünf weiteren Grabhügeln (LA 63, 64, 66, 68, 69), die im Zuge des Kiesabbauvorhabens unter der Leitung von Burkhardt 2014 untersucht und bearbeitet wurden. Das Grabhügelareal wurde zu Beginn der Ausgrabungstätigkeiten mit einer Metallsonde begangen. Ausgehend von der höchsten Erhebung wurde der Grabhügel mit einem Kreuzprofilsschnitt mit 0,5 m breiten Profilstegen in vier Teilflächen eingeteilt, deren 20 bis 25 cm starke Ackerkrume mithilfe eines Hydraulikbaggers abgetragen wurde. Es wurde eine Fläche von 600 m² untersucht. Dabei wurden keine archäologisch relevanten Befunde aufgedeckt. Auch Funde wurden keine gemacht. Der Oberboden erwies sich als 0,3-0,4 m starker lehmiger Sand, der über dem braunen anstehenden Lehm lag. In der westlichen Teilfläche konnte zudem ein acht cm starker Vergrauungshorizont erkannt werden. Neuzeitliche Pflugspuren konnten noch auf dem anstehenden Boden nachgewiesen werden. Der Grabhügel – sofern er je existierte – muss demnach bereits vollständig eingeebnet gewesen sein. Belege für die Hügelschüttung, einen Steinkranz oder sonstige Hinweise auf einen Hügel konnten auch nicht dem Profil entnommen werden, sodass unklar ist, ob an dieser Stelle überhaupt jemals ein Grabhügel existierte. Nach Schwerin von Krosigk maß der Grabhügel während ihrer Aufnahme noch 40 m im Durchmesser und eine Höhe von 0,25 m (Schwerin von Krosigk 1976, 107). Er war also bereits in den 60er/70er Jahren stark eingeebnet worden. Aufgrund des welligen Reliefs am Fundplatz kann es sich aber auch um eine Geländeerhebung handeln, die für einen Grabhügel gehalten worden war.

8.3.1.16. LA 66 (2014-471)

Der Grabhügel LA 66 gehört ebenfalls zu der V-förmigen Reihenanordnung zusammen mit fünf weiteren Grabhügeln (LA 63, 64, 65, 68, 69), die im Zuge des Kiesabbauvorhabens unter der Leitung von Burkhardt 2014 untersucht und bearbeitet wurden. Das Grabhügelareal wurde zu Beginn der Ausgrabungstätigkeiten mit einer Metallsonde begangen. Ausgehend von der höchsten Erhebung wurde der Grabhügel mit einem Kreuzprofilsschnitt mit 0,5 m breiten Profilstegen in vier Teilflächen eingeteilt, deren 20 bis 25 cm starke Ackerkrume mithilfe eines Hydraulikbaggers abgetragen wurde. Während der Untersuchung von 600 m² Fläche wurden keine

221 Befund 3, siehe oben.

222 Aus Befund 3, siehe oben.

223 Aus Befund 2, siehe oben.

archäologisch relevanten Befunde aufgedeckt. Funde wurden ebenfalls nicht entdeckt. Ähnlich wie bei dem Grabhügel LA 65 wurde unterhalb des 0,3-0,4 m starken sandigen Oberbodens der anstehende Boden erreicht, der sich aus stark lehmigem Sand mit Kieseinlagerungen und Gesteinskonzentrationen zusammensetzt. Auch hier ist nach Burkhardt in der westlichen Teilfläche ein acht cm starker Vergrauungshorizont erkannt worden und neuzeitliche Pflugspuren ließen sich noch auf dem anstehenden Boden nachweisen. Der Grabhügel war demnach ebenfalls bereits vollständig eingeebnet gewesen. Auch hier gab es keine Belege für die Hügel-schüttung, einen Steinkranz oder sonstige Hinweise auf einen Hügel, sodass unklar ist, ob an dieser Stelle überhaupt jemals ein Grabhügel existierte. Nach Schwerin von Krosigk maß der Grabhügel während ihrer Aufnahme noch 34 m im Durchmesser bei einer Höhe von 0,25 m (Schwerin von Krosigk 1976, 108). Er war also ebenfalls bereits in den 60er/70er Jahren stark eingeebnet worden oder wurde mit einer Geländeerhebung verwechselt.

8.3.1.17. LA 67

Der Grabhügel LA 67 war während der Landesaufnahme noch gut erkennbar und wurde mit 35 m Durchmesser und einer Höhe von 0,9 m aufgenommen. Er befindet sich teilweise im Acker, teilweise im Knick und war nach Schwerin von Krosigk an dieser Stelle auf etwa zehn m Länge ungefähr 0,5 m höher als heute (Schwerin von Krosigk 1976, 108). Im Rahmen der archäologischen Hauptuntersuchungen konnte dieser Grabhügel aufgrund seiner **Knicklage** nicht berücksichtigt werden.

8.3.1.18. LA 68 (2014-679)

Der Grabhügel LA 68 gehört ebenfalls zu der V-förmigen Reihenanordnung zusammen mit fünf weiteren Grabhügeln (LA 63, 64, 65, 66, 69), die im Zuge des Kiesabbauvorhabens unter der Leitung von Burkhardt 2014 untersucht und bearbeitet wurden. Das Grabhügelareal wurde zu Beginn der Ausgrabungstätigkeiten mit einer Metallsonde begangen. Ausgehend von der höchsten Erhebung wurde der Grabhügel mit einem Kreuzprofilschnitt mit 0,5 m breiten Profilstegen in vier Teilflächen eingeteilt, deren 20 bis 25 cm starke Ackerkrume mithilfe eines Hydraulikbaggers abgetragen wurde. Während der Untersuchung von 600 m² Fläche wurden hier ebenfalls keine archäologisch relevanten Befunde aufgedeckt. Auch Funde wurden nicht entdeckt. Ähnlich wie bei dem Grabhügel LA 65 und 66 wurde unterhalb des 0,3-0,4 m starken sandigen Oberbodens der anstehende Boden erreicht, der sich aus stark lehmigem Sand und braunem Lehm zusammensetzt. Auch hier ist nach Burkhardt in der westlichen Teilfläche noch ein acht cm starker Vergrauungshorizont erkannt worden und neuzeitliche Pflugspuren ließen sich noch auf dem anstehenden Boden nachweisen. Der Grabhügel war demnach ebenso bereits vollständig eingeebnet worden. Auch hier gab es keine Belege für die Hügel-schüttung, einen Steinkranz oder sonstige Hinweise auf einen Hügel, sodass unklar ist, ob an dieser Stelle überhaupt jemals ein Grabhügel existierte. Nach Schwerin von Krosigk hatte der Grabhügel während ihrer Aufnahme noch einen Durchmesser von 32 m und eine Höhe von 0,3 m. Zu der Zeit sei er bereits überpflügt gewesen und habe gelbe Verfärbungen auf der Kuppe aufgewiesen (Schwerin von Krosigk 1976, 108).

8.3.1.19. LA 69 (2014-472)

Der Grabhügel LA 69 befindet sich in einer V-förmigen Aneinanderreihung von Hügeln zusammen mit fünf weiteren Grabhügeln (LA 63, 64, 65, 66, 68), die im Zuge des Kiesabbauvorhabens unter der Leitung von Burkhardt 2014 untersucht und bearbeitet wurden. Das Grabhügelareal wurde zu Beginn der Ausgrabungstätigkeiten

mit einer Metallsonde begangen. Ausgehend von der höchsten Erhebung wurde der Grabhügel mit einem Kreuzprofilsschnitt mit 0,5 m breiten Profilstegen in vier Teilflächen eingeteilt, deren 20 bis 25 cm starke Ackerkrume (20 cm in der Hügelmitte und 25 cm am Hügelfuß) mithilfe eines Hydraulikbaggers abgetragen wurde. Befunde und die Hügelerschüttung wurden nummeriert, dokumentiert und geschnitten. Ein zweites Planum ermöglichte das Erkennen und Dokumentieren von Befunden, die sich unterhalb der Hügelerschüttung befanden. Schließlich folgte die Dokumentation der Profile. Auf einer Fläche von 600 m² wurden zehn Befunde erkannt, bei denen es sich nach Burkhardt um eine Hügelerschüttung²²⁴, einen Steinkranz²²⁵, ein Grab²²⁶, eine Grube mit Pfostengrube²²⁷ (Taf. 248), zwei Feuerstellen²²⁸ (eine davon als mögliche Kochsteingrube²²⁹) und zwei Lehmentnahme- bzw. Siedlungsgruben²³⁰ handelt.

Hügelaufbau

Der Grabhügel war im Zuge einer Phase aufgeschüttet worden, die sich unter einem 25 bis 30 cm starken A-Horizonts in Form von graubraun geflecktem, stark lehmigem Sand mit humosen Anteilen von 20 cm Stärke zeigte. Diese Schicht²³¹ ließ sich lediglich im ersten Planum mit diffusen Grenzen sowie im Profil nachweisen und deutete auf einen Durchmesser von neun bis zehn Metern hin. Schwerin von Krosigk hatte einen Durchmesser von 38 m angegeben (bei einer Höhe von 0,6 m). Ihren Angaben zufolge war der Hügel zwar bereits überpflügt, jedoch noch gut erkennbar (Schwerin von Krosigk 1976, 108). Unterhalb der Schüttung folgte direkt anstehender brauner Lehm, sodass ein A-Horizont bzw. eine potentielle bronzezeitliche Geländeoberfläche eindeutig fehlten. Demnach kann angenommen werden, dass die Oberfläche abgetragen worden war, bevor der Grabhügel angelegt wurde. Umgrenzt war der Hügel mit einem Steinkranz²³², der jedoch überwiegend nur noch in Form von Steinstandspuren (v. a. in den östlichen Teilflächen) auf einen ungefähren Durchmesser von 9,8 m rekonstruiert werden konnte. Über den Steinkranz hinausgehend erstreckte sich ein Kolluvien, das wahrscheinlich erodierte Teile der Hügelerschüttung darstellt (Vgl. Hauptprofile). In der Hügelmitte war im Profil der Ansatz einer Grabgrube sichtbar (Bef. 1).

Primärbestattung

Die Hauptbestattung²³³ befand sich im Zentrum des Hügels, unterhalb der Schüttung in den anstehenden braunen Lehm eingetieft. Im A-Horizont war sie bereits in Form von einer Ansammlung faust- bis doppelkopfgroßer Steine zu sehen, die auf eine Fläche von neun Quadratmeter verrissen waren. Unterhalb des Pflughorizontes konnte das Grab von drei Metern im Durchmesser mit deutlicheren Grenzen erfasst werden, das von Ost nach West ausgerichtet war (Taf. 249-250). Im vierten Planum stießen die Ausgräber auf die Grabsohle, die sich als Verfärbung im Zentrum der Steinsetzung des Grabes zeigte und eine Fläche von 1,8 × 0,4 m erreichte (Taf. 251). Während am südlichen Rand des Grabes ein Flintdolch vom Typ VI a nach Kühn (Kühn 1979, 45f., 113, Taf. 16,5, Nr. 122) (mit der Spitze nach Osten zeigend) gefunden wurde (Taf. 252-253), befand sich unmittelbar nördlich des Grabes eine

224 Befund 9.

225 Befund 7.

226 Befund 1.

227 Befund 10.

228 Befunde 2, 3 und 8.

229 Befund 3.

230 Befund 5 und 6.

231 Befund 9.

232 Befund 7.

233 Befund 1.

Pfostengrube mit Pfostenloch²³⁴, das einen starken Holzkohleanteil aufwies. Da der Pfostenbefund auf gleicher Höhe mit dem Grab war, liegt eine gemeinsame Datierung nahe und könnte der obertägigen Markierung des Grabes gedient haben. Eine ähnliche Befundsituation liegt vom Grabhügel LA 57 vor. Reste des Toten wurden nicht gefunden. Aufgrund des Grabbaues und der Beigabe könnte eine Körperbestattung angenommen werden. Das Grab lässt sich anhand des Flintdolchfundes in die Periode I-II datieren (Kühn 1979, 51).

Weitere Befunde

Eine **Steinsetzung**²³⁵ am südlichen Rand der Hügelerschüttung wurde während des Abtrags im Pflughorizont entdeckt. Die Steine bildeten eine rundliche bis annähernd rechteckige, rahmenartige Nordost-Südwest ausgerichtete Struktur, die mit Holzkohlepartikeln und verziegeltem Lehm vermischt war. Ob es sich um eine zerstörte Nachbestattung handelte, ist aufgrund des hohen Zerstörungsgrades nicht mehr feststellbar. Funde wurden aus dem Befund nicht geborgen. Die drei **Feuerstellen**²³⁶ befanden sich außerhalb des Hügelerschüttungsareals und verteilten sich über die beiden nördlichen Teilflächen (Taf. 244). Eine Datierung dieser Befunde ist unklar. Möglicherweise wurden die Feuerstellen vor der Hügelnutzung aufgesucht. Einer der Befunde hatte eine rundlich-ovale Form und beinhaltet hitzeermürbte Steine, sodass auch eine Ansprache als **Kochsteingrube**²³⁷ möglich wäre. Ein Zusammenhang zwischen der Kochsteingrube und dem Hügel ist nicht eindeutig. In der südwestlichen Teilfläche wurden außerhalb des Hügelareals des Weiteren zwei **Gruben**²³⁸ aufgedeckt, die wahrscheinlich der Lehmentnahme dienten (Taf. 245-247). Ihre Verfüllung mit Pflanzenresten und Holzkohlepartikel weist wahrscheinlich darauf hin, dass sie im Zuge von Siedlungstätigkeiten – womöglich vor der Errichtung des Grabhügels – genutzt wurden und damit älter sein könnten als der Hügel. Bei einer der Gruben ist der Lehm mehr oder weniger stark verziegelt (Vgl. Bef. 6). Aus dem Grubenbefund 6 kam eine Holzkohleprobe, die nach Dannath von der Kiefer (*Pinoideae*) stammt.²³⁹

Zu den Funden

Neben dem bereits genannten Flintdolch²⁴⁰ wurden drei Bodenproben²⁴¹ aus der Zentralbestattung entnommen, sowie eine Boden- und eine Holzkohleprobe²⁴² aus der Lehmentnahmegruben mit der Befundnummer 6.

Nutzung und Datierung

Der Grabhügel mit einer Zentralbestattung und einem Pfostenloch datiert wahrscheinlich in die Periode I-II. Eine Steinkonstruktion im Hügelrandbereich könnte auf eine zerstörte Nachbestattung hinweisen, die demnach jünger als das Spätneolithikum datieren dürfte. Eine jüngere oder ältere Nutzung des umgebenden Areals bezeugen Gruben, Feuerstellen und eine mögliche Kochsteingrube.

234 Befund 10.

235 Befund 4.

236 Befunde 2, 3 und 8.

237 Befund 3.

238 Befunde 5 und 6.

239 SH 2014-472.6.

240 SH 2014-472.1.

241 SH 2014-472.2-4.

242 SH 2014-472.5-6.

8.3.2. Synthese zu den Grabhügelbefunden

8.3.2.1. Erhaltung der Grabhügel

Von den insgesamt 20 zunächst als Grabhügel bezeichneten Befunden (abgesehen von dem Brandgräberfeld sowie dem Langbett), konnten durch Ausgrabungen in zwölf Fällen noch Hügelerschüttungen oder Grabanlagen (die auf einen ehemaligen Hügel hinweisen) tatsächlich nachgewiesen werden.²⁴³ In zwei Fällen lag vermutlich ein ehemaliger Grabhügel vor, der nicht mehr nachzuweisen war, da die Hügelerschüttung fehlte.²⁴⁴ Bei drei Hügeln handelte es sich um vollständig eingeebnete Hügel, die aufgrund fehlender Hinweise nicht als Grabhügel angesprochen werden können.²⁴⁵ Drei Hügel befanden sich in Knicklagen und konnten bisher nicht ausgegraben werden.²⁴⁶ Ein Langbett war bereits tiefgründig gestört.²⁴⁷ Am Fundplatz lag zudem ein Brandgräberfeld²⁴⁸ sowie ein Areal mit Siedlungsbefunden²⁴⁹ vor.

8.3.2.2. Hügelbauphasen

Von den Grabhügeln, die noch mindestens eine Hügelerschüttung aufwiesen, können zunächst vier einphasige²⁵⁰, vier zweiphasige²⁵¹ und ein dreiphasiger²⁵² Grabhügel genannt werden. Bei einem Grabhügel war nur eine Bauphase erkennbar, eine zweite wird jedoch vermutet.²⁵³ In einem Fall lag keine Hügelerschüttung mehr vor, jedoch war das Primärgrab tief genug eingegraben gewesen, sodass es erhalten geblieben war.²⁵⁴ Wie viele Bauphasen schließlich das Grab bedeckt hatten ist unklar. Im Allgemeinen sind die angegebenen Bauphasen durch die Erhaltung der Grabhügel bedingt, deswegen kann es sich häufiger um mehrphasige Grabhügel gehandelt haben als heute nachweisbar. Die Hügelbauphasen entsprechen dem Zeitraum in dem die Primär- bzw. Sekundärbestattungen angelegt, bzw. nachbestattet wurden (siehe unten).

8.3.2.3. Steinkränze

Bei fünf Grabhügeln konnte mindestens ein Steinkranz nachgewiesen werden.²⁵⁵ Bei zwei weiteren Grabhügeln konnten einige Steinstandspuren nur bedingt auf einen ehemaligen Kranz hindeuten.²⁵⁶ Die beiden Grabhügel LA 59 und LA 64 wiesen jeweils sogar zwei Steinkränze auf, die beide Hügelerschüttungsphasen einfassten. Bei den ebenfalls zweiphasigen Grabhügeln LA 58 und LA 63 wurde ein Steinkranz jeweils für die zwei Bauphasen festgestellt. Hinsichtlich der Datierung der Grabhügel sind keine Auffälligkeiten hinsichtlich des Hinzufügens eines Steinkranzes festzustellen, da jene sowohl im Spätneolithikum als auch während der Älteren Bronzezeit vorkamen.

243 LA 17, LA 18, LA 22, LA 23, LA 57, LA 58, LA 59, LA 60, LA 63, LA 64, LA 69.

244 LA 21, LA 24.

245 LA 20, LA 65, LA 66, LA 68.

246 LA 25, LA 61, LA 67.

247 LA 62.

248 LA 115.

249 LA 116.

250 LA 18, LA 23, LA 57, LA 69.

251 LA 58, LA 59, LA 63, LA 64.

252 LA 60.

253 LA 22.

254 LA 17.

255 LA 58, LA 59, LA 63, LA 64, LA 69.

256 LA 18, LA 57.

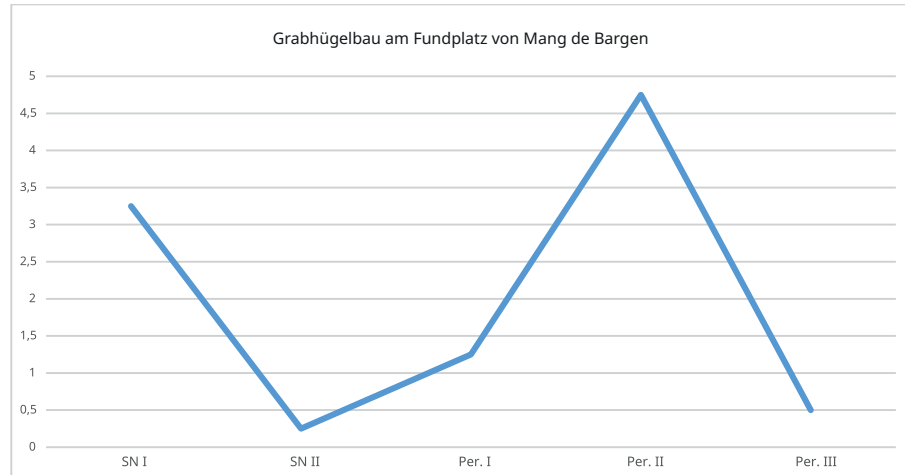


Abbildung 25: Entwicklung des Grabhügelbaus anhand datierbarer Befunde vom Fundplatz von Mang de Bargaen.

8.3.2.4. Primärbestattungen

In den o.g. elf Grabhügeln, die mindestens eine Hügelschüttung oder ein sicheres Grab aufwiesen, existierte mindestens eine Primärbestattung. Bei LA 22 ist die Primärbestattung unsicher, da der Befund beraubt und der Hügel gestört wurde. Bei LA 59, LA 60 und LA 63 wurde das Primärgrab in die erste bis zweite Hügelschüttung, die kein Grab enthielt, eingetieft – es ist demnach unklar, ob es sich tatsächlich um das Primärgrab oder um ein Sekundärgrab handelte. Grabhügel LA 64 enthielt als einziger zwei Primärbestattungen. Aus drei der Primärbestattungen wurden Knochenüberreste geborgen, sodass es sich um eindeutige Körpergräber handelte.²⁵⁷ Drei weitere Gräber können aufgrund der Konstruktion (z. B. mehrreihiger Steinrahmen) und spätneolithischer bzw. frühbronzezeitlicher Beigaben wahrscheinlich als Körpergrab angesprochen werden.²⁵⁸ Bei einem weiteren Grab kann von einem möglichen Körpergrab ausgegangen werden, da es eine Schädelnachbestattung enthielt, die zu dem Toten gehören könnte.²⁵⁹ Ein Grab wurde anhand von Leichenbrandstücken aus der Baumsargverfärbung als Leichenbrandschüttungsgrab identifiziert.²⁶⁰ Vier Gräber können nicht eindeutig als Körper- oder Brandbestattung erkannt werden.²⁶¹ Die Ausrichtungen der Bestattungen folgen dabei keinem einheitlichen Prinzip. Es fällt auf, dass ein Großteil der Gräber (6x) Ost-West (teilweise mit leichter Neigung nach NNW-SSO oder SSW-NNO) ausgerichtet wurde²⁶², während einige Gräber (3x) eine Nordwest-Südost-²⁶³ und in einem Fall Nordost-Südwest-Ausrichtung²⁶⁴ erhielten. Die Ost-West-Ausrichtung ist im südsandinavischen Raum insbesondere für älterbronzezeitliche Grabhügelbestattungen bekannt (Holst 2015, 116; Holst und Jensen 2015, 13ff.). Eine zeitliche Differenzierung ist am Fundplatz jedoch nicht erkennbar, sodass die Ausrichtung möglicherweise von anderen Faktoren (Klima, Jahreszeit, Tageszeit, soziale/individuelle Gründe usw.) abhängt.

Zeitlich sind die Bestattungen zwischen dem Spätneolithikum und der Periode III einzuordnen (Abb. 25). Darauf endete der Bau von Grabhügeln und es folgten Begräbnisse in Form von Nachbestattungen. Die Datierungen in der Abbildung 23 sind leider zum Teil ungenau (z. B. ‚Spätneolithikum bis Ältere Bronzezeit‘), sodass eventuelle Lücken im Grabhügelbau am Fundplatz (z. B. während der Periode I) nicht abzusehen sind (Vgl. Kap. 8.6).

257 LA 18, LA 58, LA 60.

258 LA 64 (2x), LA 69.

259 LA 17.

260 LA 57.

261 LA 22, LA 23, LA 59, LA 63.

262 LA 17, LA 57, LA 59, LA 60, LA 63, LA 69.

263 LA 18, LA 23, LA 64.

264 LA 58.

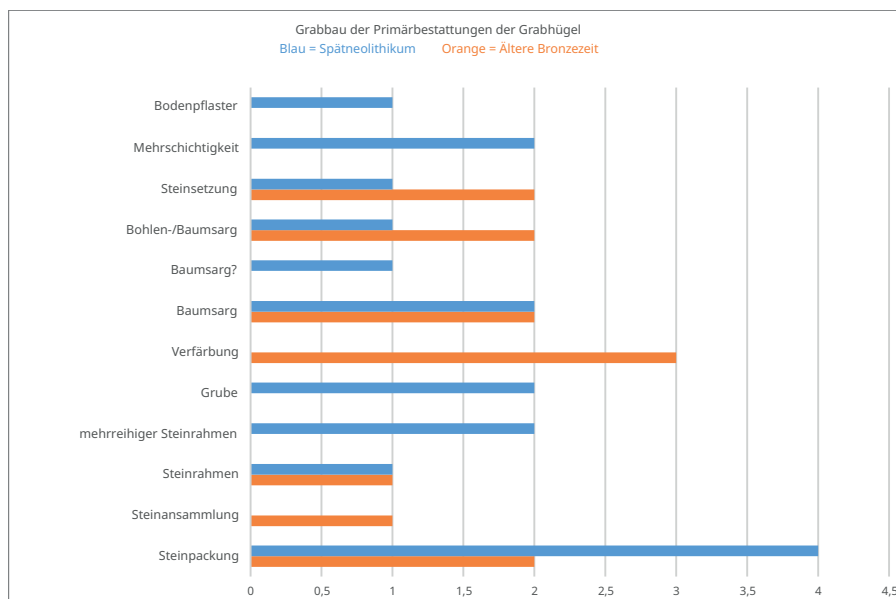


Abbildung 26: Verteilung spätneolithischer und älter-bronzezeitlicher Grabkonstruktionselemente in Primärgräbern unter Grabhügeln am Fundplatz von Mang de Barga.

8.3.2.4.1. Grabbau von Primärbestattungen

Die Konstruktionen der primären Bestattungen in den Grabhügeln lassen sich nach Unterkonstruktionen (z. B. Steinrahmen, Bodenpflaster usw.), Verfärbungen und Hinweise auf Sargreste unterscheiden (Abb. 26). Des Weiteren kann die Folge mehrerer Schichten bei einigen Befunden hervorgehoben werden (z. B. mehrlagige Steinsetzungen). Bei den Primärgräbern fällt auf, dass sich spätneolithische Bestattungen²⁶⁵ mit teilweise aufwendigen Konstruktionen von eher einfacheren Gestaltungen der Älteren Bronzezeit²⁶⁶ unterscheiden. Während in spätneolithischen Gräbern mehrlagige Steinschichtungen oder Steinrahmen, die auch in mehreren parallelen Reihen aufgebaut sein konnten, auftreten, so beschränkten sich die älterbronzezeitlichen Bestattungen häufig auf Verfärbungen, Baumsärge und Steinsetzungen. Die Komplexität scheint demnach mit der Zeit abzunehmen. Ob der Leichnam dabei verbrannt oder unverbrannt bestattet wurde, schien dabei weniger eine Rolle gespielt zu haben, da aus den älterbronzezeitlichen Kontexten zu 80% Körperbestattungen (4/5) und lediglich in einem Fall eine Leichenbrandschüttung bekannt sind. Diese Brandbestattung²⁶⁷ stellt dabei die jüngste Primärbestattung am Fundplatz dar und zeigt damit den Wandel von der Körper- zur Brandbestattung am Übergang von Periode II bis III. Sie unterscheidet sich im Aufbau unwesentlich von den Körperbestattungen, da der Tote ebenfalls in einem Baumsarg bestattet wurde. Der Grabbau wandelte sich innerhalb der Primärbestattungen zwischen dem Spätneolithikum und der Periode II-III demnach nicht außerordentlich.

265 LA 17, LA 23, LA 59, LA 64 Gräber 1 und 2.

266 LA 18, LA 57, LA 58, LA 60, LA 69.

267 LA 57, Bef. 1001/2001.

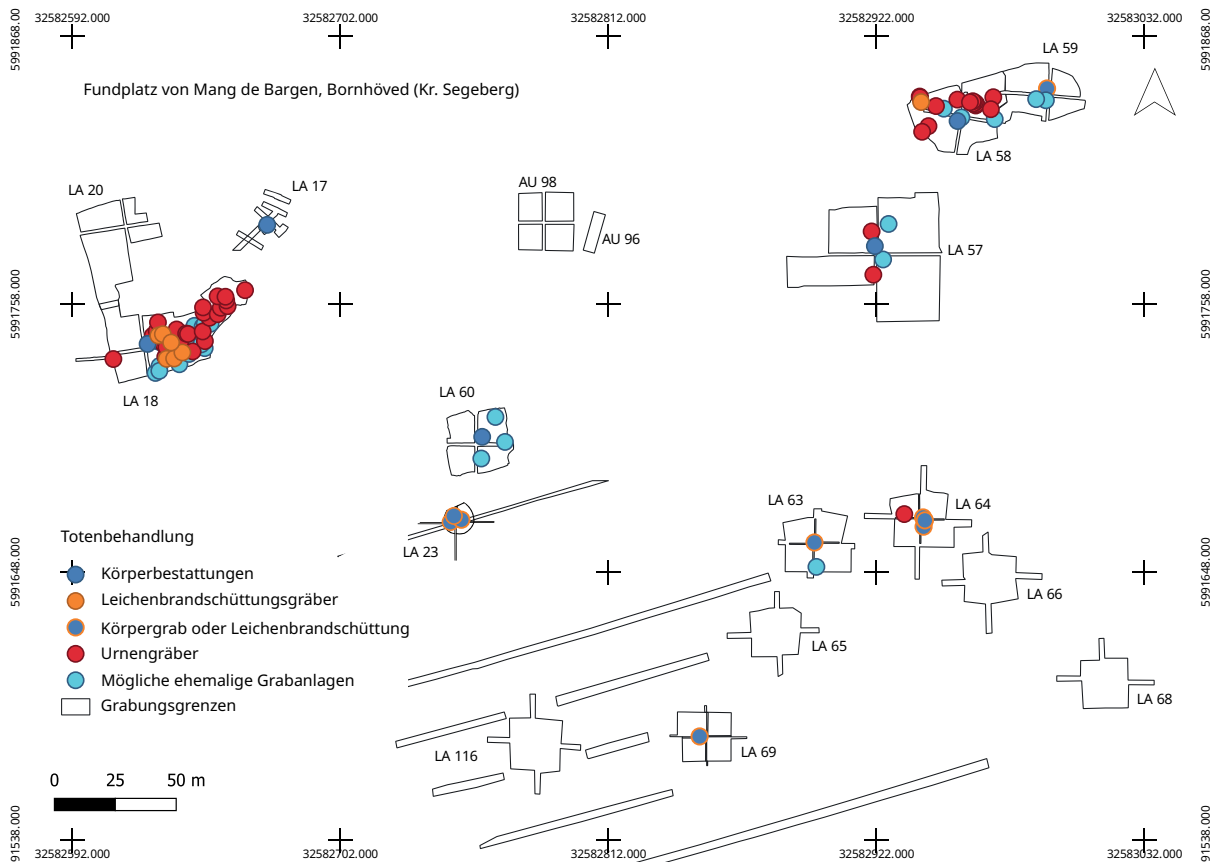


Abbildung 27: Verbreitung der Gräber nach der angewandten Totenbehandlung.

8.3.2.5. Nachbestattungen innerhalb und außerhalb von Grabhügeln

In neun der elf nachgewiesenen Grabhügel wurde mindestens eine Nachbestattung gefunden.²⁶⁸ Dabei handelt es sich um 59 Brandbestattungen²⁶⁹, die in 50 Urnen²⁷⁰ und sieben Leichenbrandschüttungen²⁷¹ unterteilt werden können. Des Weiteren wurden elf Gräber mit Steinkonstruktionen²⁷² gefunden, die eine Nachbestattung vermuten lassen können, die jedoch meistens keinen eindeutigen Hinweis auf eine Unterscheidung von Körper- oder Brandbestattung zuließen. Die Konstruktionen unterscheiden sich stark hinsichtlich ihrer Erhaltung. Manchmal war nur noch eine lose Steinansammlung vorhanden²⁷³, während einige Befunde noch eine Steinsetzung mit Baumsarg aufwiesen.²⁷⁴

268 LA 18, LA 22, LA 23, LA 57, LA 58, LA 59, LA 60, LA 64, LA 69; Aus dem nicht mehr nachzuweisenden Grabhügel LA 22 sind aus dem Areal vier Urnen bekannt, die möglicherweise als Nachbestattungen des Hügels bedacht werden könnten (siehe oben). Aufgrund der Unsicheren Zugehörigkeit wird dieser Grabhügel in diesem Abschnitt zunächst ausgelassen.

269 Darunter befinden sich auch mögliche Urnenbestattungen wie z. B. LA 57, Befund 1019.

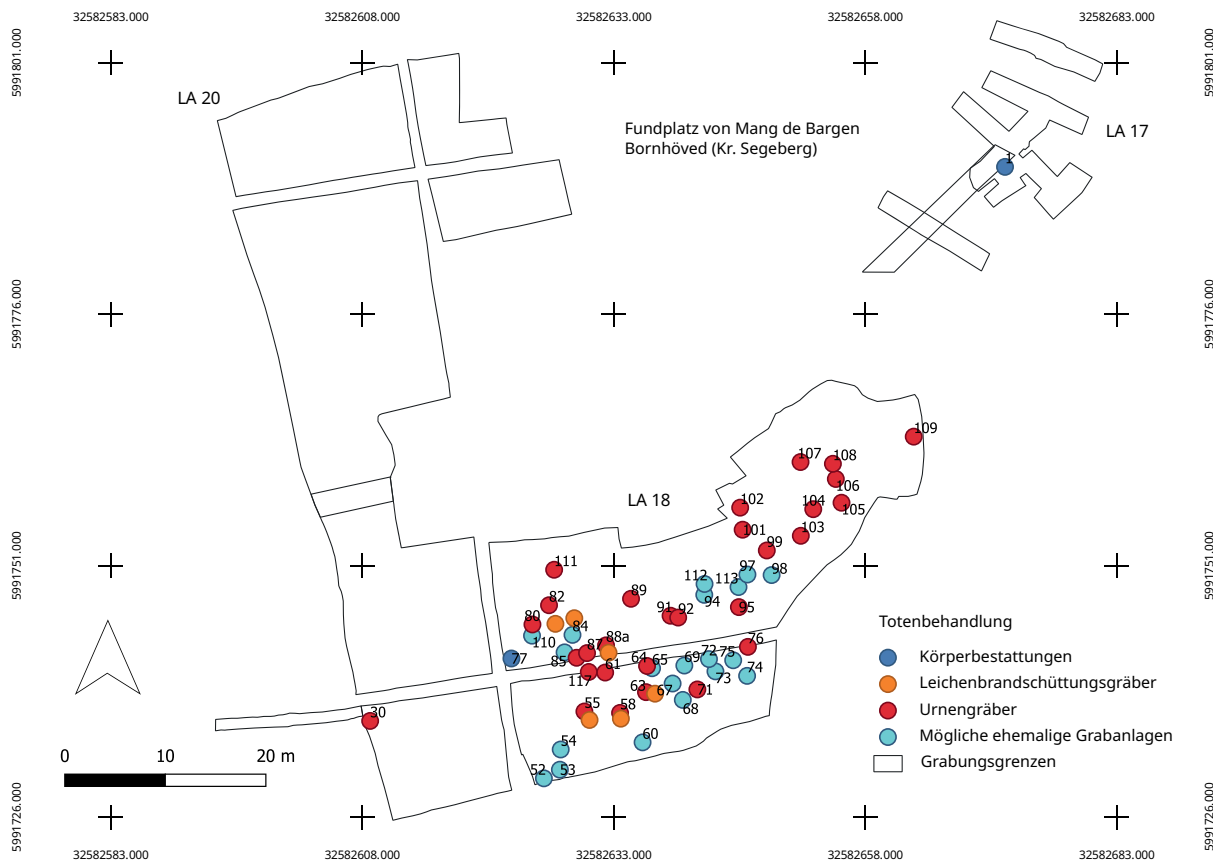
270 LA 18, Befunde 30, 55, 58, 61, 63, 64, 71, 76, 80, 82, 86, 87, 88a, 89, 91, 92, 95, 99, 101, 102, 103, 104, 105, 106, 107, 108, 109, 111, 117; LA 22/115, Befund 387; LA 57, Befunde 1019, 4003; LA 58, Befunde 2, 13, 19 (Doppelbestattung), 33, 62, 75, 76, 77, 78, 79, 80, 81, 127, 130, 135; LA 60, Befund 76; LA 64, Befund 9.

271 LA 18, Befunde 56, 59, 66/66a, 81, 83, 88b; LA 58, Befund 19.

272 LA 23, Befunde 2, 8; LA 57, Befunde 2032, 3077; LA 58, Befunde 12, 111; LA 59, Befunde 36 + 36; LA 60, Befunde 55, 93; LA 64, Befund 2; LA 69, Befund 4.

273 LA 58, Befund 111.

274 Vgl. LA 23, Befund 2; LA 64, Befund 2.



Von den Brandbestattungen befanden sich drei der Urnen als Nachbestattungen in Grabhügeln²⁷⁵, 14 im Randbereich der Grabhügel²⁷⁶ und 33 Urnen außerhalb von Grabhügeln.²⁷⁷ Die Leichenbrandschüttungen ließen sich einmal innerhalb von Grabhügeln feststellen²⁷⁸, drei von ihnen in Randbereichen und drei außerhalb von Grabhügeln. In der Verbreitungskarte (Abb. 27) der Bestattungen nach ihrer Totenbehandlung, zeigen sich zwei Verteilungsschwerpunkte bei Grabhügel LA 18 und beim Grabhügel LA 58. Die Nachbestattungen können dabei sowohl östlich als auch westlich des Grabhügels bestattet worden sein. Beim Grabhügel LA 18 befinden sich die Leichenbrandschüttungen tendenziell in der Nähe des Grabhügels, während gleichzeitige Urnen auch weiter außerhalb vorkommen können (Abb. 28).

Im Grabhügel LA 58 ist aufgrund des singulären Vorkommens einer Leichenbrandschüttung keine solche Tendenz erkennbar – jedoch ist zu bedenken, dass das Areal der Nachbestattungen womöglich nicht vollständig erfasst wurde (Abb. 29). Die Gräber mit Steinkonstruktionen wurden auf dem gesamten Fundplatz mit sechs Gräbern meistens im Hügelinneren nachbestattet²⁷⁹, während drei Gräber in Randbereichen von Grabhügeln²⁸⁰ und zwei weitere Gräber außerhalb von Grabhügeln bestattet wurden.²⁸¹

Abbildung 28: Verteilung von Bestattungen nach der Totenbehandlung in den Grabhügeln LA 17, 18 und 20.

275 LA 18, Befund 80; LA 57, Befunde 1019, 4003.

276 LA 18, Befunde 55, 61, 82, 86, 87, 117; LA 58, Befunde 2, 75-81.

277 LA 18, Befunde 30, 58, 63, 64, 71, 76, 88a, 89, 91, 92, 95, 99, 101-109, 111, 117; LA 58, Befunde 13, 19 (Doppelbestattung), 33, 62, 127, 130; LA 60, Befund 76; LA 64, Befund 9.

278 Dazu muss erwähnt werden, dass es bei den Steinkonstruktionen, die auch innerhalb von Grabhügeln auftreten können, auch um zerstörte Leichenbrandschüttungsgräber handeln kann.

279 LA 23, Befunde 2, 8; LA 57, Befund 3077; LA 58, Befunde 111; LA 59, Befund 35; LA 60, Befunde 55; LA 64, Befund 2.

280 LA 69, Befund 4; LA 59, Befund 36; LA 58, Befund 12.

281 LA 60, Befund 93; LA 57, Befund 2032.

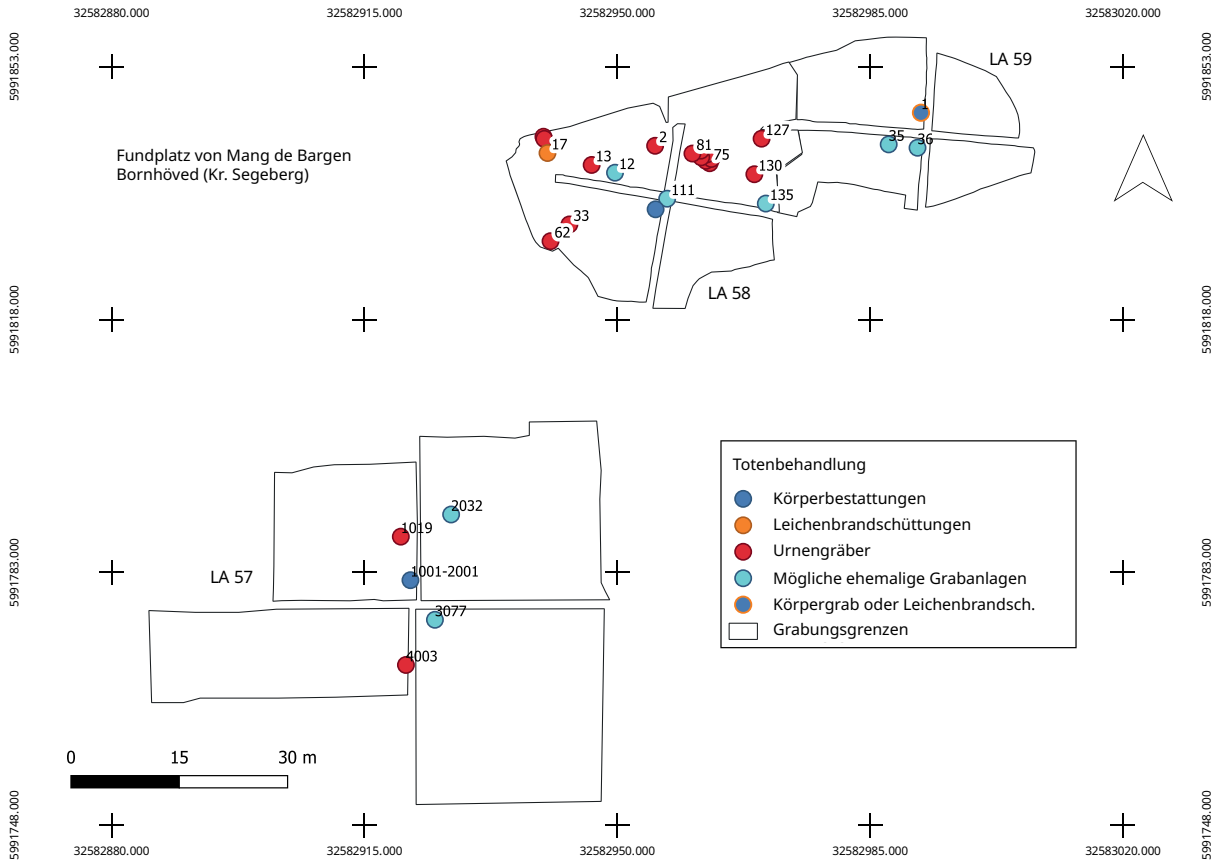


Abbildung 29: Verteilung von Bestattungen nach der Totenbehandlung in den Grabhügeln LA 57, 58 und 59.

8.3.2.5.1. Positionierung und Grabbau von nachbestatteten Urnengräbern

Die Urnengräber hatten fast immer einen Steinschutz aus Rollsteinen. Steinschutzplatten traten dagegen – wenn überhaupt – eher im Rand- oder Außenbereich von Grabhügeln auf. Die Urne wurde meistens auf mehrere Bodensteine gestellt, vereinzelt aber auch auf einen einzelnen Bodenstein oder eine bis mehrere Bodenplatten. Eine Abdeckung der Urne – soweit erhalten – bestand aus einer Deckpackung. Die zwei nicht-repräsentativen Urnen aus dem Hügelmantel, die aufgrund ihrer Erhaltung in die Analyse mit einfließen konnten, wiesen als einzige je einen Deckstein auf. Deckplatten, Deckschalen und Deckgefäße traten im mehr oder weniger gleichmäßigem Verhältnis auf und sind lediglich aus Rand- oder Außenbereichen von Grabhügeln bekannt (Abb. 30).

Hinsichtlich der zeitlichen Ordnung der Bestattungen, datiert die einzige Urne aus dem Hügelmantel von der Mitte der Periode IV bis zum Übergang der Perioden IV/V. Die Urnen aus dem Randbereich von Grabhügeln datieren vom Ende der Periode III bis zum Beginn der Periode V, während die Bestattungen im Außenbereich einen Zeitraum zwischen der Mitte der Periode III bis zur Stufe I a einnehmen. Daraus kann geschlossen werden, dass die Innen-, Rand- und Außenbereiche der Hügel bis Periode V tendenziell gleichzeitig genutzt wurden, ab Periode V wurden jedoch lediglich die Außenbereiche für Urnenbestattungen gewählt. Die zeitliche Reihenfolge bestimmt demnach nicht unbedingt die Platzierung innerhalb oder außerhalb von Grabhügeln, sodass zum Beispiel soziale Kriterien bei der Platzierung erwägt werden müssen, wie auch die Häufung von Kinderbestattungen am Rand des Grabhügels LA 58 aufzeigen (Vgl. Kap. 8.7). Es ist nicht auszuschließen, dass einst weitere Grabanlagen in ehemaligen höheren Schichten existierten, die jedoch vom Pflug erfasst wurden und keinerlei Spuren mehr hinterlassen haben.

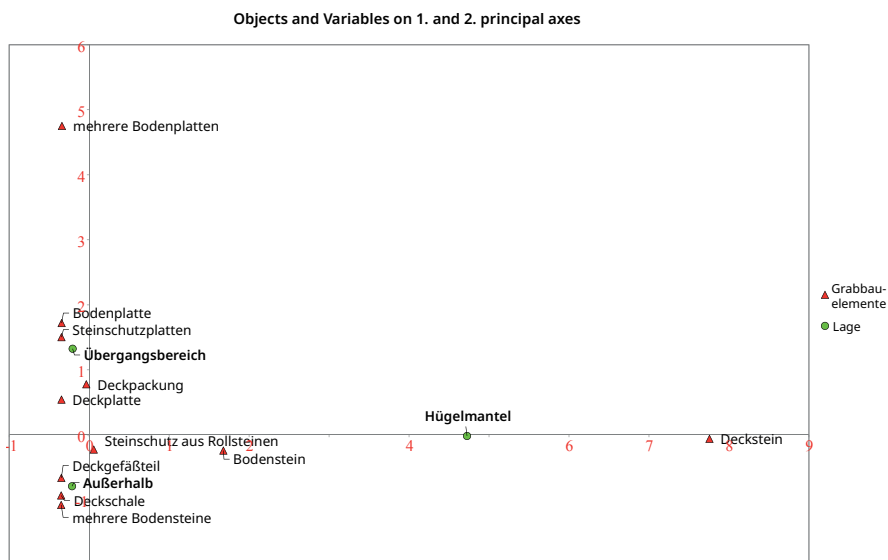


Abbildung 30: Korrespondenzanalyse zur Korrelation von Grabbau-Konstruktionselementen und ihrer Lage in Grabhügelarealen.

8.3.2.5.2. Positionierung und Grabbau von nachbestatteten Leichenbrandschüttungsgräbern

Leichenbrandschüttungsgräber wiesen fast immer ein abgerundetes bis nahezu rechteckiges Pflaster auf, auf dem der Leichenbrand ausgestreut wurde. Seltener waren Bodenpflaster oder Steinrahmen vorhanden.²⁸² Auffälligkeiten hinsichtlich der Konstruktion und der Positionierung im Hügelmantel, im Rand- oder Außenbereich sind nicht erkennbar. Lediglich eine Tendenz zur Bestattung in Hügelnähe kann genannt werden. Die Datierungen bewegen sich in einem Zeitraum zwischen dem Ende der Periode III und dem Übergang von Periode IV zu Periode V und lassen ebenfalls keine Verknüpfungen zu der Positionierung oder ihrem Grabbau erkennen. Dies kann auch damit zusammenhängen, dass die sieben Leichenbrandschüttungsgräber nicht sonderlich repräsentativ sind. Jedoch müssen für die Leichenbrandschüttungen – ähnlich wie für die Urnengräber – soziale Kriterien für die Platzierung in Betracht gezogen werden (Vgl. Kap. 8.7).

8.3.2.6. Beigabenzahlen

Aus den Gräbern sind sehr unterschiedliche Beigabenzahlen bekannt, die sowohl den Status des Individuums bzw. seiner sozialen Umgebung, aber auch die Erhaltung der Grabanlage widerspiegeln. Letzteres gilt vor allem für die Urnenbestattungen. Für das Spätneolithikum liegen pro Grab ein bis zwei sichere Beigabefunde (z. B. Flintdolche) vor. Häufig aufgefundene Abschlüge oder sonstige einfache Flintwerkzeuge können nur schwer als Beigaben aufgefasst werden, da das umliegende Sediment stark mit entsprechenden Funden durchsetzt ist. Mit der Periode I konnten in einem der Gräber bis zu fünf Beigaben aufgefunden werden, während mit der Periode II die Beigabenzahl zwischen einer und bis zu sieben sicheren Beigaben variiert. Aus den Brandgräbern, die von der Periode III bis zum Ende der Jüngeren Bronzezeit zu datieren sind, sind zwischen keiner bis zu drei oder auch vier Beigaben pro Grab erfasst worden, sofern Beigefäße mitgezählt werden. Die einzelnen Funde werden in einem späteren Kapitel umfassend behandelt (siehe Kap. 8.4).

282 LA 18, Befund 88b, 66/66a.

8.3.3. Brandgräberfeld: LA 115 (2014-111)

Das Brandgräberfeld LA 115 befindet sich im Südwesten des Gräberfeldes von Mang de Barga. Es umfasst dabei die Grabhügel LA 21, 22 und 24, die bereits oben behandelt wurden. Das Gräberfeld wurde vom 18.03.2014 an untersucht und die Ausgrabung erfolgte bis zum 31.05.2014 unter der Leitung von Lütjens. Danach übernahm Burkhardt die Untersuchungen, die vom 01.06.2014 bis zum 02.07.2015 erfolgten. Mit einem Metalldetektor wurde das Areal sowohl vor, als auch während der Arbeiten prospektiert. Die Grabungsfläche erstreckte sich auf einem Areal von 3,4 Hektar. Dabei erfolgte der Abtrag auf 1,8 ha unbeaufsichtigt, auf 0,9 ha beaufsichtigt und auf 0,8 ha sporadisch. In einem großen Teil des Areals von 1,8 ha im südlichen und östlichen Bereich wurde der Oberboden bedauerlicherweise unbeaufsichtigt mit einer Planierraupe, einem Radlader und einem Bagger bis zum anstehenden Kies abgetragen. Auch die kolluvialen Geländedepressionen im östlichen Bereich wurden ebenfalls bis zum anstehenden Boden entfernt, sodass sämtliche Befunde in diesen Bereichen zerstört wurden. Einige Befunde ließen sich noch in Resten feststellen (u. a. auch LA 22 und 24). Das Areal im Nordwesten wurde dagegen unter Beaufsichtigung geöffnet und die Fläche betrug 0,9 ha. Der stark als Ackerfläche genutzte Oberboden wurde mit einem Kettenhydraulikbagger entfernt und hatte dabei eine Mächtigkeit von 20 bis 30 Zentimeter. Die kolluviale Geländedepression von 0,6 m Stärke, die bereits zum Großteil entfernt worden war, ließ in diesem Bereich noch einige Befunddokumentationen zu. Einige andere Befunde waren teilweise vom Pflug erfasst und entsprechend gestört, sodass teils nur noch die Lage von Befunden dokumentiert werden konnte. Südlich des Grabungsschnitts wurde der Oberbodenabtrag auf einer weiteren Fläche von 0,8 Hektar sporadisch begleitet. Dabei wurden acht Brandgräber gefunden, die eingemessen wurden. Befunde wurden nummeriert und im Gesamtplanum dokumentiert, sowie nach dem Anschnitt erneut im Profil dokumentiert. Urnen wurden, sofern es möglich war, im Block geborgen und das Bodenmaterial gestörter Gräber wurde gesiebt. Das Brandgräberfeld konnte mit dem Grabungsschnitt wahrscheinlich nicht vollständig erfasst werden. Vor allem südlich und westlich des Areals befanden sich möglicherweise weitere Bestattungen, die nicht untersucht werden konnten. Nördlich und östlich des Grabungsschnitts dünnte die Verteilung von Grabanlagen hingegen aus und deutete damit wahrscheinlich auf eine Randzone des Bestattungsortes hin. Seit 2019 ist die Fläche komplett durch den Kiesabbau abgetragen worden und für weitere Untersuchungen demnach nicht mehr geeignet. Während der Ausgrabungstätigkeiten wurden **388 Befundnummern** vergeben. Davon stellten sich 312 Befunde als archäologisch relevant heraus, während die verbliebenen 76 Befunde nicht mit anthropogenen Aktivitäten in Verbindung gebracht werden konnten. Bei den 312 relevanten Befunden handelt es sich um 201 Brandgräber, die sehr unterschiedliche Erhaltungszustände aufwiesen, sodass teilweise nur Grabreste wie Gefäßbruchstücke oder Leichenbrandreste Hinweise auf die ehemalige Existenz einer Bestattung lieferten. Nach Lütjens und Burkhardt lassen sich die Brandbestattungen in 181 Urnengräber, 14 Leichenbranddepots und 6 Grabanlagen unterteilen. Die anderen Befunde können in die folgenden Kategorien aufgeteilt werden: 25 Fundstellen von Keramik und/oder Leichenbrand, 22 Pfostengruben, 20 Verfärbungen, zwölf Steinstandspuren, zwölf Ringgräben, neun Feuerstellen, sechs Gruben, drei Steingruben, eine Kochsteingrube, eine Branderdeschicht und eine Hügelerschüttung.

8.3.3.1. Bestattungen

Die Gräber verteilten sich relativ gleichmäßig über die Grabungsfläche. Ungleichmäßigkeiten sind überwiegend der unbeaufsichtigten Entfernung des Oberbodens im Süden und Osten geschuldet. Die Gräber waren in den anstehenden Boden

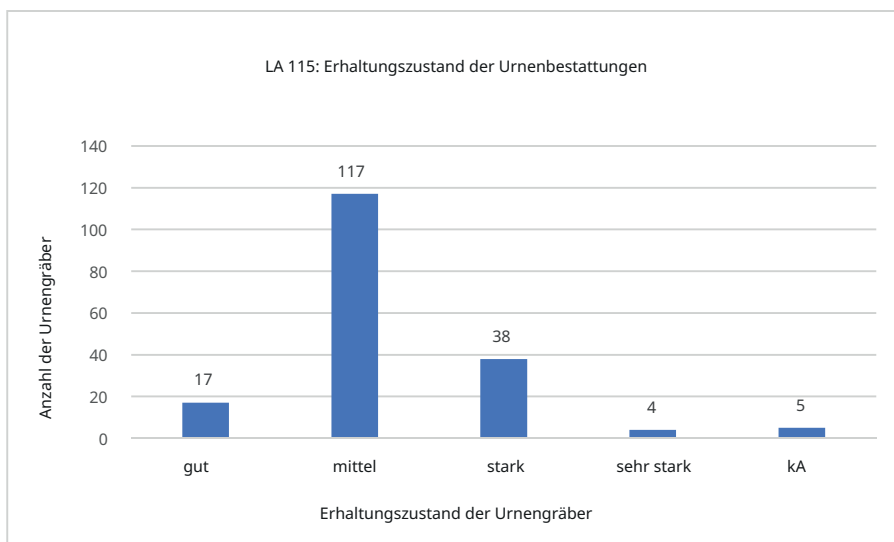


Abbildung 31: Der Erhaltungsgrad der Urnenbestattungen des Brandgräberfeldes LA 115.

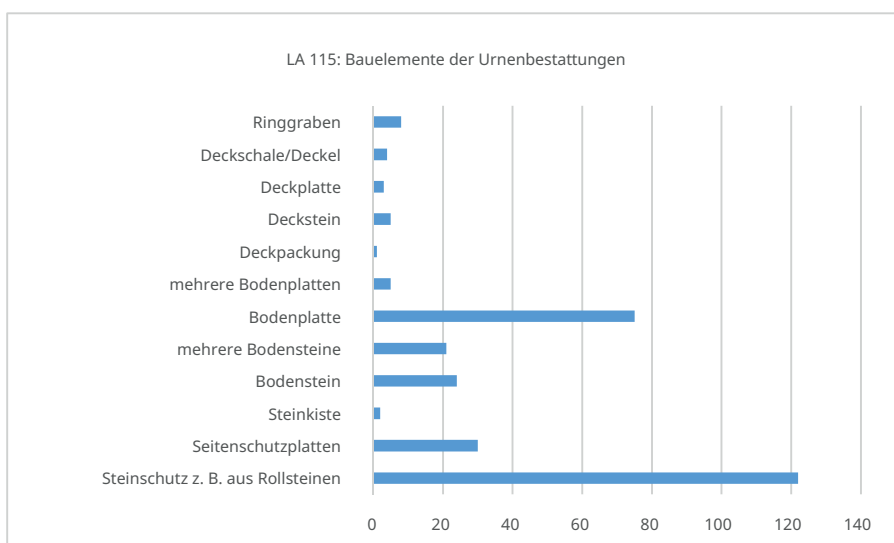


Abbildung 32: Die Bauelemente der Urnengräber des Brandgräberfeldes LA 115.

eingetieft. Teilweise wurden sie in Kolluvien eingelassen (in 13 Fällen = 7,18%). Einmalig wurde eine Urne von kolluvialen Schichten überdeckt (Bef. 225), die somit wiederum als zeitlicher Marker zwischen den Gräbern (v. a. Urnen) genutzt werden können.

Die **Urnbestattungen** waren je nach Lage unterschiedlich gut oder schlecht erhalten (gut = Steinschutz ist komplett rekonstruierbar; mittel: Steinschutz besteht nur noch aus Teilen, v. a. der Bodenkonstruktion; schlecht: der Steinschutz und die Urne sind zum Großteil zerstört; sehr schlecht: das Urnengrab ist nur noch anhand von Oberflächenfunden zu lokalisieren und die Konstruktion ist vollständig zerstört, *Vgl.* Abb. 31). Die Konstruktion der Urnen beschränkte sich meistens auf einen Steinschutz, der sowohl aus Steinplatten als auch aus Geröllsteinen bestehen konnte. Aufgrund der überwiegend mäßigen Erhaltung, waren lediglich Bodensteine und -platten der Konstruktion erhalten (69,06% = 125 Urnengräber), sodass ein mehr oder weniger kompakter und geschlossener Steinschutz lediglich vermutet werden konnte (Abb. 32).

Eine Abdeckung durch einen Stein (4,97% = 9 Gräber) trat nur vereinzelt auf (Taf. 310.1). Seltener wurden die Urnen mit einem Gefäß abgedeckt (2,21 = 4 Gräber). Eine Abdeckung durch Steinpflaster des Steinschutzes war teilweise ebenfalls

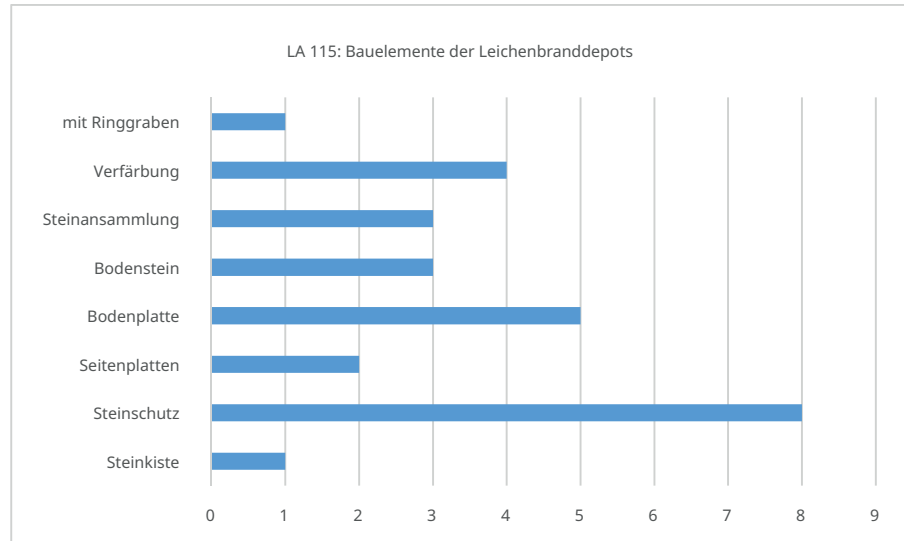


Abbildung 33: Die Bauelemente der Leichenbranddepots des Brandgräberfeldes LA 115.

rekonstruierbar.²⁸³ Manchmal war keine Konstruktion festzustellen, sodass jedoch nicht davon ausgegangen werden muss, dass die Urne freistehend begraben wurde, sondern, dass die Konstruktion weitestgehend zerstört wurde (5,52% = 10 Urnengräber, z. B. siehe Taf. 309.1). Nur in zwei Fällen wurden Urnen in Steinkisten niedergelegt (Bef. 90 und 346). Aussagen zur Lage der Urnen auf dem Gräberfeld sind kaum möglich, da sie lediglich den Erhaltungszustand auf dem Gräberfeld widerspiegeln würden. Die Datierung der Urnengräber erfolgte meistens anhand von Funden und Keramikformen. Ein Großteil der Urnengräber datiert in die vorrömische Eisenzeit. (siehe Kap. 8.6.). Nur zwei Urnenbestattungen konnten in die Jüngere Bronzezeit datiert werden (Bef. 92; 321). An **Funden** dominieren in den Brandgräbern Gürtelteile mit Gürtelhaken, Beschlägen, Ringe mit und ohne Zwingen sowie Riemenzungen. Des Weiteren wurden häufig Nadeln mit in das Grab gegeben. Darunter sind Holsteiner Nadeln, eine 3-Scheibenkopfnadel, Nagelkopfnadeln oder gekröpfte Nadeln. Lediglich vereinzelt fanden zum Beispiel Fibeln (u. a. eine Kugelfibel), ein Ösenring, Pfrieme, eine Bernsteinperle oder ein Messerfragment Eingang in die Bestattungen. Die Beschreibung und Einordnung des Fundmaterials wird in Kapitel 8.4. zum Fundmaterial behandelt. Die Datierung der Funde stimmt dabei mit den absoluten Datierungen (auf Basis der Leichenbrände-Datierungen) vom Fundplatz überein (siehe unten). Teilweise ist der Datierungshorizont der Funde enger als jener für das absolute Datum und damit aussagekräftiger, wenn die Bestattungsabfolgen rekonstruiert werden. Die Konstruktion für **Leichenbranddepots** setzte sich meistens aus einem Steinschutz zusammen, der dabei aus Geröllsteinen und teilweise aus Steinplatten bestand (Abb. 33). In drei Fällen wurde nur noch eine Steinansammlung aufgefunden. Sofern kein Steinschutz und auch keine Steinansammlung nachzuweisen waren, befand sich nur noch ein Bodenstein unterhalb des Leichenbranddepots, der auf eine einstige Konstruktion hinweisen könnte.

In einem Fall war nur noch eine Verfärbung zurückgeblieben und bei dem Befund handelt es sich um das einzige Leichenbranddepot (Bef. 360), das von einem Ringgraben umschlossen gewesen war. Burkhardt hebt in seinem Untersuchungsbericht hervor, dass die Leichenbrandreste sehr konzentriert auf engstem Raum vorkamen, sodass er ein ehemaliges Aufbewahrungsbehältnis aus organischem Material für die verbrannten Knochen vermutete. Ähnliche Behälter sind vom Gräberfeld Groß Timmendorf bekannt (Fischer 2000, 35). Aus den Leichenbranddepots von LA 115 konnten keine datierbaren Beigaben geborgen werden. Für einen

283 Befunde 210, 212, 225, 310.

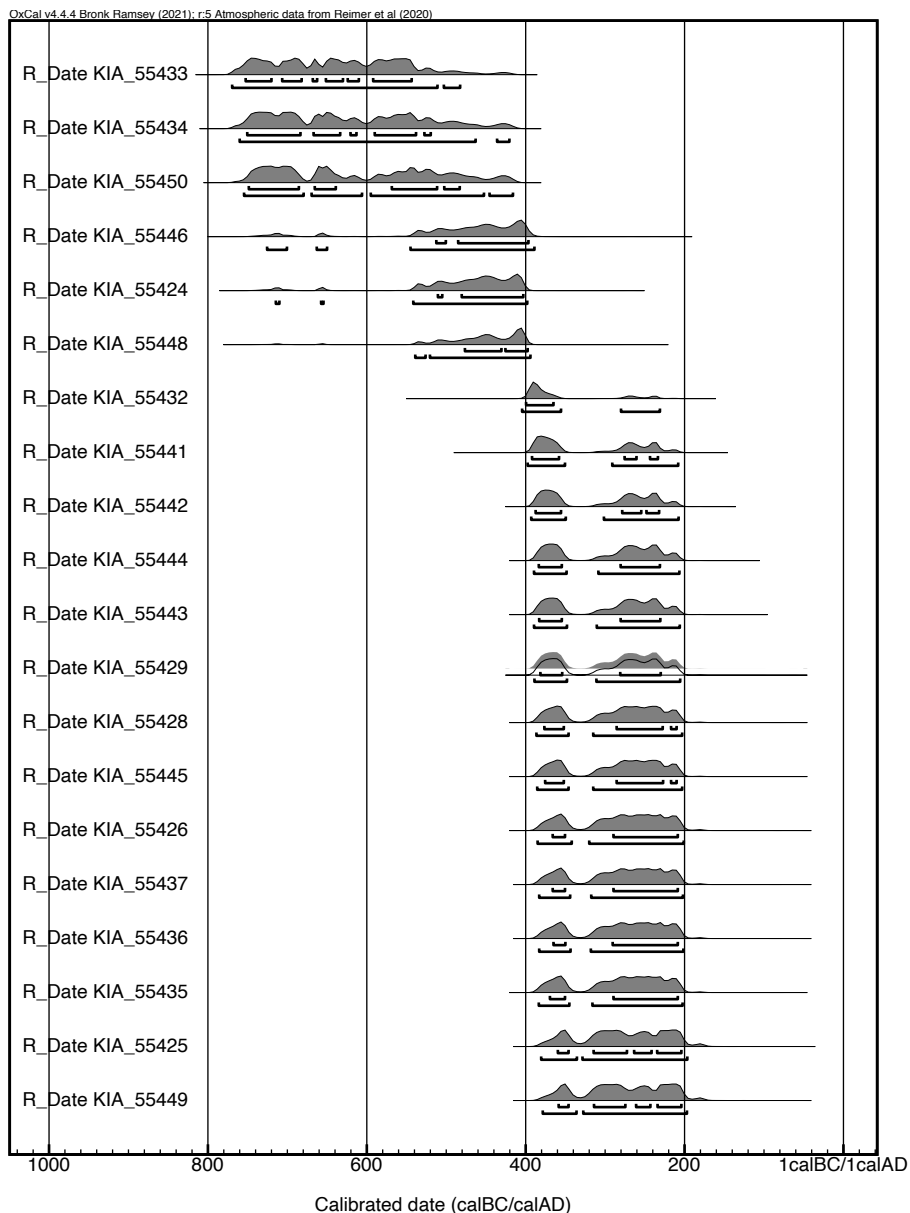


Abbildung 34 (Fortsetzung umseitig): Multiplot zu ausgewählten Bestattungen des Gräberfeldes von LA 115 (Radio-kohlenstoff-Bestimmungen, kalibriert mit OxCal. v4.4 (Bronk Ramsey 2021) und der IntCal20-Atmosphärenkurve (Reimer et al. 2020)).

Teil der Bestattungen (ca. 14%, 28 Gräber) wurden ^{14}C -Datierungen durchgeführt. Die ältesten drei datieren um 2450 uncalBP (KIA-55433, KIA-55434, KIA-55450) und fallen damit in das Hallstattplateau. Sie lassen keine präzisere Datierung als jene zwischen 800 und 400 calBC zu. Die darauffolgenden drei Daten (KIA-55446, KIA-55424, KIA-55448) sind wieder etwas präziser und lassen einen Beginn der Bestattungen auf dem Gräberfeld von LA 115 zwischen 726 und 395, d. h. zwischen Mitte/Ende Periode V und Stufe Ib erkennen. Eine 68-prozentige Wahrscheinlichkeit zeigt einen Beginn erst um 500 calBC sowie ein Ende um 400 calBC und dies würden Stufen Ia bis Ib für erste (soweit datierte) Bestattungen bedeuten. Darauf folgende Bestattungen zeigen einen mehr oder weniger einheitlichen Zeithorizont zwischen 405 und 60 calBC, d. h. zwischen Mitte/Ende Stufe Ib und Ende Stufe Iic, bzw. mit einer 68-prozentigen Wahrscheinlichkeit lediglich nur bis 100 calBC und das wäre dann in der Stufeneinteilung bis Ende der Stufe IIb. Auf Basis dieser Datierungen vom Gräberfeld könnten zwei Phasen der Bestattungen vermutet werden: eine frühere und kürzere zwischen 700 und 400 calBC und eine jüngere sowie längere

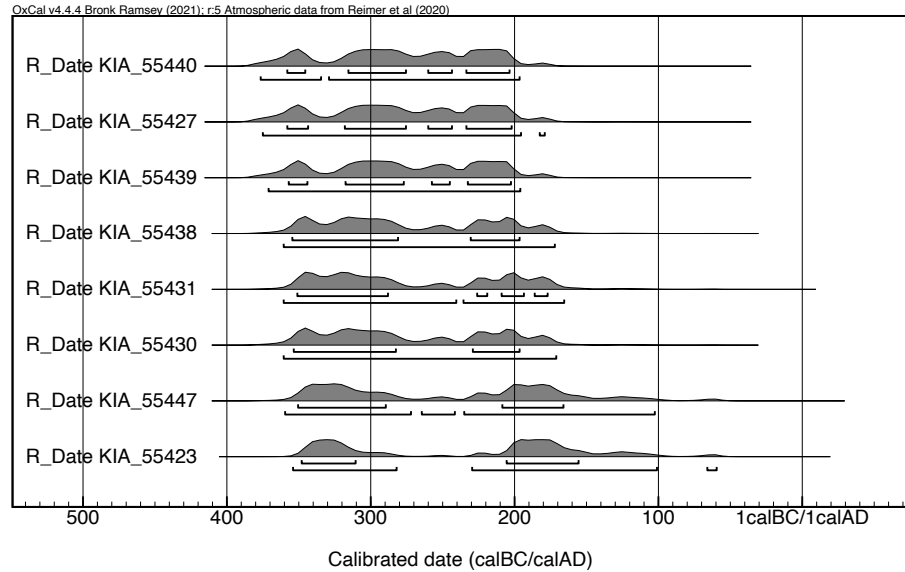


Abbildung 34 (Fortsetzung).

zwischen 400 und 60 bzw. 100 calBC (Abb. 34). Da bisher nur ein verhältnismäßig geringer Teil der Bestattungen von LA 115 datiert wurde, sind die genauen Bestattungshorizonte jedoch weiter unklar. Die Beigaben aus den Gräbern bestätigen eine Nutzung des Urnengräberfelds zwischen dem Ende der Jüngerer Bronzezeit und der eisenzeitlichen Stufe IIb. Mithilfe der Funde lässt sich eine eisenzeitliche Hauptnutzungsphase mit der Stufe IIa, d. h. zwischen 250 und 150 v. Chr. vermuten, die mit der größeren Menge der absoluten Daten, die in diesen Zeitraum fallen, übereinstimmen.

Einige Gräber waren von einem **Graben** eingefasst, der meistens ringförmig ein Grab oder bis zu acht Gräber umgab (z. B. Ringgraben Nr. 184: siehe Taf. 307). Dabei waren sie stets nach Norden geöffnet, sodass Lütjens von einer bewussten Anordnung ausgeht (Lütjens 2014b, 32). Es konnten insgesamt zwölf solcher Gräben²⁸⁴ gefunden werden. Zwei von ihnen waren nur noch ansatzweise rekonstruierbar (Bef. 181 und 319). Lediglich in einem Fall war ein solcher Graben quadratisch angelegt (Bef. 9, Ringgraben-Nr. 2) und ein anderer Graben war abgerundet-rechteckig bis ringförmig geformt (Bef. 175, Ringgraben-Nr. 7). Die Gräben hatten unterschiedliche Profilformen von muldenförmig, über zylindrisch und pfahlartig bis unregelmäßig und waren mit humosem Sand gefüllt. Die Durchmesser der Gräben unterscheiden sich stark von Maßen zwischen 1,8 bis zehn Metern. Die Breiten liegen zwischen 0,2 bis 0,7 Metern.

Eine räumliche Gliederung der Gräben auf dem Gräberfeld lässt sich nicht feststellen. Teilweise kann als Grund dafür ein Erhaltungsdefizit aufgrund des unbeaufsichtigten Bodenabtrages angenommen werden. Die Datierungen zeigen, dass für die zentral im Ringgraben angelegten Gräber kein bestimmter Zeithorizont bestand. Wahrscheinlich dürften bei der Platzierung weniger chronologische, sondern vornehmlich soziale Aspekte eine Rolle gespielt haben (siehe Tab. 3). Ringgräben auf jüngerbronzezeitlichen und eisenzeitlichen Gräberfeldern sind zwar selten aber nicht unüblich. Sie kommen beispielsweise auch im Kreis Pinneberg (jüngerbronzezeitlich) (Schmidt 2018, 24-33), in Nordostniedersachsen (jüngerbronzezeitlich) (Fries und Näth 2008, 167f.), Dänemark (siehe unten) oder auch in den Niederlanden und Belgien (Beek und Louwen 2012, 48, 50ff.; Verlinde 1987, 198ff.) vor. Sie können dabei in verschiedenen Formen auftreten. Während wir in Mang de Bargaen überwiegend kreisförmige Gruben und eine vereinzelt quadratische Grabenstruktur

284 Befunde 9, 32, 143, 155, 157, 159, 175, 181, 184, 257, 319, 376.

Befundnr. (Ringgrabennr.)	Dm Ø (m)	Breite (m)	Tiefe (m)	Form	Profil	Befundzugehörigkeit Zentrum (U = Urne, LBD = Leichenbrand-depot)	Datierung
9 (2)	3,6	0,4	0,1	quadratisch	unregelmäßig	Bef. 8 (U, im Zentrum)	Mitte Stufe Ic bis Ende Stufe Iic
32 (1)	10	0,2-0,5	kA	ringförmig	kA	Bef. 33 (U, im Zentrum)	Ende Per. V bis Ende Stufe Iib
143 (6)	kA	0,2-0,5	0,12	ringförmig	kA	Bef. 98 (U, im Zentrum)	Mitte Per. V bis Ende Stufe Ia (Hallstatt-Plateau)
155 (5)	3,1	0,3	0,1	ringförmig	muldenförmig	Bef. 154 (U, im Zentrum)	Beginn Stufe Ic bis Mitte Stufe Iia
157 (4)	4	0,2-0,4	0,12	ringförmig	pfahlartig	Bef. 156 (U, im Zentrum)	Mitte Stufe Ic bis Mitte Stufe Iia
159 (3)	6	0,5	0,12	ringförmig	zylindrisch	158 (U, im Zentrum)	Mitte Stufe Ic bis Mitte Stufe Iia
175 (7)	1,8	0,2-0,6	kA	abgerundet-rechteckig bis ringförmig	schüssel- bis zylinderförmig	Bef. 86 (LBD, außerhalb des Grabens)	Mitte/Ende Stufe Ib bis Mitte Stufe Iia
181 (8)	3,4	0,3	0,1	halbringförmig	grabenförmig	Bef. 49 (U, im Zentrum)	Mitte Stufe Ic bis Ende Stufe Iia
184 (9)	2,7	0,5	0,1	ringförmig	grabenförmig	Bef. 185 (U, im Zentrum)	Beginn/Mitte Stufe Ic bis Mitte Stufe Iia
257 (11)	4,6	0,5-0,7	0,2-1,5	kreisrund	kA	Bef. 227 (U, im Zentrum)	Übergang Stufe Ib/Ic bis Mitte Stufe Iia
319 (12)	kA	kA	0,6	ansatzweise ringförmig	muldenförmig	Bef. 330 (LBD, im Graben)	Mitte Stufe Ic bis Mitte Stufe Iib
376 (10)	4,4	0,3-0,4	0,8	kreisrund	kA	Bef. 377 (U, im Zentrum)	Beginn/Mitte Stufe Ic bis Mitte Stufe Iia

haben, sind zum Beispiel aus Overijssel (Niederlande) auch schlüssellochförmige und rechteckige Formen bekannt (Verlinde 1987). Im Allgemeinen dürfte bei der Mehrfachbestattung innerhalb einer solchen Barriere-ähnlichen Konstruktion von einer symbolischen Abgrenzung bzw. Einfassung gesellschaftlicher Verbindungen (z. B. familiär; hierarchisch; sozial) ausgegangen werden. Am Fundplatz von Groß Timmendorf werden mehrere Urnen zum Beispiel unterhalb von Steinpflasterungen zusammengefasst. Die Bestattungen erfolgten dabei nachweislich meistens nicht gleichzeitig (Fischer 2000, 38) – wie es auch in Mang de Barga der Fall ist. Einen weiteren Vergleich zu den Gräben in Mang de Barga bietet der Fundplatz Aarupgaard in Südwest-Jütland aus der vorrömischen Eisenzeit (500 - 200 BC). Dort wurde jede Urne mit einem sie umgebenden Graben ausgestattet.²⁸⁵

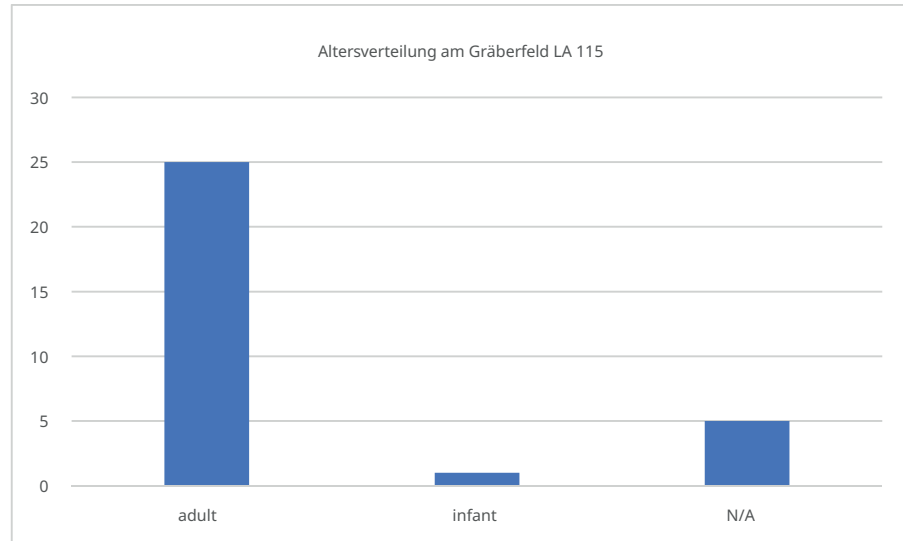
Tabelle 3: LA 115: Rahmendaten zu den Grabenanlagen und Datierungen.

8.3.3.2. Anthropologie

Vom Gräberfeld wurden die Leichenbrände von sechs Urnen und einer Branderdestelle vollständig untersucht (Storch 2019, siehe Anhang in dieser Arbeit). Dabei konnten vier weibliche Individuen, die im Alter zwischen 25 und 40 Jahren verstarben, sowie ein männliches Individuum, das ein Alter von 25 bis 60 Jahren erreichte, aus Urnengräbern festgestellt werden (Storch 2019, 18ff.). Unter den Frauen wurden Knochen mit der pathologischen Auffälligkeit des Wormschen Knochens festgestellt, die wahrscheinlich eine einfache anatomische Variation darstellt. Eine Hypervaskularisation bei dem männlichen Individuum deutet auf eine Entzündung hin, die auch von Parasiten stammen könnte (Storch 2019, 18ff.). Ob es sich dabei um die Todesursache handelte ist nicht zu klären. Von der Branderdestelle

²⁸⁵ Freundliche Mitteilung von Helene Rose, die den Fundplatz in ihrer Dissertation im Teilprojekt G 1 des SFB1266 bearbeitet hat.

Abbildung 35: Aufteilung der Altersangaben auf Basis der bisher vorläufig untersuchten Leichenbrände vom Gräberfeld von LA 115.



des Befundes 286 wurden fünf Leichenbrände untersucht, die jedoch weder eine Geschlechts- noch Altersangabe zuließen. Ebenso unklar ist die Identifizierung der Knochen als menschlich oder tierisch (lediglich in einem Fall wurde ein wahrscheinlich menschlicher Leichenbrand erfasst) (Storch 2019, 20, 44). Dreißig weitere Leichenbrände wurden im Rahmen der Probennahme für Datierungen zusammen mit von Helene Rose (SFB-Teilprojekt G1) bestimmt. Dabei fiel auf, dass ein deutlicher Großteil der Verstorbenen ein erwachsenes Sterbealter aufweist (Abb. 35). Lediglich eine Urne gehörte zu einem Kind, das zum Zeitpunkt des Todes unter 6 Jahren gewesen sein muss.²⁸⁶

Die Altersverteilung insgesamt zeigt damit ein deutliches Bild mit Dominanz an erwachsenen Bestatteten und steht damit im deutlichen Kontrast zu den Urnenbestattungen der jüngeren Bronzezeit, die viele Kindergräber zeigten (siehe oben).

8.3.3.3. Weitere Befunde

An 25 **Fundstellen** wurden Leichenbrand-, Keramik- und/oder Holzkohlekonzentrationen gefunden, bei denen es sich wahrscheinlich um verschleppte Funde und/oder umgelagerte Reste von Brandbestattungen handelte (Abb. 36).

Ein Großteil der Fundstellen beinhaltete Leichenbrand (LB), während 28% der Fundstellen Keramikkonzentrationen (Ker) aufwiesen. Ein geringerer Anteil von 16% (4 Fundstellen) ließ beide Fundkategorien feststellen (LB/Ker). Lediglich zwei Fundstellen (8%) zeigten nur Holzkohlekonzentrationen (HK). Diese Fundstellen sind über die gesamte Grabungsfläche verteilt. Der Befund 213, der sowohl Leichenbrand als auch Keramik beinhaltete, wies auch einige Eisenobjekte²⁸⁷ auf, die wahrscheinlich aus dem Urnengrab 212 verschleppt wurden und datiert damit in die vorrömische Eisenzeit (Vgl. Kap. 8.4.). Alle anderen Fundstellen können nicht weiter zeitlich eingeordnet werden, jedoch können die Inhalte einiger Fundstellen aufgrund ihrer unmittelbaren Lage neben Urnengräbern indirekt in deren zeitliche Horizonte datiert werden.²⁸⁸ Der tatsächliche Moment der Umlagerung ist hingegen unklar und auch wahrscheinlich nicht archäologisch relevant, da keine prähistorische Beraubung eindeutig angenommen werden kann. Über die Fläche verteilt befinden sich zudem neun **Feuerstellen**. In der Aufsicht traten sie meistens

²⁸⁶ Befund 310.

²⁸⁷ SH 2014-111.35 (Zungengürtelhaken), 96 (Gürtelring), 97 (Ring).

²⁸⁸ Befunde 85, 101, 109, 110.

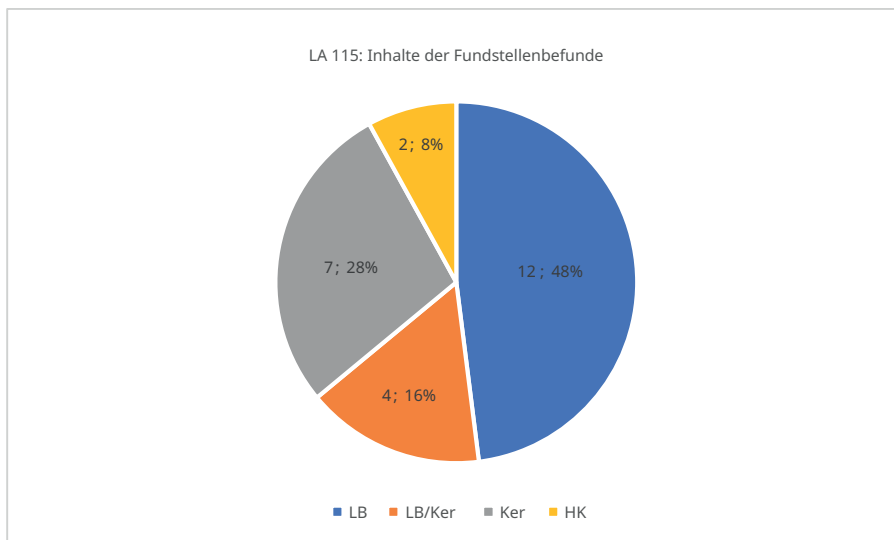


Abbildung 36: Die Inhalte der Fundstellenbefunde des Brandgräberfeldes LA 115.

als amorphe bis rundliche Verfärbungen mit Holzkohlepartikeln in Erscheinung und hatten ein flaches Profil. Des Weiteren wurden während der Ausgrabung sechs **Gruben** aufgedeckt, die sich über die Fläche verteilten, ohne eine Anordnung aufzuweisen. Eine der Gruben²⁸⁹ war langoval geformt und wannenförmig profiliert. Sie befand sich innerhalb eines Ringgrabens zwischen den Urnen der Befundnummern 39 und 192 und stand möglicherweise mit jenen Bestattungen im Zusammenhang, sodass eine Datierung in die vorrömische Eisenzeit vermutet werden kann. Eine weitere, bereits oben beschriebene Grube (Bef. 130) befand sich in den Grabhügel LA 22 (im Osten des Schnittes) eingetieft und stellt nach der Einschätzung Burkhardts womöglich den Überrest einer Beraubung des Grabhügels dar, deren Datierung unklar ist. Eine dreieckige²⁹⁰ und zwei rundliche Grubenverfärbungen²⁹¹ bleiben unbestimmt, da sie keine charakteristischen Funde beinhalteten oder mit datierbaren Befunden in Verbindung standen.

Eine weitere Grube enthielt Ziegelbuch und Eisenfragmente und ist als rezent anzusprechen.²⁹² Darüber hinaus lagen drei **Steingruben**²⁹³ über die Fläche verteilt und stellen wahrscheinlich rezente Gruben dar, die dem Verscharren von Steinen dienten, um die landwirtschaftlich genutzte Fläche von jenen beim Beackern störenden Steinen zu befreien. Eine **Kochsteingrube**²⁹⁴ befand sich ganz im Westen des Grabungsschnittes in den anstehenden Boden eingetieft und setzte sich aus hitzeermürbten Steinen zusammen. Eine Datierung ist aufgrund fehlender Funde nicht möglich. Ansätze zu Datierungen von Kochsteingruben werden weiter unten in einem separaten Kapitel behandelt (siehe Kap. 8.3.4.). Ebenfalls im Westen des Schnittes wurde eine 5 × 6 m große **Branderdeschicht**²⁹⁵ freigelegt, die eine Stärke von 20-25 cm aufwies und deren Inhalt sich aus Holzkohlehaltiger Erde, hitzeermürbten Steinen, kalzinierten Knochen und Keramikscherben zusammensetzte. In der Aufsicht hatte die Schicht eine amorphe bis leicht rundliche Form und wies im Anschnitt ein schüssel- bis muldenförmiges Profil mit unregelmäßiger Sohle auf, das in den anstehenden Boden eingelassen worden war. Burkhardt vermutet im Grabungsbericht, dass es sich bei dem Befund um die Reste eines Scheiterhaufens oder

289 Befund 40.

290 Befund 135.

291 Befunde 344, 380.

292 Befund 136.

293 Befund 107, 134, 140.

294 Befund 308.

295 Befund 286.

eines Verbrennungsplatzes handle – also einer Ustrina. Die Branderdeschicht wies viele unterschiedliche eisenzeitliche Scherben auf, die keine Hinweise auf einen Sekundärbrand lieferten und dementsprechend erst im Anschluss an Brennaktivitäten dort abgelagert worden sein können. Bei den Keramiküberresten handelt es sich um Reste von Trichterrandgefäßen, die zwei- bis dreigliedrig profiliert worden sein können. Sie sind tendenziell dünnwandig und weisen viele Handhaben auf²⁹⁶, die Burkhardt vermuten ließen, dass es sich um Siedlungskeramik handelt. Eine Verwendung als Grabkeramik ist jedoch nicht auszuschließen. Die Scherben lassen keine genauere Datierung als die der vorrömischen Eisenzeit zu. Die zerbrochenen Gefäßreste zeigen demnach entweder an, dass im Anschluss an einen Verbrennungsvorgang gemeinschaftliche Aktivitäten am selben Platz stattgefunden haben oder dass Grabkeramik zerscherbt wurde (unklar ob intentionell oder unabsichtlich). Da die Leichenbrandreste und Keramikscherben aus den gleichen Schichten stammten und keine Schichttrennungen zu erkennen waren, kann ausgeschlossen werden, dass die Branderdestelle einen Funktionswechsel von einem Verbrennungsplatz zu einem Abfallplatz erfuhr, sondern, dass die Stelle als Versammlungsplatz für die Verbrennung von Toten und zugleich einer gemeinschaftlichen Aktivität oder lediglich der Niederlegung der verbrannten Überreste in Urnen diente. Gemeinschaftliche Aktivitäten würden auch mögliche Tierknochen aus dem Befund erklären (siehe oben). Umgeben war die Branderdestelle von sechs **Pfostengruben**²⁹⁷ – vier davon im Norden und zwei im Süden. Burkhardt vermutet im Grabungsbericht, dass es sich um eine schleppdachähnliche **Konstruktion** handelte, die die Branderdeschicht einst überdeckt hatte und somit schützte. Die Verteilung der Pfosten ist jedoch sehr unregelmäßig, sodass auch eine andere Dachkonstruktion oder gar eine Pfostenstellung ohne Überdachung angenommen werden könnte, die einer Konstruktion um die Ustrine diente. Eine mehr oder weniger quadratische **Vier-Pfostenstruktur**²⁹⁸ von circa 2 × 1,8 m wurde im mittleren Süden des Schnittes, im Bereich des abgetragenen Grabhügels LA 24 gefunden. Innerhalb der Struktur waren noch einige wenige holzkohlehaltige Verfärbungen vorhanden. Die Pfostengruben müssen sich unterhalb des Grabhügels befunden haben und stammen dementsprechend aus einer älteren Phase, in der das Areal genutzt wurde, bevor der Grabhügel und das Brandgräberfeld angelegt worden waren. **Weitere zwölf Pfostengruben**²⁹⁹ lagen über das Brandgräberfeld verteilt, lassen jedoch keine bestimmte Anordnung oder Bezüge zu anderen Befunden (z. B. zur obertägigen Kennzeichnung) erkennen, sodass davon ausgegangen wird, dass die Pfostengruben aus einer älteren Zeitphase stammen, während der das Brandgräberfeld noch nicht existierte.

8.3.3.4. Nutzung und Datierung

Dem Brandgräberfeld gingen die Grabhügel LA 21, 22 und LA 24 voraus, die während der Ausgrabungen des Areals aufgedeckt wurden. Einzig der Grabhügel LA 22 ließ sich noch in Resten erfassen (siehe Kap. 8.3.1.). Ein Kolluvium überzog das Areal teilweise. Da einige der Urnengräber nachweislich in das Kolluvium eingelassen wurden (Vgl. Bef. 372), müsste das Kolluvium älter als die Brandbestattungen datieren. Das Brandgräberfeld wurde auf Basis der Funde von der ausgehenden Jüngeren Bronzezeit bis zur Stufe II b für Bestattungen genutzt (siehe Kap. 8.4.). Demnach müsste die kolluviale Schicht älter als Periode IV-VI sein. Eine Hauptbestattungsphase kann stark ansteigend bis zur Stufe II a der vorrömischen Eisenzeit festgestellt werden (Vgl. Kap. 8.6.). Diese Zeitphasen werden von absoluten Datierungen, die auf Basis einiger ausgewählter Leichenbrände erfolgten, bestätigt.

296 Vgl. SH 2014-111.515-520 (v. a. 518).

297 Befunde 278, 283, 284, 288, 291, 366.

298 Befunde 350-353.

299 Befunde 30, 73, 126, 160, 195, 325, 333, 341, 342, 343, 358, 364.

8.3.4. Befunde mit Siedlungscharakter

8.3.4.1. Mögliche Pfostenreihe (AU2017-96)

Der Schnitt wurde anhand geophysikalischer Untersuchungen gesetzt, da sich vor allem im Magnetikbild eine hausförmige Struktur abzeichnete. Das Grabungsareal ist nordöstlich orientiert und befand sich zwischen den zwei weiteren Schnitten AU2017-98 und LA 57. Es wurden elf Befunde dokumentiert. Davon konnten sich sechs Befunde als archäologische ansprechen lassen: Es handelt sich um eine Grube³⁰⁰ (Taf. 261) und fünf Pfostenlöcher (darunter ein Doppelpfostenloch, Taf. 262-263).³⁰¹ Die restlichen vier Befunde stellen Schichtreste³⁰² und Steinstandspuren³⁰³ dar. Die Pfostenlöcher traten in einer unregelmäßigen Nord-Süd-Achse auf, und könnten damit die kurze Hauswandseite, die sich im Magnetikbild abgezeichnet hatte, realisieren lassen (Grabungsplan Anhang). Es wurden vier Funde geborgen. Bei drei Funden handelt es sich um Flintartefakte: ein Abschlag mit Spuren von Feuereinwirkung, ein Flintbruchstück (bei dem es sich um ein Klingensfragment handeln könnte) und ein weiterer Abschlag. Der vierte Fund stellt ein Steinartefakt dar: es handelt sich um einen möglichen Schleifstein mit Pickspuren. Die Funde lagen über die Fläche verteilt und konnten keinem Befund zugewiesen werden. Das mögliche Klingensfragment und der Schleifstein stammen aus Verfärbung 6 (in der Nähe von Bef. 1003). Die Befunde, insbesondere die Pfostenlöcher, liegen auf einer ungleichmäßigen Achse, sodass ein Hauswandbefund nicht eindeutig festgestellt werden kann. Die Datierung der möglichen Pfostenreihe konnte bisher nicht geklärt werden, sodass keine weiteren Aussagen zu Aktivitätsphasen und Plausibilität eines Hausbefundes in diesem Areal getroffen werden können.

8.3.4.2. Vereinzelte Gruben (AU2017-98)

Unter dieser Aktivitätsnummer wurde zunächst ein Grabhügel vermutet, da es sich um eine leichte Anhöhe handelt. Es stellte sich jedoch heraus, dass diese Anhöhe natürlich ist. Trotzdem konnten hier einige Befunde festgestellt werden. Die Fundstelle wurde in vier quadratische Teilflächen zu je 10 × 10 m unterteilt. Insgesamt wurden 27 Befunde auf vier Teilflächen dokumentiert, davon stellten sich fünf als archäologische Befunde bzw. deren Reste und 22 als geologische Befunde heraus. Vielfach waren die Flächen durch moderne Pflugspuren gestört. Als archäologische Befunde werden Bef. 1001, 1002, 2002, 2010, 3004 angesprochen. Es handelt sich dabei ausschließlich um Gruben. Die geologischen Befunde können als glaziale Steinstandspuren beschrieben werden. Es wurden elf Funde geborgen: sieben Abschlüge, eine Klinge, zwei nicht näher bestimmbar Metallobjekte und ein Holzkohlefund (Fundnr. 2001: Klinge aus Abraum; 2002: Metall aus Bef. 2002; 2003: Abschlag aus Bef. 2002; 2004: Stein aus Bef. 2002; 2005: Abschlag aus Planum 1; 2006: Metall aus Planum 1; 2007: Abschlag aus Bef. 2002; 2008: Abschlag aus Bef. 2002; 2009: Abschlag aus Bef. 2002; 3001: Holzkohle aus Bef. 3003; 3002: Abschlag aus Bef. 3002). Bei Befund 2002 könnte es sich aufgrund der runden Grubenform, der starken Verfärbung und dem Fundaufkommen um eine Abfallgrube gehandelt haben (Taf. 264). Während der Ausgrabung erwies sich das Areal als großflächige geologische, glaziale Formation, die z. T. mit einzelnen, zusammenhangslosen Gruben durchzogen und von modernen Pflugspuren gestört war. Die Gruben können anhand der Funde in die Frühgeschichte datiert werden.

300 Befund 1001.

301 Befunde 1002, 1005, 1007, 1008, 1010.

302 Befunde 1003, 1004.

303 Befunde 1005, 1009, 1011.

8.3.4.3. Siedlungsbefunde: LA 116 (2014-473)

Der Grabungsschnitt der Aktivität LA 116 wurde zunächst in Erwartung eines Grabhügels im Jahre 2014 unter der Leitung von Burkhardt aufgrund der Form auf dem höchsten Punkt seiner Erhebung mit einem Kreuzprofilschnitt, der 0,5 m breite Profilstege hatte, auf 600 m² geöffnet. Mithilfe eines Hydraulikbaggers wurde zuerst der 20-25 cm starke Oberboden abgetragen. Da keine Grabbefunde zum Vorschein kamen, wurde der erste Abzug bis zum anstehenden Boden durchgeführt. Verfärbungen wurden als Befunde aufgenommen, nummeriert und dokumentiert. Insgesamt wurde schließlich eine Fläche von 1000 m² geöffnet, die neben dem vermeintlichen Grabhügel auch einige Suchschnitte um die Erhebung herum umfasste, die sich auf einer Fläche von 16 Hektar erstreckten. Dabei wurden 19 Befundnummern vergeben, bei denen es sich um zwölf archäologische Befunde handelte, die sich nach Burkhardt wie folgt untergliedern lassen: sechs Gruben unbestimmter Funktion³⁰⁴, vier Feuerstellen³⁰⁵ (Taf. 254), eine Ofenanlage³⁰⁶ und eine Pfostengrube³⁰⁷ (Grabungsplan Anhang).

Befunde

Die Befunde verteilten sich über die Grabungsschnitte ohne eine auffällige Anordnung aufzuweisen. Innerhalb des Grabhügelschnittes konnten keine Befunde gefunden werden, die auf einen Grabhügel hinweisen (wie z. B. Grabanlagen), sodass nicht klar ist, ob an dieser Stelle jemals ein Hügel gestanden hatte, oder ob es sich um eine natürliche Erhebung handelte. Im vermeintlichen Hügelareal wurden in den südlichen Teilflächen die Pfostengrube³⁰⁸ (Taf. 259), die Ofengrube³⁰⁹, zwei Feuerstellen³¹⁰ und eine Grube³¹¹ gefunden. Unmittelbar südlich des Grabungsschnitts am Hügel befand sich zudem die weitere Feuerstelle.³¹² Die **Ofengrube** bestand aus einer 1 × 1,5 m großen Verfärbung, die sich in der Aufsicht mit rotbraun-verziegeltem Lehm und schwach angeziegeltem Lehm sowie einer stark holzkohlehaltigen Stelle zeigte (Taf. 257). Im Profil wies die Ofengrube eine abgesetzte kegelförmige Form auf (Taf. 258). Die Ofenkuppel war sehr wahrscheinlich eingestürzt. Die Verfällung bestand aus schwach verziegeltem Lehm – durchmischt mit Holzasche und einigen hitzeermürbten Geröllsteinen. Ferner enthielt der Befund sechs Stücke Brandlehm³¹³ von denen einer einen Astabdruck aufweist und 16 Stücke gebrannten Flint³¹⁴ sowie Holzkohle³¹⁵ und pflanzliche Überreste³¹⁶. Letztere ergaben in der Analyse der Makroreste (siehe Kap. 8.7.) jedoch mehrheitlich Holzkohlestücke und unbestimmte Pflanzenreste. Eine Resttiefe von 0,6 m konnte noch erfasst werden. Eingetieft war die Ofenanlage in den anstehenden sandigen Lehm. Die gefundenen Holzkohlestücke wurde von Dannath untersucht und es konnte festgestellt werden, dass es sich bei dem verwendeten Holz um Reste der Kiefer (*Pinus*) handelt. Die Kiefer ist hinsichtlich der Bodenbedingungen recht anspruchslos und wächst im Vergleich zu anderen Baumarten besonders schnell nach Rodungsperioden. Die Datierung eines Holzkohlerests von der Kiefer weist in das Frühmesolithikum und ist damit vom Altholzeffekt betroffen. Eine weitere Datierung anhand einer

304 Befunde 5-6, 8-9, 11-12.

305 Befunde 3, 4, 13 und 17.

306 Befund 2.

307 Befund 1.

308 Befund 1.

309 Befund 2.

310 Befund 3.

311 Befund 5.

312 Befund 4.

313 SH2014-473.1.

314 SH2014-473.2.

315 SH2014-473.17.

316 SH2014-473.9.

weiteren Holzkohleprobe ergab ein nahezu identisches Ergebnis, sodass es sich wahrscheinlich um das gleiche Ausgangsholz handelte.³¹⁷ Eine absolute Datierung der Ofengrube muss deswegen offenbleiben. Im Suchschnitt wurden zudem drei Gruben³¹⁸ und eine Steinstandspur³¹⁹ entdeckt, sowie zwei weitere Gruben³²⁰ und eine Feuerstelle³²¹ weiter südlich im Suchschnitt der Untersuchungen. In der Verlängerung dieses südlichsten Suchschnitts zeigte sich im Osten zudem eine weitere Feuerstelle³²² zwischen weiteren Verfärbungen, die keine weitere archäologische Relevanz haben. Die **Gruben** waren dabei oval bis unregelmäßig in der Aufsicht erkennbar, während sie kastenartige bis unregelmäßige Profile aufwiesen (Taf. 254-256). Für die Befunde 5-6 und 8-9 konnten einheitlich rundliche Gruben von ungefähr ähnlichem Durchmesser von 1,1 m festgestellt werden (Taf. 254-255). Ihre Profile wiesen wannen-, schüssel- bis kesselartige sowie unregelmäßigen Formen auf. Die Verfüllungen aller Gruben enthielten humoses Material, das teilweise mit Holzkohlepartikeln durchsetzt war. Befund 6 enthielt zudem neben gebranntem Lehm außerdem pflanzliches Material (siehe Kap. 8.7.). Die Gruben der Befundnummern 9 und 12 wiesen ebenso pflanzliche Überreste³²³ auf. Befund 8 war am fundreichsten und beinhaltete in seiner grau-humosen Verfüllung neben hitzeermürbten faustgroßen Steinen drei uncharakteristische Stücke hellorangenen Lehms³²⁴, zwei geglättete Randscherben³²⁵, 46 (mindestens innen geglättete) Wandscherben von denen drei Scherben Speisekrusten aufwiesen³²⁶, eine geglättete Randscherbe mit Verzierung und Rauhung zum Bauch hin³²⁷ (Taf. 255), ein Flintabschlag³²⁸ und pflanzliche Überreste³²⁹. Unter den pflanzlichen Überresten zeigten sich – den Analysen des F3-Projekts zufolge (siehe Bericht im Anhang VII.2) – sowohl Reste von Getreide wie Gerste (*Hordeum vulgare*) oder Rispenhirse (*Panicum miliaceum*), als auch Wildpflanzen wie Minze (cf. *Mentha spec.*), Rispengras (*Poa cf. Annu*a), Ampferknöterich (*Persicaria lapathifolia agg.*) sowie Floh-Knöterich (*Persicaria maculosa*) (Vgl. Kap. 8.7. und Bericht Filipović im Anhang VII.2). Die Keramikscherben ließen ein Kegelhalsgefäß vermuten, das eine umlaufende Fingernagelzier aufweist. Die Datierung eines Makrorests ließ eine Datierung von der Mitte der Periode V bis zur Mitte der Periode VI zu.³³⁰ Die Befunde weisen darauf hin, dass das Areal für siedlungsähnliche Tätigkeiten genutzt wurde. Es ist wahrscheinlich nicht sinnvoll, zwischen Siedlungs- und Begräbnistätigkeiten zu unterscheiden, da es sich auch um sich überschneidende Bereiche gehandelt haben könnte.

Zu den Funden

Insgesamt wurden während der Ausgrabung 16 Fundnummern vergeben. Dabei handelt es sich um drei Fundnummern mit 49 Keramikscherben, um zwei Fundnummern mit einem Flintabschlag und 16 gebrannte Flintstücke, zwei Brandlehmfundstücke bestehend aus insgesamt neun Stücken, einer Holzkohleprobe aus dem Ofenbefund und acht Bodenproben mit pflanzlichen Überresten.

317 LA 116, Befund 2: SH 2014-473.9: KIA-55451:8900±40uncalBP(8243-7874calBC);

SH 2014-473.17: KIA-54349:8895±40uncalBP(8241-7858calBC).

318 Befunde 6, 8-9.

319 Befund 7.

320 Befunde 11-12.

321 Befund 13.

322 Befund 17.

323 SH 2014-473.14-15.

324 SH 2014-473.3.

325 SH 2014-473.4.

326 SH 2014-473.5.

327 SH 2014-473.6.

328 SH 2014-473.8.

329 SH 2014-473.12.

330 LA 116, Befund 8: KIA-54421:2496±24uncalBP(774-541calBC).

Nutzung und Datierung

Das untersuchte Areal liefert Hinweise auf Siedlungsaktivitäten. Eine auffällige Anordnung, die eine Gliederung des Areals in Wohn- und/oder Grubenareale erkennen lassen würde, konnte nicht festgestellt werden. Vor allem die Ofengrube, der reichhaltige Grubenbefund (Bef. 8), sowie die verstreuten Feuerstellen deuten auf eine intensive Nutzung während der Jüngeren Bronzezeit hin. Die Datierungen ergaben zumindest für den Grubenbefund (Bef. 8) eine Nutzung von der Mitte der Periode V bis zur Mitte der Periode VI.

8.3.4.4. *Synthese zu den Siedlungsbefunden*

8.3.4.4.1. *Siedlungsbefunde & Ackerhorizonte unterhalb von Grabhügeln*

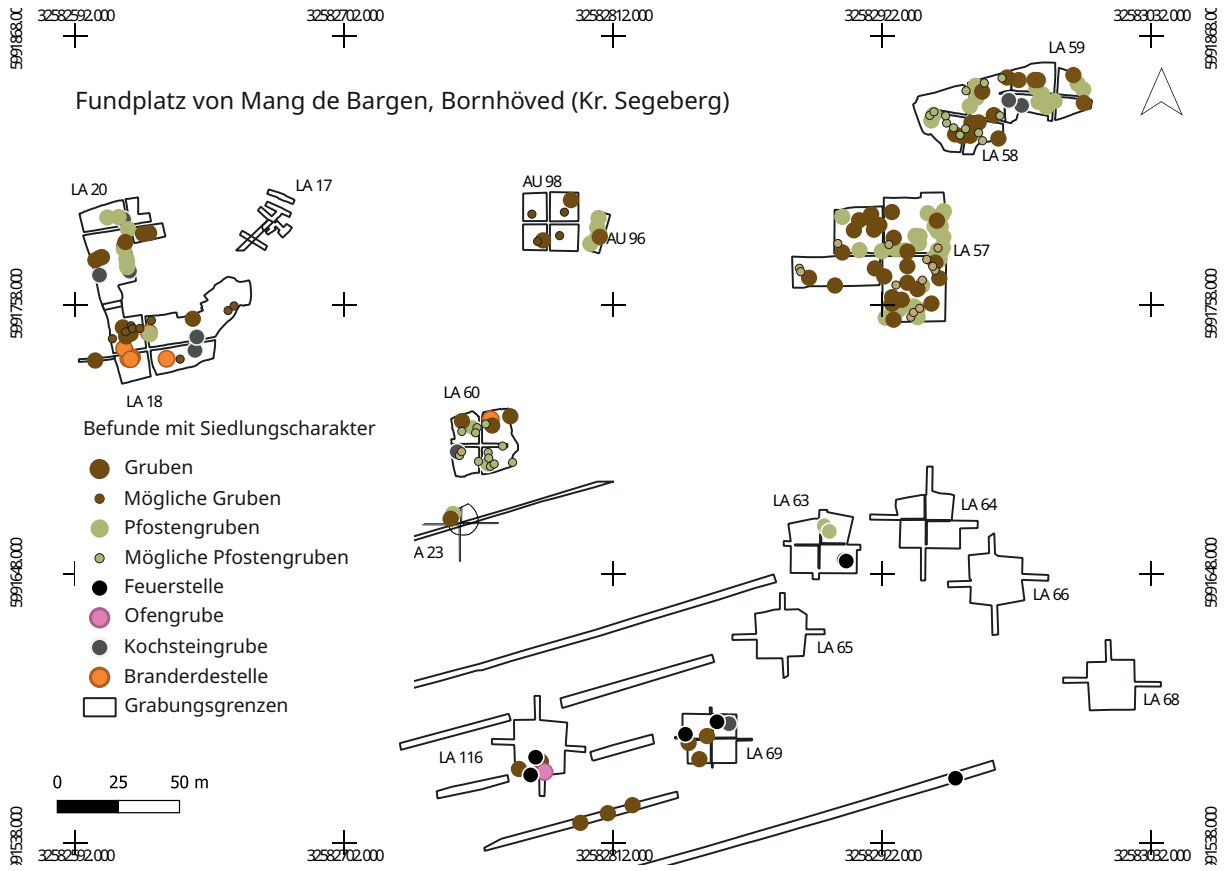
Bei neun der aufgelisteten Grabhügel³³¹ wurden Ackerbearbeitungsspuren, Siedlungsbefunde oder Kulturschichten entdeckt, die auf eine Nutzung des Fundplatzes vor der Grabhügelerrichtung hinweisen. Diese Befunde datieren zwischen dem Frühneolithikum und der Älteren Bronzezeit (ungefähr Per. II). Aktivitäten zwischen dem Spätneolithikum und der Periode II zeigen sich in diesem Zeitraum eher gemäßigt im Pollenprofil des angrenzenden ‚Torflochs‘. Die Pollenzusammensetzung lässt eine Landschaft, die von offenen Wäldern und einigen Weiden geprägt ist, vermuten (Vgl. Kap. 8.8. und Bericht Feeser *et al.* 2023 im Anhang VII.3).

8.3.4.4.2. *Siedlungsbefunde außerhalb von Grabhügeln*

Im Rahmen der Ausgrabungen wurden auch die näheren Umgebungen der Grabhügel untersucht. Dabei wurden Befunde entdeckt, die auf Siedlungsaktivitäten hindeuten, die sich über den gesamten Fundplatz erstreckten und nachweislich parallel zu den Bestattungen erfolgten (Vgl. LA 20, Bef. 72 & LA 116, Bef. 8). Zu diesen Befunden gehören Gruben, Pfostenlöcher, Kochsteingruben, Feuerstellen, eine Ofengrube und Branderdestellen. Die Charakterisierung letzterer Befundkategorie als Siedlungsbefund ist fraglich und wurde von Fall zu Fall im Kapitel zu den Grabhügelbefunden (Kap. 8.3.1.) erläutert.

In der räumlichen Verteilung zeigen sich keine Strukturen in der Anordnung von Siedlungsbefunden (Abb. 37). Eine Konzentration von Befunden mit Siedlungscharakter lässt sich lediglich im Nordosten feststellen – also in einem Areal, das wieder leicht flach ausläuft. Es muss jedoch angemerkt werden, dass es sich dabei u. a. um den Grabhügel LA 57 handelt, der umfassend als Lehrgrabung und nicht wie die meisten anderen im Rahmen einer Rettungsgrabung untersucht wurde. Das Aufkommen mehrerer Befunde ist wahrscheinlich dementsprechend forschungsbedingt zu erklären. Die Mehrzahl der Befunde befindet sich außerhalb von Grabhügeln, sodass ihre zeitliche Einordnung unklar ist. Sie können demnach vor der Errichtung, als auch während oder nach der Errichtung der Grabhügel angelegt worden sein. Da bisher kaum Datierungen aus den Befunden vorliegen, ist über die Zusammengehörigkeit von Befunden nur zu spekulieren. Lediglich die beiden Grubenbefunde (LA 20, Bef. 72; LA 116, Bef. 8) konnten in die Jüngere Bronzezeit, jedoch in tendenziell unterschiedliche Abschnitte datiert werden (Bef. 72: Periode IV bis Übergang IV/V und Bef. 8: Periode V-VI), sodass sie parallel zu einer starken Bestattungsaktivität genutzt wurden. Es ist insgesamt anzunehmen, dass der Fundplatz parallel zu den Bestattungstätigkeiten auch für andere Zwecke genutzt wurde. Inwieweit diese mit den Begräbnissen in Verbindung standen und eventuell eine vorausgehende rituelle Tätigkeit beinhaltet haben (z. B. als Ustrine), ist lediglich zu mutmaßen, doch auch Siedlungstätigkeiten und Gräber sollten sich in ein- und demselben Areal nicht ausschließen lassen.

331 LA 18, LA 20, LA 23, LA 57, LA 58, LA 59, LA 60, LA 63 und LA 64.



8.3.5. Kochsteingruben

Im Kapitel zur magnetischen Prospektion um den Fundplatz von *Mang de Bargaen* wurden bereits verdächtige Messausschläge als Kochsteingruben angesprochen, da vergleichbare Strukturen erhöhter Magnetisierungen von anderen Fundplätzen Norddeutschlands und Südkandinaviens (v. a. Dänemark) bekannt sind. Dabei handelt es sich um ein Areal mit Kochsteingruben, die in einer Niederung in Kreisen angeordnet waren und einer annähernd linearen Kochsteingrubenreihe oberhalb eines steilen Hanges, südwestlich des Torflochs bzw. nördlich des Gräberfeldes (Vgl. Abb. 8). Des Weiteren sind vereinzelte Kochsteingruben vom Gräberfeld bekannt (siehe unten). Im Allgemeinen handelt es sich bei Kochsteingruben (oder auch: Kultfeuerstellen, Gar-, Brenn, Brand- oder Herdgruben) um Gruben, die rundlich oder länglich-oval sind. Auch können sie leicht rechteckige Formen aufweisen und haben dabei ein rundliches bis wannenförmiges Profil. Solche auch sogenannte Feuergruben treten meistens in Reihen oder amorphen Anordnungen auf und befinden sich überwiegend separiert von Gräberfeldern oder Siedlungen. Manchmal stehen sie aber auch im deutlichen Bezug zu ebensolchen Fundplätzen (beide Bezugsmöglichkeiten sind vom Gräberfeld von Mang de Bargaen bekannt). Zudem befinden sich Kochsteingruben überwiegend auf markanten und sandigen Plateaus oder Hügeln in der Nähe von Wasser. Der Inhalt von Kochsteingruben beschränkt sich im Allgemeinen zumeist auf Holzkohle, Asche und mehr oder weniger stark angekohlte Steine. Letztere weisen oft Spuren von Hitzeeinwirkung auf, indem sie zersprungen, hitzeermürbt oder gerissen sind (Schmidt 2014, 145.; Honeck 2009, 10ff.; Løvschal und Fontijn 2018, 1ff.; Heidelk-Schacht 1989, 225–240; Kristensen 2008, 9). Deecke war einer der ersten, der jene Brandgruben erstmals als Befunde wahrnahm und 1906 in seinen ‚Notizen über Brandgruben in Neuvorpommern‘ veröffentlichte (Hüser 2011, 96). Häufig jedoch

Abbildung 37: Verbreitung von Befunden mit Siedlungscharakter am Fundplatz von Mang de Bargaen.

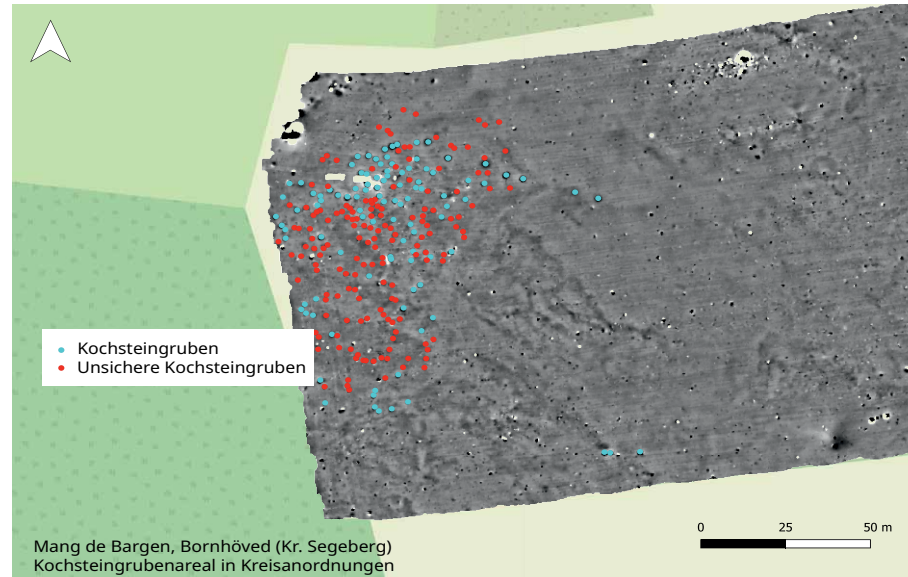


Abbildung 38: Verteilung von Kochsteingruben auf Feld 6 im Umfeld des Fundplatzes von Mang de Bergen.

Kochsteingrube	Breite	Tiefe	Profil	Aufsicht
2017_1	75 cm	45 cm	Rund-oval	Rundlich-amorph
2018_1	80 cm	30-40 cm	Rundlich-wannenförmig/amorph	Rundlich-amorph
2018_2	80 cm	40 cm	Rundlich-leicht wannenförmig	Rundlich-amorph

Tabelle 4: Formen und Maße der Kochsteingrubenbefunde.

wurden sie nicht immer als solche erkannt. Im Zettelkatalog der Schleswig-Holsteinischen Landesaufnahme finden sich immer wieder Beschreibungen aus dem 20. Jahrhundert von ‚seltsamen steingefüllten Feuerstellen‘, die – wenn überhaupt – als Feuerstelle, Siedlungsbefund oder Grab aufgenommen wurden. Häufig wird erwähnt, dass solche Befunde vielfach auch an anderer Stelle vorkamen – jedoch ohne Angaben zum Fundort. Es muss davon ausgegangen werden, dass viele Kochsteingruben keine Erwähnung fanden oder dass sie unter einer falschen Befundbezeichnung wie Feuerstellen oder sogar als Gräber aufgenommen wurden.³³² In den letzten Jahrzehnten hat sich die Forschungslage jedoch geändert. Vor allem ab den Siebziger Jahren wurden immer häufiger Kochsteingrubenreihen entdeckt (Schmidt und Forler 2004, 24). Es gibt mittlerweile umfangreiche Forschungen zur Verbreitung, zu Befundtypen und der Datierung. Die Funktion unterliegt hingegen noch immer mehr oder weniger wilden Spekulationen profaner als auch kultisch-ritueller Art von der Essenzubereitung über die Ahnenverehrung bis zum ‚Saunabereich‘ (Honeck 2008, 22f.; Schmidt 2014, 154).

8.3.5.1. Untersuchungen am Fundplatz

8.3.5.1.1. Kochsteingruben in Kreisanordnungen (Feld 6, Vgl. Abb. 8-9)

Insgesamt befinden sich ca. 90 sichere und 160 unsichere Kochsteingruben in ca. 20-25 Halbkreisen und Kreisen, die einen ungefähren Durchmesser von 6-8 m aufweisen (Abb. 38). Unterschiedlich viele Kochsteingruben bilden dabei einen Kreis. Im Durchschnitt handelt es sich um 8-10 Gruben pro Kreis. Dies ist jedoch nur schwer festzustellen, weil einige der Messausschläge weniger eindeutig sind als andere. Bei den unsicheren Kochsteingruben,

³³² Z. B. wurden die Kochsteingruben des Fundplatzes Hamburg-Sinstorf (3) zunächst bei der Ausgrabung 1975 als Gräber bezeichnet (Vgl. Hüser 2011, 107); das gleiche gilt für Hollenstedt, Fundplatz 1 (Hüser 2011, 113).



Abbildung 39: Profilmfoto von der Kochsteingrube 1 der Sondagegrabung 1 des Jahres 2017.

kann es sich auch um Steinpflaster handeln. Für nähere Untersuchungen, wie Begehungen und Test-Grabungen wurde das Feld 6, das sich ca. 500-600 m nordwestlich des Gräberfeldes Mang de Bargaen befindet, ausgesucht (Vgl. Abb. 8-9), da die Fülle an Kochsteingruben (ca. 65) sowie die Anordnung in Kreisen auf ca. 4300 m² im Vergleich zu anderen bisher bekannten Kochsteingrubenfeldern der Prähistorie heraussticht (Schaefer-Di Maida 2022).

Insgesamt wurden auf Feld 6 drei Kochsteingruben ausgegraben. Im Profil weichen die Formen leicht voneinander ab, während Tiefe und Breite der Gruben jedoch einheitlich zu sein scheinen (ca. 40 cm tief und 75-80 cm breit, siehe Tabelle 4). Alle drei Gruben kamen in einer Tiefe von ca. 50 cm zum Vorschein. Diese äußerst tiefe Lokalisierung ist wahrscheinlich mit Erosionen des steilen Hanges im Osten zu erklären.

Im April 2017 wurde eine der Kochsteingruben im Rahmen einer Test-Grabung erfasst. Die Sondage von 3x3 m ließ zunächst vermuten, dass die in der Aufsicht rundlich-amorphe und im Profil rund-ovale Kochsteingrube 1_2017 in eine Kulturschicht eingebettet war (Abb. 39), die viel Keramik, einige Silexartefakte und eine grüne Glasperle enthielt (Taf. 260).

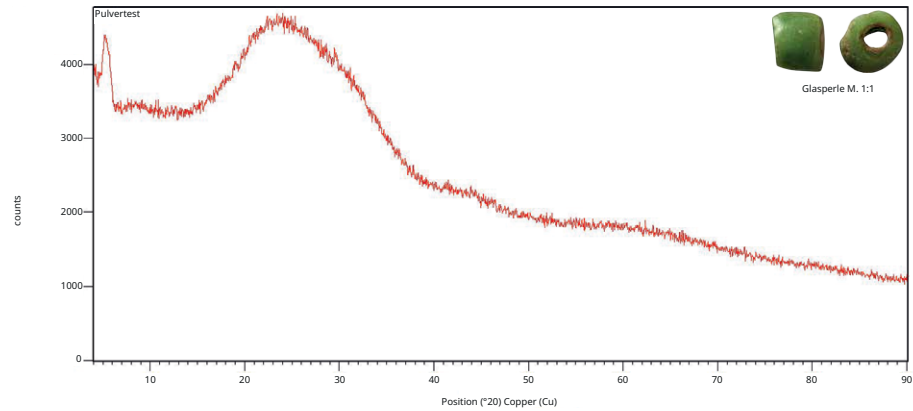


Abbildung 40: Gasperle und Perlenanalysekurve mit typischem ‚Glasbuckel‘ [freundliche Mitteilung von Ledwig 2017].

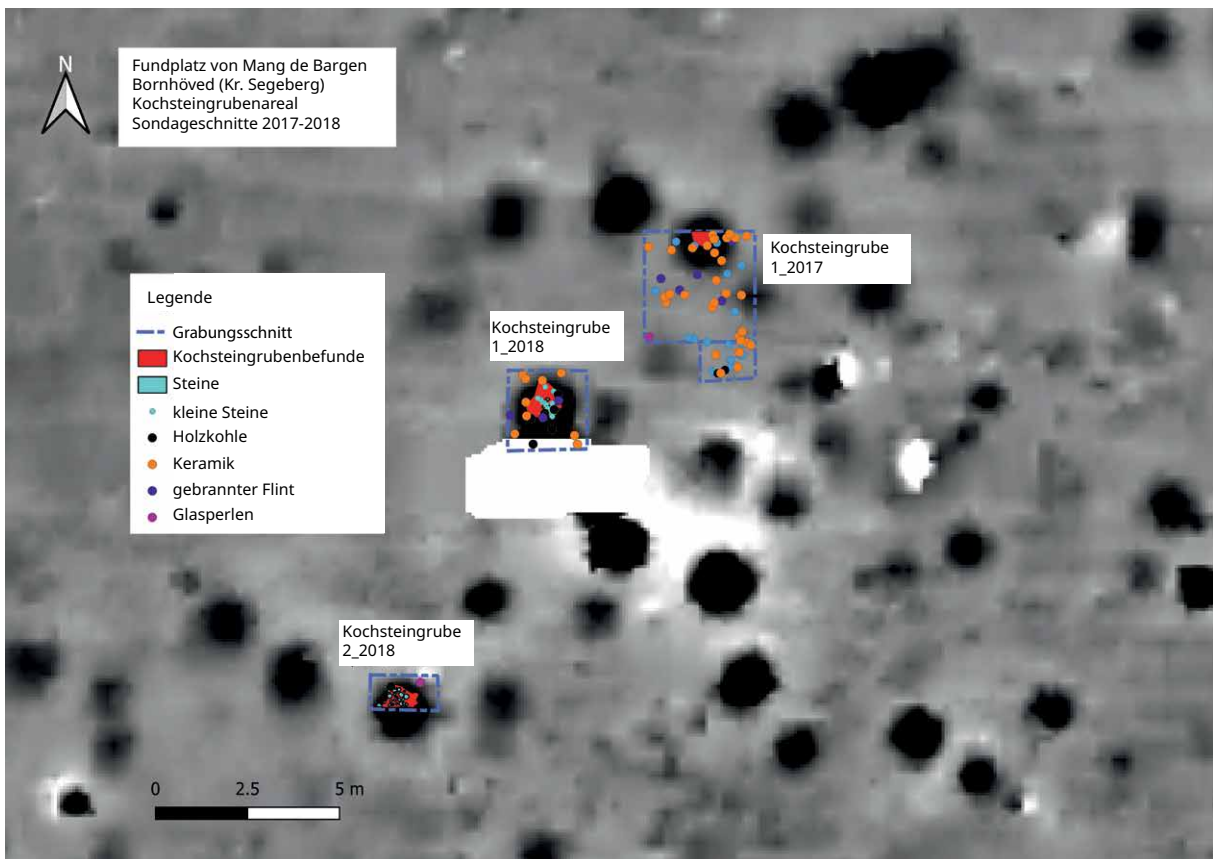


Abbildung 41: Sondageschnitte 2017 und 2018 auf dem Kochsteingrubenareal 1 (Feld 6).

Die Perle wurde von Brendan Ledwig vom Institut für Geowissenschaften (Sektion Geowissenschaften), Techniker der Abteilung für Experimentelle und Theoretische Petrologie hinsichtlich ihrer Materialzusammensetzung analysiert. Seiner Untersuchung nach zeige die Probe keinerlei erhöhte Werte hinsichtlich eines mineralischen Inhaltsstoffes, sodass davon auszugehen sei, dass es sich um ein Glas handelt. Der dafür charakteristische ‚Glasbuckel‘ im Bereich von ca. 18 bis 35 °2Theta sei zudem vorhanden (Abb. 40).

Die Perle ist kugelig-ringförmig und hat eine grün-milchige Farbe. Die Form und Farbe sprechen für eine Datierung in die späte Mittelbronzezeit (Bz C2, P II, im 14. Jh. v.Ch.). Während blaue durchscheinende Perlen zu diesem Zeitpunkt die Mehrheit bildeten, sind andersfarbige Perlen – wie jene vorliegende – seltener und können auch jünger datieren (Urnenfelderzeit und jüngere Nordischen Bronzezeit, Bz D - Ha

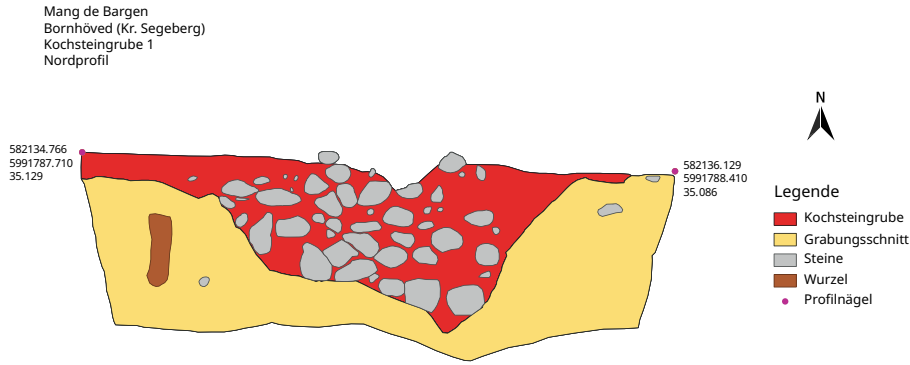


Abbildung 42: Profilzeichnung von der Kochsteingrube 1 (Sondage 2018) von Feld 6 (Kochsteingrubenareal 1) in der Nähe des Fundplatzes von Mang de Bargaen.

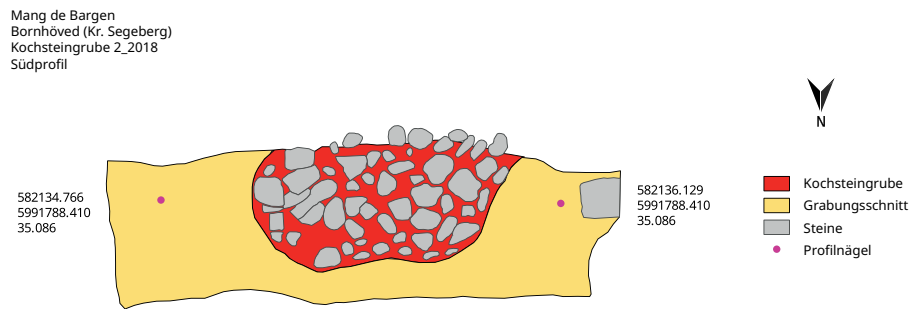


Abbildung 43: Profilzeichnung von der Kochsteingrube 2 (Sondage 2018) von Feld 6 (Kochsteingrubenareal 1) in der Nähe des Fundplatzes von Mang de Bargaen.

B, P III-V des 13.-9. Jhs. v. Chr., Vgl. Mildner *et al.* 2013). Da die sondierte Kochsteingrube keinerlei Holzkohle, sondern nur Asche, beinhaltete, konnte keine ¹⁴C-Probe entnommen werden. Die Funde lieferten keinen Hinweis auf eine Datierung. Im Spätsommer 2018 folgte eine weitere Untersuchung zweier Kochsteingruben im gleichen Areal, mit dem Ziel, die Form der Gruben und die Stratigrafie zu bestätigen, sowie datierbares Material zu gewinnen. Zunächst zeigte sich eine Trennung in der Stratigrafie, die eine obere Schicht mit vielen Steinen und einigen Funden von einer unteren Schicht, in die die Kochsteingruben eingetieft wurden, separierte.

Aus der Schicht über Kochsteingrube 2018_1 wurden erneut nichtaussagekräftige Keramikscherben und Flintartefakte gewonnen, während die ‚Kulturschicht‘ über Kochsteingrube 2018_2 neben Keramik und Flint erneut eine grüne Glasperle barg. In der Aufsicht sind die Gruben erneut rundlich-amorph geformt (Abb. 41). Die Profilformen der Gruben zeigten sich abermals rundlich-oval bis wannenförmig-amorph und der Grubeninhalte setzte sich neben angekohlten und zersprungenen sowie hitzezermürbten Steinen auch aus Asche und Holzkohle zusammen (Abb. 42-43). Aus beiden Kochsteingruben konnten entsprechende Holzkohleproben für ¹⁴C-Messungen entnommen werden.

In den Profilen der Kochsteingruben 2018-1 und -2 zeigten sich ein paar Holzkohlekonzentrationen. Das Feuer befand sich also zwischen den Steinschichten. Im oberen Randbereich lagen noch einige weitere Steine außerhalb der Grube, die eventuell vom Öffnen der Grube und Entnehmen der Nahrung stammten. Entsprechend amorph war auch die Form der Kochsteingrube im Planum.

Das Profil der Kochsteingrube 2017_1 enthielt auf der Oberkante weniger Steine und mehr schwärzlich-gebrannte Erde. Die Steine, die oben aufgelegt haben müssen, wurden also entfernt und an anderer Stelle, und nicht im Planum des Schnittes ersichtlich, abgelegt. Dazu muss erwähnt werden, dass sich diese Kochsteingrube im Profil des Schnittes befand und ihre Aufsicht somit nur zur Hälfte dokumentiert werden konnte. Es ist also gut möglich, dass die Steine nach Norden aus der Grube herausgelegt worden waren.

Kochsteingrube 1_2018	Kochsteingrube 2_2018
MdB2018 C10067 Bef. 1008 Hasel (<i>Corylus</i>)	MdB2018 C1001 Bef. 1001 Vielleicht Eiche (<i>Quercus</i>), schlechte Verkohlung
MdB2018 C1008 Bef. 11008 Hasel (<i>Corylus</i>)	
MdB2018 C1004 Bef. 1008 Eiche (<i>Quercus</i>)	
MdB2018 C1006 Bef. 1008 Hainbuche (<i>Carpinus</i>), rezent	

Tabelle 5: Ergebnisse der Holzkohlenanalyse.

Holzkohlenbestimmung

Die Holzkohlen aus den Kochsteingruben wurden von der Diplom-Biologin Yasmin Dannath des Instituts für Ur- und Frühgeschichte untersucht. Für die Kochsteingruben 1_2018 und 2_2018 ergaben sich Gehölze wie in Tabelle 5 dargestellt.

Es handelt sich um die Holzkohlen von Laubbäumen, die auch von anderen Fundplätzen für gewöhnlich genutzt wurden. Insbesondere die Hasel (*Corylus*) erreichte den palynologischen Untersuchungsergebnissen aus dem ‚Torfloch‘ in der Nähe des Fundplatzes zufolge, während der Nutzungsphase der Kochsteingruben maximale Werte. Eine gezielte Auswahl des Brennmaterials kann anhand dieser Verteilung nicht bestimmt werden. Im Vergleich mit der repräsentativeren Analyse von Kruse und Matthes scheint Material von Laubbäumen zum Brennen in Kochsteingruben benutzt worden zu sein, das sowohl verfügbar als auch verzichtbar war (Kruse/Matthes 2019, 214).

Datierung

Die Holzbestimmung der Proben ergab für Kochsteingrube 1_2018 zwei gut verwendbare Holzkohleproben, die von der Hasel stammen, während für Kochsteingrube 2_2018 eine etwas weniger zuverlässige Holzkohleprobe von der Eiche eingeschickt wurde. Das Leibniz-Labor für Altersbestimmung und Isotopenforschung, AMS ¹⁴C-Labor in Kiel führte die Datierungen durch und die Messungen ergaben, dass die Kochsteingruben zwischen 1442 und 1135 calBC datieren (Vgl. Tab. 6 & Abb. 44), wobei die meisten Daten auf eine Datierung zwischen 1400 und 1200 v. Chr. hindeuten. Damit fällt die Nutzung der Kochsteingruben in die Mittelbronzezeit (Periode II-III), die vor Ort vom Bestattungswandel, geprägt ist. Das Gräberfeld von Mang de Barga zeigt in diesem Abschnitt eine leicht erhöhte Nutzungsintensität (weitere AMS-Datierungen vom Fundplatz, siehe Anhang IV). Eine Verknüpfung zwischen dem Gräberfeld und den Kochsteingruben ist damit nicht nur wegen der geringen Entfernung, sondern auch wegen dieses gemeinsamen Zeithorizonts anzunehmen. Da die Kochsteingruben 1 und 2 (2018) aus zwei unterschiedlichen Kreisanordnungen stammen, lässt die parallele Nutzung dieser Stichproben lediglich vermuten, dass ein Großteil der Gruben in den Zeitraum von 1400-1100 BC datiert.

Damit stellen die Kreisanordnungen die älteste Form der Anordnungsweise von Kochsteingruben dar, denn Reihenordnungen und regellose Vorkommen von Kochsteingruben, die von anderen Fundplätzen bekannt sind, datieren jünger (siehe unten).

Kochsteingrube (Nr.)	Probennr.	Holzart	Unkalibriertes Alter	Kalibriertes Alter (2σ)
C10067_K1_2018 (1)	KIA-53556	Eiche (<i>Quercus</i>)	3021 ± 25 BP	1412-1267 calBC
C1008_K1_2018 (2)	KIA-53557	Hasel (<i>Corylus</i>)	3119 ± 24 BP	1389-1133 calBC
C1001_K2_2018	KIA-53555	Hasel (<i>Corylus</i>)	3072 ± 24 BP	1446-1298 calBC

Tabelle 6: Ergebnisse der Radiokarbondatierungen 2018 zu den Kochsteingruben 1_2018 und 2_2018.

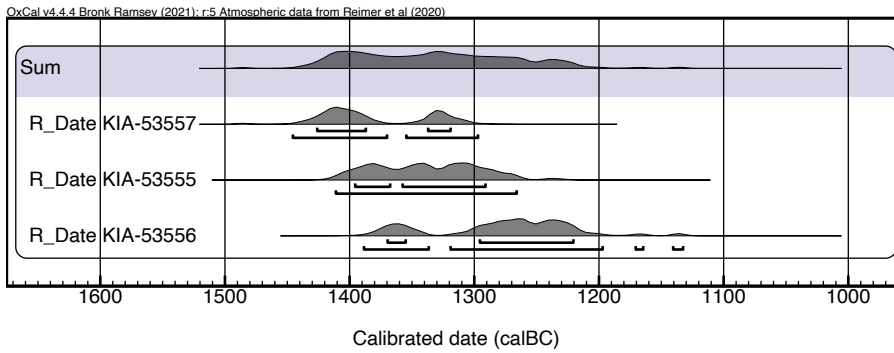


Abbildung 44: Multiplot mit Summenkalibration zu den Datierungsergebnissen der Kochsteingrubenfunde 1-2018 und 2_2018 (Radiokohlenstoff-Bestimmungen, kalibriert mit OxCal. v4.4 (Bronk Ramsey, 2021) und der IntCal20-Atmosphärenkurve (Reimer et al. 2020)).



Zur Stratigraphie

Da der Fundplatz der Kochsteingrubenfunde in einer Geländesenke, südlich und unterhalb einer künstlichen Abbruchkante eines Moränenzuges liegt, auf dem sich Spuren einer Siedlung der vorrömischen Eisenzeit befinden, sowie westlich unterhalb des Hanges auf dem jüngerbronzezeitliche Urnenbestattungen liegen, kann vermutet werden, dass es sich bei den Funden in der Kulturschicht um die erodierten

Abbildung 45: Planum 3 der Sondagegrabung auf dem Kochsteingrubenfeld 1, 04/2017.

und (landwirtschaftlich bedingt) verlagerten Reste eisenzeitlicher Siedlungs- und jüngerbronzezeitlicher Bestattungstätigkeiten handelt, die sich mit der Zeit über dem mittelbronzezeitlichen Kochsteingrubenareal abgelagert haben. Dafür spricht auch die zusammenhangslose Anhäufung von Fundmaterial in humosen Stein-Sand-Gemischen. Jedoch gibt es auch einige Steinpackungen, die gesetzt wurden und nicht durch Verlagerungsprozesse entstanden sein können. Bei der Testgrabung von 2017 wurden mehrere solcher Steinpflaster entdeckt, die die Kochsteingruben überdeckt haben (siehe Abb. 45, Steinpflaster im Nordosten des Planum 3).

In den Planumsfotos ist ersichtlich, dass sich die Steinanhäufungen schon im Planum 3 unterhalb der Humusschicht zeigen. In Planum 4 kommen unterhalb der Steinpflaster, in den anstehenden Boden eingetieft, dann erst die Kochsteingruben zum Vorschein. Leider konnten nur vier m² große Schnitte angelegt werden, sodass das tatsächliche Verhältnis, v. a. im nördlichen und östlichen Teil, dieser Steinabdeckungen bislang nicht geklärt werden konnte.

8.3.5.1.2. Kochsteingruben in Reihen

Im Magnetikbild konnte des Weiteren eine Folge von Anomalien entdeckt werden, die sich nördlich des Gräberfeldes in der unmittelbaren Nähe eines Hanges befindet, der in eine Niederung führt (Feld 3, Vgl. Abb. 8 & 10). Die Anomalien sind aufgrund ihrer kreisrunden Form und ihrer Anordnung als Kochsteingruben anzusprechen. Die Zusammensetzung der Befunde bedingt auch eine mehr oder weniger starke Anomalie und entsprechende nT-Werte. Im Vergleich zu natürlichen Strukturen (z. B. Gesteinszusammensetzung oder Blitzeinschläge) und rezenten Funden (Eisenschrott) weisen archäologische Befunde meistens geringere nT-Werte auf, die zwischen 5 und 20 nT liegen können, da es sich bei ihnen lediglich um Steine, organisches Material und Bodenveränderungen handelt. Die Anordnung auf Feld 3 ist jedoch nicht so gerade, wie es von anderen Fundplätzen bekannte Regel ist, sondern es scheint sich um eine unregelmäßige Aneinanderreihung zu handeln, wie sie auch in Hüsby vorkommen (Meier 2013, S. 320, Abb. 2). Die Datierung ist sowohl von Mang de Bargaen, als auch von Hüsby bisher nicht geklärt.

8.3.5.1.3. Kochsteingruben auf dem Gräberfeld

Vom Gräberfeld von Mang de Bargaen sind insgesamt zwölf Kochsteingruben bekannt (Abb. 37).³³³ Lediglich zwei davon befanden sich in unmittelbarer Nähe zu Urnengräbern und könnten mit der Bestattung verbundene Funktionen einnehmen (z. B. zur Zubereitung des Leichenschmauses). Eine weitere befand sich auf dem Gräberfeld LA 115 und lag in unmittelbarer Nähe zu einer Branderschicht. Die anderen neun Gruben befanden sich meistens außerhalb des Grabhügels oder außerhalb von Befundarealen und somit in keinem Bezug zu anderen aussagekräftigen Befunden. Drei andere Steingruben vom Fundplatz Mang de Bargaen sind rezent.³³⁴

Die Kochsteingruben weisen eine hohe Varianz hinsichtlich ihrer Form auf, wie sie auf dem Gräberfeld in Erscheinung traten (Tab. 7, Abb. 37). Die beiden Gruben, die in einem räumlichen Bezug zu Urnengräbern standen (LA 18, Bef. 70 + 93), wsen beide einen ähnlichen Grundriss in der Aufsicht, sowie ein ähnliches Profil und Höhenmesswerte auf. Sie könnten aus einem ähnlichen zeitlichen Horizont stammen. Für die unweit entfernte Urne Bef. 92 liegt ein Datum vor, das sie vom Ende der Periode III bis zum Ende der Periode IV datiert (siehe Anhang IV). Möglicherweise kann eine ähnliche Datierung für die Kochsteingruben von LA 18 angenommen werden. Da beide Gruben weder Leichenbrandreste oder sonstige hinweisgebende

333 LA 18, Bef. 70, 93; LA 20, Bef. 6, 7, 39, 61, 75; LA 58, Bef. 129; LA 59, Bef. 82; LA 60, Bef. 44; LA 115, Bef. 308; LA 69, Bef. 3.

334 Womöglich vom Verscharren von Steinen, die bei landwirtschaftlichen Aktivitäten auf dem Feld störten.

Kochsteingrube	Aufsicht	Profil	Füllung
LA 18, Bef. 70, nördlich des Grabes Bef. 71	Abgerundet-rechteckig 0,50 × 0,70 m	Steiltrichterförmig	Dichte Packung aus hitzeermürbten Steinen
LA 18, Bef. 93, wird als Steingrube angesprochen, unweit von Urnengrab 92 sowie Steinpflaster 72 entfernt	Unregelmäßig-rechteckig 0,80-1,00 × 1,15 m	Steiltrichterförmig (0,64 m breit) mit eben verlaufender Sohle	Verfüllung aus braungrauem bis dunkel- braungrauem, holzkohlehaltigem, humosem Sand und sehr vielen überwiegend deutlich hitzeermürbten Steinen
LA 20, Bef. 6	Langoval, 0,35 × 0,72 m	k.A.	Humose, holzkohlehaltige Verfüllung mit hitzeermürbten Steinen
LA 20, Bef. 7	Kreisrund, Dm. 0,50 m	Steil trichterförmige Eintiefung + nahezu eben verlaufende Sohle	Verfüllung aus hitzeermürbten Steinen (mindestens zwei- lagig); Zwischenräume aus schwarzgrauem, humosem, stark holzkohlehaltigem Sand.
LA 20, Bef. 39	Langgestreckte, von NW nach SO ausgerichtet, 0,45 × 1,02 m	Eintiefung als Rest vorhanden, unregelmäßig verlaufende Sohle	Verfüllung aus schwarzgrauem, stark holzkohlehaltigem Sand mit vielen hitzeermürbten Steinen
LA 20, Bef. 61	Unregelmäßig, 0,47 x 0,60 m	Eintiefung als Rest vorhanden, unregelmäßig verlaufende Sohle	Verfüllung aus graubraunem, humosem Sand mit einigen hellen Flecken und v.a. im oberen Bereich vielen hitzeermürbten Steinen (keine Holzkohlereste)
LA 20, Bef. 75	Oval, 0,45 × 0,55 m	Einlagige Steinschicht	Hitzeermürbte Steine
LA 58, Bef. 129	Unregelmäßig-oval, 0,93 × 0,86 m	0,73 m lange etwa steiltrichter- förmig mit eben verlaufender Sohle, Resttiefe: 0,34 m	Füllung aus braungrauem, kohlehaltigem Sand und vielen hitzeermürbten Steinen
LA 59, Bef. 82	Kreisrund, Dm. 0,6 m	0,75 m lange, vermutlich steil- trichterförmige - trichterförmige Eintiefung (Resttiefe: 0,4 m) mit unklar ver- laufender Sohle	Füllung aus grauem, kohlehaltigem Sand und vielen bis zu kopf- großen Steinen (nur teilweise mit deutlichen Hitzespuren)
LA 60, Bef. 44, wird als Steingrube angesprochen	Gebogen, langgestreckt, 2,43 × 0,5 m	1,1 m lange, etwa trichterförmige Eintiefung (Resttiefe: 0,32 m) mit unregelmäßig muldenförmig verlaufender Sohle	Füllung aus braungrauem, leicht lehmigem Sand mit vielen etwa faustgroßen Steinen (nicht hitzeermürbt)
LA 115, Bef. 308, Steht in Verbindung mit angrenzender Branderdeschicht	Gebogen, langgestreckt, abgerundet	Mehrlagige Steinschicht, Höhe der Steinpackung 0,4m	Hitzeermürbte Steine im dunkelgrauen Sand eingebettet, ohne Holzkohleeinlagerungen dazwischen, darunter anstehender gelbgrauer lehmiger Sand
LA 69, Bef. 3	Rund, von 0,95m Durchmesser	Einlagige Steinschicht; die Resttiefe betrug nur noch 3 bis 5 cm	Hitzeermürbte Steine im anstehenden braunen Lehm

Funde hinsichtlich ihrer Nutzung enthielten, kann nur gemutmaßt werden, dass sie im direkten zeitlichen Bezug zu der jeweiligen Urnenbestattung standen und zum Beispiel für eine gemeinschaftliche Aktivität am Grab angelegt wurden.

Tabelle 7: Befundbeschreibungen zu den Kochsteingruben vom Gräberfeld von Mang de Bargaen.

8.3.5.2. Kulturelle Einbettung

Kochsteingruben kommen in ganz Norddeutschland, Dänemark, Südschweden und Nordwestpolen vor und reichen bis zum nördlichen Sachsen-Anhalt und grenzen damit an die ‚mitteldeutschen, steinlosen Grubenreihen‘ (nach Schunke 2017) an. Im Folgenden sollen bestehende Forschungen zu dem Phänomen der (Kochstein-) Grubenfelder zusammengefasst werden, sodass die Befunde vom Fundplatz eingeordnet werden können. Die **nördlichen Gruben**, auch Feuergruben, Koch(stein)gruben, kogegrube, kokgrop oder kokegrop genannt, treten in Dänemark, Südschweden, Nordwestpolen und Norddeutschland in singulären Reihen, in mehreren Reihen, Gruppen, Kreisen oder auch in ungeordneten Anordnungen auf. In Abbildung 46 wurden die Kochsteingruben (einreihig, mehrreihig, Gruppen, usw.) kartiert. Einige Einzelbefunde oder unklare Befunde zeigen, dass ihre Definition nicht immer einfach ist.

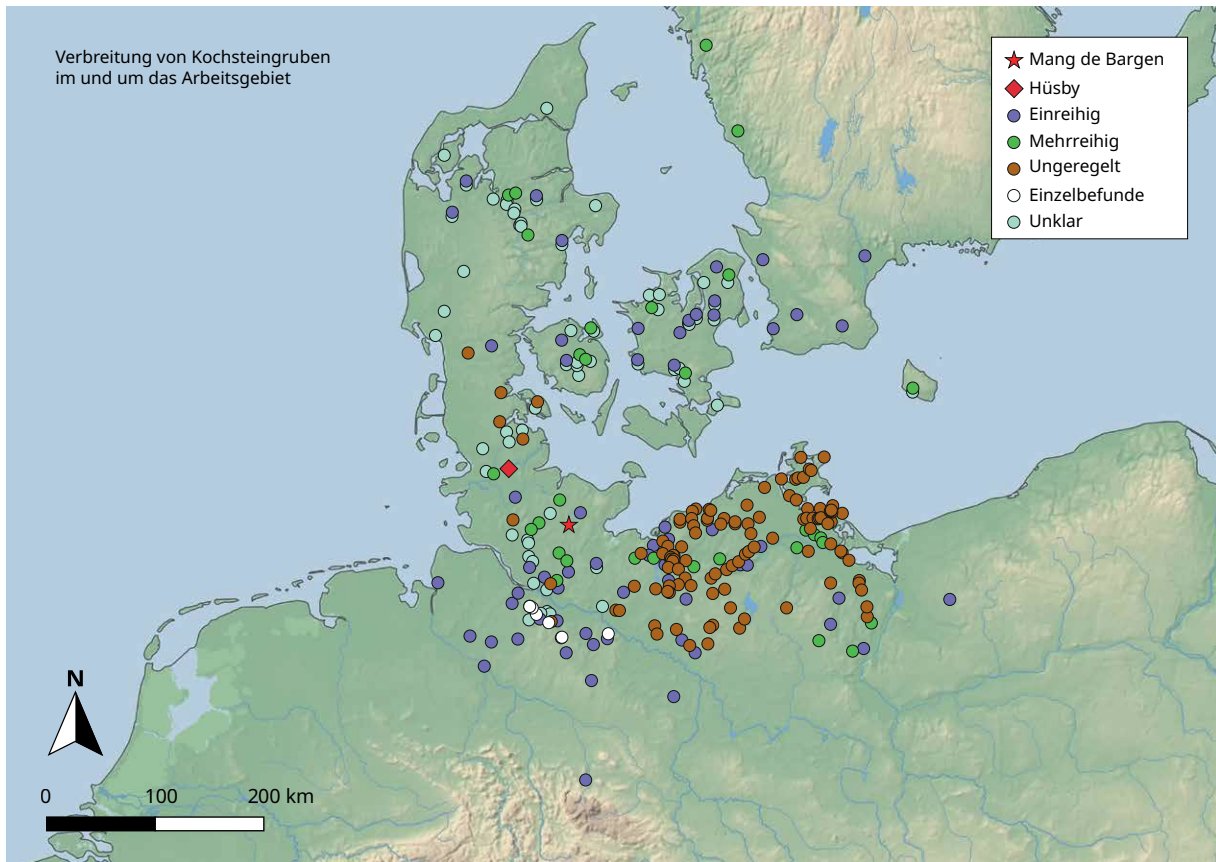


Abbildung 46: Verbreitung von Kochsteingruben in Norddeutschland und Südschandinavien [Datengrundlage: Schmidt und Forler 2003; Kristensen 2008; Honeck 2009; Schmidt 2014; Kruse und Matthes 2017, 2019].

Die Verbreitung spiegelt nicht nur die tatsächliche Verbreitung, sondern auch den unterschiedlichen Forschungsstand wider. Die umfangreichen Untersuchungen in Mecklenburg-Vorpommern überwiegen dementsprechend. In Schleswig-Holstein, Dänemark und Südschweden ist die Verteilung relativ gleichmäßig mit geringen Konzentrationen. Für die Niederlande ist bisher nur ein Fundplatz mit einer einzelnen Kochsteingrubenreihe bekannt, die zudem von Siedlungsgruben flankiert wird (Løvschal und Fontijn 2018, 4, 9, Abb. 5), sodass es sich dabei vielleicht nicht um etwas Vergleichbares handelt. In Mecklenburg-Vorpommern scheinen ungeordnete Gruppen im Vergleich zu Reihen zu überwiegen. Nach Schmidt zeigt sich jedoch auch eine chronologische Trennung der beiden Typen (Typ 1: Feuerstellenreihen; Typ: unregelmäßige Feuerstellenplätze), nachdem Reihengliederungen von Grubengruppen abgelöst werden (Schmidt und Forler 2004, 23; Schmidt 2014, 148f.). Bei Betrachtung der Verbreitung der beiden Typen, scheinen reihenförmig angelegte Kochsteingruben um den Fundplatz von Mang de Bargaen häufiger vorzukommen, als unregelmäßige. Im Hamburger Raum kommen ungeordnete Gruppen von Gruben ebenfalls seltener vor und es überwiegen Reihenordnungen und Einzelbefunde. In Nordjütland, auf den dänischen Inseln und Südschweden beschränkt sich das Vorkommen überwiegend auf Reihenordnungen (Kristensen 2008). In Nordschleswig/Sonderjylland liegt der umgekehrte Fall vor: hier kommen Kochsteingruben lediglich in ungeordneten Gruppen vor. Kochsteingrubenreihen sind hier dafür eher unbekannt (lediglich zwei einreihige Reihen sind bekannt: Søderup und Skelde Overballe) (Kruse und Matthes 2019, 209). Haben wir es also mit regionalen Erscheinungen zu tun oder ist diese Verteilung dem unzureichenden Forschungsstand, v. a. in Schleswig-Holstein, geschuldet, sodass im Arbeitsgebiet kaum ungeordnete Gruppen von Kochsteingruben vorkommen? Lineare Bauprojekte (ICE-Trassen; Autobahnbau usw.) werden in Schleswig-Holstein zum Beispiel

weniger intensiv archäologisch begleitet als das in Mecklenburg-Vorpommern der Fall ist und im Allgemeinen werden Feuerstellenreihen einfacher erkannt und als solche dokumentiert als jene ungeordneten, weil ihre Linearität allein schon bei aufgepflügten Verfärbungen heraussticht (Schmidt und Forler 2004, 24). In Mecklenburg-Vorpommern wurden zuletzt intensive Untersuchungen (v. a. im Zuge linearer Bauprojekte) durchgeführt und nach Schmidt befinden sich Kochsteingruben in Reihen eher abseits von Siedlungen oder Gräberfeldern, während Kochsteingruben in ungeordneter Struktur (in ungeordneten Gruppen) auch in Verbindung mit Siedlungen stehen können und damit beispielsweise auf Produktionsareale hinweisen können (Schmidt 2014, 148f.). Das Vorkommen von Kochsteingruben in kreisförmigen Anordnungen ist bislang lediglich vom Fundplatz von Mang de Barga und aus Hüsby bekannt. Da Hüsby auch zusätzlich Reihenanordnungen und regellose Grubenvorkommen aufweist, wurde der Fundplatz in den Verbreitungskarten separat markiert. Die beiden Fundorte sind ca. über 70 km Luftlinie voneinander entfernt, sodass sie nicht unbedingt als regionale Eigenart angesehen werden können. Während in Mang de Barga viele kleinere Kreise von ca. 6-8 Kochsteingruben angelegt wurden, schiebt Meier, dass sich in Hüsby eine kreisförmige Anordnung aus vielen Kochsteingruben zusammensetzte (Meier 2013, 321). Bei Betrachtung des Magnetikbildes, kann jedoch festgestellt werden, dass die Anomalien auch in Hüsby in mehreren kleinen Kreisen auftreten und in diesem Fall zusammen einen großen Kreis bilden, sodass die Anordnung mit den Befunden in Mang de Barga sehr gut vergleichbar ist. Trotz der quellenkritischen Erwägungen, scheint es im Norden der Verbreitung von Kochsteingruben eine Tendenz zu Reihenanordnungen zu geben, während in Mecklenburg-Vorpommern, Südjütland und teilw. auch im Hamburger Raum ebenso regellose Kochsteingrubenanhäufungen vorzufinden sind. Der Vollständigkeit halber wäre noch zu erwähnen, dass Kochsteingruben zudem auch aus Norwegen bekannt sind und hier von 1000 v. Chr. bis 600/700 n. Chr. datieren (Gustafson 2005a, 7-8; Narmo 2005, 191-206). Sie treten sowohl in Verbindung mit Kultplätzen (Gustafson 2005b, 109ff.), Siedlungen (Gustafson 2005c, 116ff.), Flüssen (Gustafson 2005d, 125ff.) und Tälern (Gustafson 2005e, 130ff.) auf, sodass ihre Funktion ebenso in der Diskussion steht wie jene im und um das Arbeitsgebiet. Im Gegensatz zu den nördlichen Kochsteingruben sind die **südlichen Gruben** (Sachsen/Sachsen-Anhalt), die hier nicht kartiert wurden, eher länglich, fast rechteckig geformt und enthalten keine erhitzten Steine und sind daher nicht als Kochsteingrubenreihen zu klassifizieren. Sie haben – nicht zuletzt wegen ihres Vorkommens in teilweise zueinander laufenden Reihen, die Netze in der Landschaft bilden – wahrscheinlich eine etwas andere Funktion (siehe unten). Vergleichbare Strukturen sind aus Großbritannien bekannt (Løvschal und Fontijn 2018, 4.; Schunke 2017, 79-94). Im mitteldeutschen Raum konnten die mittel- bis spätbronzezeitliche Grubenreihen und Landgräben vor allem entlang linearer infrastruktureller Baumaßnahmen (ICE-Streckenbau) entdeckt werden, die sich teilweise bis zu 5,7 km erstreckten. Es handelt sich aber wahrscheinlich um eine andere ‚Grubengattung‘, die lediglich aufgrund ihrer Aneinanderreihung den Kochsteingruben des Nordens recht ähnlich sind. Ihre Form und wahrscheinlich auch ihre Funktion mögen sich jedoch von den Kochsteingruben unterscheiden (siehe unten). Geographisch grenzen beide Grubenformen aneinander, überschneiden sich jedoch nicht. Sie kommen aber im gleichen zeitlichen Horizont vor (siehe unten).

8.3.5.3. *Datierung*

Mit dem wachsenden Interesse an Kochsteingruben wurde auch das Interesse ihrer zeitlichen Einordnung immer wichtiger. Zunächst wurden jene Gruben häufig ohne Prüfung als spätbronzezeitlich datiert, da die ersten absoluten Daten in diese Zeitphase datieren. Dass eine Datierung anhand umliegender oder angrenzender

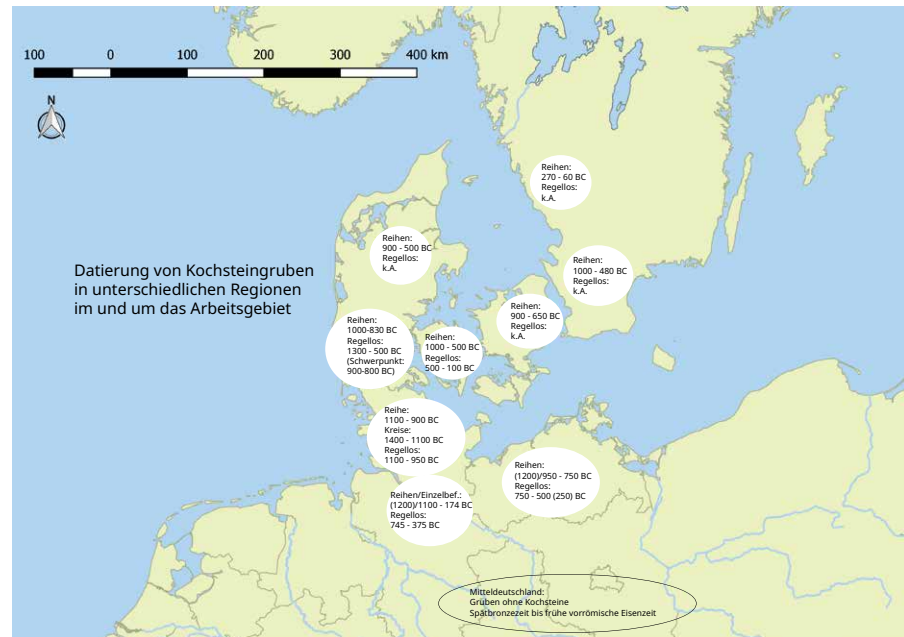


Abbildung 47: Zeitlich-räumliche Verbreitung von Kochsteingruben in Norddeutschland und Südsandinavien [Datengrundlage: Thrane 1974; Schmidt und Forler 2004; Hendriksen 2005; Kristensen 2008; Honeck 2009; Hüser 2011; Schmidt 2012; Meier 2013; Schmidt 2014; Kruse und Matthes 2017, 2019].

Befunde wie Gräbern und Siedlungsstrukturen problematisch ist, zeigten bereits viele Fundplätze, deren Kochsteingruben älter oder jünger waren als alle benachbarten Befunde.³³⁵ Eine genauere Datierung von Kochsteingruben entwickelte sich erst in den letzten Jahrzehnten im Rahmen umfangreicher Untersuchungen und ¹⁴C-Datierungen. In der Abbildung 47 kann die Datierung von Kochsteingruben für die unterschiedlichen Regionen überblickt werden.

Bei der Darstellung wurden lediglich ¹⁴C-datierte Kochsteingruben einbezogen, da verschiedene Fundorte bereits gezeigt haben, dass die Gruben älter oder jünger als umliegende Befunde sein können. Die Datenbasis spiegelt also nur einen kleinen Teil ausgegrabener Kochsteingruben wider. Anhand der Verbreitung von Datierungsergebnissen lässt sich zunächst feststellen, dass die kreisförmigen Anordnungen in Mang de Bargas ab 1400 v. Chr. eines der ältesten Daten liefern. Darauf folgen die reihenförmigen Anordnungen in Mecklenburg-Vorpommern und im Hamburger Raum ab 1200 v. Chr. mit Schwerpunkt ab 950 v. Chr., während regellose Anordnungen schon ab 1300 v. Chr. in Sonderjylland angelegt wurden. Es hat den Anschein, als würden sich die regellosen Anordnungen von Sonderjylland über Schleswig-Holstein nach Mecklenburg-Vorpommern und Hamburg ausbreiten und dort ab 750 v. Chr. übernommen. Reihenanordnungen entstehen im dänischen und schwedischen Raum erst ab 1000/900 v. Chr. – also zu dem Zeitpunkt, wenn in Mecklenburg-Vorpommern und Hamburg die Hochphase jener Reihenform erreicht wird. Regellose Anordnungen sind in Nordjütland und den dänischen Inseln zwar bekannt, aber wenig datiert. Schmidt und Forler schlossen aus den gesammelten ¹⁴C-Datierungen, dass Kochsteingruben in Reihen zwischen 950 und 750 v. Chr. datieren und von den unregelmäßigen Kochsteingrubenplätzen, die zwischen ca. 800 und 540 v. Chr. angelegt wurden, abgelöst wurden (Schmidt und Forler 2004, 30, 35). Zu einer ähnlichen Tendenz kommen auch Henriksen und Kristensen in ihren Studien (Henriksen 2005, 90; Kristensen 2008, 22). Die Kochsteingruben in Kreis- und Reihenanordnungen Mang de Bargas datieren hingegen wesentlich früher (siehe oben) und stellen womöglich einen früheren Typ zwischen 1400 bis 1100 v. Chr. dar.

³³⁵ Siehe z. B. den Fundplatz von Zedau: die Kochsteingruben datieren in die Zeit zwischen den beiden Siedlungsphasen (Heidelk-Schacht 1989, 228).

8.3.5.4. Funktion

Die Funktion von Kochsteingruben oder Feuergruben ist längst nicht geklärt. Mit der vorliegenden Untersuchung kommt ein neues Anordnungsmuster hinzu: Die kreisförmigen Kochsteingrubenformationen beim Fundplatz von Mang de Barga stellen eine besondere Form dar und sollen im Zuge der folgenden Zusammenfassung der prägnantesten Theorien diskutiert werden und liefern damit einen neuen Aspekt in der Interpretation von Kochsteingruben im Allgemeinen. Auch der Zusammenhang von Kochsteingruben und Gräberfeldern oder Grabhügeln ist vor dem Hintergrund der Befundsituation am Fundplatz von Bedeutung. Die Interpretation der Gruben richtet sich zunächst nach dem Aufbau der einzelnen Grube, sodass eine bestimmte Handlung angenommen werden kann. Im Anschluss ist die Positionierung entscheidend: in einer Reihe, in mehreren Reihen, ungeordnet oder in Kreisen. Des Weiteren ist der Bezug zu anderen Befunden wichtig. Wenn Kochsteingruben in Siedlungen oder Gräberfeldern eingebunden sind, ist ihre Funktion völlig anders zu deuten. Auch hat ihre topographische Position eine wichtige Rolle bei der Funktionsanalyse.

8.3.5.4.1. Grubenformen und ihre Nutzung

Grundsätzlich haben Kochsteingruben eine ‚mehr oder weniger geschlossene Steinpackung im unteren Bereich‘, die mehrlagig oder hingegen stark ausgedünnt sein können. Die Steine und teilweise auch das angrenzende Erdmaterial weisen Brandspuren auf. Holzkohlekonzentrationen, v. a. im unteren Bereich der Grube, sind üblich. Nur selten kann eine richtige Holzkonstruktion nachgewiesen werden (Vgl. z. Bsp. Langenrehm) (Honeck 2009, 10f.). Heidelk-Schacht wies für Mecklenburg-Vorpommern darauf hin, dass die Kochsteingruben für gewöhnlich ‚rund oder rund-oval, selten rechteckig, bei durchschnittlich 1 m Durchmesser, flach muldenförmig bis durchschnittlich 0,30 m Tiefe‘ sind. Des Weiteren setze sich der Inhalt aus kompakter schwarzer Braunerde, Holzkohle und geglähten Steinen (á ca. 0,1-0,2 m Dm) zusammen. Dabei erkennt er ein oder zwei Lagen von Steinen ‚auf der Grubensohle, im Zentrum oder regellos.‘ Die Gruben enthalten in der Regel keine Funde (Heidelk-Schacht 1989, 229). Schmidt und Forler bestätigen diesen Grubenaufbau und ergänzen, dass die Steinlagen an den Grubenrändern höher als in der Mitte reichen, ‚was auf die Abdeckung des in der Grube entfachten Feuers hindeuten könnte‘ (Schmidt und Forler 2004, 36f.). Letzteres ist auch aus Rønninge Søgård auf Mittelfünen bekannt (Thrane 1974, 109ff.). Und auch in Mang de Barga konnte ähnliches festgestellt werden (siehe oben). Kristensen differenzierte in Frammerslev zwischen zwei verschiedenen Grubentypen: *Typ 1: Kochstellen mit einer schwarzen kompakten, holzkohlehaltigen Basisschicht* und *Typ 2: Kochstellen ohne schwarze Holzkohleschichten und eventuell auch ohne erhitzte Steine*. Diese Typen unterteilt sie nochmals in zwei bis drei Untertypen je nach ihrem Aufbau (Kristensen 2008, 15ff., S. 16: Abb. 5-6). Typ 1 gilt als tatsächliche Kochstelle, während Typ 2 eine Vor- bzw. Nachphase des Kochprozesses repräsentiert (Kristensen 2008, 16f.). Demnach könnte es sein, dass Typ 2 auch aufzeigt, dass Kochsteingruben mehrfach genutzt wurden und nach jedem Kochvorgang von Steinen usw. ‚gereinigt‘ wurden. Oder aber Gruben wurden vorbereitet aber dann doch nicht zum Kochen verwendet (Kristensen 2008, 40). Schmidt und Forler stellten auch Unterschiede von Kochsteingruben hinsichtlich Form und Größe in der Verteilung im Gesamttraum Mecklenburg-Vorpommern fest. In Nordostdeutschland haben die Gruben immer einen runden bis ovalen Umriss mit Durchmessern zwischen 0,9 und 1,3 m, während im Westen Mecklenburg-Vorpommerns ‚gerundet-rechteckige Feuerstellen, die mit Längen von 1,4-2,1 m auch deutlich größer sind‘ überwiegen (Schmidt und Forler 2004, 25). Demnach können also auch regionale Unterschiede beim Bau von Kochsteingruben angenommen werden. Für den Fundplatz von Jürgenshagen konnte Lütjens auch sogenannte langgestreckte Steingruben aufdecken (1,10-3,55 m Länge x 0,24-1,20 m Breite und ca. 0,08-0,74 m

Tiefe) (Lütjens 1999, 25), die auch in ganz Norddeutschland und Dänemark gelegentlich vorkommen (Lütjens 1999, 29ff.). Sie enthalten zwar hitzeermüdete Steine, Hinweise auf Feuer in den Gruben gebe es jedoch keine, sodass angenommen wird, dass die Steine anderorts erhitzt wurden und heiß in die Gruben gelegt wurden (Lütjens 1999, 35). Der Aufbau von Kochsteingruben im und um das Arbeitsgebiet weist demnach eine mehr oder weniger starke Regelmäßigkeit auf, die zunächst auch auf eine gemeinsame Funktion hinweisen könnte. Die Gruben an sich dienen der Hitze- und ggf. auch Rauch-/Dampfentwicklung. Dementsprechend dominieren Theorien zur Nutzung dieser Funktionen: Hitzeentwicklung zur Essenzubereitung wie Kochen, Räuchern, Dämpfen, Dörren oder zur Nutzung als Produktionsstätte³³⁶ zum Beispiel als Flachsröste, Verhüttungsplatz usw. sowie Rauch-/Dampfentwicklung zur Nutzung für Sauna-/Dampfbad oder Signalfeuer (Honeck 2009, 22f., 40f.). Einige Befunde lassen die einzelne Nutzung gut rekonstruieren und geben beispielsweise Hinweise auf den ‚Kochvorgang‘. Aus Naschendorf sind Befunde von Kochsteingruben bekannt, die in der Aufsicht und auch im Profil eine ‚hellere, allenfalls schwach holzkohlehaltige, humose und meist muldenförmige Sandschicht‘ aufweist, die wahrscheinlich vom ‚Öffnen der Herdgrube nach Abschluss der darin erfolgten Essenzubereitung‘ stammen könnten (Schmidt, 2012, 29). In Ergänzung dazu gibt es Befunde, deren Steinpackungen auseinandergerissen wurden, sodass sich das Grubenzentrum in der Aufsicht zunächst steinfrei präsentierte (Schmidt, 2012, 29, Abb. 5). Ähnliches ist auch aus Hamburg-Marmstorf (Fundplatz 68) bekannt. Hüser vermutet, dass die Kochsteine für andere Gruben wiederverwendet wurden (Hüser 2011, 104). Für die Befunde aus Mecklenburg-Vorpommern ist sich Schmidt entsprechend sicher, dass die Gruben der Essenzubereitung dienten, indem die Nahrung ggf. in Blätter oder Rinde eingeschlagen und zwischen die heißen Steine gelegt worden war. Die Steine waren zuvor in die Grube hineingelegt, in der ein Feuer entfacht worden war – wie aus ethnographischen Vergleichen bekannt (Schmidt 2014, 145, 154; Schmidt und Forler 2004, 38; Honeck 2009, 32ff.; Kruse und Matthes 2019, 226-227). Die Nutzung von Blättern oder Rinde würde auch die überwiegende Fundarmut in den Gruben erklären. Nur selten werden Knochenreste, Keramikscherben oder ähnliches in ihnen gefunden (u. a.: Honeck 2009, 11; Schmidt 2014, 145; Heidelk-Schacht 1989, 255). Im Vergleich dazu gibt es auch Befunde mit sehr flachen wannenförmigen Profilen, deren Steine nicht lange die Hitze halten würden, sodass es schwierig wäre darin zu kochen (Bsp. Wittenborn). Entsprechend wird für diese Grubenform ein religiös-kultischer Kontext angenommen (Lensen 2009, 76f.). Jedoch kann auch angenommen werden, dass es sich bei dieser flachen Grubenform um die Zubereitung anderer Speisen handelt, die weniger Hitzezufuhr benötigen.

8.3.5.4.2. Grubenanordnungen

Grundsätzlich wird zwischen geregelten und regellosen Grubenvorkommen unterschieden. Diese Differenzierung konnte sich – zumindest für den Raum Mecklenburg-Vorpommern und Hamburg – auch chronologisch sicher unterscheiden lassen (siehe oben). Für die geregelten Anordnungen können Vorkommen in einfachen und mehreren Reihen sowie in Kreisen – wie in Mang de Bargen oder auch Hüsby – genannt werden. Datierungen in Naschendorf zeigten, dass eine Reihe in verschiedenen Zeithorizonten genutzt wurde, indem die jüngsten Kochsteingruben den nördlichen und südlichen Abschluss einer Reihe bildeten. Im Durchschnitt ist für eine Reihe eine 200-jährige zeitliche Tiefe anzunehmen (Schmidt und Forler 2004, 37). Die Gruben nehmen damit über lange Zeiträume aufeinander Bezug. Ein solch zeitlicher Bezug unter den Gruben ist beispielsweise für den Fundplatz von

³³⁶ Jedoch fehlen dazu sämtliche Hinweise, da es keine entsprechenden Funde aus Kochsteingruben gibt. Auch Honeck schließt eine Deutung als Werkplatz oder Handwerksgrube aus (Honeck 2009, 22).

Seddin nachgewiesen (May 2018, 26ff, 30f.). Ungeregelte Grubenfundplätze können zusammengehörige Gruppierungen, aber auch zusammenhanglose Anhäufungen aufweisen. Obwohl sie zusammengenommen unregelmäßig zu sein scheinen, können manchmal Kochsteingruben-Paare oder kleine Gruppen auffindig gemacht werden. Des Weiteren fällt auf, dass die Gruben einander ‚respektieren‘, also keine Überlagerungen auftreten. Hinweise zu oberflächlichen Markierungen gibt es keine (Kruse und Matthes 2019, 211). Ihre zeitliche Tiefe scheint anhand existierender ¹⁴C-Datierungen wesentlich variabler und teilweise bis zu 1000 Jahre alt (Vgl. Egelund III, Dänemark) (Kruse und Matthes 2017, 25ff.). Da es jedoch nur bedingt viele absolute Datierungen zu unregelmäßigen Kochsteingrubenfeldern gibt, ist es nicht möglich eine uneingeschränkte Aussage dazu zu machen. Des Weiteren gibt es Einzelbefunde von Kochsteingruben.

8.3.5.4.3. Lage und räumlicher Bezug

Häufig werden Kochsteingruben in exponierter Lage, in unmittelbarer Nähe zu natürlichen Wasserquellen, isoliert und abseits von zeitgleichen Siedlungen beschrieben (u. a. Heidelk-Schacht 1989, 229; Schmidt und Forler 2004, 28; Honeck 2009, 16f.; Schmidt 2014, 145). Schmidt/Forler sowie Kristensen stellten fest, dass einzelne Reihen von Kochsteingruben häufiger in exponierter Lage vorkamen. Der Wasserbezug sei dabei nicht immer vorhanden. Für mehrreihige Kochsteingrubenplätze sei die Lage in Wassernähe hingegen wesentlich ausgeprägter, während die Höhenlage unwichtiger scheine. Ungeregelte Kochsteingrubenfundplätze können andererseits auch in Niederungen vorkommen. In Mang de Barga trifft die eher exponierte Lage der mehr oder weniger in Reihe vorkommender Kochsteingruben (Feld 3) zu, während die Kochsteingruben in Kreisordnung (Feld 6) im Gegensatz dazu in einer Niederung vorkommen. Auch in Watenstedt kommen die geregelten Kochsteingruben in einer Niederung vor (Heske 2013). Neben der Topographie ist auch die Einbettung in das landschaftliche Gefüge mit umliegenden Befunden wichtig. Kruse und Matthes unterteilen anhand dänischer Befunde in Sonderjylland folgende Kategorien: 1. *Kochsteingruben aus einem Siedlungskontext*, 1.1 *Kochsteingruben in Häusern*, 1.2 *Kochsteingruben auf der Hofstätte*, 2. *Kochsteingruben außerhalb des Siedlungskontextes*, 2.1 *Reihenfelder*, 2.1.1 *Einreihige Kochsteingrubenfelder*, 2.1.2 *Mehrreihige Kochsteingrubenfelder*, 2.2 *Grüppchen von Kochsteingruben*, 2.3 *Versammlungsplätze* (Kruse und Matthes 2017, 27; Kruse und Matthes 2019, 209). Siedlungskontexte scheinen dabei eher auf einen direkten Nutzen von Kochsteingruben, wie der Zubereitung von Nahrung eines Haushaltes hinzuweisen – vor allem wenn es sich um Einzelbefunde handelt. Das Vorkommen von Kochsteingruben in Häusern muss allerdings nicht automatisch bedeuten, dass sie zum Hausinventar gehörten. Außerdem müssen Kochsteingruben in Siedlungskontexten nicht bedeuten, dass sie der täglichen Nahrungszubereitung dienten, da sie dafür wiederum zu selten in Siedlungskontexten auftreten (Kruse und Matthes 2019, 225). Kochsteingruben in mehreren Reihen kommen in Sonderjylland überwiegend außerhalb von Siedlungsplätzen ‚auf markantem Gelände, an Auen, Seen und Mooren oder an der offenen See‘ vor (Meier 2013, 328) und bestätigen damit den ausgeprägten Wasserbezug, den auch Schmidt/Forler und Kristensen festgestellt haben (siehe oben). Ungeregelte Kochsteingrubenplätze lassen sich in Grüppchen und Versammlungsplätze unterteilen. Letzterer konnte zum Beispiel am Fundplatz von Rise Søndervang festgestellt werden. Hier war ein Kochsteingrubenfeld von sechs zeitgleichen Siedlungen umgeben, deren Bewohner potentielle ‚Nutzer‘ darstellen könnten (Kruse und Matthes 2017, 30). Der Platz zeichnete sich durch eine große Anzahl an Kochsteingruben mit langer Nutzungsdauer aus. Grüppchen-Anordnungen außerhalb von Siedlungen hatten meistens ohne andere Befunde und vermutlich mit kurzer Nutzungsdauer Bestand (Kruse und Matthes, 2017, 27). Es handelt sich dabei um keine Versammlungsplätze, sondern um Orte, die wahrscheinlich

dem Abhalten singulärer Events dienten. In Ergänzung dazu wäre die Lage von Kochsteingruben in der Nähe von Gräbern zu nennen, wie sie vom Fundplatz von Mang de Barga bekannt sind.

8.3.5.5. Deutung

Die Anlage von einer oder mehreren Gruben zeigt zunächst ein gemeinschaftliches Interesse.

Die Kombination von Form und Aufbau einer Grube, ihrer Anordnung und Lage sowie Einbindung in das prähistorische Landschaftsgefüge lassen vereinzelt Trends erkennen. Im Folgenden werden diese Trends im Rahmen einer Korrelation von den genannten Elementen dargestellt. Zukünftige Untersuchungen sind nötig, um die Lücken zu füllen und bisherige Vorschläge zu bestätigen. Mit Tabelle 8 kann nicht zwischen kultischen/zeremoniellen und profanen Funktionen von Kochsteingruben hinsichtlich ihrer Lage unterschieden werden. Auch wenn Kochsteingruben, die in Gräberfeldnähe liegen, ein eher ritueller Charakter und jenen in Siedlungskontexten eher ein profaner Sinn (wie Kochen) zugeschrieben wird, muss diese Unterteilung kritisch hinterfragt werden, da sie lediglich auf Erwartungen beruht, die wir üblicherweise an Befunde in solchen Kontexten stellen. Im Fall der Kochsteingruben kann es jedoch sehr gut sein, dass diese Trennung von profanen und kultischen Lebensbereichen gar nicht bestanden haben.³³⁷ Eine zu pragmatische Klassifizierung der Kochsteingruben nach ihren Zwecken bringt schließlich die Gefahr mit sich, die komplexe Struktur des bronzezeitlichen Lebens aufzuteilen, bisher eng verbundene Lebensbereiche zu unterteilen und damit ihre Interpretation an das moderne Denken anzupassen.

Zum einen dienten die Kochsteingruben wahrscheinlich einer bestimmten sinngebenden physischen Aktivität, wie der Essenzubereitung – vermutlich zu einem bestimmten Anlass, wie zum Beispiel das Feiern von Aussaat und Ernte, die Ahnenverehrung oder die Sonnenwende (Schmidt 2012, 38; Henriksen 1999, 119; 2005, 97; Heidelk-Schacht 1989, 229), der profan und rituell zugleich sein kann. Das Beispiel aus Sonderjylland zeigte, dass sich eventuell Bewohner mehrerer beieinander liegender Siedlungen in der Nähe trafen, um gemeinschaftlich Kochsteingruben anzulegen, um darin womöglich Nahrung zuzubereiten (Kruse und Matthes 2017, 27) oder sonstige Aktivitäten als Gruppe durchzuführen. Diese Aktivität als profan zu bezeichnen ist ungünstig, da selbst der Akt der Essenzubereitung auch eine zeremonielle Bedeutung gehabt haben kann. Es ist dabei davon auszugehen, dass Speisen für bis zu 10 Personen in einer Kochsteingrube zubereitet werden konnten (Kristensen 2008, 40). Pro Fundplatz muss dabei die zeitliche Tiefe der Kochsteingrubenfelder bedacht werden, sodass die Anzahl undatierter Kochsteingruben an einem Platz nicht die zehnfache Personenanzahl darstellen können. Da die Grubenreihen und Landgräben Mitteldeutschlands keine Kochsteine sowie keine Brandspuren aufweisen, kann für sie die Funktion der Hitze- und Dampfentwicklung zunächst ausgeschlossen werden. Sie weisen verschiedenste Formen und Tiefen auf: *Grubenreihen mit abgerundet rechteckigen über solche mit langschmal rechteckigen oder rundlichen Gruben bis hin zu durchgängigen Gräben* (Schunke 2017, 81, 82, Abb. 5a-d). In dem genannten Areal werden diese Gruben der Mittelsaalegruppe, oder auch ‚Salzkultur‘ zugewiesen. Anhand von nachgewiesenen mehrfachen Nachbesserungsarbeiten kann auch eine gewisse zeitliche Tiefe der Gruben und Gräben vorausgesetzt werden (Schunke 2017, 81). Ihr Bau an sich muss im Vergleich zu Zäunen relativ aufwendig gewesen sein und gemeinschaftlich erfolgt sein. Wenn man jedoch ein Nachziehen und Neuordnen der Gruben und Gräben bedenkt, könnten sie auf lange

³³⁷ Thrane nimmt z. B. an, dass runde Kochsteingruben aus Siedlungskontexten eine profane Funktion hatten (Thrane 1974).

Grubenform	Anordnung	Lage	Zeitliche Tiefe
Rundlich eingetieft	Vereinzelt	Im Siedlungskontext gefunden	Einmalig, ggf. wiederverwendet
Rundlich eingetieft	?	?	?
Flach, wannenförmig	?	?	?
?	Kreisförmig	Niederung	?
?	Mehrreihig	Wassernähe	Eher kurzzeitig (?)
?	Einreihig	Exponiert; häufiger Bezug zu Gräbern	Ca. 200 Jahre Nutzungsdauer
?	Ungeregelt	Keine topographische Lagepräferenz	?
?	?	Von Siedlungen umgeben	Lange Nutzungsdauer (ca. 1000 Jahre)

Sicht eher ‚Ausdruck einer Verringerung des Arbeitsaufwandes‘ sein (Schunke 2017, 92). Teilweise ist zu beobachten, dass die Reihen rechtwinklig aneinanderstoßen. Dementsprechend werden sie überwiegend als Felder- oder Weidebegrenzungen angesprochen (Schunke 2017, 83). Da einige dieser Formationen sehr weitläufig sind, gibt es auch die Idee, sie als territoriale Grenze zwischen Bevölkerungsgruppen oder Siedlungseinheiten anzusprechen (Schwarz 2003, 133; Schunke 2017, 90). Damit handelt es sich auch um Konstruktionen, die gemeinschaftlich errichtet (und gepflegt), jedoch nicht zum (nachweisbaren) Kochen verwendet wurden. Des Weiteren treten sie lediglich in Reihenformen auf. Es muss sich demnach um eine andere Funktion gehandelt haben, während sie jedoch eine ähnliche Bedeutung – wie z. B. eine gemeinsam ausgeführte Aktivität – für die Gesellschaft gehabt haben könnten. Auch die Tatsache, dass sich Kochsteingruben und Grubenreihen nicht überschneiden, deutet auf eine kulturelle Grenze hin, die auch unterschiedliche Grubenbauweisen und -nutzungen räumlich trennt.

Tabelle 8: Korrelation von Grubenformen, Anordnungen, Lage und zeitlicher Tiefe von Kochsteingruben.

8.3.5.6. Diskussion

Kochsteingruben in Norddeutschland und dem südlichen Skandinavien stellen eine Befundart dar, die so variabel in Erscheinung tritt, dass sie die Forschung stets verwirrt. Im Zuge der letzten Jahrzehnte kristallisierten sich jedoch Trends zu Grubenformen, deren Anordnungen, Lage und Datierungsschwerpunkten heraus (siehe oben). Der gemeinschaftliche Aspekt (gemeinsames Anlegen der Grube, Tätigkeiten an der Grube wie Kochen oder Garen) stand dabei wahrscheinlich stets im Vordergrund. Die Nutzungsweise (über einen langen oder kurzen Zeitraum; einmalige oder mehrfache Nutzung einer Grube) kann nur selten festgestellt werden und liefert uns Hinweise dazu, ob wir es zum Beispiel mit einem Versammlungsplatz zu tun haben. Bisher wurden noch zu wenige Kochsteingrubenareale absolut datiert und auch die unterschiedliche Qualität des Dokumentationsniveaus spielt eine tragende Rolle bei der (v. a. regionalen) Vergleichbarkeit. Am Fundplatz von Mang de Barga konnten Kochsteingruben in unterschiedlichen Anordnungen und Kontexten erfasst werden, sodass unterschiedliche Ereignisse und Zeithorizonte vermutet werden können. Schmidt und Forler unterschieden eine ältere Reihenanordnung (950-750 v. Chr.) und eine jüngere ungeordnete Anordnung (750-500 v. Chr.) von Kochsteingruben. Dieses Muster lässt sich für Schleswig-Holstein und Sonderjylland nicht bestätigen, da regellose Anordnungen hier bereits wesentlich früher auftreten. Die zwei datierten Kochsteingruben der Kreisordnung in Mang de Barga datieren außerdem noch älter (1400/1300 v. Chr.), sodass jener als bisher älteste Form gelten könnte. Kreisordnungen entstehen somit um den Zeitraum, in dem die Einflüsse des Urnenfelder-Phänomens (ab Periode III) sichtbar werden wie die der neuen Form der Brandbestattungssitte sowie neuen Symbolen. Letztere zeigen häufig Kreisformen wie Sonne und Rad, die bereits ab Periode II in Umlauf kommen

(Kaul 2004, 54ff.). Dabei werden Objekte mit konzentrischen Symbolen hergestellt, die mit kosmologischen Ideologien verknüpft werden können. Hatten die Kochsteingruben in Kreisanordnungen also eine ähnliche Bedeutung? Um Periode IV/V folgt der Höhepunkt von Reihenordnungen, der mit einem Anstieg von Austausch und Hortfunden verbunden ist. Für Schleswig-Holstein haben wir zum Beispiel einen erhöhten Austausch u.a. von Gold (Kneisel *et al.* 2019, 1607-1621). Schließlich treten unregelmäßige Kochsteingrubenareale ab 750 v. Chr. vermehrt auf und datieren somit in Periode V/VI. Periode VI geht fließend in die ältere vorrömische Eisenzeit über. Überregionale Einflüsse sind in dieser Zeitphase also sehr stark vertreten. Vielleicht ist es aber auch der falsche Ansatz, die Anordnung von Kochsteingruben mit zeitgleichen Ereignissen in Verbindung zu bringen. Beim Übergang von Kochsteingruben in einer bestimmten Anordnung zu jenen unregelmäßigen, kann auch lediglich eine neue Umgangsweise darstellen, auf bereits angelegte Gruben Bezug zu nehmen bzw. dies nicht zu tun. Während es also einst wichtig war, die aktuelle Grube neben einer bestimmten anderen anzulegen, kann dieser Aspekt in folgenden Generationen weniger wichtig gewesen sein.

8.4. Fundmaterial

Im Folgenden werden sämtliche neolithischen, bronzzeitlichen und teilweise eisenzeitliche Funde des Fundplatzes dargestellt und hinsichtlich ihrer zeitlichen Einordnung gegliedert. Metallfunde der vorrömischen Eisenzeit, die vom Brandgräberfeld LA 115 stammen, werden umfassend bearbeitet, während die Keramikfunde lediglich bis zur Stufe I b nach Hingst (Hingst 1959, 1974, 1976, 1980, 1983, 1986, 1989) behandelt werden. Die zeitliche Einordnung der Keramikfunde bis zur Stufe I b basiert auf den Metallfunden der Gräber, da die Gliederung der Keramik nach Hingst nicht sicher genug in der Anwendung ist. Jüngere Keramikfunde ab Stufe I c werden in dieser Arbeit nicht behandelt, jedoch wurden sie während der Fundaufnahme mit aufgenommen und entsprechend katalogisiert und gezeichnet (siehe Anhang). Zunächst werden die Fundkategorien Stein, Flint, Bernstein, Knochen, Metallfunde (Kupfer, Bronze, Eisen) und schließlich Keramik behandelt. Bei den chronologischen Einordnungen der Funde werden zunächst die relativ-chronologischen Datierungen genannt. Darauf folgt die absolut-chronologische Zuordnung auf Basis der ¹⁴C-datierten Leichenbrände, um dem Leser *ggf.* zeitliche Unterschiede bisheriger (relativchronologischer) Ansätze und neuer absoluter Datierungen aufzuzeigen. Das absolute Ergebnis wird dabei als relevant betrachtet. Dabei wird immer auf den 2-Sigma-Bereich Bezug genommen, um eine höhere Wahrscheinlichkeit zu gewährleisten. Der 1-Sigma-Bereich kann zusätzlich der Tabelle zu den Datierungsergebnissen (Anhang IV) entnommen werden.

8.4.1. Materialanalyse

8.4.1.1. Steinartefakte

Die Anzahl von 20 Steinartefakten lässt sich in sechs Klopffesteine³³⁸, drei Schleifsteine³³⁹ (u. a. Taf. 218.5), ein Mahlsteinfragment³⁴⁰ und acht Steine mit Bearbeitungsspuren (z. B. Bohrungen)³⁴¹ aufteilen. Das Mahlsteinfragment und zwei bearbeitete Steine stammen dabei aus Urnen und dienten der Konstruktion des Urnenschutzes.

338 LA 57: SED2005, F2017, F2018, SED1033, SED1034, SED3036.

339 Aktivität 96, F1004, SED3033; LA 60, SH2008-431.11.

340 LA 57, F4061.

341 LA 57, F3030-1; LA 57, F4073; LA 57, F3033; Aktivität 98, F2004; LA 58, SH2008-429.7(9).

Ihre Funktion als Werkzeug stand dabei wahrscheinlich nicht mehr im Vordergrund. Drei der Klopffsteine sowie ein bearbeiteter Stein und das Bruchstück eines bearbeiteten Steins kommen aus dem Leichenbrandschüttungsgrab des Grabhügels LA 57.³⁴² Es kann nicht ausgeschlossen werden, dass es sich dabei um Grabbeigaben handelt, da eine Grabausstattung mit Klopffsteinen als Beigabe zum Beispiel auch von einem Grab in Bruszczewo bekannt ist (Müller und Kneisel 2011, 109). Dementsprechend würden sie nach der Leichenbranddatierung aus dem Grab zwischen 1438 und 1293 v. Chr. und damit von der Mitte der Periode II bis zum Beginn der Periode III datieren.³⁴³ Ein weiterer Klopffstein, einer der Schleifsteine und zwei bearbeitete Steine kommen aus Gruben.³⁴⁴ Alle anderen Steinartefakte stellen Streufunde dar und stammen wahrscheinlich aus Zeitphasen vor der Errichtung der jeweiligen Grabhügel.

8.4.1.2. Flintartefakte

Die Flintfunde setzen sich aus 119 Stücken gebrannten Flints und 404 Flintartefakten zusammen. Die Flintartefakte lassen sich wiederum unterteilen in Abschläge (271 Stück), Absplisse (59 Stück), Klingen und Klingenfragmente (40 Stück), Kerne (9 Stück), Trümmer (8 Stück), Kratzer (5 Stück), Dolche bzw. Dolchfragmente (3 Stück), Schaber (2 Stück), Stichel (2 Stück), Feuerschlagstein (1 Stück), Lanzettspitze (1 Stück), Rundschaber (1 Stück). Dabei überwiegen Abschläge, Absplisse sowie Klingen und Klingenfragmente deutlich. In der Korrespondenzanalyse in Abbildung 48 wird der Befundkontext pro Flintartefaktkategorie visualisiert. Dabei zeigt sich, dass Branderdestellen, Öfen und Feuerstellen insgesamt seltener Flintfunde enthalten, der vorwiegend gebrannt ist. Die meisten Flintartefakte stammen aus Gräbern.³⁴⁵

Hierbei muss angemerkt werden, dass die meisten der Flintfunde aus dem Grab 1001/2001 des Grabhügels LA 57 stammen, das anhand der Leichenbranddatierung zwischen 1438 und 1293 v. Chr., d. h. von der Mitte der Periode II bis zum Beginn der Periode III datiert³⁴⁶ (insgesamt 227 Funde, davon 140 Abschläge, 11 Absplisse, 10 gebrannte Stücke, 8 Klingen/Klingenfragmente und 1 Kratzer). Diese Fundanhäufung ist wahrscheinlich darauf zurückzuführen, dass es sich bei der Ausgrabung des LA 57 um eine Lehrgrabung und nicht um eine Rettungsgrabung (wie bei den anderen Grabhügeln) handelte. Entsprechend wurden bei der Dokumentation wesentlich mehr Flintartefakte berücksichtigt. Aus den Hügelerschüttungen und Gräbern können Flintartefakte oder gebrannte Flintstücke nur bedingt als intentionelle Einbringung in das jeweilige Grab angesprochen werden. Möglich ist, dass diese Objekte im Zuge des Grabbauens aus den umliegenden Bereichen in die Konstruktion gelangten. Jedoch kann die Beigabe von einfachen Flintartefakten wie Abschlägen nicht ausgeschlossen werden. Absplisse stellen Nebenprodukte dar, die während der Flintbearbeitung entstehen (Goldhammer 2015, 62). Dementsprechend können sie nicht als sichere Beigabe gedeutet werden. Die zeitliche Einordnung von den aus Gräbern stammenden Abschlägen, Absplissen, Klingen und dem Kratzer ist anhand ihrer Form nicht möglich (lediglich die Klingen könnten aufgrund ihrer unregelmäßigen Verarbeitung und kurzen Form eher spätneolithisch/bronzezeitlich datieren [Goldhammer 2015, 62f.]). Da ihr Vorkommen in datierbaren Gräbern auch zufällig sein kann, ist ihre Datierung anhand von Beifunden und Befunddatierungen schwierig zu bewerten. Zwei Dolche und ein Feuerschlagstein hingegen

342 Befund 1001/2001.

343 LA 57, Befund 1001/2001: KIA-53284:3109±25uncalBP(1438-1293calBC).

344 Befund 3076: SED3036, SED3033; Befund 3020: SED3005, SED3036.

345 189 Abschläge, 53 Absplisse, 17 gebrannte Flintstücke, 13 Klingen/Klingenfragmente, 2 Dolche, 1 Trümmer, 1 Kratzer, 1 Feuerschlagstein.

346 LA 57, Befund 1001/2001: KIA-53284:3109±25uncalBP(1438-1293calBC).

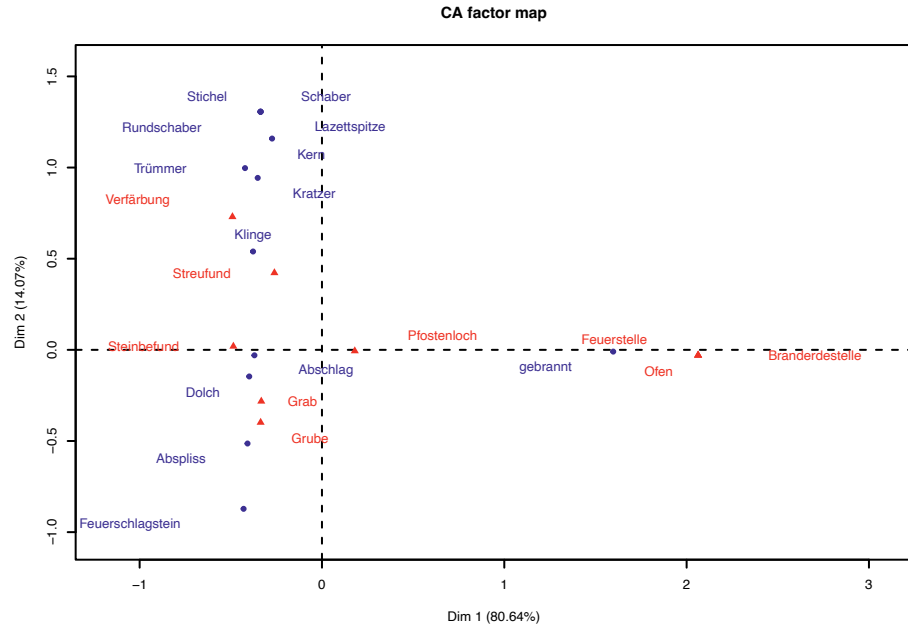


Abbildung 48: Korrelation von Flintfunden und deren Befundkontext vom Fundplatz von Mang de Barges [erstellt mit FactoMineR] p -value = $2.994268e-53$.

stellen eindeutige Grabbeigaben aus Flint dar. Der eine Dolch³⁴⁷ stammt aus dem Grabhügel LA 64 und wurde im Körpergrab 1 (Befund 3) gefunden. Er wurde aus grauem Flint gefertigt und hat eine Gesamtlänge von 18 cm. Zum einen fällt er durch seine Fischschwanzform am Griff und zum anderen durch die deutlich ausgearbeitete einseitige Mittelnaht auf, die eine Gussnaht imitieren soll, wie auch von anderen Funden bekannt ist (Vgl. z. B. Frieman 2012, 443). Das Dolchblatt ist vom Griff abgesetzt und dieser hat einen dreieckig-rhombischen Querschnitt. An der breitesten Stelle des Dolchblattes misst der Dolch 4,5 cm. Die Ränder des Griffes sind mit Zickzack-Mustern versehen und das Griffende schwingt leicht aus. Der Dolch befand sich innerhalb der Grabkonstruktion am südlichen Rand der Steinreihen und zeigte mit der Spitze nach Osten. Es handelt sich um einen **Fischschwanzdolch vom Typ IV a** (Taf. 238-239) nach Kühn (Kühn 1979, 44f., 126, Taf. 14, 1) und datiert in das Spätneolithikum II (Kühn 1979, 50). Aus stratigraphischen Gründen muss der vorliegende Dolch jedoch bereits dem Spätneolithikum I zugewiesen werden, da das Grab unterhalb eines anhand von Makroresten datierten jüngeren Grabes lag, das zwischen 2192 und 1961 v. Chr. und damit in das Spätneolithikum I datiert wurde.³⁴⁸ Nach Willroth 2003 kann dieser Dolchtyp auch durchaus in das Spätneolithikum I datieren (Willroth 2003, 99ff.). Der andere Dolch³⁴⁹ stammt aus dem Körpergrab mit der Befundnummer 1 vom Grabhügel LA 69 (Taf. 252-253). Der Dolch hat eine Gesamtlänge von 22,7 cm und war aus mittelgrau-geflecktem Flint hergestellt worden. Der Griff ist abgesetzt und verjüngt sich schwach zum Ende. Der Griffquerschnitt ist spitzoval. Das ausladende Blatt hat die größte Breite nahe des Griffes. Der Dolch wurde mit der Spitze nach Osten zeigend am südlichen Rand des Grabes freigelegt. Es handelt sich um einen **Dolch vom Typ VI a** nach Kühn (Kühn 1979, 45f., 113, Taf. 16, 5, Nr. 122) und datiert in die Periode I-II (Kühn 1979, 51). Der **Feuerschlagstein**³⁵⁰, der ebenfalls als Beigabe charakterisiert werden kann, wurde in der Zentralbestattung (Befund 1) des Grabhügels LA 17 gefunden (Taf. 10.3). Er ist 5,9 cm lang und bis zu 1,7 cm breit. Im Grab befand er sich westlich der mittleren Steinreihe der Grabkonstruktion zwischen dem sechsten und siebten Planum. Der

347 SH 2014-351.8.

348 LA 64, Befund 2: KIA-54422:3679±29uncalBP(2192-1961calBC).

349 SH 2014.472.1.

350 SH 2008-426.28 (20).

Stratigrafie nach zu urteilen, datiert der Feuerschlagstein älter als die nachträgliche Einbringung der Schädelkalotte, die wiederum zwischen 2141 und 1951 v. Chr. und somit noch in das Spätneolithikum I³⁵¹ datiert.³⁵² In diesem Befund müsste der Feuerschlagstein in das Spätneolithikum I oder älter datieren. Die Beigabe von Feuerschlagsteinen ist in Schleswig-Holstein recht häufig vertreten und bis zur Periode III belegt (Lomborg 1959, 160). Goldhammer spricht die Beigabe von Feuerschlagsteinen anhand ihrer Analysen ‚sozial höherrangigen Personen‘ (Goldhammer 2015, 153) zu und stellt ihn dabei auf eine Bedeutungsebene mit Dolchen. Des Weiteren stammen 50 gebrannte Flintstücke aus einer Feuerstelle³⁵³, 13 ebensolche Stücke aus zwei Branderdestellen-Kontexten³⁵⁴ und 16 jener Funde aus einer Ofenanlage.³⁵⁵ Die zweitgrößte Kategorie sind Streufunde aus den Hügeln und den Hügelarealen. Die 137 Fundstellen dieser Art umfassen 131 Abschlüsse, 24 Klingen/Klingenfragmente, 18 gebrannte Flintstücke, 13 Absplisse, acht Kerne, fünf Trümmer, fünf Kratzer, zwei Schaber, zwei Stichel, einen Rundscher, eine Lanzettspitze und ein Dolchfragment. Bei den meisten dieser Funde ist davon auszugehen, dass es sich um Artefakte handelt, die sich vor dem Grabhügelbau in Mang de Barga auf der Arealoberfläche im Rahmen neolithischer Aktivitäten abgelagert haben und im Zuge der Hügelauflage in die Hügel gelangt sind. Eine Zuordnung der Funde zum jeweiligen Grabhügel ist entsprechend nicht möglich. Das unter den Funden befindliche Dolchgriffsegment (Taf. 100.1)³⁵⁶ wurde während des Abtrags im Pflughorizont des Nordost-Quadranten des Grabhügels LA 23 gefunden. Der Griff ist mittig schmal mit einer Breite von 2,25 cm. Zum abgebrochenen Dolchblatt hin ist er auf vier cm verbreitert und war dazu wahrscheinlich leicht abgesetzt. Die Gesamtlänge des Dolchsegmentes beträgt acht cm bei einem leicht unregelmäßigem länglich-ovalem Querschnitt. Die Möglichkeit einer Einordnung dieses Segments ist nicht gegeben, da die entscheidende Form und Länge des Blattes nicht mehr vorhanden sind. Es handelt sich vermutlich um einen ausgepflügten Grabfund. Die Lanzettspitze³⁵⁷, die während der Ausgrabungen des Grabhügels LA 57 auf dem Planum der Südwest-Teilfläche auflag, ist den Stücken vom Ahrensburger Typus recht ähnlich, jedoch sei das vorliegende Objekt zu sorgfältig hergestellt, sodass es sich womöglich nicht um einen mesolithischen, sondern jüngeren Fund handelt (Taf. 149.2).³⁵⁸ Eine chronologische Einordnung ist aufgrund der Untermischung der Flintfunde in den Grabhügel nicht möglich. Alle anderen lithischen Streufunde können nicht genau zeitlich eingeordnet werden, da sie weder mit datierbaren Befunden noch in datierbaren Befunden vorkamen. Einige wenige Funde stammen aus 17 verschiedenen Befundkontexten, die keine archäologische Relevanz haben, wie zum Beispiel Baumwürfe oder moderne Gruben.³⁵⁹ Auch in sogenannten Steinbefunden (vier Steinpflaster, Steinkonzentrationen usw.), 33 Gruben, sechs Verfärbungen und 25 Pfostenlöchern sind nur wenige Artefakte gefunden worden.³⁶⁰

351 Vgl. Datierungstabelle dieser Dissertation im Anhang IV.

352 LA 17, Befund 1: KIA-37473:3670±30uncalBP(2141-1951calBC).

353 LA 115, Befund 383.

354 LA 18, Befund 38; LA 115, Befund 286;

355 LA 116, Befund 2.

356 SH 2014-241.1.

357 F4038.

358 Freundliche Mitteilung von Dr. Mara-Julia Weber und Dr. Sonja Grimm im September 2017.

359 12 Abschlüsse, 4 Klingen/Klingenfragmente, 3 gebranntes Stück Flint, 1 Abspliss.

360 **Steinbefunde:** 13 Abschlüsse, 1 Abspliss, 1 Trümmer; **Gruben:** 17 Abschlüsse, 1 Klinge, 4 Absplisse, 2 gebrannte Flintstücke; **Verfärbungen:** 4 Abschlüsse, 1 Klinge, 1 Trümmer; **Pfostenlöcher:** 12 Abschlüsse, 1 Kern, 5 Stücke gebrannter Flint.

8.4.1.3. Versteinerungen und Organische Reste

Aus dem Urnengrab von Befund 75 (LA 58) wurden zwei in Flint **versteinerte Seeigel**³⁶¹ gefunden, die Hitzeeinwirkung ausgesetzt waren, da der Flint weiß gebrannt ist. Die beiden Versteinerungen können dabei als Beigabe gedeutet werden, die wahrscheinlich bei der Totenverbrennung mit im Feuer gelegen haben. Eine Datierung des Seeigels als Beigabe (nicht die Datierung der Versteinerung) ist anhand des Beifundes einer Vasenkopfnadel möglich, die in die Periode V datiert (siehe unten).³⁶² Die Leichenbranddatierung zu dem Befund deutet hingegen bereits in einen Zeitraum von 1049 bis 906 v. Chr., d. h. in die Periode IV bis zum Beginn des Übergangs der Periode IV zu V.³⁶³ Organische Artefakte waren nicht erhalten. Trotzdem sollen zwei (Be)Fundbeobachtungen hier eine kurze Erläuterung finden. Das Körpergrab³⁶⁴ des Grabhügels LA 18 wies innerhalb der Baumsargstruktur eine Verfärbung von 0,45 m im Durchmesser auf, die wiederum verfüllt war und eine Knopfsichel barg (Taf. 23). Womöglich handelt es sich bei der Verfärbung um ein ehemaliges organisches Behältnis. Die Knopfsichel datiert den Befund in die Periode II.³⁶⁵ Im Leichenbrandschüttungsgrab 88b (LA 18) wurden während der Ausgrabung am Westrand des Grabes Holzreste gefunden, die von einem Holzgefäß stammen könnten. Die Reste lagen zusammen mit einem Bronzeknopf³⁶⁶ (Periode IV, siehe unten) und einem Messerklingenfragment³⁶⁷. Das Grab datiert anhand der Leichenbranddatierung zwischen 1110 und 931 v. Chr. und damit vom Ende der Periode III bis zum Ende der Periode IV.³⁶⁸

8.4.1.4. Bernsteinartefakte

Aus Bernstein liegen lediglich zwei Funde vor. Dabei handelt es sich zum einen um eine **mondsichelförmige Bernsteinperle** aus dem Körpergrab des Grabhügels LA 58.³⁶⁹ Sie ist ungefähr drei cm lang und bis zu 0,8 cm breit gearbeitet (Taf. 162.2). Dabei weist sie eine Durchlochung auf der Längsseite auf und war anscheinend in zwei Teile zerbrochen. Die Mondsichelperle kam im Zuge des sechsten Planums vor der nördlichen Längswand des Steinrahmens des West-Ost-ausgerichteten Grabes zusammen mit Bronzefragmenten zum Vorschein und befand sich – wie anhand von Zahnresten erkennbar war – im Oberkörperbereich des Grabes. Vergleichbare bronzezeitliche Perlenfunde aus Schleswig-Holstein datieren anhand von Beifunden vorwiegend in die Periode I und kommen zum Großteil in Grabhügeln vor.³⁷⁰ Ein weiterer Fund stammt hingegen aus einem Moordepotfund in Dithmarschen.³⁷¹ In Dänemark sind vergleichbare Perlenformen ebenfalls aus Gräbern und Horten bekannt (Jensen 2000, 40ff.). Diese Perlenform erinnert an die älteren³⁷², sogenannten bogenförmigen Anhänger, die aus glockenbecherzeitlichen Gräbern im mediterranen Raum bekannt sind und statt aus Bernstein aus Seeschnecken (*Semicassis undulata*) hergestellt wurden (Puchol 2013, 269). Die Perle kann nach Kersten der Form 6 zugeordnet und wahrscheinlich in die Periode I datiert werden (Kersten 1936, 42f.). Der Beifund eines Bechers deutet in einen älterbronzezeitlichen

361 SH 2008-429.133 (195).

362 SH 2008-429.40 (194).

363 LA 58, Befund 75: KIA-54072:2819±23uncalBP(1046-906calBC).

364 Befund 77.

365 Vgl. SH 2008-427.221 (52).

366 SH 2008-427.67 (143).

367 SH 2008-427.66 (142).

368 LA 18, Befund 88b: KIA-54063:2854±23uncalBP(1110-931calBC).

369 SH 2008-429.161 (125), Befund 58.

370 Vgl. Datenbank in dieser Arbeit: Aner/Kersten-Nr. 2520, 2742, 9393, 9855.

371 Vgl. Datenbank in dieser Arbeit: Aner-Kersten-Nr. 9275.

372 La Vital (Gandía, Valencia), Grab 11.1: Beta-222443: 2389-2202 cal BC (Puchol 2013, 269).

Horizont, was ebenfalls für eine frühbronzezeitliche bis älterbronzezeitliche Datierung spricht. Zum anderen wurde eine **bohnenförmige Bernsteinperle**³⁷³ als Beigabe aus dem Urnengrab Befund 245 des Brandgräberfeldes LA 115 geborgen (Taf. 326.3). Das Fragment, das wahrscheinlich nur noch ein Drittel der eigentlichen Perle darstellt, hatte eine Länge von 1,5 cm und eine Breite zwischen 0,6 und 0,9 cm. Die Durchlochung ist noch gut erkennbar und weist einen Durchmesser von 0,15 cm auf. Die Form der Perle ist nicht sehr spezifisch, sodass eine zeitliche Einordnung nicht möglich ist. Der Beifund einer Holsteiner Nadel³⁷⁴ desselben Befundes datiert derweil in die Stufe II a nach Hingst (siehe unten) und gibt damit den entsprechenden Datierungshorizont der Perle vor.

8.4.1.5. Knochenfunde

8.4.1.5.1. Knochennadeln

Vom Fundplatz liegen vier Knochennadeln vor. Bei dem Artefakt aus dem Urnengrab des Befundes 30 (LA 18) handelt es sich um eine Nadel³⁷⁵, die in sieben Fragmente zerbrochen vorliegt (Taf. 28.2). Zwei der Fragmente weisen Gitter- bzw. Winkelbandverzierungen aus schrägen Rillen auf. Ein anderes Fragment ist leicht gebogen, sodass davon ausgegangen werden kann, dass es im Zuge der Leichenverbrennung erhöhter Hitze ausgesetzt war. Nach Baudou 1960 ist die fragmentierte Nadel dem Typ XXV G 1 zuzuweisen und nach Schmidt wäre sie in die Variante 1 einzuordnen (Schmidt 1993, 70f.). Demnach kann sie in die Periode IV datiert werden. Der Beifund eines Bronzefriems datiert den Befund ebenfalls in die Periode IV mit einer Tendenz zum Übergang IV/V.³⁷⁶ Die Datierung des Leichenbrandes aus der Urne ordnet den Befund zwischen 1200 und 1002 v. Chr. und damit von der Mitte der Periode III bis zur Mitte der Periode IV ein.³⁷⁷ Diese Knochennadel-Variante datiert demnach also etwas früher als bisher angenommen. Die anderen drei Nadeln³⁷⁸ sind aus einer Urne des Brandgräberfeldes LA 115 bekannt. Alle drei sind in gleicher Weise hergestellt worden und haben nagelförmige Köpfe. Die Schäfte sind alle leicht gebogen, sodass davon vermutet werden könnte, dass sie kurzzeitig starker Hitze ausgesetzt waren. Da es ab der Mittelbronzezeit jedoch auch bogenförmige Nadeln gibt, kann eine gewollte gebogene Formgebung nicht ausgeschlossen werden.³⁷⁹ Die drei Nadeln liegen in 16 Fragmenten vor. Die Aufteilung der Gesamtlänge aller Fragmente ergibt eine durchschnittliche Länge von etwa 9,7 cm pro Nadel. Die Langlebigkeit von Nadeln mit nagelförmigen Köpfen bedingt eine Datierung von der mittleren Bronzezeit bis zur Römischen Kaiserzeit nach Laux für den Niedersächsischen Raum (Laux 1976, 62) und Keiling für den Nordostdeutschen Raum (Keiling 1979, 19). Hingst führt jene Nadelform als Nadel mit kleinem Scheibenkopf an, *deren Kopfscheibe rechtwinklig gegen den Schaft gestellt ist* (Hingst 1974, 24). Die von ihm sogenannten ‚Scheibenkopfnadeln‘ – nicht zu verwechseln mit den jüngerbronzezeitlichen Scheibenkopfnadeln nach Baudou (siehe unten) – werden von Hingst in die Stufe I b 2 bis II a datiert (Hingst 1980, 46). Der Beifund eines Gürtelrings mit Zwinge datiert den Befund und die Nadeln genauer in die Stufe I c / d nach Hingst (Hingst 1983, 49).

373 SH 2014-111.75.

374 SH 2014-111.3.

375 SH 2008-427.31 (217).

376 Vgl. SH 2008-427.70 (216).

377 LA 18, Befund 30: KIA-54108:2893±24uncalBP(1200-1002calBC).

378 SH 2014-111.keine Nummer (LA 115, Befund 8).

379 Z. B. Ösennadeln (Gedl 1983, 74-84).

8.4.1.6. Metallfunde

8.4.1.6.1. Schwerter

Aus dem Pflughorizont des Grabhügels LA 63 wurde bei der Begehung des Grabungsareals mit einem Detektor im SW/NW-Quadranten ein **Griffzungenschwert**³⁸⁰ (Taf. 222.2) aus Bronze geborgen. Es war bei der Auffindung bereits in fünf Teile zerbrochen. Der feste Schwertgriff hat abgesetzte Ränder und keinerlei Nietlöcher auf der ausgebauchten Griffzunge. Der Griff geht in einen halbkreisförmigen Heftabschluss über. Das Heft ist ungefähr 4 cm breit und auf einer Seite nicht mehr erhalten, während es auf der anderen Seite unterhalb des ersten Nietloches abgebrochen ist. Die Anzahl der Nietlöcher ist entsprechend unklar. Die Klinge hat eine seitlich abgesetzte, gerundete Mittelrippe und einen rhombischen Querschnitt. Die maximale Gesamtlänge des Schwertes beträgt ungefähr 63,2 cm bei einer Klingebreite zwischen 1,6 und 2,8 cm. Die Schneidebahn ist an den Rändern korrodiert und zum Teil abgebrochen. Der Griff ist – wahrscheinlich lagerungsbedingt – leicht zu einer Seite verbogen. Das Schwert kann dem Typ I a nach Sprockhoff (Sprockhoff 1954, 27ff.) zugeordnet werden und gehört damit zu den ‚alten Griffzungenschwertern‘ mit ausgebauchter Zunge. Dieser Schwerttyp kann demnach in die Periode II datiert werden (Schauer 1994, S. 532.; Schubart 1972, 54; Cowen 1955, 58).

8.4.1.6.2. Schwertknäufe

Ein bronzener **Schwertknauf**³⁸¹ (Taf. 223) wurde ebenfalls im Zuge der Begehung des Grabungsschnitt-Areals des Grabhügels LA 63 mittels eines Detektors gefunden. Es befand sich im Bereich des Pflughorizonts des NW/SW-Quadranten. Die rundovale Knaufplatte weist eine reiche Verzierung auf. Am Griffende ist eine Ringaugenverzierung sowie eine Perlschnurreihen- und Wellenverzierung am Grifftrand sowie eine weitere Perlschnurreihe an der Außenseite der Platte angebracht. Der Aufsetzer ist in drei Reihen mit jeweils vier querverlaufenden Rillen verziert, die die vier Niete trennen, die den Knauf einst am Rahmengriff befestigten. Die beiden unteren Niete sind noch vorhanden. Es ist davon auszugehen, dass der Knauf mit einem Tonkern ausgekleidet war. Auf einer Seite ist der Knauf vollständig korrodiert (wahrscheinlich lag der Knauf mit dieser Seite nach oben), sodass die Verzierungen nur bedingt erkennbar sind, während die andere Seite erhalten ist. Auch am Kopfende ist nur eine Seite von Korrosion betroffen. Der Knauf hat eine Länge von circa 6,15 cm. Auf der Außenseite der Knaufplatte befindet sich ein Abschlussknopf mit einem Loch, das darauf hindeuten könnte, dass der Griff einst auf einem Griffangelschwert gesteckt haben könnte, sofern der oberste (nicht mehr vorhandene) Niet nicht durchgehend gewesen ist. Da die unteren drei Niete wahrscheinlich nicht durchgehend waren, könnte auch von einem ähnlichen obersten Niet ausgegangen werden. Falls nicht, könnte es sich ebenso um den Knauf eines Rahmengriff-, Griffplatten- oder auch Griffzungenschwertes gehandelt haben, sofern das entsprechende Schwert einen organischen Griff hatte. Der Schwertknauf kann somit auch zu dem ebenfalls mittels Detektors geborgenen Griffzungenschwert gehört haben. Der gleiche zeitliche Horizont würde dies bestätigen. Ein Griffangelschwert wird jedoch verstärkt angenommen, da das Loch an der Knaufplatte eine Funktion gehabt haben müsste. Abgesehen von der möglichen Zuordnung zum Schwert, kann der Schwertgriff in die Periode II datiert werden.³⁸² Unter anderem aus Klein Niendorf (Kr. Segeberg, KS-Nr. 9799, Grab A), aus Ruthenberg (Stadt Neumünster, KS-Nr. 9764, Grab C) oder

380 SH 2014-346; 1-2+4-6.

381 SH 2014-346.3+7.

382 Freundliche Mitteilungen zu dem vorliegenden Schwertknauf von Dr. Jan-Heinrich Bunnefeld am 26.08.2019.

auch aus Lütjenbrode (Kr. Ostholstein, KS-Nr. 10183, Grab A) sind vergleichbare Schwertknäufe bekannt, die eine ähnliche Form und Ornamentik aufweisen und zusammen mit Beifunden in die Periode II einzuordnen sind.³⁸³

8.4.1.6.3. Dolche

Ein Bronzedolch³⁸⁴ stammt aus dem Körpergrab³⁸⁵ des Grabhügels LA 60. Er liegt als Fragment zusammen mit zwei Bronzenieten vor (Taf. 213). Der Dolch ist triangulär und weist einen konkaven Verlauf der Schneide auf. Die Mittelrippe ist schmal und auf der einen Seite dünner sowie auf der anderen Seite etwas breiter ausgeprägt. Sie zieht sich leicht verjüngend bis zum Ansatz der Heftplatte. Diese ist herausgebrochen und nicht mehr vorhanden. Die beiden Nieten deuten jedoch darauf hin, dass der Dolch mit mindestens zwei Nieten befestigt gewesen war, die einen abgeflachten Nietkopf haben. Die Gesamtlänge des Dolches beträgt noch 14,7 cm bei einer Breite von maximal 3,5 cm. Aufgrund der herausgebrochenen Heftplatte ist eine Einordnung äußerst schwierig. Eine Datierung in die Periode I-II nach Struve (Struve 1979, 17, Taf. 6,12) kann nur vermutet werden. Eine Ähnlichkeit zu den Dolchklingen mit kräftiger, gerundeter Mittelrippe in Niedersachsen kann auch nicht ausgeschlossen werden, sodass auch eine Datierung in die zweite Hälfte der Älteren Bronzezeit angenommen werden kann (Laux, 2011, 93ff.). Aufgrund des Beifundes einer Trompetenkopfnadel³⁸⁶ (siehe unten) ist eine Datierung in die Periode II wahrscheinlich.

8.4.1.6.4. Sichel

Knopfsicheln

Aus dem primären Körpergrab³⁸⁷ des Grabhügels LA 18 wurde eine Knopfsichel³⁸⁸ aus Bronze geborgen (Taf. 23). Die Sichel hat einen leicht gekrümmten Rücken und zwei flache Rippen auf der Klingenseite. Die Schneide ist dadurch abgesetzt. Der Knopf wurde hoch angesetzt und befindet sich am Ende der inneren und neben der äußeren Rippe in der Mitte der Basis. Die Unterseite ist flach und glatt. Die Sichel weist eine Gesamtlänge von maximal 16,5 cm bei einer Breite zwischen 1,5 und 3 cm auf. Sie war in einer organischen Substanz eingebettet, die im Block geborgen, jedoch nicht erhalten wurde. Womöglich handelte es sich um Reste des Leichnams, die durch Metallkorrosion konserviert waren. Die Sichel stellt den einzigen erhaltenen Fund des Grabes dar. Nach Sommerfeld kann die Knopfsichel dem Typus Ostfeld zugeordnet und genauer in die Periode II datiert werden (Sommerfeld 1994, 158ff., 176f.).

8.4.1.6.5. Messer

Aus der Ackerkrume des Grabhügels LA 63 wurde mit einem Metalldetektor ein einschneidiges Messerklingenfragment³⁸⁹ aus Bronze im SO-Quadranten geborgen. Es hat noch eine maximale Länge von 4,1 cm bei einer Breite von maximal 1,3 cm. Sofern anhand des Fragments beurteilbar, hat das Messer einen geraden Rücken. Da der Griff fehlt, ist eine Einordnung schwierig. Möglicherweise könnte es sich um ein Vollgriffmesser der Gruppe A nach Kersten gehandelt haben, das in die Perioden II-III einzuordnen wäre (Kersten 1936, 83f.). Ein eisernes Messer³⁹⁰ aus einem

383 Vgl. Daten in Datenbank (Anhang VIII).

384 SH 2008-431.27 (27 + 56).

385 Befund 95.

386 Vgl. SH2008-431.22 (22).

387 Befund 77.

388 SH 2008-427.221 (52).

389 SH 2014-346.8.

390 SH 2014-111.113.

Urnengrab³⁹¹ des Brandgräberfeldes LA 115 liegt nur noch als Fragment vor (Taf. 299.1). Es ist an beiden Längsseiten abgebrochen und der zungenartige Griff ist nur noch ansatzweise vorhanden. Die langen Ränder sind dabei kantig und unterschiedlich dick. Zu der einen Längsseite, die leicht eingezogen ist, wird die Kante schmaler und schärfer und bildete wahrscheinlich einst die Schneide. Die andere Seite ist im Querschnitt breiter, ebenfalls eingezogen und bildet den Rücken. Das Messer hat noch eine maximale Länge von 34,86 cm bei einer Breite von 15,72 cm. Der Griffverlauf ist unklar, jedoch erinnert der dolchförmige Klingenvorlaufansatz an Formen, die der Jastorfer Seedorf-Stufe nach Schwantes zugeordnet werden und müsste damit in die Stufe II a - d nach Hingst eingeordnet werden (ca. 150 v. Chr. bis 0) (Schwantes 1952, 281f.). Dieser Zeitraum wird von der Leichenbranddatierung des Befundes bestätigt, die von 384 bis 202 v. Chr., d. h. vom Beginn der Stufe Ic bis zur Mitte der Stufe IIa datiert.³⁹²

8.4.1.6.6. Rasiermesser

Ein Leichenbrandschüttungsgrab³⁹³ des Grabhügels LA 58 enthielt ein einschneidiges unverziertes Rasiermesser³⁹⁴ aus Bronze als einzige Beigabe des Grabes (Taf. 172.2). Der s-förmig zurückgebogene Griff mit dem sonst geraden Klingentrücken war beim Auffinden bereits abgebrochen. Das Rasiermesser kann dem Typ XI B 2a nach Baudou (Baudou 1960, 33f.) bzw. der Variante 1 nach Schmidt (Schmidt 1993, 43f.) zugeordnet und in die Periode IV-V eingeordnet werden. Die Datierung des Leichenbrandes aus demselben Befund unterstützt diese Einordnung indem sie zwischen 1005 und 836 v. Chr. und damit in die Periode IV bis zum Übergang Periode IV bis V datiert.³⁹⁵ Ein weiterer Fund³⁹⁶, der bei einer Oberflächenbegehung im Umfeld des Gräberfeldes gefunden wurde, stellt möglicherweise auch ein Rasiermesser dar (Taf. 265.6). Es hat eine dreieckige Form und eine runde Durchlochung in einer der Ecken des dünnen Eisenblechs. Gegenüber der durchlochenden Ecke ist das Blech halbkreisförmig zugearbeitet. Die anderen beiden Ecken sind von der halbrunden Einbuchtung rechteckig geformt. Es erinnert damit an ein zweischneidiges Rasiermesser. Die Durchlochung und auch die vermeintlichen Schneiden sind jedoch ungewöhnlich. Möglicherweise handelt es sich um einen modernen Fund oder ein nachträglich umgearbeitetes Stück.

8.4.1.6.7. Pfrieme

Auf dem Gräberfeld wurden sechs bronzene Pfrieme gefunden sowie ein Fragment, bei dem es sich entweder um einen Pfriem oder eine Nadel handeln könnte. Alle stammen aus Urnengräbern und ihre Längen variieren zwischen 2,85 und 4,5 cm. Vier der Pfrieme und das Fragment wurden in Urnen des Grabhügelareals LA 18³⁹⁷ entdeckt. Zwei von ihnen sind rundstabig³⁹⁸ (Taf. 28.3, 31.4), während die anderen beiden eher einen rechteckigen bis nahezu quadratischen Querschnitt³⁹⁹ aufweisen (Taf. 54.2, 67.1). Alle vier erhaltenen Pfrieme haben ein meißelförmig ausgearbeitetes Ende und gehören damit dem Typ XIII nach Baudou (Baudou 1960, 44f.) bzw. der Variante 1 nach Schmidt (Schmidt 1993, 49, Taf. 1, 13) an und können in die

391 Befund 153.

392 LA 115, Befund 153: KIA-55436:2230±24uncalBP(384-202calBC).

393 Befund 17.

394 SH 2008-429.34 (35).

395 LA 58, Befund 17: KIA-54065:2778±24uncalBP(1005-836calBC).

396 F374 (Oberflächenbegehung).

397 SH 2008-427.59 (111) (LA 18, Befund 88a); SH 2008-427.60 (106) (LA 18, Befund 99); SH 2008-427.61 (105) (LA 18, Befund 99); SH 2008-427.69 (178) (LA 18, Befund 59); SH 2008-427.70 (216) (LA 18, Befund 30).

398 SH 2008-427.70 (216); SH 2008-427.69 (178).

399 SH 2008-427.61 (105); SH 2008-427.59 (111).

Periode IV mit Tendenz zum Übergang Periode IV bis V eingeordnet werden. Das unklare Stück ist nicht einordbar, da es stark fragmentiert und mit Ringfragmenten zum Teil zusammengeschmolzen ist. Da es jedoch zusammen mit einem der bestimmbaren Pfrieme vergesellschaftet ist, datiert es wahrscheinlich ebenfalls in die Periode IV bis IV/V. Der rundstabige Pfriem aus Befund 30 kann aufgrund eines Beifundes tendenziell eher in die Periode IV datiert werden, während die Leichenbranddatierung den Befund zwischen 1200 und 1002 v. Chr. und damit von der Mitte der Periode III bis zur Mitte der Periode IV datiert.⁴⁰⁰ Der vierkantstabige Pfriem aus Befund 88a kann anhand der Leichenbranddatierung zwischen 1114 und 924 v. Chr., d. h. vom Ende der Periode III bis zum Ende der Periode IV datiert werden.⁴⁰¹ Letzteres wird auch von der Leichenbranddatierung des Befundes 106 für den zugehörigen Pfriem unterstützt, der zwischen 1124 und 930 v. Chr. datiert.⁴⁰² Der rundstabige Pfriem aus der Leichenbrandschüttung des Befundes 59 (LA 18) datiert der Leichenbranddatierung zufolge zwischen 1043 und 846 v. Chr. und damit von der Mitte der Periode IV bis zur Mitte der Übergangsphase von Periode IV/V.⁴⁰³ Der vierkantstabige Pfriem und das Fragment aus Befund 99 datieren dem Leichenbrand zufolge zwischen 1015 und 852 v. Chr. und damit ebenfalls von der Mitte der Periode IV bis zur Mitte der Übergangsphase der Perioden IV/V.⁴⁰⁴ Zwei weitere Pfrieme gehören zu Urnenbestattungen des Brandgräberfeldes LA 115.⁴⁰⁵ Der eine stammt aus einer Urne, die wahrscheinlich zu dem Grabhügel LA 21 gehörte, der sich auf dem Brandgräberfeld befand (Taf. 329.3). Der Pfriem ist 2,62 cm lang, zu beiden Seiten rundstabig⁴⁰⁶ und kann damit noch zur Variante 2 nach Schmidt gehören und in die Periode IV-IV/V datieren (Schmidt 1993, 49). Die Leichenbranddatierung aus dem Befund bestätigt diese Datierung, indem sie den Befund zwischen 1015 und 844 v. Chr. datiert.⁴⁰⁷ Der andere Pfriem ist mit 8,67 cm vergleichsweise lang und rundstabig mit einem meißelförmigem Ende (Taf. 290.2).⁴⁰⁸ Aufgrund der Länge ist nicht klar, ob dieser Fund auch in den jüngerbronzezeitlichen Horizont eingeordnet werden kann. Der beigegebene Gürtelring gibt hingegen wahrscheinlich eine Datierung in die Stufe I d vor (siehe Kap. 8.4.1.6.12.2.)⁴⁰⁹, die von der Leichenbranddatierung des Befundes bestätigt wird.⁴¹⁰

8.4.1.6.8. Nadeln

Trompetenkopfnadeln

Eine bronzene Trompetenkopfnadel⁴¹¹ aus dem Körpergrab⁴¹² des Grabhügels LA 60 liegt in zwei Fragmenten vor (Taf. 214.1). Die rundstabige Nadel hat einen kleinen trompetenförmigen Kopf und schließt darunter an eine ausgeprägte Rippe von 2,8 cm Länge an. Darunter geht sie in den Schaft über. Die Spitze ist abgebrochen und fehlt. Die Gesamtlänge der Nadel beträgt 21,6 cm. Ihr gerader Schaft ist ungefähr 0,4 cm breit, während der Kopf eine Breite von 0,8 cm erreicht. Die Trompetenkopfnadel kann dem Typ E 3 nach Kersten zugeordnet werden (Kersten 1936, 30, Taf. X, 6; XIX, 7). Er datiert sie in die Periode IIA/III, während Struve sie in die

400 LA 18, Befund 30: KIA-54108:2893±24uncalBP(1200-1002calBC).

401 LA 18, Befund 88a: KIA-54115:2850±30uncalBP(1114-924calBC).

402 LA 18, Befund 106: KIA-54075:2866±28uncalBP(1124-930calBC).

403 LA 18, Befund 59: KIA-54112:2801±27uncalBP(1043-846calBC).

404 LA 18, Befund 99: KIA-54114:2800±24uncalBP(1015-852calBC).

405 SH 2014-111.28 (LA 115, Befund 49); SH2014-111.112 (LA 115, Befund 321).

406 SH 2014-111.112.

407 LA 115/LA21, Befund 321: KIA-54116:2798±26uncalBP(1015-844calBC).

408 SH 2014-111.28.

409 SH 2014-111.90 (LA 115, Befund 49).

410 LA 115, Befund 49: KIA-55431:2185±25uncalBP(361-166calBC).

411 SH 2008-431.22 (22).

412 Befund 95.

Periode II einordnet (Struve 1979, 57, Taf. 21,6). Rippung ist 2,8 cm langchaft übersteht noch aus).riode IV datiert werden.e Periode IV datiert werden.

Vasenkopfnadeln

Eine Vasenkopfnadel⁴¹³ aus Bronze ist aus einem Urnengrab⁴¹⁴ des Grabhügels LA 58 bekannt (Tafel 180.1). Der kleine Kopf besteht aus einem kugeligen Mittelstück mit einem scheibenförmigen Abschluss. Ihr rundstabiger Schaft ist leicht gebogen und 0,35 cm breit im Querschnitt, während ihre Gesamtlänge 10,4 cm erreicht. Sie kann der Variante 1 nach Schmidt zugeordnet und damit in die Periode V datiert werden (Schmidt 1993, 51). Die Datierung des Leichenbrandes setzt jedoch eine Einordnung in den Zeitraum von 1046 bis 906 v. Chr. und damit in die Periode IV bis zum Beginn des Übergangs von Periode IV zu V an,⁴¹⁵ sodass Vasenkopfnadeln demnach auch bereits früher vorkommen können als bisher angenommen.

Scheibenkopfnadeln

Eine Scheibenkopfnadel⁴¹⁶ aus Bronze und Eisen mit drei Scheiben wurde in einem Urnengrab⁴¹⁷ des Brandgräberfeldes LA 115 gefunden (Taf. 296.4). Der eiserne Nadel-schaft ist gerade und rundstabig. Daran befindet sich eine bandförmige genietete ebenfalls eiserne Verbreiterung auf der drei Knopfscheiben aus Eisen angebracht sind, die mit Bronzescheiben vernietet wurden. Die Nadel hat eine Gesamtlänge von 8,03 cm mit Scheibendurchmessern von bis zu 2,34 cm. Der Fund hat Ähnlichkeit mit den Scheibenkopfnadeln vom Typ I d nach Baudou und könnte dementsprechend in die Periode VI datiert werden (Baudou 1960, 80).

Nagelkopfnadeln

Eine eiserne Nadel mit nagelförmigem Kopf⁴¹⁸ kommt aus einem Urnengrab⁴¹⁹ des Brandgräberfeldes LA 115. Der Schaft ist gerade bis leicht unregelmäßig geformt und dabei mit bis zu 0,7 cm Querschnittsbreite relativ dick und weist leichte Kanten auf. Der Kopf besteht aus einer horizontalen flachen Scheibe (Taf. 311.1). Die Nadel hat eine Gesamtlänge von 12,22 cm. Sie kommt ab der mittleren Bronzezeit, in der gesamten Eisenzeit und Römischen Kaiserzeit durchgehend vor, sodass ihre Datierung sehr ungenau ist (Keiling 1979, 19). Die zweigliedrige Urne des Befundes hat einen vorrömisch-eisenzeitlichen Charakter. Ähnlich wie die Knochennadeln mit nagelförmigem Kopf (siehe Kap. 8.4.1.5.1.) können jene aus Eisen auch den nach Hingst sogenannten ‚Scheibenkopfnadeln‘⁴²⁰ zugeordnet und in die Stufe I b 2 bis II a datiert werden (Hingst 1980, 46).

Gekröpfte Nadeln

Aus drei Urnengräbern des Brandgräberfeldes LA 115 liegen drei gekröpfte Nadelfragmente aus Eisen vor, die noch zwischen sechs und acht cm Länge erreichen.⁴²¹ Zwei von ihnen sind rundstabig (Taf. 293.2, 310.2)⁴²², während die Dritte leichte Kanten aufweist (Taf. 294.2).⁴²³ Alle drei haben eine deutliche Kröpfung die zunächst in einen Hals übergeht und erst dann in den Kopf, der jedoch bei allen

413 SH 2008-429.40 (194).

414 Befund 75.

415 LA 58, Befund 75: KIA-54072:2819±23uncalBP(1046-906calBC).

416 SH 2014-111.22.

417 Befund 92.

418 SH 2014-111.34.

419 Befund 208.

420 Wie oben schon erwähnt, nicht zu verwechseln mit den jüngerbronzezeitlichen Scheibenkopfnadeln, wie z. B. nach Baudou 1960.

421 SH 2014-111.25 (Befund 80); SH 2014-111.95 (Befund 205); SH 2014-111.71 (Befund 82).

422 SH 2014-111.25, SH 2014-111.95.

423 SH 2014-111.71.

Fragmenten abgebrochen und nicht mehr aufzufinden war. Die Kröpfung der Nadel aus Befund 82 weist einen regelrechten Knick auf. Die Fragmente können wegen der fehlenden Köpfe zunächst nur grob in die vorrömische Eisenzeit eingeordnet werden. Anhand von Beifunden wie Gürtelteilen aus den Urnen erfolgt eine ungefähre Einordnung in die Stufe I c bis II a nach Hingst (siehe unten).⁴²⁴

Gekröpfte Rollennadeln

Eine gekröpfte Rollennadel⁴²⁵ ist aus einem der Urnengräber⁴²⁶ vom Brandgräberfeld LA 115 bekannt (Taf. 308.1). Der Nadelschaft ist ovalstabilig, da er leicht breit gehämmert wurde. Der untere Teil ist dagegen rundstabilig – sofern ersichtlich, denn der Großteil des unteren Teils ist abgebrochen und nicht mehr vorhanden. Der Kopf ist mit einer Drehung seitlich eingerollt. Auf derselben Seite befindet sich die Kröpfung, die an den Kopf stößt. Die Kröpfung aus dünnem Blech ist nur leicht ausgeführt und mit einem schmalen Kröpfungsbogen vorhanden. Des Weiteren ist die Kröpfung mit einem Muster aus flachen horizontal ausgeführten Rillen verziert. Die Nadel hat eine verbliebene Gesamtlänge von 3,38 cm. Sie kann der Stufe I b bis I c nach Hingst zugeordnet werden (Hingst 1983, 27f., 49) und überlappt damit mit der Leichenbranddatierung, die den Befund zwischen 394 und 208 v. Chr. datiert.⁴²⁷

Holsteiner Nadeln

Aus vier Urnengräbern des Brandgräberfeldes LA 115 stammt je eine Holsteiner Nadel aus Bronze. Diese lassen sich anhand ihrer unterschiedlichen Formen den verschiedenen Typenserien C, D und E nach Hingst 1986 zuordnen. Eine der Holsteiner Nadeln⁴²⁸ stammt aus der Urne des Befundes 51. Der rundstabilige Nadelschaft geht in eine vierkantstabilige, scharfe und dachförmige Nadelkröpfung mit Rillennmuster über (Taf. 291.5). Die Kröpfung ist zusätzlich verdickt und trichterförmig gebläht. An die Kröpfung schließt der große konische Kopf an, der eine doppelt ausgeführte Zickzack-Verzierung an der Nadelkopf-Unterseite und eine Rillenverzierung am Kopfrand hat. Der Nadelschaft läuft nach unten spitz zu. Ihre Gesamtlänge beträgt 75,16 cm. Insbesondere die ausgeprägte Kröpfung lässt diese Nadel der Typenserie C und dem Typen II c 3 8 nach Hingst zuordnen und datiert damit in die Stufe II a (bzw. Latène C1) nach Hingst (Hingst 1986, Abb. 1). Eine zweite Holsteiner Nadel⁴²⁹ wurde in der Urne mit Befundnummer 245 gefunden (Taf. 326.1). Die sonst rundstabilige Nadel hat ebenfalls eine vierkantstabilige, scharfe und dachförmige Kröpfung, die in einen großen konischen Kopf übergeht. Der Kopf wurde mit dem Schaft nach der Herstellung zusammengesteckt. Die Nadel ist unterhalb der Kröpfung abgebrochen und hat deswegen nur noch eine Länge von lediglich 31,92 cm. Sie ist unverziert und kann der Typenserie D nach Hingst zugeordnet werden und datiert somit in die Stufe II a (bzw. Latène C1) (Hingst 1986, Abb. 1). Eine weitere Holsteiner Nadel⁴³⁰ wurde in der Urne des Befundes 241 gefunden (Taf. 324.1). Sie hat einen rundstabiligen Schaft, der in eine leicht verdickte Kröpfung übergeht und in einem großen konischen Kopf abschließt. Dabei hat sie eine Gesamtlänge von 73,75 cm. Der Kopf wurde mit acht horizontalen Rillen verziert und datiert in die Typenserie D nach Hingst und kann der Variante 1 mit Rillennmuster I ε nach Hingst zugeordnet und in die Stufe II a (bzw. Latène C1) datiert werden (Hingst 1983, 28f., Abb. 1). Das Urnengrab des Befundes 227 barg ebenfalls eine Holsteiner Nadel⁴³¹. Sie

424 Befund: 80, Gürtelbeschlag und Dreieckiger Gürtelhaken: SH 2014-111.87 + 88; Befund 205, Gürtelhaken: SH 2014-111.33.

425 SH 2014-111.66.

426 Befund 193.

427 LA 115, Befund 193: KIA-55442:2260±24uncalBP(394-208calBC).

428 SH 2014-111.19.

429 SH 2014-111.1.

430 SH 2014-111.3.

431 SH 2014-111.52.

hat einen rundstabigen Schaft, der in eine scharf abgeknickte und leicht verdickte Kröpfung übergeht (Taf. 317.1). Der Kopf ist konisch und weist eine horizontale Rillenverzierung mit acht Rillen auf. Die Gesamtlänge der Nadel beträgt 55,8 cm. Sie kann der Typenserie E und dem Rillenraster I ε nach Hingst zugeordnet werden und datiert damit in die Stufe II a (Latène C1) nach Hingst (Hingst 1986, Abb. 1). Diese Einordnung überlappt dabei mit der Datierung des Leichenbrandes, die den Befund zwischen 390 und 207 v. Chr. datiert, d. h. vom Übergang der Stufen Ib/Ic bis zur Mitte der Stufe IIa.⁴³²

Nadelfragmente

An Nadelfragmenten liegen sechs eindeutige und fünf mögliche Objekte vor. Die sicheren Nadeln stammen aus vier verschiedenen Urnengräbern (Taf. 331.2)⁴³³ und einem Sammelfund der Westfläche von LA 115 (Taf. 349.1).⁴³⁴ Dabei handelt es sich um rundstabige Fragmente deren Köpfe abgebrochen sind, sodass sie keine typologische Einordnung erfahren können (u. a. Taf. 287.2, 295.4). Fünf von ihnen sind aus Eisen. Das Fragment aus Befund 33 (LA 58, Taf. 175.2) ist aus Bronze und kann anhand eines ¹⁴C-Datums des Leichenbrandes zwischen 1045 und 906 v. Chr., d. h. in die Periode IV bis zum Übergang von Periode IV/V datiert werden.⁴³⁵ Die Nadelfragmente aus Befund 88 (LA 115) können anhand eines Befundes in die Stufen I b bis I c datiert werden.⁴³⁶ Von den Objekten, die unsicher als Nadelfragmente angesprochen werden, stammen zwei aus zwei Urnen⁴³⁷ (Taf. 297.1), zwei aus einer Körperbestattung⁴³⁸ (Taf. 214.2) und eins vom Planum der Aktivitätsnr. 98. Zwei sind dabei aus Eisen und die drei anderen aus Bronze gefertigt. Aufgrund der Form ist die Ansprache als Nadel- oder Ringfragment nicht geklärt. Eine typologische Einordnung ist nicht möglich. Das Fragment aus Befund 33 (LA 58, Taf. 175.3) kann ebenso in die Periode IV bzw. bis zum Übergang Periode IV/V anhand der Leichenbranddatierung eingeordnet werden.⁴³⁹ Die möglichen Nadelfragmente aus einem der Körpergräber (Befund 95, LA 60) könnten anhand der Befunde in die Periode II datiert werden.⁴⁴⁰

8.4.1.6.9. Knöpfe

Doppelknöpfe

Vom Fundplatz stammen vier Doppelknöpfe, von denen drei aus dem Grabhügel LA 18 und einer aus dem Grabhügel LA 58 stammen (Taf. 35.1, 43.1, 71.1, 183.2).⁴⁴¹ Sie wurden alle aus Bronze gefertigt und ausschließlich in Urnen aufgefunden. Sie können alle der Variante 1 nach Schmidt 1993 zugeordnet (Schmidt 1993, 54). Der Doppelknopf aus der Urne des Befundes 101 (LA 18) ist unverziert und mit etwa gleich großen, leicht nach außen gewölbten Knopfplatten ausgestattet. Er entspricht der Variante 1 a und datiert nach Schmidt in die Periode IV-IV/V (Schmidt 1993, 54). Der Leichenbrand aus dem gleichen Befund datiert zwischen 1200 und 939 v. Chr. und datiert den Doppelknopf damit bereits ab Mitte Periode III bis Ende Periode IV.⁴⁴²

432 LA 115, Befund 227: KIA-55443:2250±24uncalBP(390-207calBC).

433 LA 58, Befund 33: SH 2008-429.36 (58); LA 115: Befunde 6: SH 2014-111.73, Befund 88: SH2014-111.24 + 371, LA 115/LA 24, Befund 355: SH2014-111.9.

434 SH 2014-111.101.

435 LA 58, Befund 33: KIA-54070:2818±23uncalBP(1045-906calBC).

436 SH 2014-111.24.

437 LA 58, Befund 33: SH 2008-429.35 (36); LA 115, Befund 100: SH2014-111.67.

438 LA 60, Befund 95: SH2008-431.28 (28), SH2008-431.25 (25 + 29).

439 Siehe oben, KIA-54070:2818±23uncalBP(1045-906calBC).

440 Vgl. Trompetenkopfnadel: SH2008-431.22 (22).

441 LA 18, Befund 63: SH 2008-427.65 (121); Befund 80: SH 2008-427.68 (133); Befund 101: SH 2008-427.71 (222); LA 58, Befund 77: SH 2008-429.39 (271).

442 LA 18, Befund 101: KIA-54077:2887±28uncalBP(1200-939calBC).

Aus dem Befund 80 (LA 18) wurde ein Doppelknopf mit einer leicht ovalen Kopfscheibe geborgen, die mit sehr schwachen konzentrischen Kreisen verziert ist. Die unvollständige Fußscheibe ist hingegen unverziert und scheint flach zu sein. Der Doppelknopf kann der Variante 1 b zugewiesen werden und datiert damit nach Schmidt in die Periode IV-IV/V (Schmidt 1993, 54). Der Leichenbrand datiert den Befund zwischen 1077 und 912 v. Chr. und damit von der Mitte der Periode IV bis zur Übergangsphase von Periode IV bis V⁴⁴³ und unterstützt damit die relativchronologische Einordnung nach Schmidt. Aus der Urne des Befundes 63 (LA 18) stammt ein Doppelknopf mit einer oberen ovalen, leicht gewölbten Kopfscheibe, die mit konzentrischen Kreisen und Randkerben verziert ist. Die untere Scheibe ist unvollständig erhalten und scheint flach zu sein. Auch dieser Knopf kann der Variante 1 b nach Schmidt zugeordnet werden und spricht damit für eine Einordnung in die Periode IV-IV/V (Schmidt 1993, 54). Der Leichenbrand aus dem Urnengrab datiert den Befund zwischen 994 und 834 v. Chr. und damit von der Mitte der Periode IV bis zur Mitte der Übergangsphase von Periode IV zu V.⁴⁴⁴ Der Doppelknopf aus Befund 77 (LA 58) hat eine obere, leicht gewölbte Kopfplatte, die mit konzentrischen Rillen verziert war. Diese Verzierung ist nur noch in Ansätzen erkennbar. Auch die untere Platte ist leicht gewölbt, jedoch unverziert und unvollständig. Der Knopf entspricht der Variante 1 b nach Schmidt, die von ihm in die Periode IV-IV/V datiert wird (Schmidt 1993, 54).

Ösenknöpfe

An Ösenknöpfen wurden vier Exemplare vom Fundplatz geborgen. Zwei von ihnen wurden als Lesefunde um den Grabhügel LA 57 mit einem Metalldetektor aufgefunden.⁴⁴⁵ Beide sind aus Bronze und haben eine gewölbte Kopfscheibe (Taf. 149.3-4). Die Öse ist bei L1006 aufgebogen. Fund L1008 hat eine noch vollständig erhaltene Öse. Beide können dem Typ XXVI C 1 nach Baudou (Baudou 1960, 90) bzw. der Variante 1 nach Schmidt zugewiesen und damit in die Periode IV eingeordnet werden (Schmidt 1993, 55, Taf. 10,8). Ein Ösenknopf⁴⁴⁶ wurde in der Leichenbrand-schüttung des Befundes 88b (LA 18) gefunden. Er hat ebenfalls eine gewölbte Kopfscheibe und wurde aus Bronze hergestellt. Von der Öse sind nur doch die Ansätze vorhanden (Taf. 53.2). Der Knopf gehört ebenfalls dem Typ XXVI C 1 nach Baudou (Baudou 1960, 90) bzw. der Variante 1 nach Schmidt an und datiert ebenso in die Periode IV (Schmidt 1993, 55, Taf. 10,8). Die Datierung des Leichenbrandes datiert den Befund zwischen 1110 und 931 v. Chr. und damit vom Ende der Periode III bis zum Ende der Periode IV.⁴⁴⁷ Der vierte Ösenknopf⁴⁴⁸ wurde im Befund 132 eines Urnengrabes auf dem Brandgräberfeld LA 115 gefunden (Taf. 297.5). Er wurde aus einer Kupferlegierung gefertigt und hat eine flache Kopfscheibe. Die Öse ist nur noch in Ansätzen erhalten. Es handelt sich wahrscheinlich um einen neuzeitlichen Fund, der vom Pflug von der Oberfläche in den Befund verlagert wurde.

8.4.1.6.10. Fibeln

Ringfibeln

Der Dorn einer Ringfibel⁴⁴⁹ aus Eisen wurde in einem Urnengrab⁴⁵⁰ des Bandgräberfeldes LA 115 gefunden (Taf. 323.3). Der Dorn ist spitz zulaufend geformt und

443 LA 18, Befund 80: KIA-54110:2835±23uncalBP(1077-912calBC).

444 LA 18, Befund 63: KIA-54111:2772±24uncalBP(994-834calBC).

445 LA 57, L006, L008.

446 SH 2008-427.67 (143).

447 LA 18, Befund 88b: KIA-54063:2854±23uncalBP(1110-931calBC).

448 SH 2014-111.91.

449 SH 2014-111.79.

450 Befund 241.

hat einen rundlichen bis leicht kantig zugearbeiteten Querschnitt. Er erreicht eine Länge von 3,1 cm und ist zur Dornspitze hin abgebrochen. Die Schlaufe ist rund bis leicht oval und circa 0,9 cm breit. Der Dorn kann – sofern er tatsächlich zu einer Ringfibel und nicht zu einem Gürtel gehörte – in die Stufe Ripdorf nach Schwantes 1952 eingeordnet und damit der Stufe II a nach Hingst datiert werden. Diese Datierung wird von Beifunden, wie einer Holsteiner Nadel oder einem Plattengürtelhaken, bestätigt.⁴⁵¹

Kugelfibeln

Eine Kugelfibel⁴⁵² liegt vom Brandgräberfeld LA 115 vor. Sie wurde in einem Urnengrab⁴⁵³ gefunden und ist aus Bronze gefertigt (Taf. 302). Sie besitzt zwei Kugeln am leicht gebogenen Bügel, der mit dem länglich geformten Nadelhalter verbunden ist. Die Kugeln messen bis zu 1,25 cm im Durchmesser. Die eingliedrige Spirale ist zehnwändig und hat eine obere Sehne. Insgesamt weist die Fibel eine Länge von ca. 7,68 cm auf. Die Fibel kann der Variante F nach Beltz zugeordnet werden und ist vom Mittellatèneschema, das der Stufe II a nach Hingst entspricht (Beltz 1911, 664ff.; Hingst 1980, 46). Die zum Befund zugehörige Leichenbranddatierung datiert von 372 bis 197 v. Chr. und damit von der Mitte der Stufe Ic bis zu Mitte der Stufe IIa, sodass sie mit der Einordnung von Hingst überlappt.⁴⁵⁴

Fibelfragmente

Drei Funde von Fibelfragmenten sind vom Fundplatz bekannt. Eine fast vollständige Fibel mit Spiralkonstruktion⁴⁵⁵ aus Eisen liegt aus einem Urnengrab⁴⁵⁶ des Brandgräberfeldes LA 115 vor (Taf. 288.4). Sie ist in fünf Teile fragmentiert. Der Bügel ist schmal und bandförmig und die eingliedrige Spirale ist sechswändig. Der Nadelhalter fehlt. Die Fibel entspricht keinem bekannten Typ, jedoch kann sie anhand von zwei Gürtelringen aus demselben Befund ungefähr in den Zeitraum von I c 2 / I d bis II a / II b datiert werden.⁴⁵⁷ Zwei weitere, sich ähnelnde Fragmente liegen ebenfalls aus Urnengräbern⁴⁵⁸ des Brandgräberfeldes LA 115 vor. Möglicherweise stammen sie von Fibelbügeln. Beide haben ein flaches, spatenförmiges Ende mit ovalem Querschnitt, das über eine Verdickung in einen angesetzten möglichen Bügel übergeht. Das eine Fragment wurde vollständig aus Eisen hergestellt (Taf. 294.1)⁴⁵⁹, während bei dem anderen der spatenförmige Teil mit Verdickung aus Eisen und der mögliche Bügel aus Bronze besteht (Taf. 297.2).⁴⁶⁰ Das vollständig aus Eisen bestehende Fragment ist noch mit einer Länge von 5,3 cm erhalten. Der mögliche Bügelansatz dieses Fragments ist sehr gerade und nicht bogenförmig. Des Weiteren weist es einen nieförmigen Eindruck am spatenförmigen Ende auf. Entweder muss es sich um eine gestreckte Fibel handeln, oder es liegt eine Nadel vor, von denen bisher jedoch keine mit einer solchen Verdickung zum Schaft bekannt ist. Die beiden Fragmente können nicht eingeordnet werden. Anhand eines Beifundes kann eine der beiden unsicher in den Zeitraum Stufe I c - II a datiert werden.⁴⁶¹ Fibeln treten am Fundplatz auffällig selten auf. Dies mag damit zusammenhängen, dass während der Jüngerer Bronzezeit und der Älteren Vorrömischen Eisenzeit vermehrt Nadeln und Doppelknöpfe zum Schließen der Kleidung genutzt wurden (Müller 1994, 468).

451 Vgl. Bef. 241: Holsteiner Nadel: SH2014-111.3; Plattengürtelhaken: SH2014-111.7.

452 SH 2014-111.38.

453 Befund 158.

454 LA 115, Befund 158: KIA-55439:2210±24uncalBP(372-197calBC).

455 SH 2014-111.31.

456 Befund 22.

457 Vgl. SH 2014-111.92 + 93.

458 Befund 82: SH 2014-111.71; Befund 117: SH 2014-111.41.

459 SH 2014-111.71.

460 SH 2014-111.41.

461 Vgl. SH 2014-111.71 (gekröpfte Nadel).

8.4.1.6.11. Ringe

Armringe

Aus dem Abraum des Baggerabtrages vom Grabhügel LA 57 wurde ein halbes Armringfragment aus Bronze⁴⁶² mithilfe eines Metalldetektors geborgen (Taf. 149.5). Es handelt sich um ein rundstabiges Ringfragment von 5,5 cm im Durchmesser mit einer Ringstärke von ungefähr 0,5 cm. Der Querschnitt ist rund bis leicht oval. Aufgrund der fehlenden Enden ist eine Einordnung nur bedingt möglich. Der Querschnitt und die regelmäßige Dicke des Stabes deuten auf eine Einordnung in die Form A 2 nach Kersten hin und würden anhand von bekannten Fundvergesellschaftungen in Schleswig-Holstein in die Periode III datieren (Kersten 1936, 46).⁴⁶³ Da das vorliegende Fragment jedoch kaum Charakteristiken aufweist, die eine solche Einordnung ermöglichen, ist diese sehr unsicher.

Eidringe

Ein bronzener offener Eidring⁴⁶⁴ wurde in einem Urnengrab⁴⁶⁵ des Grabhügels LA 18 gefunden. Er ist c-förmig mit einem Durchmesser von bis zu 4,5 cm. Die Endpartie ist leicht aufgebogen und endet auf einer Seite in einem Halbstollen (Taf. 35.2). Der zweite Halbstollen ist nicht mehr vorhanden. Aufgrund der Größe könnte vermutet werden, dass es sich um einen Kinderarmreif handelt, jedoch stammt der Leichenbrand von einem juvenilen Individuum. Der Eidring gehört dem Typ XIX D 1 a nach Baudou (Baudou 1960, 65f., Taf. XIII) bzw. der Variante 2 b nach Schmidt an und datiert dementsprechend in die Periode V (Schmidt 1993, 61). Der Beifund eines Doppelknopfes lässt den Befund womöglich schon an den Übergang von Periode IV bis V datieren.⁴⁶⁶ Der Leichenbrand datiert den Befund genauer von 994 bis 834 v. Chr. und damit von der Mitte der Periode IV bis zur Mitte der Übergangsphase von Periode IV zu V.⁴⁶⁷

Ösenringe

Ein bronzener Ösenring⁴⁶⁸ wurde in einem Urnengrab⁴⁶⁹ des Grabhügels LA 18 gefunden. Der rundlich-ovale Ring hat einen Durchmesser von 4,85 cm. Zu einer Seite ist eine an einen breiten Bandhenkel angelehnt Öse von 2,8 cm Länge und 1,65 cm Breite fest am Ring angebracht (Taf. 40.4). Sie ist stark verformt und mit einer einseitigen Anhaftung eines Bronzebleches versehen. Der Ösenring kann dem Typ C 9 nach Hingst zugeordnet werden und datiert damit in die Stufe 1 b 1-2 nach Hingst (Hingst 1983, 61f., Abb. 4.; ders. 1980, 46, 56). Die Datierung des Leichenbrandes setzt den zeitlichen Horizont ein wenig früher an, indem sie den Befund zwischen 771 und 517 v. Chr. und damit von der Mitte der Periode V bis an das Ende der Periode VI einordnet.⁴⁷⁰ Aus einem Urnengrab⁴⁷¹ des Brandgräberfeldes LA 115 wurde ein Ösenring⁴⁷² aus Bronze mit zwei Ösen und einer Ösenlasche gefunden (Taf. 298.2). Er ist ovalförmig und rundstabig. Die beiden seitlich ausgearbeiteten ebenfalls rundstabigen Ösen haben Durchmesser zwischen 1,5 und 1,6 cm. In einer der Ösen befindet sich ein rundstabiger, offener, c-förmiger Ring. Am unteren

462 L003.

463 Vgl. Datenbank, Anhang VIII.

464 SH 2008-427.64 (116).

465 Befund 63.

466 SH 2008-427.65 (121).

467 LA 18, Befund 63: KIA-54111:2772±24uncalBP(994-834calBC).

468 SH 2008-427.63 (113).

469 Befund 71.

470 LA 18, Befund 71: KIA-54113:2484±23uncalBP(771-517calBC).

471 Befund 139.

472 SH 2014-111.39.

Rand des Ösenringes befindet sich die stark ausgeprägte bandförmige Ösenlasche, die wohl der Aufnahme eines Ringes diente. Der Ösenring entspricht der Variante A 1 nach Hingst und kann ihm zufolge in die Stufe I a datiert werden (Hingst 1983, 60ff., 67) und wird von der Leichenbranddatierung bestätigt, die den Befund von 761 bis 421 v. Chr. datiert⁴⁷³, d. h. von der Mitte der bronzezeitlichen Periode V bis zur Mitte der eisenzeitlichen Stufe Ib.

Spiralringe

Drei zusammengehörige bronzene Spiralringfragmente⁴⁷⁴ wurden aus einem Urnengrab⁴⁷⁵ des Grabhügels LA 18 geborgen (Taf. 47.2). Das größte Fragment weist noch eine Windung auf, die einen Durchmesser von 2,15 cm hat. Zwei kleinere leicht gebogene Fragmente gehörten wahrscheinlich einst zu dem mehrwindigen Spiralring. Die Fragmente könnten in die Periode IV nach Schmidt datieren oder jünger sein (Schmidt 1993, 56f.). Der Leichenbrand datiert den Befund zwischen 921 und 819 v. Chr. und damit vom Ende der Periode IV bis zum Beginn der Periode V.⁴⁷⁶ Weitere drei bronzene Fragmente eines möglichen Spiralringes⁴⁷⁷ stammen aus einem Urnengrab⁴⁷⁸ des Brandgräberfeldes LA 115 (Taf. 287.3). Die Fragmente sind länglich und leicht gebogen. Sie erreichen nur noch Längen von bis zu 3 cm und geben damit wenig Aufschluss über die ehemalige Form. Ein Spiralring kann nur vermutet werden, jedoch nicht genauer eingeordnet werden. Ein einfacher Drahring⁴⁷⁹ aus Bronze liegt aus einem Urnengrab⁴⁸⁰ des Grabhügels LA 58 vor (Taf. 194.2). Der Ring weist eine Windung von bis zu 1,9 cm im Durchmesser mit einer Materialstärke von 0,1 cm auf. Ob es sich um einen Spiralring handelt, ist aufgrund der Fragmentierung nicht mit Sicherheit zu sagen. Die zugehörige Urne datiert den Befund unsicher in den Zeitabschnitt Periode IV bis IV/V.⁴⁸¹ Die Leichenbranddatierung gibt hingegen einen sicheren zeitlichen Rahmen zwischen 1106 bis 908 v. Chr. und damit vom Ende der Periode III bis zum Beginn des Übergangs von Periode IV zu V an.⁴⁸² Ein spiralförmiger, kleiner Ring aus dünnem Bronzedraht⁴⁸³ wurde in einem Urnengrab⁴⁸⁴ (LA 58) gefunden (Taf. 186.2). Sein Durchmesser erreicht 0,8 cm und ist damit kleiner als die üblichen Spiralringe von 1,2 bis 2,2 cm im Durchmesser. Er kann nach Schmidt in die Periode IV oder jünger datieren (Schmidt 1993, 56f.). Die Urne aus dem Befund unterstützt diese Datierung.⁴⁸⁵

Fingerringe

In dem Körpergrab⁴⁸⁶ des Grabhügels LA 60 wurden sieben Bronzeringfragmente⁴⁸⁷ aus flachem Blech gefunden (Taf. 214.5). Sie gehören alle zusammen und weisen allesamt eine Mittelrippe am Rücken auf, sodass die Ringfragmente im Querschnitt nahezu dreieckig sind. Die Fragmente sind zwischen 0,5 und 1,5 cm lang. Das Größte unter ihnen deutet auf einen Ringdurchmesser von 1,8 bis 2 cm hin. Der fragmentierte Fingerring entspricht der Form B 1 nach Kersten und datiert in die Periode II-III (Kersten 1936, 57). An einer anderen Stelle desselben Grabes wurde ein

473 LA 115, Befund 139: KIA-55434:2467±26uncalBP(761-421calBC).

474 SH 2008-427.72 (191).

475 Befund 86.

476 LA 18, Befund 86: KIA-54109:2733±23uncalBP(921-819calBC).

477 SH 2014-111.20.

478 Befund 7.

479 SH 2008-429.37 (177).

480 Befund 81.

481 Vgl. SH 2008-429.129 (175.1).

482 LA 58, Befund 81: KIA-54135:2833±26uncalBP(1106-908calBC).

483 SH 2008-429.38 (268).

484 Befund 78.

485 SH 2008-429.150 (266).

486 Befund 95.

487 SH 2008-431.51 (76).

Bronzeringfragment⁴⁸⁸ gefunden (Taf. 214.3), das jedoch nicht zu den oben genannten dazugehört. Es besteht aus dünnem Bronzeblech und wurde in eine runde Form gebracht, wobei ein Durchmesser von mindestens zwei cm bei einer Ringbreite von 0,6 cm erreicht wird. Es ist unklar, ob der Ring offen oder geschlossen war. Einfache bronzene Fingerringe aus Blechband ohne charakteristische Formelemente sind sehr langlebig und können in der gesamten Älteren Bronzezeit und in jüngeren Zeitstufen auftreten (Kersten 1936, 57). Anhand der beiliegenden Trompetenkopfnadel können die Fragmente der Periode II zugewiesen werden.⁴⁸⁹

Ringfragmente

Aus der Urne des Befundes 99 (LA 18) wurden während der anthropologischen Untersuchungen außerdem zwei bronzene mögliche Ringfragmente gefunden (siehe Anhang VII.1).

8.4.1.6.12. Gürtelteile

8.4.1.6.12.1. Gürtelhaken

Zungengürtelhaken

Vom Brandgräberfeld LA 115 liegen vier sich ähnelnde Zungengürtelhaken vor. Zwei von ihnen stammen aus Urnengräbern (Taf. 295.2)⁴⁹⁰, ein weiterer von einer Fundstelle mit Leichenbrand sowie Keramik (Taf. 315.3)⁴⁹¹ und der vierte wurde als Sammelfund von der Westfläche (Taf. 349.2)⁴⁹² des Brandgräberfeldes geborgen. Alle vier Gürtelhaken bestehen aus einem rechteckigen, länglichen, leicht gewölbten Eisenblech von 0,2 bis 0,4 cm Materialstärke. Bei allen ist das Haftende abgebrochen und die Hakenenden bestehen aus jeweils einem unverzierten Haken, der umgebogen wurde. Die Zungengürtelhaken erreichen noch unterschiedliche, erhaltungsbedingte Längen zwischen 5 und 14 cm mit maximalen Breiten zwischen 0,6 und 0,95 cm. Sie alle können der Stufe I b bis I c nach Hingst zugeordnet werden (Hingst 1983, 49ff.).

Dreieckiger Gürtelhaken

Aus einem Urnengrab⁴⁹³ des Brandgräberfeldes LA 115 ist ein dreieckiges Gürtelhakenfragment ohne Mittelrippe⁴⁹⁴ aus Eisen bekannt (Taf. 293.1). Die Haken spitze ist abgebrochen und der Gürtelhaken erreicht noch eine Länge von 3,32 cm bei einer Breite zwischen 0,18 und 0,27 cm und einer Materialstärke zwischen 0,09 und 0,29 cm. Ein Nietloch mit einem Durchmesser von 0,2 cm befindet sich mittig am breiteren Ende. Aus Jevenstedt (Grab 438) ist ein vergleichbarer Fund bekannt (Hingst, 1974, 23, Taf. 46). Nach Behrends datieren dreieckige Gürtelhaken in das 5. bis 3. Jahrhundert v. Chr. (Behrends 1968, 28f.) und können in die Stufe I a bis I d nach Hingst eingeordnet werden. Fischer datiert dreieckige Gürtelhaken auf seinem Gräberfeld in die Abschnitte A3 und B1, die den Stufen I c und I d nach Hingst entsprechen (Fischer 2000, 68). Der Beifund eines Gürtelbeschlags bestätigt diesen Zeitraum.⁴⁹⁵

488 SH 2008-431.26 (26).

489 Vgl. SH2008-431.22 (22).

490 Befund 88: SH 2014-111.86; Befund 214: SH 2014-111.45.

491 Befund 213: SH 2014-111.35.

492 SH 2014-111.47.

493 Befund 80.

494 SH 2014-111.87.

495 Vgl. Gürtelbeschlagn: SH 2014-111.88.

Haftarmgürtelhaken

Vom Brandgräberfeld LA 115 sind acht einteilige Haftarmgürtelhaken aus Eisen bekannt, die je aus einem Urnengrab geborgen wurden.⁴⁹⁶ Sie unterscheiden sich lediglich hinsichtlich ihrer Formen und Befestigungsmechanismen. Alle weisen eine mehr oder weniger stark ausgeprägte T-Form auf und sind dabei zum Teil leicht gewölbt. Die Hakenarme sind bandförmig und flach geformt. Die Hakenspitzen sind meistens nicht mehr vorhanden (Taf. 305.3, 319.1, 321.2, 322.2).⁴⁹⁷ Bei drei Exemplaren schließt der Hakenarm in einem einfachen Haken ab (Taf. 310.4, 313.1, 325.5).⁴⁹⁸ Der Riemen wurde meistens mit zwei Nieten am inneren Haftende befestigt. Die Nagelstiftköpfe sind teilweise noch vorhanden. Bei einem Exemplar sind die Haftarme zudem um das Haft umgeschlagen und dort vernietet (Taf. 291.4).⁴⁹⁹ Einer der Haftarmgürtelhaken hat ein gezahntes Haftende (Taf. 310.4)⁵⁰⁰ und bei einem anderen sind die Haftarmkanten abgerundet (Taf. 321.2).⁵⁰¹ Die Gesamtlängen der mehr oder weniger vollständigen Haftarmgürtelhaken betragen zwischen 8,6 und 11,1 cm mit Breiten am Hakenarm zwischen 1 und 2,5 cm. Alle Haftarmgürtelhaken und -fragmente haben Haftenden zwischen 2,96 und 4,81 cm Breite. Die Haftarmgürtelhaken können alle der Stufe I d / II a nach Hingst zugeordnet werden (Hingst 1983, 47ff.). Dies bestätigen auch die Befunde. In den Befunden 51 und 241 sind die Haftarmgürtelhaken zum Beispiel mit Holsteiner Nadeln vergesellschaftet, sodass sie in die Stufe II a datieren.⁵⁰²

Plattengürtelhaken

Aus acht Urnen des Brandgräberfeldes LA 115 wurde je ein Plattengürtelhaken oder -fragment geborgen. Während drei von ihnen vollständig erhalten sind⁵⁰³, liegen sechs von ihnen fragmentarisch vor (Taf. 289.6, 298.5, 305.1, 306.3, 321.4, 332.4).⁵⁰⁴ Die Haken wurden alle aus Eisen hergestellt. In zwei Fällen wurde der Beschlag aus Bronze gefertigt (Taf. 321.4, 324.2).⁵⁰⁵ Die Formen variieren zwischen länglich spitz zulaufend (Taf. 324.2)⁵⁰⁶ bis zungenförmig (Taf. 316.2).⁵⁰⁷ Das Haftende – soweit vorhanden – war abgeschnitten (Taf. 321.4, 292.3)⁵⁰⁸ oder um den Riemen herumgebogen (Taf. 316.2, 324.2)⁵⁰⁹ und mit bis zu drei Nieten am Gürtelriemen befestigt. Alle acht Gürtelhaken weisen eine Mittelrippe und aufgefaltete Plattenkanten auf, die manchmal nahezu als Seitenrippen bezeichnet werden könnten (Taf. 292.3).⁵¹⁰ Des Weiteren sind sie mehr oder weniger stark der Länge nach gewölbt. Dabei ist der Haken nach hinten gebogen. Zwei der Hakenspitzen enden in einer köpfchen- bis pilzförmigen Eisenkugel (Taf. 292.3).⁵¹¹ Teilweise ist der Haken jedoch abgebrochen.⁵¹² Die Gesamtlängen der vollständigen Plattengürtelhaken betragen

496 SH 2014-111.37 (Befund 180), SH 2014-111.32 (Befund 211), SH 2014-111.82 (Befund 241), SH 2014-111.18 (Befund 51), SH 2014-111.102 (Befund 231), SH 2014-111.33 (Befund 205), SH 2014-111.42 (Befund 233), SH 2014-111.11 (Befund 239).

497 SH 2014-111.37, SH 2014-111.18, SH 2014-111.102, SH 2014-111.42, SH 2014-111.11.

498 SH 2014-111.32, SH 2014-111.82, SH 2014-111.33.

499 SH 2014-111.18.

500 SH 2014-111.33.

501 SH 2014-111.42.

502 Vgl. SH 2014-111.19; SH 2014-111.3.

503 SH 2014-111.7 (Befund 241); SH 2014-111.107 (Befund 227); SH 2014-111.27 (Befund 61).

504 SH 2014-111.43 (Befund 233); SH 2014-111.59 (Befund 45); SH 2014-111.36 (Befund 162); SH 2014-111.61 (Befund 147); SH 2014-111.58 (Befund 183); SH 2014-111.10 (Befund 362).

505 SH 2014-111.7; SH 2014-111.43.

506 Z. B. Vgl. SH 2014-111.7.

507 Z. B. Vgl. SH 2014-111.107.

508 SH 2014-111.43; SH 2014-111.27.

509 SH 2014-111.107; SH 2014-111.7.

510 Z. B. Vgl. SH 2014-111.27.

511 SH 2014-111.7; SH 2014-111.27.

512 SH 2014-111.43.

zwischen 19,3 und 21,3 cm. Die Breiten am Haft (sofern vorhanden) aller Plattengürtelhaken und -fragmente variieren zwischen 4,5 und 4,98 cm. Die Plattengürtelhaken können alle der Stufe II a nach Hingst zugeordnet werden (Hingst 1983, 47ff.). Diese Einordnung überlappt auch mit den teilweise vorhandenen zu Befunden zugehörigen Leichenbranddatierungen.⁵¹³

8.4.1.6.12.2. Gürtelringe

Gürtelringe ohne Zwinge

Aus neun Urnen und einer Fundstelle mit Leichenbrand und Keramik des Brandgräberfeldes LA 115 stammt je ein rundlich-ovaler Gürtelring aus Eisen. Davon liegen acht offene Ringe vor, deren Enden mehr oder weniger aneinander liegen und den Ring somit schließen (Taf. 288.3, 289.3, 290.1, 292.1, 315.2, 326.2, 332.3, 333.3).⁵¹⁴ Zwei Ringe sind dagegen vollständig geschlossen (Taf. 291.2, 318.4).⁵¹⁵ Von den beiden Letzteren ist einer rundstabig (Taf. 318.4)⁵¹⁶ und einer vierkantstabig (Taf. 291.2).⁵¹⁷ Von den offenen acht Ringen sind 4 vierkantstabig (Taf. 288.3, 290.1, 292.1, 315.2),⁵¹⁸ zwei leicht vierkantstabig (Taf. 289.3, 333.3)⁵¹⁹ und zwei rundstabig mit sehr wenig ausgeprägten, weichen Kanten (Taf. 326.2, 332.3).⁵²⁰ Zwei weitere rundstabige Gürtelringe aus Eisen sind dagegen kleiner und stammen zusammen mit einem halben Gürtelring und einem Gürtelringfragment aus der Urne 231 (Taf. 318.3).⁵²¹ Darüber hinaus wurden drei weitere rundstabige eiserne Gürtelringfragmente aus Urne 154⁵²² geborgen (Taf. 301.2) und ein halber vierkantstabiger sowie ein zu einem Drittel erhaltener vierkantstabiger Gürtelring in der Urne 241 gefunden (Taf. 325.3.4).⁵²³ Die Durchmesser der vollständigen Gürtelringe messen zwischen 2,5 und 4,8 cm. Die Materialstärken liegen ungefähr zwischen 0,3 und 0,7 cm. Die Gürtelringe können zunächst der Stufe I d nach Hingst zugeordnet werden (Hingst 1983, 49; ders. 1980, 49). Fischer ordnet Gürtelringe mit rundem oder rautenförmigem Querschnitt ohne Zwinge dem Typ 1 in seiner Arbeit zu und datiert sie in die Abschnitte B1 und B2 innerhalb seines Gräberfeldes, die den Stufen I c 2 und I d bis II a und II b nach Hingst entsprechen (Fischer 2000, 68f., Taf. 22). Gürtelhaken und Holsteiner Nadeln aus den gleichen Befunden sowie absolute Datierungen⁵²⁴ auf Basis der Leichenbrände bestätigen diese Einordnung und geben die zeitliche Einordnung vor, da die Gürtelringe allein keine sichere Datierung für einen Befund geben.

Gürtelringe mit Zwinge

Gürtelringe mit Zwinge sind meistens aus Eisen und lassen sich in Gürtelringe mit kurzer und langer Zwinge unterteilen. Unter den 25 Gürtelringen und Gürtelringfragmenten mit Zwinge aus 20 Urnengräbern des Brandgräberfeldes LA 115, befinden sich 15 rundstabige (Taf. 288.2, 301.1, 305.2, 309.2, 315.1, 317.2.4, 318.3, 323.4, 326.4,

513 Z. B. Befund 227: KIA-55443:2250±24uncalBP(390-207calBC).

514 SH 2014-111.29 (Befund 53); SH 2014-111.64 (Befund 35); SH 2014-111.90 (Befund 49); SH 2014-111.46 (Befund 374); SH 2014-111.93 (Befund 22); SH 2014-111.74 (Befund 245); SH 2014-111.96 (Befund 213); SH 2014-111.80 (Befund 362).

515 SH 2014-111.84 (Befund 51); SH 2014-111.103 (Befund 231).

516 SH 2014-111.103.

517 SH 2014-111.84.

518 SH 2014-111.29; SH 2014-111.90; SH 2014-111.93; SH 2014-111.96.

519 SH 2014-111.64; SH 2014-111.46.

520 SH 2014-111.74; SH 2014-111.80.

521 SH 2014-111.104.

522 SH 2014-111.114.

523 SH 2014-111.76 + 77.

524 Wie z. B. LA 115, Befund 49: KIA-55431:2185±25uncalBP(361-166calBC); Befund 154: KIA-55437:2231±24uncalBP(384-203calBC).

328.1)⁵²⁵, vier rundstabige mit schwachen Kanten (Taf. 309.3, 327.4, 332.1, 333.1)⁵²⁶, fünf vierkantstabige (Taf. 292.2, 310.3, 318.2, 321.3, 322.1)⁵²⁷ und ein rhombischer (Taf. 288.1).⁵²⁸ Die Zwingen lassen sich in zwei lange (Taf. 322.1)⁵²⁹ und 24 kurze unterteilen. Eine der beiden langen Zwingen ist aus Bronze und hat einen pilzförmigen Abschluss sowie eine Rillenverzierung aus horizontalen Rillen (Taf. 288.1).⁵³⁰ Die Form der jeweiligen kurzen Zwinge kann dabei schmal-rechteckig (Taf. 288.2, 322.1, 327.4, 328.1)⁵³¹, breit auslaufend (Taf. 292.2, 305.2, 315.1, 317.2, 326.4)⁵³², rundlich (Taf. 318.2)⁵³³, trapezförmig (Taf. 321.3)⁵³⁴ oder knopfförmig (Taf. 301.1, 309.3, 310.3, 317.4, 333.1)⁵³⁵ geformt sein. Eine der knopfförmigen Zwingen ist aus Bronze hergestellt und um einen Eisenring geschlagen (Taf. 323.4).⁵³⁶ Wenige sind nur noch fragmentarisch vorhanden (Taf. 318.3, 332.1).⁵³⁷ Darunter auch Gürtelringe mit zwei Zwingen (Taf. 301.1, 309.2).⁵³⁸ Letztere deuten darauf hin, dass es Zwischensegmente gab, die den Gürtel einteilten. Daneben liegen zwei Zwingenfragmente ohne Gürtelring vor (Taf. 98.3, 327.2).⁵³⁹ Es handelt sich um kurze länglich-rechteckige Zwingen. Eine von ihnen schließt mit einem Nietkopf ab (Taf. 298.3).⁵⁴⁰ Die Gürtelringe mit kurzen Zwingen können alle der Stufe I d nach Hingst zugewiesen werden (Hingst 1980, 26, 46, 49). Die langen bandförmigen Zwingen sind der Stufe I c / I d nach Hingst zuzuordnen (Hingst 1983, 49). Fischer ordnet sie den Stufen B1 und B2 innerhalb seines Gräberfeldes zu, die den Stufen I c2 / I d bis II a / II b nach Hingst entsprechen. Gürtelhaken und Holsteiner Nadeln sowie absolute Datierungen auf Basis von Leichenbränden aus den gleichen Befunden bestätigen diese Einordnung und werden für die Befunddatierung bevorzugt, da die Gürtelringe allein kein großes chronologisches Gewicht haben (Fischer 2000, 68f., Taf. 22).⁵⁴¹

8.4.1.6.12.3. Gürtelbeschläge

Vom Brandgräberfeld LA 115 liegen insgesamt sechs Beschläge vor. Zwei von ihnen stammen aus der Urne vom Befund 241 (Taf. 325.1.2)⁵⁴², zwei andere aus dem Urnengrab des Befundes 231 (Taf. 319.2, 320.1)⁵⁴³ und je einer aus den Urnen der Befunde 80 (Taf. 293.3)⁵⁴⁴ und 246 (Taf. 327.1).⁵⁴⁵ Sie sind aus Eisen hergestellt

525 SH 2014-111.72 (Befund 277); SH 2014-111.98 (Befund 180); SH 2014-111.92 (Befund 22); SH 2014-111.108 (Befund 227); SH 2014-111.83 (Befund 198); SH 2014-111.5 (Befund 214); SH 2014-111.2 (Befund 245); SH 2014-111.109 (Befund 227); SH 2014-111.69 (Befund 154); SH 2014-111.97 (Befund 213); SH 2014-111.104 (Befund 231).

526 SH 2014-111.13 (Befund 361); SH 2014-111.12 (Befund 264); SH 2014-111.17 (Befund 198); SH 2014-111.49 (Befund 370).

527 SH 2014-111.94 (Befund 205); SH 2014-111.99 (Befund 233); SH 2014-111.89 (Befund 61); SH 2014-111.81 (Befund 239); SH 2014-111.44 (Befund 230).

528 SH 2014-111.60 (Befund 8).

529 SH 2014-111.81; SH 2014-111.60.

530 SH 2014-111.60.

531 SH 2014-111.72; SH 2014-111.92; SH 2014-111.81; SH 2014-111.12.

532 SH 2014-111.98; SH 2014-111.89, SH 2014-111.2, SH 2014-111.109, SH 2014-111.97 (2 Zwingen).

533 SH 2014-111.44; SH 2014-111.83 (6 Zwingen).

534 SH 2014-111.99.

535 SH 2014-111.17; SH 2014-111.49; SH 2014-111.94; SH 2014-111.108; SH 2014-111.5; SH 2014-111.69 (2 Zwingen).

536 SH 2014-111.5.

537 SH 2014-111.13; SH 2014-111.104.

538 SH2014-111.83; SH2014-111.69.

539 SH 2014-111.111; SH 2014.111.16.

540 SH 2014-111.111 (Befund 147).

541 Leichenbrände z. B. aus LA 115, Befund 154: KIA-55437:2231±24uncalBP(384-203calBC); LA 115, Befund 227: KIA-55443:2250±24uncalBP(390-207calBC).

542 SH 2014-111.15; SH 2014-111.78.

543 SH 2014-111.105; SH 2014-111.106.

544 SH 2014-111.88.

545 SH 2014-111.14.

worden. Drei von ihnen sind aus rechteckigen bis länglich-ovalen Bronzeblechen, die zusammengeklappt wurden, gefertigt (Taf. 319.2, 325.1, 327.1).⁵⁴⁶ Sie sind zwischen 2,4 und 3,3 cm lang und zwischen 0,5 und 1 cm breit. Ein anderer eiserner Beschlag hat eine trapezoide Form und besteht aus zwei gleichen Blechen (Taf. 320.1).⁵⁴⁷ Er ist ungefähr 3,6 cm lang und hat eine Breite zwischen 0,4 und 1,4 cm. Diese mehr oder weniger rechteckigen Gürtelbeschläge können zunächst der Stufe I c / I d nach Hingst zugeordnet werden (Hingst 1983, 49). Aufgrund von Fundvergesellschaftungen können die Datierungen leicht abweichen. Das Vorkommen zusammen mit jüngeren Funden wie im Urnengrab des Befundes 241 mit einer Holsteiner Nadel⁵⁴⁸ und einem Plattengürtelhaken⁵⁴⁹ spricht eher für eine jüngere Datierung in die Stufe II a nach Hingst. Auch in Befund 231 sind zwei Beschläge mit einem Haftarmgürtelhaken vergesellschaftet, der sie in die Stufe I d / II a datiert.⁵⁵⁰ Bei den anderen beiden Beschlägen handelt es sich um gegliederte Exemplare aus Eisen. Der eine besteht aus zwei ungleichen, länglich-rechteckigen und zusammengenieteten Blechen, von denen die Vorderseite mit Rillen verziert ist (Taf. 293.3).⁵⁵¹ Die Vorderseite hat eine Länge von 2,4 cm und die Rückseite von 2,1 cm. Dabei ist er 1,1 cm breit. Der Beschlag kann der Stufe I c / I d nach Hingst zugeordnet werden (Hingst 1983, 49; ders. 1980, 49). Ein beiliegender dreieckige Gürtelhaken datiert ähnlich.⁵⁵² Der andere gegliederte Beschlag wurde ebenfalls aus zwei ungleich großen länglichen Blechen zusammengenietet, von denen die Vorderseite gewellte Ränder aufweist. Auf der Rückseite ist das angenietete Blech hingegen schmal und gerade geformt (Taf. 325.2).⁵⁵³ Ein ähnlicher Fund stammt aus Odderade (Kr. Dithmarschen) (Hingst 1983, Taf. 57, 7064d). Der vorliegende Beschlag ist ungefähr 2,4 cm lang und zwischen 0,8 und 1,1 cm breit.⁵⁵⁴ Er kann in die Stufe II a / II b nach Hingst eingeordnet werden (Fischer 2000, 72). Anhand von Beifunden, wie zum Beispiel einer Holsteiner Nadel aus dem Befund 241⁵⁵⁵ (siehe oben) kann zumindest die Einordnung in die Stufe II a unterstützt werden. Ein möglicher Beschlag⁵⁵⁶ stammt aus einem Urnengrab⁵⁵⁷ des Brandgräberfeldes LA 115 (Taf. 289.4). Es handelt sich um ein trapezoides Bronzeblechfragment mit abgerundeten Ecken. An der breiteren, plättchenartigen Seite befinden sich drei bis vier horizontale Ritzlinien. Darunter – in der Mitte des Bleches – befinden sich zwei Doppelkreise nebeneinander. Der mögliche Beschlag ist ungefähr 1,9 mal 1,7 cm groß. Fischer weist die nicht sicher einordbaren Gürtelbeschläge den Stufen I d bis II b nach Hingst zu. Anhand eines Plattengürtelhakens⁵⁵⁸ aus demselben Grab kann der Anhänger eher in die Stufe II a nach Hingst datiert werden.

8.4.1.6.12.4. Riemenzungen

Drei Riemenzungen wurden von dem Brandgräberfeld LA 115 geborgen. Zwei davon wurden aus Bronze hergestellt und in dem Urnengrab des Befundes 241 gefunden. Beide sind länglich und aus schmalen Bronzeband gefertigt. Sie wurden U-förmig um den Riemen gefaltet und enden in einem rundlich-köpfchenartig geformtem

546 SH 2014-111.14; SH 2014-111.105; SH 2014-111.78.

547 SH 2014-111.106.

548 SH2014-111.3.

549 SH2014-111.7.

550 Vgl. SH 2014-111.102.

551 SH 2014-111.88.

552 Vgl. SH 2014-111.87.

553 SH 2014-111.15.

554 SH 2014-111.15.

555 Vgl. SH 2014-111.3.

556 SH 2014-111.110.

557 Befund 45.

558 SH 2014-111.59.

Ende, das einfach profiliert abgesetzt ist (Taf. 323.1-2).⁵⁵⁹ Sie sind ungefähr 6 cm lang und haben Breiten zwischen 0,35 und 0,77 cm. Diese schmalen bandförmigen Riemenzungen gehören in die Stufe II b / II c nach Hingst (Hingst 1989, 35). Aus dem gleichen Grab stammen jedoch u. a. eine Holsteiner Nadel⁵⁶⁰ und ein Plattengürtelhaken⁵⁶¹, die den Befund in die Stufe II a datieren (siehe Kap. 8.4.1.6.8. und Kap. 8.4.1.6.12.1.). Die dritte Riemenzunge besteht aus Eisen und stammt aus der Urne von Befund 214.⁵⁶² Sie wurde aus schmalen Blechband an einer Seite um den Riemen herumgebogen. Die Faltstelle ist jedoch nicht mehr vorhanden. Das eine Ende ist spatelförmig abgesetzt. Das andere Ende weist einen Niet auf, wobei ein zweiter Niet angenommen werden könnte. Eine vergleichbare Riemenzunge konnte nicht gefunden werden. Im Allgemeinen datieren Riemenzungen in die Stufen II a und II b nach Hingst (Fischer 2000, 72). Diese Riemenzunge jedoch wurde zusammen mit einem Zungengürtelhakenfragment⁵⁶³ aus einer Urne geborgen und kann anhand dessen Datierung in die Stufe I b bis I c nach Hingst eingeordnet werden (siehe Kap. 8.4.1.6.12.1.).

8.4.1.6.13. Unbestimmte Fragmente

Vom Fundplatz sind 21 Metallfragmente bekannt. Darunter befinden sich zum einen zehn Bronzeblechfragmente (Taf. 298.2, 291.3, 294.3, 297.4)⁵⁶⁴, von denen drei thermisch verformt sind (u. a. Taf. 287.1). Bei einem Fund könnte es sich um die Fragmente eines Messers handeln⁵⁶⁵ (Taf. 53.1), ein anderer ein vollständig geschmolzener Bronzerest mit Anhaftungen von Leichenbrand⁵⁶⁶ (Taf. 54.1), vier Bronze-fragmente⁵⁶⁷ und vier Eisenfragmente (Taf. 317.3).⁵⁶⁸ Bei den verformten Fragmenten kann davon ausgegangen werden, dass sie während der Totenverbrennung mit im Feuer gelegen haben und entsprechend zerstört wurden. Eines der Bronze-fragmente⁵⁶⁹ weist Punzverzierungen auf (Taf. 162.1). Es besteht aus dünn gehämmertem Blech und stammt aus dem Körpergrab des Befundes 58 (LA 58). Womöglich zierte es einst organisches Material und kann aufgrund von Beifunden (Becher⁵⁷⁰; mondsichelförmige Bernsteinperle⁵⁷¹) in die Frühe bis Ältere Bronzezeit datiert werden. Bei einem Streufund vom Grabhügellareal LA 18 handelt es sich um ein Fragment aus Eisen mit zwei quer übereinander vernieteten Eisenblechen, bei denen es sich um ein Spornfragment handeln könnte (Taf. 89).⁵⁷² Eine weitere Einordnung ist nicht möglich.

559 SH 2014-111.6; SH 2014-111.4.

560 SH2014-111.3.

561 SH2014-111.7.

562 SH 2014-111.100.

563 SH 2014-111.45.

564 SH2014-111.85 (LA 115, Befund 51: 2 Fragmente), SH 2014-111.111 (LA 115, Befund 139: thermisch verformtes Fragment), SH 2014-111.30 (LA 115, Befund 27: thermisch verformtes Fragment), SH 2008-427.66 (142) (LA 18, Befund 88b: 2 Fragmente), L1004 (LA 57, Lesefund), SH 2014-111.23 (LA 115, Befund 82), SH 2014-111.40 (LA 115, Befund 119), SH 2014-111.21 (LA 115, Befund 6: thermisch verformtes Fragment), SH 2014-111.105 (LA 115, Befund 231).

565 SH 2008-427.66 (142) (LA 18, Befund 88b: 2 Fragmente).

566 SH 2008-427.62 (112) (LA 18, Befund 88a).

567 SH 2008-429.163 (131 + 137) (LA 58, Befund 58: 4 Fragmente).

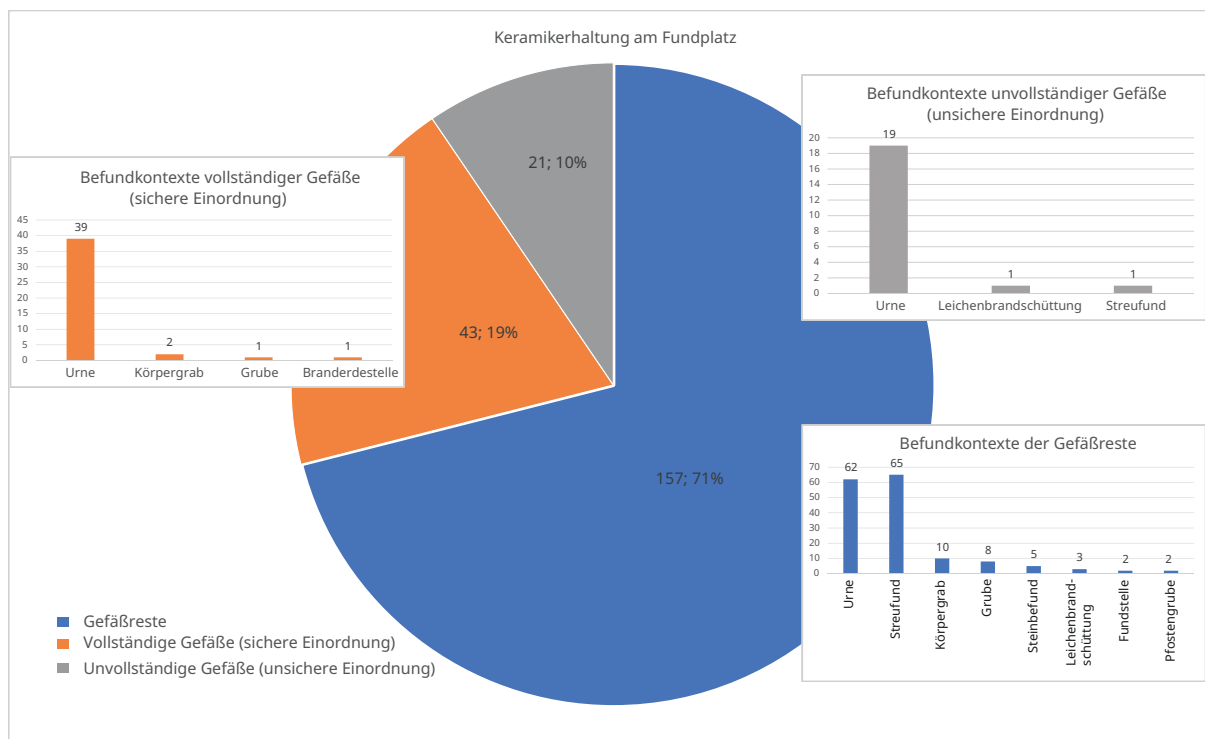
568 F2002 (Aktivität 98, Befund 2002), SH 2014-111.70 (LA 115, Befund 47), SH 2014-111.51 (LA 115, Befund 227: 2 Rostblasen).

569 SH 2008-429.163 (131 + 137).

570 Vgl. SH 2008-429.160 (123).

571 Vgl. SH 2008-429.161 (125).

572 SH 2008-427.73 (86) (LA 18, Streufund).



8.4.1.7. Keramikfunde

Wie einleitend erwähnt, werden die Keramikfunde in diesem Kapitel behandelt, sofern sie – auf der Grundlage von Metallfunden – bis Stufe I b nach Hingst datieren. Die Datierung erfolgt vorwiegend nach den Typengliederungen von Schmidt, Baudou und Hingst.

8.4.1.7.1. Erhaltung

Die vorliegenden Funde aus Keramik lassen sich in 157 Gefäßreste (71%), 21 unvollständige Gefäße (10%) und 19 vollständige Gefäße (19%) aufteilen. Die meisten der Gefäße liegen zerscherbt vor und ließen während der Fundaufnahme keinerlei Profilrekonstruktionen zu (71 %). Sie stammen dabei meistens aus Streufunden (65x) aber auch nahezu ebenso oft aus Urnen (62x). Körperbestattungen (10x), Leichenbrandschüttungsgräber (3x), Gruben (8x), Steinbefunde (5x), Fundstellen (z. B. Keramikkonzentrationen) (2x) und Pfostengruben (2x) bilden dagegen Minderheiten (Abb. 49). Einige der Gefäße konnten teilweise zusammengesetzt werden. Aufgrund ihrer Unvollständigkeit können sie jedoch nur unsicher eingeordnet werden. Dabei stammen sie fast immer aus Urnengräbern (19x) und aus je einem Leichenbrandschüttungsgrab und einem Streufund. Mit einem Gesamtkeramikanteil von 19% sind rekonstruierte und damit vollständige Gefäße vorhanden, die zudem eingeordnet werden können. Auch sie wurden meistens in Urnengrabbefunden geborgen (39x) und nur vereinzelt in Körperbestattungen (2x), Gruben (1x) oder Branderdestellen (1x).

8.4.1.7.2. Gefäßreste

Die Reste von Gefäßen lassen sich in 1251 Wandscherben (WS), 368 kleinteilige Fragmente, 51 Randscherben (RS), 46 Bodenscherben (BS), 12 Henkel, 6 Bodenansatzscherben (BAS), 1 Knubbe und 1 Wulst einteilen (Abb. 50).

Sie lassen zwar keine Profilrekonstruktionen zu und die Anzahl der vermutlichen Gefäße ist unklar, dennoch sind einige Formen von Böden, Rändern und Henkeln bzw. anderen Handhabungen feststellbar und werden im Folgendem beschrieben

Abbildung 49: Keramikerhaltung am Fundplatz von Mang de Bergen.

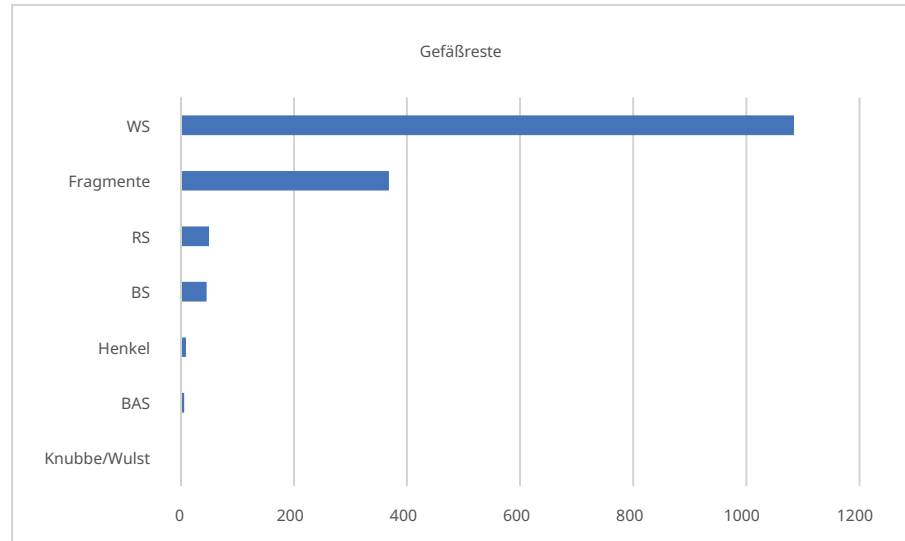


Abbildung 50: Gefäßreste vom Fundplatz von Mang de Bargaen.

und – wenn möglich und sinnvoll – anhand von Beifunden datiert. Die Datierungen sind dabei als äußerst unsicher zu bewerten, da die Gefäßform nicht bekannt ist.

Randscherben

Während eine der Randscherben nicht weiter bestimmbar ist⁵⁷³, lassen sich die restlichen 53 Randscherben in einige Formen unterteilen. 14 Randscherben weisen einen steilen geraden Rand auf, der sich verjüngen kann⁵⁷⁴ (u. a. Taf. 28.4, 58.2, 86.2, 88.2, 174.1, 181.1, 191.3, 296.3). Anhand von Beifunden und ¹⁴C-Datierungen beiliegender Leichenbrände kann diese Randform von der ausgehenden Periode III bis in die gesamte Jüngere Bronzezeit (Per. IV-VI) eingeordnet werden. Eine Randscherbe mit einem geraden, steilem und verdicktem Rand⁵⁷⁵ datiert anhand von Leichenbranddatierungen aus demselben Befund hingegen zwischen 1044 und 852 v. Chr. und damit bereits von der Mitte der Periode IV bis zur Mitte der Übergangsphase von Periode IV bis V.⁵⁷⁶ Eine weitere steile Randscherbe aus Befund 91 datiert anhand von Leichenbranddatierungen bereits von der Mitte der Periode III bis in die Mitte der Periode IV.⁵⁷⁷ Weitere vier Randscherben weisen einen schwach nach innen schwingenden Rand auf, bei dem die Randlippe verdickt ist (Taf. 92.2, Taf. 222.1).⁵⁷⁸ Anhand der Leichenbranddatierung kann die Randform sowohl in die ausgehende Ältere Bronzezeit (Per. II-III)⁵⁷⁹ als auch in die Jüngere Bronzezeit (Periode IV/V) datiert werden.⁵⁸⁰ Die Form ist damit chronologisch unscharf. Einschwingende Ränder ohne verdickten Rand sind von neun anderen Randscherben bekannt (u. a. Taf. 164.4; 191.5) und deuten anhand von Beifunden und Leichenbranddatierungen auf eine Datierung vom Ende der Periode III bis IV/V hin.⁵⁸¹ Weitere fünf Randscherben

573 SH 2008-430.2 (2.1) (LA 59, Streufund).

574 SH 2008-429.117 (129) (LA 58, Befund 75); SH 2008-427.102 (199) (LA 18, Befund 61 oder 117); SH 2008-427.97 (174) (LA 18, Befund 91(92)); SH 2008-427.18 (80) (LA 18, Streufund); SH 2014-111.375 (LA 115, Befund 92); SH 2008-427.175 (8) (LA 18, Befund 30); SH 2008-429.140 (128) (LA 58, Befund 80); SH 2008-429.4 (LA 58, Befund 19).

575 SH 2008-429.6 (LA 58, Befund 19).

576 LA 58, Befund 19, nördliche Urne: KIA-54132:2803±26uncalBP(1044-852calBC).

577 LA 18, Befund 91: KIA-54073:2921±27uncalBP(1214-1016calBC).

578 SH 2014-346.9 (LA 63, Streufund); Gesammelte Fundnummern (LA 57, Befund 1001/2001); SH2008-428.1 (1) (LA 20, Befund 72).

579 Gesammelte Fundnummern (LA 57, Befund 1001/2001); KIA-53284:3109±25uncalBP(1438-1293calBC).

580 SH 2008-428.1 (1) (LA 20, Befund 72).

581 SH 2008-429.10 (12) (LA 58, Befund 2); SH 2008-429.151 (267.2) (LA 58, Befund 78); SH 2008-429.142 (181.2) (LA 58, Befund 80).

weisen einen Kegelhalbs mit ausschwingendem, nahezu abknickendem Rand auf (u. a. Taf. 182.2, 255.3).⁵⁸² Darunter befindet sich der Gefäßrest aus Befund 76, dessen Leichenbrand vom Ende der Periode III bis an das Ende der Periode IV datiert.⁵⁸³ Einen nach außen schwingenden bis abknickenden Rand weisen des Weiteren sechs Randscherben auf (Taf. 47.3, 144.3).⁵⁸⁴ Ein Beifund datiert diese Randform in die Periode IV-IV/V nach Schmidt 1993⁵⁸⁵, während die Leichenbranddatierung des Befundes 86 eine solche Randform vom Ende der Periode IV bis zum Ende des Übergangs Periode IV zu V datiert. In vier anderen Fällen verjüngen sich die nach außen ausschwingenden Ränder (u. a. Taf. 174.4, 218.4, 295.3).⁵⁸⁶ Beifunde und Leichenbranddatierungen geben eine langlebige Datierung von der Periode III bis Stufe Ib / Ic an. Demgegenüber stehen zwei Randscherben mit einem nach außen schwingenden und leicht verdicktem Rand, die anhand der Datierung des Grubenbefundes auf Basis eines verkohlten Samens zwischen 774 und 541 v. Chr. und damit von der Mitte der Periode V bis zur Mitte der Periode VI eingeordnet werden können.⁵⁸⁷

Wandungsscherben

Die meisten der Wandscherben (1200 Scherben) geben keinerlei Hinweise mehr auf ihre ehemaligen Gefäßzugehörigkeiten und -formen.⁵⁸⁸ Davon weisen vier Scherben Speisekrusten auf.⁵⁸⁹ Der Leichenbranddatierung zufolge gehört der Befund in die Periode IV bis zum Übergang Periode IV/V.⁵⁹⁰ Bei drei weiteren Scherben eines Gefäßes wurde ein scharfer Umbruch festgestellt, der ein Hinweis auf Doppelkoni sein könnte.⁵⁹¹ Eine Leichenbranddatierung gibt eine zeitliche Einordnung vom Ende der Periode III bis an das Ende der Periode IV vor.⁵⁹² Ein Gefäß (drei Scherben) hat ein s-förmiges Profil.⁵⁹³ Bei einem anderen Gefäß (39 Scherben) konnte ein möglicher Trichterrand festgestellt werden.⁵⁹⁴ Ein Beifund dazu deutet in die Stufe I b bis I c nach Hingst 1983.⁵⁹⁵ Ein Gefäß mit fünf Wandscherben weist einen konischen Körper auf.⁵⁹⁶ Die Leichenbranddatierung desselben Befundes datiert vom Ende der Periode III bis zum Ende der Periode IV.⁵⁹⁷

Boden- und Bodenansatzscherben

Die zusammengenommenen 52 Boden- und Bodenansatzscherben lassen in 16 Fällen keinerlei Bodenrekonstruktionen zu. Andere 16 Scherben der Gesamtanzahl weisen auf einen flachen Boden hin (u. a. Taf. 82.2, 167.2).⁵⁹⁸ Bei sieben Scherben eines Gefäßes zieht der Boden leicht nach innen ein (Taf. 174.5).⁵⁹⁹ Mittels der Datierung des Leichenbrands kann das Gefäß von der Mitte der Periode IV bis zur Mitte des Übergangs von Periode IV zu V eingeordnet werden.⁶⁰⁰ Auf eine konische Gefäßform deutet

582 SH 2014-473.6 (LA 116, Befund 8); SH 2008-429.131 (178) (LA 58, Befund 76).

583 LA 58, Befund 76: KIA-54134:2851±26uncalBP(1111-927calBC).

584 SH 2008-427.38 (156) (LA 18, Befund 86); Gesammelte Fundnummern (LA 57, Befund 4003).

585 SH 2008-427.72 (191).

586 SH 2008-429.20 (22), LA 58, Befund 19-südliche Urne: KIA-54067:2880±24uncalBP(1191-937calBC); SH 2008-431.56 (98), LA 60, Streufund; SH 2014-111.371, LA 115, Befund 88.

587 SH 2014-473.4 (LA 116, Befund 8): KIA-54421:2496±24uncalBP(774-541calBC).

588 Diverse Fundnummern ungezeichneter Funde, die im Katalog beschrieben sind.

589 SH 2008-429.123 (43) (LA 58, Befund 33); Gesammelte Fundnummern (LA 57, Befund 1001/2001).

590 LA 58, Befund 33: KIA-54070:2818±23uncalBP(1045-906calBC).

591 SH 2008-427.115 (95) (LA 18, Befund 88a).

592 LA 18, Befund 88a: KIA-54115:2850±30uncalBP(1114-924calBC).

593 SH 2008-429.102 (110) (LA 58, Streufund).

594 SH 2014-111.428 (LA 115, Befund 214).

595 Vgl. SH 2014-111.45.

596 SH 2008-429.128 (166) (LA 58, Befund 127).

597 LA 58, Befund 127: KIA-54068:2871±25uncalBP(1125-932calBC).

598 SH 2008-427.50 (64.1) (LA 18, Befund 107); SH 2008-427.129 (114.1) (LA 18, Befund 71); SH 2008-429.101 (109) (LA 58, Streufund); SH 2008-429.25 (26) (LA 58, Befund 13).

599 SH 2008-429.17 (19) (LA 58, Befund 19, nördliche Urne).

600 LA 58, Befund 19 (nördliche Urne): KIA-54132:2803±26uncalBP(1044-852calBC).

die Bodenscherbe eines weiteren Gefäßes (Taf. 195).⁶⁰¹ Die Leichenbranddatierung desselben Befundes gibt eine Zeitspanne vom Ende der Periode III bis zum Ende der Periode IV vor.⁶⁰² Ein Boden mit abgesetztem Fuß ist aus dem Urnengrab des Grabhügels LA 57 (Taf. 144.9), sowie von der Urne des Befundes 117 (LA 18) bekannt (Taf. 86.3).⁶⁰³ Letzterer datiert auf Basis einer Leichenbranddatierung desselben Befundes zwischen 1120 und 931 v. Chr.⁶⁰⁴, d. h. vom Ende der Periode III bis zum Ende der Periode IV. Zwölf Bodenscherben zweier Gefäße weisen des Weiteren Speisekrusten auf.⁶⁰⁵

Handhaben

Einzelne Henkel

Von den elf Henkeln liegen vier fragmentarisch (u. a. Taf. 34.2, 92.1)⁶⁰⁶ und zwei als Henkelansatzscherbe vor (Taf. 164.4).⁶⁰⁷ Eine der Henkelansatzscherben ist randständig und kann anhand der Leichenbranddatierung in die Periode IV bis zum Übergang Periode IV/V eingeordnet werden.⁶⁰⁸ Des Weiteren gibt es einen bandförmigen Henkel (Taf. 181), der anhand eines Leichenbrandes in die Periode IV bis Übergang IV/V datiert werden kann.⁶⁰⁹ Zwei Henkel sind randständig (Taf. 182.2; 191.4).⁶¹⁰ Eine mit umlaufender Rillenzier auf der Wandung und senkrechten Rillen auf der Öse verzierte Henkelöse kommt hinzu (Taf. 191.2).⁶¹¹ Ein neuzeitlicher Henkel mit Glasurspuren wurde als Streufund im Grabhügelareal des LA 57 aufgefunden.⁶¹²

Knubben und Leisten

Zwei Knubben konnten auf je einer Scherbe erkannt werden (Taf. 92.1; 144.2.8).⁶¹³ Beide gehören nach Leichenbranddatierungen zu Gefäßen der Jüngeren Bronzezeit (ungefähr Periode IV-V). Eine der Knubben weist auf einem anderen fragmentierten Gefäß zusätzlich eine plastische Leiste mit einer deutlich ausgearbeiteten Kante auf (Taf. 144.8.6).⁶¹⁴

Rauungen

Insgesamt waren 226 aller Scherben von Gefäßresten geraut.⁶¹⁵ Manchmal betraf die Rauung lediglich das Gefäßunterteil unterhalb des Bauchumbruchs.⁶¹⁶ Von

601 SH 2008-429.128 (166) (LA 58, Befund 127).

602 LA 58, Befund 127: KIA-54068:2871±25uncalBP(1125-932calBC).

603 F4081 (LA 57, Befund 4003); SH 2008-427.100 (195) (LA 18, Befund 117).

604 LA 18, Befund 117: KIA-55422:2863±26uncalBP(1120-931calBC).

605 SH 2008-429.124/ (56) (LA 58, Befund 33); SH 2008-429.123 (43) (LA 58, Befund 33).

606 SH2008-428.1 (1) (LA 20, Befund 72); Gesammelte Fundnummern (LA 57, Befund 1001/2001); SH 2008-427.179 (40) (LA 18, Befund 63).

607 SH 2008-429.10 (12) (LA 58, Befund 2); SH2008-428.1 (1) (LA 20, Befund 72).

608 SH 2008-429.10 (12), LA 58, Befund 2: KIA-54069:2808±24uncalBP(1043-901calBC).

609 SH 2008-429.117 (129) (LA 58, Befund 75).

610 SH2008-429.131 (178) (LA 58, Befund 76); SH 2008-429.142 (181.3) (LA 58, Befund 80).

611 SH 2008-429.142 (181.4) (LA 58, Befund 80).

612 F3048 (LA 57, Streufund).

613 Gesammelte Fundnummern (LA 57, Befund 4003); SH 2008-428.1 (1) (LA 20, Befund 72).

614 Gesammelte Fundnummern (LA 57, Befund 4003).

615 SH 2008-427.9 (31) (LA 18, Streufund); SH 2008-430.16 (16) (LA 59, Streufund); SH 2008-429.104 (112) (LA 58, Streufund); SH 2008-429.119 (136) (LA 58, Befund 58); SH 2008-429.120 (165) (LA 58, Befund 105); SH 2008-429.88 (33) (LA 58, Streufund); SH 2008-429.97 (99) (LA 58, Streufund); SH 2008-429.112 (122) (LA 58, Streufund); SH 2008-427.79 (136) (LA 18, Befund 82); SH 2008-427.18 (80) (LA 18, Streufund); SH 2008-429.103 (111) (LA 58, Streufund); SH 2008-429.100 (107) (LA 58, Streufund); SH 2008.429.102 (110) (LA 58, Streufund); SH 2008-429.141 (144) (LA 58, Befund 130); SH 2008-427.179 (40) (LA 18, Befund 63); SH 2008-429.6 (LA 58, Befund 19); SH 2008-427.51 (66) (LA 18, Befund 108); SH 2008-427.38 (156) (LA 18, Befund 86); SH 2008-427.38 (156) (LA 18, Befund 86); SH 2008-427.50 (64.1) (LA 18, Befund 107); SH 2008-429.6 (LA 58, Befund 19).

616 SH 2008-427.179 (40) (LA 18, Befund 63); SH 2008-429.6 (LA 58, Befund 19).

den gerauten Scherben konnte auf zwölf Scherben ein Schlickerauftrag festgestellt werden.⁶¹⁷

Verzierungen⁶¹⁸

Eine Scherbe weist eine horizontal verlaufende Rille auf und kann anhand von Beifunden in die Stufe I b bis I c nach Hingst 1983 datiert werden (Taf. 295.3).⁶¹⁹ Bei einem Kegelhalsgefäßrest konnte des Weiteren ein umlaufendes Zierband aus Fingernageleindrücken am Hals festgestellt werden, wobei der Bauch geraut ist (Taf. 255.3) und der Befunddatierung zufolge in die Periode V bis VI eingeordnet werden kann.⁶²⁰ Beide Verzierungselemente sind in der Jüngerer Bronzezeit und vorrömischen Eisenzeit geläufig. Fingernagelreihen kommen zum Beispiel häufig auf eingliedrigen Tonnen vor (Schmidt 1993, 91, 94).

8.4.1.7.3. Gefäße

8.4.1.7.3.1. Doppelkoni

Vom Fundplatz liegen zwei Doppelkoni und ein weiterer möglicher Doppelkonus vor. Aus dem Urnengrab des Befundes 78 (LA 58) stammt ein Doppelkonus⁶²¹ mit Deckgefäß⁶²². Die Urne ist eingliedrig, breitbauchig und weitmundig (Taf. 188). Das Gefäß weist einen geraden einziehenden Hals mit einem ebenso geraden und dabei sich verjüngenden Rand auf. Der Bauchumbruch ist gerundet und mittelständig. Der Boden ist flach und zieht minimal nach innen ein. Das Gefäß ist mit einem Bauchdurchmesser von ungefähr 20 cm mit einer Gesamthöhe von 12,8 cm breiter als hoch. Der Doppelkonus ist innen und außen geglättet und die Magerung ist tendenziell grob. Das Gefäß kann dem Typ A 1 b nach Schmidt zugeordnet werden und datiert damit in die Periode IV (Schmidt 1993, 75). Der spiralförmige Ring aus der Urne unterstützt diese Datierung.⁶²³ Ein weiterer Doppelkonus⁶²⁴ ist aus dem Urnengrab des Befundes 30 (LA 18) bekannt (Taf. 29-30). Es handelt sich um ein weitmundiges⁶²⁵, eingliedriges Gefäß mit einem scharfen, oberständigen Umbruch. Der maximale Bauchdurchmesser liegt bei 30,2 cm bei einer Gesamthöhe von bis zu 21,5 cm. Die Außen- und Innenflächen sind geglättet und die Magerung ist mineralisch und grob. Die Urne kann dem Typ A 1 c nach Schmidt zugeordnet und entsprechend in die Periode IV datiert werden (Schmidt 1993, 75). Der Beifund eines Bronzefriems datiert derweil in die Periode IV mit Tendenz zum Übergang der Periode IV bis V⁶²⁶ und eine verzierte Knochennadel in die Periode IV⁶²⁷, sodass die Datierung nach der Gefäßform somit mehr oder weniger bestätigt werden könnte. Die Datierung des Leichenbrandes spricht für eine zeitliche Einordnung der Urne zwischen 1200 und 1002 v. Chr. und damit ab der Mitte der Periode III bis zur Mitte

617 SH 2008-429.104 (112) (LA 58, Streufund); SH 2008-429.112 (122) (LA 58, Streufund); SH 2008-429.100 (107) (LA 58, Streufund); SH 2008-429.4 (LA 58, Befund 19).

618 Die Grenzen zwischen Funktionalität und Zier sind in der Regel fließend. Zu Verzierungen können deswegen im Allgemeinen auch Rauungen zählen. In der vorliegenden Arbeit wurden geraute Scherben jedoch den Handhabungen zugewiesen, um den funktionalen Charakter hervorzuheben.

619 SH 2014-111.371 (LA 115, Befund 88).

620 SH 2014-473.6 (LA 116, Befund 8).

621 SH 2008-429.150 (266).

622 siehe unten, SH 2008-429.151 (267.1).

623 SH 2008-429.38 (268).

624 SH 2008-427.41 (215).

625 Randedurchmesser: 27,2 cm.

626 Vgl. SH 2008-427.70 (216).

627 Vgl. SH 2008-427.31 (217).

der Periode IV.⁶²⁸ Ein möglicher Doppelkonus⁶²⁹ stammt aus dem Urnengrab des Befundes 106 (LA 18). Er besteht nur noch aus einem Gefäßunterteil, das konisch mit einem nahezu hohlkehligem Bodenansatz ausgestattet ist (Taf. 81.2). Die Oberfläche ist am Unterteil geraut, während das Oberteil und die Innenfläche geglättet wurden. Die mineralische Magerung ist tendenziell grob. Eine Einordnung anhand der Form war nicht mehr möglich. Sofern es sich um einen Doppelkonus handelte, dürfte eine Datierung in die Periode IV plausibel sein, da Doppelkoni in Norddeutschland überwiegend für diese Zeit nachweisbar sind (Schmidt 1993, 75f.). Diesen Zeitraum bestätigt auch der Leichenbrand und datiert den Befund zwischen 1124 und 930 v. Chr., d. h. vom Ende der Periode III bis zum Ende der Periode IV.⁶³⁰

8.4.1.7.3.2. Tonnen

Vom Fundplatz sind insgesamt neun tonnenförmige Gefäße erhalten, die sich in sieben eingliedrige und zwei zweigliedrige Tonnen unterteilen lassen.

Eingliedrige Tonnen

Fünf der eingliedrigen Tonnen stammen aus Urnengräbern des Grabhügels LA 18, während zwei weitere von LA 58 vorliegen. Bei zwei dieser Gefäße⁶³¹ handelt es sich um Tonnen mit konischem Oberteil und damit nicht um den klassischen Gefäßtyp der eingliedrigen Tonne. Bei zwei Urnen aus Befund 101 (mit Deckgefäß)⁶³² und Befund 86⁶³³ (LA 18) handelt es sich um unverzierte eingliedrige Tonnen mit einer gleichmäßig gewölbten, nahezu zylindrischen Wandung (Taf. 48; 72). Sie sind hoch und besitzen keinen abgesetzten Hals. Der Rand ist leicht nach innen geneigt. Beide wurden auf der Außenseite mit einem Schlickerauftrag geraut und innen geglättet. Die Magerung ist mineralisch und grob bis sehr grob. Eine der Urnen ist 18,5 cm hoch (Taf. 72)⁶³⁴, während die andere eine Höhe von 25 cm erreicht (Taf. 48).⁶³⁵ Beide Gefäße können dem Typ F 2 a nach Schmidt zugeordnet werden und datieren somit in die Periode IV und den Übergang Periode IV/V (Schmidt 1993, 81). Die Spiralringfragmente aus Befund 86 datieren auch in die Periode IV oder jünger⁶³⁶ und werden von der Leichenbranddatierung des Befundes 86 bestätigt, die zwischen 921 und 819 v. Chr., d. h. vom Ende der Periode IV bis zum Beginn von Periode V datiert.⁶³⁷ Der gleiche zeitliche Horizont wird von der relativen Datierung des im Befund 101 beiliegenden Doppelknopfes angegeben, jedoch weist die Leichenbranddatierung desselben Befundes (101) in einen etwas früheren Abschnitt: Mitte Periode III bis Ende Periode IV.⁶³⁸ Ein Urnenrest mit Deckgefäß (siehe unten) aus dem Urnengrab von Befund 58⁶³⁹ (LA 18) könnte aufgrund der gleichmäßigen Wandungswölbung ebenso auf eine eingliedrige Tonne des Typ F nach Schmidt hindeuten und würde somit in die Periode IV bis V datieren (Schmidt 1993, 80). Die Urne weist eine Fingertupfenleiste auf (Taf. 31.3), die nach Schmidt eher selten in Grabkontexten vorkommen (Schmidt 1993, 95). Die starke Fragmentierung des Gefäßes kann eine Tonne lediglich vermuten lassen. Es könnte sich jedoch ebenso um einen Napf handeln. Die Datierung des Leichenbrandes überrascht, da sie den Befund

628 LA 18, Befund 30: KIA-54108:2893±24uncalBP(1200-1002calBC).

629 SH 2008-427.49 (62).

630 LA 18, Befund 106: KIA-54075:2866±28uncalBP(1124-930calBC).

631 SH 2008-429.135 (85), 136 (90), 137 (92), 138 (96), 143 (84), 144 (86), 146 (88.1), 147 (89.2), 148 (91), 149 (93); SH2008-429.132 (192) + SH2008-429.117 (129).

632 SH 2008-427.222 (164) (Deckgefäß: SH2008-427.58 (165)).

633 SH 2008-427.37 (190).

634 SH 2008-427.222 (164).

635 SH 2008-427.37 (190).

636 Vgl. SH 2008-427.72 (191).

637 LA 18, Befund 86: KIA-54109:2733±23uncalBP(921-819calBC).

638 LA 18, Befund 101: KIA-54077:2887±28uncalBP(1200-939calBC).

639 SH 2008-427.183 (138).

zwischen 1433 und 1291 v. Chr. datiert, d. h. von der Mitte der Periode II bis zum Beginn der Periode III einordnet und somit älter datiert als erwartet.⁶⁴⁰ Die frühen Urnen des Fundplatzes haben demnach noch älterbronzezeitliche Formen, die noch nicht in das jüngerbronzezeitliche Formengut eingeordnet werden können. Bei der Urne aus Befund 61⁶⁴¹ (LA 18) handelt es sich auch um eine eingliedrige Tonne, die hingegen ein langes konisches Oberteil mit einem steilen Hals besitzt. Am Hals sitzt ein Henkel. Des Weiteren hat sie einen ausgestellten Fuß (Taf. 33). Innen und außen wurde sie geglättet – davon zeugen teilweise deutliche Verstreichspuren. Die Magerung ist sehr grob und setzt sich aus mineralischen Komponenten sowie Schamotte zusammen. Das Gefäß kann dem Typ G 1 nach Schmidt zugeordnet und entsprechend in die Periode IV datiert werden. Das Beigefäß zur Urne datiert anhand seiner Form in die Periode IV bis V.⁶⁴² Anhand des Leichenbrandes kann die Urne zwischen 1055 und 837 v. Chr., d. h. von der Mitte der Periode IV bis zum Übergang der Periode IV/V datiert werden.⁶⁴³ Bei der Urne des Befundes 62⁶⁴⁴ (LA 58) handelt es sich um eine Tonne mit konischem Ober- und Unterteil, sowie einem mittelständigen gerundeten Umbruch und einer kurzen Schulter. Der konkav einschwingende Kegelhals ist mit schulterständigen Henkeln und einem sich leicht verjüngenden Rand versehen (Taf. 178). Das Gefäß ist unterhalb des Umbruchs geraut – teilweise mit Schlickerüberzug – und am Umbruch sowie darüber geglättet. Die Magerung ist mineralisch und tendenziell grob. Das Gefäß hat eine Gesamthöhe von 35,5 cm und gehört damit zu den größten rekonstruierten Gefäßen des Fundplatzes. Es entspricht dem Typ G 2 nach Schmidt und datiert demnach in die Periode IV bis zum Übergang Periode IV bis V (Schmidt 1993, 82). Die Urne war mit einem Deckgefäß bedeckt, das in die Periode V-VI datiert,⁶⁴⁵ sodass der Befund insgesamt in die jüngere Bronzezeit eingeordnet werden muss. Mithilfe des Leichenbrandes kann der Befund zwischen 1125 und 931 v. Chr. und damit vom Ende der Periode III bis zum Ende der Periode IV datiert werden.⁶⁴⁶ Ein ähnliches Gefäß ist aus dem Urnengrab des Befundes 75⁶⁴⁷ (LA 58) bekannt. Es ist flachbodig, hat einen gerundeten Umbruch und eine kurze Schulter mit zwei gegenständigen Ösenhenkeln. Der Hals ist steil mit einem sich verjüngenden Rand (Taf. 181). Das Gefäß ist sowohl innen als auch außen geglättet und teilweise poliert. Die Magerung ist mineralisch und grob. Das Gefäß kann ebenfalls dem Typ G 2 nach Schmidt zugeordnet werden und würde damit in die Periode IV bis Übergang IV bis V datieren (Schmidt 1993, 82). Die Vasenkopfnadel aus der Urne datiert den Befund in die Periode V,⁶⁴⁸ während der Leichenbrand die Datierung nach der Gefäßform mit einem Datum bestätigt, das von der Periode IV bis zum Beginn des Übergangs von Periode IV zu V reicht.⁶⁴⁹ Die Urne des Befundes 109⁶⁵⁰ (LA 18) ist eingliedrig, tonnenförmig und hat einen langen konischen Hals (Taf. 83.2). Der Henkel befindet sich im Schulter-Hals Bereich. Auf der Außenseite ist das Oberteil geglättet, während das Unterteil unterhalb des Bauchumbruchs geraut wurde. Die Innenseite ist geglättet. Gemagert wurde das Gefäß mit grober mineralischer Magerung. Die Urne kann nur unsicher dem Typ G 3 nach Schmidt zugeordnet werden und würde damit in die Periode IV bis zum Übergang IV bis V datieren (Schmidt 1993, 82). Die Leichenbranddatierung lässt eine Einordnung des

640 LA 18, Befund 58: KIA-55413:3105±26uncalBP(1433-1291calBC).

641 SH 2008-427.101 (197).

642 Vgl. SH 2008-427.196 (175.2).

643 LA 18, Befund 61: KIA-54084:2810±35uncalBP(1055-837calBC).

644 SH 2008-429.135 (85), 136 (90), 137 (92), 138 (96), 143 (84), 144 (86), 146 (88.1), 147 (89.2), 148 (91), 149 (93)).

645 Vgl. SH 2008-429.145 (85) (gehört zusammen mit 2008-429.147 (89); 146 (88.2)).

646 LA 58, Befund 62: KIA-54137:2869±26uncalBP(1125-931calBC).

647 SH 2008-429.132 (192) + SH2008-429.117 (129).

648 Vgl. SH2008-429.40 (194).

649 LA 58, Befund 75: KIA-54072:2819±23uncalBP(1046-906calBC).

650 SH 2008-427.36 (123).

Befundes zwischen 1107 und 913 v. Chr. und damit vom Ende der Periode III bis zum Beginn des Übergangs von den Perioden IV/V zu.⁶⁵¹ Sie war einst mit einem Deckgefäß abgedeckt worden, das nicht mehr rekonstruiert werden konnte.

Zweigliedrige Tonnen

Die beiden zweigliedrigen Tonnen sind vom Grabhügel LA 18 bekannt und stammen aus den Urnengräbern der Befunde 87⁶⁵² (Taf. 49.2, 50) und 91.⁶⁵³ Beide haben ein konisches Unterteil, einen kurzbogigen Umbruch und eine kleine Schulter, die in einen leicht einziehenden kurzen Rand übergeht. Ein richtiger Hals fehlt. Die Urne aus Befund 91 hat zwei gegenständige Henkel auf der kleinen Schulter. Beide Urnen wurden außen und innen geglättet und die Magerung ist mineralisch und tendenziell grob. Beide waren mit einer Deckschale abgedeckt (Taf. 49.1).⁶⁵⁴ Die Urnen entsprechen dem Typ B 1 a nach Schmidt und können somit in die Perioden IV bis IV/V datiert werden (Schmidt 1993, 76). Die Deckschale der Urne aus Befund 91 datiert in die Jüngere Bronzezeit mit Schwerpunkt in der Periode V bis VI.⁶⁵⁵ Der Leichenbrand desselben Befundes gibt eine Einordnung der Urne bereits zwischen 1214 und 1016 v. Chr. und damit von der Mitte der Periode III bis zur Mitte der Periode IV an.⁶⁵⁶ Der Leichenbrand der Urne aus Befund 87 gibt des Weiteren eine Datierung zwischen 1104 und 910 v. Chr. und damit vom Ende der Periode III bis zum Übergang von Periode IV zu V vor.⁶⁵⁷

8.4.1.7.3.3. Terrinen

Vom Fundplatz liegen 19 Terrinen vor, die in 17 eingliedrige, eine zweigliedrige und eine möglicherweise dreigliedrige Terrine unterteilt werden können.

Eingliedrige Terrinen

Eine kleine Terrine⁶⁵⁸ ist aus einem Urnengrab des Grabhügels LA 18 bekannt (Taf. 65). Sie hat eine leicht doppelkonische Form mit einem weich gerundeten, mittelständigen Umbruch. Dabei hat sie einen geraden bis leicht konkav einziehenden Hals. Die Terrine hat ein sehr unregelmäßig nahezu bauchiges Unterteil bei einer Gesamthöhe von 13,9 cm und einem Bauchdurchmesser von 22,2 cm. Das Unterteil ist geraut, während das Oberteil geglättet ist. Die Magerung ist mineralisch und grob. Von einer Zuordnung zu den Doppelkoni wurde aufgrund der stark gewölbten und weniger konischen Wandung abgesehen. Das Gefäß kann wahrscheinlich dem Typ H 1 b nach Schmidt zugeordnet werden und datiert damit in die Jüngere Bronzezeit (Schmidt 1993, 83). Ihr Deckgefäß kann in die Jüngere Bronzezeit mit Schwerpunkt in die Periode IV eingeordnet werden.⁶⁵⁹ Die Datierung des Befundes auf Basis des Leichenbrandes ermöglichte einen absoluten Zeitraum zwischen 1014 und 897 v. Chr.⁶⁶⁰ (Mitte der Periode IV bis zur Mitte des Übergangs von Periode IV zu Periode V) und passt damit zu der relativchronologischen Einordnung. Vom Grabhügel LA 58 stammen ebenso zwei eingliedrige Terrinen aus zwei Urnengräbern.⁶⁶¹ Aus Befund 80 liegt dabei eine Terrine mit einem nahezu doppelkonischen Profil mit weichem Bauchumbruch vor (Taf. 192-193). Der Hals-Schulter-Übergang ist dabei mit einer umlaufenden Rille verziert und die Schulter wird damit vom Hals optisch

651 LA 18, Befund 109: KIA-54138:2837±26uncalBP(1107-913calBC).

652 SH 2008-427.33 (166).

653 SH 2008-427.34 (159).

654 siehe unten, SH2008-427.56+7; SH 2008-427.112 (167).

655 Vgl. SH 2008-427.96 (158).

656 LA 18, Befund 91: KIA-54073:2921±27uncalBP(1214-1016calBC).

657 LA 18, Befund 87: KIA-54081:2834±25uncalBP(1104-910calBC).

658 SH 2008-427.43 (147) (LA 18, Befund 95).

659 Vgl. SH 2008-427.56 (129) + 57 (146).

660 LA 18, Befund 95: KIA-55417:2800±22uncalBP(1014-897calBC).

661 SH 2008-429.142 (181.1) (LA 58, Befund 80); SH 2008-429.26 (28.2) (LA 58, Befund 2).

getrennt. Der Boden ist nach außen flachbodig und weist nach innen eine leichte Wölbung auf. Das Gefäß ist innen und außen geglättet und wurde grob mineralisch gemagert. Es entspricht dem Typ H 1 b nach Schmidt und datiert somit in die Jüngere Bronzezeit (Schmidt 1993, 83). Der Leichenbrand aus dem Befund datiert die Terrine zwischen 1119 und 931 v. Chr., d. h. vom Ende der Periode III bis zum Ende der Periode IV.⁶⁶² Die Terrine aus Befund 2⁶⁶³ (LA 58) ist ebenfalls leicht doppelkonisch mit einem weichen mittelständigen Bauchumbruch (Taf. 165.1, 166.1). Der Boden ist schmal und flach und nach innen leicht gewölbt. Der Hals-Rand-Bereich zieht leicht nach innen ein. Das Gefäß ist unverziert und wird sowohl innen als auch außen geglättet und dabei mineralisch grob gemagert. Zu der Terrine gehört eine Deckschale (siehe unten). Die Urne kann ebenso dem Typ H 1 b nach Schmidt zugeordnet werden und datiert entsprechend in die Jüngere Bronzezeit (Schmidt 1993, 83). Die zugehörige Deckschale kann der Periode IV bis V zugewiesen werden.⁶⁶⁴ Anhand von der Leichenbranddatierung ist eine genauere Einordnung dieser Terrine zwischen 1043 und 901 v. Chr. und damit in die Periode IV bis zum Übergang von Periode IV bis V möglich.⁶⁶⁵ Eine Urne⁶⁶⁶ aus dem Befund 111 (LA 18) ist eingliedrig, terrinenförmig mit einem weich gerundeten, mittelständigen Umbruch (Taf. 85). Das Gefäß hat einen leicht einschwingenden Hals und mündet in einem gerade abgestrichenen Rand. Das Oberteil ist geglättet, während das Unterteil, unterhalb des Bauchumbruchs, geraut ist. Die Gefäßinnenfläche ist geglättet und weist deutliche Verstreichspuren auf. Die Magerung ist mineralisch und grob. Das Gefäß kann dem Typ H 1 b nach Schmidt zugewiesen werden und datiert somit in die Jüngere Bronzezeit (Schmidt 1993, 83). Eine sichere Einordnung ist mithilfe der Leichenbranddatierung zwischen 1047 und 909 v. Chr., d. h. von der Mitte der Periode IV bis zum Übergang Periode IV/V möglich.⁶⁶⁷ Die Urne war mit einem Deckgefäß abgedeckt worden, das nicht mehr rekonstruiert werden konnte.⁶⁶⁸ Vom Brandgräberfeld LA 115 ist eine eingliedrige Terrine bekannt, die aus einem Urnengrab stammt (Taf. 330).⁶⁶⁹ Das Gefäßunterteil ist konisch und geraut und geht in einen weichen mittelständigen Umbruch über, der in einen geraden bis minimal einziehenden Hals mit einem sich verjüngenden, leicht abgesetzten Rand mündet. Das Oberteil ist dabei geglättet. Die Magerung ist mineralisch und grob. Die Urne erinnert ein wenig an die Lausitzer Steilwandterrinen und kann wahrscheinlich dem Typ H 1 b nach Schmidt zugeordnet werden und würde somit in die Jüngere Bronzezeit datieren (Schmidt 1993, 83). Der Befund eines Pfriems lässt den Befund dabei tendenziell in die Periode IV bis IV/V einordnen.⁶⁷⁰ In denselben Zeithorizont weist die Leichenbranddatierung.⁶⁷¹ Eine Urne aus dem Befund 107 (LA 18) ist nur fragmentarisch erhalten.⁶⁷² Sie scheint einen weichen, unter- bis mittelständigen Umbruch zu haben und zieht konkav ein (Taf. 82.1). Die Gefäßhöhe und -breite ist nicht sicher zu rekonstruieren. Möglicherweise handelt es sich um eine eingliedrige Terrine vom Typ H 1 b nach Schmidt, die dann in die Jüngere Bronzezeit datieren würde (Schmidt 1993, 83). Eine Einordnung in die Doppelkoni ist aufgrund des hängenden Unterteils eher auszuschließen. Die Datierung des zum Befund gehörigen Leichenbrandes datiert den Befund zwischen 1015 und 897 v. Chr.⁶⁷³, d. h. von der Mitte der

662 LA 58, Befund 80: KIA-54136:2861±26uncalBP(1119-931calBC).

663 SH 2008-429.26 (28.2).

664 Vgl. SH 2008-429.26 (28.1).

665 LA 58, Befund 2: KIA-54069:2808±24uncalBP(1043-901calBC).

666 SH 2008-427.44 (154.1).

667 LA 18, Befund 111: KIA-54080:2822±23uncalBP(1047-909calBC).

668 Vgl. SH 2008-427.53 (153).

669 SH 2014-111.62 (LA 115, Befund 321).

670 Vgl. SH 2014-111.112.

671 LA 115/LA 21, Befund 321: KIA-54116:2798±26uncalBP(1015-844calBC).

672 SH 2008-427.50 (64.2) (LA 18, Befund 107).

673 LA 18, Befund 107: KIA-55420:2801±22uncalBP(1015-897calBC).

Periode IV bis zur Mitte des Übergangs von Periode IV zu V. Eine eingliedrige Terrine aus dem Urnengrab des Befundes 92 (LA 18) weist einen weitbogigen Umbruch auf (Taf. 60.2).⁶⁷⁴ Sie hat dabei einen einschwingenden und leicht ansteigenden Hals. Ihr Unterteil ist geraut, während ihr Oberteil geglättet und teilweise unregelmäßig poliert worden ist. Die Gefäßinnenseite ist geglättet und die Magerung ist mineralisch grob. Das Gefäß war mit einer Deckschale⁶⁷⁵ ausgestattet und mit mindestens einem weiteren Beigefäß⁶⁷⁶ niedergelegt (siehe unten). Die Urne kann dem Typ H 2 a nach Schmidt zugewiesen werden und datiert damit in die Periode IV bis V (Schmidt 1993, 83). Das Deckgefäß der Urne datiert des Weiteren in die Periode V bis VI,⁶⁷⁷ während die zweite Schale, die in dem Befund gefunden wurde, von der Periode IV bis zum Beginn der Periode V eingeordnet werden kann.⁶⁷⁸ Die Datierung des in der Urne gefundenen Leichenbrandes gibt eine Datierung des Befundes zwischen 1111 und 927, d. h. vom Ende der Periode III bis zum Ende der Periode IV vor.⁶⁷⁹ Eine Urne des Befundes 104 (LA 18) liegt fragmentiert vor.⁶⁸⁰ Es handelt sich wahrscheinlich um eine eingliedrige Terrine mit einem mehr oder weniger weitbogigen Umbruch (Taf. 77.2). Das Gefäß hat einen steilen Hals mit geradem Rand, der einen leicht verdickten Abschluss nach außen aufweist. Sie ist sowohl außen, als auch innen geglättet worden und hat eine grobe mineralische Magerung. Auch sie wurde mit einer Schale abgedeckt.⁶⁸¹ Die Urne kann nur sehr unsicher dem Typ H 2 a nach Schmidt zugeordnet werden und würde damit in die Periode IV bis V datieren (Schmidt 1993, 83). Die beiliegende Deckschale kann ebenfalls lediglich unsicher eingeordnet und in die Jüngere Bronzezeit, vor allem in die Periode V/VI datiert werden.⁶⁸² Die Datierung des Leichenbrandes bestätigt diese Datierung, indem sie einen Zeitraum zwischen 1055 und 905 v. Chr. (Mitte Per. IV bis Mitte Übergang Per. IV/V) aufzeigt. Aus dem Urnengrab des Befundes neun (LA 64) liegt ein Gefäßrest⁶⁸³ vor, der nur unsicher bestimmt werden kann (Taf. 243.2). Es handelt sich um eine Terrine mit einem scharfen, doppelkonischen Umbruch. Der Rand knickt leicht nach außen ab und macht einen leichten Bogen. Der Boden ist geraut und geht fließend in den Bauch über. Die Urne wurde außen und innen geglättet. Die Magerung ist grob und besteht sowohl aus mineralischen Partikeln, als auch aus Muschelgruß. Eine Einordnung zu dem Typ H 2 b nach Schmidt wird vermutet. Die Datierung in die Periode IV bis V ist entsprechend unsicher (Schmidt 1993, 83). Das Gefäß war mit einem Deckgefäß abgedeckt (siehe unten).⁶⁸⁴ Das Urnengrab vom Befund 99 (LA 18) barg eine eingliedrige Terrine⁶⁸⁵ mit einem konischen Unterteil und einem eher oberständigen Umbruch mit flacher Schulter, die in einen kurzen steilen Hals übergeht (Taf. 67.3, 68). Gegenständige Ösenhenkel befinden sich dabei auf dem Umbruch. Außen und innen wurde das Gefäß geglättet. Die Magerung ist mittelfein und mineralisch. Das Gefäß entspricht dem Typ H 2 c nach Schmidt und datiert damit tendenziell in die Periode VI (Schmidt 1993, 83). Der Befund eines Pfriemes lässt den Befund in die Periode IV bis Übergang Periode IV/V einordnen.⁶⁸⁶ Die Datierung des Leichenbrandes gibt derweil einen Zeitraum zwischen 1015 und 852 v. Chr. und damit von der Mitte der Periode IV bis zur Mitte der

674 SH 2008-427.93 (149) (LA 18, Befund 92).

675 Vgl. SH 2008-427.92 (148).

676 Vgl. Schale: SH 2008-427.94 (151.1) und unbestimmter Gefäßrest: SH 2008-427.94 (151.2).

677 SH 2008-427.92 (148) + 95 (151.1).

678 Vgl. SH 2008-427.94 (151.1).

679 LA 18, Befund 92: KIA-54076:2851±27uncalBP(1111-927calBC).

680 SH 2008-427.40 (58.1).

681 Vgl. SH 2008-427.40 (58.2).

682 Vgl. SH 2008-427.40 (58.2).

683 SH 2014-351.2+4 (LA 64, Befund 9).

684 SH 2014-351.3.

685 SH 2008-427.75 (100).

686 Vgl. SH 2008-427.61 (105).

Übergangsphase der Periode IV bis V vor.⁶⁸⁷ Eine kleine, eingliedrige Terrine ist aus dem Urnengrab von Befund 80 (LA 18) bekannt.⁶⁸⁸ Es hat ein nahezu konisches bis leicht gerundetes Unterteil und geht dann in einen oberständigen Umbruch über. Die Schulter ist flach und mündet in einen kurzen steilen Hals. Gegenständige Henkel befinden sich auf der Schulter (Taf. 43.2, 44). Sowohl auf der Außen- als auch der Innenseite wurde die Urne geglättet. Die Magerung ist mineralisch und sehr grob. Das Gefäß entspricht dem Typ H 2 c nach Schmidt und datiert somit vorwiegend in die Periode VI (Schmidt 1993, 83). Der beiliegende Doppelknopf deutet in die Periode IV bis IV/V.⁶⁸⁹ Der Leichenbrand, der aus der Urne gewonnen wurde, datiert den Befund zwischen 1077 und 912 v. Chr., d. h. von der Mitte der Periode IV bis zur Übergangsphase von Periode IV zu V.⁶⁹⁰ Von der Urne aus Befund 63 (LA 18) ist nur noch ein Bruchstück des Unterteils vorhanden.⁶⁹¹ Es deutet auf ein flachbodiges Gefäß mit leicht abgesetztem Fuß, einem konischen Unterteil und einem mittelständigen Umbruch hin, das wahrscheinlich breiter als hoch war (Taf. 34.3). Sowohl innen als auch außen wurde es geglättet und die Magerung ist mineralisch und grob. Es wird unsicher dem Typ H 3 a nach Schmidt zugewiesen und datiert somit ebenso unsicher in die Periode IV bis Übergang IV bis V (Schmidt 1993, 82f.). Diese chronologische Bestimmung wird sowohl von dem beiliegenden Doppelknopf⁶⁹², als auch von der Datierung des Leichenbrandes unterstützt. Letztere datiert den Befund zwischen 994 und 834 v. Chr. und damit von der Mitte der Periode IV bis zur Mitte der Übergangsphase von Periode IV zu V.⁶⁹³ Aus dem Urnenbefund 88a (LA 18) liegt ein unvollständiges bauchiges Gefäß⁶⁹⁴ vor, das einen ausgestellten Fuß, einen mittelständigen Umbruch und einen gezapften Henkel auf der einziehenden Schulter aufweist (Taf. 54.4). Das Oberteil fehlt. Die Außen- und Innenflächen wurden geglättet und das Gefäß ist mineralisch grob gemagert. Es wurde zusammen mit einer Urne mit Schale gefunden (siehe unten).⁶⁹⁵ Das Beigefäß kann unsicher dem Typ H 3 a nach Schmidt zugeordnet und entsprechend unsicher in die Periode IV bis Übergang IV bis V datiert werden (Schmidt 1993, 82f.). Der Befund eines Pfriems bestätigt diese Datierung⁶⁹⁶, während der Leichenbrand für eine zeitliche Einordnung des Befundes bereits zwischen 1114 und 924 v. Chr. und damit vom Ende der Periode III bis an das Ende der Periode IV spricht.⁶⁹⁷ Eine fragmentierte Terrine⁶⁹⁸ aus dem Urnengrab von Befund 81 (LA 58) ist eingliedrig mit einem steilen Hals und geradem Rand mit randständigem, gezapften Henkel ausgestattet (Taf. 194.3). Ein weicher, weitbauchiger Umbruch wird lediglich angenommen, da das Profil nicht vollständig rekonstruiert werden konnte. Das flachbodige Gefäß wurde innen und außen geglättet und teilweise unregelmäßig poliert. Die Magerung ist mineralisch grob. Die unsichere Einordnung in den Typ H 3 a nach Schmidt bedingt eine ebenso unsichere Datierung in die Periode IV bis Übergang Periode IV bis V (Schmidt 1993, 84). Der beprobte Leichenbrand datiert den Befund von 1106 bis 908 v. Chr., d. h. vom Ende der Periode III bis zum Übergang von Periode IV zu V.⁶⁹⁹ Eine ebenfalls unsichere Einordnung erfährt die Urne aus dem Befund 102 (LA 18).⁷⁰⁰ Das Gefäß ist

687 LA 18, Befund 99: KIA-54114:2800±24uncalBP(1015-852calBC).

688 SH 2008-427.195 (131).

689 SH 2008-427.68 (133).

690 LA 18, Befund 80: KIA-54110:2835±23uncalBP(1077-912calBC).

691 SH 2008-427.182 (117).

692 Vgl. SH 2008-427.65 (121).

693 LA 18, Befund 63: KIA-54111:2772±24uncalBP(994-834calBC).

694 SH 2008-427.117 (98-Beigefäß).

695 SH 2008-427.35 (108-Urne); SH 2008-427.117 (98-Deckgefäß).

696 Vgl. SH 2008-427.59 (111).

697 LA 18, Befund 88a: KIA-54115:2850±30uncalBP(1114-924calBC).

698 SH 2008-429.129 (175.1).

699 LA 58, Befund 81: KIA-54135:2833±26uncalBP(1106-908calBC).

700 SH 2008-427.55 (54-Urne).

stark zerscherbt und konnte während der Fundaufnahme lediglich als eingliedrige Terrine mit einem steilen Hals aufgenommen werden (Taf. 74), die mit einer Deckschale abgedeckt gewesen war (siehe unten). Eine Profilrekonstruktion ließen die Scherbenüberreste nicht zu. Die Außen- und Innenflächen wurden geglättet und die Magerung war mineralisch und mittelfein bis mittelgrob. Anhand der Befundfotos von der Ausgrabung könnte eine Einordnung in den Typ H 3 a nach Schmidt erwägt werden. Daraus würde sich eine Datierung in die Periode IV bis zum Übergang IV zu V ergeben (Schmidt 1993, 84). Das Deckgefäß ist stark zerscherbt und lässt keine Einordnung zu.⁷⁰¹ Die absolute Datierung des Befundzugehörigen Leichenbrandes datiert zwischen 999 und 832 v. Chr.⁷⁰² und passt somit gut zu der relativchronologischen Einordnung der Urne. Eine kleine eingliedrige Terrine⁷⁰³ aus dem Urnengrab des Befundes 105 (LA 18) weist ein konisches Gefäßunterteil und einen weichen Umbruch ohne richtige Schulter auf (Taf. 79a-b). Der Hals schwingt leicht ein und der Randabschluss ist leicht nach außen verdickt. Das Gefäß wurde außen und innen geglättet. Die Magerung ist grob und mineralisch. Die Urne entspricht dem Typ H 3 c nach Schmidt und kann dementsprechend in die Periode IV bis Übergang Periode IV bis V datiert werden (Schmidt 1993, 84). Sie war mit einem Deckgefäß abgedeckt, das nicht genauer eingeordnet werden kann.⁷⁰⁴ Der Leichenbrand datiert das Gefäß sicher zwischen 1046 und 850 v. Chr. und damit von der Mitte der Periode IV bis zum Übergang Periode IV/V.⁷⁰⁵ Ein terrinenartiges Unterteil⁷⁰⁶ mit geglätteter Innen- und Außenseite und von grober mineralischer Magerung wurde aus dem Urnengrab des Befundes 55 (LA 18) geborgen (Taf. 25.2, 26). Der Bauchumbruch und Rand fehlen, sodass nur vermutet werden kann, dass es sich womöglich um ein Gefäß vom Typ H nach Schmidt handelt. Ein Henkel liegt vor, der sich wahrscheinlich am ehemaligen Bauchumbruch befunden hat.⁷⁰⁷ Eine Datierung in die Jüngere Bronzezeit wird entsprechend vermutet (Schmidt 1993, 82ff.). Der Leichenbrand aus der Urne gibt eine Datierung zwischen 1048 und 836 v. Chr. (von der Mitte der Periode IV bis zum Übergang von Periode IV zu V) vor.⁷⁰⁸

Zweigliedrige Terrinen

Eine zweigliedrige Terrine stammt aus dem Urnengrab von Befund 88a (LA 18).⁷⁰⁹ Das Gefäß weist ein konisches Unterteil auf, das durch einen weitbogigen mittelständigen Umbruch mit einer ausgeprägten Schulter verbunden ist (Taf. 55-56). Der leicht abgesetzte konische Hals erzeugt ein tendenziell engmundiges Oberteil. Gegenständige Henkel befinden sich dabei im Hals-Schulter-Bereich. Das Gefäß wurde außen und innen geglättet und sehr grob mineralisch gemagert. Die Urne entspricht dem Typ E 1 nach Schmidt und datiert somit in die Periode IV bis V (Schmidt 1993, 79). Der Beifund eines Pfriems, der von der Periode IV bis zum Übergang Periode IV/V eingeordnet wurde, bestätigt die Datierung nach der Gefäßform. Der Leichenbrand aus dem Befund hingegen datiert das Gesamtinventar zwischen 1114 und 924 v. Chr. und somit vom Ende der Periode III bis zum Ende der Periode IV.⁷¹⁰ Ein zweites zweigliedriges Gefäß wurde in Resten aus dem Urnengrab des Befundes 377 (LA 115) geborgen. Es handelt sich wahrscheinlich um ein linsenförmiges Gefäß. Es wurde mit vertikalen Riefen verziert, die über den gesamten Bauch der Urne verlaufen und am oberen Ende wurden immer zwei Vertikallinien

701 Vgl. SH 2008-427.55 (54-Deckgefäß).

702 LA 18, Befund 102: KIA-55418:2770±30uncalBP(999-832calBC).

703 SH 2008-427.48 (60.1).

704 Vgl. SH 2008-427.48 (60.2).

705 LA 18, Befund 105: KIA-54074:2804±27uncalBP(1046-850calBC).

706 SH 2008-427.186 (28).

707 SH 2008-427.193 (119).

708 LA 18, Befund 55: KIA-54083:2800±35uncalBP(1048-836calBC).

709 SH 2008-427.35 (108).

710 LA 18, Befund 88a: KIA-54115:2850±30uncalBP(1114-924calBC).

mit kleinen Punktverzierungen verbunden. Das Gefäß läuft nach oben zusammen und der Rand schwingt stark nach außen. Die schwarze, polierte Urne weist dabei eine mineralische und mittelfeine Magerung auf. Das Gefäß kann anhand der Leichenbranddatierung zwischen 379 und 198 v. Chr., d. h. vom Beginn bzw. der Mitte der Stufe Ic bis zur Mitte der Stufe IIa datiert werden.⁷¹¹

Dreigliedrige Terrinen

Eine wahrscheinlich dreigliedrige Terrine liegt aus dem Urnengrab des Befundes 64 (LA 18) vor (Taf. 37-38).⁷¹² Das Gefäß hat einen linsenförmigen Körper, einen abgesetzten Fuß, keinen erkennbaren Hals und einen möglicherweise abgesetzten Rand mit verdickter Lippe (Taf. 37). Die Urne wurde sowohl innen als auch außen geglättet und unregelmäßig poliert. Die Magerung ist mineralisch und mittelfein. Das Gefäß weist eine großflächige Verzierung auf. Ein Winkelbandmuster aus drei parallelen Kerbrillen verläuft auf dem Umbruch, die mit kurzen unregelmäßigen Dellenreihen teilweise oberhalb und teilweise unterhalb der Rillen abschließen. Am Boden war ein mögliches eingeglättetes Kreuz zu erkennen. Die Form des Gefäßes und die Verzierung lassen das Gefäß zunächst in die vorrömische Eisenzeit nach Hingst einordnen (Hingst 1983, 16). Ein Bodenkreuz konnte auch auf einem Gefäß vom Urnengräberfeld von Sudenhof (Hagenow, Lkr. Ludwigslust-Parchim) der vorrömischen Eisenzeit gefunden werden (Schale 127), das jedoch tiefer eingearbeitet worden ist und Dellenabschlüsse an den vier Kreuzschenkeln aufweist (Keiling 2016, 72, 75, Abb. 18). Da keine Beigaben aus der Urne vorliegen, ist eine Einordnung anhand der Fundkombinationschronologie nach Hingst schwierig.⁷¹³ Die dreigliedrigen Gefäße im Allgemeinen treten nach Hingst jedoch häufig mit Fundgut ab der Stufe I b auf (Hingst 1982, 49). Keiling nennt vergleichbare linsenförmige Gefäße (Tofendorfer Typ) vom Sudenhof-Fundplatz und weist sie seiner Stufe I c zu, die der Stufe I c bis d nach Hingst entspricht. Die Leichenbrandanalyse ergab zum einen, dass es sich bei der verstorbenen Person um ein Kind handelt. Zum anderen weist ein Datum des Leichenbrandes darauf hin, dass der Befund früher datiert als angenommen: zwischen 771 und 481 v. Chr. und damit von der Mitte der Periode V bis zum Ende der Stufe I a⁷¹⁴, sodass diese Kinderurne wahrscheinlich das Ende der Belegungsphase von LA 18 und den Übergang zur vorrömischen Eisenzeit kennzeichnet bzw. eine nachträgliche Bestattung um den Grabhügel LA 18 darstellt, während die Bestattung auf dem Brandgräberfeld LA 115 bereits vorherrschend war.

8.4.1.7.3.4. Deckgefäße

Vom Fundplatz liegen 20 Deckgefäße bzw. Deckschalen vor, die teilweise oder vollständig rekonstruiert und entsprechend mehr oder weniger eingeordnet und datiert werden können. Sie alle stammen aus Urnengräbern und deckten einst nachweislich die Urnen ab. Soweit nachweisbar wurden die Schalen zur Abdeckung verkehrt herum über die Urnengefäße gestülpt. Eine hohe Deckschale⁷¹⁵ aus dem Urnengrab des Befundes 91 (LA 18) hat einen konischen Körper mit gerader Wandung und kleinem Standboden (Taf. 58). Das Gefäß ist von außen stark geraut und innen geglättet. Die Magerung ist mineralisch und grob. Die Deckschale war verkehrt herum, mit dem Boden nach oben, über die Urne gestülpt worden. Sie kann dem Typ L 1 nach Schmidt zugeordnet werden und datiert somit in die Jüngere Bronzezeit, vor allem in die Periode V bis VI (Schmidt 1993, 86). Die dazugehörige Urne⁷¹⁶ datiert in die Periode IV bis IV/V, sodass ein jüngerbronzezeitlicher Horizont von der Periode IV

711 LA 115, Befund 377: KIA-55449:2216±24uncalBP(379-198calBC).

712 SH 2008-427.181 (103) + 180 (42).

713 Es ist typisch, dass dieser Keramiktyp keine datierbaren Beigaben aufweist (Keiling 2016, 73).

714 LA 18, Befund 64: KIA-54082:2479±27uncalBP(771-481calBC).

715 SH 2008-427.96 (158).

716 Vgl. SH 2008-427.34 (159).

bis VI in Erwägung gezogen werden muss. Die Datierung des Leichenbrandes lässt den Befund genauer zwischen 1214 und 1016 v. Chr., d. h. von der Mitte der Periode III bis zur Mitte der Periode IV einordnen.⁷¹⁷ Eine weitere Deckschale⁷¹⁸ stammt aus dem Befund 92 (LA 18). Es handelt sich um eine flache Schale mit konischem Körper und einem sich leicht verjüngenden Rand (Taf. 59). Die Wandung ist leicht unregelmäßig bis leicht konvex geformt. An der Bodeninnenseite ist eine Delle vom Standring des Bodens zu sehen. Das Gefäß wurde von außen eher grob und von innen mit sehr deutlichen Verstreichspuren geglättet. Die Magerung ist mineralisch und grob bis sehr grob. Die Deckschale war verkehrt herum, mit dem Boden nach oben, über die Urne gestülpt worden. Die Schale entspricht dem Typ L 1 nach Schmidt und kann damit in die Jüngere Bronzezeit, vor allem in die Periode V bis VI datiert werden (Schmidt 1993, 86). Die dazugehörige Urne kann vorwiegend in die Periode IV bis V eingeordnet werden⁷¹⁹, während der Leichenbrand zwischen 1111 und 927 v. Chr., also vom Ende der Periode III bis zum Ende der Periode IV datiert⁷²⁰, sodass auch bei diesem Befund von einer älteren Datierung ausgegangen werden muss, als zunächst anhand der Form angenommen wurde. Die Deckschale⁷²¹ des Befundes 62 (LA 58) ist konisch und weist einen gekerbten Rand mit einem leicht nach innen verdickten Randabschluss auf (Taf. 177). Der Standfuß weist eine starke, verdickte Delle nach innen auf (innerer Standring) und schließt nach unten flachbodig ab. Der Wulst der Wandung scheint dabei nicht am Boden verstrichen worden zu sein, was dem Gefäß eine unsauber gearbeitete Erscheinung verleiht. Das Gefäß wurde von außen und innen geglättet und die Magerung ist mineralisch und grob. Die Deckschale wurde wahrscheinlich mit dem Boden nach unten auf die Urne gestellt, um sie abzudecken. Sie kann ebenfalls dem Typ L 1 nach Schmidt zugeordnet werden und datiert somit in die Jüngere Bronzezeit, vor allem in die Periode V bis VI (Schmidt 1993, 86). Die dazugehörige Urne datiert in die Periode IV bis IV/V⁷²², sodass auch bei diesem Befund ein jüngerbronzezeitlicher Horizont bedacht werden muss. Anhand der Datierung des Leichenbrandes kann der Befund zwischen 1125 und 931 v. Chr., d. h. vom Ende der Periode III bis zum Ende der Periode IV datiert werden.⁷²³ Eine Deckschale⁷²⁴ stammt aus dem Befund 101 (LA 18). Es handelt sich um ein konisches Gefäß mit leichter Wandungswölbung (Taf. 71.2-3). Eine eingeglättete Innenrinne ist unterhalb des Randes zu erkennen. Des Weiteren hat die Schale einen randständigen Bandhenkel. Die Deckschale war mit dem Boden nach unten auf die Urne gestellt worden, um diese abzudecken. Eine vollständige Rekonstruktion der Schale war nicht möglich, deswegen ist die Einordnung zum Typ L 1 nach Schmidt etwas unsicher und die Datierung in die Jüngere Bronzezeit, insbesondere in die Periode V bis VI entsprechend fraglich (Schmidt 1993, 8). Die zugehörige Urne⁷²⁵ wurde hingegen in die Jüngere Bronzezeit mit Schwerpunkt in der Periode IV bis IV/V datiert. Der Befund eines Doppelknopfes bestätigt eine Datierung von Periode IV bis IV/V.⁷²⁶ Der Leichenbrand ergab eine sichere absolut-chronologische Einordnung in einen etwas früheren Zeitraum zwischen 1200 und 939 v. Chr. und damit ab Mitte Periode III bis Ende Periode IV.⁷²⁷ Von

717 LA 18, Befund 91: KIA-54073:2921±27uncalBP(1214-1016calBC).

718 SH 2008-427.92 (148) + 95 (151.1).

719 Vgl. SH 2008-427.93 (149).

720 LA 18, Befund 92: KIA-54076:2851±27uncalBP(1111-927calBC).

721 SH 2008-429.145 (85), 147 (89), 146 (88.2).

722 Vgl. SH 2008-429.135 (87), 136 (90), 137 (92), 138 (96), 143 (84), 144 (86), 146 (88.1), 147 (89.2), 148 (91), 149 (93).

723 LA 58, Befund 62: KIA-54137:2869±26uncalBP(1125-931calBC).

724 SH 2008-427.58 (165) + 427.42 (219).

725 Vgl. SH 2008-427.222 (164).

726 SH 2008-427.71 (222).

727 LA 18, Befund 101: KIA-54077:2887±28uncalBP(1200-939calBC).

der Deckschale⁷²⁸ aus Befund 104 (LA 18) ist nur noch ein Rest vorhanden, der das Gefäß als flache Schale mit einem sich stark verjüngenden Rand beschreiben lässt (Taf. 77.3). Die Wandung wurde innen und außen geglättet (innen teilweise mit sichtbaren Verstreichspuren) und die Magerung ist mineralisch und grob. Die Deckschale war mit dem Boden nach unten auf die Urne gestellt worden, um diese abzudecken. Sie wird aufgrund des hohen Fragmentierungsgrades unsicher dem Typ L 1 nach Schmidt zugeordnet und datiert somit vermutlich in die Jüngere Bronzezeit, vor allem in die Periode V bis VI (Schmidt 1993, 86). Die zugehörige Urne wurde ebenfalls unsicher in die Periode IV bis V datiert.⁷²⁹ Die absolute Datierung anhand des Leichenbrandes datiert den Befund sicher zwischen 1055 und 905 v. Chr.⁷³⁰ (Mitte Per. IV bis Mitte Übergang Per. IV/V) und bestätigt damit den relativchronologisch vermuteten Datierungshorizont. Ein Deckschalenteil⁷³¹ ist aus dem Befund 88a (LA 18) bekannt (Taf. 54.4). Es weist einen ausladenden und sich verjüngenden Rand auf und wurde sowohl außen als auch innen geglättet. Die Magerung ist mineralisch und grob. Aufgrund der Fragmentierung ist die Schale vermutlich dem Typ L 1 nach Schmidt zuzuweisen und ebenso unsicher in die Jüngere Bronzezeit, v. a. in die Periode V bis VI zu datieren (Schmidt 1993, 86). Die zugehörige Urne wurde der Perioden IV bis V zugeordnet.⁷³² Der beiliegende Pfriem bestätigt diese Datierung.⁷³³ Der Leichenbrand aus dem Befund datiert die Funde zwischen 1114 und 924 v. Chr., d. h. vom Ende der Periode III bis an das Ende von Periode IV.⁷³⁴ Bei der Deckschale⁷³⁵ des Befundes 75 (LA 58) handelt es sich um ein konisches Gefäß mit einem flachen Boden und einem leicht gekehlten Fuß. Der Rand verjüngt sich und ist dabei leicht nach innen abgesetzt. Unterhalb des Randes ist ein Henkel, sowie mindestens ein ‚Randhöcker‘. Die Außen- und Innenflächen sind geglättet und unregelmäßig poliert. Die Magerung ist mineralisch und grob. Die Deckschale war verkehrt herum, mit dem Boden nach oben, über die Urne gestülpt worden. Sie entspricht dem Typ L 1 nach Schmidt und datiert damit in die Jüngere Bronzezeit, vor allem in die Periode V bis VI (Schmidt 1993, 86). Die zugehörige Urne⁷³⁶ konnte aufgrund ihrer Form in die Periode IV bis IV/V eingeordnet werden, während die Vasenkopfnadel eine Datierung in die Periode V vorgibt.⁷³⁷ Der Leichenbrand datiert den Befund schließlich zwischen 1046 und 906 v. Chr. und damit in die Periode IV bis zum Beginn des Übergangs der Periode IV zu V und bestätigt damit die Einordnung nach der Urnenform.⁷³⁸ Der Rand einer Deckschale⁷³⁹ ist aus dem Befund 76 (LA 18) bekannt. Es handelt sich um eine Schale mit einem leicht einziehenden Rand (Taf. 41.3). Das Gefäß wurde außen und innen geglättet und die Magerung ist mineralisch und grob. Die Deckschale war wahrscheinlich mit dem Boden nach unten auf die Urne gestellt worden, um diese abzudecken. Das Gefäß gehört möglicherweise dem Typ L 2 nach Schmidt an und würde damit an den Übergang von Periode IV bis V und in die Periode VI datieren (Schmidt 1993, 86). Die zugehörige Urne⁷⁴⁰ ist nur fragmentarisch vorhanden, sodass sie keine genauere Einordnung zulässt. Anhand der Befunddatierung, die auf Basis des Leichenbrandes

728 SH 2008-427.40 (58.2).

729 Vgl. SH 2008-427.40 (58.1).

730 LA 18, Befund 104: KIA-55419:2829±26uncalBP(1055-905calBC).

731 SH 2008-427.117 (98-Deckgefäß).

732 Vgl. SH 2008-427.35 (108).

733 Vgl. SH 2008-427.59 (111).

734 LA 18, Befund 88a: KIA-54115:2850±30uncalBP(1114-924calBC).

735 SH 2008-429.134 (196).

736 Vgl. SH 2008-429.132 (192) + 117 (129).

737 SH 2008-429.40 (194).

738 LA 58, Befund 75: KIA-54072:2819±23uncalBP(1046-906calBC).

739 SH 2008-427.194 (126-Deckschale).

740 Vgl. SH 2008-427.194 (126-Urne).

erfolgte, datiert zwischen 744 und 404 v. Chr.⁷⁴¹, d. h. von der Mitte der Periode V bis zur Mitte der Stufe Ib und überlappt damit mit der Einordnung nach Schmidt. Die zur anderen Urne des Befundes 88a gehörende Deckschale⁷⁴² (LA 18) ist weitmundig und weist einen sich leicht verjüngenden, abgestrichenen Rand mit randständigem Henkel auf (Taf. 54.3.4). Der Rand ist dabei leicht nach außen gerichtet. Unterhalb des Randes schwingt die Schale leicht konkav ein und formt so ein s-förmiges Profil. Der Boden fehlt. Die Schale wurde sowohl innen als auch außen geglättet und die Magerung ist mineralisch und grob. Die Deckschale war verkehrt herum, mit dem Boden nach oben, über die Urne gestülpt worden. Das Gefäß kann wahrscheinlich dem Typ L 3 nach Schmidt zugeordnet und damit an den Übergang von Periode IV bis V datiert werden (Schmidt 1993, 86). Die zugehörige Urne⁷⁴³ ist ebenfalls in die Periode IV bis V einzuordnen. Der Beifund eines Pfriems bestätigt die Datierung von Periode IV bis zum Übergang Periode IV/V.⁷⁴⁴ Der Leichenbrand aus dem Befund lässt das Inventar im Zeitraum von 1114 bis 924 v. Chr., also vom Ende der Periode III bis zum Ende der Periode IV einordnen.⁷⁴⁵ Das Deckgefäß⁷⁴⁶ aus dem Befund 2 (LA 58) weist ebenfalls einen leicht nach außen gerichteten, sich verjüngenden Rand auf, der in ein konisches bis leicht gewölbtes Unterteil übergeht und somit eine s-förmig profilierte Wandung erhält (Taf. 165.2, 166.2). Die Außen- und Innenseiten sind geglättet und die Magerung ist mineralisch sowie grob. Das Gefäß kann dem Typ L 3 nach Schmidt zugeordnet werden und datiert damit in die Periode IV bis V (Schmidt 1993, 86). Die Form der dazugehörigen Urne deutet lediglich in einen jüngerbronzezeitlichen Horizont, während der Leichenbrand aus der Urne zwischen 1043 bis 901 v. Chr. und damit in die Periode IV bzw. an den Übergang von Periode IV bis V datiert.⁷⁴⁷ Die Deckschale⁷⁴⁸ aus dem Befund 95 (LA 18) ist nahezu vollständig vorhanden. Sie hat einen kleinen, runden Boden und geht von dort in ein konisches Unterteil über (Taf. 63-64). Am Hals schwingt das Gefäß leicht konkav ein. Auf der Innenfläche weist die Schale drei eingeglättete Riefen auf, die das Gefäß auf der Innenseite mit zwei Verdickungen verstärken. Dabei ist das Gefäß auf beiden Seiten geglättet worden. Die Magerung ist mineralisch und mittelgrob. Die Deckschale war verkehrt herum, mit dem Boden nach oben, über die Urne gestülpt worden. Sie kann dem Typ 4 nach Schmidt zugeordnet und damit in die Jüngere Bronzezeit mit Schwerpunkt in der Periode IV datiert werden (Schmidt 1993, 87). Die zugehörige Urne wurde unsicher in die Jüngere Bronzezeit datiert.⁷⁴⁹ Die Datierung des Leichenbrandes datiert den Befund zwischen 1014 und 897 v. Chr.⁷⁵⁰, d. h. von der Mitte der Periode IV bis zur Mitte des Übergangs von Periode IV zu V und passt damit gut zu der relativchronologischen Einordnung nach Schmidt. Eine eher seltene Deckschale⁷⁵¹ ist aus dem Befund 77 bekannt (LA 58). Vom stark verdickten Boden aus geht die Schale in einen konischen Körper über, der mit Fingernagel- und Fingerkuppeneindrücken in vertikalen Reihen entlang der Wandung verziert ist (Taf. 184.1). In der Aufsicht handelt es sich um eine ovale Lappenschale mit kleinen Randzipfeln. Die Außen- und Innenflächen wurden geglättet und die Magerung ist mineralisch sowie grob. Die Deckschale war wahrscheinlich mit dem Boden nach unten auf die Urne gestellt worden, um diese abzudecken. Das Gefäß kann dem Typ 5 nach Schmidt zugeordnet werden und datiert damit wahrscheinlich in die

741 LA 18, Befund 76: KIA-55414:2423±25uncalBP(744-404calBC).

742 SH 2008-427.114 (107).

743 Vgl. SH 2008-427.35 (108).

744 Vgl. SH 2008-427.59 (111).

745 LA 18, Befund 88a: KIA-54115:2850±30uncalBP(1114-924calBC).

746 SH 2008-429.26 (28.1).

747 LA 58, Befund 2: KIA-54069:2808±24uncalBP(1043-901calBC).

748 SH 2008-427.56 (129) + 57 (146).

749 Vgl. SH 2008-427.43 (147).

750 LA 18, Befund 95: KIA-55417:2800±22uncalBP(1014-897calBC).

751 SH 2008-429.153 (174).

Periode IV bis V. Die chronologische Einordnung ist aufgrund fehlender Vergleichsfunde nördlich der Elbe etwas unsicher (Schmidt 1993, 87). Die der Schale zugehörige Urne⁷⁵² wurde an den Übergang von Periode IV bis V datiert und gehört somit in den gleichen Zeithorizont. Der Befund wird von dem beiliegenden Doppelknopf in die Periode IV bis IV/V eingeordnet⁷⁵³ und bestätigt damit diesen Zeitraum. Das Deckgefäß⁷⁵⁴ aus Befund 87 (LA 18) ist nur noch in Form eines Bodenfragments rekonstruierbar (Taf. 49.1). Die restlichen Wandscherben ließen keine weitere Rekonstruktion zu. Es handelte sich womöglich um ein ausladendes, flachbodiges Gefäß. Das Gefäß weist einen leicht nach innen gewölbten Boden auf. Auf der Außenseite wurde es mit einem Schlickauftrag geraut. Die Innenseite wurde hingegen geglättet. Die Magerung ist mineralisch und grob. Die Deckschale war verkehrt herum, mit dem Boden nach oben, über die Urne gestülpt worden. Das Deckgefäß gehört zu einer Urne, die anhand ihrer Form in die Periode IV bis IV/V datiert wurde.⁷⁵⁵ Die Leichenbranddatierung lässt den Befund zwischen 1104 und 910 v. Chr., d. h. vom Ende der Periode III bis zum Übergang von Periode IV zu V einordnen.⁷⁵⁶ Ein Deckgefäß⁷⁵⁷ aus dem Befund 105 (LA 18) ist lediglich anhand von fünf Bodenscherben erfassbar. Es handelte sich demnach um ein flachbodiges Gefäß, das auf der Außen- und Innenwandung wahrscheinlich geglättet worden war. Die Magerung ist mineralisch und grob. Die Deckschale war verkehrt herum, mit dem Boden nach oben, über die Urne gestülpt worden. Aufgrund der Fragmentierung kann das Gefäß nicht eingeordnet werden. Die zugehörige Urne wurde in die Periode IV bis IV/V datiert⁷⁵⁸ und der Leichenbrand datiert den Befund zwischen 1046 und 850 v. Chr., d. h. von der Mitte der Periode IV bis zum Übergang Periode IV/V.⁷⁵⁹ Aus dem Befund 109 ist ein Deckgefäß⁷⁶⁰ (LA 18) vorliegend, von dem lediglich charakteristische Bodenscherben verblieben sind (Taf. 83.3). Die Wandscherben bieten keine weiteren Informationen. Demnach handelte es sich um ein von außen gerautes und von innen geglättetes Unterteil mit ausgestellttem Fuß. Die Magerung ist mineralisch und sehr grob. Die Deckschale war verkehrt herum, mit dem Boden nach oben, über die Urne gestülpt worden. Die Fragmentierung verhindert eine Einordnung des Gefäßes. Die zugehörige Urne wurde auch nur unsicher in die Periode IV und den Übergang von Periode IV bis V datiert.⁷⁶¹ Die Datierung des Leichenbrandes ergab derweil eine Einordnung vom Ende der Periode III bis zum Übergang der Perioden IV/V.⁷⁶² Die Deckschale⁷⁶³ aus Befund 78 (LA 58) ist auch lediglich auf Basis einer Bodenscherbe genauer ansprechbar (Taf. 187). Es handelt sich demnach um ein womöglich schalenförmiges, konisches Gefäß mit flachem, verdicktem Boden. Die Außen- und Innenflächen wurden geglättet und unregelmäßig poliert. Die Magerung ist mineralisch und grob. Das Oberteil des Gefäßes fehlt, sodass eine Einordnung nicht möglich ist. Es ist unklar, ob es sich um eine Schale oder um das Unterteil eines größeren Gefäßes handelt. Die zugehörige Urne und der spiralförmige Bronzedrahtring wurden ungefähr in die Periode IV eingeordnet.⁷⁶⁴ Das Deckgefäß⁷⁶⁵ aus dem Befund 9 (LA 64) liegt stark fragmentiert vor (Taf. 243.1). Es handelt sich wahrscheinlich um

752 SH 2008-429.154 (173).

753 Vgl. SH 2008-429.39 (271).

754 SH 2008-427.112 (167).

755 Vgl. SH 2008-427.33 (166).

756 LA 18, Befund 87: KIA-54081:2834±25uncalBP(1104-910calBC).

757 SH 2008-427.48 (60.2).

758 Vgl. SH 2008-427.48 (60.1).

759 LA 18, Befund 105: KIA-54074:2804±27uncalBP(1046-850calBC).

760 SH 2008-427.52 (122).

761 Vgl. SH 2008-427.36 (123).

762 LA 18, Befund 109: KIA-54138:2837±26uncalBP(1107-913calBC).

763 SH 2008-429.151 (267.1).

764 Vgl. SH 2008-429.150 (266); SH 2008-429.38 (268).

765 SH 2014-351.3.

eine Deckschale mit einer leicht nach innen verdickten Randlippe. Das Gefäß ist außen geglättet und innen zum Großteil geglättet. Die Magerung ist mineralisch, teils mit Muschelgruß und dabei mittelgrob. Eine Einordnung der Deckschale ist nicht möglich, da das Profil nicht annähernd rekonstruiert werden konnte. Die Scherben des Gefäßes lagen in der zum Befund gehörigen Urne, die nur unsicher in die Periode IV bis V datiert werden konnte.⁷⁶⁶ Drei Deckgefäße⁷⁶⁷ vom Grabhügel LA 18 konnten nicht rekonstruiert werden. Des Weiteren waren keine charakteristischen Rand- oder Bodenscherben der Deckgefäße vorhanden. Die wenigen Wandscherben weisen jedoch darauf hin, dass es sich um Deckgefäße gehandelt haben muss, die sowohl auf der Außen- als auch Innenseite geglättet worden waren. Ihre Magerung war mineralisch und grob. Das Deckgefäß aus Befund 102 hatte zudem einen randständigen Henkel (Taf. 75). Es deckte eine Urne ab, die nur unsicher in die Periode IV und an den Übergang Periode IV bis V datiert werden kann.⁷⁶⁸ Die zugehörige Leichenbranddatierung gibt einen Zeitraum zwischen 999 und 832 v. Chr. (Mitte Per. IV bis Mitte Übergang Per. IV/V) an⁷⁶⁹, der sich mit der relativchronologischen Einordnung deckt. Die Urnenabdeckung aus Befund 111 gehörte zu einer Urne, die anhand des Leichenbrandes von der Mitte der Periode IV bis Übergang IV/V datiert⁷⁷⁰, während das Deckgefäß aus Befund 58 einer Urne aus Periode II bis III zugeordnet werden kann.⁷⁷¹

8.4.1.7.3.5. Schalen

Unter den Schalen befinden sich drei Gefäße, von denen zwei aus Urnengräbern stammen und eine aus einem Streufund. Das schalenartige Gefäß⁷⁷² aus dem Streufund des Grabhügels LA 58 ist nicht mehr rekonstruierbar. Die acht Wandscherben lassen lediglich auf eine Schale schließen, die sowohl innen als auch außen geglättet worden war. Die Magerung ist mineralisch und grob. Möglicherweise handelte es sich um eine Urnenabdeckung, die durch Pflugtätigkeiten aus dem entsprechenden Befund gerissen worden war. Eine Zuordnung zu einem möglichen Urnengrab ist nicht mehr möglich. Eine flache Schale⁷⁷³ wurde aus dem Urnengrab des Befundes 92 (LA 18) geborgen. Das Gefäß ist schwach s-förmig profiliert und weist einen leicht unregelmäßigen, nach außen schwingenden Randabschluss auf (Taf. 60.1). Der Boden fehlt. Die Außenwandung ist geraut, während die Innenwandung geglättet wurde (deutliche Verstrichspuren). Die Magerung ist mineralisch und grob. Die Schale entspricht dem Typ L 3 nach Schmidt und kann demnach in die Periode IV bis zum Beginn der Periode V datiert werden (Schmidt 1993, 86). Die Schale wurde vom Ausgräber dem Befund 92 zugeordnet. Die Urne darin, wurde jedoch von einer anderen Schale abgedeckt (Vgl. SH 2008-427.92 (148)). Es ist entsprechend unklar, ob die vorliegende flache Schale zusätzlich als Abdeckung genutzt wurde, im Inneren der Urne gefunden wurde, als Beigefäß mitgegeben wurde, oder gar zu einem anderen Befund gehört. Die Urne des Befundes kann in die Periode IV-V eingeordnet werden, während die andere sichere Deckschale des Befundes in die Periode V bis VI datiert. Der Leichenbrand aus der Urne datiert den Befund absolut-chronologisch zwischen 1111 und 927 v. Chr. und damit vom Ende der Periode III bis zum Ende

766 Vgl. SH 2014-351.2 + 4.

767 SH 2008-427.53 (153) (LA 18, Befund 111); SH 2008-427.183 (138-Deckgefäß) (LA 18, Befund 58); SH 2008-427.55 (54-Deckgefäß) (LA 18, Befund 102).

768 Vgl. SH 2008-427.55 (54-Urne).

769 LA 18, Befund 102: KIA-55418:2770±30uncalBP(999-832calBC).

770 Vgl. Urne SH 2008-427.44 (154.1), LA 18, Befund 111: KIA-54080:2822±23uncalBP(1047-909calBC).

771 Vgl. 427.183 (138-Urne), LA 18, Befund 58: KIA-55413:3105±26uncalBP(1433-1291calBC).

772 SH 2008-429.170 (55).

773 SH 2008-427.94// 151 (1).

der Periode IV.⁷⁷⁴ Bei dem Schalenrest⁷⁷⁵ aus dem Doppel-Urnengrab von Befund 88a (LA 18) handelt es sich um eine leicht gewölbte Schale, die sowohl auf der Außen- als auch Innenseite geglättet wurde. Die Magerung ist mineralisch und grob. Aufgrund der Fragmentierung kann sie nicht eingeordnet werden. Ebenso unsicher ist, ob sie zu einer der beiden Deckschalen des Doppel-Urnengrabes⁷⁷⁶ gehört oder ein separates Beigefäß von der Urne⁷⁷⁷ darstellt. Der Befund eines Pfriemes datiert den Befund in die Periode IV bis V.⁷⁷⁸ Der Leichenbrand aus dem Befund 88a datiert das Inventar zwischen 1114 und 924 v. Chr., also vom Ende der Periode III bis zum Ende der Periode IV.⁷⁷⁹

8.4.1.7.3.6. Nöpfe

Vom Fundplatz sind sechs mehr oder weniger sicher als Nöpfe anzusprechende Gefäße bekannt. Bei zweien handelt es sich um Urnen⁷⁸⁰ und bei einem Napf um das Beigefäß eines Urnengrabes.⁷⁸¹ Ein Napf kann als Beigefäß eines Leichenbrand-schüttungsgrabes⁷⁸² (Taf. 24.2) und ein weiterer als Streufund⁷⁸³ (Taf. 196.1) angesprochen werden, während ein anderer Napf von einer Branderdstelle⁷⁸⁴ stammt (Taf. 16.2). Der Napf aus Befund 61⁷⁸⁵ (LA 18), der vermutlich ein Beigefäß in dem Urnengrab darstellt, ist schlank, s-förmig geformt und weist einen leichten, oberständigen Umbruch auf (Taf. 32.2). Der Hals zieht leicht nach innen und schließt mit einem geraden Rand ab. Auf der Außen- und Innenseite ist das Gefäß geglättet. Die Magerung ist mineralisch und grob. Das Beigefäß entspricht dem Typ K 1 nach Schmidt und datiert somit in die Periode IV bis V (Schmidt 1993, 85). Die zugehörige Urne kann in die Periode IV eingeordnet werden.⁷⁸⁶ Der Leichenbrand datiert den Befund zwischen 1055 und 837 v. Chr. und damit von der Mitte der Periode IV bis zum Übergang der Periode IV/V.⁷⁸⁷ Aus der Leichenbrandschüttung des Befundes 56 (LA 18) wurde ein Napf⁷⁸⁸ geborgen, der ein leicht bauchiges Unterteil mit einem leicht nach innen geneigten Rand mit randständigem Henkel aufweist. Das Profil konnte nicht vollständig rekonstruiert werden, aber es ist zu vermuten, dass es sich um einen äußerst flachen, gedrunenen, nahezu schalenartigen Napf handelt. Die Außen- und Innenseiten sind geglättet und die Magerung ist mineralisch und grob. Eine Einordnung in die Typengliederung nach Schmidt (1993) ist nicht möglich. Ein vergleichbarer Napf ist hingegen aus dem Grabhügel LA 24 (Grab C) in Osterröfeld bekannt. Es handelt sich hierbei um einen Napf, der auch aus einer Leichenbrand-schüttung in einer Steinpackung stammt. Aufgrund fehlender sonstiger Beigaben wurde der Befund anhand von diesem Vergleichsfund und seinem Befundkomplex nach Aner *et al.* in die Ältere Bronzezeit eingeordnet (Aner *et al.*, 2005, 125f.). Diese Einordnung wird von der absoluten Datierung auf Basis des Leichenbrandes bestätigt, die den Befund zwischen 1386 und 1131 v. Chr., d. h. von der Mitte der Periode II bis zum Ende der Periode III datiert.⁷⁸⁹ Bei der Urne aus dem Befund 77 (LA 58)

774 LA 18, Befund 92: KIA-54076:2851±27uncalBP(1111-927calBC).

775 SH 2008-427.116 (97).

776 SH 2008-427.114 (107); SH 2008-427.117 (98-Deckgefäß).

777 SH 2008-427.35 (108) oder SH 2008-427.117 (98-Beigefäß).

778 Vgl. Pfriem: SH 2008-427.59 (111).

779 LA 18, Befund 88a: KIA-54115:2850±30uncalBP(1114-924calBC).

780 SH 2008-429.154 (173) (LA 58, Befund 77); SH 2008-427.113 (172) (LA 18, Bef. bei 89).

781 SH 2008-427.196 (175.2) (LA 18, Befund 61).

782 SH 2008-427.185 (182) (LA 18, Befund 56).

783 SH 2008-429.162 (48) (LA 58, Streufund).

784 SH 2008-427.191 (184) (LA 18, Befund 33).

785 SH 2008-427.196 (175.2).

786 Vgl. SH 2008-427.101 (197).

787 LA 18, Befund 61: KIA-54084:2810±35uncalBP(1055-837calBC).

788 SH 2008-427.185 (182).

789 LA 18, Befund 56: KIA-55412:3017±26uncalBP(1386-1131calBC).

handelt es sich um einen Napf⁷⁹⁰ mit einem konischen, gedrungenen Unterteil und einem gerundeten, mittelständigen Bauchumbruch (Taf. 184.2, 185). Der Rand knickt nach außen ab und verjüngt sich dabei. Es gibt einen randständigen Bandhenkel. Die Außen- und Innenflächen wurden geglättet und unregelmäßig poliert. Die Magerung ist mineralisch und grob. Die Urne war mit einer Deckschale abgedeckt gewesen (siehe oben).⁷⁹¹ Das Gefäß kann dem Typ K 4 nach Schmidt zugewiesen werden und datiert somit an den Übergang von Periode IV bis V (Schmidt 1993, 86). Der beiliegende Doppelknopf datiert den Befund in den Zeitraum von Periode IV bis IV/V.⁷⁹² Von der Branderdestelle des Befundes 33 (LA 18) ist ein kleiner trichterförmiger Napf⁷⁹³ bekannt, der einen flachen, leicht gedrungenen, konischen Körper hat (Taf. 16.2). Sowohl außen als auch innen wurde die Wandung geglättet. Die Magerung ist mineralisch und grob. Das Gefäß kann dem Typ K 3 b nach Schmidt zugeordnet werden und datiert somit in die Jüngere Bronzezeit (Schmidt 1993, 85). Ein stark fragmentiertes Gefäß⁷⁹⁴ ist ein Streufund des Grabhügels LA 58 und weist eine napfartige, leicht aufgehende, nach außen gewölbte Wandung auf (Taf. 196.1). Die Außen- und Innenflächen wurden geglättet und die Magerung ist mineralisch und grob. Aufgrund des Fragmentierungsgrades kann ein Napf lediglich vermutet werden, der vermutlich der Typengruppe K nach Schmidt zuzuweisen und damit in die Jüngere Bronzezeit datierbar wäre (Schmidt 1993, 85f.). Die Urne des Befundes 89 (LA 18) wurde während des Baggerabtrags verschleppt und liegt entsprechend fragmentiert und leicht versetzt vor.⁷⁹⁵ Der Rest eines Gefäßunterteils könnte aufgrund der trichterförmig aufgehenden Form auf einen kleinen Napf hinweisen (Taf. 56.2). Die Außen- und Innenflächen des Gefäßes sind geglättet und die Magerung ist mineralisch und sehr grob. Da ein Großteil des Gefäßes fehlt, kann es nur bedingt in die Typengruppe K nach Schmidt eingeordnet und in die Jüngere Bronzezeit datiert werden (Schmidt 1993, 85f.). Der Leichenbrand datiert die Urne genauer zwischen 981 und 820 v. Chr. und damit von der Mitte der Periode IV bis zum Beginn der Periode V.⁷⁹⁶

8.4.1.7.3.7. *Becher*

Zwei Gefäße werden den Bechern zugeordnet. Sie stellen zwei der wenigen Keramikfunde dar, die der älteren Bronzezeit zugewiesen werden können und in die Typengliederung im Rahmen des Kapitels zur Mesoebene eingeordnet werden (siehe unten). In diesem Abschnitt werden sie mit Funden aus der Region verglichen (zur Formenkunde siehe Kapitel 9.5.). Ein Tonbecher⁷⁹⁷ stammt aus dem Körpergrab (Befund 95) des Grabhügels LA 60. Das Gefäß hat einen geraden Rand und einen steilen, nahezu zylindrischen Hals, der über eine kurze Schulter in eine leicht gewölbte Wandung übergeht (Taf. 215). Die Standfläche ist leicht abgesetzt. Die Außen- und Innenflächen sind geglättet. Die Magerung ist mineralisch und mittelfein. Er befand sich auf den Bodensteinen im Nordosten der Bestattung, auf der Seite liegend und enthielt ein Bronzeobjekt. Ansonsten enthielt der Becher keine weiteren Funde, weswegen auch fraglich ist, ob das Bronzeobjekt überhaupt intentionell in den Becher gelegt worden oder ob es zufällig hineingekommen war. Die Typologie älterbronzezeitlicher Keramik in dieser Arbeit lässt diesen Becher dem Typ 2, Variante 1 der Tonbecher zuordnen (siehe Kap. 9.5). Sowohl unweit vom Fundplatz, als auch weiter entfernt treten vergleichbare Tonbecher auf, die dabei in Brand- und

790 SH 2008-429.154 (173).

791 SH 2008-429.153 (174).

792 Vgl. SH 2008-429.39 (271).

793 SH 2008-427.191 (184).

794 SH 2008-429.162 (48).

795 SH 2008-427.113 (172).

796 LA 18, Befund 89: KIA-54079:2753±29uncalBP(981-820calBC).

797 SH 2008-431.24 (24 + 46).

Körpergräbern vorkommen können. Die Datierung der Gräber erfolgte anhand von Beifunden, die der Älteren Bronzezeit angehören. Der Tonbecher vom Fundplatz kann demnach allgemein in die Ältere Bronzezeit eingeordnet werden. Anhand der Beifunde aus dem Grab kann der Becher in die Periode II eingeordnet werden.⁷⁹⁸ Der andere Becher⁷⁹⁹ vom Fundplatz stammt aus dem Körpergrab (Befund 58) des Grabhügels LA 58. Das Gefäß ist leicht s-förmig profiliert mit einem ausschwingenden, runden Rand und einem weich gerundeten, mittelständigen Bauchumbruch (Taf. 163). Der Fuß ist klein und uneben. Die Außen- und Innenflächen wurden geglättet. Die Magerung ist mineralisch und grob. Das vollständige Beigefäß wurde vor dem südlichen Steinrahmen aufgefunden. Parallelfunde aus Gräbern der Region (Muggesfelde, LA 10, Grab A) und auch von weiter entfernt (Warringholz, Grabhügel 19; Hohenlockstedt, Grabhügel 74, Grab B) geben eine Datierung anhand der Beigaben von Periode I bis III an. Es kann sich dabei sowohl um Körper- als auch Brandgräber handeln. Im Rahmen der Typengliederung älterbronzezeitlicher Keramik dieser Untersuchung kann der Becher dem Typ 3 der Tonbecher zugeordnet werden (siehe Kap. 9.5). Seine Einordnung erfolgt dementsprechend allgemein in die Ältere Bronzezeit. In Verbindung mit der mondsichelförmigen Bernsteinperle aus dem Befund kann eine frühbronzezeitliche Datierung (Per. I) oder ein früher Abschnitt der Älteren Bronzezeit (Per. I-II) vermutet werden.

8.4.1.7.3.8. Kragenhalsflaschen

Eine unverzierte Flasche⁸⁰⁰ (Taf. 197.3) aus der Grube von Befund 11 unterhalb des Grabhügels LA 59, ist nahezu vollständig erhalten und weist eine Höhe von 10,4 cm auf, sowie einen Bauchdurchmesser von 9 cm (typisch für die ‚mittelgroßen‘ Exemplare). Der Kragen hat einen Durchmesser von 4,9 cm und wurde am Hals angesetzt, der 4,1 cm hoch ist. Sowohl auf der Außen- als auch auf der Innenfläche wurde die Flasche geglättet. Aufgrund der Form kann sie in das Frühneolithikum C nach Becker (Becker 1948, 104ff., 141ff.) bzw. in das Frühneolithikum II nach Schwabedissen eingeordnet werden (Schwabedissen 1966, 417).

8.4.1.7.3.9. Sonderformen

Eine Sonderform stellt die Urne⁸⁰¹ aus Befund 79 des Grabhügels LA 58 dar (Taf. 189.2, 190). Es handelt sich um eine nahezu vollständige kegelhalsförmige Urne mit geradem Rand und einem hohen konischen Hals. Die Schulter ist scharf abgesetzt und das Unterteil ist leicht konvex. Der Boden zieht leicht ein und ist ansonsten flachbodig. Dabei hat die Urne einen randständigen Henkel. Das Gefäß wurde mitsamt des Henkels auffällig verziert. Auf dem Rand befinden sich vier waagerechte umlaufende Rillen. Rechts und links des Henkels wurde der Hals mit je drei Rillen versehen, die am unteren Halsende zu vier waagerechten Rillen zulaufen. Der Henkel wurde mit vier senkrechten Rillen verziert. Darunter befinden sich zwei durch wiederum zwei senkrechte Rillen getrennte Zonen mit schrägen Rillen in entgegengesetzter Richtung, die an ein Tannenzweigmuster erinnern. Auf der Schulter und dem Bauch befinden sich Gruppen von 11, 14, 15, 16 und 19 senkrechten Rillen. Auf der Seite des Henkels weist das Gefäß am Unterteil zwei Bruchstellen auf, bei denen nicht sicher ist, ob es sich um intentionelle (z. B. für sogenannte Seelenlöcher) oder um versehentliche Beschädigungen handelt. Aufgrund der Unregelmäßigkeit der Bruchstellen ist eher Letzteres anzunehmen, da Seelenlöcher häufig sorgfältig und dem Gefäß teilweise noch vor dem Brand hinzugefügt wurden. Die Bruchstellen der vorliegenden Urne weisen eine dunkle Substanz auf (Birkenpech?), sodass eine bronzezeitliche Reparatur des

798 Vgl. Trompetenkopfnadel: SH2008-431.22 (22).

799 SH 2008-429.160 (123).

800 SH 2008-430.4(4).

801 SH 2008-429.41 (190.1).

Gefäßes vermutet werden kann, wie es bereits auf anderen Gräberfeldern beobachtet wurde (Vgl. Hofmann und Sloan, 2008, 136). Dementsprechend können die Bruchstellen nicht von der Lagerung oder vom sogenannten ‚Urnenstechen‘ stammen.⁸⁰² Die Form des Gefäßes und die Verzierung mit Tannenzweigmuster und Strichgruppen kommen im Zusammenhang mit Gesichturnen vor (Kneisel 2012a, 147f., 155). Um eine Gesichturne oder Pseudogesichturne handelt es sich jedoch nicht, da keine typischen Merkmale, die auf ein Gesicht hindeuten könnten, vorhanden sind (wie z. B. Augenbrauenhenkel, Augendellen, usw.) (Kneisel 2012b, 43f.). Die Außenseite der Urne wurde geglättet und poliert, während die Innenseite lediglich geglättet wurde. Die Magerung ist mineralisch und mittelfein. An den Bruchstellen ist die Wulsttechnik erkennbar, die zum Aufbau des Gefäßes angewandt worden ist. Anhand der Form kann das Gefäß dem Typ N 2 a nach Schmidt zugeordnet werden und datiert somit in die Periode IV bis zum Übergang Periode IV/V (Schmidt 1993, 89). Anhand der Leichenbranddatierungen kann das Gefäß in den Zeitraum von 1125 bis 932 v. Chr. und damit vom Ende der Periode III bis zum Ende der Periode IV eingeordnet werden.⁸⁰³

8.4.1.7.3.10. Unklare Urnenformen

Während der Fundaufnahme konnte die Form von drei Gefäßen nur ansatzweise rekonstruiert werden. Sie alle stammen aus Urnengräbern. Die Urne⁸⁰⁴ aus Befund 103 (LA 18) liegt in Ober- und Unterteilfragmenten vor, die einen geraden steilen, leicht nach außen gebogenen Hals sowie einen leicht nach innen gewölbten Boden des Gefäßes zeigen (Taf. 77.1). Die Außenfläche ist geraut, während die Innenfläche geglättet wurde. Die Magerung ist mineralisch und grob. Die Umbruchzone ist jedoch unklar, sodass die Urne nicht sicher eingeordnet werden kann. Es könnte sich um einen Napf der jüngerbronzezeitlichen Typengruppe K nach Schmidt 1993 handeln, was den Befund in die jüngere Bronzezeit datieren würde. Die Datierung des Leichenbrandes ergab einen Zeithorizont für das Gefäß zwischen 1107 und 832 v. Chr. und datiert damit vom Ende der Periode III bis zum Übergang von Periode IV zu V.⁸⁰⁵ Bei einem zweiten Gefäß aus dem Befund 76 (LA 18) handelt es sich um das Unterteilfragment einer Urne⁸⁰⁶, das einen nicht-abgesetzten Boden aufweist. Die Außen- und Innenflächen waren geglättet und die Magerung mineralisch und grob. Eine relativchronologische Einordnung des Gefäßes ist nicht möglich. Die Urne war mit einer Deckschale abgedeckt worden, die nach Schmidt eingeordnet wurde und in die Periode IV/V bis VI datiert (siehe oben). Dieser Horizont wird von der Leichenbranddatierung des Befundes bestätigt⁸⁰⁷ und kann somit auch für das Urnengefäß angenommen werden. Bei dem dritten Gefäßrest liegt eine Urne⁸⁰⁸ aus Befund 193 des Brandgräberfeldes LA 115 vor. Es handelt sich um ein wahrscheinlich zweigliedriges Gefäß mit Trichterrand, das womöglich eine doppelkonische Form hatte. Eine Verzierung auf der Außenwandung zeigt vertikale Rillen, die durch horizontale Rillen miteinander verbunden wurden (Taf. 308.2). Die Außenfläche ist geglättet und poliert worden, während die Innenfläche lediglich geglättet wurde. Die Magerung ist mittelgrob und mineralisch sowie teilweise mit Schamott versetzt. Eine sichere Profilrekonstruktion des Gefäßes war nicht möglich, jedoch wird die Datierung nach der Beigabe einer gekröpften Rollennadel⁸⁰⁹ (siehe

802 Im 18. und 19. Jahrhundert war es üblich, gemeinschaftlich zum ‚Urnenstechen‘ auszuweichen. Dabei wurden Metallstangen genutzt, um auf Urnen im Untergrund zu stoßen (Vgl. Müller 2015, 752.).

803 LA 58, Befund 79: KIA-54071:2870±24uncalBP(1125-932calBC).

804 SH 2008-427.39 (56).

805 LA 18, Befund 103: KIA-54078:2834±28uncalBP(1107-908calBC).

806 SH 2008-427.194 (126).

807 LA 18, Befund 76: KIA-55414:2423±25uncalBP(744-404calBC).

808 SH 2014-111.415.

809 SH 2014-111.66.

oben) in die Stufe I b bis I c nach Hingst vorgenommen. Der zum Befund gehörige Leichenbrand datiert zwischen 394 und 208 v. Chr., d. h. vom Ende der Stufe Ib bis zur Mitte der Stufe IIa und überlappt damit mit der Datierung nach Hingst.⁸¹⁰

8.4.1.7.3.11. Verzierungen

Verzierungen treten – v. a. im bronzezeitlichen Horizont – eher selten auf. Dabei beschränken sich die wenigen verzierten Gefäße auf umlaufende Rillenverzierungen (Taf. 192-193)⁸¹¹ oder Fingernagel- und Fingerkuppeneindrücke. Die Lappenschale mit den Fingernagel- und Fingerkuppeneindrücken in vertikalen Reihen bildet dabei die Ausnahme.⁸¹² Vertikale und horizontale Rillenverzierungen⁸¹³ sowie parallele Kerbrillen mit Dellenreihen-Abschluss treten lediglich auf Gefäßen auf, die bereits an den Anfang der vorrömischen Eisenzeit datieren.⁸¹⁴ Nur die Sonderform des Befundes 79, die vom Ende der Periode III bis Ende der Periode IV datiert, wurde reichlich verziert (siehe Kap. 8.4.1.7.3.9.).⁸¹⁵

8.4.1.7.3.12. Verarbeitung und Magerung

Die meisten der vollständigen Gefäße wurden geglättet (62%), während ungefähr ein Viertel der Gefäße geraut wurde (26%). Selten wurden die Gefäße poliert (12%). Diese Verteilung trifft dabei v. a. auf die jüngere Bronzezeit zu, deren Gefäße vorherrschen. Die hier nicht behandelten Gefäße der vorrömischen Eisenzeit wurden meistens poliert (siehe Fundkatalog zu LA 115). Aus der Älteren Bronzezeit sind lediglich zwei Becher bekannt, von denen einer geglättet und einer teilweise poliert vorliegt. Die Magerung war meistens grob (74%), manchmal mittelgrob bis mittel-fein (16%) und seltener sehr grob (10%). Dabei wurde die Keramik fast immer mineralisch gemagert (95%). Nur sehr selten wurde mit Schamotte oder mit Muschelgruß gemagert (jeweils zu 2,5 %).

8.4.2. Zur Datierung des bronzezeitlichen Fundmaterials

Die Leichenbranddatierungen ermöglichten die Überprüfung bisheriger relativ-chronologischer Ansätze zu Metall- und Keramikfunden der Bronzezeit – v. a. der jüngeren Bronzezeit. Es fällt auf, dass ein großer Teil bekannter Funddatierungen mehr oder weniger durch die absoluten Datierungen bestätigt werden konnte. Vereinzelt muss der Datierungshorizont von insbesondere jenen Funden, die an den Beginn der jüngeren Bronzezeit relativchronologisch eingeordnet wurden, oder häufig bereits ab der Mitte oder vom Ende der Periode III, überdacht werden. An Knochen- und Metallfunden wären zum Beispiel zu nennen: Knochennadeln der Variante A1, Vasenkopfnadeln der Variante 1, Ösenknöpfe der Variante 1 (alle nach Schmidt 1993) und Ösenringe vom Typ C 9 (nach Hingst). Letzterer wurde zunächst relativchronologisch nach Hingst in die Stufe I b 1-2 eingeordnet, während die Leichenbranddatierung den Befund bereits ab der Mitte der Periode V beginnen lässt und maximal bis zum Ende der Periode VI datiert. Für einige Keramikformen ist das Vorkommen ab der Mitte oder dem Ende der Periode III anhand der Leichenbranddatierungen möglich. Es handelt sich dabei um Doppelkoni vom Typ A 1 c, eingliedrige Tonnen der Typen F 2 a und G2, zweigliedrige Tonnen des Typs B 1 a, eingliedrige Terrinen des Typs H 2 a, H 3 a und zweigliedrige Terrinen des Typs

810 LA 115, Befund 193: KIA-55442:2260±24uncalBP(394-208calBC).

811 SH 2008-429.142 (181.1) (LA 58, Befund 80).

812 SH 2008-429.153 (174) (AL 58, Befund 77).

813 SH 2014-111.415 (LA 115, Befund 193).

814 SH 2008-427.181 (103) + 180 (42) (LA 18, Befund 64).

815 SH 2008-429.41 (190.1) (LA 58, Befund 79).

E 1 (alle nach Schmidt 1993). Für die Deckgefäße vom Typ L 1 (nach Schmidt 1993) konnten fünf Exemplare ab der Mitte bzw. dem Ende der Periode III datiert werden, die jene Funde damit ebenfalls früher ansetzten als bisher mit Periode IV-V. Auch für den Typ L 3 liegt eine solche frühere Datierung vor. Lediglich für eines der L 1 –Deckgefäße war eine absolute Datierung in die Periode IV bis V feststellbar. Deutliche Abweichungen im Vergleich der relativen und absoluten Datierungen hängen insbesondere vom Erhaltungszustand der Funde ab. So schien ein Gefäßrest der Jüngerer Bronzezeit zugehörig zu sein, während der darin befindliche Leichenbrand ein älterbronzezeitliches Datum offenbarte (Vgl. LA 18, Befund 58). Jedoch überraschte die absolute Datierung für einige Formen: die dreigliedrige linsenförmige Terrine aus Befund 64 (LA 18) wurde relativchronologisch zunächst in die Stufenphase I b bis I d eingeordnet, während ein absolutes Datum auf Basis des Leichenbrandes eine wesentlich frühere Datierung, nämlich von der Mitte der Periode V bis zum Ende der Stufe I a ergab. Jüngerbronzezeitliche Gräber, die langlebige Formen enthielten und somit relativchronologisch nur ganz allgemein in die ‚Jüngere Bronzezeit‘ eingeordnet werden mussten, konnten mithilfe der absoluten Datierung genauer eingeordnet werden. Für die eisenzeitlichen Funde grenzen die relativen Datierungen den Datierungszeitraum teilweise wesentlich stärker ein als die absoluten Datierungen dies tun, da sie oftmals einen längeren Zeitraum angeben.

8.4.3. Entwicklungen im Fundmaterial

Die Datierung des Fundmaterials aus den Gräbern des Fundplatzes ermöglicht nun die Darstellung der Entwicklung von Objekten und Formen durch die Perioden. Aus dem Spätneolithikum konnten überwiegend Werkzeuge (Flintartefakte, Feuerschlagstein) erfasst werden. Einige Dolche, die sowohl zu den Waffen, als auch zu Prestigeobjekten gezählt werden können, ergänzen das spätneolithische Beigabenspektrum. Mit dem Übergang zu den Perioden I und II werden Schmuck (Bernsteinperle), Bronzegegenstände (lediglich in Fragmenten vorhanden), Waffen (Flintdolch) und wenige Keramikgefäße mitgegeben. Damit ist das Spektrum der spätneolithischen Funde hinsichtlich der Objektkategorie relativ ähnlich, jedoch findet ein Wandel in der Materialnutzung von Flint zu Bronze statt. Damit zeigen sich Veränderungen in der Technologie und im Austauschnetzwerk, indem nicht-lokale Produkte und dabei vermehrt Objekte aus Bronze statt aus Stein bzw. Flint genutzt werden. Das in der Periode II vorkommende Beigabenspektrum setzt sich aus Werkzeugen (Knopfsichel, Messer), wenigen Keramikgefäßen, Waffen (Bronzedolch) und Schmuck (Ringe, Nadeln) zusammen. Bronzefunde treten nun wesentlich häufiger auf (u. a. Griffzungenschwert aus Ackerkrume). So werden zum Beispiel auch Flintdolche durch Bronzedolche ersetzt und auch die Schmuckgegenstände bestehen ausschließlich aus Bronze. Viele Gräber der Periode III sind erst ab der Mitte bzw. dem Ende der Periode III vorhanden und datieren bereits bis in die Periode IV. Es werden nun wesentlich häufiger Keramikgefäße mit in die Gräber gegeben. Des Weiteren finden Schmuck- und Trachtgegenstände (Knöpfe, Nadeln) und auch vereinzelt Pfrieme Platz in den Bestattungen. Damit änderte sich das Repertoire grundlegend mit dem Übergang zur entwickelten Periode III, sodass ab der Mitte der Periode III möglicherweise bereits die Zuordnung zur Jüngerer Bronzezeit erfolgen könnte. Dies zeigten auch die absoluten Daten aus Gräbern, die Formen enthielten, die bisher der Jüngerer Bronzezeit (ab Periode IV) zugeordnet wurden, jedoch bereits ab der Mitte bzw. dem Ende der Periode III datieren (siehe Kap. 8.4.2.). Von der Periode IV bis Periode V bleibt dieses ‚neue Repertoire‘ mehr oder weniger stabil und wird durch die Beigabe von Rasiermessern und Ringen ergänzt. Aus der Periode VI sind nur wenige Beigaben vom Fundplatz bekannt. Sie beschränken sich auf eine bimetallische 3-Scheibenkopfnadel und einen Gefäßrest. Die Tradition der Beigaben von Nadeln bleibt damit vorhanden, jedoch handelt es sich um eine neue

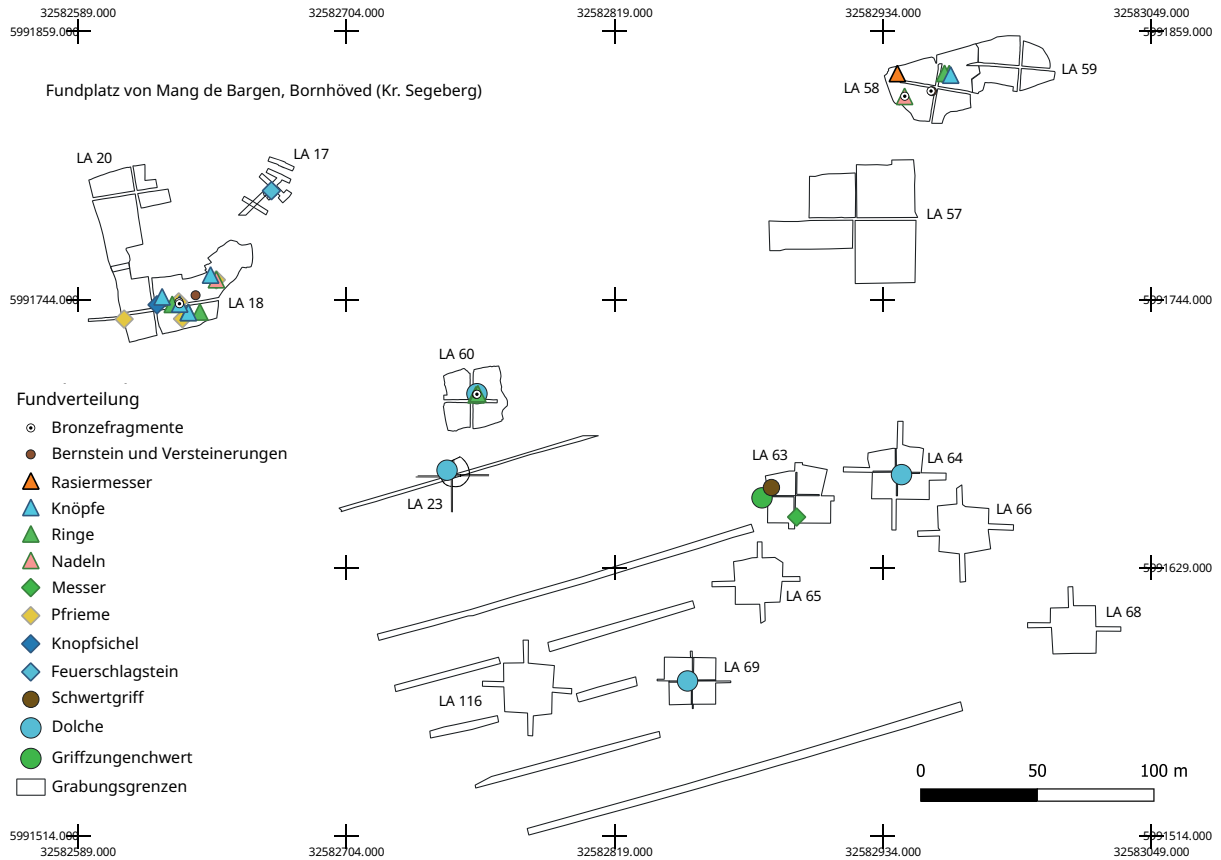
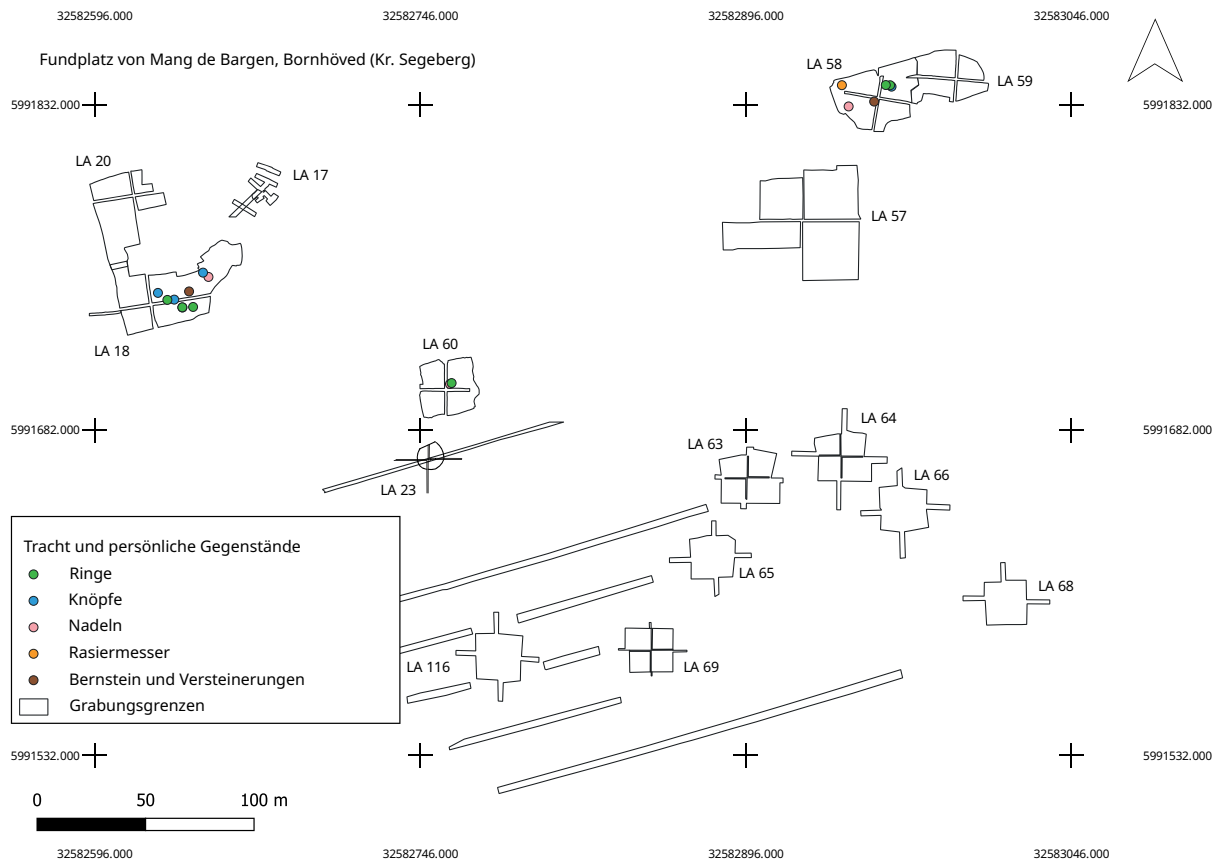
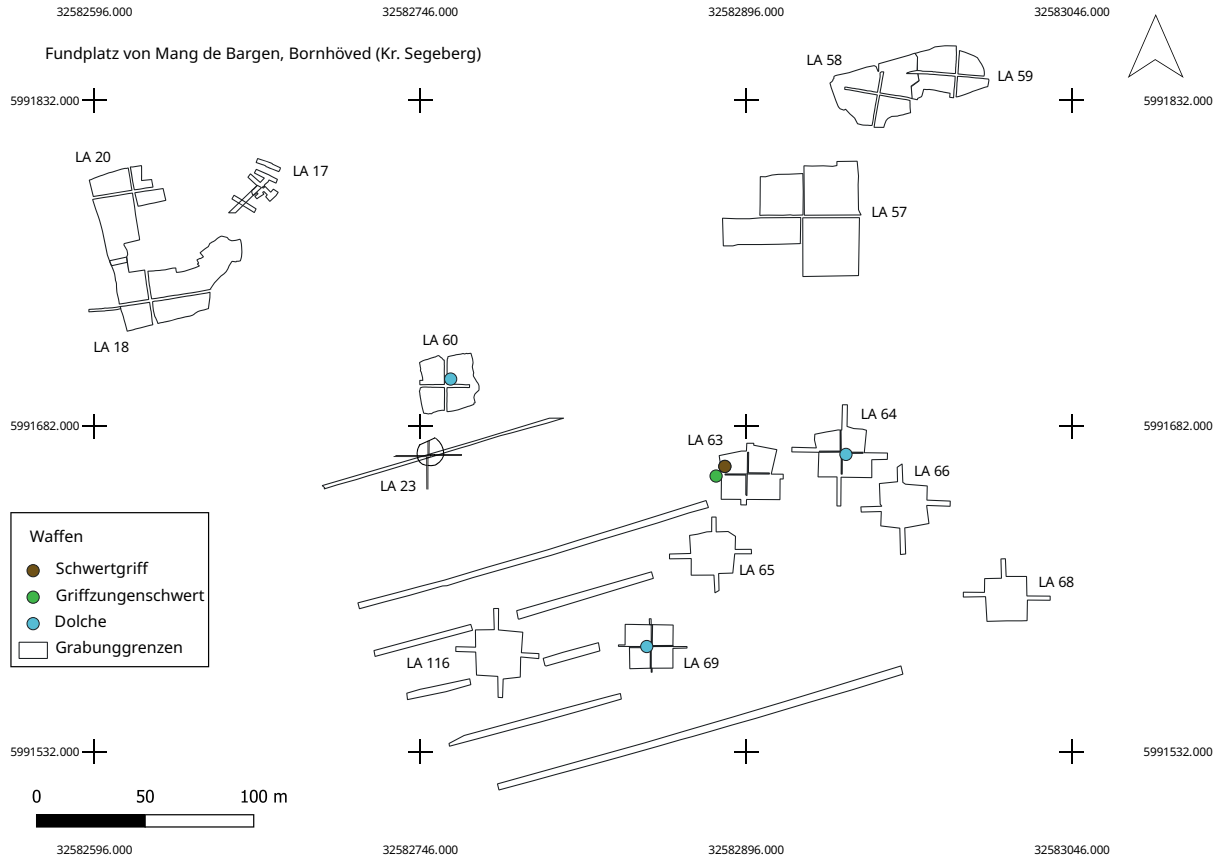


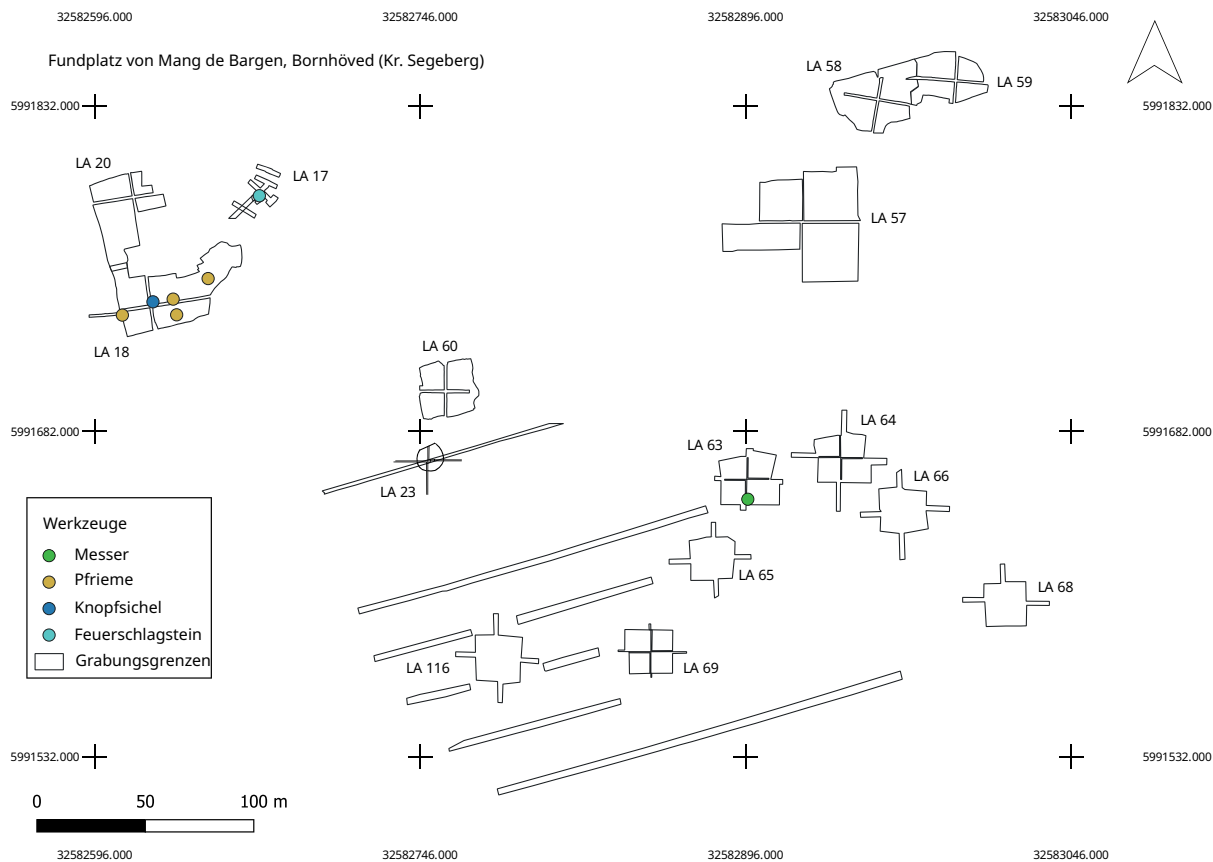
Abbildung 51: Verteilung von Funden am Fundplatz.

Nadelform, die aus den jüngerbronzezeitlichen Funden nicht bekannt ist. Auch die Wahl eines Objekts aus Bronze und Eisen deutet bereits auf eine neue Tradition der materiellen Kultur hin. Bimetallische Funde sind aus der Stufe I a nicht bekannt, sondern erst aus der Stufe II a, sodass es sich nicht um früheisenzeitliche Einflüsse im Periode VI-Material handeln kann. Mit der Eisenzeit zeigt sich ein neues Beigabenspektrum, das vor allem Gürtelteile, Ösenringe und verschiedene Nadeln (zumeist aus Eisen) umfasst und damit von den bronzezeitlichen Beigaben zu trennen ist.

8.5. Chorologie des Fundmaterials

Für die Chorologie von Funden werden alle bronzezeitlichen Grabfunde aus Bronze und sonstige datierbare Funde vom Fundplatz einbezogen. Nicht datierbare und unbestimmte Artefakte aus Flint und Stein werden dabei ausgelassen, da sich ihre Verteilung zumeist auf den Grabhügel LA 57 konzentriert und in der Gesamtverteilung entsprechend keine Aussagen zulassen. In der Gesamtverteilung von Grabfunden ist erkennbar, dass der Grabhügel LA 18 ganz besonders viele und auch vielfältige Beigaben in den Gräbern aufweist (Abb. 51). Dies hängt nicht zuletzt auch mit der höchsten Grabdichte an diesem Grabhügel zusammen. Waffen liegen vom Fundplatz vor allem in Form von Flint- und Bronzedolchen vor, die zum Großteil aus den Primärgräbern der Grabhügel stammen und vom Spätneolithikum bis zur Periode II datieren (Abb. 52). Sie sind auf die Gräber der Grabhügel des Fundplatzes verteilt und weisen keine Konzentration auf. Die Detektorfunde eines Griffzungenchwertes und eines Schwertknaufs, die möglicherweise aus einem gestörten Grab stammen, ergänzen das Spektrum.





Gegenstände, die der Tracht zugeordnet werden (Knöpfe, Nadeln und Ringe) sowie persönliche Objekte wie Rasiermesser und Bernsteinfunde oder Versteinerungen sind vorwiegend aus den Grabhügeln LA 18 und LA 58 bekannt, die den Großteil der Nachbestattungen aufweisen (Abb. 53). Vom Grabhügel LA 60 sind zudem Ringfragmente aus der zentralen Körperbestattung geborgen worden und aus dem primären Körpergrab des Grabhügels LA 58 ist die mondsichelförmige Bernsteinperle bekannt. Der Rest ist auf die Urnen verteilt.

Es sind nur wenige Werkzeuge vom Fundplatz bekannt, die sich zudem weitestgehend auf LA 18 konzentrieren (Abb. 54). Ein Feuerschlagstein wurde in der zentralen Körperbestattung des Grabhügels LA 17 gefunden und eine Knopfsichel in jener des LA 18. Pfrieme und ein Messerfragment sind dagegen ausschließlich aus den Urnennachbestattungen des LA 18 sowie eines der Messer aus einer Urne des LA 63 bekannt.

Die Beigabe von Keramikgefäßen ist bereits aus den spätneolithischen Gräbern vom Fundplatz bekannt. Auch in den älterbronzezeitlichen Körperbestattungen ließen sich vereinzelt Gefäßreste oder auch Tonbecher nachweisen (Abb. 55). Die Beigabe von Keramik ist mit der Periode III und der Jüngeren Bronzezeit wesentlich stärker verbreitet. Häufig handelt es sich erhaltungsbedingt um Gefäßreste und nur vereinzelt um Näpfe. Das Vorkommen und die Entwicklung älterbronzezeitlicher Keramikgefäße in Schleswig-Holstein wird in einem späteren Kapitel aufgegriffen (siehe Kap. 9.5.).

Abbildung 54: Verteilung von Werkzeugen am Fundplatz.

Abbildung 52: (links, oben) Verteilung von Waffen am Fundplatz.

Abbildung 53: (links, unten) Verteilung von Trachtgegenständen und persönlichen Objekten am Fundplatz.

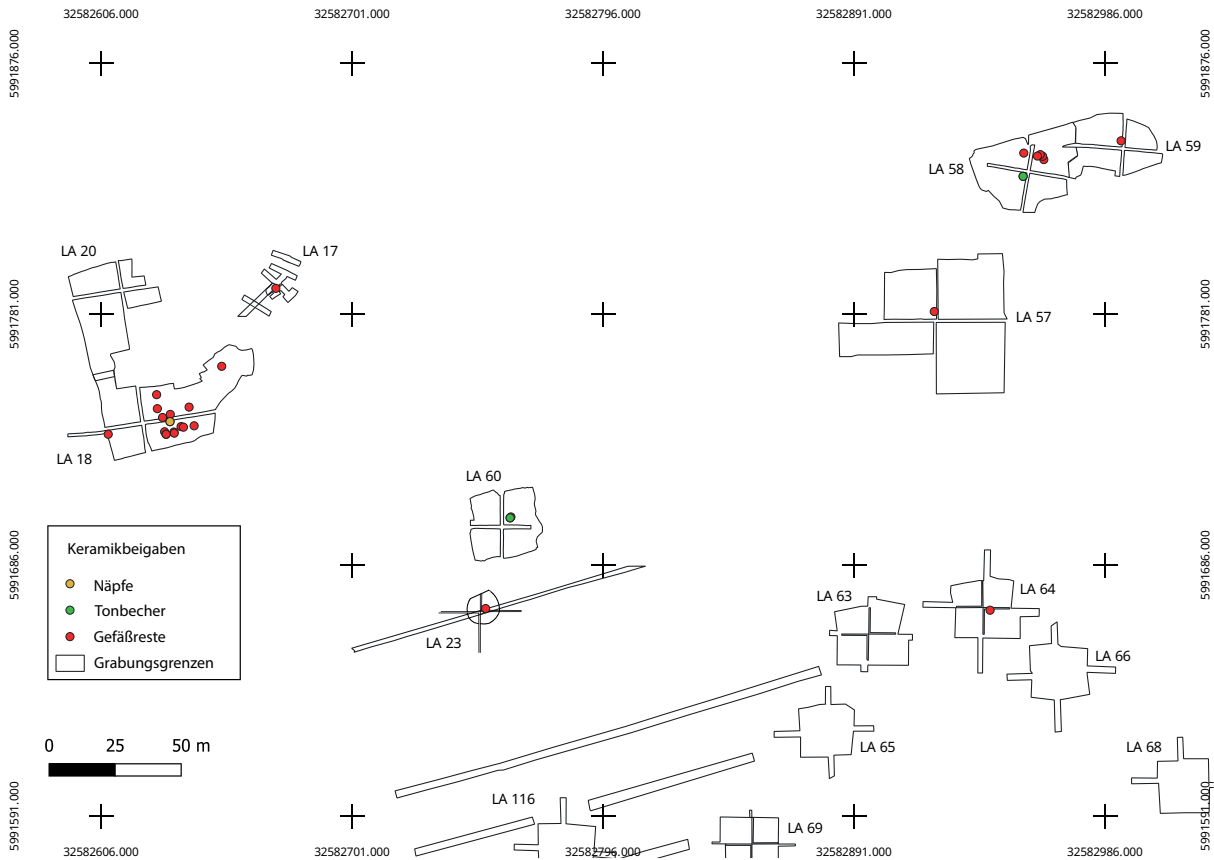


Abbildung 55: Verteilung von Keramikbeigaben am Fundplatz.

8.6. Chronologie

Die Chronologie befasst sich zum einen mit den relativchronologischen Datierungen von Funden, die den jeweiligen Befund datieren und in eine Datensequenz einordnen lassen. Zum anderen werden die Leichenbranddatierungen für die Aufstellung einer absoluten Chronologie am Fundplatz herangezogen. Der Sigma-2-Bereich ist dabei aufgrund der hohen Wahrscheinlichkeit von 95.4% ausschlaggebend (der Sigma-1-Bereich wurde in Ergänzung dazu in der Tabelle zu den Datierungsergebnissen im Anhang IV aufgeführt). Die relativchronologischen und absoluten Datierungen werden schließlich miteinander verglichen und hinsichtlich der sich abzeichnenden Abweichungen diskutiert.

8.6.1. Relative Chronologie

Für die relative Chronologie wurden vor allem die Grabbefunde herangezogen, da sie anhand der Beigaben Datierungen zulassen. Funde aus allen anderen Befunden (Steinkonstruktionen, Gruben, Pfostenlöchern, Branderdestellen, Feuerstellen, Ofenanlage, Streufunde) wurden separat ausgewertet, da sie fast immer aus nicht-datierbaren Kontexten stammen. Bei der Auswertung wurden Befunde, die in mehr als eine Periode bzw. Stufe datieren, mithilfe der aoristischen Methode auf die entsprechenden Zeitphasen aufgeteilt. Wenn also ein Fund z. B. in die gesamte jüngere Bronzezeit datiert, wird er auf die Perioden IV, V und VI mit jeweils einem Wert von 0,33 aufgeteilt.

8.6.1.1. Gräber

Im Rahmen der Darstellung zu den relativ-chronologisch datierten Gräbern (Abb. 56) wurden zwei Kurven erstellt. Die eine Kurve (blau) beruht auf den Datierungen der Fundeinordnungen, d. h. es wurden nur Befunde einbezogen, deren Beigaben eine Datierung zuließen. Dementsprechend verhält sich die Eisenzeit gegenüber der Bronzezeit gleichmäßig, obwohl es in der Eisenzeit wesentlich mehr – jedoch in datierter Hinsicht weniger datierte – Gräber gibt. Dieser Verzerrung wurde mit der zweiten Kurve (orange) entgegengewirkt, indem die eisenzeitlichen Grabbefunde, die keine genaue Einordnung zuließen, gleichmäßig auf die sechs Stufen nach Hingst aufgeteilt wurden. Somit ist in dieser zweiten Kurve (orange) die Grabanzahl faktisch, während die blaue Kurve näher an der tatsächlichen chronologischen Abfolge des Fundplatzes ist. Die beiden Kurven unterscheiden sich lediglich in ihrer Gräberanzahl. Ihr Verlauf ist größtenteils identisch. Einzig am Übergang von der Bronze- zur Eisenzeit ist ein Versatz erkennbar, der der Aufteilung nicht-datierter eisenzeitlicher Gräber geschuldet ist. Wenn man lediglich die relativchronologischen Datierungen für den Fundplatz hätte, würde sich folgende Entwicklung der Begräbnisse am Fundplatz zeigen: während des Spätneolithikums II und der Periode I wurden nur zwei bis fünf Personen bestattet. Mit der Periode II gibt es einen leichten Anstieg auf sechs bis sieben Gräber, bevor mit der Periode III ein Rückgang auf höchstens vier Bestattung folgt. In der Periode IV ändert sich das Bild dann schlagartig, denn es werden ungefähr 25 bis 26 Personen am Fundplatz bestattet, bevor sich die Anzahl mit der Periode V auf lediglich 15 bis 16 Gräber verringert. Mit der Periode VI findet ein erneuter Rückgang mit nur noch acht bis neun Gräbern statt, der mit der Stufe I a – den datierbaren Befunden zufolge (blaue Kurve) – einen Tiefpunkt erreicht, der jedoch aufgrund der aoristischen Gräberaufteilung (orangene Kurve) mit 27 bis 28 Gräbern belegt ist. Mit den Stufen I b (ca. 30 Bestattungen), I c (bis zu 34 Bestattungen), I d (ca. 35 Bestattungen) und II a (ca. 45 Bestattungen) erhöht sich die Anzahl der Bestattungen schrittweise, bevor sich mit der Stufe II b wieder ein Rückgang auf maximal 30 Bestattungen abzeichnet.

Zum Vergleich ist es sinnvoll die Beigabenverteilung pro Zeitphase zu untersuchen. Diese kann in den Abbildungen 57 und 58 nachvollzogen werden. Es wurden den oben beschriebenen Kurven der Abbildung 56 entsprechende Verteilungen der einzelnen Artefaktkategorien nach den Materialien Keramik, Metall, Flint, Bernstein, Stein und Knochen zugewiesen. In der Abbildung 57 ist die Verteilung der tatsächlich datierbaren Artefakte erkennbar. Unbestimmte Funde wurden in einem eigenen Balken zusammengefasst. In Abbildung 58 werden dagegen auch die nicht-datierbaren und Beigaben-losen Urnen eingeschlossen, sodass das Ergebnis der realen Beigabenanzahl näherkommt, die Datierung ist jedoch in Abbildung 57 genauer.

Bei Betrachtung beider Abbildungen 57 und 58 kann festgestellt werden, dass im Spätneolithikum und in der Periode I noch Flintartefakte und einige Keramikobjekte sowie vereinzelt Bernstein als Beigabe überwiegen. Mit der Periode II wird das Fundspektrum durch eine deutliche Zunahme der Metallartefakte ergänzt. In der Periode III erfolgen – den relativchronologischen Daten zufolge – insgesamt weniger Bestattungen, die zudem überwiegend mit Keramikbeigaben ausgestattet werden. Metallfunde sind in dieser Periode so gut wie nicht vorhanden. Erst mit der Periode IV wird das Beigabenspektrum in den Gräbern vielfältiger. Dies ist auch eine Folge des Anstiegs der Gräberanzahl. Während Keramikbeigaben – v. a. aufgrund der neuen Sitte der Urnenbestattung – überwiegen, werden nun auch viele Beigaben aus Metall beigegeben. Auch einige Flint- und Steinartefakte sowie eine vereinzelt Knochennadel wurden noch mitgegeben. Dieses Bild ändert sich in der Periode V nicht außerordentlich – lediglich die geringere Fundhäufigkeit, die auch mit einem allgemeinen Rückgang der Bestattungen zusammenhängt, ist zu verzeichnen. In der Periode VI nehmen die Metall- und Flintbeigaben ab, während Keramik

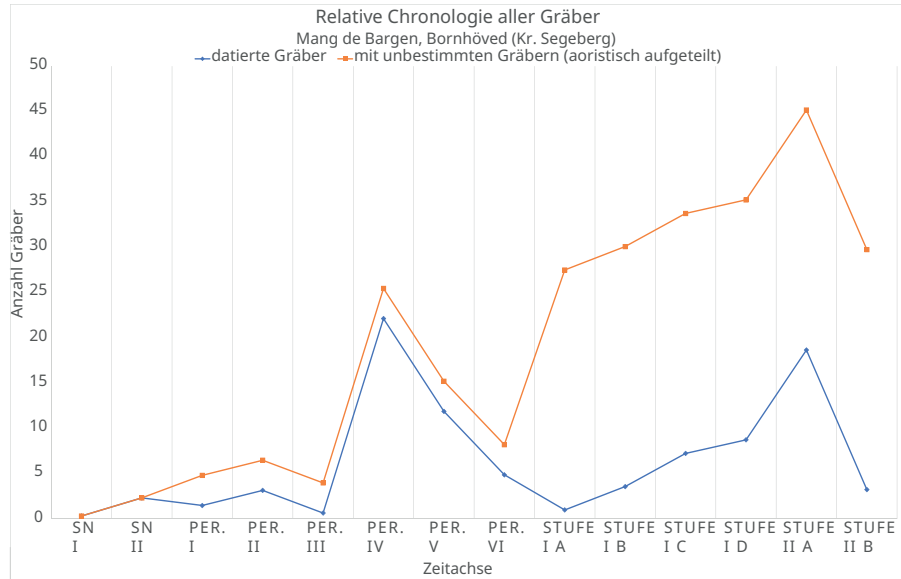


Abbildung 56: Vergleich der Grabbauentwicklung relativ-chronologisch datierter Gräber und jener Entwicklung unter Hinzuziehung aoristisch auf die Perioden/Stufen aufgeteilten Gräber.

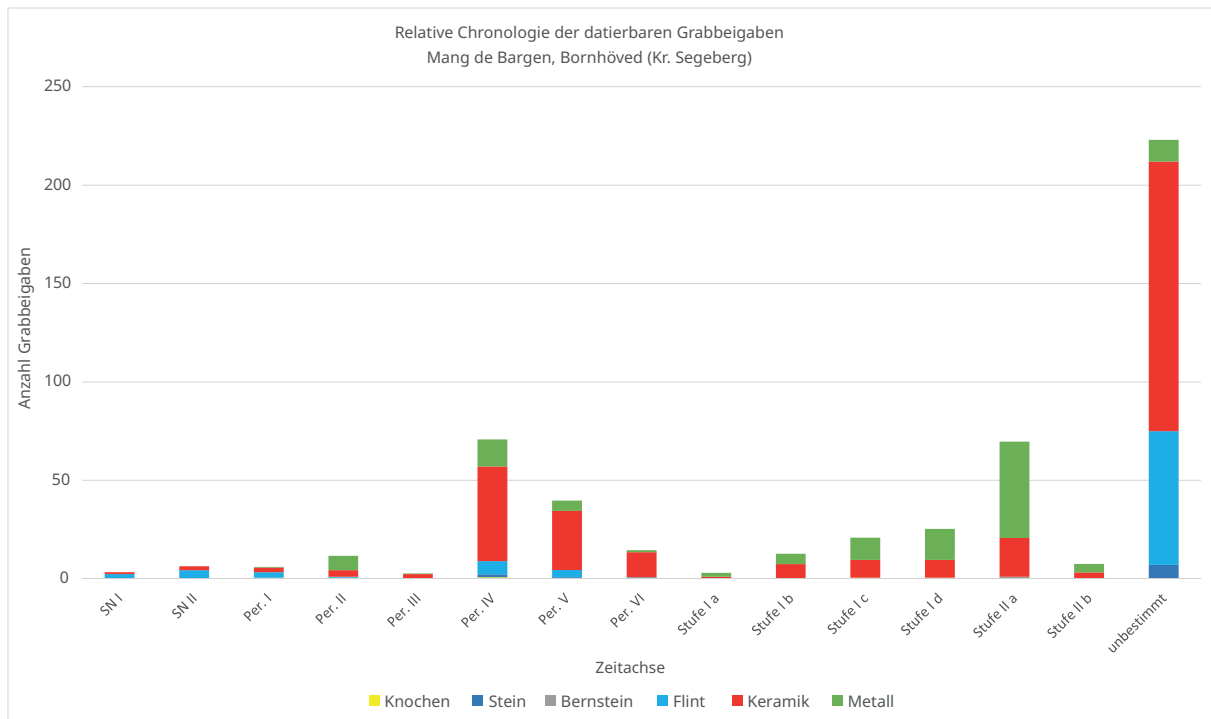


Abbildung 57: Verteilung relativ-chronologisch datierter Beigaben auf die Perioden/Stufen.

am häufigsten vorkommt. Mit der eisenzeitlichen Stufe I a finden Flintfunde keinen Eingang mehr in das Beigabenrepertoire. Keramik und Metallfunde überwiegen in den darauffolgenden eisenzeitlichen Stufen. Dabei überwiegt Keramik. Erst in der Stufe II a ändert sich die Zusammensetzung und die Metallfunde überwiegen erstmals gegenüber den Keramikfunden. Mit der folgenden Stufe II b werden hingegen wieder mehr Keramik- und weniger Metallbeigaben mitgegeben, während die Gräberanzahl insgesamt rückgängig ist.

In der Berechnung der Häufigkeit von Beigaben in Gräbern (Abb. 59) konnte zudem festgestellt werden, dass pro Grab meistens zwei Beigaben mitgegeben

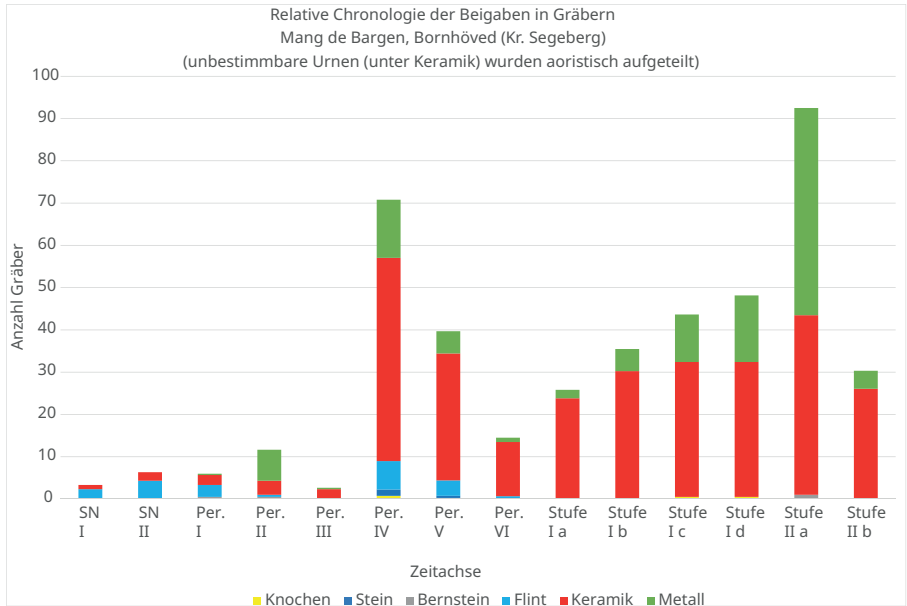


Abbildung 58: Verteilung relativ-chronologisch datierter Beigaben auf die Perioden/ Stufen unter Hinzuziehung aoristisch auf die Perioden/ Stufen aufgeteilten Beigaben.

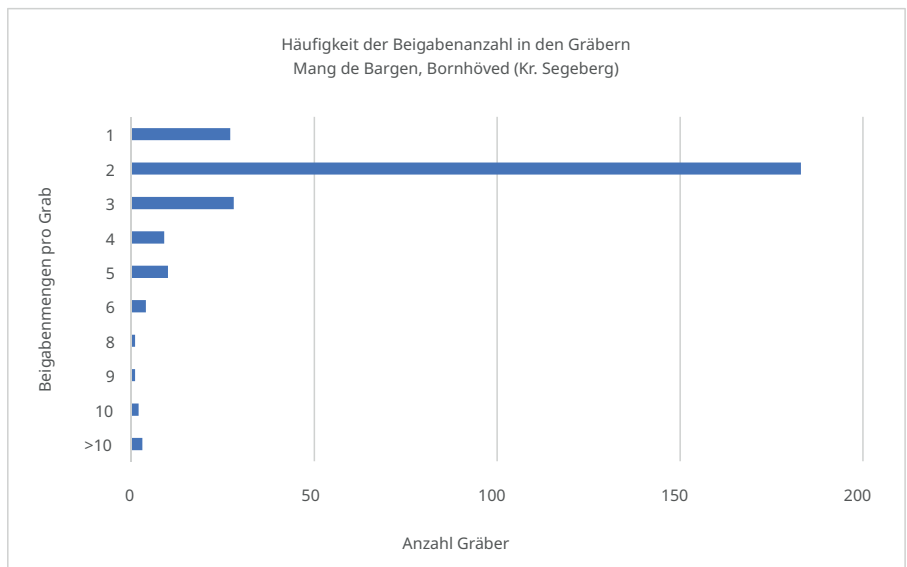


Abbildung 59: Häufigkeit der Beigabenzahlen in Gräbern.

wurden.⁸¹⁶ Darauf folgen 1- und 3-fache Beigabenausstattungen. Weniger häufig wurden vier, fünf oder sechs Beigaben in ein Grab gelegt. Noch seltener erfolgte die Beigabe von acht, neun, zehn oder mehr Beigaben pro Grab. Eine Beigabe wurde dabei meistens Urnengräbern der jüngeren Bronzezeit, aber auch Leichenbrand-schüttungsgräbern und undatierten Körpergräbern mitgegeben. Zwei Beigaben kommen meistens in eisenzeitlichen und jüngerbronzezeitlichen Gräbern mit einem ausgeglichenen Verhältnis von Keramik und Metall vor. Aus wenigen Körpergräbern und Leichenbrandschüttungen sind Flint- und Keramikreste oder Keramik- und Metallreste bekannt. Mit drei Beigaben wurden ebenfalls jüngerbronzezeitliche und eisenzeitliche Urnen ausgestattet, die meistens eine Urne und zwei Metallfunde enthielten. Seltener wurden zwei Keramikgefäße und ein Metallobjekt mitgegeben. Aus einem Körpergrab sind zwei Flintfunde und ein Keramikrest vorhanden. Mit vier Beigaben wurden meistens eisenzeitliche und jüngerbronzezeitliche Urnengräber

816 Dabei werden Urne und Deckschale als jeweils eine Beigabe berechnet.

ausgestattet, die größtenteils neben einer Urne drei Metallfunde aufwiesen. Andere Kombinationen (4-mal Keramik; 2-mal Keramik/2-mal Metall; 3-mal Keramik/1-mal Metall) sind seltener vertreten. Die Beigabe von fünf Objekten tritt meistens in jüngerbronzezeitlichen Urnen und seltener in eisenzeitlichen auf. Dabei überwiegt die Beigabe von Keramik und Metall in verschiedensten Kombinationen. In einem Fall wurde neben drei Metallfunden eine Bernsteinperle mit in die Urne gegeben. Ein Körpergrab mit fünf Beigaben wies neben Keramik und Metall ebenfalls eine Bernsteinperle auf. Ob es einen Zusammenhang zwischen einer hohen Beigabenzahl und der Beigabe von Bernstein gab, kann aufgrund dieser zwei Gräber nur erwägt werden. Mit sechs Beigaben waren wiederum jüngerbronzezeitliche und eisenzeitliche Urnen gleichermaßen ausgestattet, die dabei Keramik und Metall enthielten – seltener wurden nur Keramikgefäße mitgegeben. Mehr als sechs Beigaben treten in Gräbern von der Älteren Bronzezeit bis zur Eisenzeit auf. Damit wird deutlich, dass Ausnahmen in der Beigabenausstattung gleichermaßen in den meisten Zeitstufen auftraten. Lediglich das Zentralgrab von LA 57 enthielt 55 Funde, da es sehr viele Flintfunde aufwies, die jedoch – wie oben bereits ausgeführt – auch Zufallsfunde darstellen können.

8.6.1.2. Andere Befunde

Alle anderen Befunde erlauben, wie bereits angesprochen, nur in seltenen Fällen Datierungen. Eine relativ-chronologische Entwicklung lässt sich daran leider nicht feststellen. Die Streufunde lassen lediglich einige weitere Urnengräber vermuten, die zerstört wurden und deren Inhalte sich durch landwirtschaftliche Tätigkeiten in dem neuzeitlichen Ackerhorizont ablagerten. Einige Lesefunde aus der Ackerkrume lassen auch zerstörte Gräber der Älteren Bronzezeit vermuten, die nicht mehr zugeordnet werden können (z. B. Griffzungenschwert und Schwertknauf). Gruben, Pfostenlöcher, Feuerstellen, Steinbefunde, Branderdestellen und die Ofenanlage wiesen kaum relativchronologisch datierbare Funde auf. Meistens enthielten sie unspezifische Flint- und Keramikreste.

8.6.2. Absolute Chronologie

Die absolute Chronologie stützt sich auf die ¹⁴C-Datierungen, die anhand von Leichenbränden, Holzkohlen und anderen Makroresten wie verkohlten Getreidekörnern oder Samen aus Befunden gemessen wurden. Die Messungen wurden im Rahmen des Projektes durch das Leibniz-Labor der CAU Kiel (AMS ¹⁴C Labor) durchgeführt. Das Labor nutzt dazu ein Beschleuniger-Massenspektrometer (AMS) vom Typ HVE 3MV Tandetron 4130. Die Datierungsergebnisse wurden im Anhang IV in dieser Arbeit zusammengefasst.

8.6.2.1. Gräber

Den Hauptansatz bildet die absolute Chronologie der Gräber vom Fundplatz, die zum einen in repräsentativer Menge vorhanden sind und zuverlässiges Material liefern, das eine Datierung ermöglicht. Für die Bronzezeit wurden sichere Gräber zu ungefähr 76 % (54 von 68 bronzezeitlichen Gräber) absolut datiert. Für die Eisenzeit wurden nur ca. 14 % absolut datiert (28 von 200). In Abbildung 60 ist ein Multiplot zu den Gräbern aufgeführt, das bereits einen deutlichen Schwerpunkt um 1000 calBC (entspricht Periode IV) aufzeigt. Die ersten beiden Daten stammen aus den Primärbestattungen der Grabhügel LA 63 und LA 64, die im Spätneolithikum I erbaut wurden. Darauf folgt eine Lücke von ungefähr 450 Jahren. Da einige Gräber wegen fehlendem Datierungsmaterial nicht absolut datiert werden konnten, kann es sein, dass es sich bei der Lücke lediglich um ein Forschungsproblem handelt. Relative

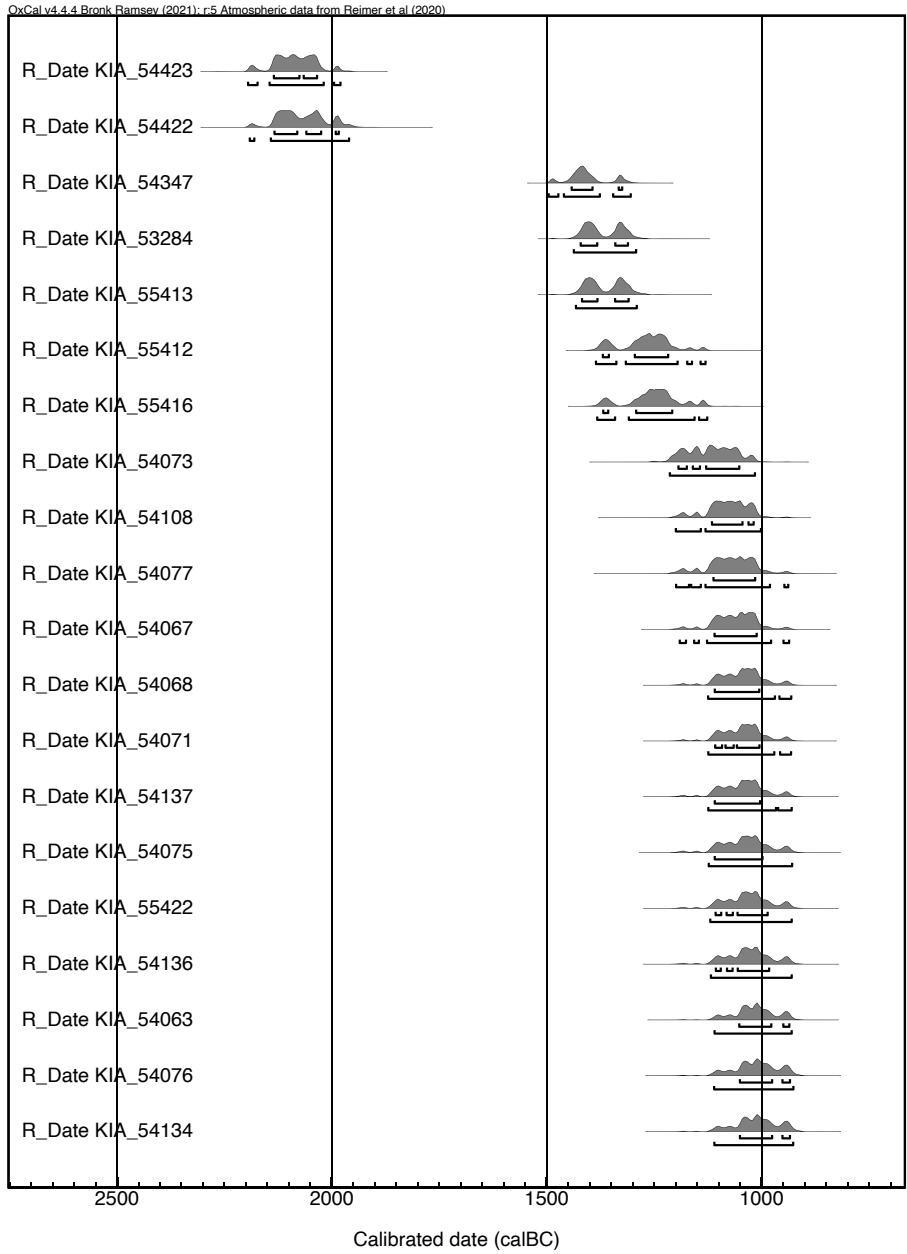


Abbildung 60: Multiplot zu allen absolut datierten Gräbern vom Fundplatz von Mang de Bargaen (Radiokohlenstoff-Bestimmungen, kalibriert mit OxCal. v4.4 (Bronk Ramsey, 2021) und der IntCal20-Atmosphärenkurve (Reimer et al. 2020)).

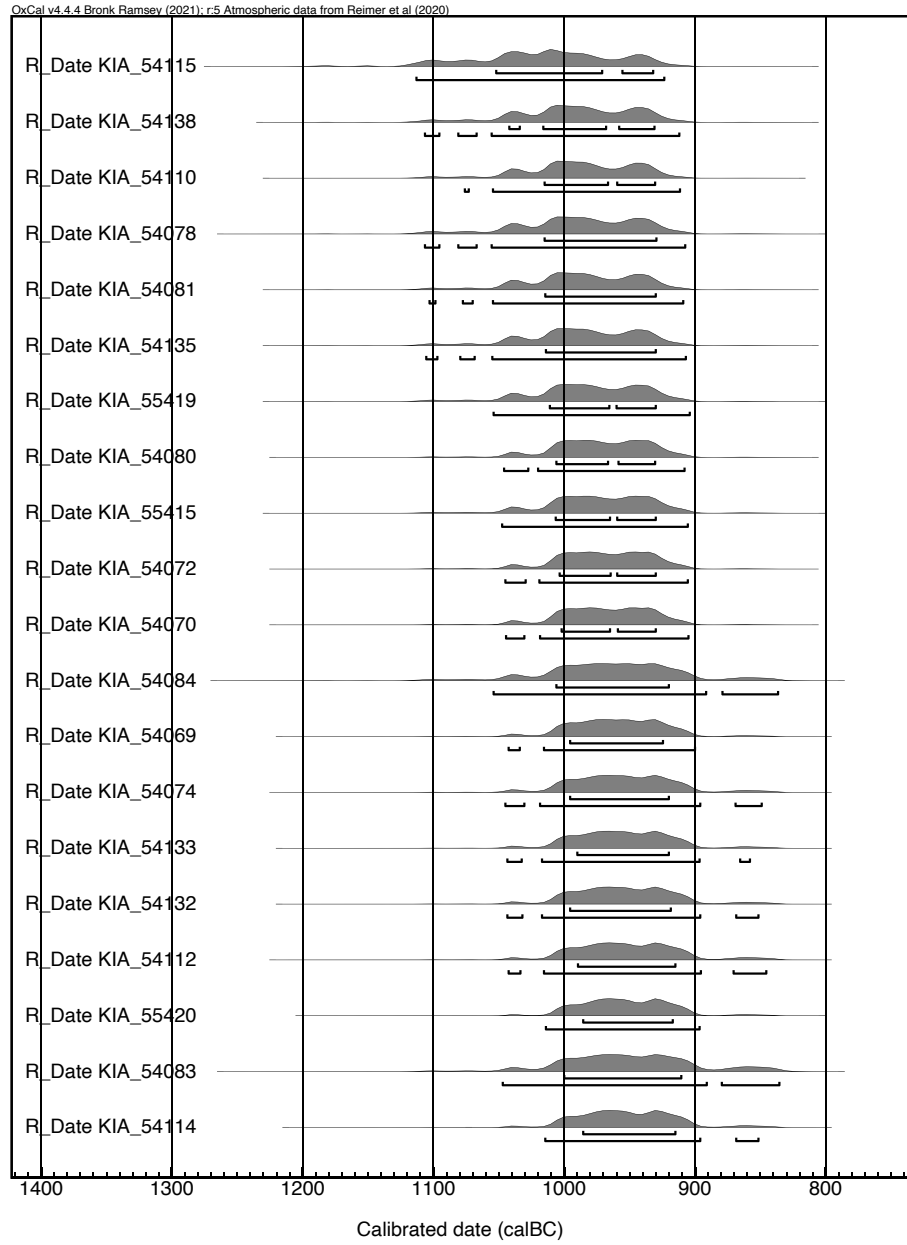


Abbildung 60 (Fortsetzung 1)

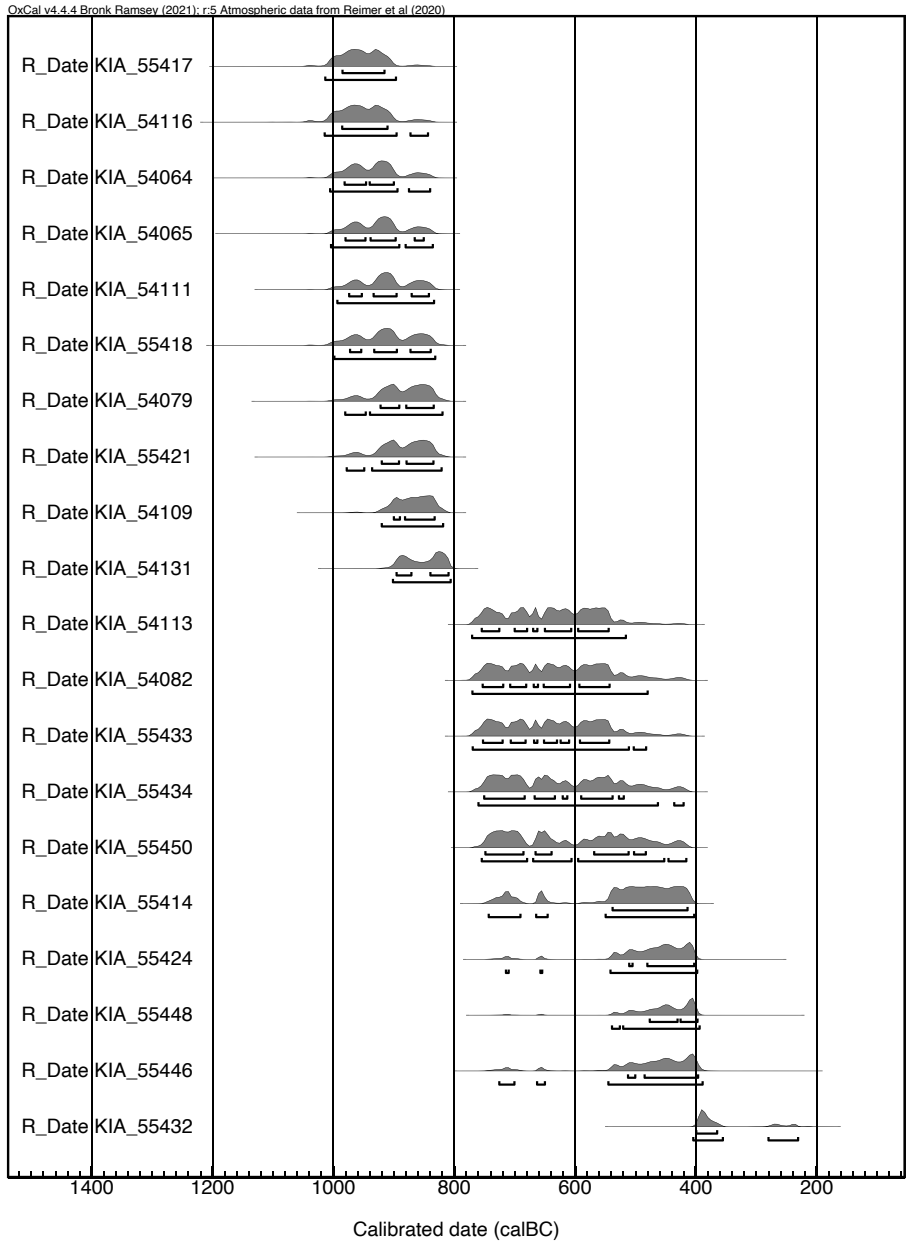


Abbildung 60 (Fortsetzung 2)

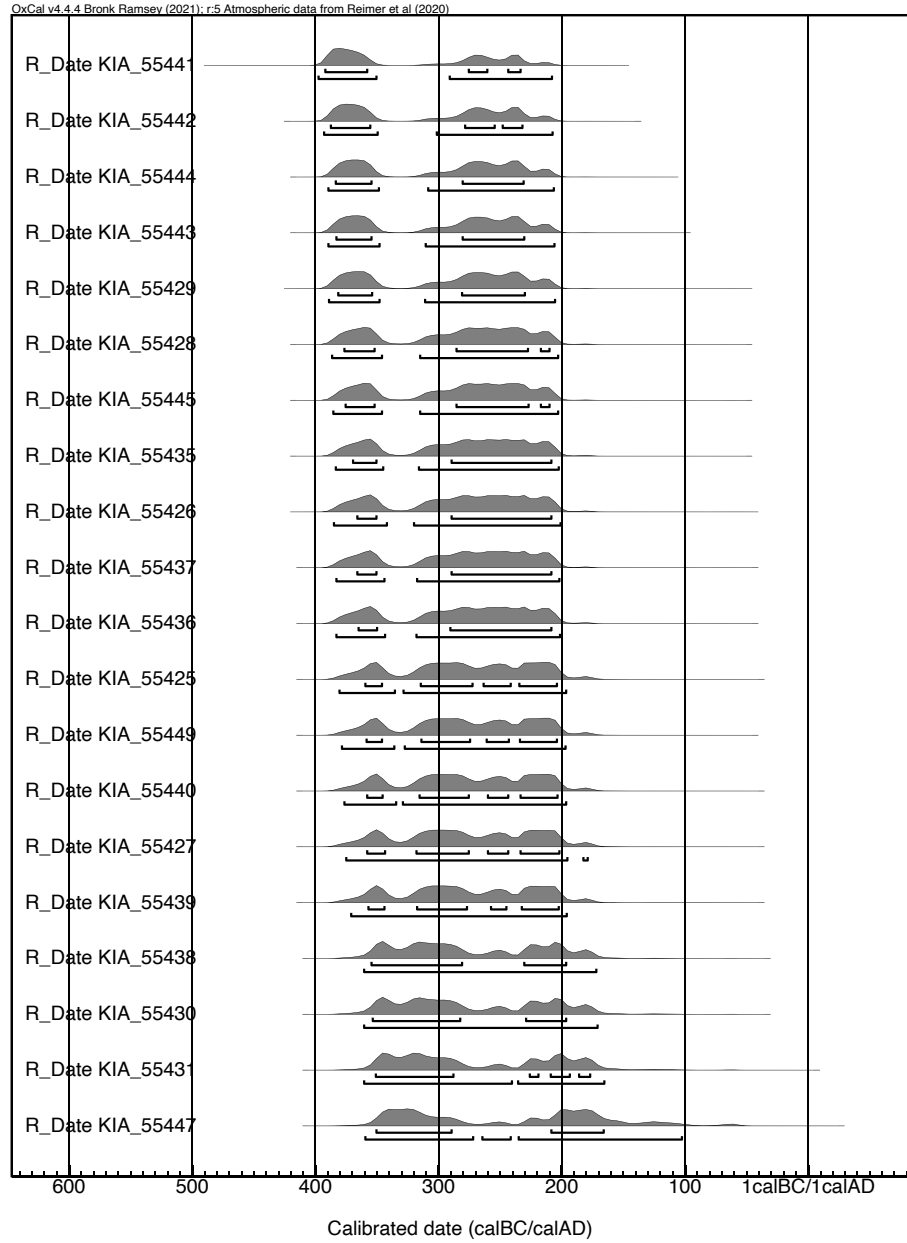


Abbildung 60 (Fortsetzung 3)

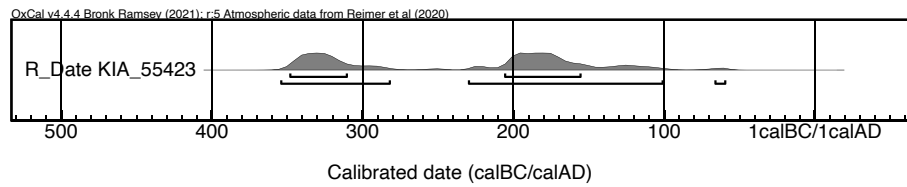


Abbildung 60 (Fortsetzung 4)

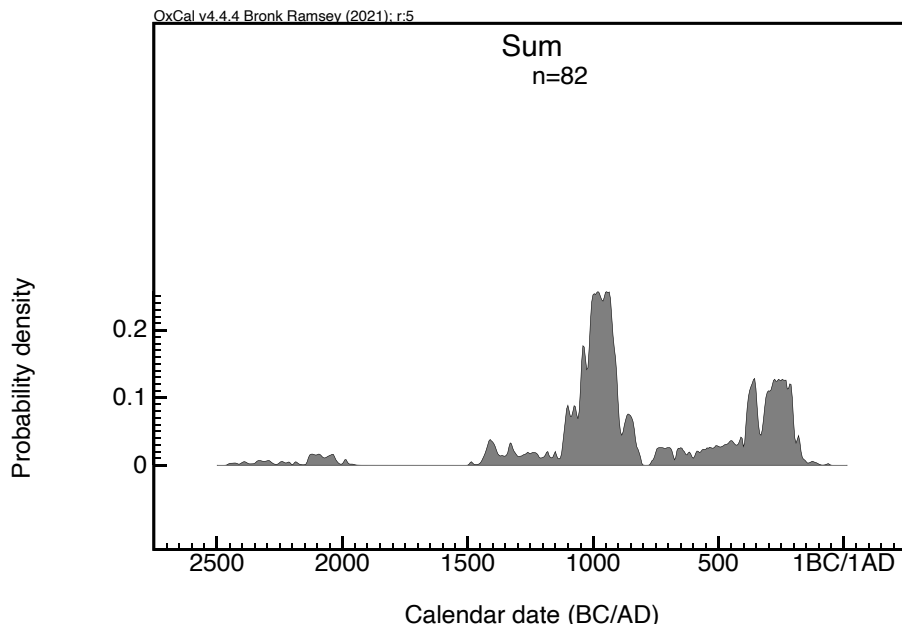


Abbildung 61: Summenkalibration zu den Gräbern vom Fundplatz von Mang de Bargaen (Radiokohlenstoff-Bestimmungen, kalibriert mit OxCal. v4.4 (Bronk Ramsey, 2021) und der IntCal20-Atmosphärenkurve (Reimer et al. 2020)).

Datierungen, die später hinzugezogen werden, zeigen lediglich eine geringfügige Nutzung (siehe unten), sodass es sich nicht unbedingt um einen Abbruch, sondern auch um eine starke Verringerung der Bestattungsaktivität gehandelt haben kann. Es ist bekannt, dass es einen Siedlungsrückgang um 1700/1600 v. Chr. in Mitteleuropa gegeben hat, sodass diese Lücke bzw. geringe Aktivität auch einen Nutzungswandel hinsichtlich des Platzes darstellen könnte. Datierungen von Gruben und Pfostenlöchern zeigen, dass das Areal insbesondere während dieser Lücke genutzt worden sein muss, d. h. wenn nicht für Gräber, dann für andere Aktivitäten. Mit dem Beginn der Periode II wird der Fundplatz dagegen wieder häufiger und zunächst durchgehend für Bestattungen genutzt.

Während in der älterbronzezeitlichen Phase (bis Mitte/Ende Periode III) noch wenige Gräber auf dem Fundplatz bestattet werden, folgen ab der Mitte der Periode III wesentlich mehr Gräber, die teils den gleichen Zeitraum, teils stark überlappende Zeitspannen zeigen und dabei eine dichte Sequenz bilden. Um 1000 v. Chr. erfolgen die meisten Bestattungen mit dichter Aufeinanderfolge. Die Summenkalibration in Abbildung 61 bestätigt einen Schwerpunkt der Bestattungen um 1000 v. Chr. mit einer deutlichen Konzentration. Damit ist ein Schwerpunkt der Gräberfeldnutzung für den Fundplatz von Mang de Bargaen in der Periode IV deutlich.

Am Ende dieser ersten dichten Sequenz gibt es sechs Daten (KIA-54082, -54113, 55414, -55433, -55434, -55450), die in das Hallstattplateau fallen und dementsprechend eine lange Zeitspanne zwischen 800 und 400 v. Chr. aufweisen. Ohne diese fünf Daten würden die Periode V und der Beginn der Periode VI nicht bzw. wesentlich geringfügiger in der Fundplatznutzung auftreten. Auf eine leichte Zunahme mit zunächst gleichbleibender und dann leicht zunehmender Entwicklung folgt eine zweite starke und rapide Zunahme an Bestattungen mit der Eisenzeit, die um 350 und 250 v. Chr. ihre Höhepunkte erreicht. Um 100 v. Chr. geht die Bestattungsaktivität wieder stark zurück und findet maximal um 60 v. Chr. ihr Ende (soweit absolut datierbar). Diese Angaben wurden in ein gestapeltes Balkendiagramm übertragen (Abb. 62). Dabei wurden unbestimmte Körperbestattungen bzw. Leichenbrandschüttungen (bei diesen Gräbern waren weder Leichenschatten einer Körperbestattung noch verbrannte Knochen einer Leichenbrandschüttung erhalten) von sicheren Körperbestattungen, Leichenbrandschüttungen und Urnen unterschieden. Für die Eisenzeit wurden zudem Leichenbranddepots separat aufgeführt. Es zeigt sich, dass sich die unsichere Befundkategorie auf das Spätneolithikum I und

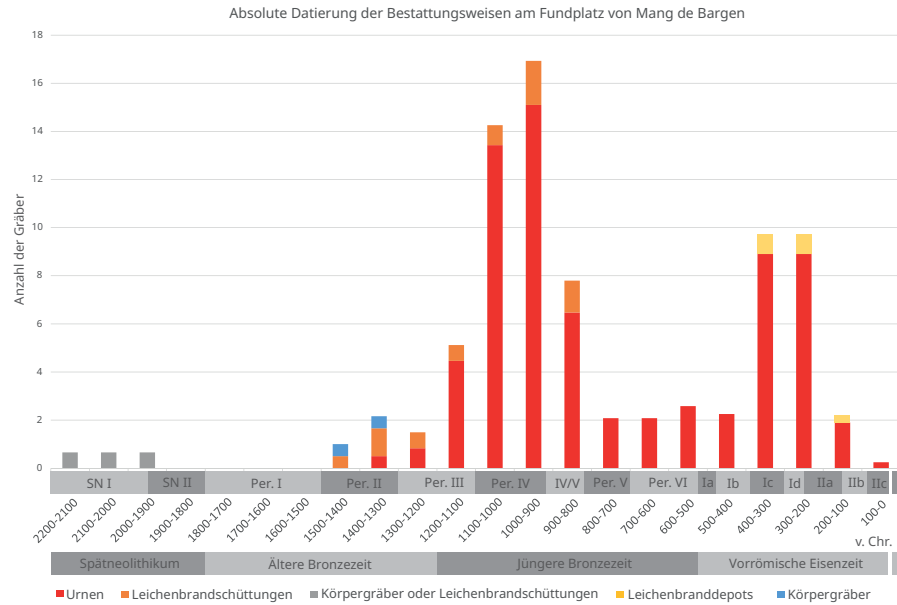


Abbildung 62: Verteilung absolut-datierter Gräber vom Fundplatz von Mang de Bargaen hinsichtlich der angewandten Totenbehandlung.

die Periode II konzentriert. Es ist sehr gut möglich, dass es sich dabei mehrheitlich um Körperbestattungen handelt. Aus der Periode II ist bereits eine Leichenbrandschüttung bekannt. Mit dem Übergang von Periode II zu III werden Leichenbrandschüttungen etwas häufiger, während die letzte Körperbestattung und die erste Urnenbestattung beigesetzt werden. Urnen werden ab 1200 v. Chr. und damit ab der Mitte der Periode III schlagartig häufiger. Am Übergang von Periode III zu Periode IV wird das Verhältnis von vielen Urnen zu wenigen Leichenbrandschüttungen und keinen Körperbestattungen verstärkt und erreicht mit der Periode IV, die nun zu fast 90% Urnen und nur ungefähr zu 10% Leichenbrandschüttungen umfasst, den Höhepunkt. Um 900/800 v. Chr., also am Übergang von Periode IV zu V wird das Verhältnis der Befundkategorien unwesentlich ausgeglichener, jedoch sinkt die Gräberanzahl im Allgemeinen.

Mit der Periode V zeigt sich ab 800 v. Chr. zum einen, dass Leichenbrandschüttungen nicht mehr in Nutzung sind, sondern Urnenbestattungen vorherrschen. Zum anderen ist mit Periode V ein rapider Rückgang bis 400 v. Chr., d. h. bis zum Ende der eisenzeitlichen Stufe I b ersichtlich. Statt Leichenbrandschüttungen werden ab 400 v. Chr. Leichenbranddepots entdeckt, die jedoch auch zerstörte Urnen darstellen können. Diese Verteilung zeigte insbesondere den Wandel von der Körper- zur Brandbestattung, der sich um 1300 v. Chr. und damit am Übergang von der Periode II zu III durch erste Leichenbrandschüttungen und Urnen ankündigt. Bei der ersten Leichenbrandschüttung handelt es sich um das Zentralgrab (Befund 1001) des Grabhügels LA 57, das demnach die älteste Brandbestattung des Fundplatzes darstellt. Die Datierung reicht dabei über den Zeitraum von 1438 bis 1293 calBC (95.4%) und damit von der Mitte der Periode II bis zum Beginn der Periode III. Eine kurz darauffolgende Urnenbestattung (LA 18, Befund 58) zeigt, dass der Übergang von der Körper- zur Brandbestattung in Mang de Bargaen spätestens zu Beginn der Periode III (um 1300 v. Chr.) anzusetzen ist.

8.6.2.2. Andere Befunde

In Ergänzung zu den Datierungen der Gräber wurde auch Material aus Gruben, Pfostenlöchern und weiteren Befunden, die keine Gräber darstellten, vom Fundplatz für Datierungen ausgewählt. Insgesamt wurden 20 Datierungen von anderen Befunden realisiert. Viele dieser Befunde lieferten ausschließlich Holzkohlen, die

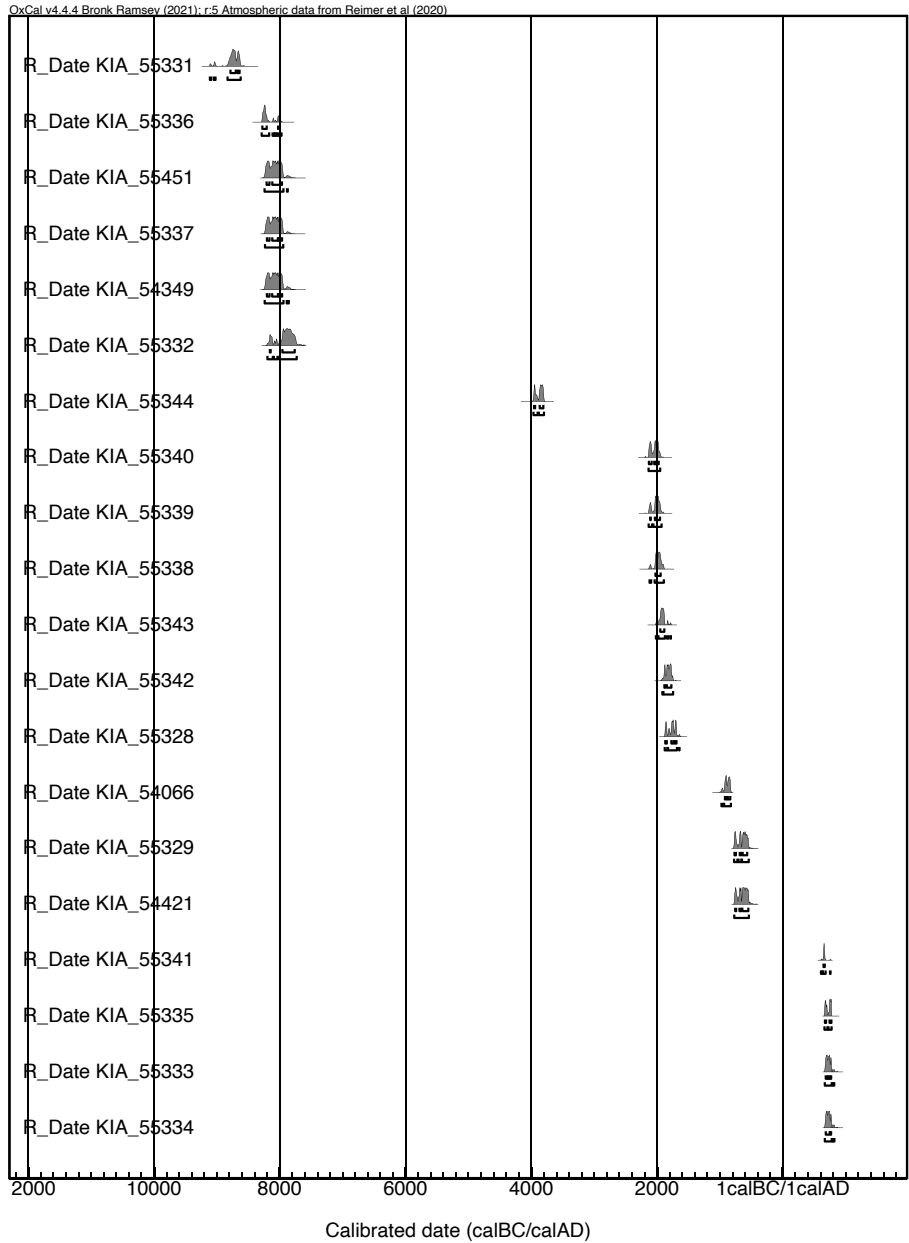


Abbildung 63: Multiplot zu den Siedlungsbefunden vom Fundplatz von Mang de Barges (Radiokohlenstoff-Bestimmungen, kalibriert mit OxCal. v4.4 (Bronk Ramsey, 2021) und der IntCal20-Atmosphärenkurve (Reimer et al. 2020)).

teilweise vom Altholzeffekt betroffen waren, oder aus Umschichtungen durch Raubgrabungen oder Erosionen resultierten, sodass sie den jeweiligen Befund wesentlich älter oder jünger datieren, als er tatsächlich gewesen sein muss. Trotz dieser Bedingungen werden in Abbildung 63 zunächst alle 20 Datierungen dargestellt. Die ersten sechs Daten zeigen jene zu alt datierten Daten. Es handelt sich dabei um Holzkohlestücke aus einer möglichen Grube (KIA-55331: LA 57, Befund 1008), Pfostenlöchern (KIA-55336: LA 57, Befund 2022 und KIA-55337: LA 57, Befund 2031) und der Ofenanlage (KIA-54349 + KIA-55451: LA 116, Befund 2), sowie dem Befund, der sich neben dem Zentralgrab von LA 57 befand und zunächst als Befund einer ehemaligen Markierung gedeutet wird (KIA-55332: Befund 1020). Letzterer ergab bei einer zweiten Datierung ein wesentlich jüngeres Datum. Da diese Befunde teilweise aus stratigrafischen Gründen jünger datieren müssen (z. B: Bef. 1020 war auf gleicher Höhe mit der mittelbronzezeitlichen Zentralbestattung des Grabhügels LA 57), sind diese zu alten Datierungshorizonte dem schon erwähnitem Altholzeffekt sowie

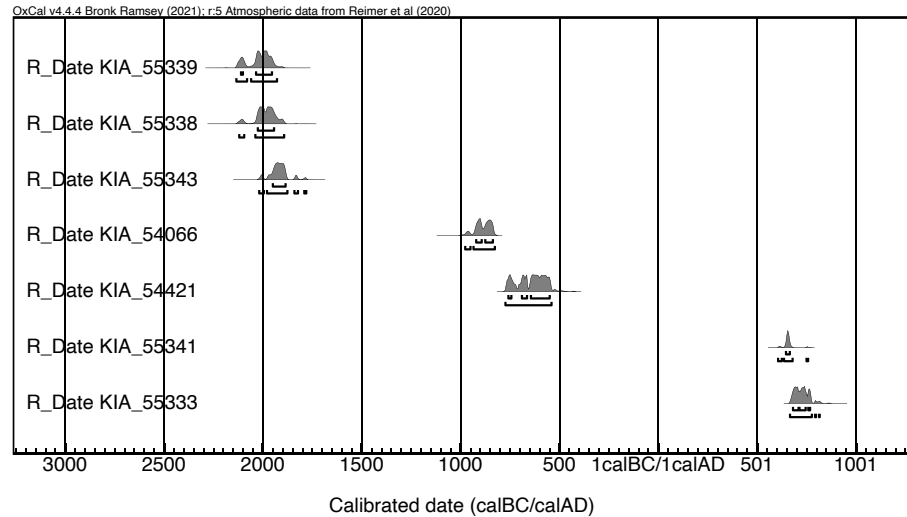


Abbildung 64: Multiplot zu den Grubenbefunden vom Fundplatz von Mang de Barges (Radio-kohlenstoff-Bestimmungen, kalibriert mit OxCal. v4.4 (Bronk Ramsey, 2021) und der IntCal20-Atmosphärenkurve (Reimer et al. 2020)).

Verlagerungen durch z. B. Tiergänge zuzuschreiben und werden im Folgenden nicht weiter berücksichtigt.

Sieben Gruben wurden am Fundplatz zwischen 2135 v. Chr. und 817 n. Chr. angelegt. Einen spätneolithischen bis frühbronzezeitlichen Horizont zwischen 2135 und 1782 v. Chr. bilden dabei die ersten drei Daten (KIA-55339, -55338, -55343) aus dem riesigen Grubenbefund 3048 des Grabhügels LA 57, dessen Combine-Datum zwischen 2126 und 1930 v. Chr. bereits in der Auseinandersetzung mit den Befunden besprochen wurde (Vgl. Kap. 8.3). Weitere datierbare Gruben konnten dann wieder ab 978 und bis 541 v. Chr., d. h. zwischen die Mitte der Periode IV bis zum Ende der Periode VI datiert werden (Abb. 64). Zum einen handelt es sich dabei um eine fundreiche Grube (Befund 72; KIA-54066), die sich südwestlich des bereits eingeebneten ehemaligen Grabhügels LA 20 befand. Es scheint sich um eine Abfallgrube für die Reste von Ustrinen gehandelt zu haben, da sie viele verbrannte Knochenreste (u. a. Schädelreste) enthielt (Vgl. Kap. 8.3.1.3.). Die Datierung eines Leichenbrandrests (unbestimmter Langknochen) aus der Grube lässt den Befund von der Periode IV bis zum Übergang von Periode IV zu V einordnen (Abb. 64) und gehört damit der Hauptphase der Bestattungsaktivität am Fundplatz an (siehe oben).

Zum anderen stammt der andere Grubenbefund (Befund 8, KIA-54421) aus dem Befundareal von LA 116. Es handelt sich um eine ebenso fundreiche Grube. Sie enthielt viel Keramik, einige Lehmbrocken, Pflanzenreste und hitzeermürbte Steine. Womöglich handelt es sich um eine Abfallgrube, die die Reste verschiedener Tätigkeiten barg. Ein Makrorest lässt den Befund von der Mitte der Periode V bis zum Ende der Periode VI datieren und umfasst damit den Zeitraum, der einen starken Rückgang im Bestattungsverhalten aufweist. Die Abwesenheit von verbrannten Leichenüberresten und die Anwesenheit von tendenziell als Siedlungsfunde zu bezeichnenden Objekten (Keramik, Brandlehm, Pflanzenreste) könnten demnach für entsprechende Tätigkeiten sprechen, die am Fundplatz und seiner Umgebung stattgefunden haben. Der Fundplatz wurden dementsprechend während dieser inaktiven Bestattungsphase nicht gemieden, sondern für andere Aktivitäten genutzt. Die beiden anderen Grubenbefunde (KIA-55341: LA 57, Befund 4002; KIA-55333: LA 57, Befund 1006) datieren zwischen 606 und 817 n. Chr. und damit in einen frühmittelalterlichen Horizont, währenddessen der Fundplatz wieder aufgesucht worden war. Bei einer der beiden Gruben (Befund 4002) handelt es sich um eine Raubgrube. Möglicherweise wurde auch die Grube des Befundes 1006 für grabräuberische Aktivitäten angelegt. Von den vielen ausgegrabenen Pfostenlöchern, ließen lediglich zwei Datierungen zu (Abb. 65). Ein jungneolithisches (3966-3800 calBC) und ein spätneolithisches/frühbronzezeitliches (1880-1645 calBC) Alter konnten

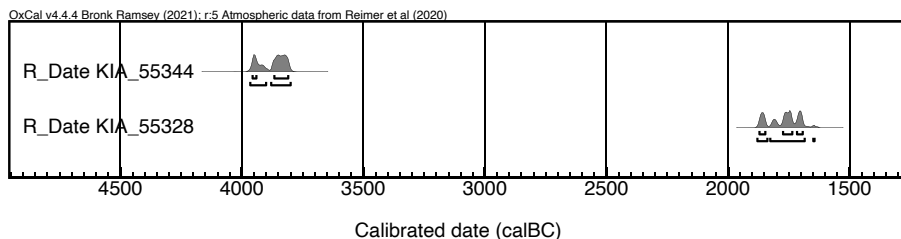


Abbildung 65: Multiplot zu den Pfostenlöchern vom Fundplatz von Mang de Bargaen (Radiokohlenstoff-Bestimmungen, kalibriert mit OxCal. v4.4 (Bronk Ramsey, 2021) und der IntCal20-Atmosphärenkurve (Reimer et al. 2020)).

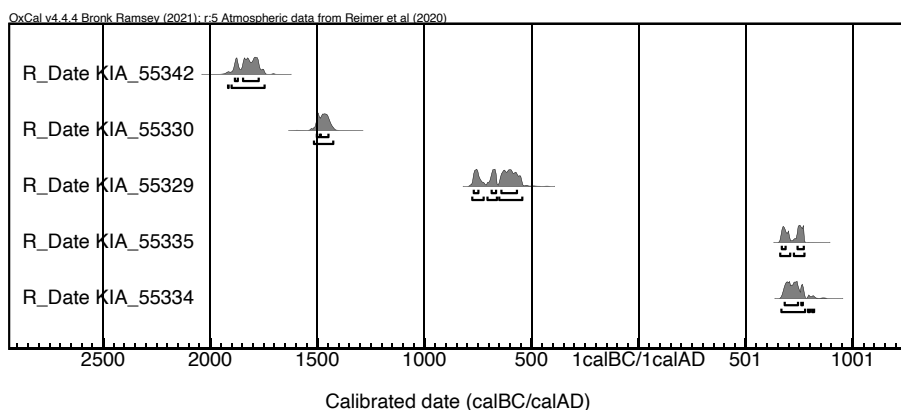


Abbildung 66: Multiplot zu den sonstigen Befunden vom Fundplatz von Mang de Bargaen (Radiokohlenstoff-Bestimmungen, kalibriert mit OxCal. v4.4 (Bronk Ramsey, 2021) und der IntCal20-Atmosphärenkurve (Reimer et al. 2020)).

dabei datiert werden. Beide befanden sich um den Grabhügel LA 57 und zeigen die Nutzung des Areals vor dem Bau des dortigen Grabhügels auf. Insbesondere das spätneolithische/frühbronzezeitliche Datum befindet sich im gleichen Zeitfenster in dem die Grabhügel LA 23, 63 und 64 erbaut wurden.

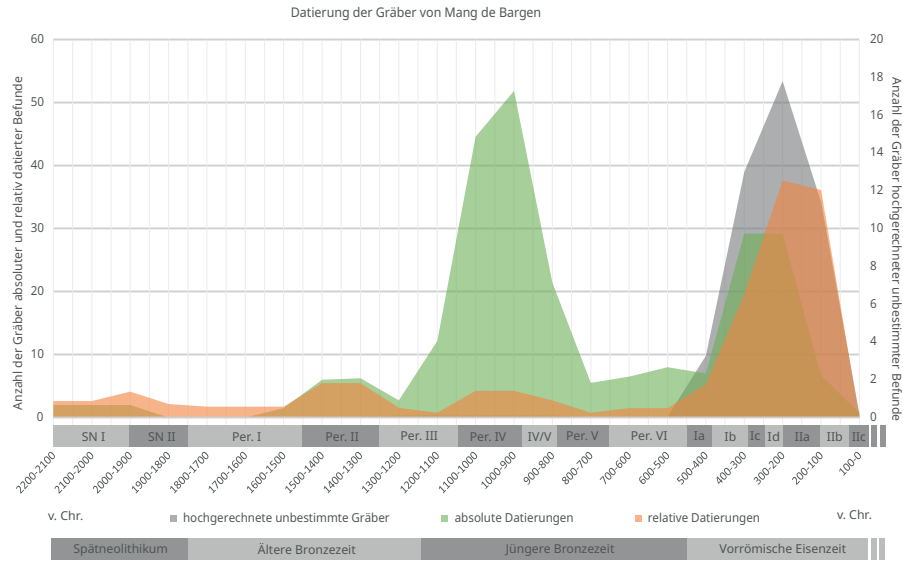
Zu weiteren Befunden, die datiert wurden, zählen ein kleiner pfostengrubenförmiger Befund neben der Hauptbestattung des Grabhügels LA 57 (KIA-55342), der zwischen 1917 und 1747 v. Chr. datiert wird (Abb. 66). Da diese Datierung älter ist als die Hauptbestattung, der Befund jedoch aus stratigrafischen Gründen zeitgleich oder jünger als das mittelbronzezeitliche Grab sein muss, kann es sich nicht um ein korrektes Datum für den Befund handeln, sondern muss einen Altholzeffekt darstellen. Ein Grubenbefund mit einer kompakten Steinpackung ohne weitere Funde (KIA-55330: LA 57, Befund 1019) wurde zunächst als beraubtes Urnengrab interpretiert.

Aufgrund der Datierung, die den Befund zwischen 1516 und 1426 v. Chr. einordnet, muss diese Interpretation revidiert werden, da der Befund damit älter wäre als der Grabhügel und damit aus der Zeit vor dessen Bau stammen müsste, was stratigrafisch nicht möglich wäre (Abb. 66). Von der Mitte der Periode V bis zur Mitte der Periode VI (777-544 v. Chr.) datiert die Unterkante des Kolluvium 1, das sich im Nordosten des Grabhügels LA 57 abgelagert hatte (siehe Kapitel 8.3). Damit datiert es genau in die Phase, die einen erheblichen Bestattungsrückgang aufweist. Einige Steinbereiche, die durch das Kolluvium abgedeckt worden waren und somit ungefähr gleich alt bzw. älter als das Kolluvium sein müssten, wurden zunächst als ehemalige Grabanlagen interpretiert. Holzkohlestücke aus diesen stark gestörten Steinbereichen wurden datiert und können dem Frühmittelalter zugeordnet werden (662-820 n. Chr.). Diese Datierung lässt den Verdacht zu, dass die möglichen ehemaligen Grabanlagen im Frühmittelalter beraubt und zerstört wurden.

8.6.3. Kombination relativer und absoluter Datierungen

Bei der Kombination beider Chronologie-Ansätze werden die absoluten Datierungen durch relativchronologische Datierungen ergänzt, da nicht alle Befunde durch

Abbildung 67: Verteilung der relativ-absolute-chronologischen Entwicklung unter Hinzuziehung unbestimmter Gräber durch aoristische Aufteilung auf Basis des Entwicklungsverlaufs der Kombination relativer und absoluter Daten.



die absoluten Daten abgedeckt werden konnten. Dieser Ansatz ermöglicht – vor dem Hintergrund der oben dargelegten Chronologien – eine Annäherung an ein aussagekräftiges Ergebnis der Fundplatznutzung. Dazu werden lediglich die Datierungen von Gräbern herangezogen, die eine repräsentative Verteilung bieten. Ein Großteil der Gräber wurde absolut datiert. In den Fällen in denen eine absolute Datierung nicht möglich war, wurden relative Daten herangezogen. Lediglich zwei bronzzeitliche Gräber verbleiben unbestimmt. Für die eisenzeitlichen Bestattungen verbleibt ein Großteil unbestimmt. Die absoluten und relativen Datierungen wurden in einer Grafik zusammengetragen. Unbestimmte Gräber wurden dabei auf Basis der absoluten und relativen Datierungen hochgerechnet. Auf den ersten Blick ist eine Trennung von zwei Entwicklungen zu sehen, die sich mit dem Übergang von der Bronze- zur Eisenzeit deutlich durch die Periode VI separieren lassen. Auf eine stetig geringe Grabbauphase des Spätneolithikums zwischen 2200 und 1800 v. Chr. folgt ein Rückgang mit der Periode I zwischen 1800 und 1500 v. Chr., bevor mit der Periode II wieder ein erster leichter Anstieg im Grabbau festzustellen ist. Der Übergang zwischen Periode I und II umfasst mehrheitlich ungenaue Datierungen und zeigt zwischen 1800 und 1500 v. Chr. lediglich ungefähre relative Daten zwischen den beiden Zeitstufen, sodass die mögliche Lücke um 1600 v. Chr. damit nicht besonders sichtbar ist. Mit der Periode III folgt um 1300 v. Chr. auf einen zunächst leichten Rückgang ein starker Anstieg an Gräbern, der sich ab 1200 v. Chr., d. h. mit dem Übergang von Periode III zu IV weiter intensiviert.

Die höchste Anzahl an bronzzeitlichen Gräbern wird mit der Periode IV um 1000 v. Chr. erreicht. Mit der Periode V (820-700 v. Chr.) nimmt die Gräberfeldnutzung wieder rapide ab und erreicht mit dem Ende der Periode V um 700 v. Chr. ungefähr die Anzahl an Gräbern, die noch in Periode III gängig war. Bis zur eisenzeitlichen Stufe I b (480-390 v. Chr.) bleibt die Bestattungsaktivität stetig gering. Auf die Stufe I b folgt wieder ein langsamer und ab der Stufe I c um 390 v. Chr. ein steiler Anstieg an Grabvorkommen am Fundplatz. Darauf folgt eine leichte Stagnation mit Stufe I d (300-250 v. Chr.), bevor ein sehr steiler Anstieg mit der Stufe II a folgt, der jedoch zur Stufe II b wieder rapide zurückgeht und mit dem Ende der Stufe I c (90-60 v. Chr.) ein Ende der Bestattungsaktivität am Fundplatz findet. Die Anzahl der unbestimmten eisenzeitlichen Gräber übersteigt die Skala der absolut-relativ-datierten Gräber, sodass bei Betrachtung von Abbildung 67 die linke Skalenseite beachtet werden muss. Der Verlauf der relativ-absolute-chronologischen Verteilungen lässt demnach sowohl für die Bronze- als auch die Eisenzeit eine Abfolge von separaten

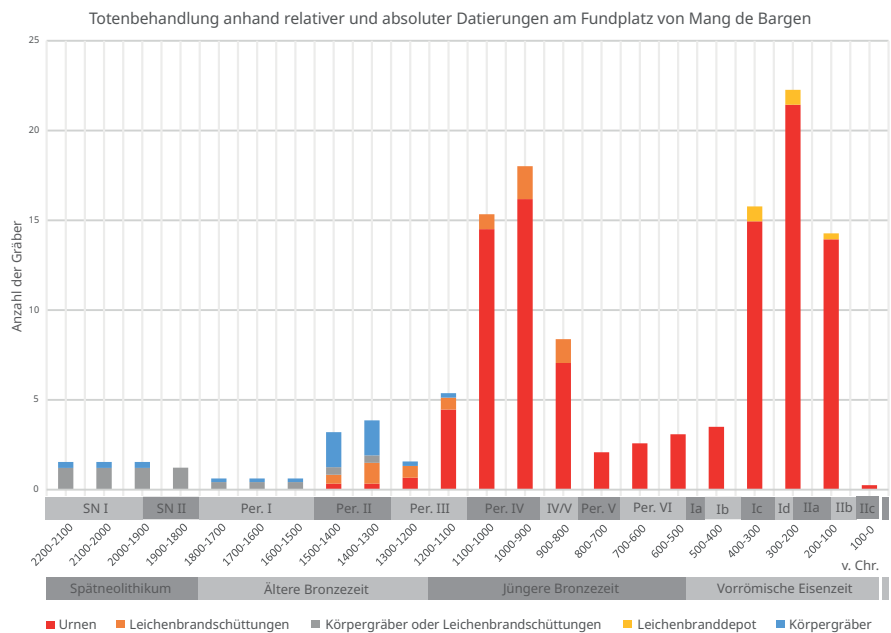


Abbildung 68: Gestapelte Verteilung der relativ-absolut-chronologischen Entwicklung von Bestattungen nach ihrer Totenbehandlung pro Jahrhundertschritt.

Scheitelpunkten (Periode II bzw. Periode VI), kurzzeitigen Rückgängen (Periode III bzw. Periode V zu VI), leichten Anstiegen (Übergang Per. III/IV bzw. Stufe I b-c) zu sehr starken Anstiegen (Periode IV bzw. Stufe I d-IIa) und ebenso steilen Rückgängen (Übergang Periode IV/V bzw. Stufe II b) feststellen und vergleichen. Diese Abfolge könnte möglicherweise als modellhafte Sequenz für Wandlungsprozesse gelten, die den Verlauf von Transformationen in Kombination mit weiteren Elementen erklären könnte. Bei Übertragung auf ein gestapeltes Balkendiagramm, das nach der Totenbehandlung unterteilt wurde, zeigt sich der Bestattungswandel von der Periode II zu III ab 1300 v. Chr. (Abb. 68). In der Periode III (1300-1100 v. Chr.) sind alle Variationen – Körperbestattung, Leichenbrandschüttung und Urnengrab – vertreten und zeigen damit auch den Wandel des Grabbaus an.

Ab 1200 v. Chr. nimmt die Dominanz an Urnengräbern bereits mächtig zu und überwiegen ab Periode IV, d. h. ab 1100 v. Chr. gegenüber Leichenbrandschüttungen. Eindeutige Körperbestattungen liegen nun keine mehr vor. Mit der Periode IV nimmt die Dominanz von Urnengräbern auch mit ansteigender Gräberanzahl weiter zu, bevor mit der Übergangsphase zu Periode V ein Rückgang der Anzahl von Bestattungen folgt. Dieser Rückgang verstärkt sich beachtlich im Laufe der Periode V und es fällt auf, dass zudem ab 800 v. Chr. ausschließlich in Urnengräbern bestattet wird. Diese Totenbehandlung bleibt von nun an bestehen und folgt der weiteren bereits oben beschriebenen Entwicklung. Lediglich in den eisenzeitlichen Stufen I b bis I d sind zwei Fundstellen mit Leichenbrand und Keramik bekannt, die weder als Leichenbrandschüttung noch als Urne angesprochen werden können, da sie gestört sind. In der Materialverteilung zu den Beigaben zeigen sich unter der Hinzuziehung absoluter Daten nun auch eine andere Verteilung als es bisher für die rein relativchronologisch datierten Funde möglich war (Abb. 69, Vgl. mit Abb. 58). An Flintfunden wurden dabei nun lediglich Funde einbezogen, die auch einen sicheren Beigabencharakter haben, während einfache Abschläge, die in allen anthropogenen Schichten des Fundplatzes zu finden sind, ausgelassen wurden. Die Datierung einiger Funde, die anhand der absoluten Daten nicht mehr nur jüngerbronzezeitlich, sondern nun auch in die Periode III einzuordnen sind, werden sichtbar.

Die beiden Abbildungen 69 und 70 unterscheiden sich in der Anzeige von Urnen (b) bzw. deren Abwesenheit (a), sodass die Beigabe von Gefäßen, die nicht der Aufbewahrung des Leichenbrandes dienen, sichtbar wird. In Periode II werden

Abbildung 69: Chronologische Materialvorkommen der Grabbeigaben auf Basis relativer und absoluter Datierungen. Keramik umfasst ausschließlich eindeutige Beigefäße und keine Urnen oder Deckgefäße.

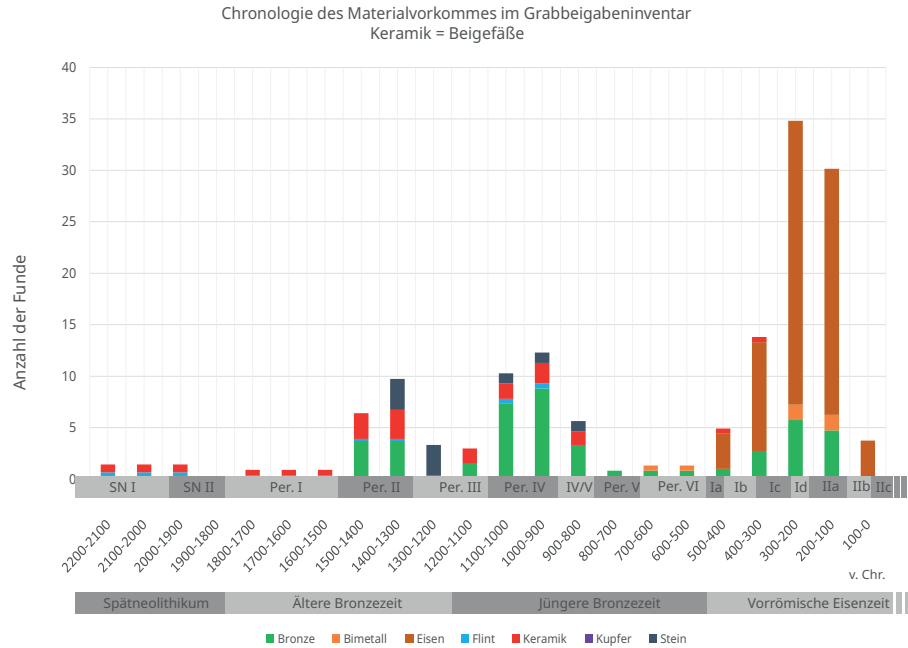
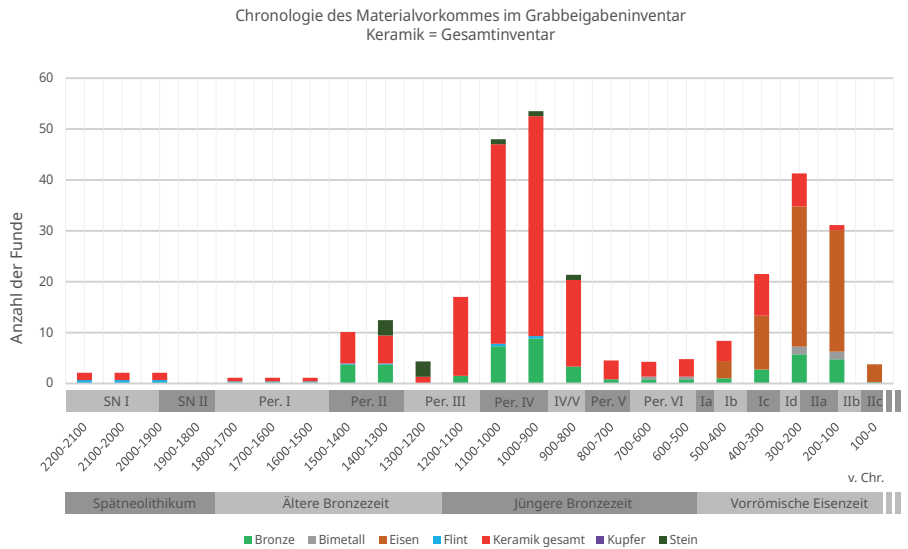
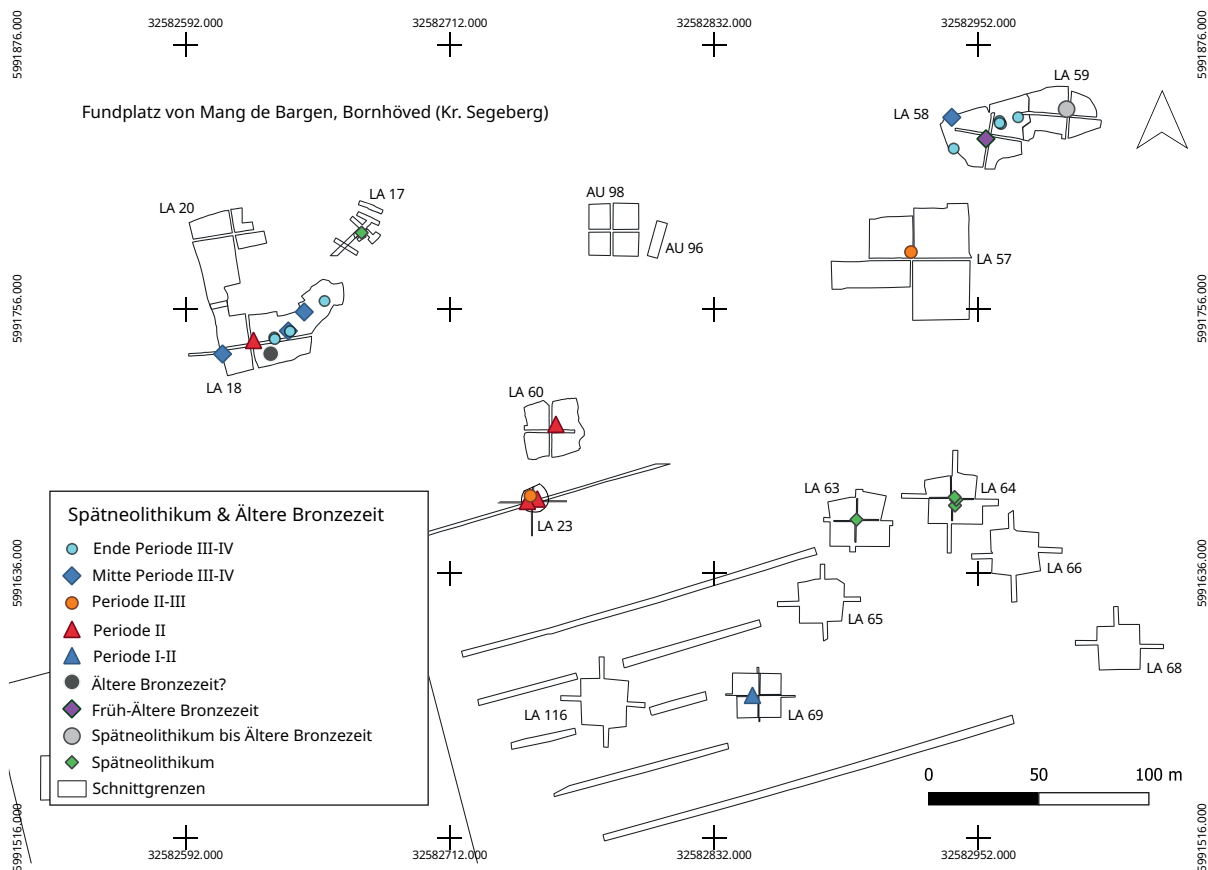


Abbildung 70: Chronologische Materialvorkommen unter den Grabbeigaben auf Basis relativer und absoluter Datierungen (einschließlich des gesamten Keramikinventars).



keramische Beigefäße häufiger in die Gräber gegeben, während ab der Periode III weniger Beigefäße in Gräbern auftreten, dafür jedoch die Urnen dominieren, die in Abbildung 70 die Bestattungsaktivität widerspiegeln. Bernsteinfunde sind lediglich einmal aus den Perioden I-II und ein weiteres Mal während der Stufe II a am Fundplatz zu erfassen. Die Abwesenheit von Bernstein ist womöglich wirtschaftlich bedingt, da es dem Austausch mit Bronze gedient haben kann. Dementsprechend stark vertreten ist Bronze, die ab der Periode II häufig in die Gräber gelangt. Bimetallische Objekte finden in Periode VI und insbesondere in der Stufe II a Eingang in einige Gräber. Eisenbeigaben dominieren die eisenzeitlichen Gräber. Artefakte aus Flint wie Dolche oder Feuerschlagsteine beschränken sich auf das Spätneolithikum und die Perioden I-II. Ein Kupferknopf aus einer wahrscheinlich eisenzeitlichen Urne ist singulär. Steinartefakte stammen fast ausschließlich aus der Zentralbestattung des Grabhügels LA 57. Ihre Auffindung kann damit verbunden sein, dass dieser Grabhügel als einziger im Rahmen einer Lehrgrabung ausgegraben wurde,



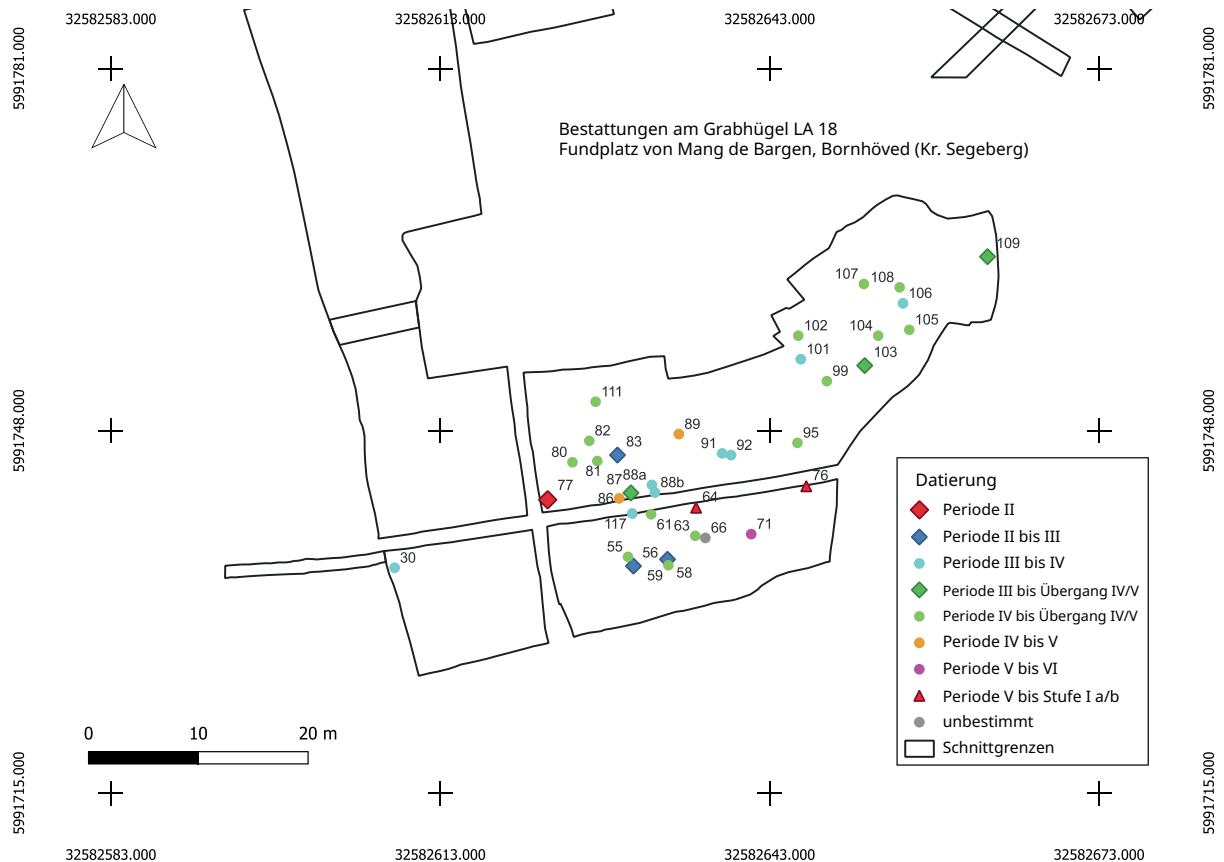
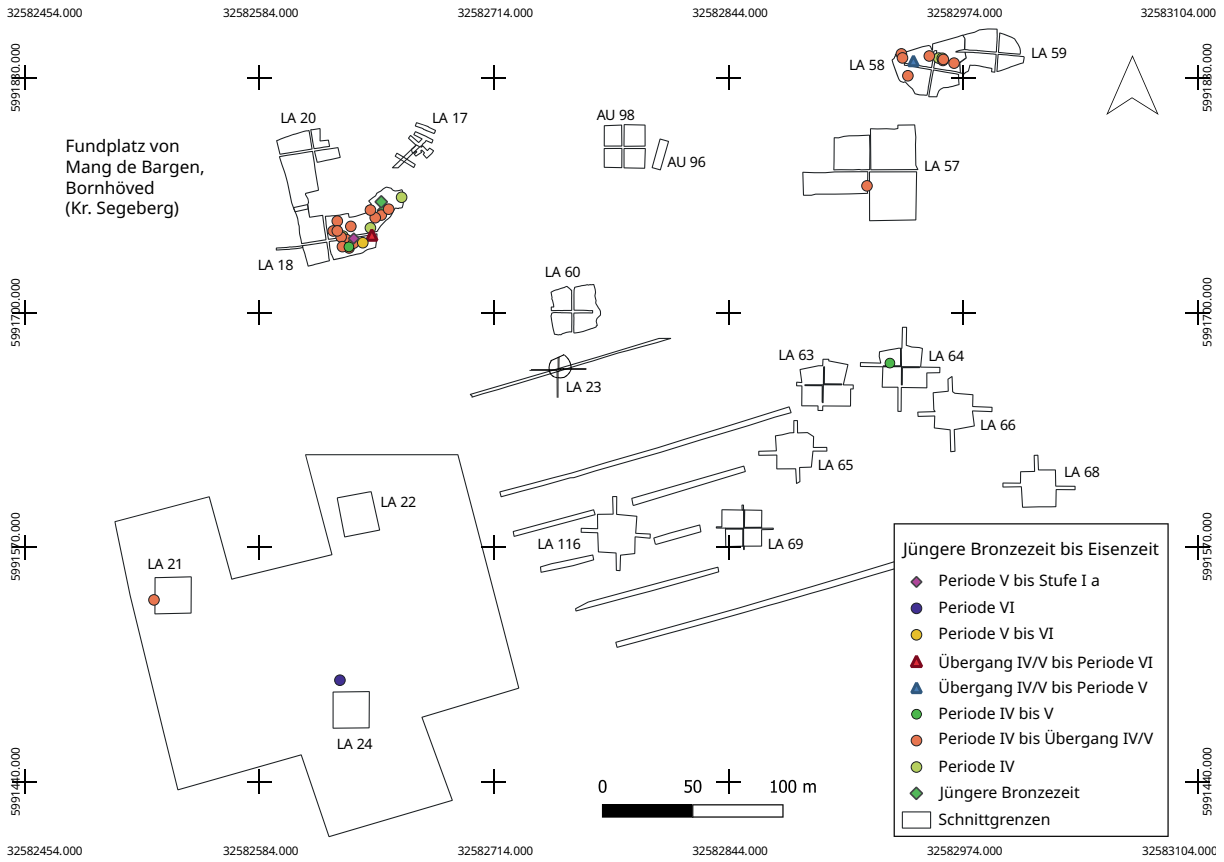
sodass auch jeder mögliche Klopffstein registriert wurde. Knochenfunde in Form von Nadeln sind ebenfalls selten anzutreffen. Eine Nadel wurde in einem Grab der Perioden III-IV und einem späteren Grab der Stufen Ic-Id gefunden.

Abbildung 71: Fundplatzchronologie: Spätneolithikum und Ältere Bronzezeit bis zum Übergang zur jüngeren Bronzezeit.

8.6.3.1. Bronzezeitliche räumlich-zeitliche Bestattungsabfolge

Auf Basis der Datierungen kann die Abfolge der Bestattungsaktivitäten am Fundplatz nun chronologisch nachvollzogen werden. Dabei konnten nur Gräber beachtet werden, die auch eine mehr oder weniger sichere Datierung zulassen. Die Bestattungen des Spätneolithikums zeigen die erste Anlegung von Grabanlagen am Fundplatz mit dem Spätneolithikum in den Grabhügeln LA 17 (Bef. 1), 63 (Bef. 6) und 64 (Bef. 3).

Währenddessen oder kurz darauf (Spätneolithikum bis Ältere Bronzezeit) folgt die Anlegung des Grabhügels LA 59 (Bef. 1) und daraufhin bzw. währenddessen (Datierung: Frühbronzezeit bis Ältere Bronzezeit) die Anlegung des benachbarten Grabhügels LA 58 (Bef. 58, Abb. 71). Während der Periode I bis II folgt der Bau des Grabhügels LA 69 (Bef. 1) und in Periode II die Anlagen der Grabhügel LA 18 (Bef. 77), 23 (Bef. 8) und 60 (Bef. 95). In LA 23 folgt zugleich auch eine Nachbestattung derselben Periode (Bef. 2) sowie eine zweite Nachbestattung in Periode II bis III (Bef. 5). In der Periode II bis III wird zudem der letzte Nachweis eines Grabhügelbaus am Fundplatz mit dem Grabhügel LA 57 erbracht (Bef. 1001). Eine Urne am Grabhügel LA 18 ist die älteste Nachbestattung in Form einer Brandbestattung sowie die älteste Urne am Fundplatz und datiert von der Mitte der Periode II bis zum Beginn der Periode III (Bef. 58). Damit ist sie der Pionier dieser Bestattungsweise in Mang de Bargaen. Zwei Leichenbrandschüttungen am Grabhügel LA 18 folgen kurz darauf und datieren von der Mitte der Periode II bis an das Ende der Periode III (Bef. 56 und 83). Urnen und Leichenbrandschüttungen in Form von Nachbestattungen



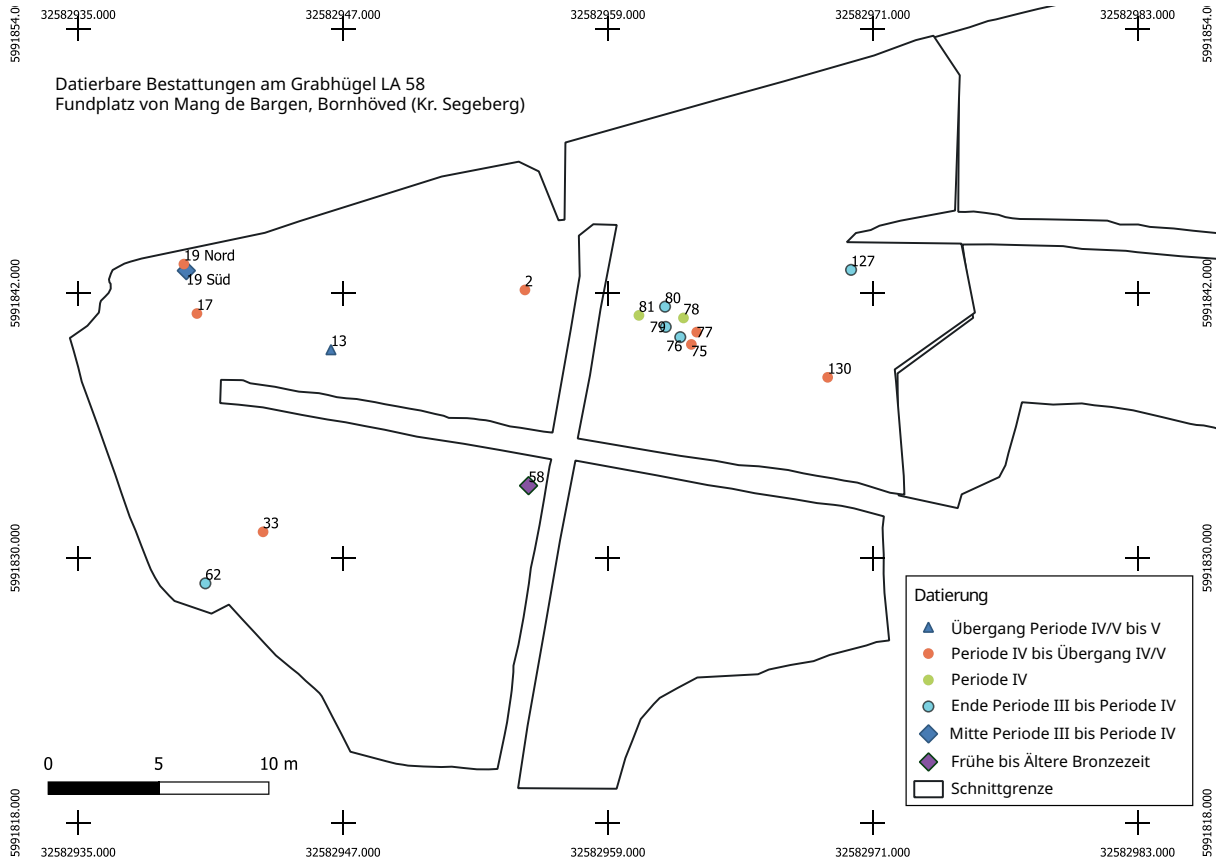


Abbildung 74: Verteilung datierter Bestattungen im Grabhügelareal LA 58.

beginnen am Fundplatz demnach gleichzeitig. Ihre Etablierung – und damit der Wandel des Grabbaus – scheint jedoch erst mit der Zunahme der Bestattungen ab 1200 v. Chr. gesichert.

Kurz darauf folgen ab der Mitte bzw. dem Ende der Periode III 18 weitere Nachbestattungen an denselben Grabhügeln. Dabei handelt es sich um eine Leichenbrand-schüttung (LA 18, Bef. 88b) und 17 Urnen (Abb. 72).⁸¹⁷ 22 weitere Nachbestattungen (20 Urnen, 2 Leichenbrandschüttungen) an den Grabhügeln LA 18 und 58 folgen mit dem Beginn und der ausgebildeten Periode IV und datieren dabei teilweise bis zum Übergang von Periode IV zur Periode V (Abb. 73-74).⁸¹⁸ Die Urnennachbestattung des Grabhügels LA 57 ist nicht ganz eindeutig, jedoch kann sie ungefähr auch in diesen Zeithorizont eingeordnet werden (Bef. 4003). Auch vom Grabhügel LA 21, der sich auf dem eisenzeitlichen Gräberfeld befand, wurde eine Urne zu diesem Zeitpunkt nachbestattet (Bef. 321). Mit der groben Einordnung in die Periode IV bis V wurde auch im Grabhügel LA 64 eine Urne nachweislich nachbestattet (Bef. 9).

Ab dem Periodenübergang IV/V bzw. mit dem Beginn der Periode V werden mit fünf Gräbern wesentlich weniger Nachbestattungen (ausschließlich Urnen) am Fundplatz vorgefunden.⁸¹⁹ Die Urne mit der Befundnummer 76 datiert dabei von der Mitte der Periode V bis zur Mitte der eisenzeitlichen Stufe I b und überschneidet sich dabei mit den ersten eisenzeitlichen Bestattungen am Urnengräberfeld LA 115⁸²⁰, sodass eine Bestattungskontinuität zwischen den Bestattungen an den Grabhügeln und dem Urnengräberfeld klar wird.

Abbildung 72 (links, oben): Fundplatzchronologie: Jüngere Bronzezeit bis Übergang zur Eisenzeit.

817 LA 18: Befunde 91, 101, 30, 106, 117, 87, 88a, 92, 103, 109; LA 58: Befunde 19, 127, 79, 62, 80, 76, 81.
818 LA 18: 108, 89, 63, 102, 81, 95, 99, 107, 59, 105, 111, 55, 82, 61, 104, 80; LA 58: 75, 33, 130, 19, 2, 17.
819 LA 18: 86, 71, 64, 76; LA 58: 13.
820 LA 115: 98, 139, 386 (alles Urnen).

Abbildung 73 (links, unten): Verteilung datierter Bestattungen im Grabhügelareal LA 18.

Die Nutzung des Gräberfeldes von Mang de Barga zeigt somit einen Beginn der Nutzung mit der Anlage von Grabhügeln und damit verbundenen einzelnen Primärbestattungen, die nur gelegentlich eine Nachbestattung im Rahmen einer Hügelweiterung erhalten. Mit dem Übergang von Periode II zu Periode III wurde der letzte Grabhügel gebaut, der zugleich die erste Brandbestattung am Fundplatz markiert, jedoch noch den gewohnten Grabbau verwendete. Zum gleichen Zeitpunkt beginnen die Nachbestattungen in Form von Urnen und Leichenbrandschüttungen, die sich vor allem auf die Grabhügel LA 18 und LA 59 konzentrieren (Abb. 73-74). Die Nachbestattungsaktivität erreicht mit der Periode IV und dem Übergang zu Periode V ihren Höhepunkt und zeigt damit auch ab 1200 v. Chr. die Etablierung dieser neuen Grabbauweisen. Dabei werden nicht nur die Grabhügelareale LA 18 und LA 58 genutzt, sondern auch weitere Grabhügel des Fundplatzes. Ab der Periode V werden die Nachbestattungen wieder weniger und erfolgen teilweise nur vereinzelt bis die bisher bevorzugten Grabhügelareale (LA 18 und LA 58) ab einem Moment zwischen der Periode VI und der eisenzeitlichen Stufe I b nicht mehr genutzt werden und die Anlage von Urnen spätestens ab der Stufe Ia auf dem Urnengräberfeld LA 115 folgen, sodass es wahrscheinlich zu einer zeitlichen Überschneidung der Nachbestattungsareale kam. Das Urnengräberfeld erstreckt sich dabei über ein Areal, das bereits drei Grabhügel aufweist (LA 21, 22, 24), deren zeitliche Einordnung aufgrund des hohen Zerstörungsgrades nicht möglich ist. Es ist anzunehmen, dass die Grabhügel aus der gleichen Bauzeit stammen wie jene anderen am Fundplatz (Spätneolithikum bis Ältere Bronzezeit). Die vom Urnengräberfeld umfassten Grabhügel wurden dabei von den eisenzeitlichen Bestattungen respektiert und – soweit feststellbar – nicht gestört.

8.7. Leichenbrandanalysen

In diesem Kapitel werden die Leichenbrandanalysen ausgewählter Urnen vom Gräberfeld von Mang de Barga behandelt, die im Rahmen einer Voruntersuchung von Helene Rose (ZBSA Schleswig, SFB-Teilprojekt G1) und Katharina Fuchs (Institut für Klinische Molekularbiologie, Kooperation SFB1266) sowie im Rahmen einer anthropologischen Hauptuntersuchung von Susanne Storch vorgenommen wurden. Aufgrund von Problemen bei der Fundbereitstellung konnte nur ein Teil der verfügbaren Leichenbrände vollständig und im Detail durch Susanne Storch bestimmt werden. Da die Datierung für diese Arbeit von großer Bedeutung ist, wurde ein anderer Teil von Helene Rose und Katharina Fuchs vorbestimmt und es erfolgte die Auswahl eines für die ^{14}C -Datierung geeigneten Knochens. Diese vorbestimmten Leichenbrände wurden ebenfalls an Susanne Storch übermittelt, jedoch konnten die Ergebnisse nicht mehr in diese Arbeit einfließen und werden zukünftig an anderer Stelle publiziert.

8.7.1. Auswahl der Leichenbrände

Die Leichenbrände wurden zunächst nach ihrer Verfügbarkeit und hinsichtlich ihrer Kombination mit Keramik und Beigaben ausgewählt. Die Selektion erfolgte auch bezüglich der chronologischen Relevanz, da ausschließlich anthropologisch bestimmte Leichenbrände ^{14}C -datiert werden sollten, um die Aussagekraft zu erhöhen und, um keine Trennung zwischen sozialen und datierungsrelevanten Informationen zu erzeugen.

8.7.2. Methoden der anthropologischen Bestimmung

Informationen zu Alter und Geschlecht (sowie ggf. Körpergröße) ermöglichen Aussagen zu Lebensumständen, -erwartung und Status. Letzteres kann zum Beispiel im Fall des vorliegenden Fundplatzes in Kombination mit den Beigaben und der Lage auf dem Gräberfeld bestimmt werden. Die anthropologische Bestimmung im Allgemeinen basiert grundlegend auf drei Methoden: molekulargenetische Nachweise (DNA-Analyse von Knochen; Erbgut aus Zahn-Dentin) morphologische Analysen (Struktur-, Form- und Robustizitätsmerkmale, v. a. am Becken, Schädel und an den Röhrenknochen) und metrische Messungen (z. B. über Mittelwertvergleiche) (Acsádi und Nemeskéri 1970, 13, 73, 81). Die Geschlechtsbestimmung unterliegt dabei den Variationen zwischen männlichen und weiblichen Individuen, sodass auch robuste Frauen und grazile Männer bedacht werden müssen. Entsprechend wird zwischen ‚*hypermasculin*‘, ‚*masculin*‘, ‚*indifferent*‘, ‚*femine*‘ und ‚*hyperfemine*‘ unterschieden (Acsádi und Nemeskéri 1970, 75). Auch die Altersbestimmung kann nicht immer exakt erfolgen, sodass eine Unterteilung in allgemeine Altersklassen erfolgt: Infans 1: 0-6, Infans 2: 7-12, Juvenis (früh/spät): 13-18-20, Adultas: 20-40, Maturitas: 40-60, Senilis: >60 (Acsádi und Nemeskéri 1970, 104). Je nach Epoche kann auch eine andere Verteilung gelten. Nicht-erwachsene Individuen werden dabei anhand der Zahnentwicklung, der Schädelmerkmale (z. B. bis zum ersten Lebensjahr: die hinteren Seitenfontanellen schließen sich und die beiden Unterkieferhälften wachsen zusammen; Schließung der Schädelnähte), Wirbelsäulenmerkmale (z. B. Fusion von Wirbelbögen mit Wirbelkörpern ab dem dritten Lebensjahr oder Übergang von Infans 1 zu Infans 2: Fusion des apikalen Knochenkerns am *Dens axis*), Beckenmerkmale (zwischen 6. und 8. Lebensjahr: *Ramus inferior ossis pubis* verwächst mit Sitzbeinast), der Synostose von Epiphysen und Apophysen oder auch anhand radiärer Furchen auf den Gelenkflächen bestimmt (Acsádi und Nemeskéri 1970, 55ff.). Bei erwachsenen Individuen erfolgt die Altersbestimmung ebenfalls anhand von Schädelmerkmalen (Schädelnahtentwicklung bis zur Verknöcherung). Junge Erwachsene können anhand der sukzessiven Synostose von Epi- und Apophysen ermittelt werden, während weitere Veränderungen am Skelett auch ältere Altersklassen nachweisen lassen (Acsádi und Nemeskéri 1970, 57; Knaut und Schwab 2010, 12). Verschiedene Faktoren wie Ernährung, körperliche Belastungen oder Krankheiten können diese Merkmale beeinflussen. Histologische und auch chemische Methoden (regelmäßige Altersveränderung nach Phosphor-, Calcium-, Carbonat- und Kollagengehalten an der Knochensubstanz) können dabei Abhilfe schaffen (Wahl 2007, 28, 68). Ein weiteres Verfahren zur Altersbestimmung stützt sich auf die Analyse des Racemierungsgrads der Asparaginsäure im Dentin des Zahns (Schramm 2002, 7f.), das jedoch nicht auf die vorliegenden Knochen angewandt wurde.

8.7.3. Knochenmaterial vom Fundplatz von Mang de Barga

Das Knochenmaterial vom Fundplatz von Mang de Barga liegt zu einem Großteil in verbrannter Form vor. Die Bestimmung von Leichenbränden anhand von Knochenmerkmalen unterliegt entsprechend dem Fehlen von Knochenmaterial oder auch dem durch die Hitzeeinwirkung veränderte Erscheinungsbild des Knochens (z. B. Schrumpfungprozesse). Je nach Fragmentierungsgrad kann eine Unterscheidung von Mensch und Tier schwierig sein (siehe Anhang VII.1).

8.7.3.1. Vorgehensweise und Methoden der anthropologischen Voruntersuchungen und Beprobung

Im Rahmen der Voruntersuchungen wurden 67 Leichenbrände hinsichtlich eines datierbaren Knochenfragmentes durchgesehen. Dabei wurde darauf geachtet, dass das ausgewählte Knochenstück nicht anthropologisch aussagekräftig ist, sodass es bei der späteren anthropologischen Hauptuntersuchung nicht fehlt. Die Auswahl erfolgte durch Helene Rose und Katharina Fuchs. Dabei bestimmten sie das ungefähre (vorläufige) Alter des jeweiligen Individuums, sofern aussagekräftige Knochen vorlagen, die keiner näheren Untersuchung bedurften (Röhren-, Schädel-, Wirbel- und Gelenkknochen). Im Nachhinein wurden die Farbe des Knochens, die Größe und das Gewicht der für die Datierung ausgewählten Knochen durch die Autorin dokumentiert. Eine ausführliche anthropologische Untersuchung kann aus zeitlichen Gründen erst im Anschluss an diese Dissertation erfolgen. Im Anhang findet sich die Liste der vorbestimmten Knochenproben, die für die Datierung ausgewählt wurden (Anhang V).

8.7.3.2. Vorgehensweise und Methoden der anthropologischen Hauptuntersuchungen

Vom Fundplatz von Mang de Barga wurden die Leichenbrände aus 20 Befunden durch die Anthropologin Susanne Storch (Berlin) untersucht. Die ausgewählten Leichenbrände stammen fast immer aus Grabkontexten, sodass sie bereits nach Individuen getrennt sind. Eine Ausnahme bilden Doppelbestattungen, die nicht immer eine sichere Trennung der Leichenbrände erlauben. Die folgenden Angaben zur Vorgehensweise werden zum einen dem anthropologischen Gutachten von Storch entnommen und zum anderen dem Vorgehen bei der Vorbestimmung. Eine tabellarische Erfassung der Daten befindet sich im Anhang dieser Arbeit (Anhang VII.1). Nach der Reinigung und dem Wiegen zusammengehöriger Leichenbrände wurden sie nach ihrer Repräsentanz hinsichtlich anatomischer Vollständigkeit sowie der Fragmentierung nach Wahl bestimmt und bewertet (Wahl 1982, 2-215). Die Bestimmung von Farbe und Verbrennungsgrad erfolgt darauf nach dem 5-Stufenschema nach Wahl 1982. Farbveränderungen können lediglich subjektiv erfasst werden. Dabei hängt die Verfärbung eines Knochens, die auch mehrfarbig sein kann, von den Umständen des Verbrennungsvorganges ab. Je nach Wind- und Wetterlage, Scheiterhaufen-Bau (Holzart *usw.*) und im Feuer befindliche Materialien (z. B. Trachtbestandteile) haben einen Effekt auf die Verbrennung. Des Weiteren werden die Konsistenz und Hitzereißmuster bestimmt. Die Angaben erfolgen in Prozent, sodass eine tendenzielle Bezifferung einer ungefähren Verbrennungstemperatur möglich wird. Anhand der Zählung von Skeletteilen können überzählige Vorkommen auf Doppel- bzw. Mehrfachbestattungen hindeuten. Des Weiteren zeugen unterschiedliche Skeletteile von mehreren Personen beider Geschlechter oder verschiedener Altersklassen auf mehrere Individuen. Die Geschlechtsbestimmung wird – ähnlich wie bei den nicht-verbrannten Knochen (siehe oben) – anhand morphologischer Knochenmerkmale nach Ferembach durchgeführt (Ferembach *et al.* 1979, 1-32). Dabei sind insbesondere die Becken- und Schädelknochen entscheidend. Entsprechende aussagekräftige Knochen wurden separiert und zur Bestimmung des Geschlechtsdimorphismus gesondert untereinander verglichen, um die deutlichsten Ausprägungen beider Geschlechter für die vorliegende Population erfassen zu können und somit zunächst indifferente Individuen nachträglich besser verstehen zu können. Metrische Merkmale können eine Absicherung der Feststellungen geben. Kinder sind von der Unterscheidung nach Geschlecht aufgrund nicht aussagekräftiger Knochen ausgeschlossen. Auch die Altersbestimmung wurde für die Leichenbrände – ähnlich wie für unverbrannte Knochen – anhand morphologischer

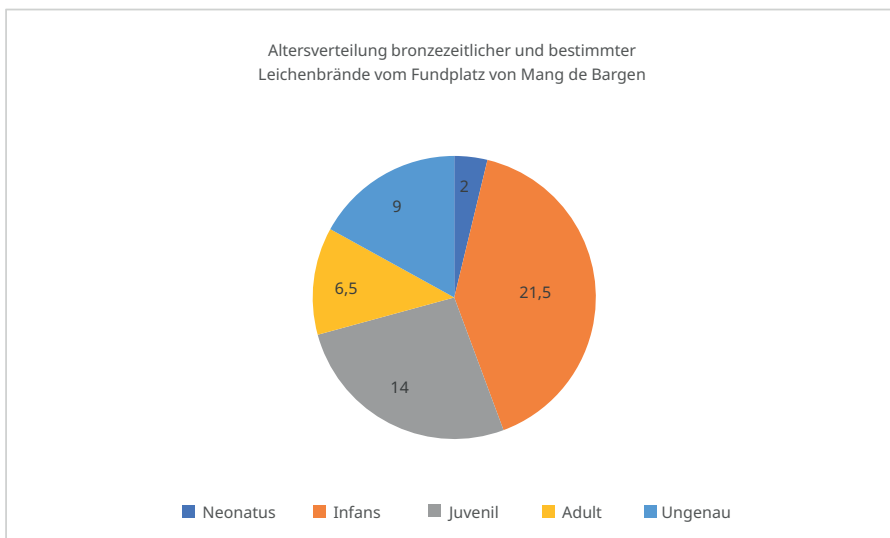


Abbildung 75: Altersverteilung zu untersuchten Leichenbränden am Fundplatz von Mang de Bargaen [Datenbasis: Anthropologische Untersuchungen durch Storch, Rose und Fuchs 2019-2020].

Kriterien getätigt (nach Ferembach 1979). Die Einordnung erfolgt nach Altersklassen (siehe oben). Storch weist ausdrücklich darauf hin, dass ‚die Altersschätzung für sub- und frühadulte Individuen aufgrund der Entwicklung ihres Zahnstatus und der bekannten zeitlichen Abfolge der Epiphysenverschlüsse auch bei LB [Leichenbrand] ähnlich genau ist wie bei unverbranntem Skelettmaterial‘. Dagegen sei die Altersbestimmung für verbrannte Individuen, die über die frühadulte Phase hinausgingen, schwieriger. Die Verwachsung der Schädelnähte sei die einzige Möglichkeit ältere Individuen zu kategorisieren. Die Kategorien können dabei nur grob bedient werden. Angaben zur Robustizität, Pathologien oder Körperhöhen sind anhand des verbrannten Knochenmaterials nur bedingt möglich und lassen oft nur Verdachtsfälle oder Schätzungen formulieren.

8.7.4. Ergebnisse der anthropologischen Untersuchungen

Die anthropologische Bestimmung der Leichenbrände vom Fundplatz von Mang de Bargaen ermöglicht Aussagen zu möglichen sozialen Verhältnissen auf dem Gräberfeld. Im Folgenden werden alle Ergebnisse zu bronzzeitlichen Befunden herangezogen, während die Ergebnisse vom Urnengräberfeld LA 115 bereits in Kapitel 8.3.2.2. zum Urnengräberfeld behandelt wurden. Eine der Urnenbestattungen stammt wahrscheinlich vom tendenziell bronzzeitlichen Grabhügel LA 22, der im Rahmen der Ausgrabungen des Gräberfeldes LA 115 untersucht wurde und dementsprechend mit in die folgende Analyse einfließt. Eindeutige Geschlechtszuweisungen bilden am Fundplatz eher die Seltenheit. Eine Verteilung nach Geschlecht ist dementsprechend nicht sinnvoll. Die Einordnung in Altersklassen und eine entsprechende Altersverteilung ist dagegen möglich und sinnvoll. Bei der Verteilung wurden die Kategorien Kind (ca. 0-12 Jahre), Juvenil (ca. 13-20 Jahre) und Adult bis Senil (ca. 20 bis >60 Jahre) unterschieden. Auf den ersten Blick fällt ein Übergewicht an Kindern (21,5x) und Juvenilen (14x) im Altersspektrum auf. Adulte Individuen (6,5x) und Säuglinge(2x) bilden dagegen die Minderheit (Abb. 75). Für einige Individuen konnte kein genaues Alter festgestellt werden (9x).

Die Kinder können weiter untergliedert werden in ‚Infans I‘ (5x; 1-6 Jahre)⁸²¹ und ‚Infans II‘ (6x; 7-12).⁸²² Bei acht weiteren Kindern kann nicht klar festgestellt werden,

821 LA 18: Befund 56, 63, 80, 117; LA 58, Befund 127.

822 LA 18: Befund 58/59, 88a, 88b, 102, 105; LA 58, Befund 79.

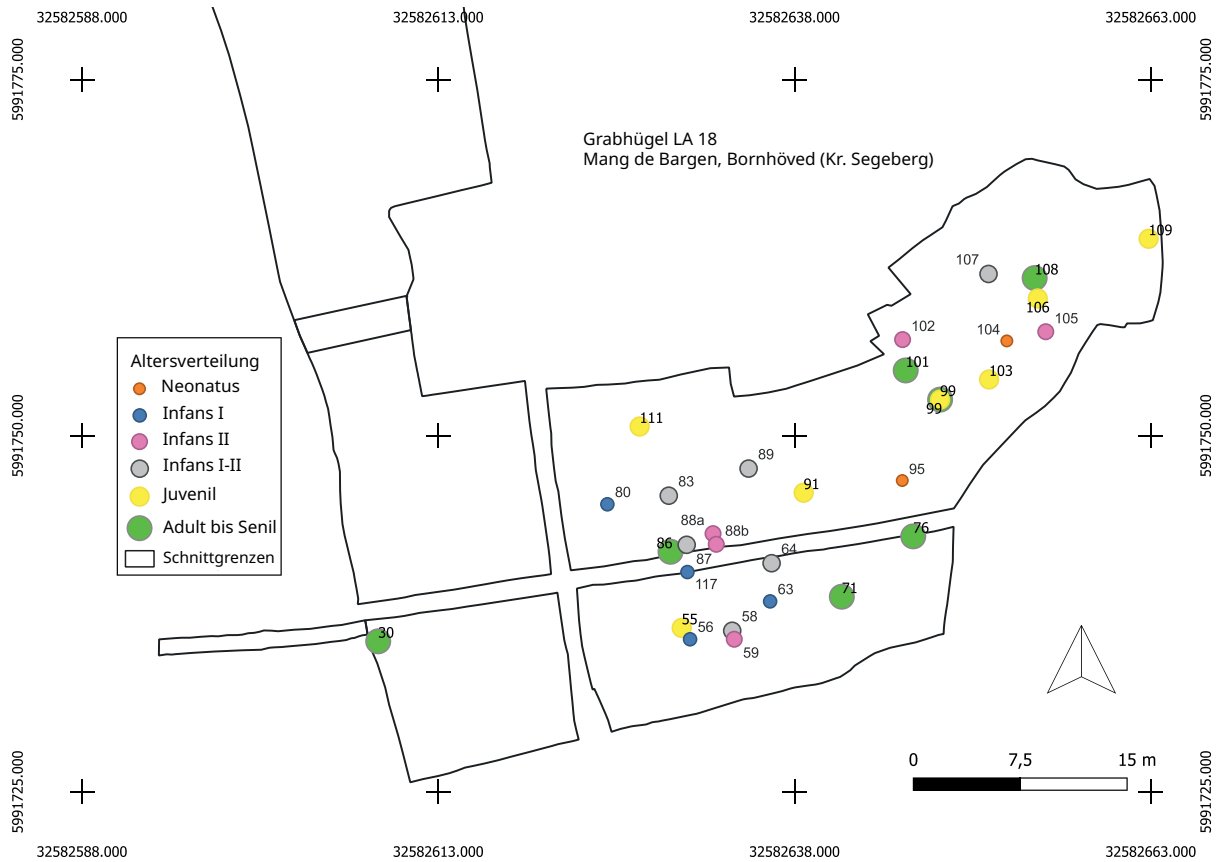
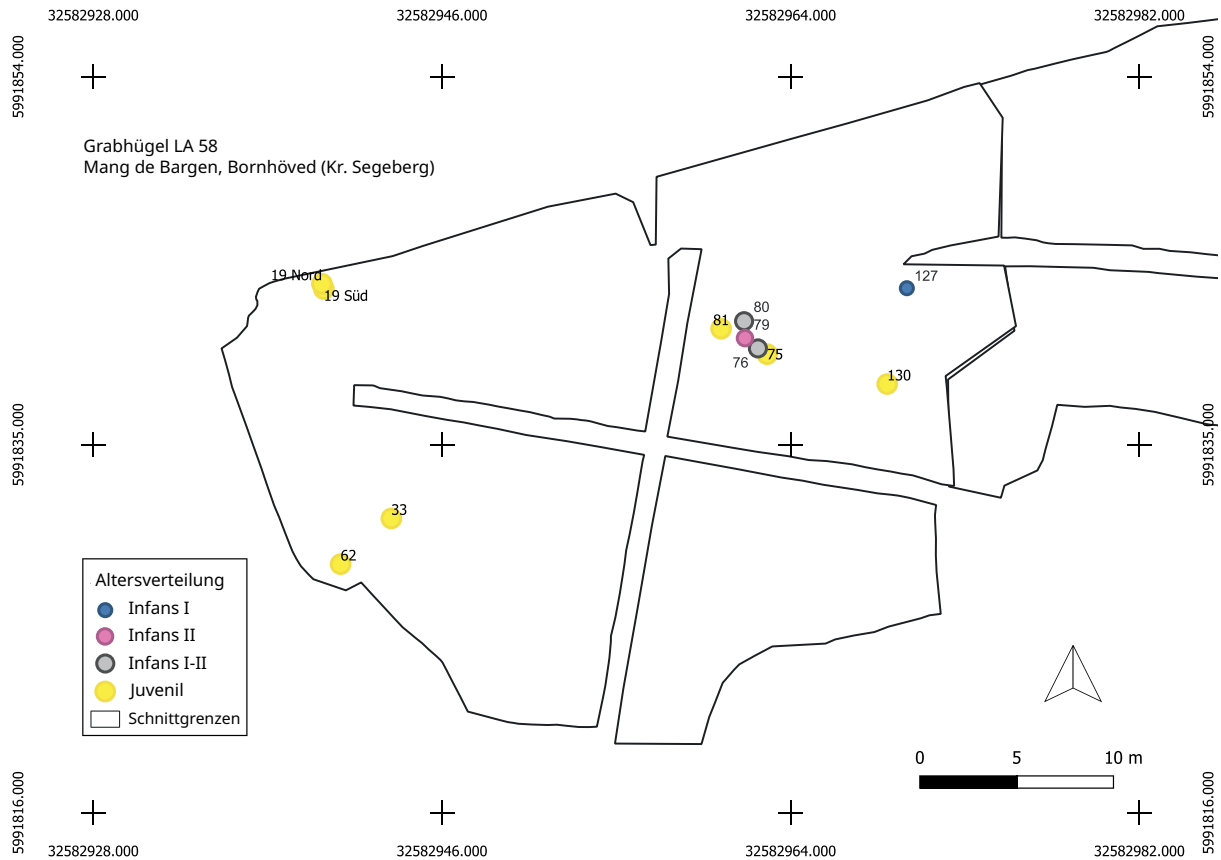


Abbildung 76: Räumliche Verteilung der Altersklassen am Grabhügel LA 18.

ob sie Infans I oder II angehören.⁸²³ Ein weiteres Individuum überschneidet die Altersklassen von ‚Infans II‘ und ‚Juvenil‘. In der räumlichen Verteilung der Altersklassen am Fundplatz zeigt sich am Grabhügel von LA 18 eine weitläufige Verteilung von Kindergräbern, die mehrheitlich in Hügelnahe, aber auch außerhalb des Hügels vorkommen (Abb. 76). In einigen Fällen treten Kinderbestattungen in unmittelbarer Nähe zu juvenilen bzw. adulten bis senilen bestatteten Individuen auf, die den Datierungen zufolge jedoch nicht gleichzeitig beigesetzt wurden. Lediglich im Fall der Befunde 88a und 88b wurden die Individuen nachweislich gleichzeitig bestattet. Bei Letzterem handelt es sich um ein Kind und ein jugendliches Individuum. Die ersten Nachbestattungen am Grabhügel LA 18 erfolgten mit deutlicher Nähe zum Grabhügel ab der Mitte der Periode II. Dabei handelt es sich ausschließlich um Kinder der Stufen Infans I und I-II.⁸²⁴ Ab Periode III werden sowohl Kinder als auch Jugendliche und Erwachsene im gesamten Nutzungsareal bestattet. Kinder dominieren jedoch in der Nähe des Grabhügels, während insbesondere Erwachsene eher außerhalb des Grabhügels vorherrschen. Ein Großteil der Kinder des Grabhügels LA 18 wurden zwischen dem Ende von Periode III bzw. dem Beginn von Periode IV und dem Übergang von Periode IV zu V bestattet. In diesen Zeitraum fallen auch zwei Säuglingsbestattungen (jünger als 1 Jahr), die sich östlich des Hügels, außerhalb der Hügel-schüttung und ohne Bezug zu anderen Gräbern, befinden. Für einige Befunde kann eine räumliche Bezugnahme in der Anordnung der Gräber, wie zum Beispiel in einer bogenförmigen Reihe der Befunde 58, 63 und 64, in der Verteilung abgelesen werden. Der Befund 64 datiert wesentlich später. Aufgrund seiner Lage könnte aber davon ausgegangen werden, dass das Grab in einer Verlängerung des

823 LA 18, Befund 58, 64, 83, 87, 89, 107; LA 58, Befund 76.

824 LA 18, Befunde 56, 58, 83.

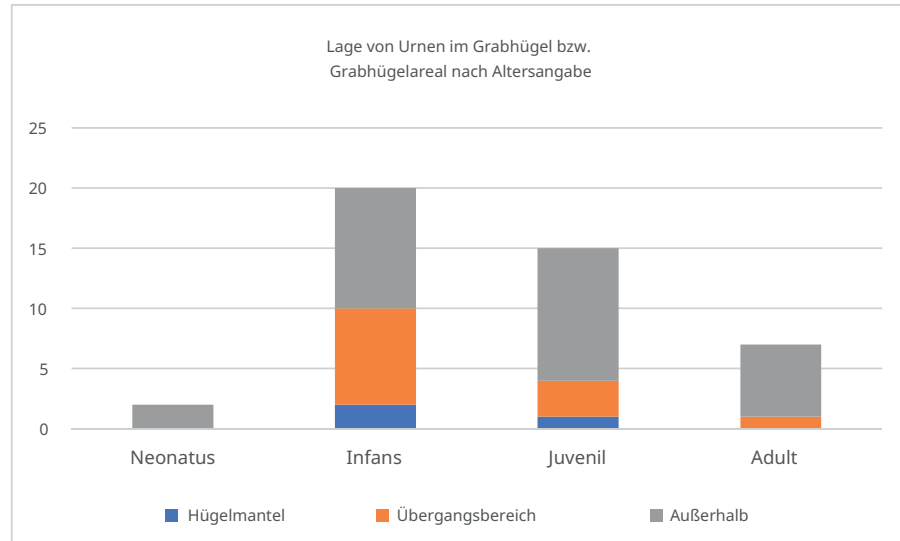


Bogens nachbestattet wurde, sodass eine Markierung der Gräber an der Oberfläche vermutet werden könnte. Vier Leichenbrandschüttungsgräber vom Grabhügel LA 18 stellen Kindergräber dar (Befunde 56, 59, 83 und 88b).

Erwachsene werden mehrheitlich ab Periode IV-IV/V nachbestattet. Die letzte Bestattung, die ebenfalls einen Erwachsenen barg, wird bereits der eisenzeitlichen Stufe Ib zugeordnet (Befund 71) und befindet sich dabei südöstlich des Hügels im Übergangsbereich zwischen Hügelmantel und dem Außenareal. Davon befinden sich die Bestattungen 88b und 59 jeweils in einer Doppelbestattung und zeigen die Tendenz zur Grabhügelnahen Beisetzung, sodass eine mögliche Symbolik in der Wahl der Grabkonstruktion und der sozialen Bezugnahme zu Verstorbenen vorhanden gewesen sein könnte. Die Beisetzung von Kindern in Leichenbrandschüttungen ist in Schleswig-Holstein eigentlich unüblich (Schmidt 1993, 133). Dabei kann es sich aber auch um ein Forschungsdesiderat handeln. Demnach könnte angenommen werden, dass die Bestattung eines Individuums nicht nur von dem eigenen Status, sondern auch von der Beziehung zu bereits Verstorbenen abhängig gewesen sein könnte, sodass ein Lagebezug hergestellt wurde. Die räumliche Verteilung der Altersklassen am Grabhügel LA 58 weist sowohl vereinzelte Bestattungen, als auch die Bestattung in Zweier-Gruppen und einer größeren Gruppierung von mindestens drei nachweisbaren Kinderbestattungen zusammen mit zwei juvenilen Individuen auf (Abb. 77). Die Kinder konzentrieren sich dabei auf das Innenareal des Hügels, während juvenile auch ebenso häufig im Außenbereich bestattet wurden. Doch auch ein kleines Kind (Infans I) wurde etwas weiter außerhalb beigesetzt (Befund 127). Die Datierungen der Leichenbrände der größten Gruppierung (Befunde 75, 76, 79, 80, 81) sind mehr oder weniger einer gemeinsamen Zeitphase von der Mitte der Periode III bis an den Übergang der Perioden IV/V anzusetzen. Diese Staffelung lässt die Vermutung erhärten, dass es Grabmarkierungen an der Oberfläche gegeben hat.

Abbildung 77: Räumliche Verteilung der Altersklassen am Grabhügel LA 58.

Abbildung 78: Lage von Bestattungen an Grabhügelplätzen nach Alterskategorie. [„Übergangsbereich“ ist der äußere Rand der nachweisbaren Hügelschüttung].



Des Weiteren ist mit der Verteilung ein deutlicher Nachweis der Bestattung nach Altersklasse erbracht.

Adulte bis senile Individuen kommen am Grabhügel LA 58 – den analysierten Leichenbränden zufolge – nicht vor. Die wenigen Leichenbrände, die nicht bestimmt wurden und dementsprechend die ‚fehlenden‘ adulten und senilen Personen darstellen könnten, bilden die Minderheit. Es wäre möglich, dass andere Erwachsenen-Gräber in höher gelegenen Schichten des Hügels nachbestattet wurden und im Zuge der landwirtschaftlichen Aktivitäten ‚weggepflügt‘ wurden. Des Weiteren konnte das Grabhügelareal des LA 58 aus Zeitgründen durch das Landesamt nicht vollständig erschlossen werden, sodass Erwachsenen-Bestattungen weiter außerhalb des Hügels möglich wären. Eine Nachgrabung an dieser Stelle wäre sinnvoll gewesen, um mögliche verbliebene Urnen zu bergen und zu analysieren. Der Kiesabbau ist an dieser Stelle jedoch bereits zu weit fortgeschritten. In beiden Grabhügeln (LA 18 und LA 58) konzentrieren sich vor allem die Kinderbestattungen auf den östlichen Teil. Zum Vergleich ist vom Magdalenenberg zum Beispiel eine Konzentration von Kindergräbern westlich des Hügels aufgefunden worden (Endlich 1997, 66f.). In der nordischen Bronzezeit gibt es jedoch einen grundsätzlichen Trend, dass Urnen im Osten oder Südosten der Hügel nachbestattet wurden. Vom Grabhügel LA 22 (auf dem Gräberfeld von LA 115, Befund 321) ist ebenfalls ein Individuum bekannt, das im Hügelmantel bestattet wurde. Das Alter dieses Individuums wurde auf 10-14 Jahre geschätzt und lässt sich demnach in die Kategorien ‚Infans II‘ und ‚Juvenil‘ einordnen. Die Separierung von Kindern auf Gräberfeldern ist bereits von anderen Fundplätzen bekannt (Scott 1999). Häufig handelt es sich dabei jedoch um die Bestattung von Kindern in Siedlungen, statt auf Gräberfeldern (Veit 1997, 14ff.). Ein Beispiel aus Westfalen (Nordrheda-Ems, Stadt Rheda-Wiedenbrück, Kr. Gütersloh) der Ems-Gruppe, zeigt jedoch, dass Kinder auch auf Gräberfeldern Platz fanden. Teilweise wiesen sie einen kleineren Grabbau, teilweise jedoch aufwendigere Bauten auf, sodass nicht unbedingt das Alter, sondern vielleicht eher die gesellschaftliche Stellung eine Rolle spielte (Mecke 2008, 144). Ein Gegenbeispiel ist aus Eisenhüttenstadt bekannt: Auf einem Gräberfeld der Lausitzer Kultur wurden keine Areale beobachtet, die Kindern vorbehalten waren, sondern sie wurden ‚in gleichmäßiger Verteilung über das gesamte Gräberfeld, meist in Bezug zu einer Erwachsenenbestattung beigesetzt‘ (Rücker 2007, 151). In Mang de Barga haben wir sowohl die Separierung von Bestattungen von Kindern und Jugendlichen, als auch die scheinbar ordnungslose und Erwachsenen-Gräber möglicherweise ‚gleichgestellte‘ Verteilung an einem Fundplatz eines gemeinsamen Zeithorizonts vereint,

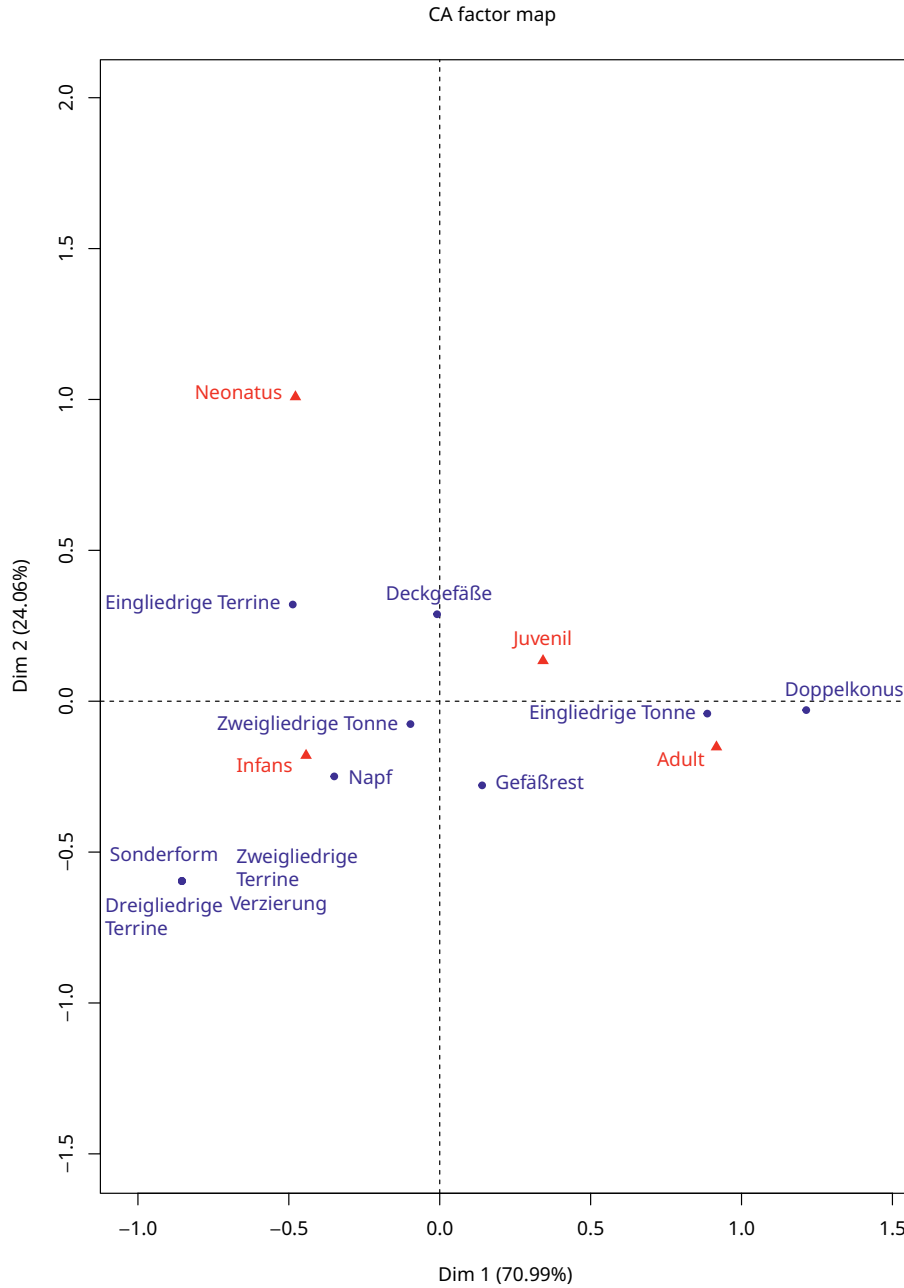


Abbildung 79: Korrespondenzanalyse zu Altersklassen und Urnengefäßen am Fundplatz von Mang de Barga [erstellt mit FactoMineR].

sodass von einer komplexen Ordnung, die den Zugang zu einem Grabplatz vorgesehen haben könnte, ausgegangen werden muss. Dabei fällt auf, dass Kinder häufiger in Grabhügelnähe bestattet wurden, während jugendliche Individuen und Adulte bis Senile meistens außerhalb des Hügels beigesetzt wurden (Abb. 78). Die Ausmaße des Grabhügelmantels unterliegen dabei der dokumentierten Hügelschüttung.

Nachbestattungen im Hügelmantel sind insgesamt selten, jedoch dominieren Kinder und Jugendliche in dieser Lagekategorie gleichermaßen gegenüber Erwachsenen, die fast immer außerhalb des Hügels beigesetzt wurden. Gemeinsame Gruppenbestattungen von Kindern und Jugendlichen sind vor allem vom Grabhügel LA 58 bekannt, sodass bestimmte Jugendliche (vielleicht bis zu einer bestimmten Altersklasse) zusammen mit Kindern bestattet wurden. Dabei muss angemerkt werden, dass die Aufteilung in die Kategorien ‚Kinder‘ und ‚Jugendliche‘ nach bestimmten Altersklassen auf von uns für die Prähistorie gebildeten Maßstäben beruht, die

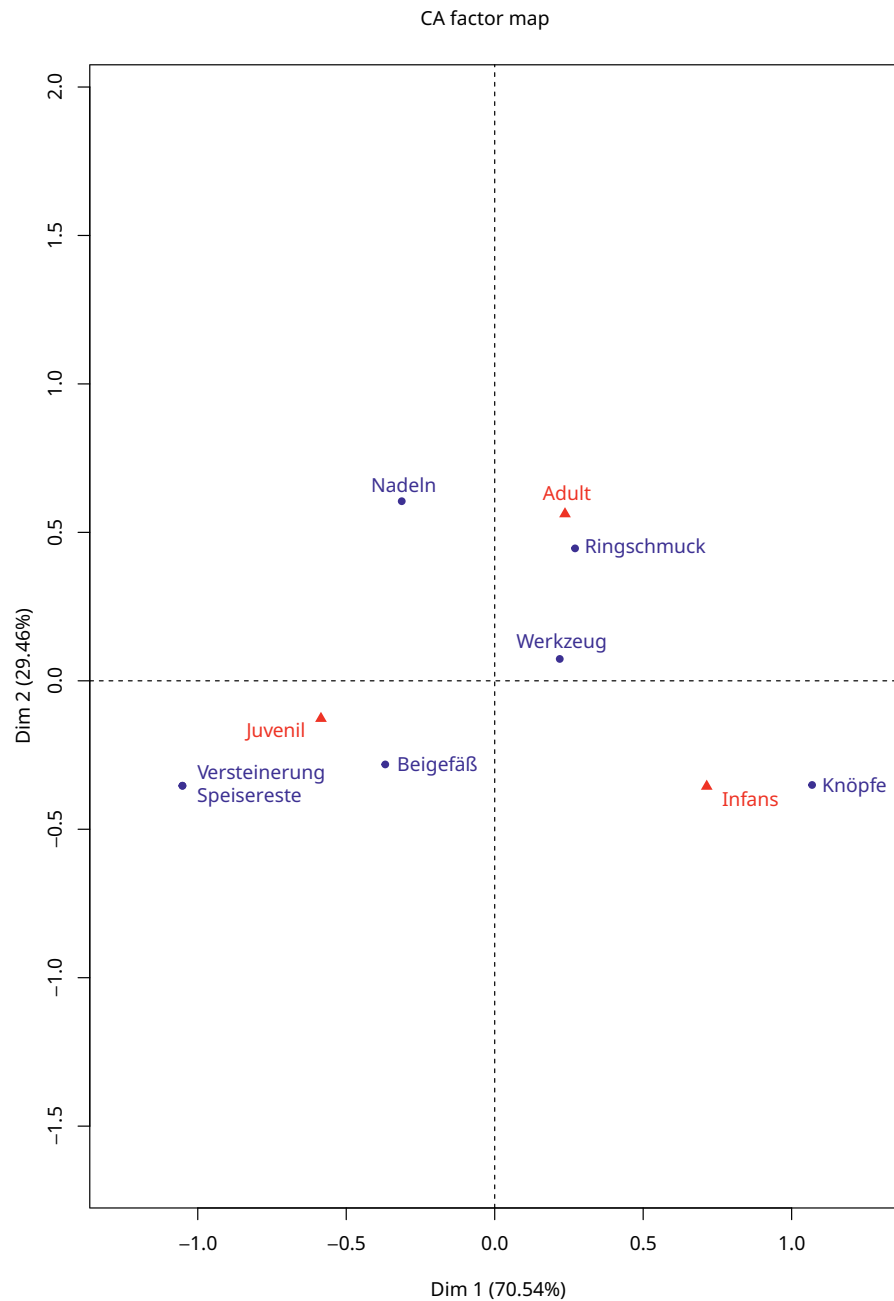


Abbildung 80: Korrespondenzanalyse zu Altersklassen und Grabbeigaben am Fundplatz von Mang de Barges [erstellt mit FactoMineR].

als solche möglicherweise nicht für bestimmte Gesellschaften der Bronzezeit gelten müssen, sodass die Unterteilung in ‚Kinder‘ und ‚Jugendliche‘ auch von anderen Bedingungen als dem Alter abhängig gewesen sein könnte, die die Lage auf dem Bestattungsplatz bedingten. In diesem Zusammenhang ist auch das ‚soziale Alter‘ zu berücksichtigen, das ‚kulturell determiniert und in einer Gesellschaft mit bestimmten Vorstellungen, Eigenschaften, Aufgabenbereichen und Bewertungen verbunden‘ gewesen sein kann (Hofmann 2008, 159). Bei Betrachtung der Grabgefäße im Vergleich mit der Altersklasse fällt auf, dass die Bestattungen von Kindern und Jugendlichen eine wesentlich größere Vielfalt an Gefäßformen (Urne bzw. Beigefäß) erhielten als adulte Individuen (Abb. 79). Für Säuglinge sind dagegen ausschließlich eingliedrige Tonnen bekannt, die abgedeckt wurden. Selbstverständlich ist die Repräsentativität der Bestattungen von Kindern und Jugendlichen insgesamt höher, sodass sich dies

auch auf das Ergebnis auswirken kann, jedoch sind für adulte Individuen sowie Säuglinge tatsächlich starke Beschränkungen auf wenige Formen festzustellen, denn sie erhielten beispielsweise ausschließlich eingliedrige Tonnen und nur in einem Fall einen Doppelkonus sowie selten Deckgefäße. Die Höhe der Gefäße ist dabei bei Erwachsenen teilweise größer als bei Kindern und Jugendlichen, sodass eine Bezugnahme auf die Körpergröße vorhanden gewesen sein könnte.

Vor allem bei den Gräbern von Kindern aber auch einigen Jugendlichen waren dagegen bei der Wahl der Urne anscheinend keine Grenzen gesetzt, sodass fast alle bekannten Formen genutzt wurden und sogar eine Urnen-Sonderform (Befund 79) für eine Kinderbestattung gewählt wurde. Auch treten Verzierungen ausschließlich auf Kinderurnen auf. Damit ist eine Sonderstellung von Kindern auch bei der Wahl des Grabgefäßes festzustellen. Die Anwendung eines breiten Formenspektrums bei der Wahl für die Kinderurne konnte auch für andere gleichzeitige Gräberfelder in Schleswig-Holstein festgestellt werden (Schmidt 1993, 133). Darüberhinaus fällt auf, dass Urnengräber von Jugendlichen sehr häufig mit Gefäßen abgedeckt wurden. Hinsichtlich der Beigaben können vergleichbare Feststellungen getroffen werden. Während sich das Beigabenspektrum adulter bis seniler Individuen eher auf die Beigabe von Werkzeugen, Nadeln und Ringschmuck konzentriert, kommen in den Gräbern der Kinder und Jugendlichen äußerst häufig Beigefäße und Knöpfe, aber ebenso Werkzeuge, Nadeln und Ringschmuck vor. Vereinzelt wurden auch eine Versteinerung und nachweisbare Speisereste in den Grabbeigaben von Jugendlichen gefunden (Abb. 80). Die Speisereste könnten zum Beispiel eine letzte Mahlzeit oder auch eine Wegzehrung für das Jenseits bedeutet haben und damit einen Glauben an ein Weiterleben nach dem Tod vermuten lassen (Hofmann 2008, 161). Die Beigabe von Knöpfen überwiegt dabei stark in Kindergräbern. Die beiden Säuglinge erhielten gar keine Beigaben.

Hinsichtlich der Beigabenverteilung kann zwar eine geringfügigere Vielfalt im Vergleich zu den Grabgefäßformen erkannt werden, jedoch zumindest eine tendenzielle Gleichstellung von Kindern und Jugendlichen gegenüber Erwachsenen, während Säuglinge keine Beigaben erhalten. Ähnliches ist auch beim Vergleich von Kinder- und Erwachsenengräbern von dem etwas jünger datierenden Magdalenenberg festgestellt worden (Endlich 1997, 63). Des Weiteren fällt auf, dass Jugendliche gegenüber Kindern vielfältiger ausgestattet wurden, sodass bereits von personenbezogenen Beigaben, die die Persönlichkeit und den sozialen Status, sowie womöglich bereits das Geschlecht unterstrichen haben, ausgegangen werden könnte. Ein offener Eidring aus einem der Kindergräber (LA 18, Bef. 63) oder ein Spiralling aus einem der juvenilen Gräber (LA 58, Bef. 81) könnten nach Derevenski als Symbol für die noch ausstehende Einführung in die Gesellschaft bedeuten (Vgl. Derevenski 2000, 399; bzw. Vgl. Krause 2006, 17). Beim Vergleich der Elemente von Lage, Grabgefäßform und Beigabenausstattung fällt auf, dass Jugendlichen, die eher im ‚Übergangsbereich‘ des Hügels (äußerer Rand der nachweisbaren Hügelschüttung) bestattet wurden, häufiger Grabbeigaben aufweisen, die zudem eine höhere Varianz aufzeigen, sodass vermutet werden könnte, dass innerhalb der gleichaltrigen Bestattungen von Jugendlichen Unterschiede hinsichtlich der Lage und der Ausstattung erfolgten, die den sozialen Status und soziale Identität(en) des Individuums bzw. der sozialen Gruppe, dem das Individuum möglicherweise angehörte, widerspiegeln könnte. Bei den Kindern spielte die Positionierung des Grabes und der Beigabenvielfalt hingegen weniger eine Rolle. Die scheinbare Bevorzugung von Kindern hinsichtlich dieser Aspekte könnte auch nach Krause eine mögliche Berücksichtigung ‚*entgangene[r] Lebensleistung*‘ sein. Sie führt weiter aus, dass das Geschlecht des Kindes ein weiterer Indikator zum Beispiel für die Grabausstattung sein könnte (Krause 2006, 15). Da das Geschlecht von Kindern nicht anhand anthropologischer Untersuchungen erfasst werden kann, verbleibt dies lediglich als Mutmaßung bei der Erklärung von der unterschiedlichen Behandlung unter den

Kindern am Fundplatz in Bezug auf z. B. Ausstattung oder Lage. Die Tatsache, dass Säuglinge keine Beigaben erhielten, würde die These, dass die Behandlung der Toten mit der Lebensleistung zusammenhängt, stützen. Jugendliche haben womöglich hingegen bereits begonnen eine Rolle in der Gesellschaft zu entwickeln und wurden dementsprechend bereits unterschiedlich umfangreich und ihrer Persönlichkeit entsprechend beigesetzt. Aufgrund der Zusammenhänge von Alter, Beigaben, Grabgefäßen und Lage kann von einer bewussten Strukturierung der Bestattungen am Fundplatz ausgegangen werden, die eine soziale, vielleicht familiäre Gliederung der Gesellschaft widerspiegeln kann. In diesem Zusammenhang wäre die Extraktion von aDNA aus zum Beispiel niedrig gebrannten Felsenbeinen sinnvoll, um mögliche familiäre Strukturen wie Lagebezüge unter Gräbern feststellen zu können. Die Möglichkeit der Extraktion von aDNA-Material aus verbranntem Knochenmaterial ist im Forschungsdiskurs in reger Diskussion. Die Nutzung verbrannten Knochenmaterials hängt stark von dem Zustand und dem Verbrennungsgrad der Knochen ab (Hindrich 2009; Pusch *et al.* 2000; Hansen *et al.* 2017). Sofern davon ausgegangen wird, dass die vorliegende Altersverteilung repräsentativ ist, kann die Theorie formuliert werden, dass während der Periode III und IV Grabhügelnachbestattungen vor allem Kindern und Jugendlichen vorbehalten waren und Erwachsene außerhalb des Grabhügels oder auf Flachgräberfeldern Platz fanden. Womöglich galt die Bestattung von Kindern und Jugendlichen in Grabhügeln als besonders geschützt – zum einen hinsichtlich der Grabverwahrung in einem Monument, dessen zukünftiger Verbleib womöglich als gesicherter galt und zum anderen im symbolischen Schutz möglicher Vorfahren, die primär im Grabhügel beigesetzt worden waren. Eine vergleichbare Altersverteilung ist auch von der gleichzeitigen Grabhügelnutzung des LA 2 in Grevenkrug bekannt, sodass es sich um ein gemeinsames Phänomen handeln könnte, das über die lokalen Grenzen hinweg existierte. Demgegenüber wurden im Grabhügel LA 31 in Wahlstedt überwiegend Erwachsene in dem Grabhügel nachbestattet (siehe Kap. 8.10 & Anhang VII.1). Es wäre sinnvoll die – auf anthropologischen Untersuchungen basierende – altersabhängige Positionierung in Grabhügelarealen und die Grabausstattung in einem größeren Vergleich zu untersuchen, der sowohl mehrere Beispiele, als auch einen größeren geographischen Raum umfasst.

8.8. Botanische Großrestanalysen

Die botanischen Großreste (Holzkohle und andere Makroreste) vom Fundplatz von Mang de Barga wurden im Rahmen dieser Arbeit erhoben und durch das Teilprojekt F3 des SFB1266 ausgewertet. Die Endauswertung erfolgte durch Filipović im Rahmen eines Berichts, der dem Anhang dieser Arbeit entnommen werden kann (Vgl. Anhang VII.2). Einige Botanikreste aus den Grabhügeln LA 18, LA 20, LA 58, LA 59 und LA 60 wurden bereits von Alsleben im Rahmen des Projekts ‚Siedlungen der Bronzezeit‘ analysiert. Eine umfangreiche Analyse liegt für den Grabhügel LA 57 vor. Während der Ausgrabung 2017 wurden insgesamt 276 Sedimentproben entnommen. Davon wurden 265 Proben durch studentische Hilfwissenschaftler in der Halle des Instituts für Ökosystemforschung in Kiel mit Maschenweiten von 2 mm archäologisch geschlämmt, während 70 dieser Proben aufbereitet (Flotation) und dann mit Maschenweiten von 0,3 mm gesiebt wurden. Die Proben umfassten zwischen drei und zehn Litern und ergaben ein Gesamtvolumen von 600 Litern Sediment. Für die archäobotanische Analyse wurden 40 Proben aus insgesamt 21 Befunden ausgewählt. Die Auswahl erfolgte nach der Befundrelevanz und dem Ertrag an Rückständen aus der Sedimentprobe. In den Räumen des Instituts für Ur- und Frühgeschichte zu Kiel wurden die ausgewählten Proben mithilfe eines Stereomikroskops durch Mitarbeiter des F3-Projekts sortiert, identifiziert und ausgezählt (siehe

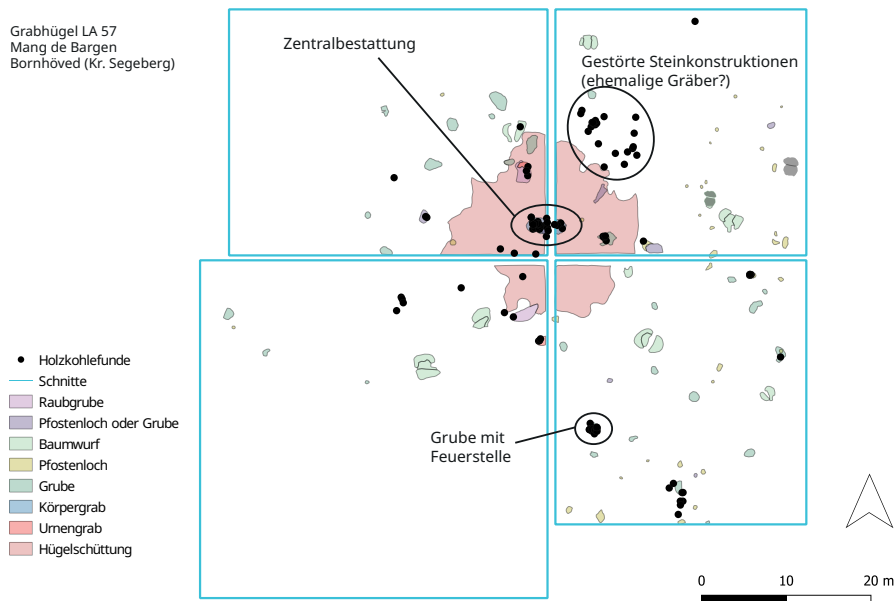


Abbildung 81: Holzkohlevorkommen und ausgewählte Befunde am Grabhügel LA 57.

Anhang VII.2). Die Untersuchungen ergaben, dass das vorhandene Pflanzenmaterial stets verbrannt vorlag. Pflanzenreste bilden dabei gegenüber Holzkohle die Minderheit und unterliegen dabei eher schlechten Erhaltungsbedingungen, und umfassen Kultur- als auch Wildpflanzen. An **Nutzpflanzen** wurden Gerste (*Hordeum vulgare*), Emmer (*Triticum dicocum*), Weizen (*Triticum aestivum/durum/turgidum*) und Besenmaishirse identifiziert, deren Rückstände wahrscheinlich starken Verlagerungsprozessen unterlagen. Von anderen Grabhügeln des Fundplatzes sind zudem Überreste von Dinkel (*Triticum spelta*) bekannt (Alsleben 2013, 236). Während Dinkel ab 1500 v. Chr. für Norddeutschland und Mang de Bargaen (1499-1402 BC) nachgewiesen ist (Effenberger 2018, 95), sind Gerste und Emmer bereits mit der Frühbronzezeit in Getreidezusammensetzungen Norddeutschlands vertreten (Effenberger 2018, 104). Aufgrund seiner besonderen Eigenschaften (ertragsreich; wächst auf leichten Böden; beständig gegen Nässe und Frost; proteinreicher als z. B. Gerste; enthält mehr Klebstoffe) kann Dinkel eine wichtige Rolle in Krisenzeiten gespielt haben (Effenberger 2018, 97; Kristiansen 1998, 289; Kneisel 2012a, 273) und damit als Reaktion auf eine mögliche Krise (um 1700/1600) ab 1500 v. Chr. übernommen und genutzt worden sein. Den größten Anteil der **Wildpflanzen** nehmen vornehmlich Unkräuter ein. Kleiner Sauerampfer (*Rumex acetosella* agg.) ist zum Beispiel in großen Mengen vom Grabhügel LA 64 aus einer der Körperbestattungen (Befund 2) des Spätneolithikums I bekannt. Im Allgemeinen zeigt dieses Unkraut eine Verarmung des Bodens an, die auf starke Ackerbautätigkeiten und einen sowieso nährstoffarmen Boden in der Region hinweisen (Effenberger 2018, 98f.). Den Pollendaten aus dem Torfloch in unmittelbarer Nähe des Fundplatzes von Mang de Bargaen zufolge (siehe Bericht Feeser *et al.*, Anhang VII.3) scheinen Weideaktivitäten zum Beispiel zwischen 2000 und 1850 v. Chr. stattgefunden zu haben. Des Weiteren ergaben die Analysen Überreste verschiedener **Baumarten**. Dabei wurden Reste von Erle (*Alnus*), Hainbuche (*Carpinus betulus*) Hasel (*Corylus avellana*) und Eiche (*Quercus*) gefunden. Während ihre Funktion als Baumaterial und Brennholz außer Frage steht, können Eichel und Haselnüsse, die ebenfalls im Spektrum vorkommen, auch der Nahrung gedient haben. Vor allem vom Grabhügel LA 58 sind auch Nüsschen der Hainbuche erhalten. Sie breitete sich ab dem Spätneolithikum in Norddeutschland aus, erreichte mit der Jüngerer Bronzezeit jedoch erst an erster Relevanz. Ihr Vorkommen in der Bronzezeit ist nach Effenberger eher untypisch, sodass nicht

ausgeschlossen werden kann, dass die Nüsschen Kontaminationen jüngerer Zeiten (z. B. Römische Kaiserzeit, in der die Hainbuche sehr stark vertreten war) darstellen (Effenberger 2018, 83f.). **Vereinzelte Pflanzenteile** (Stängelfragmente und Stiele) können als Anzünder genutzt worden sein, oder auch versehentlich ins Feuer gelangt sein. Eine große Menge an Schlauchpilzsporen (*Coenococcum geophilum*) aus einem Pfostenloch (Befund 2031) der Teilfläche 2 vom Grabhügel LA 57 deuten zusammen mit vereinzelt Rückständen von Besenheidekraut (*Calluna vulgaris*) aus dem Zentralgrab und dem Urnengrab desselben Grabhügels auf mögliche Erosionen in der Umgebung zur Zeit der Grablege hin (siehe Anhang VII.2). Von der Teilfläche 2 sind kolluviale Schichtabfolgen bekannt, die durch die Sporenfunde möglicherweise repräsentiert werden (Vgl. Kap. 8.3.1.8). **Holzkohle** liegt vor allem aus Befunden wie Feuerstellen, Branderdestellen (mögliche Ustrinen), Kochsteingruben und Brandgräbern vor, die entsprechende Verbrennungsaktivitäten aufweisen. Grubenbefunde und Pfostenlöcher sowie weitere Gräber enthielten dagegen tendenziell mehr Überreste von Getreide und Unkräutern (z. B. Gruben des Siedlungsareals LA 116). Während der Ausgrabungen des Grabhügels LA 57 wurden 181 Holzkohlefunde geborgen. Die größte Konzentration stammt aus dem Zentralgrab und eine kleinere von der Feuerstelle in der Teilfläche 3 (Abb. 81).

Auch im westlichen Teil der Teilfläche 2, unweit von einer ehemaligen Stein konstruktion, die auf das Vorhandensein ehemaliger Grabanlagen (möglicherweise Urnen, siehe Kap. 8.3.1.8) hinweisen könnte, wurde eine große Menge Holzkohle gefunden. Aus dem **Zentralgrab** (Leichenbrandschüttung im Baumsarg, Vgl. Kap. 8.3.1.8) des Grabhügels LA 57 konnten mit über 150 Samen- und Fruchttresten (u. a. Reste von Himbeere (*Rubus idaeus*) oder auch Johanniskraut (*Hypericum perforatum*)) im Vergleich zu den anderen Befunden des Grabhügels die meisten pflanzlichen Rückstände geborgen werden (Vgl. Anhang VII.2, Tab. 2). Dies ist sicherlich auch der Tatsache geschuldet, dass die meisten Sedimentproben des Grabhügels LA 57 aus dem Zentralgrab stammen.⁸²⁵ Die Dichte der Überreste pro Schicht im Grab ergab sowohl für Früchte und Samen als auch Holzkohlefragmente dagegen eine eher geringere Menge. Für die verkohlten Reste kann dementsprechend nicht geklärt werden, ob sie Verlagerungen aus der Ustrine, die der Verbrennung der Leiche diente, darstellen, ob sie von anderen Tätigkeiten am Grab stammen oder aber beim Aufschütten des Grabhügels aus dem umliegenden Bodenmaterial in das Grab gelangten. Für das Urnengräberfeld (LA 115) der vorrömischen Eisenzeit konnten viele Holzkohlefunde festgestellt werden, die wahrscheinlich aus den **Totenverbrennungen** hervorgehen. Der Nachweis einer großen Branderdstelle, die wahrscheinlich als Ustrine diente, lässt diesen Verdacht erhärten. Von den Grabhügeln des Fundplatzes sind solche möglichen Verbrennungsplätze nur gelegentlich in Erwägung zu ziehen, wie zum Beispiel Gruben des LA 20 (Befund 72) (Vgl. Kap. 8.3.1.3). Die pflanzlichen Überreste aus den Gräbern könnten von Tätigkeiten während der Verbrennung stammen, sodass diese dann zusammen mit den verbrannten Knochen in das Grab umgebettet wurden. Eine absichtliche Niederlegung verkohlter Pflanzenüberreste in den Gräbern kann dabei nur gemutmaßt werden. Insgesamt ließ sich feststellen, dass die Pflanzenvielfalt vom Fundplatz dem typischen Spektrum des Spätneolithikums und der Bronzezeit in Norddeutschland entspricht. Die sehr wahrscheinliche Verlagerung von Pflanzenmaterial, die häufig im Zuge von Bestattungsaktivitäten erfolgte, erschwert die Rekonstruktion der Pflanzennutzung vor Ort. Die Zusammensetzung deutet jedoch darauf hin, dass tendenziell ‚unbrauchbare‘ Pflanzenteile und Wildkräuter Teil von Verbrennungsaktivitäten wurden, während Nutzpflanzen seltener in diesen Kontexten beobachtet wurden.

⁸²⁵ Es wurden insgesamt 162 Sedimentproben aus dem Zentralgrab (Befunde 1001 und 2001) entnommen.

8.9. Pollenanalysen

8.9.1. Analyse ökologischer near-site-Daten

Für die Verknüpfung archäologischer Daten mit Transformationsphasen sowie der Darstellung ihrer (Un-)Abhängigkeiten, ist es ein wichtiges Anliegen, die Daten vom Fundplatz mit ökologischen Daten zu vergleichen. Die archäologischen Daten basieren zunächst auf der Gräberchronologie, da diese die aussagekräftigsten und repräsentativsten Daten vom Fundplatz liefert. Seitens der Palynologie liegt das Pollenprofil des eingangs beschriebenen ‚Torflochs‘ vor. Es lässt eine Korrelation archäologischer und ökologischer Daten zu und unterstützt die Setzung möglicher Transformationsphasen. Die Pollenprofile vom ‚Torfloch‘ und vom Belauer See zeigen einen mehr oder weniger ähnlichen Verlauf. Das ‚Torfloch‘ ist aufgrund seiner geringen Entfernung zum Fundplatz von Mang de Barga für einen ‚near-site‘ Vergleich prädestiniert (Abb. 82). Das Profil des Belauer Sees wird deswegen nur vergleichend angeführt und dafür im Rahmen der Transformationsforschung auf Mesoebene als Grundlage für eine Auseinandersetzung mit ökologischen Daten für ganz Schleswig-Holstein herangezogen. Bei der Untersuchung des Pollenprofils entscheidet die Kombination verschiedener botanischer und organischer Entwicklungen, dass der Auslöser jener Veränderungen anthropogen ist und zum Beispiel Aussagen zum Waldbestand, zu Rodungen oder Wüstungsperioden gemacht werden können.

8.9.2. Transformationsphasen: archäologisch-ökologische Analyse

Das sogenannte ‚Torfloch‘ von Mang de Barga (ca. 500 m Entfernung) bewahrt Seesedimente, die ein Pollenprofil der letzten 5000 Jahre zulassen. Im Jahr 2018 wurde durch das F2-Teilprojekt ein Bohrkern aus dem ‚Torfloch‘ geborgen und ausgewertet. Die folgenden Ergebnisse zu dem Profil basieren auf dem Bericht von Feeser (Anhang VII.3) und werden mit den Ereignissen vom Fundplatz verglichen. Bei einem Vergleich von Umweltdaten mit den archäologischen ist stets damit zu rechnen, dass sich plötzliche Veränderungen – ob technologischer, wirtschaftlicher oder auch gesellschaftlicher Art – nicht immer in den Umweltdaten widerspiegeln müssen. Die Umweltdaten sind bei einem solchen Vergleich eher als indirekte Schnittstelle zwischen archäologischen Daten und deren Auswirkungen auf die Umwelt zu sehen (Feeser *et al.* 2019, 1596f.).

Die Verteilung der Pollen zeigt im Profil einige Tiefenabschnitte (80-81 cm; 66-67 cm; 53-57 cm), die unterschiedliche Konzentrationen und Pollenansammlungen aufweisen und somit die Basis für die Einteilung von Zeitphasen von Umweltveränderungen bilden. Sie zeigen dabei eindeutige Zu- und Abnahmen verschiedener Anzeiger sowie Veränderungen im Spektrum allgemein. Die Sedimentstratigraphie von zwei Bohrkernen aus dem Gewässer wurde in 1-Zentimeter-Scheiben hinsichtlich Pollen- und Sedimentvorkommen (Geochemie) analysiert und mithilfe von Radiokarbondatierungen und der Tephra-Analyse beprobt, um Intervalle zu erstellen, die die Entwicklung des Pollenprofils zwischen 3200 v. Chr. bis 650 n. Chr. aufzeigen. Dabei können Datierungsunsicherheiten von ± 80 Jahren auftreten. Während das Pollenprofil vom Belauer See eine höhere Auflösung mit nur ± 30 Jahren Datierungsunsicherheit hat, ermöglicht das Pollenprofil vom ‚Torfloch‘ dagegen die Analyse lokaler Entwicklungen, die für den Vergleich mit dem Fundplatz sehr wichtig sind. Für die vorliegende Arbeit wird der Zeitraum vom ausgehenden Spätneolithikum bis zum Beginn der Eisenzeit in den Fokus gerückt. **Phasen geringerer**

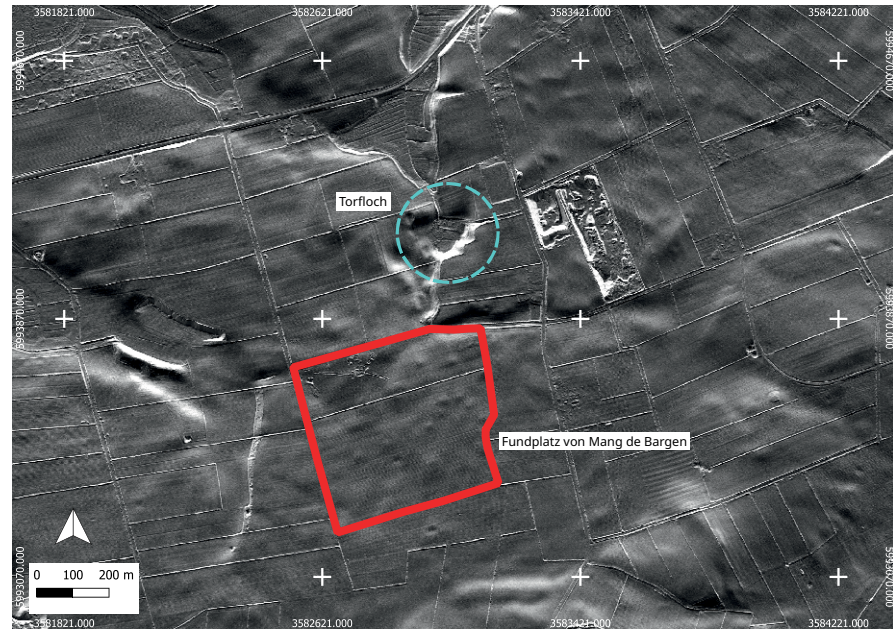


Abbildung 82: Das ‚Torfloch‘ in unmittelbarer Nähe zum Fundplatz von Mang de Bargaen.

menschlicher Aktivität (wie geringere Landnutzung) bilden dabei zum einen die Zeitphase zwischen 2770 und 2170 v. Chr., die bis zum ausgehenden Spätneolithikum I anhält. Zum anderen weisen die Pollendaten auf allgemein geringere Aktivitäten zwischen 1670 und 1370 v. Chr. in Mang de Bargaen hin und decken damit die Zeit zwischen der Mitte der Periode I und der Mitte der Periode II ab, die auch in der Gräberchronologie eine Phase weniger Bestattungen und gleichförmiger Tradition im Beigabenspektrum darstellt (siehe unten). **Phasen erhöhter menschlicher Aktivität** sind hingegen vor allem für den Zeitraum von 680 v. Chr. bis 430 n. Chr. belegt, die damit ungefähr vom Beginn der Periode VI bis zur Völkerwanderungszeit andauert, bevor ein Rückgang menschlicher Aktivitäten ab 430 n. Chr. in Mang de Bargaen folgt. Um die Periode IV erreicht auch die Gräberfeldnutzung ihr Maximum, geht dann jedoch wieder zurück, bevor ein weiteres Maximum in der Stufe II a (ca. 250-100 v. Chr.) erfolgt. Die einzelnen aussagekräftigen Phasen menschlicher Aktivität bzw. Inaktivität gilt es im Folgendem chronologisch vom ausgehenden Spätneolithikum bis zum Ende der vorrömischen Eisenzeit darzustellen. Von der **Mitte des Spätneolithikums I bis zur Mitte des Spätneolithikums II** (ca. 2170-1800 v. Chr.) können dem Pollenprofil (‚Torfloch‘) insgesamt stabile Werte entnommen werden. Einige Hinweise auf Getreideanbau und Weidewirtschaft liegen vor. Eine Landschaft die von offenen Wäldern und einigen Weiden geprägt ist, darf angenommen werden. Haselsträucher (*Corylus*) wurden dabei vermehrt angetroffen, die wohl auch der Bewirtschaftung von Wäldern durch das Legen von Buschfeuern diene. In der zeitlichen Verteilung von Gräbern in Mang de Bargaen ist das Spätneolithikum insgesamt mit fünf Gräbern gemäßigt vertreten. Daran schließt die **Periode I** an, die in den Pollendaten insbesondere von 1750 bis 1500 v. Chr. erfasst werden konnte. Die Hasel tritt weiterhin viel in Erscheinung. Ein Rückgang der Holzkohlepartikel deutet jedoch auf eine Veränderung der lokalen Landnutzung hin, die entweder mit der Verlagerung der Landnutzungsflächen oder der Nichtnutzung von Buschfeuern in der Waldwirtschaft verbunden ist. Ein ähnlicher Rückgang der Aktivität ist auch im Pollenprofil des Belauer Sees deutlich erkennbar. In den archäologischen Daten liegen für die Periode I so gut wie keine Angaben vor, sodass von einer wesentlich geringeren Nutzung des Fundplatzes zu dieser Zeit ausgegangen werden muss. Mit dem **Beginn der Periode II** (um 1450 v. Chr.) erreicht dieser Rückgang seinen Tiefpunkt. Dies lässt sich auch anhand des Nachlassens der

Getreide-Kurve feststellen. Des Weiteren ist um diese Zeit ein Minimum an Bodenerosion erkennbar. Kurz darauf jedoch folgt eine starke Veränderung, die um 1450 v. Chr. beginnt und insbesondere zwischen 1400 und 1300 v. Chr. festzustellen ist und damit von der **Mitte bis zum Ende der Periode II** datiert. Diese Phase ist geprägt von Erosionen, die ihr Maximum erreichen. Ebenso erreichen Esche (*Fraxinus*), Hasel (*Corylus*), Sauergrasgewächse (*Cyperaceae*), Kreuzblütler (*Brassicaceae*) und Dungpilzsporen (*Sporomiella* & *Podospora*) maximale Werte. Adlerfarn (*Pteridium*), der eher in offenen Wäldern wächst, zeigt ebenfalls einen Anstieg an Pollen. Feeser schließt aus dieser Pollenverteilung, dass es sich um eine Phase der erhöhten Viehhaltung und Waldweidewirtschaft handelt, die möglicherweise mit der vermehrten Fällung von Bäumen einhergeht. Des Weiteren kann eine Wiederaufnahme des Getreideanbaus vermutet werden. Diese Phase ist archäologisch mit dem Beginn des Bestattungswandels verbunden, der sich v. a. um 1300 v. Chr. ereignet. Die Bestattungsaktivität ist in dieser Zeitphase recht instabil, denn zunächst ist ein Anstieg, dann jedoch ein leichter Rückgang zusammen mit einer starken Vielfalt der Bestattungsformen erkennbar. Auch das Kochsteingrubenareal (Feld 6) ist zu dieser Zeit nachweislich in Nutzung (Vgl. Kap. 8.3.4.). Rückstände von der Hasel (*Corylus*) sind in diesem Kontext möglicherweise relevant, da sie nachweislich für die Brennaktivitäten in den Kochsteingruben genutzt wurde (Vgl. Kap. 8.3.4 & Tabelle 5). Um 1300 v. Chr. scheint es demnach strukturelle Veränderungen – sowohl im Bestattungswesen, als auch der materiellen Kultur und der Landnutzungsweise zu geben, die damit einen eindeutigen Moment der Transformation darstellen. Von der **Mitte der Periode III bis zur Mitte der Periode V** (ab 1200 bis ca. 750 v. Chr.) verliert die Nutzung von Hasel (*Corylus*) an Bedeutung, sodass von einer geringeren Nutzung von Feuer in der Landwirtschaft und eine damit einhergehende Veränderung der Wäldernutzung ausgegangen werden kann. Dem gegenüber steht die starke Zunahme an Brandbestattungen der Jüngerer Bronzezeit auf dem Gräberfeld, die sich scheinbar weniger auf das Pollenprofil auswirkt, obwohl die direkte Totenverbrennung auch auf dem Gräberfeld vermutet werden kann (Ustrinen-Befunde). Die Großrestanalysen vom Fundplatz deuten dementsprechend darauf hin, dass tendenziell ‚unbrauchbare‘ Pflanzenreste Teil der Verbrennungsaktivitäten wurden, die sich womöglich weniger stark im Pollenprofil widerspiegeln. Bodenerosionen deuten zudem auf eine Intensivierung der Landnutzung hin, die auch mit dem Getreideanbau und der Grünlandbeweidung einhergehen. Mit dieser Zeitphase geht auch Eiche (*Quercus*) dauerhaft zurück. Womöglich könnte dies mit der Änderung des Grabbaus verbunden sein, indem nun keine Baumsärge mehr für die Bestattung genutzt werden, sondern kleinere Steinkonstruktionen und Urnen. Stattdessen steigen lichtbedürftige Baumarten – wie die Birke (*Betula*) und später (ab 750 v. Chr.) die Erle (*Alnus*) – an, die eventuell vermehrt als Brennmaterial im Rahmen des neuen Bestattungsbrauchs genutzt wurden. Die Umverteilung von Baumpollenarten kann auch eine Veränderung des Spektrums sein (Rückgang der Wälder), die aus der Abfolge von Rodung- und Brachperioden resultiert, da Birken schnell wieder auf Brachflächen wachsen und demzufolge Indikator für eine Waldweidelandschaft zu diesem Zeitpunkt sein können.⁸²⁶ Spitzwegerich (*Plantago lanceolata*) steigt ab 1100 v. Chr. außerdem leicht an, sodass vermehrt Offenland und eine möglicherweise damit verbundene höhere Siedlungsaktivität vermutet werden kann, die auch – abgelesen an der Gräberanzahl – ein Bevölkerungswachstum aufzeigen kann. Demgegenüber steht der Rückgang der Bestattungsaktivität ab 900 v. Chr., der sich nicht wesentlich in den Pollendaten des ‚Torflochs‘ widerspiegelt. Im Pollenprofil des Belauer Sees ist ein kleiner kurzweiliger Einbruch dagegen um 900 v. Chr. erkennbar, der sich jedoch schnell wieder erholt. In den geochemischen Analysen zeigen sich dagegen am Ende des 9. Jahrhunderts erhöhte

826 Freundliche Mitteilung von Ingo Feeser, Oktober 2019.

Zeitphase / Periode	Aktivität	
	Archäologische Daten	Ökologische Daten
2170-1800 v. Chr. / SN I-II	Gemäßigte Aktivität	Gemäßigte Aktivität
1750 bis 1500 v. Chr. / Per. I	Geringe Aktivität	Geringe Aktivität
1450	Gemäßigte Aktivität	Tiefpunkt
1450-1300 v. Chr. / Per. II (Übergang zu Per. III?)	Starke Veränderungen	Starke Veränderungen; erhöhte Aktivität
1300-1200 v. Chr. / Per. III	Starke Veränderungen; ansteigende Aktivität	Stabilität
1200 bis 900 v. Chr. / Per. III-Übergang IV/V	Erhöhte Aktivität mit Maximum	Veränderungen; erhöhte Aktivität
900 bis 750 v. Chr. / Übergang IV/V bis Per. V	Abnehmende Aktivität	Veränderungen; erhöhte Aktivität
750-450 v. Chr. / Per. V-Stufe Ia	Veränderungen; geringe Aktivität mit Tiefpunkt	Erhöhte Aktivität
450-200 v. Chr. / Stufe Ia-IIa	Starke Veränderungen; erhöhte Aktivität	Veränderungen; erhöhte Aktivität
200- v. Chr. / Ab Stufe IIa	Hohe Aktivität mit Maximum, dann Abnahme	Starke Veränderungen; erhöhte Aktivität

Tabelle 9: Zeitliche Abfolge archäologischer und ökologischer Aktivitäten im Vergleich.

Werte, die auf entsprechende menschliche Aktivitäten hinweisen (Dreibrodt und Wiethold 2015). Wahrscheinlich ist die Bestattungsaktivität in diesem Abschnitt kein wesentlicher Faktor für die archäologisch-ökologischen Vergleichsdaten. Da jedoch Siedlungsbefunde, wie zum Beispiel eindeutige Hausbefunde, fehlen, kann anhand der Umweltdaten in diesem Abschnitt von einer geringeren Landnutzungsaktivität ausgegangen werden. Ab der **Mitte der Periode V bis zum Beginn der Eisenzeit mit der Stufe I a** folgt eine Phase verstärkter Waldrodung (750-450 v. Chr.). Während Linden (*Tilia*) weniger werden, sind Pollen von Buchen (*Fagus*) nun häufiger im Pollenprofil anzutreffen. Eine merkliche Umgestaltung der lokalen Feucht- und Moorvegetation lassen hydrologische Veränderungen annehmen. Feeser vermutet zum Beispiel eine Erhöhung des Grundwasserspiegels infolge der erhöhten Waldrodung. Für das Gräberfeld von Mang de Barges ist zu dieser Zeit eine vergleichsweise geringe Bestattungsaktivität zu verzeichnen. Des Weiteren finden um 700 und 500 v. Chr. starke Veränderungen im Beigabenspektrum statt. Ab dem **Beginn der Eisenzeit mit der Stufe I a bis zur Stufe II a** (450-200 v. Chr.) sind Bodenerosionen sowie die Ausbreitung von Linde (*Tilia*) wieder rückläufig. Demgegenüber steht die Zunahme von Dungpilzsporen. Im Allgemeinen können eine Erschöpfung des Bodens und eine Verbreitung von Besenheide (*Calluna vulgaris*) für diese Phase festgestellt werden, die möglicherweise mit hydrologischen Veränderungen oder auch einem Wandel in der Landnutzung (mehr Verheidung) verbunden ist. Am Fundplatz steigt die Zahl der Bestattungen zunächst gemächlich und dann steil an. Des Weiteren ist für die vorrömische Eisenzeit ein Siedlungsplatz nordnordwestlich des Gräberfeldes (ca. 750 m Luftlinie) bekannt (LA 97). Die letzte Phase schließt um 200 v. Chr. an und beginnt somit mit der **Stufe II a** der vorrömischen Eisenzeit, die mit einer äußerst hohen Bestattungsintensität auf dem Urnengräberfeld des Fundplatzes verbunden ist, die daran anschließend jedoch wieder leicht rückläufig ist. Im Pollenprofil zeigt sich der erstmalige Anbau von Roggen (*Secale*), der zunächst als Unkraut Eingang in die Nutzpflanzengesellschaft findet. Feeser deutet den Anbau als mögliche Reaktion auf die Bodenverarmung. Zudem zeigt sich eine Änderung des Nicht-Baumpollenspektrums, indem Kreuzblüter (*Brassicaceae*) ansteigen und nun Acker-Spörgel (*Spergula avensis*), Vogelknöterich (*Polygonum aviculare*) und Floh-Knöterich (*Persicaria maculosa*) an Bedeutung gewinnen. Des Weiteren nimmt Spitzwegerich (*Plantago lanceolata*) stark zu, der als

Anzeiger für offene Landschaften und Siedlungstätigkeiten herangezogen werden kann, sodass erhöhte Aktivitäten angenommen werden können. Der Vergleich von Pollendaten und archäologischen Daten ließ einige Phasen gemeinsamer erhöhter und geringerer Aktivitäten sowie unterschiedliche bis nahezu gegenläufige Entwicklungen erkennen, die wahrscheinlich mit dem Fehlen von Siedlungsdaten am Fundplatz verbunden sind, sodass der Vergleich überwiegend anhand der Gräberentwicklung nachvollzogen werden musste. Zwei besonders prägnante Transformationsmomente konnten um 1300 und um 1100 v. Chr. erfasst werden, die viele Veränderungen, sowohl in den archäologischen Daten (Übergang von der Körper- zur Brandbestattung, Veränderung des Grabbaus, der Grabbeigaben) als auch den ökologischen Daten (Erosionen, Veränderung der Pollenzusammensetzung) aufzeigten, sodass auch eine neue Bewirtschaftung der Flächen, hingehend zur Weidewirtschaft und der Fokussierung auf Viehwirtschaft entsteht. In Tabelle 9 wurden die einzelnen Phasen in Abschnitte erhöhter und geringerer Aktivität aufgeteilt.

Dabei zeigt sich – zumindest für die archäologischen Daten – ein Muster der Entwicklung von einer stabilen Aktivität zwischen gemäßigter und geringerer Aktivität. Parallel zu den ökologischen Daten treten zum Transformationsmoment um 1400/1300 v. Chr. starke Veränderungen mit darauffolgender Aktivität mit einem Maximum ein. Darauf folgt eine Phase der Stabilität mit Maximum und dann zurückgehender Aktivität, die in den archäologischen Daten wieder einen Tiefpunkt erreicht. Letzterer wird wieder durch eine starke Veränderung abgelöst, die eine erhöhte Aktivität bedingt, die dann wieder nach einem Maximum zurückgeht. Dieser Transformationsverlauf ist zunächst als lokale Entwicklung auf der Mikroebene zu betrachten. Es besteht jedoch das Potenzial einer zukünftigen überregionalen Betrachtung dieses Musters, die auch die neolithischen Entwicklungen mitberücksichtigt.

8.10. Lokale und regionale Einbettung des Fundplatzes von Mang de Bargaen

8.10.1. Lokale Einbettung

Der Fundplatz von Mang de Bargaen lässt sich in die Grabhügelgruppen entlang der Endmoräne einordnen (Vergl. Kap. 5) und weist dabei eine der höchsten Konzentrationen und Ballung von Grabhügeln auf (Abb. 83). Schwerin von Krosigk definierte Grabhügelgruppen von ‚A‘ bis ‚M‘ entlang der Gemarkungen Schmalensee, Bornhöved, Gönnebek und Groß-Kummerfeld von denen Mang de Bargaen die Gruppe ‚K‘ bildet.

Die geographischen Gegebenheiten wurden bereits ausführlich behandelt, sodass sich dieses Kapitel den Befunden und Funden um den Fundplatz von Mang de Bargaen widmet. Die Grabhügelgruppe stellt in ihrer unmittelbaren Umgebung eine Ausnahme hinsichtlich der Forschungstätigkeiten dar, da angrenzende Grabhügelgruppen kaum bis gar nicht ausgegraben wurden. Nordöstlich grenzt der Fundplatz an ein neolithisch-bronzezeitlich gemischtes Grabhügelfeld von Schmalensee der Gruppe ‚L‘ nach Schwerin von Krosigk. Dabei befinden sich die bronzezeitlichen Hügel im südwestlichen Teil und die neolithischen im nordöstlichen Teil der Gruppe. An bronzezeitlichen Funden liegen einige Grabfunde wie Absatzbeile, Dolchklingen, Lanzenspitzen und Knopfsicheln vor (Aner/Kersten-Nr. 9966-6668), die oberflächlich aufgefunden wurden und in die Periode II eingeordnet werden können. Die Hügel weisen dabei zwischen ungefähr 20 und 52 m Durchmesser auf und erreichen bis zu 1,10 m Höhe (Schwerin von Krosigk 1976, 231f.). Diese Angaben unterliegen den Einebnungsprozessen durch die moderne Landwirtschaft und sind entsprechend kritisch zu werten (während die Höhen wahrscheinlich deutlich

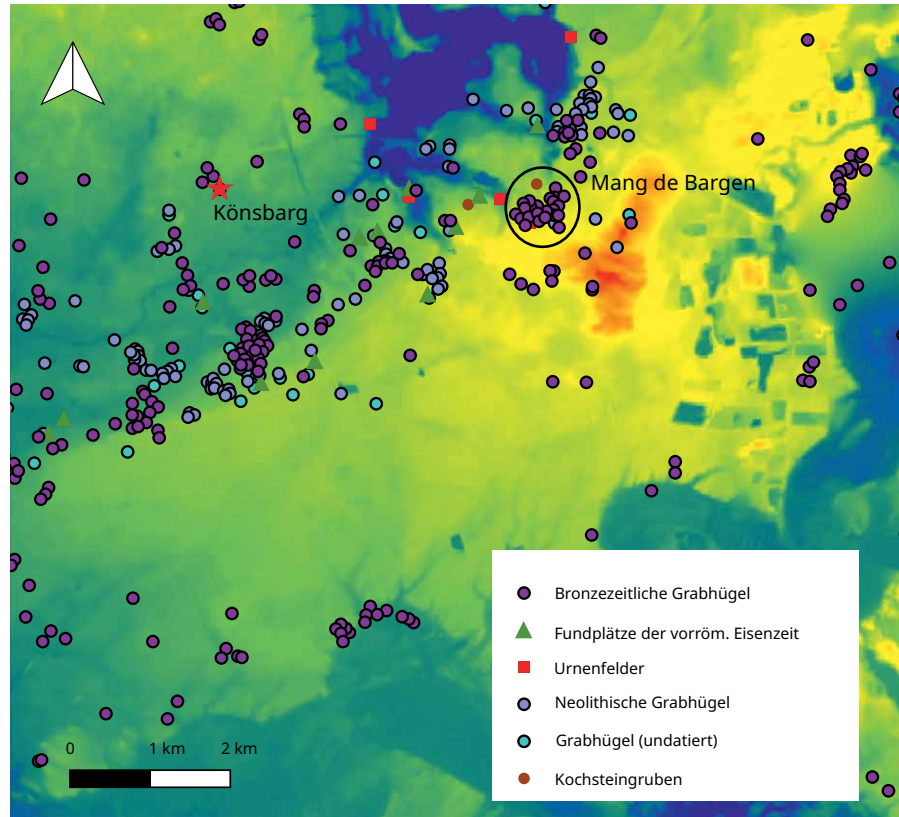


Abbildung 83: Fundplatz von Mang de Barga zwischen weiteren Grabhügelgruppen entlang der Endmoräne zwischen Schmalensee im Osten und Groß-Kummerfeld im Westen.

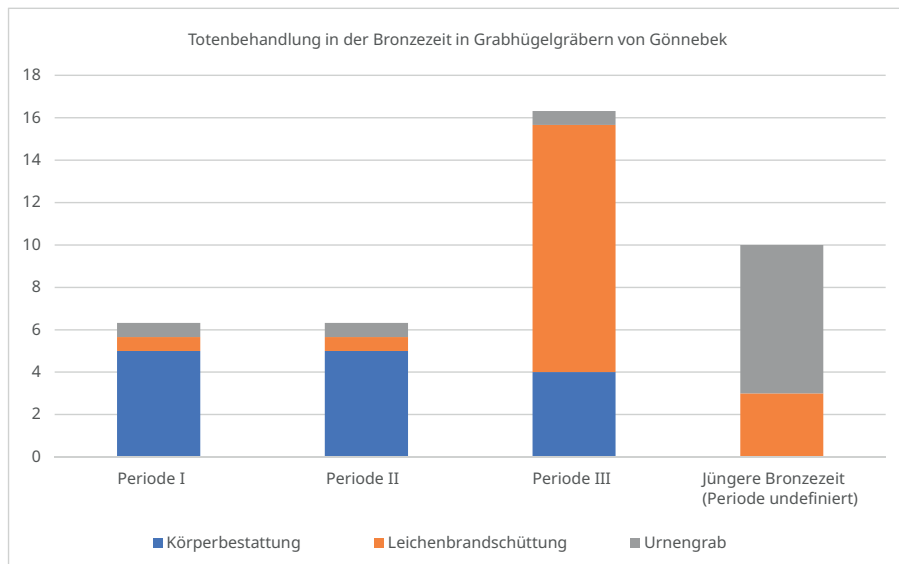


Abbildung 84: Zeitliche Entwicklung der Totenbehandlung in Grabhügelgräbern von Gönnebek während der Bronzezeit [Datengrundlage: Aner und Kersten].

größer waren, sind für die Durchmesser mehr oder weniger kleinere Werte anzunehmen). Die kleine Grabhügelgruppe ‚C‘ im Nordwesten der Gemeinde Bornhöved ist hingegen ausgegraben worden und umfasst unter anderem den sogenannten ‚Könsbarg‘-Grabhügel. Letzterer wurde um 1883 bereits erstmals untersucht (durch Pansch). 1888 folgten weitere Ausgrabungen durch Splieth, der einen Durchmesser von 34 m und eine Höhe von 6,5 Metern angab. Der Könsbarg enthielt vermutlich mindestens 12 Bestattungen (Schwerin von Krosigk 1976, 79ff.). Davon sind das zentrale mögliche Körpergrab (Steinkiste mit Holzsarg) der älteren Bronzezeit und eine Nachbestattung mit einem Brandgrab (Steinplattensetzung, Fund: Buckel) sowie

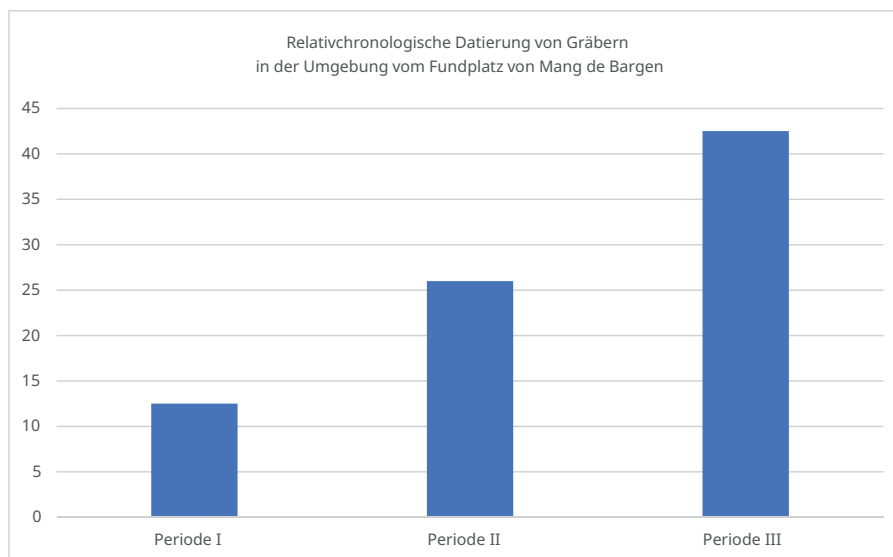


Abbildung 85: Zeitliche Entwicklung der Befunde im Umfeld des Fundplatzes von Mang de Bargaen (von Schmalensee bis Groß-Kummerfeld).

ein weiteres nachbestattetes Brandgrab (Steinpackung, Urne?, Funde: zwei goldene Spiralaringe, Griffangeldolch, Buckel) der Periode III der Bronzezeit zugehörig. Südlich davon befindet sich die ebenso kleine Gräbergruppe ‚B‘, die unter anderem die Grabhügel LA 13 und LA 14 umfasst, die reich ausgestattete Gräber der Periode III beinhalten, bei denen es sich um Brandbestattungen handelt, die oft in Särgen und Steinkonstruktionen bestattet wurden (u. a. Doppelbestattungen) (Aner *et al.* 2011, 18ff.). In ungefähr drei Kilometern westlicher Richtung von Mang de Bargaen befinden sich die Grabhügel von Gönnebek der Gräbergruppen ‚A‘, ‚E‘, ‚F‘, ‚G‘ und ‚H‘, die teilweise untersucht wurden (Schwerin von Krosigk 1976, 155ff.). Dabei handelt es sich meistens um Steinpackungsgräber, die ggf. einen Holzsaarg enthielten. In den ersten beiden bronzezeitlichen Perioden dominierte die Körperbestattung im Totenbrauchtum, bevor mit der Periode III Leichenbrandschüttungen überwogen (Abb. 84). Der Bestattungswandel vollzog sich demnach in diesen Gräbern ebenfalls am Übergang von der Periode II zu III.

In der Jüngerer Bronzezeit wurden sowohl Leichenbrandschüttungen als auch Urnengräber für die Nachbestattungen in den Grabhügeln gewählt. Für die Ältere Bronzezeit sind zwei Urnengräber bekannt, die jedoch keiner Periode zugeordnet werden konnten und deswegen auf die Periode I-III aoristisch aufgeteilt wurden. Für den Fundplatz von Mang de Bargaen sind für die Mitte bzw. das Ende der Periode III Urnenbestattungen anhand absoluter Datierungen belegt, sodass für die nicht-datierten Bestattungen des Umkreises eine solche Datierung für die Urnenbestattungen erwägt werden könnte.

An Beigaben wurden vorzugsweise Objekte aus Bronze, seltener aus Keramik, Bernstein oder Gold mitgegeben. Die Befunde aus dem gesamten Areal lassen teilweise Datierungen in die Ältere Bronzezeit zu und verteilen sich dabei ansteigend von der Periode I bis III (Abb. 85). In etwa 2,5 km Luftlinie nordwestlich des Fundplatzes von Mang de Bargaen befindet sich in Ergänzung dazu ein kürzlich untersuchter Grabhügel in Bornhöved (LA 117), der wiederholt vom Spätneolithikum bis zur Periode II genutzt wurde. Der den Grabhügel umgebende Graben wurde mehrere Male ausgehoben und während der Periode III mit hölzernen Konstruktionen ergänzt. Während der Jüngerer Bronzezeit wurde der Grabhügel ebenfalls für Urnennachbestattungen genutzt (Kneisel *et al.* 2020a).

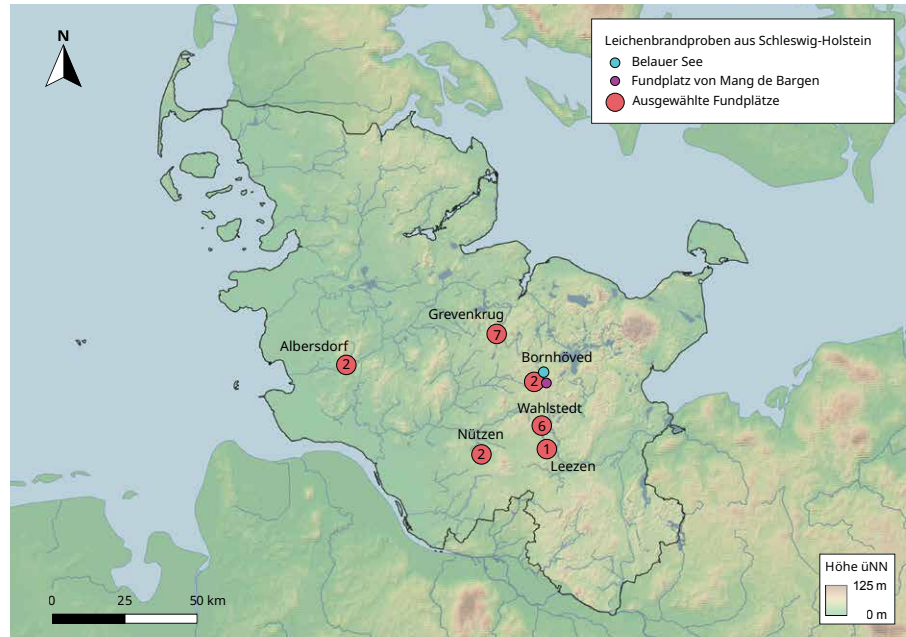


Abbildung 86: Ausgewählte Fundorte für Leichenbranddatierungen im Arbeitsgebiet (die Nummer in den Fundpunkten entspricht der Anzahl der beprobten Gräber pro Fundort).

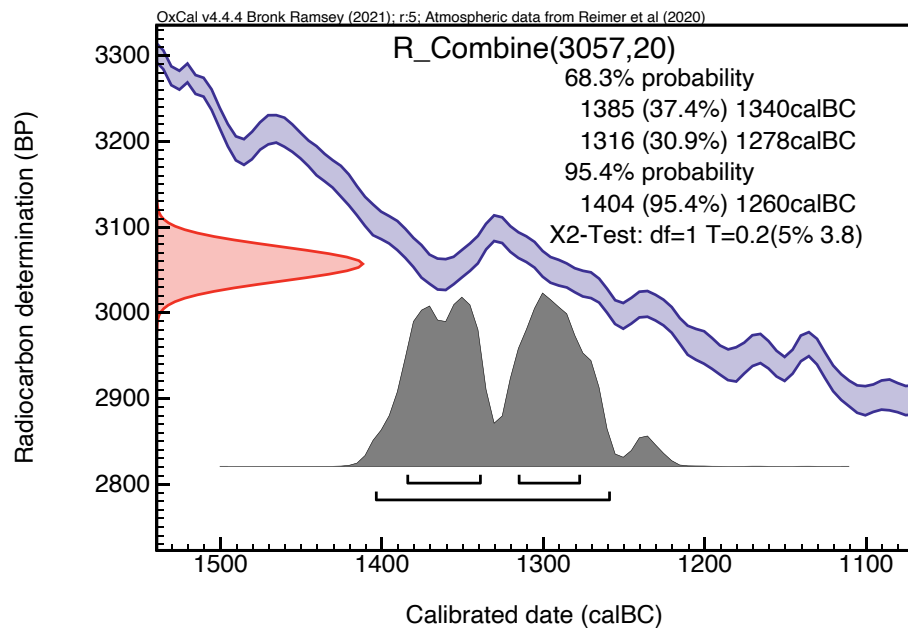


Abbildung 87: Single plot der Kombination (R combine) beider Leichenbrände aus Grab A des LA 4 in Bornhöved (Kr. Segeberg) (Radiokohlenstoff-Bestimmungen, kalibriert mit OxCal. v4.4 (Bronk Ramsey, 2021) und der IntCal20-Atmosphärenkurve (Reimer et al. 2020)).

8.10.2. Regionale Einbettung

Neben den bereits aufgeführten neuen absoluten Datierungen vom Fundplatz von Mang de Bargaen (siehe Kap. 8.6.2), wurden Leichenbrände von Brandbestattungen aus der mehr oder weniger näheren Umgebung von Mang de Bargaen ausgewählt, die datierbares Knochenmaterial enthielten (Abb. 86). Es handelt sich um sieben Leichenbrandschüttungsgräber und dreizehn Urnenbestattungen von acht Fundplätzen (Vgl. Anhang IV).

Vom Grabhügel LA 4 aus **Bornhöved** (Kr. Segeberg), der unweit vom Gräberfeld von Mang de Bargaen entfernt liegt, ist eine Doppelbestattung mit zwei Baumsärgen bekannt, die jeweils zwei Haufen mit verbrannten Knochen enthielten, sodass es sich um insgesamt vier Individuen handelt. Die beiden Datierungsproben stammen aus dem Grab A, das außerdem Keramik, einen Halskragen, einen Halsring, Armbänder und einen Fußring enthielt. Aufgrund der Beigaben wurde die Beisetzung einer

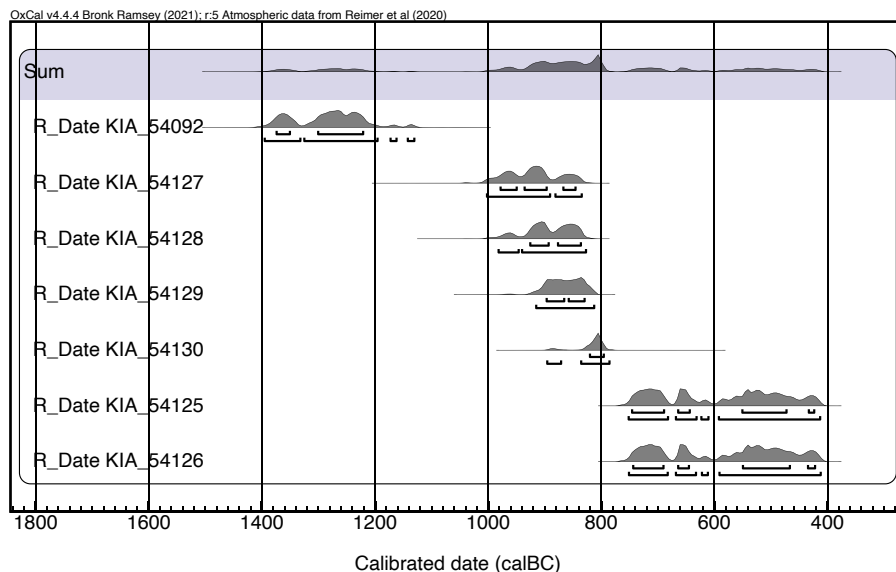


Abbildung 88: Multiple plot mit Summenkalibration der beiden Leichenbrände aus Grab A und den Urnen 1, 3-7 des LA 2 in Grevenkrag (Kr. Rendsburg-Eckernförde) (Radiokohlenstoff-Bestimmungen, kalibriert mit OxCal v4.4 (Bronk Ramsey, 2021) und der IntCal20-Atmosphärenkurve (Reimer et al. 2020)).

Frau vermutet, die zusammen mit einem Mann beigesezt wurde (Aner *et al.* 2011, 16ff.). Die anthropologische Bestimmung der Knochenüberreste ergab, dass es sich in einem Fall wahrscheinlich um die Überreste eines Mannes handelt (Grab A_1), der ein Alter zwischen 25 und 60 Jahren erreichte. Der zweite Leichenbrandhaufen (Grab A_2) ergab keine konkrete Geschlechtszuweisung, da sowohl grazile, als auch robuste Knochen vorlagen sowie Beimengungen, die nicht sicher als menschlich bzw. tierisch bestimmt werden konnten. Die Altersangabe zu diesen Knochen wurde auf ein oder mehr 10- bis 20-jährige(s) Individuum/Individuen eingegrenzt (Vgl. Anhang VII.1). Die beiden Datierungsproben der Leichenbrände ergaben ein ungefähr ähnliches Alter von der Mitte der Periode II bis zum Beginn bzw. der Mitte der Periode III, sodass sie sehr wahrscheinlich zum gleichen Zeitpunkt bestattet wurden.⁸²⁷ Bei der Kombination beider Daten ergibt sich eine kalibrierte Datierung zwischen 1404 und 1260 v. Chr. (Abb. 87).

Der Bestattungswandel ist damit – wie in Mang de Bargaen – an den Übergang von der Periode II zur Periode III anzusetzen. Hinsichtlich des Grabbaus wurde noch an der vorherigen Konvention (Baumsargbestattung) festgehalten, während sich die Totenbehandlung bereits gewandelt hatte. Aus dem Grabhügel LA 2 in **Grevenkrag** (Kr. Rendsburg-Eckernförde) stammen zum einen zwei Bestattungen in aufwändigen Konstruktionen. Das beprobte Grab A (Primärbestattung) enthielt eine Körperbestattung und verbrannte Knochen in einem Baumsarg, der auf einem Bodenpflaster platziert und mit einer Steinpackung bedeckt worden war. Die Knochen des verbrannten Individuums deuten auf ein Lebensalter zwischen acht und zehn Jahren hin. Ein Geschlecht konnte dem Individuum aufgrund des jungen Alters nicht zugewiesen werden. Für das unverbrannte Individuum wurde ein Alter zwischen 12 und 25 Jahren bestimmt. Eine Geschlechtszuweisung war hier ebenfalls nicht möglich. Das Grab enthielt reiche Funde wie zwei goldene Spiralringe, ein Collier von 48 Glas- und 12 Bernsteinperlen, eine Fibel, einen Buckel sowie Stoffgewebereste. Es war mit einem Hügel von 6,6 m Durchmesser überschüttet (Aner *et al.* 2005, 91ff.). Der für die Datierung beprobte Leichenbrand lässt den Befund von 1396 bis 1131 v. Chr., d. h. von der Mitte der Periode II bis zum Ende der Periode III datieren.⁸²⁸ Somit ist zu diesem Zeitpunkt auch für den Fundplatz von Grevenkrag ein Wandel in der Totenbehandlung, jedoch nicht im Grabbau

827 KIA-54117:3050±26uncalBP(1401-1226calBC); KIA-54085:3065±28uncalBP(1413-1234calBC).

828 KIA-54092:3025±30uncalBP(1396-1131calBC).

greifbar. Des Weiteren sind mit diesem Grab die parallele Anwendung und gemeinsame Bestattung beider Totenbehandlungen nachweisbar, sodass sie miteinander vereinbar gewesen zu sein scheinen und vermutlich von Faktoren, die das Individuum charakterisierten, abhingen, wie zum Beispiel spirituelle oder auch kulturelle Zugehörigkeit, Weltanschauung oder auch Krankheiten. Die anthropologische Untersuchung ergab für das verbrannte Individuum zum Beispiel einen Verdacht auf einen pathologischen Defekt an der Clavicula (Schultergürtel), bei dem es sich vielleicht um einen Schlüsselbeinbruch handeln könnte (Storch 2023, 26). Das nicht-beprobte Grab B war als eine mehrerer Nachbestattungen aus den Aufschüttungsphasen erhalten und barg eine unverbrannte Leiche in einem Baumsarg auf einem Bodenpflaster mit Steinpackung unterhalb einer Hügelerweiterung auf 9,2 Meter Durchmesser. An Beigaben konnten ein Griffzungenschwert und ein goldener Spiralfingerring geborgen werden (Aner *et al.* 2005, 91ff.). Sieben Urnen wurden im Hügelaerial nachbestattet. Schmidt beschreibt drei eisenzeitliche, die im nördlichen Hügelpart und vier jungbronzezeitliche Urnen (1-4), die im südlichen Hügelpart nachbestattet wurden (Schmidt 1993, 174). Anthropologisch untersucht und für absolute Datierungen beprobt wurden die Urnen 1 und 3-7.

Die Urnen datieren von der Mitte der Periode IV bis an den Beginn der Stufe I a (Abb. 88).⁸²⁹ Vier der Urnen (Urnen 4-7) datieren dabei eher an den Übergangsbereich von Periode IV zu V (in einem Fall bis maximal Mitte Periode V, siehe Urne 7), der auch in Mang de Barga eine starke Bestattungsaktivität aufweist. Die anthropologische Untersuchung ergab u. a., dass die Urne 5 zwei Individuen enthielt, während alle anderen Einzelbestattungen darstellen. Die Bestimmung des Alters der Individuen aus diesen vier Urnen (vier bis sieben Jahre) zeigt einen sehr niedrigen Altersdurchschnitt. Die Doppelbestattung der Urne 5 enthielt ein Individuum von drei bis vier Jahren und ein zweites Individuum von drei bis sieben Jahren. Ähnlich jung war auch das Individuum aus der Urne 6 mit einer Angabe zwischen zwei und fünf Jahren. Dabei wies es einen Verdacht auf eine *Cribra orbitalia* auf – ein Stressmarker mit möglichem Hinweis auf eine Mangelerscheinung (Vgl. Anhang VII.1). Urne 4 gehört derweil zu einem fünf- bis acht-jährigen Kind, dessen Knochen zudem eine Hypervaskularisation aufweisen, die auf Entzündungen, Mangelerscheinungen oder auch Tumorbildungen hindeuten könnte. Ein weiteres Kind, das auf ein Lebensalter zwischen drei und zwölf Jahren eingeordnet wird, ist aus der Urne 7 bekannt. Aufgrund des jungen Alters der Individuen der Urnen 4 bis 7 war eine Geschlechtszuweisung nicht möglich (Vgl. Anhang VII.1). Diese Altersverteilung stützt die bereits für den Fundplatz von Mang de Barga aufgestellte Theorie, dass während der Periode IV und V größtenteils Kinder und Jugendliche in Grabhügeln nachbestattet wurden (siehe oben, Kap. 8.7). Zwei weitere Urnen (Urnen 1 und 3) sind aus einer jüngeren Phase der Grabhügelnachbestattungen bekannt, deren gemeinsamer Datierungszeitraum aufgrund des Hallstatt-Plateaus langjährig ist, sodass eine genaue Eingrenzung schwierig ist. Die beiden Individuen in den Urnen wurden als möglicherweise weiblich bestimmt und zwischen 18 bzw. 25 und 40 Lebensjahren eingeordnet. Damit zeigt sich, dass sich ab Periode V womöglich die Strukturen hinsichtlich der Platzzuweisung für Gräber in Grabhügeln änderte, sodass auch Erwachsene dort nachbestattet werden konnten. Aus **Wahlstedt** (Kr. Segeberg) sind vom Grabhügel LA 31 eine beigabenlose Zentralbestattung der wahrscheinlich Älteren Bronzezeit mit verbrannten Knochen in einer Steinpackung sowie sieben (Schmidt zählt acht) Urnennachbestattungen (B-H/1-8) der Jüngeren Bronzezeit im Hügel in Steinsetzungen bekannt (Aner *et al.* 2011, 145f.). Den Urnen wurden oft Pfrieme, seltener Bronzeringe (z. B. Spiralinge) und vereinzelt Rasiermesser

829 Urne 1: KIA-54125:2451±26uncalBP(752-414calBC); Urne 3: KIA-54126:2449±26uncalBP(752-413calBC); Urne 4: KIA-54127:2776±28uncalBP(1003-835calBC); Urne 5: KIA-54128:2759±25uncalBP(982-828calBC); Urne 6: KIA-54129:2724±25uncalBP(916-813calBC); Urne 7: KIA-54130:2649±26uncalBP(896-786calBC).

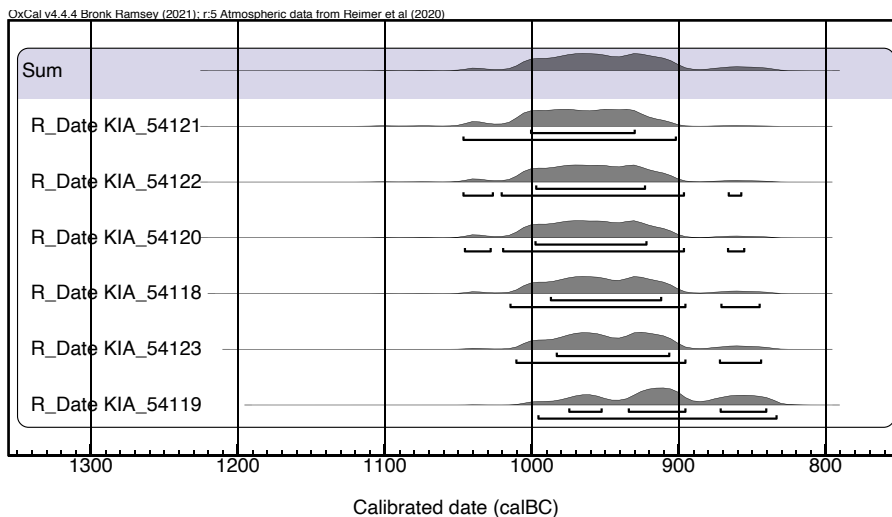


Abbildung 89: Multiple plot mit Summenkalibration der Leichenbrände von sechs Urnen des LA 31 in Wahlstedt (Kr. Plön-Ostholstein) (Radiokohlenstoff-Bestimmungen, kalibriert mit OxCal. v4.4 (Bronk Ramsey, 2021) und der IntCal20-Atmosphärenkurve (Reimer et al. 2020)).

mitgegeben. Oftmals hatten sie eine Abdeckung durch eine Schale oder ein Gefäßunterteil (Schmidt 1993, 122f.). Die Leichenbrände der Urnen (3a, 4, 5b, 6b, 7 und 8a) wurden analysiert und datiert. Sie alle datieren in einen ähnlichen Zeitraum vom Beginn bzw. der Mitte der Periode IV bis an den Übergang von Periode IV bis V bzw. bis zur Periode V (Abb. 89).⁸³⁰

Die Datierungen passen damit zu der verstärkten Bestattungsaktivität der Periode IV bis V wie sie auch vom Fundplatz von Mang de Bargen zu erfassen ist. Die Urne 8a enthielt Leichenbrand eines subadulten Individuums vom Fundplatz, das der anthropologischen Untersuchung nach zwischen zehn und zwölf Jahren alt wurde. Bei dem Individuum der Urne 3a handelte es sich um eine adulte, eher weibliche Person, die 18 bis 25 Jahre alt wurde und einen Verdacht auf eine Wachstumsstörung an den Wirbelkörpern aufwies (Morbus Scheuermann). Etwas älter war das auch eher weibliche Individuum aus der Urne 4, das ein Alter zwischen 25 und 34 Jahren erreicht hatte. Ein vergleichbares Alter von zwischen 24 und 40 Jahren wies das eher männliche Individuum aus der Urne 7 auf. Letztere enthielt außerdem eine Beimengung eines Knochens mit einer offenen Epiphyse, die auf ein jüngeres Lebewesen hinweisen könnte, jedoch ist unklar, ob es sich um einen menschlichen oder tierischen Knochen handelt. Die Urnen 5b und 6b beinhalten eine Frau (Urne 5b) und einen Mann (6b), die beiden zwischen 40 bzw. 45 und 60 Jahre alt wurden. Die Knochen des Mannes aus Urne 5b wiesen Verschleißerscheinungen an der Wirbelsäule (*Spondylosis def.*) und Skoliose auf, deren Ursache nicht geklärt werden können (Vgl. Anhang VII.1). Diese Altersverteilung steht im Gegensatz zur oben genannten These des Vorzugs von Kindern und Jugendlichen im Rahmen der Grabhügelnachbestattungen und zeigt mögliche Unterschiede zwischen den verschiedenen Bestattungsgemeinschaften. Bis auf die Urne 8a sind für alle anderen Urnen aus Wahlstedt Beimengungen von Tierknochen möglich. Dabei kann es sich sowohl um Speisebeigaben, als auch um Reste von Bestattungszeremonien handeln. Das unweit davon entfernte Grabhügelgrab (LA 64) in **Leezen** (Kr. Segeberg) enthielt eine zentrale Brandbestattung in einem Baumsarg, der auf einem Bodenpflaster lag und von einer Steinpackung bedeckt war. Die Hügelschüttung umfasste einen Durchmesser von 11 Metern. Das Grab war reich mit einem Griffzungenschwert, zwei (geschmolzenen) Bronzefragmenten, Bruchstücken einer Fibel, einem kleinen Doppelknopf und einem fragmentarischen

830 Urne 3a: KIA-54118:2799±26uncalBP(1015-846calBC); Urne 4: KIA-54119:2772±26uncalBP(996-834calBC); Urne 5b: KIA-54120:2806±27uncalBP(1046-856calBC); Urne 6b: KIA-54121:2816±26uncalBP(1047-903calBC); Urne 7: KIA-54122:2807±27uncalBP(1047-858calBC); Urne 8a: KIA-54123:2793±25uncalBP(1011-845calBC).

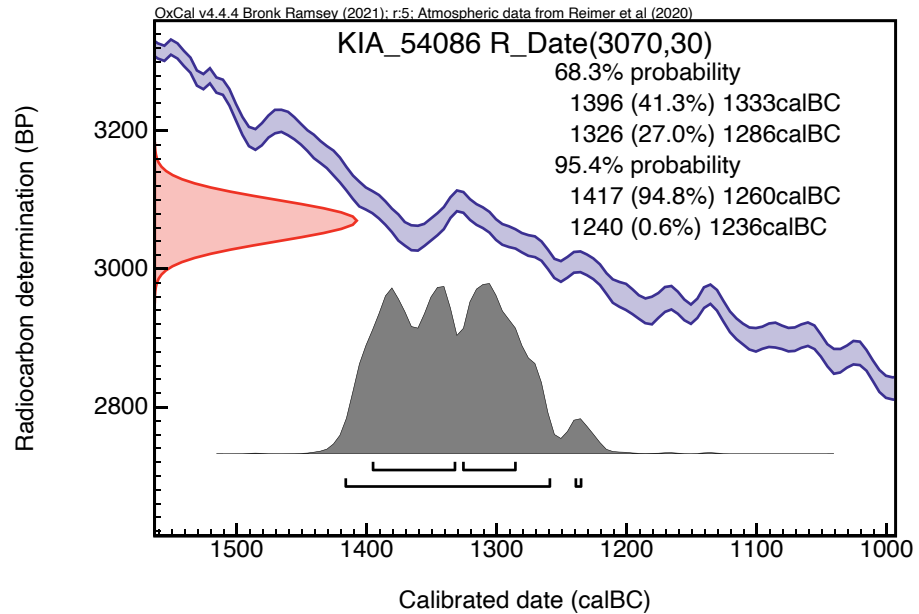


Abbildung 90: Single plot zur kalibrierten Datierung des Zentralgrabes des LA 64 in Leezen (Kr. Segeberg) (Radiokohlenstoff-Bestimmungen, kalibriert mit OxCal. v4.4 (Bronk Ramsey, 2021) und der IntCal20-Atmosphärenkurve (Reimer et al. 2020)).

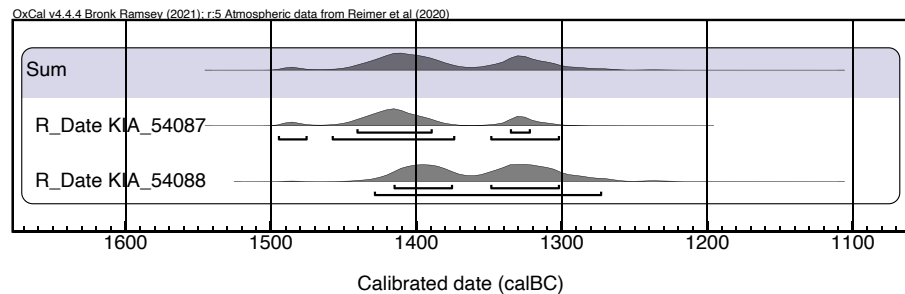


Abbildung 91: Multiple plot mit Summenkalibration zu den kalibrierten Datierungen der Gräber 2 und 6 des LA 13 in Nützen (Kr. Segeberg) (Radiokohlenstoff-Bestimmungen, kalibriert mit OxCal. v4.4 (Bronk Ramsey, 2021) und der IntCal20-Atmosphärenkurve (Reimer et al. 2020)).

Rasiermesser ausgestattet (Aner *et al.* 2011, 115f.). Die anthropologische Untersuchung des Leichenbrandes ergab, dass es sich bei dem Toten um eine möglicherweise männliche Person im Alter zwischen 25 und 40 Jahren handelte. Des Weiteren wurden Beimengungen von Tierknochen festgestellt (Vgl. Anhang VII.1). Eine Probe aus dem Grab lässt den Befund zwischen 1417 und 1236 calBC und damit von der Mitte der Periode II bis zum Beginn der Periode III datieren (Abb. 90).⁸³¹ Die Grabdatierung ermöglicht damit die Einordnung in die Phase des Bestattungswandels, der bereits vom Wandel der Totenbehandlung, jedoch noch nicht vom Wandel des Grabbaus geprägt war.⁸³²

Zwei Leichenbrände wurden aus den Gräbern 2 (Grab B) und 6 (Grab VI) des Grabhügels LA 13 in **Nützen** analysiert und beprobt. Bei Grab 2 (B) handelte es sich den Ausgräbern nach um ein nachbestattetes Doppelgrab von einem Erwachsenen und einem jungen Kind, die in einem Baumsarg auf einem Bodenpflaster in einer Steinpackung bestattet wurden. Ein durchlochter Tierzahn, ein Messer, eine Fibel, Spiralringe 1-2 aus doppeltem Golddraht, ein Fingerring aus einem Bronzeband, mindestens fünf Spiralröllchen, eine blaue flachrunde Glasperle und ein zerbrochener Niet wurden aus dem Baumsarg geborgen und stellen damit ein reiches Grab dar (Aner *et al.* 2011, 120f.). Die anthropologische Untersuchung ergab für dieses Grab lediglich die Überreste eines Individuums, das in einem Alter zwischen 25 und 60 Jahren verstarb. Knochen eines jungen Kindes ließen sich für die Bestattung hingegen nicht nachweisen, jedoch enthielt der Leichenbrand eine Notiz

831 KIA-54086:3070±30uncalBP(1417-1236calBC).

832 KIA-54086: 3070±30 BP (1415-1236 calBC (95.4%); 1415-1260 calBC (94.7%); 1240-1236 calBC (0.7%)).

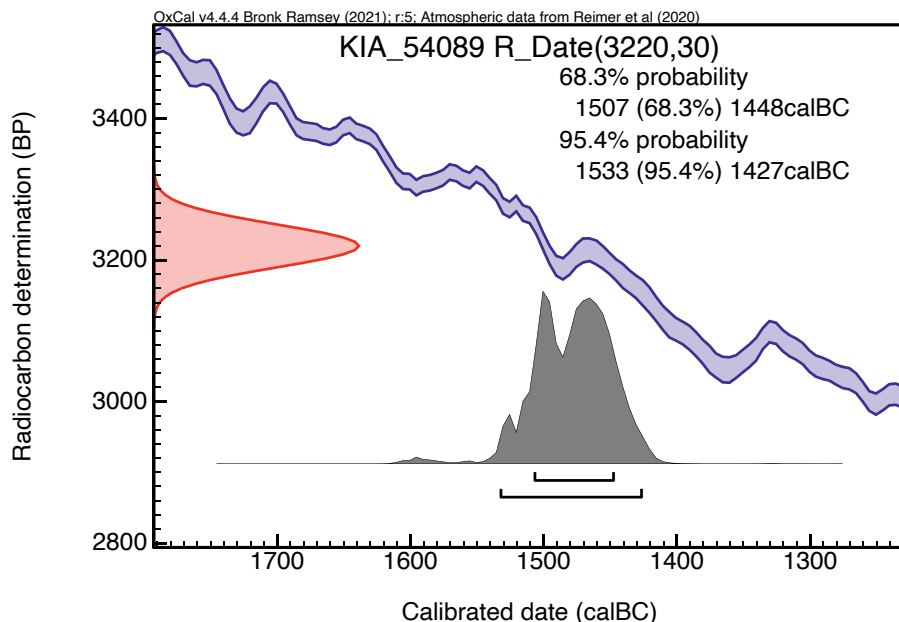


Abbildung 92: Single plot zur kalibrierten Datierung des Grabes 4/D des LA 29 in Albersdorf (Kr. Dithmarschen) (Radiokohlenstoff-Bestimmungen, kalibriert mit OxCal. v4.4 (Bronk Ramsey, 2021) und der IntCal20-Atmosphärenkurve (Reimer et al. 2020)).

über die Entnahme von Material, sodass nicht geklärt werden kann, ob die Kinderknochen entnommen wurden. Die Datierung einer Leichenbrandprobe aus dem Grab lässt eine Datierung zwischen 1429 und 1274 calBC und damit von der Mitte der Periode II bis zum Beginn der Periode III zu (Abb. 91).⁸³³

Der zweite Leichenbrand stammt aus der Nachbestattung Nr. 6 (VI). Die verbrannten Knochen eines eher männlichen Individuums, das 25 bis 60 Jahre alt wurde, wurden in einer Grabgrube niedergelegt und mit einer Steinpackung abgedeckt. Beigaben wurden aus dem Grab keine geborgen (Aner et al. 2011, 120f.; Storch 2023, 28). Das Grab datiert zwischen 1495 und 1303 calBC und damit vom Beginn der Periode II bis zum Übergang von Periode II bis III.⁸³⁴ Der Bestattungswandel hat sich bei diesen beiden Gräbern ebenfalls zunächst nur in der Totenbehandlung und nicht im Grabbau durchgesetzt. Des Weiteren wurden zwei Leichenbrände (4/D, 3/E) aus dem Grabhügel LA 29 in **Albersdorf** analysiert. Der zweiphasige Grabhügel hatte einen Durchmesser von 29 Metern bei einer Höhe von 1,20 Metern und enthielt insgesamt fünf Grabanlagen. Bei Grab 4/D handelt es sich um eine beigabenlose Leichenbrandschüttung eines 18- bis 33-jährigen Individuums innerhalb einer ovalen Grabmulde im Kernhügel (Storch 2023, 23). Die Datierung zwischen 1533 und 1423 calBC und damit vom Ende der Periode I bis zur Mitte der Periode II⁸³⁵ überrascht, da der Bestattungswandel damit für dieses Grab äußerst früh erscheint (Abb. 92).

Diese frühe Datierung ist womöglich mit der küstennahen Lage des Grabhügels verbunden, der einen kulturellen Austausch und eine mögliche ‚Notwendigkeit‘ einer Brandbestattung förderte. Handelt es sich bei dem Individuum möglicherweise um eine eingewandte Person, die den neuen Bestattungsbrauch mit sich brachte? Eine geplante Strontium-Isotopen-Analyse an einem verbrannten Knochen des Grabes könnte Aufschluss dazu geben. Das zweite beprobte Grab (3/E) bestand aus einer kesselförmig im Mantel des Kernhügels ausgehobenen ovalen Grabgrube von 0,60 m Tiefe und 0,55 m im Durchmesser, die außer verbrannten Knochen die Fragmente einer Kegelhalssurne und eines Feuerschlagsteins aus Flint enthielt und das Grab damit als gestörtes Urnengrab identifizieren lässt (Aner et al. 1991, 5f.). Bei dem Toten handelt es sich wahrscheinlich um einen Mann, der ein Alter zwischen 40 bis über 60 Jahren

833 Grab 2: KIA-54088:3095±30uncalBP(1429-1274calBC).

834 Grab 6: KIA-54087:3133±27uncalBP(1495-1303calBC).

835 KIA-54089:3220±30uncalBP(1533-1427calBC).

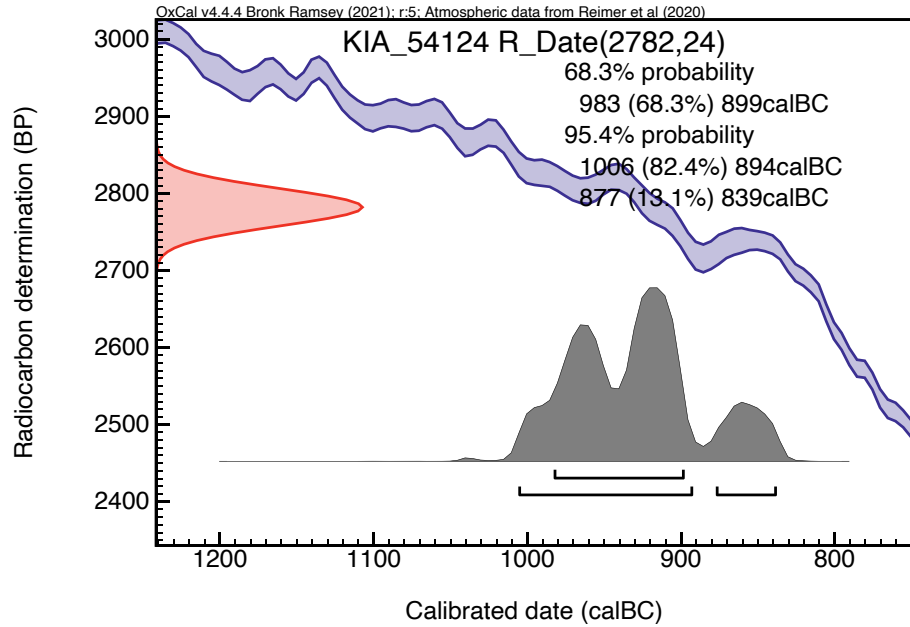


Abbildung 93: Single plot zur kalibrierten Datierung des Grabes 3/E aus Albersdorf (Kr. Dithmarschen) (Radiokohlenstoff-Bestimmungen, kalibriert mit OxCal. v4.4 (Bronk Ramsey, 2021) und der IntCal20-Atmosphärenkurve (Reimer et al. 2020)).

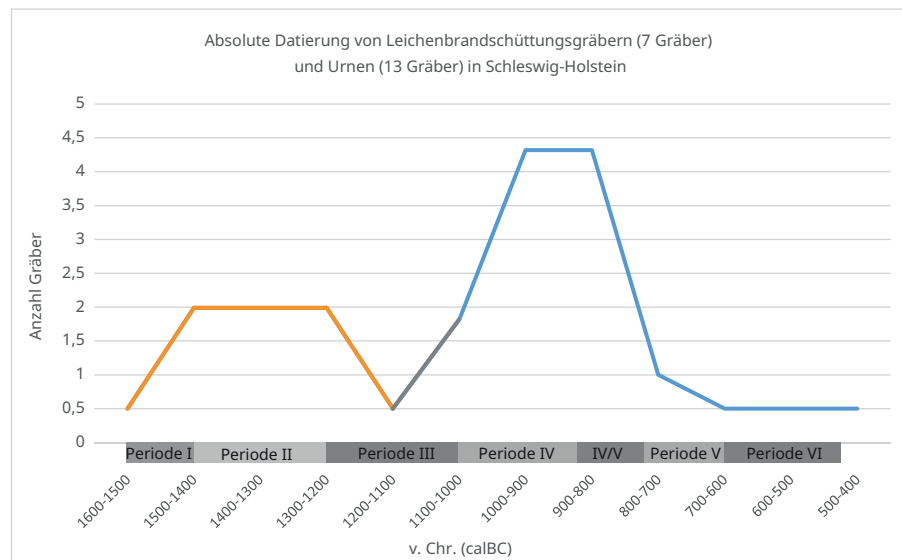


Abbildung 94: Absolute Datierung ausgewählter Brandgräber in Schleswig-Holstein mit Leichenbrandschüttungen in Baumsärgen (orange) gegenüber Urnenbestattungen (blau).

erreichte. Die Verbrennung der Knochen aus dem Grab sind dem anthropologischen Gutachten zufolge als unvollständig zu charakterisieren (Storch 2023, 23). Der Befund kann von der Mitte der Periode IV bis an den Übergang der Perioden IV und V datiert werden⁸³⁶ und lässt sich damit der Phase erhöhter Bestattungsaktivität, wie sie auch vom Fundplatz von Mang de Barga bekannt ist, einordnen (Abb. 93).

Die Datierungen von diesen Vergleichsfundplätzen zeigen einen Anstieg von Leichenbrandschüttungsgräbern mit der Periode II, die in der Periode III minimal abnehmen. Aus Albersdorf konnte die bisher früheste Datierung für ein Brandgrab in Schleswig-Holstein, das den Bestattungswandel anzeigt, erfasst werden (Periode I-II). Alle anderen Leichenbrandschüttungen wurden an den Übergang von der Periode II bis III datiert und sie wurden fast alle in Baumsärgen mit Steinkonstruktionen vorgefunden, die damit der älterbronzezeitlichen Grabbau-Konvention entsprachen, dafür aber hinsichtlich der Totenbehandlung bereits einen Wandel

836 KIA-54124:±24uncalBP(1006-839calBC).

aufzeigten. Für den Übergang von Periode III bis IV sind keine Datierungen verfügbar, die den Übergang zur Bestattungskonvention in Urnen aufzeigen könnten (siehe graue Verbindungslinie in Abb. 94). Vom Fundplatz von Mang de Barga ist jedoch bekannt, dass die Urnenbestattungen bereits ab der Mitte bzw. dem Ende der Periode III ihren Anfang nahmen und damit parallel zur Nutzung von Leichenbrandschüttungen vorkamen (Vgl. Kap. 8.6.2).

Die Nutzung von Urnen findet den Datierungen in Abbildung 94 zufolge ihr Maximum in Periode IV und am Übergang von Periode IV zu V. Die rapide Abnahme der Kurve mit der Periode V spiegelt sich so auch in den Datierungen vom Mang de Barga-Gräberfeld wider.

Der Bestattungswandel vollzog sich demnach im regionalen Vergleich relativ ähnlich. Lediglich das Grab in Albersdorf datiert früher. Die allgemein zunehmende Bestattungsaktivität in der Periode IV und IV-V bestätigte sich durch einen Großteil der hier dargestellten Vergleichsfundplätze und dem Fundplatz von Mang de Barga. Die anthropologischen Analysen wurden durch Knochenmaterial aus zwei Gräbern des Grabhügels LA 41 in Gönnebek ergänzt (Vgl. Anhang VII.1). Die Datierungsproben der Leichenbrände ergaben jedoch keinerlei datierbares Material, da die Proben nicht kremiert waren und die Kompakta somit unverbrannt ist, obwohl sie als Leichenbrände im Archiv geführt wurden. Eine der Proben stammt aus Grab A⁸³⁷ – einer Bestattung im Baumsarg – und eine weitere aus Grab B⁸³⁸ – einer Bestattung in einem Steinpackungsgrab (Aner *et al.* 2011, 87ff.). Während der anthropologischen Untersuchungen entpuppte sich Grab B als Mehrfachbestattung mit mindestens drei Individuen, von denen eine als männlich im Alter zwischen 50 bis 60 Jahren und zwei als möglicherweise weibliche subadulte Individuen identifiziert wurden. Teilweise zeigten die Knochen Anhaftungen von Bronze und Textilresten. Das Grab D enthielt eine Doppelbestattung mit unverbranntem Skelettmaterial eines Mannes, der über 26 Jahre alt gewesen sein muss, sowie einer möglicherweise weiblichen Person, die zum Zeitpunkt des Todes zwischen 18 und 60 Jahren alt war. Des Weiteren enthielt dieses Grab die Beimengung eines tierischen Knochens (Vgl. Anhang VII.1). Von allen Fundorten sind den Überresten der Toten häufig Tierknochen beigemischt worden. Der Verdacht einer Fleischbeigabe, die den Verstorbenen mit auf den Scheiterhaufen gelegt wurde, ist naheliegend. Es kann sich auch um Reste einer gemeinschaftlichen Aktivität am Verbrennungsplatz gehandelt haben. Pathologische Auffälligkeiten an den Knochen wurden ebenfalls nicht selten diagnostiziert. Dabei handelt es sich jedoch oft um Erscheinungen am Knochen, deren Ursache nicht genau festgestellt werden kann, wie zum Beispiel mögliche Entzündungen, Verschleißerscheinungen oder auch mögliche Stressmarker (z.B. Hinweise auf Mangelerscheinungen). Ein Muster kann dabei nicht festgestellt werden. Auch handelt es sich nicht um eindeutige Todesursachen. Dementsprechend konnten auch keine Krankheiten an den Knochen festgestellt werden, die eine Übertragung erwägen lassen würden und somit eine Verbrennung des Körpers als Notwendigkeit interpretiert hätten lassen können. Bakterien oder Parasiten können bisher nur mithilfe von aDNA-Analysen festgestellt werden, die für das vorliegende Material noch nicht durchgeführt wurden. Für die Bronzezeit ist jedoch im Allgemeinen ein höheres Risiko für Infektionskrankheiten und Epidemien belegt, das wahrscheinlich mit einer wachsenden Populationsdichte verbunden ist (Fuchs *et al.* 2019, 5f.). Insgesamt lässt sich der Fundplatz von Mang de Barga in genannten Punkten in die lokalen und regionalen Entwicklungen von Bestattungsplätzen der Bronzezeit in Schleswig-Holstein einfügen. Sowohl der Bestattungswandel, als auch die lage- und ausstattungsbestimmte Altersverteilung an Grabhügelfundplätzen ist dabei besonders auffällig, sodass von gemeinsamen Phänomenen und Entwicklungen ausgegangen werden kann.

837 Im Bericht von Storch ist es als Grab B gekennzeichnet.

838 Im Bericht von Storch ist es als Grab D gekennzeichnet.

8.11. Transformationsprozesse am Fundplatz von Mang de Barga

Ausgangspunkt dieser Arbeit bildeten die transformativen Entwicklungen während der Bronzezeit in Zentraleuropa, die sich in Siedlungsrückgängen um 1700/1600 v. Chr. (v. a. in Brandenburg und Polen) und dem Bestattungswandel um 1300/1200 v. Chr. im Zuge der Verbreitung des ‚Urnenfelderphänomens‘ äußerten. Welche Entwicklung lässt sich nun auf lokaler Ebene für den Fundplatz von Mang de Barga feststellen? Zur Beantwortung dieser Frage wurden in den vorangegangenen Kapiteln die Fundplatznutzung auf Basis archäologischer Funde und Befunde erfasst. Datierungen, anthropologische, archäobotanische und palynologische Analysen zum vor Ort geborgenen Material ermöglichten weitere Aussagen, die es nun zu einer Gesamtentwicklung zusammenzuführen gilt, um plausible Entwicklungen der bronzezeitlichen Gesellschaft und der sie umgebenden Umwelt zu rekonstruieren, sodass ein Vergleich zu den regionalen und überregionalen Prozessen auf der Mesoebene möglich wird. Im Zuge dessen wurden sieben Zeithorizonte der Veränderung mit mehr oder weniger deutlichem Transformationscharakter während der Bronzezeit erfasst (siehe Abb. 95). Der Fokus liegt dabei auf der Bronzezeit. Die Definition der einzelnen Phasen beruht auf der Summe archäologischer Daten und deren Analyseergebnisse. Für die Feststellung einer Phase müssen mindestens zwei Elemente eine zeitgleiche Veränderung aufweisen. Je mehr Elemente sich zu einem gemeinsamen Zeitpunkt verändern, desto stärker wird das Vorhandensein, die Intensität und die eventuelle Dringlichkeit einer Transformation erkennbar. Die Markierung der folgenden Transformationsphasen in Abbildung 95 dürfen dabei nicht als exakte Zeitangabe, sondern als Anhaltspunkt für eine Veränderung zu einer Zeit aufgefasst werden, die auch ein wenig früher oder später bzw. über einen Zeitpunkt entstanden worden sein kann.

8.11.1. Übergang vom Spätneolithikum zur Frühbronzezeit: Wandel der materiellen Kultur

Die erste Phase ist um 1900/1800 v. Chr. ersichtlich, indem die Bestattungsaktivität am Fundplatz am Übergang vom Spätneolithikum zur Periode I auf ein Minimum zurückgeht. Dieser Übergang ist am Fundplatz nicht sonderlich ausgeprägt, sodass eine auf spätneolithisch bestehenden Strukturen basierende Gesellschaft angenommen werden kann, wie auch Vandkilde für Dänemark feststellte (Vandkilde 1996, 287ff.). Zugleich ist ein leichter Wandel in den Beigaben zu bemerken, indem nun auch die Tracht Teil der Grabausstattung wird. Grundsätzlich sind aber keine starken Veränderungen zu diesem Zeitpunkt erfassbar. Es scheint mit dem anfänglichen Gebrauch der Bronze, die zu diesem Zeitpunkt in ganz Europa auftrat (Fokkens 2009, 87), keinen erheblichen Wandlungsprozess auf lokaler Ebene zu geben. Wahrscheinlich handelt es sich um einen langsamen Prozess, der neue Kommunikations- und Austauschnetzwerke entstehen lässt und nach und nach am Fundplatz, durch äußere Einflüsse bedingte Veränderungen in der materiellen Kultur und damit auch in der Beigabenausstattung zwischen 1800 und 1700 v. Chr. zulässt. Zugleich ist eine weite Verbreitung baltischer Bernsteinfunde in ganz Europa messbar, die eine Theorie des Austauschs von Bernstein und Bronze bekräftigen (Shennan 1982, 33ff.). In den Gräbern von Mang de Barga, die sich an den Austauschwegen befunden haben könnten, ist dementsprechend ein erheblicher Mangel an Bernsteinfunden erkennbar. Lediglich in einem Grab der Perioden I-II ist eine Bernsteinperle bekannt. In Ergänzung dazu nimmt die Komplexität des Grabbaus ab. Die aufwendigen Steinstrukturen des Spätneolithikums verlieren an Bedeutung. Die Pollendaten weisen in dieser Phase eine geringe bis gemäßigte menschliche Einflussnahme auf die

Umwelt auf. Diese Phase ist demzufolge ein Moment der gemächlich wachsenden Veränderung, jedoch in einem so begrenzten Maß, dass sie nur schwer zu erfassen ist. Anhand der Materialverteilung können vorherrschende soziale Strukturen bzw. Stratifizierungen vermutet werden. Insbesondere der Fischschwanzdolch aus einem der spätneolithischen Gräber, der eine Gussnaht und damit einen Bronzedolch imitiert, deutet darauf hin, dass technologisches ‚Knowhow‘ und Material eine wichtige soziale Rolle spielten. Dabei muss eine solche Nachahmung nicht unbedingt den Wunsch dargestellt haben, das Objekt in Bronze zu besitzen. Vielmehr mögen der Aspekt des neuen Objekttyps ‚Dolch‘ und seine sozialen Bedeutungen (z. B. Identifikation mit sozialen Gruppen) im Vordergrund gestanden haben (Frieman 2012, 454ff.). Für den Zeitraum **zwischen 1800 und 1600/1500 v. Chr.** kann aufgrund fehlender bzw. zu ungenauer Datierungen keine genaue Aussage gemacht werden. Wie bereits im Kapitel zur Chronologie des Fundplatzes angesprochen, weisen absolut datierte Gräber darauf hin, dass es vor allem um 1700/1600 v. Chr. am Fundplatz eine Lücke der Bestattungsaktivität gegeben hat. Da jedoch einige nicht-datierbare Gräber dabei ausgeschlossen wurden, die einen möglichen Übergang zeigen könnten, ist eine Bewertung dieser Phase schwierig. Aufgrund des Vorwissens, dass es zu diesem Zeitpunkt in Mitteleuropa zu krisenbedingten Siedlungsabbrüchen kam, liegt eine entsprechende Annahme auch für den Fundplatz nahe. Der mit der zweiten Transformationsphase erfolgende Anstieg der Bestattungsaktivität zeigt zudem indirekt, dass es zuvor weniger Aktivitäten am Fundplatz gab.

8.11.2. Periode I zu Periode II: Wandel der materiellen Kultur und erhöhte Bestattungsintensität

Die zweite Phase, die Veränderungen am Fundplatz feststellen lässt, konnte um 1500 v. Chr. angesetzt werden. Zum einen ist um diese Zeit eine Zunahme der Bestattungsaktivität bemerkbar und zum anderen ein erneuter Wandel in der Beigabenausstattung, indem Waffen das Spektrum ergänzen. Damit ist ein Hinweis auf eine mögliche Hierarchisierung und der Herausbildung einer sozialen Elite (auch oft als ‚Kriegerelite‘ bezeichnet) vor dem Hintergrund der Entwicklungen im Nordischen Kreis am Fundplatz möglich (Vandkilde 1996, 288ff.; Earle 2002, 363). Dabei muss es sich nicht unbedingt um kriegerische Identitäten, sondern auch um bestimmte soziale Identitätszuweisungen gehandelt haben (Vandkilde 2006, 69). Eine soziale Stratifizierung kann auch die Folge einer anwachsenden Siedlungsdichte sein, die für den Fundplatz möglicherweise anhand der anwachsenden Bestattungsaktivität abzulesen ist. Für Zentraleuropa und Südsandinavien wird zwischen 2000 und 1500 v. Chr. eine allgemein anwachsende Bevölkerungsdichte angenommen (Müller 2013a, 500). Soziale Stratifizierungen können im Rahmen von Austauschnetzwerken und der Errichtung von Grabhügeln auch eine Einflussnahme durch häufig diskutierte sogenannte ‚Chiefdoms‘ vermuten lassen (Jensen 1982; Kristiansen 1987.; Kristiansen 1991, v. a. 27ff.; Earle 1991; Earle 2002, 294ff.), um zum Beispiel die Koordinierung des Grabhügelbaus und die Zugangsrechte für die Bestattung in jenen Monumenten zu regulieren. Die Kooperation ist dabei von hoher Bedeutung für die Wirtschaftlichkeit und Identitätsbildung einer Gruppe, die jedoch an das Vorhandensein einer mehr oder weniger zwanglosen oder auch erzwungenen Autorität mit rituellen Strukturen gebunden sein konnte (Stanish 2017, 97ff.). Inwieweit unter den Individuen einer kooperativen Tätigkeit hierarchische Strukturen bestanden haben, kann nur gemutmaßt werden. Jedoch lässt der Grabhügelbau architektonische Planung und Kontrolle, logistische und technische Organisationen im Rahmen einer Arbeitsteilung (und eventueller Spezialisierung), sowie technische Erfahrungen erkennen, wie sie am Grabhügel von Skelhøj zum Beispiel anhand von bestimmten Sodenlegungsstrukturen erfasst werden konnten (Vgl. Holst und Rasmussen 2012, 260ff.). In Ergänzung zu der Zunahme

von Grabhügeln werden Bronzeobjekte im Beigabenspektrum insgesamt häufiger angetroffen. Auch eine höhere Beigabenvielfalt und -menge ist erkennbar. Dies ist nicht nur für den Fundplatz von Mang de Bargaen offenkundig, sondern auch für die herangezogenen Vergleichsfundplätze, sodass ein Ausbau von Austauschnetzwerken naheliegt. Dagegen nimmt die oben genannte Komplexität des Grabbaus immer weiter ab, indem vor allem die Steinkonstruktionen nun weniger vielschichtig sind. Begleitet wird diese Phase von einer geringeren menschlichen Einflussnahme auf die Umwelt in der Pollenzusammensetzung. Zu diesem Zeitpunkt bzw. bereits einige Zeit zuvor um 1600 v. Chr. und in den folgenden 150 Jahren sind im Gebiet der nordischen Bronzezeit und der Aunjetitzer Kultur außerdem teilweise Siedlungslücken vorzufinden (v. a. nachweislich in Großspolen und Brandenburg), die sich jedoch am Fundplatz von Mang de Bargaen aufgrund fehlender Datierungen nicht deutlich erkennen lassen. Der Anstieg von Gräbern und die Veränderungen im Fundspektrum ab 1500 v. Chr. weisen jedoch indirekt darauf hin, dass zuvor weniger Aktivität am Fundplatz vorherrschte. Die Nutzung von Dinkel ab 1500 v. Chr. kann zudem als Reaktion auf eine Krise gedeutet werden, da Dinkel sehr beständig sowie ertrags- und proteinreich ist (Effenberger 2018, 97). Die Einführung der Wohnstallhäuser zu diesem Zeitpunkt in Norddeutschland (siehe unten) unterstreichen eine subsistierte Umstrukturierung in der Gesellschaft. In Mang de Bargaen ist dieser Moment von einigen Veränderungen geprägt, die lediglich lokale Umgestaltungen in der Gesellschaft bedeuten könnten. Von einer einschneidenden Transformation kann – zumindest für den Fundplatz – nur bedingt gesprochen werden, jedoch zeigt die Zunahme an Grabhügeln, die zugleich eine hohe Investition an Arbeit und Ressourcen bedeutet (siehe unten), dass es sich bei den Monumenten zunehmend um zentrale Bestandteile des sozialen, wirtschaftlichen und vielleicht auch politischen Lebens gehandelt haben muss (Holst *et al.* 2013, 1-32) und damit Strukturierungen in Kooperationsverhältnissen bedingten.

8.11.3. Periode II zu Periode III: Wandel der Totenbehandlung

Mit der dritten Phase kann ein Moment um 1300 v. Chr. festgestellt werden, der von starken Veränderungen geprägt ist. Der wohl prägnanteste Wandel ist mit dem Übergang von der Körper- zur Brandbestattung festzustellen. Dabei handelt es sich zunächst ausschließlich um einen Wandel der Totenbehandlung und nicht des Grabbaus. Das bedeutet, dass der verbrannte Tote noch immer zumeist in einem Baumsarg bestattet wurde. Die früheste und eindeutige Brandbestattung (eindeutig bedeutet dabei, dass Leichenbrand gefunden wurde) in einem Baumsarg am Fundplatz wurde im Grabhügel LA 57 gefunden und datiert damit den Moment des Wandels von der Mitte bis zum Ende der Periode II bzw. dem Beginn der Periode III zwischen 1438 und 1293 calBC.⁸³⁹ Dieses Grab markiert damit nicht nur den dortigen Beginn der Brandbestattungen, sondern auch das Ende der Körperbestattungen und der monumentalen Grabhügel, da es den letzten Grabhügel des Fundplatzes darstellt. Zugleich ist es das letzte Grab, das noch einen Baumsarg enthält, jedoch bereits die Verbrennung des Toten ausübte. Im Rahmen der lokalen und regionalen Einbettung des Fundplatzes konnte dieser Moment ebenfalls mehrheitlich zu dieser Zeit erfasst werden (Vgl. Kap. 8.10). Lediglich in dem beprobten Grabhügel von Albersdorf (LA 29) konnte ein Brandgrab bereits zwischen die Perioden I und II datiert werden. Pioniere der Brandbestattung treten demnach erstmals um die Perioden I/II auf, während die Etablierung in Perioden II/III folgt. Das Grab von LA 57 datiert demnach in die Phase in der die Brandbestattungssitte bereits etabliert ist. Die Aufgabe der

839 KIA-53284:3109±25uncalBP(1438-1293calBC).

Körperbestattung scheint am Fundplatz plötzlich erfolgt zu sein. Hofmann geht für die Entwicklungen im Elbe-Weser-Dreieck auch von einer ‚*abrupten Aufgabe der Körperbestattung*‘ aus (Hofmann 2008, 449). Bei dem Wandel von der Körper- zur Brandbestattung handelt es sich um ein Phänomen, das sich zwischen dem 13./12. Jahrhundert und dem 9./8. Jahrhundert (Bz D bis Ha A2) vor allem in West-, Südost- und Mitteleuropa ausbreitete (Falkenstein 2017b, 77). Als Auslöser wird die nach ihrer Bestattungssitte benannte ‚*Urnenfelderkultur*‘ genannt (Müller 2010, 549f.). Aufgrund ihrer diffusen Verbreitung, ist es möglich, dass es sich dabei weniger um eine einflussreiche Gesellschaft, sondern eher um die Verbreitung einer neuen Weltanschauung handelt, deren Entstehung wiederum in unterschiedlichen Gründen liegen kann. Diese könnten rein ideologisch und/oder sozial bedingt oder aber zur Vorbeugung von der Übertragung von Krankheiten wie dem bronzezeitlichen Hepatitis B oder der Pest gewesen sein (Vgl. Muhlemann *et al.* 2018.; Rasmussen *et al.* 2015, 571–582). Ebenso kann es sich um eine Reaktion auf eine Klimaveränderung gehandelt haben, deren Folgen eine Subsistenzkrise verursacht haben könnten (Falkenstein 1997, 549ff.). Die gleichzeitige Verbreitung neuer Symbole, deren Bedeutung wir heute zum Beispiel auf kosmologisches Wissen zurückführen (z. B. Goldhüte, Sonnenbarken, konzentrische Symbole), unterstreicht den ideologischen Charakter dieses Urnenfelder-Phänomens, das je nach Region jedoch eine teils abweichende Symbolik aufweist (z. B. Süden: Vogel; Norden: Pferd; Osten: Hörner) (Springer 2003, 19; Kosack 1954, 15ff.). Hofmann zieht außerdem für die Befunde im Elbe-Weser-Dreieck anhand von Importfunden aus Brandgräbern in Betracht, dass Zugewanderte als Pioniere für die Einführung der Brandbestattungssitte angesehen werden könnten (Hofmann 2008, 449). In diesem Zusammenhang wäre es interessant, mithilfe von Strontium-Isotopen-Analysen an den verbrannten Knochen die Herkunft von Individuen dieser frühen Brandbestattungsgräber (Bsp. Albersdorf, LA 29) zu beleuchten. Wie zum Beispiel die Analysen von Cavazzuti *et al.* im Jahr 2019 zeigten, ist das Strontium-Isotop beständig gegenüber Hitze und erhält sich im verbrannten Knochen nahezu besser als im Zahnschmelz (Cavazzuti *et al.* 2019, 3). Ökonomische Gründe können für den Wandel – zumindest für bisher vorgestellte Fundplätze in Schleswig-Holstein – zunächst ausgeschlossen werden, da die Entwicklungen erst allein die Totenbehandlung und nicht den Grabbau betrafen, sodass von zwei zunächst separaten Prozessen ausgegangen werden sollte. Aus Süddeutschland sind dagegen sogenannte Brandflächengräber bekannt, die die Überreste des Verbrennungsvorgangs der Leiche und den über dem Verbrennungsplatz aufgeschütteten Grabhügel erkennen lassen und somit ebenfalls eine Vorstufe zu den folgenden Urnengräbern und Leichenbrandschüttungen bilden (Falkenstein 2017b, 87). Möglicherweise ist von einer Diffusion in der Verbreitung der neuen Totenbehandlungssitte auszugehen. Insbesondere die frühe Datierung im Grabhügel von Albersdorf (LA 29) weist darauf hin, dass es möglicherweise einen anderen Ursprung vom Norden (Skandinavien) ausgehend gegeben haben könnte, der v. a. die Entwicklungen im Nordischen Kreis regulierte, denn die Brandbestattungssitte erschien in Skandinavien spätestens in der Periode II (Randsborg 1968). Dabei kann es sich auch um den gleichen Auslöser, der den Bestattungswandel im Süden bedingte, handeln (Krankheiten, Ideologien usw.). Die weitläufige und schnelle Verbreitung weist auf eine abrupte Transformation hin, die wahrscheinlich auch mit dem anwachsenden Ausbau von Austauschnetzwerken zur selben Zeit verbunden ist (Fokkens 1997, 360f.).

Transformationsprozesse am Fundplatz von Mang de Bargaen

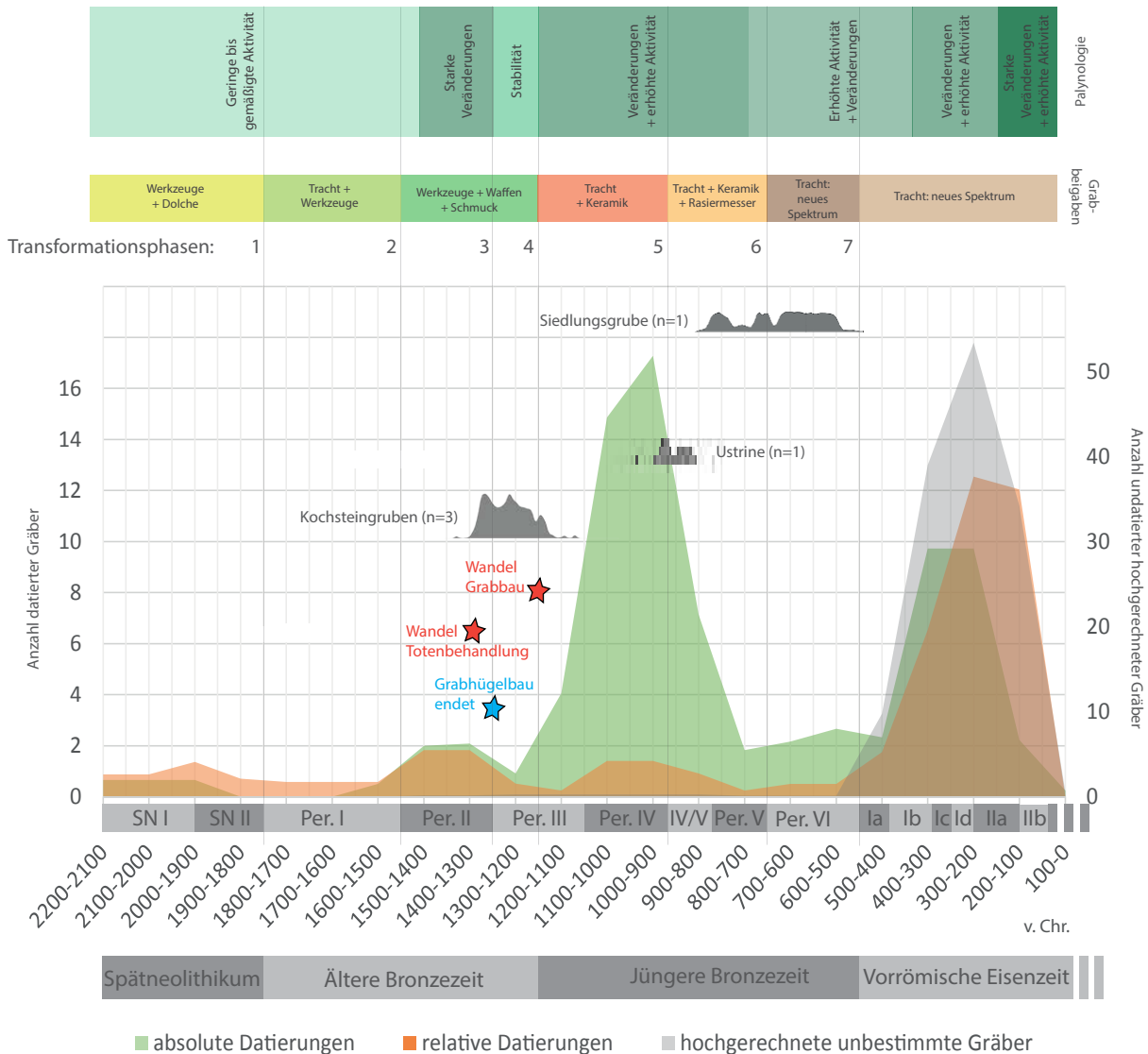


Abbildung 95: Bronzezeitliche Transformationsprozesse am Fundplatz von Mang de Bargaen.

Eine Veränderung im Totenritual⁸⁴⁰ bedeutet dabei, dass sich die Strukturen eines existenziellen Lebensbereiches verändern, an denen zuvor stets festgehalten worden war. Dabei kann eine Veränderung der Ideologie jedoch auch dahinter verborgene Machtverhältnisse innerhalb der Gesellschaft widerspiegeln, die eine neue Weltanschauung nutzen, um gesellschaftliche Strukturen zu manipulieren (Parker Pearson 1982, 99-113). Das gleichzeitige Auftreten von Körper- und Brandbestattung im selben Befund (z. B. Grevenkrug, LA 2, Vgl. Kap. 8.10.2) zeigt jedoch, dass sich beide Varianten nicht ausgeschlossen haben müssen und es womöglich keine autoritäre Entscheidung über die Wahl der Totenbehandlung

840 Unter einem Ritual wird dabei „eine Reihenfolge stilisierten sozialen Verhaltens, das von normaler Interaktion durch seine besonderen Fähigkeiten unterschieden werden kann, die es ermöglichen, die Aufmerksamkeit seiner Zuschauer – seiner Gemeinde wie auch eines breiten Publikums – auf sich zu ziehen, und welche die Zuschauer dazu bringt, das Ritual als ein besonderes Ereignis, das an einem besonderen Ort und/oder zu einer besonderen Zeit, zu einem besonderen Anlass und/oder mit einer besonderen Botschaft ausgeführt wird, wahrzunehmen. (...)“ (Platvoet 1998, 187)“ verstanden (Hofmann 2008, 90).

gab. Das Feuer kann dabei als transformatives Element einer neuen Ideologie gewirkt haben, die möglicherweise auch darauf ausgerichtet war, die Überreste des Verstorbenen in neuen Zeremonien und komplexen Bestattungs- bzw. Nachbestattungsprozessen zu nutzen. Die Verwendung unverbrannter Individuen in solchen Prozessen ist dagegen aufgrund des Verwesungsprozesses schwieriger (Oestigaard 2013, 497ff.; Gramsch 2013, 464f.). Die Beigabenausstattung lässt am Fundplatz zunächst keine nachweisbaren Veränderungen erkennen. Dem Fundmaterial nach könnte dieser Abschnitt noch der Periode II zugeordnet werden. Zugleich waren Kochsteingruben in der Nähe des Fundplatzes von Mang de Barga in Nutzung. Ihre kreisförmige Anordnung könnte auch mit den neuen auftretenden, häufig konzentrischen Symbolen (Sonne; Rad) des Urnenfelder-Phänomens zusammengehangen haben. Ihre mögliche Funktion als Versammlungsplatz einer Gemeinschaft könnte dabei auf neu auftretende und sich wiederholende Zeremonien hinweisen, die auch mit der aufkommenden Brandbestattung zusammengehangen haben könnten. Auch im Pollenprofil (‘Torfloch‘ am Fundplatz) zeigen sich zwischen 1400 und 1300 v. Chr. starke Veränderungen wie Erosionen und eine Umstrukturierung in der Wirtschaftsweise und Waldnutzung (vermehrte Viehhaltung, Getreideanbau und Waldweidewirtschaft). Die Kombination dieser Veränderungen lässt eine plötzliche Transformation charakterisieren, die mehrere Lebensbereiche durchdrang. Ihre genaue zeitliche Eingrenzung ist dabei etwas schwierig, da z. B. hinsichtlich des Bestattungswandels bereits ab 1400 v. Chr. einleitende Veränderungen (durch Pioniere?) anzunehmen sind (neue Wirtschaftsweise, erste Brandbestattungen, mögliche erste Kochsteingrubennutzungen), die sich um 1300 v. Chr. schließlich in allen den genannten Lebensbereichen stark äußern und unumkehrbar scheinen. Damit kann ein Zeitraum von ungefähr 100 Jahren angenommen werden, der vom Aufkommen der Brandbestattung bis zur Etablierung reicht und damit drei bis vier Generationen umfasst, sofern pro Generation 25 Jahre angedacht werden, wie sie zum Beispiel von Müller und Lohrke für süddeutsche Fundplätze der Hügelgräberbronzezeit angewandt wurden (Müller und Lohrke 2009, 32).

8.11.4. Periode III: Wandel im Grabbau

Auf die dritte Phase folgend ist eine weitere Veränderung um 1200/1100 v. Chr. erkennbar: der Wandel des Grabbaus. Häufig werden der o. g. Wandel der Totenbehandlung und der des Grabbaus als ein gemeinsames Ereignis im Rahmen des Aufkommens des ‚Urnenfelder-Phänomens‘ behandelt. Am Fundplatz von Mang de Barga und den bisher vorgestellten Vergleichsfundplätzen ist dem jedoch nicht so. Der Wandel des Grabbaus zeigt sich vielmehr als Folge oder Reaktion auf jenen der Totenbehandlung. Aufgrund der unterschiedlichen und anscheinend leicht zeitversetzten Entwicklungen, ist es dementsprechend sinnvoll diese Veränderungen getrennt voneinander zu betrachten, um keine fälschlichen Konsequenzen zu schlussfolgern. In Mang de Barga folgen erste Brandbestattungen in Form von Urnen und Leichenbrandschüttungen kurz auf die genannte Baumsargbestattung des LA 57, d. h. bereits ab der Mitte der Periode II.⁸⁴¹ Ein Durchsetzen dieser Bestattungsweise in Urnen und Leichenbrandschüttungen zeigt sich jedoch erst ab der Mitte der Periode III (um 1200 v. Chr.). Das o. g. Grab des Grabhügels LA 57 stellt nicht nur den Beginn der Brandbestattung dar, sondern zugleich das Ende der Nutzung des gewohnten Grabbaus unter einem Grabhügel, in einem Baumsarg mit einer Steinsetzung. Auf diese gewohnte Grabbauweise folgen die Brandbestattungen in Form von Leichenbrandschüttungs- und Urnengräbern. Die oft als sukzessiv charakterisierte Entwicklung von Bestattungen im Baumsarg über Leichenbrandschüttungsgräbern in Steinsetzungen bis zum

841 LA 18, Befund 56, 58, 83.

Urnengrab (Vgl. Hofmann 2008, 446f.; Schaefer-Di Maida 2018, 34f.), ist den neuen absoluten Daten vom Fundplatz zufolge, nicht immer zutreffend. Leichenbrandschüttungsgräber bilden nicht unbedingt eine Übergangsform, sondern auch eine Alternative zum Urnengrab, da sie nachweislich gleichzeitig in Erscheinung treten können. Der Grabbauwandel bedeutet dabei auch einen wirtschaftlichen Wandel. Der Bau eines Grabhügels am Fundplatz umfasste zunächst die einleitende Entfernung des Oberbodens und/oder auch die Einrichtung der Grabgrube. Die Grabkonstruktion konnte aus einem Bodenpflaster, einer sonstigen Steinsetzung (u. a. Steinrahmen) und einem Baumsarg bestehen. Eine weitere Steinpackung war möglich. Die Konstruktion wurde von einer Aufschüttung aus Erde und teilweise aus Steinen umschlossen. Der Nachweis von Grassoden, die abgestochen und zum Hügel aufgestapelt wurden, ist vereinzelt von anderen Fundplätzen bekannt, wie auch vom Vergleichsfundplatz LA 29 in Albersdorf. Die Aufschichtung fruchtbaren Bodens zu einem Hügel kann auch als Beigabe für den Toten und Teil eines gemeinschaftlichen sozialen Events interpretiert werden (Holst und Rasmussen 2015, 307ff.). Dabei bedeutet die Entfernung des Oberbodens eine Vernichtung des fruchtbaren Mutterbodens, wodurch in späterer Konsequenz eine Heidelandschaft entstehen kann, die zugleich eine wirtschaftliche Selbstlimitierung bedeutet. Dieser hohe Verbrauch an Material steht den Aufwendungen für die Leichenbrandschüttungen und Urnengräber, die keinen Grabhügel erhielten, gegenüber, da ein Leichenbrandschüttungsgrab lediglich einem Steinpflaster und ein Urnengrab einer Urne und dem entsprechenden Steinschutz bedurfte. Aufwendiger gestaltete sich dagegen der Bau des Scheiterhaufens für die Leichenverbrennung. Nach Falkenstein ist für die Verbrennung einer Erwachsenenleiche der ein- bis zweifache Jahresbedarf einer Person an Holz erforderlich. Der Zeitbedarf des Zusammentragens von Holz und die Errichtung eines Grabhügels von sieben Metern im Durchmesser sei dabei vergleichbar (Falkenstein 2017b, 76f.). Die Grabhügel vom Fundplatz von Mang de Barga sind jedoch weit größer und umfassen ungefähr bis zu 20 Meter, sodass sie die Berechnungen übersteigen. Neben diesen Unterschieden verwendeter Ressourcen ist auch eine Ungleichheit hinsichtlich des Arbeitsaufwands zu vermerken. Während für den Grabhügelbau mehrere Personen und eine gewisse Arbeitsteilung angenommen werden kann, ist der Aufwand für ein Urnenbegräbnis wesentlich geringer zu kalkulieren. Auf Basis der Berechnungen von Schulze-Forster und Vorlauf (Schulze-Forster und Vorlauf 1989, 261f.) berechnet Falkenstein für einen Grabhügel von 7 Metern im Durchmesser einen Arbeitsaufwand von 130 Personenstunden (im Experiment: 26 Stunden mit 5 Personen; und eine Nutzung von 21,5 t Erde und 4,5 t Steine), der von einer Kleingruppe innerhalb weniger Tage möglich wäre (Falkenstein 2017a, 80f.). Unter Berücksichtigung der Grabhügelgrößen von ca. 20 m Durchmesser vom Fundplatz von Mang de Barga, würden sich sowohl die Ressourcen auf ca. 61 Tonnen Erde und 13 Tonnen Steine erhöhen. Des Weiteren muss ein Arbeitsaufwand von 371,42 Personenstunden kalkuliert werden. Um einen Grabhügel von 20 m Durchmesser an einem Tag bauen zu können, benötigte man demnach in etwa 37 Personen, wenn ein Arbeitspensum von 10 Stunden pro Tag angenommen wird (Schaefer-Di Maida 2018, 38, Tab. 2). Mögliche Transporte zur Heranschaffung von Material müssen ebenfalls bedacht werden (Schunke 2018, 85-115). Das verwendete Material war aber sehr wahrscheinlich lokal, da am Fundort das Sand- und Steinvorkommen vorherrschend ist, sodass keine weiten oder beschwerlichen Transportwege angenommen werden müssen. Für die zumeist regelhaft 7 m im Durchmesser messenden Grabhügel Süddeutschlands vermutet Falkenstein, dass der Arbeitsaufwand und die Ressourcen durch rituelle Anleitungen vorgegeben worden sein könnten (Falkenstein 2017a, 81). Eine ähnliche Standardisierung der Grabhügelgrößen von ungefähr 20 m kann auch für den Fundplatz von Mang de Barga beobachtet werden. Die Bedeutung der Kontrolle politischer Ökonomien in bronzezeitlichen Kontexten wurde bereits von Earle diskutiert (Earle *et al.* 1998, 6 ff.). Für den Fundplatz von Mang de Barga könnte dies bedeuten, dass die neue Ideologie

hinter dem Bestattungswandel auch eine Regulierung wirtschaftlicher Aufwendungen im Bestattungsritual formte, sodass ein entsprechendes Abhängigkeitsverhältnis erwägt werden könnte. Die Limitierung der Ressourcen und des Arbeitsaufwands mit dem Wandel des Grabbaus können also ideologisch bestimmt gewesen und mit den o. g. Auslösern verbunden worden sein (Schaefer-Di Maida 2018, 39). Das Ende des monumentalen Grabhügelbaus kann auch ein Ende der bereits angesprochenen sogenannten ‚Chieftdoms‘ (Jensen 1982.; Kristiansen 1987.; Kristiansen 1991, v. a. 27ff.; Earle 1991) oder auch Kooperationsverhältnisse bedeutet und eine Gleichbehandlung hinsichtlich des Grabbaus und des freien Zugangs zu Bestattungen, Bestattungsweisen und Grabpositionierungen eingeleitet haben. Ob es sich bei diesen gesellschaftlichen Strukturen um familiäre oder sonstige soziale Formen, wie die eines Haushalts gehandelt hat, ist aufgrund fehlender Siedlungsspuren am Fundplatz und seiner Umgebung nicht feststellbar. Die scheinbare Standardisierung des Grabbaus im Rahmen von Urnenbestattungen und Leichenbrandschüttungsgräbern scheint im Vergleich zu den monumentalen Grabhügeln beispielsweise weniger spektakulär und für mehrere Individuen verfügbar. Dies bezeugt auch die stark ansteigende Bestattungsaktivität zu diesem Zeitpunkt, sodass angenommen werden kann, dass Grabhügelareale mit dem Wandel des Grabbaus für mehr Individuen zugänglich waren als zuvor. Neben diesen egalitär anklingenden Strukturen im Grabbau konnte für den Fundplatz von Mang de Barga jedoch auch festgestellt werden, dass es Unterschiede in der räumlichen Positionierung von Gräbern, wie der Nähe zu Grabhügeln, sowie teilweise der Beigabenausstattung gab, die sehr wahrscheinlich von sozialen Bedingungen, wie dem Alter, abhängig waren (Vgl. Transformationsphase 5). Auch die Beigabenausstattungen der Gräber zeigen zu diesem Zeitpunkt Veränderungen, indem das Repertoire grundlegende Divergenzen aufweist: Trachtbestandteile wurden führende Objekte und die Beigabe von Keramikgefäßen nahm stark zu. Letztere umfassten nicht nur eine größere Masse an Gefäßen, sondern auch neue Formen, die das jüngerbronzezeitliche Keramikinventar einleiteten. Somit kann die Periode III ab ca. 1200 v. Chr. einem neuen Abschnitt im Fundmaterial zugeordnet werden. Die Periode III fungiert somit lediglich als Übergangsphase zwischen der Älteren und Jüngeren Bronzezeit und könnte rein formal und auf dem Material basierend auf die Perioden II und IV aufgeteilt werden. Aufgrund der starken sozialen Änderungen wäre eine Beibehaltung der Periode III als Übergangsperiode, jedoch mit einer Einteilung in Periode III/A und III/B, sinnvoll. Während dieser vierten Transformationsphase kam es außerdem zum Ende der Nutzung des Kochsteingrubenareals, sodass von einem Wandel gemeinschaftlicher Riten bzw. einer räumlichen Verlagerung des Versammlungsplatzes ausgegangen werden könnte. Da jedoch nur ein geringfügiger Teil der Kochsteingruben datiert wurde, ist eine jüngere Nutzung nicht auszuschließen. Im Pollenprofil folgen auf eine Phase der Stabilität während des Wandels in der Totenbehandlung und der Grabbauweise, Veränderungen und erhöhte Aktivitäten, die vermutlich aus einer Neu-etablierung und Bewährung neuer Strukturen und Lebensweisen resultierten. Möglicherweise handelt es sich auch um Reaktionen auf die neue Bestattungssitte und Grabbauweise und somit der Nutzung von Konstruktionsmaterial, das v. a. die Verbrennungsvorgänge begünstigte (Vgl. Kap. 8.9). Der Wandel des Grabbaus scheint somit eine Transformation wirtschaftlicher und sozialer Veränderungen aufzuzeigen, die womöglich aus dem Wandel der Totenbehandlung und damit ideologischer Transformation resultierte. Möglicherweise handelt es sich dementsprechend um eine ganzheitliche Transformation, deren Einfluss in den einzelnen Lebensbereichen stetig wuchs bis der Moment erreicht war, dass es keine Überreste vorheriger Bestattungsideologien, wie der Körperbestattung, mehr gab und somit eine Rückkehr zu alten Mustern nicht mehr möglich war (v. a. ab Mitte Periode III, d. h. 1200/1100 v. Chr.). Wie plötzlich das Ende der Nutzung von Körperbestattungen und deren Grabbauweisen erfolgte, ist auf Basis der Datenmengen vom Fundplatz nicht nachvollziehbar. Die Entwicklung des Beigabenrepertoires mit

zunehmender Reduzierung auf persönliche Trachtbestandteile lässt eine Herausbildung von Egalität, aber auch Identitätsvermittlung im Sinne einer individuellen Berücksichtigung des Verstorbenen vermuten. Dabei kann es sich um die soziale Rolle und Persönlichkeit des Individuums und die Kennzeichnung dessen Zugehörigkeit handeln. Auch für diese Phase sind mindestens 100 Jahre (3-4 Generationen) zu kalkulieren, bis eine endgültige Etablierung des neuen Grabbaus stattfand.

8.11.5. Periode IV bis Periode V: Wendepunkt in der Bestattungsaktivität

Mit dem Übergang von Periode III zu Periode IV ist zunächst ein starker Anstieg der Bestattungen am Fundplatz ersichtlich, der um 950/900 v. Chr. sein Maximum erreichte und darauf einen Wendepunkt zu einer stark abnehmenden Aktivität am Fundplatz einleitete. Des Weiteren scheinen sich in den Bestattungen weitere Standardisierungen abgezeichnet zu haben, wie sie in der vorangehenden Transformationsphase bereits in Ansätzen im Rahmen egalitär anmutender Entwicklungen erkannt wurden. Daneben sind aber auch einige Stratifizierungen zwischen den Bestattungen erkennbar. Beide Phänomene, die diese Transformationsphase bilden, werden im Folgenden erläutert: Nachbestattungen in Grabhügeln und ihren Arealen waren am Fundplatz vor allem während der Perioden IV und V vorherrschend. Der Grabbau der vorherrschenden Urnengräber und die vereinzelter Leichenbrandschüttungsgräber waren recht einheitlich im Aufbau. Gegenübergestellt sind sich die Bauweisen von Urnengräbern und Leichenbrandschüttungsgräbern jedoch weniger ähnlich, obwohl sie gleichzeitig, teilweise sogar in Doppelbestattungen, vorkamen. Die Beigabenzahlen variierten derweil zwischen keiner und drei bis maximal vier Beigaben – dabei kann es sich jedoch auch um erhaltungsbedingte Angaben handeln. Zwischen Urnengräbern und Leichenbrandschüttungsgräbern sind keine Unterschiede in der Beigabenzahl und -vielfalt ersichtlich. Neben der bereits bekannten Beigabe von Trachtgegenständen und Keramikgefäßen, wurde das Spektrum um persönliche Gegenstände wie Rasiermesser ergänzt. Die Keramikbeigaben entfalteten zudem ihre Fülle, sodass sämtliche bekannte Formen vom Fundplatz Anwendung fanden. Die Positionierung von Gräbern und die Beigabenzusammensetzungen konnten zum Teil als Spiegel der Altersstruktur am Fundplatz erkannt werden, indem anscheinend eine Bevorzugung von Kindern und Jugendlichen bei der Wahl des Grabplatzes und der Wahl von Gefäßen zu Grunde lag. Diese wahrscheinlich altersbedingte Lage und Beigabenausstattung sowie die scheinbar standardisierte Bestattungsweise der Perioden IV und V könnten somit eine Phase der möglichen sozialen Transformation in der Gesellschaft vermuten lassen, die um 950/900 v. Chr. ihren Höhepunkt erreichte. Die Beigabenstrukturen weisen dabei jedoch keine starken Unterschiede auf, sodass insgesamt von einer gleichwertigen Behandlung gesprochen werden könnte, die lediglich einige Varianten aufweist, die oben genannte soziale Stratifizierung widerspiegeln. Diese scheinbare egalitäre Gesellschaftsform zeigt sich auch auf überregionaler Ebene von den Niederlanden bis Pommern und Niedersachsen. Lediglich einige herausstechende reiche Bestattungen wie die Grabhügel von Albersdorf, Seddin oder auch Lusehøj bilden die Ausnahmen (May 2018, 9ff.; Thrane 2019, 91ff.). Am Fundplatz von Mang de Barga sind keine Gräber mehr mit kontrastierenden Strukturen bekannt, sodass Umstrukturierungen in der sozialen Stratifizierung und der Kooperation von Individuen vermutet werden können. Inwieweit es sich dabei um familiäre Strukturen und Regeln der Ahnenfolge bei der Inanspruchnahme eines Nachbestattungsplatzes in einem Grabhügel handelt (Earle 2002, 311f.), ist nicht erkennbar. Zur Klärung wären aDNA-Analysen sinnvoll. Mit dem Rückgang der Bestattungsaktivität am Fundplatz ist der Beginn der Nutzung einer Ustrine belegt, die die Ritualisierung und routinierte Ausführung des Totenbrauchtums symbolisieren könnte, da sie eine praktische Einrichtung für die Totenverbrennung bot und zugleich – den weiteren Funden zufolge – möglicherweise zeremoniellen Tätigkeiten diene. Der anhand von

der abnehmenden Bestattungsaktivität ablesbare mögliche Bevölkerungsrückgang zu diesem Zeitpunkt mag eine Folge des möglichen sozialen Wandels darstellen. Insbesondere der Schwund von Leichenbrandschüttungen mit der Periode V deutet auf eine zunehmende Standardisierung mit einer einheitlichen Nutzung von Urnen hin. Des Weiteren könnte es sich um den Moment der Verlagerung des Bestattungsplatzes handeln. Die Zusammensetzung der Pollen dieses Zeitabschnitts deutet derweil auf anhaltende erhöhte menschliche Aktivitäten hin, die erst ab der Mitte der Periode V wieder neue Veränderungen im Rahmen verstärkter Waldrodungen, erkennen lassen. Diese Phase der Veränderung kann womöglich als soziale Transformationsphase aufgefasst werden, in der sich scheinbar egalitäre Strukturen im Rahmen von Standardisierungen im Grabbau und der Grabausstattung etablieren, die lediglich hinsichtlich der Altersstruktur Auflockerungen erfahren. Die zeitliche Eingrenzung dieser Transformation ist äußerst schwierig, da weitere Informationen aus anderen Lebensbereichen wie Siedlungen am Fundplatz fehlen, die Hinweise auf die genaue zeitliche Entwicklung geben könnten.

8.11.6. Periode VI: neues Beigabenspektrum

Ein sechster Moment der Veränderung ist mit dem Übergang zur Periode VI am Fundplatz erkennbar, indem die Anzahl der Bestattungen sehr stark zurückgeht⁸⁴² und das geringfügig erfassbare Beigabenspektrum Veränderungen aufweist. Der Beginn der Periode VI geht auch mit dem möglichen Nutzungsende der datierten Siedlungsgrube einher. Aus dem spärlichen Fundspektrum dieser Periode ist eine bimetallische Nadel bekannt, deren Form neu ist. Während an der Tradition der Beigabe von Nadeln festgehalten wurde, ist damit jedoch ein Wandel in der Formgebung und Materialnutzung ersichtlich. Auch Schmidt stellte für Schleswig-Holstein eine Veränderung im Typenspektrum zu dieser Zeit in Gräbern fest, die ein Ende der bisherigen Traditionen und südliche Einflüsse aufzeigen (Schmidt 1993, 139). Im Pollenprofil sind erhöhte Aktivitäten und weitere Veränderungen, die sich bereits ab der Mitte der Periode V ankündigten und auf Waldrodungen zurückzuführen sind, ersichtlich. Für diese Phase ist eine mögliche Zunahme der Austauschbeziehungen und damit verbundene Einflüsse durch neue kulturelle Erscheinungen möglich, die jedoch nicht mit dem Übergang zur vorrömischen Eisenzeit in Verbindung stehen müssen – es scheint viel eher eine eigene Entwicklung vorzuliegen, denn mit der nächsten Transformationsphase werden erneut Veränderungen im Formenspektrum und der Bestattungsaktivität sichtbar. Dies stellt Schmidt auch für Funde aus ganz Schleswig-Holstein fest (Schmidt 1993, 146). Aufgrund fehlender Daten für diesen Transformationsmoment ist die Beurteilung eines Zeitfensters nicht möglich. Es könnte vermutet werden, dass es sich um einen kurzlebigen Wandel handelte, der womöglich durch ökologische Entwicklungen ausgelöst wurde und zu entsprechend schnellen Anpassungsverhalten und damit verbundenen Umstrukturierungen führte.

8.11.7. Übergang zur Vorrömischen Eisenzeit

Auf Basis aller Gräber (datierte und undatierte bzw. auf die Stufen aufgeteilte Gräber) kann mit dem Beginn der vorrömischen Eisenzeit eine sehr starke Zunahme in der Bestattungsaktivität festgestellt werden, die sich auf das Urnengräberfeld LA 115 konzentrierte und keine Nachbestattungen mehr in Grabhügeln feststellen lässt. Einzig zwei nachbestattete Urnen am Grabhügel LA 18 (Befunde 64, 76) ließen sich bis zur Stufe I a bzw. I b datieren. Das Beigabenspektrum änderte sich dabei hinsichtlich der Formen sowie Typen und umfasste verschiedene Nadeln, Ösenringe, sowie ab Stufe I

842 Die Periode VI kann lediglich als Tiefpunkt der Bestattungsaktivität aufgefasst werden, sofern undatierte aufsummierte Gräber der vorrömischen Eisenzeit berücksichtigt werden.

b vor allem Gürtelteile. Die Objekte wurden dabei meistens aus Eisen, teilweise aber auch aus Bronze gefertigt. Bimetallische Gegenstände sind lediglich aus der Stufe II a bekannt. Das Auftreten von Eisen ist nach Fischer jedoch kein Kriterium zur Einleitung einer neuen Kulturstufe, da es bereits zuvor in Teilen Schleswig-Holsteins bekannt ist (Fischer 2000, 111). Die Metallbeigaben sind mit der vorrömischen Eisenzeit häufiger thermisch verformt und deuten darauf hin, dass sie teilweise womöglich öfter mit im Feuer während der Totenverbrennung lagen und deswegen manchmal eher als sogenannte Scheiterhaufenbeigaben betrachtet werden könnten (Hofmann 2008, 158). Des Weiteren ist nun eine Ustrina belegbar, die viele verschiedene Knochen – vermutlich verschiedener Brennvorgänge – enthielt. Aus der Jüngerer Bronzezeit sind dagegen keine Rückstände in diesen Massen aus den angesprochenen Branderdestellen belegt, sodass eine Veränderung in der Bergung des Leichenbrandes und dessen Deponierung in der Urne erkennbar ist. Womöglich erhielt der Verbrennungsakt eine höhere Bedeutung – wie auch Pfostenkonstruktionen um die Ustrine am Fundplatz verdeutlichen, während die Vollständigkeit der verbrannten Überreste bei der Niederlegung in den Urnen womöglich weniger wichtig wurde. Unterdessen unterschied sich der eisenzeitliche Grabbau für die Urnenbestattung an sich nicht von den jüngerbronzezeitlichen Exemplaren. Einige der Gräber wurden jedoch von einem Ringgraben umgeben, der mögliche symbolische Abgrenzungen bzw. Einfassungen gesellschaftlicher Verbindungen (z. B. familiär; hierarchisch; sozial) dargestellt haben könnte und damit einen Wandel von den möglicherweise egalitären Strukturen der Jüngerer Bronzezeit zu der Herausbildung neuer Stratifizierungen aufzeigen könnte. Mit dem Übergang zur vorrömischen Eisenzeit zeigt sich demnach zunächst kein einschneidender Wandel, sondern ein fließender Übergang, wie er bisher auch für andere Gräberfelder Schleswig-Holsteins festgestellt wurde (Vgl. Fischer 2000, 111; Hofmann 2008, 477). Anhand der Ringgräben kann die Entwicklung einer Umstrukturierung der Grabanlagen auf Basis neuer, vermutlich sozialer Gefüge vermutet werden. Das Pollenprofil deutet auf erhöhte Aktivitäten und Umweltveränderungen am Fundplatz hin, die sich mit dem Maximum an Bestattungen um 150 v. Chr. zuspitzen und starke Veränderungen, wie zum Beispiel Bodenerosionen aber auch Neuerungen im Anbauspektrum mit der Einführung von Roggen bewirkten.

8.11.8. Fazit zu Transformationen auf Mikrobene

An dem scheinbar kontinuierlich genutzten Fundplatz von Mang de Bargen ließ sich die Abfolge von sieben Veränderungen zwischen dem Spätneolithikum und der vorrömischen Eisenzeit feststellen, die unterschiedliche Intensitäten und Folgen für verschiedene Lebensbereiche erwägen ließen und somit die Charakterisierung mehr oder weniger möglicher Transformationen erlaubten. Auch die Geschwindigkeiten der Umgestaltungen konnten im Vergleich zueinander teilweise erfasst werden. Da der Fundplatz über einen langen Zeitraum immer wieder aufgesucht wurde, scheinen diese Transformationen keine Demontage einer Gesellschaft, sondern lediglich ‚Reformen‘ dargestellt haben. Einzig der Wandel der Bestattungssitten scheint einschneidend gewesen zu sein und ließ sich als komplexer Prozess begreifen. Aufgrund der fehlenden Siedlungsdaten ist eine Rekonstruktion der gesamten Gesellschaft schwierig, da die Informationen aus den Gräbern lediglich die Darstellung von Individuen durch eine Gruppe widerspiegeln, die selektiv gewesen sein können. Aus diesem Grund wurden in Ergänzung zu der Fallstudie, Daten aus ganz Schleswig-Holstein zu Gräbern, Siedlungen, Horten und der darin vorkommenden materiellen Kultur erhoben, um die lokalen Prozesse in den Kontext möglicher überregionaler Phänomene zu stellen, die eine Rekonstruktion bronzezeitlicher Gesellschaften vor dem Hintergrund transformativer Prozesse ermöglichen.

9. Mesoebene: Transformationsprozesse in Schleswig-Holstein

Dieses Kapitel beabsichtigt die Transformationsanalyse für die Bronzezeit in ganz Schleswig-Holstein, die sich dabei quantitativer Daten bedient. Ziel ist es, Kontinuitäten und Diskontinuitäten festzustellen, die in Wechselwirkung mit Transformationsprozessen stehen oder in ihnen gründen können. Die Auswertung räumlicher und zeitlicher Veränderungen anhand von Befunden und Funden steht dabei im Mittelpunkt, sodass Wandlungsprozesse in verschiedenen Lebensbereichen sichtbar werden und schließlich miteinander in Verbindung gebracht werden können.

9.1. Zur Datenaufnahme

Die Daten zur Älteren Bronzezeit ergeben sich aus der Aufnahme aller Funde der bisher veröffentlichten Aner/Kersten-Bände (Aner, Kersten, und Willroth (Aner und Kersten 1978, 1979, 1991; 1993; Aner *et al.* 2005, 2011, 2017)) zu den Funden der Älteren Bronzezeit in Schleswig-Holstein. Einige Kreise wurden noch nicht von den Aner/Kersten-Bänden bearbeitet (Herzogtum Lauenburg, Pinneberg, Stormarn), sodass zum einen auf die Daten der Landesaufnahme und zum anderen auf sonstige veröffentlichte Literatur zurückgegriffen wurde (z. B. Eindrigkeit 2010; Pahlow 2004). Die Daten der archäologischen Landesaufnahme liegen als Zettelkatalog vor, deren digitale Scans hinsichtlich entsprechender Fundplätze vom Spätneolithikum bis zur vorrömischen Eisenzeit mit Schwerpunkt in der Bronzezeit überprüft wurden. Dabei ergab sich eine Vielzahl an Funden, Grabhügeln und Urnengräberfeldern. Die Untersuchungen der Grabhügel beschränkten sich leider häufig nur auf deren Durchmesser und Höhe. Befundführende Grabhügel bilden die Minderheit und auch die Datierung von Funden ist selten aufgeführt. Die Fundberichte der Landesaufnahme enthalten häufig unspezifische Fundansprachen und wurden dementsprechend anhand von Zeichnungen und sonstigen Abbildungen sowie unter Zuhilfenahme entsprechender Literatur, bestimmt und einer Periode zugeordnet – soweit dies möglich war. So wurden auch bereits bestimmte Funde hinsichtlich ihrer Bezeichnung überprüft und ggf. neu bestimmt und einer Zeitphase zugewiesen. Wiederholt waren Abbildungen jedoch nicht deutlich genug (z. B. fehlender Beilquerschnitt; fehlendes Gefäßprofil usw.), sodass eine Bestimmung nicht oder nur bedingt möglich war. Meistens lag zudem keine Abbildung vor. Die Daten der **Jüngeren Bronzezeit** gehen überwiegend auf die Aufnahme von Schmidt 1993 zurück. Ergänzt werden die Daten durch die o. g. Daten des Zettelkatalogs der Landesaufnahme. Ebenfalls spielen Einzelstudien zu Depotfunden oder Gold auch für die jüngere Bronzezeit eine Rolle (siehe oben). Sofern ein Fundplatz einen **spätneolithischen Ursprung**

und eine Wiedernutzung in der Bronzezeit aufwies, wurden spätneolithische Daten mit aufgenommen und kartiert. Dementsprechend dürfen die spätneolithischen Daten in Kartierungen und zeitlichen Abfolgen lediglich als Hinweise auf Trends gewertet werden. Demgemäß wird nicht zwischen Spätneolithikum I und II unterschieden, da nicht genügend Daten oder aussagekräftige Funde für eine solche Unterscheidung (z. B. Dolche) vorlagen. Notwendige **Quellenkritik** wurde bereits in Kapitel 6 besprochen und dabei wurde bereits auf die ungleichmäßige Erforschung des Schleswig-Holsteinischen Raums hingewiesen, die auch einen Einfluss auf das Ergebnis der folgenden Datenauswertung hat, der stets bedacht werden muss. Die vorliegende Datenbank dient der Auswertung konkreter Zahlen. Trotzdem wurde darauf geachtet, jede Information, die für einen Fund oder einen Befund vorliegt, der Aufnahme hinzuzufügen, um den Fund, trotz Quantifizierung, rückverfolgen zu können und somit auch Ausnahmeerscheinungen in der Datenbank schnell auffindig machen zu können, die ansonsten verloren gegangen wären. Diese Flexibilität ist vor allem angesichts der Datenmenge und deren Standardisierung im Rahmen einer quantitativen Analyse sehr wichtig. Außerdem ist die detailreiche Aufnahme auch günstig, um verschiedene Methoden im Rahmen dieser Forschung anzuwenden, die zu Beginn der Aufnahme möglicherweise noch nicht erstrebenswert waren, sondern sich erst mit der Aufnahme und Auswertung als sinnvoll entwickelten. Die Datenbank dient der **quantitativen Analyse von Funden und Befunden**. Für die vorliegende Arbeit ist dabei vor allem die Chronologie und Chorologie einzelner Elemente wichtig, wie zum Beispiel von: Grabhügelbau, Grabkonstruktionen, Bestattungssitten, Einzelfundplätzen, Deponierungen, Siedlungsbefunden, Materieller Kultur. Durch den Vergleich räumlich-zeitlicher Abfolgen jener Kategorien können Abbrüche und Neuanfänge identifiziert und Transformationsphasen gesetzt werden, die für einen Vergleich mit den Entwicklungen von den Daten des Pollenprofils aus dem Belauer See herangezogen werden können.

9.2. Zur Datenauswertung

Die Auswertung der Daten erfolgt anhand statistischer Methoden mit der Nutzung einfacher Kalkulationstabellen (EXCEL) und Korrespondenzanalysen (CAPCA, R). Durch die Aufnahme der Fundorte, können die einzelnen Elemente zudem kartiert werden (QGIS), um auch eine räumliche Dimension der Analyseergebnisse zu gewinnen. Verteilungen können abgebildet werden und mögliche Konzentrationen, die auch zeitlich bedingt sein können, werden festgestellt. Die Datierung von Befunden und Funden ist häufig ungenau. Die Datenbasis enthält wenige Daten, die auf Ausgrabungsergebnissen beruhen, sodass sehr oft nur Hügeldurchmesser und -höhe vorhanden sind, aber keine Informationen zum Hügelinhalt, also seinen Befunden und Bauphasen. Dementsprechend ist auch die Datierung in solchen Fällen nicht möglich bzw. in einigen Fällen ausgegrabener Befunde sehr langlebig (z. B. ‚bronzezeitlich‘). ¹⁴C-Datierungen bilden die Ausnahme. Die Zuordnung von Funden und Befunden zu einer Zeitphase (bzw. Periode) wird dementsprechend häufig anhand der aoristischen Methode vorgenommen (Mischka 2004, 233-24; Nakoinz 2012, 189-207), um – trotz ungenauer Angaben (wie z. B. ‚Ältere Bronzezeit‘) – einen mehr realistischen Wert pro Zeitphase (bzw. Periode) zu gewinnen und damit Entwicklungen zu rekonstruieren, die auf mehr oder weniger plausiblen Werten beruhen.

9.3. Befunde

Die Befunde gliedern sich in Gräber, Siedlungen, Depots und Einzelfundplätze (zu Kochsteingruben vgl. Kapitel 8.3.4). Zunächst werden die räumlich-zeitlichen Entwicklungen der einzelnen Befunde und Funde beschrieben, bevor die Auswertung folgt, um Transformationsphasen setzen zu können.

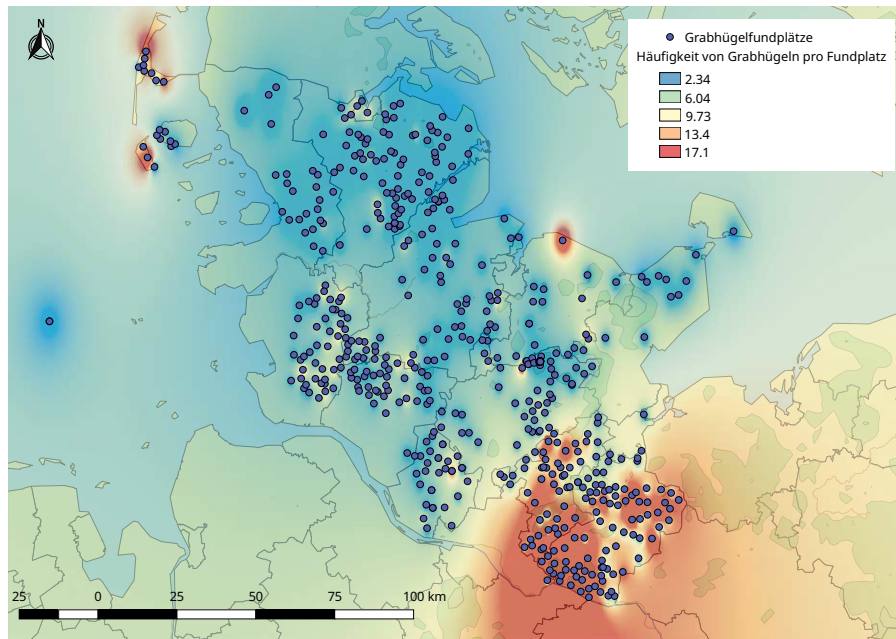


Abbildung 96: Spätneolithische und bronzezeitliche Grabhügel-fundplätze in Schleswig-Holstein [Datengrundlage: Aner und Kersten; Zettelkatalog ALSH; Schmidt 1993].

9.3.1. Gräber

9.3.1.1. Grabhügel

Hinsichtlich der Gräber überwiegen Grabhügelkontexte deutlich mit 4363 Grabhügeln, die 5878 Gräber (inklusive Sekundärbestattungen) enthalten (Abb. 96).

Die Anzahl von **Grabhügeln** pro Fundplatz in Abbildung 96 lässt einige Schwerpunkte auf Sylt und Amrum, sowie im Süden Holsteins feststellen. Die Anzahl von Grabhügeln im Süden Holsteins ist mit der Aufnahme auf Basis des Zettelkatalogs der Landesaufnahme verbunden, die sich wesentlich umfangreicher gestaltete und auch Grabhügel mit einbezog, die nicht ausgegraben wurden, während in den anderen Gebieten die Daten auf ausgegrabene Daten nach Aner und Kersten beruhen. Wenn nur die Grabhügel, die archäologische Befunde enthalten, kartiert werden (Abb. 97), ist die Anzahl an Grabhügeln pro Fundplatz deutlich geringer und die Verteilung von schwerpunktmäßigen Vorkommen wesentlich variabler mit Häufungen in Dithmarschen sowie entlang des Geestrückens, der sich von Nord nach Süd durch Schleswig-Holstein erstreckt. Das nordwestliche Festland bleibt ausgespart und stellt womöglich eine Forschungslücke dar.

In den Ostküstenregionen sind die Häufigkeiten geringer und auch im Süden Holsteins sind weniger Grabhügel pro Fundplatz feststellbar. Diese Verteilung in Abbildung 97 spiegelt somit vielmehr den Forschungs- bzw. Erhaltungszustand und weniger die tatsächliche Befundsituation wider – wie aus dem optischen Vergleich der Häufigkeiten zwischen Abbildung 96 und 97 hervorgeht.

9.3.1.1.1. Primärbestattungen

Die Primärbestattungen der Grabhügel – d. h. das Grab befindet sich unterhalb der ersten Hügelschüttung und wurde meistens in den Untergrund eingetieft – sind meistens singular. Seltener wurden mehr als eine Person primär unter dem jeweiligen Grabhügel bestattet. Die Anzahl von Sekundärbestattungen – d. h. die Gräber, die nachträglich im Hügelmantel (*ggf.* auch unter neuen Hügelaufschüttungen) bestattet wurden – variieren dagegen stark zwischen einer und 36 Nachbestattungen (wie im Fall vom LA 18 am Fundplatz von Mang de Bargaen), die sich auch außerhalb

Abbildung 97: Spätneolithische und bronzezeitliche Grabhügel-fundplätze mit Befund-enhaltenden Grabhügeln in Schleswig-Holstein [Datengrundlage: Aner und Kersten; Zettelkatalog ALSH; Schmidt 1993].

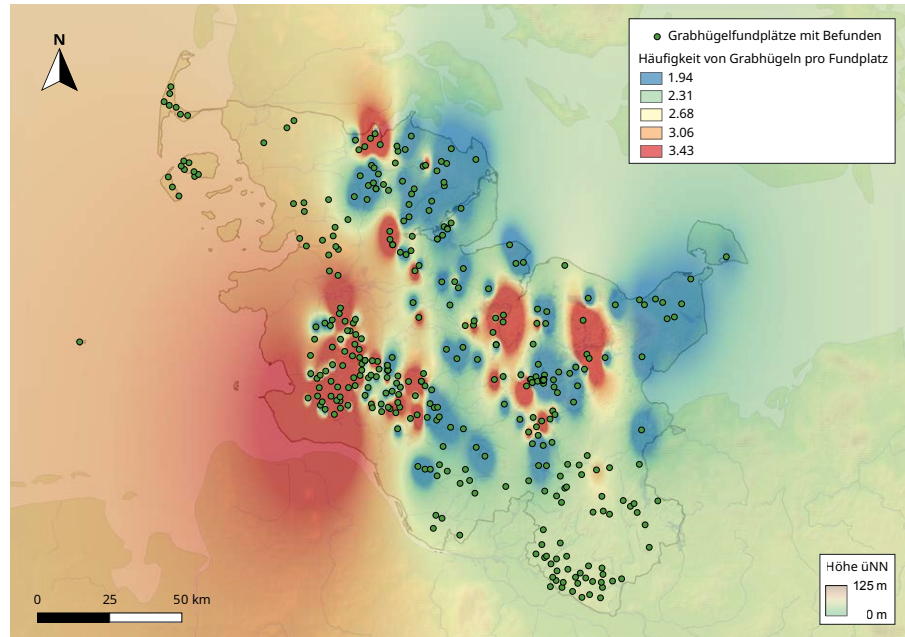
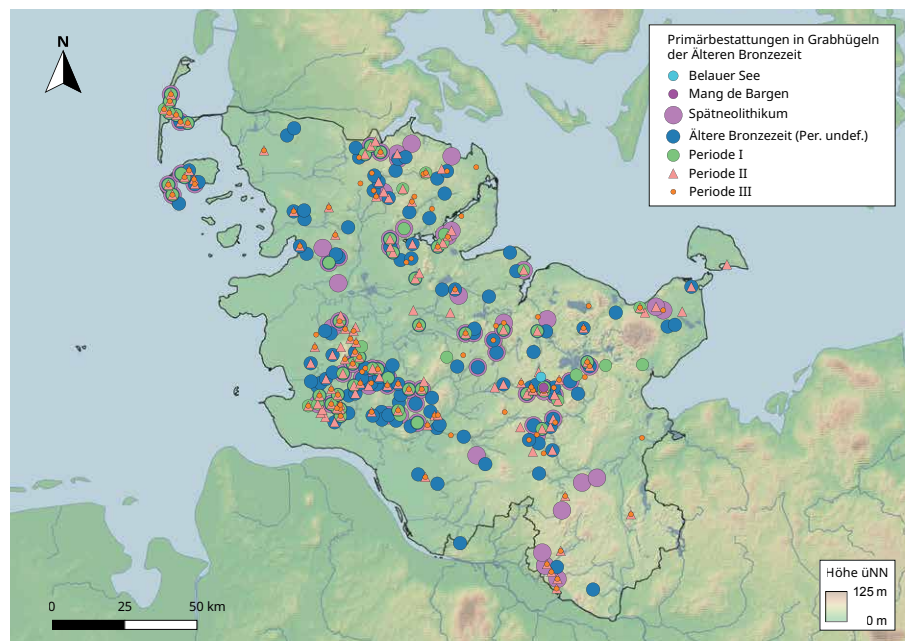


Abbildung 98: Räumlich-Zeitliche Verteilung von Primärbestattungen in Grabhügeln vom Spätneolithikum bis zum Ende der Älteren Bronzezeit [Datengrundlage: Aner und Kersten; Zettelkatalog ALSH].



des Grabhügelmantels befinden können. Die Nachbestattungen im Hügelmantel beschränken sich meistens auf drei oder vier Bestattungen – dies ist allerdings auch oft eine Frage der Erhaltung. Die Befunde der Grabhügel waren meistens – wenn auch nur grob – anhand von Funden datierbar, die eine Verteilung neolithischer und älterbronzezeitlicher Hügel nach den Perioden I bis III zulassen.

Primärbestattungen in Grabhügeln kommen teilweise auch noch in der Jüngeren Bronzezeit vor. Dabei handelt es sich zumeist um kleine Hügel, deren zugehörigen Grabhügelbefunde teilweise den Perioden IV bis VI zugeordnet werden können. Bei Betrachtung der räumlich-zeitlichen Errichtung von Grabhügeln anhand von Primärbestattungen (Abb. 98-99 & Abb. 102) zeigt sich mit dem ausgehenden Spätneolithikum zunächst eine Verbreitung in mehr oder weniger allen Teilen Schleswig-Holsteins, die keine Konzentrationen feststellen lässt. Mit der Periode I ist eine ähnliche

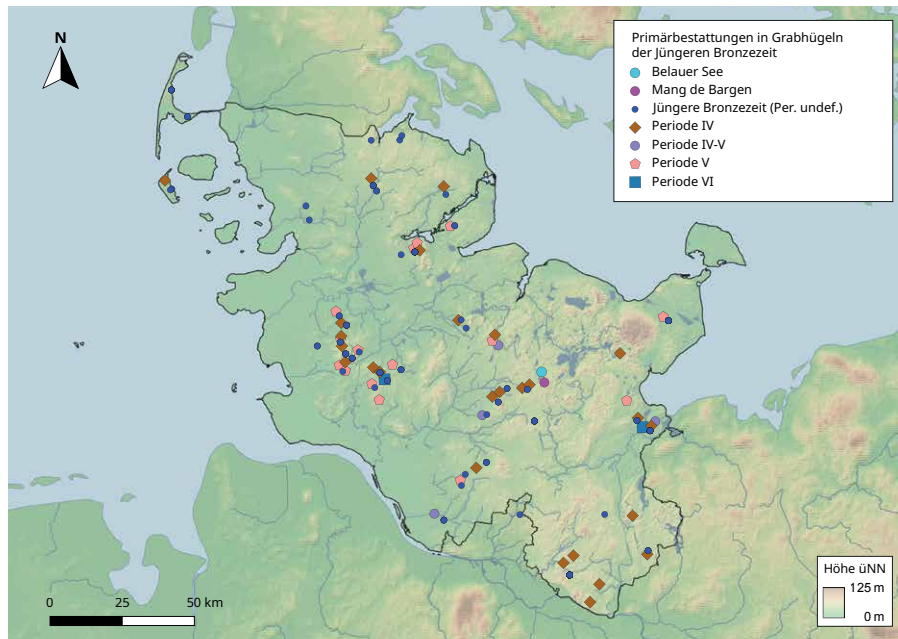


Abbildung 99: Verteilung jungbronzezeitlicher Primärbestattungen in Grabhügeln [Datengrundlage: Aner und Kersten; Zettelkatalog ALSH; Schmidt 1993].

weitläufige Verteilung ersichtlich, die eine Konzentration in der Region aufweist, in der sich Ostfithmarschen, der südwestlichste Zipfel des Kreises Rendsburg-Eckernförde und das nördliche Steinburg treffen. Des Weiteren ist eine leichte Häufung bei Bornhöved (Mang de Bargaen) festzustellen. Jedoch treten keine Grabhügel im Süden Holsteins auf. Letzteres ist womöglich auf die unzureichende Datierung von Grabhügeln in diesem Gebiet zurückzuführen. Während der Periode II werden Grabhügel in allen Teilen Schleswig-Holsteins angelegt (erstmalig auch auf Fehmarn). Die erhöhte Bestattungsaktivität spiegelt sich auch in der chronologischen Verteilung mit einem deutlichen Maximum in der Periode II wider (Abb. 102). Dabei werden vor allem Höhenlagen bevorzugt, um deren Sichtbarkeit zu fördern. Die Konzentrationen, die in Periode I festgestellt werden konnten, bleiben bestehen. Mit der Periode III nimmt diese Menge an Grabhügeln wieder ab, jedoch bleiben die räumlichen Verteilungsmuster mehr oder weniger bestehen. Während der Jüngeren Bronzezeit ändert sich das Bild. Es fällt auf, dass sich jene Befunde vom Ende der Periode IV bis Periode VI von Süden nach Norden verlagern. Während der Perioden IV bis V treten neue Grabhügelanlagen lediglich in Holstein auf, mit der Periode V bis V-VI erstreckt sich die Verbreitung bis zu Mitte Schleswig-Holsteins, während Anlagen der Periode VI überall und damit auch im Norden vorkommen. Bei diesen jungbronzezeitlichen Grabhügeln handelt es sich um eine andere Grabhügelbau-Tradition, da die Hügel im Vergleich zu den älterbronzezeitlichen kleiner sowie einfacher gebaut sind, aber dafür auffällig reich ausgestattet wurden (Schmidt 1993, 17). Auch die zeitlich-räumliche Lücke zwischen Grabhügeln der Periode III, die überall in Schleswig-Holstein auftraten und Grabhügeln, die ab dem Ende der Periode IV lediglich zunächst im Süden erbaut wurden, deutet auf unterschiedliche Phänomene hin. Zwischen diesen Phasen (Periode III bis IV), in denen jene Kleinhügel nachweislich nicht auftraten, wurde wahrscheinlich vorzugsweise in bestehenden Grabhügeln nachbestattet.

9.3.1.1.2. Sekundärbestattungen

Sekundärbestattungen in bereits bestehenden Grabhügeln sind vorwiegend ab dem Spätneolithikum nachweisbar. Während des Spätneolithikums und der Periode I sind die Nachbestattungen zwar im gesamten Arbeitsgebiet vorhanden, jedoch sind sie in ihrer Anzahl noch recht vereinzelt nachweisbar. Mit der Periode II und III

Abbildung 100: Räumlich-Zeitliche Verteilung von spätneolithischen und älterbronzezeitlichen Sekundärbestattungen in Grabhügeln [Datengrundlage: Aner und Kersten; Zettelkatalog ALSH].

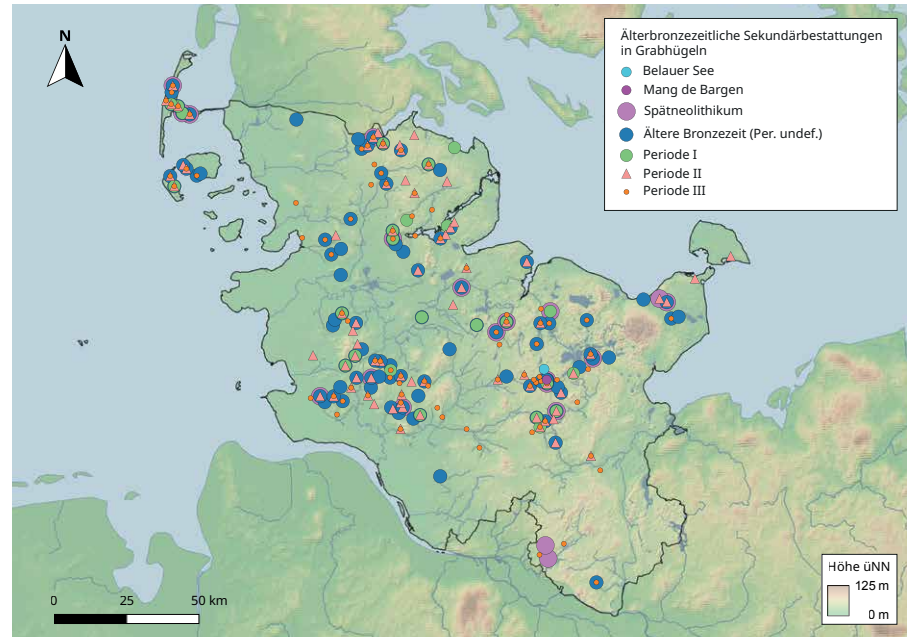
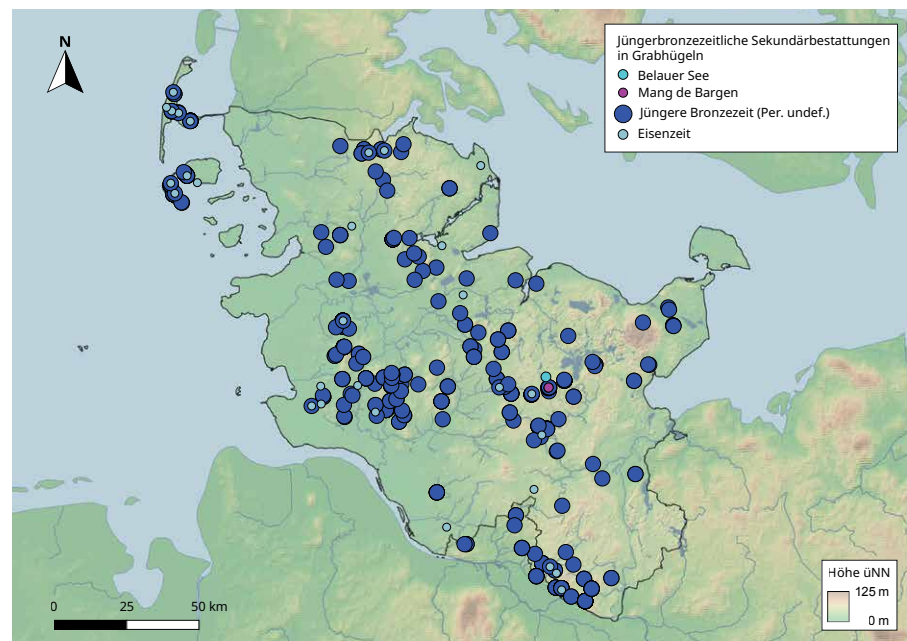


Abbildung 101: Räumlich-Zeitliche Verteilung jungbronzezeitlicher und eisenzeitlicher Sekundärbestattungen in Grabhügeln [Datengrundlage: Aner und Kersten; Zettelkatalog ALSH; Schmidt 1993].



treten wesentlich mehr Nachbestattungen in Grabhügeln hinzu und auch ihre Verbreitung ist weitläufiger (Abb. 100).

Aus der Jüngeren Bronzezeit und der Eisenzeit sind Nachbestattungen in bereits bestehenden Grabhügeln weit verbreitet geläufig (Abb. 101). Oft sind sie im Gegensatz zum bereits beraubten oder gestörten Primärgrab noch auffindbar. Die Datierung der Nachbestattungen kann fast immer nur grob in die Jüngere Bronzezeit erfolgen. Eine genauere Datierung ist oft nicht möglich, da jungbronzezeitliche Beigaben und Urnenformen oft langlebig sind. Mit den Datierungen von Urnenbestattungen dieses Projekts wurde jedoch der Grundstein gelegt, eine Tendenz zur Abfolge von Nachbestattungen in Grabhügelarealen zu rekonstruieren (siehe oben). Bei der Aufteilung der Gesamtanzahl von älter- und jungbronzezeitlichen Nachbestattungen auf die einzelnen Perioden, fällt jedoch auf, dass es nach der Periode III

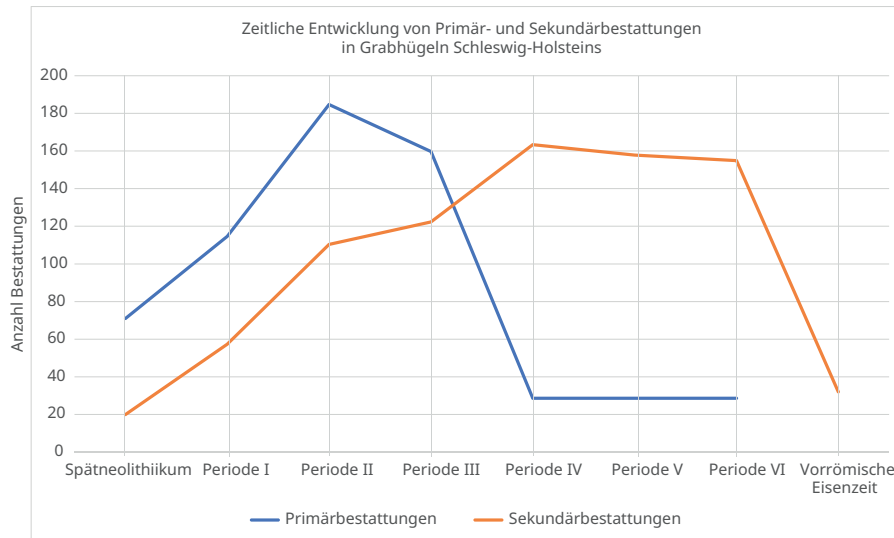


Abbildung 102: Trendlinie zu den Primär- und Sekundärbestattungen in Grabhügeln im Arbeitsgebiet [Datengrundlage: Aner und Kersten; Zettelkatalog ALSH; Schmidt 1993].

im Allgemeinen zu einer weiteren Steigerung jener Nachbestattungen kam (Abb. 102), die sich jedoch meistens in den Arealen um die Grabhügel erstreckten – wie auch aus Mang de Barga bekannt.

Für die Eisenzeit liegen nur vereinzelte Daten zu Nachbestattungen vor, die lose Streuungen aufzeigen. Ein Vergleich mit den eisenzeitlichen Gräberfeldern wäre in zukünftigen Studien wichtig, um die Langlebigkeit von bronzezeitlichen Grabhügelnekropolen und die Übergangsphasen zu jüngerbronzezeitlichen und eisenzeitlichen Brandgräberfeldern rekonstruieren zu können – wie es in Mang de Barga zum Beispiel möglich ist (siehe oben).

9.3.1.2. Flachgräber

Flachgräber, die nicht mit Grabhügeln in Verbindung stehen, bilden im Vergleich zu den Grabhügelbefunden eher eine Seltenheit. Vor allem aus älterbronzezeitlichen Kontexten konnten lediglich 127 Flachgräber aufgenommen werden. Dabei handelt es sich zumeist um Bestattungen in Steinsetzungen. Diese geringe Anzahl an Flachgräbern hängt dabei wahrscheinlich mit ihrer geringen Sichtbarkeit zusammen, sodass jene Grabanlagen meistens nur zufällig gefunden werden. Dementsprechend kann nicht angenommen werden, dass Grabhügelbestattungen gegenüber Flachgräbern überwogen haben. Vielmehr ist damit zu rechnen, dass Flachgräber die Mehrheit bildeten und Grabhügel nur einen geringen Teil der Bestattungen bildeten. Kristiansen nimmt auf Basis der jütländischen Daten an, dass ca. 10-20 Prozent der Bevölkerung in Grabhügeln Platz fanden, während der Rest (80-90%) in Flachgräbern beigesetzt wurde (Kristiansen 2018, 110). Es ist aber auch nicht auszuschließen, dass ein Großteil der Bevölkerung gar kein Grab erhielt, da es womöglich ein Privileg darstellte (Metzner-Nebelsick 2019, 217-218). Die räumlich-zeitliche Verteilung der Flachgräber im Arbeitsgebiet ist aufgrund der geringen Datengrundlage nur schwer beurteilbar. Insgesamt zeichnet sich eine weiträumige Verteilung ohne auffällige Konzentrationen ab. Der östliche Küstenbereich sowie die südlichen Regionen des Arbeitsgebiets scheinen hinsichtlich dieser Befundkategorie deutliche Forschungslücken darzustellen (Abb. 103), die sich auch teilweise in der Verteilung von anderen Befunden (z. B. Grabhügel, Depotfunde, Siedlungen) abzeichnet (siehe oben und unten). Beim Vergleich der Verteilungsmuster von älterbronzezeitlichen Flachgräbern und Grabhügeln fällt auf, dass beide Gräbertypen sowohl zusammen als auch getrennt voneinander vorkommen können (Abb. 104).

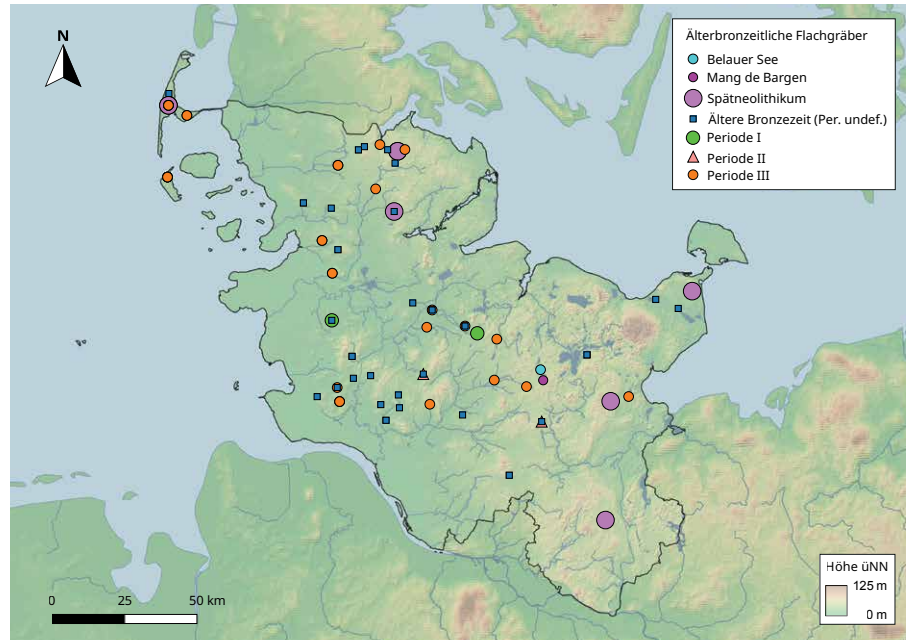


Abbildung 103: Verteilung von Flachgräbern vom Spätneolithikum bis zum Ende der Älteren Bronzezeit [Datengrundlage: Auer und Kersten; Zettelkatalog ALSH].

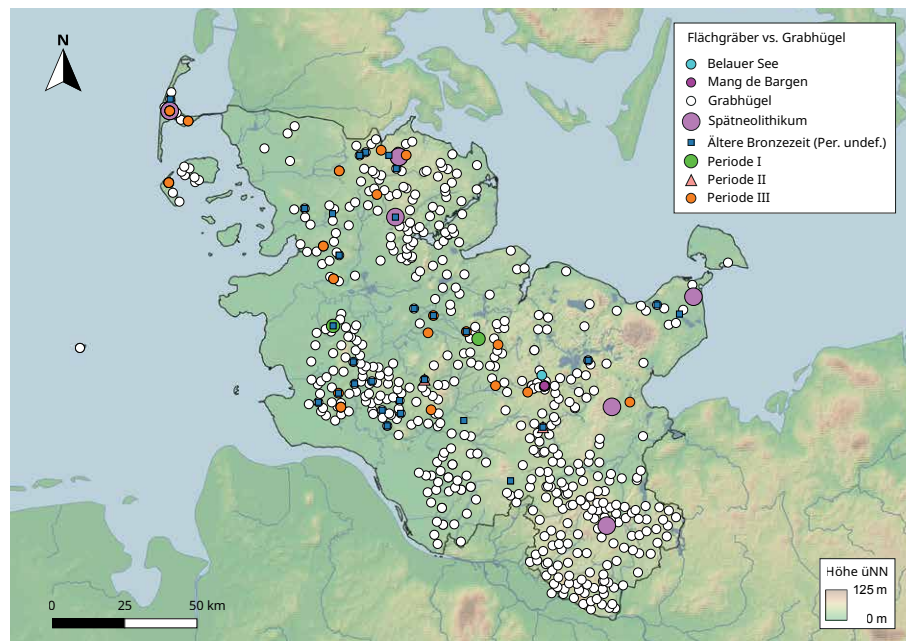


Abbildung 104: Verteilung von Grabhügeln und Flachgräbern vom Spätneolithikum bis zum Ende der Älteren Bronzezeit [Auer und Kersten; Zettelkatalog ALSH].

An jüngerbronzezeitlichen Fundstellen handelt es sich dagegen meistens um Brandflachgräber (Urnenbestattungen, Leichenbrandschüttungen, zum Grabbau und Ritus: siehe unten), die meistens zu Flachgräberfeldern bzw. Urnenfriedhöfen gehören, die sich vor allem am Ende der jüngeren Bronzezeit zu umfangreichen Nekropolen entwickeln konnten. Schmidt stellte für sein Arbeitsgebiet 1500 solcher Grabfunde (davon 205 genauer datierbare Gräber) von 191 Fundplätzen fest (Schmidt 1993, 14f.). Diese Urnengräberfelder verteilen sich in mittleren und südlichen Regionen Schleswig-Holsteins und folgen dabei nur bedingt den Verteilungsmustern der Grabhügelanlagen (Abb. 105).

Häufig befinden sich Grabhügel und Flachgräber an den gleichen Fundorten – wie das zum Beispiel am Fundplatz von Mang de Bargaen der Fall ist. Allerdings sind einige Urnengräberfelder auch abseits von Grabhügelvorkommen aufzufinden

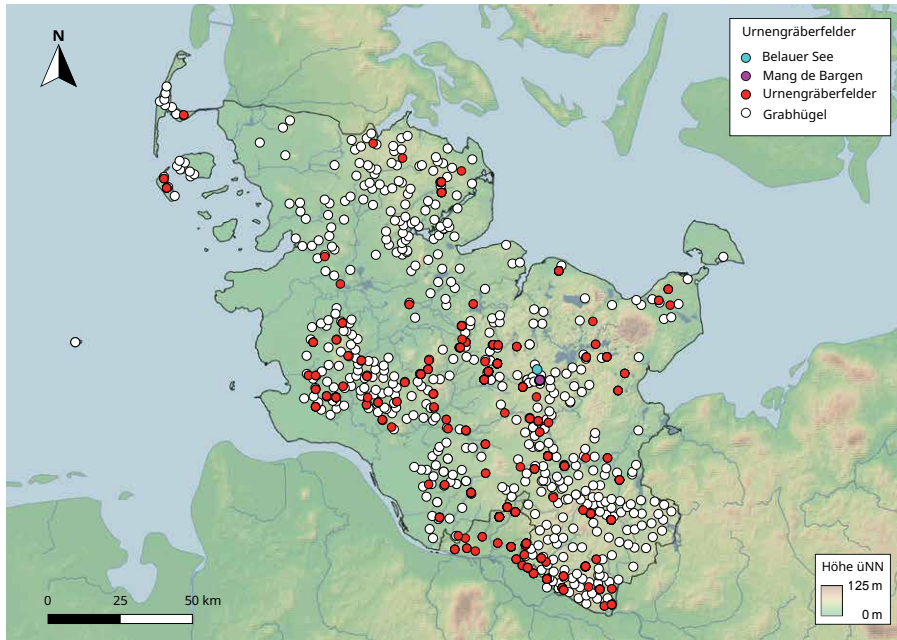


Abbildung 105: Verteilung von bronzezeitlichen Grabhügeln und jüngerbronzezeitlichen Urnengraberfeldern [Aner und Kersten; Zettelkatalog ALSH; Schmidt 1993].

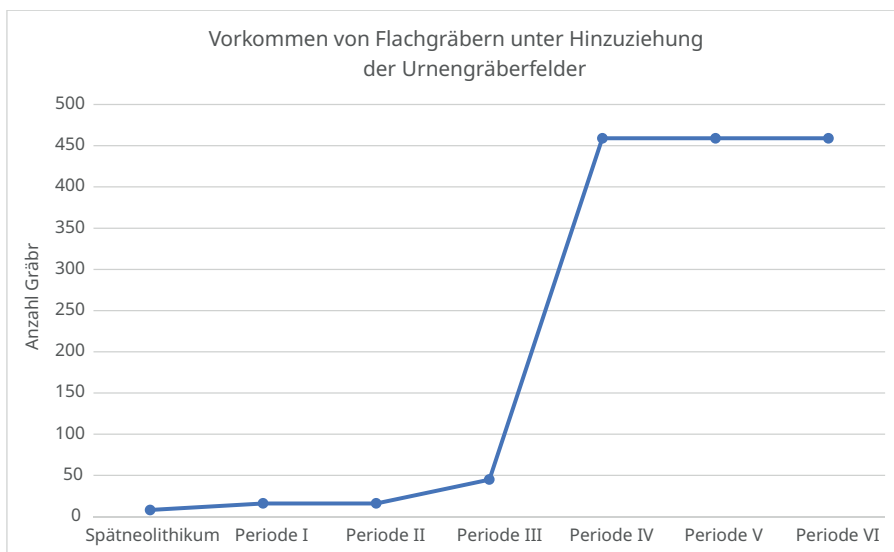


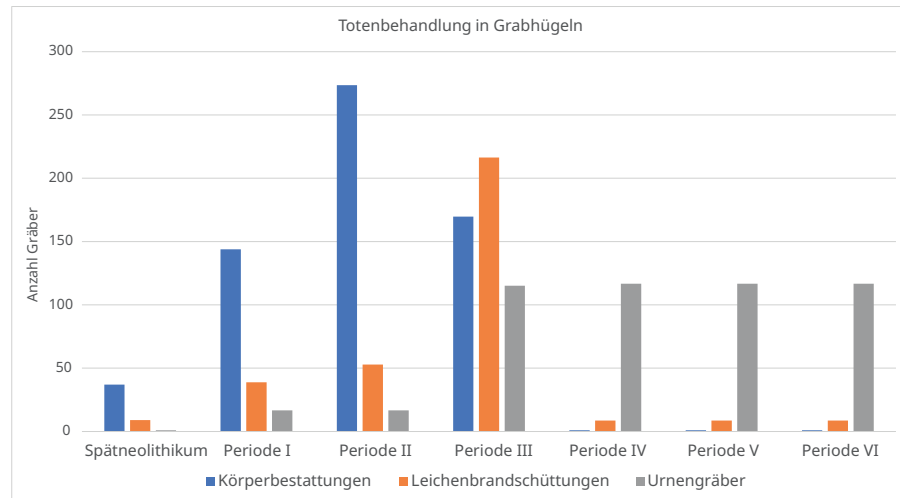
Abbildung 106: Zeitliche Entwicklung von Flachgräbern, die ab der Periode III v. a. Urnengraberfelder enthalten [Datenbasis: Aner und Kersten; Schmidt 1993].

oder lediglich etwas abseits von ihnen gelegen, sodass keine Regeln erkennbar sind (Abb. 105). Die Zunahme von Urnenflachgräbern ist mit dem Beginn der Jüngerer Bronzezeit dementsprechend deutlich (Abb. 106).

9.3.1.3. Totenbehandlung

Die Transformation der Bestattungssitte von der Körper- zur Brandbestattung lässt sich im Arbeitsgebiet während der Älteren Bronzezeit nachvollziehen. Im Rahmen der Analyse zur Totenbehandlung wird zwischen Körperbestattungen, Leichenbrandschüttungen und Urnengräbern unterschieden. Dazu wird die räumlich-zeitliche Verteilung jener Behandlungen ausgewertet, die vor allem in Grabhügeln aber auch in Flachgräbern vorkommen. Dabei wird die Datenbasis durch das Vorhandensein bzw. nicht-Vorhandensein datierbarer Befunde beeinflusst. Auch liegen einige Befunde vor, die keine Aussage zu der Totenbehandlung zulassen. Die Datenbasis auf der die folgende Auswertung zur Totenbehandlung basiert umfasst 1629 datierbare

Abbildung 107: Behandlung von Toten, die in relativchronologisch datierten Grabhügeln des Arbeitsgebiets vom Spätneolithikum bis zum Ende der Bronzezeit bestattet wurden [Datengrundlage: Aner und Kersten; Zettelkatalog ALSH; Schmidt 1993].



Grabanlagen aus 771 Grabhügeln und 84 Flachgräber. Beide Befundkontexte werden getrennt voneinander betrachtet, um Unterschiede feststellen zu können, da sie unterschiedlich repräsentativ sind. Hinsichtlich seiner Bedeutung wird der Bestattungswandel später behandelt, während es in diesem Abschnitt darum geht, Fakten zur räumlichen und zeitlichen Verteilung des Totenbrauchtums dar- und Veränderungen herauszustellen, bevor jene in eine Verknüpfung mit weiteren Faktoren, soziale, kulturelle oder ideologische Transformationen markieren können.

9.3.1.3.1. Totenbehandlung in Grabhügeln

Anhand der Bestattungen in Grabhügeln konnte ein Bestattungswandel am Übergang von der Periode II zur Periode III in Schleswig-Holstein nachvollzogen werden (Abb. 107).

Erste Brandbestattungen bilden im Spätneolithikum⁸⁴³ und der Periode I frühe Ausnahmen. Während der Periode II kündigt sich die Brandbestattung dann in Form von Leichenbrandschüttungen im Norden Holsteins und auf den (heutigen) Nordfriesischen Inseln an (Abb. 109), jedoch überwiegen noch immer Körperbestattungen, die sich über das gesamte Arbeitsgebiet verteilen (Abb. 108). Äußerst selten sind sogar schon Urnengräber während der Periode II erfassbar, die räumlich jedoch keinerlei Schwerpunkt zeigen. Mit der Periode III überwiegen die Leichenbrandschüttungen schlagartig und Urnenbestattungen übersteigen sogar Körperbestattungen, sodass es sich am Übergang von der Periode II zu III (um 1300 v. Chr.) um einen dann doch plötzlichen Wandel bzw. eine eher plötzliche Etablierung der Brandbestattungssitte handelte, die jedoch aufgrund der Periodeneinteilung nur als so plötzlich wahrgenommen wird. Absolute Datierungen bilden in der Datenbasis die Ausnahme.

Von einigen Fundplätzen, wie dem von Harrislee (Aner/Kersten-Nr. 2246, Kr. Flensburg-Schleswig, Periode II) oder Grevenkrug (LA 2, Aner/Kersten-Nr. 9624, Kr. Rendsburg-Eckernförde, Periode III) sind zum Beispiel jeweils eine Bestattung mit einer Körperbestattung und einer Leichenbrandschüttung in einer Steinkiste oder im Sarg unter einer Steinpackung bekannt. Für den Grabhügel LA 2 in Grevenkrug ist ein ¹⁴C-Datum im Rahmen dieses Projekts erstellt worden, das die gleichzeitige Körper- und Brandbestattung in einem gemeinsamen Baumsarg an den Übergangsbereich vom Ende der Periode II bis zur Mitte der Periode III datiert (Vgl. Kap. 8.10).

⁸⁴³ Im Allgemeinen handelt es sich bei dem Begriff der Leichenbrandschüttung um die Reste einer Brandbestattung, die ohne Urne in einer Steinkonstruktion (meistens Steinpflaster oder Steineinfassung) begraben wurden.

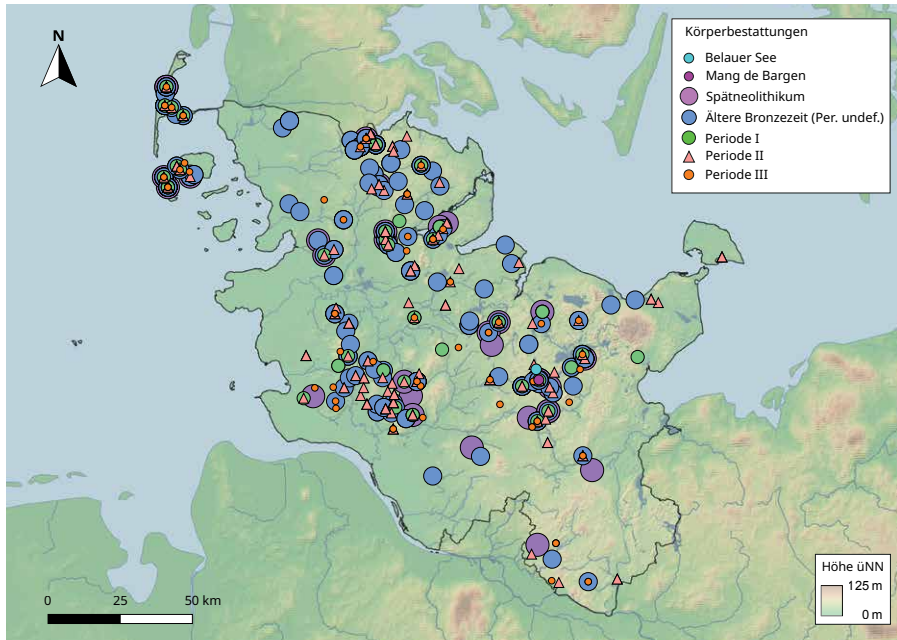


Abbildung 108: Körperbestattungen in Grabhügeln im Arbeitsgebiet vom Spätneolithikum bis zum Ende der Älteren Bronzezeit [Datengrundlage: Aner und Kersten; Zettelkatalog ALSH].

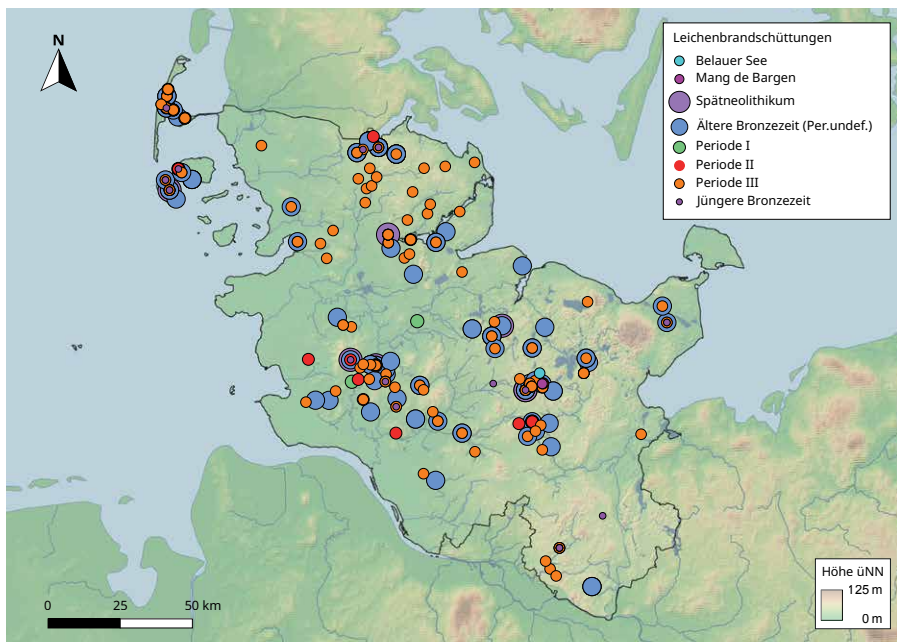


Abbildung 109: Leichenbrandschüttungen in Grabhügeln im Arbeitsgebiet vom Spätneolithikum bis zum Ende der Älteren Bronzezeit [Datengrundlage: Aner und Kersten; Zettelkatalog ALSH].

Die Beispiele zeigen, dass beide Bestattungsarten miteinander vereinbar gewesen sein können und nebeneinander bestanden, bis sich die Brandbestattung schließlich durchsetzte.

Leichenbrandschüttungen sind sowohl in der Periode III als auch in der Jüngeren Bronzezeit in Nutzung, jedoch etabliert sich die Urnenbestattung während der Jüngeren Bronzezeit und dominiert schließlich das Bestattungsbrauchtum des Arbeitsgebiets. Dieser Wandel vollzieht sich langsam, wie auch anhand der gleichzeitigen Datierungen der Urnen- und Leichenbrandschüttungsgräber am Fundplatz von Mang de Bergen ersichtlich ist (siehe Kap. 8.6.2 & Anhang IV). Im Arbeitsgebiet treten die ersten Urnengräber während der Periode II noch sehr vereinzelt im Norden Holsteins, an der Westküste und an der Flensburger Bucht auf (Abb. 110). Diese Verteilung könnte darauf hindeuten, dass küstennahe Gebiete – unabhängig vom

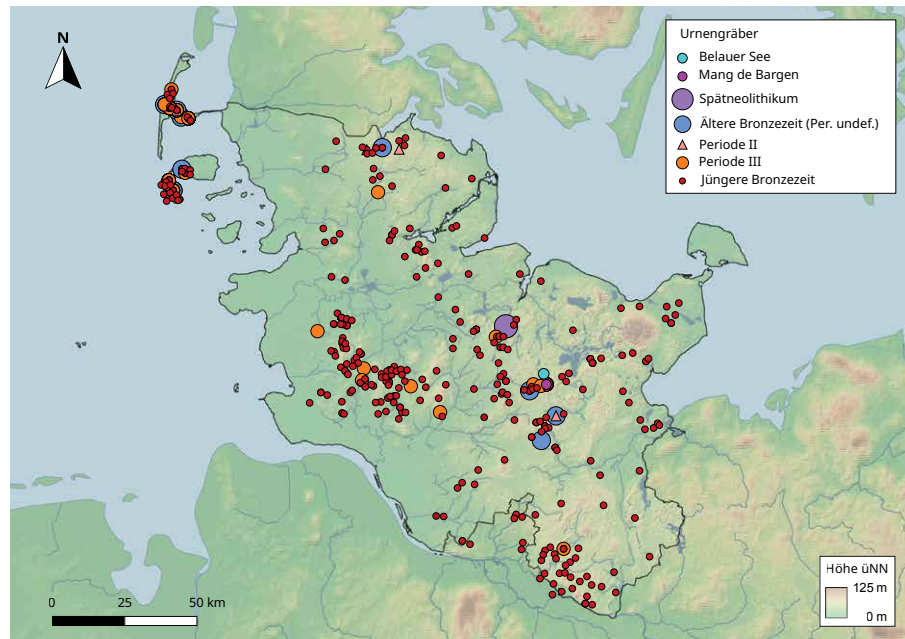


Abbildung 110: Bronzezeitliche Urnengräber in Grabhügeln im Arbeitsgebiet vom Spätneolithikum bis zum Ende der Älteren Bronzezeit [Datengrundlage Aner und Kersten; Zettelkatalog ALSH; Schmidt 1993].

Inland – von äußeren Einflüssen hinsichtlich des Bestattungsbrauchtums zuerst beeinflusst wurden. Mit der Periode III dominiert das Urnengräber-Vorkommen entlang der nördlichen Grenze Holsteins und damit in Gebieten in denen die Grabhügel mit Primärbestattungen der Periode III überwiegen (siehe unten), sowie auf den Nordfriesischen Inseln, sodass eine Einflussnahme durch Skandinavien – und nicht wie zuvor angenommen aus dem Süden – erwägenswert wäre.

Das Inland wird dagegen womöglich von den zunächst westküstennahen und südlichen Einflüssen gelenkt. Mit der Jüngeren Bronzezeit sind Urnennachbestattungen in Grabhügeln schließlich über das gesamte Arbeitsgebiet verstreut.

9.3.1.3.2. Totenbehandlung in Flachgräbern

Anhand der Flachgräber wird eine andere Verteilung im Totenbrauchtum auf die einzelnen Zeitphasen deutlich, die jedoch auch mit einer geringeren Datenbasis zusammenhängen kann. Der bronzezeitlichen Verteilung nach, wird in Flachgräbern bis einschließlich der Periode II ausschließlich körperbestattet. Dies ändert sich erst mit der Periode III, die dann sowohl im Verhältnis als auch in der Anzahl an Flachgräbern mit Leichenbrandschüttungen überwiegt. Auch Flachgräber mit Urnen überwiegen in der Periode III gegenüber Körpergräbern bei weitem. Ausgehend von diesen Entwicklungen könnte die These formuliert werden, dass die Brandbestattungen in Grabhügeln Hinweise auf Pioniere in der Anwendung der neuen Totenbehandlung darstellen, während sich der Wandel in Flachgräbern und damit möglicherweise weniger einflussreichen Individuen, erst später vollzieht.

In der Jüngeren Bronzezeit wird in Flachgräbern lediglich brandbestattet. Urnenflachgräber kommen dabei auf sich etablierenden kleinen Urnengräberfeldern vor (siehe Anstieg in Abb. 106). Die räumliche Verteilung von Flachgräbern nach dem jeweils angewandten Totenbrauchtum lässt aufgrund der geringen Datenbasis keine sinnvolle Kartierung zu und wird deswegen an dieser Stelle ausgelassen. Auf die räumlich-zeitliche Verteilung von Flachgräbern wird später genauer eingegangen (siehe unten).

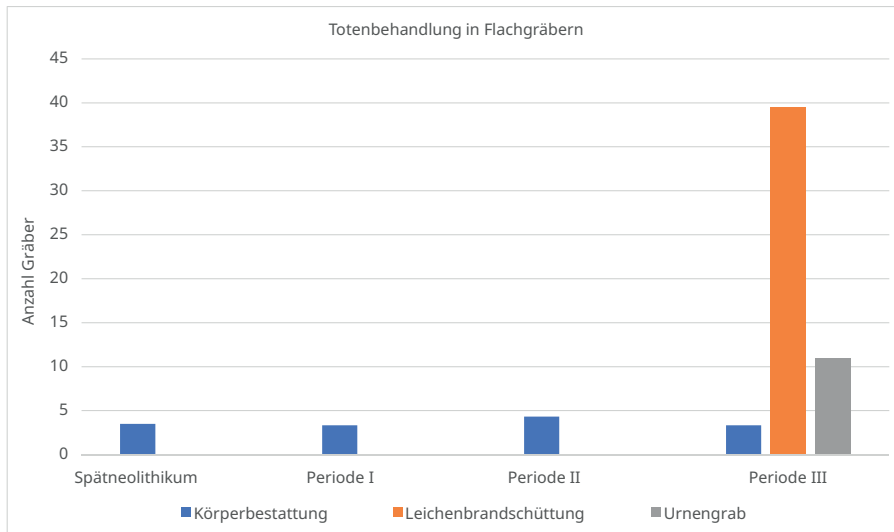


Abbildung 111: Behandlung von Toten, die in datierbaren Flachgräbern des Arbeitsgebiets vom Spätneolithikum bis zur Periode III bestattet wurden [Datengrundlage: Aner und Kersten; Zettelkatalog ALSH; Schmidt 1993].

9.3.1.4. Grabhügelbau

9.3.1.4.1. Grabhügeldurchmesser

Von insgesamt 3200 bronzezeitlichen Grabhügeln konnte der Durchmesser ermittelt werden. Teilweise liegen Angaben aus unterschiedlichen Aufnahmezeiträumen vor. Dabei wird stets auf den historisch ältesten Bezug genommen. Im Gegensatz zu den Höhenangaben, die durch die Landwirtschaft stark beeinträchtigt wurden, weichen die heutigen Durchmesser oft weniger stark von älteren Messungen ab, sodass sie für die Datenauswertung herangezogen werden, um räumliche Unterschiede im bronzezeitlichen Grabhügelbau festzustellen. Die Analyse der Höhenwerte ergibt weniger Sinn, da die Einebnungsprozesse keine plausiblen Werte mehr zulassen. Ein großer Hügeldurchmesser könnte auch eine entsprechende Höhe vermuten lassen, sodass der Durchmesser als Indikator für einen insgesamt mächtigen Hügel herangezogen werden könnte. Als Grundvoraussetzung kann dies jedoch nicht gelten und unterliegt kritischem Augenmaß. Die Durchmesser-Werte bewegen sich zwischen dem kleinsten mit 1,5 Metern (Zettelkatalog-Nr. 62-001-018, Ahrensburg, Kr. Stormarn) und dem Größten um 50 m (z. B. Aner/Kersten-Nr.: 2185 I, Esgrus, Kr. Flensburg-Schleswig oder auch LA 8 in Bornhöved, Kr. Segeberg). Der Durchschnitt aller Grabhügel zusammengenommen liegt bei 27,1 Meter und weicht damit stark von der von Endrigkeit berechneten Durchschnittsgröße von 17,7 Metern für ihre Zone 4, die auch Teile Schleswig-Holsteins umfasst, ab (Endrigkeit 2014, 83). Dieser Abweichung liegen wahrscheinlich die sehr unterschiedliche Datengrundlage und das voneinander abweichende Arbeitsgebiet zugrunde. So zählten in ihre Berechnungen zum Beispiel weder die Areale um den Belauer See, noch gesamt Holstein hinein. Ausgerechnet in diesen Arealen lassen sich jedoch besonders viele große Grabhügel (ca. 30 Meter im Durchmesser) erfassen (Abb. 113). Im Vergleich zu den von Endrigkeit berechneten Durchschnittswerten von Grabhügeln angrenzender Regionen sticht die Grabhügeldurchmesser-Größe der vorliegenden Arbeit zu Schleswig-Holstein heraus. Grabhügel mit Durchmessern zwischen 6 und 20 Metern überwiegen in der Datenbasis (Abb. 112). Etwas seltener werden Angaben mit bis zu 25 Metern erreicht. Gelegentlich werden entweder sehr kleine Hügel mit bis zu fünf Metern im Durchmesser erbaut, oder auch zwischen 26 und 30 Metern. Vereinzelt finden sich Kaliber von 31 bis 35 Metern und ab und zu gar bis zu 40 Metern. Dann und wann sind Grabhügel messbar, die einen größeren Durchmesser als 40 Meter aufweisen.

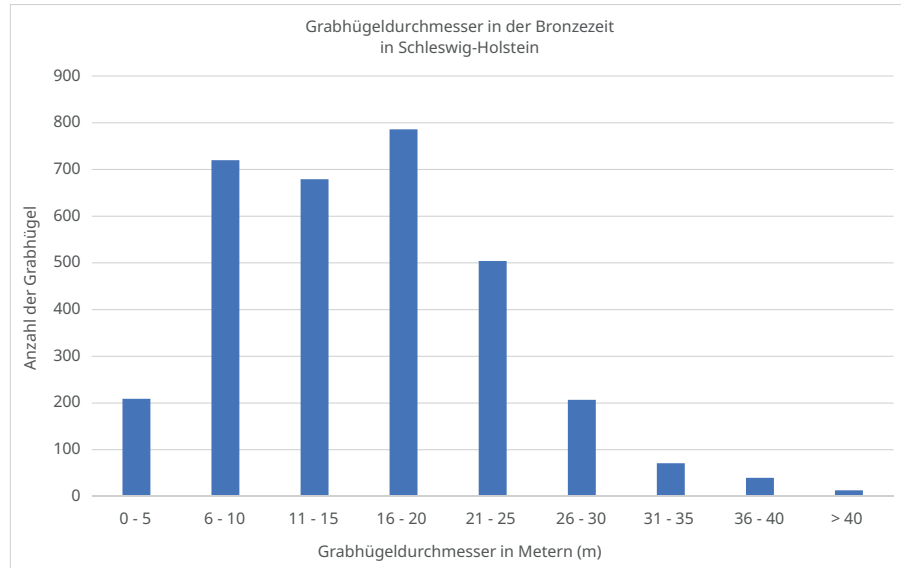


Abbildung 112: Durchmesser bronzezeitlicher Grabhügel im Arbeitsgebiet [Datengrundlage: Aner und Kersten; Zettelkatalog ALSH].

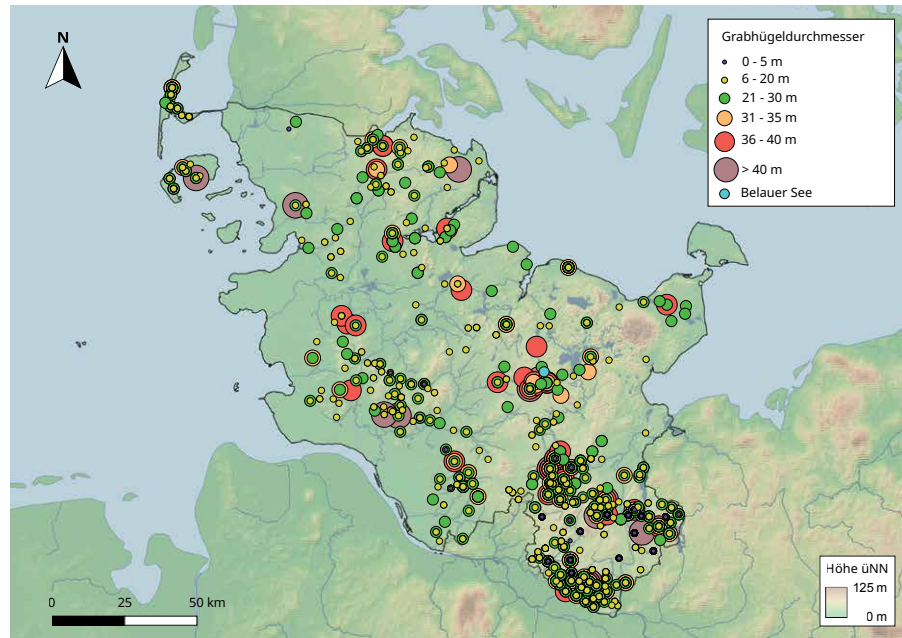


Abbildung 113: Verteilung der Durchmesser bronzezeitlicher Grabhügel im Arbeitsgebiet [Datengrundlage: Schwerin von Krosigk 1976; Aner und Kersten; Zettelkatalog ALSH].

Zeitliche Unterschiede können aufgrund teils fehlender genauer Datierung (d. h. genauer als ‚Bronzezeitlich‘ oder ‚Älterbronzezeitlich‘) nicht festgestellt werden. Datierungen, die verfügbar sind, lassen nur bedingt Aussagen zu und meistens verhält sich die Verteilung relativ gleichmäßig: So kommen große und kleine Grabhügel in allen Zeitstufen vor. Feldt konnte für Schweden hingegen feststellen, dass Grabhügel während der Periode II am größten sind, während sie mit der Periode III an Größe verlieren (Feldt 2005, 203). Im Arbeitsgebiet fällt lediglich auf, dass insbesondere die Grabhügel der Jüngeren Bronzezeit kleinere Durchmesser aufweisen als die älterbronzezeitlichen. Insbesondere die Grabhügel der ersten Kategorie (0 – 5 Meter) stellen häufig jüngerbronzezeitliche Steinhügel im Forst Hagen (Kr. Stormarn) dar. Dies zeigt sich auch in der räumlichen Verteilung deutlich, indem sich die Grabhügel kleinster Kategorie auf den Süden des Arbeitsgebiets beschränken (Abb. 113). Die kontrastierende Größe jüngerbronzezeitlicher Grabhügel passt auch zu der oben genannten abweichenden Bauweise, sodass die These von

unterschiedlichen Phänomenen des Grabhügelbaus damit weiter untermauert werden kann. Die Verteilungsgrößen wurden an die sich ergebende Einteilung der Abbildung 113 angepasst, sodass die Grabhügel zwischen sechs und zwanzig Metern eine Kategorie bilden, sowie Grabhügel der Größe 21 bis 30 Meter zusammengefasst werden. Gegenbeispiele jüngerbronzezeitlicher Monumente stellen die Grabhügel der Periode V dar, die vereinzelt 20 Meter im Durchmesser messen können (Bsp. Albersdorf) (Schmidt 1993, 17). Dies ist auch in Brandenburg mit dem Grabhügel in Seddin und auf Fünen in Lusehøj feststellbar (Vgl. Kneisel *et al.* 2019, 10). In der räumlichen Verteilung ist ersichtlich, dass die kleinsten Durchmesser im Süden Schleswig-Holsteins vorzufinden sind. Die zweite Kategorie (6-20 m), die auch in der Abbildung 112 am häufigsten vorkommt, ist in allen Teilen des Arbeitsgebiets vertreten. Demnach handelt es sich um den üblichsten Typus beim Grabhügelbau.

Grabhügel mit Durchmessern zwischen 21 und 30 Metern sind ähnlich wie die vorherige Kategorie in Schleswig-Holstein verteilt. Lediglich im Osten Ostholsteins sind Grabhügel dieser Größe gehäuft anzutreffen. Mit Durchmessern von 31 bis 35 Metern sind sie vor allem im Süden, aber auch mit Konzentrationen um den Belauer See (u. a. Mang de Barga) vorzufinden. Die nächstgrößere Kategorie (36-40 m) stimmt mit jener vorherigen überwiegend überein. Lediglich im Nordosten Dithmarschens (z. B. der ‚Heesbarg‘ in Schalkholz oder ‚De brede Barg‘ in Hövede) konzentrieren sie sich neben mehrheitlich kleineren Grabhügeln. Die größten Grabhügeldurchmesser sind im Süden, am Belauer See und im Zentrum des Kreises Steinburg auffindbar, während sie im Norden nur vereinzelt an den Küsten vorkommen. Möglicherweise war es teilweise wichtig, die Grabhügel zur Orientierung vom Wasser aus sehen zu können. Große Grabhügeldurchmesser sind dabei nicht unbedingt mit der Anzahl von Bauphasen oder Nachbestattungen verbunden. Mehrere Bauphasen können ebenso in Grabhügeln mittleren Durchmessers auftreten. Grabhügel kleinster Kategorie (bis 5 m im Durchmesser) hingegen enthalten oftmals – wenn überhaupt nachweisbar – lediglich eine Bestattung. Bei den äußerst großen Grabhügeln handelt es sich teilweise aber auch um entsprechend reich ausgestattete Gräber (viele Beigaben; u. a. Goldbeigaben). Manchmal liegen jedoch keine Informationen vor (v. a. aus Kr. Lauenburg und Kr. Stormarn). Reiche Gräber sind dabei jedoch nicht auf große Grabhügel beschränkt, sondern kommen auch in Grabhügeln kleiner (ab 5 m Durchmesser) oder mittlerer Größe vor.

9.3.1.4.2. Soden & Plaggen

Bei 94 Grabhügeln der Datenbasis konnten insgesamt 130 Soden- bzw. Plaggen-schichten entdeckt werden. Bei den meisten Grabhügeln wurde nur der Kernhügel oder eine Aufschüttung mit Soden oder Plaggen bedeckt. Teilweise sind jedoch mehrere oder sogar alle Bauphasen eines Grabhügels aus solchen Schichten aufgebaut (Vgl. z. B. LA 1, Aner/Kersten-Nr. 9407, Itzehoe, Kr. Steinburg). Die Nutzung von Soden oder Plaggen ist dabei unwesentlich abhängig vom Bestattungsritus, sondern passt sich dem Trend der Totenbehandlung an (Abb. 114). Die Periode II ist dabei die Hauptnutzungsphase und entspricht damit dem generell mehrheitlichen Vorkommen von Grabhügeln während der Bronzezeit (siehe oben).

Demnach werden Grabhügel vom Spätneolithikum bis in die Periode II mit Soden oder Plaggen erbaut, die Körperbestattungen enthalten. In der Periode II kommen Brandbestattungen (Leichenbrandschüttungen und Urnengräber) hinzu, die in Periode III und in der Jüngeren Bronzezeit überwiegen. In der räumlichen Verteilung zeigt sich, dass sich die Nutzung von Soden und Plaggen auf den nördlichen bis mittleren Teil des Arbeitsgebiets beschränkt (Abb. 106). Dabei ist eine Häufung um die Schlei und Flensburger Bucht sowie auf den Nordfriesischen Inseln ersichtlich. Diese Verteilung ist teilweise geographisch bedingt, da sich vor allem der Abtrag von Plaggen auf Heide- oder Waldlandschaften (z. B. Schleswig-Flensburg, Bsp. Harrislee) beschränkt und die Beigabe von Soden tritt dagegen in allen

Abbildung 114: Nutzung von Soden/Plaggen beim Grabhügelbau je nach angewandter Totenbehandlung im Arbeitsgebiet vom Spätneolithikum bis zum Ende der Bronzezeit [Datengrundlage: Aner und Kersten; Zettelkatalog ALSH].

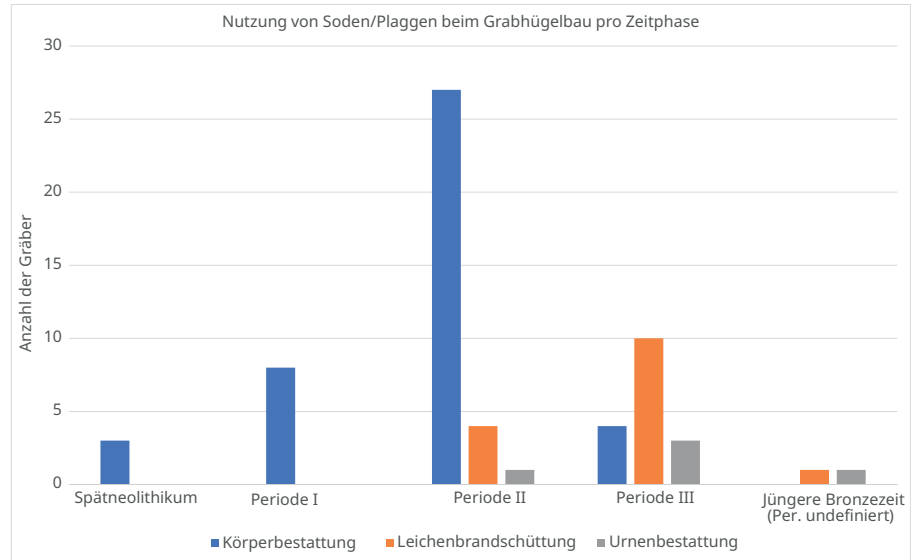
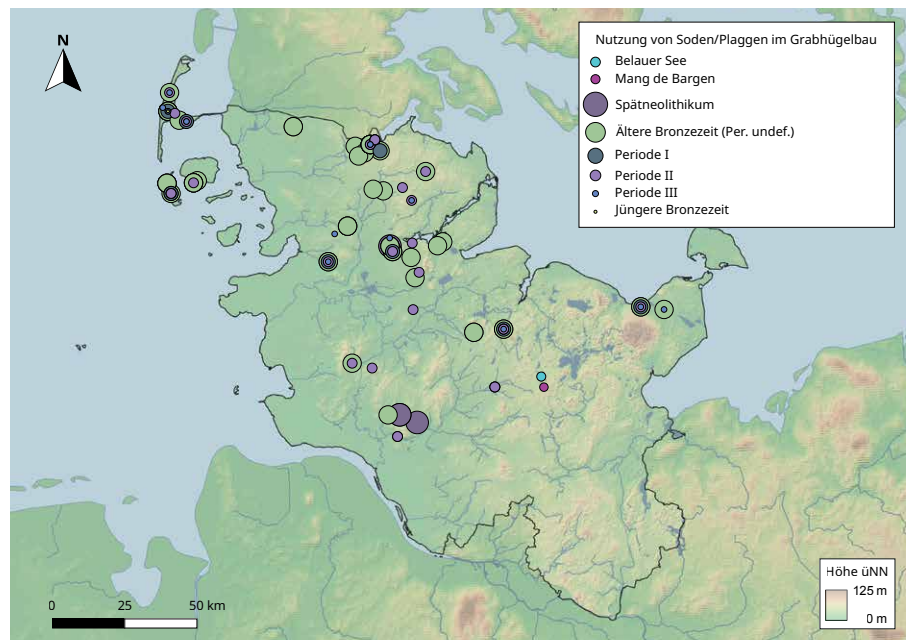


Abbildung 115: Verteilung von Grabhügeln mit Soden/Plaggen im Arbeitsgebiet vom Spätneolithikum bis zum Ende der Bronzezeit [Datengrundlage: Aner und Kersten; Zettelkatalog ALSH].



Regionen auf. Während des Spätneolithikums beschränkt sich der Hügelbau mit Soden und Plaggen auf den Nordwesten Holsteins (Steinburg). Während der Älteren Bronzezeit (Per. I-III) lässt die Nutzung von Soden und Plaggen keine spezifische zeitlich-räumliche Verteilung in den oben genannten Hauptarealen feststellen. Für die Jüngere Bronzezeit ist die Nutzung von Plaggen lediglich auf Sylt nachweisbar.

Die Verwendung von Grassoden beim Grabhügelbau wird teilweise auch als Grabbeigabe oder Teil eines wichtigen sozialen Events verstanden, da sie die Beigabe fruchtbaren Bodens bedeuten (Holst und Rasmussen 2015, 307f.). Endrigkeit erklärt die Nutzung von Plaggen hingegen damit, dass die in dem von ihr u. a. behandelten ‚steinlosen‘ Kreis Celler Grabhügel mit Plaggen aufgeschichteten wurden, um Steinhügel zu ‚kopieren‘ (Endrigkeit 2014, 94). Fruchtbarer Boden wird jedoch im Vergleich zu Steinen – v. a. im vorliegenden Arbeitsgebiet – wesentlich wichtiger gewesen sein. Tegtmeier führte Sodengrößen für norddeutsche und niederländische Grabhügel der Bronzezeit auf, die zwischen 35 und 80 Zentimeter Ausmaß

erreichen können. Dabei nennt sie Berechnungen nach Barker und Webley (Barker und Webley 1978, 161186), die für einen Grabhügel von 15 m Durchmesser und zwei Meter Höhe die Nutzung von 0,5 Hektar Soden angeben. Des Weiteren nennt sie die Kalkulation nach Friies (Friies 1958, 1617), der für den Grabhügel Grønhøj eine Sodenfläche von 1000 m² berechnete, die 11000 Soden entsprechen (Tegtmeier 1993, 128f.). Die Beigabe fruchtbaren Bodens, der für die Landwirtschaft äußerst wichtig ist, kann deswegen als Grabbeigabe eine ökonomischen Selbstlimitierung bedeutet haben. Die Folgen für die Landwirtschaft müssen dabei aber nicht unbedingt vorhergesehen und gewollt gewesen sein.

9.3.1.5. Grabbau

Insbesondere mit dem Wandel der Totenbehandlung von der Körper- zur Brandbestattung ändert sich auch der Grabbau während der Bronzezeit im Arbeitsgebiet. Kersten (1936, 4ff.), Splieth (1900; vgl. Zimmermann 1988, 33ff.) und Endrigkeit (2014, 39f., 89ff.) beschäftigten sich in ihren Arbeiten bereits mit dem älterbronzezeitlichen Grabbau. Dabei stand der Vergleich verschiedener Areale (Skandinavien, Niedersachsen usw.) im Zentrum. Im Folgenden liegt der Fokus auf Daten des neusten Forschungsstands aus dem Arbeitsgebiet Schleswig-Holsteins.

9.3.1.5.1. Särge

Während des ausgehenden Spätneolithikums und der Frühbronzezeit (Periode I) werden die Toten zumeist in Särgen (Baumsarg, Bohlensarg oder Holzsarg, wenn nicht näher bestimmbar) körperbestattet, die zusammen mit Steinkonstruktionen wie Bodenpflastern, Steinsetzungen, Steinpackungen oder anderen Einbauten auftreten können. Nur selten ist die Brandbestattung im Spätneolithikum sowie der Frühbronzezeit vertreten. Mit dem Aufkommen der Brandbestattung während der Periode II (siehe oben) ändert sich zunächst nur teilweise die Konstruktion. Zunächst scheint es so, dass die verbrannten Knochen im gewohnten Sarg (meistens Baumsarg, seltener Bohlensarg) ausgestreut werden. Auch während der Etablierung der Brandbestattungssitte in der Periode III bleibt der Sarg teilweise noch in Nutzung. Erst mit der Jüngerer Bronzezeit wird nicht mehr in Särgen bestattet, sodass davon ausgegangen werden muss, dass diese Sitte während der Periode III ihr Ende findet und durch andere Bauweisen wie Steinpflaster und schließlich der dominierenden Bestattungsweise in der Urne ihr Ende findet.

Es kann zwischen der Nutzung von Baum- und Bohlensärgen unterschieden werden. Oft konnte eine solche Unterscheidung aus Erhaltungsgründen nicht mehr vorgenommen werden. In solchen Fällen wird im Folgenden die Bezeichnung ‚Holzsarg‘ benutzt (Abb. 117). Die Verwendung von Baumsärgen überwiegt stark gegenüber Bohlensärgen (Abb. 116). Sofern es sich bei den unbestimmten Holzsärgen nicht überwiegend um Bohlensärgen handelt, könnte eine seltenere Nutzung von Bohlensärgen angenommen werden, die einen Hinweis auf den sozialen Status des Toten geben könnte, da die Herstellung eine nötige Kenntnis für die Konstruktion voraussetzt. Jedoch können Bohlen auch aus kleinen Hölzern hergestellt werden, sodass kein Baum gefällt werden musste und die Rohstoffbeschaffung ökonomischer ist. Das Fällen einer Eiche von 23 cm Durchmesser und ca. 12 m Höhe wurde zum Beispiel durch Schardt in einem Experiment mit einem Beil aus Silex nachvollzogen. Dabei waren 1286 Axthiebe notwendig, die mindestens 20 Minuten in Anspruch nahmen. Zuzüglich Ruhepausen dauerte die Fällung ungefähr eine Stunde (Schardt 1985, 35-36). Die Verwendung eines anderen Werkzeugs wie eines Absatz- oder Tüllenbeils, war effektiver, wie die Experimente von Holsten und Martens zeigten, die die Effektivität des jeweiligen Werkzeugs (z. B. Flintbeil, Tüllenbeil oder Absatzbeil) miteinander verglichen (Holsten und Martens 1991, 236, 243), sodass sogar weniger Zeit pro Fällung berechnet werden kann. Da für die Bestattung einer erwachsenen

Abbildung 116: Verteilung der Nutzung von Särgen in Grabhügeln je nach angewandter Totenbehandlung vom Spätneolithikum bis zum Ende der Älteren Bronzezeit [Datengrundlage: Aner und Kersten; Zettelkatalog ALSH].

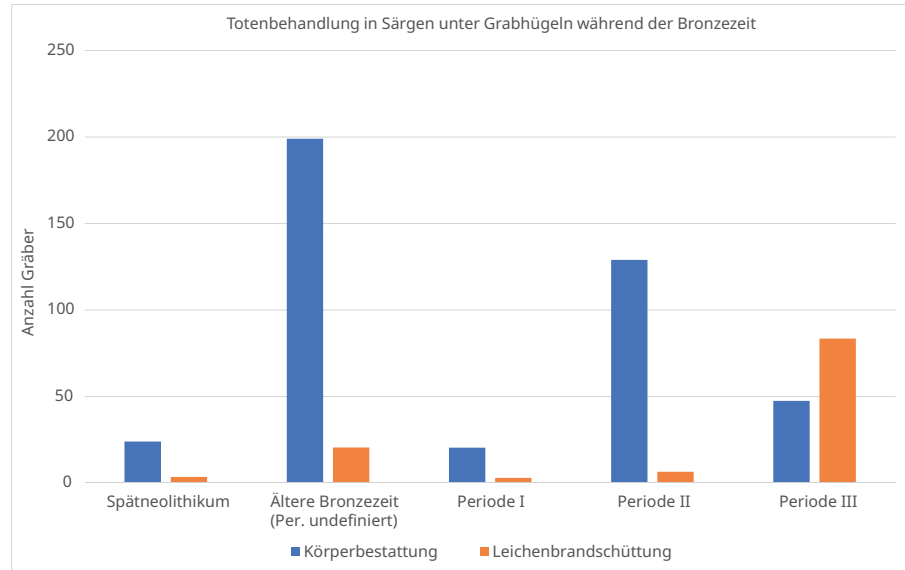
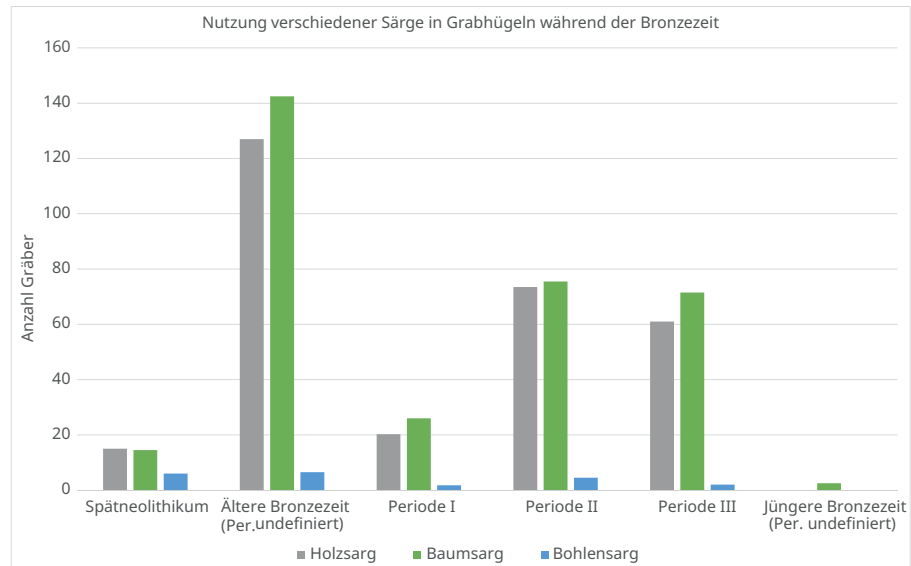


Abbildung 117: Verteilung der Sargtypen im Arbeitsgebiet vom Spätneolithikum bis zum Ende der Bronzezeit [Datengrundlage: Aner und Kersten; Zettelkatalog ALSH].



Person ein Baumsarg von ca. 70 cm nötig ist, müsste der Zeitaufwand auf das Dreifache angepasst werden und würde damit 3858 Axthiebe sowie 60 Minuten ohne Ruhepausen beanspruchen. Je nach Verfügbarkeit von nötigem Material könnte die Entscheidung, einen Boh-lensarg herzustellen, entsprechend von solchen Überlegungen abhängig gewesen sein. Bei Betrachtung der Beigaben fällt auf, dass es sich bei den Boh-lensargbestattungen um keine armen Gräber handelt. Im Vergleich zu den Baumsargbestattungen fällt aber auch kein übermäßiger Reichtum auf. In einem Fall wurden zwei Individuen in einem Boh-lensarg sogar ohne Beigaben bestattet (Vgl. Aner/Kersten-Nr. 2611, Amrum, Kr. Nordfriesland). Möglicherweise stellte die besondere Sargform bereits eine Beigabe dar. In Boh-lensärgen wurden Individuen sowohl verbrannt als auch unverbrannt niedergelegt.

In der räumlich-zeitlichen Verteilung von Boh-lensargbestattungen ist zu sehen, dass diese Sargform stets vereinzelt auftritt (Abb. 118). Lediglich auf Amrum ist eine Kontinuität vom Spätneolithikum bis zur Periode II (vielleicht auch noch Periode III)

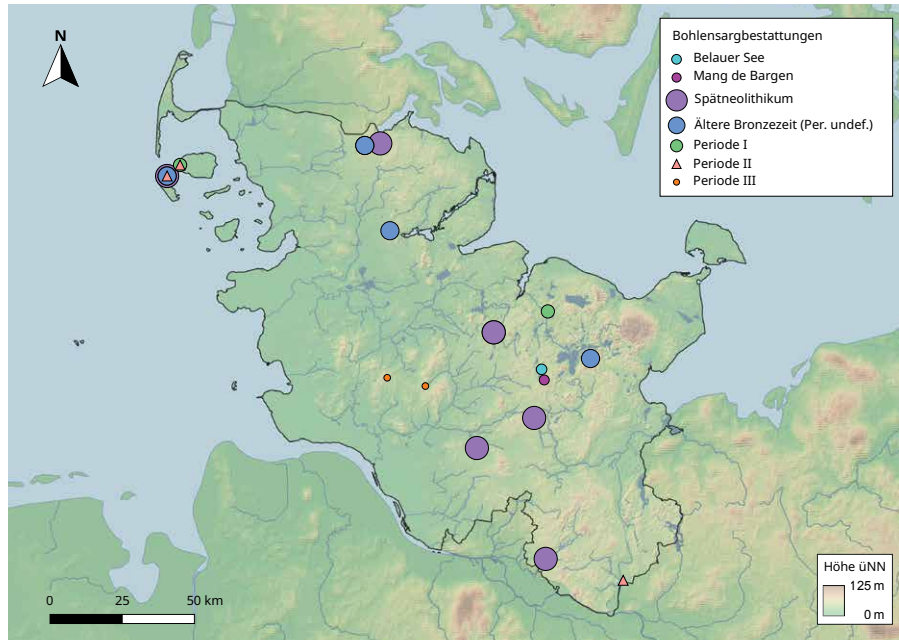


Abbildung 118: Verteilung von Bohlensargbestattungen im Arbeitsgebiet vom Spätneolithikum bis zum Ende der Älteren Bronzezeit [Datengrundlage: Aner und Kersten; Zettelkatalog ALSH].

der Bohlensargnutzung erkennbar.⁸⁴⁴ Diese Verteilung könnte auch mit der Verfügbarkeit von Rohstoffen (Eichen vs. Bohlen) zusammenhängen. Die Bestattungen auf Amrum sind im Vergleich zu den Bohlensargbestattungen des Festlandes dabei häufig beigabenlos. Jedoch kann es sich auch um ein Erhaltungsproblem handeln, da Baumsärge möglicherweise besser erhalten blieben als Särge, die aus mehr oder weniger dünnen Bohlen zusammengesetzt wurden. Aufgrund des verbreiteten Vorkommens und keiner ersichtlichen Bodenpräferenz, die eine bessere Erhaltung von Baumsärgen beweisen könnte, ist es aber auch möglich, dass der Bohlensarg bestimmten Personen vorbehalten war oder von weniger Personen bevorzugt wurde.

9.3.1.5.2. Steinkonstruktionen

Für die Auswertung von Elementen des Grabbaus wurden auch verschiedene Steinkonstruktionen, die in der Datenbank repräsentativ vertreten sind und entsprechend für eine Auswertung geeignet sind, herangezogen. In Abbildung 120 ist die Verteilung der einzelnen Elemente auf die unterschiedlichen Phasen vom ausgehenden Spätneolithikum bis zur Jüngeren Bronzezeit nachzuvollziehen, wobei der Fokus auf der Älteren Bronzezeit liegt, da sie den Bestattungswandel und dazugehörigen Wandel des Grabbaus umfasst. Es können verschiedene Kombinationen an Grabbauelementen erfasst werden, die teilweise jedoch von der Erhaltung abhängen, sodass keine allgemeingültige Aufführung von Grabbautätigkeiten pro Zeitphase möglich ist. Ungeachtet dessen können Trends in der Bauweise anhand ihrer Korrelation aufgezeigt werden (Abb. 119). Die Häufigkeit von steinernen Bauelementen pro Zeitphase ist dabei in Abbildung 120 nachvollziehbar. Während des Spätneolithikums treten Holzsärgе (bei denen es unklar ist, ob es sich um Baum- oder Bohlensärge handelt) im Allgemeinen meistens mit Steinpackungen und dabei manchmal mit Bodenpflastern auf, jedoch nie zusammen mit Steinrahmen und nur selten mit Steinkisten oder Steinsetzungen. Jene den Baumsärgen zuzurechnenden Befunde wurden manchmal mit Bodenpflastern, Steinrahmen, Steinsetzungen und Steinpackungen zusammen aufgefunden. Bohlensärge sind meistens ohne weitere Konstruktion erhalten und nur selten mit Steinpackungen oder Bodenpflastern versehen.

844 Auf Föhr handelt es sich um eine Bohlensargbestattung, die in beide Zeitphasen (Periode I-II) datiert wurde.

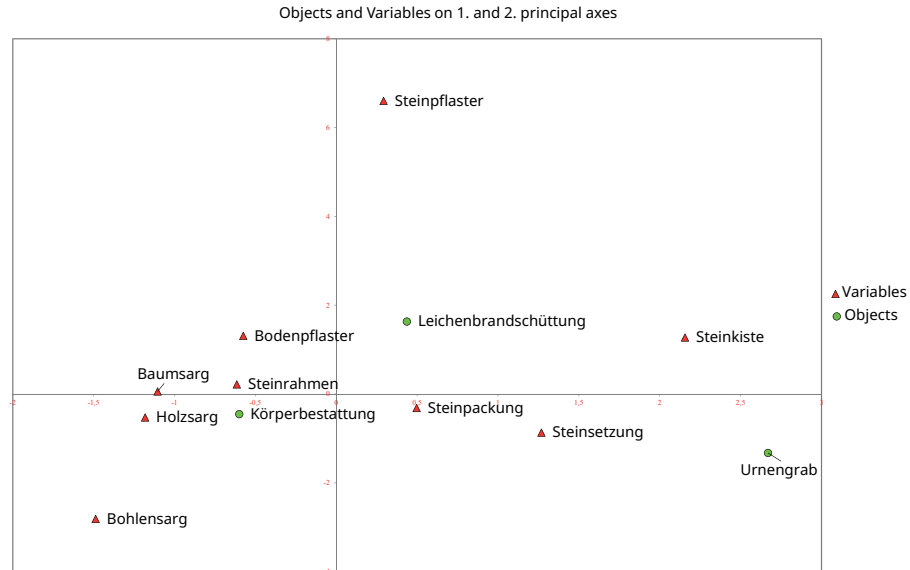


Abbildung 119: Korrespondenzanalyse zum Totenbrauchtum und ausgewählten Grabbauelementen bronzezeitlicher Bestattungen (erstellt mit: CAPCA).

In der Periode I sind unbestimmte Holzsärgе meistens mit Steinpackungen oder Steinsetzungen umgeben und nur selten mit Steinrahmen oder Bodenpflastern. Die als Baumsärgе bestimmten Särgе dieser Periode haben meistens eine Steinpackung und manchmal ein Bodenpflaster, sowie selten einen Steinrahmen. Bohlensärgе, die nur selten vorkommen, weisen ein Bodenpflaster mit Steinsetzung auf. Steinrahmen wurden für diesen Sargtyp nicht benutzt. In der Verteilung fällt auf, dass vom ausgehenden Spätneolithikum zur Periode I alle steinernen Konstruktionselemente bis auf die Steinpackungen leicht abnehmen. In Periode II pendelt sich das Verhältnis der Steinelemente jedoch wieder auf die alte Verteilung ein, wobei Steinpflaster zurückgehen. Während des Spätneolithikums sowie der Periode II scheint demnach das Einfassen von Gräbern mit Steinrahmen häufiger zu sein. Mit der Periode III weisen sowohl die unbestimmten Holzsärgе als auch die Baumsärgе meistens eine Steinpackung und/oder ein Bodenpflaster auf. Manchmal wurden sie von Steinrahmen eingefasst und nur selten wurden sie in einer Steinkiste niedergelegt. Bohlensärgе sind mit einer Steinsetzung und einem Bodenpflaster oder einer Steinpackung mit Bodenpflaster ausgestattet. Steinrahmen fehlen für diesen Sargtyp wie zuvor (siehe oben). Während der Periode II treten auch Gräber ohne Sarg auf. Bei den Körperbestattungen, Leichenbrandschüttungen und den wenigen Urnengräbern dieser Phase handelt es sich meistens um Individuen in Steinpackungen und/oder Steinkisten. Diese beiden Optionen wurden manchmal mit einem Bodenpflaster und/oder einer Steinsetzung ausgestattet. Bei den Urnengräbern wurde meistens auf diese Bodenpflaster oder Steinsetzungen verzichtet. Am Übergang von Periode II zu III geht die Nutzung jener Einfassungen erneut zurück, während alle anderen Elemente ansteigen. Dies ist auch mit dem Anstieg an Bestattungen insgesamt (Primär- und Sekundärgräber) verbunden. Beim Vergleich der Sargbestattungen zeigt sich jedoch ein Rückgang der Nutzung um ca. 10% mit der Periode III, sodass – vor dem Hintergrund des allgemeinen Gräberanstiegs – viele Individuen unterschiedliche Grabkonstruktion erfahren haben müssen. Während der Periode III wurden unbestimmte Holzsärgе und Baumsärgе meistens mit Steinpackungen und Bodenpflastern versehen. Nur selten wurden sie mit Rahmen oder Steinkisten ausgestattet. Einer der beiden Bohlensärgе dieser Zeitphase wies einen Steinrahmen auf. Die Körperbestattungen und Leichenbrandschüttungen ohne Sarg wurden meistens in Steinpackungen oder Steinkisten niedergelegt. Die Leichenbrandschüttungen wiesen außerdem teilweise Bodenpflaster und/oder Steinsetzungen auf, während Steinrahmen die absolute Ausnahme bildeten. Urnen dieser Periode wurden meistens in

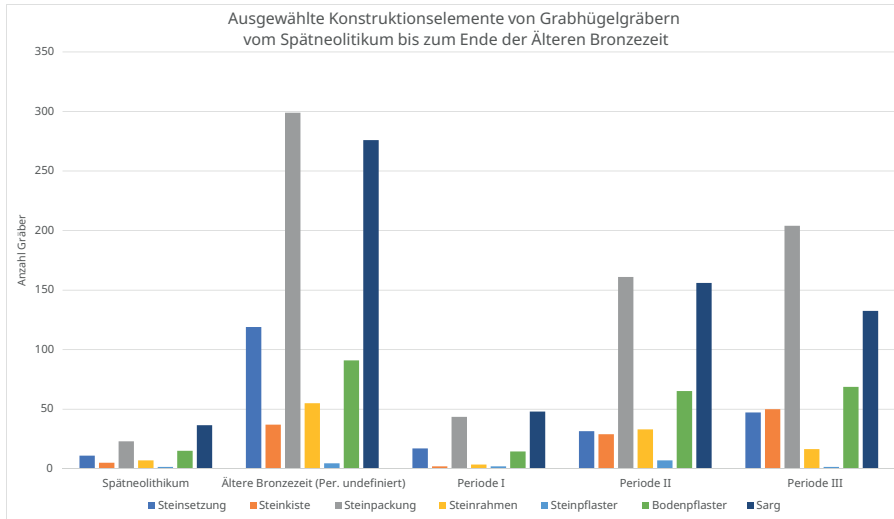


Abbildung 120: Verteilung von Konstruktionselementen spätneolithischer und älterbronzezeitlicher Grabhügelbestattungen [Datengrundlage: Aner und Kersten; Zettelkatalog ALSH].

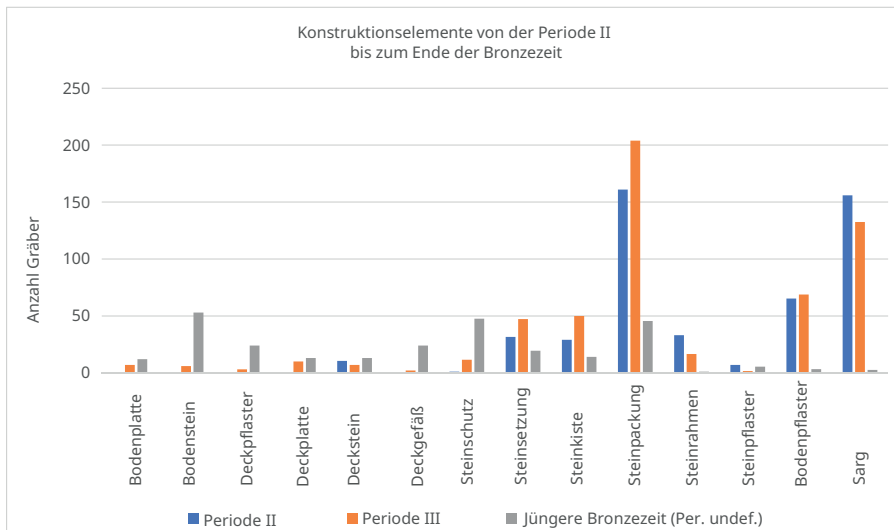


Abbildung 121: Verteilung von Konstruktionselementen von der Periode II bis zum Ende der Bronzezeit [Datengrundlage: Aner und Kersten; Zettelkatalog ALSH; Schmidt 1993].

Steinpackungen, im Steinschutz oder in einer Steinkiste bestattet. Seltener wurden verschiedene Steinschutzkombinationen (z. B. Bodenplatte, Deckstein usw.) verwendet (Abb. 121).

In der Kombination mit dem Bestattungswandel und der gleichzeitigen Nutzung von Särgen gegenüber den diversen Steinkonstruktionen scheinen während der Perioden II und insbesondere der Periode III verschiedenste Grabbaumöglichkeiten ohne sonderliche Einhaltung von Standards vorzuherrschen. Vor allem die Bestattungen der Periode III sind damit als sehr vielfältig zu charakterisieren. Um diese Vielfalt noch einmal zu verdeutlichen wurden in einer weiteren Auswertung auch Konstruktionselemente bedacht, die nicht so häufig vorkommen, bzw. eher in jüngerbronzezeitlichen Kontexten vertreten sind (Elemente des Urnenschutzes) (Abb. 121). Während der Periode III wird demnach eine starke Bandbreite an weiteren Konstruktionsmerkmalen deutlich, die mit der Bestattung in Urnen verbunden ist. Diese intensivieren sich im Verlauf der Jüngeren Bronzezeit.

Da es sich lediglich um Nachbestattungen in spätneolithischen und älterbronzezeitlichen Grabhügeln handelt, ist die Repräsentativität der Urnen zu dem sonstigen Urnenvorkommen während der Jüngeren Bronzezeit (siehe unten) an dieser Stelle geringer. Anhand der Daten kann für die Jüngere Bronzezeit jedoch festgestellt werden, dass Leichenbrandschüttungen eher in Steinkisten, Steinpackungen oder auf

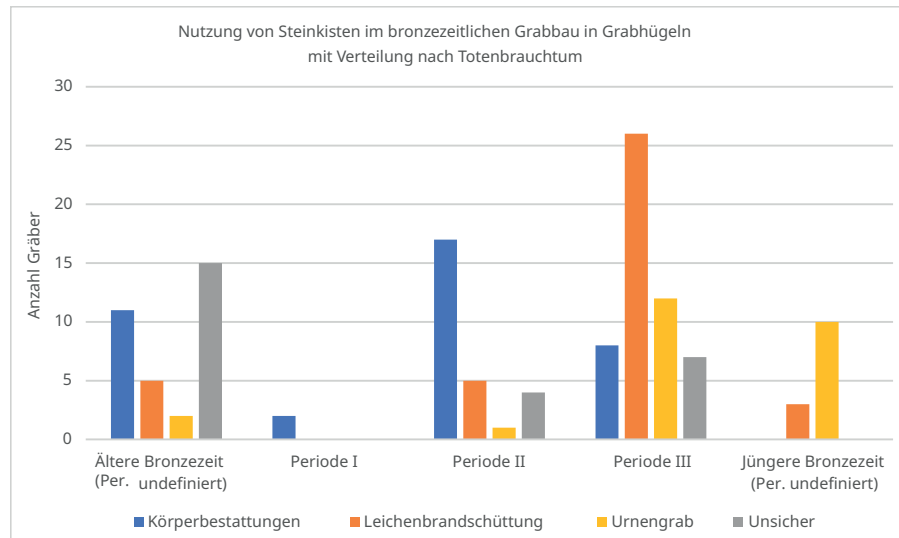


Abbildung 122: Totenbrauchtum in bronzezeitlichen Steinkistengräbern [Datengrundlage: Aner und Kersten, Zettelkatalog ALSH].

Steinflastern Platz fanden. Urnenbestattungen erfolgten meistens mit Steinschutz bzw. Steinsetzung⁸⁴⁵ sowie verschiedenen Kombinationen von Steinkonstruktionen, deren Auftreten auch erhaltungsbedingt sein kann. Teilweise wurden sie aber auch mit Steinpackungen geschützt, wenn es zum Beispiel keinen Steinschutz oder keine Steinsetzung gab.

9.3.1.5.3. Steinkisten

Steinkisten bilden in der Auswertung stets eine Sonderform der steinernen Grabkonstruktionselemente in der Älteren Bronzezeit (in der Datenbank wurden lediglich 121 datierbare älterbronzezeitliche Steinkistengräber erfasst). Es handelt sich um unterschiedlich große rechteckige Kisten aus einfachen Steinen oder Steinplatten. Die Lücken zwischen den aufgestellten Steinen wurden manchmal mit kleinen Steinen aufgefüllt und mit Mergel verstrichen (Vgl. Aner/Kersten-Nr. 2246, Kluesries, Harrislee, Kr. Flensbug-Schleswig, Per. II; Aner/Kersten-Nr. 2682, Kampen, Sylt, Nordfriesland, Per. III). Sie wurden des Öfteren in Steinpackungen in Grabhügeln bestattet. Auch in den Steinkisten ist der Bestattungswandel von der Körper- zur Brandbestattung ersichtlich (Abb. 122). In einer Steinkiste der Periode II wurden sowohl Leichenbrand, als auch unverbrannte Knochen zusammen niedergelegt (Vgl. Aner/Kersten-Nr. 2246, Kluesries, Harrislee, Kr. Flensbug-Schleswig). Solche (seltenen) Befunde zeigen, dass beide Totenbehandlungen miteinander vereinbar gewesen sein können (siehe oben). Es fällt auf, dass während der Periode III die Nutzung von Steinkisten für Leichenbrandschüttungen gegenüber Körperbestattungen deutlich vorherrscht. Auch Urnen wurden häufiger in Steinkisten niedergelegt, sodass Brandbestattungen insgesamt deutlich überwiegen.

Die Fundausstattung der Steinkistengräber ist auffällig reich, sodass es sich während der älteren Bronzezeit womöglich um eine besondere Bestattungsform handelte, die bestimmten Personen vorbehalten war. Kinder sind von der Nutzung von Steinkisten nicht ausgeschlossen, weisen aber auch keine besondere Repräsentanz auf. Mit der Jüngeren Bronzezeit gehören Steinkisten dem Grabbau-Repertoire zum Schutz von Urnen an und sind gelegentlich mit mehr als einer Urne bestückt (Schmidt 1993, 11).

⁸⁴⁵ Die in Abbildung 112 genannten ‚Steinsetzungen‘ entsprechen beim Urnengrab dem ‚Steinschutz‘. Die beiden Begriffe wurden aufgrund des unterschiedlichen Gebrauchs von Bezeichnungen durch die Ausgräber separiert. Siehe Unterschiede zwischen den Urnengrabformen in: Menke 1972, 7-8.

9.3.1.6. Totenbehandlung und Grabbau

Sowohl für die Totenbehandlung, als auch für den Grabbau können zwei, jedoch aufeinander aufbauende Transformationsphasen angenommen werden. Während sich die Totenbehandlung während der Periode II zuerst wandelte, folgte die Änderung des Grabbaus anscheinend etwas zeitversetzt, indem zunächst noch die bekannten Muster (Sarg mit Steineinfassung und/oder Steinpackung) bis in die Periode III genutzt wurden. Mit dem Übergang von der Periode II zur Periode III erfolgte die Etablierung der Verbrennungssitte und damit ab der Mitte der Periode III auch die Änderung des Grabbaus, der sich zunächst ohne sonderliche Struktur vom Sarg mit Steinkonstruktionen über diverse Steinkonstruktionen ohne Sarg bis zur Urne veränderte. Urnen und Leichenbrandschüttungen auf Steinpflastern können dabei gleichzeitig auftreten – wie es auch vom Fundplatz von Mang de Barga bekannt ist (siehe oben). Der Wandel der rituellen ‚Weltanschauung‘ bildet dabei wahrscheinlich die Basis für einen Wandel des Grabbaus, der auch ökonomisch und sozial orientierten Gründen unterliegen kann. Auslöser und Motive werden später unter Hinzuziehung weiterer in diesem Kapitel analysierten Elemente behandelt.

9.3.2. Depots

Die kartierten Depots basieren auf den Daten nach Aner und Kersten, Schmidt 1993 und der Arbeit zu den bronzezeitlichen Depotfunden von Endrigkeit 2010. Dabei wurde der Hortcharakter je nach Auffindungsmilieu (z. B. Moor-/Gewässerfund) und Zusammensetzung definiert. Letzterer ließ Gräber- oder Siedlungsfund-Charakter sowie die Option des verlorengegangenen Fundes ausschließen und entsprechenden Depotcharakter erwägen. Hinsichtlich der Mengenverteilung wurde auf die Angaben nach Endrigkeit 2010 Bezug genommen. In der folgenden Datenverarbeitung wird nicht zwischen Horten oder Depots unterschieden. Des Weiteren wird die Charakterisierung profaner (zeitweise, reversible) und sakraler (permanente, irreversible) Niederlegungen nicht in die räumlich-zeitliche Datenbeschreibung einbezogen, sondern erst im Rahmen der Fundanalyse angesprochen. Die spätneolithischen Befunde dieser Kategorie treten aus Gründen der eingeschränkten Aufnahme für diese Zeitphase so stark vereinzelt in Erscheinung, dass sie in der vorliegenden Arbeit nicht kartiert wurden. Im Allgemeinen sind v. a. aus dem Jungneolithikum niedergelegte Flintbeile bekannt (Vgl. z. B. Schultrich 2018, 46ff.). Für die bronzezeitlichen Perioden wurden die Depots zusammen mit Grabhügelfundplätzen kartiert, um festzustellen inwieweit diese beiden Befundkontexte zusammen auftreten bzw. ein gemeinsames räumlich-zeitliches Vorkommen ausschließen lassen. In der Periode I ist das Fundspektrum der Depotfunde äußerst variabel (Vgl. Kap. 9.4.3). Endrigkeit zufolge weisen die Bronzegegenstände der Hortfunde dieser Periode oft Abnutzungsspuren auf (Endrigkeit 2010, 27), die als Indikator dafür herangezogen werden könnten, dass die Verfügbarkeit von Bronze vorerst weniger stark gesichert war (Kristiansen 1985, 129-141.; Endrigkeit 2010, 121) und die Artefakte vor ihrer Niederlegung lange im Umlauf waren. Die Verteilung der Depots zeigt eine regelmäßige Verteilung im Arbeitsgebiet. Lediglich der Nordwesten und die Westküste wurden seltener für Niederlegungen in diesem Zeitabschnitt genutzt. Für die Periode I kann ein gemeinsames Vorkommen von Grabhügelfundplätzen und Depotfunden mehrheitlich ausgeschlossen werden (Abb. 123).

Die Depots stammen dabei sehr häufig aus Moorgebieten und befinden sich oft in Gewässernähe (Schlei; Elbe; Ostküste). Endrigkeit vermutet, dass insbesondere solche Positionierungen auf Handelsverbindungen zurückgeführt werden könnten (Endrigkeit 2010, 123). Ebenso könnten die Depots entlang der Jungmoräne auf Handelsrouten hinweisen (Endrigkeit 2010, 100). Mit der Periode II nimmt die Anzahl der Depots deutlich zu (Abb. 124).

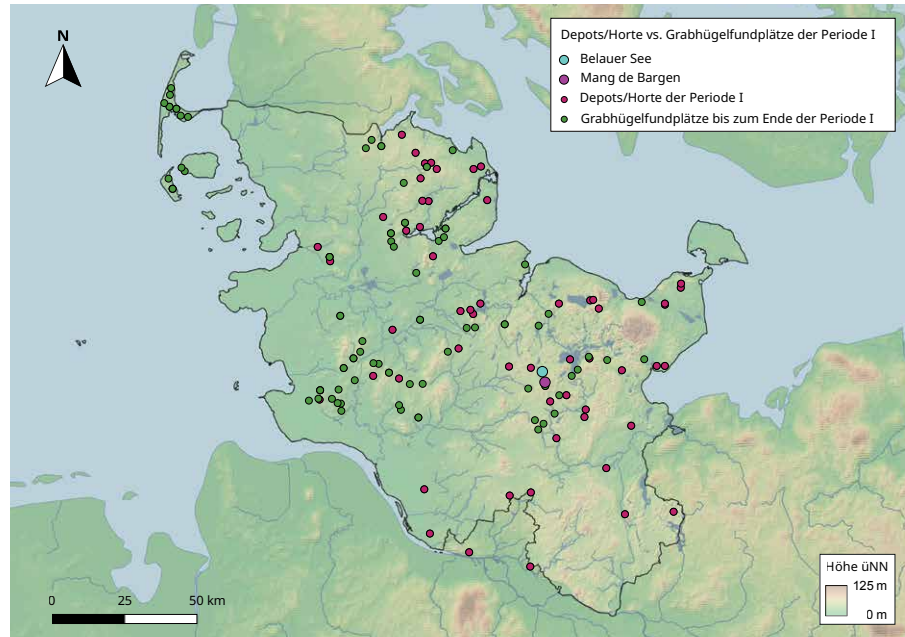


Abbildung 123: Verteilung von Depots und Grabhügelfundplätzen während der Periode I im Arbeitsgebiet [Datengrundlage: Aner und Kersten, Schmidt 1993, Endrigkeit 2010].

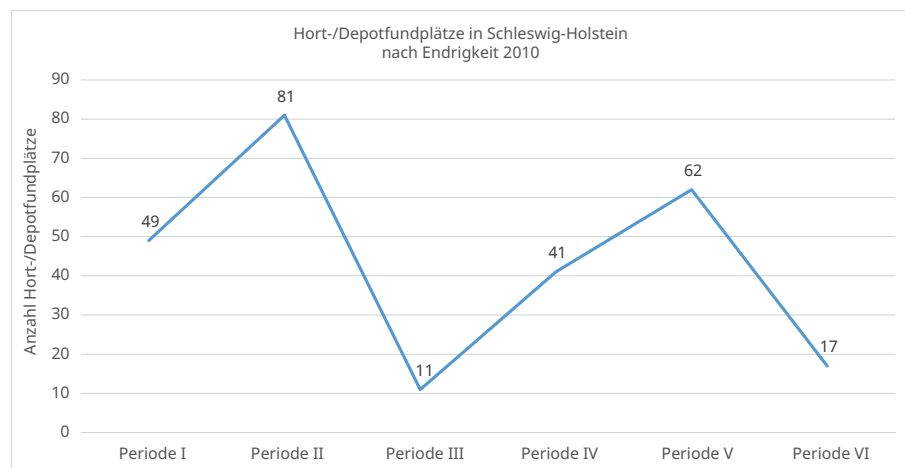


Abbildung 124: Zeitliche Verteilung der Horte/Depots in Schleswig-Holstein von der Periode I bis VI (Datengrundlage: Endrigkeit 2010).

Dies zeigt sich auch in der räumlichen Verteilung, indem die Niederlegungen weiterverbreitet sind und nun auch im westlichen Küstenbereich vermehrt vorkommen (Abb. 125). Lediglich das nordwestliche Festland sowie der Südwesten (Kr. Pinneberg) bleiben ausgespart – diese Beobachtung ist auch für die Grabhügel erkennbar (siehe oben), sodass hier Forschungslücken vermutet werden könnten. Die Inhalte der Depots sind zudem im Vergleich zur Periode I wesentlich reichhaltiger und Mehrstückdepots werden häufiger, sind aber im Vergleich zu einteiligen Depots seltener vorhanden. Beile (v. a. Absatzbeile) und Lanzenspitzen treten dabei besonders häufig auf (Vgl. Kap. 9.4.3).

Mit der Periode III ist ein starker Rückgang an Depotfunden im gesamten Arbeitsgebiet feststellbar (Abb. 124). Die wenigen Fundplätze dieser Phase überschneiden sich dabei ab und zu mit Grabhügelfundplätzen (Abb. 126). Manchmal befinden sie sich lediglich in der Nähe bzw. Sichtweite zueinander, während andere in alternativen Arealen vorkommen. Die geringe Anzahl an Depots lässt kaum Aussagen zu Fundinhalts-Präferenzen zu. Werkzeuge und Schmuck scheinen jedoch ungefähr ähnlich häufig vorzukommen (Vgl. Kap. 9.4.3). Dabei sind mehrteilige Fundinventare geringfügig häufiger vertreten (Endrigkeit 2010, 71).

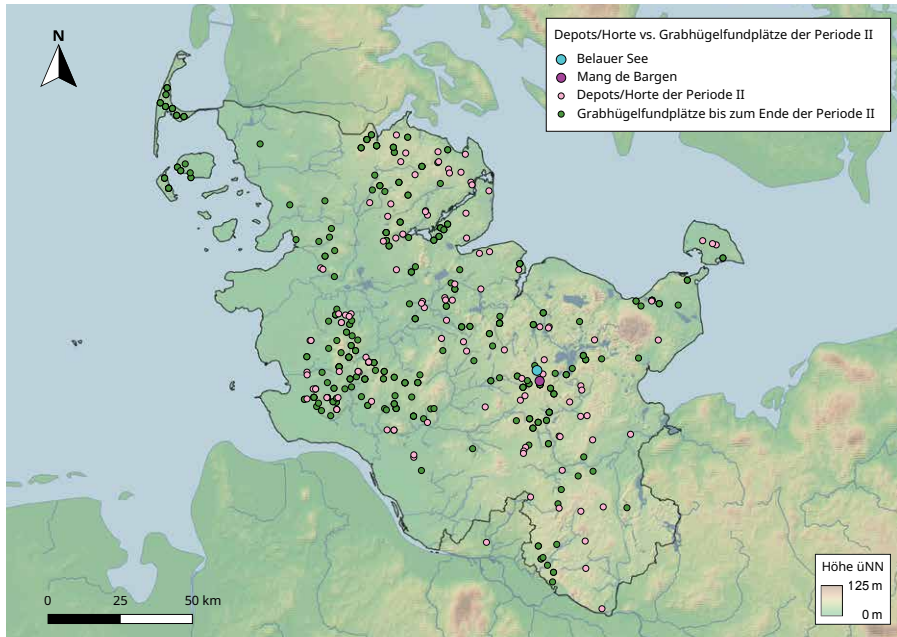


Abbildung 125: Verteilung von Depots und Grabhügelfundplätzen während der Periode II im Arbeitsgebiet [Datengrundlage: Aner und Kersten, Schmidt 1993, Endrigkeit 2010].

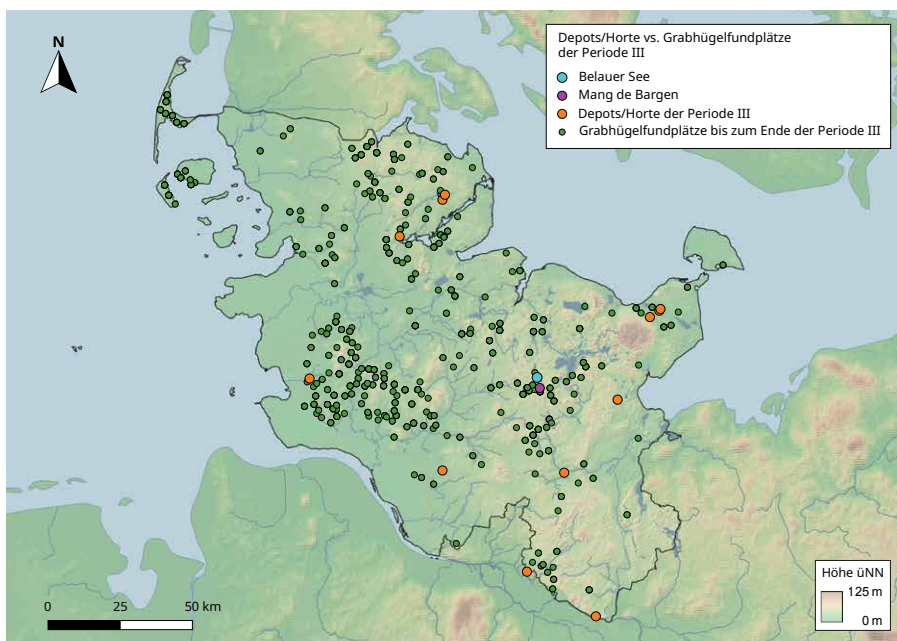


Abbildung 126: Verteilung von Depots und Grabhügelfundplätzen während der Periode III im Arbeitsgebiet [Datengrundlage: Aner und Kersten, Schmidt 1993, Endrigkeit 2010].

Mit der Jüngerer Bronzezeit werden Gegenstände von der Periode IV bis zur Periode V wieder wesentlich häufiger niedergelegt, bevor diese Entwicklung mit der Periode VI wieder stark rückläufig ist (Abb. 124). Einteilige und mehrteilige Inventare halten sich dabei ungefähr die Waage. Schmuck und Trachtbestandteile (z. B. Ringschmuck und Fibeln) überwiegen (Vgl. Kap. 9.4.3). Die räumliche Verteilung ist sehr regelmäßig im Arbeitsgebiet vorhanden. Dabei werden meistens sowohl der Jungmoränenrücken, als auch Gewässernähen bevorzugt. Insbesondere in der Periode VI ist eine Häufung von Depots auf dem glazialen Geschieberücken und in Ostholstein zu beobachten. Im Vergleich mit den Grabhügelfundplätzen werden jedoch wiederholt alternative Bereiche für die Niederlegung von Gegenständen genutzt (Abb. 127). Des Weiteren ist eine leichte Verlagerung von den Küstengebieten ins Landesinnere in Periode VI erkennbar.

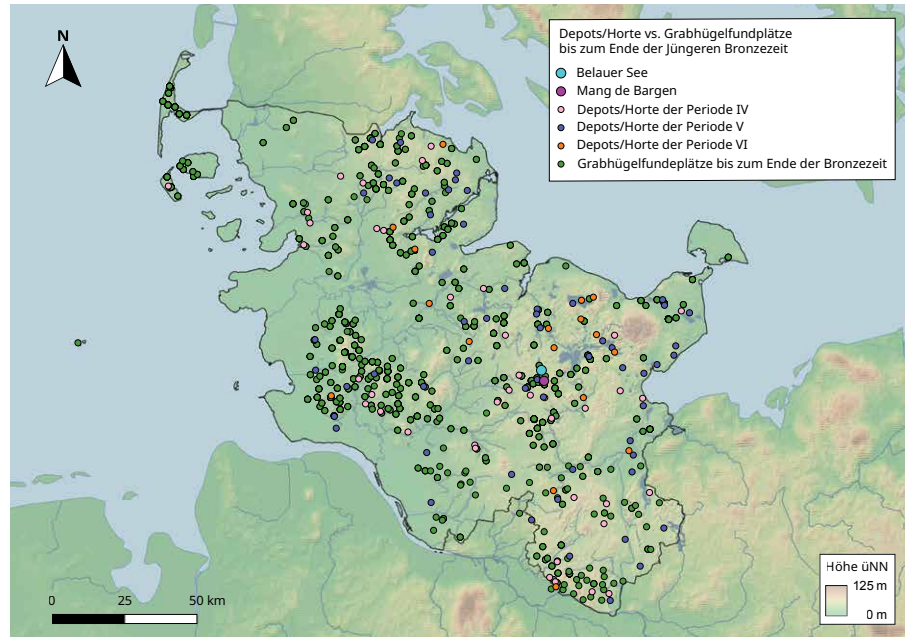


Abbildung 127: Verteilung von Depots und Grabhügelfundplätzen während der jüngeren Bronzezeit im Arbeitsgebiet [Datengrundlage: Aner und Kersten, Schmidt 1993, Endrigkeit 2010].

Dagegen fällt beim Kartieren von jüngerbronzezeitlichen Depotfundplätzen und Urnengräberfeldern desselben Zeitabschnitts auf, dass sich beide Befundgattungen ab und zu dasselbe Fundplatzareal teilen. Eine Regelmäßigkeit ist jedoch keineswegs erkennbar. Insgesamt nimmt die Anzahl der Depots von der Älteren zur Jüngeren Bronzezeit ab, jedoch steigt die Anzahl der Funde pro Depot in der Jüngeren Bronzezeit im Vergleich zur Älteren (Endrigkeit 2010, 83). Die reichsten Deponierungen kommen dabei in Periode I-II in Schleswig (Norden des Arbeitsgebiets) und in der Jüngeren Bronzezeit überwiegend in Holstein (Süden des Arbeitsgebiets) vor (Endrigkeit 2010, 120). Die allgemeine Verteilung von Depots überschneidet sich nur geringfügig mit Grabfundplätzen (v. a. Grabhügeln). Jene, die unweit von Grabkontexten auftreten, enthalten dabei heterogenere Fundinventare als jene, die sich weiter entfernt befinden (Endrigkeit 2010, 90). Teilweise werden moorige Bedingungen und Gewässernähen bevorzugt, deren Lage jedoch mit wirtschaftlichen Funktionen verknüpft gewesen sein könnten (siehe oben). Diese These wird auch durch Importfunde in den Depots unterstützt (Endrigkeit 2010, 99). Zugleich können Deponierungen in der Nähe von Gewässern aber auch einen rituellen Zweck angestrebt haben. Häufig werden Depotfundplätze über einen längeren Zeitraum genutzt. Dies fällt beim Vergleich der Verteilungen durch die Zeit insbesondere im Nordosten und im Zentrum des Arbeitsgebiets auf. Während einteilige Fundinventare der Depots in den ersten beiden Perioden überwiegen, sind die Verhältnisse in den folgenden Perioden (Per. III-VI) weitestgehend ausgeglichen (Endrigkeit 2010, 70f.). Nach Endrigkeit handelt es sich bei den Beil- und Waffendeponierungen der Per. I-IV sowie der Halsring-Depots ab Per. V um sakrale Depots, während lediglich Horte mit Gussmaterialien als profan zu charakterisieren seien. Schmuck im Allgemeinen sei dagegen unterschiedlich in der Deutung aufzufassen. Ihrer entsprechenden Verteilung auf die Zeitphasen nach, seien in der Periode I-II sowie in Periode V besonders viele sakrale Depots platziert worden, während in Periode IV als profan einzuschätzende Depots überwiegen (Endrigkeit 2010, 95ff.).

9.3.3. Einzelfundplätze

Die aufgenommenen Einzelfunde spiegeln Aktivitäten im Arbeitsgebiet wider (Abb. 128). Dabei kann es sich um Siedlungs-, Grab- oder auch Depotfundplatzreste

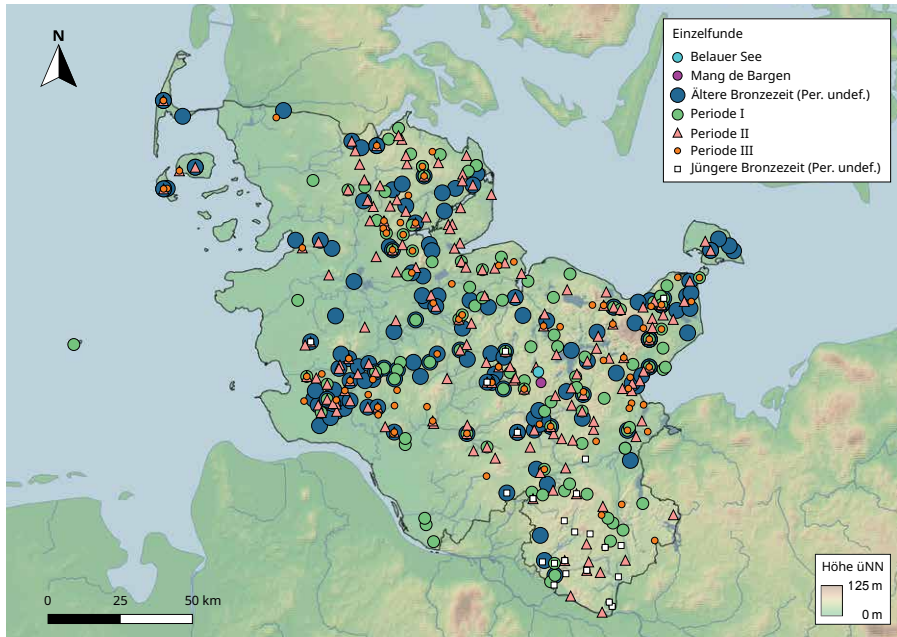


Abbildung 128: Räumlich-zeitliche Verteilung der bronzezeitlichen Einzelfunde im Arbeitsgebiet [Datengrundlage: Aner und Kersten; Zettelkatalog ALSH].

handeln. Da die Zuweisung zu einem dieser Befunde nicht immer möglich ist, werden die Einzelfundplätze hier gesondert behandelt. Einzelfunde des ausgehenden Neolithikums wurden an dieser Stelle ausgelassen, da sie das Fundbild dominieren würden.

Die Einzelfunde der Periode I sind weitflächig verteilt und weisen keinerlei Konzentrationen auf. Dabei fällt auf, dass sie häufig nicht an Grabhügelfundplätzen in Erscheinung treten, sondern mit Depotfunden einhergehen (siehe oben). Randleisten- und Randbeile, Äxte aber auch Löffelschaber überwiegen im Fundgut. Teilweise wurden die Einzelfunde nach Aner und Kersten als ‚vermutlich Grabfund‘ oder ‚vermutlich Depotfund‘ hinsichtlich ihrer Komposition und Auffindungsgegebenheiten (Moor-, Gewässerfund, Tiefe) charakterisiert. Dabei wurden Nadeln und Schwertklingen als mögliche Grabfunde eingeordnet, während Depotfunde nach Aner und Kersten eher Randleistenbeile beinhalteten. Bei Beachtung dieser Angaben in der Kartierung zeigt sich, dass entsprechende Funde gleichermaßen mehr oder weniger selten an zeitgleichen Grabhügelfundplätzen vorkommen. Sofern es sich bei den möglichen Grabfunden tatsächlich um solche handelt, mag es sich um die Überreste von Flachgräbern handeln. Ein Vergleich mit den kartierten Flachgrabbefunden lässt dazu keine weitere Aussage zu, da die Repräsentativität dieser Befundgattung ungenügend ist (siehe oben). Die Anzahl der Einzelfunde nimmt von der Periode I bis II zu. In ihrem Fundgut überwiegen Absatzbeile und Vollgriffschwerter. Letztere könnten nach Aner und Kersten auch Grabfunde darstellen, während ein Großteil der Absatzbeile den möglichen Depotfunden zugewiesen wurde. Dies würde auch ihrer Verteilung entsprechen, die jener für Grabhügel aber auch Depotfunde zu entsprechen scheint. Letzteres ist für die Einzelfunde der Periode III nicht mehr festzustellen. Ihr Vorkommen ist nicht mit der Lokalisierung von Grabhügeln oder Depotfunden vergleichbar, sondern eher mit Flachgräberbefunden. Da jene Flachgräberfunde insgesamt unterrepräsentiert sind, ist diese Wechselbeziehung zunächst als unsicher hinzunehmen, jedoch sprechen die Inhalte der Einzelfunde für Grabfunde. Dabei treten insbesondere Griffzungen- und Griffangelschwerter sowie Trachtbestandteile (Doppelknöpfe, Ringe, Fibeln, Nadeln) im Fundspektrum auf, die auch von Aner und Kersten den möglichen Grabfunden zugewiesen wurden (Vgl. Datenbank, Anhang VIII). Die Einzelfunde der Jüngeren Bronzezeit konzentrieren sich mehrheitlich auf den südlichen Bereich des Arbeitsgebietes.

Diese Verteilung ist sehr wahrscheinlich der Datengrundlage geschuldet, die für den südlichen Teil auf dem Zettelkatalog der Landesaufnahme basiert. Weitere Daten wurden vereinzelt nach Aner und Kersten aufgenommen. Es handelt sich dabei mehrheitlich um Trachtbestandteile wie Doppelknöpfe, Buckel, Nadeln und Ringe. Schmidt hat in seiner Arbeit keine Einzelfunde, sondern lediglich jene mit Hortcharakter kartiert (Schmidt 1993, 22ff.), die somit in der Karte zu Depotfunden erscheinen (siehe oben). Beim Vergleich der hier genannten jüngerbronzezeitlichen Einzelfunde und der oben genannten jüngerbronzezeitlichen Hortfunde zeigen sich dementsprechende Übereinstimmungen in der Verteilung entlang der Küsten und des Jungmoränenrückens (siehe oben).

9.3.4. Siedlungen

Siedlungsbefunde sind in Schleswig-Holstein nur selten vorzufinden. Dies ist zum einen mit einem Forschungsproblem verbunden (siehe Kap. 6) und zum anderen mit der eher mäßigen Erhaltung der Befunde im Boden. Teilweise wird die Erhaltung von den bekannten Siedlungsbefunden durch ihre Lage unterhalb von Grabhügeln begünstigt (Vgl. z. B. Handewitt). Hinsichtlich der Siedlungsplätze muss zwischen Hausgrundrissen, die eindeutige Hinweise auf Siedlungen geben, und Siedlungsbefunden wie Gruben, Feuerstellen, Öfen oder ähnlichem unterschieden werden. Aus der Bronzezeit sind im Arbeitsgebiet bisher insgesamt 42 publizierte Hausgrundrisse von 19 Fundplätzen (zwei davon aus dem Hamburger Raum) bekannt. Für die Ältere Bronzezeit ergeben sich dabei 32 Hausgrundrisse von zehn Fundplätzen und für die Jüngere Bronzezeit zehn Hausgrundrisse von neun Fundplätzen.

In der Abbildung 129 wurden zum einen alle Hausgrundrisse hinsichtlich ihrer Datierung abgebildet (blaue Kurve). Da aus dieser Verteilung nicht hervorgeht, von wie vielen Fundplätzen die Hausgrundrisse stammen, wurden jene parallel dargestellt (orangene Kurve). Der Großteil vorhandener Hausgrundrisse stammt von Fundplätzen, die in die Periode I-II datieren (Abb. 129). Aus der Periode III sind kaum Häuser bekannt, während die Jüngere Bronzezeit wieder einige Hausbefunde aufweist. Dagegen überwiegen die Siedlungsbefunde der Jüngeren Bronzezeit mit 77 Befundarealen von 65 Fundplätzen deutlich gegenüber der Älteren Bronzezeit, die bisher lediglich neun Areale mit Siedlungsbefunden von acht Fundplätzen (inkl. des Fundplatzes von Mang de Barga) umfasst (Abb. 130). Pro Areal müssen dabei mehrere Befunde Bedacht werden. Ein Großteil dieser jüngerbronzezeitlichen Daten wurden von Kneisel im Rahmen des SFB1266 hinsichtlich relativchronologisch datierbarer Funde nach Schmidt aoristisch den Perioden zugewiesen. Die Befunde konzentrieren sich dabei verstärkt auf die Perioden IV-V, bevor mit der Periode VI ein einschneidender Rückgang zu verzeichnen ist. Die Repräsentativität dieser Daten ist zwar aufgrund der Forschungslage kritisch zu betrachten, jedoch zeichnet sich ein leichter Trend dahingehend ab, dass Siedlungsaktivitäten während der Periode III und der Periode VI eher abnehmen.

Die Hausgrundrisse der Älteren Bronzezeit erstrecken sich weitläufig über den Geestrücken vom nördlichen Holstein bis zum Norden Schlesiens sowie auf den Nordfriesischen Inseln. Die Nähe zu Seen (z. B. Bistensee) oder Wasserläufen (z. B. Eckernförder Bucht, Flensburger Förde) ist stets gegeben. Die Kartierung verdeutlicht das Fehlen von Siedlungsbefunden im südlichen Holstein. Möglicherweise handelt es sich um eine Forschungslücke oder ein Datierungsproblem vorhandener Siedlungsbefunde, die bisher nur grob der Bronzezeit zugewiesen werden konnten (siehe kleine Haussymbole in Abbildung 131).

Während der Jüngeren Bronzezeit wurden der Verteilung nach der Jungmoränenrückens und die Ostküste Schlesiens zum Siedeln genutzt. Tatsächliche Hausgrundrisse konzentrieren sich dabei im Zentrum des Arbeitsgebietes. In den Küstenarealen ließen sich dagegen eher Siedlungsbefunde wie Gruben, aber keine

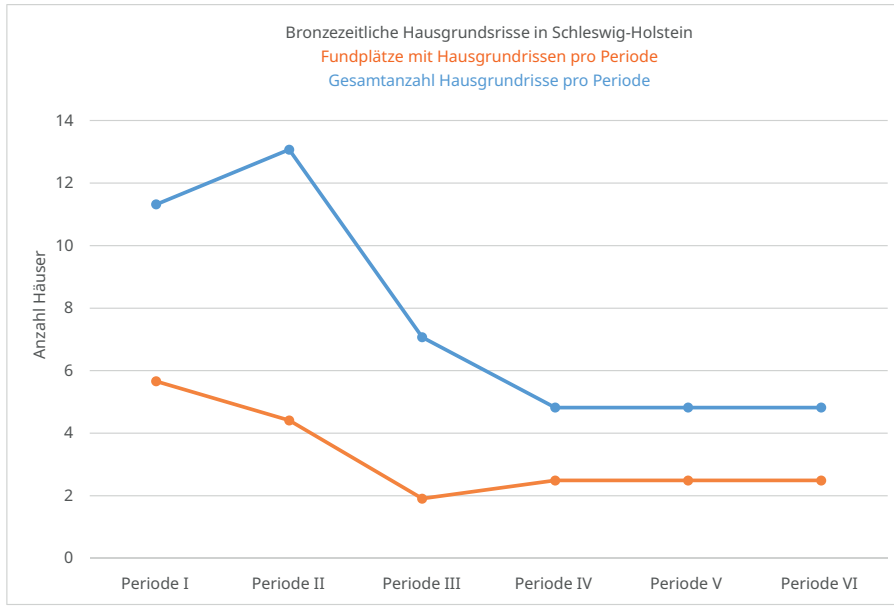


Abbildung 129: Trendlinie zu den Fundplätzen mit bronzezeitlichen Hausgrundrissen im Arbeitsgebiet [Datengrundlage: Schmidt 1993; Wirth 1994; Meier 2013; Aner und Kersten; Zettelkatalog ALSH].

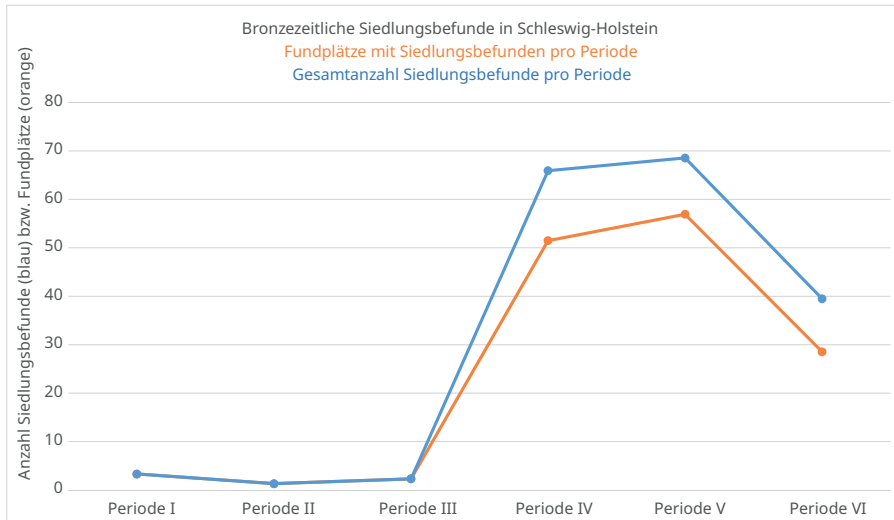


Abbildung 130: Trendlinie zu den Fundplätzen mit bronzezeitlichen Siedlungsbefunden im Arbeitsgebiet [Datengrundlage: Schmidt 1993; Wirth 1994; Meier 2013; Effenberger 2018; Aner und Kersten; Zettelkatalog ALSH].

Häuser nachweisen. Der Verteilung der Hausgrundrisse nach zu urteilen befanden sich die sicher als Siedlungen anzusprechenden Wohnplätze vornehmlich auf dem Jungmoränenrücken und damit in natürlich erhöhten Gegenden. Sie liegen unweit von Wasserläufen (z. B. Schlei) oder Seen (z. B. um den Plöner See oder Brahmsee) entfernt. Hier lässt sich auch der Fundplatz von Mang de Barga eingliedern, der einige Befunde mit Siedlungscharakter aufweist (siehe oben). Infolge zunächst fehlender Siedlungsbefunde in Jütland wurde davon ausgegangen, dass es sich bei dem bronzezeitlichen Siedlungsverhalten um mobile Lebensweisen handelte (Brønsted 1958, 311). Die neuen archäologischen und palynologischen Siedlungsforschungen in Jütland haben diese Hypothese jedoch entkräftet. Für Schleswig-Holstein wurden aufgrund der fehlenden Siedlungen zunächst ähnliche Thesen zu mobilen Lebensweisen formuliert. Trotz der fehlenden Datenbasis, ist jedoch davon auszugehen, dass es sich bei den Siedlungsmustern um eine der jütländischen ähnlichen Verbreitung von einzelnen bis mehreren Gehöften handelte, die über das Arbeitsgebiet unterschiedlich stark verteilt und konzentriert waren (Holst und Rasmussen 2013, 99ff.). Die von Endrigkeit anhand der Depots vermutete Verlagerung von Siedlungen in das Landesinnere mit der Periode IV (Endrigkeit 2010, 97) kann anhand der Verteilung der

Abbildung 131: Bronzezeitliche Siedlungen im Arbeitsgebiet
 [Datengrundlage: Schmidt 1993;
 Wirth 1994; Meier 2013;
 Effenberger 2018; Aner und
 Kersten; Zettelkatalog ALSH].

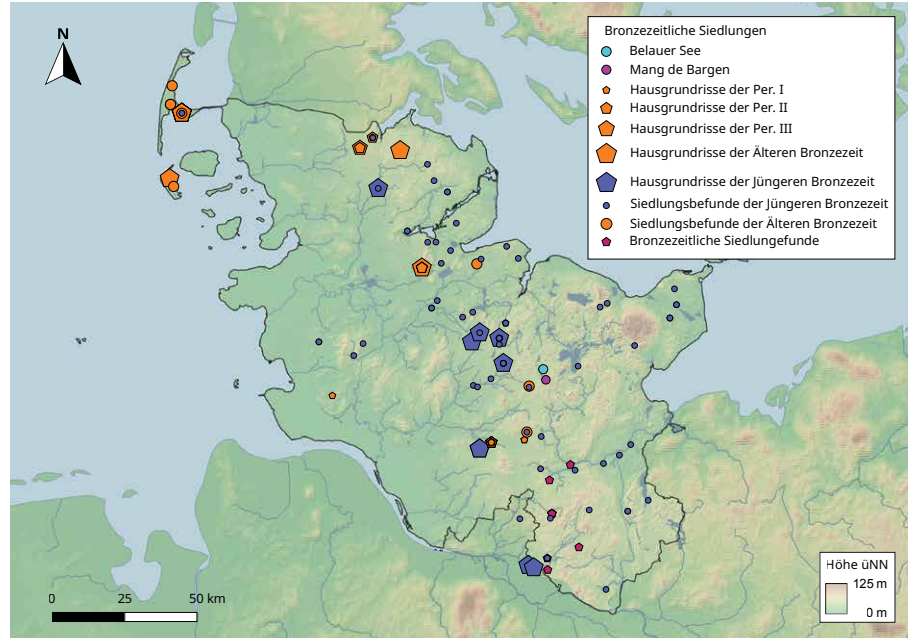
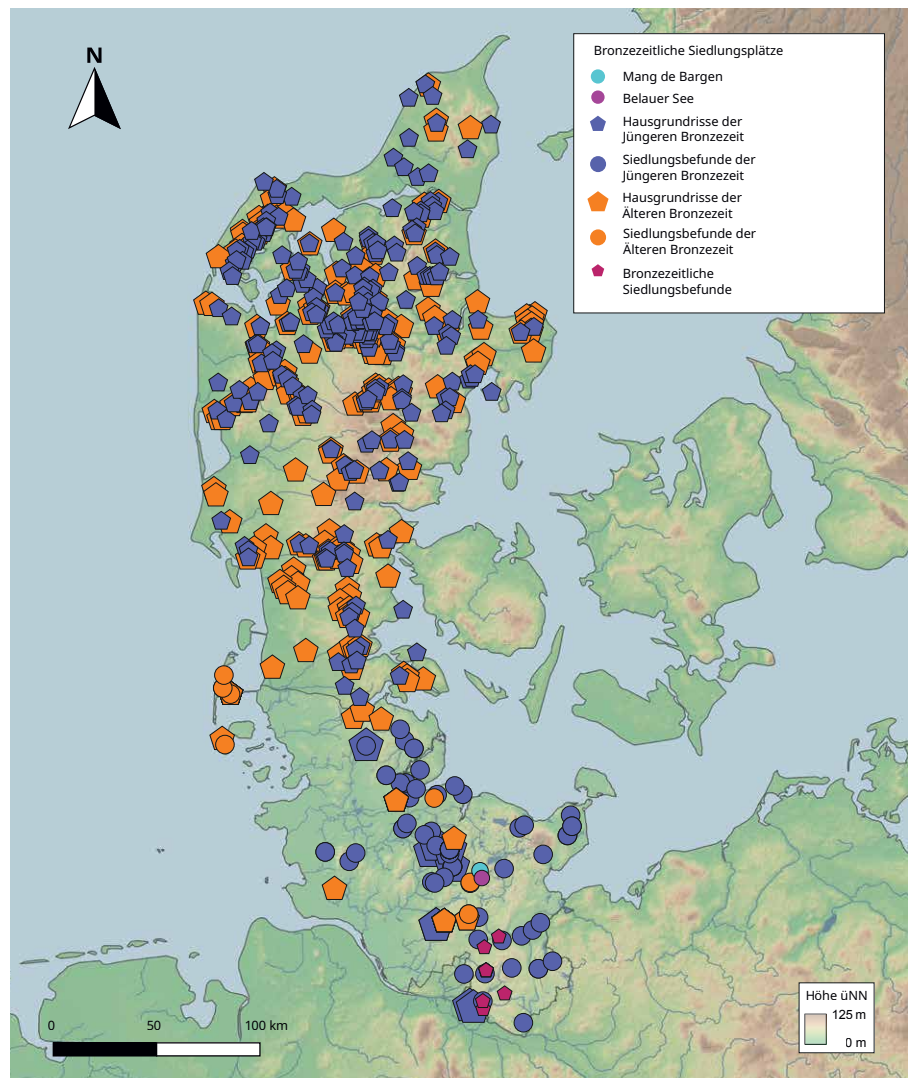


Abbildung 132: Bronzezeitliche Siedlungsplätze in
 Schleswig-Holstein und Jütland
 [Datengrundlage: Schmidt 1993;
 Wirth 1994; Meier 2013; Aner
 und Kersten; Zettelkatalog ALSH;
 Bech und Rasmussen 2018].



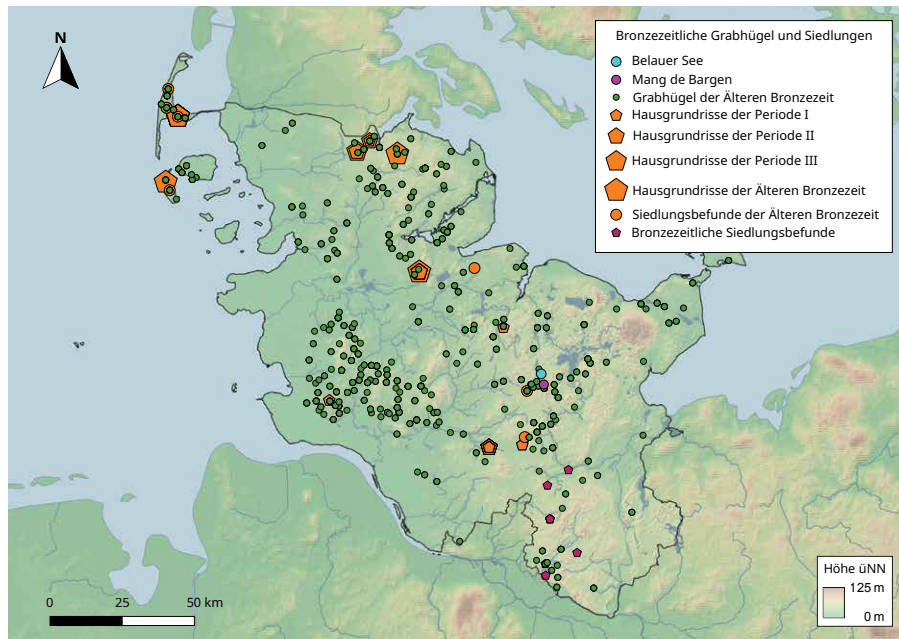


Abbildung 133: Siedlungsplätze und Grabhügel der Älteren Bronzezeit [Datengrundlage: Wirth 1994; Meier 2013; Aner und Kersten; Zettelkatalog ALSH].

Siedlungen nicht nachvollzogen werden. Die bereits erwähnten Siedlungsbefunde, die lediglich der Bronzezeit und keiner genaueren Phase zugeordnet werden konnten, konzentrieren sich auf den südlichen Teil Holsteins und den Hamburger Raum und überschneiden sich dabei oft mit jüngerbronzezeitlichen Siedlungsbefunden. Ob dies ein Hinweis auf eine eher jüngerbronzezeitliche Datierung ist, bleibt fraglich. Eine gemeinsame Kartierung von Siedlungen in **Schleswig-Holstein und Jütland** zeigt einen erheblichen Unterschied im Aufkommen und der Dichte von Siedlungen. Dies spiegelt unterschiedliche Forschungssituationen wider, da lineare Projekte in Dänemark verstärkt archäologisch untersucht werden und die archäologische Forschung beider Länder unterschiedlichen Entwicklungen unterliegen (Greßhake 2013, 51f.). Ein Vergleich beider Gebiete ist demnach äußerst schwierig, da sich die Datengrundlagen zu stark unterscheiden. Dennoch kann in der Gesamtkartierung der Jungmoränenrücken in beiden Arealen als Bezugspunkt für die Errichtung von Siedlungen beobachtet werden, auf dem sie sich wie Perlen auf einer Schnur aneinander entlangreihen (Abb. 132). Eine starke Konzentration von Siedlungen in Jütland ist im Limfjord-Gebiet (u. a. am Fundplatz von Bjerre) erkennbar, das forschungsgeschichtlich mit dem dort verankerten langjährigen ‚Thy Project‘ verbunden ist (Bech *et al.* 2018).

Beim Vergleich der Verteilung von älterbronzezeitlichen Siedlungsbefunden und den zeitgleichen Grabhügelfundplätzen zeigt sich eine Überschneidung (Abb. 133). Insbesondere die Konzentration von Grabhügeln in und um Dithmarschen verdeutlicht die Wahrscheinlichkeit einer dortigen Siedlung.

Die vereinzelt Grabhügel im Süden des Arbeitsgebietes stimmen mit der Verteilung allgemein bronzezeitlicher Siedlungsbefunde überein. Der Nordwesten des Arbeitsgebietes wurde anscheinend sowohl von den Siedlungsbefunden, als auch von den meisten Grabhügeln gemieden bzw. zeugt von forschungsbedingter Vernachlässigung. Da die meisten Siedlungen der Jüngerer Bronzezeit nur unsicher einer Periode zugewiesen werden können, werden die Siedlungen – zusammengekommen mit Grabhügelfundplätzen und Urnengräberfeldern, die während dieser Zeit existierten (also auch bereits bestehende älterbronzezeitliche Grabhügel) – verglichen (Abb. 134). Spezifische Vergleiche von Siedlungen und nahegelegenen Gräbern wurden bereits von Schmidt festgestellt, aber ebenso aufgrund der unzureichenden Datierungsindizien aus Siedlungen in Frage gestellt (Vgl. Schmidt 1993, 19). Beim vorliegenden Vergleich fällt auf, dass Siedlungsplätze stets unweit von Grabhügeln und Gräberfeldern auftreten.

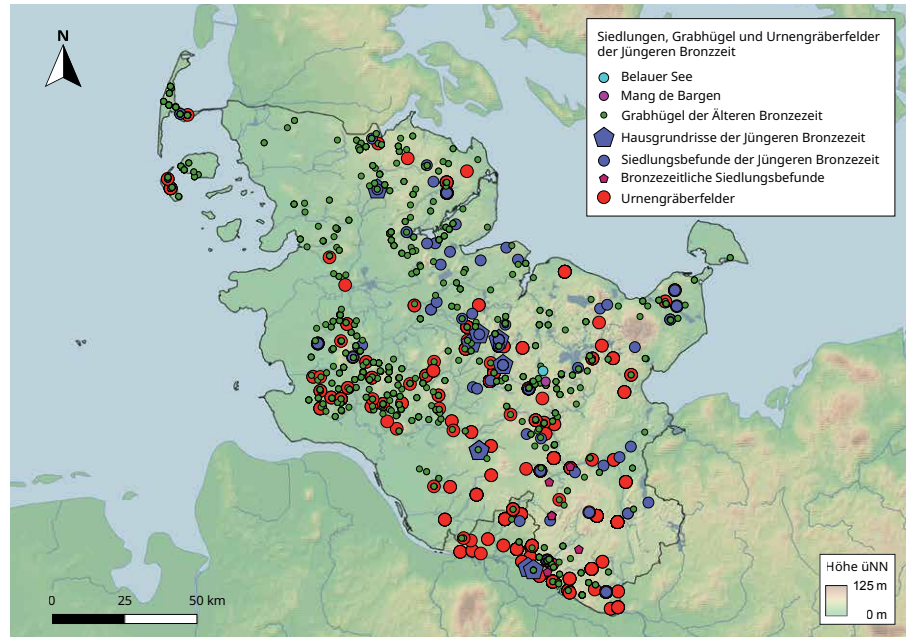


Abbildung 134: Siedlungsplätze, Grabhügel und Urnengräberfelder der Bronzezeit [Datengrundlage: Schmidt 1993; Aner und Kersten; Zettelkatalog ALSH].

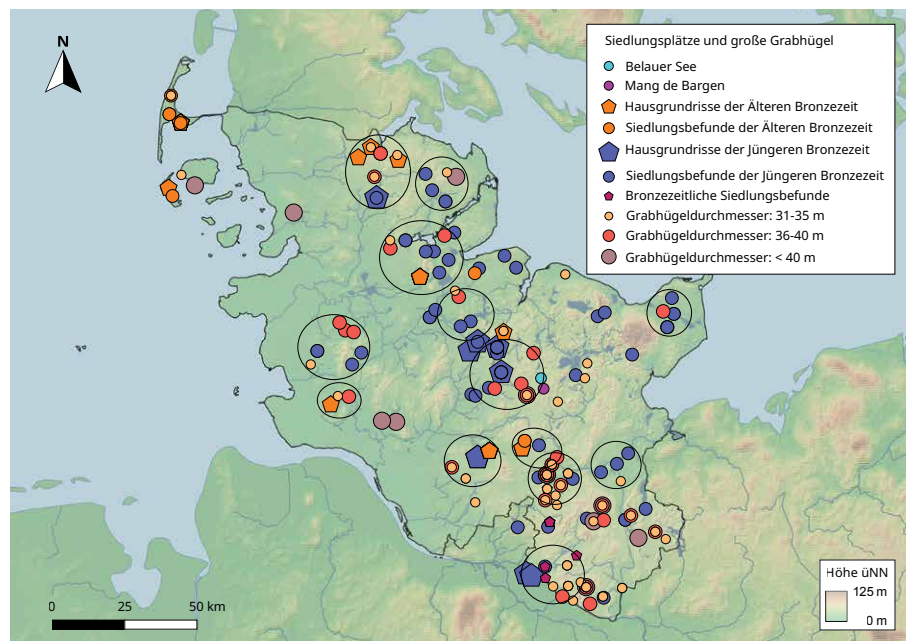


Abbildung 135: Verteilung bronzezeitlicher Siedlungsplätze und Grabhügel mit großen Durchmessern. [Datengrundlage: Schmidt 1993; Wirth 1994; Meier 2013; Effenberger 2018; Aner und Kersten; Zettelkatalog ALSH].

Diese Regelmäßigkeit – sowohl in der Älteren als auch in der Jüngerer Bronzezeit – lässt den Schluss zu, dass in der Nähe von Siedlungen stets die zugehörigen Gräber vorzufinden sind. In Arealen, die Gräber, aber keine Siedlungen aufweisen, dürfte davon ausgegangen werden, dass die Abwesenheit von Siedlungen Forschungslücken widerspiegeln. Beim Vergleich der Verteilung von Siedlungen und Grabhügeln mit besonders großen Durchmessern wird deutlich, dass sich einige der Siedlungen an der Lage jener besonders großen Grabhügel orientiert haben könnten (Abb. 135).

Die oben angesprochenen Ketten von Siedlungsplätzen scheinen dabei teilweise mit Grabhügeln verbunden gewesen zu sein (siehe gestrichelte Ellipsen in Abb. 135). Für Jütland vermutet Kristiansen, dass ein Haushalt mit einem Grabhügel verbunden gewesen war (Kristiansen 2018, 117), sodass ein entsprechender Lagebezug, wie er für schleswig-holsteinische Befunde festgestellt werden kann, sehr

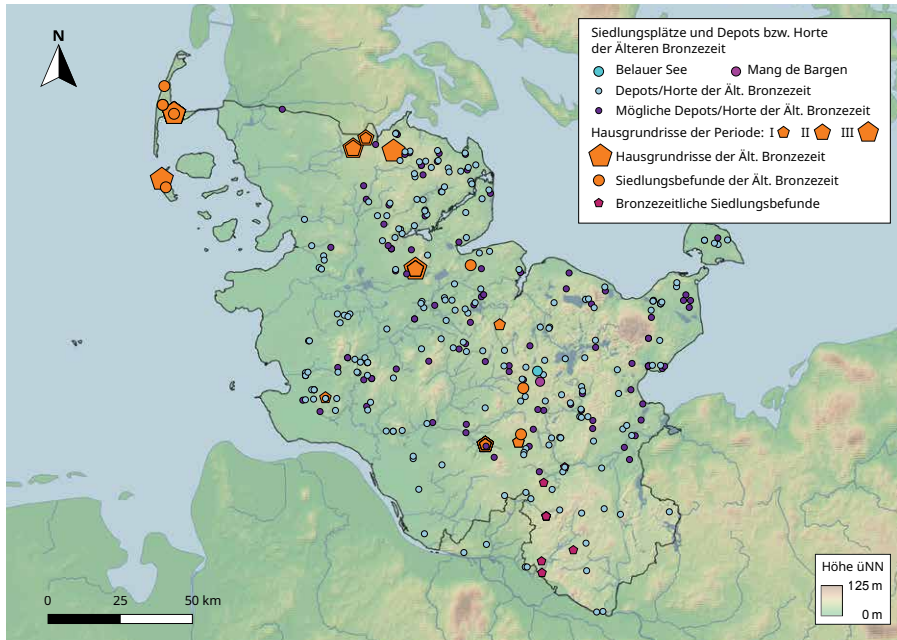


Abbildung 136: Siedlungsplätze und Depots der Älteren Bronzezeit [Datengrundlage: Wirth 1994; Endrigkeit 2010; Meier 2013; Aner und Kersten; Zettelkatalog ALSH].

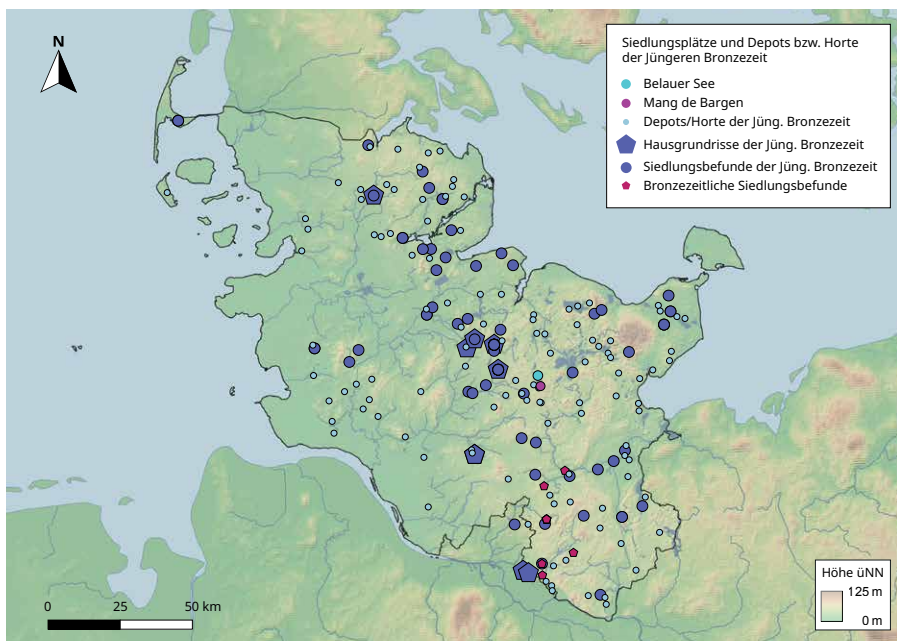


Abbildung 137: Siedlungsplätze und Depots der Jüngeren Bronzezeit [Datengrundlage: Schmidt 1993; Endrigkeit 2010; Aner und Kersten; Zettelkatalog ALSH].

gut angenommen werden könnte. Beim Vergleich zu den Grabhügelverteilungen wurden die Siedlungsplätze zusammen mit Depots abgebildet (Abb. 136-137).

Die Verteilung von Depots orientiert sich sowohl in der Älteren als auch in der Jüngeren Bronzezeit dabei meistens nicht an der Verteilung von Siedlungsplätzen, sondern folgt womöglich anderen Absichten wie den Bodenbedingungen (z. B. Moore, Gewässer) oder Küstennähen. Die Überschneidung mit einer Siedlung tritt nur selten auf. In älterbronzezeitlichen Kontexten ist dies lediglich in Dithmarschen der Fall. Jene Überschneidungen, die ein Abweichen von der sonst vorhandenen Norm darstellen, können auch damit zusammenhängen, dass die Niederlegungen und die Nutzung des jeweiligen Siedlungsplatzes nicht zum gleichen Zeitpunkt erfolgten. Genaue Datierungen wären hier von Nöten. Für Mecklenburg-Vorpommern konnte das Lageverhältnis von Siedlungen zu Horten bereits einige Hinweise hinsichtlich der Hort-Deutung liefern (Scholz 2012).

9.3.4.1. Hausbau

Im Allgemeinen wird davon ausgegangen, dass Einzelgehöfte oder Häusergruppen als Siedlungsform im bronzezeitlichen Arbeitsgebiet vorgeherrscht haben (Struve 1979, 137). Dies lässt sich auch anhand der vorliegenden Datenbasis bestätigen. Die sich verändernde und an andere Faktoren anpassende bronzezeitliche Gesellschaft bedingt auch einen Wandel im Hausbau, der sich in der Hausgröße, der Hausaufteilung und der Konstruktion widerspiegeln kann. Diese Elemente sind anhand der – soweit vorhandenen – Hausgrundrisse erkennbar. Für das ausgehende Spätneolithikum und die Frühbronzezeit (Periode I) kann für den Befund aus Flintbek (Kr. Rendsburg-Eckernförde) ein zweischiffiger Schwellbau mit Wandpfosten und rechteckigen Wandgräbchen bei einer Wohnfläche von 111 m² festgestellt werden (Zich 1999, 38f.). Es besaß zwei Eingänge und einen Herd im Osten des Baus. Firstpfosten konnten nicht nachgewiesen werden (Donat 2018, 210). Auch zu einer räumlichen Aufteilung lagen keine Hinweise vor. Ebenfalls vermutlich einräumig kann der frühbronzezeitliche Hausbefund aus Frestedt (Kr. Dithmarschen) genannt werden. Der Fundplatz von Schmalfeld (Kr. Segeberg), der spätneolithisch bis älterbronzezeitlich datiert, weist acht Häuser und zwei Einfriedungen auf, die sich teilweise überlagern. Dabei handelt es sich meistens um Langhäuser. Die Pfostenstrukturen ließen in drei Fällen eindeutige zweischiffige Häuser erkennen, während ein Haus dreischiffig gebaut war. Demnach lässt sich in Schmalfeld der Wandel von der Zwei- zur Dreischiffigkeit nachvollziehen, der den Datierungen zufolge in der Periode II stattgefunden haben muss (Abb. 138) (Effenberger 2018, 25f.). Aus Todesfelde (Kr. Segeberg) sind des Weiteren zwei spätneolithische bis frühbronzezeitliche Häuser bekannt, die ungefähr zwischen 70 und 250 m² Fläche aufweisen und teilweise mit nachweisbaren Wandgräbchen ausgestattet waren (Effenberger 2018, 26ff.). Aus Brekendorf (Kr. Rendsburg-Eckernförde) sind fünf dreischiffige Langhäuser mit zwischen 13 und 48 Pfostengruben bekannt, die in die Periode II datieren. Ein Speicherbau mit vier Pfosten der Älteren Bronzezeit befindet sich etwas abseits (Meier 2013, 97ff.). Die Dreischiffigkeit scheint von der Periode II bis Periode III weiter anzuhalten, da auch der Hausbefund aus Handewitt (Kr. Schleswig-Flensburg), der unterhalb eines Grabhügels zutage kam, von der Periode II bis zum Beginn der Periode III datiert (Bokelmann 1977, 82 - 89; Abb. 3-5; Meier 2013, 106f.). Das Haus war mithilfe von zwei Pfostenreihen in drei ungefähr gleich große Räume unterteilt, die über separate Eingänge zugänglich waren. Eine Herdgrube befand sich dabei im Westteil (Wirth 1994, 83). Aus Archsum (Kr. Nordfriesland) sind des Weiteren neun Hausgrundrisse bekannt, die der Älteren Bronzezeit zugewiesen werden können. Genauere Datierungen wurden bislang noch nicht durchgeführt. Es handelt sich um zwei Langhäuser, vier bis fünf Wohnstallhäuser, eine Viehbox und einen Vierpfostenbau (möglicher Speicherbau). Während die Langhäuser zwischen 85 und 90 m² umfassen, weisen die Wohnstallhäuser zwischen 85 und 160 m² Fläche auf und haben den Befunden nach zu urteilen wahrscheinlich eine Herdstelle im Westen und einen Stallteil im Osten besessen – wie es in Wohnstallhäusern üblich ist. Wohnstallhäuser treten ab 1500 v. Chr. in ganz Mitteleuropa auf und weisen auf eine Veränderung im Hausbau und der Wohnweise hin (Donat 2018, 184). Die Viehbox und der Vierpfostenbau sind ihrer Funktion entsprechend mit 1,2 bis 2,5 m² wesentlich kleiner. Vereinzelt sind Gruben oder Koch(stein)gruben in den Häusern vorzufinden (Vgl. Hausgrundrisse E und A2). Drei der Wohnstallhäuser sind nachweislich dreischiffig (Wirth 1994, 70ff.). Aufgrund der unterschiedlichen Hausformen und der überlagernden Befunde kann eine Entwicklung bzw. ein Wandel im Hausbau in Archsum vermutet werden. Nach Wirth können zunächst vor allem die beiden Langbauten aus stratigraphischen Gründen als aufeinanderfolgende Häuser angesprochen werden (Wirth 1994, 70).

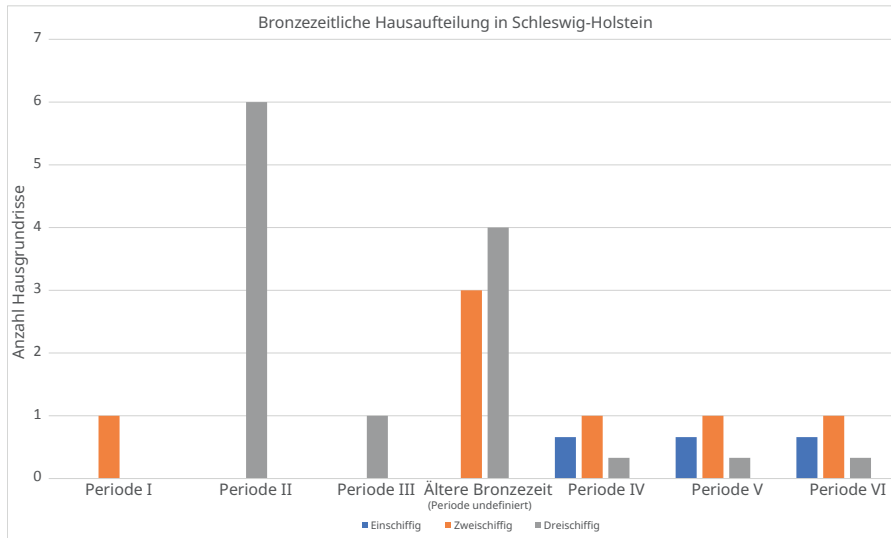


Abbildung 138: Hausgrundrisse der Bronzezeit im Arbeitsgebiet [Datengrundlage: Bokelmann 1977; Schmidt 1993; Wirth 1994; Zich 1999; Meier 2013; Effenberger 2018; Donat 2018; Aner und Kersten].

Mit der Jüngerer Bronzezeit sind sowohl ein-, zwei- als auch dreischiffige Häuser im Arbeitsgebiet in Nutzung, die vereinzelt Ausstattungen mit Wandgräbchen, Öfen und Feuerstellen aufweisen. Am Fundplatz von ‚Groten Heesen‘ in Hamburg-Boberg sind auch ein- und zweischiffige Hausgrundrisse an einem Fundplatz bekannt (Schmidt 1993, 19). Angaben zu genaueren Datierungen sind so gut wie nie vorhanden. Lediglich ein Hausgrundriss (Haus 1) von Todesfelde konnte an den Übergang von der Jüngerer Bronzezeit zur vorrömischen Eisenzeit datiert werden (Effenberger 2018, 27, Tab. 3).

9.3.4.1.1. Hausgrößen

Die bronzezeitlichen Hausgrößen aus dem Arbeitsgebiet unterliegen dem Erhaltungszustand der Befunde und sind deswegen nicht für alle Hausgrundrisse verfügbar. Die Berechnung des durchschnittlichen Flächeninhalts pro Periode zeigt zunächst, dass Häuser der Periode I bis II mit ungefähr 150 m² Größe erbaut wurden (Abb. 139). Darauf folgt ein Schwerpunkt größter Hausflächen am Übergang von Periode II bis III mit bis zu 250 m², während im Anschluss daran die Hausgrößen am Übergang zu Periode IV rapide sinken.

In den Periode IV und V werden nur noch Häuser mit circa 80 m² Fläche gebaut, während es in Periode VI nur noch 65 m² sind. Damit gliedert sich die Entwicklung in Schleswig-Holstein passend in die chronologische Verteilung von Hausgrößen in den angrenzenden Gebieten Norddeutschlands und Jütlands ein (Donat 2018, 184f.). Der Schwerpunkt größter Hausgrößen nach dem Flächeninhalt in Periode III wird lediglich durch den Befund von Handewitt beeinflusst, sodass die Repräsentativität äußerst gering ist, vor allem da der Befund tendenziell eher in die Periode II datiert (Vgl. Abb. 140). Beim Vergleich mit der Entwicklung von Hausgrößen absolut datierter Befunde in Thy (Nordjütland) und Südjütland zeigt sich, dass die größten Hausflächen in der Periode II mit bis zu 255-260 m² (Fundplätze Legaard und Vestermark) erreicht werden. Während der Periode III nehmen die Hausgrößen wieder ab und Häuser mit 80 bis 140 m² bilden sich als Standardgröße der Jüngerer Bronzezeit heraus (Bech und Rasmussen 2018, 36ff.; Bech und Olsen 2018a, 135ff.). Für Schleswig-Holstein könnte demnach eine ähnliche Entwicklung vermutet werden, die sich jedoch aufgrund fehlender Daten bislang nicht nachweisen ließ.

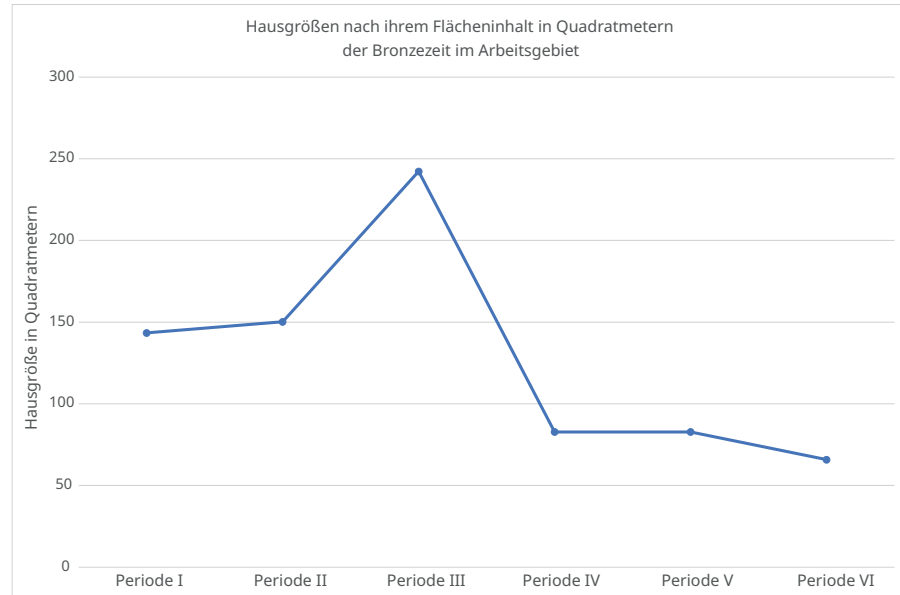


Abbildung 139: Trendlinie zu den Hausgrößen der Bronzezeit im Arbeitsgebiet [Datengrundlage: Schmidt 1993; Wirth 1994; Meier 2013; Aner und Kersten; Zettelkatalog ALSH].

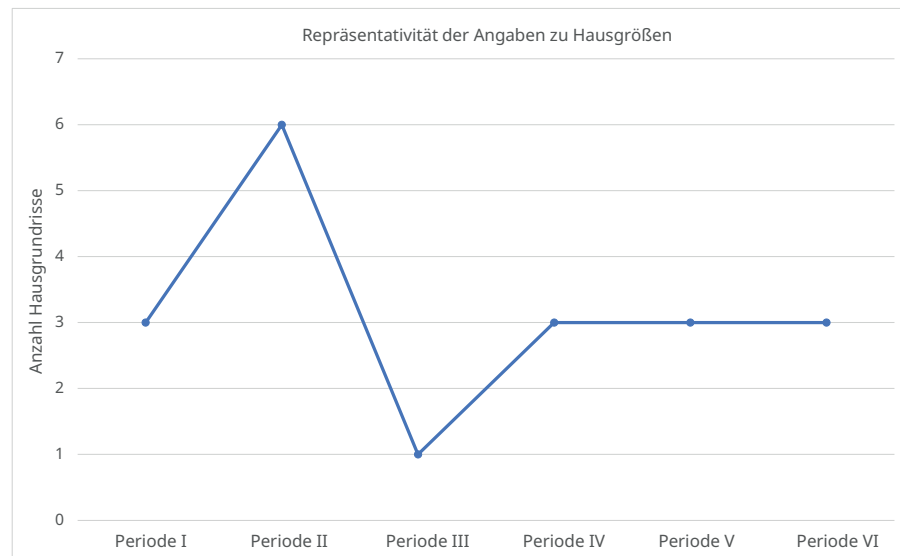


Abbildung 140: Haus-Befundanzahl pro Periode, die die Trendlinie von Abb. 139 repräsentieren [Datengrundlage: Schmidt 1993; Wirth 1994; Meier 2013; Aner und Kersten; Zettelkatalog ALSH].

9.3.4.1.2. Veränderungen im Siedlungswesen

Die Veränderungen im Siedlungswesen – sowohl hinsichtlich der räumlichen Verteilung, als auch der Hausbauweise und -aufteilung – zeugen von einem Wandel, der Veränderungen gemeinschaftlicher und funktionaler Strukturen bedingt. Dabei kann es sich um demographische Veränderungen, aber auch um Wandlungsprozesse im Haushalt handeln, die sowohl sozial aber auch funktional (wirtschaftlich) oder eine Kombination aus Beidem sein können. Die bisherigen Befunde im Arbeitsgebiet deuten darauf hin, dass mit den Perioden II, III und VI Veränderungen im Hausbau und Siedeln stattfanden. Nachdem in Periode I bis II die Siedlungsaktivität scheinbar zunimmt und auch die Hausanzahl, sowie die Varianz im Hausbau mit der Einführung dreischiffiger Häuser und dem Wohnstallhaus entsteht, die zudem eine größere Wohnfläche erreichen, beginnt mit der Periode III eine weitestgehend rückläufige Entwicklung. Dies zeigt sich in einem Rückgang der Siedlungsaktivität, der jedoch auch forschungsbedingt sein kann, während die Hausgröße mit den Befunden aus Handewitt ihr Maximum erreicht. Mit dem Übergang zur Jüngerer

Bronzezeit ist ein rapider Ruckgang der Wohnflache, jedoch ein neuer Anstieg der Siedlungsbefundanzahl zu verzeichnen. Ob dieser Wandel schlagartig erfolgte, oder bereits in der Periode III begann, lasst sich aufgrund der geringen Datenbasis und fehlenden absoluten Datierungen nicht feststellen. In der Jungeren Bronzezeit nimmt die Anzahl der Siedlungsfundplatze zu, wahrend die Hausgroen dabei kleiner werden. Die Bauweise umfasst sowohl ein- und zwei-, als auch dreischiffige Hauser wahrend der Jungeren Bronzezeit. Eine solche Varianz deutet auf eine flexible sozial- und funktionsorientierte Gesellschaft hin. Mit der Periode VI ist ein erneuter Ruckgang verfugbarer Siedlungsbefunde zu verzeichnen. Ob von Hausgroen auch die Bewohneranzahl und Funktion ablesbar ist, sei zunachst dahingestellt und wird spater nochmal aufgegriffen. Ein steigender wirtschaftlicher Einfluss kann hingegen vermutet werden, da der Bau groerer Hauser sowohl mehr Arbeitskraft, als auch mehr Rohstoffe und technologisches Wissen voraussetzt. Die Einfuhrung des dreischiffigen Wohnstallhauses, das in drei Raume geteilt gewesen sein kann, muss aus einschneidenden Veranderungen resultiert sein. Auch die damit verbundene Haltung von Tieren im Stall des Hauses, deuten auf eine Umstrukturierung hin, sodass fur die Periode II ein den Hausbau bedingender Transformationsmoment angenommen werden kann. Inwieweit dieser Moment mit anderen Elementen korreliert bzw. von welchen Faktoren er abhangig gewesen sein kann wird spater aufgegriffen (Kap. 9.6). Trotz dieser erfassbaren Entwicklungen muss hinsichtlich der Hinweise auf Siedlungen (Hausgrundrisse und sonstige Siedlungsbefunde) bedacht werden, dass die Daten noch unzureichend fur absolute Aussagen sind.

9.4. Materielle Kultur

Dieses Kapitel widmet sich der materiellen Kultur, die bisher aus der Bronzezeit in Schleswig-Holstein bekannt ist. Die materielle Kultur wird herangezogen, um die bislang dargestellten Befundverhaltnisse schlielich mit den jeweiligen Fundaufkommen vergleichen zu konnen, sowie um Ruckschlusse auf Veranderungen zu gewinnen, die die Lokalisierung von Transformationen wahrend der Bronzezeit letztlich ermoglichen. Materielle Kultur wird dabei nach Parker Pearson als Teil menschlicher Kommunikation betrachtet:

‘Material culture can thus be seen as a form of non-verbal communication through the representation of ideas (Leach 1977, p. 167). It is externalisation of concepts through material expression, a supposedly autonomous force which acts reflexively on humans as they produce it and is thereby institutes as a form of ideological control.’ (Parker Pearson 1982, 100)

Angaben zur materiellen Kultur ermoglichen Aussagen zur zeitlichen Entwicklung von Gegenstanden, die im Uber- oder Unterangebot gewesen sein konnen, von wertvollen oder auch seltenen Materialien sowie vom Bedeutungswandel von Materialien je nach ihrem Befund (z. B. Depot vs. Grab). Ungleichgewichte in der Beigabenverteilung konnten demnach soziale Stratifizierungen anzeigen und auch Aussagen auf die bestattende Gesellschaft zulassen. Technologische Entwicklungen spiegeln sich derweil in der Aufeinanderfolge verschiedener Objekte wider, die einander ablosen und moglicherweise als Schnittstelle zwischen Gesellschaft und Umwelt herangezogen werden konnen, um Anpassungen an innere (z. B. soziale) und auere (z. B. umweltbedingte) Faktoren feststellen zu konnen. Bei der Auseinandersetzung mit der materiellen Kultur soll es in der vorliegenden Arbeit weniger um die Formen, sondern um das quantitative Vorkommen von Material und Objektfunktionen im Arbeitsgebiet gehen, die entsprechende spatere Aussagen zu sozialen und kulturellen Verhaltnissen sowie Austausch, Technologie und Wirtschaft zulassen. Eine formenkundliche Vertiefung wird lediglich hinsichtlich der

Keramik der Älteren Bronzezeit erfolgen, da diese Artefaktgruppe für diesen Zeitraum noch nicht erforscht wurde. Mit dieser Arbeit erfolgt also auch eine erstmalige Gliederung älterbronzezeitlicher Keramik in Schleswig-Holstein. Die Funde werden auf Basis der Datenaufnahme (nach Aner/Kersten-Bände, Zettelkatalog des ALSH, Schmidt 1993; Endrigkeit 2010) nach den Perioden ausgewertet.⁸⁴⁶ Aufgrund teils unbestimmter Periodenzuweisungen dürfen die Auswertungen nicht als absolut, sondern als Trend aufgefasst werden. Ein besonderer Fokus liegt dabei auf der Älteren Bronzezeit, während das ausgehende Spätneolithikum sowie die Jüngere Bronzezeit nur ansatzweise bedacht werden. Die Jüngere Bronzezeit wurde hinsichtlich der Urnengrabfunde bereits umfassen von Schmidt behandelt (Schmidt 1993). Zum Einstieg in die Thematik wurde zunächst das allgemeine Materialvorkommen vom ausgehenden Spätneolithikum bis zum Ende der Bronzezeit für das Arbeitsgebiet berechnet, um einen Überblick zu gewinnen, bevor die Auswertung nach Befunden erfolgt. Dabei wurden die wichtigsten Fundkategorien ausgewählt (Abb. 141). Die wenigen Artefakte aus Knochen und Kupfer sowie Funde gebrannten Flints wurden nicht mit einbezogen. Die Befundkontexte sind nicht immer bekannt, sodass in dieser Verteilung das Material repräsentiert wird, das nachweislich in dem jeweiligen Zeithorizont im Umlauf war.

9.4.1. Materialvorkommen

Die Materialverteilung durch die Zeitphasen zeigt mit dem Übergang vom ausgehenden Spätneolithikum zur Periode I einen starken Anstieg von Bronze- und Bernsteinfunden, sowie einen leichten Anstieg an Holz- und Textilfunden, während Flint- und Keramikfunde zurückgehen. Mit der Periode II nimmt die Masse an Funden im Allgemeinen zu. Dabei dominieren Bronzefunde und die Anzahl von Goldfunden steigt an, während Bernstein- und Flintfunde weniger werden. Keramik gewinnt an Bedeutung und Textil- sowie Holzfunde steigen weiter an. Mit der Periode III ändert sich das Fundspektrum: Bronzefunde nehmen tendenziell ab, während auch Flint-, Holz- und Bernsteinfunde weniger werden. Dagegen ist eine starke Zunahme von Keramik-, Glas- und Goldfunden zu verzeichnen und nur eine stetige Zunahme von Steinartefakten. Textilfunde halten sich zur vorherigen Periode die Waage. Das Spektrum wirkt damit insgesamt ausgeglichener als zuvor. Während der Jüngeren Bronzezeit nimmt die Fundmasse insgesamt stetig ab. Dabei überwiegen stets Bronze- und Keramikfunde (Urnen wurden nicht dazu gezählt). Bernsteinfunde sind noch vorhanden, während Glasfunde stark zurückgehen. Eisenfunde nehmen dagegen zu.

Selten sind in der Periode IV und V Steinartefakte und Goldfunde bilden während der Jüngeren Bronzezeit die Ausnahme. Die Materialverteilung lässt somit einige zentrale Veränderungen beobachten: Der Anstieg der Bronze vom Spätneolithikum zur Periode I wirkt in Abbildung 141 auf den ersten Blick prägnant. Dabei muss jedoch eine stetige Entwicklung von der Periode IA zu IB, wie ihn Vandkilde zum Beispiel für den dänischen Raum aufzeigte, bedacht werden (Vandkilde 1996, 262). Mit der Etablierung der Bronze ist eine eindeutige Dominanz von Bronzefunden in der Periode II erkennbar. Die Periode III ist hingegen am variationsreichsten, da auch andere Artefaktgruppen zunehmen. Während der Jüngeren Bronzezeit nimmt das Materialspektrum stark ab und auch die Anzahl der Funde wird insgesamt weniger. Diese Entwicklung wird im Folgenden vor dem Kontext der jeweiligen Funde analysiert, um die Entfaltung der Artefaktgruppen je nach Befundsituation zu vergleichen und vor dem Hintergrund der bisherigen Kenntnisse zu den Befunden verknüpfen zu können, sodass eine Basis für die Erfassung von Transformationen während der Bronzezeit geschaffen wird. Dazu werden die Fundspektren

⁸⁴⁶ Älterbronzezeitliche Funde, die keiner Periode zugeordnet werden konnten, werden in Karten und Diagrammen wie bisher unter „Ältere Bronzezeit“ aufgeführt.

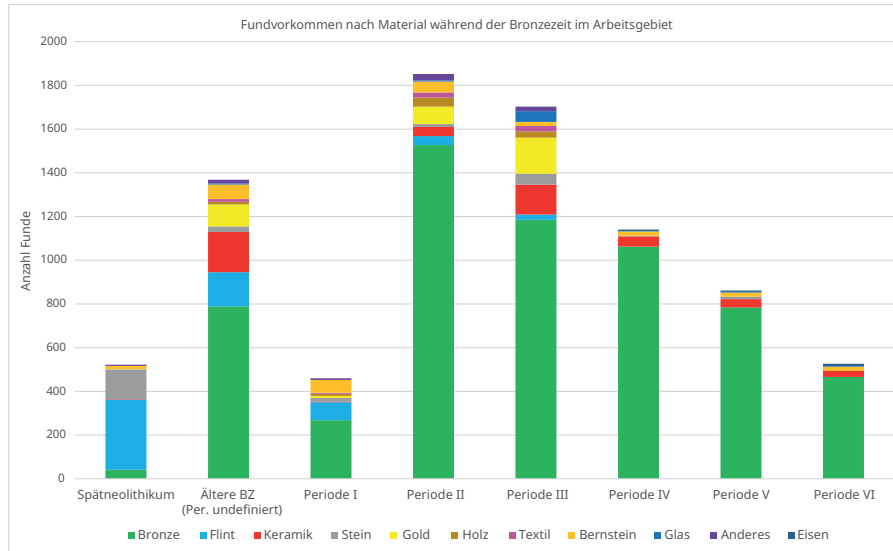


Abbildung 141: Materialvorkommen der Bronzezeit in Schleswig-Holstein [Datengrundlage: Aner und Kersten, Zettelkatalog ALSH; Schmidt 1993; Endrigkeit 2010].

nach Grabhügelgrabfunden, Flachgräbergrabfunden und Depotfunden betrachtet. Einzelfunde finden nur ansatzweise Eingang in die Auswertung.

9.4.2. Grabfunde

Auch wenn die Repräsentativität der Flachgräber eher geringfügig ist (siehe oben), ist es sinnvoll sie von Grabhügelbefunden getrennt zu untersuchen, um zumindest trendweisende Unterschiede zwischen beiden Grabtypen feststellen zu können. Zunächst wurden die Beigaben nach Material unterschieden, bevor die Aufteilung nach den Fundkategorien folgte. Dabei ergaben sich bis zu 135 verschiedene Fundbezeichnungen. Für die Auswertung wurden die Anzahlen pro Zeitphase errechnet und in die Kategorien Waffen (Schwerter, Lanzenspitzen, Pfeilspitzen, Dolche und Zubehör wie Knäufe, Schwertscheiden usw.), Werkzeuge (Messer, Äxte, Sichel, Meißel und sonstige Geräte), Trachtbestandteile (Fibeln, Nadeln, Knöpfe, Gürtelteile, [Spiral-]Ringe, Zierobjekte [z. B. Scheiben, Ortbänder usw.], Bernstein- und Glasschmuck, Anhänger usw.), Toilettebestecke (Pinzetten und Rasiermesser), Beigefäße (aus Keramik, Gold und Bronze) und ggf. sonstige Gegenstände (z. B. Klappstühle, Tierzähne, Hörner, Schwefelkies, Roteisensteine, Fossilien, Wollgewebe, Leder, Rohmaterialien, Bronzereste) unterteilt. In die Auswertung der Grabfunde zählen lediglich Funde, die auch aus Befunden stammen, also keine Lesefunde darstellen. Des Weiteren konnten nur Funde beachtet werden, die eine Datierung aufweisen. Da die Fundaufnahme durch die Aner und Kersten-Bände in den Kreisen Lauenburg, Pinneberg und Stormarn noch nicht erfolgt ist, können hier vergleichsweise weniger bis kaum Funde beachtet werden.

9.4.2.1. Grabhügelgräberfunde

Die Grabfunde aus Grabhügelgräbern (Abb. 142) zeigen in der Verteilung nach ihrem Material eine der Gesamt-Materialverteilung ähnliche zeitliche Abfolge von Materialvorkommen in den Befunden (Vgl. Abb. 141). Beim Vergleich der Mengenangaben beider Verteilungen zeigt sich auch, dass Grabhügelgrabfunde (3971,25) einen erheblichen Anteil am Gesamtfundmaterial (8432) einnehmen (ca. 47 %). Im Vergleich mit der allgemeinen Materialverteilung im Arbeitsgebiet (Abb. 141) zeigt sich hinsichtlich der Grabfunde eine leichte Mengenverschiebung von der Periode II zu III, da die Grabfunde aus Grabhügeln mit der Periode III stärker vertreten sind. Während die Bronzefunde nahezu gleichauf sind, ist eine deutliche Zunahme an Gold- und Keramikfunden mit Periode III im Beigabenspektrum erkennbar.

Abbildung 142: Materialvorkommen aus Grabhügelgräbern der Bronzezeit im Arbeitsgebiet [Datengrundlage: Aner und Kersten; Zettelkatalog ALSH; Schmidt 1993].

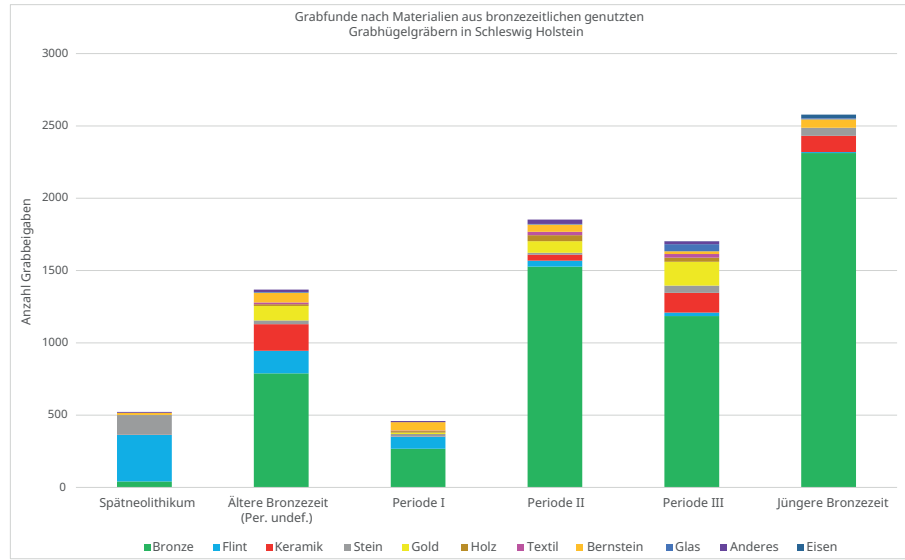


Abbildung 143: Beigabeanzahl pro Grabhügelgrab vom Spätneolithikum bis zum Ende der Bronzezeit im Arbeitsgebiet [Datengrundlage: Aner und Kersten; Zettelkatalog ALSH; Schmidt 1993].

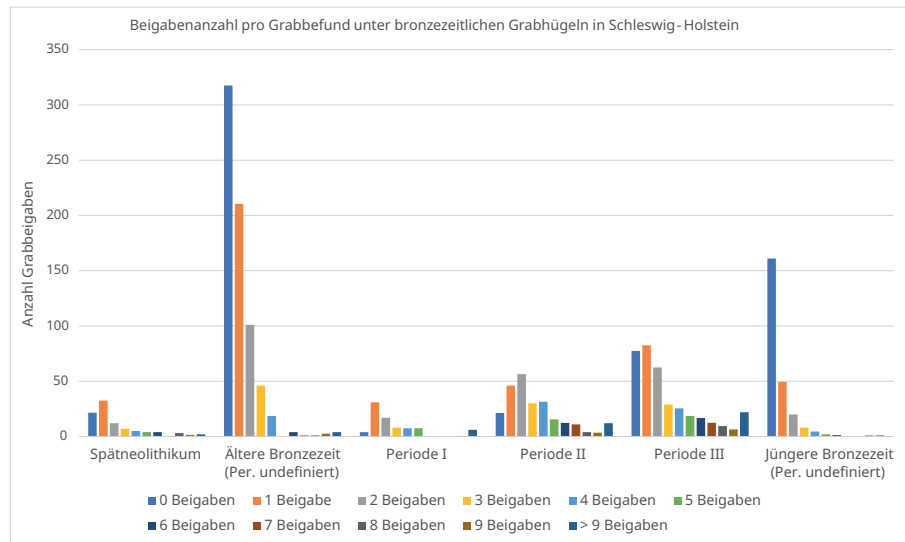
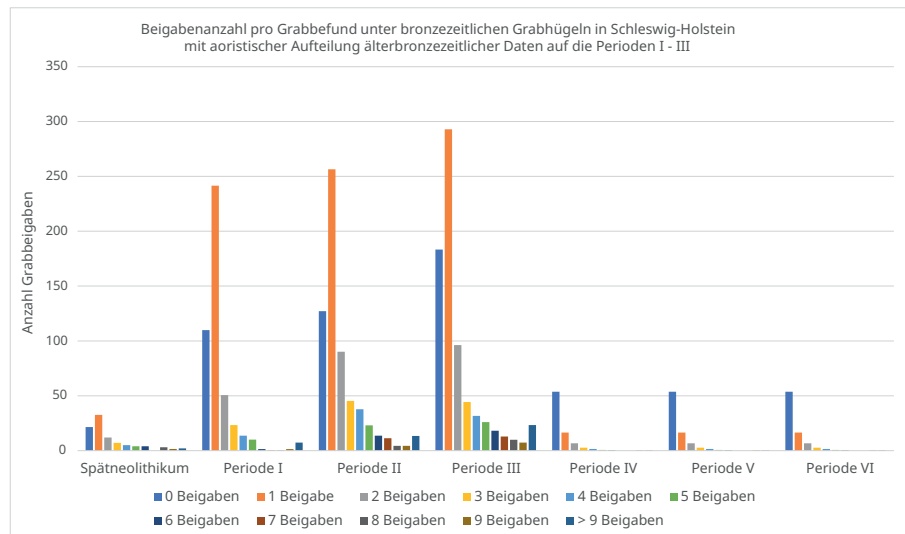


Abbildung 144: Beigabeanzahl pro Grabhügelgrab vom Spätneolithikum bis zum Ende der Bronzezeit im Arbeitsgebiet mit aoristischer Aufteilung älter- und jüngerbronzezeitlicher Grabbeigaben auf die Perioden I bis VI [Datengrundlage: Aner und Kersten; Zettelkatalog ALSH; Schmidt 1993].



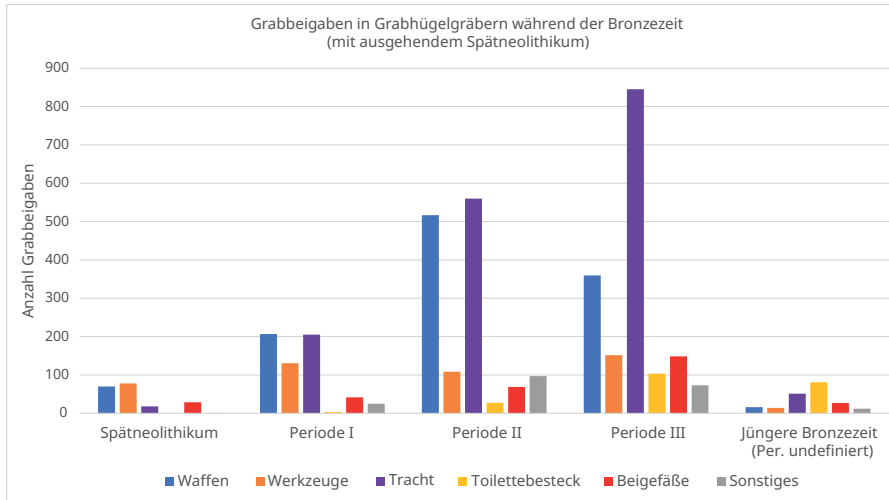


Abbildung 145: Beigabentypen-vorkommen in Grabhügel-gräbern vom Spätneolithikum bis zum Ende der Bronzezeit im Arbeitsgebiet [Datengrundlage: Aner und Kersten; Zettelkatalog ALSH; Schmidt 1993].

Die Beigabenverteilung auf die Grabhügelgräber wurde zunächst nach den vorhandenen Datierungen ausgewertet. Ein großer Anteil konnte lediglich der Älteren oder Jüngeren Bronzezeit und keiner spezifischen Periode zugeordnet werden (Abb. 143). Aufgrund dieses Ungleichgewichts wurden in einer zweiten Visualisierung der Beigabenzahlen die älterbronzezeitlichen Daten aoristisch auf die Perioden I bis III aufgeteilt, um eine mögliche Entwicklung zu erhalten (Abb. 144).

Vom ausgehenden Spätneolithikum bis zur Periode III zeigt sich dabei stets eine überwiegende Beigabe von nur einem Objekt. Häufig fanden sich keine Beigaben in den Befunden – dies kann teilweise mit der Erhaltung und möglichem Grabraub zusammenhängen. Die Verteilung von mehr als einer bis zu neun Beigaben zeigt für älterbronzezeitliche Perioden exponentielle Abnahmen. Gräber mit mehr als neun Beigaben sind hingegen mit der Beigabenhäufigkeit von Gräbern, die vier bis fünf Beigaben aufweisen, vergleichbar. Mit der Jüngeren Bronzezeit ändert sich das Bild: beigabenlose Gräber überwiegen in Gräbern. Darauf folgen Gräber mit nur einer Beigabe, während mehr als eine oder zwei Beigaben nur gelegentlich bis nie vorkommen. Das Beigabenspektrum wurde für die Auswertung in die oben genannten Typen unterteilt. Dabei ergab sich die Verteilung der Abbildung 145.

Während im Spätneolithikum noch Werkzeuge (Abb. 146) wie Flintbeile und -äxte gegenüber Waffen wie Flintdolchen und Pfeilspitzen überwiegen, treten Trachtbestandteile (v. a. Bernsteinschmuck) und KeramikgefäÙe eher seltener in Grabhügelgräbern auf. Mit der Periode I werden Trachtbestandteile (v. a. noch immer Bernsteinschmuck, aber auch Nadeln und Ringschmuck) in Gräber gegeben, gefolgt von Waffen (wie Bronzeschwerter und -dolche) und Werkzeugen (wie Bronzebeile und Flintgeräten). Die Tradition der Beigabe von Beilen scheint vom ausgehenden Neolithikum zur Periode I beibehalten worden zu sein, während sich lediglich das Material von Flint zu Bronze ändert. Sonstige Beigaben wie Schwefelkiesknollen oder Wolltextilien sowie KeramikgefäÙe stellen dagegen die Seltenheit dar. Für die Textilien ist dies von den Erhaltungsbedingungen abhängig.

Mit der Periode II überwiegen Trachtbestandteile (Abb. 147) (v. a. Ringschmuck, Fibeln, Zierobjekte, Bernsteinschmuck, Nadeln (z. B. Radnadeln) und Gürtelteile). Waffen (Abb. 148) weisen eine hohe Zunahme auf. Dabei herrscht die Beigabe verschiedener Bronzeschwerter (z. B. Rahmengriffschwerter, Vollgriffschwerter, Achtkantschwerter, Griffangelschwerter, Griffzungenschwerter) und entsprechendem Schwertzubehör (Knäufe, Schwertscheiden usw.) vor. Auch verschiedene Bronzedolche (z. B. Rahmengriffdolch, Vollgriffdolche) und Lanzenspitzen dominieren in den Gräbern, während die Beigabe von Flintdolchen hingegen abnimmt.

Abbildung 146: Werkzeugbeigaben in Grabhügelgräbern vom Spätneolithikum bis zum Ende der Bronzezeit im Arbeitsgebiet [Datengrundlage: Aner und Kersten; Zettelkatalog ALSH; Schmidt 1993].

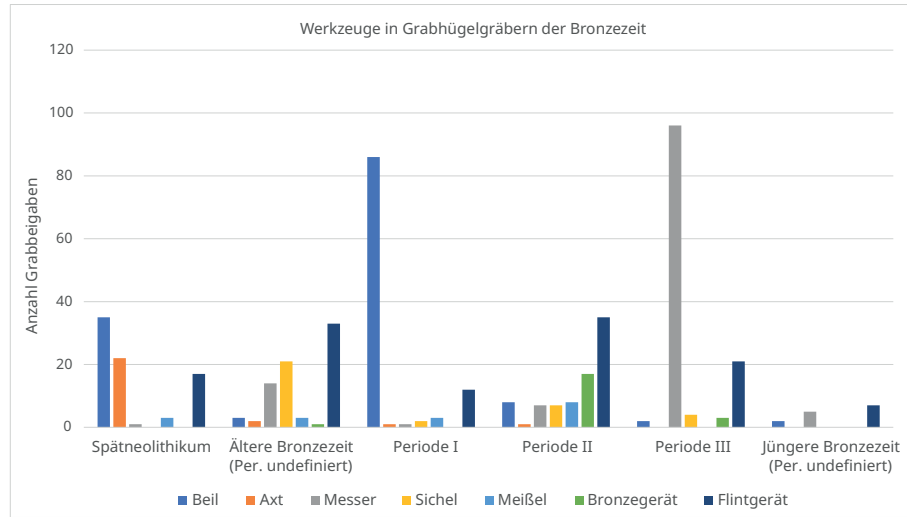


Abbildung 147: Trachtbestandteile in Grabhügelgräbern vom Spätneolithikum bis zum Ende der Bronzezeit im Arbeitsgebiet [Datengrundlage: Aner und Kersten; Zettelkatalog ALSH; Schmidt 1993].

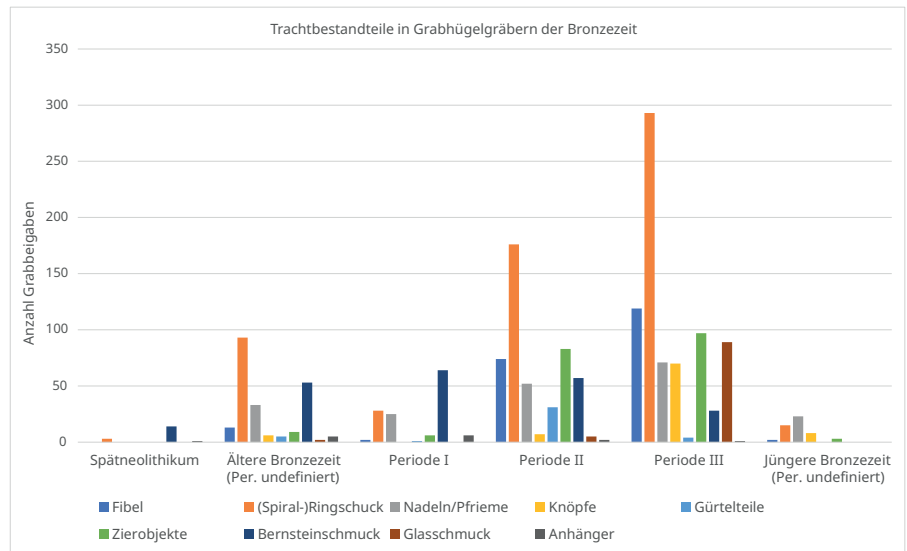
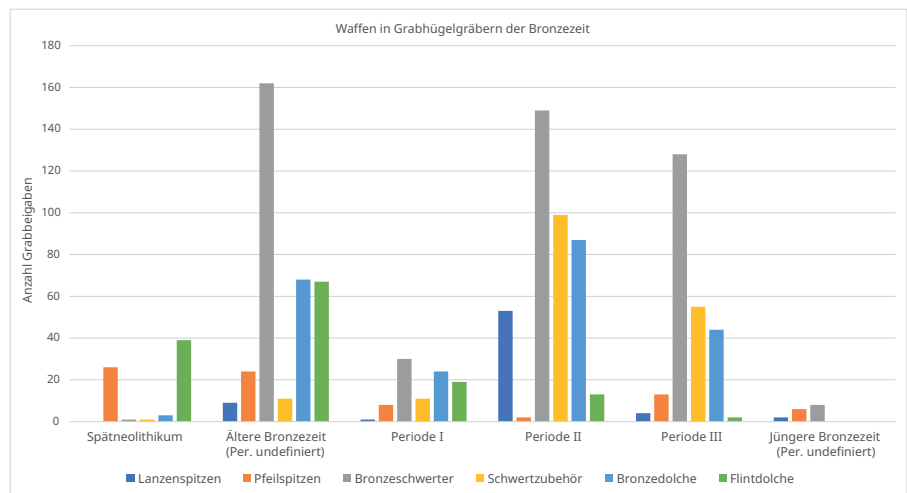


Abbildung 148: Waffenbeigaben in Grabhügelgräbern vom Spätneolithikum bis zum Ende der Bronzezeit im Arbeitsgebiet [Datengrundlage: Aner und Kersten; Zettelkatalog ALSH; Schmidt 1993].



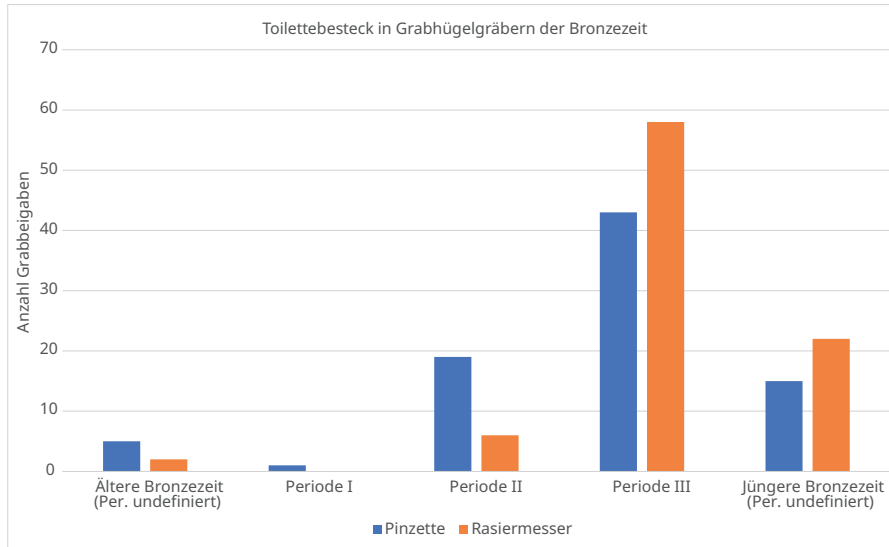


Abbildung 149: Toilettebesteck in Grabhügelgräbern vom Spätneolithikum bis zum Ende der Bronzezeit im Arbeitsgebiet [Datengrundlage: Aner und Kersten; Zettelkatalog ALSH; Schmidt 1993].

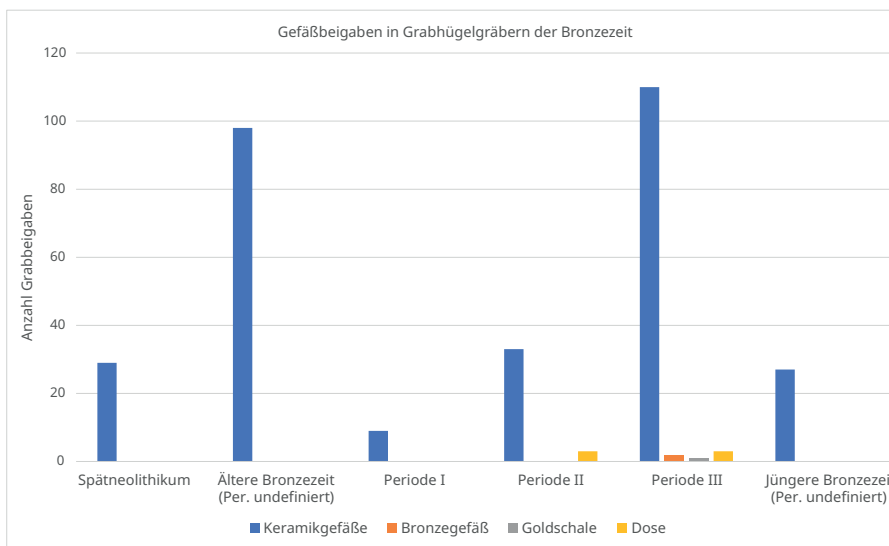
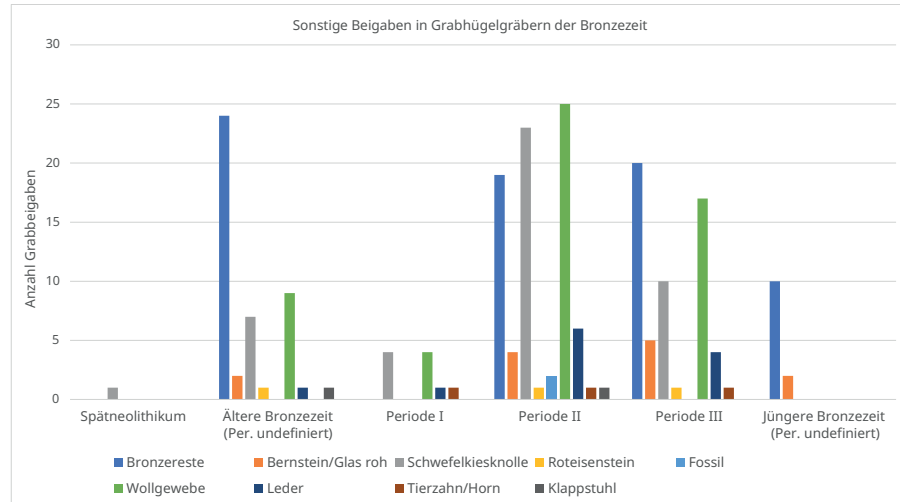


Abbildung 150: Beigefäße in Grabhügelgräbern vom Spätneolithikum bis zum Ende der Bronzezeit im Arbeitsgebiet [Datengrundlage: Aner und Kersten; Zettelkatalog ALSH; Schmidt 1993].

Toilettebesteck tritt mit Pinzetten und Rasiermessern während der Periode II als neue Beigabenkategorie auf (Abb. 149) und auch sind verschiedene sonstige Funde wie zum Beispiel Schwefelkiesknollen und Wolltextilien nun häufiger in Gräbern vertreten als zuvor (Abb. 151). Die Anwesenheit von Textilien ist dabei natürlich erhaltungsbedingt. Keramikgefäße finden zudem ebenfalls häufiger Eingang als Grabbeigabe (Abb. 150).

Mit dem Übergang zur Periode III ist eine starke Zunahme an Trachtbestandteilen in Grabhügelgräbern ersichtlich. Es handelt sich bei diesen Funden vorwiegend um (Spiral-)Ringschmuck, Fibeln (z. B. Kreuzkopffibeln), Zierobjekte (z. B. Schmuckscheiben), Nadeln, Knöpfe (v. a. Doppelknöpfe) und Glasperlen. Bernsteinschmuck nimmt dagegen ab und Gürtelteile sind so gut wie kaum noch nachweisbar. Waffenbeigaben sind um fast die Hälfte dezimiert. Bronzeschwerter und -dolche sind dabei noch am häufigsten vorhanden, während zum Beispiel Lanzen spitzen und Flintdolche nur noch die Ausnahme bilden. Hinsichtlich der Werkzeuge zeigt sich dagegen eine leichte Zunahme, die sich fast ausschließlich auf die Beigabe von Messern (z. B. Rahmengriffmesser, Vollgriffmesser und einige Griffangelmesser) konzentriert. Andere Bronzegeräte, Beile und Sichel sind dagegen nur noch selten in den Gräbern vorzufinden. Auch Toilettebesteck (Pinzetten und Rasiermesser) sowie

Abbildung 151: Sonstige Objekte in Grabhügelgräbern vom Spätneolithikum bis zum Ende der Bronzezeit im Arbeitsgebiet [Datengrundlage: Aner und Kersten; Zettelkatalog ALSH; Schmidt 1993].



Beigefäße (v. a. Keramikgefäße aber auch eine Goldschale aus einem reichen Grab aus Gönnebek [Aner/Kersten-Nr. 9897, LA 41, Kr. Segeberg]) sind häufiger im Fundmaterial der Grabhügelgräber vorzufinden (Abb. 150). Sonstige Objekte, die sich vorwiegend auf Bronzereste, Schwefelkiesknollen und Wolltextilien eingrenzen lassen, sind dagegen etwas weniger häufig vorzufinden.

Für den Übergang zur Jüngeren Bronzezeit lassen sich in den Gräbern vor allem Toilettebesteck (v. a. Rasiermesser) und Trachtbestandteile (v. a. Nadeln) in den Bestattungen finden. Einige Keramikbeigefäße finden auch noch Eingang in die Gräber, während Waffen und Werkzeuge die absolute Ausnahme bilden. Die Entwicklung der Beigaben in Grabhügelgräbern lässt sich entsprechend folgendermaßen zusammenfassen: Die Tradition der Werkzeugbeigabe in Gräbern des ausgehenden Spätneolithikums setzt sich bis in die Frühbronzezeit fort, bevor in der Periode II Waffen und Trachtbestandteile an Bedeutung zunehmen und damit soziale, strukturelle Veränderungen sichtbar werden. Mit der Periode III erhöht sich hingegen die Beigabenvielfalt, die einen Anstieg von Trachtbestandteilen und persönlichen Gegenständen, sowie einen Rückgang von Waffen nach sich zieht. Diese Vielfalt ist mit dem ebenso variablen Grabbau und der Totenbehandlung verknüpft, sodass sich hier eine starke Veränderung, die alle Elemente der Bestattung beeinflusst, abzeichnet. Mit der Jüngeren Bronzezeit hat dagegen die Beigabe von Toilettebesteck Vorrang, während Waffen und Werkzeuge, wahrscheinlich auch größenbedingt, aufgrund der neuen Bestattungsweise in Urnen, fehlen.

9.4.2.2. Flachgräberfunde

In Flachgräbern der Bronzezeit gestalten sich die Beigabenverteilungen deutlich anders als in Grabhügelkontexten. Die Anzahl der Funde ist wesentlich geringer (115 Funde) und auch die Materialien der Grabfunde zeigen insgesamt eine geringere Vielfalt (Abb. 152). Während des Spätneolithikums überwiegen noch Keramikbeigaben sowie einige Flintbeigaben, bevor mit der Älteren Bronzezeit Artefakte aus Bronze dazukommen. Insgesamt kommen Flachgräber – sehr wahrscheinlich erhaltungsbedingt – während der Älteren Bronzezeit eher selten vor. Vor allem während der Perioden I und II sind sie äußerst selten anzutreffen (siehe oben). Während der Frühbronzezeit sind Bronze- Flint- und Steinartefaktbeigaben üblich, während sich für in Periode II ausschließlich Bronzebeigaben nachweisen ließen. Erst mit der Periode III ist ein vergleichsweise starker Anstieg an Grabbeigaben aus Flachgräbern zu verzeichnen, die überwiegend aus Bronze bestehen. Daneben wurden aber auch Beigefäße aus Keramik sowie

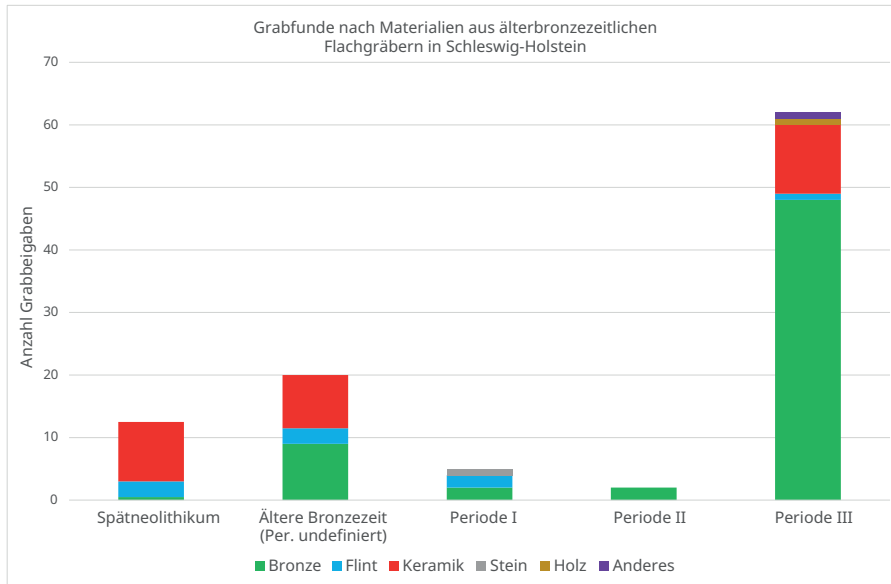


Abbildung 152: Materialvorkommen aus Flachgräbern vom Spätneolithikum bis zur Periode III im Arbeitsgebiet [Datengrundlage: Aner und Kersten; Zettelkatalog ALSH; Schmidt 1993].

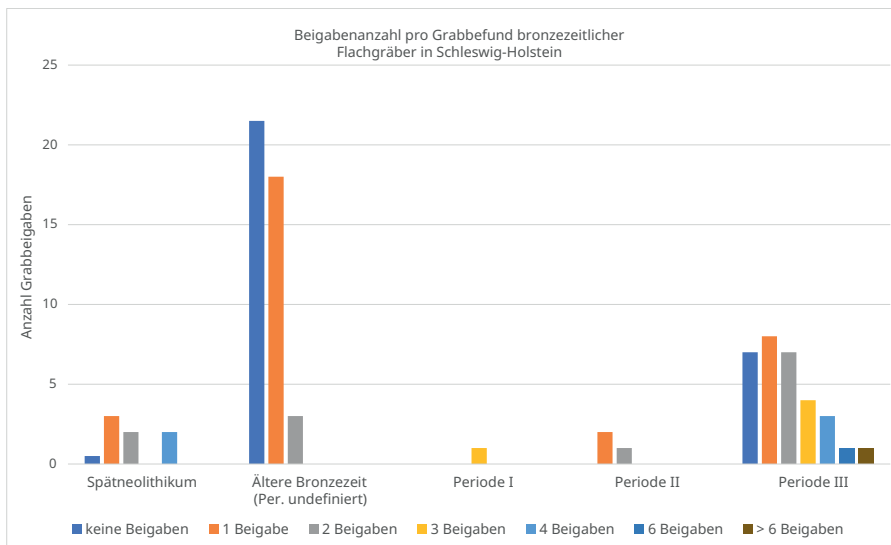


Abbildung 153: Beigabenzahl pro Flachgrab vom Spätneolithikum bis zur Periode III im Arbeitsgebiet [Datengrundlage: Aner und Kersten; Zettelkatalog ALSH].

vereinzelt Beigaben aus Flint in Flachgräbern niedergelegt. Die Fundmenge in Periode III ist auch mit der Anzahl der Befunde verbunden (siehe oben), jedoch zeigt sich auch eine Zunahme an Grabbeigaben pro Grab (Vgl. Abb. 153). In der jüngeren Bronzezeit beschränken sich die verwendeten Materialien meistens auf Bronze und zeigen zudem eine Gesamtmenge mit insgesamt 378 Beigaben (Vgl. Schmidt 1993, 121).

Die Beigabenzahl variiert in den Perioden I und II – unter Beachtung der allgemein älterbronzezeitlichen Verteilung – zwischen keiner und drei Beigaben pro Flachgrabbeigabe. Mit der Periode III kann die Beigabenzahl bis zu mehr als sechs Beigaben pro Flachgrabbeigabe aufweisen. In der jüngeren Bronzezeit beschränkt sich die Anzahl der Beigaben hingegen wieder auf ein bis zwei und maximal vier Beigaben pro Bestattung. Nach Schmidt sind dabei jedoch starke regionale Unterschiede zu erfassen (Schmidt 1993, 119ff.).

Das Fundmaterial ließ sich in die Kategorien Waffen, Werkzeuge, Trachtbestandteile, Toilettebesteck und Beigefäße einteilen. Die Aufteilung des Beigabenspektrums ist vor dem Hintergrund der unzureichenden Repräsentativität von datierbaren Beigaben enthaltenen Flachgräbern kritisch zu betrachten (Abb. 154).

Abbildung 154: Beigabentypen-vorkommen in Flachgräbern vom Spätneolithikum bis zur Periode III im Arbeitsgebiet [Datengrundlage: Aner und Kersten; Zettelkatalog ALSH].

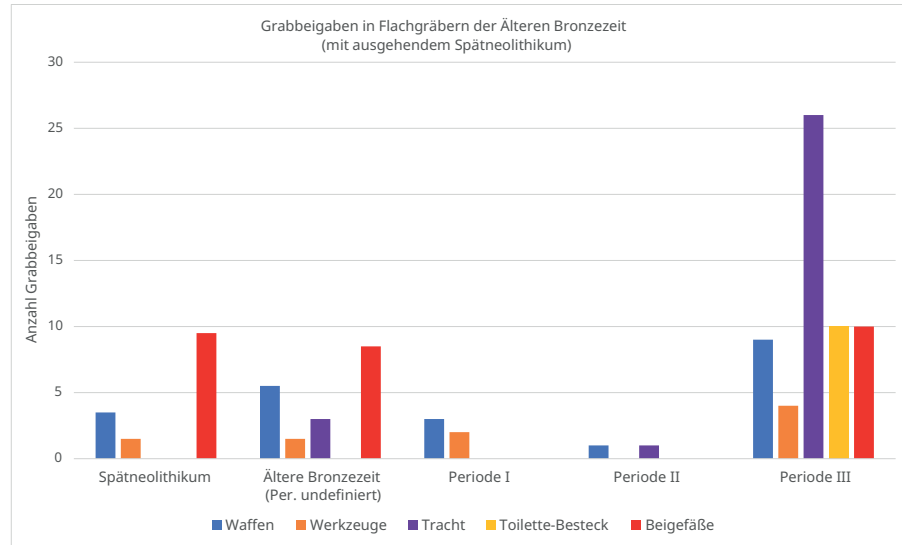


Abbildung 155: Waffenbeigaben in Flachgräbern vom Spätneolithikum bis zur Periode III im Arbeitsgebiet [Datengrundlage: Aner und Kersten; Zettelkatalog ALSH].

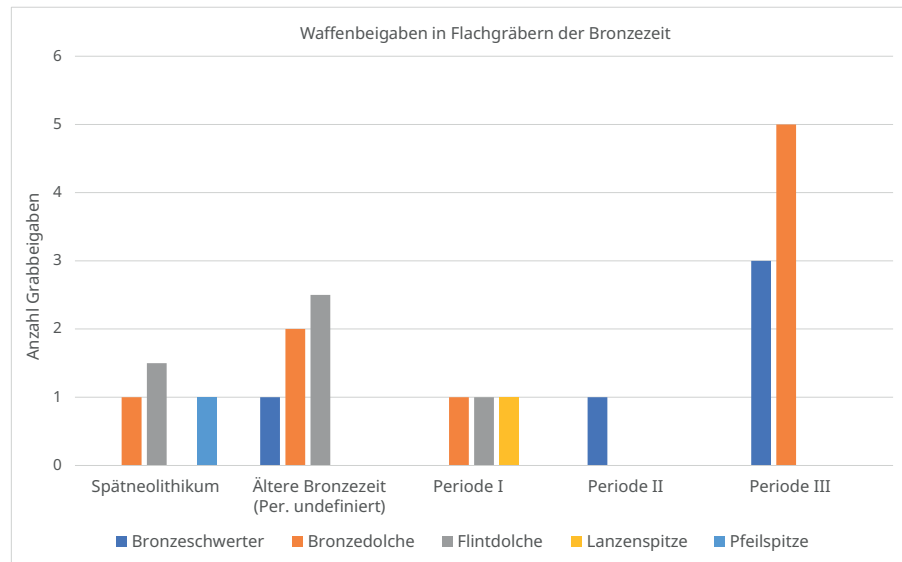
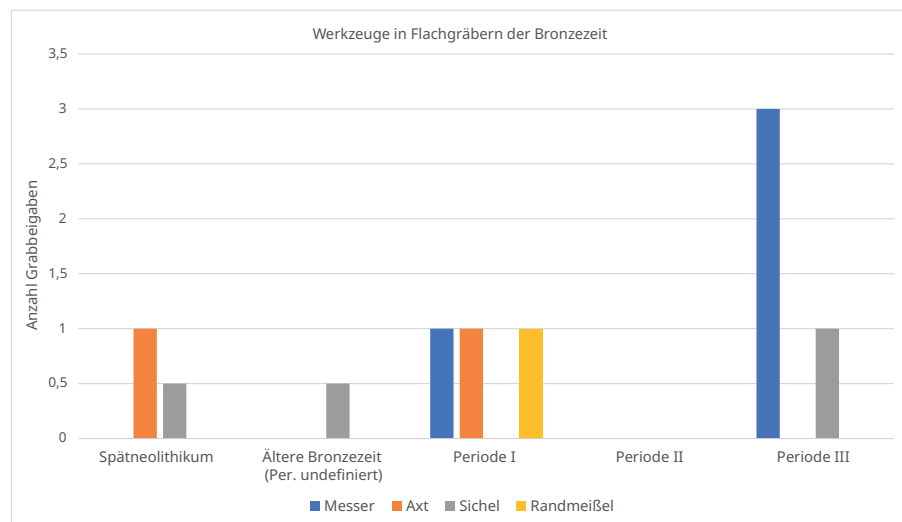


Abbildung 156: Werkzeugbeigaben in Flachgräbern vom Spätneolithikum bis zur Periode III im Arbeitsgebiet [Datengrundlage: Aner und Kersten; Zettelkatalog ALSH].



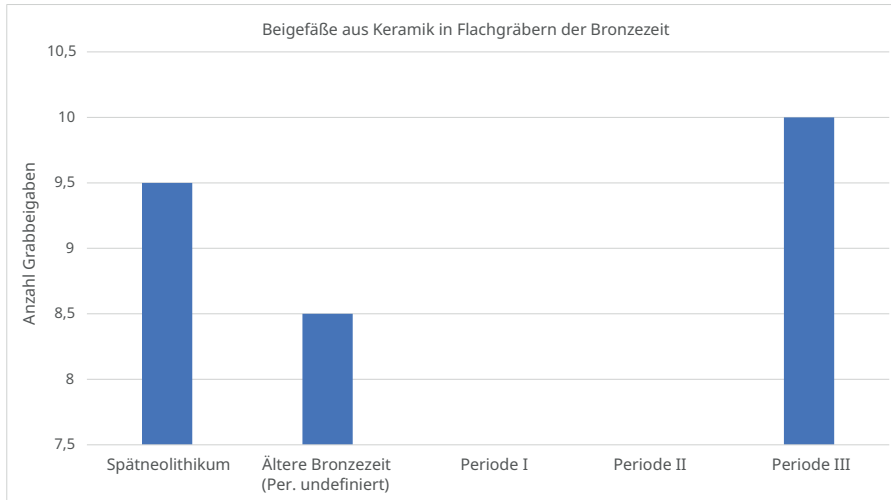


Abbildung 157: BeigefäÙe in Flachgräbern vom Spätneolithikum bis zur Periode III im Arbeitsgebiet [Datengrundlage: Aner und Kersten; Zettelkatalog ALSH].

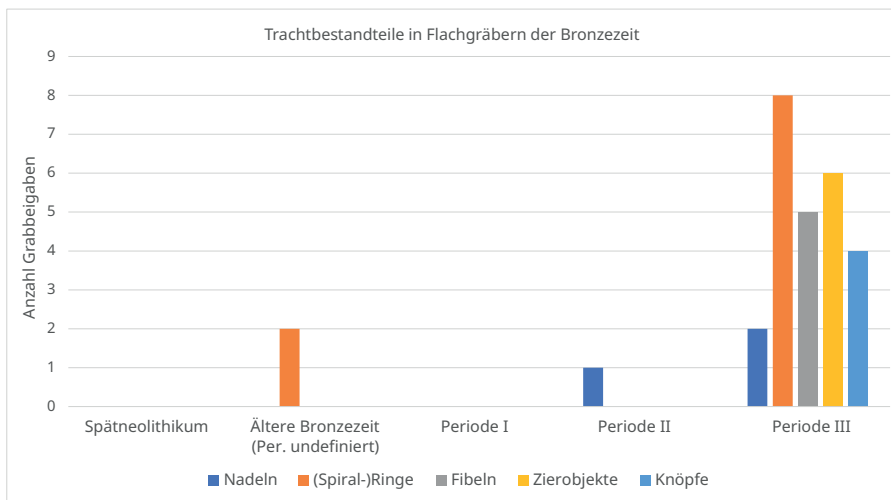


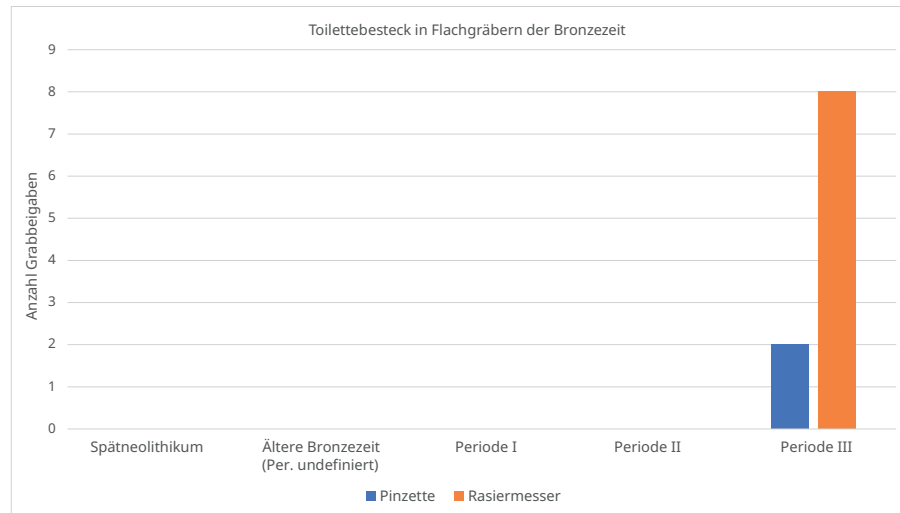
Abbildung 158: Trachtbestandteile in Flachgräbern vom Spätneolithikum bis zur Periode III im Arbeitsgebiet [nach Aner und Kersten; Zettelkatalog ALSH].

Im Allgemeinen scheinen während des ausgehenden Spätneolithikums in Flachgräbern BeigefäÙe zu überwiegen. Waffen wie Flintdolche sowie Werkzeuge wie Äxte und Sichel ergänzen das Beigaben-Repertoire (Abb. 155 & 156).

In der Periode I werden weiterhin Waffen (Flintdolch, Lanzenspitze, Bronzedolch) und auch Werkzeuge (Messer, Axt, Randmeißel) beigegeben. Die Beigabe von keramischen BeigefäÙen kann aufgrund der älterbronzezeitlichen Verteilung (unbestimmter Perioden) für die Perioden I und II – trotz fehlender Nachweise – vermutet werden (Abb. 157). Nachweisbar für die Periode II sind hingegen eine Waffenbeigabe (Pfeilspitze) und die Beigabe eines Trachtbestandteils (Zargenkopfnadel).

Mit der Periode III nehmen sowohl die Beigabemengen, als auch die Beigabenvielfalt stark zu. Die Mengen sind auch mit der Zunahme von Flachgrabbefunden (bzw. dem heutigen Auffinden von Flachgräbern) für diese Phase verbunden. Dabei überwiegt die Beigabe von Trachtbestandteilen, die sich vor allem aus (Spiral-)Ringen, Zierobjekten (z. B. Buckel), Fibeln, Doppelknöpfen und ein paar Nadeln zusammensetzt (Abb. 158). Des Weiteren wurden den Flachgräbern häufig Toilettebesteck beigegeben, bei denen es sich vor allem um Rasiermesser aber auch um ein paar Pinzetten handelte (Abb. 159). Ebenso häufig wurden keramische BeigefäÙe beigegeben, die im Vergleich zu den Perioden zuvor nun am häufigsten Eingang in Flachgräbern erhalten. Ergänzt wird das Repertoire noch durch einige Waffenbeigaben (Bronzeschwerter und -dolche, z. B. Griffangeldolche) sowie einige Werkzeuge (Sichel und Messer, z. B. Vollgriffmesser).

Abbildung 159: Toilettebesteck in Flachgräbern vom Spätneolithikum bis zur Periode III im Arbeitsgebiet [Datengrundlage: Aner und Kersten; Zettelkatalog ALSH; Schmidt 1993].



In der jüngeren Bronzezeit enthalten Flachgräber vor allem Trachtbestandteile, einige Werkzeuge und Toilettebesteck. Dabei dominieren Rasiermesser und Pinzetten. An Trachtbestandteilen werden v. a. Nadeln mitgegeben (Vgl. Schmidt 1993, 122ff.).

Die Entwicklung der Beigaben in Flachgräbern entspricht damit der Verteilung der beschriebenen Befunde mit einem Maximum in der Periode III. Wie bereits für die Grabhügelbestattungen festgestellt wurde, konnte auch für die Flachgräber die größte Beigabenvielfalt in der Periode III erkannt werden, sodass sich eine ähnliche Tendenz wie bei den Grabhügelgräbern abzeichnet.

9.4.3. Depotfunde

Die Depotfunde (hier in Anwendung als Synonym zu Hortfunden) basieren zum Großteil auf den Daten nach Endrigkeit 2010 und werden nur vergleichend angeführt, da sie bereits umfassend in ihrer Arbeit behandelt wurden (Endrigkeit 2010, v. a. 72ff., Abb. 43-48). Hinsichtlich einiger Beispiele wird auf die vorliegende Aufnahme der Daten nach Aner und Kersten, Schmidt 1993 sowie auf Daten des Zettelkatalogs des ALSH Bezug genommen. Die Entwicklung der Materialvorkommen aus den Niederlegungen zeigt insgesamt eine überwiegende Nutzung von Bronze in allen sechs Perioden (Abb. 160). Während in der Periode I auch Gold-, Bernstein- und Keramikfunde vorkommen, sind diese Kategorien in den Perioden II und III kaum noch vertreten. Mit der Periode III erreicht zudem der Fundanteil eine insgesamt geringe Anzahl. Erst mit den Perioden IV und V, die auch vergleichsweise eine wesentlich größere Fundmenge aufweisen, tritt Keramik wieder in Depotfunden auf und auch Steinartefakte kommen häufiger vor. Ab der Periode VI sind Funde aus Bronze und auch Eisen nachweisbar.

Während der Periode I wurden neben Mehrstückdepotfunden, die eher Schmuck und sowohl fertige, als auch unvollendete Artefakte enthielten (z. B. u. a. eine Bernsteinperle und ein Bernsteinstück in Windbergen, Kr. Dithmarschen, K.S.: 9275), viele einzelne Funde, v. a. Randleistenbeile, in verschiedenen Milieus (z. B. Moor) aufgefunden. Vereinzelt wurde ein Stabdolch (Westensee, Kr. Rendsburg-Eckernförde, K.S.: 9751) gefunden. Mit der Periode II nehmen die Inhalte der Depots an Reichhaltigkeit zu und auch die Mehrstückdepots treten häufiger in Erscheinung. Absatzbeile und Lanzen überwiegen im Repertoire. Eine der Niederlegungen umfasste zum Beispiel dreißig Absatzbeile verschiedener Formen und zusätzlich eine Axt, ein Tüllenbeil, einen Tüllenmeißel, eine Knopfsichel, eine Nadel und eine Dolchklinge (Kappeln, Kr. Flensburg-Schleswig, K.S.: 2371). Weniger häufig sind Waffen wie beispielsweise Schwerter (z. B. Esgrus, Kr. Flensburg-Schleswig, K.S.: 2184 I) im Fundgut vertreten. Seltener konnten

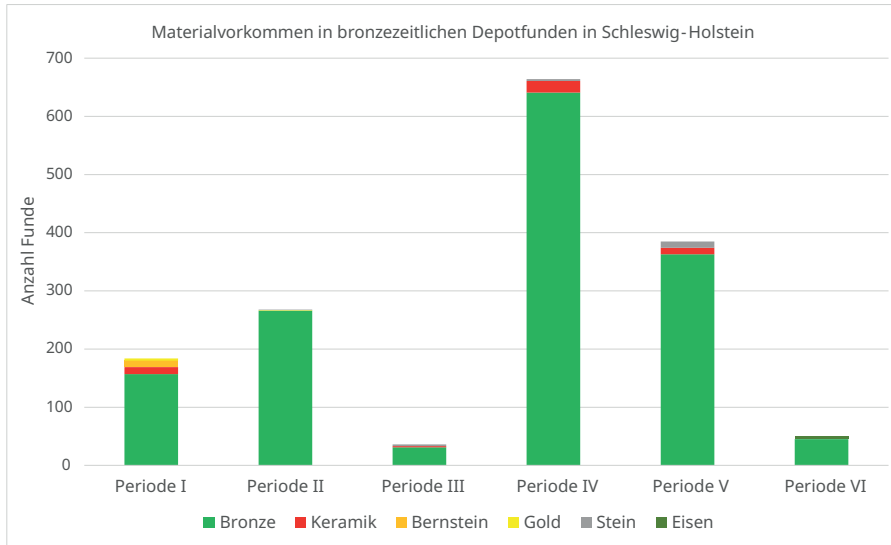
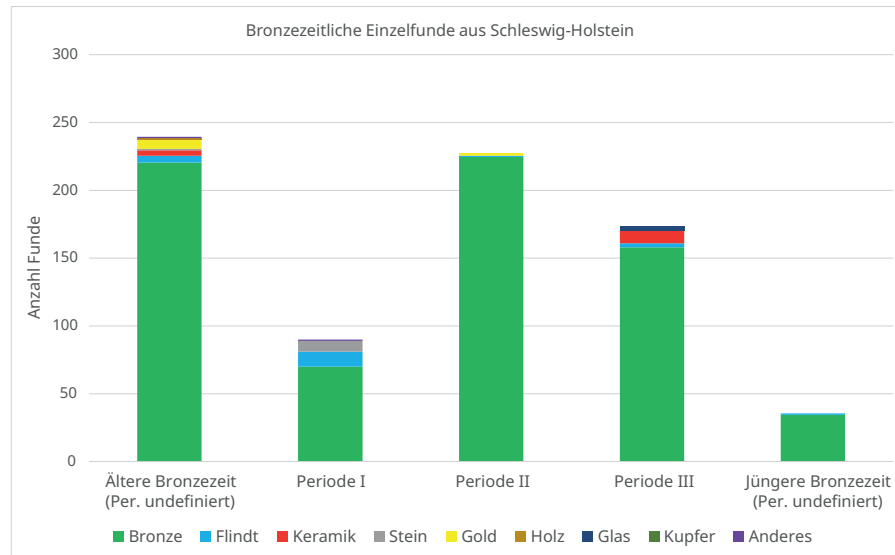


Abbildung 160: Materialvorkommen in Depotfunden der Bronzezeit im Arbeitsgebiet [Datengrundlage: Endrigkeit 2010].

Schmuck (z. B. vier gedrehte goldene Armringe aus Pahlunde, Kr. Dithmarschen, K. S.: 9202) oder Bronzegefäße (z. B. Seth, Kr. Segeberg, K. S.: 9983) im Fundmaterial festgestellt werden. Mit der Periode III nehmen die Depots stark ab (Vgl. Kap. 9.3.2). Ihre Inhalte können nur bedingt hinsichtlich einer Bevorzugung von Funden angesprochen werden. Wie bereits im Kapitel zu den Befunden genannt, scheinen Schmuck und Werkzeuge in den Niederlegungen vorzuherrschen. Die Mehrstückdepots weisen des Weiteren einen leichten Anstieg auf (Endrigkeit 2010, 71). Aus einem eher reichhaltigen Depotfund dieser Zeitphase sind beispielsweise zwei Armringe, zwei Fingerringe, ein Tutulus und eine Dose bekannt (Bad Oldesloe, Kr. Stormarn, Zettelkatalog-Nr.: 62-004-000). Mit der Jüngerer Bronzezeit bilden Trachtbestandteile, die sich vor allem aus Ringschmuck und Fibeln zusammensetzen, die Mehrheit in den Niederlegungen. Dabei ist das Verhältnis zwischen einteiligen und mehrteiligen Depots relativ ausgeglichen. Vor allem in den Perioden IV und V ähneln sich die Inventare. Eine umfangreiche Niederlegung der Periode IV umfasste zum Beispiel circa 160 Fundstücke (Bäk, Kr. Lauenburg, Zettelkatalog-Nr.: 53-004-001)⁸⁴⁷ und deutet anhand der Gusszapfen auf einen Gießer-Hort hin (Schmidt 1993, 22; Endrigkeit 2010, 93f.). Am Ende der Bronzezeit scheint sich das Inventar in der Periode VI v. a. auf Wendelringe, Nadeln, Metallringe, Knöpfe (Pferdezubehör) und Eisenobjekte zu konzentrieren, während Werkzeuge nicht mehr vorkommen. Damit zeichnet sich eine Veränderung des Fundspektrums deutlich ab (Endrigkeit 2010, 76). Für die Depotfunde im Arbeitsgebiet lässt sich zusammenfassen, dass während der Periode I und II zunächst Geräte und wenige Waffen niedergelegt wurden und dafür seltener Tracht sowie Schmuck Platz fand (Per. I-II), während in der Periode III die Deponierung von Schmuck und Tracht überwiegt. In der Jüngerer Bronzezeit wird die Konzentration auf Schmuck und Tracht (v. a. Halsringe ab Per. V), sowie persönliche Gegenstände wie Toilettenbesteck, aber auch Gefäße intensiviert (Per. IV-V), während Werkzeuge seltener Platz in Depots fanden. Die Niederlegungen der Periode VI beschränken sich zumeist ebenfalls auf Schmuck und Tracht, jedoch handelt es sich um ein anderes Formengut. Letztere Beobachtung spiegelt sich auch in den Grabbeigaben wider, sodass möglicherweise von kulturellen Veränderungen ausgegangen werden kann (siehe unten).

⁸⁴⁷ Schwertgriff-Bruchstücke, Schwertklingen-Bruchstücke, Lanzen spitzen-Bruchstücke, Bruchstücke von Tüllenbeilen, Knopfsichelfragmente, Messerfragmente, Sägefragment, kleiner Ring, Pinzettenfragment, Messerklingenfragment, verschiedene Blechbänder, doppelter Gusszapfen, Nadelnfragmente, Gürtelbuckel, Knöpfe, Brillenfibel fragmente, Fragmente verschiedener Ringhalskragen, Armringe, Ösenhalsring fragmente, Halsring fragmente, kleiner fast kegelförmiger Nietkopf, Beschläge, Tüllenbeil fragment.

Abbildung 161: Bronzezeitliche Einzelfunde im Arbeitsgebiet
[Datengrundlage: Aner und Kersten; Zettelkatalog ALSH].



9.4.4. Einzelfunde

Bronzezeitliche Einzelfunde zeugen von deutlich weniger Variationen im Vergleich zu den Grab- und Depotfunden. Die Einzelfunde des ausgehenden Spätneolithikums wurden aufgrund ihrer Datenmasse an dieser Stelle ausgelassen. Dabei überwiegen Objekte aus Flint und Stein im starken Maße. Mit der Frühbronzezeit verändert sich der Fokus des Spektrums auf Bronzegegenstände (Abb. 161). Artefakte aus Flint und Stein kommen in der Periode I im Vergleich zu vorher nur noch selten vor, bevor sie mit der Periode II vollständig an Bedeutung verlieren. Erst mit der Periode III sind auch Einzelfunde aus Flint, aber auch Glas und Keramik bekannt. Allgemein älter-bronzezeitliche Funde können auch aus Gold und Flint bestehen. Für die Jüngeren Bronzezeit lassen sich nicht so viele Aussagen dazu treffen.

Schmidt betrachtete in seiner Arbeit die Einzelfunde mit Hortcharakter und nicht jene ohne jegliche Kontextzuweisung (Schmidt 1993, 22ff.), sodass in Abbildung 161 nur wenige Funde, die im Rahmen der Aufnahme nach Aner und Kersten anfielen, dargestellt werden konnten. Inwieweit es sich dabei womöglich auch um Einstückhorte, ehemalige Grab- oder Siedlungsfunde oder aber zufällige Verlustfunde handelt, ist unklar. Dementsprechend reich an Variation sind auch die Artefakte, die eine Mischung aus den typischen Kompositionen pro Zeitperiode von Gräbern und Depotfunden zeigen (siehe oben).

9.4.5. Vergleich von Fundvorkommen nach Befundkategorie

Beim Vergleich der chronologischen Fundvorkommen zeigen sich in den verschiedenen Befundkategorien zum Teil ähnliche und zum Teil diskrepante Entwicklungen (Abb. 162). Grabhügelgrabbeigaben markieren einen starken Anstieg von Periode I zu II und dann einen weniger starken aber stets zunehmenden Anstieg zur Periode III, bevor ab der Jüngeren Bronzezeit die Beigabemengen in Grabhügeln stark zurückgehen. In den Flachgräbern ist dagegen lediglich ein Anstieg von Periode II zu III bemerkbar. Des Weiteren ist ein allgemeiner Beigabentrückgang ab der Periode III erkennbar, der während der Jüngeren Bronzezeit anhält und sich teilweise mit dem Übergang zur Periode VI intensiviert (Schmidt 1993, 120f.).

Die Entwicklung der Fundmengen in Depotfunden unterscheidet sich dagegen im Verlauf. Ein zunächst flacher Anstieg an Funden ist für die Periode II zu bemerken,

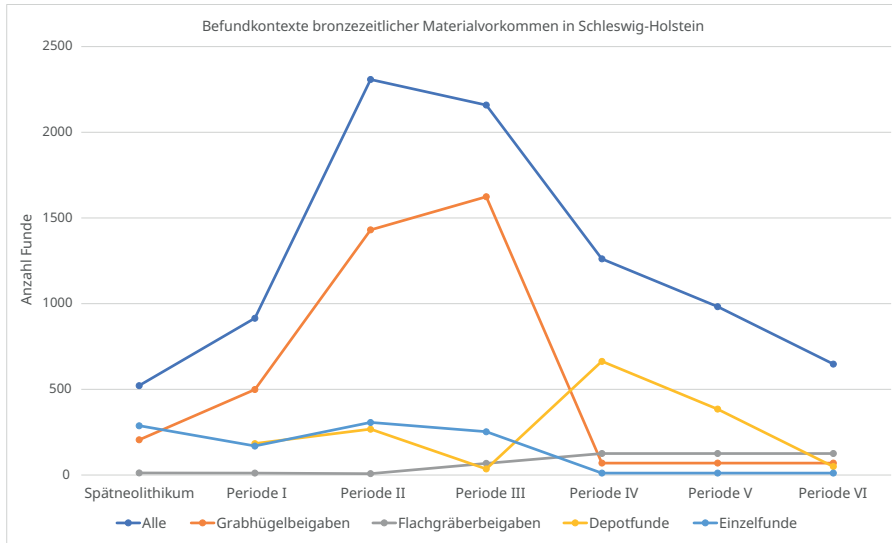


Abbildung 162: Zeitliche Entwicklung von Materialvorkommen in den verschiedenen Befundkontexten vom Spätneolithikum bis zum Ende der Bronzezeit im Arbeitsgebiet [Datengrundlage: Aner und Kersten; Zettelkatalog ALSH; Schmidt 1993; Endrigkeit 2010].

	Grabkontexte (Grabhügel, Flachgräber)	Depots
Periode I	<i>Anstieg:</i> Werkzeuge	<i>Anstieg:</i> Trachtbestandteile
Periode II	<i>Anstieg:</i> Waffen + Trachtbestandteile <i>Rückgang:</i> Werkzeuge	<i>Anstieg:</i> Werkzeuge <i>Rückgang:</i> Waffen + Trachtbestandteile
Periode III	<i>Anstieg:</i> Trachtbestandteile + Persönliche Gegenstände <i>Rückgang:</i> Waffen	<i>Anstieg:</i> Trachtbestandteile + Waffen <i>Rückgang:</i> Werkzeuge
Jüngere Bronzezeit	<i>Anstieg:</i> Toilettebesteck <i>Rückgang:</i> Waffen, Werkzeuge	<i>Anstieg:</i> Trachtbestandteile <i>Rückgang:</i> Waffen, Werkzeuge

bevor mit der Periode III ein starker Rückgang zu verzeichnen ist. Zur Periode IV hin nimmt die Fundmenge hingegen sehr stark wieder zu. In Periode V ist der Rückgang der Fundmengen zunächst langsam vorhanden, während sie in Periode VI in den Niederlegungen bedeutend zurückgehen. Vor allem für die Periode III ist damit eine stark konträre Entwicklung zwischen Grab- und Depotbefunden abzulesen.

Tabelle 10: Entwicklung der Fundspektren von Grabkontexten gegenüber Depots.

9.4.5.1. Entwicklung der Fundspektren

Auch die Entwicklung der Fundspektren, die beigegeben oder niedergelegt wurden, unterscheiden sich dabei je nach den Befundkategorien (Vgl. Tab. 10). Beim Vergleich von Grab- und Depotkontexten zeigen sich in den Fundspektren teilweise entgegengesetzte Entwicklungen. Während zum Beispiel in Periode II Waffen und Trachtbestandteile in Grabkontexten ansteigen, sind sie in Depots rückläufig. Der Rückgang von Werkzeugen in Gräbern derselben Periode ist in Depots hingegen mit einem Anstieg verbunden. In Periode III überwiegen Trachtbestandteile in beiden Kontexten. Lediglich hinsichtlich der Waffenfunde sind wieder unterschiedliche Entwicklungen feststellbar (Grabkontexte: Waffenrückgang vs. Depots: Waffenzunahme). Mit der Jüngeren Bronzezeit treten in Gräbern Toilettebesteck auf, während alle anderen Fundkategorien rückläufig sind. In den Depots werden eher Trachtbestandteile (v. a. Schmuck) niedergelegt. In beiden sind Waffen und Werkzeuge rückläufig vertreten.

Mit der Periode VI zeichnet sich insgesamt ein anderes Fundspektrum ab, das in der vorrömischen Eisenzeit wiederum neue Formen und Garnituren zeigt (Vgl. Hingst 1959; 1974; 1980; 1980a; 1983; 1986; 1989).

9.4.5.2. Fundanzahlen pro Befund

Die Beigabenzahlen pro Grab und die Stückanzahlen pro Depot sind dabei ebenso unterschiedlich. Die Beigabenzahlen zeigen ungefähr ähnliche Verteilungen in den Perioden I bis III auf. In Periode III fällt auf, dass mehr Gräber mit mehr als neun Beigaben ausgestattet wurden, während sie sich ab der Jüngeren Bronzezeit auf nur wenige oder gar keine Beigaben beschränken. Die Stückzahlen in den Depotfunden zeigen nach Endrigkeit, dass in den ersten beiden Perioden vermehrt Einstückhorte niedergelegt wurden, während die allgemein geringe Anzahl an Depots der Periode III geringfügig mehr Mehrstückhorte aufweisen. Mit der Jüngeren Bronzezeit überwiegen die Einstückhorte in den Perioden IV und VI geringfügig, während in Periode V eine leichte Dominanz von Mehrstückhorten und auch größeren Mehrstückhorten zu verzeichnen ist (Endrigkeit 2010, 71, Abb. 42). Siedlungsfunde sind in der Datenbasis leider unterrepräsentiert und finden oft nur in Form von keramischen Überresten Eingang in das allgemeine Fundspektrum.

9.5. Formenkunde: Gliederung älterbronzezeitlicher Keramik Schleswig-Holsteins

„Die älterbronzezeitliche ‚Kümmerkeramik‘ heißt nicht so, weil sie ‚verkümmert‘ ist, sondern, weil sich noch niemand um sie gekümmert hat!“ (Mündlicher Kommentar von Jens-Peter Schmidt, 2018)

9.5.1. Vorhaben

Im Folgenden soll das älterbronzezeitliche keramische Material Schleswig-Holsteins gegliedert werden. Für die Jüngere Bronzezeit und vorrömische Eisenzeit liegen bereits einige Studien zu Typengliederungen vor (Vgl. Menke 1972; Schmidt 1993; Hingst 1959; 1974; 1980; 1983; 1986; 1989). Für die älterbronzezeitliche Keramik der Nordischen Bronzezeit ist noch keine umfassende Typengliederung erstellt worden, sodass anhand des von Aner, Kersten und Willroth veröffentlichten Materials versucht wird, eine neue Gliederung für Schleswig-Holstein zu erstellen. Die Typengliederung wird dabei auf Basis des keramischen Materials erfolgen, das aus Kontexten stammt, die bereits auf Grundlage anderer Funde relativ-chronologisch datiert wurden. Dabei stellt sich die Frage, ob eine Abgrenzung von Gefäßtypen möglich und sinnvoll ist. Welche verschiedenen Typen sind voneinander abgrenzbar? Lassen sich die Typen chronologisch ordnen? Die tatsächliche Durchführung einer Typengliederung in der Archäologie ist jedoch immer mit einem kritischen Stirnrunzeln verbunden, da die Typisierung eine Abstraktion bedeutet, die dem Gegenstand möglicherweise nicht immer gerecht wird und auf dem Vertrauen in das subjektive Urteilsvermögen beruht – denn nichts kann existieren ohne so strukturiert worden zu sein. Im Folgenden ist es ein Anliegen, die Typengliederung als wissenschaftliche Methode zu definieren und zu diskutieren, bevor es zur Anwendung derselben kommt.

9.5.2. Grundlagen der typologischen Vorgehensweise

Die typologische Methode ist eine der klassischen Methoden in der Archäologie – aber auch eine der umstrittensten. Grundlegend basiert die Gliederung von Typen auf den philosophischen Grundlagen der Metaphysik wie jener von Aristoteles, die

sich mit dem Sein und Erkennen von Dingen, ihrer Materie und Form auseinandersetzt (Vgl. z. B. Kühn 2017, 98ff., 104ff.). Aus diesem Ansatz heraus bildete sich auch die Taxonomie in den Naturwissenschaften wie zum Beispiel in der Biologie, indem Pflanzen und Tiere anhand morphologischer Merkmale klassifiziert wurden (Art, Gattung usw.) (Vgl. Aristoteles, *De partibus animalium* (Kullmann 2007); Vgl. auch: Carl von Linné 1735). Typenbildungen sind zum Teil natürlich und zum Teil künstlich. Dabei bildet die Umgebung (z. B. Natur) die Modalitäten – der Typologe hingegen wählt daraus aus was für die Absicht hinter der Typologie informativ ist (künstliche Auswahl). Die „natürliche“ Intuition ist dabei sehr variabel bzw. subjektiv (Adams und Adams 1991, 67f.).

Definitionen

Hinsichtlich der Definition von Typengliederungen wird sich dieses Kapitel an der von Adams und Adams aufgestellten Definition orientieren, die sich stark mit den einzelnen Begriffen und ihren Beziehungen zueinander auseinandergesetzt haben. Nach ihnen ist die Typologie ein konzeptionelles System, das durch die Aufteilung eines bestimmten Feldes von Objekten in eine umfassende Reihe (Seriation) von sich gegenseitig ausschließenden Typen nach einer Reihe gemeinsamer Kriterien gebildet wird, die durch den Zweck des Typologen vorgegeben sind. Innerhalb der Typologie stellt jeder Typ eine vom Typologen geschaffene Kategorie dar, in die er separate Objekte mit spezifischen Identifizierungsmerkmalen einordnen kann, um sie von Einheiten mit anderen Merkmalen zu unterscheiden, und zwar in einer Weise, die für den Zweck der Typologie sinnvoll ist (Adams und Adams 1991, 91). In dieser Definition wird der subjektive Charakter einer Typologie unterstrichen. Damit basiert eine Typengliederung zunächst auf der Zielstellung des Typologen und unterliegt auch der Selektion desselben. Ein Typ ist dabei ein spezifiziertes Glied einer Typologie, das sich von anderen abgrenzen und als Kategorie zum Sortieren von Objekten verwenden lässt. Ein Objekt kann dabei Mitglied lediglich eines einzigen Typs sein. Die konsequente Einordnung erfolgt durch das Aufstellen von Charakteristiken, die einen Typ ausmachen und erkennen lassen. Idealtypen sind idealisierte Exemplare, sodass sich alle anderen Proben mehr oder weniger stark von ihnen unterscheiden. So gelten beispielsweise keramische Gefäße als gleichartig, wenn sie in allen wesentlichen Merkmalen von Form und Materialstruktur identisch und nicht nur im allgemeinen Erscheinungsbild ähnlich sind (Adams und Adams 1991, 29ff., 366f.; Darvill 2008, 227).

9.5.3. Anwendung in der Archäologie – ein forschungsgeschichtlicher Abriss

Erste Typengliederungen aus dem Umfeld der Archäologie liegen zum Beispiel aus der Architekturforschung vor. Thomas Rickman legte 1817 seine Studie zu verschiedenen Stilen und der Stilentwicklung englischer Architektur vor: 'An attempt to discriminate the styles of English architecture, from the conquest to the reformation; Preceded by a Sketch of the Grecian and Roman Orders, with notices of Nearly Five Hundred English Buildings' (Rickman 1817). Darin beschreibt er die einzelnen Stile, grenzt sie voneinander ab und bringt sie in eine chronologische Ordnung – jedoch ohne seine Methodik zu erklären. In anfänglichen Schritten wurde eine mehr oder weniger bewusste Gliederung und Chronologie archäologischen Materials durch die Einführung des Dreiperiodensystems durch Christian Jürgensen Thomsen in seinem Beitrag 'Leitfaden zur nordischen Altertumskunde' (1836) auf Basis der Stratigraphie, die aus der Geologie übernommen wurde, möglich. Sein Schüler Jens Jacob Asmussen Worsaae definierte wenig später den 'geschlossenen Fund' und bereitete damit eine Grundlage für die Anwendung von Seriationen. Um 1900 wurde die typologische Methode in der Archäologie angewandt, wie zum Beispiel von Hans

Hildebrand im Rahmen der Typengliederung von Fibeln (1872-80) – aber Hildebrand ging nicht weiter auf seine Vorgehensweise ein. Eine wirkliche Auseinandersetzung mit der Methode folgte 1903 durch Oscar Montelius in seinem Werk mit dem unmissverständlichen Titel ‚Die Typologische Methode‘ (Montelius 1903). Darin beschreibt er die Aufstellung einer typologischen Reihe, die sich zeitlich auch durch das Auftreten typologischer Rudimente gliedern lasse (Montelius 1903, 14ff., 17). ‚Sichere‘ bzw. ‚geschlossene‘ Funde (Objekte, die zusammen und gleichzeitig niedergelegt wurden) (Montelius 1903, 3), ermöglichen dabei zeitliche Reihenfolgen mit Kombinationsstatistiken (Montelius 1903, 17ff.). Sie finden ihre Darstellung zum Beispiel in Korrespondenzanalysen.

9.5.4. Ziel einer Typengliederung in der Archäologie

Eine Typengliederung zielt in der Archäologie darauf ab, Phänomene der Entwicklung – seien es zum Beispiel kulturelle oder soziale – zu strukturieren. Der Schritt zur zeitlichen und/oder auch räumlichen Trennung von Gesellschaften liegt dabei nicht weit entfernt. In der Anwendung bedeutet dies, dass die Gliederungen von Typen aufeinanderfolgende Sequenzen ausdrücken können, die mithilfe der Typologischen Methode gebildet werden. Formen – wie zum Beispiel Gefäßformen – werden dabei gruppiert oder voneinander abgegrenzt. Die systematische Typisierung erfordert dabei klare Definitionen von Typen, die den Gegenstand abstrahieren, um ihn mit vorangehenden und nachfolgenden Typen zu verschränken. Die räumliche Verteilung gebildeter (Leit-/Ideal-)Typen wird oft herangezogen, um Bereiche ihrer Verwendung mehr oder weniger festzustellen und/oder einem „Kulturphänomen“ zuzuweisen. Diese Vorgehensweise ist stets kritisch zu betrachten, da auch Diffusionen und Konvergenzen eine Rolle in der Ausprägung von Formen spielen, sodass eine „Abgrenzung“ meistens nur bedingt festzustellen ist. In der vorliegenden Studie geht es jedoch weniger um geographische Eingrenzungen, sondern darum, keramische Kategorien, Typen und Variationen zu unterscheiden, deren zeitliche Nutzungsphasen sich anhand von Befunden unterscheiden lassen. Sind bestimmte Formen gar mit einem bestimmten Befund verbunden (Körper- vs. Brandbestattung)?

9.5.5. Methodenkritik

Die Anwendung der ‚Typologischen Methode‘ in der Archäologie geht immer mit dem Problem einher, dass eine Typengliederung eine lineare Entwicklung voraussetzt, die man eigentlich nicht voraussetzen kann. Der Entwicklungsgedanke des 19. Jahrhunderts – aus dem die ‚Typologische Methode‘ stammt – wie zum Beispiel der Entwicklung menschlicher Fähigkeiten, ist in der Wissenschaft längst überholt. Paul Feyerabend verdeutlicht diese Problematik anhand der Datierung von Felskunst: der Naturalismus wurde zunächst als Spätphase eingeschätzt, dem eine archaisch-infantile Stufe vorausgeht. Dies wurde widerlegt, indem festgestellt wurde, dass die frühen Stufen lebendiger und einander im schnellen Wechsel folgen, während spätere Formen zwar ‚besser gemalt‘ aber statischer und lebloser sind (Feyerabend 2009, 48f.). Insbesondere am Beispiel von der Chauvethöhle zeigt sich, dass die überraschend alte Datierung mit einem starken Naturalismus einhergeht (Valladas und Clottes 2003). In der Archäologie sollte beim Gliedern von Typen also ein Bewusstsein darüber vorhanden sein, dass Typologien zunächst Abstraktionen darstellen und eine Kontinuität der Entwicklung lediglich in (nützliche) Einheiten untergliedern. Eine mehr oder weniger große Gewissheit über die tatsächliche Aufeinanderfolge entsprechender Typen kann erst durch eine Kombination mit naturwissenschaftlichen (z. B. ¹⁴C) und statistischen Analysen (z. B. Seriation [Brainerd 1951, 301-313.; Renfrew und Bahn 1996.; Kendall 1971, 215-252.; Shennan 1997], Korrespondenzanalyse [Vgl. Müller und Zimmermann 1997]) erzielt werden.

9.5.6. Keramik der Älteren Bronzezeit – Stand der Forschung

Die Keramik der Älteren Bronzezeit wird im Forschungsdiskurs stets als das ‚Sorgenkind‘ der materiellen Kultur des Nordischen Kreises behandelt. Ernst Sprockhoff schrieb 1954:

„Die altbronzezeitliche Kümmerkeramik, nur selten bereichert durch Ware nach Art böhmisch-oberpfälzischer Hügelgräberkultur, wird abgelöst durch Tonware von Großformat in Gestalt von Zylinder- und Kegelhalsurne, Amphore und Doppelkonus, deren Machart auch der Bezeichnung als Keramik wieder mehr Berechtigung verleiht.“ (Sprockhoff 1954, 37)

In anderen Studien wird diese „Kümmerkeramik“ stets als grob und ungraziös bezeichnet. Ein Beispiel stammt von Schwarzländer, die die älterbronzezeitliche Keramik aus Archsum mit folgenden Bezeichnungen beschreibt: eine grobe Magerung; ein grober, plumper Anschein; schlecht gebrannter Ton; Oberflächenbehandlungen beschränken sich auf: Rauhung, teilw. geglättet, Fingernageleindrücke; Ornamente sind zumeist plastischer Art; Gefäßformen lassen sich dezimieren auf: Doppelkoni, Töpfe und Schalen, die Merkmale wie Henkel, Griffzapfen, Wandungsbehandlungen, Ösenhenkel, Bandhenkel und verschiedene Mündungsformen aufweisen; Die wenige Feinkeramik beschränke sich auf Schalen, teilweise mit gegliedertem Profil und Trichterrand, Henkel und Kragenhalsflaschen (Schwarzländer 1993, 187f.). Im Vergleich dazu fasst Jensen das dänische Material für die älterbronzezeitliche Keramik in ähnlicher Weise wie folgt zusammen:

‘The forms of the pots were as a rule quite simple, almost without decoration, nor was the technical side of the matter given much attention: the pots were usually rather poorly fired. The surface of the pot was almost always irregular, uneven and knobbly typified by the way the large, sharp-edged tempering grains stuck out. The surface of the newly made pot was often smoothed with a wet hand. This meant that the finest clay particles came to lie puter most as a thin, covering layer. The tempering grains then appeared as peaks and bumps beneath the covering layer. The clay pots were rarely fired all the way through. This can be seen in the fracture surfaces of the potsherds. The outer layer or the inner layer of the potsherd is often missing. From this we can infer that the firing was not done at a constant temperature or with an even supply of air. The pots often have a ‚flamed‘ surface. Along with the deficient firing, this shows that the pots were probably fired in an open fire and that differenced in the wind direction and other conditions were allowed to affect the firing process. All this contributed to the fact that the pottery found at the settlement of the early Bronze Age is often much disintegrated. With the introduction of the cremation, pottery appears in burial. At that time, the design becomes more precise, and the appearance of the pots is given more care.’ (Jensen 2013, 349-351)

Eine chronologische Unterscheidung zwischen Keramik der Älteren und Jüngeren Bronzezeit findet dabei insofern Eingang, dass der älteren Phase eher eine grobe bis mittelgrobe Magerung, eine niedrige Brenntemperatur und eine eher tonnenartige Form zugewiesen wird, während in der jüngeren Phase eine höhere Festigkeit und feinere Magerung, die auch eine bessere Aufbereitungstechnik und hohe Brenntemperatur bedeutet, betont werden (Vgl. Zich 1985, 129). Kersten und La Baume beschreiben gelegentlich regionalspezifische Keramikvorkommen der Älteren Bronzezeit. Für Nordfriesland wurde darin eine Gliederung der Gefäßkeramik vorgestellt (Kersten und La Baume 1958, 40-42). Wirth, der sich mit dem Fundplatz Archsum/Melenknop beschäftigte, stellte zudem bereits einige morphologische

Vergleiche zwischen seinem Fundmaterial, das er sehr genau beschreibt, und jenem in Aner und Kersten's (1979) veröffentlichten Material zu Nordfriesland fest und konnte einige Parallelen zu Gefäßkeramiken ziehen, die aufgrund ihrer Befunde in die Periode III datieren (Wirth 1994, 129ff., 162f.). Hulthén beschäftigte sich mit dem schwedischen Fundplatz Skåne und erarbeitete eine Phasenteilung der Keramik vom Übergang zur jüngeren Bronzezeit und darüber hinaus. Dabei werden zwei Phasen (A und B) unterschieden, die sich insbesondere durch unterschiedliche Oberflächenbehandlungen auszeichnen. Diese Merkmale scheinen auch im Siedlungsmaterial aufzutreten. Lolk nutzt diese Einteilung für einen Vergleich mit dänischem Keramikmaterial (Jütland und Fünen), das sie 2009 in alle sechs Montelius-Perioden einteilte und statistisch auswertete (Lolk 2009, 57-101). Eine aktuelle Auseinandersetzung mit älterbronzezeitlichem Keramikmaterial wurde für den Fundplatz von Bjerre (Thy) in Jütland von Kristensen vorgenommen (Kristensen 2018, 161-244). Die Keramikformen sind in vielen Punkten mit den schleswig-holsteinischen Exemplaren vergleichbar. Für einen besseren Vergleich mit der Jüngeren Bronzezeit und um damit eine gesamtbronzezeitliche Typengliederung für Schleswig-Holstein zu schaffen, wird sich bei der Formenansprache zunächst tendenziell an den Begriffen nach Schmidt orientiert. Ein Vergleich mit dem dänischen Fundmaterial nach Lolk und Kristensen wäre in zukünftigen Studien jedoch äußerst sinnvoll, um gesamtzeitliche und wahrscheinlich parallele Entwicklungen zwischen beiden Regionen feststellen zu können.

9.5.7. Typengliederung

9.5.7.1. Einführung

Die Studie basiert auf dem Material, das zeichnerisch vorliegt – d. h. mit Profil und Maßstab. Dieser Ansatz bringt das Problem mit sich, dass es die vorhandene Keramik nur verzerrt wiedergibt, weil nur eine Auswahl dargestellt wird. Diese Auswahl bringt also die Gefahr mit sich, dass das veröffentlichte Keramikmaterial entweder als „typisch“ beschrieben wird und damit eine unreflektierte Bestätigung vergangener Interpretationen darstellt, noch als „selten“ charakterisiert und entsprechend hervorgehoben wird. Diese Problematik beschreibt auch Lolk in ihrer Studie zum dänischen Keramikmaterial (Lolk 2009, 59). Jedoch bietet dieser Ansatz die Möglichkeit einer Überblicksstudie, die spätere Verfeinerungen und die Einordnung weiteren Materials ermöglicht. Für die Typengliederung wurden zunächst alle verfügbaren Abbildungen von Keramikgefäßen aus Schleswig-Holstein (Aner/Kersten-Bände & Zettelkatalog des ALSH) ausgeschnitten, um sie dann auszubreiten, zu vergleichen und zu sortieren. Aus dem Zettelkatalog liegen leider kaum rekonstruierte Gefäße zeichnerisch und ungefähr zeitlich einordbar vor, die für die Analyse berücksichtigt werden konnten, sodass der Süden Holsteins in der vorliegenden Gliederung entsprechend unterrepräsentiert wird. Einige Gefäße konnten keiner Gruppe zugeordnet werden. Um die Bildung von Typen zu verhindern, die nur auf einem Einzelgefäß basieren, wurden jene ausgelassen. Auch Gefäße, die nur anhand von ein bis zwei Scherben ergänzt wurden, blieben zunächst von der Analyse ausgeschlossen, da ihre Formgebung zu unsicher ist. Bei der Sortierung sind die Formen und Größen zunächst richtungsweisend. Anhand der Größe wurden zum Beispiel Tonnen und Becher unterschieden, die ansonsten die gleiche Form aufwiesen. Ornamente wurden zunächst außer Acht gelassen – es sei denn, sie stellen ein prägnantes Charakteristikum dar (z. B. Henkel von Tassen oder Ösen von Bechern). Damit unterschied sich die Vorgehensweise von jener Lolks, die zunächst sowohl die Form, als auch die Ornamentik von Beginn an unterschied und damit dem Gliederungssystem von Rasmussen folgt (Lolk 2009, 60f.; Rasmussen 1993). Im Rahmen ihrer statistischen

Analysen fügte sie die Größe als Parameter hinzu. Dabei stellte sie fest, dass funktionale Kategorisierungen in Schalen, Krügen, Schüsseln *usw.* im Keramikmaterial der Älteren Bronzezeit verschwommen zu sein scheinen. Eine erste Einteilung in solche Gruppen beschreibt sie daher als recht problematisch. Darüber hinaus spielen die Struktur und Dekoration des Gefäßes wahrscheinlich eine größere Rolle als kleine metrische Abweichungen, die letzten Endes bestimmen könnten, ob das Gefäß zu der einen oder anderen Gruppe gehört. Unter Hinzuziehung der Datierung, stellte Lolk fest, dass einige Gruppierungen von stilistischen und formabhängigen Kombinationen chronologisch signifikant zu sein scheinen, während andere während des Zeitraums von Periode II-V anmuten kontinuierlich aufzutreten (Lolk 2009, 61ff., 67, Abb. 3). Anhand ihrer Studie formuliert Lolk drei Schlussfolgerungen:

Zwischen der frühen und späten Bronzezeit gebe es bis zu einem gewissen Grad eine Lücke, in der einige Typen verschwinden und durch andere ersetzt werden, wohingegen andere kontinuierlich bestehen.

Es bestehe eine gewisse Gleichförmigkeit mit der schwedischen Einteilung in die Phasen A und B, bei der Merkmale der Phase A in zwei bis drei Fällen ab Periode II und III auftreten, jedoch erst ab Periode IV allgemeiner werden. Merkmale der Phase B konzentrieren sich dagegen auf die Perioden V-VI. Die Lücke zwischen den Phasen verlaufe in der Periode V oder am Übergang zwischen den Perioden IV und V, möglicherweise mit einer gewissen Überlappung.

Die Bronzezeitkeramik entziehe sich weitgehend der üblichen Klassifizierung. Sie zeichne sich durch ein hohes Maß an Konservativität im Design aus und einige Typen seien zudem während des größten Teils der Bronzezeit unverändert. Dies sei mit dem Vorhandensein vieler einzigartiger Gefäße – insbesondere in der Älteren Bronzezeit – verbunden (Lolk 2009, 70f.).

Sowohl für einige älterbronzezeitliche Gefäße, als auch für viele jungbronzezeitliche Gefäße des dänischen Materials (v. a. ab Per. III/IV) stellt Lolk zudem Ähnlichkeiten zu Lausitzer Typen fest (z. B. Doppelkoni) (Lolk 2009, 72f.). Die Tatsache, dass sich einige Formen über mehrere Perioden erhalten bzw. sowohl in der älteren als auch in der jüngeren Bronzezeit vorkommen, erklärt Lolk mit dem auf ethnografischen Beispielen basierenden ‚motorhabits‘-Konzept von Dean Arnold, nach dem die Trägheit, die hinter der Gestaltung der materiellen Kultur liege, mit körperlichen Alltagshandlungen zusammenhängt und langlebige Gefäßformen bedingt (Arnold 1993; Lolk 2009, 81ff.).

9.5.7.2. Klassifizierung durch Sortieren

Die ausgeschnittenen Gefäßabbildungen wurden zunächst nach ‚offensichtlichen‘ Gefäßformen sortiert. Erst dann wurden die Formen systematisch unterschieden. Dabei spielen die Rand- Hals-, Schulter-, Bauch- und Bodenformen eine ausschlaggebende Rolle (während Verzierungen bzw. Oberflächenbehandlungen sowie Magerungsstufen zunächst weniger wichtig waren). Dabei wurde der Frage nachgegangen: welche morphologischen Aspekte einer Gefäßformkategorie machen das Gefäß so unverwechselbar? So wurden die ‚offensichtlichen‘ Merkmale reflektiert. Es wurde dann versucht, den Rest des Materials hinsichtlich gleicher Variablen zu klassifizieren. Ist dies nicht möglich, wurden weitere Merkmale herausgearbeitet. Sofern diese neuen Merkmale im Material ein Muster erkennen lassen, müssen die ursprünglichen ‚offensichtlichen‘ Gefäßformen neu überdacht werden (Adams und Adams 1991, 54f.).

9.5.7.3. Namensgebung

Um der Klassifizierung einen Namen zu geben, ist es unerlässlich die gebildeten Gefäßformen zu beschreiben (Merkmale), eine explizite Definition abzugeben,

sowie den Typen zu benennen, um ihn im weiteren Verlauf an- und besprechen zu können (‘type representation’) (Adams und Adams 1991, 30f., 55f.). Die Gefäße wurden also zunächst nach ihrer Form und Größe in allgemeine Gruppen wie Becher, Tonnen *usw.* eingeteilt und innerhalb dieser Gruppen ein weiteres Mal – nun aber nach spezifischen Merkmalen – untergliedert, die beispielsweise ihre Form, Umbruchszonen, Boden- und Randmerkmale betreffen. Teilweise können innerhalb eines Typs und seinen Varianten auch Sonderformen definiert werden. Verzierungen, die insgesamt eher selten auftreten, wurden dabei nicht beachtet – außer, wenn die Form eines Gefäßes, das auch eine auffällige Verzierung aufweist, von anderen Formen abweicht.⁸⁴⁸

9.5.7.4. Zeitliche Einordnung

Zu den Gefäßen liegen häufig zeitliche Einordnungen anhand von Beifunden vor. Die Gefäßtypen können also einer Periode mehr oder weniger zugewiesen werden. Eine Varianz in der Nutzungszeit muss jedoch bedacht werden. Hinsichtlich der Datierungshorizonte fiel auf, dass ein Großteil der Gefäße in die Periode III datiert. Diese Dominanz keramischer Funde in der Periode III ist auch in der Gesamtübersicht zum Materialvorkommen in Abbildung 141 zu erkennen. Die lediglich in die Ältere Bronzezeit eingeordneten Gefäße, wurden für die Auswertung – wenn sinnvoll – aoristisch auf die Perioden aufgeteilt. Dies wird im jeweiligen Fall entsprechend vermerkt. Eine chronologische Studie auf Basis dieses Materials ist in Planung, um eine genauere chronologische Einteilung zu erreichen. Für die vorliegende Untersuchung wurden lediglich die Beifunde genutzt, um sich den Fragestellungen nach Transformationen in einem ersten Schritt anzunähern.

9.5.8. Gefäßformen der Älteren Bronzezeit in Schleswig-Holstein

Das Material ließ sich zunächst in zehn Gefäßformen aufteilen. Dabei überwiegen Becher deutlich. Tonnen bilden die zweite wesentliche Gefäßform, gefolgt von Terrinen. Zylinderhalsgefäße, Tassen, Kegelhalsgefäße, Nöpfe und Schalen kommen hingegen selten vor, während Krüge und Trichterhalsgefäße die Ausnahme bilden (Abb. 163).

Dabei stammen die meisten Gefäße mit weitem Abstand zu den anderen Teilen Schleswig-Holsteins aus Nordfriesland (v. a. auf Amrum und Sylt). Die anderen Kreise sind nur mit zwischen zwei und 26 Gefäßen vertreten (Abb. 164). Diese Überrepräsentativität Nordfrieslands ist vor allem forschungsbedingt, bzw. mit der Auswahl abgebildeter Funde in den *Aner/Kersten*-Bänden verbunden.

Bei den Kontexten der Funde handelt es sich fast immer um Grabkontexte. Nur vereinzelt stammen die Gefäße aus Siedlungs-, Einzelfund-, oder Depotkontexten.

Die o. g. Gefäßformen wurden in Typen unterteilt, die verschiedene Varianten erkennen ließen, deren Charakterisierung im Folgenden beschrieben wird. Die Reihenfolge der Beschreibungen orientiert sich dabei an der in Abbildung 163 aufgeführten Vorkommen in der Datenbasis.

9.5.8.1. Becher

Becher zeichnen sich durch ihre hochgezogene Form aus. Dabei handelt es sich im Allgemeinen um kleine Gefäße, das heißt mindestens die Hälfte von Tonnenhöhen. Sie kommen dabei in allen Teilen Schleswig-Holsteins vor. Steilwandige ungegliederte

848 Ein solcher Sonderfall trat lediglich in einem Fall ein (Vgl. Becher, Typ 7).

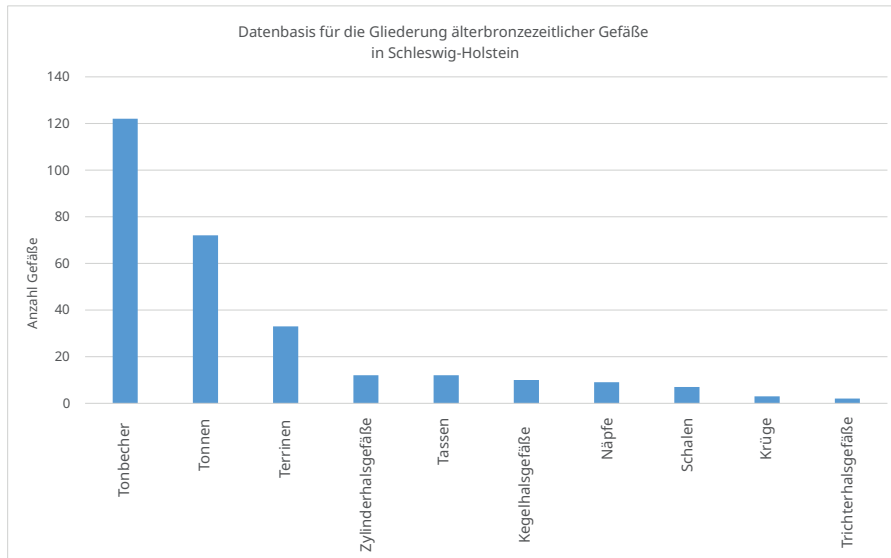


Abbildung 163: Vorkommen älterbronzezeitlicher Gefäßformen in Schleswig-Holstein.

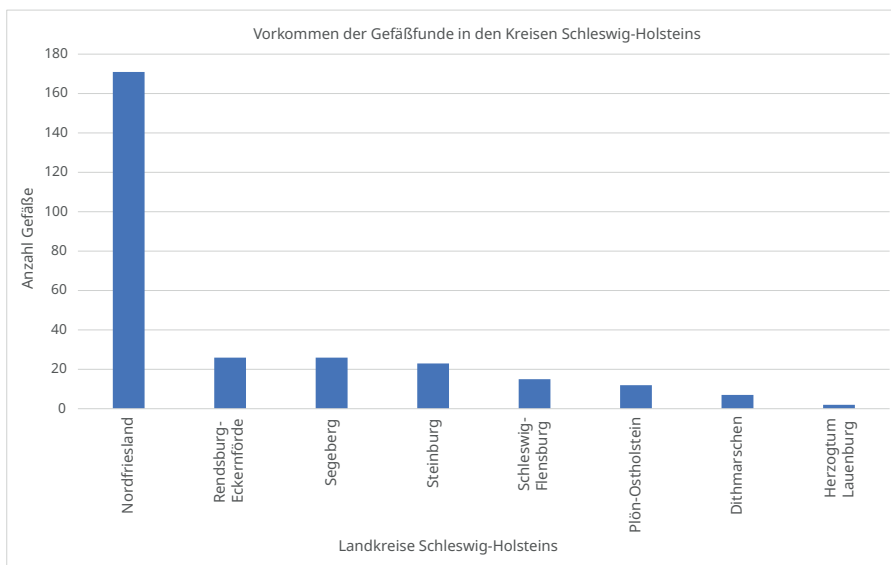


Abbildung 164: Vorkommen der Gefäßfunde nach Kreisen Schleswig-Holsteins.

Becher (**Typ 1**)⁸⁴⁹ sind aus Grabhügeln in Segeberg, Steinburg und Nordfriesland bekannt. Sie können mit Knubben oder Griffzapfen unterhalb des Randes versehen worden sein. Teilweise sind die Becher geglättet sowie mit ausgewulstetem Standfuß erhalten. Es handelt sich um sechs Exemplare, die zur Hälfte aus Körperbestattungen stammen. Zwei weitere sind aus Urnenkontexten bekannt (einmal als eindeutiges Beigefäß) und in einem Fall aus einem Leichenbrandschüttungsgrab mit Steinpackung. Sie datieren in die gesamte Ältere Bronzezeit mit leichtem Schwerpunkt in der Periode III. Einen zweiten Typ stellen Becher mit einziehendem steilem Hals dar (**Typ 2**), die meistens zwei Henkelösen und einen leicht ausgewulsteten Standfuß haben. Der Typ lässt sich in drei Varianten einteilen. Bei **Variante 1**⁸⁵⁰ verläuft der Hals meistens steil und ist fast immer mehr oder weniger deutlich abgesetzt. In einigen Fällen sind diese Becher geglättet worden. Fast immer kommt diese Variante in

849 Aner/Kersten-Nr. (AK-Nr.): 9474 A; 9990 B; 9407 F; 2611; 2719; 9389.

850 AK-Nr.: 9434 A; 2627; 2227 D; 2608 I; 9270; 9680; 9888 D; 2715; 9543; 9037; 9550 C; 9113 A; 2719 M; 2737; 9761 C; 2851 D; 10160 G; 9141; 2611; 2265; 9995 B; 9816 B; 2574 C; 9862; 9824; 9996; 2851 D; 9878 B; 2408 H; 9616; 9515 A.

Grabhügelkontexten vor. Nur selten handelt es sich um einen Einzelfund oder ein Flachgrab. Die Becher wurden dabei meistens Leichenbrandschüttungsgräbern (sowohl in Steinkisten, in Särgen, als auch in Steinpackungen, insg. 15 Gräber) mitgegeben. Körperbestattungen sind am zweithäufigsten (9 Gräber), während sie nur in vier Urnengräbern vorkommen. Bei zweien dieser Urnen stellen die Becher Beigefäße und nicht die Grabgefäße wie in den anderen beiden Fällen dar. Diese Becherform ist dabei in allen Perioden der Älteren Bronzezeit vertreten. Auch aus Mang de Bargen ist ein solcher Becher bekannt. Die **Variante 2** dieses Typs ist etwas größer und mit einem oberständigen Halsknick versehen. Der zunächst einziehende Hals läuft schließlich in einen geraden bis teilweise ausschwingen Randabschluss aus. Die Becher weisen mindestens zwei Handhabungen auf. Dabei ähneln sie dem Typ 3 der Tonnenformen. Die Variante 2 ist in eine weitmundige Version a und eine engmundige Version b aufzuteilen. Die **Variante 2 a**⁸⁵¹ ist dabei nur selten mit einer ausgewulsten Standfläche versehen. Fast immer stammt die Variante a aus Grabhügelkontexten. Leichenbrandschüttungsgräber und Urnen (fast immer als Grabgefäß) sind dabei gleich oft vertreten (6:6). Nur eine Körperbestattung enthielt einen solchen Becher. Die Becher kommen in der gesamten Älteren Bronzezeit vor, jedoch weisen sie eine deutliche Dominanz während der Periode III auf und tendieren auch zu einer Einordnung an den Übergang zur Periode IV (Vgl. Aner/Kersten-Nr. 10160 D und 9547). Bei der **Variante 2 b**⁸⁵² sind die Standflächen fast nie ausgeprägt. Diese Variante stammt fast immer aus Grabhügelkontexten. Dabei handelt es sich zur Hälfte um drei Leichenbrandschüttungsgräber und zur anderen Hälfte um zwei Urnenbestattungen und eine mögliche Körperbestattung. Die Becherform kommt ausschließlich in der Periode III vor. Eine dritte Variante (**Variante 3**)⁸⁵³ stellen Becher dar, die – ähnlich wie Variante 2 – einen einziehenden Hals mit oberständigem Umbruch aufweisen. Dabei sind sie jedoch mit einer Gefäßabdeckung (meistens Kappendeckel) versehen. Diese Variante entstammt stets Grabhügelkontexten und ist dabei zumeist aus Urnengräbern und dabei in fünf von sieben Fällen als Beigefäß bekannt. Die anderen Kontexte bilden zwei Leichenbrandschüttungsgräber und eine Körperbestattung. Sie datieren alle in die Periode III. Bei den Fundorten handelt es sich fast immer um Funde aus Nordfriesland (v. a. Sylt). Der dritte Typ (**Typ 3**)⁸⁵⁴ umfasst Becher mit kurzem ausschwingenden bis nahezu ausbiegenden Rand. Der Gefäßkörper ist leicht bauchig, aber dennoch hoch bis tonnenförmig und ggf. mit einer ausgewulsten Standfläche versehen, sowie manchmal mit geglätteter Wandung. Dieser Typ ist in den vorliegenden Daten ausschließlich aus Grabhügelkontexten bekannt und kommt dabei meistens in Zusammenhang mit Körperbestattungen vor (fünf von neun Fällen). Nur selten (zwei von neun Fällen) handelt es sich um eine Urnenbestattung. Dabei datiert dieser Typ mehrheitlich allgemein in die Ältere Bronzezeit. Den **Typ 4**⁸⁵⁵ bilden doppelkonische Becher, die nahezu s-förmig profiliert sind. Sie weisen ein einziehendes Oberteil auf, sowie oft einen scharfen Umbruch. Handhabungen weisen Becher dieses Typs so gut wie nie auf. Selten ist der Fuß abgesetzt bzw. ausgewulstet. Auch eine geglättete Wandung tritt nur selten auf. Häufig wurde dieser Becher-Typ in Grabhügelkontexten gefunden und stammt dabei aus Körperbestattungen. In einem Fall konnte ein solcher Becher aus einem Doppelgrab mit Leichenbrandschüttungen geborgen werden. Die Befunddatierungen weisen mehrheitlich allgemein in die Ältere Bronzezeit mit der Tendenz zur frühen Bronzezeit (Periode I). Bei Bechern des **Typ 5** handelt es sich um doppelkonische Becher mit einziehendem Hals und mittelständigem Umbruch. Es kann zwischen einer Variante a, die ausschließlich Ösenbecher umfasst, und einer Variante b, deren Exemplare keine Ösen aufweisen,

851 AK-Nr.: 2580 B; 2323; 2719 Dd; 2719 Dd; 2744 A; 9547; 2787; 2617 I; 2712 A; 2682 D; 2775 K; 10160 D.

852 AK-Nr.: 2229 G; 2757 E; 2716 G; 2253 B; 2775 A; 9732 B; 2640.

853 AK-Nr.: 2719 U; 2719Bb; 2615 B; 2615 B; 2615 A; 2615 C; 9462 B; 2615 B; 2608 I; 2682 E.

854 AK-Nr.: 9773; 10041; 2619 C; 10171 B; 2617; 2699; 9707 A; 2787; 9822.

855 AK-Nr.: 9995 C; 9664 A; 9431 B; 10164 II; 2809 A; 2504; 2756; 9528 A; 9948 A; 2823 B; 9393 A.

unterschieden werden. Die doppelkonischen Ösenbecher (**Variante 1**)⁸⁵⁶ sind häufig mit einem ausgewulsteten Standfuß ausgestattet. Dabei sind sie nie geglättet. Fast immer sind sie aus Brandbestattungen aus Grabhügelkontexten bekannt. In vier von sieben Fällen wurden sie in Leichenbrandschüttungsgräbern gefunden (in Holzsärgen oder auch Steinpackungen), etwas seltener in Urnen (drei von sieben Fällen). Alle Ösenbecher dieses Typs sind der Periode III zuzuweisen. Die doppelkonischen Becher dieses Typs, die keine Ösen aufweisen (**Variante 2**)⁸⁵⁷, sind lediglich von zwei Fundorten bekannt und sind dabei aus Leichenbrandschüttungsgräbern aus Grabhügeln dokumentiert. Ihre Datierung ist älterbronzezeitlich. Bauchige, napfartige Becher mit tendenziell weitmündiger Öffnung gehören zum **Typ 6**⁸⁵⁸. Der Hals dieser Gefäße kann leicht abgesetzt sein und der Rand kann leicht ausschwingen. Die Existenz und Anzahl von Ösen sind unterschiedlich ausgeprägt. Ausgewulste Standfüße und Glättungen der Wandung treten nur vereinzelt auf. Es handelt sich bei den Befunden fast immer um Körperbestattungen aus Grabhügeln. Lediglich ein Becher ist aus einem Einzelfund bekannt. Sie lassen sich der Älteren Bronzezeit mit erhöhter Frequenz in die Periode II einordnen. Ein einzelner Becher, der sowohl hinsichtlich seiner Form, als auch seiner Verzierung von den anderen abweicht, wurde als **Typ 7**⁸⁵⁹ aufgenommen. Er ist sehr unregelmäßig zugearbeitet und mit einer starken Verzierung versehen. Es handelt sich um einen kleinen, unregelmäßig geformten Becher, der geglättet und mit abgesetztem niedrigen Hals und unten ausgedelltem Fuß ausgestattet ist, sowie am Hals- und Fußansatz umlaufende Reihen von Fingernageleindrücken aufweist. Der Becher stammt aus einem Körpergrab eines Grabhügels (Aner/Kersten-Nr. 2409 D, Kr. Schleswig-Flensburg) und kann lediglich allgemein der Älteren Bronzezeit zugeordnet werden. Becher mit einem Zapfen, auch sogenannte Zapfenbecher, werden dem **Typ 8**⁸⁶⁰ zugewiesen. Sie können einen Umbruch und einen waagerechten Griffzapfen haben. Becher dieses Typs stammen ausschließlich von Sylt (Nordfriesland) und wurden dort meistens in Urnengräbern gefunden, die sich teilweise in Grabhügeln befanden. Sie sind älterbronzezeitlich zu datieren. Zwei hohe Becher mit leicht gerundeter Wandung und ausschwingendem Rand gehören zum **Typ 9**⁸⁶¹. Ihre Form im Allgemeinen erscheint tonnenförmig. Einer von ihnen ist aus einer möglichen Körperbestattung eines Grabhügels bekannt und datiert in die Periode III und ein anderer stammt aus einem möglichen Flachgrabbeleg und ist der Älteren Bronzezeit zuzuordnen. Becher des **Typs 10** sind eingliedrig, tonnenförmig und weisen eine eher schlichte Form und teilweise einen eingedrückten bis einziehenden Rand auf. Die Standfläche ist manchmal abgesetzt. Handhabungen weist dieser Bechertyp nur selten auf. Dieser Typ ist in zwei Varianten zu unterteilen. **Variante 1**⁸⁶² ist weitmündig und nicht sonderlich hoch aufgebaut, während **Variante 2**⁸⁶³ zwar kleiner aber dafür eine höhere und zylindrische Form hat. Variante 1 kommt fast immer in Grabhügeln vor und entstammt dabei meistens Urnen- und Leichenbrandschüttungsgräbern (Steinpackungen; Baumsargbestattung). In nur einem Fall stammt ein solcher Becher aus einem Körpergrab. Die Datierung der weitmündigen Variante ist der Älteren Bronzezeit mit Tendenz in die Periode III zuzuordnen. Die drei Becher der zweiten Variante sind aus zwei Körpergräbern und einer Leichenbrandschüttung aus Grabhügelkontexten bekannt und datieren in die Ältere Bronzezeit mit Tendenz in die Periode II.

856 AK-Nr.: 2727 A; 2682 B; 2618 A; 2616 E; 2620; 2682 B; 2719 Aa.

857 AK-Nr.: 9392; 9815 Ba.

858 AK-Nr.: 10050 A; 9764 B; 9469 A; 9425; 9363; 2816.

859 AK-Nr.: 2409 D.

860 AK-Nr.: 2710; 2719 L; 2787; 2787.

861 AK-Nr.: 2617 G; 9932.

862 AK-Nr.: 2227 Ab; 2700 I; 2611; 9615 B; 2606 D; 2757 C; 2761 B; 2719 F; 2716 G, 10116B; 9126.

863 AK-Nr.: 9804 A; 2571 A; 9407 F.

9.5.8.2. Tonnen

Die Tonnen aus Schleswig-Holstein wurden in fünf Typen gegliedert. Die Tonnen des ersten Typs (**Typ 1**)⁸⁶⁴ sind nur anhand zweier Beispiele bekannt. Es handelt sich um ungegliederte, sehr bauchige und große Gefäße mit einziehendem Oberteil. Sie sind nahezu eiförmig und aus Urnengräbern (mit und ohne Grabhügelkontext) bekannt. Datiert werden sie in die Periode III. Tonnen des **Typ 2** haben einen oberständigen Umbruch und sind mit mindestens zwei Handhabungen (Henkel, Ösen, Griffzapfen usw.) an der Umbruchszone zum Hals ausgestattet. Sie können in drei Varianten unterteilt werden: **Variante 1** umfasst Gefäße dieses Typs mit einziehendem Hals. Bei dieser Variante können Gefäße mit einem einziehenden Hals und dann teilweise geradem Hals-/Randabschluss (**Variante 1 a**)⁸⁶⁵ sowie Gefäße mit sehr stark einziehendem Hals und Rand (**Variante 1 b**)⁸⁶⁶ unterschieden werden. Beide Formen stammen immer aus Grabhügelkontexten und dabei tendenziell aus Urnengräbern – teils als Beigefäß, teils als Grabgefäß für die Deponierung des Leichenbrandes. Seltener sind sie in Körperbestattungen oder Leichenbrandschüttungsgräbern anzutreffen. Sie datieren im Allgemeinen in die Ältere Bronzezeit mit erhöhter Tendenz in die Periode III. Es fällt auf, dass sie sehr häufig auf Sylt vorkommen. Bei der zweiten Variante (**Variante 2**)⁸⁶⁷ weisen die Tonnen einen einziehenden niedrigen Hals auf, die in einem steilen Rand abschließen. Der Standfuß ist immer ausgewulstet bzw. abgesetzt. Dabei tendieren Gefäße dieser Variante teilweise zu engen Mündungen. Diese Tonnenform tritt ausschließlich auf Sylt und auf Amrum auf und stammt dabei aus Urnengräbern. Fünf von sechs dieser Gräber sind aus Grabhügelkontexten bekannt und stellen das Grabgefäß dar, während eine der Tonnen aus einem Urnenflachgrab, in welchem es als Beigefäß mitgegeben wurde, stammt. Die Datierung weist eine starke Tendenz zu einer Einordnung in die Periode III auf. Ein Gefäß wurde allgemein in die Ältere Bronzezeit eingeordnet. Bei der **Variante 3**⁸⁶⁸ weist das Gefäß einen oberständigen Umbruch auf. Dabei ist der Hals leicht einziehend und geht in einen geraden Rand über, der manchmal auch leicht ausschwingen kann. Die Tonnen dieser Variante sind dadurch weitmundig anmutend und haben einen schmalen Boden im Vergleich zum Rumpf. Diese Tonnenform wurde ausschließlich in Urnengräbern auf Sylt und Amrum dokumentiert. In drei von fünf Fällen waren diese Urnen in Grabhügeln aufgefunden worden und stellten Grabgefäße dar. Als Urnenflachgrab (zwei von fünf Fällen) war diese Tonnenform einmal als Grabgefäß und einmal als Beigefäß eines Urnengrabes im Steingrab genutzt worden. Sie alle datieren in die Periode III. Bei dem **Typ 3**⁸⁶⁹ der tonnenförmigen Gefäße handelt es sich um hohe Tonnen, die ggf. Handhabungen im oberen Viertel des Gefäßes aufweisen. Sie haben eine nur leicht gerundete konvexe Wandung und der Hals zieht leicht ein, bevor es in einem geraden Rand abschließt. Der Boden ist teilweise abgesetzt und kann sehr klein ausfallen. Diese Tonnenform ist ausschließlich von Sylt und Amrum bekannt und stammt dabei fast immer aus Urnengräbern, die in Grabhügeln gefunden wurden. Lediglich in zwei von insgesamt elf Fällen stellen die Gefäße Siedlungsreste dar (Archsum und Tinnum). Datiert werden können Gefäße dieses Typs in die Periode III. Lediglich ein Gefäß konnte allgemein in die Ältere Bronzezeit eingeordnet werden. Ein vierter Typ (**Typ 4**) hat eine hohe Form mit teilweise abgesetztem leicht einziehenden Hals und gegebenenfalls ausschwingendem Rand. Die Wandung ist dabei leicht gerundet. Bei der **Variante 1**⁸⁷⁰ dieses

864 AK-Nr.: 2726 E; 2826.

865 AK-Nr.: 2718 D; 9434 A; 2576 A; 2641; 2743; 2259; 2611; 9994 A; 2719 P.

866 AK-Nr.: 2727 B; 2757; 2710; 2615 A; 2726 E; 2581; 2761 F; 2761 B; 9606 B.

867 AK-Nr.: 2617 H; 2611; 2787; 2617 L; 2622; 2717 B.

868 AK-Nr.: 2662; 2618; 2580 B; 2723 A; 2704.

869 AK-Nr.: 2700 I; 2616 G; 2751 C; 2719 L; 2611; 2700; 2758 D; 2722B; 2724 D; 2747; 2724 E.

870 AK-Nr.: 2718 G; 2760; 2714; 2706 C; 2700 I (2x); 2851 A; 2757 E; 2728 A; 2593 A; 2734.

Typs ist der Hals abgesetzt. Teilweise sind die GefäÙe mit Handhabungen versehen. Ausgewulstete oder abgesetzte Standflächen sind nur selten vertreten. GefäÙe dieser Variante wurden ausschließlich auf Sylt und Amrum dokumentiert. Zumeist (sieben von elf Fällen) sind Formen dieser Variante aus Urnengräbern bekannt, die sowohl in Grabhügeln, als auch in Flachgräbern vorkommen. In einem Fall wurde ein GefäÙ dieser Variante in einem Leichenbrandschüttungsgrab, das sich in einer Steinkiste befand, bestattet und in drei anderen Fällen handelt es sich um Siedlungsreste. Alle GefäÙe dieser Variante datieren in die Periode III. Die **Variante 2**⁸⁷¹ ist hingegen ungegliedert und ohne abgesetzten Hals. GefäÙe dieser Variante haben oft zwischen einer und vier Handhabungen (z. B. Griffzapfen, Knubben oder Ösen). Der Standfuß ist teilweise ausgewulstet. In neun von elf Fällen treten GefäÙe dieser Variante in Urnengräbern auf, die meistens in Grabhügeln bestattet wurden. Zwei Urnen dieser Variante sind von Urnenfriedhöfen bekannt, während ein GefäÙ in einem Leichenbrandschüttungsgrab in einer Steinkiste im Grabhügel entdeckt worden war. Meistens wurde diese GefäÙform auf Sylt oder Amrum entdeckt. Vereinzelt sind sie aber auch aus Steinburg oder Lauenburg bekannt. Mehrheitlich sind sie der Periode III zuzuordnen. Bei der **Variante 3**⁸⁷² dieses Typs ist die Wandung gerade bis trichterförmig aufsteigend und stets mit zwei Handhabung unterhalb des niedrigen, leicht einziehenden, zumeist abgesetzten Halses ausgestattet und hat dabei einen geraden bis leicht ausschwingenden Rand. Insgesamt ist diese Variante tendenziell weitmundig. Als GrabgefäÙe (vier von sieben Fällen) wurden sie in Urnen – teilweise unter Grabhügeln und teilweise in Flachgräbern – bestattet. Drei GefäÙe sind von einer Siedlung bekannt (Archsum). Die Datierung der Befunde ordnet diese GefäÙvariante in die Periode III ein. Bei der vierten Variante (**Variante 4**)⁸⁷³ ist die Tonne s-förmig profiliert mit einem bauchigen Körper, einem zunächst einziehenden Hals, dann steil aufsteigenden und mehr oder weniger leicht nach außen schwingender Hals-/Randzone, sodass die Mündung weitmundig scheint. Bei zwei von vier GefäÙen dieser Variante handelt es sich um Urnenbestattungen (einmal unter einem Grabhügel und einmal in einem Flachgrab). Ein weiteres GefäÙ wurde in einem Leichenbrandschüttungsgrab unter einem Grabhügel mitgegeben und ein wiederum weiteres GefäÙ dieser Variante konnte in einem Siedlungskontext aufgefunden werden. Die Befundkontexte weisen eine Datierung in die Periode III auf. Beim **Typ 5**⁸⁷⁴ der Tonnen handelt es sich um eiförmige GefäÙe mit kleinem Boden. Der Hals ist einziehend. Sie können mit einer Abdeckung – wie zum Beispiel einem Kappendeckel – ausgestattet sein. Die Höhen der Tonnen dieses Typs können variieren. Sie wurden als GrabgefäÙe, ausschließlich auf Sylt verwendet. In zwei von drei Fällen stellen sie Urnen und in einem Fall das GefäÙ einer Leichenbrandschüttung dar, die unter Grabhügeln bestattet wurden. Datiert werden können die Formen dieses Typs in die Periode III.

9.5.8.3. Terrinen

Zu den Terrinen zählen GefäÙe, die breiter als hoch sind, dabei aber von flachen Schalen (siehe weiter unten) zu unterscheiden sind, indem sie eine höhergezogene Wandung aufweisen. Dabei können zwei Typen unterschieden werden. Der **Typ 1** umfasst eingliedrige Terrinen mit abgesetztem Hals, der leicht einzieht und in einem geraden Rand abschließt. Teilweise sind sie mit einem abgesetzten Standfuß und oft mit Handhabungen am Halsknick versehen. Die **Varianten 1 und 2** unterscheiden sich dabei lediglich hinsichtlich ihrer Größen. Variante 1 ist dabei größer als Variante 2.

871 AK-Nr.: 2763 B; 2766; 2761 E; 2717 G; 2617 D; 2700 I; 2650 I; 2592 J; 9496; 2577; Landesamt-Zettelkatalog-Nr.: 53-019-009.

872 AK-Nr.: 2611; 2618 A; 2709; 2662; 2700 I (3x).

873 AK-Nr.: 2700 I; 2622; 2682 C; 2727 A.

874 AK-Nr.: 2706 A; 2721 C; 2731 C.

Variante 1⁸⁷⁵ umfasst 22 Gefäße, die nahezu ausschließlich in Nordfriesland (Sylt und Amrum) vorzufinden sind. In 17 Fällen handelt es sich um Urnenbestattungen (16-mal mit Funktion als Grabgefäß zur Deponierung des Leichenbrandes und einmal als Beigefäß), die stets in Grabhügeln beigesezt wurden. In einem Fall wurde eine solche Gefäßform in einem Körpergrab in einem Grabhügel aufgefunden. Vier Exemplare konnten in einem Siedlungskontext (Archsum) nachgewiesen werden. Die Datierung in die Periode III dominiert dabei. Lediglich die oben genannte Körperbestattung stammt aus der Periode II. Die **Variante 2**⁸⁷⁶ weist – wie bereits genannt – eine kleinere Größe des beschriebenen Typs auf und wurde zu einem Großteil im Kreis Steinburg aufgefunden, aber auch in Nordfriesland, Schleswig-Flensburg, Segeberg oder Rendsburg-Eckernförde und zeigt damit eine größere Verbreitung als jene Exemplare der ersten größeren Variante. Die Gefäße sind teilweise mit einem sehr starken Halsknick ausgestattet. In acht von neun Fällen sind sie aus Grabhügeln dokumentiert und stammen dabei aus Körperbestattungen. Ein Gefäß wurde als Moordepotfund niedergelegt. Die Datierung überrascht, denn im Vergleich zur zuvor genannten Variante dominieren die Befunde der zweiten Variante in der Periode II. Als **Typ 2**⁸⁷⁷ können weitmundige-schalenartige, jedoch hohe Terrinen angesprochen werden, die einen einziehenden niedrigen Hals aufweisen. Das Unterteil kann mehr oder weniger bauchig sein und der Boden kann abgesetzt sein. Die beiden Exemplare dieses Typs wurden auf Sylt und Amrum aufgefunden und sind dabei aus Urnengräbern, die in Grabhügeln bestattet worden waren, bekannt. Beide datieren in die Periode III.

9.5.8.4. Zylinderhalsgefäße

Die aufgenommenen Daten umfassen 12 Zylinderhalsgefäße, die dem Namen entsprechend einen zylindrischen Hals aufweisen. Dieser Typ kann in drei Varianten unterteilt werden. Die **Variante 1**⁸⁷⁸ umfasst weitmundige Exemplare, die mit einem gerundeten Unterteil und einem starken Halsknick sowie ggf. mit Handhabung ausgestattet sind. Lediglich drei Exemplare dieser Variante sind aus dem Arbeitsgebiet bekannt und wurden in Segeberg sowie in Lauenburg aufgefunden. Sie sind dabei aus Brandbestattungen (2-mal aus Urnen und einmal aus einer Leichenbrandschüttung) unter Grabhügeln nachgewiesen. Die Datierung in die Periode III dominiert. Mit der **Variante 2**⁸⁷⁹ werden Gefäße angesprochen die hingegen engmundig sind. Ihre bauchigen Unterteile gehen in mehr oder weniger starke Halsknicks über, die schließlich in dem zylindrischen Hals abschließen. Sie sind gegebenenfalls mit Handhabung versehen und aus Grabhügelbestattungen bekannt. Dabei handelt es sich in zwei von drei Fällen um Körpergräber und in einem Fall um eine Doppelbestattung in zwei Holzsärgen mit je zwei Bestattungen. Die Gefäße dieser Variante können in die Periode III eingeordnet werden. Die dritte Variante (**Variante 3**)⁸⁸⁰ umfasst kleinere Exemplare mit Zylinderhals, die den Bechern zugeordnet werden könnten. Aufgrund ihrer prägnanten Form wurden sie jedoch unter den Zylinderhalsgefäßen gesondert aufgeführt. Sie unterscheiden sich im Vergleich zur Variante 2 also lediglich hinsichtlich ihrer Größe. Die Zylinderhalsbecher dieser Variante sind nahezu ausschließlich aus Körpergräbern unter Grabhügeln bekannt (in einem von den sechs Fällen handelt es sich um einen Grabhügelfund). Die Datierungen deuten mehrheitlich in die Periode II und sind damit älter als die Variante 2, die lediglich größer, aber sonst gleich geformt sind.

875 AK-Nr.: 2775 B; 2719 U; 2746 B; 2361; 2615 B; 2743; 2617 D; 2611; 2700 I; 2700 I; 2615 B; 2717 C; 2719 M; 2718 F; 2775 B; 2700 I; 2719 Bb; 2615 C; 2719 F; 2616 F; 2758 E.

876 AK-Nr.: 2293 A; 2758 F; 9407 G; 9419 A; 9459; 9481 B; 9483 A; 9730; 9994 A.

877 AK-Nr.: 2703 C; 2617 D.

878 AK-Nr.: 9816 A; 9819 C; Landesamt-Zettelkatalog-Nr.: 53-101-040.

879 AK-Nr.: 9815 Bc; 9856 C; 10005 B.

880 AK-Nr.: 2360 B; 9029; 9421 A; 9579 E; 9723 A; 10046 B.

9.5.8.5. Tassen

Die Tassen der Datenbasis können ihrer Form nach in insgesamt drei Typen untergliedert werden. Der **Typ 1** umfasst hohe becherförmige Tassen, die tendenziell hochschultrig sind und eine steile Wandung aufweisen. Der flache Boden kann leicht abgesetzt sein. Der alleinstehende Henkel kann randständig, aber auch schulterorientiert angebracht sein. Die **Variante 1**⁸⁸¹ dieses Typs ist stets mit einem abgesetzten Rand ausgestattet. Das Vorkommen dieser Tassenvariante ist weder an eine Region des Arbeitsgebiets, noch an eine Befundart gebunden. So kommen die vier Exemplare in verschiedenen Grabformen – aber stets im Zusammenhang mit Grabhügeln vor (einmal Körperbestattung, einmal Leichenbrandschüttung, zweimal Urnengräber – einmal als Beigefäß und einmal als Grabgefäß). Datiert werden kann dieser Tassentyp vorwiegend in die Periode III. Die zweite Variante (**Variante 2**)⁸⁸² hat hingegen keinen abgesetzten Rand. Die beiden Gefäße dieser Variante beschränken sich auf einen Fundplatz in Rendsburg-Eckernförde und sind dort sowohl aus einem Urnengrab unter einem Grabhügel der Periode III, als auch aus einer Leichenbrandschüttung in einem Flachgrab (mit Holzsaarg) der Älteren Bronzezeit bekannt. Der **Typ 2** der Tassen umfasst alle niedrigen Tassen. Tassen mit abgesetztem Rand (**Variante 1**)⁸⁸³ weisen vereinzelt einen ausgewulsten Standfuß auf. Zwei der drei Exemplare wurden geglättet. Sie sind aus drei unterschiedlichen Grabhügelbefunden (Urnengrab, Körperbestattung, Grabhügelfund) aus Segeberg und von Sylt bekannt. Datiert werden können sie allgemein in die Ältere Bronzezeit. Ein Exemplar datiert nachweislich in die Periode III. Die **Variante 2**⁸⁸⁴ liegt dagegen ohne abgesetzten Rand vor. Die beiden bekannten Exemplare aus Segeberg und von Sylt haben dagegen randständige Henkel. Einer von ihnen hat einen leicht abgesetzten Standfuß, während die andere Tasse leicht geglättet ist. Bei letzterer handelt es sich um ein Gefäß aus einer Leichenbrandschüttung der Älteren Bronzezeit, die in einem Grabhügel beigesetzt wurde. Die andere Tasse wurde als Urnengefäß in einem Grabhügel gefunden und datiert in die Periode III. Doppelkonische Tassen bilden den **Typ 3**.⁸⁸⁵ Lediglich eine Tasse aus Nordfriesland (Schwabstedt) konnte für die Ansprache dieses Typs herangezogen werden. Die Tontasse ist doppelkonisch profiliert, mit randständigem Henkel versehen und mit einer fußartig abgesetzten Standfläche ausgestattet. Der einziehende Hals schließt in einem geraden Rand ab. Gefunden wurde die Tasse in einer Steinsetzung einer Leichenbrandschüttung der Periode III auf einem Flachgräberfeld.

9.5.8.6. Kegelhalsgefäße

Als Kegelhalsgefäße werden Gefäße aufgeführt, die sich durch einen starken Hals-Schulterknick und einen hohen konischen Hals auszeichnen, die das jeweilige Gefäß entsprechend engmundig erscheinen lassen. Die **Variante 1** dieser Gefäße weisen ein gerundetes Unterteil auf. Dabei lassen sich größere Exemplare der Variante 1 a und kleinere Exemplare der Variante 1 b unterscheiden. Die Gefäße der **Variante 1 a**⁸⁸⁶ haben mindestens zwei Handhabungen (Henkel/Henkelösen). Der Standfuß ist nur vereinzelt abgesetzt. Die drei Gefäße sind aus Grabhügeln in Segeberg und Rendsburg-Eckernförde bekannt. Bei den Befunden handelt es sich um eine Körperbestattung, eine Doppel-Leichenbrandschüttung (im Baumsaarg) und einen unklaren Grabbefund. Letzterer datiert vermutlich in die Ältere Bronzezeit,

881 AK-Nr.: 2611; 2272 Ba; 2580 B; 10053 A.

882 AK-Nr.: 9625 L; 9625 E.

883 AK-Nr.: 2777; 9853 A; 9862.

884 AK-Nr.: 2703 B; 9888 A.

885 AK-Nr.: 2845 B.

886 AK-Nr.: 9640 B; 9763 B; 9813 Ab.

während die anderen beiden Gräber in die Periode III einzuordnen sind. Das Gefäß aus der Leichenbrandschüttung ist auffallend weitmundig und könnte womöglich als Sonderform dieser Variante betrachtet werden. Die **Variante 1 b**⁸⁸⁷ umfasst kleinere Gefäße, die jedoch die gleichen Merkmale wie jene der Variante 1 a aufweisen. Die fünf Gefäße haben ein bis vier Handhabungen. Vier von ihnen sind aus Grabhügelkontexten in Steinburg, Segeberg und Rendsburg-Eckernförde bekannt. Dabei handelt es sich um zwei Körperbestattungen und zwei Leichenbrandschüttungen, die allesamt der Periode III zugeordnet werden können. Ein Fund stammt aus der gleichen Periode, jedoch aus einem Siedlungskontext auf Sylt (Archsum). Zwei Gefäße mit Kegelhals wurden der **Variante 2**⁸⁸⁸ zugewiesen. Entgegen der oben beschriebenen gerundeten Unterteile weisen sie trichterförmige Unterteile mit schmalen Böden auf. Nachgewiesen werden konnten sie in Grabhügeln in Steinburg und Nordfriesland (Sylt) und stammen aus Leichenbrandschüttungsgräbern der Periode III.

9.5.8.7. Näpfe

Die Näpfe der Datenbasis haben eine schlichte tonnenartige Form mit teilweise einziehendem Rand sowie auch abgesetzten Standflächen. Im Vergleich zu Tonnen sind sie aber wesentlich kleiner. Handhabung treten sehr selten auf. Die **Variante 1**⁸⁸⁹ umfasst Näpfe mit einem geraden steilen Rand, der gelegentlich auch schwach einziehen kann. Die Gefäße wirken nahezu kumpfförmig. Eine Sonderform dieser Näpfe zeigt sich in äußerst niedrig ausgeführten Exemplaren. Die fünf Gefäße dieser Variante kommen im Arbeitsgebiet verstreut vor und stammen dabei aus Grabhügeln, in denen sie zum Teil (in drei Fällen) in Körperbestattungen beigegeben wurden. Auch zwei Grabfunde, deren Befunde nicht genauer erfasst werden konnten, enthielten entsprechende Näpfe. Die Datierungen beschränken sich zumeist auf eine allgemeine Datierung in die Ältere Bronzezeit. Lediglich ein Fund kann eventuell der Periode II zugeordnet werden. Die vier Gefäße der zweiten Variante (**Variante 2**)⁸⁹⁰ weisen hingegen stark einziehende Randabschlüsse auf. Eine Sonderform ist durch einen sehr niedrigen Napf vertreten. Die vier Exemplare kommen in drei Fällen aus Grabhügeln (zwei Körperbestattungen, eine Leichenbrandschüttung in einer Steinpackung). Ein weiteres Gefäß stellt hingegen einen Einzelfund dar. Letzterer Befund enthielt auch ein kleines Stück Leichenbrand, sodass ein Brandgrab vermutet werden kann. Datiert werden können sie in die Ältere Bronzezeit. Lediglich eines der Gefäße weist anhand der Beifunde in die Periode III.

9.5.8.8. Schalen⁸⁹¹

Zu den Schalen zählen flache, weitmundige Gefäße mit unterschiedlich profiliertem Rand (sowohl ausschwingende als auch einziehende Ränder sind möglich). Gefäße dieser Kategorie können Handhabungen sowie abgesetzte Standflächen aufweisen. Dieser Kategorie zugewiesene Schalen sind ausschließlich von Sylt nachgewiesen. Zwei der sieben Exemplare stellen Urnengefäße dar, die entweder frei im Boden oder aber unter einem Grabhügel bestattet wurden. Eine weitere diente der Abdeckung einer Urne in einem Grabhügel. Zwei weitere stammen aus Scherbennestern aus einem Grabhügel, während zwei weitere Schalen aus einem Siedlungskontext stammen (Archsum). Alle Schalen sind der Periode III zuzuordnen.

887 AK-Nr.: 2700 I; 9515 C; 9632 B; 9640 B; 9813 Ab.

888 AK-Nr.: 2708; 9464 B.

889 AK-Nr.: 2294 C; 2740 B; 9594 A; 10041; 10160 C.

890 AK-Nr.: 2761 B; 9064; 9621 A; 9692 C.

891 AK-Nr.: 2624; 2672; 2700 I (2x); 2718 G; 2758 (2x).

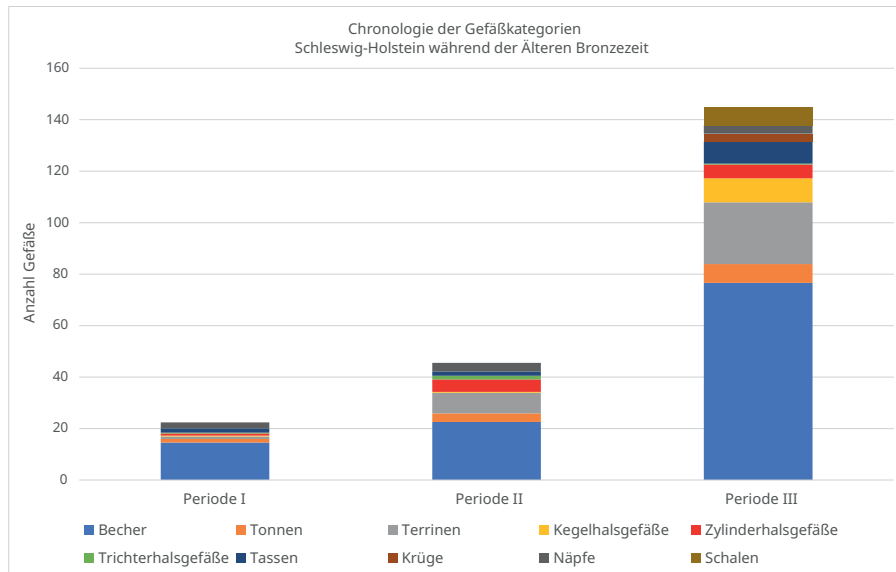


Abbildung 165: Verteilung der definierten Gefäßkategorien auf die Perioden I-III im Arbeitsgebiet.

9.5.8.9. Krüge⁸⁹²

Als Krüge wurden einhenklige, hohe, eimerartige Gefäße bezeichnet. Die Standfläche kann leicht fußartig abgesetzt sein. Teilweise sind die Schultern und der Rand so ausgeprägt, dass das Profil s-förmig scheint. Drei Exemplare dieser Kategorie wurden auf Sylt und Amrum festgestellt. Es handelt sich bei allen Gefäßen um Urnen, die in Grabhügeln oder Steingräbern bestattet wurden. Sie können der Periode III zugewiesen werden.

9.5.8.10. Trichterhalsgefäße⁸⁹³

Die Trichterhalsgefäße umfassen becherartige Behältnisse, die ein doppelkonisches Unterteil und einen hohen trichterförmigen Hals aufweisen. Gegebenenfalls sind sie mit einem Henkel am Halsknick ausgestattet. Zwei Exemplare der Datenbasis konnten dieser Kategorie zugewiesen werden (Plön-Ostholstein und Nordfriesland (Föhr)). Eines der Gefäße stammt aus einem Leichenbrandschüttungsgrab (in Steinpackung) der Periode II in einem Grabhügel, während das andere aus einem Flachgrab mit Leichenbrandschüttung der Älteren Bronzezeit geborgen wurde.

9.5.9. Auswertung

Die quantitative Verteilung der genannten Gefäßkategorien auf die Perioden I bis III (mit aoristischer Aufteilung älterbronzezeitlicher Daten auf die drei Perioden) zeigt zum einen, dass die Anzahl der Gefäßkeramik der Datenbasis von der Periode I bis II zunächst stetig und zur Periode III stark ansteigt (Abb. 165). Zum anderen nimmt die Vielfalt und Häufigkeit unterschiedlicher Gefäße von Periode I bis III zu.

Während Becher in allen Perioden am Häufigsten auftreten, sind mit der Periode II auch nachweislich Terrinen, Zylinder- und Trichterhalsgefäße, Tonnen und Näpfe vertreten (für die Periode I sind jene Formen nur aoristisch anhand älterbronzezeitlicher Werte errechnet, aber nicht nachgewiesen worden). In der Periode III wird das Spektrum durch Nachweise von Kegelhalsgefäßen, Tassen und Schalen ergänzt. Vor allem Terrinen und Kegelhalsgefäße nehmen nun auch einen vergleichsweise hohen quantitativen Anteil ein.

892 AK-Nr.: 2617 E; 2662; 2758 B.

893 AK-Nr.: 2655 A; 10234.

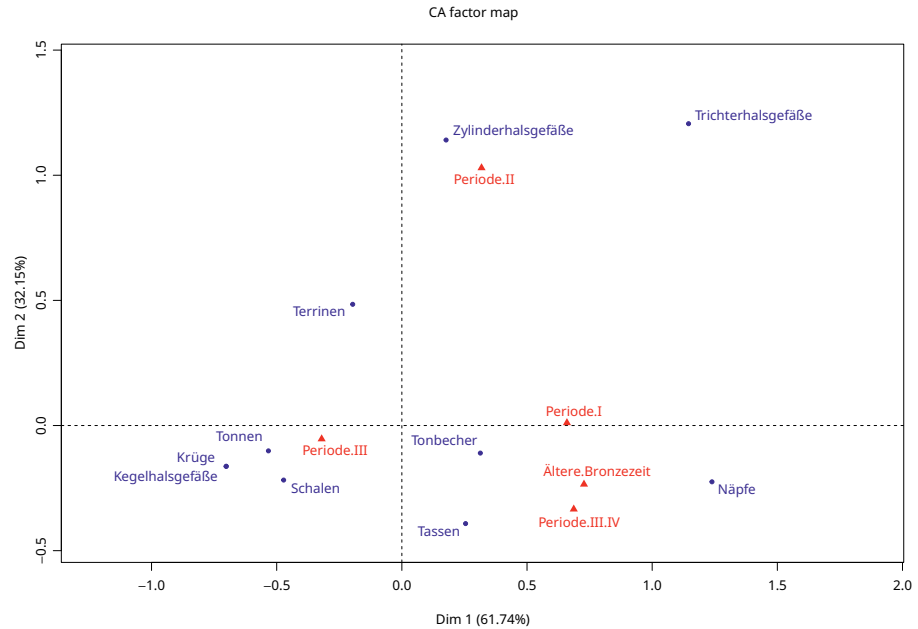


Abbildung 166: Korrespondenzanalyse zu Gefäßformen der Älteren Bronzezeit Schleswig-Holsteins (erstellt mit FactoMineR). 1. gegen 2. Eigenvektor, p -value = 0.2479225.

9.5.9.1. Zeitliche Abfolge von Gefäßformen

Im Folgenden gilt es, nicht nur die Gefäßformen, sondern auch die definierten Typen und Varianten hinsichtlich ihrer zeitlichen Einordnung genauer zu betrachten. Ziel ist es, die Gliederung von Keramikgefäßen mit ihrem zeitlichen Kontext zu korrelieren, um mögliche zeitliche Abfolgen der Formgestaltungen feststellen zu können. Dazu wurden die Zeithorizonte zunächst mit den allgemeinen Gefäßkategorien in einer Korrespondenzanalyse (CA) korreliert (Abb. 166). Es fällt auf, dass Gefäße der Periode I, der Älteren Bronzezeit und der Übergangphase von Periode III zu IV Becher, Tassen und Näpfe umfassen. Während der Periode II dominieren dagegen Zylinderhalsgefäße, Trichterhalsgefäße und einige Terrinen, bevor die Periode III sich durch eine verstärkte Vielfalt an Formen der Tonnen, Schalen, Krüge, Kegelhalsgefäße, aber auch Becher, Tassen und Terrinen auszeichnet. Während die Erklärungswerte der CA hohe Werte für den ersten und zweiten Eigenvektor aufzeigen (61.96% und 32.52%), liegt der p -Wert (sog. Überwahrscheinlichkeitswert) bei 0.2479225 und weist damit keine sonderlich hohe Signifikanz auf.

In einer zweiten Korrelation wurden nicht die Kategorien, sondern deren Typen (ohne Varianten) mit den Zeitkontexten korreliert (Abb. 167). Dabei wurden die älterbronzezeitlichen Datierungen auf die drei Perioden aoristisch aufgeteilt. Die Dreiteilung in die Perioden I-III ist in der CA erkennbar. Dabei zeigt sich, dass verschiedene Typen der gleichen Gefäßkategorien in unterschiedlichen Perioden auftreten. So gehören Becher vom Typ 6 eher der Periode II an und zum Beispiel jene vom Typ 4 mehrheitlich zur Periode I.

Für die Korrespondenzanalyse zur Datierung von Gefäßtypen (ohne Varianten), zeigte sich ein sehr guter Erklärungswert für die ersten beiden Achsen (78,01% und 21,99%). Des Weiteren ergab die Analyse einen p -Wert von 0,00108178, der eine sehr hohe Signifikanz bzw. Überzufälligkeit aufzeigt und somit eine plausible Korrespondenz zwischen den Gefäßtypen und den Zeitperioden darstellen kann. Zum Vergleich wurden in einer dritten Korrelation die Varianten mit einbezogen (Abb. 168), die vor allem eine Separierung von Gefäßen der Periode II und III zulassen. Becher von Variante 2 des Typs 10, Terrinen der Variante 2 von Typ 1, Zylinderhalsgefäße der Variante 3 von Typ 1 sowie Becher vom Typ 6 und Trichterhalsgefäße im Allgemeinen kommen demnach lediglich in Periode II vor.

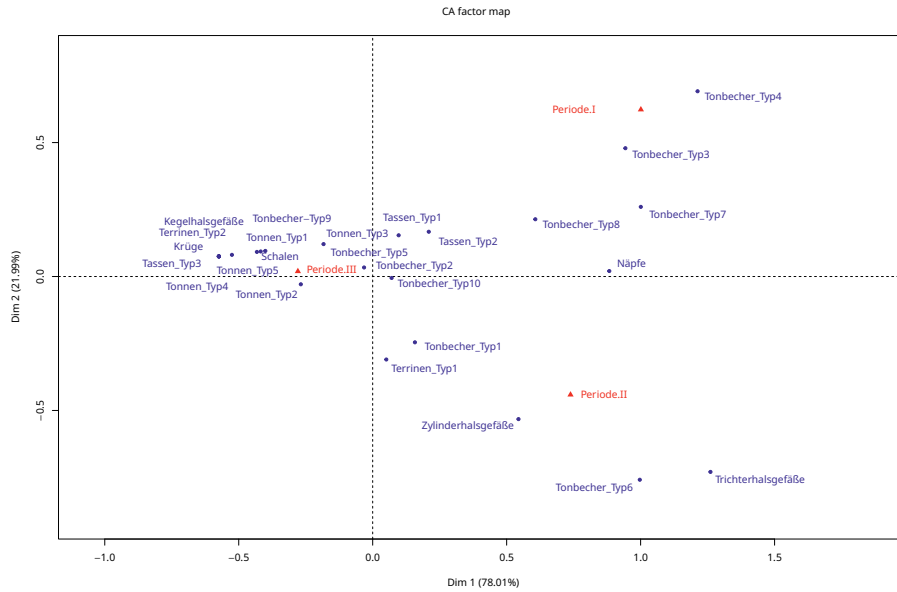


Abbildung 167: Korrespondenzanalyse zu Gefäßtypen der Älteren Bronzezeit Schleswig-Holsteins (erstellt mit FactoMineR) [Älterbronzezeitlich datierte Gefäße wurden aoristisch auf die älterbronzezeitlichen Perioden aufgeteilt]. 1. gegen 2. Eigenvektor, p -value = 0.00108178.

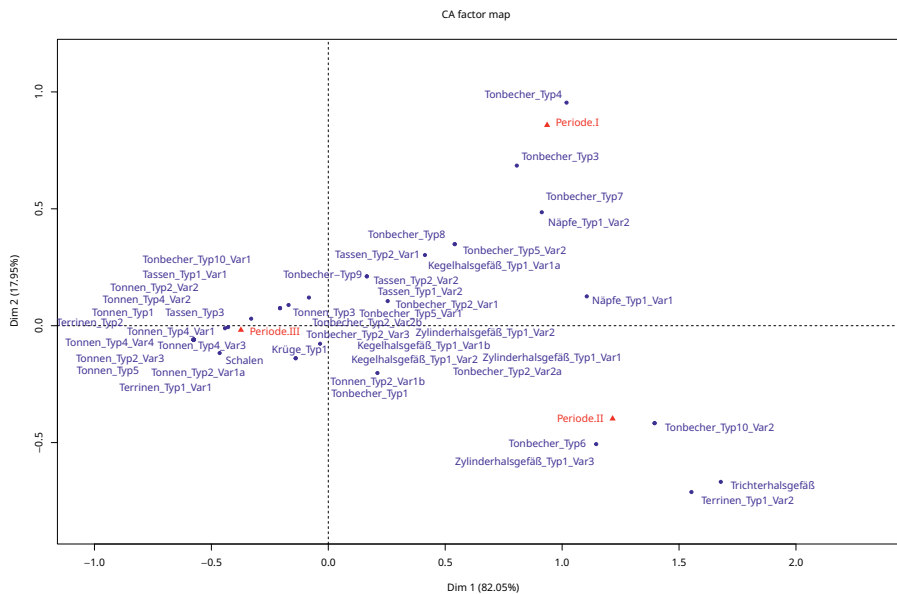


Abbildung 168: Korrespondenzanalyse zu Gefäßtypen und deren Varianten der Älteren Bronzezeit Schleswig-Holsteins (erstellt mit FactoMineR) [Älterbronzezeitlich datierte Gefäße wurden aoristisch auf die älterbronzezeitlichen Perioden aufgeteilt]. 1. gegen 2. Eigenvektor, p -value = 7.042365e-10.

Die Gefäße der Periode I sind weniger deutlich abgrenzbar. Nur der Becher vom Typ 4 ist einzig der frühbronzezeitlichen Periode I vorbehalten. Die meisten Gefäßvariationen sind an die Periode III gebunden und scheinen nur unwesentlich auch in den ersten beiden Perioden vorzukommen. Die Erklärungswerte bewegen sich in einem hohen Bereich (82,05% und 17,95%), während der p -Wert (7.042365e-10) keine erhöhten Signifikanzwerte zeigt.

9.5.9.2. Totenbehandlung und Gefäßformen

Für die vorliegende Untersuchung ist zudem interessant, inwieweit sich die Gefäßformen hinsichtlich ihrer Kombination mit Grabbefunden verhalten. Dazu wurden alle Formen (Typen und Varianten), die aus Grabkontexten stammen, hinsichtlich der im Grab bekannten Totenbehandlung korreliert, um den Wandel von der Körper- zur Brandbestattung möglicherweise auch in der Formgebung der Keramikformen nachzuvollziehen.

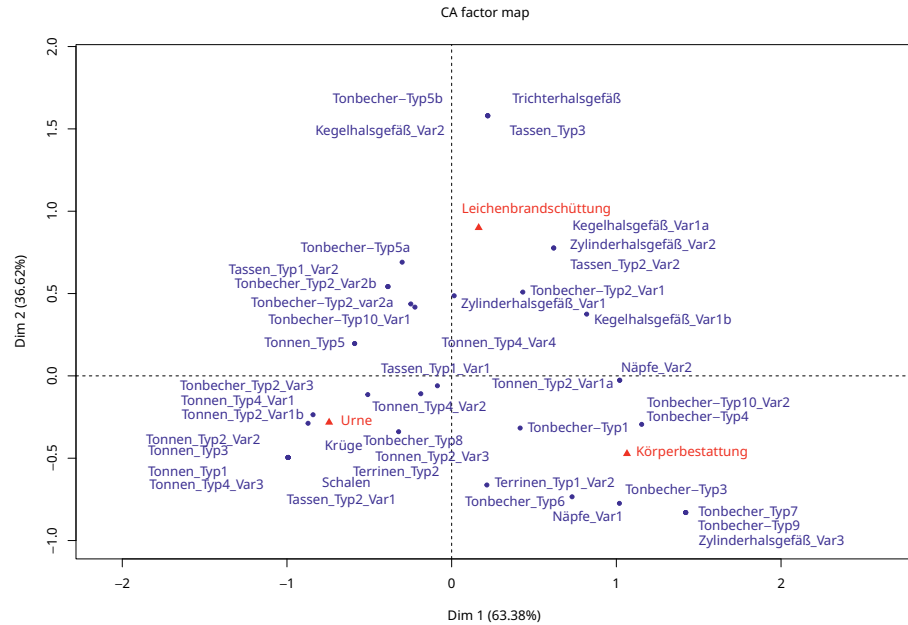


Abbildung 169: Korrelation von Gefäßtypen sowie -Varianten und der Totenbehandlungen bekannter Grabkontexte [erstellt mit FactoMineR] 1. gegen 2. Eigenvektor, p -value = 7.988356e-13.

In Abbildung 169 wurde die Korrelation der einzelnen Formen dargestellt. Eine leicht Parabel-förmige Abfolge von der Körperbestattung über die Leichenbrandschüttung bis zur Urne ist erkennbar. Dabei umfassen die Körperbestattungen kleine Gefäßformen wie verschiedene Becher oder kleine Terrinen sowie kleine Zylinderhalsgefäße. Mit der Leichenbrandschüttung werden die Gefäße vereinzelt größer und nehmen teilweise an Variation zu. Mit dem Übergang zu Urnenbestattungen ist die Vielfalt an Formgebung hingegen sehr stark ausgeprägt und die Gefäße werden insgesamt größer, sodass zum Beispiel große bis sehr große Tonnen und Terrinen vorzufinden sind.

9.5.10. Zusammenfassung: Keramik der Älteren Bronzezeit

Die definierten Gefäßtypen älterbronzezeitlicher Keramik aus dem Arbeitsgebiet ließen eine Abfolge verschiedener Gefäße aufweisen, die von der Periode I bis III in Nutzung waren. Dabei zeigte sich, dass während der Periode I vorwiegend Becher vom Typ 2 (Variante 1), Typ 3 und Typ 4 genutzt worden waren, die dabei aus Körperbestattungen unter Grabhügeln stammen. Ein Zylinderhalsgefäß der Variante 3 datiert außerdem in die Periode I bis II. Die Nutzung dieser Variante nimmt mit der Periode II nachweislich zu. In der Periode II wurden des Weiteren zum einen die Becher durch die Typenvorkommen von Typ 1, Typ 2 (Variante 1 + 2a), Typ 6 und Typ 10 (Variante 2) ergänzt. Zum anderen treten Terrinen vom Typ 1 (Variante 2) hinzu. Die Becher vom Typ 2 (Variante 1) werden weiterhin genutzt, während die Typen 3 und 4 an Bedeutung verlieren. Trichterhalsgefäße sind lediglich durch ein Gefäß repräsentiert. Des Weiteren treten erstmals Tonnen vom Typ 2 (Variante 1a + 1b) auf, sowie Näpfe der Variante 1. Die Gefäße der Periode II stammen dabei vorwiegend aus Körperbestattungen unter Grabhügeln. Einzig in zwei Fällen konnte eine Leichenbrandschüttung im Grabhügel für diese Zeitphase festgestellt werden. Bei den beiden Gefäßen aus diesen Brandbestattungen handelt es sich zum einen um das einzelne o. g. Trichterhalsgefäß, sowie einen Becher vom Typ 2 (Variante 2a), bei dem es sich aber auch um einen Zapfenbecher handeln könnte. Mit der Periode III wird das Spektrum der Gefäßformen durch Tassen, Kegelhalsgefäße und Schalen ergänzt. Terrinen und Kegelhalsgefäße treten nun wesentlich häufiger

und in weiteren Formen in Erscheinung. Während viele neue Typen und Varianten bestehender Gefäßformen hinzukommen, werden einige Typen und Varianten nicht mehr beigegeben. So sind Nöpfe der Variante 1, Terrinen der Variante 2 vom Typ 1, ZylinderhalsgefäÙe der Variante 3, Becher vom Typ 4 und Becher von der Variante 2 des Typs 10 in der Periode III nicht mehr zu erfassen. Vor allem bei den ZylinderhalsgefäÙen (Variante 3), den Terrinen (Typ 1, Variante 2) und den Bechern vom Typ 10 (Variante 2) handelt es sich um kleinere Formen, die mit der Periode III durch größere Exemplare mit der gleichen Formgebung abgelöst wurden.⁸⁹⁴ Daraus lässt sich schließen, dass Grabkeramik mit der Periode III im Allgemeinen größer wird. Dies ist sehr wahrscheinlich auch mit der zunehmenden Verwendung als Urne verbunden (Vgl. Abb. 169) – wie zum Beispiel die Befundkontexte der Variante 1 vom Becher-Typ 10 zeigen. Ungeachtet dessen sei angemerkt, dass die Formgebung erhalten blieb, sodass sich in diesen Beispielen lediglich eine funktionale Transformation in der Formgebung zeigt. Auch für den Fundplatz von Mang de Bargen lässt sich in diesem Zusammenhang feststellen, dass sich die Formen der älterbronzezeitlichen Becher in den großen UrnengefäÙen der Jüngerer Bronzezeit beispielsweise in Form von eingliedrigen Terrinen widerspiegeln. Älterbronzezeitlich datierte GefäÙe können des Weiteren durch das Auftreten von Nöpfen der Varianten 1 und 2, Tassen vom Typ 1 (Variante 1 + 2), Typ 2 (Variante 1 + 2), Terrinen vom Typ 1 (Variante 2), KegelhalsgefäÙen der Variante 1 a, TrichterhalsgefäÙen, Bechern vom Typ 1, Typ 2 (Variante 1 und 2a), Typ 3, 4, 5b, 6, 7, 8, 9, 10 (Variante 1 + 2), Tonnen vom Typ 2 (Variante 1 a + 1 b + 2), Typ 3, Typ 4 (Variante 2) sowie ZylinderhalsgefäÙen der Variante 3 nicht für die Periode I bis III ausgeschlossen werden. Die allgemeine Vielfalt des Formenspektrums in der Periode III ist damit nicht nur für die oben ausgewerteten Metallfunde, sondern auch für die hier gegliederten KeramikgefäÙfunde erwiesen und vor dem Hintergrund des Bestattungswandels ein wichtiger Aspekt in der Transformationsforschung dieser Untersuchung.

9.6. Transformationsprozesse in Schleswig-Holstein

Für die folgende Erfassung von Transformationen werden zunächst die Entwicklungen der verschiedenen Bereiche der Datenaufnahme (Gräber, Siedlungen, Depots, Einzelfunde) vergleichen und zusammengeführt. Auf Basis dieser archäologischen Daten werden Transformationsphasen bestimmt, die dann mit den Entwicklungen in den ökologischen Daten des Pollenprofils aus dem Belauer See korreliert werden können. Dabei gilt es, Transformationen zu definieren und sie zu charakterisieren. Die aufgeführten Lebensbereiche werden dabei in ihrer Verstrickung betrachtet, um keine künstliche Trennung zusammengehöriger Elemente herbeizuführen. Eine erste Auswertung kultureller Wandlungsprozesse vor dem Hintergrund von Populations- und Umweltentwicklungen wurde bereits für einen Großteil Schleswig-Holsteins durchgeführt (Kneisel *et al.* 2019). In der vorliegenden Arbeit wird das gesamte Arbeitsgebiet Schleswig-Holstein berücksichtigt und des Weiteren werden andere Elemente aufgegriffen, die Transformationsphasen beeinflusst haben können. Wie bei der Analyse von Transformationsprozessen auf Mikroebene, werden auch für die Mesoebene Phasen der Veränderung erfasst, sofern mehrere der untersuchten Elemente als aussagekräftige Indikatoren herangezogen werden können. Je mehr Elemente während ein- und derselben Phase ausgeprägt sind, desto weitreichender bzw. intensiver wirkte eine Veränderung in den betroffenen Lebensbereichen

⁸⁹⁴ ZylinderhalsgefäÙe der Variante 3 werden durch größere GefäÙe der Variante 2 ersetzt; Terrinen vom Typ 1 Variante 2 wurden durch Variante 1 ersetzt und Becher vom Typ 10 zeigen ein Ablösen von Bechern der Variante 2 durch Becher der Variante 1.

und veranlasste eine unumkehrbare Transformation. Für die Bronzezeit ließen sich fünf potentielle Transformationsphasen feststellen, die im Folgenden hinsichtlich der gesellschaftlichen Entwicklungen beschrieben und mit ökologischen Vorgängen verglichen werden. Darauf folgt die Charakterisierung und Bewertung der jeweiligen Transformation. Die Zeiträume der Transformationsphasen für Schleswig-Holstein sind dabei aufgrund fehlender genauer Daten länger und gröber abgeschätzt, als die Transformationsmomente, die für den Fundplatz von Mang de Barga auf Basis qualitativer und absoluter Daten gesetzt werden konnten.

9.6.1. Transformationsphase 1: Neue soziale und architektonische Organisationsformen

Die erste Transformationsphase kann für den Zeitraum um 1500/1400 v. Chr. angesetzt werden und datiert damit an den Übergang von der Periode I zu Periode II bis zur Mitte der Periode II. Vorangehende Daten zeigen dagegen keine transformativen Entwicklungen, die womöglich auch den ungenauen Datierungen bzw. lediglich auf Periodeneinteilungen basierenden Datierungen geschuldet sind. Funde, die in Periode I (1800-1500 v. Chr.) eingeordnet werden, sind dementsprechend langlebig und Entwicklungen, die sich innerhalb der Periode I ereignen (wie z. B. Siedlungslücken), können demnach nicht erfasst werden. Aufgrund aufeinander aufbauender, jedoch unterschiedlich ausgeprägter Entwicklungen, wurde die erste Transformationsphase in 1a und 1b unterteilt. Die erste dieser Phasenteile schließt somit an das Ende der Frühbronzezeit an, in der Bronzeobjekte immer häufiger auftraten, jedoch erst mit dem Übergang zur Periode II von einer Etablierung gesprochen werden kann.

9.6.1.1. Transformationsphase 1a: Wachstumsphase

Während einige Objekte noch bis 1500 v. Chr. aus Flint hergestellt wurden, wurden sie ab 1500 v. Chr. nicht nur in Schleswig-Holstein, sondern im gesamten Nordischen Kreis, nahezu ausschließlich in Bronze gegossen (Fokkens 2009, 90). Dieser Phase vorangehende Bronzefunde der Periode I aus Depotfunden weisen oft Abnutzungsspuren auf, sodass von einer geringeren Verfügbarkeit an Bronzen ausgegangen werden kann, als es dann ab 1500 v. Chr. für die Periode II der Fall ist. Mehrstückorte mit Bernsteinfunden der Periode I weisen zudem bereits auf eine Zunahme von Handelsbeziehungen hin, die sich aber erst mit der Periode II anhand von Materialzunahmen und -diversitäten verstärkt ausdrücken. Für die Frühbronzezeit (Periode I) sind demnach zwar bereits Veränderungen bzw. Entwicklungen in verschiedenen Bereichen feststellbar, während eine Transformation mit extremen Werten hinsichtlich vielfältiger Aspekte erst für die Periode II formuliert werden kann. Auffällig für diese erste Transformationsphase (1a) ist, dass sich Veränderungen im Hausbau abzeichnen und in vielen Lebensbereichen ansteigende Werte erreicht werden. Dabei handelt es sich um Zunahmen von Deponierungen, sowie Körperbestattungen und damit verbundenen steigenden Sargnutzungen und Primärbestattungen, aber auch Sekundärbestattungen (teilw. mit Überhügelungsphasen) in Grabhügeln. Insbesondere letztere Entwicklung bedeutet wiederum auch eine Zunahme von Monumentalität und ökonomischer Aufwendungen (Rohstoffe, Arbeitsaufteilung- und -aufwand) für den Grabhügelbau, wie auch für den Fundplatz von Mang de Barga bereits ausführlich dargestellt wurde. Die damit verbundenen Vermutungen zu sozialen Stratifizierungen, die mögliche Kooperationsstrategien zum Ziel hatten, sind damit ebenfalls auf der Mesoebene nicht auszuschließen. In Ergänzung dazu sind für diese erste Transformationsphase (1a) Veränderungen im Beigabenspektrum erkennbar, die Differenzierungen zwischen den Grabausstattungen erkennen lassen. Zum einen ist ein deutlicher Unterschied zwischen

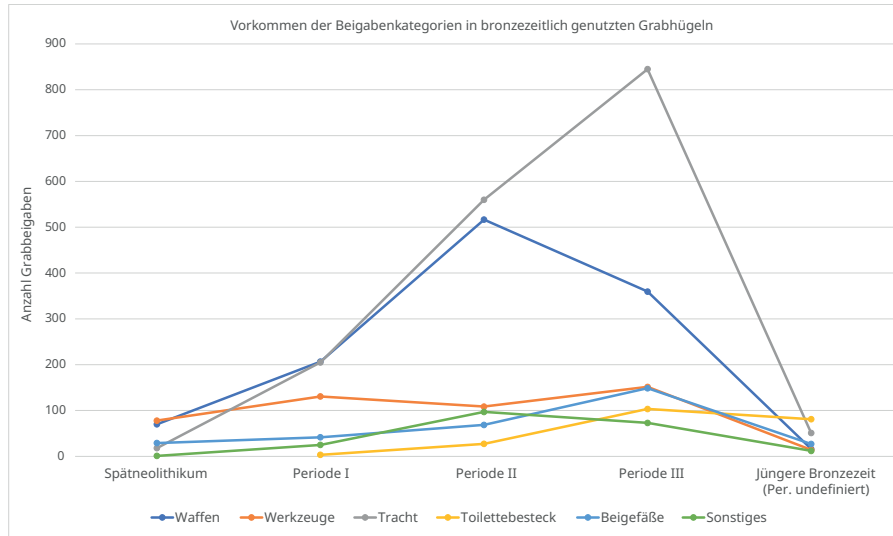


Abbildung 170: Zeitliche Entwicklung der Beigabekategorien in bronzezeitlich genutzten Grabhügeln.

den beigabenlosen Flachgräbern und den hingegen teils reich ausgestatteten Grabhügelgräbern bemerkbar, sodass sich eine Kluft zwischen reicheren und ärmeren Gräbern zunächst im Allgemeinen abzeichnen scheint. Zum anderen sind auch Unterschiede unter den Grabhügelgräbern sichtbar. Dies betrifft nicht nur die Beigabenzahlen, die zwischen keiner und mehr als neun Beigaben variieren können, sondern auch das Repertoire. Während vereinzelte Waffenbeigaben bereits aus der Periode I bekannt sind, nimmt die Häufigkeit und die Diversität sichtlich zu (Abb. 170). Hinter diesen Gräbern können bestimmte Identitäten vermutet werden, die auch oft als Kriegereliten bezeichnet werden (Vandkilde 1996, 288ff.; Earle 2002, 363), deren Rolle aber auch von sozialer oder anderer Relevanz für eine Gesellschaft gewesen sein kann (Vandkilde 2006, 69). Jensen, Kristiansen und Earle vermuten hinter diesen aufkommenden Startifizierungen die Herausbildung sogenannter ‚chiefs‘, die auf Verwandtschaftsgefügen basieren (Jensen 1982.; Kristiansen 1987.; Kristiansen 1991, v. a. 27ff.; Earle 1991).

Erstmals treten mit der Periode II Toilettebesteck im Repertoire auf, die sehr persönliche Gegenstände darstellen und damit die Individualität einer Grabausstattung aufzeigen. Bernstein nimmt in den Gräbern im Vergleich zur Periode I außerdem zu und zeigt damit, dass auch Gegenstände mit hohem Potenzial für Handelsgeschäfte in die Gräber mitgegeben wurden und damit dem Austauschsystem entzogen wurden, was wiederum eine symbolische ökonomische Einschränkung bedeutet haben kann. Die zumeist von allen angewandte Körperbestattung eint diese Bestattungen, während sich jedoch mit einigen Grabanlagen in Grabhügeln des Nordens/Nordostens Holsteins (oft in Küstennähe) und auf den Nordfriesischen Inseln bereits Brandbestattungen ankündigten. Dabei handelte es sich meistens um Leichenbrandschüttungen in Särgen. Lediglich im Norden Schleswig-Holsteins sind sogar erste vereinzelte Urnen zu erfassen. Es handelt sich bei diesen ersten Brandbestattungen immer um Grabhügelbestattungen (primär und sekundär), die auch oft reich ausgestattet wurden (dabei teilweise auch mit Schwertern und Goldobjekten). Aus den beigabenlosen Flachgräbern sind hingegen keine Brandbestattungskontexte bekannt. Möglicherweise stellten diese wenigen brandbestatteten Individuen in Grabhügeln die Pioniere dieser neuen Sitte dar. Anhand der Beigabenhäufigkeit und -diversität könnten soziale Rollen der Individuen in einer Gruppe oder Gesellschaft vermutet werden, deren Einflussnahme die Etablierung mit dem Übergang von der Periode II zur Periode III (siehe unten) ermöglichte. Das Auftreten dieser ersten Brandbestattungen im Norden, die sich dabei häufig auf Küstengegenden konzentrieren, deutet aufgrund dieser räumlichen Positionierung tendenziell auf

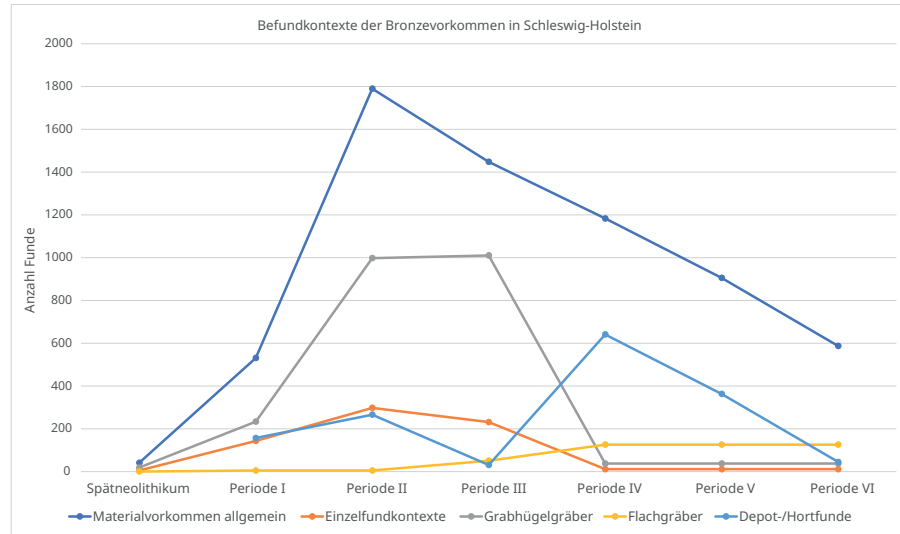


Abbildung 171: Zeitliche Entwicklung der Bronzevorkommen in den Befundkontexten der Bronzezeit.

äußere Einflussnahme(n) hin. Aufgrund des Fehlens jener Brandgräber im Süden des Arbeitsgebiets zu dieser Zeit (möglicherweise auch forschungsbedingt) ist keine direkte Einflussnahme auf Basis räumlicher Verteilungen von Brandgräbern aus dem Süden durch das aufkommende ‚Urnenfelderphänomen‘ erkennbar, sodass eine solche Geltung auch aus dem westlichen oder skandinavischen, v. a. südschandinavischen Raum erfolgt sein könnte, da dortige Entwicklungen sehr stark mit den schleswig-holsteinischen vergleichbar sind (Holst 2013, 64f.) und somit auf eine gemeinsame Entwicklung hindeuten. Brandgräber der Periode II in Skandinavien, wie z. B. auch in Schweden vorzufinden, unterstützen diese These (Feldt 2005, 62ff.). Parallel zu diesen Entwicklungen im Grabwesen, ist zudem für die Depotfunde nicht nur eine Zunahme und stärkere Reichhaltigkeit, sondern auch eine weitreichendere räumliche Verteilung erkennbar. Das Fundspektrum bildet dabei den Gegenspieler zu den Entwicklungen in der Grabausstattung, indem insgesamt viele Werkzeuge und dagegen nur wenige Waffen und selten Tracht Eingang in die Deponierungen finden. Aufgrund dieses Gegensatzes ist auch die These, dass es sich um ‚Totenschätze‘ handle, nicht überzeugend (Endrigkeit 2010, 114). Werkzeuge und auch einige Rohmaterialien aus den Depots sprechen eher dafür, dass es sich um wirtschaftlich bedingte Niederlegungen handelt, die in ihrer Zunahme dementsprechend auch den Ausbau wirtschaftlicher Aktivitäten und Netzwerke in dieser Phase aufzeigen. Die Masse an Bronze, die auf Basis von Grab-, Depot- und Einzelfunden in dieser Phase im Umlauf ist, zeigt für diesen Zeitabschnitt eine deutliche Zunahme (Abb. 171), die sowohl Produktivität als auch Austausch und Konsum beleuchtet, die im Hinblick auf die Grabdiversitäten auch Hinweis auf Status, Wertigkeiten, Macht und somit auch wirtschaftliche Kontrolle und Organisationsstrukturen geben kann.

Einen weiteren wichtigen Aspekt, der diese Phase im Rahmen der Transformationsanalyse bereichert, ist das Aufkommen sowie die Etablierung der Dreischiffigkeit und damit einhergehenden Vergrößerung von Häusern sowie der Nutzung von Wohnstallhäusern. Mit dieser Veränderung im Hausbau ist auch eine Veränderung der Wohnweise und des Haushalts anzunehmen. Die Entwicklung des Wohnstallhauses muss dabei nicht von jener der Dreischiffigkeit – oder umgekehrt – abhängig gewesen sein, sodass zwischen diesen beiden Entwicklungen zunächst unterschieden werden muss. Dreischiffige Häuser sind bereits ab 1700 v. Chr. in Norwegen und Jütland bekannt. Die Etablierung im Rahmen einer weitläufigen räumlichen Nutzung bis in die Niederlande, erfolgte erst um 1600/1500 v. Chr. (Bech und Rasmussen 2018, 33f.). Bech und Rasmussen gehen davon aus, dass sich die Dreischiffigkeit im Zuge der Hausvergrößerung in die Breite und Höhe entwickelte.

Die Einföhrung des Wohnstallhauses um 1500 v. Chr. ist demnach vermutlich eine Entwicklung, die sich aus der Kombination der Verändcrungen im Hausbau und der Verändcrungen in der Wirtschaftsweise mit Fokus auf die Viehhaltung ergab. Die einheitliche Hausstruktur des Wohnstallhauses wirkt dabei nahezu institutionalisiert. Dieser Wandel scheint anhand der dänischen Daten nicht schlagartig erfolgt zu sein, da auch hybride Formen von zwei- und dreischiffigen Häusern aus der Zeit um 1600/1500 v. Chr. bekannt sind, die einen Übergang zur Etablierung des dreischiffigen Hauses veranschaulichen (Bech und Rasmussen 2018, 33ff.). Die Vergrößerung des Hauses muss eine Umstrukturierung in der Wohnweise darstellen, die sowohl sozial (Haushalt), als auch funktional (Wirtschaft) gewesen sein kann. Ebenso ist der soziale Status eines großen Hauses nicht zu verachten. Doch wie lässt sich der bronzezeitliche Haushalt im Rahmen dieser Wandlungsprozesse interpretieren? Der archäologische Haushaltsbegriff wurde insbesondere ab den 70er Jahren vermehrt diskutiert. Dabei wurde stets der Frage nachgegangen, was einen Haushalt charakterisiert und wie er im archäologischen Befund erfasst und schließlich interpretiert werden kann. Die Architektur eines Hauses wird dabei gerne als Indikator für soziale und kulturelle Entwicklungen herangezogen (Schäfers 2010, 30). Jedoch ist das direkte Abbilden einer Gesellschaft aus architektonischen Gegebenheiten zu einfach. Nach Delitz müsse die Architektur vielmehr als ‚konstitutives ‚Medium‘ des Sozialen‘ angesehen werden und nicht als dessen Spiegel (Delitz 2010, 84ff.). Nach Widmann lässt sich ein ‚Haushalt‘ als Wohnstatt begreifen, die von einer Gruppe genutzt wird und darin als soziale sowie wirtschaftliche Einheit handelt. Dabei könne ein Haushalt mehr als ein Gebäude umfassen und ein Gebäude könne von mehreren Haushalten genutzt werden. Das Erfüllen ‚gewisser häuslicher Funktionen‘ (Produktion, Distribution, Transmission und Reproduktion) mögen bei der Definition als ‚Haushalt‘ eine wichtige Rolle spielen (Widmann 2007, 5f.). Die für ein Haus der Periode II im Arbeitsgebiet erfassten 150 m² Wohnfläche könnten den Berechnungen von Sørensen zufolge eine Personenanzahl von 15-30 Individuen vermuten lassen. Sofern es zudem einen Stall innerhalb des Hauses gegeben hat, können immer noch 10-15 oder 15-20 Personen angenommen werden, die in dem Haus wohnten (Sørensen 2010, Tabelle 5.2; Fokkens 2009, 97). Eine solche Personenanzahl könnte den oben aufgeführten Berechnungen zufolge (siehe Kap. 8.11.4) auch für einen Grabhügelbau ausgereicht haben. Des Weiteren könnte die Verlegung von Arbeitsbereichen von draußen nach drinnen einen Effekt auf die Vergrößerung und Unterteilung des Hauses gehabt haben. Bei den Bewohnern der Häuser kann es sich um eine oder mehrere Familien, aber auch um Personen gehandelt haben, die nicht miteinander verwandt waren (Brück und Fokkens 2013, 83). Eine größere Wohnfläche kann dabei auch eine größere wirtschaftliche Macht bedeuten haben, da der Hausbau erhöhte Arbeitskraft, Rohstoffe und ‚Knowhow‘ bedingt hat. Da die wachsende Hausgröße seit der Periode I mit dem Anstieg der Bronze und dem Grabhügelbau im Arbeitsgebiet parallel verläuft (siehe oben), ist anzunehmen, dass die Verfügbarkeit von Metall auch soziale Veränderungen im Hausbau und Haushalt nach sich zog, die nach Kristiansen auch mit dem Aufkommen einer ‚ranked society‘ verknüpft gewesen sein können. Dabei wurde das Haus zu einer sozialen und politischen Institution für wirtschaftliche Tätigkeiten – möglicherweise auf Verwandtschaftsbasis, sogenannter ‚chiefly lineages‘ (Kristiansen 2018, 114f.). Inwieweit für das Arbeitsgebiet von solchen Strukturen ausgegangen werden kann, bleibt aufgrund der geringen Datengrundlage zu Siedlungsbefunden zunächst unklar. Die Haltung von Tieren in den Wohnstallhäusern weist zusammen mit der funktionalen Hausaufteilung zudem auf eine Umstrukturierung in der Wirtschaftsweise hin. Die Verwahrung von Tieren im Haus deutet dabei auf mögliche Eigentumsverhältnisse hin (Kristiansen 2018, 118), die eine Wirtschaftlichkeit und zugleich wirtschaftliche Konkurrenz eines Haushalts zeigen. Des Weiteren wird vermutet, dass das Halten von Tieren dem Aufsammeln von Dung diente, der für den Ackerbau genutzt

wurde (Fokkens 2009, 91f.). Die Entscheidung, Tiere im Haus zu verwahren und nicht außerhalb zum Beispiel in Einhegungen – wie sie aus Thy bekannt sind (Bech und Olsen 2018b, 161-184) – zeigt, dass die Tiere geschützt werden mussten – möglicherweise vor Raub oder auch klimatischen Bedingungen. Letzteres könnte auch eine saisonale Haltung von Tieren im Haus erwarten lassen. Kristiansen vermutet für den Fundplatz von Thy, dass ein Haushalt mit mindestens einem Grabhügel verknüpft gewesen war (Kristiansen 2018, 117). Im Rahmen einer Kartierung von Siedlungsbefunden und Grabhügeln im Arbeitsgebiet konnte aufgrund der geringen Datenbasis keine solche Vermutung formuliert werden, jedoch fiel in der Kartierung auf, dass sich Siedlungen teilweise an besonders großen Grabhügeln orientiert haben und den Grabhügelketten, die sich entlang des Jungmoränenrückens und den Küstengebieten gliedern, folgen (Vgl. Abb. 135), während zum Beispiel Depotfunde tendenziell außerhalb von Siedlungsplätzen auftreten und dabei vermutlich an andere Absichten gebunden sind (z. B. Bodenbedingungen, Küstennähen). Am Fundplatz von Handewitt konnte ein Haus unterhalb eines Grabhügels erfasst werden. Während das Haus von der Periode II mit möglichem Übergang zur Periode III datiert, ist für den Grabhügel lediglich eine älterbronzezeitliche Datierung bekannt. Es wäre naheliegend, dass die beiden Befunde miteinander in Verbindung stehen, indem der Tod des Haushaltsoberhaupts („chief?“) für die anderen Bewohner das Ende des Haushaltes und damit auch das Ende des Hauses darstellte. Der gemeinsame Randabschluss von Grabhügel und Hauswand verdeutlicht einen solchen Zusammenhang. Die Zerstörung des Hauses kann dabei ein zentraler Bestandteil des Bestattungsrituales gewesen sein (Svanberg 2005, 81; Burdo *et al.* 2013, 107). Der Grabhügel, der in mehreren Phasen aufgeschüttet worden war und mit 25 Metern im Durchmesser einen großen Arbeitsaufwand und Rohstoffverbrauch aufzeigt, könnte dementsprechend das Grab des Haushaltsoberhaupts enthalten haben (Kristiansen 2006, 177). Svanberg konnte für skandinavische Fundplätze feststellen, dass Häuser bestimmten Gräbern zugeordnet werden könnten, wie Beispiele von der Integrierung von Häusern in Grabriten zeigen (Svanberg 2005, 73-98). Das Beispiel von Handewitt reiht sich dabei in eine Reihe von Beispielen aus Dänemark (z. B. Trappendal, Hyllerup und Tranarp) ein (Svanberg 2005, 79). Eine Verknüpfung von Grabhügeln und Siedlungsplätzen ist damit naheliegend, bedarf im Einzelnen jedoch zukünftiger Untersuchung auf lokaler Ebene, insbesondere wenn keine solchen deutlichen Befundsituationen wie der direkten Überlagerung eines Hauses durch einen Grabhügel wie aus Handewitt vorliegen.

9.6.1.2. Transformationsphase 1b: Maximum und Wendepunkt

Die Entwicklungen der Phase 1a, die für 1500 v. Chr. Umstrukturierungen feststellen ließen, zeigen mit der Phase 1b (um 1400 v. Chr.) Intensivierungen genannter Dynamiken, indem viele Elemente verschiedener Lebensbereiche maximale Werte erreichen, die dann wieder mehr oder weniger stark abfallen. So begegnen Körperbestattungen, Sargnutzungen, Depotfunde, Hausgrundriss-Vorkommen und Primärbestattungen in Grabhügeln ihren Höhepunkten. Letztere bedeuten damit auch ein Maximum im Grabhügelbau allgemein, der zu diesem Zeitpunkt auch in Südschweden zu erfassen ist (Holst 2013, 51f.). Des Weiteren nehmen die Brandbestattungen langsam zu. Im Gegensatz zum Fundplatz von Mang de Barga, der die Existenz einer Gruppe andeutet, die scheinbar kooperativ wirkte, sind auf Basis der Mesoebene hingegen auch Konkurrenz- und Machtstrategien durch den zunehmenden Ausdruck scheinbarer Ungleichheiten und Verfügungsrechten zwischen solchen Gruppen bzw. Gemeinschaften anzunehmen. Holst konnte für Skandinavien beispielsweise regional bedingte Bauweisen bei der Grabhügelkonstruktion feststellen, sodass gruppenspezifische Praktiken und ideologische Konzepte vermutet werden könnten (z. B. Verwendung von Seegrass für den Grabhügelbau als

Phänomen in Ost- und Südkandinavien) (Holst 2013, 51f.). Für Schleswig-Holstein wird diese Annahme um 1400 v. Chr. beispielsweise durch die intensive Nutzung von Soden und Plaggen beim Bau bestimmter Grabhügel zu dieser Zeit bestärkt, die sich vor allem auf den Norden und das Zentrum des Arbeitsgebiets konzentrierten und dabei vorwiegend auf die Küsten- und Gewässernähen Bezug zu nehmen scheinen. Wie bereits erwähnt, bedeutet die Verwendung von Soden und Plaggen im Grabhügelbau eine wirtschaftliche Selbstlimitierung. Berechnungen zufolge wurden für einen Grabhügel ungefähr drei Hektar Soden verwendet (Kristiansen 2018, 108). Die Bedeutung der Beigabe fruchtbaren Bodens für das Jenseits bestimmter Personen war demnach scheinbar wichtiger, als ein ertragreicher Pflanzenanbau im Diesseits für (bestimmte) Bevölkerungsgruppen. Für Jütland schlussfolgert Kristiansen dramatische Auswirkungen dieser Zerstörung von Ackerland für umliegende Siedlungen (Kristiansen 2018, 108f.). Einen weiteren Ausdruck finden diese sozialen oder auch gruppenspezifischen Unterschiede im Sargbau, denn im Rahmen der oben vorgestellten Befunde konnten für einige ausgewählte Gräber Bohlensärge und für viele andere hingegen Baumsärge festgestellt werden. Obwohl eine erhaltungsbedingte Selektion der Bohlensärge nicht ausgeschlossen werden kann, spricht das hinter den nötigen Bohlen und deren Konstruktion stehende technische ‚Knowhow‘ für eine besondere Bevorzugung bei der Sargwahl, die Zugangsrechten unterlegen gewesen sein kann. Die Verflechtung sozialer und wirtschaftlicher, sowie möglicherweise auch ideologischer Aspekte ist im Grabwesen mit der Kombination von Soden/Plaggen und den Unterschieden in der Sargkonstruktion damit besonders deutlich zu erfassen. Neue Keramikformen der Periode II (Phase 1 a + b), wie sie im Rahmen der Typengliederung erfasst wurden (Vgl. Kap. 9.5), bilden sich mit Terrinen, Bechertypen, Tonnen, Näpfen sowie Zylinder- und Trichterhalsgefäßen heraus und deuten auf eine zunehmende Beigabe von Keramik in Gräbern hin, die auf eine neue Notwendigkeit von Speise- und Trinkbeigaben im Jenseits hindeuten könnten und damit ideologische Veränderungen aufweisen könnten. Auf diese maximalen Werte folgte jedoch der starke Rückgang von Körperbestattungen, während Särge und Primärgräber in Grabhügeln nur eine leichte Verringerung aufweisen. Sekundärbestattungen nahmen dagegen langsam zu und Leichenbrandschüttungen in Grabhügeln stiegen steil an und deuten auf die Einleitung des Bestattungswandels hin, der sich jedoch erst in der dritten Transformationsphase etablierte (siehe unten). Depotfunde nahmen ebenfalls stark ab. Des Weiteren ist für diesen Moment auch eine Vergrößerung der Hausgrößen auf ca. 250 Quadratmeter nachweisbar, die damit oben genannte Veränderungen im Hausbau zu intensivieren scheint. Ab der Mitte der Periode II kündigt sich damit eine Veränderung ideologischer Konzepte an, die sich vor allem im Bestattungswesen bemerkbar macht. Aber auch der Anstieg der Hausgrößen lässt vorherige Entwicklungen der Phase 1a intensivieren. Zusammenfassend lässt sich die Transformation um 1500 v. Chr. als Folge einer Entwicklung erfassen, die sich mit der Periode I Schritt für Schritt ankündigte. Mit der Einführung des Metalls und den zunehmenden Austauschnetzwerken, die nicht nur Güter, sondern auch Ideen und Wissen sowie ideologische und gesellschaftliche Konzepte verstreuten, folgte um 1500 v. Chr. die Herausbildung und um 1400 v. Chr. die maximierte (v. a. ideologische) Formung einer neuen sozialen Gesellschaftsorganisation, die sich auf Riten, Wirtschaft und die Politik der Gesellschaft auswirkte. In den archäologischen Daten erfassen wir diese Veränderungen im Rahmen von Umstrukturierungen und größeren Häusern, den Veränderungen im Beigabenspektrum, das zudem neue soziale Differenzierungen aufweist, sowie der beginnenden Zunahme und Diversität von Depotfunden, die dann jedoch wieder an Bedeutung verlieren. Möglicherweise können auch die ersten Brandbestattungen als Hinweis auf Sequenzen neuer Einflüsse herangezogen werden. Nicht nur der Grabhügelbau, sondern auch der Hausbau und die Subsistenzwirtschaft erforderten dabei Kooperationen und Zugangsrechte (z. B. wer im Grabhügel und wer in einem Flachgrab

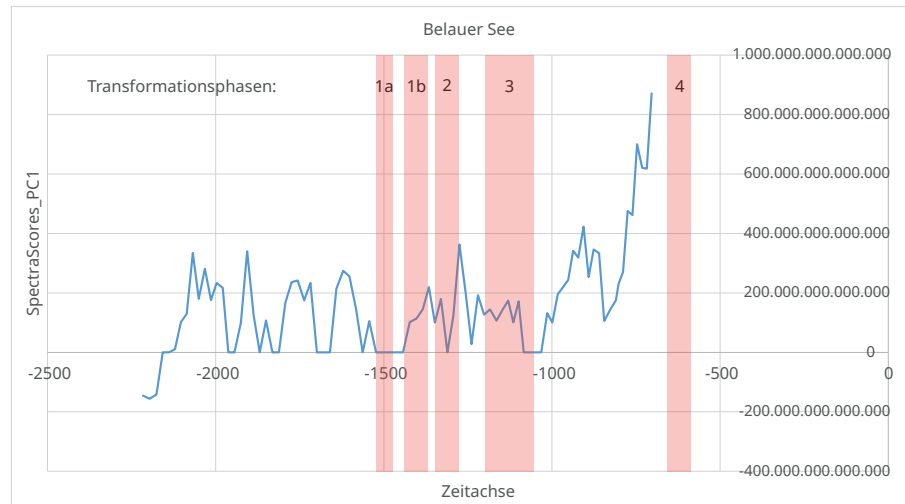


Abbildung 172: Pollenkurve aus dem Belauer See (SpectraScores PC1) [Daten nach Feeser, F2-Projekt].

bestattet wurde; Wer bekam eine Sodenaufschüttung und wer bekam einen Bohlen-sarg? Wer bekam überhaupt kein Grab?), die wiederum in irgendeiner Weise koordiniert gewesen sein müssen (Planung, Kontrolle, Logistik, technisches ‚Knowhow‘) (Vgl. Holst *et al.* 2013, 7ff.). Auch die Ausführung des Totenrituals muss bestimmten Regeln unterlegen gewesen sein, die durch ausgewählte Personen durchgeführt wurden. Die Kooperation ist dabei von hoher Bedeutung für die Wirtschaftlichkeit und Identitätsbildung von Gruppen. Eine autoritäre Struktur ist im Rahmen der Koordination notwendig (Stanish 2017, 97ff.) – inwiefern es sich dabei um hierarchische Strukturen handelte und ob diese Strukturen auch außerhalb kooperativer Tätigkeiten bestanden, ist fraglich. Einige Befunde weisen auf die Verbindung zwischen Häusern und bestimmten Grabhügeln hin, sodass hinter dem Bau von Grabhügeln Haushaltsgruppen vermutet werden können, die möglicherweise eine komplexe Strukturierung (chiefly?) innehatten. Die mögliche Zunahme der Größe von Gruppen zu dieser Zeit, die sich vermutlich in der Größenzunahme von Häusern widerspiegeln, könnten dabei mehr Einfluss bedeutet haben (Sahlins 1963, 291). Ob es sich auch bei den ‚Pionieren‘ des Bestattungswandels um ‚Chiefs‘ handelte, kann nur gemutmaßt werden. Vielleicht handelt es sich vielmehr um Gegner von ‚Chiefs‘, die gegen die aufkommenden neuen Gesellschaftsstrukturen mit neuem Wissen aufbegehren wollten (siehe unten). Deren (möglicherweise idealisierte) Ausstattung und Beisetzung in Grabhügeln, die den unverbrannten Toten gleichkam, kann dabei der Manipulation von Gruppen gedient haben, um (umstrittene) Veränderungen (in diesem Fall die der Brandbestattung) ‚einzubürgern‘ bzw. als erstrebenswert wirken zu lassen. Bei Betrachtung der Entwicklung des Pollenprofils aus dem Belauer See zeigt sich um 1500 v. Chr. eine noch geringe Aktivität, die ab 1450 v. Chr. schlagartig zunimmt und zudem starke Veränderung mit sich bringt (Abb. 172). Insbesondere die Aufstallung von Vieh, die sich im Pollenprofil deutlich durch den Eintrag von Dung zeigt, spielt dabei eine große Rolle. Diese abrupte Entwicklung könnte ein Hinweis darauf sein, dass die Transformation hinsichtlich einiger Elemente eine relativ hohe Geschwindigkeit gehabt haben könnte. Entgegen der Charakterisierung dieser Transformationsphase am Fundplatz von Mang de Bergen, kann für das Arbeitsgebiet auf Mesoebene nun von einer einschneidenden Transformation gesprochen werden.

Die dieser Transformationsphase vorangehende Siedlungslücke um 1600 v. Chr. in Europa, die auch einen Ausgangspunkt dieser Arbeit darstellte, spiegelte sich nicht direkt in den archäologischen Daten wider, da die Datierungen nach Perioden zu langlebig sind. Durch den Anstieg der Aktivität und den Entwicklungen ab 1500 v. Chr. ist demnach lediglich indirekt von einer geringeren Aktivität

um 1600 v. Chr. auszugehen. Es könnte sich bei der Entwicklung um 1500 v. Chr. auch um eine transformative Wende handeln, die auf einen Kollaps folgte, da sich scheinbar viele Neuerungen entwickeln, die vorher nicht vorhanden waren. Die Einführung von Dinkel – wie sie auch für den Fundplatz von Mang de Barga nachweisbar ist (siehe oben) – kann in diesem Zusammenhang aufgrund der Eigenschaften starker Beständigkeit sowie Ertrags- und Proteinreichhaltigkeit als Reaktion auf eine vorangegangene Krise gedeutet werden (Effenberger 2018, 97). Eine transhumane Wirtschaft – wie sie von Holst und Rasmussen für die Frühbronzezeit Südwest-Jütlands angenommen wird, könnte auch in Schleswig-Holstein bis 1500 v. Chr. bestanden haben (Holst und Rasmussen 2013, 107) und entsprechend geringen Niederschlag im Pollenprofil gehabt haben, bevor sich ab 1500 v. Chr. eine ortsfeste Viehwirtschaft im Rahmen vieler sozio-ökonomischer Neuerungen etablierte, die möglicherweise auch eine Einteilung der Landschaft durch das Anlegen monumentaler Grabhügel, Kochsteingruben (Vgl. Mang de Barga), Siedlungen und Deponierungen bedingte und somit eine Landschaft schuf, die durch das Aufkommen neuer Ideologien sowie politischer und wirtschaftlicher Entscheidungen geformt wurde. Die Landschaft beeinflusst dabei das Alltagsleben und die Erinnerungskultur, sodass sie auch genutzt werden konnte, um sowohl räumlich als auch ideologisch auf Individuen zu wirken (Horn und Wollentz 2018, 117).

9.6.2. Transformationsphase 2: Wandel der Totenbehandlung

Die zweite Transformationsphase erfolgte am Übergang von der Periode II zur Periode III und damit um 1300 v. Chr. Ausschlaggebend für die Setzung dieses Transformationsmoments ist der Wandel von Fundspektrern und -vorkommen (Gräber, Depots) sowie der Wandel der Totenbehandlung, der nun eine bedeutsame Entwicklungsstufe aufweist. Wie bereits erwähnt, handelt es sich dabei zunächst ausschließlich um eine Transformation der Totenbehandlung und nicht des Grabbaus. Der verbrannte Tote wurde vorerst, wie gewohnt, in einem Baumsarg bestattet. Die Flachgräber, die zuvor von der Brandbestattung unberührt blieben, weisen mit dieser Phase nun fast ausschließlich Brandbestattungen auf. Während sich der Wandel der Totenbehandlung bereits innerhalb der ersten Transformationsphase im Rahmen vereinzelter Leichenbrandschüttungen und Urnen in Grabhügeln ankündigte, die als ‚Pioniere‘ interpretiert wurden, ist um 1300 v. Chr. eine starke Abnahme von Körperbestattungen und eine zugleich starke Zunahme von Leichenbrandschüttungen sowie ein stetiger Anstieg von Urnen erkennbar, die um 1300 v. Chr. einen unumkehrbaren Moment des Totenbrauchtums zeigen, indem auch die ‚kritische Masse‘ dem Trend folgte und lediglich die Entourage von Nachzüglern abzuwarten war. Dieser Prozess wird aufgrund der Datenmenge, die aus unterschiedlichen Regionen des Arbeitsgebiets stammt, in der Summierung nicht als abrupte, aus dem Nichts stammende Entwicklung wahrgenommen. Dies geht besonders aus der räumlichen Verteilung erster Brandbestattungen im Arbeitsgebiet hervor, die sich jedoch zunächst auf einzelne Regionen (v. a. Norden/Küstenareal) beschränkten (Abb. 109 & 110). Bei der qualitativen Analyse einzelner Fundplätze – wie er für den Fundplatz von Mang de Barga vorliegt – fällt jedoch auf, dass der zunächst schleichende Wandel ab einem Moment unumkehrbar war und damit schlagartig erfolgte. Vor diesem Hintergrund ist auch die Entwicklung in Abbildung 173 zu betrachten. Eine Veränderung in einem Totenbrauchtum, das nachweislich für mehrere Tausend Jahre Bestand hatte, ist ein tiefgreifender Prozess, der sich dementsprechend zunächst behutsam ereignete, bei bemerkbarem Erfolg jedoch unvermeidbar in Erscheinung tritt. In seinen Historien setzte sich Herodot (484 - c. 425 v. Chr.) auch mit den Bestattungssitten verschiedener Kulturgruppen auseinander. In diesem Ausschnitt aus seinen Historien beschreibt er wie verschiedene Gemeinschaften auf die jeweils

anderen Bestattungsbräuche reagierten. Die Brandbestattungssitte der Griechen zum Beispiel stößte bei den Indern auf starken Protest:

'I hold it then in every way proved that Cambyses was quite insane; or he would never have set himself to deride religion and custom. For if it were proposed to all nations to choose which seemed best of all customs, each, after examination, would place its own first; so well is each convinced that its own are by far the best. [2] It is not therefore to be supposed that anyone, except a madman, would turn such things to ridicule. I will give this one proof among many from which it may be inferred that all men hold this belief about their customs. [3] When Darius was king, he summoned the Greeks who were with him and asked them for what price they would eat their fathers' dead bodies. They answered that there was no price for which they would do it. [4] Then Darius summoned those Indians who are called Callatiae, who eat their parents, and asked them (the Greeks being present and understanding through interpreters what was said) what would make them willing to burn their fathers at death. The Indians cried aloud, that he should not speak of so horrid an act. So firmly rooted are these beliefs; and it is, I think, rightly said in Pindar's poem that custom is lord of all.' (Herodotus, *Historiae*, 3, 38, in: Godley 1920).

Dieses Zitat ist für die vorliegende Studie ein wertvolles Beispiel dafür, dass die eigene Bestattungssitte einen bedeutenden Bereich des Lebens darstellt, den es nur schwer zu verändern gilt. Es handelt sich um einen Aspekt, der eine Überzeugung und Gewissheit über die Relevanz der Sitte voraussetzt und mit ritualisierten Handlungen wie z. B. Trauerbewältigung verbunden ist. Es muss sich demnach um wichtige bzw. akzeptable Gründe gehandelt haben, die einen Bestattungswandel auslösten (ob autoritär oder antiautoritär). Sie sind dabei nicht als individualisiert zu werten, sondern als ein gemeinsames, nahezu gleichzeitiges Umschwenken anzusehen. Es handelt sich bei der neuen Totenbehandlung, wie bereits erwähnt, nicht um die Erfindung einer Gesellschaft, sondern um ein allgemein wirkendes Phänomen in Europa, das sich v. a. für Süddeutschland als Urnenfelder-Phänomen etablierte. Für das Arbeitsgebiet ist, wie genannt, nicht klar festzustellen aus welcher Richtung die Einflüsse der Brandbestattung stammen (Westen, Skandinavien oder Süden?). Aufgrund der Nutzung von Seewegen sind diffuse Prozesse der Übermittlung möglich. Das gleichzeitige Aufkommen neuer Symbole, die auf neues kosmologisches Wissen hindeuten, könnten Veränderungen in der Ideologie als Auslöser vermuten lassen. Eine Ideologie kann dabei in Wechselwirkung mit anderen Lebensbereichen gestanden haben und somit auch den Grab- und Hausbau erfasst haben. Die Verbrennung des Toten bedeutet dabei eine irreversible physische (und vielleicht auch spirituelle) Transformation des Körpers. Er wird dadurch in einen Zustand überführt, der sowohl hinsichtlich des Gewichts, als auch seiner Substanz (den Verwesungsprozess umgehend) leichter zu handhaben ist. Bestattungsrituale können dadurch länger andauern bzw. ‚vertagt‘ werden (Oestigaard 2013, 500), zum Beispiel wenn der Grabbau und das Totenritual viel Zeit benötigen. Auch das Feuer kann eine bestimmte Rolle gespielt haben. Neben einer symbolischen Bedeutung, kann es auch als Reinigungsmittel genutzt worden sein. Galt es also – wie bereits im Rahmen der Analyse auf Mikroebene angesprochen – doch der Vermeidung von Ansteckungen? Wie bereits besprochen, hält Falkenstein den Bestattungswandel als das Resultat einer Klimakrise für möglich (Falkenstein 1997, 549ff.). Ein Beispiel aus dem Manangdorf im Hochhimalaya in Nepal zeigt, dass es dort bis vor 30 Jahren noch verboten gewesen war, die Toten zu verbrennen, da es der Glaube war, dass diese Totenbehandlung die Götter verärgere und es deswegen keinen Regen gab. Die Verbrennung der Toten war demnach für das Frühjahr, den Sommer und Herbst verboten, um keinen Regenmangel zu riskieren, während sie für den Winter erlaubt war, um Niederschläge zu umgehen. Damit waren Bestattungen Teil der ‚Wetterbeherrschung‘ (Oestigaard 2013, 506). Für die Bestattungssitten

der Bronzezeit ist es sehr wahrscheinlich, dass sie keinen isolierten Lebensbereich darstellten, sondern mit vielen Elementen, die eine Gesellschaft kennzeichnen, verstrickt waren (Vgl. Hofmann 2008, 99) und somit auch als gesellschaftliche Reaktion interpretiert werden können. Einher geht der Wandel der Totenbehandlung zum Beispiel mit einem Wandel in der materiellen Kultur. Zunächst ist mit dem Übergang zur Periode III ein allgemeiner Rückgang an Bronzefunden zu vermerken, der sich jedoch nicht auf die Grabbeigaben, sondern überwiegend auf die Depotfunde auswirkte, die in dieser Phase rapide zurückgingen, jedoch noch nicht ihr Minimum erreichten. Aus dem Rückgang der Niederlegungen ist dabei abzuleiten, dass weniger Bronze im Umlauf war und die Austauschnetzwerke vermutlich weniger wurden bzw. weniger intensiv genutzt wurden. Das Spektrum der Deponierungen beschränkte sich zudem auf Objekte der Tracht und Werkzeuge. In Grabhügelgräbern blieb das Bronzefunden stabil, während es in den Flachgräbern sogar leicht anstieg und damit ein prozentuales Gleichgewicht von Funden in Flachgräbern und Grabhügeln bewirkte, das die These des Wandels zu egalitären Gesellschaftsstrukturen auch auf Basis der Funde ganz Schleswig-Holsteins, unterstützt. Untermauert wird dies durch die neuen Beigabenzusammensetzungen: In Grabhügeln wurden wie zuvor Objekte der Tracht, Toilettebesteck und Keramik mitgegeben, während Waffen weniger vorzufinden waren, die in Periode II noch in so hoher Varianz im Spektrum vertreten waren. Einige wenige Werkzeuge wie Pfeilspitzen o. ä. ergänzten die Zusammenstellung. Die Menge der Keramikbeigaben nahm mit der Periode III stark zu. Die Menge der Beigaben pro Grab blieb zwischen einer und bis zu neun Beigaben stabil. In den Flachgräbern traten zum einen wesentlich häufiger Beigaben auf und zeigten Zusammensetzungen aus Tracht, Keramik und Toilette-Bestecken. Zum anderen waren zwischen keiner und sechs Beigaben pro Grab vorzufinden und waren damit von den Zusammensetzungen der Grabhügelgräber nicht mehr so stark zu unterscheiden wie zuvor. Insgesamt kann das Beigabenspektrum als sehr variationsreich charakterisiert werden, da auch Gold-, Glas und v. a. Keramikfunde zunahm. Bernsteinfunde gingen hingegen zurück. Der Rückgang von Waffen und die Konzentration auf tendenziell persönliche Objekte wie Teile der Tracht und Toilettebesteck, kann zum einen aus der vermuteten geringeren Verfügbarkeit von Bronze im Allgemeinen resultiert sein, das sich vor allem im o. g. Rückgang der Depotfunde zeigt. Statt repräsentativer bzw. idealisierender Beigaben (wie z. B. Schwerter), die vermutlich einen Mangel darstellten, wurde demzufolge auf persönliche Gegenstände zurückgegriffen. Ebenso kann es sich bei diesem Beigabewechsel um eine Herausstellung des Personenbezugs von Beigaben handeln, die die Persönlichkeit unterstreichen sollten, der mit der sich etablierenden Einäscherung möglicherweise vermindert geglaubt wurde (Williams 2013, 198f.). Die Idealisierung von Gräbern durch Prunkbeigaben, die vermutlich eher eine Gruppenrepräsentation zum Nutzen hatten, gingen dagegen stark zurück. Mit der Etablierung der neuen Bestattungssitte, die jedoch noch den alten Mustern im Grabbau folgte, wurden Haushaltsgrößen maximiert, die wiederum eine Erweiterung des Haushalts bedeuten können. Hausgrößen von bis zu 250 Quadratmetern sind für diese Phase im Arbeitsgebiet nachweisbar. Die Repräsentativität dieser Angabe ist für das Arbeitsgebiet jedoch äußerst gering. Beim Vergleich mit Hausgrößen-Daten aus dem dänischen Raum ist am Übergang zu Periode III hingegen eine leichte Abnahme festzustellen, sodass mit dem Bestattungswandel auch Verschiebungen in den Größen der Häuser und Haushalte anzunehmen sind. Die zugleich leichte Abnahme im Grabhügelbau und die leichte Zunahme von Flachgräbern, bei denen es sich von nun fast ausschließlich um Brandbestattungen handelt, deutet auf eine Verschiebung gesellschaftlicher Systeme hin, die sich möglicherweise auch in dem o. g. Variationsreichtum der Beigaben und der möglichen Vielfalt in der Hausgröße zeigt. Um die bereits angesprochene These aufkommender Gegner von ‚Chiefs‘ aufzugreifen, könnte vermutet werden, dass mit dieser Transformationsphase das Untergraben autoritärer ‚Chiefs‘ durch entsprechende Widersacher, die – überzeugt von neuen Ideologien

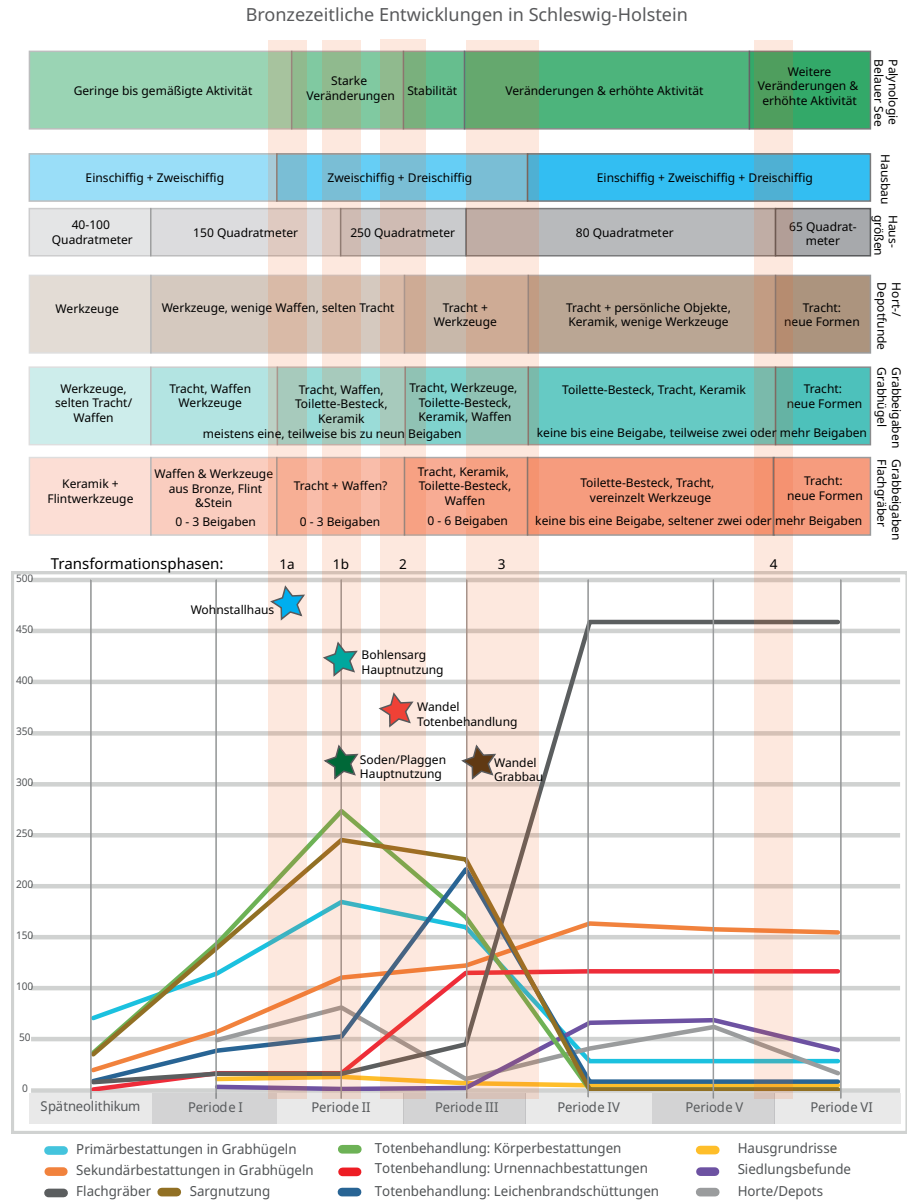


Abbildung 173: Bronzezeitliche Transformationsprozesse in Schleswig-Holstein.

(Brandbestattung) und politischen Strukturen (Egalität?) – an Zustimmung gewonnen und in dieser Phase die Etablierung der Brandbestattungssitte und Veränderungen zur nahezu gleichwertigen Behandlung von Toten im Beigabenbrauchtum erreichten. Kooperative Muster (z. B. Grabhügelbau; Hausbau) bzw. die Überzeugung der Notwendigkeit für eine große Gruppe kooperativ sein zu müssen und damit einhergehende soziale Rollen verloren damit an Bedeutung. Die Pflege der Identitätsbildung von großen Gruppen ging damit zurück, was sich auch in der Verkleinerung von Haushalten widerspiegelt. Dabei muss das neue Gesellschaftskonzept überzeugender für ein besseres (Über-)Leben gewesen sein, das sich auf kleinere, womöglich introvertiertere Gruppen konzentrierte. Die Grundlage dieser Entscheidung muss vielschichtig gewesen, da es sich in Anlehnung an den Rückgang der Depotfunde, scheinbar nicht in erster Linie um wirtschaftliche, sondern vielmehr um gesellschaftliche und ideologische Gründe handelte (Grabausstattungen, Totenbehandlung, Haushalt). Während dieser Phase ist im Pollenprofil bis 1300 v. Chr. eine Zunahme der Aktivität bemerkbar, die sich zum Beispiel im Anstieg von Hasel und Getreide zeigt, während die Baumpollen zurückgehen. Feeser schließt auf die Nutzung von

Waldweidewirtschaft und Viehhaltung in dieser Phase, die ab 1300 v. Chr. stabile Werte zeigt (Vgl. Feeser *et al.*, Anhang VII.3). Das Auftreten von Rispenhirse, die sich durch kurze Vegetationsperioden auszeichnet, zeigt damit eine vermehrte Kontrolle der Landnutzung (Effenberger 2018, 96; Kneisel *et al.* 2012, 276). Des Weiteren bedingt Hirse eine bestimmte Vorbereitung des Bodens durch einen Haken, sodass neues Wissen um Anbautechniken und neue Getreidearten festzustellen ist (Effenberger 2018, 98). Auch die Ausführung von Arbeiten im Allgemeinen sowie Besitzverhältnisse und Zugangsrechte (z. B. zu Feldern; Grasland) können sich im Zuge der o. g. Entwicklungen geändert haben. Diese Transformationsphase kann demnach als einschneidender Prozess aufgefasst werden, der die Etablierung der neuen Bestattungssitte und damit einhergehende sozioökonomische Veränderungen hervorrief und die Gesellschaft damit zumindest zu einem Teil umstrukturierte. Diese Umstrukturierung ist nicht nur in Schleswig-Holstein, sondern in ganz Europa erkennbar. Kriegerische Auseinandersetzungen wie sie aus dem Tollensetal bekannt sind (Vgl. Jantzen *et al.* 2014), lassen zudem Vermutungen anstellen, dass diese Umstrukturierung nicht unbedingt friedlich verlief. Diese Veränderungen stellen damit den transformativen Anfang eines sich entwickelnden Wandels dar, der sich in der nächsten Transformationsphase weiterentwickelt.

9.6.3. Transformationsphase 3: Wandel im Grabbau

Die dritte Transformationsphase wurde für den Zeitraum von der Mitte der Periode III bis zum Übergang zur Periode IV festgestellt und datiert somit um 1150 v. Chr. Während sich der Wandel der Totenbehandlung in dieser Phase nahezu vollständig auf die Übernahme der Brandbestattung verlagert hat, sind in Ergänzung dazu ab ungefähr 1200 v. Chr. extreme Veränderungen im Grabbau zu erfassen (Abb. 173). Zum einen geht der Grabhügelbau stark zurück (Primärbestattungskurve) und auch die Sargnutzung zeigt eine energisch fallende Kurve. Auch Leichenbrandschüttungsgräber nehmen bedeutend ab und Flachgräber, die nun fast ausschließlich in Form von Urnenflachgräberfeldern zu erfassen sind, nehmen hingegen stark zu. Sekundärbestattungen in Grabhügeln zeigen nur einen sehr flachen Anstieg und weisen dabei die Nutzung von Urnen oder Leichenbrandschüttungen auf Steinpflastern auf. Die Etablierung von Urnengräbern ist in dieser Phase damit als einschneidend zu beobachten, da auch die Anzahl der Urnengräber innerhalb weniger Zeit (ca. 1200-1000 v. Chr.) ein starkes Maximum erreicht, das vorangehende Entwicklungen numerisch weit übersteigt (Vgl. Abb. 164). Dabei sind regionale Unterschiede in der Verbreitung der Urnen erkennbar, die sich vom Süden aus nach Norden beginnen auszubreiten und damit einen Hinweis auf die Einflüsse des sich verbreitenden ‚Urnfelderphänomens‘ zeigen. Die Etablierung des neuen Grabbaus kann dabei auch von hoher wirtschaftlicher Bedeutung gewesen sein. Mit dem Wegfall eines Grabhügelbaus sowie des Sarges konnten Berechnungen zufolge – wie bereits im Rahmen der Fallstudie aufgeführt (siehe oben) – Ressourcen, Arbeitskraft und Arbeitszeit eingespart werden. Die Urnenbestattung und auch das Leichenbrandschüttungsgrab waren dagegen ressourcenfreundlicher und bedurften wesentlich weniger Arbeitskräfte. In den Grabbeigaben erreichen Keramikfunde ihren Höhepunkt, wobei regionale bzw. forschungsbedingte Unterschiede zu bedenken sind, indem Keramikbeigaben z. B. in Nordfriesland stark überwiegen. Mit dem Übergang zur Jüngerer Bronzezeit liegt der Fokus von Beigaben in Grabhügel(nach)bestattungen auf Toilettebesteck, Trachtbestandteilen und Keramik, während Flachgräber gleiche Ausstattungen wie Grabhügel(nach)bestattungen zeigen, die lediglich durch die vereinzelte Beigabe von Werkzeugen ergänzt wurden. Die Beigabenzahlen pro Grab weisen ab der Periode III in Grabhügelnachbestattungen und Flachgräbern parallele Entwicklungen mit geringfügigen Ausstattungen auf, die keine, eine oder selten zwei oder mehr Beigaben enthalten, sodass erstmals eine Gleichbehandlung

dieser Befundkategorien eintritt. Zur gleichen Zeit nehmen die Depotsfunde wieder zu und weisen ab der Jüngerer Bronzezeit in den Gräbern ähnliche Ausstattungen auf, jedoch mit unterschiedlichen Präferenzen (Gräber enthalten mehr Toilettebesteck und Depots enthalten überwiegend Schmuck). Endrigkeit vermutet v. a. für die Niederlegungen der Periode V, dass es sich nun vornehmlich um ‚Frauendepots‘ handle, die sie mit verschiedenen ideologischen Deutungen in Verbindung bringt (Endrigkeit 2010, 87ff., 114f.). Für die dänischen Daten werden ähnliche Deutungsansätze angestellt (Kristiansen 2006, 177). Die Stückzahl der Funde pro Depot ist zudem wesentlich höher als während der Älteren Bronzezeit und bildet somit einen Kontrast zu den Grabfunden, die pro Grab weniger wurden (siehe oben). Dies könnte womöglich mit zunehmendem Grabraub zu tun gehabt haben, der sich möglicherweise mit dem allgemeinen Bronzemangel ergab. Versteckte Niederlegungen von Beigaben für die Verstorbenen könnten in diesem Zusammenhang angedacht werden. Dies würde auch die festgestellte Zunahme räumlicher Nähe von Grabfunden und Deponierungen während der Jüngerer Bronzezeit erklären. Siedlungsbefunde werden mit der Jüngerer Bronzezeit häufiger. Dabei handelt es sich jedoch meistens um Siedlungsgruben und weniger um Hausgrundrisse. Im Hausbau ist ab ca. 1200 v. Chr. eine Reduzierung der Hausgröße auf durchschnittliche 80 Quadratmeter feststellbar. Mit dem Übergang zur Periode IV sind ein-, zwei- und dreischiffige Häuser vertreten und zeigen somit eine hohe Vielfalt, die auch eine ebenso vielfältige Haushaltsgestaltung und Funktionalität von Häusern vermuten lassen kann. Für Jütland konnte Kristiansen zudem feststellen, dass neben der Hausverkleinerung auch weniger solide Pfostenstrukturen im Hausbau vorzufinden sind (Kristiansen 1999, 287). Die geringe Anzahl benötigter Personen im Grabbau und auch das Aufkommen kleinerer Hausgrößen deutet auf die Entwicklung kleinerer Haushalte bzw. Gruppenstrukturen hin. Die in der Anzahl standardisiert weniger werdenden Grabbeigaben, die zugleich einen personalisierten Charakter haben, deuten einerseits auf egalitäre Verhältnisse in der Gesellschaft hin, lassen aber auch einen Bronzemangel vermuten. Die Charakterisierung der zunehmenden Deponierungen als versteckte Grabbeigaben unterstützt diese These auch im Hinblick auf den zurückgehenden wirtschaftlichen Zweck dieser Niederlegungen. Die Pollenzusammensetzung und Bodenbildungen in dieser Phase zeigen, dass die Baumpollen zurückgehen, während Bodenerosionen zunehmen und eine intensivere Landnutzung mit Getreideanbau und Grünlandbeweidung anzunehmen ist (Dreibrodt und Wiethold 2015, 311; Feeser *et al.* 2023, Anhang VII.3). Eine Wechselwirkung zwischen der rückläufigen Baumpollenkurve und der geringeren Holznutzung im Grab- und Hausbau, ist lediglich zu mutmaßen. Bei dem für die hingegen zunehmenden Totenverbrennungen notwendigen Holzmengen kann es sich auch um kleinere Hölzer gehandelt haben. Mit dieser Transformationsphase zeichnet sich damit eine gesellschaftliche Umstrukturierung ab, die sich bereits in der vorangegangenen Transformationsphase ankündigte. Die Etablierung oben angesprochener Strukturen, die möglicherweise als egalitär bezeichnet werden können, ist damit erreicht. Das neue Gefüge umfasst dabei Veränderungen im Bestattungsbrauchtum, die Monumentalität und starke Beigabendifferenzierungen hinter sich ließen, sowie die Gleichstellung im Grabbau erreichte, die keine Kooperation großer Gruppen mehr erforderte, sondern durch kleinere Gruppen bewerkstelligt werden konnten. Kristiansen geht für Jütland für diese Zeitphase von einer Zunahme ‚gewöhnlicher Bauern‘ und einem Rückgang der ‚chiefs‘ aus. Letztere seien zwar in geringerer Anzahl vorhanden gewesen, jedoch möglicherweise im Einzelnen mächtiger (Kristiansen 2018, 116). In den Schleswig-Holsteinischen Daten kann dies – insbesondere vor dem Hintergrund der oben genannten Grab- und Hausentwicklungen – für diese Phase nicht erfasst werden. Möglicherweise ist diese These erst für die ausgebildete Jüngere Bronzezeit auf das Arbeitsgebiet anwendbar (siehe unten). Der zweite Teil der Periode III kann damit bereits als Teil der Jüngerer Bronzezeit betrachtet

werden, in der grundlegende Strukturen für künftige jüngerbronzezeitliche Entwicklungen geschaffen wurden. Vom Fundplatz von Mang de Barga ließen sich in diesem Zusammenhang auch einige Gräber, die anhand der Beigaben in die Jüngere Bronzezeit eingeordnet wurden, nicht selten anhand absoluter Daten bereits in die Mitte oder an das Ende der Periode III datieren (siehe oben).

9.6.4. Periode IV und V: Keine Transformation?

Während der Perioden IV und V (1100-700 v. Chr.) der Jüngeren Bronzezeit scheint sich in den archäologischen Daten eine mehr oder weniger stabile Entwicklung abzuzeichnen. Womöglich hängt dies auch mit der Langlebigkeit der Funde dieser Zeitphasen zusammen, die keine Unterscheidung in den Befunden der beiden Perioden zulässt. Lediglich die Depotfunde steigen mit der Periode V sichtlich weiter an und erreichen ihren Höhepunkt. Wie bereits beschrieben, handelt es sich dabei häufig um Schmuckobjekte, die als sakrale Niederlegungen gedeutet werden (siehe oben). Die Mehrheit der Daten zeigt demnach keine einschneidenden Veränderungen, jedoch sind einige Fundplätze bekannt, die Hinweise auf gesellschaftliche Strukturen geben könnten, jedoch nur einen Anteil von ungefähr 10 Prozent bilden (Schmidt 1993, 127). Zum einen zeigen sich während der Jüngeren Bronzezeit Primärbestattungen von Urnen in Grabhügeln, die sich in der räumlichen Verteilung scheinbar von Süden nach Norden verlagern. Aufgrund des einfacheren Aufbaus und der kleineren Größe dieser Grabhügel ist dabei von einer neuen Grabhügelbau-Tradition auszugehen, die derweil auch reichere Grabausstattungen mit sich bringt. Zum anderen sind vereinzelte besonders reiche und größere Grabhügel bekannt (Bsp. Albersdorf) (Schmidt 1993, 17f.). Ein ähnliches Phänomen ist mit dem Königsgrab von Seddin aus Brandenburg geläufig und ein weiteres sogenanntes ‚Fürstengrab‘ wurde am Fundplatz von Lusehøj bei Voldtofte gefunden (May 2018, 9ff.; Thrane 2019, 91ff.). Vereinzelte Befunde deuten demnach auf eine gesellschaftliche Stratifizierung hin, die jedoch lediglich auf der Unterscheidung einer egalitären Mehrheit an Gräbern (90%) und einem kleinen Teil reicherer Gräber (10%) beruht (Schmidt 1993, 127). Im Hausbau hingegen lassen sich diese Unterschiede nicht aufgreifen. Dies ist wahrscheinlich auch fehlenden Daten zu Hausgrundrissen für diese Phase geschuldet. Da es sich bei der räumlich-zeitlichen Verteilung dieser reicheren Gräber um einen Trend handelt, der scheinbar aus dem Süden kommt, dürfte es sich um eine neue Entwicklung handeln, die nichts mit den ‚Chiefs‘ der Periode II zu tun hat. Sonstige Stratifizierungen der Gesellschaft sind lediglich den inneren Strukturen der Urnengräberfelder dieser Zeitphase zu entnehmen, die häufig geschlechts- und altersspezifische Ausstattungen erkennen lassen. Des Weiteren sind nach Schmidt leichte Unterschiede in den Ausstattungen zwischen Flachgräbern und Grabhügelnachbestattungen erkennbar, die sich v. a. in den Beigabemengen und -häufigkeiten zeigen (Schmidt 1993, 127ff.). Vom Fundplatz von Mang de Barga und Grevenkrug ausgehend könnte es sich dabei auch um altersbedingte Diversitäten handeln, da dort vermehrt Kinder und Jugendliche als Nachbestattungen in Grabhügelarealen gefunden wurden, die zugleich eine höhere Beigabenrate und -vielfalt im Vergleich zu adulten Individuen aufwiesen (siehe oben). In der Pollenzusammensetzung zeigt sich für diese Zeitphase eine erhöhte Aktivität und auch einige Veränderungen im Pollenspektrum und den Böden, die Bodenerosionen und Waldrodungen aufzeigen und damit eine verstärkte Ausbeutung der Landschaft annehmen lassen können (Feeser *et al.*, Anhang VII.3). Aufgrund fehlender einschneidender Veränderungen, die eine Umgestaltung gesellschaftlicher Strukturen bedingen, ist für die Perioden IV und V keine Transformationsphase gesetzt worden. Hinsichtlich des Aufkommens einzelner reicher Grabanlagen, die jedoch nur selten mit den Monumenten der Periode II vergleichbar sind und überwiegend tendenziell von kleineren Gruppen organisiert werden konnten, sind einzelne Unterschiede in der Gesellschaftsstruktur ablesbar, während deren Einfluss auf die Gesellschaft jedoch nicht klar festgestellt werden kann.

9.6.5. Transformationsphase 4: Kleinere Häuser und neues Fundspektrum

Die vierte Transformationsphase, die in den vorliegenden Daten erkannt wurde, konnte an den Übergang von der Periode V zur Periode VI (um 700 v. Chr.) gesetzt werden. In den Entwicklungen der Befunde konnte auf den ersten Blick eine Abnahme von Depot- und Siedlungsbefunden festgestellt werden. Hausgrößen nahmen mit dem Übergang zu Periode VI außerdem nachweislich ab und erreichten nur noch Flächen von 65 Quadratmetern, sodass eine weitere Dezimierung von Haushalten bzw. Änderungen von Funktionsstrukturen im Haus vermutet werden können. Sowohl in den Gräbern, als auch in den Depots sind Veränderungen des Fundspektrums erkennbar. Schmidt stellte für die Grabfunde fest, dass sie mit der Periode VI vermehrt Einflüsse aus dem Hallstattbereich der Phase Ha D aufweisen (z. B. Schwanenhalsnadeln mit Rippen- oder Schälchenkopf) (Schmidt 1993, 113, 118, 150). Dies konnte auch in Ansätzen für den Fundplatz von Mang de Bargaen erkannt werden (siehe oben). Austauschnetzwerke in Richtung Süden scheinen demnach mit dieser Phase intensiviert. Die Beigabe von bisweilen üblichen Fundkategorien wie zum Beispiel Nadeln blieb jedoch bestehen. Des Weiteren konnte auch Endrigkeit ähnliche Entwicklungen in den Depotfunden feststellen. Das Inventar scheint sich dabei überwiegend auf Wendelringe, Nadeln, Metallringe, Knöpfe (Pferdezubehör) und Eisenobjekte zu konzentrieren, während Werkzeuge nicht mehr vorkamen (Endrigkeit 2010, 76). Damit werde jedoch stets an der Tradition in der Niederlegung ‚weiblicher‘ Depots festgehalten, die sich auch noch in der älteren vorrömischen Eisenzeit fortsetzen (Endrigkeit 2010, 106). Des Weiteren fällt in der Kartierung der Depotfunde auf, dass mit der Periode VI ein tendenzielles Abrücken von der Küste eintrat, sodass die wirtschaftliche Funktion der Küsten an Bedeutung verlor und den sakralen Charakter der Deponierungen unterstreicht. In den Pollendaten sind im Vorausgang an diese Zeitphase um etwa 750 v. Chr. Hinweise auf erhöhte Aktivitäten und Veränderungen festzustellen. Der Rückgang von Hasel (*Corylus*) und die Zunahme von Heide (*Calluna*) deuten auf Waldrodungen hin. Der Getreideanbau nahm zudem leicht zu, sodass intensivere Landnutzungen anzunehmen sind, während sich jedoch eine Verarmung der Böden durch die Heidebildung ankündigt und wahrscheinlich zum Problem wurde. Eine globale Klimaverschlechterung um 800/700 v. Chr. kann zudem zu Wetterextremen und Missernten geführt haben. Der Bau kleinerer Häuser und die Niederlegung sakraler Depots könnten demnach als Reaktion auf eine Krise interpretiert werden. Vergleichbare Entwicklungen sind auch für die dänischen Daten feststellbar. Ferner kollabierten die Langhäuser des Fundplatzes von Bjerre Enge (Thy) mit dieser Zeitphase aufgrund des ansteigenden Grundwasserspiegels (Holst *et al.* 2013, 18). Diese Transformationsphase scheint von ökologischen und folglich ökonomischen Gründen ausgelöst, die sich in Veränderungen des Siedlungs- und Depotverhaltens sowie der Übernahme fremder Formen und der Nutzung des neuen Materials Eisen im Fundgut ausdrücken. Dabei ist nicht von einer einschneidenden Transformation auszugehen, da die Veränderungen keine tiefgreifenden Umgestaltungen aufzeigen. Des Weiteren handelte es sich wahrscheinlich um keinen abrupten Wandel, sondern eine sich entwickelnde Transformation, die eher eine schrittweise Anpassung an neue Umweltbedingungen bedeutet. Des Weiteren kann diese Transformation nicht als Übergangsphase zur vorrömischen Eisenzeit interpretiert werden, denn mit der Eisenzeit etablierten sich wiederum andere Formen und beispielsweise Gürtelgarnituren, die sich in Periode VI nicht abzeichnen. Demnach ist von zwei Entwicklungen auszugehen, die nicht aufeinander aufbauten. Der Übergang zur vorrömischen Eisenzeit kann folglich auch als transformative Phase genannt werden, die sich vor allem in der Form- und Materialentwicklung des Fundgutes zeigen (Schmidt 1993, 146ff.). Siedlungsdaten liegen für diese Übergangsphase unzureichend vor, sodass unklar ist, ob und inwieweit sich dieser Wandel auch in anderen Aspekten der Gesellschaft äußerte.

9.6.6. Fazit zu Transformationen auf Mesoebene

Die Aufnahme bronzezeitlicher Daten aus Schleswig-Holstein ermöglichte das Erfassen von vier (davon Phase 1 in a und b unterteilt) Transformationsphasen, die sich zwischen dem Ende der Frühbronzezeit und dem Ende der Jüngerer Bronzezeit ereigneten (1500 – 700 v. Chr.). Dabei wurden überregional wirkende Transformationen erfasst, die sich auf das gesamte Arbeitsgebiet auswirkten und teilweise eine Reorganisation der Gesellschaft nach sich zogen. Insbesondere die gesellschaftlichen Umstrukturierungen um 1500 v. Chr. sowie der Wandel der Totenbehandlung zwischen 1400 und 1300 v. Chr. und auch der Wandel des Grabbaus um 1200 v. Chr. konnten erst in der Verflechtung sämtlicher Befund- und Fundentwicklungen sowie der Pollenzusammensetzungen und Bodenentwicklungen als einschneidend charakterisiert werden.

Die Transformationsentwicklungen folgen dabei oft einem ähnlichen Muster, indem sich zunächst eine Veränderung ankündigt, die sich dann ab einem bestimmten Zeitpunkt vollständig etabliert (Vgl. Kurve zur Innovationsübernahme nach Rogers 1958, siehe auch Hofmann 2008, 79). Für den Wandel der Totenbehandlung kann zum Beispiel nachvollzogen werden, wie Pioniere mit der Anwendung der Brandbestattung um 1400 v. Chr. begonnen und dann ab einem bestimmten Zeitpunkt um 1300 v. Chr. eine unvermeidbare Übernahme durch die Gesellschaft folgte, die anhand der archäologischen Daten, die überwiegend auf Periodeneinteilungen beruht, als abrupt wahrgenommen werden kann. Die Transformationen wurden durch zumeist unterschiedliche Faktoren ausgelöst. Während die neuen sozialen und architektonischen Organisationsstrukturen vermutlich auf die Einführung von Bronze und dem zunehmenden Austausch, der die Verbreitung von Ideen und Wissen förderte, ausgelöst wurde, sind für den Bestattungswandel in erster Linie neue ideologische Konzepte als Auslöser anzunehmen, die von unterschiedlichsten Motiven und ihren Kombinationen gestützt worden sein können (Klima, Krankheiten, Wirtschaftlichkeit usw.). Neue kulturelle Herausbildungen mit der Periode VI könnten ebenso auf Wetterextreme und wirtschaftliche Auslöser zurückgeführt werden. Die Geschwindigkeiten dieser Entwicklungen sind aufgrund der teils ungenauen Datierungskontexte, die sich vornehmlich auf die Einordnung in Perioden beschränkt, zu ungenau. Auf Basis dieser eher ungenauen vorliegenden Daten könnten Zeiträume von ungefähr drei bis vier Generationen (ca. 100 Jahre) angenommen werden (Vgl. Müller und Lohrke 2009, 32), in denen sich eine Neuerung ankündigte und schließlich etablierte.

10. Schlussbetrachtung

Mit diesem abschließenden Kapitel möchte diese Arbeit auf gewonnene Erkenntnisse zu Transformationsprozessen in Schleswig-Holstein zurückblicken, die sowohl auf Basis der Fundplatzauswertung von Mang de Barga, als auch im Rahmen der Datenerhebung quantitativer Daten für Schleswig-Holstein, Einblicke in die bronzezeitliche Gesellschaft gaben. Einige der erfassten Transformationsprozesse konnten lediglich auf einer Ebene beobachtet werden, während andere auf beiden Ebenen gleichartige Entwicklungen zeigten (Tab. 11). Während der Wandel materieller Kultur um 1800 v. Chr. am Fundplatz von Mang de Barga eine klare, womöglich kulturelle Transformation darstellt, ist dies auf der Mesoebene wesentlich weniger klar feststellbar. Damit zeigt sich zum einen der Unterschied qualitativer und quantitativer Daten, sowie zum anderen die Erfassung einer möglichen lokalen Ausprägung, die auf die weitere Umgebung des Fundplatzes vermutlich keinen sonderlichen Einfluss hatte und entsprechend auf der Mesoebene als solche nicht festzustellen ist. Die Phase um 1700/1600 v. Chr. konnte auf beiden Ebenen nicht erfasst werden. Die Absenz von Daten gibt zugleich einen indirekten Hinweis darauf, dass es zu diesem Zeitpunkt eine geringere Aktivität gegeben haben muss – wie sie auch die Daten der Palynologie bestätigen, sodass dieser Moment vielleicht weniger als Transformation, jedoch als Kollaps bezeichnet werden könnte, der sich in den Daten als Abbruch der Aktivität einer Gesellschaft zeigt:

‘Collapse is generally viewed as a complete break in the record, and preferably in several records; for example the disappearance of settlement in a previously populated area, drastic climatic or environmental changes, the alteration of previously established communication and trade routes, or the cessation of access to resources.’ (Vgl. Kneisel et al. 2012, 268).

Die Beiträge des hier zitierten Tagungsbandes zeigen zum Beispiel, dass diese Siedlungsabbrüche in vielen Teilen Europas zu dieser Zeit vorzufinden sind (von Niedersachsen bis Ostdeutschland, Brandenburg und Polen, bis Südost- und Ostzentraleuropa sowie den Balkan), sodass auch für Schleswig-Holstein ähnliche Entwicklungen aufgrund der Datenlücke angenommen werden könnten, die sowohl mit klimatischen, als auch kulturellen und ökonomischen Veränderungen in Verbindung zu bringen wären (Müller 2013b, 527-537). Die Siedlungsforschung müsste im Arbeitsgebiet jedoch wesentlich ausgebaut werden, um diese Hypothese zu bestätigen. Um 1500 v. Chr. sind sowohl am Fundplatz, als auch in den Daten ganz Schleswig-Holsteins Entwicklungen erkennbar, die auf beiden Ebenen eine gesamtgesellschaftliche Transformation vermuten lassen, da beide in verschiedenen Lebensbereichen Veränderungen aufweisen. Während sich diese Entwicklung am Fundplatz vor allem im Rahmen einer Veränderung der materiellen Kultur und der Bestattungsintensität

Transformationsphase	Mikroebene (Fundplatz)	Mesoebene (Schleswig-Holstein)
Um 1800 v. Chr.	Wandel materieller Kultur = kulturelle Transformation?	-
Um 1700/1600 v. Chr.	?	Kollaps?
Um 1500 v. Chr.	Wandel materieller Kultur + Bestattungsintensität = gesamtgesellschaftliche Transformation	Dreischiffige Häuser, Wohnstallhaus + soziale Stratifizierungen = gesamtgesellschaftliche Transformation
Um 1400 v. Chr.	-	Maximale Werte = Intensivierung gesamtgesellschaftlicher Transformation
Um 1300 v. Chr.	Wandel Totenbehandlung = ideologische Transformation	Wandel Totenbehandlung = gesamtgesellschaftliche, v. a. ideologische Transformation
Um 1200/1100 v. Chr.	Wandel Grabbau = wirtschaftliche Transformation	Wandel Grabbau/neue Haushaltsgrößen/Beigabengleichheit = gesamtgesellschaftliche, v. a. wirtschaftlich-politische Transformation
Um 950/900 v. Chr.	Wendepunkt in Bestattungsaktivität und -verhalten; Beigabewandel = soziale Transformation	-
Um 700 v. Chr.	neues Beigabenspektrum = kulturelle/ökologische Transformation?	Kleine Häuser + neues Formenspektrum = kulturelle/ökologische Transformation?
Um 530/500 v. Chr.	Neues Fund- und Formenspektrum = kulturelle Transformation	-

Tabelle 11: Vergleich erfasster Transformationsphasen auf Mikro- und Mesoebene.

äußert, sind für die Mesoebene neben diesen Aspekten auch Neuerungen im Hausbau und damit verbundenen Haushalt sowie neuer Hortsitten und einer allgemeinen Material- und Befundzunahme erkennbar. Insbesondere der aufwendige und Ressourcen-verbrauchende Grabhügelbau steigt zu dieser Zeit an und die Beigabenunterschiede zwischen reichen Grabhügelausstattungen und scheinbar ärmeren Flachgräbern ließen Rückschlüsse auf soziale Stratifizierungen zu, die in Kombination mit den größer werdenden, dreischiffigen und teils funktionalisierten Häusern (Wohnstallhaus), die Bildung komplex organisierter Haushaltsgruppen vermuten ließen. Erste regional aufkommende Brandbestattungen irritieren dagegen das scheinbar strukturierte Bild der beschriebenen Entwicklungen. Diese Transformation ist womöglich auf die Etablierung der Bronze und zunehmende Austauschnetzwerke zurückzuführen. Auf der Mesoebene ließen sich diese Entwicklungen um 1400 v. Chr. mit maximalen Werten auf die Spitze bringen. Die Grabhügel wurden vermehrt durch Soden- oder Plaggenauflagen sowie verschiedene Säрге ausgestattet, während neue Keramikformen entstanden und sich die Schere zwischen arm und reich scheinbar weiter öffnete. Um 1400 v. Chr. nehmen diese Entwicklungen auf ihr Maximum folgend schlagartig wieder ab. Währenddessen sind die Brandbestattungen weiter im ‚Aufwind‘. Die Entwicklungen um 1400 v. Chr. konnten demnach als Intensivierung der gesamtgesellschaftlichen Transformation von 1500 v. Chr. interpretiert werden, die sich ab 1400 v. Chr. jedoch erneut stark wandeln und deswegen als eigene Transformation bezeichnet wurden, die allerdings als Konsequenz der vorangehenden Transformationsphase anzusehen ist.

Um 1300 v. Chr. ist auf beiden Ebenen der Wandel der Totenbehandlung als einschneidende ideologische Transformation erkannt worden, indem der Wandel zu diesem Zeitpunkt als unumkehrbar erfasst wurde. Auch gesamtgesellschaftlich traten v. a. auf der Mesoebene Veränderungen zutage, die das Aufkommen möglicher als egalitär sich entwickelnde Strukturen vermuten lassen können (annähernde Beigabengleichstellung in Grabhügeln und Flachgräbern; persönlicher Beigabencharakter statt Prunk), sodass eine Zweiteilung gesellschaftlicher Systeme zu erwägen wäre (‚Chiefs‘ vs. ‚Antichiefs‘?). Anhand des Hortrückgangs können in diesem Zusammenhang auch Einbußen in wirtschaftlichen Austauschnetzwerken vermutet werden. Am Fundplatz von Mang de Barga waren Kochsteingruben in Kreisanordnungen zu diesem Zeitpunkt in Nutzung und dienten womöglich der Stärkung neuer Gruppenbildungen, bei denen die typische Kreissymbolik des

aufkommenden ‚Urnenfelder-Phänomens‘ bei der Anlage eine Rolle gespielt haben könnte. Der Wandel des Grabbaus ist auf beiden Ebenen ungefähr ab der Mitte der Periode III (um 1200/1100 v. Chr.) erfassbar. Am Fundplatz äußert sich dieser Wandel insbesondere durch die Abnahme von Ressourcen- und Arbeitsaufwendungen, sodass vorwiegend von einer wirtschaftlichen Transformation ausgegangen werden kann. Auf der Mesoebene konnten in Ergänzung dazu eine Gleichbehandlung in der Beigabenverteilung in Gräbern hinsichtlich Zusammensetzung und Anzahl erkannt werden. Des Weiteren scheinen Hortfunde zunehmend sakral für die Niederlegung versteckter Beigaben genutzt worden zu sein. Die zudem erfassbare Reduzierung der Hausgröße deutet auf kleinere Haushalte hin, die auch vor dem Hintergrund der Reduzierung von Arbeitskräften im Grabbau auf die Entstehung kleinerer Haushaltsgruppen hindeuten. Um 950/900 v. Chr. ist am Fundplatz von Mang de Barga ein Bestattungsmaximum erreicht, das zugleich seinen Wendepunkt findet. Die Bestattungen zeigen ein allgemein egalitär anmutendes Verhalten in Grabbau und Beigaben, das lediglich durch einige altersbedingte Stratifizierungen aufgelockert wurde. Auf der Mesoebene sind im Bestattungswesen ähnliche Entwicklungen erkennbar. Vermutlich zeichnen sich zehn Prozent der Gräber durch monumentalen Grabbau und reiche Ausstattungen aus, sodass lediglich lokale Abweichungen zu verzeichnen sind, deren gesellschaftliche Machtstellung nur schwer einzuschätzen ist. Hortfunde werden häufiger niedergelegt und enthalten vorwiegend Schmuck, der als versteckte Grabbeigabe gedeutet werden könnte. Die massenhafte Ausbreitung von Urnen von Süden nach Norden wird erkennbar. Die Hausgrößen bleiben währenddessen stabil, sodass sich keine sonderlichen Veränderungen in der Haushaltsentwicklung abzeichnen – jedoch sind die Siedlungsbefunde nicht sonderlich repräsentativ erhalten, sodass diese Hypothese auch durch zukünftige Siedlungsforschungen entkräftet werden könnte. Während sich auf lokaler Ebene damit soziale Transformationen anhand der altersbedingten Bestattungsverhältnisse abzeichnen, sind auf der Mesoebene nur geringfügige Veränderungen bemerkbar, die keine eigene Transformation, sondern lediglich eine Intensivierung vorangegangener Prozesse aufzeigen ließen. Der starke Rückgang in der Bestattungsaktivität mit der Periode V scheint am Fundplatz von Mang de Barga eine lokale Entwicklung darzustellen, da sie auf der Mesoebene nicht erfasst wurde. Mit der Periode VI konnten sowohl am Fundplatz, als auch für ganz Schleswig-Holstein neue Formenspektren erkannt werden. Am Fundplatz von Mang de Barga äußerte sich dies lediglich durch eine fremde Nadelform als Beigabe, während auf der Mesoebene sowohl in Gräbern als auch in Horten neue Fundspektren auftraten, die Einflüsse aus dem Hallstattbereich und damit einen Ausbau der Austauschnetzwerke erkennen ließen. Der Bau kleinerer Häuser ließ Hypothesen zur weiteren Verkleinerung von Haushalten oder auch der Umfunktionierung von Häusern zu. Nachweise zu klimatischen Verschlechterungen und entsprechende Extreme in den Pollendaten (Rodungen, Heidebildungen) deuten auf eine ökologische Krise hin, sodass es sich bei den genannten Veränderungen um Reaktionen auf eine ökologische aber auch kulturelle Transformation handelt, deren Intensität, Auswirkungsbereich und Geschwindigkeit nur schwer abzuschätzen ist und vorerst als schrittweise Transformation im Rahmen eines Anpassungsprozesses beschrieben werden konnte. Um 500 v. Chr. ist der Übergang zur vorrömischen Eisenzeit erfasst worden, der sich auf der Mikroebene insbesondere durch eine starke Zunahme in der Bestattungsaktivität sowie neue Beigabenfunde äußerte. Veränderungen in Verbrennungsvorgängen, Leichenbrandbergungen und -deponierungen weisen zudem auf neue Habitus hin. Bisher undatierte Ringgräben, die bestimmte Bestattungen umfassen, deuten zudem auf die Entstehung neuer sozialer Strukturen hin. Es handelt sich demnach um eine kulturelle Transformation, die sich lediglich auf Mikroebene erfassen ließ, da die Datenaufnahme der Mesoebene überwiegend auf bronzezeitliche Daten ausgerichtet war. Informationen zu ökologischen Entwicklungen ließen

häufig Zusammenhänge mit gesellschaftlichen Entwicklungen erkennen, während einige Prozesse jedoch keinen Niederschlag in archäologischen Daten oder umgekehrt aufzeigten, die zum einen auf regionale Unterschiede in den archäologischen Entwicklungen und zum anderen auf die Unabhängigkeit ökologischer und gesellschaftlicher Veränderungen zurückzuführen sind.

11. Fazit und Ausblick

Die bronzezeitliche Gesellschaft ließ sich mit dieser Arbeit auf zwei Ebenen erfassen. Absolute Datierungen vom Fundplatz und aus der Umgebung ermöglichten dabei die Spezifizierung von Transformationsmomenten, aber auch das Herausstellen lokaler Besonderheiten, die vor dem Hintergrund vielschichtiger Prozesse innerhalb bronzezeitlicher Gesellschaften von hoher Bedeutung sind. Doch erst durch die Integrierung quantitativen Daten, die sämtliche bekannte Befundkategorien aus ganz Schleswig-Holstein umfasste, wurde die Verflechtung verschiedener Lebensbereiche erkannt, die gesamtgesellschaftliche Entwicklungen und zugleich den Einfluss der jeweiligen Transformation beurteilen ließ. Besonders einschneidende Transformationen wie die des Bestattungswandels wurden somit auf beiden Ebenen und zusammen in ihrer Komplexität erfasst. Der Bestattungswandel konnte als Prozess erkannt, der sich auch in Veränderungen der Haushaltsstrukturen und sozialen Stratifizierungsformen wie zum Beispiel auf Basis von Beigabenkomplexen und Grabplatzierungsverhalten äußerte. Die Transformationsabläufe sind sich dabei häufig nicht unähnlich und konnten vielfach mit dem Kurvenverlauf nach Rogers 1958 verglichen werden, der auch von Hofmann 2008 für Innovationsübernahmen besprochen wurde (frühe Adaptoren – frühe Mehrheit – späte Mehrheit – Nachzügler). Als zeitliche Orientierung konnten dabei oft 100 Jahre-Sequenzen (3-4 Generation) bis zum Moment einer Unumkehrbarkeit einer Veränderung (= Transformation) angesetzt werden, die sich jedoch auf der Mesebene häufig aus den Zeitfenstern der Periodeneinteilungen ergaben. Dementsprechend sind die Geschwindigkeiten der Transformationsprozesse auf der Mesebene noch nicht genau genug erfasst worden und müssten mithilfe weiterer zukünftiger absoluter Datierungen ergänzt werden, um insbesondere regionale und lokale Entwicklungen besser verstehen und in Relationen zueinander setzen zu können. In einem nächsten Schritt werden früh-datierende Brandbestattungen hinsichtlich der Herkunft der Individuen mithilfe von Strontium-Isotopen-Analysen untersucht, um den Verbreitungswegen der Brandbestattungssitte nachzugehen. Dadurch könnte sowohl die Unterscheidung von Migration und Ideentransfer, als auch die Frage nach potentiellen Einflussgebieten (z. B. Skandinavien oder Süden?) geklärt werden. Die hiermit für Schleswig-Holstein erforschten Transformationsprozesse werden im Rahmen des Projekts mit Entwicklungen in Mecklenburg-Vorpommern und Polen verglichen, um großräumige Untersuchungen anzustellen. Des Weiteren wird ein Vergleich mit anderen Zeitphasen angestrebt um allgemeine Transformationsmuster zu erwägen, die sich durch Einflüsse wie neue Materialien, Ideologien, Wirtschaftsweisen oder auch ökologische und klimatische Entwicklungen bildeten. Somit könnten neolithische Transformationsprozesse

zum Beispiel hinsichtlich Monumentalitätsentwicklungen (Brozio *et al.* 2019) mit bronzezeitlichen Grabhügelbauphasen verglichen werden, bei der auch die Verwendung von Gesellschaftsbildern (wie der des ‚Big man‘ oder der ‚Chieftoms‘) neu diskutiert werden könnten. Die prähistorische Transformationsforschung hat hiermit also erst ihren Anfang genommen.

Literaturverzeichnis

A

Adams und Adams 1991

Adams, W. Y., Adams, E. W. 1991. *Archaeological Typology and Practical Reality. A Dialectical Approach to Artefact Classification and Sorting*. Cambridge: Cambridge University Press.

Acsádi und Nemeskéri 1970

Acsádi, G. und Nemeskéri, J., 1970. *History of Human Life Span and Mortality*. Budapest: Akadémiai Kiadó.

Alsleben 2013

Alsleben, A., 2013. Die fossilen Pflanzenreste des bronzezeitlichen Siedlungsplatzes Brekendorf in Schleswig-Holstein. In: Willroth, K.-H., ed. *Siedlungen der älteren Bronzezeit. Beiträge zur Siedlungsarchäologie und Paläoökologie des zweiten vorchristlichen Jahrtausends in Südsandinavien, Norddeutschland und den Niederlanden*. Workshop vom 7. Bis 9. April 2011 in Sankelmark. Studien zur nordeuropäischen Bronzezeit; Bd. 1. Neumünster: Karl Wachholtz Verlag, 223-237.

Aner und Kersten 1978

Aner, E., und Kersten K., 1978. *Südschleswig-Ost. Die Kreise Schleswig-Flensburg und Rendsburg-Eckernförde (nördlich des Nord-Ostsee-Kanals)*. Bearbeitet von K. Kersten. Bd. 4, Neumünster: Karl Wachholtz Verlag.

Aner und Kersten 1979

Aner, E., und Kersten K., 1979. *Südschleswig-West. Nordfriesland*. Bearbeitet von K. Kersten. Bd. 5, Neumünster: Karl Wachholtz Verlag.

Aner und Kersten 1991

Aner, E., und Kersten K., 1991. *Dithmarschen*. Bearbeitet von K. Kersten unter Mitwirkung von K.-H. Willroth u. H.-H. Steen. Bd. 17, Neumünster: Karl Wachholtz Verlag.

Aner und Kersten 1993

Aner, E., und Kersten K., 1993. *Kreis Steinburg*. Bearbeitet von K. Kersten. Herausgegeben von K.-H. Willroth unter Mitwirkung von H.-H. Steen. Bd. 18, Neumünster: Karl Wachholtz Verlag.

Aner et al. 2005

Aner, E., Kersten K., Willrot, K.-H., 2005. *Kreis Rendsburg-Eckernförde (südlich des Nord-Ostsee-Kanals) und die kreisfreien Städte Kiel und Neumünster*. Bd. 19, Neumünster: Karl Wachholtz Verlag.

Aner *et al.* 2011

Aner, E., Kersten K., Willrot, K.-H., 2011. *Kreis Segeberg*. Bearbeitet von K. Kersten und K.-H. Willroth. Bd. 20, Neumünster: Karl Wachholtz Verlag.

Aner *et al.* 2017

Aner, E., Kersten K., Willrot, K.-H., 2017. *Kreise Plön und Ostholstein und die kreisfreie Hansestadt Lübeck*. Bearbeitet von K. Kersten und K.-H. Willroth. Bd. 21, Neumünster: Karl Wachholtz Verlag.

Arnold 1993

Arnold, D., 1993. *Ecology and ceramic production in an Andean community*. Cambridge: Cambridge University Press.

B

Barker und Webley 1978

Barker, G. und Webley D., 1978. Causewayed Camps and Early Neolithic Economies in Central Southern England. *Proceedings of the Prehistoric Society*, 44, 161-186.

Bartholin und Mikkelsen 2015

Bartholin, T. und Mikkelsen, P. H., 2015. *Undersøgelse af trækul fra kogestensgruber, HAM 4787 Egelund I, HAM 4791 Egelund III og HAM 5057 Rise Sondervang*. Rapport 03.05.2015. Afdeling for Konservering og Naturvidenskab Moesgaard Museum.

Baudou 1960

Baudou, E., 1960. Die regionale und chronologische Einteilung der jüngeren Bronzezeit im nordischen Kreis. *Acta Universitatis Stockholmiensis (Studies in North-European archaeology 1)*. Stockholm: Almqvist & Wiksell.

Bech 1997

Bech, J. H., 1997. Bronze Age settlements on raised sea-beds at Bjerre, Thy, NW-Jutland. *Internationale Archäologie*, 38, 3-15.

Bech und Rasmussen 2018

Bech, J. H. und Rasmussen, M., 2018. Thy and the outside world in the Bronze Age. Regional variations in a North Sea perspective. In: Bech, J.-H., Eriksen, B. V., Kristiansen, K., eds. *Bronze Age Settlement and Land-Use in Thy, Northwest Denmark*, vol. 1, Jutland Archaeological Society Publications, vol. 102, Aarhus: Aarhus University Press, 25-106.

Bech und Olsen 2018a

Bech, J.-H. und Haack Olsen, A.-L., 2018. Bronze Age houses in Thy. In: Bech, J.-H., Eriksen, B. V., Kristiansen, K., eds. *Bronze Age Settlement and Land-Use in Thy, Northwest Denmark*, vol. 1, Jutland Archaeological Society Publications, vol. 102, Aarhus: Aarhus University Press, 133-152.

Bech und Olsen 2018b

Bech, J.-H. und Haack Olsen, A.-L., 2018. Animal pens at Bronze Age settlements in Thy: Ditches and post-built fences. In: Bech, J.-H., Eriksen, B. V., Kristiansen, K., eds. *Bronze Age Settlement and Land-Use in Thy, Northwest Denmark*, vol. 1, Jutland Archaeological Society Publications, vol. 102, Aarhus: Aarhus University Press, 161-184.

Bech *et al.* 2018

Bech, J.-H., Eriksen, B. V., Kristiansen, K., eds., 2018. *Bronze Age Settlement and Land-Use in Thy, Northwest Denmark*, vol. 1-2, Jutland Archaeological Society Publications, vol. 102, Aarhus: Aarhus University Press.

Becker 1948

Becker, C. J., 1948. *Mosefundne Lerkar fra yngre Stenalder*. Studier over Tragtbzgerkulturen i Danmark. København: Nordisk.

Beek und Louwen 2012

Beek, R. van und Louwen, A., 2012. Urnfields on the move: testing burial site-settlement relations in the eastern Netherlands (c. 1100-500 BC). *Arch. Korrespondenzblatt*, Heft 42(1), 41-60.

Behrends 1968

Behrends, R.-H., 1968. *Schwissel. Ein Urnengräberfeld der vorrömischen Eisenzeit aus Holstein*. Offa-Bücher, 22, Neumünster: Karl Wachholtz Verlag.

Beltz 1911

Beltz, R., 1911. Die Latènefibeln. *Zeitschr. Ethnol.* 42, 665-943.

Bokelmann 1977

Bokelmann, K., 1977. Ein bronzezeitlicher Hausgrundriß bei Handewitt, Kreis Schleswig-Flensburg. *Offa* 34, 82-89.

Brainerd 1951

Brainerd, G. W., 1951. The Place of Chronological Ordering in Archaeological Analysis. *American Antiquity*, Vol. 16 (4), 301-313.

Zwahr 2006

Zwahr, A., 2006. *Brockhaus Enzyklopädie in 30 Bänden*, Leipzig: F. A. Brockhaus.

Brohmann und Griefshammer 2015

Brohmann B. und Griefshammer, R., 2015. *Wie Transformationen und gesellschaftliche Innovationen gelingen können Transformationsstrategien und Models of Change für nachhaltigen gesellschaftlichen Wandel*, Baden-Baden: Nomos.

Brønsted 1958

Brønsted, J., 1958. *Danmarks Oldtid II: Bronzealderen*, København: Gyldendal.

Brozio et al. 2019

Brozio J. P., Müller, J., Furholt, M., Kirleis, W., Dreibrodt, S., Feeser, I., Dörfler, W., Weinelt, M., Raese, H., Bock, A.-L., 2019. Monuments and Economies – What drove their Variability in the Middle Holocene Neolithic? *The Holocene* 29 (10) 2019. Fuchs, K., Kirleis, W., Müller, J. (Guest eds.) Special Issue: Scales of Transformation - Human-Environmental Interaction in Prehistoric and Archaic Societies, 1558-1571.

Burdo et al. 2013

Burdo, N., Videiko, M., Chapman, J., Gaydarska, B., 2013. Houses in the Archaeology of the Tripillia-Cucuteni Groups. In: Hofmann D. und Smyth, J., eds., *Tracking the Neolithic House in Europe*. One World Archaeology. New York: Springer, 95-115.

Bruzelius 1854

Bruzelius, N. G., 1854. Beskrifning om åtskillaga i Skåne och Södra Halland belägna fornlemningar, hvilka under åren 1853 och 1854 blifvit undersökta. *Aarbøger*, 339-357.

Brück und Fokkens 2013

Brück, J. und Fokkens, H., 2013. Bronze Age settlements. In: Fokkens H. und Harding, A., *The Oxford Handbook of the European Bronze Age*. Oxford: University Press, 82-101.

Bunnefeld 2016

Bunnefeld, J., 2016. Älterbronzezeitliche Vollgriffschwerter in Dänemark und Schleswig-Holstein, Teil 1: Text und Katalog. *Älterbronzezeitliche Vollgriffschwerter in Dänemark und Schleswig-Holstein Studien zu Form, Verzierung, Technik und Funktion Teil 1*. Kiel; Wachholtz Verlag.

C

Cavazzuti *et al.* 2019

Cavazzuti, C., Skeates, R., Millard, A. R., Nowell, G., Peterkin, J., Bernabò Brea, M., Cardarelli, A., Salzani, L., 2019. Flows of people in villages and large centres in Bronze Age Italy through strontium and oxygen isotopes. *PLoS ONE* 14(1), 1-43.

Christmann und Selent 2014

Christmann, E. und Selent, A., 2014. Das Haus für die Toten - Ein außergewöhnlicher Bestattungsplatz der älteren Bronzezeit bei Warsow, Lkr. Ludwigslust-Parchim. In: Jantzen, D, Saalow, L., Schmidt, J.-P., *Pipeline Archäologie. Ausgrabungen auf den großen Ferngastrassen in Mecklenburg-Vorpommern*. Schwerin: Landesamt für Kultur und Denkmalpflege Mecklenburg-Vorpommern, 141-144.

Cowen 1955

Cowen, J. D., 1955. Eine Einführung in die Geschichte der bronzenen Griffzungenschwerter in Süddeutschland und den angrenzenden Gebieten. *RGK* 36, 52-155.

Czebreszuk *et al.* 2015a

Czebreszuk, J., Müller, J., Jaeger, M., Kneisel, J., 2015. Absolute chronology of settlement. In: Czebreszuk, J., Müller, J., Jaeger, M., Kneisel, J., *Bruszczewo IV - Natural resources and economic activities of the Bronze Age people*. Bonn: Dr. Rudolf Habelt Verlag, 39-51.

Czebreszuk *et al.* 2015b

Czebreszuk, J., Müller, J., Jaeger, M., Kneisel, J., 2015. Final remarks. In: J. Czebreszuk/J. Müller/M. Jaeger/J. Kneisel, *Bruszczewo IV - Natural resources and economic activities of the Bronze Age people*. Bonn: Dr. Rudolf Habelt Verlag, 297-299.

D

Darvill 2008

Darvill, T., 2008. *The Concise Oxford Dictionary of Archaeology*. Oxford: University Press, Type, p. 227.

Delitz 2010

Delitz, H., 2010. Die zweite Haut des Nomaden. Zur sozialen Effektivität nicht-moderner Architekturen, In: Trebsche, P., Müller-Scheeßel, N., Reinhold, S., eds., *Der gebaute Raum. Bausteine einer Architektursoziologie vormoderner Gesellschaften*. Münster u. a.: Waxmann, 83-106.

Derevenski 2000

Derevenski, J., 2000. Rings of life: the role of early metalwork in mediating the gendered life course. In: Gilchrist, R., ed, *Human Lifecircles. World Archaeology* 31/3, 389-406.

Dörfler *et al.* 2012

Dörfler, W., Feeser, I., van den Bogaard, C., Dreibrodt, S., Erlenkeuser, H., Kleinmann, A., Merkt, J., Wiethold, J., 2012. A high-quality annually laminated sequence from Lake Belau, Northern Germany: Revised chronology and its implications for palynological and tephrochronological studies. *The Holocene* 22(12), 1413-1426.

Donat 2018

Donat, P., 2018. *Häuser der Bronze- und Eisenzeit im mittleren Europa*. Langenweissbach: Beier & Beran.

Dreibrodt *et al.* 2009

Dreibrodt, S., Nelle, O., Lütjens, I., Mitusov, A., Clausen, I., Bork H.-R., 2009. Investigations on buried soils and colluvial layers around Bronze Age burial

mounds at Bornhöved (Northern Germany) – An approach to test the hypothesis of “landscape openness” by the incidence of colluviation. *The Holocene* 19(3), 481-491.

Dreibrodt und Wiethold 2015

Dreibrodt, S., Withold, J., 2015. Lake Belau and its catchment (northern Germany): A key archive of environmental history in northern central Europe since the onset of agriculture. *The Holocene* 2015, Vol. 25(2), 296-322.

E

Earle 1991

Earle, T., 1991. The evolution of chiefdoms. In: Earle, T., ed., *Chiefdoms, Power, Economy, Ideology*. Cambridge. University Press, 1-15.

Earle 2002

Earle, T., 2002. *Bronze Age Economics. The Beginning of Political Economies*. Boulder, CO: Westview Press.

Earle et al. 1998

Earle, T., Bech, J.-H., Kristiansen, K., Aperlo, P., Kelertas, K., Steinberg, J., 1998. The political economy of late Neolithic and early Bronze age society: The Thy archaeological project. *Norwegian Archaeological review*, 31(1), 1-28.

Effenberger 2018

Effenberger, H., 2018. *Pflanzennutzung und Ausbreitungswege von Innovationen im Pflanzenbau der Nordischen Bronzezeit und angrenzender Regionen*. Kiel, Hamburg: Karl Wachholtz Verlag.

Ehlers 1998

Ehlers, S. K., 1998. *Bronzezeitliche Textilien aus Schleswig-Holstein: eine technische Analyse und Funktionsbestimmung*. Diss. Christian-Albrechts-Universität zu Kiel, Kiel

Endlich 1997

Endlich, C., 1997. *Studien zu Kindergräbern der Späthallstatt- und Frühlatènezeit*. Magisterarbeit Kiel.

Endrigkeit 2010

Endrigkeit, A., 2010. *Bronzezeitliche Depotfunde in Schleswig-Holstein*. Bonn: Dr. Rudolf Habelt Verlag.

Endrigkeit 2014

Endrigkeit, A., 2014. *Älter- und Mittelbronzezeitliche Bestattungen zwischen Nordischem Kreis und süddeutscher Hügelgräberkultur*. Bonn: Dr. Rudolf Habelt Verlag.

Ethelberg et al. 2000

Ethelberg, P., Jørgensen, E., Meier, D., Robinson D., 2000. *Det Sønderjyske Landbrugs Historie. Sten- og Bronzealder*. Skrifter (udg. af Historisk Samfund for Sønderjylland) 81. Haderslev: Historisk Samfund for Sønderjylland.

F

Falkenstein 1997

Falkenstein, F., 1997. Eine Katastrophen-Theorie zum Beginn der Urnenfelderkultur. In: Becker, C., ed., *Chronos. Beiträge zur prähistorischen Archäologie zwischen Nord- und Südosteuropa. Festschrift für Bernhard Hänsel*. Internationale Archäologie, Studia honoraria 1. Espelkamp: Marie Leidorf, 549-561.

Falkenstein 2017a

Falkenstein, F., 2017. Tradition und Innovation in der Bronzezeit Mitteleuropas. Aspekte der Agrar-, Verkehrs- und Metalltechnologie. In: Brandherm, D. und Nessel, B., *Phasenübergänge und Umbrüche im bronzezeitlichen Europa*. Bonn: Dr. Rudolf Habelt Verlag, 1-23.

Falkenstein 2017b

Falkenstein, F., 2017. Zum Wandel der Bestattungssitten von der Hügelgräber- zur Urnenfelderkultur in Süddeutschland. In: Brandherm, D. und Nessel, B., *Phasenübergänge und Umbrüche im bronzezeitlichen Europa*. Bonn: Dr. Rudolf Habelt Verlag, 77-96.

Feeser et al. 2023

Feeser, I., van den Bogaard, C., Dörfler, W., 2023. *Palaeoecological investigations at the archaeological site Mang de Bargaen, Bornhöved, Kreis Segeberg: new insights into local to over-regional land-use changes during the Bronze Age* (Externer Bericht im Anhang dieser Arbeit VII.3).

Feeser et al. 2019

Feeser, I., Dörfler, W., Kneisel, J., Hinz, M., Dreibröd, S., 2019. Human impact and population dynamics in the Neolithic and Bronze Age: Multi-proxy evidence from north-western Central Europe. *The Holocene* 29 (10). Fuchs, K., Kirleis, W., Müller, J. (Guest eds.) Special Issue: Scales of Transformation - Human-Environmental Interaction in Prehistoric and Archaic Societies, 1596-1606.

Feldt 2005

Feldt, B., 2005. *Synliga och osynliga Gränser. Förändringar i gravritualen under yngre bronsålder - förromersk järnålder i Södermanland*. Stockholm: Stockholms universitet.

Ferembach et al. 1979

Ferembach, D., Schwidetzky, I., Stloukal, M., 1979. Empfehlungen für die Alters- und Geschlechtsdiagnose am Skelett. *Homo* 30/2, 1-32.

Feyerabend 2009

Feyerabend, P., 2009. *Naturphilosophie*. Frankfurt a. M.: Suhrkamp.

Filipović 2023

Filipović, D., 2023. *Archaeobotanical remains from selected Mang de Bargaen sites, northern Germany* (Externer Bericht im Anhang dieser Arbeit VII.2).

Fischer 2000

Fischer, L., 2000. *Das Gräberfeld der vorrömischen Eisenzeit von Groß Timmendorf, Kr. Ostholstein. Untersuchungen zu Chronologie, räumlicher Struktur und gesellschaftlichem Wandel*. Dissertation in Kiel.

Fokkens 1997

Fokkens, H., 1997. The genesis of urnfields: economic crisis or ideological change? *Antiquity*, 360-373.

Fokkens 2009

Fokkens, H., 2009. Die Wirtschaft der Nordischen Bronzezeit: Mehr als Getreide Säen und Vieh züchten. In: Bartelheim M., ed., *Die wirtschaftlichen Grundlagen der Bronzezeit Europas*. Rahden/Westf.: Marie Leidorf, 85-104.

Frieman 2012

Frieman, C., 2012. Flint Daggers, Copper Daggers, and Technological Innovation in Late Neolithic Scandinavia. *European Journal of Archaeology*, 440-464.

Fries und Näth 2008

Fries, J. E. und Näth, F.-M., 2008. Gräber aller Art und auch noch Häuser. *Berichte zur Denkmalpflege in Niedersachsen* 28 (4), 167-168.

Friies 1958

Friies, H., 1958. Der er plovspor under gravhøjen. *Skalk* 2, 1617.

Fuchs et al. 2019

Fuchs, K., Rinne, C., Drummer, C., Immel, A., Krause-Kyora, B., Nebel A., 2019. Infectious diseases and Neolithic transformations: Evaluating biological and archaeological proxies in the German loess zone between 5500 and 2500 BCE. *The Holocene* 29 (10). Fuchs, K., Kirleis, W., Müller, J. (Guest eds.) Special Issue: Scales of Transformation - Human-Environmental Interaction in Prehistoric and Archaic Societies, 1545-1557.

G

Gedl 1983

Gedl, M., 1983. Die Nadeln in Polen 1 (Frühe und ältere Bronzezeit). *Prähist. Bronzefunde* Abt. XIII, Bd. 7. München: C. H. Beck, 74-84.

Godley 1920

Herodotus, *Historiae*, 3, 38, ins Englisch übersetzt von Godley, A. D. 1920. Cambridge: Harvard University Press.

Goldhammer 2015

Goldhammer, J., 2015. *Studien zu Steinartefakten der Bronzezeit. Siedlungsinventare aus Nord- und Südschleswig im Vergleich*. Studien zur nordeuropäischen Bronzezeit 2, Kiel: Karl Wachholtz Verlag.

Gramsch 2013

Gramsch, A., 2013. Treating Bodies – Transformative and Communicative Practices. In: Stutz, L. N. und Tarlow S., *The Oxford Handbook of the Archaeology of Death and Burial*. Oxford: University Press, 459-474.

Greßhake 2013

Greßhake, F., 2013. Deutschland als Problem Dänemarks. Das materielle Kulturerbe der Grenzregion Sønderjylland – Schleswig seit 1864. Göttingen: V & R unipress.

Gustafson 2005a

Gustafson, L., 2005. Om kokegroper I Norge. Forkningshistorie og eksempler. In: Gustafson, L., Heibreen T., Martens J., eds., *De gåtefulle kokegroper*. Varia 58. Oslo: Kulturhistorisk museum, Fornminneseksjonen, 7-8.

Gustafson 2005b

Gustafson, L., 2005. Kokegroper på en kultplass - Veien på Ringerike. In: Gustafson, L., Heibreen T., Martens J., eds., *De gåtefulle kokegroper*. Varia 58. Oslo: Kulturhistorisk museum, Fornminneseksjonen, 109-115.

Gustafson 2005c

Gustafson, L., 2005. Kokegroper på en jernaldergård - Moer i Ås, Akershus. In: Gustafson, L., Heibreen T., Martens J., eds., *De gåtefulle kokegroper*. Varia 58. Oslo: Kulturhistorisk museum, Fornminneseksjonen, 116-124.

Gustafson 2005d

Gustafson, L., 2005. Kokegroppfeltet ved Andelva. Spor etter dampbad? In: Gustafson, L., Heibreen T., Martens J., eds., *De gåtefulle kokegroper*. Varia 58. Oslo: Kulturhistorisk museum, Fornminneseksjonen, 125-129.

Gustafson 2005e

Gustafson, L., 2005. På jakt etter den "gellige lund". Et kokegroppfelt i Flå, Hallingdal. In: Gustafson, L., Heibreen T., Martens J., eds., *De gåtefulle kokegroper*. Varia 58. Oslo: Kulturhistorisk museum, Fornminneseksjonen, 130-134.

H

Haas und Wahlmüller 2010

Haas, J. N. und Wahlmüller, N., 2010. Floren-, Vegetations- und Milieuveränderungen im Zuge der bronzezeitlichen Besiedlung von Bruszczewo (Polen) und der landwirtschaftlichen Nutzung der umliegenden Gebiete. In: Müller, J., Czebreszuk, J., Kneisel, J., *Bruszczewo II. Ausgrabungen und Forschungen in einer prähistorischen Siedlungskammer Großpolens – Badania mikroregionu osadniczego z terenu Wielkopolski*. Studien zur Archäologie in Ostmitteleuropa, Bd. 6.1, Bonn: Dr. Rudolf Habelt Verlag.

Hansen *et al.* 2017

Hansen, H. B., Bamgaard, P. B., Margaryan, A., Stenderup, J., Lynnerup, N., Willerslev, E., Allentoft, M. E., 2017. Comparing Ancient DNA Preservation in Petrous Bone and Tooth Cementum. *PLoS ONE* 12 (1), 1-18.

Heidelk-Schacht 1989

Heidelk-Schacht, S., 1989. Jungbronzezeitliche und früheisenzeitliche Kultfeuerplätze im Norden der DDR. In: Schlette, F., ed., Religion und Kult in ur- und frühgeschichtlicher Zeit. 13. Tagung der Fachgruppe ur- und Frühgeschichte. Berlin: Akademie-Verlag, 225-240.

Hendriksen 2005

Henriksen, M. B., 2005. Danske koge-gruber og koge-grubefelter fra yngre bronzealder og Ældre jernalder. In: Gustafson, L., Heibreen, T., Martens, J., eds., *De gåtefulle kokegrøper*. Varia 58. Oslo: Kulturhistorisk museum, Fornminneseksjonen, 77-102.

Henriksen 1999

Henriksen, M. B., 1999. Bål i lange baner – om brugen af koge-gruber i yngre bronzealder og ældre jernalder. *Fynske Minder*, 93-128.

Heske *et al.* 2013

Heske, I., Lüth, P. und Posselt, M. (2013) Deponierungen, Gargruben und ein verfallener Wasserlauf.: Zur Infrastruktur der Hünenburg-Außensiedlung bei Watenstedt, Lkr. Helmstedt. Vorbericht über die Grabung 2011. *Praehistorische Zeitschrift*, Vol. 87 (Issue 2), pp. 308-337. DOI:10.1515/pz-2012-0018

Hindrich 2009

Hindrich, A., 2009. *Molekulargenetische Analysen aus historischem Leichenbrand und stark degradiertem humanen Material*. Dissertation in Kiel.

Hingst 1959

Hingst, H. 1959. *Vorgeschichte des Kreises Stormarn*. Veröffentlichungen des Landesamtes für Vor- und Frühgeschichte in Schleswig. Die vor- und frühgeschichtlichen Denkmäler und Funde in Schleswig-Holstein Bd. 5. Neumünster: Karl Wachholtz Verlag.

Hingst 1974

Hingst, H., 1974. *Jevenstedt. Ein Urnenfriedhof der älteren vorrömischen Eisenzeit im Kreise Rendsburg-Eckernförde, Holstein*. Offa-Bücher, Bd. 27 (Urnenfriedhöfe Schleswig-Holsteins, Bd. 4). Neumünster: Karl Wachholtz Verlag.

Hingst 1980

Hingst, H., 1980. *Neumünster-Oberjörn. Ein Urnenfriedhof der vorrömischen Eisenzeit am Oberjörn und die vor- und frühgeschichtliche Besiedlung auf dem Neumünsteraner Sander*. Offa-Bücher, 43 Neumünster: Karl Wachholtz Verlag.

Hingst 1983

Hingst, H., 1983. *Die vorrömische Eisenzeit Westholsteins*. Offa-Bücher, N.F., Bd. 49 (Urnenfriedhöfe Schleswig-Holsteins, Bd. 8). Neumünster: Karl Wachholtz Verlag.

Hingst 1986

Hingst, H., 1986. *Urnenfriedhöfe der vorrömischen Eisenzeit aus dem östlichen Holstein und Schwansen*. Offa-Bücher, 58 (Urnenfriedhöfe Schleswig-Holsteins, 9). Neumünster: Karl Wachholtz Verlag.

Hingst 1989

Hingst, H., 1989. *Urnenfriedhöfe der vorrömischen Eisenzeit aus Südholstein*. Offa Bd. 67. Neumünster: Karl Wachholtz Verlag.

Hofmann 2008

Hofmann, K., 2008. *Der rituelle Umgang mit dem Tod. Untersuchungen zu bronze- und früheisenzeitlichen Brandbestattungen im Elbe-Weser-Dreieck*. Schriftenreihe des Landschaftsverbandes der ehemaligen Herzogtümer Bremen und Verden, 32 (Archäologische Berichte des Landkreises Rotenburg (Wümme) 14). Oldenburg: Isensee.

Hofmann und Sloan 2008

Hofmann, A. und Sloan, M., 2008. Ein Gräberfeld der Lausitzer Kultur am Bahnhof von Doberlug-Kirchhain, Landkreis Elbe-Elster. Erste Ergebnisse der Untersuchung 2006/2007. In: Schopper, F., *Einsichten: archäologische Beiträge für den Süden des Landes Brandenburg 2006/2007*. Arbeitsberichte zur Bodendenkmalpflege in Brandenburg. Wünsdorf: Brandenburgisches Landesamt für Denkmalpflege und Archäologisches Landesmuseum.

Holst 2013

Holst, M.K., 2013. South Scandinavian Early Bronze Age barrows - a survey. In: Holst, M.K. und Rasmussen, M., eds., *Skelhøj and the Bronze Age Barrows of Southern Scandinavia*, Vol. 1. Jutland Archaeological Society publications, vol. 78. Aarhus: Jysk Arkaeologisk Selskab, 27-128.

Holst 2015

Holst, M.K., 2015. The activity sequence reconstructed. In: Holst, M.K. und Rasmussen, M., eds., *Skelhøj and the Bronze Age Barrows of Southern Scandinavia*, Vol. 2. Jutland Archaeological Society publications, 89. Aarhus: Aarhus University Press, 117-124.

Holst et al. 2013

Holst, M.K., Rasmussen, M., Bech, J.-H., 2013. Bronze Age 'Herostrats': Ritual, Political, and Domestic Economies in Early Bronze Age Denmark. *Proceedings of the Prehistoric Society*, 1-32.

Holst und Rasmussen 2012

Holst, M.K. und Rasmussen, M., 2012. Combines Efforts: The cooperation and coordination of barrow-building in the Bronze Age. In: Johannsen, N., Jessen, M.D., Jensen, H.J., eds., *Excavating the Mind*. Aarhus: Aarhus University Press, 255-279.

Holst und Rasmussen 2013

Holst, M.K. und Rasmussen, M., 2013. Herder Communities: Longhouses, Cattle and Landscape Organization in the Nordic Early and Middle Bronze Age. In: Bergerbrant, S. und Sabatini, S., eds., *Counterpoint: Essays in Archaeology and Heritage Studies in Honour of Professor Kristian Kristiansen*. BAR international series, 2508. Oxford: Archaeopress, 99-110.

Holst und Rasmussen 2015

Holst, M.K. und Rasmussen, M., 2015. Building together. In: Holst, M.K. und Rasmussen, M., eds., *Skelhøj and the Bronze Age barrows of Southern Scandinavia*. Vol. 2. *Barrow building and barrow assemblies*. Jutland Archaeological Society publications, 89. Aarhus: Aarhus University Press, 307-322.

Holst und Jensen 2015

Holst, M.K. und Jensen, P., 2015. The idea of the barrow. In: Holst, M.K. und Rasmussen, M., eds., *Skelhøj and the Bronze Age barrows of Southern Scandinavia*. Vol. 2. *Barrow building and barrow assemblies*. Jutland Archaeological Society publications, 89. Aarhus: Aarhus University Press, 11-50.

Holsten und Martens 1991

Holsten, H. und Martens, K., 1991. Die Axt im Walde. Versuche zur Holzbearbeitung mit Flint-, Bronze- und Stahlwerkzeugen. In: Fansa, M., ed., *Experimentelle Archäologie: Bilanz 1991*. Arch. Mitt. Nordwestdeutschland Beih. 6. Oldenburg: Isensee, 231-243.

Honeck 2009

Honeck, M., 2009. *Nichts als heiße Steine? Zur Deutung der Brenngruben der späten Bronzezeit und frühen Eisenzeit in Deutschland*. Universitätsforschungen zur prähistorischen Archäologie, Bd. 166. Bonn: Dr. Rudolf Habelt Verlag.

Horkheimer 1937

Horkheimer, M., 1937. Traditionelle und kritische Theorie. *Zeitschrift für Sozialforschung*, v6 n2, 245-294.

Horn und Wollentz 2018

Horn, C. und Wollentz, G., 2018. Who is in Charge Here? - Material Culture, Landscapes and Symmetry. In: Haug, A., Käppel, L., Müller, J., eds., *Past Landscapes. The Dynamics of Interpretation between Society, Landscape, and Culture*. Leiden: Sidestone Press, 107-130.

Hornstrup et al. 2012

Hornstrup, K. M., Olsen, J., Heinemeier, J., Thrane, H., Bennike, P., 2012. A new absolute Danish Bronze Age Chronology as based on Radiocarbon Dating of Cremated Bone Samples from Burials. *Acta Arch.* 83, 9-53.

Hüser 2011

Hüser, A., 2011. Kultische Feuer? Gar- oder Herdgruben im Grossraum Hamburg. *HAMMABURG N.F.* 16, 95-121.

J

Jantzen et al. 2014

Jantzen D., Orschiedt J., Piek J., Terberger T., 2014. *Tod im Tollensetal: Forschungen zu den Hinterlassenschaften eines bronzezeitlichen Gewaltkonfliktes in Mecklenburg-Vorpommern. 1.* Beiträge zur Ur- und Frühgeschichte Mecklenburg-Vorpommerns, Band 50 (Beiträge zur Ur- und Frühgeschichte Mecklenburg-Vorpommerns, Band 50). Schwerin: Landesamt für Kultur und Denkmalpflege Mecklenburg-Vorpommern.

Jensen 2005

Jensen, C. K., 2005. *Kontekstuel kronologien revision af det kronologiske grundlag for førromersk jernalder i Sydsandinavien*. Højbjerg: Kulturlaget.

Jensen 1982

Jensen, J., 1982. *The prehistory of Denmark*. London: Routledge.

Jensen 1997

Jensen, J., 1997. *Fra bronze- til jernalder – en kronologisk undersøgelse*. Nordiske fortidsminder 15. København: Det Kongelige Nordiske Oldskriftselskab.

Jensen 2000

Jensen, J., 2000. *Rav - Nordens guld*. København: Gyldendal.

Jensen 2013

Jensen, J., 2013. *The prehistory of Denmark. From the Stone Age to the Viking*. København: Gyldendal.

K

Kaul 1992

Kaul, F., 1992. Ritualer med menneskeknogler i yngre stenalder. *KUML* 1991-92, 7-49.

Kaul 2004

Kaul, F., 2004. Der Sonnenwagen von Trundholm. In: Meller, H., ed., *Der geschmiedete Himmel. Die weite Welt im Herzen Europas vor 3600 Jahren*. Stuttgart: Theiss, 54-57.

Kemp und Loorbach 2006

Kemp, R. und Loorbach, D., 2006. Transition management: a reflexive governance approach. In: Voss, J., Bauknecht, D., Kemp, R., eds., *Reflexive Governance for Sustainable Development*. Cheltenham: E. Elgar.

Keiling 1969

Keiling, H., 1969. *Die vorrömische Eisenzeit im Elde-Karthane-Gebiet. Kreis Perleberg und Kreis Ludwigslust*. Beiträge zur Ur- und Frühgeschichte der

Bezirke Rostock, Schwerin und Neubrandenburg 3. Schwerin: Museum für Ur- und Frühgeschichte.

Keiling 1979

Keiling, H., 1979. *Glövizin. Ein Urnenfriedhof der vorrömischen Eisenzeit im Kreis Perleberg*. Beiträge zur Ur- und Frühgeschichte der Bezirke Rostock, Schwerin und Neubrandenburg 12. Berlin: Deutscher Verlag der Wissenschaften.

Keiling 2016

Keiling, H. 2016. *Der Urnenfriedhof der vorrömischen Eisenzeit von Sudenhof, Stadt Hagenow, Lkr. Ludwigslust-Parchim*. Beiträge für Wissenschaft und Kultur, Bd. 12. Wentorf bei Hamburg: Selbstverlag FLA.

Kendall 1971

Kendall, D. G., 1971. Seriation from abundance matrices. In: Hodson, F. R., Kendall, D. G., Tautu, P., 1971. *Mathematics in the Archaeological and Historical Sciences. Proceedings of the Anglo-Romanian Conference. Mamaia 1970*. Edinburgh: Edinburgh University Press, 215-252.

Kersten 1936

Kersten, K., 1936. Zur älteren nordischen Bronzezeit. Veröffentlichungen der Schleswig-Holsteinischen Universitäts-Gesellschaft 2,3 (Forschungen zur Vor- und Frühgeschichte in Baden-Württemberg 3). Neumünster: Karl Wachholtz Verlag.

Kersten und La Baume 1958

Kersten, K. und La Baume, P., 1958. Die Vorgeschichte der nordfriesischen Inseln. Die Vor- und Frühgeschichtlichen Denkmäler und Funde in Schleswig-Holstein 4. Neumünster: Karl Wachholtz Verlag.

Knaut und Schwab 2010

Knaut, M. und Schwab, R., 2010. Archäologie im 21. Jahrhundert. Innovative Methoden - bahnbrechende Ergebnisse. Stuttgart: Teiss.

Kneisel 2012a

Kneisel, J., 2012. The Problem of the Middle Bronze Age Inception in Northeast Europe - or: Did the Únětice Society Collapse? In: Kneisel, J., Kirleis, W., Dal Corso M., Taylor N., Tiedtke, V., 2013. *Collapse or Continuity? Environment and Development of Bronze Age Human Landscape*. Bonn: Dr. Rudolf Habelt Verlag.

Kneisel 2012b

Kneisel, J., 2012. *Anthropomorphe Gefäße in Nord- und Mitteleuropa während der Bronze- und Eisenzeit. Studien zu den Gesichturnen - Kontaktzonen, Chronologie und sozialer Kontext*. Studien zur Archäologie in Ostmitteleuropa 7.1-2. Bonn: Dr. Rudolf Habelt Verlag.

Kneisel 2013a

Kneisel, J., 2013. Der Übergang von der Frühbronzezeit zur Mittelbronzezeit im nordöstlichen Mitteleuropa - Lücke oder Forschungsdesiderat? In: Kneisel J., Behnke, H. J., Schopper, F., eds., *Frühbronzezeit-Mittelbronzezeit. Neue Erkenntnisse zur Besiedlung zwischen Elbe und Warthe und angrenzender Regionen (2000-1400 v. Chr.)*. Bonn: Dr. Rudolf Habelt Verlag, 95-120.

Kneisel 2013b

Kneisel, J., 2013. New chronological research of the late Bronze Age in Scandinavia. *Danish Journal of Archaeology*, Vol. 2 (2), 95-111.

Kneisel 2021

Kneisel, J., Chronology and Transformation. The Transition from Bronze Age to Iron Age in Northern Europe. In: E. Kaiser/W. Schier (Hrsg.), *Time and Materiality: Periodization and Regional Chronologies at the Transition from Bronze Age to Iron Age in Eurasia (1200-600BCE)*. Prähistorische Archäologie in Südosteuropa (Rahden/Westf. 2021), 237-263.

Kneisel *et al.* 2012

Kneisel J., Kirleis, W., Dal Corso, M., Taylor, N., *Collapse or Continuity? Concluding Remarks on the Environment and Development of Bronze Age Human Landscapes*. Bonn: Dr. Rudolf Habelt Verlag, 267-279.

Kneisel *et al.* 2019

Kneisel, J., Dörfler, W., Dreibrodt, S., Schaefer-Di Maida, S., Feeser, I., Cultural change and population dynamics during the Bronze Age: Integrating archaeological and palaeoenvironmental evidence for Schleswig-Holstein, Northern Germany. *The Holocene* 29 (10) 2019. In: Fuchs, K., Kirleis, W., Müller, J., Guest eds., Special Issue: Scales of Transformation - Human-Environmental Interaction in Prehistoric and Archaic Societies, 1607-1621.

Kneisel *et al.* 2020a

Kneisel, J., Schaefer-Di Maida, S., Dreibrodt, S., Feeser, I., Filipovic, D., Haucke, S., Hubensack, V., Panning, D., Wilhelm, S., 2020. *Leben und Ansichten von LA 117 und LA 57, Grabhügel*. Vorbericht über die Ausgrabungen bronzzeitlicher Grabhügel bei Bornhöved, Kr. Segeberg 2020.

Kneisel *et al.* 2020b

Kneisel, J., Schaefer-Di Maida, S., Dreibrodt, S., Feeser, I., Filipovic, D., 2020. Mang de Bargen - Bornhöved: Bronzezeitliche Gräberlandschaft und eine ungewöhnliche Hügelkonstruktion. *ANSH* 2020, 92-93.

Knöll 1981

Knöll, H. 1981. Kragenflaschen. Ihre Verbreitung und ihre Zeitstellung im europäischen Neolithikum. Offa-Bücher, Bd. 41. Neumünster: Karl Wachholtz Verlag.

Kollmorgen *et al.* 2015

Kollmorgen, R., Merkel, W., Wagener, H.-J., 2015. Transformation und Transformationsforschung. Zur Einführung. In: Kollmorgen, R., Merkel, W., Wagener, H.-J., *Handbuch Transformationsforschung*. Wiesbaden: Springer Verlag.

Kossack 1954

Kossack, G., 1954. *Studien zum Symbolgehalt der Urnenfelder- und Hallstattzeit Mitteleuropas*. Berlin: W. de Gruyter.

Krause 2006

Krause, B., 2006. *Befund Kind. Überlegungen zu archäologischen und anthropologischen Untersuchungen von Kinderbestattungen*. Archäologische Berichte, Bd. 19. Bonn: Dr. Rudolf Habelt Verlag.

Kristensen 2018

Kristensen, I. K., 2018. Pottery from the Early and Late Bronze Age, Bjerre 1-13. In: Bech, J.-H., Eriksen, B. V., Kristiansen, K., eds. *Bronze Age Settlement and Land-Use in Thy, Northwest Denmark*, vol. 1, Jutland Archaeological Society Publications, vol. 102, Aarhus: Aarhus University Press, 161-244.

Kristensen 2008

Kristensen, I. K., 2008. Kogegruber - i klynger eller på rad og række, *Kuml* 57, 9-57.

Kristiansen 1985

Kristiansen, K., 1985. Bronze Hoards from the Late Neolithic and Early Bronze Age. In: Kristiansen, K., ed., *Archaeological formation processes: the representativity of archaeological remains from Danish prehistory*. Studies in Scandinavian prehistory and early history 2. Copenhagen: Nationalmuseum 129-141.

Kristiansen 1987

Kristiansen, K., 1987. From stone to bronze: the evolution of social complexity in Northern Europe, 2300-1200 BC. In: Brumfield, E. M. und Earle, T., eds., *Specialization, exchange and complex societies*. Cambridge: Cambridge University Press, 30-51.

Kristiansen 1991

Kristiansen, K., 1991. Chiefdoms, states and systems of social evolution. In: Earle, T., ed., *Chiefdoms, Power, Economy, Ideology*. Cambridge: Cambridge University Press, 16-43.

Kristiansen 1998

Kristiansen, K., 1998. The construction of a Bronze Age landscape: cosmology, economy and social organisation in Thy, northwestern Jutland. In: Hänsel, B., ed., *Mensch und Umwelt in der Bronzezeit Europas*. Kiel: Oetker-Voges, 281-93.

Kristiansen 1999

Kristiansen, K., 1999. The Construction of a Bronze Age Landscape. Cosmology, Economy and Social Organisation in Thy, Northwestern Jutland. In: Bech, J.-H. und Mikkelsen, M., *Landscapes, settlement and subsistence in Bronze Age Thy, NW Denmark*. Aarhus: Aarhus University Press, 281-292.

Kristiansen 2006

Kristiansen, K., 2006. Cosmology, economy and long-term change in the Bronze Age of Northern Europe. In: Sjögren, K.-G., ed., *Ecology and economy in Stone Age and Bronze Age Scania*. Lund: National Heritage Board, 171-193.

Kristiansen 2018

Kristiansen, K., 2018. The rise and fall of the Bronze Age societies in Thy, northwest Jutland. In: Bech, J.-H., Eriksen, B. V., Kristiansen, K., eds. *Bronze Age Settlement and Land-Use in Thy, Northwest Denmark*, vol. 1, Jutland Archaeological Society Publications, vol. 102, Aarhus: Aarhus University Press, 107-132.

Kruse und Matthes 2017

Kruse, P. und Matthes, L., 2017. Samlende pladser Social organisation og kommunikation i bronzealderen. *Arkæologisk Forum* 36 (2), 25-31.

Kruse und Matthes 2019

Kruse, P. und Matthes, L., 2019. Vieh, Laub und Versammlungsplatz – soziale Organisation in der Bronzezeit, Beispiel Brunde/Egelund, *Acta Archaeologica* 90(2), 203-251.

Kühn 1979

Kühn, H. J., 1979. *Das Spätneolithikum in Schleswig-Holstein*. Offa-Bücher Band 40. Neumünster: Karl Wachholtz Verlag.

Kühn 2017

Kühn, W., 2017. *Einführung in die Metaphysik: Platon und Aristoteles*. Hamburg: Felix Meiner Verlag.

Kullmann 2007

Aristoteles, *Zoologische Schriften II: Über die Teile der Lebewesen*. Übersetzt und erläutert von Wolfgang Kullmann. Berlin: Akademie Verlag.

Kümmel 2009

Kümmel, C., 2009. *Ur- und Frühgeschichtlicher Grabraub. Archäologische Interpretation und kulturanthropologische Erklärung*. Tübinger Schriften zur ur- und frühgeschichtlichen Archäologie, Bd. 9. Münster u. a.: Waxmann Verlag.

L

Laux 1976

Laux, F., 1976. Die Nadeln in Niedersachsen. *Prähistorische Bronzefunde* Abt. XIII, Bd. 4. Stuttgart: Franz Steiner Verlag.

Laux 2011

Laux, F., 2011. Die Dolche in Niedersachsen. *Prähistorische Bronzefunde* Abt. VI, Bd. 14, 2011. Stuttgart: Franz Steiner Verlag.

Lenssen 2009

Lenssen, A., 2009. „Kultfeuer“ an der Bundesautobahn A 20. *Arch. Nachrichten in Schleswig-Holstein* 2009, 74-76.

Linné 1735

von Linné, C., 1735. *Systema Naturæ*. Leiden: Johan Wilhelm de Groot.

LLUR 2012

LLUR, 2012. *Geologische Übersichtskarte von Schleswig-Holstein 1:250.000*. Flintbek.

Lolk 2009

Lolk, J., 2009. Bronzealterens keramik - En kilde til forståelse af kommunikation og social interaktion i bronzealderen. *Kuml* 2009, 57-101.

Lomborg 1959

Lomborg, E., 1959. Fladehuggede flintredskaber i gravfund fra ældre bronzealder. *Aarbøger for Nordisk Oldkyndighed og Historie* 1959, 146-180.

Løvschal und Fontijn 2018

Løvschal, M. und Fontijn, D., 2018. Directionality and axiality in the Bronze Age: crossregional landscape perspectives on ‘fire pit lines’ and other pitted connections. *World Archaeology* 2018, 1-17.

Lütjens 1999

Lütjens, I., 1999. Ländliche Siedlungen. Langgestreckte Steingruben auf einem jungbronzezeitlichen Siedlungsplatz bei Jürgenshagen, Kreis Güstrow. *Offa* 56, 21-44.

Lütjens 2014a

Lütjens, I., 2014. *Berichte zu den archäologischen Hauptuntersuchungen in Mang de Barga, Bornhöved (Kr. Segeberg)*. Unpublizierte Berichte. Schleswig: Archäologisches Landesamt Schleswig-Holstein.

Lütjens 2014b

Lütjens, I., 2014. Altes und Neues aus Bornhöved. Ein Bestattungsplatz für über 1000 Jahre. *Arch. Nachr.* 2014, 30-35.

Lüth 2012

Lüth, P., 2012. *Diachrone Studien zur prähistorischen Siedlungslandschaft im Bereich der Holsteinischen Seenplatte*. Neumünster: Karl Wachholtz Verlag.

M

May 2018

May, J., 2018. Neue Forschungen am Königsgrab von Seddin. In: Hansen, S. und Schopper, F., *Der Grabhügel von Seddin im norddeutschen und südkandinavischen Kontext. Internationale Konferenz 16. bis 20. Juni 2014, Brandenburg an der Havel*. Arbeitsberichte zur Bodendenkmalpflege in Brandenburg, 33. Zossen: Brandenburgisches Landesamt, 9-36.

Mecke 2008

Mecke, B., 2008. Besondere Wertschätzung bei Kindergräbern? In: Bérenger D. und Grünewald, C., *Westfalen in der Bronzezeit*. Münster: LWL.

Meier 2013

Meier, D., Bronzezeitliche Feuergruben in ungewöhnlicher Anordnung. In: Heske, I., Nüsse, H.-J., Schneeweiß, J., eds., *Landschaft, Besiedlung und Siedlung. Archäologische Studien im nordeuropäischen Kontext. Festschrift für Karl-Heinz Willroth zu seinem 65. Geburtstag*. Göttinger Schriften zur Vor- und Frühgeschichte 33. Neumünster: Karl Wachholtz Verlag, 319-330.

Menke 1972

Menke, M., 1972. *Die jüngere Bronzezeit in Holstein. Topographisch-chronologische Studien*. Offa-Bücher 25 (Urnenfriedhöfe Schleswig-Holstein 3). Neumünster: Karl Wachholtz Verlag.

Mestorf 1885

Mestorf, J., 1885. Vorgeschichtliche Alterthümer aus Schleswig-Holstein. Zum Gedächtniss des fünfzigjährigen Bestehens des Museums vaterländischer Alterthümer in Kiel hrsg. v J. Mestorf. Hamburg: Meissner Verlag.

Metzner-Nebelsick 2019

Metzner-Nebelsick, C., Bestattung als Privileg und soziale Distinktion - Bemerkungen zum Bestattungswesen der Aunjetitzer Kultur in Mitteldeutschland. In: Meller, Bertemes, F., eds., *Der Aufbruch zu neuen Horizonten. Neue Sichtweisen zur europäischen Frühbronzezeit. Abschlusstagung der Forschergruppe FOR 550 vom 26. bis 29. November 2010 in Halle (Saale)*. Tagungen des Landesmuseums für Vorgeschichte Halle 19. Halle a. d. Saale 2019, 215-224.

Mildner et al. 2013

Mildner, S., Schüssler U., Falkenstein, F., Brätz, H., Bronzezeitliches Glas zwischen Alpenkamm und Ostsee - Erste Ergebnisse einer Archäometrischen Bestandsaufnahme. In: Hauptmann, A., Mecking, O., Prange, M., eds., *Metalla*. Sonderheft 6, Archäometrie und Denkmalpflege - Kurzberichte.

Mischka 2004

Mischka, D., 2004. Aoristische Analyse in der Archäologie. *Archäologische Informationen* 27/2, 233-24.

Möllmann 2014

Möllmann, S., 2014. Einmalig in Mecklenburg-Vorpommern - Die älterbronzezeitlichen Wandgräbchenhäuser von Zahrendorf, Lkr. Ludwigslust-Parchim. In: Jantzen, D., Saalow, L., Schmidt, J.-P., *Pipeline Archäologie. Ausgrabungen auf den großen Ferngastrassen in Mecklenburg-Vorpommern*. Schwerin: Landesamt für Kultur und Denkmalpflege Mecklenburg-Vorpommern, 109-112.

Montelius 1885

Montelius, O., 1885. *Om tidsbestämning inom bronsåldern med särskilt avseende på Skandinavien*. Stockholm: Akademiens Förlag.

Montelius 1903

Montelius, O., 1903. *Die Typologische Methode*. Stockholm: Selbstverlag des Verfassers.

Muhlemann et al. 2018

Muhlemann B., Jones, T. C., Damgaard, P., 2018. Ancient hepatitis B viruses from the Bronze Age to the Medieval period. *Nature* 557, 418-423.

Müller 1909

Müller, S., 1909. *Bronzeålderens begyndelse og ældre udvikling i Danmark, efter de nyeste fund. Aarbøger for Nordisk Oldkyndighed og Historie*. Kjøbenhavn: Gyldendal.

Müller 1994

Müller, R., 1994. Vorrömische Eisenzeit in Norddeutschland und Skandinavien. *RGA*, Bd. 8.

Müller 2010

Müller, R. 2010. Urnenfelderkultur. In: Brather, S., Heizmann, W. and Patzold, S. ed. *Germanische Altertumskunde Online* [online]. Berlin, New York: De Gruyter, 549-558. Available from: https://www.degruyter.com/database/GAO/entry/RGA_6016/html.

Müller 2013a

Müller, J., 2013. Demographic traces of technological innovation, social change and mobility: from 1 to 8 million Europeans (6000-2000 BCE). In: Kadrow, S. und Włodarczak, P., eds., *Environment and subsistence – forty years after Janusz Kruk's "Settlement studies"*. Studien zur Archäologie in Ostmitteleuropa 11. Bonn/Rzeszów: Dr. Rudolf Habelt Verlag, 493-506.

Müller 2013b

Müller, J., 2013. 1600 B.C. - Social topographies and the development of Early Bronze Age societies in Central Europe. In: Meller H., Bork H.-R., Legler K., *1600*

– *Kultureller Umbruch im Schatten des Thera-Ausbruchs? 4. Mitteldeutscher Archäologentag vom 14. bis 16. Oktober 2011 in Halle (Saale) = 1600 – Cultural change in the shadow of the Thera-eruption?* Halle/Saale: Landesamt f. Denkmalpflege u. Archäologie Sachsen-Anhalt, 527-537.

Müller 2015

Müller, J., 2015. Von Johanna Mestorf zur Akademie - Die Rolle von Gesellschaft, Archäologie und Landschaft an der CAU. In: Auge, O., *Christian-Albrechts-Universität zu Kiel. 350 Jahre Wirken in Stadt, Land und Welt*. Kiel/Hamburg: Karl Wachholtz Verlag, 748-774.

Müller und Kneisel 2011

Müller, J. und Kneisel, J., 2011. Bruszczewo - ein bronzezeitlicher Seeuferplatz Ergebnisse der Ausgrabungen im Feuchtboden. *Skyllis* 10, Heft 2, 104-111.

Müller und Lohrke 2009

Müller, J. und Lohrke, B., 2009. Neue absolutchronologische Daten für die süddeutsche Hügelgräberbronzezeit. *Germania* 87, 25-39.

Müller und Zimmermann 1997

Müller, J. und Zimmermann, A., eds., 1997. *Archäologie und Korrespondenzanalyse. Beispiele, Fragen, Perspektiven*. Internationale Archäologie 23. Espelkamp: Marie Leidorf.

N

Nakoinz 2012

Nakoinz, O., 2012. Datierungskodierung und chronologische Inferenz – Techniken zum Umgang mit unscharfen chronologischen Informationen. *Prähist. Zeitschr.* 87, 189-207.

Narmo 2005

Narmo, L. E., 2005. Kokegroper og tidlig metalltid i nord. In: Gustafson, L., Heibreen T., Martens, J., eds., *De gåtefulle kokegroper*. Varia 58. Oslo: Kulturhistorisk museum, Fornminneseksjonen, Universitetet i Oslo, 191-206.

Notroff 2012

Notroff, J., 2012. Kontinuität von Symbolen - Kontinuität von Identitäten? Über das Aussagepotential der nordischen Miniaturschwerter zur Entwicklungssozialer Identität in der Jüngeren Bronzezeit Südskandinaviens. In: Heske I. und Horejs, B., *Bronzezeitliche Identitäten und Objekte. Beiträge aus den Sitzungen der AG Bronzezeit auf der 80.Tagung des West- und Süddeutschen Verbandes für Altertumsforschung in Nürnberg 2010 und dem 7. Deutschen Archäologiekongress in Bremen 2011*. Bonn: Dr. Rudolf Habelt Verlag, 47-53.

O

Oestigaard 2013

Oestigaard, T., 2013. Cremations in Culture and Cosmology. In: Stutz, L. N. und Tarlow, S., *The Oxford Handbook of the Archaeology of Death and Burial*. Oxford: Oxford University Press, 495-509.

Olsen et al. 2011

Olsen, J., Hornstrup, K. M., Heinemeier, J., Bennike, P., Thrane, H., Chronology of the Danish Bronze Age based on ¹⁴C Dating of Cremated Bone Remains. *Radiocarbon*, Vol 53 (2), 261-275.

P

Pahlow 2006

Pahlow, M., 2006. *Gold der Bronzezeit in Schleswig-Holstein*. Bonn: Dr. Rudolf Habelt Verlag.

Panning in prep.

Panning, D., Geophysical Measurements on Glacial Soils – A Challenge in the Detection, Identification and Reconstruction of Archaeological Targets (in prep).

Parker Pearson 1982

Parker Pearson, M., 1982. Mortuary practices, society and ideology: an ethnoarchaeological study. In: Hodder, I., ed., *Symbolic and structural archaeology*. Cambridge: Cambridge University Press, 99-113.

Pätzold 1960

Pätzold, J., 1960. Rituelles Pflügen beim vorgeschichtlichen Totenkult - ein indogermanischer Bestattungsbrauch? *Prähistorische Zeitschrift* 38, 189-239.

Piotrowski 1991

Piotrowski, J. A., 1991. *Quartär- und hydrogeologische Untersuchungen im Bereich der Bornhöveder Seenkette, Schleswig-Holstein*. Kiel: Geologisch-Paläontologisches Inst. Und Museum.

Polanyi 1944

Polanyi, K., 1944. *The Great Transformation: The political and economic origins of our time*. Boston: Beacon Press [Erstausgabe 1944].

Puchol 2013

Puchol, O. G. 2013. A funerary perspective on Bell Beaker period in the Western Mediterranean. Reading the social context of individual burials at La Vital (Gandía, Valencia). *Trabajos de Prehistoria* 70 (2), 264-277.

R

Randsborg 1968

Randsborg, K., 1968. *Von Periode II zu III. Chronologische Studien über die ältere Bronzezeit Südkandinaviens und Norddeutschlands*. Acta Arch. 39. Kopenhagen: Blackwell-Munksgaard.

Randsborg und Christensen 2006

Randsborg, K. und Christensen, K. 2006. *Bronze age oak-coffin graves: archaeology & dendro-dating*. Acta Arch. 77. Kopenhagen: Blackwell-Munksgaard.

Rasmussen 1993

Rasmussen, M., 1993. Bopladskeramik i Ældre Bronzealder. *Jysk Arkæologisk Selskabs skrifter*, 29. Højbjerg: Jysk Arkæologisk Selskab.

Rasmussen et al. 2015

Rasmussen, S., Allentoft, M. E., Nielsen, K., 2015. Early divergent strains of *Yersinia pestis* in Eurasia 5,000 years ago. *Cell* 163, 571-582.

Rassmann 2004

Rassmann, K., 2004. Chronologie - Die zeitliche Ordnung der Dinge als Schlüssel zur Geschichte der Bronzezeit. In: Lehmann, T., v. Schmettow, H., Schmidt, J.-P., *Mythos und Magie. Archäologische Schätze der Bronzezeit aus Mecklenburg-Vorpommern*. Lübstorf: Archäologisches Landesmuseum: Landesamt für Bodendenkmalpflege Mecklenburg-Vorpommern, 39-49.

Renfrew und Bahn 1996

Renfrew, C. und Bahn, P., 1996. *Archaeology. Theories, Methods, and Practice*. London: Thames and Hudson.

Reimer et al. 2020

Reimer, P. J. , Austin, W. E. N. , Bard, E. , Bayliss, A. , Blackwell, P. G. , Bronk Ramsey, C. , Butzin, M. , Cheng, H. , Edwards, R. L. , Friedrich, M. , Grootes, P. M. , Guilderson, T. P. , Hajdas, I. , Heaton, T. J. , Hogg, A. G. , Hughen, K. A. , Kromer, B. , Manning, S. W. , Muscheler, R. , Palmer, J. G. , Pearson, C. , van der Plicht, J. , Reimer, R. W. , Richards, D. A. , Scott, E. M. , Southon, J. R. , Turney, C. S. M. , Wacker, L. , Adolphi, F. , Büntgen, U. , Capano, M. , Fahrni, S. M. , Fogtmann-Schulz, A. , Friedrich, R. , Köhler, P. , Kudsk, S. , Miyake, F. , Olsen, J. , Reinig, F. , Sakamoto, M. , Sookdeo, A. und Talamo, S. (2020): The IntCal20 Northern Hemisphere Radiocarbon Age Calibration Curve (0-55 cal kBP) , *Radiocarbon*, 62 (4), 725-757.

Rickman 1817

Rickman, T., 1817. *An attempt to discriminate the styles of English architecture, from the conquest to the reformation; Preceded by a Sketch of the Grecian and Roman Orders, with notices of Nearly Five Hundred English Buildings*. London: Longman, Hurst, Rees, Orme, and Brown.

Rogers 1958

Rogers, E. M., 1958. Categorizing the Adopters of Agricultural Practices. *Rural Sociology* 23, 1958, 347-354.

Rücker 2007

Rücker, J., 2007. *Das spätbronze- und früheisenzeitliche Gräberfeld von Eisenhüttenstadt- Studien zur Lausitzer Kultur in Ostbrandenburg*. Dissertation, Rheinische Friedrich-Wilhelms-Universität Bonn.

Pusch et. al 2009

Pusch, C. M., Broghammer, M., Scholz, M., 2009. Cremation practices and the survival of ancient DNA: burnt bone analyses via RAPD-mediated PCR. *Anthropologischer Anzeiger* 58 (3), 237-51.

S

Sahlins 1963

Sahlins, M., 1963. Poor Man, Rich Man, Big Man, Chief - Political Types in Melanesia and Polynesia. *Comparative Studies in Society and History*, 5 (3), 285-303.

Schaefer-Di Maida 2018

Schaefer-Di Maida, S., 2018. Bronzezeitliche Transformationen zwischen den Hügeln (Mang de Barga, Bornhöved, Kr. Segeberg). *Archäologie in Schleswig*, 17, 27-44.

Schaefer-Di Maida 2022

Schaefer-Di Maida, S., 2022. Current Research on Bronze Age 'Cooking Stone Pits' in Northern Germany and Southern Scandinavia. *European Journal of Archaeology*, 1-20. DOI:10.1017/eea.2022.19

Schaefer-Di Maida in prep.

Schaefer-Di Maida, S., in prep. Prehistoric inhumations in caves in Central Europe. In: Kneisel, J., Nakoinz, O., Turning points in the Bronze Age – Modes of change - inhumation versus cremation in Bronze Age burial rites, in prep.

Schäfers 2010

Schäfers, B., 2010. Architektursoziologie. Grundlagen - theoretische Ansätze - empirische Belege. In: Trebsche P., Müller-Scheeßel, N., Reinhold, S., eds., *Der gebaute Raum. Bausteine einer Architektursoziologie vormoderner Gesellschaften*. Münster u. a.: Waxmann Verlag, 29-40.

Schauer 1994

Schauer, P., 1994. Schwert. Westliches Ostseegebiet/Nordischer Kreis. *RGA*, Bd. 27.

Schardt 1985

- Schardt, H.-G., 1985. Praktische Versuche zur Herstellung und zum Gebrauch einer Silexbeilklinge. *Arch. Inf.* 8/1, 35-36.
- Schmidt 1993
Schmidt, J.-P., *Studien zur jüngeren Bronzezeit in Schleswig-Holstein und dem nordelbischen Hamburg*. Bonn: Dr. Rudolf Habelt Verlag.
- Schmidt 2012
Schmidt, J.-P., 2012. Kein Ende in Sicht? Neue Untersuchungen auf dem Feuerstellenplatz von Naschendorf, Lkr. Nordwestmecklenburg. *Archäologische Berichte aus Mecklenburg-Vorpommern*, 19, 26-46.
- Schmidt 2014
Schmidt, J.-P., 2014. Garküchen auf freiem Feld? - Feuerstellenplätze im Trassenverlauf von OPAL und NEL. In: Jantzen, D. Saalow, L., Schmidt, J.-P., eds., *Pipeline Archäologie. Ausgrabungen auf den großen Ferngastrassen in Mecklenburg-Vorpommern*. Schwerin: Schwerin Landesamt für Kultur und Denkmalpflege Mecklenburg-Vorpommern, Abteilung Landesarchäologie, 145-156.
- Schmidt 2018
J.-P. Schmidt, 300 Jahre Forschung, Das jüngerbronzezeitliche Gräberfeld von Kölln-Reisiek, Kr. Pinneberg, *Arch. Nachr. S.-H.* 2018, 24-33.
- Schmidt und Forler 2004
Schmidt, J.-P., Forler, D., Ergebnisse der archäologischen Untersuchung in Jarmen, Lkr. Demmin, und die Problematik der Feuerstellenplätze in Norddeutschland und dem südlichen Skandinavien. *Bodendenkmalpflege in Mecklenburg-Vorpommern*, Jahrbuch 51, 2003, 7-79.
- Schnurbein 2010
von Schnurbein, S. (Hrsg.) 2009. *Atlas der Vorgeschichte*. Europa von den ersten Menschen bis Christi Geburt. Mit Beiträgen von Bernhard Hänsel, Carola Metzner-Nebelsick, Johannes Müller, Rosemarie Müller, Susanne Sievers und Thomas Terberger. Stuttgart: Verlag Konrad Theiss.
- Scholz 2012
Scholz, H., 2012. Lageuntersuchungen als Mittel zur Hortbeschreibung und -interpretation. Lageverhältnisse bronzezeitlicher Horte in Mecklenburg-Vorpommern. In: Hansen, S., Neumann, D., Vacta, T., *Hort und Raum. Aktuelle Forschungen zu bronzezeitlichen Deponierungen in Mitteleuropa*. Berlin/Boston: De Gruyter, 69-92.
- Schrader 1995
Schrader, H., 1995. Zur Relevanz von Polanyis Konzept der Einbettung der Wirtschaft in die Gesellschaft. Bielefeld: Universität Bielefeld, Forschungsschwerpunkt Entwicklungssoziologie.
- Schramm 2002
Schramm, M., 2002. Die Fluoridbestimmung im Dentin zur Altersschätzung an Zähnen. Dissertation, Universität Jena.
- Schubart 1972
Schubart, H., 1979. *Die Funde der älteren Bronzezeit in Mecklenburg*. Offa-Bücher 26. Neumünster: Karl Wachholtz Verlag.
- Schultrich 2018
Schultrich, S., 2018. *Das Jungneolithikum in Schleswig-Holstein*. Leiden: Sidestone Press.
- Schulze-Forster und Vorlauf 1989
Schulze-Forster, J. und Vorlauf, D., 1989. Experimenteller Nachbau eines spätbronzezeitlichen Hügelgrabes auf den Lahnbergen bei Marburg. *Archäologisches Korrespondenzblatt* 19, 257-263.
- Schunke 2017

- Schunke, T., 2017. Netze auf der Landschaft - Das Rätsel der bronze- bis eisenzeitlichen Grubenreihen (Pit alignments) und Landgräben. *Archäologie in Sachsen-Anhalt*, Sonderbd. 26/I, 79-94.
- Schunke 2018
Schunke, T., 2018. Fahren oder Tragen? Methoden des Antransports von Baumaterial für bronzezeitliche Grabhügel. In: Nessel, B., Neumann, D., Bartelheim, M., eds., *Bronzezeitlicher Transport. Akteure, Mittel und Wege*. Tübingen: Universitätsbibliothek Tübingen, 85-115.
- Schwabedissen 1966
Schwabedissen, H., 1966, Ein horizontierter „Breitkeil“ aus Satrup und die mannigfachen Kulturverbindungen im Norden und Nordwesten. *Palaeohistoria* 12, 409-468.
- Schwantes 1911
Schwantes, G., 1911. *Die ältesten Urnenfriedhöfe b. Uelzen u. Lüneburg, Die Urnenfriedhöfe in Niedersachsen 1/1.2*. Hannover.
- Schwantes 1935
Schwantes, G., 1935. *Geschichte Schleswig-Holsteins, Die Vorgeschichte SH – Stein- und Bronzezeit, Band 1*. Neumünster: Karl Wachholtz Verlag.
- Schwantes 1952
Schwantes, G., 1952. *Deutschlands Urgeschichte*. Stuttgart: Franck.
- Schwarz 2003
Schwarz, R., 2003. *Pilotstudien. 12 Jahre Luftbildarchäologie in Sachsen-Anhalt*. Halle: Landesamt f. Denkmalpflege u. Archäologie Sachsen-Anhalt.
- Schwarzländer 1993
Schwarzländer, S., 1993. Archsum auf Sylt. Methoden einer Archäologischen Landesaufnahme. Dissertation, Universität Kiel.
- Schwerin v. Krosigk 1976
Gräfin Schwerin von Krosigk, H., 1976. *Untersuchungen zum vor- und frühgeschichtlichen Siedlungsablauf am Fundbild der Gemarkungen Bornhöved - Gönnebek - Groß-Kummerfeld - Schmalensee, Kreis Segeberg/Holstein*. Schleswig: Schleswig-Holsteinisches Landesmuseum für Vor- und Frühgeschichte.
- Scott 1999
Scott, E., 1999. The archaeology of infancy and infant death. BAR international series (British Archaeological Reports), 819. Oxford: BAR.
- Shennan 1982
Shennan, S. J., 1982, Exchange and ranking. The role of amber in the earlier Bronze Age of Europe. In: Renfrew, C., Shennan, S. J., eds., *Ranking, resource and exchange: aspect of the archaeology of early European society*. Cambridge: Cambridge University Press, 33-45.
- Shennan 1997
Shennan, S., 1997. *Quantifying Archaeology*. Edinburgh: Edinburgh University Press.
- Sommerfeld 1994
Sommerfeld, C., 1994. *Gerätegeld Sichel: Studien zur monetären Struktur bronzezeitlicher Horte im nördlichen Mitteleuropa*. Berlin u. a.: De Gruyter.
- Sørensen 2010
Sørensen, M. L. S., 2010. Households. In: Earle, T. und Kristiansen, K., eds., *Organizing Bronze Age Societies*. Cambridge: Cambridge University Press, 122-154.
- Splieth 1900
Splieth, W., 1900. *Inventar der Bronzealterfunde aus Schleswig-Holstein*. Kiel: Lipsius und Tischler.

Springer 2003

Springer, T., 2003. *Gold und Kult der Bronzezeit*. Nürnberg: Verlag des Germanischen Nationalmuseums.

Sprockhoff 1954

Sprockhoff, E., 1954. Nordische Bronzezeit und frühes Griechentum. *Jahrbuch des Römisch-Germanischen Zentralmuseums Mainz* 1, 28-110

Stanish 2017

Stanish, C., 2017. The Evolution of Human Co-operation. Ritual and Social Complexity in Stateless Societies. Cambridge u. a.: Cambridge University Press.

Stegmaier 1992

Stegmaier, W., 1992. Hegel, Nietzsche und Heraklit. Zur Methodenreflexion des Hegel-Nietzsche-Problems. In: Djurić, M. und Simon, J., eds., *Nietzsche und Hegel* (Reihe Nietzsche in der Diskussion), Würzburg, 110-129.

Steigerwald 2015

Steigerwald, J., 2015. Denkmalschutz im Grenzgebiet: Eine Analyse der Wissensproduktion und der Praktiken des Denkmalschutzes in der deutsch-dänischen Grenzregion im 19. Jahrhundert. *Archäologische Informationen* 38, 543-552.

Stephan 1994

Stephan, H.-J., 1994. Der Jungbaltische Gletschervorstoß in Norddeutschland. *Schr. Naturwiss. Ver. Schlesw-Holst.* 64, 1994, 1-15.

Stephan 2003

Stephan, H.-J., 2003. Zur Entstehung der eiszeitlichen Landschaft Schleswig-Holsteins.

Schr. Naturwiss. Ver. Schl.-Holst. 68/69, 101-118.

Storch 2023

Storch, S. 2023. *Anthropologisches Gutachten zu den Leichenbränden/Skelettresten für das SFB 1266 Projekt D3*. (Externer Bericht im Anhang dieser Arbeit VII.1).

Struve 1979

Struve, K. W., 1979. Die Bronzezeit. In: Struve, K. W., Hingst, H., Jankuhn, H., *Von der Bronzezeit bis zur Völkerwanderungszeit*. Geschichte Schleswig-Holsteins, 2. Neumünster: Karl Wachholtz Verlag, 3-144.

Svanberg 2005

Svanberg, F., 2005. House Symbolism in Aristocratic Death Rituals of the Bronze Age. In: Artelius T. und Svanberg, F., *Dealing with the Dead. Archaeological Perspectives on Prehistoric Scandinavian Burial Ritual*. Riksantikvarieämbetet Arkeologiska undersökningar skrifter, 65. Stockholm: National Heritage Board, 73-98.

T

Tegtmeier 1993

Tegtmeier, U., 1993. Neolithische und bronzzeitliche Pflugspuren in Norddeutschland und den Niederlanden. Arch. Ber. 3. Bonn: Selbstverlag der Deutschen Gesellschaft für Ur- und Frühgeschichte.

Thomsen 1836

Thomsen, C. J., 1836. Ledetraad til nordisk Oldkyndighed. Kopenhagen, Det kongelige nordiske oldskriftselskab. Copenhagen.

Thrane 1974

Thrane, H., 1974. Hundredvis af energikilder fra yngre bronzalder. *Fynske Minder*, 96-114.

Thrane 2019

Thrane, H., 2019. Lusehoj at Voldtofte, Southwest Funen in its chronological setting - the best parallel for Seddin? In: Hansen, S. und Schopper, F., *Der Grabhügel von Seddin im norddeutschen und südsandinavischen Kontext. Internationale Konferenz 16. bis 20. Juni 2014, Brandenburg an der Havel*. Arbeitsberichte zur Bodendenkmalpflege in Brandenburg, 33. Zossen bei Berlin: Brandenburgisches Landesamt für Denkmalpflege, 91-104.

Tode 1926

A. Tode, 1926. Organisation und praktische Durchführung einer allgemeinen archäologischen Landesaufnahme. *Vorgeschichtliches Jahrbuch* 3, 1926, 10-21.

Trachsel 2004

Trachsel, M., 2004. *Untersuchungen zur relative und absoluten Chronologie der Hallstattzeit*. Bonn: Dr. Rudolf Habelt Verlag.

V

Valladas und Clottes 2003

Valladas, H. und Clottes, J., 2003. Style, Chauvet and radiocarbon. *Antiquity* 77 (295), 142-145.

Vandkilde 1996

Vandkilde, H., 1996. *From Stone to Bronze. the metalwork of the late neolithic and earliest bronze age in Denmark*. Jutland Archaeological Society publications, 32. Aarhus: Jutland Archaeological Society.

Vandkilde 2006

Vandkilde, H., 2006. Archaeology and War: Presentations of Warriors and Peasants in Archaeological Interpretations. In: Otto, T., Thrane, H., Vandkilde, H., *Warfare and Society: Archaeological and Social Anthropological Perspectives*. Aarhus: Aarhus University Press, 57-73.

Vandkilde 2014

Vandkilde, H., 2014. Cultural Perspectives on the Beginnings of the Nordic Bronze Age. *Offa* 67/68, 2010/11, 51-77.

Veit 1997

Veit, U., 1997. Skelettfunde in Siedlungen der Bronzezeit- ein Beitrag zur Paläodemographie? In: Rittershofer, K.F., ed., *Demographie der Bronzezeit. Paläodemographie. Möglichkeiten und Grenzen*. Internationale Archäologie 36. Espelkamp: Marie Leidorf, 14-21.

Verlinde 1987

Verlinde, A. D., 1987. *Die Gräber und Grabfunde der späten Bronzezeit und frühen Eisenzeit in Overijssel*. Leiden: Rijksuniversiteit te Leiden.

W

Wahl 1982

Wahl, J., 1982. Leichenbranduntersuchungen. Ein Überblick über die Bearbeitungs- und Aussagemöglichkeiten von Brandgräbern. *Prähist. Zeitschr.* 57, 2-215.

Wahl 2007

Wahl, J., 2007. *Karies, Kampf und Schädelkult*. Materialhefte zur Archäologie in Baden-Württemberg 79. Stuttgart: Theiss.

Widmann 2007

Widmann, E., 2007. *Die Archäologie des Haushalts in der Kretischen Neupalastzeit – Archäologische und ikonographische Zeugnisse zum alltäglichen Bereich*. Daidalos - Heidelberger Abschlussarbeiten zur Klassischen Archäologie 1. Heidelberg: Propylaeum.

Wiethold 1998

Wiethold, J., 1998. Studien zur jüngeren postglazialen Vegetations- und Siedlungsgeschichte im östlichen Schleswig-Holstein. Dissertation Universität Kiel.

Williams 2013

Williams, H., 2013. Death, Memory, and Material Culture – Catalytic Commemoration and the Cremated Dead. In: Stutz, L. N., Tarlow, S., *The Oxford Handbook of the Archaeology of Death and Burial*. Oxford: University Press, 195-208.

Willroth 2003

Willroth, K.-H., 2003. *Die nordische Bronzezeit. Anmerkungen zu ihrer Herausbildung*. Bericht der Römisch-Germanischen Kommission, 83 (2002). Mainz am Rhein: Philipp von Zabern, 99-122.

Wirth 1994

Wirth, K., 1994. *Archsum/Melenknop. Ein Fundplatz des Spätneolithikums und der älteren Bronzezeit*. Unpublizierte Dissertation Universität Kiel.

Worsaae 1859

Worsaae, J. J. A., 1859. Om en ny Deling af Stehen- og Broncealderen. In: Kongelige Danske videnskabernes selskab, Oversigt Danske Videnskabernes Selskabs Forhandlingar. København: And. Fred Høst & Søn, 1-37.

Z

Zimmermann 1988

Zimmermann, U., 1988. Nordeuropa während der älteren Bronzezeit. Untersuchungen zur Chronologie und Gruppengliederung. Arbeiten zur Urgeschichte des Menschen, 12. Frankfurt a. M.: Lang.

Zech 1985

Zech, H., 1985. Zur bronzezeitlichen Siedlung westlich Gut Windeby, Kreis Eckernförde. *Die Heimat*, 121-130.

Zich 1999

Zich, B., 1999. Das Hügelgräberfeld von Flintbek nach zwanzig Ausgrabungsjahren. *Jahrb. für das ehemalige Amt Bordesholm* 1, 7-58.

Anhang I: Katalog

Anhang I.1: Befundkatalog

Die Befundbeschreibungen basieren auf den Grabungsergebnissen zwischen 2004 und 2018. Das Landesamt dokumentierte die Ausgrabungen zwischen 2004 und 2014. Die Dokumentation wurde für den folgenden Katalog überarbeitet und angepasst. Hinzu kommen die im Rahmen dieser Dissertation ausgegrabenen Befunde der neu untersuchten Fundstellen am Fundplatz von Mang de Barga (LA 57, AU2017-54, 96, 98, AU2018-173).

Reihenfolge der folgenden Befundbeschreibungen:

LA 17
LA 18
LA 20
LA 23
LA 57
LA 58
LA 59
LA 60
LA 63
LA 64
LA 69
LA 115
LA 116
AU2017-54
AU2017-96
AU2017-98
AU2017-173

LA 17

(Tafel 1-15)

Befund 1. 5993749,00 Nord/ 3582774,00 Ost (Suchschnitt 6). EN: 53,75/ SN: 52,68/ RT: 1,07.

Deutung: Körpergrab.

Aufsicht: Abgerundet rechteckige Grube (2,0 × 3,4 m; etwa West-Ost), die in den oberen und mittleren Plana (Plana 1-4) mit sehr vielen, zumeist kopf- bis doppelkopfgroßen Steinen verfüllt war. Zwischen den Steinen hellgraubrauner, humoser Sand, der nicht immer klar von dem anstehenden gelbgraubraunen Sand zu unterscheiden war. Grubenrand mit Steinen ausgelegt, während die Steine in der Mitte einen ungeordneten Eindruck vermittelten (Versturz?). In den unteren Plana (Plana 5-7) deutlich weniger Steine und etwas dunklere Füllerde. Auf der Grabsohle drei etwa Nord-Süd ausgerichtete Reihen aus je drei bis vier Steinplatten (Planum 7). Von Planum 1 bis Planum 3 im Nordosten eine etwa rechteckige, dunkelhumose Verfärbung (Störgrube?; ca. 1,3 × 1,6 m) erkennbar. In den Plana 5 und 6 am Grubenrand wiederholt kleinere Bereiche, die stark mit gut erhaltenen Holzkohlen durchsetzt waren. Vor dem Westrand in den Plana 6 und 7 eine ovale Grube (0,2 × 0,3 m), in die ein gut erhaltener, von Steinen seitlich eingedrückter Menschenschädel niedergelegt worden war. Schädel lag auf der rechten Kopfseite.

Anschnitt: Oben flach trichterförmige und im unteren Bereich steil trichterförmige Eintiefung mit flach muldenförmiger Basis im Querprofil (Profil 3). Grube bis 15 - 20 cm oberhalb der Sohle mit vielen Steinen und hellgraubraunem, humosem Sand verfüllt. Darunter nur wenige Steine und nach unten zunehmend dunkleres, z.T. holzkohlehaltiges Füllmaterial.

Funde: Keramik (FNR. 19, 23, 30); Stein (FNR. 3, 20-21, 24, 26-29); Knochen (FNR. 18, 25); kalzinierte Knochen (FNR. 4, 22); Holzkohle (FNR. 1-2, 5-17, 31).

Tafel: 2-15.

Befund 2. 5993754,92 Nord/ 3582770,83 Ost (Suchschnitt 3). EN: 53,38/ SN: 53,21/ RT: 0,17.

Deutung: Pfostengrube/Steinstandspur(?).

Aufsicht: Schwach ovale, humose Verfärbung (0,35 × 0,4 m).

Anschnitt: Trichterförmige Eintiefung mit stufenartigem Absatz im Sohlenbereich. Verfüllung aus braungrauem, humosem Sand, der mit vielen hellen Flecken durchsetzt war.

Funde: Keine.

Tafel: 1.

Befund 3. 5993754,38 Nord/ 3582770,35 Ost (Suchschnitt 3). OK: 53,39/ UK: 53,31/ RT: 0,08.

Deutung: Steinstandspur(?).

Aufsicht: Ovale, humose Verfärbung (0,35 × 0,57 m).

Anschnitt: Keine klare Kontur.

Funde: Keine.

Tafel: 1.

Befund 4. 5993754,20 Nord/ 3582772,81 Ost (Suchschnitt 3). EN: 53,50/ SN: -/ RT: -.

Deutung: Steinstandspur(?).

Aufsicht: Unvollständig erfasste, humose Verfärbung (0,15 x >0,22 m).

Anschnitt: Humoser Rest.

Funde: Keine.

Befund 5. 5993752,75 Nord/ 3582773,17 Ost (Suchschnitt 3). EN: 53,53/ SN: 53,29/ RT: 0, 24.

Deutung: Pfostengrube/Steinstandspur(?).

Aufsicht: Ovale, humose Verfärbung (0,4 × 0,48 m).

Anschnitt: Steil trichterförmige Eintiefung mit einseitig stufenartig abgesetzter muldenförmiger Sohle. Verfüllung aus braungrauem, humosem Sand mit hellen Flecken.

Funde: Keine.

Tafel: 1.

Befund 6. 5993756,38 Nord/ 3582773,88 Ost (Suchschnitt 2). EN: 53,40/ SN: 53,34/ RT: 0,06.

Deutung: Steinstandspur(?).

Aufsicht: Ovale, humose Verfärbung (0,26 × 0,32 m).

Anschnitt: Keine klare Kontur.

Funde: Keine.

Befund 7. 5993756,73 Nord/ 3582774,95 Ost (Suchschnitt 2). EN: 53,40/ SN: 53,06/ RT: 0,34.

Deutung: Baumwurf(?).

Aufsicht: Unregelmäßig kranzförmige, humose Verfärbung (1,6 x >2,0 m).

Anschnitt: Unregelmäßige Eintiefung mit nahezu ebener Sohle. Verfüllung aus graubraunem, humosem Sand mit hellen Flecken.

Funde: Keine.

Befund 8. 5993747,19 Nord/ 3582780,29 Ost (Suchschnitt 5). EN: 53,28/ SN: -/ RT: -.

Deutung: Steinstandspur(?).

Aufsicht: Ovale, humose Verfärbung (0,45 × 1,1 m).

Anschnitt: Nicht geschnitten.

Funde: Keine.

LA 18

(Tafel 16-89)

Befund 1. 700,65 Nord/ 719,64 Ost (Nordwestsektor). EN: 52,81/ SN: -/ RT: -.

Deutung: (?).

Aufsicht: Unregelmäßige, humose Verfärbung (0,26 × 0,40 m).

Anschnitt: Keine Kontur.

Funde: Keine.

Befund 2. 702,26 Nord/ 718,62 Ost (Nordwestsektor). EN: 52,78/ SN: -/ RT: -.

Deutung: (?).

Aufsicht: Ovale, humose Verfärbung (0,17 × 0,27 m).

Anschnitt: Keine Kontur.

Funde: Keine.

Befund 3. 704,09 Nord/ 718,98 Ost (Nordwestsektor). EN: 52,74/ SN: -/ RT: -.

Deutung: (?).

Aufsicht: Unregelmäßig längliche, humose Verfärbung (0,10 × 0,35 m).

Anschnitt: Keine Kontur.

Funde: Keine.

Befund 4. 702,07 Nord/ 715,81 Ost (Nordwestsektor). EN: 52,82/ SN: (52,72)/ RT: 0,10.

Deutung: Steinstandspur.

Aufsicht: Langovale, humose Verfärbung (0,19 × 0,45 m).

Anschnitt: Eintiefung mit unregelmäßigem Sohlenverlauf; Verfüllung aus im oberen Bereich dunkelbraunem, humosem Sand und aus braunem, humosem Sand, der durch viele waagerechte, dunkle Streifen durchzogen war, im mittleren und unteren Bereich.

Funde: Keine.

Befund 5. 701,55 Nord/ 714,85 Ost (Nordwestsektor). EN: 52,80/ SN: (52,64)/ RT: 0,16.

Deutung: Steinstandspur.

Aufsicht: Unregelmäßig längliche, humose Verfärbung (0,30 × 0,94 m).

Anschnitt: Eintiefung mit ebenem bis leicht unregelmäßigem Sohlenverlauf; Verfüllung aus im oberen Bereich dunkelbraunem, humosem Sand und aus braunem, humosem Sand, der durch viele waagerechte, dunkle Streifen durchzogen war, im unteren Bereich.

Funde: Keine.

Befund 6. Nord/ Ost (Nordwestsektor). EN: 52,78/ SN: -/ RT: -.

Deutung: Kein eigenständiger Befund (zu Bef. 5).

Aufsicht: -.

Anschnitt: -.

Funde: -.

Befund 7. 697,39 Nord/ 712,38 Ost (Nordwestsektor). EN: 52,56/ SN: (52,33)/ RT: 0,23.

Deutung: Pfostengrube(?).

Aufsicht: Vermutlich ovale, humose Verfärbung (0,25 × 0,30 m).

Anschnitt: Nahezu zylindrische Eintiefung mit unklarem, da stark verwaschenem Sohlenverlauf; Verfüllung aus hellgraubraunem, schwach humosem Sand; von der Sohle zweigten mehrere Tiergänge ab.

Funde: Keine.

Tafel: 20.

Befund 8. 702,82 Nord/ 709,26 Ost (Nordwestsektor). EN: 52,21/ SN: (51,81)/ RT: 0,40.

Deutung: Grube/Baumwurf(?).

Aufsicht: Unregelmäßig gebogene, humose Verfärbung (0,45 × 1,50 m).

Anschnitt: Im Süden mäßig steile und im Norden senkrechte Eintiefung mit unregelmäßig verlaufender Sohle; Verfüllung aus braunem, humosem Sand.

Funde: Keine.

Tafel: 17.

Befund 9. 703,50 Nord/ 715,00 Ost (Nordwestsektor). EN: 52,58/ SN: (52,37)/ RT: 0,21.

Deutung: Grube.

Aufsicht: Etwa ovale Ausbuchtung (ca. 0,93 × 1,20 m) an der Südwestecke des Grubenkomplexes der Befunde 9 - 13, 17 - 20; im Planum verbunden mit dem Grubenabschnitt 10.

Anschnitt: Vermutlich steil eingetiefte Grube mit unregelmäßigem Sohlenverlauf (Befundgrenze nicht immer eindeutig zu erkennen); Verfüllung aus braunem, humosem Sand; im Profil keine Verbindung zu dem Grubenabschnitt 10 (s.o.).

Funde: Keine.

Tafel: 17.

Befund 10. 704,50 Nord/ 716,50 Ost (Nordwestsektor). EN: 52,54/ SN: (52,21)/ RT: 0,33.

Deutung: Grube.

Aufsicht: Langgestreckter, von Südwest nach Nordost ausgerichteter humoser Bereich (ca. 1,50 × 2,20 m) im Süden des Grubenkomplexes der Befunde 9 - 13 und 17 - 20; im Planum verbunden mit den Grubenabschnitten 9, 11 und 18.

Anschnitt: Unterer Bereich einer steil eingetiefen Grube mit muldenförmiger Sohle; an einer Stelle in der südöstlichen Hälfte setzte auf einer Breite von 0,28 m eine über 0,22 m unterhalb der Grubensohle reichende, trichterförmige Eintiefung an (unklar, ob Wurzel- oder Tiergang oder bewusst eingegraben); im Profil keine Verbindung zu Befund 11.

Funde: Keine.

Tafel: 17.

Befund 11. 705,50 Nord/ 714,70 Ost (Nordwestsektor). EN: -/ SN: -/ RT: 0,24.

Deutung: Grube(?).

Aufsicht: Unregelmäßig ovale, humose Verfärbung (ca. 1,50 × 2,40 m) am Westrand des Grubenkomplexes der Befunde 9 - 13 und 17 - 20; in der Mitte ein Bereich aus hellem, reinem Sand; im Planum verbunden mit den Grubenabschnitten 10 und 12.

Anschnitt: Keilförmiger Bereich aus graubraunem, humosem, leicht lehmigem Sand; möglicherweise der Rest einer Baumwurfgrube; im Profil keine Verbindung zu Befunden 10 und 12 (trotz des Verlegens der Profillinie nach Südwesten).

Funde: Keine.

Befund 12. 707,30 Nord/ 713,70 Ost (Nordwestsektor). EN: 52,30/ SN: (51,93)/ RT: 0,37.

Deutung: Grube.

Aufsicht: Unregelmäßig ovale, humose Verfärbung (ca. 1,00 × 1,45 m) im Nordwesten des Grubenkomplexes der Befunde 9 - 13 und 17 - 20; im Planum verbunden mit den Befunden 11 und 13.

Anschnitt: Unregelmäßig steil eingetiefte Grube mit muldenförmig verlaufender Basis; Verfüllung aus braungrauem, humosem, leicht lehmigem Sand; darin eine waagrecht liegende Linse aus hellgrauem Sand; im Profil keine Verbindung zu Befund 11 (Verhältnis zu Befund 13 nicht geklärt).

Funde: Keine.

Tafel: 17.

Befund 13. 713,45 Nord/ 706,15 Ost (Nordwestsektor). EN: 52,26/ SN: -/ RT: -.

Deutung: (?).

Aufsicht: Ovale, humose Verfärbung (0,43 × 0,50 m) am Südwestrand des Befundes 12; im Planum mit Befund 12 verbunden.

Anschnitt: Keine klare Kontur.

Funde: Keine.

Befund 14. 707,53 Nord/ 715,38 Ost (Nordwestsektor). EN: 52,18/ SN: (52,10)/ RT: 0,08.

Deutung: Steinstandspur.

Aufsicht: Ovale, humose Verfärbung (0,48 × 0,78 m).

Anschnitt: Muldenförmige Eintiefung, die mit braungrauem, humosem Sand verfüllt war.

Funde: Keine.

Befund 15. 707,12 Nord/ 716,00 Ost (Nordwestsektor). EN: 52,21/ SN: (52,11)/ RT: 0,10.

Deutung: Steinstandspur.

Aufsicht: Ovale, humose Verfärbung (0,30 × 0,43 m).

Anschnitt: Muldenförmige Eintiefung, die braungrauem, humosem Sand verfüllt war.

Funde: Keine.

Befund 16. 706,82 Nord/ 715,24 Ost (Nordwestsektor). EN: 52,19/ SN: (52,10)/ RT: 0,09.

Deutung: (?).

Aufsicht: Langovale, humose Verfärbung (0,27 × 0,47 m).

Anschnitt: Keine klare Kontur (etwas dunkler als Umgebung).

Funde: Keine.

Befund 17. 708,00 Nord/ 717,00 Ost (Nordwestsektor). EN: -/ SN: -/ RT: -.

Deutung: Grube(?).

Aufsicht: Unregelmäßig langgestreckte, humose Verfärbung (ca. 0,70 × 2,35 m) im Norden des Grubenkomplexes der Befunde 9 - 13 und 17 - 20; im Planum verbunden mit Befund 18.

Anschnitt: Keine klare Kontur, da stark verwaschen.

Funde: Keine.

Befund 18. 706,50 Nord/ 717,80 Ost (Nordwestsektor). EN: 52,39/ SN: -/ RT: -.

Deutung: Grube(?).

Aufsicht: Etwa ovale, humose Verfärbung (ca. 1,50 × 1,80 m) in der Mitte des Grubenkomplexes der Befunde 9 - 13 und 17 - 20; im Planum verbunden mit Befunden 10, 17 und 19.

Anschnitt: Keine klare Kontur, da stark verwaschen.

Funde: Keine.

Befund 19. 708,50 Nord/ 720,50 Ost (Nordwestsektor). EN: 52,57/ SN: (52,37)/ RT: (0,20).

Deutung: Grube(?).

Aufsicht: Unregelmäßige, humose Verfärbung (ca. 4,50 × 5,00 m) im Osten des Grubenkomplexes der Befunde 9 - 13 und 17 - 20; im Planum verbunden mit Befunden 18 und 20; vermutlich Fortsetzung des Befundes in östlicher Richtung bis in den Nordostsektor (vgl. Abb. 1).

Anschnitt: Im Ostprofil des „Suchschnittes 1 Herbst 2004“ ab etwa 3707 eine schwache, Depression, die eine sehr unruhige Basis aufwies; am Südrand dieser Eintiefung eine schräg verlaufende Schicht aus schwarzbraunem, holzkohlehaltigem Sand; Nordrand weniger deutlich ausgeprägt (unklar, ob Materialentnahmebereich am Hügelrand oder natürliche Geländedepression).

Funde: Keine.

Befund 20. 708,20 Nord/ 718,50 Ost (Nordwestsektor). EN: 52,37/ SN: (52,16)/ RT: 0,21.

Deutung: (?).

Aufsicht: Etwa halbmondförmige, humose Verfärbung (0,44 × 0,90 m) an der Nordwestecke des Befundes 19; im Planum direkt an den Befund 19 grenzend.

Anschnitt: Steil trichterförmige Eintiefung mit schräg verlaufender Sohle; Verfüllung aus hellbraunem, schwach humosem, lehmigem Sand; im Profil keine Hinweise auf den benachbarten Befund 19 erkannt.

Funde: Keine.

Tafel: 17.

Befund 21. 709,40 Nord/ 716,19 Ost (Nordwestsektor). EN: 52,21/ SN: -/ RT: -.

Deutung: (?).

Aufsicht: Ovale, humose Verfärbung (0,25 × 0,27 m).

Anschnitt: Keine klare Kontur.

Funde: Keine.

Befund 22. 709,54 Nord/ 715,20 Ost (Nordwestsektor). EN: 52,20/ SN: (52,00)/ RT: 0,20.

Deutung: (?).

Aufsicht: Langovale, humose Verfärbung (0,30 × 0,65 m).

Anschnitt: Stark verwaschener Befund; vermutlich Gliederung in zwei Eintiefungen aus hellbraungrauem, schwach humosem Sand, der mit vielen hellen Flecken durchsetzt war (insgesamt sehr unklar!).

Funde: Keine.

Befund 23. 709,67 Nord/ 712,67 Ost (Nordwestsektor). EN: 52,12/
SN: -/ RT: -.

Deutung: (?).

Aufsicht: Ovale, humose Verfärbung (0,23 × 0,29 m).

Anschnitt: Keine Kontur.

Funde: Keine.

Befund 24. 708,57 Nord/ 711,93 Ost (Nordwestsektor). EN: 52,27/
SN: -/ RT: -.

Deutung: (?).

Aufsicht: Unregelmäßige, humose Verfärbung (0,60 × 1,93 m).

Anschnitt: Keine klare Kontur.

Funde: Keine.

Befund 25. 708,02 Nord/ 710,18 Ost (Nordwestsektor). EN: 52,20/
SN: -/ RT: -.

Deutung: (?).

Aufsicht: Etwa kreisrunde, humose Verfärbung (Dm. 0,44 m).

Anschnitt: Keine Kontur.

Funde: Keine.

Befund 26. 708,41 Nord/ 708,86 Ost (Nordwestsektor). EN: 52,08/
SN: -/ RT: -.

Deutung: (?).

Aufsicht: Unregelmäßige, humose Verfärbung (0,12 × 0,36 m).

Anschnitt: Keine Kontur.

Funde: Keine.

Befund 27. 707,66 Nord/ 708,11 Ost (Nordwestsektor). EN: 52,06/
SN: -/ RT: -.

Deutung: (?).

Aufsicht: Ovale, humose Verfärbung (0,20 × 0,24 m).

Anschnitt: Keine Kontur.

Funde: Keine.

Befund 28. 712,00 Nord/ 709,03 Ost (Nordwestsektor). EN: 51,93/
SN: -/ RT: -.

Deutung: (?).

Aufsicht: Langovale, humose Verfärbung (0,40 × 0,75 m).

Anschnitt: Keine klare Kontur.

Funde: Keine.

Befund 29. 716,14 Nord/ 710,72 Ost (Nordwestsektor). EN: 51,87/
SN: -/ RT: -.

Deutung: (?).

Aufsicht: Ovale, humose Verfärbung (0,25 × 0,31 m).

Anschnitt: Keine klare Kontur.

Funde: Keine.

Befund 30. 694,39 Nord/ 711,17 Ost (Südwestsektor). EN: 52,71/
SN: (52,16)/ RT: 0,55.

Deutung: Grab (Urne) [¹⁴C-datiert].

Aufsicht: Konzentration (0,70 × 1,25 m) mehrerer kopf- bis doppelkopfgroßer Roll- und Kantsteine; lockere Anordnung spricht für eine gestörte Situation; etwa in der Mitte eine große

liegende Steinplatte; am Nordrand der Steinkonzentration einzelne Fragmente kalzinierter Knochen.

Anschnitt: Packung (Dm. 0,60 m) aus faust- bis kopfgroßen Steinen (überwiegend Spaltstücke aus Granit, dazu auch kleinere Rollsteine); einzelne Steinplatten senkrecht in die Grabgrube gesetzt; im Inneren der Steinpackung eine vollständig erhaltene Urne; die im Planum erfasste große Steinplatte bedeckte den südlichen Teil der Steinpackung; als nördliche Abdeckung diente eine kleinere Steinplatte, die bereits vom Pflug erfasst und in zwei Teile gespalten war (Foto-Nr. 135); die Urne stand auf einer Bodenplatte; ein Kantstein war in die Urne gestürzt; einzelne Splitter kalzinierter Knochen auch neben der Urne; Grubengrenze eng mit Steinen ausgelegt, daher die Grabgrube nur in den Zwischenräumen zwischen den Steinen schwach zu erkennen; Urne komplett geborgen (in Mullbinden).

Funde: Keramik (Urne; FNR. 175, 41); kalzinierte Knochen (Leichenbrand; FNR. 7-10, 218); kalzinierte Knochen (verzierte Nadel; FNR. 31); Pfriem (FNR. 70).

Tafel: 28-30.

Befund 31. 694,43 Nord/ 720,14 Ost (Südwestsektor). EN: 53,08/
SN: (52,92)/ RT: 0,16.

Deutung: Steinstandspur.

Aufsicht: Ovale, humose Verfärbung (0,49 × 0,69 m).

Anschnitt: Muldenförmige Eintiefung, die mit braungrauem, humosem Sand verfüllt war.

Funde: Keine.

Befund 32. 693,12 Nord/ 718,30 Ost (Südwestsektor). EN: 52,98/
SN: (52,93)/ RT: 0,05.

Deutung: Steinstandspur.

Aufsicht: Langovale, humose Verfärbung (0,19 × 0,41 m).

Anschnitt: Muldenförmige Eintiefung, die mit graubraunem, humosem Sand verfüllt war.

Funde: Keine.

Befund 33. 694,91 Nord/ 717,41 Ost (Südwestsektor). EN: 52,96/
SN: (52,88)/ RT: 0,08.

Deutung: Branderdestelle (zu Bef. 119?).

Aufsicht: Ovale, humose Verfärbung (0,40 × 0,59 m).

Anschnitt: Eintiefung mit leicht unregelmäßig muldenförmiger Basis; Verfüllung aus schwarzgrauem, holzkohlehaltigem, humosem Sand.

Funde: Bodenprobe (FNR. 15).

Tafel: 16.

Befund 34. 695,24 Nord/ 716,81 Ost (Südwestsektor). EN: 52,95/
SN: (52,88)/ RT: 0,07.

Deutung: Branderdestelle (zu Bef. 119?).

Aufsicht: Etwa ovale, humose Verfärbung (0,37 × 0,53 m).

Anschnitt: Eintiefung mit etwa eben verlaufender Sohle; Verfüllung aus schwarzgrauem, holzkohlehaltigem, humosem Sand.

Funde: Kalzinierte Knochen (FNR. 4); Bodenprobe (FNR. 16).

Tafel: 16.

Befund 35. Nord/Ost (Südwestsektor). EN: 52,96/ SN: (52,89)/ RT: 0,07.

Deutung: Kein eigenständiger Befund (zu Bef. 119).

Aufsicht: Etwa kreisrunde, humose Verfärbung (Dm. 0,20 m).

Anschnitt: Muldenförmige Eintiefung, die mit braungrauem, humosem Sand verfüllt war; in der Füllung vereinzelt Holzkohlestücken.

Funde: Bodenprobe (FNR. 19).

Befund 36. Nord/Ost (Südwestsektor). EN: 52,96/ SN: -/ RT: -.

Deutung: Kein eigenständiger Befund (zu Bef. 119).

Aufsicht: Ovale, humose Verfärbung (0,15 × 0,19 m).

Anschnitt: Konzentration humoser Flecken ohne klare Kontur.

Funde: Keine.

Befund 37. 692,83 Nord/ 716,85 Ost (Südwestsektor). EN: 52,94/ SN: -/ RT: -.

Deutung: (?).

Aufsicht: Ovale, humose Verfärbung (0,26 × 0,35 m).

Anschnitt: Konzentration humoser Flecken ohne klare Kontur.

Funde: Keine.

Befund 38. 694,41 Nord/ 715,90 Ost (Südwestsektor). EN: 52,92/ SN: (52,84)/ RT: 0,08.

Deutung: Branderdestelle.

Aufsicht: Unregelmäßige, schwarzgraue, stark holzkohlehaltige Verfärbung (0,42 × 0,60 m).

Anschnitt: Rest einer Eintiefung mit muldenförmigem Sohlenverlauf, die mit stark holzkohlehaltigem, humosem Sand verfüllt war.

Funde: Flint (FNR. 12); Kalzinierte Knochen (FNR. 5.13); Holzkohle (FNR. 6); Bodenprobe (FNR. 14).

Tafel: 16.

Befund 39. 691,16 Nord/ 717,21 Ost (Südwestsektor). EN: 52,92/ SN: -/ RT: -.

Deutung: (?).

Aufsicht: Etwa ovale, humose Verfärbung (0,24 × 0,37 m).

Anschnitt: Keine klare Kontur.

Funde: Keine.

Befund 40. 689,80 Nord/ 717,01 Ost (Südwestsektor). EN: 52,76/ SN: (52,59)/ RT: 0,17.

Deutung: (?).

Aufsicht: Ovale, humose Verfärbung (0,40 × 0,50 m).

Anschnitt: Stark verwaschene Eintiefung mit vermutlich muldenförmiger Basis; Verfüllung aus hellbraungrauem, schwach humosem Sand, der schwer vom umgebenden hellbraunen, schwach lehmigen Sand zu unterscheiden war.

Funde: Keine.

Befund 41. 690,15 Nord/ 712,91 Ost (Südwestsektor). EN: 52,53/ SN: -/ RT: -.

Deutung: (?).

Aufsicht: Ovale, humose Verfärbung (0,30 × 0,36 m).

Anschnitt: Konzentration humoser Flecken.

Funde: Keine.

Befund 42. 689,12 Nord/ 714,48 Ost (Südwestsektor). EN: 52,51/ SN: (51,82)/ RT: 0,65.

Deutung: (?).

Aufsicht: Etwa ovale, humose Verfärbung (0,20 × 0,24 m).

Anschnitt: Schmale, nur 0,15 m breite, sehr steile Eintiefung mit einem kleinen Versatz nach Westen; aufgrund des Versatzes keine Pfostengrube, sondern ein Tier- oder Wurzelgang; Verfüllung aus braungrauem, humosem Sand.

Funde: Keine.

Befund 43. 687,95 Nord/ 713,84 Ost (Südwestsektor). EN: 52,47/ SN: (52,21)/ RT: 0,26.

Deutung: Pfostengrube(?).

Aufsicht: Ovale, humose Verfärbung (0,19 × 0,23 m).

Anschnitt: Zylindrische, nur 0,12 m breite Eintiefung, die mit braungrauem, humosem Sand verfüllt war.

Funde: Keine.

Tafel: 20.

Befund 44. 698,56 Nord/ 714,16 Ost (Nordwestsektor). EN: 52,88/ SN: (52,62)/ RT: 0,26.

Deutung: Branderdestelle.

Aufsicht: Nahezu kreisrunde, humose Verfärbung (Dm. 0,33 m).

Anschnitt: Eintiefung mit stark verwaschenen Konturen; Verfüllung im oberen Bereich aus dunkelbraungrauem, holzkohlehaltigem, humosem Sand, der seitlich und auch nach unten durch einen immer geringer werdenden Holzkohleanteil stetig heller wurde (kaum klare Grenzen).

Funde: Holzkohle (FNR. 18); Bodenprobe (FNR. 17).

Tafel: 16.

Befund 45. 700,36 Nord/ 717,83 Ost (Nordwestsektor). EN: 52,92/ SN: -/ RT: -.

Deutung: (?).

Aufsicht: Ovale Verfärbung (0,23 × 0,29 m).

Anschnitt: Keine Angaben.

Funde: Keine.

Befund 46. 693,53 Nord/ 726,95 Ost (Südostsektor). EN: 52,83/ SN: (52,72)/ RT: 0,11.

Deutung: Steinstandspur.

Aufsicht: Unregelmäßige, humose Verfärbung (0,54 × 0,67 m).

Anschnitt: Humos verfüllte Eintiefung mit muldenförmiger Sohle; Füllmaterial entsprach farblich dem Material aus dem modernen Pflughorizont.

Funde: Keine.

Befund 47. 693,70 Nord/ 728,22 Ost (Südostsektor). EN: 52,71/ SN: (52,69)/ RT: 0,02.

Deutung: Steinstandspur.

Aufsicht: Kleine, ovale, humose Verfärbung (0,19 × 0,23 m).

Anschnitt: Humos verfüllte Eintiefung mit muldenförmiger Sohle; Füllmaterial entsprach farblich dem Material aus dem modernen Pflughorizont.

Funde: Keine.

Befund 48. 692,12 Nord/ 728,29 Ost (Südostsektor). EN: 52,68/ SN: (52,57)/ RT: 0,11.

Deutung: (?).

Aufsicht: Schwach ovale, weißgraue Verfärbung (0,21 × 0,28 m).

Anschnitt: Keine klare Kontur; im Westen weißgraues Material; im Osten sehr unregelmäßige, humos verfüllte Eintiefung, die im Planum nicht erfasst worden war, da sie sich von dem im oberen Bereich humosen Material der Umgebung farblich nicht abhob (Tiergang/Wurzelgang oder Reste einer Pfostengrube?).

Funde: Keine.

Befund 49. 692,54 Nord/ 729,18 Ost (Südostsektor). EN: 52,66/ SN: (52,61)/ RT: 0,05.

Deutung: Steinstandspur.

Aufsicht: Unregelmäßige, humose Verfärbung (0,27 × 0,44 m).

Anschnitt: Muldenförmige Eintiefung; Verfüllung aus braungrauem, humosem Sand.

Funde: Keine.

Befund 50. 692,93 Nord/ 729,65 Ost (Südostsektor). EN: 52,68/ SN: (52,58)/ RT: 0,10.

Deutung: Steinstandspur(?).

Aufsicht: Etwa ovale, humose Verfärbung (0,19 × 0,27 m).

Anschnitt: Muldenförmige Eintiefung; Verfüllung aus braungrauem, humosem Sand, der im Randbereich stark mit hellbraunen Flecken durchsetzt war.

Funde: Keine.

Befund 51. 693,12 Nord/ 730,04 Ost (Südostsektor). EN: 52,65/ SN: (52,62)/ RT: 0,03.

Deutung: Steinstandspur(?).

Aufsicht: Abgerundet quadratische, humose Verfärbung (Dm. 0,20 m).

Anschnitt: Reste einer Eintiefung mit unregelmäßig verlaufender Sohle; Verfüllung aus braungrauem, humosen Sand.

Funde: Keine.

Befund 52. 688,40 Nord/ 728,40 Ost (Südostsektor). EN: 52,58/ SN: 52,41/ RT: -.

Deutung: Steinkonzentration.

Aufsicht: nur bis zur südlichen Grabungsgrenze erfasste, unregelmäßige Konzentration (0,80 × 1,40 m) aus faust- bis doppelfaustgroßen Rollsteinen; zwischen den Steinen humoser Sand.

Anschnitt: Keine Besonderheiten; Oberkante der Steine etwa auf Höhe der modernen Pflugschleife (höher gelegene Bereiche

könnten zerstört worden sein); humoser Boden reichte noch 0,1 - 0,2 m tiefer als die Basis der Steinkonzentration.

Funde: Keine.

Befund 53. 689,20 Nord/ 729,80 Ost (Südostsektor). EN: 52,66/ SN: 52,44/ RT: -.

Deutung: Steinpflaster(?).

Aufsicht: nur bis zur südlichen Grabungsgrenze erfasste, unregelmäßige Pflasterung (ca. 1,70 × 1,90 m) aus faust- bis kopfgroßen Steinen, die im Osten größere Lücken aufwies (gestört?).

Anschnitt: Keine Besonderheiten; Oberkante der Steine etwa auf Höhe der modernen Pflugschleife (höher gelegene Bereiche könnten zerstört worden sein); humoser Boden reichte noch 0,1 - 0,2 m tiefer als die Basis der Steinkonzentration.

Funde: Keine.

Befund 54. 691,20 Nord/ 729,80 Ost (Südostsektor). EN: 52,74/ SN: 52,60/ RT: -.

Deutung: Steinkonzentration.

Aufsicht: Lockere, unregelmäßige Konzentration faust- bis kopfgroßer Steine (0,60 × 1,00 m); möglicherweise gestörtes Steinpflaster.

Anschnitt: Keine Besonderheiten.

Funde: Keramik (FNR. 7); Flint (FNR. 177).

Befund 55. 695,00 Nord/ 732,35 Ost (Südostsektor). EN: 52,61/ SN: (52,26)/ RT: (0,35).

Deutung: Grab (Urne) [¹⁴C-datiert].

Aufsicht: Am Nordwestende des Steinpflasters des Befundes 56 eine etwa kreisrunde Steinlücke (Dm. 0,26 m); darin ein vom Pflug gestörtes Keramikgefäß und vereinzelte kalzinierte Knochensplinter.

Anschnitt: Unterteil einer Urne in einer Packung aus faust- bis doppelfaustgroßen Steinen (Dm. ca. 0,38 m); Urne auf einem Bodenstein (Spaltstück), der seinerseits auf mehreren Steinen lagerte; stratigraphischer Bezug zu Befund 56 unklar, da die Grube des Befundes 56 vor der Steinpackung des Befundes 55 endete; die im Planum einheitlich wirkende Steinpflasterung der Befunde 55 und 56 muss nicht zeitgleich sein.

Funde: Keramikurne (FNR. 186, 193); Flint (FNR. 103); kalzinierte Knochen (FNR. 29, 120).

Tafel: 24-26.

Befund 56. 694,40 Nord/ 732,80 Ost (Südostsektor). EN: 52,73/ SN: (52,26)/ RT: 0,46.

Deutung: Grab (Leichenbrandschüttung).

Aufsicht: Langgestreckte, von Nordwest nach Südost ausgerichtete Pflasterung (0,60 × 1,40/1,85 m) aus faust- bis kopfgroßen Steinen; Steine lagen unregelmäßig in unterschiedlichen Höhen (durch Pflug gestörtes Pflaster).

Anschnitt: Steil eingetiefte, etwa 1,00 m lange Grube, deren Sohle teilweise mit faust- bis kopfgroßen Steinen ausgelegt war; die im Planum erfasste Pflasterung befand sich oberhalb der Grube; die Lage direkt oberhalb der Grube spricht für

eine Zusammengehörigkeit beider Elemente, auch wenn der stratigraphische Befund nicht eindeutig ist; im Zwischenraum zwischen oberer Steinpflasterung und Grubensohle braungrauer, humoser Sand, einige Steine und wenige Fragmente kalzinierter Knochen; kleinere Konzentrationen kalzinierter Knochen fanden sich vor allem im Bereich der Grubensohle.

Funde: Keramik (FNR. 185); Kalzinierte Knochen (FNR. 181).

Tafel: 24.

Befund 57. 695,22 Nord/ 730,63 Ost (Südostsektor). EN: 52,68/ SN: -/ RT: -.

Deutung: (?).

Aufsicht: Unregelmäßig langgestreckte, humose Verfärbung (0,10-0,20 × 2,30 m; Ausrichtung von Südwest nach Nordost).

Anschnitt: Keine klare Kontur.

Funde: Keine.

Befund 58. 694,40 Nord/ 735,70 Ost (Südostsektor). EN: (52,50)/ SN: (<52,39)/ RT: >0,11.

Deutung: Grab (Urne).

Aufsicht: Unmittelbar westlich vor dem Steinpflaster des Befundes 59 das Unterteil einer Urne und verstreut kalzinierte Knochen (beim Anlegen des Profilschnittes durch den Befund 59 entdeckt); unklar, ob Urne ursprünglich in einer Steinpackung.

Anschnitt: Nicht geschnitten.

Funde: Keramik (Urne u. Deckgefäß?; FNR. 183, 178); kalzinierte Knochen (FNR. 139).

Tafel: 31.

Befund 59. 694,50 Nord/ 736,00 Ost (Südostsektor). EN: 52,62/ SN: 52,07/ RT: 0,55.

Deutung: Grab (Leichenbrandschüttung) [¹⁴C-datiert].

Aufsicht: Unregelmäßig langgestrecktes, von Nordnordwest nach Südsüdost ausgerichtetes Pflaster (0,40-0,50 × 1,30 m) aus faust- bis kopfgroßen Steinen; Steine unregelmäßig und auf unterschiedlichem Niveau (gestört?); zwischen den Steinen im südwestlichen Randbereich verstreute Splitter kalzinierter Knochen und Keramikscherben; vor allem südwestlich anschließend eine lockere Steinkonzentration.

Anschnitt: Unregelmäßig eingetiefte Grube mit unklarem Sohlenverlauf (z.T. stark verwaschen; Verfüllung aus braungrauem, humosem Sand; Steine vor allem im oberen Bereich; auf Grubensohle einzelne Steine, auf denen Konzentrationen kalzinierter Knochen lagen (an einer Stelle auch ein fast senkrecht im Boden steckender, vollständig erhaltener Bronzepfriem).

Funde: Bronzepfriem (FNR. 69); kalzinierte Knochen (FNR. 177); Holzkohle (?; FNR. 179).

Tafel: 31.

Befund 60. 692,10 Nord/ 737,80 Ost (Südostsektor). EN: 52,45/ SN: 52,34/ RT: -.

Deutung: Steinpflaster(?).

Aufsicht: Unregelmäßiges Pflaster (ca. 0,70 × 1,30 m) aus faust- bis doppelfaustgroßen Steinen (gestört?); im Umfeld viele Steine gleicher Größe in lockerer Streuung.

Anschnitt: Keine Besonderheiten.

Funde: Keine.

Befund 61. 698,92 Nord/ 734,41 Ost (Südostsektor; „Suchschnitt 2 Herbst 2004“: Urne 2). EN: (52,53)/ SN: 52,31/ RT: (0,22).

Deutung: Grab (Urne) [¹⁴C-datiert].

Aufsicht: Nur im Profil am Nordrand des „Suchschnittes 2 Herbst 2004“ erfasst.

Anschnitt: „Mit kugelige Felssteinen ausgefüllte Grabgrube. Nach oben offen, darüber 40 cm durchpflügter Ackerboden. Rotbraune, im Bruch schwarze, gut gemagerte Keramik. Gefäß ist zerscherbt, zerdrückt, größere Teile dennoch im Verband. Sehr viel, sehr grober LB. Gefäß auf flachen Steinplatten. Basis 78 cm unter Flur.“ [Zitat I. Clausen].

Funde: Keramik (Urne; FNR. 101); Keramik (FNR. 187, 196); kalzinierte Knochen (aus Urne; FNR. 198); kalzinierte Knochen (FNR. 38, 176).

Tafel: 32-33.

Befund 62. 694,32 Nord/ 737,08 Ost (Südostsektor). EN: 52,39/ SN: (52,05)/ RT: 0,34.

Deutung: Grube(?).

Aufsicht: Leicht sichelförmige, humose Verfärbung (0,38 × 1,03 m).

Anschnitt: Unregelmäßige Eintiefung, die mit braungrauem, humosem Sand verfüllt war.

Funde: Keine.

Tafel: 18.

Befund 63. 696,81 Nord/ 737,79 Ost (Südostsektor). EN: 52,47/ SN: 52,29/ RT: 0,18.

Deutung: Grab (Urne) [¹⁴C-datiert].

Aufsicht: Etwa ovale Konzentration (0,40 × 0,55 m) faust- bis doppelfaustgroßer Steine; dazwischen eine Lücke, in der eine Urne stand.

Anschnitt: Packung aus Rollsteinen (Dm. 0,35 m); darin bis auf den Rand vollständig erhaltene Urne auf mehreren Bodensteinen; oberer Teil der Steinpackung gestört, daher Abdeckung unklar.

Funde: Bronze (Eidring; FNR. 64); Bronze (Doppelknopf; FNR. 65); Keramik (Urne; FNR. 179, 182); kalzinierte Knochen (FNR. 41.118); Holzkohle (FNR. 205).

Tafel: 34-35.

Befund 64. 699,45 Nord/ 738,50 Ost (Südostsektor). EN: 52,58/ SN: 52,36/ RT: 0,22.

Deutung: Grab (Urne) [¹⁴C-datiert].

Aufsicht: Westlich anschließend an ein gestörtes Steinpflaster (Befund 65) ein Ring aus faust- bis doppelfaustgroßen Steinen (Dm. 0,40 m); innerhalb des Ringes eine verzierte Urne.

Anschnitt: Urne in einer Steinpackung auf einer flachen Granitplatte, Seitensteine aus überwiegend länglichen Rollsteinen, die senkrecht in die Grabgrube gesetzt wurden; Oberteil der Urne und der Steinpackung gestört.

Funde: Keramik (Urne; FNR. 180, 181); kalzinierte Knochen (FNR. 104).

Tafel: 36-38, 87.

Befund 65. 699,37 Nord/ 738,98 Ost (Südostsektor). EN: 52,60/ SN: 52,48/ RT: -.

Deutung: Steinpflaster(?).

Aufsicht: unregelmäßiges Pflaster (ca. 1,00 × 1,00 m) aus faust- bis doppelfaustgroßen Steinen unmittelbar östlich des Urnengrabes Befund 64; im Randbereich nur noch eine lockere Steinkonzentration (gestört?).

Anschnitt: Keine Besonderheiten.

Funde: Keine.

Tafel: 87.

Befund 66/66a. 699,30 Nord/ 739,00 Ost (Südostsektor). EN: 52,57/ SN: 51,98/ RT: 0,59.

Deutung: Grab (Leichenbrandschüttung).

Aufsicht: In Planum 1 ein langgestrecktes, von Nord nach Süd ausgerichtetes Pflaster (0,60-0,90 × 1,60 m) aus faust- bis doppelfaustgroßen Steinen; in Planum 3 (etwa 0,2 - 0,3 m tiefer) ein nur noch 0,35 - 0,45 m breiter und 1,75 m langer Steinrahmen (Bef. 66a); in Planum 4 auf der Grabsohle in der Südhälfte eine Konzentration kalzinierten Knochen; südlich davon die Reste eines zerdrückten, kleinen Keramikgefäßes.

Anschnitt: In den braungrauen, humosen Sand gesetztes ein- bis zweilagiges Steinpflaster, welches in Planum 1 erfasst worden war; darunter ein etwa 0,2 m mächtiger Bereich aus braungrauem, humosem Sand mit vereinzelt, kleineren Steinen (Schicht 3); diese Zone ging etwa auf der Höhe eines erst beim Zurücksetzen des Profils erfassten Steinrahmens (s.o.) in etwas helleres Material, das mit hellen Sandflecken durchsetzt war, über (Schicht 2); Schichtgrenze stark verwaschen und daher schwer zu erkennen; Schicht 2 befand sich in einer im Norden steil eingetieften Grube mit einem insgesamt ebenen, aber etwas unruhigen Sohlenverlauf; die Südgrenze dieser Eintiefung war nicht eindeutig nachzuweisen; aus stratigraphischen Erwägungen könnte es sich bei dem Steinpflaster Befund 66 und dem darunter gelegenen Steinrahmen Befund 66a um zwei voneinander unabhängige Befunde gehandelt haben; die identische Ausrichtung spricht jedoch deutlich für eine Zusammengehörigkeit (zudem sind die stark verwaschenen Schichtgrenzen zu berücksichtigen; möglicherweise waren wichtige Befundgrenzen nicht zu erkennen; der Befund war im

oberen Bereich in humoses Material eingetieft, das nicht von der Grubenfüllung zu unterscheiden war).

Funde: Keramik (FNR. 188); kalzinierte Knochen (FNR. 183).

Tafel: 27.

Befund 67. 697,80 Nord/ 741,14 Ost (Südostsektor). EN: 52,48/ SN: 52,33/ RT: -.

Deutung: Steinkonzentration.

Aufsicht: Größerer Stein (0,30 × 0,32 m), in dessen Nähe weitere kleinere Rollsteine in lockerer Streuung lagen.

Anschnitt: Keine Besonderheiten.

Funde: Keine.

Tafel: 87.

Befund 68. 696,00 Nord/ 742,15 Ost (Südostsektor). EN: 52,40/ SN: 52,25/ RT: -.

Deutung: Steinpflaster(?).

Aufsicht: Lockeres, vermutlich gestörtes Pflaster (ca. 0,50 × 1,00 m) faust- bis doppelfaustgroßer Steine; größere Steine eher außen, während kleinere überwiegend im Inneren lagen.

Anschnitt: Ein- bis zweilagiges Steinpflaster; darunter vermutlich eine flach trichterförmige Grube, die mit braungrauem, humosem Sand verfüllt war; auf der Sohle ein Findling (Dm. ca. 0,5 m); Befundgrenze stark verwaschen, kaum bis gar nicht zu erkennen.

Funde: Flint (FNR. 189); Kalzinierte Knochen (FNR. 46).

Befund 69. 699,55 Nord/ 742,25 Ost (Südostsektor). EN: 52,48/ SN: 52,34/ RT: -.

Deutung: Steinpflaster.

Aufsicht: Etwa kreisrundes, weitgehend ungestörtes Pflaster (0,84 × 0,90 m) aus faust- bis doppelfaustgroßen Rollsteinen; in der Mitte ein größerer Stein.

Anschnitt: Einlagiges Steinpflaster.

Funde: Keine.

Tafel: 87.

Befund 70. 697,84 Nord/ 743,14 Ost (Südostsektor). EN: 52,44/ SN: (51,99)/ RT: 0,45.

Deutung: Kochsteingrube.

Aufsicht: Unmittelbar nördlich des Urnengrabes Befund 71 ein abgerundet rechteckiges Pflaster (0,50 × 0,70 m) aus faust- bis doppelfaustgroßen Steinen.

Anschnitt: Steiltrichterförmige Grube, die mit einer dichten Packung aus mürben Steinen verfüllt war; Steine vermutlich hitzeermürbt, da Steine der Umgebung nicht mürbe waren; allerdings an der Oberkante der Steingrube zwei Flintsteine, die keine Hitzespuren aufwiesen.

Funde: Keine.

Tafel: 39-40.

Befund 71. 697,20 Nord/ 743,50 Ost (Südostsektor). EN: 52,39/ SN: 52,18/ RT: 0,21.

Deutung: Grab (Urne) [¹⁴C-datiert].

Aufsicht: Stark gestörte etwa kreisrunde Steinpackung (Dm. 0,40 m), in deren Mitte kalzinierte Knochen, Keramikscherben und ein bronzenener Ösenring lagen; kalzinierte Knochen auch außerhalb der Steinpackung.

Anschnitt: Grabgrube nicht zu erkennen; sehr weicher Boden eines Keramikgefäßes, darauf und daneben kalzinierte Knochen und Ösenring; unklar, ob Urne auf Bodenstein.

Funde: Bronze (Ösenring; FNR. 63); Keramik (FNR. 190, 129); kalzinierte Knochen (FNR. 48, 115).

Tafel: 39-40.

Befund 72. 700,26 Nord/ 744,81 Ost (Südostsektor). EN: 52,44/ SN: 52,21/ RT: -.

Deutung: Steinpflaster.

Aufsicht: Weitgehend ungestörtes, ovales Pflaster (1,50 x >2,10 m) aus faust- bis kopfgroßen Steinen; Nordostecke im Profilsteg nicht erfasst.

Anschnitt: Einlagiges Steinpflaster.

Funde: Kalzinierte Knochen (FNR. 51).

Tafel: 39.

Befund 73. 698,86 Nord/ 745,36 Ost (Südostsektor). EN: 52,33/ SN: 52,20/ RT: -.

Deutung: Steinkonzentration.

Aufsicht: Konzentration (Dm. ca. 0,40 m) faust- bis doppelfaustgroßer Steine

Anschnitt: Keine Besonderheiten.

Funde: Keine.

Tafel: 39.

Befund 74. 698,60 Nord/ 748,29 Ost (Südostsektor). EN: 52,37/ SN: 52,19/ RT: -.

Deutung: Steinpflaster.

Aufsicht: Unregelmäßiges, z.T. lockeres Pflaster (1,20-1,50 x 3,50 m) aus faust- bis kopfgroßen Steinen.

Anschnitt: Einlagiges Steinpflaster.

Funde: Keine.

Tafel: 39.

Befund 75. 700,10 Nord/ 747,15 Ost (Südostsektor). EN: 52,35/ SN: 52,23/ RT: -.

Deutung: Steinpflaster(?).

Aufsicht: Kleines Pflaster (Dm. 0,30 m) aus faust- bis doppelfaustgroßen Steinen.

Anschnitt: Einlagiges Steinpflaster.

Funde: Keine.

Tafel: 39.

Befund 76. 701,43 Nord/ 748,60 Ost (Südostsektor). EN: 52,39(52,32)/ SN: 52,11/ RT: 0,28(0,21).

Deutung: Grab (Urne).

Aufsicht: In Planum 1 eine lockere, unregelmäßige Konzentration (ca. >0,50 x 2,50 m) faust- bis doppelfaustgroßer Steine, die sich bis in den nördlichen Profilsteg erstreckte; in Planum 2 eine Urne (Dm. ca. 0,28 m im zerdrückten Zustand).

Anschnitt: Urne auf mehreren Bodensteinen, dazu nur einzelne Seitensteine; Urne im oberen Bereich gestört, vermutlich von einem Keramikgefäß abgedeckt.

Funde: Keramik (Urne u. Deckschale; FNR. 194); kalzinierte Knochen (FNR. 49-50, 127, 211).

Tafel: 41.

Befund 77. 700,25 Nord/ 725,17 Ost (Nordostsektor). EN: 52,84(52,97)/ SN: 52,76/ RT: 0,08.

Deutung: Grab (Körpergrab).

Aufsicht: Abgerundet rechteckige, humose Verfärbung (Grabgrube; 0,70 x 2,80 m), die von Nordwest nach Südost ausgerichtet war; die Befundgrenze war z.T. unruhig (Tieraktivitäten); innerhalb dieser Grabgrube eine rechteckige, humose, etwas dunklere Struktur aus mittel- bis dunkelgrauem, schwach lehmigem Sand (Holzsarg; 0,38-0,42 x ca. 2,00 m); Grenze des Holzarges vor allem im Südosten und Osten durch einen markanten, schwarzen oder hellgrauen Streifen hervorgehoben (Material: ?); Grenze des Sarges im Nordwesten unklar; innerhalb der inneren Struktur (Holzsarg) eine unregelmäßige graubraune Verfärbung mit vielen hellen Flecken (0,07-0,28 x 1,18 m; unklar, ob Leichenschatten oder vom Sarg); nur 0,07 m nördlich dieser unregelmäßigen Struktur eine ovale Verfärbung (organisches Behältnis?), die ebenfalls mit graubraunem, allerdings etwas dunklerem, humosem Sand verfüllt war; darin auf der flachen Unterseite liegend eine Knopfsichel aus Bronze; etwa 0,50 m nordwestlich des Sichelbefundes auf dem gleichen Niveau eine Konzentration sehr weicher Knochen;

Bereich unterhalb der Sichel wurde im Block geborgen, da durch die oxidierte Bronze organische Materialien (vermutlich Knochen und Gewebe) erhalten waren;

Bereich mit den weichen Knochen wurde ebenfalls im Block für eine DNA-Analyse geborgen (Block nicht auffindbar).

Anschnitt: Rest einer Eintiefung aus grauem und graubraunem, humosem Sand mit insgesamt ebener, aber unregelmäßig verlaufender Sohle; im Südwesten ein muldenförmiger Absatz in der Sohle (Tiergang ?).

Funde: Bronze (Knopfsichel; FNR. 221); Knochen (nicht mehr vorhanden); Holzkohle (FNR. 110); Organisches Material (FNR. 53).

Tafel: 21-23, 42.

Befund 78. 704,48 Nord/ 724,69 Ost (Nordostsektor). EN: 52,81/ SN: (52,33)/ RT: 0,48.

Deutung: Pfostengrube.

Aufsicht: Schwach ovale, schwarze, stark holzkohlehaltige Verfärbung (0,31 × 0,37 m).

Anschnitt: Eintiefung mit einer senkrechten Grubenwand im Westen und einer steilen, aber unregelmäßiger verlaufenden Ostwand; Sohlenverlauf leicht schräg; Verfüllung im oberen Bereich und direkt oberhalb der Sohle aus dunklem, stark holzkohlehaltigem, humosem Sand; dazwischen braungrauer, humoser Sand (sehr ähnlich dem vom Planum aus noch bis zu 0,1 m mächtigen humosen Sand jenseits des Befundes).

Funde: Bodenprobe (FNR. 163, 170).

Tafel: 20.

Befund 79. 705,13 Nord/ 724,32 Ost (Nordostsektor). EN: 52,83/ SN: -/ RT: -.

Deutung: Branderdeflecken.

Aufsicht: Konzentration von schwarzen, stark holzkohlehaltigen Flecken auf einer Fläche von 0,55 × 0,73 m.

Anschnitt: Keine klare Kontur; möglicherweise durch Tieraktivitäten verschleppte Reste einer höher gelegenen Branderdestelle.

Funde: Bodenprobe (FNR. 169).

Befund 80. 703,73 Nord/ 727,21 Ost (Nordostsektor). EN: 52,88/ SN: 52,33/ RT: 0,55.

Deutung: Grab (Urne) [¹⁴C-datiert].

Aufsicht: Etwa kreisrundes Pflaster (Dm. 0,40 m) aus faustgroßen Rollsteinen.

Anschnitt: Packung aus doppelfaust- bis kopfgroßen Steinen (z.gr.T. Rollsteine, auch einzelne Spaltstücke; Steine im Planum deutlich kleiner als die tiefer gelegenen der Packung); Grabgrube nur teilweise zu erkennen, da Grubenrand mit Steinen ausgelegt war; darin Urne auf einem Bodenstone und von einem Deckstein geschützt.

Funde: Bronze (Doppelknopf; FNR. 68); Keramik (Urne; FNR. 195), kalzinierte Knochen (FNR. 132).

Tafel: 42-44.

Befund 81. 703,89 Nord/ 729,45 Ost (Nordostsektor). EN: 52,96/ SN: 52,67/ RT: 0,29.

Deutung: Grab (Leichenbrandschüttung) [¹⁴C-datiert].

Aufsicht: In Planum 1 eine abgerundet rechteckige, von West nach Ost ausgerichtete Pflasterung (0,84 × 1,46 m) aus faust- bis doppelfaustgroßen Rollsteinen; im Nordosten ein und im Süden mehrere große Steine, die möglicherweise zu einem Rahmen um die Pflasterung aus kleineren Steinen gehörten; im folgenden Planum (Planum 2) löste sich das Steinpflaster in ein kleineres Pflaster (0,40 × 0,96 m) aus faust- bis doppelfaustgroßen Steinen auf; vor allem auf dieser Steinlage kleinere Konzentrationen

kalziniertes Knochen (einzelne Knochenfragmente auch bereits zwischen den Steinen der oberen Steine).

Anschnitt: Profil erst ab Planum 2; hier nur einlagiges Steinpflaster (= Grabsohle).

Funde: Keramik (FNR. 78); Flint (FNR. 76); Kalzinierte Knochen (FNR. 75-76, 125, 134, 171).

Tafel: 45-46.

Befund 82. 705,45 Nord/ 728,81 Ost (Nordostsektor). EN: 52,85/ SN: (52,70)/ RT: (0,15).

Deutung: Grab (Urne?).

Aufsicht: Konzentration (ca. 0,80 × 1,00 m) von faust- bis doppelfaustgroßen Rollsteinen und Steinplatten; dazwischen kalzinierte Knochen und Keramikscherben (stark gestörtes Urnengrab mit Steinschutz), Standort der Urne anhand von senkrecht stehenden Steinplatten und einer Konzentration von senkrecht oder schräg im Boden steckenden Keramikscherben feststellbar; Steinschutz ursprünglich etwa 0,40 - 0,50 m im Durchmesser.

Anschnitt: Keine Besonderheiten; kein Urnenboden, keine Bodensteine.

Funde: Keramik (Urne?; FNR. 77, 79); kalzinierte Knochen (FNR. 137, 204).

Tafel: 45-46.

Befund 83. 704,43 Nord/ 731,28 Ost (Nordostsektor). EN: 52,84/ SN: (52,30)/ RT: (0,54).

Deutung: Grab (Leichenbrandschüttung).

Aufsicht: In den Plana 1 und 2 eine unregelmäßig langgestreckte, von Nordnordwest nach Südsüdost ausgerichtete Pflasterung (Planum 1: (0,40-)0,60 × 1,00 m; Planum 2: (0,35-)0,75 × 1,70 m) aus faust- bis doppelfaustgroßen Steinen; im Nordosten können Randbereiche durch den Bagger abgetragen worden sein; in Planum 3 ein etwa rechteckiges, vor allem im Inneren lockeres Pflaster (ca. 0,40-0,50 × 1,70 m) aus faust- bis doppelfaustgroßen Steinen, hauptsächlich im Süden zwischen den Steinen der unteren Steinlage kalzinierte Knochen.

Anschnitt: Nicht geschnitten.

Funde: Kalzinierte Knochen (FNR. 128, 141); Holzkohle (FNR. 161).

Tafel: 45-46.

Befund 84. 702,62 Nord/ 731,14 Ost (Nordostsektor). EN: 52,87/ SN: 52,75/ RT: -.

Deutung: Steinkonzentration.

Aufsicht: Konzentration (0,35 × 0,40 m) aus einem kopfgroßen und mehreren faustgroßen Steinen; dazwischen eine Keramikscherbe.

Anschnitt: Keine Besonderheiten.

Funde: Keramik (FNR. 74).

Tafel: 46-47.

Befund 85. 700,83 Nord/ 730,53 Ost (Nordostsektor). EN: 52,94/ SN: 52,84/ RT: -.

Deutung: Steinkonzentration.

Aufsicht: Lockere Konzentration (0,30 × 0,70 m) faustgroßer Steine; zwischen den Steinen zwei Keramikscherben.

Anschnitt: Keine Besonderheiten.

Funde: Keramik (FNR. 80).

Tafel: 46-47.

Befund 86. 700,26 Nord/ 731,65 Ost (Nordostsektor). EN: 53,03/ SN: 52,35/ RT: 0,68.

Deutung: Grab (Urne) [¹⁴C-datiert].

Aufsicht: Unregelmäßiges Pflaster (>0,50 × 0,75 m) aus faust- bis doppelfaustgroßen Steinen; südlicher Teil im Profilsteg, im nördlichen Bereich Pflasterung lockerer (gestört?).

Anschnitt: Packung (Dm. 0,40-0,50 m) aus faust- bis kopfgroßen Roll- und Kantsteinen (Steine im mittleren Bereich größer als oben und unten); darin Urne mit flacher Deckplatte auf mehreren Bodensteinen; die zumeist länglichen Seitensteine zumeist senkrecht an der Grubenwand; Grabgrube nur zwischen den Steinen zu erkennen; im Westen auf Höhe der Bodensteine einige kalzinierte Knochen auch außerhalb der Steinpackung (Tieraktivitäten?).

Funde: Bronze (Spiralring; FNR. 72); Keramik (Urne; FNR. 38, 37); kalzinierte Knochen (FNR. 157, 189).

Tafel: 47-48.

Befund 87. 700,80 Nord/ 732,60 Ost (Nordostsektor). EN: 52,92/ SN: (52,62)/ RT: 0,30.

Deutung: Grab (Urne) [¹⁴C-datiert].

Aufsicht: Unregelmäßiges Pflaster (0,34 × 0,40 m) aus faust- bis doppelfaustgroßen Steinen.

Anschnitt: im oberen Bereich gestörte Packung (Dm. ca. 0,40 m) aus faust- bis doppelfaustgroßen Roll- und Kantsteinen; einzelne, fast senkrecht stehende Spaltplatten dienten als Seitenschutz; darin im oberen Bereich stark zerdrückte Urne, die von dem Unterteil eines größeren, gerauten Gefäßes abgedeckt worden war; Urne auf mehreren Bodensteinen.

Funde: Keramik (Urne; FNR. 33); Keramik (Deckgefäß; FNR. 112); Kalzinierte Knochen (FNR. 168.207).

Tafel: 47, 49-50.

Befund 88a. 701,61 Nord/ 734,49 Ost (Nordostsektor). EN: 52,79/ SN: 52,44/ RT: 0,35.

Deutung: Grab (Urne) [¹⁴C-datiert].

Aufsicht: Gemeinsam mit Befund 88b eine abgerundet rechteckige, von Nordnordwest nach Südsüdost ausgerichtete Pflasterung (0,45-0,75 × 1,70 m) aus faust- bis doppelfaustgroßen Steinen; am Nordwestende eine größere, ovale Lücke (0,20 × 0,28 m) in dem Steinpflaster; darin eine oben zerdrückte Urne (Befund 88a).

Anschnitt: im oberen Bereich gestörte Packung (Dm. ca. 0,50 m) aus faust- bis doppelfaustgroßen Roll- und Kantsteinen; Steinpackung trennt das Urnengrab von dem südöstlich

anschließenden Befund 88b; Urne auf Bodenstein; Urne von umgedrehter Schale bedeckt.

Bemerkung: Während der Fundaufnahme wurden für den Befund 88a zwei Urnen rekonstruiert. Eine davon war stark zerscherbt, sodass sie beim Dokumentieren des Befundes nicht als solche separat erkannt wurde (Vgl. Fundnr. 427.117 (98) zusammen mit Deckschale 427.115 (95)).

Funde: Bronze (Pfriem; FNR. 59); Keramik (Urne; FNR. 35); Keramik (Deckschale; FNR. 114); Keramik (Gefäßrest; FNR. 115, 116-117); kalzinierte Knochen (FNR. 96, 99, 109).

Tafel: 51, 54-55.

Befund 88b. 701,01 Nord/ 734,59 Ost (Nordostsektor). EN: 52,85/ SN: 52,42/ RT: 0,43.

Deutung: Grab (Leichenbrandschüttung) [¹⁴C-datiert].

Aufsicht: Gemeinsam mit Befund 88a eine abgerundet rechteckige, von Nordnordwest nach Südsüdost ausgerichtete Pflasterung (0,45-0,75 × 1,85 m) aus faust- bis doppelfaustgroßen Steinen; ohne die Urnenpackung (Befund 88a) nur 1,25 m lang; Pflaster in der Mitte lückenhaft; Planum 3: in dem graubraunen, humosen Sand nur wenige Steine und einzelne Konzentrationen kalzinierter Knochen; am Westrand zwei Bronzeobjekte (Knopf u. bandförmiges Blech) und Holzreste; Planum 4: Bodensteinpflaster (0,50-0,55 × >0,70 m).

Anschnitt: im Längsprofil oben eine lockere Steinlage und unten eine Bodenpflasterung; dazwischen graubrauner, humoser Sand, der vereinzelt Fragmente kalzinierter Knochen enthält; größere Konzentrationen kalzinierter Knochen direkt oberhalb der Bodensteine (dort auch die oben erwähnten Fundobjekte); im Querprofil eine steiltrichterförmige Eintiefung, die oben von Steinen bedeckt war; unten nur einzelne Bodensteine; nur wenige Seitensteine; Verfüllung aus graubraunem, humosem Sand, der mit kalzinierten Knochen durchsetzt war.

Funde: Bronze (Ösenknopf; FNR. 67); Bronze (Klingenfragmente eines Messers; FNR. 66); kalzinierte Knochen (FNR. 102, 144, 192); Holz (FNR. 145).

Tafel: 51-53.

Befund 89. (706,22) Nord/ (736,99) Ost (Nordostsektor; von der Baggerschaufel verlagert: ursprüngliche Lage bis zu 5 m westlich des eingemessenen Standortes). EN: (52,41)/ SN: -/ RT: -.

Deutung: Grab (Urne) [¹⁴C-datiert].

Aufsicht: Nach dem Aufsammeln der von der Baggerschaufel verschleppten Grabreste (Keramik u. kalzinierte Knochen) zeigte sich im anstehenden hellen Sand eine Konzentration dunkler Flecke.

Anschnitt: Unklare Struktur aus schwach humosem Material (Wurzelgänge?).

Funde: Aus den Verfärbungen keine Funde; Keramik u. kalzinierte Knochen stammen von der Oberfläche (s.o.); Keramik (FNR. 113); kalzinierte Knochen (FNR. 173).

Tafel: 56.

Befund 90. 710,07 Nord/ 725,28 Ost (Nordostsektor). EN: 52,35/ SN: (52,05)/ RT: 0,30.

Deutung: Grube/Baumwurf (?).

Aufsicht: Leicht sichelförmige, humose Verfärbung (0,45 × 1,40 m); am östlichen Rand ein doppelkopfgroßer Stein.

Anschnitt: Sohlenbereich einer Eintiefung mit unregelmäßiger, z.T. unklarer Kontur; Verfüllung aus graubraunem, humosem Sand.

Funde: Keine.

Befund 91. 704,58 Nord/ 740,98 Ost (Nordostsektor). EN: 52,63/ SN: 51,89/ RT: 0,74.

Deutung: Grab (Urne) [¹⁴C-datiert].

Aufsicht: Etwa kreisrundes Pflaster (Dm. 0,50 m) aus faust- bis kopfgroßen Rollsteinen.

Anschnitt: Etwa zylindrische Grube (0,40-0,50 m breit); darin Packung aus doppelfaust- bis kopfgroßen Steinen; im unteren Bereich vorwiegend senkrecht stehende Spaltstücke aus rötlichem Granit; darin eine Urne auf mehreren Bodensteinen; die überwiegend aus Spaltplatten bestehenden Seitensteine von einer Steinplatte abgedeckt; Steinschutz der Urne begann erst 0,30 - 0,40 m unterhalb des Planums; Urne von einem umgedrehten Unterteil eines großen, rauwandigen Gefäßes bedeckt.

Funde: Keramik (Urne; FNR. 34); Keramik (Deckgefäß; FNR. 96); kalzinierte Knochen (FNR. 160).

Tafel: 57-58.

Befund 92. 704,38 Nord/741,68 Ost (Nordostsektor). EN: 52,67/ SN: 51,91/ RT: 0,76.

Deutung: Grab (Urne) [¹⁴C-datiert].

Aufsicht: Ovale Pflaster (0,46 × 0,55 m) aus faust- bis doppelfaustgroßen Steinen.

Anschnitt: Steil trichterförmige Grube (0,40-0,50 m breit); darin Packung aus faust- bis kopfgroßen Roll- und Kantsteinen; 0,30-0,40 m unterhalb des Planums in der Steinpackung eine Urne auf mehreren Bodensteinen; Urnenpackung bedeckt durch eine flache Granitplatte; Urne von umgedrehter Schale abgedeckt (Schale nicht über den Urnenrand hinausragend).

Funde: Keramik (Urne; FNR. 93); Keramik (Deckschale mit konvexer Wandung; FNR. 92); Keramik (FNR. 94); kalzinierte Knochen (FNR. 150).

Tafel: 57, 59-60.

Befund 93. 703,34 Nord/ 743,87 Ost (Nordostsektor). EN: 52,54/ SN: (52,02)/ RT: 0,52.

Deutung: Steingrube.

Aufsicht: Unregelmäßig rechteckiges, von West nach Ost ausgerichtetes Pflaster (0,80-1,00 × 1,15 m) aus faustgroßen Steinen.

Anschnitt: Steil trichterförmig eingetiefte Grube (0,64 m breit) mit eben verlaufender Sohle; Verfüllung aus braungrauem bis dunkelbraungrauem, holzkohlehaltigem, humosem Sand und sehr vielen überwiegend deutlich mürben Steinen (Steine

vermutlich hitzeermürbt; im oberen Bereich auch einzelne kleinere Flintsteine, die keine Hitzespuren aufwiesen);

Funde: Bodenprobe (FNR. 162).

Tafel: 18, 57.

Befund 94. 706,51 Nord/ 744,18 Ost (Nordostsektor). EN: 52,55/ SN: 52,45/ RT: -.

Deutung: Steinkonzentration.

Aufsicht: Lockere Konzentration (0,40 × 0,60 m) faustgroßer Steine.

Anschnitt: Keine Besonderheiten.

Funde: Keine.

Tafel: 61.

Befund 95. 705,39 Nord/ 747,68 Ost (Nordostsektor). EN: 52,45/ SN: 51,70/ RT: 0,75.

Deutung: Grab (Urne).

Aufsicht: Unregelmäßiges Pflaster (0,60 × 0,80 m) aus faustgroßen Steinen.

Anschnitt: Steiltrichterförmige Grube (0,30-0,40 m breit); verfüllt mit einer Packung aus faust- bis doppelfaustgroßen Roll- und Kantsteinen; zwischen den Steinen braungrauer, humoser Sand; Bodensteine der Urne auf der Grubensohle; keine Seitensteine; Deckpackung setzte etwa 0,50 m unterhalb des Planums an; Urne bedeckt durch umgedrehte Schale; Urne vollständig geborgen.

Funde: Keramik (Urne; FNR. 43); Keramik (Deckschale; FNR. 56, 57); kalzinierte Knochen (FNR. 221).

Tafel: 61-65.

Befund 96. 710,91 Nord/ 742,14 Ost (Nordostsektor). EN: 52,36/ SN: (51,64)/ RT: 0,72.

Deutung: Grube.

Aufsicht: Abgerundet dreieckige, humose Verfärbung (1,10 × 1,85 m).

Anschnitt: Etwas unregelmäßig trichterförmige Eintiefung mit muldenförmiger Sohle; Verfüllung aus braungrauem, humosem, leicht lehmigem Sand; in der Verfüllung vereinzelt kleine Holzkohlestücke.

Funde: Keine.

Tafel: 18.

Befund 97. 708,17 Nord/ 748,67 Ost (Nordostsektor). EN: 52,54/ SN: 52,43/ RT: -.

Deutung: Steinpflaster(?).

Aufsicht: Unregelmäßig längliche, von Nord nach Süd ausgerichtete Konzentration (ca. 0,90 × 1,70 m) faust- bis doppelfaustgroßer Steine.

Anschnitt: Keine Besonderheiten; möglicherweise gestörtes Steinpflaster.

Funde: Keine.

Tafel: 61, 66.

Befund 98. 708,58 Nord/ 750,95 Ost (Nordostsektor). EN: 52,64/ SN: 52,47/ RT: -.

Deutung: Steinpflaster.

Aufsicht: Unregelmäßig längliches, von Südwest nach Nordost ausgerichtetes Pflaster (0,60-0,70 × 1,45 m) aus faust- bis doppelfaustgroßen Steinen; im Süden kann durch den Bagger der Randbereich entfernt worden sein.

Anschnitt: Einlagiges Pflaster.

Funde: Keine.

Tafel: 66.

Befund 99. 710,97 Nord/ 750,49 Ost (Nordostsektor). EN: (52,48)/ SN: 52,18/ RT: 0,30.

Deutung: Grab (Urne) [¹⁴C-datiert].

Aufsicht: Ovale Pflaster (0,50 × 0,55 m) aus faustgroßen Rollsteinen und einer großen Steinplatte, die am Südrand steil im Boden steckte; in der Mitte eine im oberen Bereich gestörte Urne.

Anschnitt: Packung (0,55 m breit) aus faust- bis doppelfaustgroßen Rollsteinen und mehreren flachen Steinplatten, die den Großteil des Seitenschutzes darstellten; Urne auf mehreren Bodensteinen; Abdeckung der Steinpackung und der Urne unklar, da entsprechender Bereich gestört war.

Funde: Bronze (Pfriem; FNR. 61); Bronze (Drahtreste; FNR. 60); Keramik (Urne; FNR. 75); kalzinierte Knochen (FNR. 101).

Tafel: 66-68.

Befund 100. 711,19 Nord/ 749,24 Ost (Nordostsektor). EN: 52,35/ SN: (52,21)/ RT: 0,14.

Deutung: (?).

Aufsicht: Langgestreckte, leicht sichelförmige, humose Verfärbung mit abgerundeten Enden (0,40 × 1,17 m).

Anschnitt: Sohlenbereich einer Eintiefung, die mit braungrauem, humosem Sand verfüllt war.

Funde: Keine.

Tafel: 66.

Befund 101. 713,14 Nord/ 748,13 Ost (Nordostsektor). EN: 52,58/ SN: 52,10/ RT: 0,48.

Deutung: Grab (Urne) [¹⁴C-datiert].

Aufsicht: Ovale Pflaster (0,40 × 0,42 m) aus faust- bis doppelfaustgroßen Rollsteinen; Basis der Steinpackung mit mehreren Bodensteinen ausgelegt; auf diesen Steinen lagen vier kleinere Steine auf denen die Urne stand.

Anschnitt: Packung aus faust- bis kopfgroßen Rollsteinen und einzelnen Spaltstücken; darin vollständig erhaltene Urne mit zerdrückter, aufrecht stehender Deckschale; Urne auf mehreren Bodensteinen (s.o.); Urne von flacher Steinplatte abgedeckt; Deckplatte 0,10 - 0,20 m unterhalb des Planums; Deckschale tief in der Urne, während der Schalenrand vom Deckstein entlang des Urnenrandes zerdrückt worden war; Deckschale vermutlich in einen ursprünglich vorhandenen Hohlraum der Urne gesackt, nachdem der Rand des Deckgefäßes abgetrennt worden war; Füllung der

Urne im oberen Bereich ansonsten aus hellgraubraunem, schwach humosem Sand; Urne vollständig geborgen.

Funde: Keramik (Urne; FNR. 222); Keramik (Deckschale; FNR. 58, 42); kalzinierte Knochen (FNR. 220); Doppelknopf (FNR. 71).

Tafel: 69-72.

Befund 102. 715,33 Nord/ 747,85 Ost (Nordostsektor). EN: 52,49/ SN: 52,21/ RT: 0,28.

Deutung: Grab (Urne).

Aufsicht: Etwa ovales Pflaster (0,36 × 0,44 m) aus überwiegend faustgroßen Rollsteinen; am Nordwestrand eine größere Steinplatte; in der Mitte Rand eines Keramikgefäßes mit randständigem Henkel.

Anschnitt: Etwa zylindrische Packung (0,30-0,35 m breit) aus faust- bis doppelfaustgroßen Rollsteinen; Grabgrube schwach zu erkennen (im Norden etwa 5 cm breiter als die Steinpackung; innerhalb der Steinpackung eine Urne auf mehreren Bodensteinen; ein faustgroßer Stein in der Urne; auf der Urne eine aufrecht stehende Deckschale; keine Steinplattenabdeckung.

Funde: Keramik (Urne und Deckschale; FNR. 55); Flint (FNR. 104); kalzinierte Knochen (FNR. 55, 208).

Tafel: 69, 73-75.

Befund 103. 712,50 Nord/ 753,88 Ost (Nordostsektor). EN: 52,43/ SN: 52,18/ RT: 0,25.

Deutung: Grab (Urne) [¹⁴C-datiert].

Aufsicht: Rest einer ringförmigen Packung (0,42 × 0,48 m) aus faustgroßen Rollsteinen.; darin Unterteil einer Urne mit kalzinierten Knochen.

Anschnitt: Packung aus faust- bis doppelfaustgroßen Roll- und einzelnen Kantsteinen; Urne auf mehreren Bodensteinen.

Funde: Keramik (Urne; FNR. 39); kalzinierte Knochen (FNR. 57.212).

Tafel: 76-77.

Befund 104. 715,10 Nord/ 755,09 Ost (Nordostsektor). EN: 52,49/ SN: 52,28/ RT: 0,19.

Deutung: Grab (Urne).

Aufsicht: Nur noch in der Osthälfte erhaltene Packung (Dm. ca. 0,40-0,50 m) aus faust- bis doppelfaustgroßen Roll- und Kantsteinen; darin eine stark zerdrückte Urne und kalzinierte Knochen.

Anschnitt: Packung aus faust- bis doppelfaustgroßen Roll- u. Kantsteinen; darin Urne auf mehreren Bodensteinen; Steinpackung reichte noch um eine Steinlage tiefer als die Bodensteine der Urne; in der Urne das Unterteil eines aufrecht stehenden Deckgefäßes.

Funde: Keramik (Urne und Deckschale; FNR. 40); kalzinierte Knochen (FNR. 59).

Tafel: 76-77.

Befund 105. 715,77 Nord/ 757,97 Ost (Nordostsektor). EN: 52,47/ SN: 52,25/ RT: 0,22.

Deutung: Grab (Urne) [¹⁴C-datiert].

Aufsicht: Südwestlich von zwei faustgroßen Rollsteinen der zerdrückte Rand einer Urne; in der Urne die Reste des Unterteiles eines aufrecht stehenden Deckgefäßes.

Anschnitt: Unterer Bereich einer Packung (0,26 m breit) aus faust- bis doppelfaustgroßen Rollsteinen; darin die oben stark zerdrückte Urne mit den Resten des Deckgefäßes (s.o.); Urne auf mehreren Bodensteinen.

Funde: Keramik (Urne u. Deckgefäß; FNR. 48); kalzinierte Knochen (FNR. 61, 210).

Tafel: 78-79a+b.

Befund 106. 718,15 Nord/ 757,35 Ost (Nordostsektor). EN: 52,55/ SN: 52,30/ RT: 0,25.

Deutung: Grab (Urne) [¹⁴C-datiert].

Aufsicht: Reste einer im Westen erhaltenen Packung (Dm. ca. 0,40 m) aus faust- bis doppelfaustgroßen Steinen; darin das Unterteil einer Urne und kalzinierte Knochen.

Anschnitt: Unterer Bereich einer Packung aus faust- bis doppelfaustgroßen Steinen; darin Unterteil einer Urne, in der ein größerer Stein lag; Urne auf mehreren Bodensteinen.

Funde: Keramik (Urne; FNR. 49); kalzinierte Knochen (FNR. 63).

Tafel: 80-81.

Befund 107. 719,82 Nord/ 753,87 Ost (Nordostsektor). EN: 52,49/ SN: 52,31/ RT: 0,18.

Deutung: Grab (Urne).

Aufsicht: Ringförmig angeordnete Steine; darin Rest einer stark zerdrückten Urne u. kalzinierte Knochen.

Anschnitt: Unterer Bereich einer Packung aus faust- bis doppelfaustgroßen Steinen; darin zerdrücktes Unterteil einer Urne; Urne auf mehreren Bodensteinen.

Funde: Keramik (Urne; FNR. 50); kalzinierte Knochen (FNR. 65).

Tafel: 80, 82.

Befund 108. 719,65 Nord/ 757,10 Ost (Nordostsektor). EN: 52,44/ SN: 52,37/ RT: 0,07.

Deutung: Grab (Urne).

Aufsicht: Unterer Bereich einer Packung aus faust- bis doppelfaustgroßen Steinen; darauf stark zerdrückte Urnenreste und kalzinierte Knochen.

Anschnitt: Stark zerdrücktes Unterteil einer Urne auf mehreren Bodensteinen.

Funde: Keramik (Urne; FNR. 51); kalzinierte Knochen (FNR. 67).

Tafel: 80.

Befund 109. 722,35 Nord/ 765,09 Ost (Nordostsektor). EN: 52,48/ SN: 52,05/ RT: 0,43.

Deutung: Grab (Urne) [¹⁴C-datiert].

Aufsicht: Etwa kreisrundes Pflaster (Dm. 0,45 m) aus faustgroßen Rollsteinen; in den Zwischenräumen Rand einer Urne und

die zerdrückten Reste eines umgedrehten Gefäßunterteiles erkennbar.

Anschnitt: Grubengrenze verwaschen, daher nur schwach in den Zwischenräumen zwischen den Steinen zu erkennen; in der Grube eine Packung (0,40 m breit) aus überwiegend faustgroßen Rollsteinen, die bis an den Grubenrand reichte; innerhalb der Steinpackung eine im oberen Bereich zerdrückte Urne auf mehreren Bodensteinen; Urne von einem umgedrehten Unterteil eines rauwandigen Gefäßes abgedeckt.

Funde: Keramik (Urne; FNR. 36); Keramik (Deckgefäß; FNR. 52); kalzinierte Knochen (FNR. 124).

Tafel: 83.

Befund 110. 702,63 Nord/ 727,14 Ost (Nordostsektor). EN: 52,87/ SN: 52,73/ RT: -.

Deutung: Steinkonzentration.

Aufsicht: Konzentration (0,40) faust- bis doppelfaustgroßer Roll- und Kantsteine.

Anschnitt: Keine Besonderheit.

Funde: Keine.

Tafel: 42.

Befund 111. 709,10 Nord/ 729,31 Ost (Nordostsektor). EN: 52,49/ SN: 52,07/ RT: 0,42.

Deutung: Grab (Urne) [¹⁴C-datiert].

Aufsicht: Kleines, etwa kreisrundes Pflaster (Dm. 0,35-0,40 m) aus fünf faust- bis doppelfaustgroßen Rollsteinen; zwischen den Steinen eine Wandungsscherbe.

Anschnitt: Steiltrichterförmige Grube; darin Packung (0,35 m breit) aus faust- bis doppelfaustgroßen Rollsteinen; im Nordosten nicht überall Seitensteine; hier die dunkle, humose Füllung der Grabgrube deutlich vom umliegenden hellen Sand zu unterscheiden; innerhalb der Steinpackung eine Urne auf mehreren Bodensteinen; Urne von mehreren Scherbenlagen abgedeckt; zugehörige Scherben auch außerhalb am nordöstlichen Urnenrand; Urne vollständig geborgen.

Funde: Keramik (Urne; FNR. 44); Keramik (Deckscherben; FNR. 53); kalzinierte Knochen (FNR. 155).

Tafel: 84-85.

Befund 112. 707,76 Nord/ 744,34 Ost (Nordostsektor). EN: 52,52/ SN: 52,38/ RT: -.

Deutung: Steinkonzentration.

Aufsicht: Lockere Konzentration (0,50 × 0,90 m) faust- bis doppelfaustgroßer Steine.

Anschnitt: Keine Besonderheiten.

Funde: Bodenprobe (FNR. 187).

Tafel: 61.

Befund 113. 707,35 Nord/ 747,68 Ost (Nordostsektor). EN: 52,54/ SN: 52,41/ RT: -.

Deutung: Steinkonzentration.

Aufsicht: Konzentration (Dm. ca. 0,50 m) faust- bis doppelfaustgroßer Steine.

Anschnitt: Keine Besonderheiten.

Funde: Keine.

Tafel: 61.

Befund 114. 714,31 Nord/ 756,75 Ost (Nordostsektor). EN: 52,46/ SN: (52,20)/ RT: 0,26.

Deutung: Grube(?).

Aufsicht: Unregelmäßige, humose Verfärbung (1,2 × 2,0 m); südlicher Bereich gestört.

Anschnitt: Eintiefung mit unregelmäßig verlaufender Sohle; Verfüllung aus dunkelbraungrauem, humosem Sand; Befundgrenze insgesamt unregelmäßig und verwaschen.

Funde: Keine.

Tafel: 19, 76.

Befund 115. 718,30 Nord/ 758,40 Ost (Nordostsektor). EN: 52,42/ SN: -/ RT: -.

Deutung: (?).

Aufsicht: Ovale, humose Verfärbung (0,26 × 0,31 m).

Anschnitt: Keine klare Kontur.

Funde: Keine.

Tafel: 78.

Befund 116. 719,71 Nord/ 759,06 Ost (Nordostsektor). EN: 52,39/ SN: -/ RT: -.

Deutung: (?).

Aufsicht: Unregelmäßige, humose Verfärbung (0,47 × 0,56 m).

Anschnitt: Keine klare Kontur.

Funde: Keine.

Tafel: 78.

Befund 117. 698,95 Nord/ 732,79 Ost (Südostsektor; „Suchschnitt 2 Herbst 2004“: Urne 1). EN: (53,01)/ SN: 52,46/ RT: 0,45.

Deutung: Grab (Urne).

Aufsicht: Nur im Profil am Nordrand des „Suchschnittes 2 Herbst 2004“ erfaßt.

Anschnitt: „Stark zerscherbte + zerdrückte Urne im Anschnitt. Gefäßkontur nicht erkennbar. Außen rotbraune, innen schwarze Tongefäßscherben. Gefäß auf kugeligem Gneis. Grober LB sichtbar. Im Bereich der vermuteten Mündung kugelig Felsstein (Ø ca. 10 cm). Gefäß wohl frei im Boden. Basis 75 cm unter Flur.“ [Zitat I. Clausen]

Funde: Keramikurne (FNR. 54, 99-100); kalzinierte Knochen (FNR. 186, 196).

Tafel: 86.

Befund 118. 694,42 Nord/ 731,47 Ost (Südostsektor). EN: (<52,69)/ SN: -/ RT: 0,58.

Deutung: Branderdegrube.

Aufsicht: Erst in Planum 2 erfasste unregelmäßige Verfärbung (0,70 × 1,10 m) aus dunkelbraungrauem, humosem, schwach holzkohlehaltigem Sand; an zwei Stellen dunkler, durch höheren Holzkohleanteil.

Anschnitt: Unregelmäßige Eintiefung; im oberen Bereich (bis 0,40 m tief) braungrauer, humoser, schwach holzkohlehaltiger Sand; im unteren Bereich (0,10-0,40 m mächtig) dunkler durch höheren Holzkohleanteil.

Funde: Holzkohle (FNR. 188).

Tafel: 16.

Befund 119. 694,07 Nord/ 716,80 Ost (Südwestsektor). EN: 52,97/ SN: 52,78/ RT: 0,19.

Deutung: Branderdestelle.

Aufsicht: In Planum 2 erfasste, unregelmäßige Verfärbung (ca. 1,00 × 1,70 m) aus graubraunem, humosem Sand mit einzelnen dunklen, holzkohlehaltigen Bereichen; möglicherweise gehörten die benachbarten Befunde 33 - 36 und 38 zu dieser Struktur.

Anschnitt: Im Querprofil etwa muldenförmige Eintiefung; Verfüllung aus im unteren Bereich schwarzgrauem, humosem, stark holzkohlehaltigem Sand; oberer Bereich nur graubrauner, humoser Sand ohne Holzkohle; im Längsprofil ebenfalls muldenförmige Eintiefung mit entsprechender Verfüllung; schwarze Strate in einer Mächtigkeit von 5-8 cm im Bereich der gesamten Grubensohle (zieht im Westen auch ein wenig die Grubenwand hinauf).

Funde: Bodenprobe (FNR. 20).

Tafel: 16.

Befund 120. 704,49 Nord/ 722,79 Ost (Nordwestsektor; „Suchschnitt 1 Herbst 2004“). EN: 52,68/ SN: (52,49)/ RT: 0,19.

Deutung: Pfostengrube(?).

Aufsicht: Unregelmäßig ovale, humose Verfärbung (0,26 × 0,38 m).

Anschnitt: Steiltrichterförmige Eintiefung mit muldenförmiger Sohle; Verfüllung aus dunkelgraubraunem, holzkohlehaltigem Sand.

Funde: Bodenprobe (FNR. 21).

Tafel: 20.

Befund 121. 717,00 Nord/ 759,72 Ost (Nordostsektor). EN: (<52,36)/ SN: -/ RT: 0,19.

Deutung: (?).

Aufsicht: Erst in Planum 2 erfasste, ovale, humose Verfärbung (0,70 × 0,80 m).

Anschnitt: Unregelmäßige Eintiefung; Verfüllung aus graubraunem, humosem Sand mit hellen Flecken.

Funde: Keine.

Tafel: 19.

Befund 122. 716,09 Nord/ 759,17 Ost (Nordostsektor). EN: (<52,36)/ SN: -/ RT: 0,34.

Deutung: Grube(?).

Aufsicht: Erst in Planum 2 erfasste, ovale, humose Verfärbung (0,70 × 0,80 m).

Anschnitt: Unregelmäßig steil trichterförmige Eintiefung; Verfüllung aus graubraunem, humosem Sand mit hellen Flecken.

Funde: Keine.

Tafel: 19.

Befund 123. 694,55 Nord/ 704,91 Ost („Schnitt West, Ökologie-Zentrum“). EN: 51,92/ SN: (51,53)/ RT: 0,39.

Deutung: Pfostengrube(?).

Aufsicht: Ovale, humose Verfärbung (0,25 × 0,40 m).

Anschnitt: Schräg nach Norden geneigte, steil trichterförmige bis senkrechte Eintiefung mit unregelmäßiger Basis (unklar, ob Pfostengrube; könnte auch Wurzel- oder Tiergang sein); Verfüllung aus braungrauem, humosem Sand mit einzelnen Holzkohlestücken.

Funde: Keine.

Tafel: 20.

Befund 124. 693,78 Nord/ 702,41 Ost („Schnitt West, Ökologie-Zentrum“). EN: 52,10/ SN: (51,87)/ RT: 0,23.

Deutung: Grube.

Aufsicht: Vermutlich ovale, nicht vollständig erfasste, humose Verfärbung (0,90 x >0,70 m).

Anschnitt: Senkrecht bis steil trichterförmig eingetiefte Grube mit unregelmäßiger Basis; Verfüllung aus graubraunem, humosem, holzkohlehaltigem Sand; im unteren Bereich hellgelbbraungrauer, humoser Sand.

Funde: Keine.

Tafel: 19.

Befund 125. 693,34 Nord/ 696,79 Ost („Schnitt West, Ökologie-Zentrum“). EN: 51,75/ SN: (51,67)/ RT: 0,08.

Deutung: Steinstandspur(?).

Aufsicht: Ovale, humose Verfärbung (0,20 × 0,25 m).

Anschnitt: Humoser Rest.

Funde: Keine.

Befund 126. 693,51 Nord/ 696,06 Ost („Schnitt West, Ökologie-Zentrum“). EN: 51,70/ SN: (51,62)/ RT: 0,08.

Deutung: Steinstandspur.

Aufsicht: Ovale, humose Verfärbung (0,30 × 0,55 m).

Anschnitt: Humoser Rest.

Funde: Keine.

LA 20

(Tafel 90-94)

Befund 1. 5993749,59 Nord/ 3582715,12 Ost (Nordwestsektor). EN: 53,08/ SN: 52,98/ RT: 0,10.

Deutung: Steinstandspur(?).

Aufsicht: Ovale, humose Verfärbung (0,20 × 0,39 m).

Anschnitt: Rest einer humosen Eintiefung mit schräg verlaufender Sohle.

Funde: Keine.

Befund 2. 5993750,00 Nord/ 3582713,75 Ost (Nordwestsektor). EN: 53,09/ SN: 53,07/ RT: 0,02.

Deutung: Steinstandspur(?).

Aufsicht: Ovale, humose Verfärbung (0,20 × 0,30 m).

Anschnitt: Rest einer humosen Eintiefung mit muldenförmiger Sohle.

Funde: Keine.

Befund 3. 5993750,63 Nord/ 3582713,23 Ost (Nordwestsektor). EN: 53,04/ SN: -/ RT: -.

Deutung: (?).

Aufsicht: Ovale, humose Verfärbung (0,30 × 0,45 m).

Anschnitt: Keine klare Kontur.

Funde: Keine.

Befund 4. 5993750,65 Nord/ 3582712,88 Ost (Nordwestsektor). EN: 53,00/ SN: 52,90/ RT: 0,10.

Deutung: Steinstandspur.

Aufsicht: Ovale, humose Verfärbung (0,22 × 0,29 m).

Anschnitt: Vermutlich senkrechte Eintiefung mit muldenförmiger Sohle.

Funde: Keine.

Befund 5. 5993750,92 Nord/ 3582714,99 Ost (Nordwestsektor). EN: 53,04/ SN: 52,93/ RT: 0,11.

Deutung: Steinstandspur.

Aufsicht: Westteil einer humosen Verfärbung (0,55 x >0,38 m); Ostteil im Profilsteg.

Anschnitt: Rest einer humosen Eintiefung mit schräg verlaufender Sohle.

Funde: Keine.

Befund 6. 5993750,91 Nord/ 3582714,44 Ost (Nordwestsektor). EN: 53,01/ SN: 52,97/ RT: 0,04.

Deutung: Kochsteingrube.

Aufsicht: Langovale, humose Verfärbung (0,35 × 0,72 m) mit vielen hitzeermürbten Steinen.

Anschnitt: Rest einer humosen, holzkohlehaltigen Eintiefung mit hitzeermürbten Steinen.

Funde: Keine.

Befund 7. 5993751,54 Nord/ 3582713,91 Ost (Nordwestsektor).
EN: 53,05 SN: 52,93/ RT: 0,12.

Deutung: Kochsteingrube.

Aufsicht: Etwa kreisrunde, humose Verfärbung (Dm. 0,50 m) mit sehr vielen hitzeermürbten Steinen.

Anschnitt: Steil trichterförmige Eintiefung nahezu eben verlaufender Sohle; Verfüllung aus hitzeermürbten Steinen (mindestens zweilagig); Zwischenräume aus schwarzgrauem, humosem, stark holzkohlehaltigem Sand.

Funde: Holzkohle (FNR. 8); Bodenprobe (FNR. 12).

Tafel: 93.

Befund 8. 5993752,15 Nord/ 3582714,74 Ost (Nordwestsektor).
EN: 52,99/ SN: 52,96/ RT: 0,03.

Deutung: Pflugspur(?; modern).

Aufsicht: Ovale, humose Verfärbung (0,29 × 0,40 m).

Anschnitt: Humoser Rest.

Funde: Keine.

Befund 9. 5993752,45 Nord/ 3582714,66 Ost (Nordwestsektor).
EN: 53,03/ SN: 52,92/ RT: 0,11.

Deutung: (?).

Aufsicht: Ovale, humose Verfärbung (0,30 × 0,41 m).

Anschnitt: Rest einer humosen Eintiefung.

Funde: Keine.

Befund 10. 5993752,80 Nord/ 3582714,43 Ost (Nordwestsektor).
EN: 53,01/ SN: 52,92/ RT: 0,09.

Deutung: (?).

Aufsicht: Ovale, humose Verfärbung (0,28 × 0,50 m).

Anschnitt: Rest einer muldenförmigen Eintiefung; Verfüllung aus humosem, holzkohlehaltigem Sand.

Funde: Keine.

Befund 11. 5993752,39 Nord/ 3582713,61 Ost (Nordwestsektor).
EN: 53,00/ SN: -/ RT: -

Deutung: (?).

Aufsicht: Unregelmäßig ovale, humose Verfärbung (0,40 × 0,48 m).

Anschnitt: Keine klare Kontur.

Funde: Keine.

Befund 12. 5993752,99 Nord/ 3582712,61 Ost (Nordwestsektor).
EN: 52,88/ SN: -/ RT: -

Deutung: (?).

Aufsicht: Ovale, humose Verfärbung (0,29 × 0,33 m).

Anschnitt: Rest einer humosen, schwach holzkohlehaltigen Eintiefung ohne klare Kontur.

Funde: Keine.

Befund 13. 5993751,52 Nord/ 3582712,97 Ost (Nordwestsektor).
EN: 53,00/ SN: 52,86/ RT: 0,14.

Deutung: Steinstandspur.

Aufsicht: Ovale, humose Verfärbung (0,38 × 0,55 m).

Anschnitt: Rest einer humosen Eintiefung mit schräg verlaufender Sohle.

Funde: Keine.

Befund 14. 5993751,57 Nord/ 3582712,04 Ost (Nordwestsektor).
EN: 52,94/ SN: 52,85/ RT: 0,09.

Deutung: Steinstandspur(?).

Aufsicht: Etwa ovale, humose Verfärbung (0,31 × 0,49 m).

Anschnitt: Rest einer humosen Eintiefung mit eben verlaufender Sohle.

Funde: Keine.

Befund 15. 5993752,40 Nord/ 3582710,60 Ost (Nordwestsektor).
EN: 52,89/ SN: (52,11)/ RT: 0,10.

Deutung: Baumwurfgrube(?; mit Befund 16).

Aufsicht: Unregelmäßige, humose Verfärbung (mit Befund 16: 0,50 × 1,50 m).

Anschnitt: Trichterförmige Eintiefung mit unregelmäßiger Sohle (im Bereich von Befund 15 muldenförmig, im Bereich von Befund 16 schräg; keine Grenze zwischen beiden Befunden); Verfüllung aus braungrauem, humosem, schwach holzkohlehaltigem, kiesigem Sand.

Funde: Keine.

Befund 16. 5993751,50 Nord/ 3582710,60 Ost (Nordwestsektor).
EN: 52,91/ SN: 52,71/ RT: 0,20.

Deutung: Kein eigenständiger Befund (zu Befund 15).

Aufsicht: Ovale, humose Verfärbung (0,61 × 0,98 m), die im Planum mit dem Befund 15 verbunden war.

Anschnitt: Zu Befund 15.

Funde: Keine.

Befund 17. 5993751,13 Nord/ 3582710,07 Ost (Nordwestsektor).
EN: 52,93/ SN: -/ RT: -

Deutung: (?).

Aufsicht: Etwa kreisrunde, humose Verfärbung (0,55 × 0,62 m).

Anschnitt: Keine Angaben.

Funde: Keine.

Befund 18. 5993752,24 Nord/ 3582707,26 Ost (Nordwestsektor).
EN: 52,73/ SN: 52,51/ RT: 0,32.

Deutung: Pfofengrube(?).

Aufsicht: Nahezu kreisrunde, humose Verfärbung (0,24 × 0,27 m).

Anschnitt: Senkrechte Eintiefung mit unregelmäßig spitz zulaufender Sohle; Verfüllung aus braungrauem, humosem Sand.

Funde: Keine.

Tafel: 94.

Befund 19. 5993752,33 Nord/ 3582705,42 Ost (Nordwestsektor).
EN: 52,64/ SN: 52,56/ RT: 0,08.

Deutung: (?).

Aufsicht: Ovale, humose Verfärbung (0,35 × 0,36 m).

Anschnitt: Rest einer humosen, kiesigen Eintiefung ohne klare Kontur.

Funde: Keine.

Befund 20. 5993750,63 Nord/ 3582704,76 Ost (Nordwestsektor).
EN: 52,72/ SN: 52,66/ RT: 0,06.

Deutung: Steinstandspur(?).

Aufsicht: Ovale, humose Verfärbung (0,18 × 0,28 m).

Anschnitt: Rest einer humosen Eintiefung.

Funde: Keine.

Befund 21. 5993749,72 Nord/ 3582704,76 Ost (Nordwestsektor).
EN: 52,73/ SN: -/ RT: -

Deutung: (?).

Aufsicht: Unregelmäßige, humose Verfärbung (0,28 × 0,53 m).

Anschnitt: Keine klare Kontur.

Funde: Keine.

Befund 22. 5993758,35 Nord/ 3582713,53 Ost (Nordwestsektor).
EN: 52,68/ SN: 52,61/ RT: 0,07.

Deutung: Steinstandspur(?).

Aufsicht: Leicht bogenförmige, humose Verfärbung (0,43 × 0,90 m).

Anschnitt: Rest einer muldenförmigen Eintiefung.

Funde: Keine.

Befund 23. 5993756,54 Nord/ 3582712,18 Ost (Nordwestsektor).
EN: 52,75/ SN: 51,91/ RT: 0,84.

Deutung: Baumwurfgrube(?).

Aufsicht: Leicht bogenförmige, humose Verfärbung (1,30 × 3,60 m).

Anschnitt: Unregelmäßige Eintiefung mit teilweise stark verwaschener Kontur; Verfüllung aus graubraunem, humosem, kiesigem Sand.

Funde: Keine.

Befund 24. 5993755,18 Nord/ 3582710,84 Ost (Nordwestsektor).
EN: 52,78/ SN: 52,68/ RT: 0,10.

Deutung: Baumwurfgrube(?).

Aufsicht: Unregelmäßig leicht bogenförmige, humose Verfärbung (0,42 × 0,70 m).

Anschnitt: Nahezu senkrechte Eintiefung mit leicht schräg verlaufender Sohle; Verfüllung aus braungrauem, humosem, kiesigem Sand.

Funde: Keine.

Befund 25. 5993752,44 Nord/ 3582711,87 Ost (Nordwestsektor).
EN: 52,89/ SN: 52,59/ RT: 0,30.

Deutung: Pfostengrube.

Aufsicht: Ovale, humose Verfärbung (0,28 × 0,33 m).

Anschnitt: Senkrechte Eintiefung mit ebener Sohle; Verfüllung aus braungrauem, humosem Sand.

Funde: Keine.

Tafel: 94.

Befund 26. 5993749,66 Nord/ 3582699,84 Ost (Nordwestsektor).
EN: 52,48 SN: 52,44/ RT: 0,04.

Deutung: Steinstandspur.

Aufsicht: Ovale, humose Verfärbung (0,23 × 0,26 m).

Anschnitt: Rest einer muldenförmigen Eintiefung.

Funde: Keine.

Befund 27. 5993751,41 Nord/ 3582702,60 Ost (Nordwestsektor).
EN: 52,60/ SN: 52,53/ RT: 0,07.

Deutung: Steinstandspur(?).

Aufsicht: Ovale, humose Verfärbung (0,15 × 0,24 m).

Anschnitt: Rest einer humosen Eintiefung.

Funde: Keine.

Befund 28. 5993753,62 Nord/ 3582714,63 Ost (Nordwestsektor).
EN: 52,96/ SN: 52,89/ RT: 0,07.

Deutung: Steinstandspur(?).

Aufsicht: Ovale, humose Verfärbung (0,20 × 0,30 m).

Anschnitt: Rest einer humosen Eintiefung mit muldenförmiger Sohle.

Funde: Keine.

Befund 29. 5993755,17 Nord/ 3582714,40 Ost (Nordwestsektor).
EN: 52,85/ SN: 52,75/ RT: 0,10.

Deutung: Steinstandspur(?).

Aufsicht: Westteil einer ovalen, humosen Verfärbung (0,35 × 0,35 m).

Anschnitt: Rest einer humosen Eintiefung mit muldenförmiger Sohle.

Funde: Keine.

Befund 30. 5993719,78 Nord/ 3582712,04 Ost (Südwestsektor). EN:
51,98/ SN: 51,56/ RT: 0,42.

Deutung: Baumwurfgrube(?).

Aufsicht: Unregelmäßig langovale, humose Verfärbung (0,38 × 1,56 m).

Anschnitt: Etwa muldenförmige Eintiefung mit unregelmäßiger Befundgrenze; Verfüllung aus braungrauem, humosem Sand mit hellen Flecken.

Funde: Keine.

Befund 31. 5993719,29 Nord/ 3582710,88 Ost (Südwestsektor). EN: 51,94/ SN: -/ RT: -.

Deutung: (?).

Aufsicht: Unregelmäßig langgestreckte, humose Verfärbung (0,23 × 1,13 m).

Anschnitt: Keine klare Kontur.

Funde: Keine.

Befund 32. 5993719,40 Nord/ 3582709,11 Ost (Südwestsektor). EN: 51,88/ SN: 51,84/ RT: 0,04.

Deutung: Steinstandspur.

Aufsicht: Ovale, humose Verfärbung (0,28 × 0,30 m).

Anschnitt: Rest einer muldenförmigen Eintiefung.

Funde: Keine.

Befund 33. 5993719,18 Nord/ 3582705,48 Ost (Südwestsektor). EN: 51,85/ SN: 51,83/ RT: 0,02.

Deutung: Steinstandspur.

Aufsicht: Ovale, humose Verfärbung (0,40 × 0,59 m).

Anschnitt: Rest einer muldenförmigen Eintiefung.

Funde: Keine.

Befund 34. 5993742,64 Nord/ 3582705,08 Ost (Südwestsektor). EN: 52,54/ SN: -/ RT: -.

Deutung: (?).

Aufsicht: Schwach bogenförmige, humose Verfärbung (0,30 × 1,07 m).

Anschnitt: Keine Kontur.

Funde: Keine.

Befund 35. 5993741,02 Nord/ 3582705,94 Ost (Südwestsektor). EN: 52,51/ SN: 52,06/ RT: 0,45.

Deutung: Baumwurfgrube(?).

Aufsicht: Bogenförmige, humose Verfärbung (0,50 × 1,75 m).

Anschnitt: Senkrechte bis steil trichterförmige Eintiefung mit unregelmäßig verlaufender Sohle; Verfüllung aus graubraunem, humosem, leicht lehmigem Sand.

Funde: Keine.

Befund 36. 5993740,87 Nord/ 3582711,15 Ost (Südwestsektor). EN: 52,71/ SN: 52,63/ RT: 0,08.

Deutung: Steinstandspur.

Aufsicht: Ovale, humose Verfärbung (0,35 × 0,46 m).

Anschnitt: Muldenförmige Eintiefung.

Funde: Keine.

Befund 37. 5993741,69 Nord/ 3582712,59 Ost (Südwestsektor). EN: 52,81/ SN: 52,76/ RT: 0,05.

Deutung: Steinstandspur.

Aufsicht: Ovale, humose Verfärbung (0,17 × 0,28 m).

Anschnitt: Muldenförmige Eintiefung.

Funde: Keine.

Befund 38. 5993740,89 Nord/ 3582712,87 Ost (Südwestsektor). EN: 52,80/ SN: 52,68/ RT: 0,12.

Deutung: Steinstandspur(?).

Aufsicht: Ovale, humose Verfärbung (0,15 × 0,30 m).

Anschnitt: Steile Eintiefung mit schwach muldenförmiger Sohle; Verfüllung aus braungrauem, humosem Sand; im Nordosten grenzt der Befund an einen größeren Stein.

Funde: Keine.

Befund 39. 5993740,76 Nord/ 3582713,93 Ost (Südwestsektor). EN: 52,85/ SN: 52,73/ RT: 0,12.

Deutung: Kochsteingrube (?).

Aufsicht: Langgestreckte, von NW nach SO ausgerichtete, humose Verfärbung mit sehr vielen hitzeermürbten Steinen (0,45 × 1,02 m).

Anschnitt: Rest einer Eintiefung mit unregelmäßig verlaufender Sohle; Verfüllung aus schwarzgrauem, stark holzkohlehaltigem Sand mit vielen hitzeermürbten Steinen (dabei auch ein Flint ohne Hitzeeinwirkung!).

Funde: Holzkohle (FNR. 6).

Tafel: 93.

Befund 40. 5993742,20 Nord/ 3582714,65 Ost (Südwestsektor). EN: 52,88/ SN: 52,74/ RT: 0,14.

Deutung: Grube(?).

Aufsicht: Langovale, humose Verfärbung (0,30 × 0,83 m).

Anschnitt: Senkrechte bis steil trichterförmige Eintiefung mit nahezu ebener Sohle; Verfüllung aus hellbraungrauem, humosem Sand; im Süden mehrere hitzeermürbte Steine (hier Füllboden etwas dunkler).

Funde: Keine.

Tafel: 90.

Befund 41. 5993739,20 Nord/ 3582714,11 Ost (Südwestsektor). EN: 52,62/ SN: 52,25/ RT: 0,37.

Deutung: Pfostengrube.

Aufsicht: Ovale, humose Verfärbung (0,27 × 0,44 m).

Anschnitt: Nahezu senkrechte Eintiefung mit etwa ebenem Sohlenverlauf; Verfüllung aus braungrauem, humosem Sand.

Funde: Keine.

Tafel: 94.

Befund 42. 5993746,36 Nord/ 3582712,93 Ost (Südwestsektor). EN: 52,98/ SN: 52,92/ RT: 0,06.

Deutung: Steinstandspur.

Aufsicht: Ovale, humose Verfärbung (0,22 × 0,30 m).

Anschnitt: Muldenförmige Eintiefung.

Funde: Keine.

Befund 43. 5993745,64 Nord/ 3582714,08 Ost (Südwestsektor). EN: 53,00/ SN: 52,88/ RT: 0,12.

Deutung: Steinstandspur(?).

Aufsicht: Ovale, humose Verfärbung (0,34 × 0,46 m).

Anschnitt: Vermutlich steil trichterförmige Eintiefung (Kontur stark verwaschen); Verfüllung aus graubraunem, humosem, lehmigem Sand.

Funde: Keine.

Befund 44. 5993736,59 Nord/ 3582716,32 Ost (Südwestsektor). EN: 52,40/ SN: -/ RT: -.

Deutung: (?).

Aufsicht: Ovale, humose Verfärbung (0,24 × 0,41 m).

Anschnitt: Keine klare Kontur.

Funde: Keine.

Befund 45. 5993737,54 Nord/ 3582709,84 Ost (Südwestsektor). EN: 52,45/ SN: 51,93/ RT: 0,24-0,52.

Deutung: Baumwurfgrube(?).

Aufsicht: Unregelmäßige, humose Verfärbung (1,40 × 1,50 m); vermutlich zwei langgestreckte, etwa von Nord nach Süd ausgerichtete Befunde.

Anschnitt: Steile bis senkrechte Eintiefung mit sehr unregelmäßiger Sohle; westlicher Teil deutlich tiefer als der östliche (keine Schichtgrenze zwischen beiden Teilabschnitten (ein befund- Baumwurfgrube?).

Funde: Keine.

Befund 46. 5993737,29 Nord/ 3582708,02 Ost (Südwestsektor). EN: 52,37/ SN: (52,72)/ RT: 0,11.

Deutung: Baumwurfgrube(?).

Aufsicht: Unregelmäßig bogenförmige, humose Verfärbung (0,30-1,00 × 2,30 m).

Anschnitt: Schräg eingetiefte Grube mit unregelmäßiger Sohle (verwaschene Kontur); Verfüllung aus hellbraungrauem, humosem, leicht lehmigem Sand.

Funde: Keine.

Befund 47. 5993734,77 Nord/ 3582705,52 Ost (Südwestsektor). EN: 52,33/ SN: (52,69)/ RT: 0,02.

Deutung: (?).

Aufsicht: Abgerundet quadratische, humose Verfärbung (Dm. 0,25 m).

Anschnitt: Keine Angaben.

Funde: Keine.

Befund 48. 5993734,27 Nord/ 3582706,68 Ost (Südwestsektor). EN: 52,31/ SN: 52,28/ RT: 0,03.

Deutung: Steinstandspur.

Aufsicht: Etwa abgerundet trapezförmige, humose Verfärbung (0,20 × 0,26 m).

Anschnitt: Humoser Rest.

Funde: Keine.

Befund 49. 5993733,85 Nord/ 3582706,39 Ost (Südwestsektor). EN: 52,29/ SN: 52,24/ RT: 0,05.

Deutung: Steinstandspur.

Aufsicht: Ovale, humose Verfärbung (0,22 × 0,32 m).

Anschnitt: Humoser Rest.

Funde: Keine.

Befund 50. 5993733,36 Nord/ 3582707,13 Ost (Südwestsektor). EN: 52,32/ SN: 52,00/ RT: 0,32.

Deutung: Baumwurf(?).

Aufsicht: Unregelmäßig längliche, humose Verfärbung (0,40-0,60 × 1,40 m).

Anschnitt: Asymmetrische Eintiefung (im Norden senkrecht, im Süden steil); Verfüllung aus braungrauem, humosem, lehmigem Sand.

Funde: Keine.

Befund 51. 5993732,87 Nord/ 3582705,82 Ost (Südwestsektor). EN: 52,15/ SN: 52,13/ RT: 0,02.

Deutung: (?).

Aufsicht: Ovale, humose Verfärbung (0,50 × 0,58 m).

Anschnitt: Reste einer Eintiefung mit geringen Holzkohlefragmenten.

Funde: Keine.

Befund 52. 5993735,22 Nord/ 3582713,60 Ost (Südwestsektor). EN: 52,29/ SN: 52,41/ RT: -.

Deutung: Tiergänge.

Aufsicht: Unregelmäßige, humose Verfärbung (0,80 × 0,97 m).

Anschnitt: Keine klare Kontur (Konzentration einzelner Tiergänge).

Funde: Keine.

Befund 53. 5993735,37 Nord/ 3582715,11 Ost (Südwestsektor). EN: 52,32/ SN: 52,14/ RT: 0,18.

Deutung: Pfostengrube(?).

Aufsicht: Etwa ovale, humose Verfärbung (0,24 × 0,26 m).

Anschnitt: Unregelmäßige Eintiefung mit stark verwaschener Kontur; Verfüllung aus braungrauem, humosem Sand.

Funde: Keine.

Tafel: 94.

Befund 54. 5993735,87 Nord/ 3582715,69 Ost (Südwestsektor). EN: 52,36/ SN: -/ RT: -.

Deutung: Tiergänge(?).

Aufsicht: Ovale, humose Verfärbung (0,27 × 0,37 m).

Anschnitt: Keine klare Kontur (Konzentration einzelner Tiergänge?).

Funde: Keine.

Tafel: 94.

Befund 55. 5993736,48 Nord/ 3582715,47 Ost (Südwestsektor). EN: 52,40/ SN: (52,26)/ RT: (0,35).

Deutung: Tiergänge.

Aufsicht: Ovale, humose Verfärbung (0,17 × 0,23 m).

Anschnitt: Keine klare Kontur (Konzentration einzelner Tiergänge).

Funde: Keine.

Befund 56. 5993732,31 Nord/ 3582707,36 Ost (Südwestsektor). EN: 52,18/ SN: (52,26)/ RT: 0,46.

Deutung: Tiergang.

Aufsicht: Ovale, humose Verfärbung (0,20 × 0,23 m).

Anschnitt: Tiergang.

Funde: Keine.

Befund 57. 5993731,75 Nord/ 3582709,58 Ost (Südwestsektor). EN: 52,21/ SN: -/ RT: -.

Deutung: Tiergang.

Aufsicht: Ovale, humose Verfärbung (0,23 × 0,30 m).

Anschnitt: Tiergang.

Funde: Keine.

Befund 58. 5993731,46 Nord/ 3582709,97 Ost (Südwestsektor). EN: 52,20/ SN: 52,10/ RT: 0,10.

Deutung: Steinstandspur(?).

Aufsicht: Ovale, humose Verfärbung (0,20 × 0,26 m).

Anschnitt: Muldenförmige Eintiefung.

Funde: Keine.

Befund 59. 5993731,28 Nord/ 3582709,37 Ost (Südwestsektor). EN: 52,17/ SN: -/ RT: -.

Deutung: (?).

Aufsicht: Abgerundet rechteckige, humose Verfärbung (0,24 × 0,30 m).

Anschnitt: Keine klare Kontur.

Funde: Keine.

Befund 60. 5993731,97 Nord/ 3582715,41 Ost (Südwestsektor). EN: 52,17/ SN: 52,03/ RT: 0,14.

Deutung: Pfostengrube(?).

Aufsicht: Ovale, humose Verfärbung (0,43 × 0,62 m).

Anschnitt: Steil trichterförmige Eintiefung mit muldenförmiger Sohle (Kontur verwaschen); Verfüllung aus braungrauem, humosem Sand.

Funde: Keine.

Tafel: 94.

Befund 61. 5993730,30 Nord/ 3582716,31 Ost (Südwestsektor). EN: 52,14/ SN: 52,00/ RT: 0,14.

Deutung: Kochsteingrube.

Aufsicht: Unregelmäßige, humose Verfärbung mit vielen hitzeermürbten Steinen (0,47 × 0,60 m).

Anschnitt: Rest einer Eintiefung mit unregelmäßiger Sohle; Verfüllung aus graubraunem, humosem Sand mit einigen hellen

Flecken und v.a. im oberen Bereich vielen hitzeermürbten Steinen (keine Holzkohlereste).

Funde: Bodenprobe (FNR. 7).

Tafel: 93.

Befund 62. 5993730,01 Nord/ 3582713,04 Ost (Südwestsektor). EN: 52,21/ SN: 52,15/ RT: 0,06.

Deutung: (?).

Aufsicht: Etwa ovale, humose Verfärbung (0,47 × 0,50 m).

Anschnitt: Humoser Rest.

Funde: Keine.

Befund 63. 5993729,70 Nord/ 3582712,32 Ost (Südwestsektor). EN: 52,07/ SN: 52,01/ RT: 0,06.

Deutung: (?).

Aufsicht: Ovale, humose Verfärbung (0,14 × 0,23 m).

Anschnitt: Humoser Rest.

Funde: Keine.

Befund 64. 5993728,19 Nord/ 3582708,70 Ost (Südwestsektor). EN: 52,04/ SN: -/ RT: -.

Deutung: (?).

Aufsicht: Unregelmäßige, humose Verfärbung (0,15 × 0,32 m).

Anschnitt: Ohne Kontur.

Funde: Keine.

Befund 65. 5993727,47 Nord/ 3582707,73 Ost (Südwestsektor). EN: 51,99/ SN: 51,91/ RT: 0,08.

Deutung: Steinstandspur(?).

Aufsicht: Etwa ovale, humose Verfärbung (0,24 × 0,33 m).

Anschnitt: Muldenförmige Eintiefung.

Funde: Keine.

Befund 66. 5993728,91 Nord/ 3582715,88 Ost (Südwestsektor). EN: 52,10/ SN: 51,96/ RT: 0,14.

Deutung: (?).

Aufsicht: Etwa ovale, humose Verfärbung (0,53 × 0,93 m).

Anschnitt: Unregelmäßige Eintiefung; Verfüllung aus braungrauem, humosem, lehmigem Sand.

Funde: Keine.

Befund 67. 5993733,80 Nord/ 3582715,39 Ost (Südwestsektor). EN: 52,22/ SN: 52,02/ RT: 0,20.

Deutung: Pfostengrube(?).

Aufsicht: Unregelmäßige, humose Verfärbung (0,30 × 0,36 m).

Anschnitt: Steil trichterförmige Eintiefung mit unregelmäßiger Sohle; Verfüllung aus braungrauem, humosem Sand.

Funde: Keine.

Tafel: 94.

Befund 68. 5993743,86 Nord/ 3582712,00 Ost (Südwestsektor). EN: 52,79/ SN: -/ RT: -.

Deutung: (?).

Aufsicht: Etwa kreisrunde, humose Verfärbung (0,29 × 0,33 m).

Anschnitt: Keine Angaben.

Funde: Keine.

Befund 69. 5993733,61 Nord/ 3582704,81 Ost (Südwestsektor). EN: 52,23/ SN: -/ RT: -.

Deutung: (?).

Aufsicht: Ovale, humose Verfärbung (0,28 × 0,35 m)

Anschnitt: Keine Angaben.

Funde: Keine.

Befund 70. 5993735,97 Nord/ 3582705,05 Ost (Südwestsektor). EN: 52,31/ SN: 52,13/ RT: 0,18.

Deutung: Grube(?).

Aufsicht: Unregelmäßige, humose Verfärbung (Dm. 0,53 m).

Anschnitt: Steiltrichterförmig bis trichterförmig eingetiefte Grube mit unregelmäßiger Sohle; Verfüllung aus braungrauem, humosem, leicht lehmigem Sand (fleckig).

Funde: Keine.

Tafel: 90.

Befund 71. 5993735,80 Nord/ 3582704,06 Ost (Südwestsektor). EN: 52,22/ SN: 52,10/ RT: 0,12.

Deutung: Grube(?).

Aufsicht: Unregelmäßige, humose Verfärbung (0,45 × 0,67 m).

Anschnitt: Steil trichterförmig eingetiefte Grube mit schräg verlaufender Sohle; Verfüllung aus braungrauem, humosem, lehmigem Sand (fleckig).

Funde: Keine.

Tafel: 90.

Befund 72. 5993734,70 Nord/ 3582702,39 Ost (Südwestsektor). EN: 52,18/ SN: 51,68/ RT: 0,50.

Deutung: Grube/gestörtes Grab? [¹⁴C-datiert].

Aufsicht: Abgerundet langrechteckige, humose Verfärbung (1,20 × 2,35 m).

Anschnitt: Senkrecht bis steiltrichterförmig eingetiefte Grube mit unregelmäßigem Sohlenverlauf; Verfüllung aus dunkelbraungrauem, humosem, leicht holzkohlehaltigem Sand (in der Mitte etwas dunkler) mit vereinzelt hitzeermürbten Steinen, Fragmenten kalzinierter Knochen und Keramikscherben (insgesamt wenig Funde); .

Funde: Keramik (FNR. 1; 7); Flint (FNR. 7); kalzinierte Knochen (FNR. 10); Holzkohle (FNR. 4); Organisches Material (verkohlt?; FNR. 5); Bodenprobe (FNR. 11).

Tafel: 91-92.

Befund 73. 5993735,69 Nord/ 3582701,54 Ost (Südwestsektor). EN: 52,15/ SN: 51,81/ RT: 0,34.

Deutung: Baumwurfgrube(?).

Aufsicht: Unregelmäßig bogenförmige, humose Verfärbung (0,40 × 1,55 m).

Anschnitt: Unregelmäßig asymmetrische Eintiefung; Verfüllung aus braungrauem, humosem, leicht lehmigem Sand.

Funde: Keine.

Befund 74. 5993737,62 Nord/ 3582704,95 Ost (Südwestsektor). EN: 52,32/ SN: 52,19/ RT: -.

Deutung: (?).

Aufsicht: Unregelmäßige, humose Verfärbung (0,25 × 0,43 m).

Anschnitt: Keine Angaben.

Funde: Keine.

Befund 75. 5993728,65 Nord/ 3582704,09 Ost (Südwestsektor). EN: 52,10/ SN: ca. 52,00/ RT: ca. 0,1.

Deutung: Kochsteingrube.

Aufsicht: Etwa ovale Packung (0,45 × 0,55 m) faust- bis doppelfaustgroßer, hitzeermürbter Steine.

Anschnitt: Einlagige Lage aus hitzeermürbten Steinen (Feuerstelle oder Rest einer Steingrube?).

Funde: Keine.

Befund 76. 5993728,62 Nord/ 3582702,76 Ost (Südwestsektor). EN: 52,01/ SN: 51,93/ RT: 0,08.

Deutung: Steinstandspur(?).

Aufsicht: Etwa ovale, humose Verfärbung (0,23 × 0,30 m).

Anschnitt: Muldenförmige Eintiefung.

Funde: Keine.

Befund 77. 5993754,28 Nord/ 3582718,08 Ost (Nordostsektor). EN: 52,90/ SN: 52,75/ RT: 0,15.

Deutung: Steinstandspur(?).

Aufsicht: Ovale, humose Verfärbung (0,27 × 0,33 m).

Anschnitt: Muldenförmige Eintiefung; Verfüllung aus braungrauem, humosem Sand.

Funde: Keine.

Befund 78. 5993752,39 Nord/ 3582721,34 Ost (Nordostsektor). EN: 53,00/ SN: (52,33)/ RT: 0,48.

Deutung: Tiergänge(?).

Aufsicht: Ovale, humose Verfärbung (0,28 × 0,37 m).

Anschnitt: Keine klare Kontur (Tiergänge?).

Funde: Keine.

Befund 79. 5993745,37 Nord/ 3582720,75 Ost (Südostsektor). EN: 53,03/ SN: 52,75/ RT: 0,28.

Deutung: Steinstandspur.

Aufsicht: Ovale, humose Verfärbung (0,24 × 0,33 m).

Anschnitt: Steile Eintiefung mit etwa muldenförmiger Sohle.

Funde: Keine.

Befund 80. 5993745,61 Nord/ 3582721,86 Ost (Südostsektor). EN: 53,07/ SN: 52,79/ RT: 0,28.

Deutung: Grube.

Aufsicht: Ovale, humose Verfärbung (0,45 × 0,78 m).

Anschnitt: Leicht asymmetrische, trichterförmige bis steil trichterförmige Eintiefung mit muldenförmiger Sohle; Verfüllung aus braungrauem, humosem, schwach holzkohlehaltigem Sand mit einigen Steinen; im Sohlenbereich etwas dunkler.

Funde: Keine.

Befund 81. 5993745,80 Nord/ 3582724,37 Ost (Südostsektor). EN: 53,09/ SN: 52,67/ RT: 0,29.

Deutung: Grube.

Aufsicht: Etwa kreisrunde, humose Verfärbung (Dm. 1,00 m).

Anschnitt: Senkrechte Eingrabung mit schwach muldenförmiger Sohle; Verfüllung aus braungrauem, humosem, holzkohlehaltigem Sand mit einzelnen kleineren, zumeist hitzeermürbten Steinen (ein Flintstein ohne Hitzespuren); im Südwesten im oberen Bereich dunkles, stark holzkohlehaltiges Material; darin ein größerer hitzeermürbter Stein.

Funde: Keine.

Befund 82. 5993747,49 Nord/ 3582725,55 Ost (Südostsektor). EN: 53,06/ SN: 52,98/ RT: 0,08.

Deutung: Steinstandspur(?).

Aufsicht: Ovale, humose Verfärbung (0,38 × 0,39 m).

Anschnitt: Rest einer muldenförmigen Eintiefung.

Funde: Keine.

Befund 83. 5993746,99 Nord/ 3582725,85 Ost (Südostsektor). EN: 53,06/ SN: 53,00/ RT: 0,06.

Deutung: Steinstandspur(?).

Aufsicht: Ovale, humose Verfärbung (0,30 × 0,37 m).

Anschnitt: Rest einer muldenförmigen Eintiefung.

Funde: Keine.

Befund 84. im NO-Profil (Südwestsektor). EN: 53,15/ SN: 52,89/ RT: 0,26.

Deutung: Pfostengrube.

Aufsicht: Nicht erfasst (nur im Ostprofil des Südwestviertels).

Anschnitt: Eine 0,4 m breite, etwa zylindrische Eintiefung mit etwa eben verlaufender Sohle; Füllung aus graubraunem, humosem, schwach kohlehaltigem Sand mit hellen Flecken.

Funde: Keine.

LA 23

(Tafel 95-100)

Befund: 1

Deutung: Hügelschüttung

Kontext: Quad. SW

Planum 1: Über alle Quadranten erhaltene Schicht aus stark bindigem sandigem Boden mit Wurzelresten und verkohlten

Material und stellenweise braungraugefleckt (Ortsteinbildung). Rand anstehender Kies mit Lehmlinsen. Durchmesser ca. 14 m in diffusen Grenzen.

Planum 2: Über alle Quadranten erhaltene Schicht aus stark bindigem sandigem Boden mit Wurzelresten und verkohlten Material und stellenweise braungraugefleckt (Ortsteinbildung). Rand anstehender Kies mit Lehmlinsen. Durchmesser ca. 7 m in diffusen Grenzen.

Planum 3: Nur noch im NW Quadranten in diffusen Grenzen sichtbar.

Anschnitt 1: (aus Profil: Profil A-M-F)

Unter einem 30 bis 40cm starken A- Horizont ein grau brauner stark lehmiger Sand mit humosen Anteilen. Schwach gefleckt mit Einlagerungen von schotter- bis faustgroßen Geröllsteinen auf einer relativ ebenen Sohle. Eine erhaltene Hügelschüttung zwischen 10 und 25cm bei einem Durchmesser von ca. 13 m. Der anstehende Boden ein brauner Lehm. Darin eingebettet Befund 5 das Grab 2.

Anschnitt 1: (aus Profil: Profil E-M-L)

Unter einem 30 bis 40cm starken A- Horizont ein grau brauner stark lehmiger Sand mit humosen Anteilen. Schwach gefleckt mit Einlagerungen von schotter- bis faustgroßen Geröllsteinen auf einer relativ ebenen Sohle. Eine erhaltene Hügelschüttung zwischen 10 und 20cm bei einem Durchmesser von ca. 13 m. Der anstehende Boden ein brauner Lehm. Darin eingebettet der Befund 8 das Grab 3 und Grab 1 Befund 2.

Funde in diesem Anschnitt: Fundnummer: SH2014-241.10, SH2014-241.15

Tafel: 96.

Befund: 2

Deutung: Grab 1

Kontext: Quad. NO

Planum 1: Zwei parallel verlaufende Nord Süd ausgerichtete Steinreihen aus doppelfaust- bis kopfgroßen Geröllsteinen. Steinsetzung scheint in Hügelschüttung eingelassen.

Planum 2: Zwei parallel verlaufende Nord Süd ausgerichtete Steinreihen aus doppelfaust- bis kopfgroßen teils auch plattigen Geröllsteinen. Die Schmalseiten nur noch durch größerer Steinstandspuren sichtbar. In der Mitte großer Anteil schottergroßer teils zerschlagene Steinchen. Dabei Silexabschläge und Keramikscherben. Steinsetzung scheint in Hügelschüttung eingelassen zu sein.

Funde im Abtrag auf dieses Planum: SH2014-241.7

Planum 3: wie Planum 2

Planum 4: Innerhalb der Steinsetzung ein graubrauner fein gefleckter Sand mit stark durch setzten Holzkohlepartikeln. Sonst ein graubrauner stark mit Tiergängen durchzogener Lehm.

Teils noch Hügelschüttung mit dem bogenförmigen Verlauf des darunterliegenden Baumwurfes.

Funde im Abtrag auf dieses Planum: SH2014-241.12, SH2014-241.13

Anschnitt 1: (aus Profil: Profil A-B)

Querschnitt durch Grab 1. Die Steineinfassung vom Grab 1 liegt in der Hügelschüttung im braunem mit HK Partikel durch setzten lehmigen Sand. Unmittelbar darunter und in das Grab hineinreichend ein Baumwurf aus bräunlich lehmigen stark mit Holzkohle-Konzentrationen (Verkohlung) durchsetzt. Darunter der anstehende braune Lehm.

Funde in diesem Anschnitt: Fundnummer:SH2014-241.16

Anschnitt 1: (aus Profil: Profil E-M-L), siehe Beschreibung von Profil A-B

Tafel: 96.

Befund: 3

Deutung: Steinsetzung (mögliche gestörte Nachbestattung).

Kontext: Quad. SW

Planum 1: Verrissene Steine aus doppeltfaust- bis kopfgroßen Geröllsteinen. Steinsetzung scheint auf Hügelschüttung zu liegen.

Planum 2: Steinsetzung aus doppeltfaust- bis kopfgroßen Geröllsteinen. Andeutungsweise NO nach SW ausgerichtet. Steinsetzung scheint auf Hügelschüttung zu liegen.

Befund: 4

Deutung: Keramikkonzentration (mögliches gestörtes Urnengrab).

Kontext: Quad.SO

Planum 1: Am Nordöstlichen Rand einer ovalen (0,5×0,9m) Restverfärbung aus graubraunem leichthumosem Sand ein Gefäßrest.

Funde im Abtrag auf dieses Planum: SH2014-241.11

Anschnitt 1: (aus Profil: Profil A-B) Im Profil schüsselförmig mit unregelmäßiger Sohle und einer Verfüllung aus graubraun lehmigem Sand und einer Resttiefe von 10cm im anstehenden braunen Lehm.

Tafel: 95.

Befund: 5

Deutung: Grab 2

Kontext: Quad. NW

Planum 1: Verrissene Steine aus doppeltfaustgroßen Geröllsteinen. Steinsetzung scheint auf Hügelschüttung zu liegen.

Planum 2: Verrissene Steine aus doppeltfaust- bis kopfgroßen Geröllsteinen. Steinsetzung auf Hügelschüttung mit HK Anreicherung zu liegen.

Planum 3: Begrenzte (ca.2×1,2m) verrissene Steinsetzung aus doppeltfaust- bis kopfgroßen Geröllsteinen. Teils zweilagig in der Hügelschüttung 1 liegend.

Planum 4: Kompakte im östlichen Bereich gestörte Ost-West ausgerichtete Steinsetzung aus doppeltfaust- bis kopfgroßen

Geröllsteinen. Teils zweilagig und am westlichen Rand größere Einfassungssteine. Alles auf anstehendem grauem Lehm liegend.

Funde im Abtrag auf dieses Planum: SH2014-241.8, SH2014-241.9

Planum 5: Letzte Lage vom Steinpflaster nach Entfernung der Randsteine.

Anschnitt 1: (aus Profil: Profil A-B)

Anschnitt durch Grab 2. Ein einlagiges Steinpflaster auf einer 10cm starken Schüttung aus braungrau geflecktem lehmigem Sand die Hügelschüttung liegend. Der anstehende Boden ein brauner Lehm.

Tafel: 97.

Befund: 6

Deutung: Grube

Kontext: Quad. NW

Planum 1: Unförmige Verfärbung im grau braunen gefleckten lehmigen Sand (Hügelschüttung) aus stark lehmigem Sand mit hohem Anteil weislich grauer Holzasche und einer Keramikscherbe. Ein brauner 5cm breiter Rand mit Ortsteinbildung.

Anschnitt 1: (aus Profil: Profil A-B)

Im Profil wannenförmig mit unregelmäßiger Sohle und einer Verfüllung aus weislich grauem leicht lehmigem Sand (Holzkohleasche) und einer Resttiefe von 30cm eingelassen in die Hügelschüttung Befund 1. An den Rändern der Grube eine 5cm Breite Ortsteinbildung.

Tafel: 95.

Befund: 7

Deutung: Pfostrube

Kontext: Quad. NW->Planum 2

Planum 1: Eine runde (Dm 0,27m) Verfärbung aus schwarzgrauem stark HKP haltigem Sand.

Funde im Abtrag auf dieses Planum: SH2014-241.14

Anschnitt 1: (aus Profil: Profil A-B)

Einer Resttiefe von 10cm mit einer Verfüllung aus schwarz grauer sehr stark HK partikelhaltigem Sand. Eingelassen im anstehenden braunen Lehm.

Tafel: 95.

Befund: 8

Deutung: Grab 3

Kontext: Quad. NW

Planum 1: Einige faustgroße teils verrissene Geröllsteine auf der Hügelschüttung liegend.

Planum 2: Annähernd runde kranzförmige Steinsetzung von 0,5m Durchmesser. In der Hügelschüttung liegend.

Planum 3: Eine rechteckige Ost-West ausgerichtete Verfärbung aus grauer schwach Mutterboden haltigen Sand mit runder dunklerer Verfärbung am westlichen Rand. Gut absetzbar zum anstehenden braunen Lehm Boden.

Planum 4: Rechteckige mit abgerundeten Ecken teils gestörte Steinsetzung von 2,7m x 1,1m und ca. Ost West ausgerichtet. Im

östlichen Bereich eine Runde kompakte 3 lagige Steinsetzung von Dm 1m. Einfassungssteine etwas größer um die gesamte Anlage in einer grabenförmig verlaufenden Einfassung.

Anschnitt 1: (aus Profil: Profil A-B)

Längsschnitt durch Grab 3 am nordwestlichen Rande der an der östlichen Stirnseite liegenden Grube und einer Verfüllung aus faust bis doppelfaustgroßen Geröllsteinen dreilagig mit graubraun gefleckte stark Holzkohlepartikel haltigen Sand. Bis 25 cm in den anstehenden Lehm reichend.

Anschnitt 1: (aus Profil: Profil G-D)

Querschnitt durch Grab 3. Im Profil grabenförmige Einfassung bis 15 cm tief in den anstehenden Lehm reichend. Breiten des Grabens ca. 20cm mit 1m Abstand zueinander. Die Verfüllung ein grau brauner mutterbodenhaltiger mit HK Partikel durchsetzter Sand.

Anschnitt 1: (aus Profil: Profil E-F)

Längsschnitt durch Grab 3. An der östlichen Stirnseite eine muldenförmige kreisrunde Grube und einer Verfüllung aus faust- bis doppelfaustgroßen Geröllsteinen vierlagig mit graubraun gefleckte stark Holzkohlepartikel haltigen Sand. Keine Eingrabung des in der Hügelschüttung liegenden Befundes erkennbar. Daher wohl älter als die Hügelschüttung. Bis 20 cm in den anstehenden Lehm reichend.

Tafel: 98-99.

LA 57

(Tafel 101-149)

Befund 1001 – Teilfläche 1

Profilnägelkoordinaten:

582920.977; 5991783.315; 53.396

582920.923; 5991780.905; 53.361

Deutung: Grab, Zentralbestattung.

Planum: In der Aufsicht zeigt der Befund eine ovale, humose Verfärbung von 1,95 m Länge und 1,40-1,60 m Breite (gesamt mit BEF2001: 4 × 1,6 m). Im ersten Planum ist der Befund mittel- bis dunkelbraun und durchsetzt von kleinen bis mittelgroßen Steinen. Der Befund wird umschlossen von der Hügelschüttung, die sich aus gelben bis hellbraunen, mittelfeinen, lockeren Sand zusammensetzt. In weiteren Plana zeigt sich eine schwärzliche Verfärbung im Zentrum (organische Moderspuren?) und mehrere faust- bis doppelfaustgroße Steine im Südwesten.

Profil: Im Anschnitt zeigt sich eine halbrunde unter dem Humus befindliche Verfärbung mit drei Schichten, auf den Humus folgt: mittelbraune Schicht – schwärzlich dunkelbraune Schicht – mittelbraune Schicht. Die mittelbraune Schicht setzt sich aus mittel- bis graubraunem fein- bis mittelfeinkörnigem humosem Sand mit vereinzelt kleinen Steinen und gelegentlichen gelben feinkörnigen Sandflecken zusammen (Holzmoderschicht?). Die Schicht in der Mitte besteht aus dunkelgrauem, feinkörnigem stark humosem Sand mit blauschwarzen dunklen sandigen Flecken mit gelegentlichen Steineinschlüssen (möglicherweise organische Moderspuren). Seitlich wird der Befund von der

Hügelaufschüttung umschlossen. An der Befundunterkante grenzt die Verfärbung auf verschiedene Schichten des anstehenden Bodens (Sand-Kies-Gemische) und ist leicht in den anstehenden Boden eingetieft.

Funde (zusammen mit den Funden vom Profilsteg-Abtrag 1001-2001): 13 Keramikscherben (F1011, F1013, F1014, F1024, F1025, F1027, F1028, F1044, F1045, F1062, F1081, F1084, F1086), 45 Flintartefakte (davon 43 Flintabschlag (F1015, F1016, F1017, F1018, F1019, F1020, F1021, F1023, F1026, F1035, F1037, F1038, F1039, F1040, F1042, F1050, F1052, F1053, F1054, F1055, F1056, F1058, F1060, F1063, F1065, F1066, F1069, F1070, F1071, F1072, F1077, F1080, F1085, F1087, F1088, F1089), eine Flintklinge (F1064) und ein Flintklingenfragment (F1083)), 10 Stücke gebrannter Flint (F1010, F1041, F1046, F1049, F1051, F1057, F1067, F1068, F1078) Knochenstückchen (14 Stück: F1012, F1022, F1059, F1061, F1079, F1047, 1029).

Verfärbungen:

V. 6: Steinstandspur bzw. vergangener Stein (rosabrauner feiner bis mittelfeinen Sand mit sehr kleinen Steinchen)

V. 8: Schichtrest? (graubrauner feiner mit mittelfeinem Sand mit vereinzelt dunkleren Stellen ohne Steineinschlüsse)

V. 14D: Steinstandspur (mittelbrauner bis graubrauner fein- bis mittelfeiner Sand)

Tafel: 139-141.

Befund 1002 – Teilfläche 1

Profilnägelkoordinaten:

582910.983; 5991779.785; 52.959

582911.709; 5991780.713; 52.985

Deutung: Pfostenloch mit Pfostengrube.

Planum: In der Aufsicht ist der Befund rund und dunkelbraun. Die Verfärbung erreicht eine Größe von 60 × 58 cm und wird von braunem Humus umschlossen, der sich in diesem Areal etwas stärker ist. Im Westen grenzt der Befund an einen Übergangsbereich vom Humus zum anstehenden Boden, der sich aus kompaktem grau-hellbraunem mittelfeinem Sand mit einzelnen größeren Steinen zusammensetzt.

Profil: Im Anschnitt zeigt sich eine ca. 60 cm tiefe, nach unten zulaufender Vertiefung graubraunen, mittelfeinkörnigen humosen Sands mit einigen dunkelbraunen-schwärzlichen Stellen und Holzkohlestücken und nach unten verwaschen. Der Befund wurde in die Hügelschüttung eingetieft und trifft schließlich auf anstehenden Boden (gelblich-orange-beiger, kiesiger Sand, Kiesbett).

Funde: verkohltes/inkohlte Holz (F1048)

Tafel: 123.

Befund 1003 – Teilfläche 1

Deutung: Geologie.

Planum: In der Aufsicht weist der Befund eine rundlich-amorphe Form auf und ist mittelbraun. Er erreicht eine Größe von 50 × 40 cm und wird vom Randbereich der Hügelschüttung

umschlossen, der sich aus gelbem, mittelfeinem, lockerem Sand zusammensetzt.

Profil: Nicht geschnitten.

Funde: Keine.

Befund 1004 – Teilfläche 1

Profilnägellokoordinaten:

582916.362; 5991788.498; 53.005

582918.048; 5991788.717; 52.968

Deutung: Grube.

Planum: In der Aufsicht ist der Befund länglich-rundlich und mittelbraun mit einem dunkelbraunen Bereich im Osten. Die Verfärbung erreicht eine Größe von 1,15 m x 40-58 cm und wird im Westen von einem Kiesband umschlossen, das sich aus braunrötlichem bis gelb gefleckten, groben Sand mit kleinen und großen Steinen und starken Kiesanteil zusammensetzt. Im Westen liegt der Befund im Randbereich der Hügelschüttung, der aus gelbem, mittelfeinem, lockerem Sand besteht.

Profil: Im Profilschnitt zeigt sich der Befund als längliche (ca. 86 cm lang), flache ca. 15 cm tiefe Verfärbung aus braunem feinem Sand mit wenigen Steinen zusammen. Der Befund wird umschlossen von der Hügelschüttung, die aus gelbbraunem, mittelfeinem Sand mit mittelgroßen Steinen besteht. Darunter folgt der anstehende Boden (Kiesbett).

Funde: Keine.

Tafel: 103.

Befund 1005 – Teilfläche 1

Profilnägellokoordinaten:

582919.193; 5991789.168; 52.973

582920.012; 5991791.748; 52.907

Deutung: Grube.

Planum: In der Aufsicht ist der Befund länglich-amorph und dunkelbraun. Die Verfärbung erreicht eine Größe von 2,04 m x 0,70-1,05 m und wird vom Randbereich der Hügelschüttung umschlossen, der sich aus gelbem, mittelfeinem, lockerem Sand zusammensetzt.

Profil: Der Befund ist 23-29 cm tief und um 1 m breit und besteht aus dunkelgraubraunem lehmigem, festem, mittelkörnigem Sand mit wenigen Steineinschlüssen an der Unterkante. Die Form des Befundes ist amorph und an den Rändern flach auslaufend. Im Westen liegt der Befund an einen 40 x 20 großen Stein an. Der Befund wurde im oberen Bereich in die Hügelschüttung eingetieft. An der östlichen Unterkante grenzt der Befund dann an eine Schicht des anstehenden Bodens (hellbrauner lockerer feinkörniger Sand mit Oxidbändern). Darunter folgt ein lockeres Kies-Sand-Gemisch des anstehenden Bodens.

Funde: Keine.

Tafel: 103.

Befund 1006 – Teilfläche 1

Profilnägellokoordinaten:

582907.962; 5991788.313; 52.598

582910.778; 5991788.410; 52.686

Deutung: Grube.

Planum: In der Aufsicht ist der Befund amorph und graubraun. Die Verfärbung erreicht dabei eine Größe von 1,80 x 0,40-1,23 m und wird vom anstehenden Boden umschlossen, der sich aus hellbraunem bis gelbem, mittelfeinem bis groben Sand mit vereinzelt kleineren Steinen und kiesigen Bereichen zusammensetzt.

Profil: Ca. 40 cm tiefe trichterförmige Vertiefung, deren Ränder flach auslaufen und ca. 10 cm stark sind. Der Befund besteht aus dunkelbraunem, grobkörnigem humosem Sand mit vielen sehr kleinen Steinen. Darauf folgt der anstehende Boden: gelber bis braunen groben Sand.

Funde: Keramik (1x), Flintabschlag (1x) (F1090)

Tafel: 103.

Befund 1007 – Teilfläche 1

Profilnägellokoordinaten:

582902.479; 5991783.772; 52.435

582902.715; 5991782.530; 52.511

Deutung: Eher Steinstandspur oder Grube.

Planum: In der Aufsicht ist der Befund rundlich und graudunkelbraun. Die Verfärbung hat eine Größe von 70 x 60 cm und wird im Nordosten vom anstehenden Boden umschlossen, der sich aus hellbraunem bis gelbem, mittelfeinem bis groben Sand mit vereinzelt kleineren Steinen und kiesigen Bereichen zusammensetzt. Im Südwesten grenzt der Befund an ein rötlichbraunes dichtes Kiesband mit einzelnen größeren Steinen.

Profil: Ungefähr 20 cm tiefe und ca. 40 cm breite nach unten zulaufender Vertiefung dunkelbraunen, fein humosen Sands. Der Befund ist in den anstehenden Boden in ein grobes Sand-Kies-Gemisch mit Oxidbändern eingetieft. Darunter folgen weitere Schichten des anstehenden Bodens: weißer Sand und schließlich eine hellgraue-beige, feine Lehmschicht mit darunter folgendem grobem Kies und Oxidbändern.

Funde: Keine.

Tafel: 117.

Befund 1008 – Teilfläche 1

Profilnägellokoordinaten:

582907.961; 5991782.313; 52.788

582909.107; 5991783.413; 52.812

Deutung: Grube oder Pfostenloch, eher Grube.

Planum: In der Aufsicht hat der Befund eine rundlich-längliche Form und ist hellgrau. Die Verfärbung erreicht eine Größe von 1,40 m x 90 cm und wird vom anstehenden Boden umschlossen, der sich aus hellbraunem bis gelbem, mittelfeinem bis groben Sand mit vereinzelt kleineren Steinen und kiesigen Bereichen zusammensetzt.

Profil: Der Befund setzt sich aus zwei Verfärbungen zusammen: Verfärbung 1 ist bis zu 17 cm tief und bis zu 45 cm breit und besteht aus schwarzbraunem, festem, mittelfeinkörnigem Lehm

mit vereinzelt Steineinschlüssen und geringen Resten von Holzkohle und wurde in Verfärbung 2 eingetieft. Verfärbung 2 ist maximal 27 cm tief und erstreckt sich über 1 m Breite und besteht aus hellbraunem, festem, feinkörnigem Lehm mit vereinzelt größeren Steineinschlüssen. Der Befund wurde in den anstehenden Boden (rotbrauner lockerer mittelkörniger Sand mit vereinzelt Stein- und Kieseinschlüssen sowie Oxidbändern) eingetieft.

Funde: Keine.

Tafel: 104.

Befund 1009 – Teilfläche 1

Profilnägellokoordinaten:

582904.487; 5991793.468; 52.334

582904.166; 5991794.837; 52.269

Deutung: Pfostenloch? mit Schichtrest daneben.

Planum: In der Aufsicht ist der Befund länglich-amorph und ist hellgrau mit einigen kleinen bis mittelgroßen Steinen. Die Verfärbung weist eine Größe von 1,05 m x 30-68 cm auf und ist von Pflugspuren durchzogen. Der Befund wird vom anstehenden Boden umschlossen, der sich aus hellbraunem bis gelbem, mittelfeinem bis groben Sand mit vereinzelt kleineren Steinen und kiesigen Bereichen zusammensetzt.

Profil: Im Profilschnitt zeigt sich der Befund als rundes flaches Pfostenloch, die sich leicht nach unten verjüngt. Die Verfärbung ist 33 cm breit und erreicht eine maximale Tiefe von 9 cm und besteht aus graubraunem mittelfeinkörnigem Sand und ist von Oxidbändern umschlossen. Der Befund befindet sich in braunem mittelfeinkörnigem, lockerem Sand – dem anstehenden Boden. SSW des Befundes ist eine weitere Verfärbung zu beobachten, die sich rund und verjüngend ca. 15,5 cm im anstehenden Boden liegt und aus dunkelgrauem festem, mittelfeinkörnigem Sand besteht. Sie hat dabei eine Breite zwischen 10 und 20 cm und ist wahrscheinlich ein Schichtrest.

Funde: Keine.

Tafel: 124.

Befund 1010 – Teilfläche 1

Profilnägellokoordinaten:

582914.926; 5991793.774; 52.658

582915.842; 5991792.998; 52.690

Deutung: Kleine Grube.

Planum: In der Aufsicht ist der Befund rundlich und dunkelgrau mit einem kleinen Stein im Zentrum. Im Nordwesten wird die Verfärbung von einer weiteren mittelgrauen Verfärbung geschnitten (wahrscheinlich Tiergang). Der Befund hat eine Größe von 65 x 48 cm und wird vom anstehenden Boden umschlossen, der sich aus braungelbem, hellem, geflecktem, mittelfeinem Sand mit größeren Steinen zusammensetzt.

Profil: Der Befund reicht bis zu 18 cm tief und ca. 60 cm breit und besteht aus mittel- bis grobkörnigem dunkelbraunem humosem Sand mit vielen kleinen Steinen. Die Verfärbung wurde in den anstehenden Boden (mittel- bis grobkörniger rötlichgelber Sand

mit vielen kleinen und bis zu faustgroßen Steinen) eingetieft. Viele Tiergänge gingen in der Westhälfte vom Befund ab.

Funde: Keine.

Befund 1011 – Teilfläche 1

Profilnägellokoordinaten:

582915.187; 5991795.599; 52.579

582917.107; 5991794.275; 52.598

Deutung: Grube.

Planum: In der Aufsicht ist der Befund länglich-rund und leicht amorph und hellgelb bis hellgrau. Die Verfärbung ist 2,1 m x 1,05-1,3 m groß und wird vom anstehenden Boden umschlossen, der sich aus braungelbem, hellem, geflecktem, mittelfeinem Sand mit größeren Steinen zusammensetzt.

Profil: Der Befund setzt sich aus zwei Verfärbungen zusammen: die Verfärbung 2 wurde maximal 40 cm tief und als amorpher grauer sandiger Lehm in den anstehenden Boden, der sich aus sandig-kiesigen Schichten und Oxidbändern zusammensetzt, eingetieft. Die Verfärbung 1 wurde vermutlich in die Verfärbung 2 eingetieft und setzt sich aus braun-grauem, leicht lehmigem Humus mit vielen Wurzeln zusammen.

Funde: Donnerkeil (dünnwandig) (1x) (F1043)

Tafel: 104.

Befund 1012 – Teilfläche 1

Profilnägellokoordinaten:

582916.424; 5991796.224; 52.472

582915.441; 5991796.511; 52.469

Deutung: Schichtrest.

Planum: In der Aufsicht ist der Befund rund und leicht länglich und hellgelb bis hellgrau. Die Verfärbung ist 58 x 52 cm groß und wird vom anstehenden Boden umschlossen, der sich aus braungelbem, hellem, geflecktem, mittelfeinem Sand mit größeren Steinen zusammensetzt.

Profil: Nicht geschnitten.

Funde: Keine.

Befund 1013 – Teilfläche 1

Profilnägellokoordinaten:

582911.159; 5991791.443; 52.698

582911.660; 5991794.470; 52.614

Deutung: Schichtrest / Steinstandspur (mögliche Grube (Lehmbefund)).

Planum: In der Aufsicht ist der Befund rundlich-amorph und hellgrau mit einem größeren Stein. Die Verfärbung ist 1,20 x 1,0 m und grenzt im Süden an Befund 1014. Im Nordwesten wird der Befund vom anstehenden Boden umschlossen, der sich aus hellbraunem bis gelbem, mittelfeinem bis groben Sand mit vereinzelt kleineren Steinen und kiesigen Bereichen zusammensetzt. Im Osten liegt der Befund im Kiesband, das sich aus braunrötlichem bis gelb geflecktem, groben Sand mit kleinen und großen Steinen und starkem Kiesanteil zusammensetzt.

Profil: Im Anschnitt weist der Befund eine sehr flache, halbrunde Form auf und ist dabei ca. 6 cm stark. Die Verfärbung besteht aus

schwarzbraunem, lockerem, mittelkörnigem Sand mit kleinen Wurzeleinschlüssen am unteren Rand. Umschlossen wird der Befund vom anstehenden Boden, bestehend aus: rötlichbraunem, lockerem, mittelkörnigem Sand mit einigen Steineinschlüssen.

Funde: Keine.

Tafel: 104.

Befund 1014 – Teilfläche 1

Profilnägellokoordinaten:

582911.159; 5991791.443; 52.698

582911.660; 5991794.470; 52.614

Deutung: Grube (Lehmbefund).

Planum: In der Aufsicht ist der Befund rund und leicht amorph und mittelgraubraun mit kleinen bis m größeren Steinen. Die Verfärbung ist 1,30 x 1,05 m groß und grenzt im Norden an Befund 1013. Im Südwesten wird der Befund vom anstehenden Boden umschlossen, der sich aus hellbraunem bis gelbem mittelfeinem bis groben Sand mit vereinzelt kleineren Steinen und kiesigen Bereichen zusammensetzt. Im Osten liegt der Befund im Kiesband, dass sich aus braunrötlichem bis gelb gefleckten groben Sand mit kleinen und großen Steinen und starkem Kiesanteil zusammensetzt.

Profil: Ca. 40 cm tiefer Befund, bestehend aus dunkelgraubraunem lehmigem, festem, feinkörnigem Sand mit einigen kleinen bis größeren Steineinschlüssen, darunter folgt der anstehende Boden mit braun bis rötlichbraunen, lockeren, mittelfeinkörnigen Sands mit großen Steineinschlüssen und minimal kleinen Tiergängen.

Funde: Keine.

Tafel: 104-105

Befund 1015 – Teilfläche 1

Profilnägellokoordinaten:

582909.846; 5991795.556; 52.438

582910.719; 5991795.793; 52.474

Deutung: Steinstandspur.

Planum: In der Aufsicht ist der Befund rundlich und leicht länglich und mittel- bis dunkelbraun. Die Verfärbung ist 40 x 30 cm groß und wird vom anstehenden Boden umschlossen, der sich aus hellbraunem bis gelbem, mittelfeinem bis groben Sand mit vereinzelt kleineren Steinen und kiesigen Bereichen zusammensetzt.

Profil: Im Profilschnitt handelt es sich um einen länglich-flachen Befund aus schwarzbraunem, humosem, mittelfeinkörnigem festem Sand mit einigen wenigen Steinen. Die Verfärbung ist ca. 35 cm lang und maximal 9 cm breit und verjüngt sich ein wenig nach unten auf eine Länge von ca. 19 cm. Der Befund ist im anstehenden Boden eingetieft, der sich aus braunem, grobem, festem Sand mit vielen kleinen bis faustgroßen Steinen zusammensetzt.

Funde: Keine.

Tafel: 137.

Befund 1016 – Teilfläche 1

Profilnägellokoordinaten:

582904.854; 5991779.090; 52.644

582904.118; 5991779.718; 52.663

Deutung: Grube.

Planum: In der Aufsicht ist der Befund rundlich und leicht länglich und wird von einer Pflugspur gestört. Die Verfärbung ist hellgrau und 1,10 m x 85 cm groß, bevor sie in das Südprofil übergeht. Der Befund wird vom anstehenden Boden umschlossen, der sich aus hellbraunem bis gelbem, mittelfeinem bis groben Sand mit vereinzelt kleineren Steinen und kiesigen Bereichen zusammensetzt.

Profil: Der Befund ist ca. 20 cm tief und um die 80 cm breit in den anstehenden Boden (rotbrauner mittelfeiner bis groben lockeren Sand) eingetieft wurden. Die Verfärbung besteht aus weißgrauem kompaktem Lehm mit einigen dunkleren Stellen und hat einen halbrunden Profilschnitt.

Funde: Keine.

Tafel: 105.

Befund 1017 – Teilfläche 1

Profilnägellokoordinaten:

582912.881; 5991782.648; 53.085

582913.391; 5991783.479; 53.150

Deutung: Steinstandspur.

Planum: In der Aufsicht ist der Befund länglich-amorph und dunkelgraubraun. Die Verfärbung ist 60 x 35 cm groß und wird vom Übergangsbereich zum Humus umschlossen, der sich aus kompaktem, grauem bis hellbraunem, mittelfeinem Sand mit einzelnen größeren Steinen zusammensetzt.

Profil: Längliche flache Vertiefung von ca. 6-8 cm Tiefe und ca. 40 cm Länge. Die Verfärbung besteht aus dunkelbraunem Sand mit humosen Anteilen und mittelfeiner Körnung. Der Befund wird von einer dünnen Lehmschicht umschlossen und liegt dann auf anstehendem Boden auf und enthält einige wenige kleine Steineinschlüsse.

Funde: Keine.

Tafel: 137.

Befund 1018 – Teilfläche 1

Profilnägellokoordinaten:

582918.974; 5991793.134; 52.660;

582918.023; 5991790.767; 52.824

Deutung: Grube oder Baumwurf (eher Baumwurf).

Planum: In der Aufsicht besteht der Befund aus zwei dunkelgrauen halbrund zueinanderstehenden Arealen, die 1,95/2,2 m x 52/85 cm groß sind. Die Verfärbungen werden umschlossen vom anstehenden Boden, der sich aus braungelbem, hellem, geflecktem, mittelfeinem Sand mit größeren Steinen zusammensetzt.

Profil: Im Anschnitt weist der Befund eine amorphe lange rundliche Form auf, deren maximale Tiefe 30 cm hat. Die Verfärbung besteht aus dunkelbraunem bis dunkelgraubraunem, mittelfeinkörnigen, stark humosen Sand mit vereinzelt kleinen

Steinen. Der Befund wird im südlichen Drittel von einem großen Stein unterbrochen. Im Norden grenzt der Befund an einen mittelbraunen bis graubraunen, leicht humosen Sandbereich mit vereinzelt Steinen, der wahrscheinlich den Befundrand darstellt. Umschlossen wird der Befund vom anstehenden Boden, der aus mittelfeinkörnigem gelbem Sand mit vereinzelt Steinen sowie einer darunter folgenden Kiesschicht besteht.

Funde: Keramik (1x) (F1076)

Tafel: 106.

Befund 1019 – Teilfläche 1

Profilnägellokoordinaten:

582918.725; 5991786.207; 52.875

582918.807; 5991788.703; 52.873

Deutung: Raubgrube mit gestörtem Urnengrab.

Planum: In der Aufsicht ist der Befund amorph und mittelbraun. Die Verfärbung ist 2,25 × 1,38 m groß und enthält einige kleine bis große und bis zu 50 cm große Steine. Im Südosten wird der Befund von der Hügelschüttung umschlossen, die sich aus gelben bis hellbraunen, mittelfeinen, lockeren Sand zusammensetzt. Im Norden und Westen liegt der Befund im Randbereich der Hügelschüttung, die aus gelbem, mittelfeinem, lockerem Sand besteht. Ab dem ZWPL 1 werden die Befundgrenzen eckig.

Profil: Im Anschnitt weist der Befund eine längliche, amorphe Form auf, die im Norden bis zu 35 cm tief und leicht trichterförmig verläuft. Nach Süden knickt der Befund leicht ab und wird flacher mit maximal 21 cm Tiefe. Die Verfärbung setzt sich aus dunkelbraun-gräulichem lehmigem fein- bis mittelfeinkörnigem Sand zusammen und entlang des unteren Befundrandes tauchen Schichten gelben Sandes auf. Unterhalb des Befundes befindet sich gelb-rötlicher mittel- bis grobkörniger Sand, der den anstehenden Boden bildet. Im Norden enthält der Befund viele faustgroße Steine (stammen von einem gestörten Urnengrab).

Funde: Keramik (2 x: F1031), Flintabschläge (2x: F1032, F1034), versteinertes Sediment? (1x: F1036 + 1033*)

Tafel: 145-146.

Befund 1020 – Teilfläche 1

Profilnägellokoordinaten:

582920.977; 5991783.315; 53.396

582920.923; 5991780.905; 53.361

Deutung: Pfostenloch.

Planum: In der Aufsicht zeigt sich der Befund im Abtrag des Profilstegs als runde dunkelgraubraune, ungefähr 30 × 30 cm große Verfärbung, die im Norden direkt an den Befund 1001/2001 angrenzt und im Süden von der Hügelschüttung umschlossen wird, die sich aus gelben bis hellbraunem, mittelfeinem lockerem Sand zusammensetzt.

Profil: Verfärbung, südlich des Grabes (1001),

Funde: gebrannter Flint (3x: F1073, F1074, F1075)

Befund 1021 – Teilfläche 1

Profilnägellokoordinaten:

582912.136; 5991793.352; 52.674

582911.333; 5991792.569; 52.594

Deutung: Steinstandspur.

Planum: In der Aufsicht ist der Befund rund und dunkelbraun. Die Verfärbung hat eine ungefähre Größe von 20 × 20 cm und wird vom anstehenden Boden umschlossen, der sich aus hellbraunem bis gelbem mittelfeinem bis groben Sand mit vereinzelt kleineren Steinen und kiesigen Bereichen zusammensetzt.

Profil: Ca. 10 cm starke Vertiefung schwarzbraunen, lockeren, mittelkörnigen Sands mit wenigen kleinen Wurzeinschlüssen und kleinen Steineinschlüssen. Folgt auf rötlichbraunen lockeren, mittelfeinkörnigen Sand, den anstehenden Boden.

Funde: Keine.

Tafel: 137.

Befund 1022 – Teilfläche 1

Profilnägellokoordinaten:

582912.136; 5991793.352; 52.674

582911.333; 5991792.569; 52.594

Deutung: Steinstandspur.

Planum: In der Aufsicht ist der Befund rund und dunkelbraun. Die Verfärbung hat eine ungefähre Größe von 10-15 × 10-15 cm und wird vom anstehenden Boden umschlossen, der sich aus hellbraunem bis gelbem, mittelfeinem bis groben Sand mit vereinzelt kleineren Steinen und kiesigen Bereichen zusammensetzt.

Profil: Ungefähr 10 cm starke Vertiefung schwarzbraunen, lockeren, mittelfeinkörnigen Sands mit wenigen kleinen Wurzeinschlüssen und kleinen Steineinschlüssen. Darauf folgt der anstehende Boden: rötlichbrauner lockerer, mittelfeinkörniger Sand.

Funde: Keine.

Tafel: 137.

Befund 2001 – Teilfläche 2

Profilnägellokoordinaten:

582922.096; 5991783.377; 53.285

582921.989; 5991780.644; 53.368

Deutung: Grab.

Planum: Der Befund liegt zu einem Teil im Profilsteg. Außerhalb des Profilstegs ragt er 1 m nach Osten heraus und hat dabei eine Breite von 1,50 m. Die Verfärbung ist dabei dunkelbraun und wird von der Hügelschüttung umschlossen, die sich aus gelbbraunem mittelfeinem Sand zusammensetzt.

Profil: Im Anschnitt zeigt sich eine halbrunde unter dem Humus befindliche Verfärbung mit drei Schichten, auf den Humus folgt: mittelbraune Schicht – schwärzlich dunkelbraune Schicht – mittelbraune Schicht. Die mittelbraune Schicht setzt sich aus mittel- bis graubraunem fein- bis mittelfeinkörnigem humosem Sand mit vereinzelt kleinen Steinen und gelegentlichen gelben feinkörnigen Sandflecken zusammen (Holzmoderschicht?). Die Schicht in der Mitte besteht aus dunkelgrauem, feinkörnigem stark humosem Sand mit blauschwarzen dunklen schmierig-

sandigen Flecken mit gelegentlichen Steineinschlüssen (möglicherweise organische Moderspuren). Seitlich wird der Befund von der Hügelaufschüttung umschlossen. An der Befundunterkante grenzt die Verfärbung auf verschiedene Schichten des anstehenden Bodens (Sand-Kies-Gemische). Vgl. Profil BEF 1001.

Funde: Flintabschläge (F2032, F2040, F2041, F2042, F2046, F2047, F2049), gebrannter Flint (F2043, F2045), Knochenfragmente (F2034, F2035, F2036, F2037, F2038, F2039, F2031, F2044), Quarz (F2033).

Tafel: 139-141.

Befund 2002 – Teilfläche 2

Profilnägellokoordinaten:

582924.383; 5991782.652; 53.259

582925.160; 5991782.674; 53.193

Deutung: Steinstandspur oder Pfostenloch.

Planum: In der Aufsicht ist der Befund rundlich und dunkelgrau und hat einen Durchmesser von maximal 50 × 35 cm. Der Befund wird von der Hügelschüttung umschlossen, die sich aus gelbbraunem mittelfeinem Sand zusammensetzt.

Profil: Der Befund ist ca. 15 cm tief und um die 28 cm breit und besteht aus mittel- bis feinkörnigem dunkelbraunem humosem Sand mit vereinzelt sehr kleinen Steinen und wurde halbrund im Profilschnitt in die Hügelschüttung (gelber mittelfeiner Sand mit faustgroßen Steineinschlüssen) eingetieft. Beim Abtiefen der anderen Befundhälfte zog die Verfärbung nach Osten ein.

Funde: Keine.

Tafel: 117, 141.

Befund 2003 – Teilfläche 2

Deutung: Pfostenloch + Grube oder nur Grube (wahrscheinlich Pfostenloch).

Planum: In der Aufsicht hat der Befund eine amorphe Form und erreicht eine maximale Ausdehnung von 1,75 × 1,25 m. Die Verfärbung ist zum überwiegenden Teil mittelbraun mit dunkelgrauen bis schwarzgrauen Stellen und einigen Steineinschlüssen und wird von der Hügelschüttung umschlossen, die sich aus gelbbraunem mittelfeinem Sand zusammensetzt.

Profil: Im Anschnitt weist der Befund eine leicht amorphe-rundliche nach Westen verjüngende Verfärbung auf, die sich aus graublau-schwarzem, mittelfeinem Sand mit einigen Steineinschlüssen und Holzkohle zusammensetzt. Umschlossen wird der Befund von einer mittelbraunen Sandschicht – der Hügelschüttung. An der Befundunterkante grenzt die Verfärbung auf anstehenden Kies.

Funde: Flintabschlag (F2051).

Befund 2004 – Teilfläche 2

Profilnägellokoordinaten:

582933.533; 5991779.645; 52.738

582931.500; 5991780.009; 52.893

Deutung: Pfostenloch + Grube oder Grube (wahrscheinlich Grube).

Planum: Der Befund liegt zu einem Teil im Profilsteg. Außerhalb des Profilstegs ragt er etwa 1 m nach Osten heraus und hat dabei eine Breite von 1,75 m. Die Verfärbung ist mittelbraun bis dunkelgrau und enthält wenige Steineinschlüsse und wird von rötlichbraunem mittelfeinem Sand umschlossen, der den Auswaschungsbereich am Hügelrand bildet.

Profil: Im Anschnitt weist der Befund eine rundlich-amorphe Form auf, die im Westen ihren tiefsten Punkt bei 32 cm erreicht. Die Verfärbung besteht aus hellbraunem, lockerem, von Tier- und Wurzelgängen durchsetztem Sand und wird vom anstehenden Boden umschlossen, der sich aus hellbraungrauem, nach unten grauer werdendem, feinem Sand mit regelmäßigen Eisenoxidbändern zusammensetzt. Im Osten grenzt der Befund an eine ca. 10 cm tiefe dunkelgrau-braune, feinkörnige Sandschicht mit Lehmanteil, die von feinem Kies durchsetzt ist und wahrscheinlich einen Schichtrest darstellt.

Funde: Flintabschlag (F2050).

Tafel: 107.

Befund 2005 – Teilfläche 2

Profilnägellokoordinaten:

582925.837; 5991784.147; 53.210

582927.357; 5991786.260; 53.054

Deutung: Pfostenloch mit Pfostengrube oder Grube, eher Grube.

Planum: In der Aufsicht hat der Befund eine amorphe längliche Form und ist maximal 1,75 bis 2 m lang und zwischen 0,50 und 1,25 m breit. Die Verfärbung ist mittelbraun und hat einige Steineinschlüsse und wird von der Hügelschüttung umschlossen, die sich aus gelbbraunem, mittelfeinem Sand zusammensetzt.

Profil: Ungefähr 35 cm tiefe und 70-80 cm breite Vertiefung, die noch weitere 60 cm flach ausläuft. Der Befund besteht aus mittel- bis dunkelbraunen, feinkörnigen humosen Sands, der nur wenige, kleine Steine enthält. In dem abgeflachten Bereich des Befundes zeigt sich ein Auswaschungshorizont aus hellbraunen, fein bis mittelkörnigen Sands mit leichten humosen Anteilen, der in die Hügelschüttung und schließlich in den anstehenden Boden übergeht.

Funde: Keine.

Tafel: 107.

Befund 2006 – Teilfläche 2

Profilnägellokoordinaten:

582931.500; 5991780.009; 52.893

582930.762; 5991780.890; 52.903

Deutung: Pfostenloch.

Planum: In der Aufsicht setzt der Befund direkt an Befund 2004 an und erstreckt sich in nordwestlicher Richtung mit etwa 0,75 m, bei einer Breite von 1 m. Die Verfärbung ist dabei hellgrau-graubraun

und wird von rötlichbraunem mittelfeinem Sand umschlossen, der den Auswaschungsbereich am Hügelrand bildet.

Profil: Im Anschnitt weist der Befund eine zylinderförmige Form von ca. 25 cm Tiefe und 18 cm Breite auf. Die Verfärbung besteht aus graubraunem mittelfeinem Sand und wird vom anstehenden Boden umschlossen, der sich aus hellbraungrauem, nach unten grauer werdendem, feinem Sand mit regelmäßigen Eisenoxidbändern zusammensetzt.

Funde: Gebrannter Flint (F2048).

Tafel: 124.

Befund 2007 – Teilfläche 2

Profilnägellokoordinaten:

582945.921; 5991780.092; 51.860

582947.028; 5991780.211; 51.858

Deutung: Pfostenloch.

Planum: In der Aufsicht weist der Befund eine graubraune, längliche, leicht nach Norden abgeknickte Form auf und erreicht dabei eine Größe von ca. 1,10 m x 40 cm. Die Verfärbung wird vom anstehenden Boden umschlossen, der sich aus gelbem, mittelfeinem Sand mit teils rötlich-kiesigen und teils lehmigen Stellen, mit vielen kleinen bis faustgroßen Steinen zusammensetzt.

Profil: Im Anschnitt zeigt der Befund eine trichter- bis schrägzylinderförmige Form von Nord nach Süd, die maximal 30 cm Tiefe erreicht. Die Verfärbung besteht aus dunkelgraubraunem, leicht lehmigem, festem, feinkörnigem Sand mit kleinen vereinzelt Steineinschlüssen. Der Befund wird vom anstehenden Boden umschlossen, der sich aus braunem, lockerem, mittelfeinkörnigem Sand zusammensetzt.

Funde: Keine.

Befund 2008 – Teilfläche 2

Profilnägellokoordinaten:

582947.351; 5991782.009; 51.792

582946.097; 5991781.105; 51.785

Deutung: Pfostenloch mit länglicher Pfostengrube.

Planum: In der Aufsicht ist der Befund dunkelgraubraun und rundlich-länglich bei einer Größe von 1,15 m x 40-65 cm. Die Verfärbung wird vom anstehenden Boden umschlossen, der sich aus gelbem, mittelfeinem Sand mit teils rötlich-kiesigen und teils lehmigen Stellen, mit vielen kleinen bis faustgroßen Steinen zusammensetzt.

Profil: Im Profil eine ca. 25 cm tiefe und 20 cm breite Vertiefung mit einer anschließenden länglichen (von ca. 75 cm Länge) aber flachen (ca. 10 cm tief) Grube. Beide Vertiefungen bestehen aus dunkelgraubraunem feinen bis mittelfeinen Sands mit vereinzelt Steinen, darunter zeigt sich ein ausgewaschener Horizont grobkörnigen Sands, der in den anstehenden gelben Sand übergeht.

Funde: Keine.

Tafel: 125.

Befund 2009 – Teilfläche 2

Profilnägellokoordinaten:

582944.849; 5991780.864; 51.799

582944.890; 5991781.665; 51.766

Deutung: Pfostenloch oder Grube.

Planum: In der Aufsicht ist der Befund mittelbraun und hat eine länglich-rundliche Form bei einer Größe von 45 x 20-25 cm. Die Verfärbung wird vom anstehenden Boden umschlossen, der sich aus gelbem, mittelfeinem Sand mit teils rötlich-kiesigen und teils lehmigen Stellen, mit vielen kleinen bis faustgroßen Steinen zusammensetzt.

Profil: Der Befund ist um ca. 16-18 cm tief und 30-40 cm breit in den anstehenden Boden (gelber Sand mit Oxidbändern) eingetieft worden. Die Verfärbung besteht aus dunkelgraubraunem lehmigem Sand und enthält einige wenige Steineinschlüsse.

Funde: Keine.

Tafel: 118.

Befund 2010 – Teilfläche 2

Profilnägellokoordinaten:

582945.397; 5991780.173; 51.897

582944.260; 5991780.388; 51.924

Deutung: Pfostenloch mit Pfostengrube, von möglichem Tiergang gestört.

Planum: In der Aufsicht besteht der Befund aus einer halbrunden, leicht amorphen Form von 75 x 40 cm und ist dabei hell- bis dunkelgraubraun. Die Verfärbung wird vom anstehenden Boden umschlossen, der sich aus gelbem, mittelfeinem Sand mit teils rötlich-kiesigen und teils lehmigen Stellen, mit vielen kleinen bis faustgroßen Steinen zusammensetzt.

Profil: Ungefähr 15-19 cm tiefer und 20-30 cm breiter, zylinderförmiger Befund, bestehend aus lehmigem graubraunem Sand. Der Befund lehnt an einen faustgroßen Stein an und grenzt im Osten an eine Pfostengrube (lehmiger Sand), die von einer Steinstandspur (lehmiger, humoser Sand) geschnitten wird. Die Verfärbung wurde in den anstehenden gelben Sand eingetieft.

Funde: Keine.

Tafel: 104, 126.

Befund 2011 – Teilfläche 2

Profilnägellokoordinaten:

582946.219; 5991784.595; 51.907

582947.081; 5991784.764; 51.836

Deutung: Doppelpfostenloch oder primäres und sekundäres Pfostenloch (nacheinander).

Planum: Im Anschnitt weist der Befund eine halbrunde bis leicht amorphe Form auf und besteht aus einer hell- bis dunkelgrauen Verfärbung bei einer Größe von 1,05 m x 35 cm. Die Verfärbung wird von einer Schicht umschlossen, die sich aus graugelbem, feinem, lockerem Sand mit leichten humosen Anteilen mit vereinzelt bis zu faustgroßen Steinen zusammensetzt.

Profil: Der Befund besteht aus zwei Verfärbungen: Verfärbung 1 ist ca. 15 cm tief und 30-32 cm breit und besteht aus schwarz-graubraunem, schwach humosem, feinem

Sand (sekundäres Pfostenloch). Verfärbung 2 ca. 25 cm tief und 15-20 cm breit und wurde leicht schräg nach Westen eingetieft und spitzt sich in diese Richtung zu und wird an dieser Spitze von Steineinschlüssen umgeben. Der Befund wurde in den anstehenden Boden (gelber Sand mit Steineinschlüssen) eingetieft.

Funde: Keine.

Tafel: 126.

Befund 2012 – Teilfläche 2

Profilnägellokoordinaten:

582947.014; 5991786.140; 51.789

582946.966; 5991785.385; 51.796

Deutung: Schichtrest.

Planum: Im Anschnitt ist der Befund leicht länglich-rundlich und hell- bis dunkelgrau und erreicht eine Größe von ca. 30 × 25 cm. Die Verfärbung wird von einer Schicht umschlossen, die sich aus graugelbem, feinem, lockerem Sand mit leichten humosen Anteilen mit vereinzelt bis zu faustgroßen Steinen zusammensetzt.

Profil: Der Befund war nach wenigen Millimetern bis Zentimeter im Profil nicht mehr sichtbar.

Funde: Keine.

Befund 2013 – Teilfläche 2

Profilnägellokoordinaten:

582943.799; 5991783.648; 51.771

582944.801; 5991783.420; 51.779

Deutung: Schichtrest oder Steinstandspur.

Planum: In der Aufsicht ist der Befund länglich und leicht rundlich und mittel- bis dunkelbraun und erreicht eine Größe von 1,0 m x 20 cm. Die Verfärbung wird von einer Schicht umschlossen, die sich aus graugelbem, feinem, lockerem Sand mit leichten humosen Anteilen mit vereinzelt bis zu faustgroßen Steinen zusammensetzt.

Profil: Im Anschnitt zeigte sich der Befund als eine nur wenige Zentimeter starke Schicht mit einem Tiergang im Westen. (nur Foto)

Funde: Keine.

Befund 2014 – Teilfläche 2

Profilnägellokoordinaten:

582943.747; 5991786.790; 51.805

582945.301; 5991786.226; 51.822

Deutung: Schichtrest, Tiergänge.

Planum: In der Aufsicht ist der Befund amorph bis rundlich und hell- bis dunkelgrau und erreicht eine Größe von 95 × 65 cm. Die Verfärbung wird von einer Schicht umschlossen, die sich aus graugelbem, feinem, lockerem Sand mit leichten

humosen Anteilen mit vereinzelt bis zu faustgroßen Steinen zusammensetzt.

Profil: Im Anschnitt zeigte sich eine durch Tiergänge gestörte unregelmäßige bis maximal 5 cm tiefe fleckige amorphe Verfärbung. (nur Foto)

Funde: Keine.

Befund 2015 – Teilfläche 2

Profilnägellokoordinaten:

582943.660; 5991784.472; 51.805

582943.799; 5991783.648; 51.771

Deutung: Schichtrest (oder Tiergang) oder Steinstandspur.

Planum: In der Aufsicht ist der Befund amorph und hell- bis dunkelgrau und erreicht eine Größe von ungefähr 45 × 30 cm. Die Verfärbung wird von einer Schicht umschlossen, die sich aus graugelbem, feinem, lockerem Sand mit leichten humosen Anteilen mit vereinzelt bis zu faustgroßen Steinen zusammensetzt.

Profil: Im Anschnitt zeigte sich eine durch Tiergänge gestörte unregelmäßige bis maximal 10 cm tiefe fleckige amorphe Verfärbung. (nur Foto)

Funde: Keine.

Befund 2016 – Teilfläche 2

Profilnägellokoordinaten:

582943.394; 5991790.392; 51.761

582943.579; 5991789.729; 51.778

Deutung: Pfostenloch.

Planum: In der Aufsicht ist der Befund rundlich und hell- bis mittelgrau und erreicht eine Größe von 40 × 35 m. Die Verfärbung wird vom anstehenden Boden umschlossen, der sich aus gelbem, mittelfeinem Sand mit teils rötlich-kiesigen und teils lehmigen Stellen, mit vielen kleinen bis faustgroßen Steinen zusammensetzt.

Profil: Im Anschnitt des Befundes zeigt sich eine Zweiteilung in die Verfärbungen 1 und 2. Verfärbung 1 besteht aus einem kompakten feinen dunkelgrau-braunen stark humosen Sand, der maximal 10 cm tief ist und ungefähr 27 cm lang. Die Verfärbung 2 befindet sich leicht schräg unter Verfärbung 1 und verläuft leicht trichterförmig und spitz zulaufend und besteht aus locker-kompaktem mittelfeinem bis groben graugelbem Sand mit humosen Anteilen und vielen kleinen Steinen. Die Verfärbung 2 erreicht dabei maximal eine Tiefe von 29 cm, bei einer Breite von 5 bis 38 cm und ist wahrscheinlich stark verwaschen. Eingetieft wurde der Befund in ein anstehendes Sand-Kies-Gemisch.

Funde: Keine.

Tafel: 127.

Befund 2017 – Teilfläche 2

Profilnägellokoordinaten:

582944.421; 5991787.581; 51.833

582945.015; 5991788.491; 51.817

Deutung: Pfostenloch.

Planum: In der Aufsicht ist der Befund länglich und abgerundet und hellgrau- bis mittelbraun und erreicht eine Größe von 85 × 35 cm. Die Verfärbung wird von einer Schicht umschlossen, die sich aus graugelbem, feinem, lockerem Sand mit leichten humosen Anteilen mit vereinzelt bis zu faustgroßen Steinen zusammensetzt.

Profil: Im Anschnitt weist der Befund eine amorphe Form auf: Im Zentrum zeigt sich ein rundes, leicht trichterförmiges Profil von maximal 25 cm. Nach Süden flacht der Befund sehr stark auf eine Tiefe von 5 cm ab, während er im Norden geringfügig abflacht und eine ungefähre Stärke von ca. 15 cm beibehält. Die Verfärbung besteht aus leicht kompaktem, mittelfeinem, stark humosem, mittelgraubraunem Sand mit einigen wenigen kleinen Steinen und ist umgeben vom anstehenden Boden, der sich aus gelbem, leicht kompaktem Sand zusammensetzt.

Funde: Keine.

Tafel: 127.

Befund 2018 – Teilfläche 2

Profilnägellokoordinaten:

582944.870; 5991792.593; 51.845

582943.779; 5991792.374; 51.804

Deutung: Grube oder von Tiergang gestörtes Pfostenloch oder Baumwurf (eher Grube).

Planum: In der Aufsicht ist der Befund länglich-rundlich und hell- bis dunkelgrau und erreicht eine Größe von 80 × 50,25 m. Die Verfärbung wird vom anstehenden Boden umschlossen, der sich aus gelbem mittelfeinem Sand mit mehreren bis vereinzelt kleinen bis faustgroßen Steinen zusammensetzt.

Profil: Im Anschnitt des Befundes zeigt sich ein flacher länglicher Befund von 55-80 cm Länge und einer maximalen Tiefe von 18 cm. Die Verfärbung besteht aus feinem dunkelgrauem, humosem Sand mit vereinzelt Steinen und Holzkohle. Der Befund ist von einigen Wurzel- und Tiergängen durchzogen und wurde in feinen gelben Sand, der den anstehenden Boden bildet, eingetieft. Im Nordosten grenzt der Befund an einen großen Stein, dessen Ausmaße mit dem Befundsschnitt nicht komplett erfasst werden konnten (ca. 19 x mind. 23 cm).

Funde: Keine.

Tafel: 107.

Befund 2019 – Teilfläche 2

Profilnägellokoordinaten:

582942.706; 5991792.126; 51.759

582942.801; 5991791.401; 51.731

Deutung: Steinstandspur.

Planum: Im Anschnitt weist der Befund eine länglich-halbrunde Form auf und setzt sich aus hell- bis dunkelgraubraunem grobkörnigem, humosem Sand mit vielen kleinen Steinen

zusammen. Die Verfärbung erreicht dabei eine maximale Tiefe von ca. 12 cm und eine Breite zwischen 18 und 38 cm. Der Befund wird vom anstehenden Boden umschlossen, der sich aus gelbem, mittelfeinem Sand mit teils rötlich-kiesigen und teils lehmigen Stellen, mit vielen kleinen bis faustgroßen Steinen zusammensetzt. Im Norden stößt der Befund aus Kies, ansonsten ist er von gelbem feinem Sand umschlossen.

Profil: Im Anschnitt weist der Befund eine halbrunde leicht flache bis maximal 12 cm tiefe Form auf, die sich aus hell- bis dunkelgraubraunem grobkörnigem, humosem Sand mit vielen kleinen Steinen zusammensetzt. Die grenzt im Norden an anstehenden Kies und wird des Weiteren vom anstehendem, gelbem, feinem Sand umschlossen.

Funde: Keine.

Tafel: 138.

Befund 2020 – Teilfläche 2

Profilnägellokoordinaten:

582937.503; 5991798.383; 51.403

582938.194; 5991798.511; 51.441

Deutung: Steinstandspur.

Planum: In der Aufsicht ist der Befund rundlich und gelbbraun bis rötlich und erreicht eine Größe von 40 × 30 cm. Die Verfärbung wird umschlossen vom anstehenden Boden, der sich aus gelbem, feinem bis mittelfeinem Sand mit rötlich-kiesigen Bereichen und vereinzelt kleinen bis kopfgroßen Steinen zusammensetzt.

Profil: Im Anschnitt weist der Befund eine flache, halbrunde Form auf und erreicht eine maximale Tiefe von ca. 10 cm. Die Verfärbung besteht aus graubraunem, grobkörnigem, humosem Sand mit vielen kleinen Steinen und befindet sich im anstehenden Boden, der sich aus gelbem, feinem Sand zusammensetzt.

Funde: Keine.

Befund 2021 – Teilfläche 2

Profilnägellokoordinaten:

582925.949; 5991794.994; 52.317

582925.583; 5991796.179; 52.261

Deutung: Grube.

Planum: In der Aufsicht ist der Befund rundlich und dunkelgraubraun und erreicht eine Größe von 97 × 85 cm. Die Verfärbung wird vom anstehenden Boden umschlossen, der sich aus gelbem bis hellbraunem, feinem bis mittelfeinem Sand mit vereinzelt kleinen bis kopfgroßen Steinen sowie vielen Tiergängen zusammensetzt.

Profil: Im Anschnitt des Befundes zeigt sich eine Zweiteilung in die Verfärbungen 1 und 2. Verfärbung 1 weist eine halbrunde Form auf, die leicht nach unten zuläuft und erreicht dabei eine Tiefe von 25 cm und eine Breite zwischen 18 und 54 cm. Die Verfärbung setzt sich aus lockerem, feinem, stark humosem dunkelgrauem-braunem Sand zusammen. Die Verfärbung 2 umschließt länglich-halbrund die Verfärbung 1 und besteht dabei aus fein- bis mittelfeinkörnigem graubraungelbem Sand mit humosen Anteilen. Es handelt sich wahrscheinlich um den Auswaschungshorizont von Verfärbung 1. Der Befund ist an

den Seiten eingetieft in mittelfeinen gelben Sand. Darunter und am Boden stößt der Befund auf anstehenden rötlichen Kies.

Funde: Keine.

Tafel: 108.

Befund 2022 – Teilfläche 2

Profilnägellokoordinaten:

582940.697; 5991795.238; 51.720

582940.622; 5991795.823; 51.678

Deutung: Pfostenloch.

Planum: In der Aufsicht ist der Befund rund und mittel- bis rötlichbraun und erreicht eine Größe von 30 × 31 cm. Die Verfärbung wird umschlossen vom anstehenden Boden, der sich aus gelbem, feinem bis mittelfeinen Sand mit rötlich-kiesigen Bereichen und vereinzelt kleinen bis kopfgroßen Steinen zusammensetzt.

Profil: Im Anschnitt weist der Befund eine leicht schräge trichterförmige und dann sich zuspitzende Form auf. Die Verfärbung ist 28 cm tief und ungefähr 15 cm breit und besteht dabei aus feinem graublau-braunem humosem Sand mit vereinzelt kleinen Steinen. Der Befund ist in den anstehenden Boden eingetieft, der sich aus gelbem feinem Sand bis gröberen sandigen Kies zusammensetzt.

Funde: Keine.

Tafel: 127.

Befund 2023 – Teilfläche 2

Profilnägellokoordinaten:

582947.276; 5991795.993; 51.953

582947.066; 5991796.638; 51.934

Deutung: Pfostenloch.

Planum: In der Aufsicht ist der Befund rundlich und dunkelbraun und erreicht eine Größe von 43 × 37 cm. Die Verfärbung wird umschlossen vom anstehenden Boden, der sich aus gelbem, feinem bis mittelfeinen Sand mit rötlich-kiesigen Bereichen und vereinzelt kleinen bis kopfgroßen Steinen zusammensetzt.

Profil: Im Anschnitt zeigt der Befund eine halbrunde, leicht amorphe Form. Die Verfärbung besteht dabei aus dunkelbraunem feinkörnigem, stark humosem Sand mit vereinzelt kleinen Steinen. Im Norden ist die Befundgrenze leicht verwaschen und zeichnet sich als grauer mittelfeinkörniger leicht humoser Sand mit vereinzelt kleinen Steinen ab. Umschlossen wird der Befund vom anstehenden Boden - bestehend aus gelbem, mittelfeinkörnigem Sand mit mehreren kleinen bis faustgroßen Steinen.

Funde: Keine.

Tafel: 128.

Befund 2024 – Teilfläche 2

Profilnägellokoordinaten:

582946.074; 5991794.753; 51.822

582946.659; 5991794.632; 51.832

Deutung: Pfostenloch.

Planum: In der Aufsicht ist der Befund leicht rundlich-amorph und dunkelbraun und erreicht eine Größe von 30 × 18 cm. Die Verfärbung wird umschlossen vom anstehenden Boden, der sich aus gelbem, feinem bis mittelfeinen Sand mit rötlich-kiesigen Bereichen und vereinzelt kleinen bis kopfgroßen Steinen zusammensetzt.

Profil: Der Anschnitt des Befundes zeigt einen rundlichen, schräg eingetieften und leicht trichterförmig zulaufenden Querschnitt, der ca. 28 cm tief ist und eine mittlere Breite von ca. 19 cm hat. Die Verfärbung besteht aus graubraunem, lockerem, fein- bis mittelfeinkörnigem, humosem Sand, der vereinzelt Steineinschlüsse aufweist. Der Befund ist in den anstehenden Boden eingetieft, der sich im Westen aus feinem gelbem Sand und im Osten aus Kies zusammensetzt.

Funde: Keine.

Tafel: 128.

Befund 2025 – Teilfläche 2

Profilnägellokoordinaten:

582945.577; 5991794.587; 51.792

582945.325; 5991794.190; 51.789

Deutung: Pfostenloch.

Planum: In der Aufsicht ist der Befund rundlich und dunkelbraun und erreicht eine Größe von 22 × 18 cm. Die Verfärbung wird umschlossen vom anstehenden Boden, der sich aus gelbem, feinem bis mittelfeinen Sand mit rötlich-kiesigen Bereichen und vereinzelt kleinen bis kopfgroßen Steinen zusammensetzt.

Profil: Der Anschnitt des Befundes zeigt einen flach-trichterförmigen Querschnitt, der maximal 29 cm breit und bis zu 15 cm tief ist. Die Verfärbung setzt sich aus gräulich-gelblichem feinem Sand zusammen und ist stark von Tiergängen gestört. Darunter folgt der anstehende Boden, der aus feinem gelbem Sand besteht.

Funde: Keine.

Tafel: 128.

Befund 2026 – Teilfläche 2

Profilnägellokoordinaten:

582932.627; 5991794.171; 51.963

582932.172; 5991793.884; 52.027

Deutung: Schichtrest.

Planum: In der Aufsicht ist der Befund rund und mittelbraun und erreicht eine Größe von 33 × 30 cm. Die Verfärbung wird umschlossen von einer Schicht, die sich aus graugelbem, feinem, lockerem Sand mit leichten humosen Anteilen und vereinzelt

kleinen bis kopfgroßen Steinen sowie vielen Tiergängen zusammensetzt.

Profil: Im Anschnitt ist der Befund im Vergleich zur Aufsicht nur sehr geringfügig vorhanden und wenige Zentimeter breit (ca. 15 cm) und tief (ca. 8 cm).

Funde: Keine.

Befund 2027 – Teilfläche 2

Profilnägellokoordinaten:

582945.897; 5991790.414; 51.823;

582946.060; 5991789.300; 51.873

Deutung: Pfostenloch.

Planum: In der Aufsicht weist der Befund eine leicht längliche rundliche Form auf und ist graubraun. Er erreicht eine Größe von 43 × 20-26 cm. Die Verfärbung wird vom anstehenden Boden umschlossen, der sich aus gelbem, mittelfeinem Sand mit mehreren bis vereinzelt kleinen bis faustgroßen Steinen zusammensetzt.

Profil: Im Anschnitt weist der Befund eine schräge, trichterförmige, rundliche und spitz nach Süden zulaufende Form und erreicht dabei eine maximale Tiefe von ca. 40 cm. Die Verfärbung besteht aus mittelgraubraunem, feinem- bis mittelfeinem, humosem Sand mit vereinzelt kleinen Steinen und befindet sich im anstehenden Boden, der sich aus gelbem, mittelfeinem Sand mit kleinen bis doppelfaustgroßen Steinen zusammensetzt.

Funde: Keine.

Tafel: 129.

Befund 2028 – Teilfläche 2

Profilnägellokoordinaten:

582936.835; 5991782.930; 52.324

582937.252; 5991783.416; 52.245

Deutung: Pfostenloch.

Planum: In der Aufsicht ist der Befund rund und mittelgraubraun und erreicht eine Größe von 25 × 25 cm. Die Verfärbung wird umschlossen vom anstehenden Boden, der sich aus gelbem mittelfeinem Sand mit teils rötlichen-kiesigen und teils lehmigen Stellen mit vielen kleinen bis faustgroßen Steinen zusammensetzt.

Profil: Ungefähr 25-27 cm eingetieft und ca. zwischen 27 und 7 cm breiter, spitz zulaufender, dunkelgraubrauner, mittelfeiner humoser Sand. Der Befund wurde in den anstehenden gelben mittelgroben Sand eingetieft und von einem Tiergang gestört.

Funde: Keine.

Tafel: 129.

Befund 2029 – Teilfläche 2

Profilnägellokoordinaten:

582935.578; 5991785.926; 52.251

582935.745; 5991786.382; 52.215

Deutung: Pfostenloch.

Planum: In der Aufsicht ist der Befund rund und mittelgraubraun und erreicht eine Größe von 25 × 25 cm. Die Verfärbung wird umschlossen vom anstehenden Boden, der sich aus gelben

mittelfeinen Sand mit teils rötlichen-kiesigen und teils lehmigen Stellen mit vielen kleinen bis faustgroßen Steinen zusammensetzt.

Profil: Der Befund wurde ca. 15-17 cm tief und maximal 25 cm breit in den anstehenden Boden (gelber, mittelgrober Sand) leicht schräg in SW-Richtung eingetieft. Die Verfärbung besteht aus dunkelbraunem mittelfeinem stark humosem Sand und läuft leicht spitz zu.

Funde: Keine.

Tafel: 130.

Befund 2030 – Teilfläche 2

Profilnägellokoordinaten:

582945.921; 5991780.092; 51.860

582947.028; 5991780.211; 51.858

Deutung: Pfostenloch (im Norden) mit Schichtrest und Tiergang im Süden.

Planum: In der Aufsicht weist der Befund eine länglich abgerundete Form auf und ist hell- bis dunkelgrau-bräunlich. Er erreicht eine Größe von 1,20 m x 55 cm und wird vom anstehenden Boden umschlossen, der sich aus gelbem, mittelfeinem Sand mit teils rötlich-kiesigen und teils lehmigen Stellen, mit vielen kleinen bis faustgroßen Steinen zusammensetzt.

Profil: Im Anschnitt weist der Befund eine rundliche-amorphe Form auf und erreicht eine ungefähre maximale Tiefe von 20 cm. Die Verfärbung besteht aus dunkelgraubraunem, lehmigem, sehr festem und feinkörnigem Sand. Umschlossen wird der Befund vom anstehenden Boden, der sich aus braunem, lockerem, mittelkörnigem Sand mit vereinzelt Steineinschlüssen, die sich vor allem an der Befund-Unterkante entlangreihen, zusammensetzt.

Funde: Keine.

Tafel: 125, 130.

Befund 2031 – Teilfläche 2

Profilnägellokoordinaten:

582938.307; 5991786.381; 52.084

582938.806; 5991786.545; 52.041

Deutung: Pfostenloch.

Planum: In der Aufsicht ist der Befund rundlich-länglich und mittelgraubraun und erreicht eine Größe von 33 × 22 cm. Die Verfärbung wird umschlossen vom anstehenden Boden, der sich aus gelbem mittelfeinem Sand mit teils rötlichen-kiesigen und teils lehmigen Stellen mit vielen kleinen bis faustgroßen Steinen zusammensetzt.

Profil: Der Befund wurde ca. 20 cm tief und 20-25 cm breit in den anstehenden Boden (gelber, mittelfeiner Sand) eingetieft. Die Verfärbung besteht aus dunkelgraubraunem mittelfeinem, stark humosem Sand, mit Holzkohlepartikeln und wurde leicht schräg nach Norden eingetieft und läuft dabei spitz zu. Im Osten grenzt der Befund an einen mindestens doppelfaustgroßen Stein.

Funde: Keine.

Tafel: 130.

Befund 2032 – Teilfläche 2**Mittelpunktcoordinate:** 582925.71; 5991792.32**Deutung:** Steinkonstruktion, gestörtes Grab?**Planum:** In der Aufsicht ist der Befund in der dunklen kolluvialen Schicht eingetieft und wurde mit dem ersten Planum aufgedeckt. Es handelt sich um einen Nordost-Südwest ausgerichtete längliche rundlich-ovale Steinformation von 2,7 m Länge und 1,2 m Breite. Südöstlich davon befinden sich weitere Steinanhäufungen in derselben kolluvialen Schicht – ob es sich um erodierte Teile der Konstruktion oder andere, nicht mehr rekonstruierbare Konstruktionen handelt ist nicht mehr festzustellen.**Profil:** nicht geschnitten.**Funde:** Keine.**Tafel:** 147.**Befund 3001** – Teilfläche 3

Profilnägelskoordinaten:

582932.530; 5991773.412; 52.850

582931.803; 5991774.142; 52.906

Deutung: kleine Grube anderen Sands/Pflugspur.**Planum:** In der Aufsicht hat der Befund eine rundliche Form und eine maximale Ausdehnung von ca. 75 cm. Die Verfärbung ist graubraun-gelblich und ist umschlossen von hellbraunem, leicht rötlichem lockerem, grobkörnigem Sand mit Kies und vielen kleineren Steinen (anstehender Boden).**Profil:** Ca. 15 cm tiefe und 30-40 cm breite Verfärbung aus gelbgräulich schluffigen, fein- bis grobkörnigen Sand. Der Befund wird von einem Tiergang gestört. Die Verfärbung wurde in den anstehenden Boden eingetieft, der sich aus gelb-rötlichem fein- bis mittelfeinem Sand zusammensetzt und von Oxidbändern durchzogen ist.**Funde:** Keine.**Tafel:** 108.**Befund 3002** – Teilfläche 3 – Mittelpunkt:**Deutung:** Geologie.**Planum:** In der Aufsicht ist der Befund länglich-abgerundet und gelblich. Die Verfärbung hat eine Ausdehnung von 1,93 m x 60-85 cm und wird zum Großteil vom anstehenden Boden umschlossen, der aus hellbraunem mittelfeinem, leicht kompaktem Sand besteht. Im Norden wird der Befund von einem dunklen und leicht humosen Schichtrest sowie von einer Pflugspur geschnitten.**Profil:** Wurde nicht geschnitten.**Funde:** Keine.**Befund 3003** – Teilfläche 3

Profilnägelskoordinaten:

582928.746; 5991776.986; 52.849

582930.972; 5991777.492; 52.830

Deutung: Baumwurf (Verf. 1) und Tiergang (Verf. 2).**Planum:** In der Aufsicht lässt sich der Befund in zwei Verfärbungen unterteilen: Verfärbung A verläuft halbrund aus dem Profil heraus und erreicht eine maximale Ausdehnung von ca. 1 m nach

Südosten und hat dabei eine Breite von 85 cm. Verfärbung A ist dabei mittelbraun bis graubraun mit einigen gelben Flecken und liegt im östlichen Rand der Hügelschüttung, die sich aus gelbem, lockerem mittel- bis grobkörnigem Sand zusammensetzt und die in diesem Areal etwas dunkler ist als im Hügelzentrum. Der Befund wird umschlossen von einer mittelbraunen Verfärbung, die ca. 2,55 m lang und 1,4 m breit ist. Ca. 30 cm westlich von dem Befund liegt eine mittel- bis graubraune Verfärbung, bei der es sich um einen Tiergang handelt.

Profil: Im Anschnitt zeigen sich zwei Befund, die sich durch unterschiedliche Verfärbungen unterscheiden und, die 85 cm voneinander entfernt auf fast gleicher Höhe in den Boden eingetieft liegen. Die Verfärbung A im Osten weist ein halbrundes, nach Osten einziehendes und maximal 43 cm tiefes Profil auf und setzt sich dabei aus dunkelbraunem, mittelkörnigem, festem Sand auf, der im oberen Bereich Holzkohlefitter bis Holzkohlestückchen und Steineinschlüsse aufweist. Die Verfärbung B liegt im Westen und weist eine amorphe Form auf. Sie besteht dabei aus dunkelbraunen, mittel- bis grobkörnigem, festem Sand mit einigen Steineinschlüssen. Im Osten grenzt die Verfärbung B an einen kleinen mittelbraunen, mittelfeinkörnigen lockeren Sandbereich, der von Tiergängen durchsetzt ist und am Boden an einen doppelfaustgroßen Stein grenzt. Beide Befunde befinden sich in hell- bis mittelbraunen, fein- bis mittelfeinkörnigen, festen Sand, der an einigen Stellen Oxidbänder aufweist – dabei handelt es sich wahrscheinlich um die Reste der Hügelschüttung. Der anstehende Boden wurde im Befundschnitt nicht erreicht.**Funde:** Flintklingenfragment (F3027)**Tafel:** 101.**Befund 3004** – Teilfläche 3**Deutung:** Lehmlinse.**Planum:** In der Aufsicht ist der Befund länglich mit einer maximalen Ausdehnung von 1,10 m, bei einer Breite von 25-50 cm. Die Verfärbung ist hellgrau-gelblich und befindet sich im anstehenden Boden (hellbrauner, leicht rötlicher lockerer, grobkörniger Sand mit Kies und vielen kleineren Steinen), unweit von der Hügelschüttung entfernt.**Profil:** Wurde nicht geschnitten.**Funde:** Keine.**Befund 3005** – Teilfläche 3**Deutung:** Schichtrest.**Planum:** In der Aufsicht ist der Befund rund und besteht aus kompaktem, hellem, feinem Sand, der bei Abtrag A3002 bereits verschwunden ist. Die Verfärbung ist dabei 40 x 40 cm groß und wird vom anstehenden Boden umschlossen, der sich aus hellbraunem mittelfeinem Sand zusammensetzt.**Profil:** Wurde nicht geschnitten.**Funde:** Keine.

Befund 3006 – Teilfläche 3**Deutung:** Schichtrest.**Planum:** In der Aufsicht ist der Befund rund und besteht aus kompaktem, hellem, feinem Sand, der bei Abtrag A3002 bereits verschwunden ist. Die Verfärbung ist dabei 45 × 40 cm groß und wird vom anstehenden Boden umschlossen, der sich aus hellbraunem mittelfeinem Sand zusammensetzt.**Profil:** Wurde nicht geschnitten.**Funde:** Keine.**Befund 3007** – Teilfläche 3

Profilnägellokoordinaten:

582932.121; 5991767.588; 52.785

582932.390; 5991766.435; 52.757

Deutung: Grube oder geologisch (eher Grube).**Planum:** In der Aufsicht ist der Befund länglich-rund und besteht aus hellem feinsandigem Sand. Die Verfärbung ist dabei 90 × 60 cm groß und wird von zwei Pflugspuren geschnitten. Der Befund wird vom anstehenden Boden umschlossen, der sich aus hellbraunem mittelfeinem Sand zusammensetzt.**Profil:** Der Befund zeichnet sich als flache ca. 15 cm tiefe und 40 cm breite Vertiefung ab, die sich noch ca. 30 weitere Zentimeter nach Norden erstreckt. Die Verfärbung besteht aus hellbraunem bis rötlichem feinkörnigem kompaktem Sand-Lehm-Gemisch mit vielen sehr kleinen bis kleinen Steinen und wurde in den anstehenden Boden eingetieft, der sich aus hellbraunem mittelfeinem, lockerem Sand zusammensetzt und von Oxidbändern durchzogen ist.**Funde:** Keine.**Tafel:** 109.**Befund 3008** – Teilfläche 3

Profilnägellokoordinaten:

582928.868; 5991766.833; 52.854

582930.346; 5991765.913; 52.825

Deutung: Steinstandspur? Oder geologisch.**Planum:** In der Aufsicht ist der Befund länglich-rund und besteht aus gelblichrötlichem, lehmigem Sand. Die Verfärbung erreicht dabei eine Größe von 1,30 m × 73 cm und wird von einer Pflugspur geschnitten. Der Befund wird vom anstehenden Boden umschlossen, der sich aus hellbraunem, mittelfeinem Sand zusammensetzt.**Profil:** Im Anschnitt weist der Befund zwei Verfärbungen auf: die Verfärbung zieht sich dünn und länglich am oberen Rand des Befundschnittes ca. 1,40 m entlang und besteht dabei aus einer gelb-rötlichen lehmigen festen Schicht. Sie erreicht dabei eine Tiefe von 3-8 cm. Darunter folgt Verfärbung 2, die sich leicht flach bis trichterförmig im Profil zeigt. Sie besteht dabei aus hellbraunem bis rötlichem, mittel- bis grobkörnigem Sand mit vielen Oxidbändern und einigen wenigen Steinen. Im Süden grenzt sie an eine Schicht des anstehenden Bodens, die sich aus hellbraunem, mittel- bis grobkörnigem, lockerem Sand zusammensetzt und dabei einige Oxidbändern und einige wenige Steine einschließt. Darunter und im Norden des Befundes zeichnet sich eine weitere Schicht des

anstehenden Bodens ab, der sich aus hellbraunem, grobkörnigem, lockerem Sand mit vereinzelt Oxidbändern zusammensetzt.

Funde: Keine.**Befund 3009** – Teilfläche 3

Profilnägellokoordinaten:

582926.971; 5991765.848; 52.913

582928.226; 5991766.053; 52.881

Deutung: Grube oder Pflanzengrube.**Planum:** In der Aufsicht ist der Befund rundlich-länglich und mittelbraun bis rotbraun. Die Verfärbung erreicht dabei eine Größe von 55 × 40 cm und wird vom anstehenden Boden umschlossen, der sich aus hellbraunem, mittelfeinem Sand zusammensetzt.**Profil:** Im Anschnitt weist der Befund im Osten eine halbrunde ca. 28 cm tiefe und 30 cm breite Vertiefung auf, die im Westen flachen wird und nur noch 19 cm tief ist. Der Befund hat ein Gesamtausmaß von ca. 61 cm. Die Verfärbung ist dunkelbraun und besteht aus mittelfeinkörnigem leicht festem Humus mit hellen Sandeinschlüssen. Der Befund ist ein den anstehenden Boden eingetieft, der sich aus hellbraun-rötlichem, grobkörnigem, lockerem Sand und einigen Oxid- und Steineinschlüssen zusammensetzt.**Funde:** Keine.**Tafel:** 118.**Befund 3010** – Teilfläche 3**Deutung:** Steinstandspur oder geologisch.**Planum:** In der Aufsicht ist der Befund rundlich-amorph und gelbbraun mit leicht rötlichen Stellen. Die Verfärbung ist 1,20 m × 60 cm groß und wird von einigen Pflugspuren geschnitten und vom anstehenden Boden umschlossen, der sich aus hellbraunem, mittelfeinem Sand zusammensetzt.**Profil:** Wurde nicht geschnitten.**Funde:** Keine.**Befund 3011** – Teilfläche 3

Profilnägellokoordinaten:

582922.597; 5991768.623; 52.967

582923.121; 5991770.281; 53.039

Deutung: Grube und im Norden Schichtrest.**Planum:** In der Aufsicht ist der Befund oval und rotbraun. Die Verfärbung ist dabei 98 × 70 cm groß und wird vom Randbereich der Hügelschüttung (Ausfällungshorizont mit unscharfen Grenzen) umschlossen, der sich aus braunrotem, mittelfeinem bis groben Sand mit vielen Tiergängen zusammensetzt.**Profil:** Im Anschnitt weist der Befund eine rundliche amorphe Form auf und verläuft dabei leicht schräg nach Süden. Der Befund erreicht dabei eine Länge von zwischen ca. 20 und 40 cm und eine Tiefe zwischen ca. 20 und 30 cm. Die Verfärbung besteht aus braunem, feinem Sand mit wenigen kleinen Steinen und wird von einem Tiergang im Norden geschnitten. Im weiteren Norden befindet sich ein brauner feinsandiger Schichtrest von 58 cm Länge und ca. 10 cm Breite. Der Hautbefund scheint im oberen Bereich noch in die Hügelschüttung eingetieft, die aus

hellbraunem, feinem Sand mit wenigen Steinen besteht. Darunter folgt der anstehende Boden, der sich aus braunem, mittelfeinem Sand mit Oxidbändern, einigen Steinen und Tiergängen zusammensetzt. Weiter darunter folgt gelber mittelfeiner Sand – eine weitere Schicht des gewachsenen Bodens.

Funde: Keine.

Tafel: 110.

Befund 3012 – Teilfläche 3

Deutung: Schichtrest.

Planum: In der Aufsicht ist der Befund länglich amorph und rotbraun. Die Verfärbung hat dabei eine Größe von 98 × 15-42 cm und wird im Osten vom Randbereich der Hügelschüttung (Ausfällungshorizont mit unscharfen Grenzen) umschlossen, der sich aus braunrotem, mittelfeinem bis groben Sand mit vielen Tiergängen zusammensetzt. Im Westen liegt der Befund im Übergangsbereich von der Hügelschüttung zur Hügelrandzone, der aus gelbbraunem bis rötlichen, mittelfeinen Sand besteht. Mit dem Abtrag 3002 ist der Befund bereits verschwunden.

Profil: Nicht geschnitten, weil der Befund ab A3002 verschwunden ist.

Funde: Keine.

Befund 3013a – Teilfläche 3

Profilnägellokoordinaten:

582933.148; 5991770.650; 52.747

582931.484; 5991768.510; 52.812

582930.041; 5991770.565; 52.821

Deutung: Baumwurf.

Planum: In der Aufsicht hat der Befund eine L-förmige Form mit einer ungefähren Ausdehnung von 2,10 × 40-75 cm. Die Verfärbung ist dunkelbraun mit gelben Flecken und einem Stein und grenzt an eine mittelbraune gelbliche Verfärbung. Der Befund befindet sich im anstehenden Boden, der sich aus hellbraunem, leicht rötlichem lockerem, grobkörnigem Sand mit Kies und vielen kleineren Steinen zusammensetzt.

Profil: Wurde nicht geschnitten.

Funde: Keine.

Befund 3013b – Teilfläche 3

Profilnägellokoordinaten:

582935.901; 5991764.849; 52.725

582936.784; 5991763.731; 52.722

Deutung: Baumwurf.

Planum: In der Aufsicht hat der Befund eine halbrunde Form und ist dabei 75 cm x 50-100 cm groß. Die Verfärbung ist mittelbraun bis hellbraun mit einigen gelben Flecken und wenigen kleinen Steinen und befindet sich im anstehenden Boden, der sich aus hellbraunem, leicht rötlichem, lockerem, grobkörnigem Sand mit Kies und vielen kleineren Steinen zusammensetzt.

Profil: Wurde nicht geschnitten.

Funde: Keine.

Befund 3014 – Teilfläche 3

Profilnägellokoordinaten:

582935.901; 5991764.849; 52.725

582936.784; 5991763.731; 52.722

Deutung: Grube, urgeschichtlich.

Planum: In der Aufsicht ist der Befund rund und dunkelgraubraun. Die Verfärbung ist 1,05 × 1 m groß und enthält einige kleine bis 30 cm große Steine. Der Befund wird vom anstehenden Boden umschlossen, der sich aus hellbraun-gelblichem, mittelkörnigem Sand mit lehmigen Anteilen zusammensetzt.

Profil: Im Anschnitt weist der Befund eine flache, einsinkende, ca. 62 cm lange und maximal 12 cm tiefe Form auf. Die Verfärbung besteht aus dunkelbraunem, leicht lehmigem, mittelkörnigem, sehr festem Sand mit humosen Anteilen und mit sehr wenigen Steinen. Auf der oberen Befundsschnittkante liegt ein großer Stein im Zentrum der Verfärbung auf. Der Befund wird umschlossen von rötlichbraunem bis hellbraunem, mittelkörnigem, festen Sand – dem anstehenden Boden. Im Süden wird die Befundverfärbung von einem Tiergang gestört.

Funde: Keine.

Tafel: 116.

Befund 3015 – Teilfläche 3

Profilnägellokoordinaten:

582935.558; 5991765.251; 52.698

582935.901; 5991764.849; 52.725

Deutung: Schichtrest.

Planum: In der Aufsicht ist der Befund rundlich-amorph und dunkelbraun. Die Verfärbung ist 25 × 15 cm groß und wird vom anstehenden Boden umschlossen, der sich aus hellbraun-gelblichem, mittelkörnigem Sand mit lehmigen Anteilen zusammensetzt.

Profil: Im Anschnitt handelt es sich um einen sehr flachen und leicht rundlichen Befund, der aus dunkelbraunem, mittelkörnigem, festem Humus besteht. Diese Verfärbung ist – wie BEF3014 – vom anstehenden Boden umschlossen: rötlichbrauner bis hellbraunen mittelkörnigen festen Sand.

Funde: Keine.

Befund 3016 – Teilfläche 3

Deutung: Schichtrest.

Planum: In der Aufsicht ist der Befund rundlich und mittel- bis dunkelbraun. Die Verfärbung ist 30 × 25 cm groß und wird vom anstehenden Boden umschlossen, der sich aus hellbraun-gelblichem, mittelkörnigem Sand mit lehmigen Anteilen zusammensetzt.

Profil: Wurde nicht geschnitten.

Funde: Keine.

Befund 3017 – Teilfläche 3

Profilnägelkoordinaten:

582938.346; 5991766.265; 52.651

582938.229; 5991765.686; 52.666

Deutung: Pfostenloch.

Planum: In der Aufsicht ist der Befund rund und mittel- bis dunkelbraun. Die Verfärbung ist 30 × 25 cm groß und wird von braun-weißlichem Lehm eines Lehmbandes umschlossen. Im Norden grenzt der Befund an den anstehenden Boden, der sich aus hellbraun-gelblichem, mittelkörnigem Sand mit lehmigen Anteilen zusammensetzt.

Profil: Im Anschnitt weist der Befund eine rundliche Verfärbung auf, die maximal 8 cm breit und 22 cm lang ist. Die Verfärbung besteht aus dunkelbraunem, feinkörnigem und festem humosem Sand, der von kleinen Wurzeln durchzogen ist. Im Nordosten grenzt der Befund an zwei keilförmige Steine von 8 und 13 cm Länge, die schräg nach Südwesten im Befund liegen und möglicherweise zum Verkeilen des ehemaligen Pfostens benutzt wurden. Der Befund wurde in den anstehenden Boden eingetieft, der sich aus hellbraunem, feinem, lehmigem festem Sand zusammensetzt. Weiter tiefer folgt gelber feiner lockerer Sand als weitere Schicht des gewachsenen Bodens.

Funde: Keine.

Tafel: 131.

Befund 3018 – Teilfläche 3

Profilnägelkoordinaten:

582944.026; 5991763.863; 52.553

582943.222; 5991765.065; 52.531

Deutung: Erweiterung Baumwurf (Bef. 3073).

Planum: In der Aufsicht ist der Befund länglich-abgerundet und dunkelbraun. Die Verfärbung ist 1,15 × 30-55 cm groß und wird zum Großteil vom anstehenden Boden umschlossen, der sich aus hellbraun-rötlichem, feinkörnigem, lockerem Sand mit Ortsteinflecken und kleinen sowie einzelnen größeren Steinen zusammensetzt. Im Südosten schneidet der Befund eine Verfärbung, die aus braun-weißlichem Lehm besteht.

Profil: Im Anschnitt ist der Befund rundlich und nach Nordosten zunehmend tiefergehend. Der Befund erreicht dabei eine Länge von 92 cm und eine maximale Tiefe im Nordosten von 29 cm. Im Südwesten wird der Befund durch einen möglichen Tiergang gestört. Die Verfärbung setzt sich aus dunkelbraunem, feinkörnigem festem Sand mit humosen Anteilen zusammen und ist von kleinen Wurzeln durchzogen. Der Befund ist eingetieft in eine mittelbraune feste feinkörnige Sandschicht, die den anstehenden Boden bildet.

Funde: Keine.

Tafel: 102.

Befund 3019 – Teilfläche 3

Profilnägelkoordinaten:

582945.182; 5991769.679; 52.368

582945.569; 5991768.027; 52.404

Deutung: hellere Grube mit möglichem dunklem Pfostenloch.

Planum: In der Aufsicht ist der Befund rund und dunkelbraun und liegt inmitten einer Verfärbung, die aus braun-weißlichen sandigen Lehm besteht. Der Befund ist 40 × 40 cm groß und die Verfärbung um ihn herum erstreckt sich über 1,50 m x 40-83 cm und ist wiederum umgeben vom anstehenden Boden, der sich aus hellbraun-rötlichem, feinkörnigem, lockerem Sand mit Ortsteinflecken sowie kleinen und einzelnen größeren Steinen zusammensetzt.

Profil: Im Profilschnitt ist der Befund länglich (ca. 1,05 cm lang) und weist eine starke Vertiefung im südlichen Teil auf, die sich halbrund mit einer maximalen Tiefe von 32 cm nach unten verjüngt. Die Verfärbung besteht aus dunkelgrauem, sandigem Lehm, der von einigen Tiergängen durchsetzt ist. Im südlichen Bereich sind schwarzgraue Reste einer Vertiefung erkennbar, die von einem gestörten Pfostenloch stammen können. Im Norden, außerhalb des Befundes, ist eine hellgraue Sandlinse erkennbar. Der Befund ist in den anstehenden Boden eingetieft, der sich aus gelb-rötlichem, fein- bis mittelfeinkörnigem Sand zusammensetzt, der von Oxidbändern durchzogen ist.

Funde: Keine.

Tafel: 131.

Befund 3020 – Teilfläche 3

Profilnägelkoordinaten:

582939.385; 5991776.755; 52.411

582940.877; 5991776.359; 52.386

Deutung: flache Grube (?).

Planum: In der Aufsicht hat der Befund eine amorphe Form und ist mittelgraubraun. Die Verfärbung ist 80 × 50-55 cm groß und wird vom Übergangsbereich zum anstehenden Boden umschlossen, der sich aus einem dunkelbraunem, mittelkörnigem Humus-Sandgemisch mit Kieseln bis zu 8 cm und vielen Tiergängen zusammensetzt.

Profil: Im Anschnitt weist der Befund eine sehr amorphe und leicht rundliche Form auf und erreicht dabei eine maximale Tiefe von 28,5 cm. Die Verfärbung besteht aus ockerfarbenem Sand mit Einschlüssen sehr hellen sandigen Lehms und mit einigen größeren Steineinschlüssen. Die Konsistenz ist mittelkörnig und fest. Ein Wurzelgang aus dunkelbraunem sandigem feinkörnigem lockerem Humus stört den Befund. Die Verfärbung ist umschlossen vom anstehenden Boden, der sich aus braunem, mittelkörnigem, festem Sand mit einigen kleinen Stein- und Wurzeleinschlüssen zusammensetzt.

Funde: Keine.

Tafel: 110.

Befund 3021 – Teilfläche 3

Profilnägelkoordinaten:

582941.671; 5991777.157; 52.291

582942.885; 5991776.852; 52.266

Deutung: Pfostenloch mit Pfostenstandspur.

Planum: In der Aufsicht ist der Befund länglich-rundlich und hellgraubraun. Die Verfärbung ist 70 × 45 cm groß und wird vom Übergangsbereich zum anstehenden Boden umschlossen, der sich aus einem dunkelbraunem, mittelkörnigem Humus-Sandgemisch mit Kieseln bis zu 8 cm und vielen Tiergängen zusammensetzt.

Profil: Im Anschnitt weist der Befund eine trichterförmige und dann schmal-zylinderförmig maximal 71 cm tiefe Form auf. Im Osten des Befundes ist die Verfärbung dunkelgraubraun-schwärzlich und besteht aus mittel- bis grobkörnigem, festem, Sand mit einigen Steineinschlüssen und einem Tiergang (Pfostengrube). Im westlichen Teil des Befundes ist die Verfärbung heller und besteht aus dunkelbraunem, mittelfeinkörnigem, lehmigem, lockerem Sand, der nach unten hin zunächst heller und grobkörniger wird (Pfostengrube), dann geht er in den zylindrischen Schluf-förmigen Teil über und setzt sich aus sehr dunkelbraunem-schwärzlichem, mittelkörnigem, leicht lehmigem, lockerem Sand zusammen, der einige Holzkohlestücke enthält (Pfostenstandspur). Unterhalb und entlang des Befundes befinden sich unterschiedliche Schichten des gewaschenen geologischen Bodens, der sich aus einem sandig-kiesigen Untergrund mit Oxidbändern und vielen Tiergängen zusammensetzt.

Funde: Flintabschlag (F3025), gebrannter Flint (F3024).

Tafel: 132.

Befund 3022 – Teilfläche 3

Profilnägelkoordinaten:

582943.292; 5991775.679; 52.283

582943.978; 5991774.893; 52.263

Deutung: Grube.

Planum: In der Aufsicht ist der Befund oval und graubraun. Die Verfärbung ist 55 × 40 cm groß und von einigen kleineren Steinen durchsetzt. Die Verfärbung ist umschlossen vom anstehenden Boden, der sich aus hellbraun-rötlichem, feinkörnigem, lockerem Sand mit Ortsteinflecken und kleinen sowie einzelnen größeren Steinen zusammensetzt.

Profil: Im Anschnitt des Befundes wird sichtbar, dass der Befund aus zwei Verfärbungen besteht, die länglich-rundlich in den anstehenden Boden (gelbbrauner, mittelfeiner Sand mit Oxidbändern) eingetieft sind. Die Verfärbung 1 besteht aus dunkelbraunem, feinem Sand mit starken humosen Anteilen und zieht sich ca. 55 cm lang und 13-16 cm breit entlang. Die Verfärbung 2 umschließt Verfärbung 1 und besteht dabei aus grau-beigem, festem, feinem Sand mit Lehnteilen. Der Befund enthält einige kleine bis faustgroße Steine.

Funde: Keine.

Tafel: 111.

Befund 3023 – Teilfläche 3

Profilnägelkoordinaten:

582944.878; 5991776.649; 52.134

582945.726; 5991776.515; 52.113

Deutung: Pfostenloch, vermutlich.

Planum: In der Aufsicht ist der Befund rundlich-amorph und graubraun. Die Verfärbung ist dabei 60 × 25-45 cm groß und wird zum Großteil vom anstehenden Boden umschlossen, der sich aus hellbraun-rötlichem, feinkörnigem, lockerem Sand mit Ortsteinflecken und kleinen sowie einzelnen größeren Steinen zusammensetzt. Im Südosten schneidet der Befund eine Verfärbung, die aus sandigem Lehm besteht.

Profil: Im Anschnitt weist der Befund eine rundliche Vertiefung auf, die ungefähr 15-25 cm breit und maximal 19 cm tief ist. Die Verfärbung besteht aus dunkelbraunem, feinem, festem Sand und enthält einen ca. faustgroßen Stein und leichte gelbliche Flecken, die von Bioturbation stammen können. Der Befund befindet sich in den anstehenden Boden eingetieft, der sich auf rötlich-gelbem, mittelfeinkörnigem, lockerem kiesigem Sand mit einigen größeren Steinen zusammensetzt.

Funde: Keine.

Tafel: 133.

Befund 3024 – Teilfläche 3

Profilnägelkoordinaten:

582941.188; 5991770.335; 52.504

582941.281; 5991769.692; 52.509

Deutung: Tier- oder Wurzelgang.

Planum: In der Aufsicht ist der Befund rund und mittelgraubraun. Die Verfärbung erreicht eine Größe von 40 × 35 cm und wird vom anstehenden Boden umschlossen, der sich aus rotbraunem, mittelkörnigem, lockerem Sand mit leichten Lehnteilen zusammensetzt. Der Befund wird im Norden von einer Pflugspur geschnitten. Beim Abtiefen der anderen Befundhälfte zeigte sich im Zwischenplanum, dass der Befund aus Wurzel- und Tiergängen besteht.

Profil: Im Anschnitt weist der Befund eine flache leicht rechteckige Form auf und ist dabei 32 cm lang und zwischen 8 und 11 cm tief. Die Verfärbung besteht aus dunklem, humusartigem und durchwurzeltem, feinkörnigem Sand, der am Übergang zum anstehenden Boden stark verwaschen ist. Der anstehende Boden besteht aus hellbraunem feinkörnigem Sand.

Funde: Keine.

Befund 3025 – Teilfläche 3

Profilnägelkoordinaten:

582942.893; 5991768.979; 52.435

582943.538; 5991768.827; 52.464

Deutung: Schichtrest.

Planum: In der Aufsicht ist der Befund rundlich und graubraun. Die Verfärbung erreicht eine Größe von 30 × 15-25 cm und wird vom anstehenden Boden umschlossen, der sich aus hellbraun-

rötlichem, feinkörnigem, lockerem Sand mit Ortsteinflecken und kleinen sowie einzelnen größeren Steinen zusammensetzt.

Profil: Im Anschnitt ist der Befund nur 3-4 Zentimeter vorhanden und stößt dann auf anstehenden Boden. (nur Foto)

Funde: Keine.

Befund 3026 – Teilfläche 3

Profilnägellokoordinaten:

582938.737; 5991767.942; 52.605

582937.722; 5991768.519; 52.750

Deutung: Doppelpfosten (oder 2 Tiergänge).

Planum: In der Aufsicht ist der Befund rundlich-tropfenförmig und mittel- bis dunkelbraun. Die Verfärbung erreicht eine Größe von 60 × 10-30 cm groß und grenzt mit der nördlichen Hälfte an braunen weißlichen Lehm. Im Süden wird der Befund vom anstehenden Boden umschlossen, der sich aus hellbraun-gelblichem mittelkörnigem Sand mit lehmigen Anteilen zusammensetzt.

Beim Ausnehmen der zweiten Befundhälfte zeigte sich in einem der Plana, dass sich der Befund deutlich in zwei runde Bereiche teilt.

Profil: Im Anschnitt weist der Befund eine rundliche flache Form auf, die sich in zwei Verfärbungen teilen lässt. Die Verfärbung 1 besteht dabei aus dunkelbraunem, feinkörnigem, humosem, lockerem Sand, der auch Anteile hellbraunen Sandes und einige Steineinschlüsse aufweist. Die nach Nordwesten anliegende Verfärbung 2 besteht aus hellem, graubraunem, feinkörnigem, festem Lehm, der auch Anteile von Eisenausfällungen und einige Wurzelgänge aufweist und stammt vermutlich von einem Schichtrest. Unter dem Befund folgt der anstehende Boden, der sich aus hellbraunem, feinkörnigem lockerem Sand zusammensetzt, der auch Ausfällungen von Eisen und eine Lehmlinse sowie mehrere Steineinschlüsse und Wurzelgänge beinhaltet.

Funde: Flintabschläge (3x: F3022, F3026, F3028).

Tafel: 133.

Befund 3027 – Teilfläche 3

Profilnägellokoordinaten:

582937.972; 5991772.630; 52.650

582938.099; 5991772.049; 52.625

Deutung: Steinverfüllung modern.

Planum: In der Aufsicht ist der Befund rundlich-amorph und dunkelbraun. Er enthält einige mittelgroße bis große Steine (bis zu 20 cm) und hat eine Größe von 35 × 25 cm. Die Verfärbung wird zum Großteil vom anstehenden Boden umschlossen, der den Übergang zum Humus bildet und aus einem dunkelbraunem, mittelkörnigem, lockerem Humus-Sandgemisch besteht.

Profil: Wurde nicht geschnitten.

Funde: Keine.

Befund 3028 – Teilfläche 3

Profilnägellokoordinaten:

582942.679; 5991773.936; 52.372

582942.232; 5991773.002; 52.384

Deutung: Schichtrest oder Grube.

Planum: In der Aufsicht ist der Befund länglich-amorph und hellgrau. Die Verfärbung wird vom anstehenden Boden umschlossen, der sich aus hellbraun-rötlichem, feinkörnigem, lockerem Sand mit Ortsteinflecken und kleinen sowie einzeln größeren Steinen zusammensetzt. Im Norden wird der Befund von einer Pflugspur geschnitten.

Profil: Der Profilschnitt wurde in einem leichten Winkel angelegt, um im Südwesten noch eine weitere Verfärbung zu erreichen. Im Anschnitt ist der Hauptbefund länglich-halbrund mit einer maximalen Tiefe von 22 cm und einer Länge von ca. 1,14 m. Die Verfärbung besteht aus hellbraunem, ockerfarbenem, mittelkörnigem, lockerem, grobem Lehm mit einigen wenigen Steinen. Im Südwesten des Profils ist auf gleicher Höhe eine graubraune, feinkörnige, kompakte, feine Lehmschicht von ca. maximal 10 cm Tiefe erkennbar, die zu der Hauptverfärbung gehören könnte. Der Befund ist in den hellbraunen, leicht rötlichen, mittel- bis grobkörnigen, lockeren, sandigen anstehenden Boden, mit einigen kleinen Steinen und Oxidbändern, eingetieft.

Funde: Flintabschlag (F3029).

Tafel: 119.

Befund 3029 – Teilfläche 3

Profilnägellokoordinaten:

582925.111; 5991768.816; 52.983

582924.047; 5991768.588; 52.976

Deutung: eher Pflugspur.

Planum: In der Aufsicht ist der Befund länglich und tropfenförmig und dunkelgraubraun. Die Verfärbung ist 1,55 m x 5-40 cm groß und wird vom anstehenden Boden umschlossen, der sich aus hellbraunem, leicht rötlichem, lockerem, grobkörnigem Sand mit Kies und vielen kleineren Steinen zusammensetzt.

Profil: Im Anschnitt ist der Befund länglich und flach und erstreckt sich dabei über ca. 60 cm bei einer Breite von 8-10 cm. Die Verfärbung besteht aus dunkelbraunem, sandigem, sehr lockerem Humus mit wenigen Steineinschlüssen. Der Befund ist sehr scharfkantig vom darunter folgenden anstehenden Boden, der aus ockerfarbenem, sandigem, sehr lockerem Kies besteht, abzugrenzen.

Funde: Keine.

Befund 3030 – Teilfläche 3

Profilnägellokoordinaten:

582934.350; 5991755.443; 52.779

582935.237; 5991754.376; 52.789

Deutung: Grube? Oder Wurzelreste.

Planum: In der Aufsicht ist der Befund halbrund und mittel- bis rotbraun. Die Verfärbung ist dabei 1,40 m x 70 cm groß und geht dann in den Quadranten 3 über und erweitert sich dort zu einem Schichtrest

aus rötlichbraunem, mittelfeinem Sand. Im Quadranten 4 ist diese Schichtverfärbung etwas dunkler und liegt im anstehenden Boden, der sich aus gelbbraunem, mittelfeinem, lockerem Sand zusammensetzt, der von Tiergängen und Pflugspuren durchsetzt ist. In dem Schichtbefund befindet sich ein weiterer runder graubrauner Befund mit einer Ausdehnung von 15 × 20 cm.

Profil: Im Anschnitt weist der Befund drei vertikal zueinander liegende Bereiche auf, die jeweils einen runden amorphen Querschnitt aufweisen. Alle drei Bereiche bestehen aus braunem, humosem, festem mittelfeinkörnigem Sand mit Steineinschlüssen und einer Vielzahl an Wurzel- und Tiergängen sowie Oxidbändern. Am oberen Rand ist diese Zusammensetzung eher dunkelbraun. Unter dem Befund folgt der anstehende Boden, der sich aus ockerfarbenem, lockerem, mittelgrobkörnigem Sand zusammensetzt, der von Tier- und Wurzelgängen durchzogen ist und einige Steineinschlüsse und Oxidbänder aufweist.

Funde: Flintabschlag (F3035).

Tafel: 119.

Befund 3031 – Teilfläche 3

Profilnägelkoordinaten:

582935.017; 5991756.819; 52.768

582934.979; 5991757.758; 52.784

Deutung: mögliches Pfostenloch, viele Tiergänge.

Planum: In der Aufsicht ist der Befund halbrund-amorph und mittel- bis rotbraun. Er erreicht eine Größe von 50 × 40 cm und wird vom anstehenden Boden umgeben, der sich aus gelben mittelfeinem bis groben Sand zusammensetzt.

Profil: Im Profilschnitt zeigt der Befund eine längliche flache Form mit einer verjüngenden Vertiefung in der Mitte. Die Verfärbung besteht aus dunkelbraunem, mittelfeinem Sand mit wenigen kleinen und sehr kleinen Steinen. Der Befund ist umschlossen vom anstehenden Boden, bestehend aus gelbbraunem, mittelfeinem, lockerem Sand mit einigen kleinen bis sehr kleinen Steinen, sowie einigen schwarzen Flecken, die von Tiergängen stammen können.

Funde: Keine.

Tafel: 120.

Befund 3032 – Teilfläche 3

Profilnägelkoordinaten:

582933.911; 5991752.109; 52.800

582933.782; 5991753.540; 52.800

Deutung: Grube oder eher Wurzel oder Geologie.

Planum: In der Aufsicht besteht der Befund aus zwei Verfärbungen. Die eine Verfärbung ist rund und hellgrau und erreicht eine Größe von 60 × 85 cm. Im Süden wird die Verfärbung von einer weiteren Verfärbung geschnitten, die sich rundlich-amorph an ihn anlegt. Diese weitere Verfärbung ist graubraun und ca. 45 × 15-30 cm (Pflugspur). Beide Verfärbungen werden vom anstehenden Boden umschlossen, der sich aus

gelbbraunem, mittelfeinem, lockerem Sand zusammensetzt, der von Tiergängen und Pflugspuren durchsetzt ist.

Profil: Im Anschnitt sind zwei Verfärbungen zu sehen, die jeweils einen halbrunden und leicht trichterförmigen Querschnitt haben. Entlang des oberen Befundrandes sind sie durch eine dünne flache Verfärbung miteinander verbunden. Die Verfärbungen bestehen aus dunkelbraunem, humosem, mittelkörnigem, festem Sand und enthalten Tier- und Wurzelgänge sowie einige kleine bis große Steineinschlüsse. Umschlossen wird der Befund von anstehendem Boden, der als mehr oder weniger rötlich-gelber lehmiger, mittelkörniger fester Sand mit einigen Steineinschlüssen und Eisenoxidbändern in Erscheinung tritt.

Funde: Flintabschlag (F3037).

Befund 3033 – Teilfläche 3

Profilnägelkoordinaten:

582934.976; 5991752.840; 52.799

582934.335; 5991752.695; 52.796

Deutung: Pflugspur.

Planum: In der Aufsicht ist der Befund länglich und graubraun. Die Verfärbung ist ca. 45 × 10-20 cm groß und wird vom anstehenden Boden umschlossen, der sich aus der sich aus gelbbraunem, mittelfeinem, lockerem Sand zusammensetzt, der von Tiergängen und Pflugspuren durchsetzt ist.

Profil: Im Anschnitt weist der Befund eine flache halbrunde Form auf und erreicht eine maximale Tiefe von 14 cm. Die Verfärbung besteht dabei aus dunkelbraunem, humosem, feinkörnigem, festem Sand mit Steineinschlüssen (1-8 cm). Umgeben ist der Befund vom anstehenden Boden, der sich aus mittelbraunem, lehmigem, mittelgrobkörnigem, sehr festem Sand mit einigen Steineinschlüssen und Tiergängen zusammensetzt. Darunter folgt eine weitere sandig-lehmige Schicht des natürlich gewachsenen Bodens.

Funde: Flintklinge (F3036).

Befund 3034 – Teilfläche 3

Profilnägelkoordinaten:

582930.917; 5991752.818; 52.787

582930.982; 5991753.887; 52.800

Deutung: Schichtrest.

Planum: In der Aufsicht ist der Befund länglich-amorph und mittelbraun. Die Verfärbung erreicht eine Größe von 70 × 20-30 cm und wird vom anstehenden Boden umschlossen, der sich aus der sich aus gelbbraunem, mittelfeinem, lockerem Sand zusammensetzt, der von Tiergängen und Pflugspuren durchsetzt ist.

Profil: Im Anschnitt zeigte der Befund lediglich Tier- und Wurzelgänge. (nur Foto)

Funde: Keine.

Befund 3035 – Teilfläche 3

Profilnägelkoordinaten:

582928.184; 5991752.605; 52.898

582928.152; 5991753.313; 52.875

Deutung: Tiergang.

Planum: In der Aufsicht besteht der Befund aus zwei Verfärbungen. Die Größere von beiden ist rund und hellgraubraun und erreicht eine Größe von 43 × 40 cm. Die andere Verfärbung schneidet die erste Verfärbung und ist dabei länglich-amorph und mittelbraun. Letztere erreicht eine Größe von 30 × 10 cm. Der Befund wird vom anstehenden Boden umschlossen, der sich aus der sich aus gelbbraunem, mittelfeinem, lockerem Sand zusammensetzt, der von Tiergängen und Pflugspuren durchsetzt ist.

Beim Abtiefen der zweiten Befundhälfte stellte sich in einem der Zwischenplana heraus, dass es sich bei dem Befund um einen Tiergang handelt.

Profil: Im Anschnitt weist der Befund eine 3-6 cm tiefe und 70 cm lange Schicht auf, die aus braun-gräulichem, sandigem, mittelgrobkörnigem Lehm besteht. Im Zentrum des Befundes befindet sich eine halbrunde dunkelgraue lehmig-sandige, feinkörnige Verfärbung von 15 × 9 cm. Unter dem Befund folgt der anstehende Boden, bestehend aus gelb-rötlichem, mittelfeinkörnigem Sand und einigen Steineinschlüssen.

Funde: Keine.

Befund 3036 – Teilfläche 3

Profilnägelkoordinaten:

582927.571; 5991751.874; 52.967

582926.077; 5991751.876; 52.930

Deutung: kleine Grube.

Planum: In der Aufsicht ist der Befund leicht trapezförmig-amorph und hellbraun. Die Verfärbung erreicht dabei eine Größe von 1,30 × 20-83 cm und enthält einen mittelgroßen Stein (20 × 10 cm). Der Befund wird zum Großteil vom anstehenden Boden umschlossen, der sich aus der sich aus gelbbraunem, mittelfeinem, lockerem Sand zusammensetzt, der von Tiergängen und Pflugspuren durchsetzt ist. Im Osten grenzt der Befund an braungrauen bis weißen Lehm.

Profil: Der Befund wurde ca. 20 cm in den anstehenden Boden (gelbbrauner, mittelfeiner Sand mit Steinen und Tiergängen) eingetieft und erstreckt sich über ca. 50 cm Breite. Die Verfärbung setzt sich aus braunem, feinem, etwas lehmigem Sand mit wenigen Steinen zusammen.

Funde: Keine.

Befund 3037 – Teilfläche 3

Profilnägelkoordinaten:

582923.396; 5991751.912; 52.848

582923.930; 5991751.580; 52.833

Deutung: Pflugspur.

Planum: In der Aufsicht ist der Befund amorph und graubraun. Die Verfärbung erreicht eine Größe von 40 × 20-25 cm und wird vom anstehenden Boden umschlossen, der sich aus der sich aus

gelbbraunem, mittelfeinem, lockerem Sand zusammensetzt, der von Tiergängen und Pflugspuren durchsetzt ist.

Profil: Wurde nicht geschnitten.

Funde: Keine.

Befund 3038 – Teilfläche 3

Profilnägelkoordinaten:

582923.109; 5991752.150; 52.832

582923.824; 5991752.995; 52.851

Deutung: Pfostenloch.

Planum: In der Aufsicht ist der Befund rundlich und graubraun. Er erreicht eine Größe von 70 × 50-55 cm und wird vom anstehenden Boden umschlossen, der sich aus der sich aus gelbbraunem, mittelfeinem, lockerem Sand zusammensetzt, der von Tiergängen und Pflugspuren durchsetzt ist.

Profil: Im Anschnitt weist der Befund einen halbrunden und nach Nordosten abgeflachten Querschnitt auf. Die Verfärbung ist zwischen 25 und 65 cm lang und maximal 24 cm tief und besteht aus braubraunem, grobem, kompaktem Sand, der mit Wurzeln durchsetzt ist. Darunter folgt der anstehende Boden, der aus rotbraunem, grobem, lockerem Sand mit vielen größeren Steinen besteht. Letztere reihen sich auch um die Befundgrenze.

Funde: Keine.

Tafel: 134.

Befund 3039 – Teilfläche 3

Profilnägelkoordinaten:

582923.015; 5991754.574; 52.833

582923.075; 5991755.344; 52.827

Deutung: Steinstandspur oder Pflugspur.

Planum: In der Aufsicht ist der Befund rund und dunkelgraubraun. Er erreicht eine Größe von 35 × 35 cm und wird vom anstehenden Boden umschlossen, der sich aus der sich aus gelbbraunem, mittelfeinem, lockerem Sand zusammensetzt, der von Tiergängen und Pflugspuren durchsetzt ist.

Profil: Im Anschnitt zeichnet sich der Befund als flache, leicht rundliche Verfärbung ab, die ungefähr 37 cm lang und zwischen 3-10 cm breit ist. Der Befund besteht aus dunkelbraunem, sandigem, feinkörnigem Humus mit einigen Steineinschlüssen. Die Befundgrenze ist sehr scharfkantig. Die Verfärbung befindet sich in ockerfarbenem, kiesigem, grobkörnigem, lockerem Sand, der den anstehenden Boden bildet.

Funde: Keine.

Befund 3040 – Teilfläche 3

Profilnägelkoordinaten:

582925.312; 5991754.705; 52.831

582925.450; 5991755.645; 52.818

Deutung: Schichtrest oder Steinstandspur.

Planum: In der Aufsicht ist der Befund länglich-rundlich und mittel- bis graubraun. Er erreicht eine Größe von 30 × 20 cm und wird vom anstehenden Boden umschlossen, der sich aus der sich

aus gelbbraunem, mittelfeinem, lockerem Sand zusammensetzt, der von Tiergängen und Pflugspuren durchsetzt ist.

Profil: Im Anschnitt ist der Befund nur wenige Zentimeter tief erhalten (nur Foto).

Funde: Keine.

Befund 3041 – Teilfläche 3

Profilnägellokoordinaten:

582925.312; 5991754.705; 52.831

582925.450; 5991755.645; 52.818

Deutung: Pflugspur.

Planum: In der Aufsicht ist der Befund rundlich-amorph und mittelbraun. Die Verfärbung erreicht eine Größe von 23 × 10-15 cm und wird vom anstehenden Boden umschlossen, der sich aus der sich aus gelbbraunem, mittelfeinem, lockerem Sand zusammensetzt, der von Tiergängen und Pflugspuren durchsetzt ist.

Profil: Im Anschnitt ist der Befund nur wenige Zentimeter tief erhalten.

Funde: Flintabschlag (F3046).

Befund 3042 – Teilfläche 3

Profilnägellokoordinaten:

582926.502; 5991754.780; 52.862

582926.283; 5991755.252; 52.845

Deutung: Schichtrest nur noch 2 cm tief.

Planum: In der Aufsicht ist der Befund rundlich und dunkelgraubraun. Die Verfärbung erreicht eine Größe von 20 × 15 cm und wird vom anstehenden Boden umschlossen, der sich aus der sich aus gelbbraunem, mittelfeinem, lockerem Sand zusammensetzt, der von Tiergängen und Pflugspuren durchsetzt ist.

Profil: Im Anschnitt handelt es sich um einen sehr flachen und länglichen Befund, der ca. 23 cm lang und nur 2 cm tief ist. Die Verfärbung besteht aus dunkelbraunem, mittelfeinkörnigem, leicht festem Humus. Darunter folgt der anstehende Boden, der aus braunem, grobkörnigem, sehr lockerem, sandigem Kies mit mittelgroßen Steinen besteht.

Funde: Keine.

Befund 3043 – Teilfläche 3

Profilnägellokoordinaten:

582925.804; 5991757.538; 52.857

582926.567; 5991757.130; 52.872

Deutung: vermutlich Pflug-oder Steinstandspur.

Planum: In der Aufsicht ist der Befund länglich-tropfenförmig und dunkelbraun. Die Verfärbung erreicht eine Größe von ca. 48 × 5-25 cm und wird vom anstehenden Boden umschlossen, der sich aus der sich aus gelbbraunem, mittelfeinem, lockerem Sand zusammensetzt, der von Tiergängen und Pflugspuren durchsetzt ist.

Profil: Im Anschnitt weist der Befund einen rundlichen flachen bis sehr flachen und länglichen Querschnitt auf. Der Befund ist ungefähr 55 cm lang und zwischen 2 und 7 cm breit. Die Verfärbung besteht aus dunkelbraunem, feinem Sand mit wenigen Steinen und hebt sich dabei sehr scharfkantig vom

anstehenden Boden aus braunem, mittelfeinem Sand mit vielen kleinen und teils großen Steinen ab.

Funde: Keine.

Befund 3044 – Teilfläche 3

Profilnägellokoordinaten:

582929.450; 5991756.928; 52.823

582929.604; 5991756.387; 52.840

Deutung: Pflugspur / Steinstandspur.

Planum: In der Aufsicht ist der Befund eckig-amorph und dunkelgrau. Die Verfärbung erreicht eine Größe von 25 × 20 cm und wird vom anstehenden Boden umschlossen, der sich aus der sich aus gelbbraunem, mittelfeinem, lockerem Sand zusammensetzt, der von Tiergängen und Pflugspuren durchsetzt ist.

Profil: Im Anschnitt des Befundes zeigte sich eine sehr flache längliche Verfärbung von 16 cm Länge und 2-4 cm Tiefe. Die Verfärbung besteht aus dunkelbraunem, mittelfeinem, humosem Sand ist eingetieft in anstehenden Boden, der aus gelbbraunem, mittelfeinem Sand mit wenigen Steineinschlüssen besteht.

Funde: Keine.

Befund 3045 – Teilfläche 3

Profilnägellokoordinaten:

582929.042; 5991755.729; 52.865

582928.669; 5991756.153; 52.861

Deutung: Pfostenloch mit HK-Partikeln.

Planum: In der Aufsicht ist der Befund länglich-rundlich-amorph und ist hell- bis rötlich-braun. Die Verfärbung erreicht eine Größe von 30 × 20 cm und wird vom anstehenden Boden umschlossen, der sich aus der sich aus gelbbraunem, mittelfeinem, lockerem Sand zusammensetzt, der von Tiergängen und Pflugspuren durchsetzt ist.

Profil: Im Anschnitt weist der Befund eine leicht amorph-zylinderförmige Form auf und erreicht dabei eine maximale Tiefe von 12 cm. Die Verfärbung setzt sich aus schwarzbraunem, feinkörnigem, sehr festem, humosem Sand zusammen. Nördliche vom Befund liegt ein Tiergang aus braunem, humosem, feinkörnigem, festem Sand und im Süden befindet sich der Rest einer Pflugspur. Der Befund ist umschlossen vom anstehenden Boden, der sich aus braunem, mittelkörnigem, lockerem Sand zusammen mit Sandlinsen und Eisenoxidbändern zusammensetzt.

Funde: Keine.

Tafel: 134.

Befund 3046 – Teilfläche 3

Deutung: vielleicht Pfosten oder Pflugspur (eher Pfosten).

Planum: In der Aufsicht ist der Befund leicht rechteckig und grau. Die Verfärbung erreicht eine Größe von 25 × 20 cm und wird vom anstehenden Boden umschlossen, der sich aus der sich aus gelbbraunem, mittelfeinem, lockerem Sand zusammensetzt, der von Tiergängen und Pflugspuren durchsetzt ist.

Profil: Im Anschnitt zeigt sich ein halbrunder maximal 11 cm tiefer und 13-30 cm langer Befund, der sich aus dunkelbraunem, humosem, lockerem Sand zusammensetzt. Die Verfärbung ist

in den anstehenden Boden eingetieft, der aus hellbraunem-gelblichem, grobkörnigem, sehr lockerem Sand mit Kies besteht.

Funde: Keine.

Tafel: 120.

Befund 3047 – Teilfläche 3

Profilnägellokoordinaten:

582926.068; 5991757.753; 52.894

582925.859; 5991758.844; 52.878

Deutung: kleine Grube.

Planum: In der Aufsicht ist der Befund rundlich-amorph und hellgrau. Die Verfärbung erreicht eine Größe von 70 × 45-60 cm und wird vom anstehenden Boden umschlossen, der sich aus der sich aus gelbbraunem, mittelfeinem, lockerem Sand zusammensetzt, der von Tiergängen und Pflugspuren durchsetzt ist. Im Norden wird der Befund von einer Pflugspur geschnitten.

Profil: Der Befund ist ca. 10-15 cm eingetieft und hat eine Breite von ca. 30-40 cm. Die flache Verfärbung setzt sich zusammen aus dunkelbraunem, lehmigem, feinem Sand mit einigen Steineinschlüssen und wurde in den anstehenden Boden (brauner, mittelfeiner Sand mit Steinen) eingetieft.

Funde: Keine.

Tafel: 112.

Befund 3048 – Teilfläche 3

Profilnägellokoordinaten:

582925.665; 5991760.164; 52.850

582926.152; 5991761.067; 52.848;

582925.668; 5991760.261; 52.509

582926.092; 5991761.041; 52.500

Deutung: Feuerstelle, riesige Grube/mögliches Grab (neolithisch?).

Planum: In der Aufsicht ist der Befund rundlich und ist im Zentrum schwarz verfärbt und hat einen dunkelbraunen Randbereich. Die Verfärbung hat eine Größe von 1,25 × 70-85 cm und wird vom anstehenden Boden umschlossen, der sich aus der sich aus gelbbraunem, mittelfeinem, lockerem Sand zusammensetzt, der von Tiergängen und Pflugspuren durchsetzt ist. Im Norden wird der Befund durch eine Pflugspur geschnitten. Im letzten Planum weist der Befund in der Aufsicht eine flache-ovale, ca. 95 cm lange und ca. 38 cm breite Form auf. Die Verfärbung besteht aus hellgrau-braunem, grobem Sand mit vielen regelmäßigen Eisenoxidbändern und Holzkohle. Umschlossen wird der Befund von weißem, feinem Sand mit Eisenoxidbändern sowie einem vielfarbigem, sehr grobem Kies mit Eisenoxidbändern.

Profil: Im Anschnitt weist der Befund eine sehr tiefe halbrunde Form auf und kann in zwei Bereiche untergliedert werden. Zum einen handelt es sich bei den ersten zwei Befundbereichen um die Rückstände einer Feuerstelle, die sich in zwei vertikal zueinander liegende Verfärbungen einteilen lässt: Verfärbung 1 ist länglich und flach-amorph und besteht aus einem schwarzem, mittelfeinem Sand-Holzkohlegemisch. Diese Schicht ist ungefähr 70 cm lang und zwischen 2-10 cm tief und bildet die Feuerstelle. Die zweite Verfärbung liegt Südsüdwestlich

davon und besteht aus dunkelgrau-braunem, mittelfeinem bis groben Sand und bildet den Randbereich der Feuerstelle.

Unter den Rückständen der Feuerstelle erstreckt sich die Hauptverfüllschicht, die sich in drei Verfärbungen unterteilen lässt. Die erste dieser drei Verfärbungen befindet sich im oberen Bereich und es handelt sich um eine Schicht, die sich länglich und halbrund ca. 85 cm lang und zwischen 18-23 cm tief erstreckt und die sich unter der Feuerstelle (Verfärbung 1) befindet. Es handelt sich dabei um hellgelbbraunen, groben Sand. Daneben erstreckt sich unter dem Randbereich der Feuerstelle (Verfärbung 2) ein gelbbraun und dunkelbraun gefleckter grober Sand mit Tiergängen, der rundlich-rechteckig bis zu 21 cm tief ist und 70 cm lang. Unter diesen beiden Übergangsschichten liegt die Hauptverfüllschicht, die bis zu 84 cm tief ist und eine maximale Breite von 1,62 m hat. Diese Verfüllung besteht aus gelbbraunem bis hellgelbbraunen, groben Sand mit vielen regelmäßigen Oxidbändern und Holzkohle, sowie einem großen Stein (ca. 30 × 23 cm) am Boden der Grube. Im Nordnordosten ist der Befund von einer ebenfalls gelbbraunen groben Sandschicht und Oxidbändern umschlossen, die jedoch wesentlich weniger bis gar keine Steine und Holzkohle enthält. Zum oberen Befundrand hin ist der Übergang zum anstehenden gelben Sand kaum erkennbar. Ganz im Nordnordwesten des Befundes befindet sich eine ca. 8 cm starke aufgeschwemmte Schicht aus grau-beigem, feinem Sand. Darunter folgt der anstehende Boden aus rotbraunem, grobem Sand mit Kiesanteil und Oxidbändern, gefolgt von einer weiteren Schicht des gewachsenen Bodens aus feinem, weißem Sand mit Oxidbändern. Im Südsüdwesten wird der Befund hingegen direkt von dem oberen Schnittrand an vom anstehenden Boden aus rotbraunem, grobem Sand mit Kiesanteil und Oxidbändern umschlossen, sowie darunterliegenden weiteren Schichten des gewachsenen Bodens. Die Oxidbänder sämtlicher geologischer Schichten des anstehenden Bodens brechen ab, sobald sie auf die Befundgrenze der Grube stoßen.

Funde: Keramik (F3045), Abschlüge (F3030, F3031, F3043, F3044), Holzkohle

Tafel: 112.

Befund 3049 – Teilfläche 3

Deutung: Tiergang.

Planum: In der Aufsicht ist der Befund rundlich und graubraun. Die Verfärbung erreicht eine Größe von 25 × 20 cm und wird vom anstehenden Boden umschlossen, der sich aus der sich aus gelbbraunem, mittelfeinem, lockerem Sand zusammensetzt, der von Tiergängen und Pflugspuren durchsetzt ist.

Profil: Wurde nicht geschnitten.

Funde: Keine.

Befund 3050 – Teilfläche 3

Deutung: Geologie.

Planum: In der Aufsicht ist der Befund rundlich-amorph und graugelb. Die Verfärbung erreicht eine Größe von 90 × 35-70 cm und wird vom anstehenden Boden umschlossen, der sich aus der sich aus gelbbraunem, mittelfeinem, lockerem Sand zusammensetzt,

der von Tiergängen und Pflugspuren durchsetzt ist. Im Osten befindet sich ein mittelgroßer Stein 20 × 18 cm im Befund.

Profil: Im Profil hebt sich der Befund nicht von den geologischen Schichtungen ab (nur Foto).

Funde: Keine.

Befund 3051 – Teilfläche 3

Profilnägellokoordinaten:

582929.757; 5991760.754; 52.802

582929.279; 5991760.523; 52.795

582928.807; 5991760.629; 52.806

Deutung: sehr wahrscheinlich Wurzelbereich.

Planum: In der Aufsicht ist der Befund amorph und graubraun. Die Verfärbung erreicht eine Größe von 63 × 13-40 cm und wird vom anstehenden Boden umschlossen, der sich aus der sich aus gelbbraunem, mittelfeinem, lockerem Sand zusammensetzt, der von Tiergängen und Pflugspuren durchsetzt ist.

Profil: Im Anschnitt zeigt der Befund zwei Verfärbungen: Verfärbung 1 befindet sich halbrund und länglich im Profil und besteht aus gelbem, feinem, kompaktem Sand (wahrscheinlich geologisch). Am oberen Rand des Befundschnitts zieht sich Verfärbung 2 als eine braune, mittelfeine humose Sandschicht länglich und teils amorph entlang, bei der es sich wahrscheinlich um Tier- und Wurzelgänge handelt. Der Befund wird von rötlichbraunem, mittelfeinem bis groben, lockeren Sand mit Kieselsteinen – dem anstehenden Boden - umschlossen.

Funde: Keine.

Befund 3052 – Teilfläche 3

Profilnägellokoordinaten:

582930.601; 5991760.317; 52.797

582929.529; 5991759.690; 52.792

Deutung: kleine Grube im Osten und Pfahlwurzel.

Planum: In der Aufsicht ist der Befund länglich-amorph und graubraun. Die Verfärbung erreicht eine Größe von 95 × 20-45 cm und wird vom anstehenden Boden umschlossen, der sich aus gelbbraunem, mittelfeinem, lockerem Sand zusammensetzt, der von Tiergängen und Pflugspuren durchsetzt ist.

Profil: Bis zu 15 cm halbrunde eingetiefte Verfärbung, bestehend aus braunem, mittelfeinem Sand mit nur sehr wenigen, sehr kleinen Steinen. Der Befund ist in den anstehenden Boden eingetieft, der sich als beige, leicht bräunlicher, mittelfeiner Sand mit sehr kleinen bis großes Steinen und Oxidbändern, die durch einen Wurzelgang gestört werden, abzeichnet.

Funde: Keine.

Tafel: 135.

Befund 3053 – Teilfläche 3

Deutung: Steinstandspur.

Planum: In der Aufsicht ist der Befund länglich-amorph und graubraun. Die Verfärbung erreicht eine Größe von 33 × 15-18 cm und wird vom anstehenden Boden umschlossen, der sich aus der sich aus gelbbraunem, mittelfeinem, lockerem Sand

zusammensetzt, der von Tiergängen und Pflugspuren durchsetzt ist. Im Norden enthält der Befund einen kleinen Stein (10 × 5).

Profil: Wurde nicht geschnitten.

Funde: Keine.

Befund 3054 – Teilfläche 3

Deutung: Geologie.

Planum: In der Aufsicht ist der Befund länglich-rundlich und besteht aus zwei Verfärbungen: im westlichen Teil besteht der Befund aus braunem, hellem Lehm mit Sand und im Osten zeigt er sich als braungrauer bis weißen Lehm. Er erreicht dabei eine Gesamtgröße von 1,80 m x 40-80 cm und wird vom anstehenden Boden umschlossen, der sich aus der sich aus gelbbraunem, mittelfeinem, lockerem Sand zusammensetzt, der von Tiergängen und Pflugspuren durchsetzt ist.

Profil: Wurde nicht geschnitten.

Funde: Keine.

Befund 3055 – Teilfläche 3

Deutung: Tiergang und Eisenoxydverfärbung.

Planum: In der Aufsicht ist der Befund rundlich-länglich und graubraun. Er erreicht eine Größe von 25 × 15 cm und grenzt im Südwesten an eine rotbraune Verfärbung des anstehenden Bodens. Weiterhin umschlossen wird der Befund vom anstehenden Boden, der sich aus der sich aus gelbbraunem, mittelfeinem, lockerem Sand zusammensetzt, der von Tiergängen und Pflugspuren durchsetzt ist.

Profil: Wurde nicht geschnitten.

Funde: Keine.

Befund 3056 – Teilfläche 3

Profilnägellokoordinaten:

582923.109; 5991752.150; 52.832

582923.824; 5991752.995; 52.851

Deutung: Grube oder Steinstandspur (eher Grube).

Planum: In der Aufsicht ist der Befund rundlich-länglich und hellgrau. Die Verfärbung erreicht eine Größe von 80 × 50 cm und wird vom anstehenden Boden umschlossen, der sich aus hellbraun-rötlichem, feinkörnigem, lockerem Sand mit Ortsteinflecken und kleinen sowie einzeln größeren Steinen zusammensetzt.

Profil: Im Anschnitt weist der Befund eine flache längliche leicht runde Form auf, die ungefähr 54 cm lang und maximal 13 cm tief ist. Die Verfärbung setzt sich aus graubraunem, feinem, festem, lehmigem Sand zusammen. Umgeschlossen wird der Befund vom anstehenden Boden, der aus braunem mittelfeinkörnigem, lockerem, sandigem Kies mit einigen Oxidbändern besteht. Darunter folgt eine weitere Schicht des gewachsenen Bodens.

Funde: Keine.

Tafel: 113.

Befund 3057 – Teilfläche 3

Profilnägelloordinaten:

582926.550; 5991777.260; 53.202

582926.552; 5991777.793; 53.236

Deutung: Tiergang.

Planum: Der Befund ist erst ab dem zweiten Planum sichtbar. In der Aufsicht handelt es sich um einen halbrunden, dunkel- bis graubraunen Befund mit einem kleinen Stein. Die Verfärbung ist 28 × 20 cm groß und befindet sich in der Hügelschüttung, die sich aus gelbem, lockerem, mittel- bis grobkörnigem Sand zusammensetzt.

Profil: Im Anschnitt zeigt der Befund eine amorphe Form, die sich aus einer dunkelbraunen, humosen, schluffigen Schicht zusammensetzt. Die Verfärbung ist ca. 15 cm tief und befindet sich in der Hügelschüttung, die sich aus lockerem, mittelfeinkörnigem, braunem Sand mit wenigen kleinen Steinen zusammensetzt.

Funde: Flintklingenbruchstück (F3023)

Befund 3058 – Teilfläche 3

Profilnägelloordinaten:

582926.317; 5991776.749; 53.242

582926.784; 5991776.567; 53.178

Deutung: Tiergang.

Planum: Der Befund ist erst ab dem zweiten Planum sichtbar. In der Aufsicht ist der Befund länglich-rundlich und dunkel- bis graubraun. Die Verfärbung ist 20 × 10 cm groß und befindet sich in der Hügelschüttung, die sich aus gelbem, lockerem, mittel- bis grobkörnigem Sand zusammensetzt.

Profil: Im Anschnitt weist der Befund eine rundliche amorphe Form auf und ist dabei ca. 26 cm lang und zwischen 6 und 12 cm tief. Die Verfärbung besteht dabei aus braunem, mittelfeinem bis groben Sand mit wenigen kleinen Steinen. Der Befund ist eingetieft in gelbbraunem, grobkörnigem Sand mit Kiesbett im unteren Bereich - dem anstehenden Boden.

Funde: Keine.

Befund 3059 – Teilfläche 3

Profilnägelloordinaten:

582925.202; 5991775.063; 53.142

582924.884; 5991774.489; 53.130

Deutung: Pfosten oder Steinstandspur (eher Steinstandspur).

Planum: Der Befund ist erst ab dem zweiten Planum sichtbar. In der Aufsicht ist der Befund länglich bis leicht rechteckig und dunkel- bis graubraun und umschließt einen kleinen Stein. Die Verfärbung ist 30 × 20-30 cm groß und befindet sich in der Hügelschüttung, die sich aus gelbem, lockerem, mittel- bis grobkörnigem Sand zusammensetzt.

Profil: Im Anschnitt weist der Befund eine halbrunde flache Form auf und ist dabei ungefähr 26 cm lang und maximal 10 cm breit. Die Verfärbung besteht aus dunkelbraunem, humosem, mittelfeinem Sand. Der Befund befindet sich im anstehenden Boden, der aus mittelbraunem, grobkörnigem Sand mit vielen

kleinen bis großes doppelfaustgroßen Steinen besteht. Eine Reihe von Steinen umschließt den Befund.

Funde: Keine.

Tafel: 120.

Befund 3060 – Teilfläche 3

Deutung: Geologie.

Planum: In der Aufsicht ist der Befund rundlich-länglich und rotbraun. Die Verfärbung erreicht 1 m x 20-45 cm. Es handelt sich dabei um grauen, lehmigen Sand mit einem westlichen Band aus grobem rötlichem Kies. Der Befund gehört zum anstehenden Boden.

Profil: Wurde nicht geschnitten.

Funde: Keine.

Befund 3061 – Teilfläche 3

Profilnägelloordinaten:

582937.274; 5991757.010; 52.777;

582937.331; 5991755.612; 52.610

Deutung: Pfostenloch oder Wurzelgang.

Planum: In der Aufsicht ist der Befund rundlich und mittel- bis graubraun. Die Verfärbung ist 50 × 25-48 cm groß und wird von dem anstehenden Boden umschlossen, der sich aus rötlichbraunem, mittelfeinem Sand zusammensetzt.

Profil: Im Anschnitt weist der Befund eine amorphe, flache und im Zentrum zylinderartig nach unten strebender Form auf, die maximal 38 cm tief und ungefähr 96 cm lang ist. Die Verfärbung besteht aus braunem bis dunkelbraunem, leicht lehmigen, mittelfeinkörnigen Sand mit einigen kleineren Steinen (<4 cm). Der Befund ist seitlich in hellbraunen bis rötlichen, mittelkörnigen Sand des anstehenden Bodens eingebettet. An der Befundunterkante grenzt die Verfärbung auf eine weitere Schicht des natürlich gewachsenen Bodens: hellbrauner etwas gelblicher mittelkörniger Sand mit wenigen Steinen und einem Tiergang und mehreren Eisenoxidbändern.

Funde: Abschläge (F3041, F3042).

Tafel: 121.

Befund 3062 – Teilfläche 3

Profilnägelloordinaten:

582937.274; 5991757.010; 52.777;

582937.331; 5991755.612; 52.610

Deutung: Grube oder Pfostenloch, vielleicht Tiergang (eher Pfostenloch).

Planum: In der Aufsicht ist der Befund rundlich und mittel- bis graubraun. Die Verfärbung erreicht eine Größe von 40 × 25-32 cm und wird vom anstehenden Boden umschlossen, der sich aus rötlich-braunem, mittelfeinem Sand zusammensetzt.

Profil: Im Anschnitt weist der Befund eine halbrunde leicht rechteckige Form auf und erreicht dabei eine maximale Tiefe von 25 cm und ist ungefähr 44 cm breit. Die Verfärbung setzt sich aus einer oberen Schicht, die aus braunem, mittelfeinem, humosem Sand besteht und einer darunter folgenden gelbbraunen mittelfeinen Sandschicht mit wenigen sehr kleinen Steinen (< 3mm im DM) zusammen und ist stark von Wurzel-

und Tiergängen gestört. Der Befund ist umschlossen vom anstehenden Boden, der sich aus gelbbraunem, mittelfeinem Sand, vielen Oxidbändern und einem Tiergang zusammensetzt. Im Süden grenzt der Befund an eine Kiesausfällung.

Funde: Keine.

Tafel: 136.

Befund 3063 – Teilfläche

Profilnägellokoordinaten:

582936.393; 5991754.129; 52.793

582936.099; 5991754.908; 52.815

Deutung: eher Schichtrest.

Planum: In der Aufsicht ist der Befund rundlich und mittelbraun. Die Verfärbung erreicht eine Größe von 40 × 38-40 cm und wird vom anstehenden Boden umschlossen, der sich aus rötlich-braunem, mittelfeinem Sand zusammensetzt.

Profil: Im Anschnitt ist der Befund fleckig und von Tier- sowie Wurzelgängen gestört und nur wenige Zentimeter tief erhalten (nur Foto).

Funde: Keine.

Befund 3064 – Teilfläche 3

Profilnägellokoordinaten:

582935.541; 5991754.298; 52.807

582935.573; 5991753.337; 52.790

Deutung: Grube oder eher Wurzelbereich (eher Wurzel).

Planum: In der Aufsicht ist der Befund länglich-rundlich bis leicht tropfenförmig und mittelbraun. Die Verfärbung erreicht eine Größe von 58 × 10-33 cm und wird vom anstehenden Boden umschlossen, der sich aus rötlich-braunem, mittelfeinem Sand zusammensetzt.

Profil: Im Anschnitt weist der Befund eine amorphe, rundliche Form auf und erreicht eine maximale Tiefe von ca. 30 cm. Der Befund ist in zwei Verfärbungen einzuteilen: am oberen Rand des Befundschnitts weist der Befund dunkelbraunen humosen, mittelkörnigen, festen Sand mit gelben und dunkelbraunen Tier- und Wurzelgängen sowie einigen Steineinschlüssen (2-4 cm). An den Seiten ist der Befund umgeben von der Verfärbung 2, die aus braunem, sandigem, feinkörnigem, festem Humus mit einigen Steineinschlüssen und Tier- und Wurzelgängen besteht. Umschlossen wird der Befund vom anstehenden Boden: gelber, fein- bis mittelkörniger, fester Sand mit Steineinschlüssen, der nach unten weißgelb und grobkörniger wird und von Oxidbändern durchzogen ist. Darunter folgt Kies.

Funde: Keine.

Befund 3065 – Teilfläche 3

Profilnägellokoordinaten:

582936.328; 5991752.481; 52.774

582936.665; 5991753.254; 52.765

Deutung: Pfostenloch.

Planum: In der Aufsicht ist der Befund rundlich und rötlich bis mittelbraun. Die Verfärbung ist dabei 40 × 30-35 cm groß und

wird vom anstehenden Boden umschlossen, der sich aus rötlich-braunem, mittelfeinem Sand zusammensetzt.

Profil: Bei dem Befund handelt es sich um dunkelbraunen feinen Sand mit wenigen Steinen, der ca. 25 cm tief, ca. 20-30 cm breit und in der Form eines stumpfen Trichters in den anstehenden Boden (brauner, mittelfeiner, Sand mit Steinen und Oxidbändern) eingetieft wurde.

Funde: Keine.

Tafel: 136.

Befund 3066 – Teilfläche 3

Deutung: Schichtrest.

Planum: In der Aufsicht ist der Befund rundlich und mittelbraun. Die Verfärbung ist 20-22 cm groß und wird vom anstehenden Boden umschlossen, der sich aus grau-rötlichen Lehm mit graubeigen, lockeren sandigen Bereichen und größeren rötlichen Sand-Lehmgemischen zusammensetzt.

Profil: Wurde nicht dokumentiert.

Funde: Keine.

Befund 3067 – Teilfläche 3

Profilnägellokoordinaten:

582938.156; 5991751.399; 52.773

582937.393; 5991751.191; 52.783

Deutung: Steinstandspur oder kleine Grube (eher Steinstandspur).

Planum: In der Aufsicht ist der Befund länglich-rundlich und dunkelbraun. Die Verfärbung erreicht eine Größe von 40 × 20-25 cm und wird vom anstehenden Boden umschlossen, der sich aus grau-rötlichen Lehm mit graubeigen, lockeren sandigen Bereichen und größeren rötlichen Sand-Lehmgemischen zusammensetzt.

Profil: Der Befund wurde ca. 10 cm tief halbrund-flach in den anstehenden Boden (beiger, fester Lehm) eingetieft und setzt sich aus dunkelbraunem, mittelfeinem, humosem Sand zusammen. Die Abgrenzung zum anstehenden Boden ist sehr scharf.

Funde: Gebrannter Flint (F3047).

Tafel: 138.

Befund 3068 – Teilfläche 3

Profilnägellokoordinaten:

582943.590; 5991754.054; 52.388

582943.036; 5991755.020; 52.402

Deutung: Schichtrest.

Planum: In der Aufsicht ist der Befund amorph und dunkelbraun. Die Verfärbung erreicht eine Größe von 60 × 15-38 cm und wird vom anstehenden Boden umschlossen, der sich aus grau-rötlichen Lehm mit graubeigen, lockeren sandigen Bereichen und größeren rötlichen Sand-Lehmgemischen zusammensetzt.

Profil: Im Anschnitt ist der Befund fleckig und von Tier- sowie Wurzelgängen gestört und nur wenige Zentimeter tief erhalten (nur Foto).

Funde: Keine.

Befund 3069 – Teilfläche 3

Profilnägelkoordinaten:

582941.202; 5991758.677; 52.697

582943.220; 5991758.248; 52.654

Deutung: kleine Grube.

Planum: In der Aufsicht ist der Befund rundlich und mittel- bis graubraun. Die Verfärbung erreicht eine Größe von 1,10 m x 75 cm und wird zum Großteil vom anstehenden braungrauen, lockeren, sehr feinen Sand mit Humusanteilen umschlossen. Im Nordwesten grenzt der Befund an eine weitere Schicht des gewachsenen Bodens, die sich aus grau-rötlichem Lehm mit graubeigen lockeren sandigen Bereichen und größeren rötlichen Sand-Lehmgemischen zusammensetzt.

Profil: Der Befund zeichnet sich im Profil als ca. 20 cm tiefe und ca. 40 cm breite Verfärbung ab. Es handelt sich dabei um braunen, mittelfeinen, leicht lehmigen Sand, der von einem Tiergang im Osten und einem Schichtrest im Westen gestört wird. Der Befund wurde in den anstehenden Boden, bestehend aus gelbbraunem, mittelfeinem, festem Lehm, eingetieft.

Funde: Keine.

Tafel: 113.

Befund 3070 – Teilfläche 3

Deutung: Geologie.

Planum: In der Aufsicht ist der Befund halbrund und hell- bis mittel-/dunkelbraun. Mit einigen kleinen mit mittelgroßen Steinen (bis zu 25-20 cm). Die Verfärbung ist 2,30 m x 1,75 m groß und wird vom anstehenden Boden umschlossen, der sich aus braungrauem (mit hellen Flecken), lockerem, sehr feinem Sand mit Humusanteilen zusammensetzt.

Profil: Wurde nicht geschnitten.

Funde: Keine.

Befund 3071 – Teilfläche 3

Profilnägelkoordinaten:

582947.411; 5991754.799; 52.430

582947.308; 5991753.655; 52.345

Deutung: Schichtrest.

Planum: In der Aufsicht ist der Befund länglich-amorph und rötlich-gräulich. Die Verfärbung umfasst 1,40 m x 20-65 cm und wird vom anstehenden Boden umschlossen, der sich aus rötlichem Lehm mit graubeigen lockeren sandigen Bereichen und größeren rötlichen Sand-Lehmgemischen zusammensetzt.

Profil: Wurde nicht geschnitten.

Funde: Keine.

Befund 3072 – Teilfläche 3

Profilnägelkoordinaten:

582937.412; 5991762.843; 52.671

582936.610; 5991763.091; 52.686

Deutung: Schichtrest oder Steinstandspur.

Planum: In der Aufsicht besteht der Befund aus zwei rundlichen Verfärbungen. Beide sind rotbraun-gräulich. Die Größere von beiden erreicht eine Größe von 1,95 m x 1,20 m und wird von einer Pflugspur geschnitten. Die zweite Verfärbung ist 30 x 25 cm groß und wird von der ersten Verfärbung umschlossen. Die größere Verfärbung befindet sich zum Großteil inmitten des anstehenden Bodens, der sich aus gelbem, mittelfeinem bis groben Sand zusammensetzt. Im Osten grenzt der Befund an rötlich-braunen, mittelfeinen Sand.

Profil: Im Anschnitt ist der Befund nur noch wenige Zentimeter tief und liegt neben einem Wurzelgang im Osten (nur Foto).

Funde: Keine.

Befund 3073 – Teilfläche 3

Deutung: Eisenoxidausfällung.

Planum: In der Aufsicht der Befund im ersten Planum nicht sichtbar. Erst im ersten Zwischenplanum zeigte sich eine amorph verlaufende Struktur verhärteten Sediments mit vielen kleinen Steineinschlüssen. Die Ausgrabung ergab, dass es sich wahrscheinlich um Eisenoxidbänder handelt.

Profil: Wurde nicht geschnitten.

Funde: Flintabschlag (F3034), Flintklinge (F3932).

Befund 3074 – Teilfläche 3

Profilnägelkoordinaten:

582923.402; 5991751.903; 52.837

582923.932; 5991751.572; 52.824

Deutung: eher Wurzel-/Tiergang.

Planum: In der Aufsicht ist der Befund im ersten Planum nicht sichtbar. Erst beim Schneiden vom BEF 3037 wurde der Befund entdeckt.

Profil: Im Anschnitt weist der Befund eine trichterförmige Form auf und erreicht dabei eine maximale Tiefe von 10 cm. Die Verfärbung besteht dabei aus braunem, mittelfeinem, humosem Sand mit einigen Wurzeln im unteren Bereich. Im Südosten grenzt der Befund an einen grauen, mittelfeinen Sand, der einen Schichtrest bzw. Übergangsbereich zum Humus darstellen könnte. Umgeschlossen wird der Befund von rotbraunem, grobem Sand mit Kies, der den anstehenden Boden bildet.

Funde: Keine.

Befund 3075 – Teilfläche 3

Profilnägellokoordinaten:

582935.122; 5991752.952; 52.897

582934.818; 5991751.022; 52.909

Deutung: Pfostenloch im Westprofil.

Planum: In der Aufsicht ist der Befund nicht dokumentiert, weil er sich im Profilkreuz im Westprofil der Teilfläche 3 zeigte.

Profil: Im Anschnitt setzt der Befund direkt unterhalb der Humusoberfläche an und reicht von der Grasnarbe bis zu 1,11 Meter tief. Dabei läuft der spitz zu und hat dabei eine Breite von maximal 20 bis minimal 2,5 cm. Er durchdringt dabei die Hügelschüttung zwischen 30 und 46 Zentimetern sowie die ehemalige ausgebleichene Humusoberfläche zwischen 40 und 58,5 cm unter der Grasnarbe. Darunter wird der Befund von verschiedenen Schichten des anstehenden Bodens umschlossen (Sand-Kies-Gemische).

Funde: Keine.

Befund 3076 – Teilfläche 3

Profilnägellokoordinaten:

582935.099; 5991752.960; 52.886

582934.816; 5991751.037; 52.896

Deutung: Lehmbeleg mit dunkler Verfärbung (Grube).

Planum: In der Aufsicht ist der Befund im ersten Planum nicht sichtbar. Erst beim Schneiden von BEF3033 zeigte sich der Befund als abgegrenzte lehmige Schichte mit dunkleren Bereichen, viel Holzkohle und vereinzelt gebranntem Lehm.

Profil: Der Befund besteht aus braunem, feinem, lehmigem Sand mit wenigen Steinen und wurde ca. 15 cm tief und ca. 40 cm breit angelegt. Die Verfärbung wird von einem braunem, feinem aber sehr festem Lehmband mit Steinen umschlossen. Darunter folgt der anstehende Boden, bestehend aus braunem, mittelfeinem Sand mit Steinen.

Funde: Keine.

Tafel: 114.

Befund 3077 – Teilfläche 3

Mittelpunktcoordinate: 582924.086; 5991776.313

Deutung: Steinkonstruktion, gestörtes Grab?

Planum: In der Aufsicht ist der Befund im ersten Planum nur leicht sichtbar. Besonders zur Geltung kam der Befund mit dem dritten Planum. Es handelt sich um einen Nordwest-Südost ausgerichtete Steinsetzung von ungefähr 3,3 m Länge und 1,3 m Breite, die stark gestört ist. Möglicherweise bestand sie aus mehreren querliegenden Steinreihen, die jedoch nur noch erahnt werden können. Der Befund befindet sich in der Hügelschüttung, sodass es sich um eine Nachbestattung gehandelt haben könnte.

Profil: nicht geschnitten

Funde: Keine.

Tafel: 148.

Befund 4001 – Teilfläche 4

Profilnägellokoordinaten:

582907.953; 5991773.919; 52.770

582904.293; 5991773.515; 52.598

582906.338; 5991772.466; 52.704

582905.624; 5991775.047; 52.706

Deutung: Grube, modernes Tieferlegen vom Stein

Planum: Die Verfärbung ist leicht amorph und damit der Form des großen Steins angepasst, den sie umschließt. Der Befund hat in der Aufsicht einen Durchmesser von maximal 85 cm und besteht aus dunkelbraunem, lockerem, mittelfeinkörnigem Sand mit wenigen Steineinschlüssen. Die Verfärbung wird umschlossen vom anstehenden Boden, der aus hellbraunem, lehmigem, festem, feinkörnigem Sand mit wenigen Steineinschlüssen besteht. Diese Verfärbung wird wiederum von rötlichbraunem, kiesigem, lockerem, grobkörnigem Sand umschlossen, der viele kleine Steineinschlüsse und humose Anteile aufweist – es handelt sich dabei um eine weitere Schicht des natürlich gewachsenen Bodens.

Profil: Im Anschnitt weist der Befund eine maximal 94 cm tiefe, amorphe, leicht trichterförmige Form auf, die den großen Stein umschließt. Die Verfärbung besteht dabei aus dunkelbraunem, festem, feinkörnigem Sand mit einigen Wurzeleinschlüssen und kleinen Steineinschlüssen. Im unteren Bereich treten mehrere faustgroße Steine und gelegentliche Tiergänge in Erscheinung und auch die Konsistenz des Sediments ist im unteren Bereich (vor allem im Bereich unterhalb des großen Steins) etwas fester und lehmiger. Es kann nicht ausgeschlossen werden, dass es sich bei diesen zwei Arealen um das gleiche Ereignis handelt. Umgeschlossen wird der Befund von verschiedenen geologisch gewachsenen Schichten aus Kies, Sand und Lehm, in denen immer wieder kleine aber auch bis zu faustgroßen Steinen auftreten.

Funde: Abschlüge (F4039, F4059).

Befund 4002 – Teilfläche 4

Profilnägellokoordinaten:

582920.661; 5991773.728; 53.248

582916.715; 5991771.976; 53.057

Deutung: Raubgrube/Grube.

Planum: In der Aufsicht ist der Befund länglich-halbkreisförmig und dunkelgraubraun. Die Verfärbung ist 3,15 m x 50-130 cm und wird im Süden vom anstehenden Boden umschlossen, der sich aus braunem bis grauem, feinem, kompaktem Sand mit rötlichen und hellen sandigen Flecken zusammensetzt. Im Südosten grenzt der Befund an ein graues kompaktes Lehmsand-Gemisch. Im Norden liegt der Befund in der Hügelschüttung, die sich aus gelbem, mittelfeinem Sand zusammensetzt.

Profil: Im Anschnitt weist der Befund zwei Verfärbungen auf, die von einer dritten Verfärbung im unteren Bereich umschlossen werden. Verfärbung 1 ist trichterförmig mit einer maximalen Tiefe von 22 cm und flacht nach Osten ab und besteht dabei aus braunem bis dunkelbraunem, mittelfeinem, leicht lehmigem Sand mit gelblichen Stellen (= Tiergänge) und vereinzelt kleinen

Steinen (<0,5 cm), sowie wenig Holzkohle. Im Westen schließt daran Verfärbung 2, die amorph-rundlich und maximal 15 cm tief ist und dabei aus dunkelbraunem, mittelfeinem Sand mit wenigen kleinen Steinen (<0,5 cm) und einer gelblichen Stelle (= Tiergang) besteht. Beide Verfärbungen werden an ihrer Unterkante von der flachen Verfärbung 3 umschlossen, die aus dunkel- bis schwarzbraunem, mittelfeinem Sand mit einigen Steinen (< 5 cm) besteht und durch Tiergänge gestört ist und ist dabei maximal 24 cm tief. Es könnte sich um den Boden des Befundes handeln, und/oder auch vergangenes Holz darstellen. An den Befundrändern bleicht der Befund langsam aus, bis er in die Hügelschüttung und den anstehenden Boden übergeht, der sich aus gelbbraunem, mittelfeinem Sand mit einigen Steinen (< 1 cm – 20 cm) und Tiergängen sowie einigen Eisenoxidbändern mit Resten der zuvor aufliegenden Humusschicht zusammensetzt. An der Unterkante ist dieser Übergang etwas scharfkantiger.

Funde: Abschlüge (F4062, F4066, F4041, F4043, F4042, F4056, F4057, F4063, F4058, F4085, F4083, F4086, F4084), Flintklinge (F4040), Keramik (F4067, F4070, F4087).

Tafel: 114-115.

Befund 4003 – Teilfläche 4

Profilnägelskoordinaten:

582920.631; 5991769.292; 53.033

582920.694; 5991770.761; 53.093

Deutung: gestörtes Urnengrab.

Planum: In der Aufsicht ist der Befund halbrund, bevor er in den Profilsteg übergeht. Die Verfärbung ist mittelgraubraun und wird vom anstehenden Boden umschlossen, der sich aus braunem bis grauen, feinen, kompakten Sand mit rötlichen und hellen sandigen Flecken zusammensetzt.

Profil: Im Anschnitt weist der Befund eine rundliche, leicht trichterförmige Form auf und ist dabei ungefähr 72 cm lang und ca. 46 cm tief. Die Verfärbung besteht aus einem braunen, mittelfeinen Sand mit humosen Anteilen und einigen Steinen, Lehmflecken und Holzkohlepartikeln. Der Befund wird umschlossen von der Hügelschüttung, die sich aus gelbem, mittelfeinem Sand mit einigen Steinen zusammensetzt. Darunter folgt der anstehende Boden - ein rötlicher, mittelfeiner, fester Sand mit Kies und Eisenausfällungen.

Funde: Keramik (F4074, F4081, F4076, F4079, F4080, F4082, F4053, F4054, F4055, F4052, F4071, F4049, F4069, F4048, F4077, F4078, F4060, F4064, F4065, F4068), Abschlag (F4050, F4051, F4060, F4064, F4068, F4072), Mahlsteinfragment (F4061), gebrannter Flint (F4050), Stein mit Oberflächenbehandlung (F4073).

Tafel: 142-144.

Befund 4004 – Teilfläche 4

Profilnägelskoordinaten:

582918.854; 5991775.691; 53.219

582919.811; 5991775.609; 53.219

Deutung: Schichtrest oder mögliche Grube?

Planum: In der Aufsicht ist der Befund amorph und mittelbraun. Die Verfärbung erreicht eine Größe von 1,25-1,35 m x 50-75 cm

und wird von der Hügelschüttung umschlossen, die sich aus gelbem, mittelfeinem Sand zusammensetzt.

Profil: Im Anschnitt weist der Befund eine rundlich-amorphe Form auf. Im Osten ist die Verfärbung rundlich und spitz zulaufend und erreicht eine maximale Tiefe von 27 cm. Im Westen läuft der Befund etwas flacher und länglich aus, bei einer Tiefe von max. 16 cm. Die Verfärbung setzt sich aus dunkelbraunem, lockerem, mittelfeinkörnigem Sand mit einigen Steineinschlüssen und kleinen Tiergängen zusammen. Umschlossen wird der Befund vom anstehenden Boden, der aus hellgrauem, lockerem, feinkörnigem Sand mit einigen Steineinschlüssen (3-6 cm im DM) und Tiergängen sowie Wurzeln besteht.

Funde: Keine.

Tafel: 122.

Befund 4005 – Teilfläche 4

Deutung: Schichtrest.

Planum: In der Aufsicht ist der Befund rundlich-amorph und mittelgraubraun. Die Verfärbung hat eine Größe von 2 m x 1,25 m und wird im Nordosten und Südosten vom anstehenden Boden umschlossen, der sich aus braunem bis grauem, feinem kompaktem Sand mit rötlichen und hellen sandigen Flecken zusammensetzt. Im Osten grenzt der Befund an die Hügelschüttung, die aus gelbem, mittelfeinem Sand besteht.

Profil: Wurde nicht geschnitten.

Funde: Keine.

Befund 4006 – Teilfläche 4

Profilnägelskoordinaten:

582907.618; 5991777.557; 52.778

582908.344; 5991777.565; 52.775

Deutung: Schichtrest.

Planum: In der Aufsicht ist der Befund rundlich und dunkelgraubraun. Die Verfärbung ist 25 x 25 cm groß und wird vom anstehenden Boden umschlossen, der sich aus braunem bis grauen, feinen, kompakten Sand mit rötlichen und hellen sandigen Flecken zusammensetzt.

Profil: Wurde nicht geschnitten.

Funde: Keine.

Befund 4007 – Teilfläche 4

Deutung: Steinstandspur.

Planum: In der Aufsicht ist der Befund rund-amorph und dunkelgraubraun. Die Verfärbung wird vom anstehenden Boden umschlossen, der sich aus dunkel- und hellbraunem, mittelfeinem, geflecktem, humosem Sand zusammensetzt, der den Übergangsbereich vom Humus zum anstehenden Boden mit einzelnen großen und kleineren Steinen bildet.

Profil: Im Anschnitt war der Befund nur noch bis maximal 5 cm tief (nur Foto).

Funde: Keine.

Befund 4008 – Teilfläche 4

Profilnägelloordinaten:

582904.039; 5991766.336; 52.446

582904.423; 5991767.065; 52.484

Deutung: Grubenrest?

Planum: In der Aufsicht ist der Befund rundlich-amorph und hellgrau. Die Verfärbung ist 40 × 30 cm groß und wird vom anstehenden Boden umschlossen, der sich aus braunem bis grauen, feinen, kompakten Sand mit rötlichen und hellen sandigen Flecken zusammensetzt.

Profil: Der Befund wurde maximal 30 cm eingetieft und umfasst 60 cm Breite. Im SW zieht sich der Befund noch um weitere 20-30 cm abgeflacht hin. Die Verfärbung besteht aus braunem, dunkelgrauem Lehm mit humosen Anteilen. Im NO grenzt der Befund an einen Schichtrest (graugelber Lehm) und wurde in den anstehenden Boden eingetieft (hellbrauner lehmiger Sand). Beim Ausheben der anderen Befundhälfte zeigte sich, dass der Befund im NW tiefer und humoser erstreckte.

Funde: Keine.

Tafel: 116.

Befund 4009 – Teilfläche 4

Profilnägelloordinaten:

582902.176; 5991765.966; 52.358

582902.911; 5991765.724; 52.385

Deutung: eher Steinstandspur.

Planum: In der Aufsicht ist der Befund rundlich und hellbraun. Die Verfärbung ist dabei 50 × 52 cm groß und wird im Nordost-Südost-bereich vom anstehenden Boden umschlossen, der sich aus braunem bis grauem, feinem, kompaktem Sand mit rötlichen und hellen sandigen Flecken zusammensetzt. Im Westen grenzt der Befund an graubraunen Lehm.

Profil: Die Verfärbung ist ungefähr 10-12 cm tief und 20 cm breit und erstreckt sich noch ca. 15 cm in NW-Richtung mit ungefähr 5 cm Tiefe. Der Befund setzt sich aus braunem, humosem Sand und Humus zusammen und wurde in den anstehenden Boden (hellbrauner Lehm) eingetieft.

Funde: Keine.

Tafel: 138.

Befund 4010 – Teilfläche 4

Profilnägelloordinaten:

582891.620; 5991768.471; 51.786

582892.432; 5991769.510; 51.879

Deutung: Grubenrest?

Planum: In der Aufsicht ist der Befund leicht länglich-halbkreisförmig und mittelbraun. Die Verfärbung ist 1,85 × 30-45 cm groß und wird von einem Kiesband umschlossen, das aus hellbraunem, grobem Kies besteht.

Profil: Im Anschnitt zeigte sich der Befund als sehr schwach vom anstehenden Boden abgrenzbare leicht rötliche Verfärbung (nur Foto).

Funde: Keine.

Befund 4011 – Teilfläche 4

Profilnägelloordinaten:

582888.743; 5991772.237; 51.628

582887.650; 5991773.079; 51.529

Deutung: mögliche Grube oder Wurzelbereich.

Planum: In der Aufsicht ist der Befund rundlich-amorph und hellgrau. Die Verfärbung ist 1,18 m x 65-90 cm groß und wird im Westen von einem Kiesband umschlossen, das sich aus rotbraunem, mittelfeinem Sand mit vereinzelt größeren Steinen (bis 12 cm) zusammensetzt. Im Osten liegt der Befund im anstehenden Boden, der sich aus graubraunem, festem Sand (nach Westen dunkler werdend) mit einigen kleinen bis größeren Steinen zusammensetzt.

Profil: Im Anschnitt ist der Befund nur schwer zum anstehenden Boden abgrenzbar und zeichnet sich nur noch als leicht gräuliche Verfärbung, die viele Steine enthält. Der Befund grenzt an anstehenden Kies (nur Foto).

Funde: Keine.

Befund 4012 – Teilfläche 4

Profilnägelloordinaten:

582888.987; 5991771.291; 51.624

582888.369; 5991771.662; 51.595

Deutung: Steinstandspur oder Pfostenrest.

Planum: In der Aufsicht ist der Befund rund und dunkelgraubraun. Die Verfärbung 27 × 32 cm groß und wird von einem Kiesband umschlossen, das sich aus rotbraunem, mittelfeinem Sand mit vereinzelt größeren Steinen (bis 12 cm) zusammensetzt.

Profil: Im Anschnitt ist der Befund nur wenige Zentimeter (ca. 3-4 cm) tief (nur Foto).

Funde: Keine.

Befund 4013 – Teilfläche 4

Profilnägelloordinaten:

582888.743; 5991772.237; 51.628

582889.287; 5991771.748; 51.634

Deutung: eher Steinstandspur.

Planum: In der Aufsicht ist der Befund länglich-amorph und dunkelgraubraun. Die Verfärbung ist 60 × 30-35 cm groß und wird von einem Kiesband umschlossen, das sich aus rotbraunem, mittelfeinem Sand mit vereinzelt größeren Steinen (bis 12 cm) zusammensetzt.

Profil: Wurde nicht geschnitten.

Funde: Keine.

LA 58

(Tafel 150-196)

Befund 1 - Nordwestsektor - Mittelpunkt: (x) 3583059,08; (y) 5993799,34; (z) 50,02

Deutung: Steinstandspur?

Aufsicht: Etwa ovale, humose Verfärbung (0,33 × 0,24 m).

Anschnitt: Im Anschnitt der Rest einer 0,24 m langen Eintiefung (Resttiefe: 0,09 m) mit unregelmäßig verlaufender Sohle.

Funde: Keine.

Befund 2 - Nordwestsektor - Mittelpunkt: (x) 3583057,63; (y) 5993800,56; (z) 49,97

Deutung: Grab (Urne) [¹⁴C-datiert].

Aufsicht: Ovale, humose Verfärbung (0,33 × 0,25 m) mit mehreren faustgroßen Steinen innerhalb einer größeren Verfärbung (Baumwurfgrube?); in Planum 2 eine kreisrunde Steinsetzung (Dm. 0,3 m) aus Steinplatten und Rollsteinen mit zerscherbtem Gefäßoberteil.

Anschnitt: Im Anschnitt eine Urne in einer im oberen Bereich gestörten, ursprünglich vermutlich geschlossenen Steinsetzung (Resttiefe: 0,4 m) aus Spaltstücken eines größeren Steines (Granit); Urne auf mehreren Bodenplatten; oberhalb der Urne kleinere, etwa faustgroße Steine; keine Grabgrube erkennbar.

Funde: Keramik (FNR. 10, 14, 104, 152); kalzinierte Knochen (FNR. 13, 15, 105).

Tafel: 164-166.

Befund 3 - Nordwestsektor - Mittelpunkt: (x) 3583056,88; (y) 5993796,87; (z) 50,03

Deutung: ?

Aufsicht: Unregelmäßige, humose Verfärbung (0,63 × 0,5 m).

Anschnitt: Im Anschnitt eine steiltrichterförmige - zylindrische Eintiefung (Resttiefe: 0,12 m) mit unregelmäßig (Tiergänge?) eben verlaufender Sohle.

Funde: Keine.

Befund 4 - Nordwestsektor - Mittelpunkt: (x) 3583054,94; (y) 5993797,72; (z) 50,00

Deutung: Steinstandspur.

Aufsicht: Etwa kreisrunde, humose Verfärbung (Dm. 0,3 m).

Anschnitt: Nicht geschnitten.

Funde: Keine.

Befund 5 - Nordwestsektor - Mittelpunkt: (x) 3583054,37; (y) 5993797,33; (z) 50,02

Deutung: Steinstandspur.

Aufsicht: Etwa halbmondförmige, humose Verfärbung (0,34 × 0,25 m).

Anschnitt: Nicht geschnitten.

Funde: Keine.

Befund 6 - Nordwestsektor - Mittelpunkt: (x) 3583054,10; (y) 5993797,05; (z) 49,99

Deutung: Steinstandspur.

Aufsicht: Ovale, humose Verfärbung (0,31 × 0,26 m).

Anschnitt: Nicht geschnitten.

Funde: Keine.

Befund 7 - Nordwestsektor - Mittelpunkt: (x) 3583053,82; (y) 5993796,82; (z) 50,00

Deutung: Steinstandspur.

Aufsicht: Ovale, humose Verfärbung (0,36 × 0,3 m).

Anschnitt: Nicht geschnitten.

Funde: Keine.

Befund 8 - Nordwestsektor - Mittelpunkt: (x) 3583053,57; (y) 5993796,57; (z) 50,01

Deutung: Steinstandspur.

Aufsicht: Kreisrunde, humose Verfärbung (Dm. 0,22 m).

Anschnitt: Nicht geschnitten.

Funde: Keine.

Befund 9 - Nordwestsektor - Mittelpunkt: (x) 3583058,71; (y) 5993804,04; (z) 49,57

Deutung: Pfostengrube?

Aufsicht: Etwa schlüssellochförmige, humose Verfärbung (0,77 × 0,48-0,57 m).

Anschnitt: Im Anschnitt eine steiltrichterförmige Eintiefung (Resttiefe: 0,36 m) mit in der Mitte stark einziehender Sohle (möglicherweise zwei Eingrabungen).

Funde: Keine.

Tafel: 153.

Befund 10 - Nordwestsektor - Mittelpunkt: (x) 3583055,58; (y) 5993803,13; (z) 49,59

Deutung: ?

Aufsicht: Unregelmäßige, humose Verfärbung (1,28 × 0,75 m).

Anschnitt: Im Anschnitt der Rest einer 0,9 m langen Eintiefung (Resttiefe: 0,23 m) mit unregelmäßig verlaufender Sohle; Füllung aus dunkelbraungrauem, kohlehaltigem Sand.

Funde: Bodenprobe (FNR. 27, 172).

Befund 11 - Nordwestsektor - Mittelpunkt: (x) 3583051,10; (y) 5993801,81; (z) 49,56

Deutung: ?

Aufsicht: Ovale, humose Verfärbung (0,7 × 0,57 m).

Anschnitt: Im Anschnitt der Rest einer 0,92 m langen Eintiefung (Resttiefe: 0,15 m) mit unregelmäßig verlaufender Sohle.

Funde: Keine.

Befund 12 - Nordwestsektor - Mittelpunkt: (x) 3583051,80; (y) 5993796,36; (z) 50,09

Deutung: Steinpflaster (zerstörte ehemalige Grabanlage?).

Aufsicht: Langgestreckte, vermutlich in Teilen gestörte Pflasterung (>3,7 × 1,8 m) faust- bis doppelfaustgroßer

Steine etwa 0,5 m außerhalb des Steinkreises; im Süden im Profilsteg endend.

Anschnitt: Im Anschnitt ein etwa 3,7 m langes, einlagiges Pflaster aus faust- bis doppelfaustgroßen Steinen.

Funde: Keine.

Tafel: 157.

Befund 13 - Nordwestsektor - Mittelpunkt: (x) 3583048,86; (y) 5993797,98; (z) 49,88

Deutung: Grab (Urne) [¹⁴C-datiert].

Aufsicht: Etwa ovale Konzentration (0,7 × 0,4 m) faust- bis doppelfaustgroßer Steine; in der Mitte ein Urnenrest.

Anschnitt: Im Anschnitt nur noch Reste eines Gefäßunterteiles und einige etwa faustgroße Steine; Befundrest in humosem Boden.

Funde: Keramik (FNR. 1, 8, 23-24); kalzinierte Knochen (FNR. 2, 11).

Tafel: 167.

Befund 14 - Nordwestsektor - Mittelpunkt: (x) 3583052,40; (y) 5993803,12; (z) 49,48

Deutung: Steinstandspur?

Aufsicht: Ovale, humose Verfärbung (0,25 × 0,2 m).

Anschnitt: Im Anschnitt eine 0,22 m lange, steiltrichterförmige Eintiefung (Resttiefe: 0,13 m) mit muldenförmig verlaufender Sohle.

Funde: Keine.

Befund 15 - Nordwestsektor - Mittelpunkt: (x) 3583046,23; (y) 5993798,97; (z) 49,94

Deutung: ?

Aufsicht: Langovale, humose Verfärbung (0,36 × 0,23 m).

Anschnitt: Nicht geschnitten.

Funde: Keine.

Befund 16 - Nordwestsektor - Mittelpunkt: (x) 3583045,89; (y) 5993798,00; (z) 49,64

Deutung: ?

Aufsicht: Ovale, humose Verfärbung (0,9 × 0,7 m) mit einigen faust- bis doppelfaustgroßen Steinen.

Anschnitt: Im Anschnitt der Rest einer 0,75 m langen Eintiefung (Resttiefe: 0,15 m) mit leicht wellenförmig verlaufender Sohle.

Funde: Keine.

Befund 17 - Nordwestsektor - Mittelpunkt: (x) 3583042,62; (y) 5993799,50; (z) 49,55

Deutung: Grab (Leichenbrandschüttung) [¹⁴C-datiert].

Aufsicht: Abgerundet rechteckige, von Nord nach Süd ausgerichtete Setzung (ca. 1,35 × 0,7 m) aus doppelfaust- bis kopfgroßen Rollsteinen u. Steinplatten; der Standort einiger Steine nur über Standspuren überliefert; der südliche Teil mit

größeren Steinplatten abgedeckt; in Planum 2 eine abgerundet rechteckige Steinsetzung (1,7 × 0,6-0,75 m).

Anschnitt: Nicht geschnitten; in der Seitenansicht (kein Anschnitt) eine 1,48 m lange, mehrlagige Steinpackung (Resttiefe: >0,3 m); keine Grabgrube erkennbar.

Funde: Bronze (FNR. 35); kalzinierte Knochen (FNR. 3, 29-32, 59-83, 103, 113).

Tafel: 168-172.

Befund 18 - Nordwestsektor - Mittelpunkt: (x) 3583045,63; (y) 5993802,67; (z) 49,35

Deutung: ?

Aufsicht: Langovale, humose Verfärbung (1,06 × 0,27 m).

Anschnitt: Nicht geschnitten.

Funde: Keine.

Befund 19 - Nordwestsektor - Mittelpunkt: (x) 3583042,23; (y) 5993801,97; (z) 49,43

Deutung: Gräber (Urnendoppelbestattung) [¹⁴C-datiert].

Aufsicht: Etwa ovale Konzentration (ca. 1 × 0,5 m) faust- bis doppelfaustgroßer Steine; darin die Reste von zwei Urnen.

Anschnitt: Im Anschnitt ein 0,6 m langes, einlagiges Pflaster aus etwa faustgroßen Steinen (Bodensteine).

Funde: Keramik (FNR. 4, 6, 16-17, 20); Flint (FNR. 130); Stein (FNR. 7); kalzinierte Knochen (FNR. 5, 7, 16-17, 20-21, 23-24).

Tafel: 168, 174.

Befund 20 - Nordwestsektor - Mittelpunkt: (x) 3583042,80; (y) 5993797,40; (z) 49,62

Deutung: ?

Aufsicht: Unregelmäßig ovale, humose Verfärbung (Dm. 0,5 m).

Anschnitt: Nicht geschnitten.

Funde: Keine.

Befund 21 - Nordwestsektor - Mittelpunkt: (x) 3583039,85; (y) 5993797,60; (z) 49,43

Deutung: Steinstandspur?

Aufsicht: Unregelmäßige, humose Verfärbung (0,62 × 0,48 m).

Anschnitt: Im Anschnitt der Rest einer 0,52 m langen Eintiefung (Resttiefe: 0,12 m).

Funde: Keine.

Befund 22 - Südwestsektor - Mittelpunkt: (x) 3583038,20; (y) 5993795,96; (z) 49,40

Deutung: Steinstandspur(?).

Aufsicht: Ovale, humose Verfärbung (0,29 × 0,18 m).

Anschnitt: Nicht geschnitten.

Funde: Keine.

Befund 23 - Südwestsektor - Mittelpunkt: (x) 3583038,61; (y) 5993795,91; (z) 49,44

Deutung: Steinstandspur(?).

Aufsicht: Ovale, humose Verfärbung (0,25 × 0,16 m).

Anschnitt: Nicht geschnitten.

Funde: Keine.

Befund 24 - Südwestsektor - Mittelpunkt: (x) 3583039,15; (y) 5993795,46; (z) 49,49

Deutung: Steinstandspur(?).

Aufsicht: Ovale, humose Verfärbung (0,26 × 0,16 m).

Anschnitt: Im Anschnitt eine 0,12 m lange Eintiefung (Resttiefe: 0,06 m) mit muldenförmig verlaufender Sohle.

Funde: Keine.

Befund 25 - Südwestsektor - Mittelpunkt: (x) 3583039,47; (y) 5993795,25; (z) 49,52

Deutung: Steinstandspur(?).

Aufsicht: Ovale, humose Verfärbung (0,28 × 0,25 m).

Anschnitt: Im Anschnitt der Rest einer etwa 0,18 m langen Eintiefung (Resttiefe: 0,05 m) mit vermutlich muldenförmig verlaufender Sohle (Kontur stark verwaschen).

Funde: Keine.

Befund 26 - Südwestsektor - Mittelpunkt: (x) 3583039,87; (y) 5993795,10; (z) 49,56

Deutung: Steinstandspur(?).

Aufsicht: Kreisrunde, humose Verfärbung (Dm. 0,29 m).

Anschnitt: Im Anschnitt der Rest einer 0,22 m langen Eintiefung (Resttiefe: 0,08 m) mit etwa muldenförmig verlaufender Sohle.

Funde: Keine.

Befund 27 - Südwestsektor - Mittelpunkt: (x) 3583040,21; (y) 5993794,95; (z) 49,57

Deutung: Steinstandspur(?).

Aufsicht: Ovale, humose Verfärbung (0,37 × 0,48 m).

Anschnitt: Im Anschnitt der Rest einer 0,22 m langen, schräg nach Südosten geneigten Eintiefung (Resttiefe: 0,09 m) mit muldenförmig verlaufender Sohle.

Funde: Keine.

Befund 28 - Südwestsektor - Mittelpunkt: (x) 3583041,07; (y) 5993794,33; (z) 49,61

Deutung: Steinstandspur(?).

Aufsicht: Unregelmäßig ovale, humose Verfärbung (0,26 × 0,30 m).

Anschnitt: Nicht geschnitten.

Funde: Keine.

Befund 29 - Südwestsektor - Mittelpunkt: (x) 3583044,87; (y) 5993795,21; (z) 49,72

Deutung: Steinstandspur(?).

Aufsicht: Kreisrunde, humose Verfärbung (Dm. 0,26 m).

Anschnitt: Nicht geschnitten.

Funde: Keine.

Befund 30 - Südwestsektor - Mittelpunkt: (x) 3583045,40; (y) 5993794,19; (z) 49,73

Deutung: Pfostengrube.

Aufsicht: Stark abgerundet dreieckige, humose Verfärbung (0,32 × 0,45 m).

Anschnitt: Im Anschnitt eine 0,38 m lange, etwa zylindrische Eintiefung (Resttiefe: 0,21 m) mit eben verlaufender Sohle (verwaschene Konturen); Füllung aus grauem Sand.

Funde: Bodenprobe (FNR. 153).

Tafel: 153.

Befund 31 - Südwestsektor - Mittelpunkt: (x) 3583045,81; (y) 5993793,46; (z) 49,76

Deutung: Steinstandspur(?).

Aufsicht: Ovale, humose Verfärbung (0,24 × 0,27 m).

Anschnitt: Im Anschnitt eine 0,38 m lange, steiltrichterförmige Eintiefung (Resttiefe: 0,2 m) mit unregelmäßig verlaufender Sohle; Füllung aus hellbraungrauem Sand.

Funde: Bodenprobe (FNR. 155).

Tafel: 153.

Befund 32 - Südwestsektor - Mittelpunkt: (x) 3583044,51; (y) 5993791,92; (z) 49,72

Deutung: Pfostengrube.

Aufsicht: Ovale, humose Verfärbung (0,27 × 0,32 m).

Anschnitt: Im Anschnitt eine 0,32 m lange, etwa zylindrische Eintiefung (Resttiefe: 0,33 m) mit muldenförmig verlaufender Sohle; Füllung aus braungrauem - grauem Sand.

Funde: Bodenprobe (FNR. 154).

Tafel: 154.

Befund 33 - Südwestsektor - Mittelpunkt: (x) 3583045,76; (y) 5993789,71; (z) 49,83

Deutung: Grab (Urne) [¹⁴C-datiert].

Aufsicht: Innerhalb einer unregelmäßigen, humosen Verfärbung (1,40 × 2,60 m) einige etwa kreisförmig (Dm. 0,40 m) angeordnete faust- bis doppelfaustgroße Steine; darauf stand der Rest einer Urne (Boden u. Ansätze der angrenzenden Seitenwandung).

Anschnitt: Im Anschnitt Urnenrest auf einzelnen Bodensteinen.

Funde: Bronze (FNR. 35, 36); Keramik (FNR. 122, 123, 124); kalzinierte Knochen (FNR. 39-42, 44, 57).

Tafel: 175.

Befund 34 - Südwestsektor - Mittelpunkt: (x) 3583051,75; (y) 5993793,99; (z) 50,13

Deutung: Steinstandspur(?).

Aufsicht: Langovale, humose Verfärbung (0,22 × 0,39 m).

Anschnitt: Nicht geschnitten.

Funde: Keine.

Befund 35 - Südwestsektor - Mittelpunkt: (x) 3583052,10; (y) 5993793,87; (z) 50,16

Deutung: Steinstandspur(?).

Aufsicht: Langovale, humose Verfärbung (0,13 × 0,21 m).

Anschnitt: Nicht geschnitten.

Funde: Keine.

Befund 36 - Südwestsektor - Mittelpunkt: (x) 3583052,16; (y) 5993793,62; (z) 50,17

Deutung: Steinstandspur(?).

Aufsicht: Langovale, humose Verfärbung (0,13 × 0,28 m).

Anschnitt: Nicht geschnitten.

Funde: Keine.

Befund 37 - Südwestsektor - Mittelpunkt: (x) 3583052,79; (y) 5993793,37; (z) 50,26

Deutung: Steinstandspur(?).

Aufsicht: Etwa ovale, humose Verfärbung (0,16 × 0,18 m).

Anschnitt: Nicht geschnitten.

Funde: Keine.

Befund 38 - Südwestsektor - Mittelpunkt: (x) 3583053,28; (y) 5993791,08; (z) 50,37

Deutung: Steinstandspur(?).

Aufsicht: Langovale, humose Verfärbung (0,18 × 0,30 m).

Anschnitt: Nicht geschnitten.

Funde: Keine.

Befund 39 - Südwestsektor - Mittelpunkt: (x) 3583052,12; (y) 5993790,51; (z) 50,24

Deutung: Steinstandspur.

Aufsicht: Unregelmäßig langovale Verfärbung (0,25 × 0,41 m); Befund gehört zu dem Steinkreis A.

Anschnitt: Nicht geschnitten.

Funde: Keine.

Befund 40 - Südwestsektor - Mittelpunkt: (x) 3583051,95; (y) 5993789,31; (z) 50,32

Deutung: Steinstandspur.

Aufsicht: Kreisrunde, humose Verfärbung (Dm. 0,37 m); Befund gehört zu dem Steinkreis A.

Anschnitt: Nicht geschnitten.

Funde: Keine.

Befund 41 - Südwestsektor - Mittelpunkt: (x) 3583052,13; (y) 5993788,94; (z) 50,31

Deutung: Steinstandspur.

Aufsicht: Ovale, humose Verfärbung (0,20 × 0,30 m); Befund gehört zu dem Steinkreis A.

Anschnitt: Nicht geschnitten.

Funde: Keine.

Befund 42 - Südwestsektor - Mittelpunkt: (x) 3583052,57; (y) 5993788,75; (z) 50,34

Deutung: Steinstandspur(?).

Aufsicht: Etwa kreisrunde, humose Verfärbung (Dm. 0,23 m).

Anschnitt: Nicht geschnitten.

Funde: Keine.

Befund 43 - Südwestsektor - Mittelpunkt: (x) 3583052,40; (y) 5993788,21; (z) 50,32

Deutung: Steinstandspuren.

Aufsicht: Langgestreckte, humose Verfärbung (0,30 x >0,65 m), die im Südosten keine klare Kontur aufwies; Befund gehört zu dem Steinkreis A.

Anschnitt: Nicht geschnitten.

Funde: Keine.

Befund 44 - Südwestsektor - Mittelpunkt: (x) 3583053,68; (y) 5993786,58; (z) 50,34

Deutung: Steinstandspur(?).

Aufsicht: Unregelmäßige, humose Verfärbung (0,32 × 0,67 m).

Anschnitt: Nicht geschnitten.

Funde: Keine.

Befund 45 - Südwestsektor - Mittelpunkt: (x) 3583054,85; (y) 5993785,33; (z) 50,01

Deutung: Steinstandspuren.

Aufsicht: Langgestreckte, humose Verfärbung (0,30 × 1,95 m); Befund gehört zu Steinkreis A.

Anschnitt: Im Anschnitt der Rest einer 0,33 m langen Eintiefung (Resttiefe: 0,04 m) mit etwa eben verlaufender Sohle; Füllung aus grauem Sand.

Funde: Keine.

Befund 46 - Südwestsektor - Mittelpunkt: (x) 3583056,99; (y) 5993790,45; (z) 50,47

Deutung: Hügelstrate.

Aufsicht: Im Südwestsektor eine 0,75 - 1,05 m breite, etwa halbkreisförmige Struktur aus etwas Dunklerem, z.T. deutlich kohlehaltigem, humosem schwach lehmigem Sand; im Südostsektor war eine entsprechende, aber wesentlich schmalere Struktur (nur 0,25 - 0,70 m breit) um etwa 1 m nach Norden versetzt.

Anschnitt: In den Anschnitten eine bis zu 0,3 m mächtige, zur Hügelmitte hin ansteigende Strate aus dunkelbraungrauem - dunkelbraunem, stark kohlehaltigem Sand.

Funde: Keramik (FNR. 111); Bodenprobe (FNR. 148, 150,-151).

Befund 47 - Südwestsektor - Mittelpunkt: (x) 3583056,66; (y) 5993788,43; (z) 50,46

Deutung: ?

Aufsicht: Etwa kreisrunde, humose Verfärbung (Dm. 0,25 m).

Anschnitt: Im Anschnitt keine klare Kontur.

Funde: Keine.

Befund 48 - Südwestsektor - Mittelpunkt: (x) 3583056,47; (y) 5993788,79; (z) 50,45

Deutung: ?

Aufsicht: Ovale, humose Verfärbung (0,35 × 0,3 m).

Anschnitt: Im Anschnitt keine klare Kontur.

Funde: Keine.

Befund 49 - Südwestsektor - Mittelpunkt: (x) 3583055,84; (y) 5993788,40; (z) 50,46

Deutung: ?

Aufsicht: Etwa kreisrunde, humose Verfärbung (Dm. 0,15 m).

Anschnitt: Im Anschnitt eine >0,26 m lange, etwa zylindrische Eintiefung (Resttiefe: 0,13 m) mit leicht muldenförmig verlaufender Sohle.

Funde: Keine.

Befund 50 - Südwestsektor - Mittelpunkt: (x) 3583055,51; (y) 5993788,90; (z) 50,46

Deutung: ?

Aufsicht: Ovale, humose Verfärbung (0,27 × 0,23 m).

Anschnitt: Nicht geschnitten.

Funde: Keine.

Befund 51 - Südwestsektor - Mittelpunkt: (x) 3583055,31; (y) 5993789,17; (z) 50,44

Deutung: Steinstandspur(?).

Aufsicht: Etwa ovale, humose Verfärbung (0,20 × 0,25 m).

Anschnitt: Nicht geschnitten.

Funde: Keine.

Befund 52 - Südwestsektor - Mittelpunkt: (x) 3583055,05; (y) 5993789,95; (z) 50,43

Deutung: Steinstandspur(?).

Aufsicht: Etwa ovale, humose Verfärbung (0,18 × 0,22 m).

Anschnitt: Nicht geschnitten.

Funde: Keine.

Befund 53 - Südwestsektor - Mittelpunkt: (x) 3583055,11; (y) 5993790,18; (z) 50,43

Deutung: Steinstandspur(?).

Aufsicht: Ovale, humose Verfärbung (0,09 × 0,10 m).

Anschnitt: Nicht geschnitten.

Funde: Keine.

Befund 54 - Südwestsektor - Mittelpunkt: (x) 3583054,69; (y) 5993790,44; (z) 50,43

Deutung: Steinstandspur(?).

Aufsicht: Unregelmäßige, humose Verfärbung (0,28 × 0,40 m).

Anschnitt: Im Anschnitt keine klare Kontur.

Funde: Keine.

Befund 55 - Südwestsektor - Mittelpunkt: (x) 3583055,68; (y) 5993791,12; (z) 50,41

Deutung: ?

Aufsicht: Etwa kreisrunde, humose Verfärbung (Dm. 0,19 m).

Anschnitt: Nicht geschnitten.

Funde: Keine.

Befundnummer 56 und 57 nicht vergeben.

Befund 58 - Südwestsektor - Mittelpunkt: (x) 3583057,37; (y) 5993791,84; (z) 50,55

Deutung: Grab (Körpergrab).

Aufsicht: Eine von West nach Ost ausgerichtete, vor allem im Nordwesten gestörte Packung (ca. 2,7 × 1 m) aus faust- bis kopfgroßen Steinen; im Profilsteg-Süd endend; ab Planum 5 ein Steinrahmen mit einer freien Innenfläche von ca. 2,2 × 0,4 m (Sohle weitgehend steinfrei); Zahnreste im Westen vor der nördlichen Längswand; im Sohlenbereich mehrere Beigaben: vor der südlichen Längswand etwa in der Mitte ein kleines Beigefäß - gegenüber vor der nördlichen Längswand mehrere Bronzefragmente sowie eine sichelförmige Bernsteinperle.

Anschnitt: Nicht geschnitten (nur der östliche Randbereich im Ostprofil des Südwestsektors).

Funde: Bronze (FNR. 163); Bernstein (FNR. 161); Keramik (FNR. 105, 160, 119); Zahnreste (FNR. 167, 164); Holz(?) (FNR. 135, 138); Bodenprobe (FNR. 124, 133-134).

Tafel: 158-163.

Befund 59 - Südwestsektor - Mittelpunkt: (x) 3583056,51; (y) 5993790,04; (z) 50,44

Deutung: ?

Aufsicht: Unregelmäßige, humose Verfärbung (ca. 2,6 × 1,2 m); im Norden bis zur südlichen Langseite von Befund 58.

Anschnitt: Im Anschnitt keine klare Kontur.

Funde: Keine.

Befund 60 - Südwestsektor - Mittelpunkt: (x) 3583054,34; (y) 5993791,81; (z) 50,40

Deutung: Steinstandspur(?).

Aufsicht: Ovale, humose Verfärbung (0,14 × 0,19 m).

Anschnitt: Im Anschnitt keine klare Kontur.

Funde: Keine.

Befund 61 - Südwestsektor - Mittelpunkt: (x) 3583043,87; (y) 5993794,00; (z) 49,71

Deutung: Pfostengrube?

Aufsicht: Unregelmäßig ovale, humose Verfärbung (0,47 × 0,60 m).

Anschnitt: Im Anschnitt eine 0,6 m lange, zylindrische - steiltrichterförmige Eintiefung (Resttiefe: 0,23 m) mit etwa eben verlaufender Sohle; Füllung aus braungrauem Sand.

Funde: Bodenprobe (FNR. 152).

Tafel: 154.

Befund 62 - Südwestsektor - Mittelpunkt: (x) 3583043,17; (y) 5993787,42; (z) 49,92

Deutung: Grab (Urne) [¹⁴C-datiert].

Aufsicht: Kreisrundes Pflaster (Dm. 0,57 m; auf der Sohle Dm. 0,4 m) aus faust- bis doppelfaustgroßen Steinen.

Anschnitt: Im Anschnitt eine 0,68 m lange, steiltrichterförmige Eintiefung (Resttiefe: 0,5 m) mit etwa eben verlaufender Sohle; Füllung aus braungrauem Sand; darin innerhalb einer geschlossenen Packung aus faust- bis doppelfaustgroßen Steinen eine zerdrückte Urne.

Funde: Keramik (FNR. 85-149), kalzinierte Knochen (FNR. 94-98).

Tafel: 176-178.

Befundnummer 63 nicht vergeben.

Befund 64 - Südwestsektor - Mittelpunkt: (x) 3583049,30; (y) 5993792,75; (z) 49,74

Deutung: ?

Aufsicht: Kreisrunde, humose Verfärbung (Dm. 0,21 m).

Anschnitt: Im Anschnitt der Rest einer 0,23 m langen Eintiefung (Resttiefe: 0,08 m) mit etwa muldenförmig verlaufender Sohle; Füllung aus braungrauem Sand.

Funde: Keine.

Befund 65 - Südwestsektor - Mittelpunkt: (x) 3583050,75; (y) 5993790,86; (z) 49,74

Deutung: Pfostengrube?

Aufsicht: Ovale, humose Verfärbung (0,26 × 0,21 m).

Anschnitt: Im Anschnitt eine 0,19 m lange, etwa zylindrische Eintiefung (Resttiefe: 0,22 m) mit durch einen Tiergang gestörter, vermutlich ursprünglich muldenförmig verlaufender Sohle; Füllung aus braungrauem Sand.

Funde: Bodenprobe (FNR. 146).

Tafel: 154.

Befund 66 - Südwestsektor - Mittelpunkt: (x) 3583048,26; (y) 5993787,79; (z) 49,73

Deutung: ?

Aufsicht: Langovale, humose Verfärbung (1 × 0,33 m); in der Mitte ein kopfgroßer Stein.

Anschnitt: Nicht geschnitten.

Funde: Keine.

Befund 67 - Südwestsektor - Mittelpunkt: (x) 3583047,06; (y) 5993789,40; (z) 49,80

Deutung: ?

Aufsicht: Etwa kreisrunde, humose Verfärbung (Dm. 0,3 m).

Anschnitt: Nicht geschnitten.

Funde: Keine.

Befund 68 - Südwestsektor - Mittelpunkt: (x) 3583046,56; (y) 5993789,74; (z) 49,80

Deutung: ?

Aufsicht: Ovale, humose Verfärbung (0,34 × 0,23 m).

Anschnitt: Nicht geschnitten.

Funde: Keine.

Befund 69 - Südwestsektor - Mittelpunkt: (x) 3583047,15; (y) 5993790,51; (z) 49,80

Deutung: ?

Aufsicht: Etwa quadratische, humose Verfärbung (Dm. 0,23 m).

Anschnitt: Nicht geschnitten.

Funde: Keine.

Befund 70 - Südwestsektor - Mittelpunkt: (x) 3583046,85; (y) 5993794,81; (z) 49,75

Deutung: ?

Aufsicht: Ovale, humose Verfärbung (0,23 × 0,2 m).

Anschnitt: Nicht geschnitten.

Funde: Keine.

Befund 71 - Südwestsektor - Mittelpunkt: (x) 3583046,90; (y) 5993794,49; (z) 49,71

Deutung: ?

Aufsicht: Ovale, humose Verfärbung (0,26 × 0,17 m).

Anschnitt: Nicht geschnitten.

Funde: Keine.

Befund 72 - Südwestsektor - Mittelpunkt: (x) 3583042,36; (y) 5993794,91; (z) 49,67

Deutung: ?

Aufsicht: Etwa kreisrunde, humose Verfärbung (Dm. 0,33 m).

Anschnitt: Nicht geschnitten.

Funde: Keine.

Befund 73 - Südwestsektor - Mittelpunkt: (x) 3583050,39; (y) 5993793,85; (z) 49,77

Deutung: Pfostengrube?

Aufsicht: Ovale, humose Verfärbung (0,3 × 0,22 m).

Anschnitt: Im Anschnitt eine 0,2 m lange, etwa zylindrische Eintiefung (Resttiefe: ca. 0,36 m) mit unklarem Sohlenverlauf; Füllung aus grauem, gering kohlehaltigem, leicht lehmigem Sand.

Funde: Bodenprobe (FNR. 149).

Tafel: 154.

Befund 74 - Südostsektor - Mittelpunkt: (x) 3583062,60; (y) 5993790,50; (z) 50,57

Deutung: ?

Aufsicht: Ovale, humose Verfärbung (0,3 × 0,24 m).

Anschnitt: Nicht geschnitten.

Funde: Keine.

Befund 75 - Nordostsektor - Mittelpunkt: (x) 3583065,31; (y) 5993798,10; (z) 50,21

Deutung: Grab (Urne) [¹⁴C-datiert].

Aufsicht: Etwa ovale Konzentration (0,6 × 0,55 m) faust- bis doppelfaustgroßer Steine; in Planum 2 eine etwa kreisrunde Konzentration (Dm. 0,55 m) mit einzelnen Keramikscherben.

Anschnitt: Im Anschnitt eine 0,4 m breite Rollsteinpackung (Resttiefe: 0,4 m); darin eine Urne auf mehreren Rollsteinen von

einer in das Gefäß gedrückten Deckschale bedeckt; Grabgrube nicht erkennbar.

Funde: Bronze (FNR. 40); Keramik (FNR. 117, 132, 134); Stein (Seeigel; FNR. 133); kalzinierte Knochen (FNR. 193).

Tafel: 179-181.

Befund 76 - Nordostsektor - Mittelpunkt: (x) 3583064,69; (y) 5993798,32; (z) 50,20

Deutung: Grab (Urne) [¹⁴C-datiert].

Aufsicht: Etwa ovale Konzentration (0,53 × 0,38 m) faust- bis doppelfaustgroßer Steine.

Anschnitt: Im Anschnitt eine ca. 0,35 m breite, im oberen Bereich gestörte Setzung (Resttiefe: 0,3 m) aus Roll- u. Kantsteinen sowie Spaltplatten; Urne auf Standplatte; Grabgrube nicht erkennbar.

Funde: Keramik (FNR. 131); kalzinierte Knochen (FNR. 179).

Tafel: 179, 182.

Befund 77 - Nordostsektor - Mittelpunkt: (x) 3583065,44; (y) 5993798,77; (z) 50,27

Deutung: Grab (Urne).

Aufsicht: Etwa ovale Konzentration (0,6 × 0,4 m) faust- bis doppelfaustgroßer Steine.

Anschnitt: Im Anschnitt eine Urne in einer 0,5 m breiten, geschlossenen Packung (Resttiefe: 0,41 m) aus faust- bis doppelfaustgroßen Rollsteinen; Urne auf mehreren Roll- u. Kantsteinen; Urne mit einer stehenden Deckschale abgedeckt; darüber zwei Deckplatten; Grabgrube nicht erkennbar.

Funde: Keramik (FNR. 155, 153-154); kalzinierte Knochen (FNR. 173).

Tafel: 179, 183-185.

Befund 78 - Nordostsektor - Mittelpunkt: (x) 3583064,77; (y) 5993799,34; (z) 50,15

Deutung: Grab (Urne).

Aufsicht: Etwa kreisrunde Konzentration (Dm. 0,45 m) faust- bis doppelfaustgroßer Steine.

Anschnitt: Im Anschnitt eine Urne in einer 0,4 m breiten, geschlossenen Setzung (Resttiefe: 0,36 m) aus Spaltstücken; Urne auf Bodenplatte.

Funde: Keine.

Ergänzung Funde: Bronzespiralring (FNR.38); Deckschale (FNR. 151); Urne (FNR. 150 + FNR. 151).

Tafel: 179, 186-188.

Befund 79 - Nordostsektor - Mittelpunkt: (x) 3583063,99; (y) 5993798,99; (z) 50,18

Deutung: Grab (Urne) [¹⁴C-datiert].

Aufsicht: Etwa ovale Konzentration (0,65 × 0,52 m) faust- bis doppelfaustgroßer Steine.

Anschnitt: Im Anschnitt eine 0,48 m breite, geschlossene Packung (Resttiefe: 0,5 m) aus Rollsteinen und Spaltstücken; Urne innerhalb einer Setzung aus Spaltstücken (auf einer Bodenplatte u. von einer Deckplatte abgedeckt); auf der Deckplatte eine

Packung aus Rollsteinen; Urne mit besonderer Verzierung und alt geklebt (Birkenpech?); Grabgrube nicht erkennbar.

Funde: Keramik (FNR. 41); kalzinierte Knochen (FNR. 191).

Tafel: 179, 190.

Befund 80 - Nordostsektor - Mittelpunkt: (x) 3583063,90; (y) 5993799,88; (z) 50,10

Deutung: Grab (Urne) [¹⁴C-datiert].

Aufsicht: Stärker gestörte Konzentration (0,6 × 0,45 m) faust- bis doppelfaustgroßer Steine.

Anschnitt: Im Anschnitt der Rest einer 0,35 m breiten, im oberen Bereich stark gestörten Rollsteinpackung (Resttiefe: 0,16 m); darin eine Urne; Grabgrube nicht erkennbar.

Funde: Keramik (FNR. 140, 156, 142); kalzinierte Knochen (FNR. 180).

Tafel: 179, 191-193.

Befund 81 - Nordostsektor - Mittelpunkt: (x) 3583062,89; (y) 5993799,58; (z) 50,13

Deutung: Grab (Urne) [¹⁴C-datiert].

Aufsicht: Etwa ovale Konzentration (0,52 × 0,47 m) faust- bis doppelfaustgroßer Steine.

Anschnitt: Im Anschnitt eine 0,54 m breite, im oberen Bereich gestörte Rollsteinpackung (Resttiefe: 0,35 m); darin Urne auf mehreren Bodensteinen;

Funde: Bronze (FNR. 37); Keramik (FNR. 125, 126, 129); kalzinierte Knochen (FNR. 176).

Tafel: 179, 194.

Befund 82 - Nordostsektor - Mittelpunkt: (x) 3583063,06; (y) 5993801,22; (z) 49,94

Deutung: Pfostengrube (modern).

Aufsicht: Ovale, humose Verfärbung (0,32 × 0,22 m).

Anschnitt: Im Anschnitt eine moderne Pfostengrube mit scharfer Kontur und erhaltenen Holzresten.

Funde: Keine.

Befund 83 - Nordostsektor - Mittelpunkt: (x) 3583062,25; (y) 5993802,65; (z) 49,81

Deutung: ?

Aufsicht: Etwa kreisrunde, humose Verfärbung (Dm. 0,36 m).

Anschnitt: Im Anschnitt keine klare Kontur.

Funde: Keine.

Befund 84 - Nordostsektor - Mittelpunkt: (x) 3583062,06; (y) 5993803,00; (z) 49,79

Deutung: ?

Aufsicht: Ovale, humose Verfärbung (0,34 × 0,24 m).

Anschnitt: Im Anschnitt keine klare Kontur.

Funde: Keine.

Befund 85 - Nordostsektor - Mittelpunkt: (x) 3583062,13; (y) 5993804,81; (z) 49,61

Deutung: Tiergang?

Aufsicht: Etwa schmalsichelförmige, humose Verfärbung (1,8 × 0,38 m).

Anschnitt: Im Anschnitt vermutlich nur ein Tiergang.

Funde: Keine.

Befund 86 - Nordostsektor - Mittelpunkt: (x) 3583062,60; (y) 5993806,08; (z) 49,49

Deutung: Pfostengrube.

Aufsicht: Etwa ovale, humose Verfärbung (0,37 × 0,27 m).

Anschnitt: Im Anschnitt eine 0,34 m lange, etwa zylindrische Eintiefung (Resttiefe: 0,32 m) mit eben verlaufender Sohle; Füllung aus hellbraungrauem Sand mit hellen und graubraunen Flecken.

Funde: Keine.

Tafel: 154.

Befund 87 - Nordostsektor - Mittelpunkt: (x) 3583063,74; (y) 5993806,45; (z) 49,49

Deutung: ?

Aufsicht: Etwa ovale, humose Verfärbung (0,43 × 0,29 m).

Anschnitt: Im Anschnitt keine klare Kontur.

Funde: Keine.

Befund 88 - Nordostsektor - Mittelpunkt: (x) 3583065,77; (y) 5993806,16; (z) 49,53

Deutung: ?

Aufsicht: Unregelmäßig ovale, humose Verfärbung (0,42 × 0,29 m).

Anschnitt: Im Anschnitt der Rest einer 0,5 m langen Eintiefung (Resttiefe: 0,14 m) mit unregelmäßig verlaufender Sohle; Füllung aus braungrauem Sand.

Funde: Keine.

Befund 89 - Nordostsektor - Mittelpunkt: (x) 3583066,17; (y) 5993807,23; (z) 49,84

Deutung: Pfostengrube?

Aufsicht: Unregelmäßige, humose Verfärbung (0,4 × 0,23 m).

Anschnitt: Im Anschnitt eine 0,25 m lange, etwa zylindrische Eintiefung (Resttiefe: 0,17 m) mit etwa muldenförmig verlaufender Sohle; Füllung aus braungrauem Sand.

Funde: Keine.

Tafel: 154.

Befund 90 - Nordostsektor - Mittelpunkt: (x) 3583067,12; (y) 5993804,02; (z) 49,62

Deutung: Baumwurfgrube.

Aufsicht: Unregelmäßig sichelförmige, humose Verfärbung (2,5 × 1,9 m).

Anschnitt: Im Anschnitt eine 2,5 m lange, trichterförmige Eintiefung (Resttiefe: 0,42 m) mit unregelmäßig verlaufender Sohle; Füllung aus braungrauem, z.T. kohlehaltigem Sand.

Funde: Keine.

Befund 91 - Nordostsektor - Mittelpunkt: (x) 3583065,31; (y) 5993803,75; (z) 49,73

Deutung: Grube.

Aufsicht: Langovale, humose Verfärbung (0,8 × 0,27 m).

Anschnitt: Im Anschnitt eine 0,81 m lange, steiltrichterförmige Eintiefung (Resttiefe: 0,24 m) mit ebener bis schräg verlaufender Sohle (Konturen verwaschen); Füllung aus dunkelbraungrauem - braungrauem, z.T. kohlehaltigem Sand.

Funde: Bodenprobe (FNR. 147).

Tafel: 150.

Befund 92 - Nordostsektor - Mittelpunkt: (x) 3583064,64; (y) 5993802,85; (z) 49,82

Deutung: ?

Aufsicht: Abgerundet, etwa dreieckige, humose Verfärbung (0,3 × 0,25 m).

Anschnitt: Im Anschnitt keine klare Kontur.

Funde: Keine.

Befund 93 - Nordostsektor - Mittelpunkt: (x) 3583066,55; (y) 5993800,74; (z) 49,82

Deutung: ?

Aufsicht: Etwa kreisrunde, humose Verfärbung (Dm. 0,3 m).

Anschnitt: Im Anschnitt keine klare Kontur.

Funde: Keine.

Befund 94 - Nordostsektor - Mittelpunkt: (x) 3583064,58; (y) 5993800,52; (z) 49,88

Deutung: ?

Aufsicht: Etwa ovale, humose Verfärbung (0,32 × 0,25 m).

Anschnitt: Nicht geschnitten.

Funde: Keine.

Befund 95 - Nordostsektor - Mittelpunkt: (x) 3583069,34; (y) 5993802,87; (z) 49,73

Deutung: ?

Aufsicht: Ovale, humose Verfärbung (0,52 × 0,37 m).

Anschnitt: Nicht geschnitten.

Funde: Keine.

Befund 96 - Nordostsektor - Mittelpunkt: (x) 3583070,29; (y) 5993804,55; (z) 49,58

Deutung: Steinstandspur?

Aufsicht: Ovale, humose Verfärbung (0,34 × 0,17 m).

Anschnitt: Im Anschnitt der Rest einer, braungrauen Füllung (Resttiefe: 0,1 m).

Funde: Keine.

Befund 97 - Nordostsektor - Mittelpunkt: (x) 3583070,19; (y) 5993806,84; (z) 49,50

Deutung: Steinstandspur?

Aufsicht: Ovale, humose Verfärbung (0,48 × 0,42 m).

Anschnitt: Im Anschnitt der Rest einer 0,5 m langen Eintiefung (Resttiefe: 0,09 m) mit etwa muldenförmig verlaufender Sohle; Füllung aus braungrauem, humosem Sand.

Funde: Keine.

Befund 98 - Nordostsektor - Mittelpunkt: (x) 3583069,33; (y) 5993804,39; (z) 49,62

Deutung: Steinstandspur?

Aufsicht: Etwa kreisrunde, humose Verfärbung (Dm. 0,22 m).

Anschnitt: Im Anschnitt der Rest einer, braungrauen Füllung (Resttiefe: 0,08 m).

Funde: Keine.

Befund 99 - Nordostsektor - Mittelpunkt: (x) 3583073,39; (y) 5993807,00; (z) 49,41

Deutung: Steinstandspur?

Aufsicht: Ovale, humose Verfärbung (0,3 × 0,22 m).

Anschnitt: Im Anschnitt der Rest einer, braungrauen Füllung (Resttiefe: 0,04 m).

Funde: Keine.

Befund 100 - Nordostsektor - Mittelpunkt: (x) 3583073,43; (y) 5993809,25; (z) 49,27

Deutung: Pfofengrube?

Aufsicht: Unregelmäßige, humose Verfärbung (0,3 × 0,27 m).

Anschnitt: Im Anschnitt eine 0,29 m lange, unregelmäßig steiltrichterförmige Eintiefung (Resttiefe: 0,18 m) mit etwa eben verlaufender Sohle; Füllung aus braungrauem Sand.

Funde: Keine.

Tafel: 155.

Befund 101 - Nordostsektor - Mittelpunkt: (x) 3583075,61; (y) 5993804,51; (z) 49,56

Deutung: Steinstandspur?

Aufsicht: Etwa ovale, humose Verfärbung (0,35 × 0,24 m).

Anschnitt: Im Anschnitt der Rest einer braungrauen Füllung (Resttiefe: 0,05 m).

Funde: Keine.

Befund 102 - Nordostsektor - Mittelpunkt: (x) 3583075,50; (y) 5993809,53; (z) 49,27

Deutung: Grube?

Aufsicht: Unregelmäßige, humose Verfärbung (1,25 × 1,17 m).

Anschnitt: Im Anschnitt eine 1,32 m lange, trichterförmige Eintiefung (Resttiefe: 0,34 m) mit etwa muldenförmig verlaufender Sohle; Füllung aus graubraunem Sand (in der Mitte etwas dunkler).

Funde: Keine.

Tafel: 150.

Befund 103 - Nordostsektor - Mittelpunkt: (x) 3583068,92; (y) 5993808,88; (z) 49,28

Deutung: ?

Aufsicht: Abgerundet quadratische, humose Verfärbung (Dm. 0,32 m).

Anschnitt: Im Anschnitt der Rest einer 0,34 m langen Eintiefung (Resttiefe: 0,2 m) mit unregelmäßig verlaufender Sohle; Füllung aus grauem Sand.

Funde: Keine.

Befund 104 - Südwestsektor - Mittelpunkt: (x) 3583056,18; (y) 5993790,42; (z) 50,19

Deutung: ?

Aufsicht: Kreisrunde, humose Verfärbung (Dm. 0,19 m).

Anschnitt: Im Anschnitt der Rest einer braungrauen Füllung (Resttiefe: 0,03 m).

Funde: Keine.

Befund 105 - Südwestsektor - Mittelpunkt: (x) 3583053,60; (y) 5993788,92; (z) 50,00

Deutung: Pfofengrube?

Aufsicht: Etwa kreisrunde, humose Verfärbung (Dm. 0,28 m).

Anschnitt: Im Anschnitt eine 0,23 m lange, etwa steiltrichterförmige Eintiefung (Resttiefe: 0,42 m) mit leicht abgewinkelter Sohlenbereich; Füllung aus dunkelbraungrauem, gering kohlehaltigem Sand.

Funde: Keramik (FNR. 165); Bodenprobe (FNR. 164).

Tafel: 155.

Befund 106 - Südwestsektor - Mittelpunkt: (x) 3583054,26; (y) 5993786,21; (z) 49,88

Deutung: Grube?

Aufsicht: Langovale, humose Verfärbung (1,65 × 0,38 m).

Anschnitt: Im Anschnitt eine 1,14 m lange, trichter- bis steiltrichterförmige Eintiefung (Resttiefe: 0,23 m) mit muldenförmig verlaufender Sohle; Füllung aus braungrauem Sand.

Funde: Bodenprobe (FNR. 163).

Tafel: 150.

Befund 107 - Südwestsektor - Mittelpunkt: (x) 3583056,82; (y) 5993786,88; (z) 50,00

Deutung: ?

Aufsicht: Ovale, humose Verfärbung (0,29 × 0,17 m).

Anschnitt: Im Anschnitt der Rest einer braungrauen Füllung (Resttiefe: 0,03 m).

Funde: Keine.

Befund 108 - Südwestsektor - Mittelpunkt: (x) 3583056,20; (y) 5993785,91; (z) 49,99

Deutung: Pfofengrube?

Aufsicht: Etwa ovale, humose Verfärbung (0,3 × 0,23 m).

Anschnitt: Im Anschnitt eine Eintiefung unbekannter Tiefe und Breite (Profil vor der Dokumentation eingestürzt).

Funde: Keine.

Befund 109 - Südwestsektor - Mittelpunkt: (x) 3583055,19; (y) 5993784,21; (z) 49,62

Deutung: ?

Aufsicht: Schwach ovale, humose Verfärbung (0,22 × 0,26 m).

Anschnitt: Im Anschnitt der Rest einer 0,2 m langen Eintiefung (Resttiefe: 0,09 m) mit etwa muldenförmig verlaufender Sohle (Kontur verwaschen); Füllung aus braungrauem, kohlehaltigem Sand.

Funde: Bodenprobe (FNR. 161).

Befund 110 - Südwestsektor - Mittelpunkt: (x) 3583055,01; (y) 5993783,98; (z) 49,62

Deutung: ?

Aufsicht: Etwa kreisrunde, humose Verfärbung (Dm. 0,24 m).

Anschnitt: Im Anschnitt der Rest einer 0,22 m langen Eintiefung (Resttiefe: 0,1 m) mit etwa muldenförmig verlaufender Sohle (Kontur verwaschen); Füllung aus braungrauem, kohlehaltigem Sand.

Funde: Bodenprobe (FNR. 160).

Befund 111 - Südostsektor, Profilsteg-Süd - Mittelpunkt: (x) 3583060,00; (y) 5993792,00; (z) 50,10

Deutung: Steinkonzentration (ehemalige zerstörte Grabanlage?).

Aufsicht: Konzentration (1,4 x >0,5 m) faust- bis kopfgroßer Steine in der Nordwestecke des Südostsektors; vermutlich zu Befund 58.

Anschnitt: Lockere Konzentration faust- bis kopfgroßer Steine (Rest einer Pflasterung?).

Funde: Keine.

Befund 112 - Südostsektor - Mittelpunkt: (x) 3583060,91; (y) 5993790,92; (z) 50,06

Deutung: Grube?

Aufsicht: Ovale, humose Verfärbung (0,37 × 0,3 m).

Anschnitt: Im Anschnitt eine 0,49 m lange, etwa steiltrichterförmige Eintiefung (Resttiefe: 0,26 m) mit etwa spitz zulaufender Sohle (Kontur verwaschen); Füllung aus gelbgraubraunem Sand.

Funde: Bodenprobe (FNR. 156).

Tafel: 151.

Befund 113 - Südostsektor - Mittelpunkt: (x) 3583063,82; (y) 5993791,05; (z) 50,04

Deutung: Grube?

Aufsicht: Etwa ovale, humose Verfärbung (0,65 × 0,55 m).

Anschnitt: Im Anschnitt eine 0,72 m lange, etwa steiltrichterförmige Eintiefung (Resttiefe: 0,25 m) mit eben verlaufender Sohle (Kontur verwaschen); Füllung aus gelbgraubraunem Sand.

Funde: Bodenprobe (FNR. 157).

Tafel: 151.

Befund 114 - Südostsektor - Mittelpunkt: (x) 3583063,24; (y) 5993787,68; (z) 49,99

Deutung: ?

Aufsicht: Etwa kreisrunde, humose Verfärbung (Dm. 0,25 m).

Anschnitt: Im Anschnitt der Rest einer 0,21 m langen Eintiefung (Resttiefe: 0,06 m) mit etwa eben verlaufender Sohle (Kontur verwaschen); Füllung aus braungrauem Sand.

Funde: Bodenprobe (FNR. 159).

Befund 115 - Südostsektor - Mittelpunkt: (x) 3583060,36; (y) 5993785,56; (z) 49,96

Deutung: Grube?

Aufsicht: Unregelmäßig langgestreckte, humose Verfärbung (1 × 0,45 m).

Anschnitt: Im Anschnitt eine 0,86 m lange, steiltrichterförmige Eintiefung (Resttiefe: 0,15 m) mit etwa eben verlaufender Sohle; Füllung aus braungrauem Sand.

Funde: Bodenprobe (FNR. 162).

Tafel: 151.

Befund 116 - Südostsektor - Mittelpunkt: (x) 3583065,45; (y) 5993783,63; (z) 49,86

Deutung: Pfostrube?

Aufsicht: Ovale, humose Verfärbung (0,52 × 0,41 m).

Anschnitt: Im Anschnitt eine 0,55 m lange, zylindrische Eintiefung mit etwa muldenförmig verlaufender Sohle; Füllung aus dunkelbraungrauem, kohlehaltigem Sand.

Funde: Bodenprobe (FNR. 183).

Tafel: 155.

Befund 117 - Südostsektor - Mittelpunkt: (x) 3583069,11; (y) 5993787,92; (z) 49,76

Deutung: ?

Aufsicht: Kreisrunde, humose Verfärbung (Dm. 0,48 m).

Anschnitt: Im Anschnitt keine klare Kontur.

Funde: Keine.

Befund 118 - Südostsektor - Mittelpunkt: (x) 3583071,54; (y) 5993790,57; (z) 49,71

Deutung: ?

Aufsicht: Langovale, humose Verfärbung (0,55 × 0,33 m).

Anschnitt: Im Anschnitt keine klare Kontur.

Funde: Keine.

Befund 119 - Südostsektor - Mittelpunkt: (x) 3583070,10; (y) 5993784,43; (z) 49,67

Deutung: ?

Aufsicht: Kreisrunde, humose Verfärbung (Dm. 0,3 m).

Anschnitt: Im Anschnitt eine 0,32 m lange, etwa steiltrichterförmige Eintiefung (Resttiefe: 0,24 m) mit spitz muldenförmig verlaufender Sohle; Füllung aus braungrauem, kohlehaltigem Sand.

Funde: Bodenprobe (FNR. 185).

Befund 120 - Südostsektor - Mittelpunkt: (x) 3583072,01; (y) 5993784,51; (z) 49,64

Deutung: Grube?

Aufsicht: Langgestreckte, humose Verfärbung (0,5 × 0,27 m), die bis zur südlichen Grabungsgrenze erfasst worden ist.

Anschnitt: Im Anschnitt eine 0,42 m lange, steiltrichterförmige Eintiefung (Resttiefe: 0,14 m) muldenförmig verlaufender Sohle; Füllung aus braungrauem, gering kohlehaltigem Sand.

Funde: Bodenprobe (FNR. 186).

Tafel: 152.

Befund 121 - Nordostsektor - Mittelpunkt: (x) 3583067,55; (y) 5993794,23; (z) 49,84

Deutung: ?

Aufsicht: Lang gestreckte, humose Verfärbung (0,8 × 0,18 m).

Anschnitt: Im Anschnitt keine klare Kontur.

Funde: Keine.

Befund 122 - Nordostsektor - Mittelpunkt: (x) 3583069,13; (y) 5993795,74; (z) 49,83

Deutung: ?

Aufsicht: Ovale, humose Verfärbung (0,42 × 0,21 m).

Anschnitt: Im Anschnitt keine klare Kontur.

Funde: Keine.

Befund 123 - Nordostsektor - Mittelpunkt: (x) 3583068,19; (y) 5993797,78; (z) 49,90

Deutung: ?

Aufsicht: Ovale, humose Verfärbung (0,68 × 0,58 m).

Anschnitt: Im Anschnitt keine klare Kontur.

Funde: Keine.

Befund 124 - Nordostsektor - Mittelpunkt: (x) 3583068,24; (y) 5993799,79; (z) 49,88

Deutung: Steinstandspur?

Aufsicht: Ovale, humose Verfärbung (0,52 × 0,4 m).

Anschnitt: Im Anschnitt eine 0,45 m lange, trichter- bis steiltrichterförmige Eintiefung (Resttiefe: 0,18 m) mit eben verlaufender Sohle; Füllung aus braungrauem, schwach kohlehaltigem Sand.

Funde: Bodenprobe (FNR. 187).

Befund 125 - Nordostsektor - Mittelpunkt: (x) 3583068,91; (y) 5993799,38; (z) 49,86

Deutung: ?

Aufsicht: Ovale, humose Verfärbung (0,3 × 0,2 m).

Anschnitt: Im Anschnitt keine klare Kontur.

Funde: Keine.

Befund 126 - Nordostsektor - Mittelpunkt: (x) 3583070,14; (y) 5993799,48; (z) 49,79

Deutung: ?

Aufsicht: Etwa kreisrunde, humose Verfärbung (Dm. 0,26 m).

Anschnitt: Im Anschnitt keine klare Kontur.

Funde: Keine.

Befund 127 - Nordostsektor - Mittelpunkt: (x) 3583072,38; (y) 5993801,52; (z) 49,72

Deutung: Grab (Urne?) [¹⁴C-datiert].

Aufsicht: Etwa schlüssellochförmige Verfärbung (0,7 × 0,32-0,46 m) mit einigen faust- bis doppelfaustgroßen Steinen im östlichen Teil.

Anschnitt: Nicht geschnitten.

Funde: Keramik (FNR. 127, 128); kalzinierte Knochen (FNR. 143).

Tafel: 195.

Befund 128 - Nordostsektor - Mittelpunkt: (x) 3583073,85; (y) 5993800,76; (z) 49,65

Deutung: ?

Aufsicht: Ovale, humose Verfärbung (0,42 × 0,34 m).

Anschnitt: Im Anschnitt keine klare Kontur.

Funde: Keine.

Befund 129 - Nordostsektor - Mittelpunkt: (x) 3583076,20; (y) 5993800,14; (z) 49,67

Deutung: Kochsteingrube.

Aufsicht: Unregelmäßig ovale, humose Verfärbung (0,93 × 0,86 m) mit vielen faust- bis doppelfaustgroßen Steinen.

Anschnitt: Im Anschnitt eine 0,73 m lange, etwa steiltrichterförmige Eintiefung (Resttiefe: 0,34 m) mit etwa eben verlaufender Sohle; Füllung aus braungrauem, kohlehaltigem Sand und vielen mürben Steinen.

Funde: Bodenprobe (FNR. 182).

Tafel: 153.

Befund 130 - Nordostsektor - Mittelpunkt: (x) 3583071,41; (y) 5993796,65; (z) 49,86

Deutung: Grab (Urne?) [¹⁴C-datiert].

Aufsicht: Etwa ovale, schwach humose Verfärbung (Kontur verwaschen; 1 × 0,83 m) mit einer etwa ovalen Konzentration (0,45 × 0,25 m) faust- bis doppelfaustgroßer Steine in der Mitte.

Anschnitt: Im Anschnitt der Rest eines einlagigen Steinpflasters (vermutlich Bodensteine eines Urnengrabes).

Funde: Keramik (FNR. 141); kalzinierte Knochen (FNR. 145, 171).

Befund 131 - Nordostsektor - Mittelpunkt: (x) 3583070,05; (y) 5993794,09; (z) 49,77

Deutung: Grube?

Aufsicht: Ovale, humose Verfärbung (0,44 × 0,28 m).

Anschnitt: Im Anschnitt eine 0,62 m lange, schräg verlaufende Eintiefung (Resttiefe: 0,52 m) mit muldenförmig verlaufender Sohle (Kontur verwaschen); Füllung aus dunkelbraungrauem - braungrauem, gering kohlehaltigem, leicht lehmigem Sand; darunter hellbraungrauer, leicht lehmiger Sand.

Funde: Bodenprobe (FNR. 169).

Tafel: 152.

Befund 132 - Nordostsektor - Mittelpunkt: (x) 3583071,86; (y) 5993794,36; (z) 49,48

Deutung: ?

Aufsicht: Ovale, humose Verfärbung (0,36 × 0,23 m).

Anschnitt: Im Anschnitt keine klare Kontur.

Funde: Keine.

Befund 133 - Nordostsektor - Mittelpunkt: (x) 3583072,60; (y) 5993793,85; (z) 49,73

Deutung: Pfostengrube?

Aufsicht: Ovale, humose Verfärbung (0,4 × 0,28 m).

Anschnitt: Im Anschnitt eine 0,75 m lange, trichter- bis steiltrichterförmige Eintiefung (Resttiefe: 0,52 m) mit muldenförmig verlaufender Sohle; Füllung aus braungrauem, kohlehaltigem Sand.

Funde: Bodenprobe (FNR. 170).

Tafel: 155.

Befund 134 - Nordostsektor - Mittelpunkt: (x) 3583073,28; (y) 5993793,87; (z) 49,69

Deutung: ?

Aufsicht: Ovale, humose Verfärbung (0,5 × 0,43 m).

Anschnitt: Im Anschnitt eine 0,4 m lange, steiltrichterförmige Eintiefung mit schräg verlaufender Sohle; Füllung aus braungrauem, kohlehaltigem Sand.

Funde: Keine.

Befund 135 - Nordostsektor - Mittelpunkt: (x) 3583072,86; (y) 5993792,50; (z) 49,97

Deutung: Steinkonzentration (ehemaliges zerstörtes Urnengrab?).

Aufsicht: Vermutlich gestörte Konzentration (1,5 x >1,1 m) faust- bis kopfgroßer Steine bis zum Profilsteg-Ost; in Planum 2 >0,8 × 0,6 m.

Anschnitt: Nicht geschnitten.

Funde: Bodenprobe (FNR. 184).

Befund 136 - Nordostsektor - Mittelpunkt: (x) 3583072,87; (y) 5993795,33; (z) 49,74

Deutung: ?

Aufsicht: Etwa langovale, humose Verfärbung (0,55 × 0,3 m).

Anschnitt: Im Anschnitt keine klare Kontur.

Funde: Keine.

Befund 137 - Profilsteg-West.

Deutung: Pfostengrube?

Aufsicht: Nicht erfasst.

Anschnitt: Im Anschnitt eine ca. 0,4 m lange, steiltrichterförmige Eintiefung (Resttiefe: 0,41 m) mit muldenförmig verlaufender Sohle.

Funde: Keine.

Befund 138 - Südostsektor - Mittelpunkt: (x) 3583063,82; (y) 5993786,86; (z) 49,97

Deutung: Pfostengrube?

Aufsicht: Etwa kreisrunde, humose Verfärbung (Dm. 0,34 m).

Anschnitt: Im Anschnitt der Rest einer 0,34 m langen Eintiefung (Resttiefe: 0,1 m) mit etwa eben verlaufender Sohle; Füllung aus braungrauem, kohlehaltigem, kiesigem Sand.

Funde: Bodenprobe (FNR. 158).

Tafel: 156.

Befund 139 - Südwestsektor - Mittelpunkt: (x) 3583057,24; (y) 5993785,41; (z) 49,95

Deutung: Grube?

Aufsicht: Unregelmäßig langgestreckte, humose Verfärbung (0,8 × 0,36 m), die bis zum Profilsteg-Süd reichte.

Anschnitt: Im Anschnitt eine 0,67 m lange, trichterförmige Eintiefung (Resttiefe: 0,25 m) mit unregelmäßig verlaufender Sohle (Konturen zumeist verwaschen); Füllung im nordwestlichen Teil dunkelbraungrauem, teilweise stark kohlehaltigem, leicht lehmigem Sand u. im südöstlichen Teil aus rotbraungelbem, verziegeltem(?), leicht lehmigem Sand.

Funde: Erhitzter Flint (FNR. 157); kalzinierte Knochen (FNR. 167); Bodenprobe (FNR. 168, 188).

Tafel: 152.

Befund 140 - Profilsteg-Süd - Mittelpunkt: (x) 3583058,53; (y) 5993788,50; (z) 50,18

Deutung: Pfostengrube?

Aufsicht: Ovale, humose Verfärbung (0,28 × 0,2 m).

Anschnitt: Im Anschnitt eine 0,15 m lange, schräg verlaufende Eintiefung (Resttiefe: 0,43 m); Füllung aus braungrauem, kohlehaltigem Sand.

Funde: Keine.

Tafel: 156.

Befund 141 - Profilsteg-Nord - Mittelpunkt: (x) 3583060,25; (y) 5993797,77; (z) 50,09

Deutung: Pfostengrube.

Aufsicht: Kreisrunde, humose Verfärbung (Dm. 0,26 m).

Anschnitt: Im Anschnitt eine 0,24 m lange, steiltrichterförmige Eintiefung (Resttiefe: 0,17 m) mit muldenförmig verlaufender Sohle; Füllung aus braungrauem - grauem Sand.

Funde: Keine.

Tafel: 156.

LA 59

(Tafel 197-205)

Befund 1 - Nordwestsektor, Nordostsektor, Profilsteg Nord - Mittelpunkt: (x) 3583094,74; (y) 5993805,22; (z) 50,67

Deutung: Körpergrab.

Aufsicht: In der Aufsicht des ersten Planums ein von West nach Ost ausgerichteter, etwa abgerundet rechteckiger Rahmen aus doppelfaust- bis kopfgroßen Steinen, die im Osten schmaler war als im Westen (3,82 × 0,98-1,38 m); direkt unterhalb des modernen Pflughorizontes in der Westhälfte mehrere Standspuren entfernter Steine (ZNBL 13); in Planum 2 in der steinfreien Mitte erste schwarze Holzreste (vermutlich inkohltes Holz des Sarges) entlang der Randsteine; in Planum 3 umfangreiche schwarze Holzreste als dünne Lage auf den Steinen (Faserrichtung des Holzes in Längsrichtung der Steinsetzung); in Planum 4 auf der Sohle eine sehr lückenhafte Steinlage (keine enge Pflasterung).

Anschnitt: Im Ostprofil des Nordwestsektors (Querschnitt) eine 1,25 m breite, steiltrichterförmige Eintiefung (Resttiefe: 0,45 m) mit etwa muldenförmig verlaufender Sohle (Kontur stark verwaschen; Eintiefung allein anhand der Steine bestimmt); Füllung aus faust- bis kopfgroßen Rollsteinen (in der Hügelerschüttung); mittlerer Bereich steinfrei.

Funde: Keramik (FNR. 19); Verkohltes Material (FNR. 17, 24-40).

Tafel: 201-204. **Befund 2** - Nordwestsektor - Mittelpunkt: (x) 3583093,29; (y) 5993809,24; (z) 50,33

Deutung: ?

Aufsicht: In der Aufsicht eine etwa ovale, humose Verfärbung (0,52 × 0,42 m).

Anschnitt: Im Anschnitt ohne klare Konturen.

Funde: Keine.

Befund 3 - Nordwestsektor - Mittelpunkt: (x) 3583093,14; (y) 5993810,46; (z) 50,27

Deutung: ?

Aufsicht: In der Aufsicht eine unregelmäßig ovale, humose Verfärbung (0,57 × 0,29 m).

Anschnitt: Im Anschnitt ohne klare Konturen.

Funde: Keine.

Befund 4 - Nordwestsektor - Mittelpunkt: (x) 3583093,5; (y) 5993811,12; (z) 50,21

Deutung: ?

Aufsicht: In der Aufsicht eine etwa ovale, humose Verfärbung (0,3 × 0,19 m).

Anschnitt: Im Anschnitt ohne klare Konturen.

Funde: Keine.

Befund 5 - Nordwestsektor - Mittelpunkt: (x) 3583094,04; (y) 5993813,45; (z) 50

Deutung: Steinstandspur.

Aufsicht: In der Aufsicht eine schwach ovale, humose Verfärbung (0,25 × 0,19 m).

Anschnitt: Im Anschnitt der Rest einer muldenförmigen Eintiefung (Resttiefe: 0,08 m).

Funde: Keine.

Befund 6 - Nordwestsektor - Mittelpunkt: (x) 3583089,78; (y) 5993811,44; (z) 50,02

Deutung: Steinstandspur?

Aufsicht: In der Aufsicht eine unregelmäßige, humose Verfärbung (0,75 × 0,26-0,33 m).

Anschnitt: Im Anschnitt der Rest einer 0,6 m langen Eintiefung (Resttiefe: 0,11 m) mit etwa eben verlaufender Sohle (Kontur verwaschen); Füllung aus braungrauem Sand.

Funde: Keine.

Befund 7 - Nordwestsektor - Mittelpunkt: (x) 3583089,13; (y) 5993811,63; (z) 49,97

Deutung: Steinstandspur?

Aufsicht: In der Aufsicht eine etwa ovale, humose Verfärbung (0,42 × 0,35 m).

Anschnitt: Im Anschnitt der Rest einer humos verfüllten Eintiefung (Resttiefe: 0,07 m).

Funde: Keine.

Befund 8 - Nordwestsektor - Mittelpunkt: (x) 3583090,18; (y) 5993809,9; (z) 50,13

Deutung: Steinstandspur.

Aufsicht: In der Aufsicht eine etwa tropfenförmige, humose Verfärbung (0,6 × 0,27-0,11 m).

Anschnitt: Im Anschnitt eine 0,36 m lange, etwa steiltrichterförmige Eintiefung (Resttiefe: 0,12 m) mit muldenförmig verlaufender Sohle (Kontur verwaschen); Füllung aus braungrauem Sand.

Funde: Keine.

Befund 9 - Nordwestsektor - Mittelpunkt: (x) 3583090,41; (y) 5993809,1; (z) 50,2

Deutung: ?

Aufsicht: In der Aufsicht eine ovale, humose Verfärbung (0,55 × 0,44 m).

Anschnitt: Im Anschnitt eine 0,65 m lange, etwa trichterförmige Eintiefung (Resttiefe: 0,2 m) mit etwa eben verlaufender Sohle (verwaschene Kontur); Füllung aus hellbraungrauem Sand.

Funde: Keine.

Befund 10 - Nordwestsektor - Mittelpunkt: (x) 3583088,07; (y) 5993808,52; (z) 50,06

Deutung: Grube?

Aufsicht: In der Aufsicht eine ovale, humose Verfärbung (0,49 × 0,37 m); Befund 45 südlich angrenzend.

Anschnitt: Im Anschnitt eine 1,06 m lange, steiltrichterförmige Eintiefung (Resttiefe: 0,19 m) mit schwach muldenförmig verlaufender Sohle; Füllung aus braungrauem, humosem Sand.

Funde: Bodenprobe (FNR. 6).

Tafel: 197.

Befund 11 - Nordwestsektor - Mittelpunkt: (x) 3583086,82; (y) 5993808,16; (z) 49,96

Deutung: Grube?

Aufsicht: In der Aufsicht eine langgestreckte, humose Verfärbung mit einer Erweiterung im Norden (1,69 × 0,52-0,8 m).

Anschnitt: Im Anschnitt A-B (Querprofil durch die nördliche Erweiterung) eine 1,02 m breite, steiltrichterförmige - trichterförmige Eintiefung (Resttiefe: 0,58 m) mit etwa muldenförmig verlaufender Sohle; Füllung aus braungrauem Sand; im oberen Bereich in der Mitte dunkelbraungrauer, kohlehaltiger Sand; auf der Sohle etwa 9 cm vor dem Profil westlich eines etwa kopfgroßen Steines eine vollständig erhaltene Krugflasche auf der Seite liegend; im Anschnitt C-D eine nur im Süden erfasste, >1,16 m lange, trichterförmige Eintiefung (Resttiefe: >0,32 m); Füllung im südlichen Bereich aus dunkelbraungrauem Sand; im nördlichen Bereich (Erweiterung, s.o.) aus hellbraungrauem - grauem Sand (im Sohlenbereich dieser Schicht die Krugflasche - nicht im Profil).

Funde: Keramik (FNR. 4); Bodenprobe (FNR. 5, 11).

Tafel: 197.

Befund 12 - Nordwestsektor - Mittelpunkt: (x) 3583086,83; (y) 5993805,26; (z) 50,01

Deutung: Steinstandspur?

Aufsicht: In der Aufsicht eine etwa langovale, humose Verfärbung (1,4 × 0,3-0,73 m).

Anschnitt: Im Anschnitt der Rest einer humos verfüllten Eintiefung (Resttiefe: 0,05 m) mit etwa waagrecht verlaufender Sohle.

Funde: Keine.

Befund 13 - Nordwestsektor - Mittelpunkt: (x) 3583088,97; (y) 5993807,15; (z) 50,21

Deutung: ?

Aufsicht: In der Aufsicht zwei aneinandergrenzende, etwa kreisrunde, humose Verfärbungen (ca. 0,38 × 0,21 m).

Anschnitt: Im Anschnitt ohne klare Konturen.

Funde: Keine.

Befund 14 - Nordwestsektor - Mittelpunkt: (x) 3583092,03; (y) 5993806,34; (z) 50,43

Deutung: Steinstandspur?

Aufsicht: In der Aufsicht eine ovale, humose Verfärbung (0,36 × 0,27 m).

Anschnitt: Im Anschnitt der Rest einer humos verfüllten Eintiefung.

Funde: Keine.

Befund 15 - Nordwestsektor - Mittelpunkt: (x) 3583079,91; (y) 5993808,4; (z) 49,63

Deutung: Grube?

Aufsicht: In der Aufsicht eine unregelmäßig etwa abgerundet rechteckige, humose Verfärbung (3,36-4,48 × 2,57 m).

Anschnitt: Im Anschnitt A-B eine 1,68 m lange, steiltrichterförmige Eintiefung (Resttiefe: 0,28 m) mit leicht schräg verlaufender Sohle; Füllung aus braungrauem Sand.

Funde: Flint (FNR. 1); Verkohltes Material (FNR. 3).

Tafel: 198.

Befund 16 - Südwestsektor - Mittelpunkt: (x) 3583077,48; (y) 5993791,59; (z) 49,59

Deutung: ?

Aufsicht: In der Aufsicht eine humose Verfärbung (>0,34 × 0,29 m) unbekannter Form (nicht vollständig erfasst).

Anschnitt: Im Anschnitt eine 0,26 m breite, steiltrichterförmig u. trichterförmige Eintiefung (Resttiefe: 0,09 m) mit eben verlaufender Sohle; Füllung aus braungrauem Sand.

Funde: Keine.

Befund 17 - Südwestsektor - Mittelpunkt: (x) 3583077,91; (y) 5993791,91; (z) 49,57

Deutung: ?

Aufsicht: In der Aufsicht eine humose Verfärbung (>0,59 × 0,5 m) unbekannter Form (nicht vollständig erfasst).

Anschnitt: Im Anschnitt der Rest einer 0,36 m breiten Eintiefung (Resttiefe: 0,15 m) mit muldenförmig verlaufender Sohle; Füllung aus braungrauem Sand.

Funde: Keine.

Befund 18 - Südwestsektor - Mittelpunkt: (x) 3583078,2; (y) 5993792,19; (z) 49,57

Deutung: ?

Aufsicht: In der Aufsicht eine vermutlich unregelmäßige, humose Verfärbung (>0,72 × 0,52 m; nicht vollständig erfasst).

Anschnitt: Im Anschnitt der Rest einer 0,43 m breiten Eintiefung (Resttiefe: 0,16 m) mit unregelmäßig verlaufender Sohle (Kontur stark verwaschen); Füllung aus braungrauem Sand.

Funde: Keine.

Befund 19 - Südwestsektor - Mittelpunkt: (x) 3583077,72; (y) 5993792,74; (z) 49,57

Deutung: ?

Aufsicht: In der Aufsicht eine schwach ovale, humose Verfärbung (Dm. 0,2 m).

Anschnitt: Nicht dokumentiert.

Funde: Keine.

Befund 20 - Südwestsektor - Mittelpunkt: (x) 3583078,38; (y) 5993793,46; (z) 49,66

Deutung: ?

Aufsicht: In der Aufsicht eine ovale, humose Verfärbung (0,33 × 0,24 m).

Anschnitt: Nicht dokumentiert.

Funde: Keine.

Befund 21 - Südwestsektor - Mittelpunkt: (x) 3583079,13; (y) 5993792,92; (z) 49,6

Deutung: ?

Aufsicht: In der Aufsicht eine langovale, humose Verfärbung (0,5 × 0,25 m).

Anschnitt: Im Anschnitt eine 0,28 m lange, steiltrichterförmige Eintiefung (Resttiefe: 0,22 m) mit spitz zulaufender Sohle; Füllung aus braungrauem Sand.

Funde: Keine.

Befund 22 - Südwestsektor - Mittelpunkt: (x) 3583076,12; (y) 5993793,2; (z) 49,61

Deutung: ?

Aufsicht: In der Aufsicht eine ovale, humose Verfärbung (0,44 × 0,29 m).

Anschnitt: Nicht dokumentiert.

Funde: Keine.

Befund 23 - Südwestsektor - Mittelpunkt: (x) 3583076,4; (y) 5993794,3; (z) 49,64

Deutung: ?

Aufsicht: In der Aufsicht eine ovale, humose Verfärbung (0,39 × 0,3 m).

Anschnitt: Nicht dokumentiert.

Funde: Keine.

Befund 24 - Südwestsektor - Mittelpunkt: (x) 3583075,29; (y) 5993796,15; (z) 49,63

Deutung: ?

Aufsicht: In der Aufsicht eine abgerundet rechteckige, humose Verfärbung (1,01 × 0,47 m).

Anschnitt: Nicht dokumentiert.

Funde: Keine.

Befund 25 - Südwestsektor - Mittelpunkt: (x) 3583082,6; (y) 5993797,69; (z) 49,6

Deutung: ?

Aufsicht: In der Aufsicht eine kreisrunde, humose Verfärbung (Dm. 0,48 m).

Anschnitt: Nicht dokumentiert.

Funde: Keine.

Befund 26 - Südwestsektor - Mittelpunkt: (x) 3583082,97; (y) 5993799,37; (z) 49,58

Deutung: ?

Aufsicht: In der Aufsicht eine ovale, humose Verfärbung (0,29 × 0,12 m).

Anschnitt: Nicht dokumentiert.

Funde: Keine.

Befund 27 - Südwestsektor - Mittelpunkt: (x) 3583083,05; (y) 5993802,02; (z) 49,5

Deutung: ?

Aufsicht: In der Aufsicht eine ovale, humose Verfärbung (0,29 × 0,21 m).

Anschnitt: Nicht dokumentiert.

Funde: Keine.

Befund 28 - Südwestsektor - Mittelpunkt: (x) 3583084,03; (y) 5993800,77; (z) 49,6

Deutung: ?

Aufsicht: In der Aufsicht eine etwa kreisrunde, humose Verfärbung (Dm. 0,25 m).

Anschnitt: Nicht dokumentiert.

Funde: Keine.

Befund 29 - Südwestsektor - Mittelpunkt: (x) 3583084,77; (y) 5993799,59; (z) 49,63

Deutung: ?

Aufsicht: In der Aufsicht eine etwa kreisrunde, humose Verfärbung (Dm. 0,33 m).

Anschnitt: Nicht dokumentiert.

Funde: Keine.

Befund 30 - Südwestsektor - Mittelpunkt: (x) 3583083,84; (y) 5993798,3; (z) 49,63

Deutung: ?

Aufsicht: In der Aufsicht eine ovale, humose Verfärbung (0,25 × 0,17 m).

Anschnitt: Nicht dokumentiert.

Funde: Keine.

Befund 31 - Südwestsektor - Mittelpunkt: (x) 3583085,84; (y) 5993796,49; (z) 49,68

Deutung: ?

Aufsicht: In der Aufsicht eine unregelmäßig langgestreckte, humose Verfärbung (1,69 × 0,56 m).

Anschnitt: Nicht dokumentiert.

Funde: Keine.

Befund 32 - Südwestsektor - Mittelpunkt: (x) 3583084,49; (y) 5993795,8; (z) 49,67

Deutung: ?

Aufsicht: In der Aufsicht eine unregelmäßige, humose Verfärbung (1,73 x >0,68 m; nicht vollständig erfasst).

Anschnitt: Nicht dokumentiert.

Funde: Keine.

Befund 33 - Südwestsektor - Mittelpunkt: (x) 3583087,64; (y) 5993800,5; (z) 50,51

Deutung: ?

Aufsicht: In der Aufsicht eine ovale, humose Verfärbung (1,04 x 0,87 m).

Anschnitt: Nicht dokumentiert.

Funde: Keine.

Befund 34 - Südwestsektor - Mittelpunkt: (x) 3583087,95; (y) 5993796,72; (z) 50,24

Deutung: ?

Aufsicht: In der Aufsicht eine etwa abgerundet quadratische, humose Verfärbung (0,55 x 0,48 m).

Anschnitt: Nicht dokumentiert.

Funde: Keine.

Befund 35 - Südwestsektor - Mittelpunkt: (x) 3583090,13; (y) 5993800,93; (z) 50,5

Deutung: Steinkonzentration (ehemalige zerstörte Nachbestattung?).

Aufsicht: In der Aufsicht eine langgestreckte, von Nordwest nach Südost ausgerichtete Konzentration faust- bis kopfgroßer Steine (ca. 2 x 1 m).

Anschnitt: Im Anschnitt eine lange, Eintiefung mit verlaufender Sohle; Füllung aus

Funde: Keine.

Befund 36 - Südwestsektor - Mittelpunkt: (x) 3583093,87; (y) 5993800,46; (z) 50,67

Deutung: Steinkonzentration (ehemalige zerstörte Nachbestattung?).

Aufsicht: In der Aufsicht eine langgestreckte, von Nordwest nach Südost ausgerichtete Konzentration faust- bis kopfgroßer Steine (ca. 1,9 x 0,7 m).

Anschnitt: Im Anschnitt eine lange, Eintiefung mit verlaufender Sohle; Füllung aus

Funde: Keine.

Befund 37 - Südwestsektor - Mittelpunkt: (x) 3583091,36; (y) 5993799,21; (z) 50,39

Deutung: ?

Aufsicht: In der Aufsicht eine von Nordnordwest nach Südsüdost ausgerichtete, langgestreckte, humose Verfärbung (1,49 x 0,26-0,36 m).

Anschnitt: Nicht dokumentiert.

Funde: Keine.

Befund 38 - Südwestsektor - Mittelpunkt: (x) 3583090,14; (y) 5993794,48; (z) 50,14

Deutung: ?

Aufsicht: In der Aufsicht eine vermutlich langovale, humose Verfärbung (>0,85 x 0,44 m; nicht vollständig erfasst).

Anschnitt: Nicht dokumentiert.

Funde: Keine.

Befund 39 - Südwestsektor - Mittelpunkt: (x) 3583093,33; (y) 5993794,33; (z) 50,21

Deutung: ?

Aufsicht: In der Aufsicht eine ovale, humose Verfärbung (0,28 x 0,2 m).

Anschnitt: Nicht dokumentiert.

Funde: Keine.

Befund 40 - Südwestsektor - Mittelpunkt: (x) 3583090,55; (y) 5993794,73; (z) 50,18

Deutung: ?

Aufsicht: In der Aufsicht eine ovale, humose Verfärbung (0,44 x 0,28 m).

Anschnitt: Nicht dokumentiert.

Funde: Keine.

Befund 41 - Südwestsektor - Mittelpunkt: (x) 3583089,45; (y) 5993795,77; (z) 50,19

Deutung: ?

Aufsicht: In der Aufsicht eine ovale, humose Verfärbung (0,4 x 0,32 m).

Anschnitt: Nicht dokumentiert.

Funde: Keine.

Befund 42 - Südwestsektor - Mittelpunkt: (x) 3583078,67; (y) 5993797,21; (z) 49,55

Deutung: ?

Aufsicht: In der Aufsicht eine ovale, humose Verfärbung (0,51 x 0,43 m).

Anschnitt: Nicht dokumentiert.

Funde: Keine.

Befund 43 - Nordwestsektor - Mittelpunkt: (x) 3583087,45; (y) 5993805,14; (z) 49,81

Deutung: Pfostengrube.

Aufsicht: In der Aufsicht eine ovale, humose Verfärbung (0,32 x 0,25 m).

Anschnitt: Im Anschnitt eine 0,3 m lange, unregelmäßig steiltrichterförmige Eintiefung (Resttiefe: 0,35 m) mit muldenförmig verlaufender Sohle; Füllung aus braungrauem, gering kohlehaltigem Sand; im oberen Bereich etwas heller.

Funde: Bodenprobe (FNR. 43).

Tafel: 199.

Befund 44 - Nordwestsektor - Mittelpunkt: (x) 3583088,48; (y) 5993807,66; (z) 49,94

Deutung: ?

Aufsicht: In der Aufsicht eine unregelmäßige, humose Verfärbung (0,72 × 0,15-0,51 m).

Anschnitt: Im Anschnitt eine 0,5 m lange, vermutlich steiltrichterförmige bzw. zylindrische Eintiefung (Resttiefe: 0,09 m) mit etwa eben verlaufender Sohle; Füllung aus dunkelgraubraunem - graubraunem Sand.

Funde: Keine.

Befund 45 - Nordwestsektor - Mittelpunkt: (x) 3583087,99; (y) 5993808,11; (z) 49,88

Deutung: ?

Aufsicht: In der Aufsicht eine vermutlich langovale, humose Verfärbung (0,72 × 0,48 m); Befund 10 nördlich angrenzend.

Anschnitt: Nicht dokumentiert.

Funde: Keine.

Befund 46 - Nordwestsektor - Mittelpunkt: (x) 3583091,17; (y) 5993810,52; (z) 49,97

Deutung: ?

Aufsicht: In der Aufsicht eine ovale, humose Verfärbung (0,35 × 0,29 m).

Anschnitt: Nicht dokumentiert.

Funde: Keine.

Befund 47 - Nordwestsektor - Mittelpunkt: (x) 3583093,47; (y) 5993808,49; (z) 50,16

Deutung: ?

Aufsicht: In der Aufsicht eine ovale, humose Verfärbung (0,39 × 0,32 m).

Anschnitt: Im Anschnitt ohne klare Kontur.

Funde: Keine.

Befund 48 - Nordwestsektor - Mittelpunkt: (x) 3583093,83; (y) 5993808,04; (z) 50,2

Deutung: ?

Aufsicht: In der Aufsicht eine humose Verfärbung (0,27 × 0,21 m).

Anschnitt: Im Anschnitt ohne klare Kontur.

Funde: Keine.

Befund 49 - Nordwestsektor - Mittelpunkt: (x) 3583094,34; (y) 5993807,3; (z) 50,23

Deutung: Tier-/Wurzelgang?

Aufsicht: In der Aufsicht eine etwa kreisrunde, humose Verfärbung (Dm. 0,27 m).

Anschnitt: -

Funde: Keine.

Befund 50 - Nordwestsektor - Mittelpunkt: (x) 3583093,49; (y) 5993806,53; (z) 50,24

Deutung: ?

Aufsicht: In der Aufsicht eine vermutlich ovale, humose Verfärbung (0,28 × >0,15 m; nicht vollständig erfasst).

Anschnitt: Im Anschnitt ohne klare Kontur.

Funde: Keine.

Befund 51 - Nordwestsektor - Mittelpunkt: (x) 3583092; (y) 5993805,75; (z) 50,17

Deutung: ?

Aufsicht: In der Aufsicht eine langovale, humose Verfärbung (0,9 × 0,21 m).

Anschnitt: Im Anschnitt eine im Norden durch den Profilgraben des Befundes 14 gestörte >0,7 m lange, vermutlich steiltrichterförmige Eintiefung (Resttiefe: 0,18 m) mit unregelmäßig eben verlaufender Sohle; Füllung aus braungrauem Sand mit hellen Flecken.

Funde: Keine.

Befund 52 - Nordwestsektor - Mittelpunkt: (x) 3583091,09; (y) 5993804,96; (z) 50,13

Deutung: ?

Aufsicht: In der Aufsicht eine ovale, humose Verfärbung (0,43 × 0,31 m).

Anschnitt: Im Anschnitt eine 0,16 m lange, schräg nach Westen „gekippte“ Eintiefung (Resttiefe: 0,12 m) mit nach innen gewölbter Sohle; Füllung aus braungrauem Sand mit hellen Flecken.

Funde: Keine.

Befund 53 - Nordwestsektor - Mittelpunkt: (x) 3583092,14; (y) 5993804,83; (z) 50,17

Deutung: ?

Aufsicht: In der Aufsicht eine ovale, humose Verfärbung (0,39 × 0,3 m).

Anschnitt: Im Anschnitt ohne klare Kontur.

Funde: Keine.

Befund 54 - Nordwestsektor - Mittelpunkt: (x) 3583092,62; (y) 5993804,85; (z) 50,16

Deutung: ?

Aufsicht: In der Aufsicht eine vermutlich ovale, humose Verfärbung (0,36 × 0,19 m).

Anschnitt: Im Anschnitt ohne klare Kontur.

Funde: Keine.

Befund 55 - Nordwestsektor - Mittelpunkt: (x) 3583092,08; (y) 5993803,33; (z) 50,01

Deutung: ?

Aufsicht: In der Aufsicht eine ovale, humose Verfärbung (0,29 × 0,17 m).

Anschnitt: Nicht dokumentiert.

Funde: Keine.

Befund 56 - Nordwestsektor - Mittelpunkt: (x) 3583086,32; (y) 5993808,03; (z) 49,79

Deutung: Steinstandspur?

Aufsicht: In der Aufsicht eine ovale, humose Verfärbung (0,21 × 0,11 m).

Anschnitt: Im Anschnitt eine 0,22 m lange, steiltrichterförmige - trichterförmige Eintiefung (Resttiefe: 0,11 m) mit eben verlaufender Sohle; Füllung aus dunkelgraubraunem Sand.

Funde: Keine.

Befund 57 - Nordostsektor - Mittelpunkt: (x) 3583000; (y) 5993000; (z)

Deutung: (zu Befund 1).

Aufsicht: Keine.

Anschnitt: Im Anschnitt eine lange, Eintiefung (Resttiefe:) mit verlaufender Sohle; Füllung aus

Funde: Keine.

Befund 58 - Nordostsektor - Mittelpunkt: (x) 3583097,46; (y) 5993804,99; (z) 50,57

Deutung: Steinstandspur

Aufsicht: In der Aufsicht eine ovale, humose Verfärbung (0,36 × 0,3 m).

Anschnitt: Im Anschnitt der Rest einer 0,42 m langen Eintiefung (Resttiefe: 0,07 m) mit etwa eben verlaufender Sohle; Füllung aus braungrauem, lehmigem Sand (in der Hügelschüttung).

Funde: Keine.

Befund 59 - Nordostsektor - Mittelpunkt: (x) 3583096,81; (y) 5993806,99; (z) 50,48

Deutung: ?

Aufsicht: In der Aufsicht eine etwa abgerundet rechteckige, humose Verfärbung (0,75 × 0,67 m).

Anschnitt: Im Anschnitt ohne klare Kontur.

Funde: Keine.

Befund 60 - Nordostsektor - Mittelpunkt: (x) 3583098,85; (y) 5993810,12; (z) 50,36

Deutung: ?

Aufsicht: In der Aufsicht eine ovale, humose Verfärbung (0,32 × 0,22 m).

Anschnitt: Nicht dokumentiert.

Funde: Keine.

Befund 61 - Nordostsektor - Mittelpunkt: (x) 3583099,94; (y) 5993807,49; (z) 50,44

Deutung: Steinstandspur.

Aufsicht: In der Aufsicht eine ovale, humose Verfärbung (0,45 × 0,28 m).

Anschnitt: Im Anschnitt der Rest einer etwa muldenförmigen Eintiefung (Resttiefe: 0,08 m); Füllung aus braungrauem, lehmigem Sand.

Funde: Keine.

Befund 62 - Nordostsektor - Mittelpunkt: (x) 3583098,98; (y) 5993802,56; (z) 50,6

Deutung: Steinstandspur.

Aufsicht: In der Aufsicht eine vermutlich ovale, humose Verfärbung (>0,26 × 0,17 m).

Anschnitt: Im Anschnitt eine 0,26 m lange, steiltrichterförmige Eintiefung (Resttiefe: 0,1 m) mit eben verlaufender Sohle; Füllung aus grauem, lehmigem Sand mit hellen Flecken (Eintiefung in der Hügelschüttung).

Funde: Keine.

Befund 63 - Nordostsektor - Mittelpunkt: (x) 3583099,02; (y) 5993802,99; (z) 50,58

Deutung: Steinstandspur.

Aufsicht: In der Aufsicht eine ovale, humose Verfärbung (0,34 × 0,28 m).

Anschnitt: Im Anschnitt der Rest einer 0,22 m langen, muldenförmigen Eintiefung (Resttiefe: 0,06 m; Eintiefung in der Hügelschüttung).

Funde: Keine.

Befund 64 - Nordostsektor - Mittelpunkt: (x) 3583101,47; (y) 5993807,33; (z) 50,41

Deutung: Steinstandspur.

Aufsicht: In der Aufsicht eine etwa kreisrunde, humose Verfärbung (Dm. 0,62 m).

Anschnitt: Im Anschnitt der Rest einer 0,62 m langen Eintiefung (Resttiefe: 0,11 m; mit unregelmäßig verlaufender Sohle (teilweise verwaschene Kontur); Füllung aus braungrauem Sand.

Funde: Keine.

Befund 65 - Nordostsektor - Mittelpunkt: (x) 3583101,8; (y) 5993808,15; (z) 50,39

Deutung: ?

Aufsicht: In der Aufsicht eine langgestreckte, humose Verfärbung (1,7 × 0,79 m).

Anschnitt: Nicht dokumentiert.

Funde: Keine.

Befund 66 - Nordostsektor - Mittelpunkt: (x) 3583097,19; (y) 5993811,69; (z) 50,17

Deutung: Tiergang.

Aufsicht: In der Aufsicht eine etwa ovale, humose Verfärbung (0,48 × 0,38 m).

Anschnitt: -

Funde: Keine.

Befund 67 - Nordostsektor - Mittelpunkt: (x) 3583096,5; (y) 5993810,15; (z) 50,41

Deutung: ?

Aufsicht: In der Aufsicht eine unregelmäßige, humose Verfärbung (>0,5 × 0,4 m; nicht vollständig erfasst).

Anschnitt: Nicht dokumentiert.

Funde: Keine.

Befund 68 - Nordostsektor - Mittelpunkt: (x) 3583096,58; (y) 5993808,8; (z) 50,36

Deutung: ?

Aufsicht: In der Aufsicht eine ovale, humose Verfärbung (0,3 × 0,25 m).

Anschnitt: Nicht dokumentiert.

Funde: Keine.

Befund 69 - Nordostsektor - Mittelpunkt: (x) 3583100,31; (y) 5993811,42; (z) 50,1

Deutung: Tiergang.

Aufsicht: In der Aufsicht eine ovale, humose Verfärbung (0,85 × 0,7 m).

Anschnitt: -

Funde: Keine.

Befund 70 - Nordostsektor - Mittelpunkt: (x) 3583102,63; (y) 5993810,57; (z) 50,06

Deutung: Grube?

Aufsicht: In der Aufsicht eine ovale, humose Verfärbung (0,63 × 0,5 m).

Anschnitt: Im Anschnitt eine 0,74 m lange, etwa zylindrische Eintiefung (Resttiefe:) mit stufenartig abgesetzter, etwa eben verlaufender Sohle; Füllung aus braungrauem, leicht lehmigem Sand mit hellen Sandflecken.

Funde: Keine.

Tafel: 198.

Befund 71 - Nordostsektor - Mittelpunkt: (x) 3583098,3; (y) 5993804,09; (z) 50,59

Deutung: Steinstandspur.

Aufsicht: In der Aufsicht eine etwa sichelförmige, humose Verfärbung (0,55 × 0,25 m).

Anschnitt: Im Anschnitt der Rest einer 0,57 m langen Eintiefung (Resttiefe: 0,09 m) mit etwa muldenförmig verlaufender Sohle; Füllung aus braungrauem lehmigem Sand (in der Hügelschüttung).

Funde: Keine.

Befund 72 nicht vergeben!

Befund 73 - Nordostsektor - Mittelpunkt: (x) 3583104,38; (y) 5993807,01; (z) 50,18

Deutung: Pfostrube

Aufsicht: In der Aufsicht eine ovale, humose Verfärbung (0,41 × 0,3 m).

Anschnitt: Im Anschnitt eine 0,28 m lange, steiltrichterförmige Eintiefung (Resttiefe: 0,13 m) mit muldenförmig verlaufender Sohle; Füllung aus braungrauem Sand.

Funde: Keine.

Tafel: 199.

Befund 74 - Nordostsektor - Mittelpunkt: (x) 3583103,98; (y) 5993807,7; (z) 50,16

Deutung: ?

Aufsicht: In der Aufsicht eine ovale, humose Verfärbung (0,45 × 0,36 m).

Anschnitt: Im Anschnitt der Rest einer 0,4 m langen Eintiefung (Resttiefe: 0,1 m) mit muldenförmig verlaufender Sohle (Kontur verwaschen); Füllung aus braungrauem Sand.

Funde: Keine.

Tafel: 199.

Befund 75 - Nordostsektor - Mittelpunkt: (x) 3583105,32; (y) 5993807,58; (z) 50,13

Deutung: Tiergang.

Aufsicht: In der Aufsicht eine etwa kreisrunde, humose Verfärbung (Dm. 0,23 m).

Anschnitt: -

Funde: Keine.

Befund 76 - Nordostsektor - Mittelpunkt: (x) 3583104,3; (y) 5993808,14; (z) 50,13

Deutung: Tiergang.

Aufsicht: In der Aufsicht eine ovale, humose Verfärbung (0,28 × 0,18 m).

Anschnitt: -

Funde: Keine.

Befund 77 - Nordostsektor - Mittelpunkt: (x) 3583106,26; (y) 5993806,06; (z) 50,11

Deutung: Tiergang.

Aufsicht: In der Aufsicht eine schwach ovale, humose Verfärbung (0,31 × 0,28 m).

Anschnitt: -

Funde: Keine.

Befund 78 - Nordostsektor - Mittelpunkt: (x) 3583106,68; (y) 5993804,64; (z) 50,12

Deutung: Pfostrube.

Aufsicht: In der Aufsicht eine ovale, humose Verfärbung (0,38 × 0,31 m).

Anschnitt: Im Anschnitt eine 0,35 m lange, etwa zylindrische Eintiefung (Resttiefe: 0,24 m) mit eben verlaufender Sohle; Füllung aus braungrauem Sand.

Funde: Keine.

Tafel: 199.

Befund 79 - Nordostsektor - Mittelpunkt: (x) 3583107,16; (y) 5993803,84; (z) 50,11

Deutung: Tiergang.

Aufsicht: In der Aufsicht eine unregelmäßig langgestreckte, humose Verfärbung (1,64 × 0,5 m).

Anschnitt: -

Funde: Keine.

Befund 80 - Nordostsektor - Mittelpunkt: (x) 3583107,84; (y) 5993802,71; (z) 50,14

Deutung: Tiergang.

Aufsicht: In der Aufsicht eine ovale, humose Verfärbung (0,27 × 0,19 m).

Anschnitt: -

Funde: Keine.

Befund 81 - Nordostsektor - Mittelpunkt: (x) 3583105,3; (y) 5993802,57; (z) 50,22

Deutung: Tiergang.

Aufsicht: In der Aufsicht eine etwa ovale, humose Verfärbung (1,21 × 1,21 m).

Anschnitt: -

Funde: Keine.

Befund 82 - Südwestsektor - Mittelpunkt: (x) 3583081,39; (y) 5993798,12; (z) 49,85

Deutung: Kochsteingrube?

Aufsicht: In der Aufsicht in Planum 2 eine kreisrunde Konzentration faust- bis kopfgroßer Steine (Dm. 0,6 m).

Anschnitt: Im Anschnitt eine 0,75 m lange, vermutlich steiltrichterförmige - trichterförmige Eintiefung (Resttiefe: 0,4 m) mit unklar verlaufender Sohle (Kontur sehr stark verwaschen); Füllung aus grauem, kohlehaltigem Sand und vielen bis zu kopfgroßen Steinen (nur teilweise mit deutlichen Hitzespuren).

Funde: Keine.

Tafel: 199.

Befund 83 - Südostsektor - Mittelpunkt: (x) 3583098,26; (y) 5993800,92; (z) 50,61

Deutung: Steinstandspur.

Aufsicht: In der Aufsicht eine schwach ovale, humose Verfärbung (0,33 × 0,29 m).

Anschnitt: Im Anschnitt eine 0,52 m lange, steiltrichterförmige Eintiefung (Resttiefe: 0,15 m) mit konkav verlaufender Sohle (vermutlich zwei Standspuren); Füllung aus grauem, leicht lehmigem Sand mit hellen Flecken (in der Hügelschüttung).

Funde: Keine.

Befund 84 - Südostsektor - Mittelpunkt: (x) 3583098,04; (y) 5993800,57; (z) 50,64

Deutung: Steinstandspur.

Aufsicht: In der Aufsicht eine langovale, humose Verfärbung (0,51 × 0,27 m).

Anschnitt: Im Anschnitt der Rest einer 0,18 m langen, muldenförmigen Eintiefung (Resttiefe: 0,09 m); Füllung aus grauem, leicht lehmigem Sand mit hellen Flecken (in der Hügelschüttung).

Funde: Keine.

Befund 85 - Südostsektor - Mittelpunkt: (x) 3583097,77; (y) 5993800,22; (z) 50,62

Deutung: Steinstandspur.

Aufsicht: In der Aufsicht eine etwa ovale, humose Verfärbung (0,28 × 0,23 m).

Anschnitt: Im Anschnitt der Rest einer 0,35 m langen, muldenförmigen Eintiefung (Resttiefe: 0,16 m); Füllung aus grauem, leicht lehmigem Sand mit hellen Flecken (in der Hügelschüttung).

Funde: Keine.

Befund 86 - Südostsektor - Mittelpunkt: (x) 3583097,53; (y) 5993799,9; (z) 50,62

Deutung: Steinstandspur.

Aufsicht: In der Aufsicht eine ovale, humose Verfärbung (0,24 × 0,16 m).

Anschnitt: Im Anschnitt der Rest einer 0,62 m langen Eintiefung (Resttiefe: 0,08 m) mit leicht konkav verlaufender Sohle; Füllung aus grauem, leicht lehmigem Sand mit hellen Flecken (in der Hügelschüttung).

Funde: Keine.

Befund 87 - Südostsektor - Mittelpunkt: (x) 3583096,92; (y) 5993799,94; (z) 50,61

Deutung: Steinstandspur.

Aufsicht: In der Aufsicht eine ovale, humose Verfärbung (0,38 × 0,31 m).

Anschnitt: Im Anschnitt eine 0,4 m lange, etwa steiltrichterförmige Eintiefung (Resttiefe: 0,2 m) mit eben verlaufender Sohle; Füllung aus grauem, leicht lehmigem Sand.

Funde: Keine.

Befund 88 - Südostsektor - Mittelpunkt: (x) 3583096,87; (y) 5993799,5; (z) 50,59

Deutung: Steinstandspur.

Aufsicht: In der Aufsicht eine etwa kreisrunde, humose Verfärbung (Dm. 0,29 m).

Anschnitt: Im Anschnitt eine 0,37 m lange, steiltrichterförmige Eintiefung (Resttiefe: 0,13 m) mit verlaufender Sohle; Füllung aus grauem, leicht lehmigem Sand mit hellen Flecken (in der Hügelschüttung).

Funde: Keine.

Befund 89 - Südostsektor - Mittelpunkt: (x) 3583096,58; (y) 5993799,31; (z) 50,58

Deutung: Steinstandspur.

Aufsicht: In der Aufsicht eine ovale, humose Verfärbung (0,22 × 0,2 m).

Anschnitt: Im Anschnitt der Rest einer 0,23 m langen, muldenförmigen Eintiefung (Resttiefe: 0,06 m); Füllung aus grauem, leicht lehmigem Sand mit hellen Flecken (in der Hügelschüttung).

Funde: Keine.

Befund 90 - Südostsektor - Mittelpunkt: (x) 3583096,22; (y) 5993799,17; (z) 50,55

Deutung: Steinstandspur.

Aufsicht: In der Aufsicht eine ovale, humose Verfärbung (0,35 × 0,3 m).

Anschnitt: Im Anschnitt der Rest einer 0,37 m langen, muldenförmigen Eintiefung (Resttiefe: 0,07 m); Füllung aus grauem, leicht lehmigem Sand mit hellen Flecken (in der Hügelschüttung).

Funde: Keine.

Befund 91 - Südostsektor - Mittelpunkt: (x) 3583095,87; (y) 5993799; (z) 50,54

Deutung: ?

Aufsicht: In der Aufsicht eine ovale, humose Verfärbung (0,22 × 0,15 m).

Anschnitt: Im Anschnitt ohne klare Kontur.

Funde: Keine.

Befund 92 - Südostsektor - Mittelpunkt: (x) 3583096,07; (y) 5993801,1; (z) 50,6

Deutung: ?

Aufsicht: In der Aufsicht eine ovale, humose Verfärbung (0,17 × 0,14 m).

Anschnitt: Im Anschnitt ohne klare Kontur.

Funde: Keine.

Befund 93 - Südostsektor - Mittelpunkt: (x) 3583095,63; (y) 5993794,66; (z) 49,98

Deutung: Baumwurfgrube.

Aufsicht: In der Aufsicht eine vermutlich ovale, humose Verfärbung (2,34 × >0,7 m; nicht vollständig erfasst).

Anschnitt: Im Anschnitt eine 0,74 m lange, trichterförmige Eintiefung (Resttiefe: 0,25 m) mit spitzmuldenförmig verlaufender Sohle; Füllung aus braungrauem Sand.

Funde: Keine.

Befund 94 - Südostsektor - Mittelpunkt: (x) 3583095,5; (y) 5993795,37; (z) 50,05

Deutung: ?

Aufsicht: In der Aufsicht eine vermutlich ovale, humose Verfärbung (>0,27 × 0,35 m; nicht vollständig erfasst).

Anschnitt: Nicht dokumentiert.

Funde: Keine.

Befund 95 - Südostsektor - Mittelpunkt: (x) 3583095,47; (y) 5993793,19; (z) 49,94

Deutung: ?

Aufsicht: In der Aufsicht eine ovale, humose Verfärbung (0,22 × 0,12 m).

Anschnitt: Nicht dokumentiert.

Funde: Keine.

Befund 96 - Südostsektor - Mittelpunkt: (x) 3583098,6; (y) 5993793,8; (z) 49,99

Deutung: ?

Aufsicht: In der Aufsicht eine ovale, humose Verfärbung (0,52 × 0,32 m).

Anschnitt: Im Anschnitt der Rest einer 0,52 m langen Eintiefung (Resttiefe: 0,14 m) mit schräg verlaufender Sohle; Füllung aus braungrauem Sand.

Funde: Keine.

Befund 97 - Südostsektor - Mittelpunkt: (x) 3583098,01; (y) 5993793,72; (z) 49,96

Deutung: Tiergang.

Aufsicht: In der Aufsicht eine etwa kreisrunde, humose Verfärbung (Dm. 0,16 m).

Anschnitt: -

Funde: Keine.

Befund 98 - Südostsektor - Mittelpunkt: (x) 3583097,73; (y) 5993793,49; (z) 49,94

Deutung: Tiergang.

Aufsicht: In der Aufsicht eine langovale, humose Verfärbung (0,83 × 0,35 m).

Anschnitt: -

Funde: Keine.

Befund 99 - Südostsektor - Mittelpunkt: (x) 3583097,08; (y) 5993795,73; (z) 50,12

Deutung: Tiergang.

Aufsicht: In der Aufsicht eine ovale, humose Verfärbung (0,45 × 0,37 m).

Anschnitt: -

Funde: Keine.

Befund 100 - Südostsektor - Mittelpunkt: (x) 3583103,34; (y) 5993795,73; (z) 50,14

Deutung: ?

Aufsicht: In der Aufsicht eine unregelmäßige, humose Verfärbung (0,46 × 0,4 m).

Anschnitt: Im Anschnitt der Rest einer muldenförmigen Eintiefung (Resttiefe: 0,07 m).

Funde: Keine.

Befund 101 - Südostsektor - Mittelpunkt: (x) 3583104,12; (y) 5993796,47; (z) 50,2

Deutung: Tiergang.

Aufsicht: In der Aufsicht eine ovale, humose Verfärbung (0,3 × 0,25 m).

Anschnitt: -

Funde: Keine.

Befund 102 - Südostsektor - Mittelpunkt: (x) 3583105,3; (y) 5993796,48; (z) 50,19

Deutung: Tiergang.

Aufsicht: In der Aufsicht eine unregelmäßige, humose Verfärbung (1,28 × 0,65 m).

Anschnitt: -

Funde: Keine.

Befund 103 - Südostsektor - Mittelpunkt: (x) 3583103,98; (y) 5993798,69; (z) 50,2

Deutung: Tiergang.

Aufsicht: In der Aufsicht eine langovale, humose Verfärbung (0,61 × 0,27 m).

Anschnitt: -

Funde: Keine.

Befund 104 - Südostsektor - Mittelpunkt: (x) 3583106,91; (y) 5993799,14; (z) 50,2

Deutung: Grube.

Aufsicht: In der Aufsicht eine ovale, humose Verfärbung (0,57 × 0,4 m).

Anschnitt: Im Anschnitt eine 0,5 m lange, vermutlich zylindrische Eintiefung (Resttiefe: 0,27 m) mit etwa eben verlaufender Sohle (Kontur verwaschen); Füllung aus grauem, lehmigem Sand; im oberen Teil ein muldenförmiger Bereich aus braungrauem - grauem, lehmigem Sand.

Funde: Keine.

Tafel: 198.

Befund 105 - Südostsektor - Mittelpunkt: (x) 3583107,41; (y) 5993799,38; (z) 50,17

Deutung: ?

Aufsicht: In der Aufsicht eine langovale, humose Verfärbung (0,35 × 0,17 m).

Anschnitt: Im Anschnitt der Rest einer muldenförmigen Eintiefung (Resttiefe: 0,04 m).

Funde: Keine.

Befund 106 - Südostsektor - Mittelpunkt: (x) 3583108,81; (y) 5993799,2; (z) 50,21

Deutung: ?

Aufsicht: In der Aufsicht eine ovale, humose Verfärbung (0,26 × 0,15 m).

Anschnitt: Im Anschnitt ohne klare Kontur.

Funde: Keine.

Befund 107 - Südostsektor - Mittelpunkt: (x) 3583109,67; (y) 5993799,1; (z) 50,23

Deutung: ?

Aufsicht: In der Aufsicht eine etwa kreisrunde, humose Verfärbung (Dm. 0,19 m).

Anschnitt: Im Anschnitt der Rest einer muldenförmigen Eintiefung (Resttiefe: 0,08 m).

Funde: Keine.

Befund 108 - Südostsektor - Mittelpunkt: (x) 3583109,49; (y) 5993798,94; (z) 50,22

Deutung: Tiergang.

Aufsicht: In der Aufsicht eine abgerundet dreieckige, humose Verfärbung (0,27 × 0,25 m).

Anschnitt: -

Funde: Keine.

Befund 109 - Südostsektor - Mittelpunkt: (x) 3583107,8; (y) 5993797,08; (z) 50,23

Deutung: ?

Aufsicht: In der Aufsicht eine ovale, humose Verfärbung (0,19 × 0,12 m).

Anschnitt: Im Anschnitt der Rest einer muldenförmigen Eintiefung (Resttiefe: 0,05 m).

Funde: Keine.

Befund 110 - Südwestsektor - Mittelpunkt: (x) 3583091,62; (y) 5993797,55; (z) 49,97

Deutung: Pfofengrube.

Aufsicht: In der Aufsicht eine ovale, humose Verfärbung (0,33 × 0,26 m).

Anschnitt: Im Anschnitt eine 0,2 m lange, zylindrische Eintiefung (Resttiefe: 0,16 m) mit etwa schwach muldenförmig verlaufender Sohle; Füllung aus hellbraungrauem Sand.

Funde: Keine.

Tafel: 200.

Befund 111 - Profilsteg Süd - Mittelpunkt: (x) 3583094,93; (y) 5993799,94; (z) 50,18

Deutung: Pfofengrube.

Aufsicht: In der Aufsicht eine schwach ovale, humose Verfärbung (0,33 × 0,28 m).

Anschnitt: Im Anschnitt eine 0,3 m lange, steiltrichterförmige Eintiefung (Resttiefe: 0,19 m) mit muldenförmig verlaufender Sohle (Kontur verwaschen); Füllung aus grau gelbem Sand.

Funde: Keine.

Tafel: 200.

Befund 112 - Südwestsektor - Mittelpunkt: (x) 3583088,4; (y) 5993799,61; (z) 49,95

Deutung: Pfofengrube.

Aufsicht: In der Aufsicht eine ovale, humose Verfärbung (0,32 × 0,22 m).

Anschnitt: Im Anschnitt eine 0,17 m lange, steiltrichterförmige Eintiefung (Resttiefe: 0,17 m) mit muldenförmig verlaufender Sohle; Füllung aus braungrauem Sand.

Funde: Keine.

Tafel: 200.

Befund 113 - Profilsteg West - Mittelpunkt: (x) 3583089,81; (y) 5993802,69; (z) 49,93

Deutung: Pfostengrube.

Aufsicht: In der Aufsicht eine ovale, humose Verfärbung (0,23 × 0,16 m).

Anschnitt: Im Anschnitt eine 0,16 m lange, steiltrichterförmige Eintiefung (Resttiefe: 0,1 m) mit muldenförmig verlaufender Sohle; Füllung aus dunkelbraungrauem Sand.

Funde: Keine.

Tafel: 200.

Befund 114 - Südostsektor - Mittelpunkt: (x) 3583098,36; (y) 5993801,26; (z) 50,64

Deutung: Steinstandspur.

Aufsicht: In der Aufsicht nicht erfasst.

Anschnitt: Im Anschnitt der Rest einer 0,35 m langen, muldenförmigen Eintiefung (Resttiefe: 0,1 m); Füllung aus grauem, leicht lehmigem Sand mit hellen Flecken (in der Hügelschüttung).

Funde: Keine.

LA 60

(Tafel 206-218)

Befund 1 - Nordwestsektor - Mittelpunkt: (x) 3582857,01; (y) 5993670,99; (z) 53,05

Deutung: Baumwurfgrube.

Aufsicht: In der Aufsicht eine schwach sichelförmige, humose Verfärbung (3,21 × 0,92 m).

Anschnitt: Im Anschnitt eine ca. 3 m lange, unklare Eintiefung (Resttiefe: 0,8 m) mit etwa trichterförmig verlaufender Sohle.

Funde: Keine

Befund 2 - Nordwestsektor - Mittelpunkt: (x) 3582856,08; (y) 5993669,23; (z) 52,96

Deutung: ?

Aufsicht: In der Aufsicht eine unregelmäßig ovale, humose Verfärbung (0,49 × 0,26 m).

Anschnitt: Im Anschnitt keine klare Kontur.

Funde: Keine

Befund 3 - Nordwestsektor - Mittelpunkt: (x) 3582855,43; (y) 5993668,54; (z) 53,05

Deutung: ?

Aufsicht: In der Aufsicht eine etwa langovale, humose Verfärbung (0,62 × 0,26 m).

Anschnitt: Im Anschnitt eine ca. 0,7 m breite Eintiefung (Resttiefe: 0,22 m) mit unregelmäßig muldenförmig verlaufender Sohle; Füllung aus im oberen Bereich braungrauem, kohlehaltigem, sandigem Lehm mit gelbweißen Flecken; im unteren Bereich hellbraungrauer, leicht sandiger Lehm (= anstehender Boden) nur mit vielen orange verziegelten Flecken.

Funde: Verkohltes Material aus Bodenprobe (FNR. 96)

Befund 4 - Nordwestsektor - Mittelpunkt: (x) 3582858,6; (y) 5993666,23; (z) 53,25

Deutung: Pfostengrube?

Aufsicht: In der Aufsicht eine langovale, humose Verfärbung (0,79 × 0,4 m).

Anschnitt: Im Anschnitt eine 0,67 m breite, trichterförmige Eintiefung (Resttiefe: 0,2 m) mit flach verlaufender Sohle; Füllung aus dunkelbraungrauem, gering kohlehaltigem, lehmigem Sand.

Funde: Verkohltes Material aus Bodenprobe (FNR. 94)

Tafel: 207.

Befund 5 - Nordwestsektor - Mittelpunkt: (x) 3582858,36; (y) 5993664,88; (z) 53,28

Deutung: ?

Aufsicht: In der Aufsicht eine etwa ovale, humose Verfärbung (0,36 × 0,24 m).

Anschnitt: Im Anschnitt keine klare Kontur.

Funde: Keine

Tafel: 207.

Befund 6 - Nordwestsektor - Mittelpunkt: (x) 3582857,98; (y) 5993664,14; (z) 53,3

Deutung: Pfostengrube.

Aufsicht: In der Aufsicht eine etwa abgerundet quadratische, humose Verfärbung (0,49 × 0,45 m).

Anschnitt: Im Anschnitt eine 0,6 m breite, trichter- bis steiltrichterförmige Eintiefung (Resttiefe: 0,18 m) mit muldenförmig verlaufender Sohle; Sohle in der Mitte auf einer Breite von 0,1 m um 0,1 m gesondert senkrecht vertieft; Füllung aus dunkelbraungrauem, gering kohlehaltigem, lehmigem Sand.

Funde: Verkohltes Material aus Bodenprobe (FNR. 95)

Tafel: 207.

Befund 7 - Nordwestsektor - Mittelpunkt: (x) 3582856,64; (y) 5993666,29; (z) 53,19

Deutung: Pfostengrube.

Aufsicht: In der Aufsicht eine etwa kreisrunde, humose Verfärbung (Dm. 0,28 m).

Anschnitt: Im Anschnitt eine 0,23 m breite, senkrechte - steiltrichterförmige Eintiefung (Resttiefe: 0,31 m) mit schräg verlaufender Sohle; Füllung aus braungrauem, schwach lehmigem Sand.

Funde: Verkohltes Material aus Bodenprobe (FNR. 97)

Tafel: 208.

Befund 8 - Nordwestsektor - Mittelpunkt: (x) 3582857,49; (y) 5993666,34; (z) 53,24

Deutung: ?

Aufsicht: In der Aufsicht eine etwa abgerundet rechteckige, humose Verfärbung (0,48 × 0,37 m).

Anschnitt: Im Anschnitt keine klare Kontur (gelbbrauner, leicht lehmiger Sand).

Funde: Keine

Tafel: 208.

Befund 9 - Nordwestsektor - Mittelpunkt: (x) 3582856,49; (y) 5993666,88; (z) 53,19

Deutung: ?

Aufsicht: In der Aufsicht eine etwa langovale, humose Verfärbung (0,95 × 0,3 m).

Anschnitt: Im Anschnitt keine klare Kontur.

Funde: Keine

Befund 10 - Nordwestsektor - Mittelpunkt: (x) 3582857,39; (y) 5993663,5; (z) 53,29

Deutung: ?

Aufsicht: In der Aufsicht eine ovale, humose Verfärbung (0,35 × 0,24 m).

Anschnitt: Im Anschnitt keine klare Kontur.

Funde: Keine

Befund 11 - Nordwestsektor - Mittelpunkt: (x) 3582857,58; (y) 5993662,62; (z) 53,31

Deutung: ?

Aufsicht: In der Aufsicht eine unregelmäßig ovale, humose Verfärbung (0,31 × 0,26 m).

Anschnitt: Im Anschnitt keine klare Kontur.

Funde: Keine

Befund 12 - Nordwestsektor - Mittelpunkt: (x) 3582858,53; (y) 5993660,97; (z) 53,37

Deutung: ?

Aufsicht: In der Aufsicht eine humose Verfärbung (>1,63 x >1,08 m) unklarer Form (nicht vollständig erfasst).

Anschnitt: Im Anschnitt keine klare Kontur.

Funde: Keine

Befund 13 - Nordwestsektor - Mittelpunkt: (x) 3582856,87; (y) 5993661,14; (z) 53,33

Deutung: ?

Aufsicht: In der Aufsicht eine unregelmäßig lang gestreckte, humose Verfärbung (1,56 × 0,47 m).

Anschnitt: Im Anschnitt keine klare Kontur.

Funde: Keine

Befund 14 - Nordwestsektor - Mittelpunkt: (x) 3582856,2; (y) 5993662,04; (z) 53,37

Deutung: ?

Aufsicht: In der Aufsicht eine etwa kreisrunde, humose Verfärbung (Dm. 0,2 m).

Anschnitt: Im Anschnitt keine klare Kontur.

Funde: Keine

Befund 15 - Nordwestsektor - Mittelpunkt: (x) 3582853,41; (y) 5993660,5; (z) 53,43

Deutung: ?

Aufsicht: In der Aufsicht eine unregelmäßig ovale, humose Verfärbung (0,89 × 0,64 m).

Anschnitt: Im Anschnitt keine klare Kontur.

Funde: Keine

Befund 16 - Nordwestsektor - Mittelpunkt: (x) 3582852,68; (y) 5993662,74; (z) 53,31

Deutung: ?

Aufsicht: In der Aufsicht eine schwach ovale, humose Verfärbung (0,36 × 0,34 m).

Anschnitt: Im Anschnitt keine klare Kontur.

Funde: Keine

Befund 17 - Nordwestsektor - Mittelpunkt: (x) 3582852,37; (y) 5993664,67; (z) 53,22

Deutung: Pfestengrube.

Aufsicht: In der Aufsicht eine langovale, humose Verfärbung (0,51 × 0,28 m).

Anschnitt: Im Anschnitt eine 0,5 m breite, schräg nach Südwesten geneigte Eintiefung (Resttiefe: 0,22 m) mit verlaufender Sohle; Füllung aus braungrauem, lehmigem Sand.

Funde: Keine

Tafel: 208.

Befund 18 - Nordwestsektor - Mittelpunkt: (x) 3582852,17; (y) 5993666,5; (z) 53,07

Deutung: ?

Aufsicht: In der Aufsicht eine langovale, humose Verfärbung (0,29 × 0,17 m).

Anschnitt: Im Anschnitt keine klare Kontur.

Funde: Keine

Befund 19 - Nordwestsektor - Mittelpunkt: (x) 3582853,01; (y) 5993667,85; (z) 53,04

Deutung: ?

Aufsicht: In der Aufsicht eine schwach ovale, humose Verfärbung (0,26 × 0,23 m).

Anschnitt: Im Anschnitt keine klare Kontur.

Funde: Keine

Befund 20 - Nordwestsektor - Mittelpunkt: (x) 3582852,3; (y) 5993668,93; (z) 52,98

Deutung: Grube.

Aufsicht: In der Aufsicht eine etwa abgerundet rechteckige, humose Verfärbung (1,13 × 0,65 m).

Anschnitt: Im Anschnitt eine 1,25 m lange, steiltrichterförmige Eintiefung (Resttiefe: 0,48 m) mit muldenförmig verlaufender Sohle; Füllung aus grauem - braungrauem, lehmigem Sand mit hellgrauen Flecken.

Funde: Keine

Tafel: 206.

Befund 21 - Nordwestsektor - Mittelpunkt: (x) 3582853,67; (y) 5993671,49; (z) 52,81

Deutung: Tiergang

Aufsicht: In der Aufsicht eine ovale, humose Verfärbung (0,26 × 0,2 m).

Anschnitt: Im Anschnitt keine klare Kontur.

Funde: Keine

Befund 22 - Nordwestsektor - Mittelpunkt: (x) 3582851,2; (y) 5993669,83; (z) 52,86

Deutung: ?

Aufsicht: In der Aufsicht eine unregelmäßig lang gestreckte, humose Verfärbung (0,55 × 0,3 m).

Anschnitt: Im Anschnitt keine klare Kontur; grauer, leicht lehmiger Sand (Resttiefe: 0,07 m).

Funde: Keine

Befund 23 - Nordwestsektor - Mittelpunkt: (x) 3582850,35; (y) 5993669,83; (z) 52,84

Deutung: Tiergang.

Aufsicht: In der Aufsicht eine langovale, humose Verfärbung (0,66 × 0,25 m).

Anschnitt: Im Anschnitt keine klare Kontur; Konzentration mehrerer Tiergänge.

Funde: Keine

Befund 24 - Nordwestsektor - Mittelpunkt: (x) 3582850,27; (y) 5993667,65; (z) 52,97

Deutung: ?

Aufsicht: In der Aufsicht eine ovale, humose Verfärbung (0,29 × 0,22 m).

Anschnitt: Im Anschnitt der Rest einer 0,2 m breiten Eintiefung (Resttiefe: 0,08 m) mit muldenförmig verlaufender Sohle; Füllung aus braungrauem, lehmigem Sand.

Funde: Keine

Befund 25 - Nordwestsektor - Mittelpunkt: (x) 3582852,81; (y) 5993666,15; (z) 53,11

Deutung: Wurzel-/Tiergang.

Aufsicht: In der Aufsicht eine langovale, humose Verfärbung (0,49 × 0,23 m).

Anschnitt: Im Anschnitt eine im oberen Bereich 0,35 m breite, steiltrichterförmige Eintiefung (Resttiefe: 0,24 m); untere 0,24 m auf einer Breite von ca. 0,12 m schlauchartig bis zur eben verlaufenden Sohle fortgesetzt; Füllung aus braungrauem, humosem, lehmigem Sand.

Funde: Keine

Befund 26 - Nordwestsektor - Mittelpunkt: (x) 3582858,49; (y) 5993665,25; (z) 53,28

Deutung: ?

Aufsicht: In der Aufsicht eine etwa kreisrunde, humose Verfärbung (Dm. 0,29 m).

Anschnitt: Im Anschnitt keine klare Kontur.

Funde: Keine

Befund 27 - Nordwestsektor - Mittelpunkt: (x) 3582859,16; (y) 5993664,88; (z) 53,28

Deutung: ?

Aufsicht: In der Aufsicht eine humose Verfärbung ($\geq 0,48 \times > 0,36$ m) unklarer Form (nicht vollständig erfasst).

Anschnitt: Im Anschnitt keine klare Kontur.

Funde: Keine

Befund 28 - Nordwestsektor - Mittelpunkt: (x) 3582855,67; (y) 5993669,19; (z) 52,99

Deutung: ?

Aufsicht: In der Aufsicht eine etwa abgerundet rechteckige, humose Verfärbung (0,4 × 0,25 m).

Anschnitt: Im Anschnitt keine klare Kontur.

Funde: Keine

Befund 29 - Südwestsektor - Mittelpunkt: (x) 3582858,71; (y) 5993657,68; (z) ca. 53,4

Deutung: ?

Aufsicht: In der Aufsicht eine humose Verfärbung ($> 0,83 \times 0,46$ m) unklarer Form (nicht vollständig erfasst).

Anschnitt: Nicht geschnitten.

Funde: Keine

Befund 30 - Südwestsektor - Mittelpunkt: (x) 3582856,89; (y) 5993656,14; (z) 53,44

Deutung: ?

Aufsicht: In der Aufsicht eine ovale, humose Verfärbung (0,37 × 0,32 m).

Anschnitt: Im Anschnitt keine klare Kontur.

Funde: Keine

Befund 31 - Südwestsektor - Mittelpunkt: (x) 3582858,45; (y) 5993654,04; (z) 53,46

Deutung: ?

Aufsicht: In der Aufsicht eine langovale, humose Verfärbung (0,47 × 0,25 m).

Anschnitt: Im Anschnitt keine klare Kontur.

Funde: Keine

Befund 32 - Südwestsektor - Mittelpunkt: (x) 3582858,68; (y) 5993653,5; (z) 53,47

Deutung: ?

Aufsicht: In der Aufsicht eine langovale, humose Verfärbung (0,39 × 0,19 m).

Anschnitt: Im Anschnitt keine klare Kontur.

Funde: Keine

Befund 33 - Südwestsektor - Mittelpunkt: (x) 3582859,13; (y) 5993652,53; (z) ca. 53,4

Deutung: Pfostengrube.

Aufsicht: In der Aufsicht eine humose Verfärbung ($> 0,72 \times > 0,53$ m) unbekannter Form (nicht vollständig erfasst).

Anschnitt: Im Anschnitt der Rest einer vermutlich muldenförmigen Eintiefung (Resttiefe: 0,16 m); Füllung aus braungrauem Sand mit hellgrauen - mittelgrauen Flecken.

Funde: Verkohltes Material aus Bodenprobe (FNR. 90)

Tafel: 208.

Befund 34 - Südwestsektor - Mittelpunkt: (x) 3582859,03; (y) 5993651,6; (z) 53,38

Deutung: ?

Aufsicht: In der Aufsicht eine langovale, humose Verfärbung (0,37 × 0,2 m).

Anschnitt: Im Anschnitt keine klare Kontur.

Funde: Keine

Befund 35 - Südwestsektor - Mittelpunkt: (x) 3582858,39; (y) 5993649,11; (z) 53,24

Deutung: ?

Aufsicht: In der Aufsicht eine langovale, leicht sichelförmige, humose Verfärbung (0,94 × 0,23 m).

Anschnitt: Im Anschnitt eine 0,82 m lange Eintiefung (Resttiefe: 0,13 m) mit verlaufender Sohle; zweigeteilte Füllung aus in der Südhälfte braungrauem, humosem Sand sowie orangem, lehmigem Sand (verziegelt?) mit Holzkohlestücken und in der Nordhälfte braungrauem, holzkohlehaltigem, lehmigem Sand.

Funde: Verkohltes Material aus Bodenprobe (FNR. 64, 91)

Befund 36 - Südwestsektor - Mittelpunkt: (x) 3582857,31; (y) 5993653,45; (z) 53,45

Deutung: ?

Aufsicht: In der Aufsicht eine humose Verfärbung (0,29 × ? m) unbekannter Form am südlichen Ende einer größeren, unregelmäßig lang gestreckten Verfärbung.

Anschnitt: Im Anschnitt keine klare Kontur.

Funde: Keine

Tafel: 212.

Befund 37 - Südwestsektor - Mittelpunkt: (x) 3582856,67; (y) 5993654,02; (z) 53,48

Deutung: ?

Aufsicht: In der Aufsicht eine ovale, humose Verfärbung (0,39 × 0,23 m) in der Mitte einer größeren, lang gestreckten Verfärbung.

Anschnitt: Im Anschnitt keine klare Kontur; Füllung aus braungrauem - hellbraungrauem, gering kohlehaltigem, leicht lehmigem Feinsand.

Funde: Verkohltes Material aus Bodenprobe (FNR. 81)

Befund 38 - Südwestsektor - Mittelpunkt: (x) 3582855,73; (y) 5993653,7; (z) 53,45

Deutung: ?

Aufsicht: In der Aufsicht eine ovale, humose Verfärbung (0,39 × 0,25 m).

Anschnitt: Im Anschnitt keine klare Kontur.

Funde: Keine

Befund 39 - Südwestsektor - Mittelpunkt: (x) 3582855,33; (y) 5993653,34; (z) 53,48

Deutung: ?

Aufsicht: In der Aufsicht eine etwa kreisrunde, humose Verfärbung (Dm. 0,33 m).

Anschnitt: Im Anschnitt keine klare Kontur.

Funde: Keine

Befund 40 - Südwestsektor - Mittelpunkt: (x) 3582854,14; (y) 5993654,07; (z) 53,46

Deutung: ?

Aufsicht: In der Aufsicht eine langovale, humose Verfärbung (0,49 × 0,24 m).

Anschnitt: Im Anschnitt keine klare Kontur.

Funde: Flint (FNR. 136), Verkohltes Material aus Bodenprobe (FNR. 84)

Befund 41 - Südwestsektor - Mittelpunkt: (x) 3582852,23; (y) 5993656,4; (z) 53,54

Deutung: Pfofengrube?

Aufsicht: In der Aufsicht eine langovale, humose Verfärbung (1,28 × 0,57 m).

Anschnitt: Im Anschnitt der Rest einer 1,32 m langen Eintiefung (Resttiefe: 0,18 m) mit im mittleren Bereich etwa eben verlaufender Sohle; Füllung aus dunkelbraungrauem, gering kohlehaltigem, leicht lehmigem Sand.

Funde: Keramik (FNR. 41), Verkohltes Material aus Bodenprobe (FNR. 63, 85)

Tafel: 208.

Befund 42 - Südwestsektor - Mittelpunkt: (x) 3582851,9; (y) 5993657,71; (z) 53,53

Deutung: ?

Aufsicht: In der Aufsicht eine unregelmäßige, humose Verfärbung (0,43 × 0,32 m).

Anschnitt: Im Anschnitt keine klare Kontur.

Funde: Keine

Befund 43 - Südwestsektor - Mittelpunkt: (x) 3582851,1; (y) 5993656,89; (z) 53,52

Deutung: Tiergang.

Aufsicht: In der Aufsicht eine ovale, humose Verfärbung (0,25 × 0,18 m).

Anschnitt: Im Anschnitt eine Konzentration von Tiergängen.

Funde: Keine

Befund 44 - Südwestsektor - Mittelpunkt: (x) 3582850,31; (y) 5993656,81; (z) 53,48

Deutung: Steingrube.

Aufsicht: In der Aufsicht eine gebogene, langgestreckte, humose Verfärbung (2,43 × 0,5 m).

Anschnitt: Im Anschnitt eine 1,1 m lange (nur der nördliche Teil geschnitten; siehe Grabungsplan), etwa trichterförmige Eintiefung (Resttiefe: 0,32 m) mit unregelmäßig muldenförmig

verlaufender Sohle; Füllung aus braungrauem, leicht lehmigem Sand mit vielen etwa faustgroßen Steinen (nicht mürbe!).

Funde: Keine

Tafel: 206.

Befund 45 - Südwestsektor - Mittelpunkt: (x) 3582851,43; (y) 5993654,85; (z) 53,49

Deutung: Pfostengrube.

Aufsicht: In der Aufsicht eine etwa kreisrunde, humose Verfärbung (Dm. 0,39 m).

Anschnitt: Im Anschnitt eine 0,26 m breite, steiltrichterförmige Eintiefung (Resttiefe: 0,25 m) mit muldenförmig verlaufender Sohle; Füllung aus braungrauem, leicht lehmigem Sand.

Funde: Keine

Tafel: 209.

Befund 46 - Südwestsektor - Mittelpunkt: (x) 3582851,4; (y) 5993653,37; (z) 53,46

Deutung: ?

Aufsicht: In der Aufsicht eine ovale, humose Verfärbung (0,27 × 0,19 m).

Anschnitt: Im Anschnitt keine klare Kontur.

Funde: Keine

Befund 47 - Südwestsektor - Mittelpunkt: (x) 3582848,48; (y) 5993654,09; (z) 53,46

Deutung: Steinstandspur.

Aufsicht: In der Aufsicht eine etwa kreisrunde, humose Verfärbung (Dm. 0,35 m).

Anschnitt: Im Anschnitt eine 0,35 m breite Eintiefung (Resttiefe: 0,09 m) mit etwa muldenförmig verlaufender Sohle; Füllung aus dunkelbraungrauem, humosem, lehmigem Sand; sehr scharfe Kontur.

Funde: Keine

Befund 48 - Südwestsektor - Mittelpunkt: (x) 3582851,16; (y) 5993650,64; (z) 53,41

Deutung: ?

Aufsicht: In der Aufsicht eine bogenförmige, humose Verfärbung (0,28 × 0,15 m).

Anschnitt: Im Anschnitt keine klare Kontur; etwas heller und grauer als Umgebung; kohlehaltig

Funde: Keine

Befund 49 - Südwestsektor - Mittelpunkt: (x) 3582854,23; (y) 5993652,27; (z) 53,42

Deutung: ?

Aufsicht: In der Aufsicht eine etwa kreisrunde, humose Verfärbung (Dm. 0,27 m).

Anschnitt: Im Anschnitt keine klare Kontur.

Funde: Keine

Befund 50 - Südwestsektor - Mittelpunkt: (x) 3582853,81; (y) 5993651,56; (z) 53,38

Deutung: ?

Aufsicht: In der Aufsicht eine ovale, humose Verfärbung (0,43 × 0,36 m).

Anschnitt: Im Anschnitt keine klare Kontur.

Funde: Keine

Befund 51 - Südwestsektor - Mittelpunkt: (x) 3582852,51; (y) 5993649,95; (z) 53,28

Deutung: Tiergang.

Aufsicht: In der Aufsicht eine etwa schlüssellochförmige, humose Verfärbung (0,52 × 0,21 m).

Anschnitt: Im Anschnitt eine Konzentration von kleinen Tiergängen.

Funde: Keine

Befund 52 - Südwestsektor - Mittelpunkt: (x) 3582857,22; (y) 5993648,95; (z) 53,19

Deutung: Tiergang.

Aufsicht: In der Aufsicht eine unregelmäßige, humose Verfärbung (0,87 × 0,54 m).

Anschnitt: Im Anschnitt eine Konzentration von kleinen Tiergängen.

Funde: Keine

Befund 53 - Südwestsektor - Mittelpunkt: (x) 3582851,09; (y) 5993647,05; (z) 53,05

Deutung: Tiergang.

Aufsicht: In der Aufsicht eine etwa abgerundet rechteckige, humose Verfärbung (0,78 × 0,47 m).

Anschnitt: Im Anschnitt eine Konzentration von kleinen Tiergängen.

Funde: Keine

Befund 54 - Südwestsektor - Mittelpunkt: (x) 3582857,54; (y) 5993650,23; (z) 53,28

Deutung: Tiergang.

Aufsicht: In der Aufsicht eine unregelmäßig langovale, humose Verfärbung (0,59 × 0,27 m).

Anschnitt: Im Anschnitt eine Konzentration von kleinen Tiergängen.

Funde: Keine

Befund 55 - Südostsektor - Mittelpunkt: (x) 3582862,53; (y) 5993653,2; (z) 53,71

Deutung: Steinkonzentration (ehemalige zerstörte Nachbestattung?).

Aufsicht: In der Aufsicht eine von West nach Ost ausgerichtete, gestörte Konzentration (ca. 4 × 1 m) faust- bis doppelfaustgroßer Steine; Oberkante der Steine im Süden um bis zu 0,2 m niedriger als im Norden.

Anschnitt: Im Anschnitt eine Eintiefung (Resttiefe: m) mit verlaufender Sohle.

Funde: Keramik (FNR. 78)

Befund 56 - Südostsektor - Mittelpunkt: (x) 3582861,05; (y) 5993651,95; (z) 53,39

Deutung: ?

Aufsicht: In der Aufsicht eine ovale, humose Verfärbung (0,28 × 0,2 m).

Anschnitt: Im Anschnitt keine klare Kontur.

Funde: Keine

Befund 57 - Südostsektor - Mittelpunkt: (x) 3582862,92; (y) 5993651,27; (z) 53,28

Deutung: Pfostengrube.

Aufsicht: In der Aufsicht eine etwa kreisrunde, humose Verfärbung (0,58 × 0,5 m).

Anschnitt: Im Anschnitt eine 0,42 m breite, zylindrische Eintiefung (Resttiefe: 0,55 m) mit eben verlaufender Sohle; Füllung aus braungrauem, lehmigem Sand mit gelbbraunen u. hellgrauen Flecken; unterer Bereich etwas dunkler und fleckiger; mehrere doppelfaust- bis kopfgroße Steine (Verkeilsteine?).

Funde: Verkohltes Material aus Bodenprobe (FNR. 66, 82)

Tafel: 209.

Befund 58 - Südostsektor - Mittelpunkt: (x) 3582864,09; (y) 5993650,33; (z) 53,25

Deutung: Pfostengrube.

Aufsicht: In der Aufsicht eine unregelmäßige, humose Verfärbung (0,57 × 0,19 m).

Anschnitt: Im Anschnitt eine 0,56 m breite, steiltrichterförmige Eintiefung (Resttiefe: 0,15 m) mit vermutlich muldenförmig verlaufender Sohle; Füllung aus braungrauem, sandigem Lehm teilweise mit einigen hellen Flecken; im nördlichen Randbereich eine 0,33 m tiefe schlauchartige Fortsetzung (Wurzel-/Tiergang?).

Funde: Verkohltes Material aus Bodenprobe (FNR. 65, 87)

Tafel: 209.

Befund 59 - Südostsektor - Mittelpunkt: (x) 3582863,98; (y) 5993648,55; (z) 53,21

Deutung: ?

Aufsicht: In der Aufsicht eine unregelmäßige, humose Verfärbung (1,14 × 0,22-0,69 m).

Anschnitt: Im Anschnitt keine klare Kontur.

Funde: Keine

Befund 60 - Südostsektor - Mittelpunkt: (x) 3582865,64; (y) 5993651,34; (z) 53,23

Deutung: Pfostengrube.

Aufsicht: In der Aufsicht eine etwa herzförmige, humose Verfärbung (0,26 × 0,22 m).

Anschnitt: Im Anschnitt eine 0,21 m breite, etwa steiltrichterförmige Eintiefung (Resttiefe: 0,17 m) mit spitz muldenförmig verlaufender Sohle; Füllung aus braungrauem, lehmigem Sand.

Funde: Verkohltes Material aus Bodenprobe (FNR. 88)

Tafel: 209.

Befund 61 - Südostsektor - Mittelpunkt: (x) 3582867,61; (y) 5993651,48; (z) 53,27

Deutung: ?

Aufsicht: In der Aufsicht eine etwa ovale, humose Verfärbung (0,37 × 0,27 m).

Anschnitt: Im Anschnitt keine klare Kontur.

Funde: Keine

Befund 62 - Südostsektor - Mittelpunkt: (x) 3582867,82; (y) 5993654,7; (z) 53,35

Deutung: ?

Aufsicht: In der Aufsicht eine schwach ovale, humose Verfärbung (0,3 × 0,27 m).

Anschnitt: Im Anschnitt der Rest einer muldenförmigen Eintiefung (Resttiefe: 0,02 m).

Funde: Keine

Befund 63 - Südostsektor - Mittelpunkt: (x) 3582864,62; (y) 5993655,66; (z) 53,36

Deutung: Tiergang.

Aufsicht: In der Aufsicht eine ovale, humose Verfärbung (0,24 × 0,19 m).

Anschnitt: Keine Angaben.

Funde: Keine

Befund 64 - Südostsektor - Mittelpunkt: (x) 3582864,32; (y) 5993656,69; (z) 53,39

Deutung: Baumwurfgrube.

Aufsicht: In der Aufsicht eine langovale, humose Verfärbung (1,41 × 0,54 m).

Anschnitt: Keine Angaben.

Funde: Keine

Befund 65 - Südostsektor - Mittelpunkt: (x) 3582863,39; (y) 5993657,05; (z) 53,4

Deutung: Baumwurfgrube.

Aufsicht: In der Aufsicht eine etwa ovale, humose Verfärbung (0,37 × 0,22 m).

Anschnitt: Keine Angaben.

Funde: Keine

Befund 66 - Südostsektor - Mittelpunkt: (x) 3582863,15; (y) 5993656,05; (z) 53,4

Deutung: Pfostengrube.

Aufsicht: In der Aufsicht eine etwa ovale, humose Verfärbung (0,35 × 0,21 m).

Anschnitt: Im Anschnitt eine 0,41 m breite, steiltrichterförmige Eintiefung (Resttiefe: 0,26 m) mit muldenförmig verlaufender Sohle; Füllung aus braungrauem, gering kohlehaltigem, lehmigem Sand mit vielen weißgrauen und gelbbraunen Flecken.

Funde: Flint (FNR. 35), Verkohltes Material aus Bodenprobe (FNR. 68, 83)

Tafel: 209.

Befund 67 - Südostsektor - Mittelpunkt: (x) 3582861,11; (y) 5993657,38; (z) 53,4

Deutung: ?

Aufsicht: In der Aufsicht eine humose Verfärbung (1,22 × 0,46 m) unbekannter Form (nicht vollständig erfasst).

Anschnitt: Im Anschnitt keine klare Kontur.

Funde: Verkohltes Material aus Bodenprobe (FNR. 89)

Befund 68 - Südostsektor - Mittelpunkt: (x) 3582869,92; (y) 5993657,69; (z) 53,35

Deutung: ?

Aufsicht: In der Aufsicht eine unregelmäßig ovale, humose Verfärbung (1,01 × 0,73 m).

Anschnitt: Im Anschnitt keine klare Kontur.

Funde: Keine

Befund 69 - Südostsektor - Mittelpunkt: (x) 3582868,58; (y) 5993656,06; (z) 53,34

Deutung: Tiergang.

Aufsicht: In der Aufsicht eine etwa kreisrunde, humose Verfärbung (Dm 0,3 m).

Anschnitt: Im Anschnitt ein Tiergang.

Funde: Keine

Befund 70 - Südostsektor - Mittelpunkt: (x) 3582872,59; (y) 5993658,36; (z) 53,32

Deutung: ?

Aufsicht: In der Aufsicht eine abgerundet V-förmige, humose Verfärbung (0,8 × 0,29-0,71 m).

Anschnitt: Im Anschnitt der Rest einer 0,86 m breiten Eintiefung (Resttiefe: 0,12 m) mit unregelmäßig verlaufender Sohle; Füllung aus braungrauem, lehmigem Sand; im südlichen Teil mit vielen hellen Flecken.

Funde: Keine

Befund 71 - Südostsektor - Mittelpunkt: (x) 3582869,91; (y) 5993654,87; (z) 53,28

Deutung: ?

Aufsicht: In der Aufsicht eine unregelmäßige, humose Verfärbung (1,17 × 0,75 m).

Anschnitt: Im Anschnitt keine klare Kontur.

Funde: Keine

Befund 72 - Südostsektor - Mittelpunkt: (x) 3582870,6; (y) 5993650,29; (z) 53,21

Deutung: ?

Aufsicht: In der Aufsicht eine abgerundet quadratische, humose Verfärbung (0,68 × 0,62 m) mit einem grabenartigen Anschluss im Westen.

Anschnitt: Im Anschnitt keine klare Kontur.

Funde: Keine

Befund 73 - Südostsektor - Mittelpunkt: (x) 3582868,17; (y) 5993649,32; (z) 53,23

Deutung: ?

Aufsicht: In der Aufsicht eine unregelmäßige, humose Verfärbung (0,46 × 0,42 m).

Anschnitt: Im Anschnitt der Rest einer 1,14 m langen Eintiefung (Resttiefe: bis zu 0,19 m) mit unregelmäßig verlaufender Sohle; Füllung aus braungrauem, humosem Sand mit vielen hellen Flecken.

Funde: Keine

Befund 74 - Südostsektor - Mittelpunkt: (x) 3582873,09; (y) 5993652,06; (z) 53,12

Deutung: Pfostengrube.

Aufsicht: In der Aufsicht eine unregelmäßige, humose Verfärbung (0,43 × 0,25 m).

Anschnitt: Im Anschnitt der Rest einer 0,33 m breiten Eintiefung (Resttiefe: 0,08 m) mit unregelmäßig verlaufender Sohle; Füllung aus braungrauem, gering kohlehaltigem, lehmigem Sand mit hellen Flecken.

Funde: Keine

Tafel: 210.

Befund 75 - Südostsektor - Mittelpunkt: (x) 3582872,65; (y) 5993656,01; (z) 53,29

Deutung: Tiergang.

Aufsicht: In der Aufsicht eine ovale, humose Verfärbung (0,68 × 0,57 m).

Anschnitt: Im Anschnitt eine Konzentration von Tiergängen.

Funde: Keine

Befund 76 - Nordostsektor - Mittelpunkt: (x) 3582871,76; (y) 5993659,97; (z) 53,63

Deutung: Steinkonzentration (ehemalige zerstörte Urnennachbestattung?).

Aufsicht: In der Aufsicht eine gestörte Konzentration faust- bis doppelfaustgroßer Steine (0,5 × 0,43 m).

Anschnitt: Im Anschnitt eine Eintiefung (Resttiefe: m) mit verlaufender Sohle.

Funde: Keramik (FNR. 19), Kalzinierte Knochen (FNR. 16), Flint (FNR. 18), erhitzter Flint (FNR. 17), Organisches Material (?; FNR. 20)

Tafel: 217.

Befund 77 - Nordostsektor - Mittelpunkt: (x) 3582872,21; (y) 5993664,62; (z) 53,25

Deutung: zu Befund 96.

Aufsicht: In der Aufsicht eine etwa ovale, humose Verfärbung (0,32 × 0,25 m) in der südlichen Hälfte einer größeren Verfärbung (Nordhälfte: Befund 96).

Anschnitt: Im Anschnitt mit Befund 96 ohne sichtbare Grenze zusammenhängend (siehe Befund 96).

Funde: Keine

Tafel: 212.

Befund 78 - Nordostsektor - Mittelpunkt: (x) 3582871,83; (y) 5993665,24; (z) 53,21

Deutung: Tiergang.

Aufsicht: In der Aufsicht eine ovale, humose Verfärbung (0,27 × 0,15 m).

Anschnitt: Im Anschnitt eine Eintiefung (Resttiefe: m) mit verlaufender Sohle.

Funde: Keine

Tafel: 212.

Befund 79 - Nordostsektor - Mittelpunkt: (x) 3582871,75; (y) 5993665,85; (z) 53,19

Deutung: ?

Aufsicht: In der Aufsicht eine etwa kreisrunde, humose Verfärbung (0,37 × 0,31 m).

Anschnitt: Im Anschnitt keine klare Kontur.

Funde: Keine

Befund 80 - Nordostsektor - Mittelpunkt: (x) 3582871,65; (y) 5993666,58; (z) 53,19

Deutung: ?

Aufsicht: In der Aufsicht eine ovale, humose Verfärbung (0,18 × 0,14 m).

Anschnitt: Im Anschnitt keine klare Kontur.

Funde: Keine

Befund 81 - Nordostsektor - Mittelpunkt: (x) 3582871,24; (y) 5993666,51; (z) 53,23

Deutung: ?

Aufsicht: In der Aufsicht eine vermutlich ovale, humose Verfärbung (0,66 × ca. 0,53 m) im südlichen Randbereich einer größeren Verfärbung (siehe auch Befund 82, 83 u. 92).

Anschnitt: Im Anschnitt keine klare Kontur.

Funde: Keine

Befund 82 - Nordostsektor - Mittelpunkt: (x) 3582871,46; (y) 5993668,2; (z) 53,23

Deutung: Baumwurfgrube.

Aufsicht: In der Aufsicht eine unregelmäßige, humose Verfärbung (2,65 × 0,74-1,28 m) im östlichen Randbereich einer größeren Verfärbung (siehe auch Befund 81, 83 u. 92).

Anschnitt: Im Anschnitt eine 2,75 m lange, steiltrichterförmige - trichterförmige Eintiefung (Resttiefe: 0,5 m) mit muldenförmig verlaufender Sohle; Füllung aus dunkelbraungrauem, kohlehaltigem, leicht lehmigem Sand.

Funde: Keine

Befund 83 - Nordostsektor - Mittelpunkt: (x) 3582867,75; (y) 5993667,31; (z) 53,33

Deutung: ?

Aufsicht: In der Aufsicht eine vermutlich ovale, humose Verfärbung (ca. 0,95 × 0,74 m) im westlichen Randbereich einer größeren Verfärbung (siehe auch Befund 81, 82 u. 92).

Anschnitt: Im Anschnitt der Rest einer Eintiefung (Resttiefe: 0,11 m) mit unregelmäßig verlaufender Sohle; Füllung aus braungrauem, lehmigem Sand.

Funde: Keine

Befund 84 - Nordostsektor - Mittelpunkt: (x) 3582866,53; (y) 5993666,88; (z) 53,35

Deutung: ?

Aufsicht: In der Aufsicht eine ovale, humose Verfärbung (0,3 × 0,2 m).

Anschnitt: Im Anschnitt keine klare Kontur; Füllung aus gering kohlehaltigem, braungrauem, lehmigem Sand.

Funde: Keine

Befund 85 - Nordostsektor - Mittelpunkt: (x) 3582864,92; (y) 5993667,14; (z) 53,36

Deutung: Grube.

Aufsicht: In der Aufsicht eine unregelmäßig lang gestreckte, humose Verfärbung (2,26 × 1,04 m).

Anschnitt: Im Anschnitt eine 2,24 m breite, unregelmäßig steiltrichterförmige - trichterförmige Eintiefung (Resttiefe: 0,9 m) mit etwa eben verlaufender Sohle; Füllung aus braungrauem, kohlehaltigem, lehmigem Sand mit vielen Manganoxidflecken; im Sohlenbereich die Füllung etwas heller.

Funde: Verkohltes Material aus Bodenprobe (FNR. 86), Material unbekannt (Natur?; FNR. 54)

Tafel: 206.

Befund 86 - Nordostsektor - Mittelpunkt: (x) 3582863,32; (y) 5993665,76; (z) 53,33

Deutung: ?

Aufsicht: In der Aufsicht eine kreisrunde, humose Verfärbung (Dm. 0,21 m).

Anschnitt: Im Anschnitt keine klare Kontur.

Funde: Flint (FNR. 39)

Befund 87 - Nordostsektor - Mittelpunkt: (x) 3582862,35; (y) 5993665,06; (z) 53,35

Deutung: ?

Aufsicht: In der Aufsicht eine ovale, humose Verfärbung (0,57 × 0,38 m).

Anschnitt: Im Anschnitt der Rest einer humosen Eintiefung (Resttiefe: 0,05 m).

Funde: Keine

Befund 88 - Nordostsektor - Mittelpunkt: (x) 3582862,13; (y) 5993667,71; (z) 53,29

Deutung: Pfostengrube.

Aufsicht: In der Aufsicht eine schwach ovale, humose Verfärbung (Dm. 0,31 m).

Anschnitt: Im Anschnitt eine etwa 0,26 m breite, steiltrichterförmige Eintiefung (Resttiefe: 0,35 m) mit schmal muldenförmig verlaufender Sohle (Kontur verwaschen); Füllung aus graubraunem - hellgraubraunem, kohlehaltigem, leicht lehmigem Sand.

Funde: Keine

Tafel: 210.

Befund 89 - Nordostsektor - Mittelpunkt: (x) 3582861,65; (y) 5993670,2; (z) 53,13

Deutung: ?

Aufsicht: In der Aufsicht eine ovale, humose Verfärbung (0,42 × 0,31 m).

Anschnitt: Im Anschnitt keine klare Kontur.

Funde: Keine

Befund 90 - Nordostsektor - Mittelpunkt: (x) 3582864,22; (y) 5993669,62; (z) 53,16

Deutung: Branderdestelle.

Aufsicht: In der Aufsicht eine kreisrunde, humose Verfärbung (Dm. 0,22 m).

Anschnitt: Im Anschnitt nur oberflächlich eine Holzkohlekonzentration (Dm. ca. 0,1 m; Resttiefe: 0,03 m).

Funde: Flint (FNR. 40), Holzkohle (FNR. 51)

Befund 91 - Nordostsektor - Mittelpunkt: (x) 3582866,26; (y) 5993668,77; (z) 53,26

Deutung: ?

Aufsicht: In der Aufsicht eine unregelmäßig, etwa quadratische, humose Verfärbung (0,87 × 0,73 m).

Anschnitt: Im Anschnitt keine klare Kontur; Füllung aus braungrauem, kohlehaltigem Sand.

Funde: Verkohltes Material aus Bodenprobe (FNR. 93), Organisches Material (?; FNR. 53)

Befund 92 - Nordostsektor - Mittelpunkt: (x) 3582869,38; (y) 5993668,39; (z) 53,3

Deutung: Baumwurfgrube.

Aufsicht: In der Aufsicht eine unregelmäßige, humose Verfärbung (2,78 × 1,04-? m) im mittleren Bereich einer größeren Verfärbung (siehe auch Befund 81-83).

Anschnitt: Im Anschnitt eine 2,63 m lange, unregelmäßig trichter- und steiltrichterförmige Eintiefung (Resttiefe: 0,7 m) mit etwa eben verlaufender Sohle; Füllung aus dunkelbraungrauem, kohlehaltigem, leicht lehmigem Sand.

Funde: Keine

Befund 93 - Nordostsektor - Mittelpunkt: (x) 3582868,09; (y) 5993670,44; (z) 53,28

Deutung: Steinkonzentration (ehemalige zerstörte Nachbestattung?).

Aufsicht: In der Aufsicht eine von Nordost nach Südwest ausgerichtete, gestörte Konzentration faust- bis kopfgroßer Steine (ca. 3 × 1,5 m).

Anschnitt: Im Anschnitt eine Eintiefung (Resttiefe: m) mit verlaufender Sohle.

Funde: Keine

Befund 94 - Nordostsektor - Mittelpunkt: (x) 3582869,52; (y) 5993662,36; (z) 53,47

Deutung: ? (modern)

Aufsicht: In der Aufsicht eine langovale, humose Verfärbung (0,91 × 0,27 m).

Anschnitt: Im Anschnitt eine 0,85 m lange Eintiefung (Resttiefe: 0,22 m) mit leicht konvex verlaufender Sohle (sehr scharfe Kontur - modern); Füllung aus braungrauem, leicht lehmigem Sand; im östlichen Boden mit vielen hellen Flecken aus anstehendem gelbbraunem, kiesigem Sand.

Funde: Keine

Befund 95 - Nordostsektor - Mittelpunkt: (x) 3582862,67; (y) 5993662,18; (z) 53,9

Deutung: Grab (Körpergrab)

Aufsicht: In der Aufsicht eine von Nordost nach Südwest ausgerichtete, etwa abgerundet rechteckige Packung (3,74 × 1,3-1,53 m) faust- bis kopfgroßer Steine; in der Mitte auf einer rechteckigen Fläche (2,42 × 0,3-0,5 m) begann die Steinpackung erst 5-10 cm tiefer (= Rest der Aussparung für einen Holzsarg); auf der Sohle dieser Innenfläche verschiedene *Funde*: kleines Keramikgefäß sowie ein Bronzefragment am nordöstlichen Ende, bronzene Ring- u. Dolchfragmente etwas südwestlich der Mitte und eine ebenfalls bronzene, große Nadel sowie Ringfragmente und breitartige Holz- und Knochenreste vor dem südwestlichen Ende).

Anschnitt: Im Anschnitt eine Eintiefung (Resttiefe: m) mit verlaufender Sohle.

Funde: Bronze (FNR. 22, 25, 27, 51), Keramik (FNR. 24, 29, 36, 37), Flint (FNR. 30, 38, 52, 53), Zahn (FNR. 31), Kalzinierte Knochen (FNR. 137), Holz (FNR. 58, 59, 71, 77), Organisches Material (FNR. 21, 23, 33-39).

Tafel: 211-216.

Befund 96 - Nordostsektor - Mittelpunkt: (x) 3582872,03; (y) 5993664,92; (z) 53,23

Deutung: ?

Aufsicht: In der Aufsicht eine kreisrunde, humose Verfärbung (Dm. 0,3 m) in der nördlichen Hälfte einer größeren Verfärbung (siehe auch Befund 77).

Anschnitt: Im Anschnitt keine klare Kontur; Füllung aus braungrauem, leicht lehmigem Sand mit sehr vielen hellen Flecken.

Funde: Keine

Befund 97 - Nordostsektor - Mittelpunkt: (x) 3582865,73; (y) 5993671,55; (z) 52,97

Deutung: ?

Aufsicht: In der Aufsicht eine langovale, humose Verfärbung (0,44 × 0,21 m).

Anschnitt: Im Anschnitt keine klare Kontur.

Funde: Keine

Befund 98 - Nordostsektor - Mittelpunkt: (x) 3582867,84; (y) 5993671,95; (z) 52,95

Deutung: ?

Aufsicht: In der Aufsicht eine langovale, humose Verfärbung (1,25 × 0,64 m).

Anschnitt: Im Anschnitt der Rest einer >1,76 m langen Eintiefung (Resttiefe: 0,34 m) mit unregelmäßig verlaufender Sohle (Konturen verwaschen); Füllung aus braungrauem Sand mit hellen Flecken; im nördlichen Randbereich braungrauer, kohlehaltiger, leicht lehmiger Sand und darunter hellbraungrauer, sandiger Lehm.

Funde: Keine

Befund 99 - Nordostsektor - Mittelpunkt: (x) 3582872,15; (y) 5993670,96; (z) 52,94

Deutung: Grube?

Aufsicht: In der Aufsicht eine humose Verfärbung (>0,74 x >0,79 m) unbekannter Form (nicht vollständig erfasst).

Anschnitt: Im Anschnitt eine >0,5 m breite, im Westen steiltrichterförmige Eintiefung (Resttiefe: 0,65 m) mit vermutlich unregelmäßig verlaufender Sohle (unklar, ob die außen anschließenden deutlich helleren Bereiche zu dem Befund gehörten); Füllung aus dunkelbraungrauem - braungrauem, kohlehaltigem, lehmigem Sand.

Funde: Keine

Tafel: 207.

Befund 100 - Südostsektor - Mittelpunkt: (x) 3582863,46; (y) 5993670,96; (z) <53,53

Deutung: Pfostengrube.

Aufsicht: In der Aufsicht eine unregelmäßig lang gestreckte, humose Verfärbung (0,87 × 0,5 m).

Anschnitt: Im Anschnitt eine 0,48 m lange, steiltrichter- bis trichterförmige Eintiefung (Resttiefe: 0,2 m) mit etwa

muldenförmig verlaufender Sohle; Füllung aus braungrauem, gering kohlehaltigem, lehmigem Sand mit wenigen hellen Flecken.

Funde: Keramik (FNR. 45), Verkohltes Material aus Bodenprobe (FNR. 67, 92)

Tafel: 210.

Befund 101 - Südostsektor - Mittelpunkt: (x) 3582863,99; (y) 5993670,96; (z) <53,53

Deutung: ?

Aufsicht: In der Aufsicht eine ovale, humose Verfärbung (0,37 × 0,24 m).

Anschnitt: Im Anschnitt der Rest einer 0,2 m breiten Eintiefung (Resttiefe: 0,1 m) mit spitz zulaufender Sohle.

Funde: Keine

Tafel: 210.

Befund 102 - Nordostsektor - Mittelpunkt: (x) 3582871,3; (y) 5993660,46; (z) 53,58

Deutung: Steinreihe.

Aufsicht: In der Aufsicht eine von Nordnordost nach Südsüdwest ausgerichtete Reihe (L. 1,4 m) doppelfaust- bis kopfgroßer Steine.

Anschnitt: Steinreihe durch einen Tiergang unterbrochen.

Funde: Keine

Befund 103 - Nordostsektor - Mittelpunkt: (x) 3582870,32; (y) 5993660,06; (z) 53,5

Deutung: ?

Aufsicht: In der Aufsicht eine vermutlich abgerundet rechteckige, humose Verfärbung (>1,11 × 0,78 m; nicht vollständig erfasst).

Anschnitt: Im Anschnitt ohne klare Kontur.

Funde: Keine

Befund 104 - Nordostsektor - Mittelpunkt: (x) 3582871,59; (y) 5993664,44; (z) 53,25

Deutung: Steinstandspur.

Aufsicht: In der Aufsicht eine etwa ovale, humose Verfärbung (0,47 × 0,34 m).

Anschnitt: Im Anschnitt der Rest einer humosen Eintiefung (Resttiefe: 0,05 m).

Funde: Keine

Befund 105 - Profilsteg Ost - Mittelpunkt: (x) 3582869,09; (y) 5993658,66; (z) ca. 53,35

Deutung: Pfostengrube.

Aufsicht: In der Aufsicht eine ovale, humose Verfärbung (0,31 × 0,23 m).

Anschnitt: Im Anschnitt eine 0,32 m breite, vermutlich steiltrichterförmige Eintiefung (Resttiefe: 0,13m) mit muldenförmig verlaufender Sohle (verwaschene Kontur); Füllung aus grauem, kohlehaltigem, lehmigem Sand.

Funde: Keine

Tafel: 210.

Befund 106 - Profilsteg Ost - Mittelpunkt: (x) 3582870,84; (y) 5993658,99; (z) ca. 53,35

Deutung: ?

Aufsicht: In der Aufsicht eine etwa ovale, humose Verfärbung (0,39 × 0,33 m).

Anschnitt: Im Anschnitt der Rest einer 0,4 m breiten Eintiefung (Resttiefe: 0,12 m) mit schmal muldenförmig verlaufender Sohle (verwaschene Kontur); keine Angaben zur Füllung.

Funde: Keine

Befund 107 - Profilsteg Nord - Mittelpunkt: (x) 3582860,27; (y) 5993664,09; (z) ca. 53,4

Deutung: ?

Aufsicht: In der Aufsicht eine vermutlich langovale, humose Verfärbung (>0,93 × 0,57 m; nicht vollständig erfasst).

Anschnitt: Im Anschnitt der Rest einer 0,36 m langen Eintiefung (Resttiefe: 0,04 m) mit vermutlich muldenförmig verlaufender Sohle (Kontur verwaschen); Füllung aus braungrauem, kohlehaltigem Sand.

Funde: Flint (FNR. 61)

Tafel: 217.

Befund 108 - Nordostsektor, Profilstege - Mittelpunkt: (x) 3582864,84; (y) 5993661,06; (z) 53,52

Deutung: Hakenflugspuren.

Aufsicht: Auf einer Fläche von ca. 11 × 6 m im Bereich der Hügelmitte unterhalb der Hügelschüttung überwiegend von Nordost nach Südwest ausgerichtete Hakenflugspuren (z.T. auch im rechten Winkel dazu).

Anschnitt: Im Anschnitt eine Eintiefung (Resttiefe: m) mit verlaufender Sohle.

Funde: Holzkohle (FNR. 40), Verkohltes Material aus Bodenprobe (FNR. 44, 100?)

LA 63

(Tafel 219-223)

Befund: 1

Deutung: Hügelschüttung B.

Kontext: Quadrant SO.

Planum 1: Unter einem 30 bis 40cm starken A- Horizont ein grau brauner schwach gefleckter stark lehmiger Sand mit humosen Anteilen. Eine erhaltene Hügelschüttung welche sich nur im ersten Planum und dabei diffusen Grenzen erfassen mit einem Durchmesser von ca. 7,5 m ließ.

Funde: Keine

Befund: 2

Deutung: Steinkranz.

Kontext: Quadrant NW.

Planum 1: Konzentration von Faust- bis Doppelkopfgroßen Geröllsteinen am Rand der Hügelschüttung A. Verrissene Steine von Steinkranz.

Funde: Keine

Tafel: 222.

Befund: 3

Deutung: Steinsetzung.

Kontext: Quadrant SO.

Planum 1: Eine Steinsetzung mit Findling von Dm 0,75m und kopfgroßen Geröllsteinen. Im graubraunen schwach lehmigen Kolluvium.

Funde: Keine

Befund: 4

Deutung: Feuerstelle.

Kontext: Quadrant SO.

Planum 1: Ovale 0,6 × 0,4 m Feuerstelle im braungrauen anstehenden braunen Lehm.

Anschnitt 1: (aus Profil: Profil A-B)

Im Profil unregelmäßig mit einer Verfüllung aus schwarz grauen stark mit Holzkohlepartikel durchsetzter Sand. Einer Resttiefe von 10cm im anstehenden braungelben Sand.

Funde: SH2014-346.12

Tafel: 219.

Befund: 5

Deutung: Feuerstelle.

Kontext: Quadrant SO.

Planum 1: Rundliche Dm 0,55 m Feuerstelle mit faustgroßen hitzeermürbten Geröllsteinen im braungrauen anstehenden braunen Lehm.

Anschnitt 1: (aus Profil: Profil A-B)

Im Profil unregelmäßig mit einer teils zweilagigen Geröllsteinpackung aus faustgroßen hitzeermürbten Geröllsteinen. darunter 10cm Branderde.

Funde: SH2014-346.13

Tafel: 219.

Befund: 6

Deutung: Grabstelle [¹⁴C-datiert].

Kontext: Quadrant SO.

Funde: Pflanzlicher Überrest (SH2014-346.14; SH2014-346.15; SH2014-346.17; SH2014-346.18; SH2014-346.19), Holzkohle (SH2014-346.16)

Planum 1: Steinsetzung aus kopfgroßen Geröllsteinen. Teils verrissen und nur noch Steinstandspuren vorhanden. Ausdehnung ca. 2m im graubraunen gefleckten bindigen Sand. Zerstörte Steineinfassung vom Grab. Darunter nach den Anschnitten rekonstruiert eine Eingrabung in die Hügelschüttung. Ost west Ausrichtung mit den Ausmaßen von 3,6m und 1,3m

aus dunkelbraunem bindigem Sand mit einer Resttiefe von bis zu 20cm in die Hügelschüttung reichend. Im Profil mit scharfer Abgrenzung zur Hügelschüttung.

Funde: SH2014-346.11

Tafel: 221.

Befund: 7

Deutung: Hügelschüttung.

Kontext: Quadrant NW.

Planum 1:

Ein braungrauer stark lehmiger Sand. Teils nur diffus abgrenzbar zum anstehenden braunen Lehmboden. Ein Durchmesser von ca. 13m.

eine bis zu 24cm starke Hügelschüttung aus braun grau geflecktem lehmigem Sand. In diese eingelassen ein 10cm starke Schicht (0,8m Lang) aus dunkelbraunem stark bindigem Sand als homogene Einfüllung

Funde: Keine

Befund: 8 - ohne archäologische Relevanz.

Befund: 9

Deutung: Holzkohlekonzentration.

Kontext: Quadrant NO.

Planum 1: Eine runde 0,4m Dm Holzkohlekonzentration im anstehenden braunen Sand.

Anschnitt 1: (aus Profil: Profil A-B)

Im Profil muldenförmig mit einer Verfüllung aus schwarzen stark Holzkohlehaltigen Sand mit einer Resttiefe von 0,15m im anstehenden braunen Lehmboden.

Funde: Keine

Tafel: 220. **Befund: 10** - ohne archäologische Relevanz. **Befund: 11**

Deutung: Pfostengrube.

Kontext: Quadrant NO->Planum 2.

Planum 1:

Anschnitt 1: (aus Profil: Profil A-B)

Im Profil zylinderförmig mit einer ebenen Sohle und einer Verfüllung aus graulehmigen mit HKP- durchsetzter Sand und einer Holzkohlekonzentration auf der Grubensohle. Resttiefe von 0,3m im anstehenden braunen Lehm.

Funde: Keine

Tafel: 220.

Befund: 12

Deutung: Pfostengrube.

Kontext: Quadrant NO->Planum 2.

Planum 1:

Anschnitt 1: (aus Profil: Profil A-B) Im Profil zylinderförmig mit einer ebenen Sohle und einer Verfüllung aus graulehmigen mit HKP- durchsetzter Sand. Resttiefe von 0,1m im anstehenden braunen Lehm.

Tafel: 220.

LA 64

(Tafel 224-243)

Befund: 1

Deutung: Hügelschüttung

Kontext: Fläche: Quadrant SO->Planum 1

Planum 1: Ein braun grau gefleckter Sand mit hellen sandigen Straten und fleckig durchsetzt mit Holzkohlepartikel. In einem Durchmesser von ca. 8,2m bis zum gestörten Steinkranz reichend. Nur noch im Quadranten NW gut erkennbar sonst nur noch in diffusen Grenzen.

Planum 2:

Anschnitt 1: (aus Profil: Profil A-B-)

Anschnitt 1: (aus Profil: Profilsteg F-E-M)

Anschnitt 1: (aus Profil: Profilsteg H-M)

Anschnitt 1: (aus Profil: Profilsteg M-G)

Anschnitt 1: (aus Profil: Profilsteg M_B)

Anschnitt 1: (aus Profil: Profilsteg C_M)

Befund: 2

Deutung: Grab 2 [¹⁴C-datiert].

Kontext: Fläche: Quadrant SO->Planum 1

Funde: Abschlag (SH2014-351.5), Abspliss (SH2014-351.6), Bodenprobe (SH2014-351.9; SH2014-351.10; SH2014-351.11; SH2014-351.12), Holzkohle (SH2014-351.15)

Planum 1: Im Pflughorizont liegende faust- bis kopfgroße Geröllsteine auf einer Fläche von 3 × 1,5m. Stark verrissen mit größeren Lücken.

Planum 2: Ein von NW nach SO ausgerichtete stark gestörte Steinsetzung mit neuzeitlichen Pflugspuren. Südlich schon im anstehenden Kies liegend. Nördlich noch grau gefleckten schwach humosen Sandes (Hügelschüttung).

Planum 3: Kompakte annähernd rechteckige gestörte Steinsetzung aus faust- bis kopfgroßen Geröllsteinen. Mittig etwas dunklerer brauner leicht schlieriger Sand (Holzmoder ??). An den Rändern noch Hügelschüttung.

Planum 4: Noch gestörte Steinsetzung. Eingrabungsgrenzen der eingelassenen Grabkammer in diffusen Grenzen sichtbar. Mittig ebenfalls in diffusen Grenzen etwas dunklere Verfärbung der Baumsargreste erkennbar.

Planum 5: Wie Planum 4 aber mit deutlicheren Eingrabungsgrenzen.

Planum 6: wie Planum 5 aber mit deutlicheren kleiner werdenden Eingrabungsgrenzen.

Planum 7: Tiefer legen und entfernen der eingestürzten Steine des Steinhügels mit klaren Eingrabungsgrenzen.

Planum 8: Nach Abbau vom Profilsteg. Gut sichtbare Grabgrenzen aus hellbraunem fleckigem schwach humosem Kies mit Randsteinen und noch wenigen verstürzten Steinen. Eingelassen in anstehenden braun gelben Kies.

Planum 9: Grabsohle bestehend aus einen geschlossenen muldenförmige ausgelegten Steinpflaster aus faustgroßen Geröllsteinen und kopfgroßen darüber liegenden Randsteinen.

Die Innenmaße des Grabes 1,65 × 0,40 m und die Grenzen der Eingrabung sind 2,0 × 0,75 m.

Anschnitt 1 (aus Profil: Profil A-B)

Eingetiefe Grabgrube mit einer Resttiefe von 0,6m. 0,1m in die Hügelschüttung und 0,5m in den anstehenden Boden eingelassen. Mit einer leicht muldenförmigen Sohle und einem Steinpflaster aus faustgroßen Steinen mit höherliegender Einfassung aus kopfgroßen Steinen. Mit eingestürzten Steinen der Grababdeckung und Einfassung zwischen einem braun grauen schwach humosen Sand.

Anschnitt 1: (aus Profil: Profil A-B- Ergänzung)

Mit einer leicht muldenförmigen Sohle und einem Steinpflaster aus faustgroßen Steinen mit höherliegender Einfassung aus kopfgroßen Steinen. Eingelassen im anstehenden Sand mit Ortsteinschichten.

Anschnitt 1: (aus Profil: Profilsteg M_B)

Tafel: 225-234.

Befund: 3

Deutung: Grab 1.

Kontext: Fläche: Quadrant SO->Planum 1

Funde: Keramik (SH2014-351.1), Flint (SH2014-351.7), Fischschwanzdolch (SH2014-351.8), Bodenproben (SH2014-351.13; SH2014-351.14), Holzkohle (SH2014-351.16).

Planum 1: Im Pflughorizont liegende faust- bis doppelkopfgroße Geröllsteine auf einer Fläche von 4 × 3 m. Stark verrissen und vorwiegend als kompakte Lage.

Planum 2: Gestörte annähernd rechteckige flächige Steinsetzung mit umgebender Hügelschüttung.

Planum 3: Zwischenplanum. zwischen den Steinen und der freien Bereiche 5cm tiefer keine wesentlichen Veränderungen.

Planum 4: Von NW nach SO ausgerichtete parallele Reihen mit faust- bis kopfgroßen Geröllsteinen. In der Mitte eine steinlose Fläche von 1,8m x 0,3m mit dunkelbrauneren bis grauen leicht bindigen Sand und Spuren von Holzmoder (Baumsargreste). Mittig am westlichen Rand zwischen den parallel ausgerichteten Steinen die Lage eines Fischschwanzdolches mit der Spitze nach Osten zeigend.

Planum 5: Abgrenzung des Grabes wird erkennbar. Östlich und westlich einer Abgrenzung durch größere Einfassungssteine. Mittig zwei größere Stützsteine für den Baumsarg. Eine 1,3 × 0,3m große Verfärbung aus schwärzlich braunem schwach schlierigem Sand kennzeichnet die Lage des Baumsarges.

Planum 6: Grabsohle erreicht. Faust- bis kindskopfgroße Randsteine. Kein Steinpflaster auf Grabsohle. Eine leicht fleckige Sohle aus gelb grau braunem schwach humosem Sand. Darunter rötlichbrauner schwach sandiger anstehender Lehm

auf dem auch die Steine liegen. Die Innenmaße des Grabes betragen 2,2 × 0,7m

Anschnitt 1: (aus Profil: Profilsteg M_B)

Anschnitt 1: (aus Profil: Profilsteg F-E-M)

Anschnitt 1: (aus Profil: Profil A-B)

Ein auf den anstehenden braunen Lehm liegender Steinmantel von einem Baumsarg. Die Oberkante vom Steinmantel lag schon teilweise im Pflughorizont.

Anschnitt 1: (aus Profil: Profilsteg H-M)

Anschnitt 1: (aus Profil: Profilsteg M-G)

Tafel: 225, 235-240.

Befund: 4

Deutung: Steinkranz/Graben

Kontext: Fläche: Quadrant SW

Planum 1: Der äußere Steinkranz von ca.16m Durchmesser aus bis zu 0,4m großen Steinen welche teils zweireihig lagen. Nur noch im Quadranten NO zu zwei Drittel gut erhalten sonst nur noch fragmentarisch und durch einige Steinstandspuren nachzuweisen. Im nördlichen Bereich liegt der Steinkranz auf einer bis zu 0,3m starken Kolluviumsschicht. Der Steinkranz ist zu Grab 2 gehörig.

Planum 2:

Anschnitt 1: (aus Profil: Profil A-B-)

Ein großer 0,4 × 0,4m Stein vom Steinkranz auf der 0,3 m starken Hügelschüttung liegend heller Feinsand. Der anstehende ein gelblicher Kies.

Anschnitt 1: (aus Profil: Profilsteg M_B)

Anschnitt 1: (aus Profil: Profil A-B)

In einer 0,3m starken Hügelschüttung eine Steinstandspur zum Steinkranz gehörend. In der Steinstandspur eine Pflugspur. Der anstehende ein gelblicher Kies.

Anschnitt 1: (aus Profil: Profilsteg C_M)

Befund: 5

Deutung: Steinkranz

Kontext: Fläche: Quadrant NO

Planum 1: Der innere Steinkranz von ca. 6,8m Durchmesser aus bis zu 0,4m großen Steinen. Nur noch im Quadranten NW zu zwei Drittel erhalten. Vorwiegend auch durch Steinstandspuren.

In den anderen Quadranten nicht mehr erhalten. Zu den Gräbern 3 und 4 gehörend.

Planum 2:

Anschnitt 1: (aus Profil: Profil C-D)

Eine Steinstandspur vom Steinkranz auf einer 0,1 m starken Hügelschüttung liegend. Unter der Hügelschüttung der anstehende gelber braunere Kies.

Anschnitt 1: (aus Profil: Profil E-F)

Eine Steinstandspur vom Steinkranz auf einer 0,05 m starken Hügelschüttung liegend. Unter der Hügelschüttung der anstehende braune Kies.

Anschnitt 1: (aus Profil: Profil A-B)

Eine Steinstandspur vom Steinkranz auf einer 0,2 m starken Hügelschüttung liegend. Unter der Hügelschüttung der anstehende braune Kies.

Befund: 6

Deutung: HolzkohleKonzentration

Kontext: Fläche: Quadrant NO

Planum 1: Eine langovale Verfärbung v on 1,25 × 0,75 m in Ost-West Ausrichtung mit HolzkohleKonzentrationen an der Oberfläche.

Anschnitt 1: (aus Profil: Profil A-B)

0,1m tief in den anstehenden gelben Kies reichende Grube mit einer Verfüllung aus graubraunem schwach humosem Sand und Holzkohleanreicherungen an der Oberfläche. Profile in sehr diffusen Grenzen.

Tafel: 224.

Befund: 7

Deutung: Störung

Kontext: Fläche: Quadrant NO

Planum 1: Steinsetzung aus kopfgroßen Geröllsteinen in rechteckiger humoser dunkelgrau sandiger mutterbodenhaltiger Verfärbung.

Planum 2: Steinsetzung aus kopfgroßen Geröllsteinen in rechteckiger humoser dunkelgrau sandiger mutterbodenhaltiger Verfärbung.

Planum 3: Ungeordnete Steinsetzung auf Grubensole in mutterbodenhaltigen Sand. Wahrscheinlich neuzeitliche Steinversenkung.

Anschnitt 1: (aus Profil: Profilsteg M_B)

Anschnitt 1: (aus Profil: Profil A-B)

Flach muldenförmige Eintiefung mit scharfen Rändern im anstehenden gelblichen Kies und einer stark mutterbodenhaltigen Verfüllung mit großen Geröllsteinen (Steinversenkung der Neuzeit)

Befund: 8

Deutung: Grab 3

Kontext: Fläche: Quadrant NO

Planum 1:

Innerhalb der sehr stark durchpflügten Steinpackung eine längliche unförmige Verfärbung aus schwärzlich braunem leicht

schlierigem Sand in einer Stärke von 1 - 2cm. In einer Länge von 2,0 m und bis zu 0,8m breite ausgerichtet von NW nach SO.

Anschnitt 1: (aus Profil: Profilsteg H-M)

Tafel: 225, 236, 240.

Befund: 9

Deutung: Urnengrab

Kontext: Fläche: Quadrant NW

Funde: Keramik (SH2014-351.2; SH2014-351.3; SH2014-351.4)

Planum 1: Stark gestörtes Urnengrab (Durch Baggerabzugsarbeiten). Mit kompakten Steinschutz aus doppeltfaustgroßen Geröllsteinen um Urne und einem Dm von 0,4m. Urne bis Bauchumbruch noch in Situ.

Anschnitt 1: (aus Profil: Profil A-B)

Im Profil muldenförmige Grabgrube. Einem plattigen 15 × 9 x 7cm großen Standstein und einem großen doppelt kopfgroßen Deckstein (weggebaggerter). Einer schwach sichtbaren Grabgrube im anstehenden Kies mit einer Resttiefe von 15cm. Wenige kleine, nicht geborgene Leichenbrandstücke außerhalb des Gefäßes. Scherben eines zweiten Gefäßes als Urnenabdeckung.

Tafel: 241-243.

LA 69

(Tafel 244-253)

Befund: 1

Deutung: Steinpackungsgrab.

Kontext: Fläche: Quadrant NW.

Eine verrissene Steinsetzung (im Pflughorizont liegend) aus faust- bis doppeltkopfgroßen Geröllsteinen. Mit Pflugspuren im gefleckten graubraunen lehmigen Sand. (Hügelschüttung)

Funde: Flintdolch (SH2014-472.1)

Planum 1: Eine im Pflughorizont liegende verrissene Steinsetzung aus faust- bis doppeltkopfgroßen Geröllsteinen im graubraunen lehmigen gefleckten Sand und einigen Pflugspuren darin. Einer rundlichen Form vom ca. 3m Durchmesser.

Planum 2: Ca. 5 cm unter Planum 1 liegend. Steinsetzung vollständig in einen braungrau gefleckten Sand liegend (eingeflossene Hügelschüttung).

Funde im Abtrag

auf dieses Planum:Bodenprobe (SH2014-472.2)

Planum 3: Ca. 10cm unter Planum 1. Die Steinsetzung mit abgeräumten Steinen und zusätzliche Steinstandspuren. Zwischen den Steinen ein gefleckter graubrauner leicht humoser noch stark lehmiger Sand. Steinfreie Bereiche in der Mitte mit einem hellgrauen lehmigen Sand. Ein 0,4m großer schwarz grau gefleckter Bereich mit leicht schmierigem lehmigem Sand (Befund 10).

Funde im Abtrag

auf dieses Planum:Bodenprobe (SH2014-472.3)

Planum 4: Ca. 15cm unter Planum 1. Die freigelegte Steinsetzung mit einer 1,5 × 0,5 m Ost west ausgerichteten Fläche (Grabsole)

aus einem hellgrauen lehmigen Sand mit einem am nördlichen Rand liegenden Flintdolch mit der Spitze nach Ost zeigend.

Funde im Abtrag

auf dieses Planum:Bodenprobe (SH2014-472.4)

Tafel: 249-253.

Befund: 2

Deutung: Feuerstellenrest.

Kontext: Fläche: Quadrant NO.

Planum 1: Eine ovale etwa Nord Süd ausgerichtete Feuerstelle aus einem schwärzlichen stark HKP haltigen lehmigen Sand. 0,97 × 0,56 m im anstehenden braunen Lehm und einer Resttiefe von nur noch 3cm.

Befund: 3

Deutung: Kochsteingrube.

Kontext: Fläche: Quadrant NO.

Planum 1: Eine runde mit hitzeermürbten Steinen einlagige Kochsteingrube von 0,95m Durchmesser im anstehenden braunen Lehm liegend. Die Resttiefe betrug nur noch 3 bis 5 cm.

Befund: 4

Deutung: Steinsetzung (ehemalige zerstörte Nachbestattung?).

Kontext: Fläche: Quadrant SO.

Planum 1: Eine im Pflughorizont liegende einlagige Steinsetzung aus faust- bis doppelfaustgroßen Geröllsteinen in einem humosen Boden liegend. Steine liegen teils auf dem anstehenden braunen Lehm auf. Zwischen den Steinen schwache Spuren von HK Partikel und einige kleinere Stücke von verziegeltem Lehm. Mit Steinstandspuren ca. 2,0 x1,6 m.

Befund: 5

Deutung: Lehmmentnahmegrube.

Kontext: Fläche: Quadrant SW.

Planum 1: Ovale Grubenform mit unregelmäßigen Rand aus dunkelgrauem humosem Sand mit hohem Anteil an HK Stücken und unregelmäßig eingebrachten kopfgroßen Geröllsteinen. Im anstehenden braunen Lehm Boden. 2,5m x1,1m.

Anschnitt 1: (aus Profil: Profil A-B)

Eine 0,43m tiefe Grube mit einem schüsselförmigen unebenen Profil in anstehenden braunen Lehm. Einer zweischichtigen Verfüllung. Unten eine 15cm starke Schicht aus graubraun geflecktem Sand welche zur Hälfte bis zur Grubenoberfläche reicht und darüber ein schwarzer dunkelgrau humoser mit HKP durchsetzter Sand

Tafel: 245.

Befund: 6

Deutung: Lehmmentnahmegrube.

Kontext: Fläche: Quadrant SW.

Funde: Bodenprobe (SH2014-472.5), Holzkohle (SH2014-472.6), Lehm (SH2014-472.7)

Planum 1: Ovale Grube im anstehenden braunen Lehm aus schwach bis stark verziegelten Lehm. Einem Findling am Rand der Grube. Grubengröße 1m x 0,5m.

Anschnitt 1: (aus Profil: Profil A-B)

Eine 0,3m tiefe muldenförmig ausgehobene Grube in anstehenden braunen Lehm. Einer unebenen Sohle mit zweischichtiger Verfüllung. Unten 10cm grausandiger Lehm mit HK Partikel durchsetzt (ingeschwemmt). Sonst dunkelbrauner sandiger schwach verziegelter Lehm mit einer Konzentration stark verziegelten Lehm

Tafel: 246-247.

Befund: 7

Deutung: Steinkranz.

Kontext: Fläche: Quadrant SO.

Planum 1: Ein Steinkranz in Form von Steinstandspuren in den östlichen Quadranten. Nur noch schwach Abgrenzbar mit einem Durchmesser von 9,8m.

Anschnitt 1: (aus Profil: Profilsteg M-L)

0,6m tiefer und 4m langer Profilausschnitt vom Steg M-L. Unter dem 0,3m starkem A-Horizont eine 0,2m starke Hügelschüttung mit einer unebenen Sohle auf anstehendem braunem Lehm liegend. Steinstandspuren im Bereich des Steinkranzes.

Anschnitt 1: (aus Profil: Profilsteg M-E)

0,6m tiefer und 10m langer Profilausschnitt. Unter dem 0,3m starken A- Horizont eine bis zu 0,2m starke Hügelschüttung aus grau braun geflecktem humosem Sand auf dem anstehenden braunen Lehm liegend. Diese reicht bis zum Steinkranz (Steinstandspur) und geht dann in Kolluvium über.

Anschnitt 1: (aus Profil: Profilsteg F-M)

0,6m tiefer und 10m langer Profilausschnitt. Unter dem 0,3m starken A- Horizont eine bis zu 0,2m starke Hügelschüttung aus grau braun geflecktem humosem Sand auf dem anstehenden braunen Lehm liegend. Diese reicht bis zum Steinkranz (Steinstandspur) und geht dann in Kolluvium über.

Anschnitt 1: (aus Profil: Profile A-B)

Alle Profile von Steinstandspuren vom Steinkranz. Alle muldenförmig und 5 bis 10cm tief in die Hügelschüttung reichend sowie bis zu 2cm in den anstehenden braunen Lehm.

Befund: 8

Deutung: Feuerstellenreste.

Kontext: Fläche: Quadrant NW.

Planum 1: Rundliche ineinander übergehende Verfärbungen aus schwarzbraunen teils stark Holzkohlepartikelhaltigem lehmigen

Sand. Nur noch als Reste bis zu 2 cm tief in dem anstehenden braunen Lehm reichend.

Anschnitt 1: (aus Profil: Profil A-B)

Bis zu 5cm tief in den anstehenden braunen Lehm reichende flache Eintiefung und einer Verfüllung aus braunen humosen lehmigen teils stärker mit HKP durchsetztem Sand. (Restfeuerstellen).

Tafel: 244.

Befund: 9

Deutung: Hügelschüttung.

Kontext: Fläche: Quadrant NW.

Planum 1: Ein schwach gefleckter braungrauer Sand über den anstehenden braunen Lehm liegend. Sehr stark abgeflossen und nur schwach abgrenzbar. Bei sehr diffusen Grenzen mit einem Durchmesser von ca.10m welcher auch dem Steinkranzsegment entspricht.

Anschnitt 1: (aus Profil: Profilsteg M-L)

Anschnitt 1: (aus Profil: Profilsteg M-E)

Anschnitt 1: (aus Profil: Profilsteg F-M)

Anschnitt 1: (aus Profil: Profilsteg A-M)

0,6m tiefer und 10m langer Profilausschnitt. Unter dem 0,3m starken A- Horizont eine bis zu 0,2m starke Hügelschüttung aus grau braun geflecktem humosem Sand auf einer Länge von 3,1m auf dem anstehenden braunen Lehm liegend.

Anschnitt 1: (aus Profil: Profilsteg H-G)

0,6m tiefer und 1,8 m langer Profilausschnitt vom Steg G-L. Unter dem 0,3m starkem A-Horizont eine 0,2m starke Hügelschüttung mit einer ebenen Sohle auf anstehendem braunem Lehm liegend. Einem Ansatz zur Grabgrube in der Hügelmitte.

Anschnitt 1: (aus Profil: Profilsteg M-L)

0,6m tiefer und 10m langer Profilausschnitt vom Steg M-L. Unter dem 0,3m starkem A-Horizont eine 0,2m starke Hügelschüttung mit einer unebenen Sohle auf anstehendem braunem Lehm liegend. Einem Ansatz zur Grabgrube in der Hügelmitte.

Befund: 10

Deutung: Grube mit Pfosten.

Kontext: Fläche: Quadrant NW

Planum 1:

Runde (0,9m) Verfärbung aus schwarz grau geflecktem leicht schlierigem Sand und einer 0,25m großen angrenzenden Pfostengrube. Am nördlichen Rand der Grabstelle gelegen.

Anschnitt 1: (aus Profil: Profil A-B)

Eine flache bis 5cm tiefe Grube mit einer Verfüllung aus schwarzgrauem bindigem Sand mit HKP. Stark gefleckt und leicht schlierig. Unmittelbar angrenzend eine Pfostengrube von 0,28m tiefe mit einer Verfüllung aus grauem schwach humosem Sand. Im Profil breit spitz zulaufend.

Tafel: 248.

LA 115

(Tafel 266-358)

Befund: 1

Interpretation: Urnengrab

Datierung: Vorrömische Eisenzeit

Funde: SH2014-111.127, SH2014-111.330

Planum 1:

Reste eines Steinschutzes (Dm. ca.0,4 m) aus einem Bodenstein und wenigen Seitensteinen; nur wenig Leichenbrand auf dem Bodenstein.

Befund: 2

Interpretation: Urnengrab

Datierung: Vorrömische Eisenzeit

Funde: SH2014-111.128, SH2014-111.331

Planum 1:

Reste eines Steinschutzes aus mehreren Bodensteinen auf und zwischen den Steinen Leichenbrand und Keramikscherben.

Befund: 3

Interpretation: Verfärbung

Datierung: unbestimmt

Planum 1:

Dunkelhumose Verfärbung (Dm. ca. 0,3 m); keine Funde.

Befund: 4

Interpretation: Steinstandspur

Datierung: unbestimmt

Planum 1:

Abgerundet rechteckige Verfärbung (0,8 x >0,6 m) mit auffallend scharfer Grenze.

Befund: 5

Interpretation: Urnengrab

Datierung: Vorrömische Eisenzeit

Funde: SH2014-111.129

Planum 1:

Reste eines Steinschutzes (Dm. ca.0,4 m) aus mehreren Bodensteinen und einigen Seitensteinen; Leichenbrand und Keramik auf dem Bodenstein.

Befund: 6

Interpretation: Urnengrab

Datierung: Vorrömische Eisenzeit

Funde: SH2014-111.21, SH2014-111.73, SH2014-111.130

Planum 1:

Reste eines Steinschutzes (Dm. ca.0,4 m) aus einem Bodenstein und mehreren Seitensteinen; Leichenbrand und Keramik auf dem Bodenstein.

Tafel: 287.

Befund: 7**Interpretation:** Urnengrab**Datierung:** Vorrömische Eisenzeit**Funde:** SH2014-111.20, SH2014-111.131**Planum 1:**

Stark gestörtes Urnengrab etwa 2,6 m nordöstlich von Befund 5 (ein weiteres stark gestörtes Brandgrab ca. 2 m südlich von Befund 6 - Funde nicht geborgen).

Befund: 8**Interpretation:** Urnengrab**Datierung:** Vorrömische Eisenzeit**Funde:** SH2014-111.60, SH2014-111.132, SH2014-111.343**Planum 1:**

Urnenteil ohne Steinschutz in situ (etwa in der Mitte von Ringgraben 2). Eingrabung gut sichtbar im braungelben lehmigen Sand.

Tafel: 287-288.**Befund: 9****Interpretation:** Ringgraben (2)**Datierung:** Vorrömische Eisenzeit**Planum 1:**

Quadratischer Ringgraben mit abgerundeten Ecken. 3,6m mit Zentralbestattung. Grabenbreite ca. 0,4m.

Planum 2:**Anschnitt 1** (aus Profil: Profil A-B)

In den bis zu 0,1m tiefen noch erhaltenen Ringgraben eine Verfüllung aus dunkelgrauen bis gelbgrauen leicht fleckigen Sand. Schwach Abgrenzbar zum anstehenden graugelben leicht lehmigen Sand. Grubenprofil und Sohle nicht regelmäßig und stark mit Tiergängen durchzogen.

Befund: 10**Interpretation:** Verfärbung**Datierung:** unbestimmt**Planum 1:**

Eine rundliche Verfärbung am inneren Rand von Ringgraben 2. Im Anschnitt keine klare Struktur erkennbar.

Befund: 11 - ohne archäologische Relevanz.**Befund: 12****Interpretation:** Fundstelle (LB)**Datierung:** unbestimmt**Funde:** SH2014-111.525, SH2014-111.538**Planum 1:**

Runde Verfärbung Dm. 0,53 m aus dunkelgrauem Sand mit hellen Flecken und einer verwaschenen Struktur.

Anschnitt 1 (aus Profil: Profil A-B)

Muldenförmiges Profil mit einer Verfüllung aus dunkelbraunem Sand und etwas LB an der Oberfläche. Einer Resttiefe von 0,08m in den anstehenden braungelben Sand.

Befund: 13 - ohne archäologische Relevanz.**Befund: 14** - ohne archäologische Relevanz.**Befund: 15** - ohne archäologische Relevanz.**Befund: 16** - ohne archäologische Relevanz.**Befund: 17** - ohne archäologische Relevanz.**Befund: 18** - ohne archäologische Relevanz.**Befund: 19** - ohne archäologische Relevanz.**Befund: 20****Interpretation:** Urnengrab**Datierung:** Vorrömische Eisenzeit**Funde:** SH2014-111.133, SH2014-111.333**Planum 1:**

Im Bereich eines größeren Tierganges (Befund 13) eine kleine Konzentration Keramik und Leichenbrand.

Befund: 21**Interpretation:** Fundstelle (Ker.)**Datierung:** Vorrömische Eisenzeit**Funde:** SH2014-111.332**Planum 1:**

Einige Keramikscherben

Befund: 22**Interpretation:** Urnengrab**Datierung:** Vorrömische Eisenzeit**Funde:** SH2014-111.31, SH2014-111.92, SH2014-111.93, SH2014-111.134, SH2014-111.334**Planum 1:**

Urne ohne Steinschutz (Dm. ca. 0,25 m).

Tafel: 288-289.**Befund: 23****Interpretation:** Fundstelle (LB)**Datierung:** unbestimmt**Funde:** SH2014-111.135, SH2014-111.335**Planum 1:**

Verschlepptes Urnengrab; Leichenbrand und Keramik unter einer Abraumhalde.

Befund: 24 - ohne archäologische Relevanz.

Befund: 25 - ohne archäologische Relevanz.

Befund: 26 - ohne archäologische Relevanz.

Befund: 27

Interpretation: Urnengrab

Datierung: Vorrömische Eisenzeit

Funde: SH2014-111.30, SH2014-111.136, SH2014-111.336

Planum 1:

Urnenunterteil in situ ohne Steinschutz.

Tafel: 289.

Befund: 28 - ohne archäologische Relevanz.

Befund: 29 - ohne archäologische Relevanz.

Befund: 30

Interpretation: Pfostengrube

Datierung: unbestimmt

Planum 1:

Rundliche Verfärbung aus dunkelgrauem Sand. Dm. 0,53m.

Anschnitt 1 (aus Profil: Profil A-B)

Grabenförmiges Profil mit einer Verfüllung aus dunkelgrauem Sand mit hellen Flecken. Schwach Kohlehaltig.

Befund: 31 - ohne archäologische Relevanz.

Befund: 32

Interpretation: Ringgraben (1)

Datierung: unbestimmt

Abschnittsweise erhaltener Ringgraben um Urne Bef.33 mit einem Dm. von 10,0m mit einer Breite von 0,25 bis 0,5m. Im südlichen bis westlichen Bereich des Ringgrabens sieben Urnenbestattungen.

Planum 1:

Tafel: 307.

Befund: 33

Interpretation: Urnengrab

Datierung: Vorrömische Eisenzeit

Funde: SH2014-111.137, SH2014-111.337

Planum 1:

Leichenbrand und Keramik auf einer großen Bodenplatte (0,42 × 0,33 m) zerdrückt; dabei eine etwa handtellergroße Seitenplatte.

Tafel: 307.

Befund: 34

Interpretation: Urnengrab

Datierung: Vorrömische Eisenzeit

Funde: SH2014-111.138, SH2014-111.338

Planum 1:

Rest eines Steinschutzes aus einer Bodenplatte (0,2 × 0,12 m) und einem Seitenschutzstein; Urnenunterteil in situ auf Bodenplatte; Keramik, Leichenbrand.

Tafel: 307.

Befund: 35

Interpretation: Urnengrab

Datierung: Vorrömische Eisenzeit

Funde: SH2014-111.64, SH2014-111.139, SH2014-111.339

Planum 1:

Urnenunterteil in situ auf einer Bodenplatte (0,16 × 0,07 m) ohne Reste eines Seitenschutzes; Keramik, Leichenbrand, Eisenring.

Tafel: 289, 307.

Befund: 36

Interpretation: Urnengrab

Datierung: Vorrömische Eisenzeit

Funde: SH2014-111.140, SH2014-111.340

Planum 1:

Reste eines Steinschutzes (Dm. 35 cm) aus sieben Seitensteinen und drei Bodensteinen; Urnenboden in situ auf Bodensteinen, erhaltene Seitenwandung nach außen gedrückt (v.a. im Südosten); Keramik, Leichenbrand.

Tafel: 307.

Befund: 37

Interpretation: Urnengrab

Datierung: Vorrömische Eisenzeit

Funde: SH2014-111.141, SH2014-111.341

Planum 1:

Urnenunterteil auf einem Bodenstein (0,17 × 0,15 m) in situ; erhaltene Seitenwandung wie ein Teller nach außen gedrückt; zwischen Befund 37 und Befund 190 keine Trennung in der Grabgrube zuerkennen; Keramik, Leichenbrand.

Tafel: 307.

Befund: 38

Interpretation: Urnengrab

Datierung: Vorrömische Eisenzeit

Funde: SH2014-111.142, SH2014-111.342

Planum 1:

Urne auf zwei Bodenplatten (0,25 × 0,23 m; 0,25 × 0,2 m) in einem geschlossenen Seitenschutz aus handteller- bis doppelhandtellergroßen Spaltstücken und wenigen faustgroßen Steinen. Mit sichtbarer Eingrabung im Planum.

Tafel: 307.

Befund: 39**Interpretation:** Urnengrab**Datierung:** Vorrömische Eisenzeit**Funde:** SH2014-111.143, SH2014-111.344**Planum 1:** Urne auf Bodenplatte (0,17 × 0,15 m) in gestörtem Seitenschutz aus etwa handtellergroßen Spaltstücken.**Anschnitt 1** (aus Profil: Profil A-B)

Urne auf Bodenplatte (0,17 × 0,15 m) in gestörtem Seitenschutz aus etwa handtellergroßen Spaltstücken. Bodenplatten auf Geröllsteinen liegend. Einer sichtbaren Eingrabung bis in den anstehenden Kiesboden reichend.

Tafel: 307.**Befund: 40****Interpretation:** Grube**Datierung:** Vorrömische Eisenzeit**Planum 1:**

Langovale Verfärbung (0,75 x 0,4m) aus grauem Sand zwischen Urne 39 und 192 im gelben anstehenden Kies.

Anschnitt 1 (aus Profil: Profil A-B)

Im Profil wannenförmig mit unebener Sohle und einer Verfüllung aus grauem Sand. Gut Abgrenzbar zum anstehenden gelben Kies.

Tafel: 307.**Befund: 41** - ohne archäologische Relevanz.**Befund: 42****Interpretation:** Urnengrab**Datierung:** Vorrömische Eisenzeit**Funde:** SH2014-111.145, SH2014-111.345**Planum 1:**

Im westlichen Randbereich Keramik und Leichenbrand (vermutlich durch Baumwurf verschleppt).

Befund: 43 - ohne archäologische Relevanz.**Befund: 44****Interpretation:** Fundstelle (LB)**Datierung:** unbestimmt**Planum 1:**

Leichenbrand ohne Verfärbung oder Reste eines Steinschutzes.

Befund: 45**Interpretation:** Urnengrab**Datierung:** unbestimmt**Funde:** SH2014-111.59, SH2014-111.110, SH2014-111.146, SH2014-111.346**Planum 1:**

Runde humose Verfärbung mit einer Randscherbe mit glänzend schwarz polierter Oberfläche. Dm 0,5m

Tafel: 289.**Befund: 46****Interpretation:** Urnengrab**Datierung:** unbestimmt**Funde:** SH2014-111.147, SH2014-111.347**Planum 1:**

Leichenbrand ohne Verfärbung oder Reste eines Steinschutzes.

Befund: 47**Interpretation:** Urnengrab**Datierung:** unbestimmt**Funde:** SH2014-111.70, SH2014-111.148, SH2014-111.348**Planum 1:**

Nur noch Reste eines völlig zerstörten Grabes.

Befund: 48**Interpretation:** Steinstandspur**Datierung:** unbestimmt**Funde:** SH2014-111.349**Planum 1:**

Runde 0,4 m Verfärbung aus grauem Sand.

Befund: 49**Interpretation:** Urnengrab**Datierung:** Vorrömische Eisenzeit**Funde:** SH2014-111.28, SH2014-111.90, SH2014-111.149, SH2014-111.350**Planum 1:**

Reste eines Steinschutzes aus einer Bodenplatte und einer doppelhandtellergroßen Seitenplatte (lückenhafter Steinschutz); dabei Leichenbrand, Keramik, Pfriem (Bronze) und Ring (Bronze). 25 cm in den anstehenden Kiesboden reichend. Unmittelbar angrenzend an kreisgrabenförmige Eintiefung welche in Verbindung mit Ringgraben 8 Bef.181 steht.

Anschnitt 1 (aus Profil: Profil A-B)

Muldenförmige Eintiefung von 0,16m im anstehenden braungelben Kies. Ein plattiger Bodenstein 22x 6 cm auf einen anstehenden Geröllstein liegend. Als Seitenschutz ein plattiger hochkant stehender Stein. Urne plus 12 cm noch in situ.

Tafel: 290.**Befund: 50****Interpretation:** Urnengrab**Datierung:** Vorrömische Eisenzeit**Funde:** SH2014-111.150, SH2014-111.351**Planum 1:**

Reste eines Steinschutzes (Dm. 0,35 m) aus einer Bodenplatte (aus roten Granitgestein plattig zugehauen; 18 × 20 x 4 cm) und mehreren, etwa faustgroßen Seitensteinen (überwiegend Rollsteine, nur ein Spaltstück); dabei Leichenbrand und Keramik.

Befund: 51**Interpretation:** Urnengrab**Datierung:** Vorrömische Eisenzeit**Funde:** SH2014-111.18, SH2014-111.19, SH2014-111.84, SH2014-111.85, SH2014-111.151, SH2014-111.352**Planum 1:**

Reste eines Steinschutzes aus einer Bodenplatte und eines zumindest unten geschlossenen Seitenschutzes aus faust- bis kinderkopfgroßen Steinen; dabei Leichenbrand, Keramik und Holsteiner Nadel). Einer sichtbaren Eingrabung im anstehenden Boden.

Tafel: 291.**Befund: 52****Interpretation:** Steinstandspur**Datierung:** unbestimmt**Planum 1:**

Runde 0,42m Verfärbung aus grauem Sand.

Befund: 53**Interpretation:** Urnengrab**Datierung:** Vorrömische Eisenzeit**Funde:** SH2014-111.29, SH2014-111.152, SH2014-111.353**Planum 1:**

Reste eines Steinschutzes und einer Bodenplatte; dabei Leichenbrand und Keramik.

Tafel: 292.**Befund: 54****Interpretation:** Verfärbung**Datierung:** unbestimmt**Funde:** SH2014-111.354**Planum 1:**

Ovale, humose Verfärbung (ca. 0,7 × 0,4 m; Resttiefe: 0,25 m).

Befund: 55**Interpretation:** Verfärbung**Datierung:** unbestimmt**Planum 1:**

Ovale, humose Verfärbung (ca. 1,2 × 0,5 m; Resttiefe: ca. 0,3 m).

Befund: 56**Interpretation:** Urnengrab**Datierung:** Vorrömische Eisenzeit**Funde:** SH2014-111.153**Planum 1:**

Urnenunterteil in situ ohne Steinschutz (auf dem Gefäß einzelne senkrechte Riefen).

Befund: 57**Interpretation:** Fundstelle (Hk)**Datierung:** unbestimmt**Planum 1:**

Holzkohlekonzentration (Dm. ca. 0,7 m); nur oberflächlich in Fahrspur des Kettenbaggers Holzkohle verschleppt?).

Befund: 58**Interpretation:** Leichenbranddepot**Datierung:** Vorrömische Eisenzeit**Funde:** SH2014-111.154**Planum 1:**

Reste eines Steinschutzes aus einem Bodenstein (Dm. ca. 0,2 m) in einer humosen Verfärbung (Dm. 0,3 m); dabei Leichenbrand.

Befund: 59 - ohne archäologische Relevanz.**Befund: 60** - ohne archäologische Relevanz.**Befund: 61****Interpretation:** Urnengrab**Datierung:** Vorrömische Eisenzeit**Funde:** SH2014-111.27, SH2014-111.89, SH2014-111.155, SH2014-111.356**Planum 1:**

Reste eines Steinschutzes (Dm. ca. 0,4 m) aus drei etwa handtellergroßen Seitenplatten und einem Bodenstein; in der Steinsetzung Urne bis zum Bauchumbruch in situ erhalten (Umbruchdurchmesser: ca. 24 cm; Höhe Bauchumbruch: 17 cm); Boden der Urne nicht erhalten. Mit sichtbarer Eingrabung im anstehenden Sandboden.

Tafel: 292.**Befund: 62** - ohne archäologische Relevanz.**Befund: 63****Interpretation:** Urnengrab**Datierung:** Vorrömische Eisenzeit**Funde:** SH2014-111.157, SH2014-111.357**Planum 1:**

Reste eines ursprünglich vermutlich geschlossenen Seitenschutzes aus vier etwa handtellergroßen Platten, die nach außen gedrückt waren, und einer Bodenplatte; dabei Leichenbrand und Keramik.

Befund: 64 - ohne archäologische Relevanz.**Befund: 65****Interpretation:** Urnengrab**Datierung:** Vorrömische Eisenzeit**Funde:** SH2014-111.156, SH2014-111.358**Planum 1:**

Reste eines Steinschutzes aus einer etwa handtellergroßen Seitenplatte und einer Bodenplatte (Dm. 0,3 m); dabei Leichenbrand und Keramik.

Befund: 66 - ohne archäologische Relevanz.

Befund: 67

Interpretation: Urnengrab

Datierung: Vorrömische Eisenzeit

Funde: SH2014-111.158, SH2014-111.359

Planum 1:

Im Randbereich einer Baumwurfgrube eine Konzentration von Leichenbrand und Keramik innerhalb eines etwas dunkleren Bereiches (Dm. ca. 0,3 m).

Befund: 68 - ohne archäologische Relevanz.

Befund: 69 - ohne archäologische Relevanz.

Befund: 70

Interpretation: Urnengrab

Datierung: Vorrömische Eisenzeit

Funde: SH2014-111.159, SH2014-111.360

Planum 1:

Reste eines Steinschutzes (Dm. ca. 0,3 m) aus einem Bodenstein; dabei Leichenbrand und Keramik.

Befund: 71

Interpretation: Verfärbung

Datierung: unbestimmt

[Noch nicht weiter untersucht]

Befund: 72 - ohne archäologische Relevanz.

Befund: 73

Interpretation: Pfostengrube

Datierung: unbestimmt

Planum 1:

Etwa kreisrunde Verfärbung (Dm. ca. 0,3 m).

Anschnitt 1 (aus Profil: Profil A-B)

Im Profil trapezförmig mit einer Resttiefe von 0,15m und einer Verfüllung aus dunkelgrauen HK haltigen Sand. Gut Abgrenzbar zum anstehenden groben Kies.

Tafel: 281.

Befund: 74

Interpretation: Urnengrab

Datierung: Vorrömische Eisenzeit

Funde: SH2014-111.160, SH2014-111.361

Planum 1:

Reste eines Steinschutzes aus einer Bodenplatte (Dm. ca. 0,45 m); dabei Leichenbrand und Keramik.

Befund: 75

Interpretation: Fundstelle (LB)

Datierung: unbestimmt

Wenig Leichenbrand ohne Verfärbung oder Resten eines Steinschutzes (vermutlich verschleppte Funde).

Befund: 76

Interpretation: Urnengrab

Datierung: Vorrömische Eisenzeit

Funde: SH2014-111.26, SH2014-111.162, SH2014-111.362

Planum1:

Reste eines Steinschutzes aus einer Bodenplatte (Dm. ca. 0,3 m); dabei Leichenbrand und Keramik.

Befund: 77

Interpretation: Verfärbung

Datierung: unbestimmt

Im Anschnitt keine klare Kontur.

Befund: 78

Interpretation: Urnengrab

Datierung: Vorrömische Eisenzeit

Funde: SH2014-111.163, SH2014-111.363

Planum 1:

Reste eines Steinschutzes aus vier faust- bis doppelfaustgroßen Steinen und einer Bodenplatte (Dm. ca. 0,35 m); dabei Leichenbrand und Keramik.

Befund: 79

Interpretation: Fundstelle (LB; KR)

Datierung: unbestimmt

Wenig Leichenbrand und Keramik ohne Verfärbung oder Resten eines Steinschutzes (vermutlich verschleppte Funde).

Funde: SH2014-111.164, SH2014-111.364

Befund: 80

Interpretation: Urnengrab

Datierung: Vorrömische Eisenzeit

Funde: SH2014-111.25, SH2014-111.87, SH2014-111.88, SH2014-111.165, SH2014-111.365

Planum 1:

Reste eines Steinschutzes aus einer Bodenplatte (Dm. ca. 0,35 m) und vier doppelfaustgroßen Seitensteinen; dabei Leichenbrand, Keramik und Eisenbeigabe.

Tafel: 293.

Befund: 81

Interpretation: Urnengrab

Datierung: Vorrömische Eisenzeit

Funde: SH2014-111.166, SH2014-111.366

Planum 1:

Reste eines Steinschutzes aus mehreren Seitensteinen und einem oder mehrerer Bodensteine; dabei Leichenbrand und Keramik. (Dm ca. 0,3m)

Befund: 82**Interpretation:** Urnengrab**Datierung:** Vorrömische Eisenzeit**Funde:** SH2014-111.23, SH2014-111.71, SH2014-111.167, SH2014-111.367**Planum 1:**

Reste eines Steinschutzes aus einer Bodenplatte (Dm. ca. 0,3 m); auf der Bodenplatte der Urnenboden und Leichenbrand.

Tafel: 294.**Befund: 83****Interpretation:** Urnengrab**Datierung:** Vorrömische Eisenzeit**Funde:** SH2014-111.168, SH2014-111.368**Planum 1:**

Reste eines Steinschutzes aus drei etwa doppelfaustgroßen, plattigen Bodensteinen (u.a. eine Platte); dabei Leichenbrand und Keramik. (Dm ca.0,3m)

Befund: 84 - ohne archäologische Relevanz.**Befund: 85****Interpretation:** Fundstelle (Ker.)**Datierung:** unbestimmt

Wenige plattige Steine und Keramik in dem Graben von Kreis 7 (Befund 175; u.a. ein vollständiger Boden; Rand- und Wandungsscherben glänzend schwarz poliert); ca. 0,5 m südlich von Befund 85 eine kleine Urne (Befund 176) im selben Graben. Die schwarz polierten Scherben passen zum Befund 85 und sind diesem zugeordnet worden.

Funde: SH2014-111.369**Befund: 86****Interpretation:** Leichenbranddepot**Datierung:** unbestimmt**Funde:** SH2014-111.169**Planum 1:**

Reste eines Steinschutzes Dm 0,45m aus einer Bodenplatte (Dm. ca. 0,25 m) und einem Seitenstein; dabei viel Leichenbrand (keine Keramik).

Befund: 87**Interpretation:** Urnengrab**Datierung:** Vorrömische Eisenzeit**Funde:** SH2014-111.170, SH2014-111.370**Planum 1:**

Reste eines Steinschutzes aus einer Bodenplatte (Dm. ca. 0,2 m) und einigen Seitensteinen; dabei Leichenbrand und Keramik.

Befund: 88**Interpretation:** Urnengrab**Datierung:** Vorrömische Eisenzeit**Funde:** SH2014-111.24, SH2014-111.86, SH2014-111.171, SH2014-111.371**Planum 1:**

Leichenbrand, wenig Keramik und eine Eisenbeigabe ohne Verfärbung oder Reste eines Steinschutzes.

Tafel: 295.**Befund: 89****Interpretation:** Urnengrab**Datierung:** Vorrömische Eisenzeit**Funde:** SH2014-111.172, SH2014-111.372**Planum 1:**

Reste eines Steinschutzes aus einem Bodenstein (Dm. ca. 0,3 m) und mehreren faustgroßen Seitensteinen.

Befund: 90**Interpretation:** Urnengrab**Datierung:** Vorrömische Eisenzeit**Funde:** SH2014-111.173, SH2014-111.373**Planum 1:**

Reste einer Steinkiste aus einem Bodenstein und senkrecht gesetzten Platten; darin Urnenreste und Leichenbrand.

Befund: 91**Interpretation:** Urnengrab**Datierung:** Vorrömische Eisenzeit**Funde:** SH2014-111.174, SH2014-111.374**Planum 1:**

Leichenbrand und Keramik bei einem Bodenstein (Dm. ca. 0,35 m).

Befund: 92**Interpretation:** Urnengrab**Datierung:** Vorrömische Eisenzeit**Funde:** SH2014-111.22, SH2014-111.175, SH2014-111.375**Planum:**

Reste eines Steinschutzes aus mehreren faust- bis doppelfaustgroßen Rollsteinen und einem Spaltstück des Seitenschutzes sowie zwei Bodenplatten (0,3 × 0,2 m); dabei Leichenbrand, Keramik, Nadel aus Eisen und Bronze mit drei Kopfscheiben.

Tafel: 296.**Befund: 93****Interpretation:** Verfärbung**Datierung:** unbestimmt

Humose Verfärbung, die im Anschnitt keine klare Kontur aufwies.

Befund: 94**Interpretation:** Fundstelle (LB)**Datierung:** unbestimmt

Wenig Leichenbrand im Bereich einer Fahrspur (Baggerkette; vermutlich verschleppte Funde).

Funde: SH2014-111.176**Befund: 95****Interpretation:** Feuerstelle**Datierung:** unbestimmt

Auf einer Fläche von 2×1 m rötlich verziegelter Boden und Holzkohlefragmente (vermutlich Baumwurfgrube mit Brandresten).

Befund: 96**Interpretation:** Leichenbranddepot**Datierung:** Vorrömische Eisenzeit**Funde:** SH2014-111.177**Planum 1:**

Reste eines Steinschutzes aus mehreren faust- bis doppelfaustgroßen Steinen; dabei wenig Leichenbrand.

Befund: 97**Interpretation:** Fundstelle (LB)**Datierung:** unbestimmt

Leichenbrand ohne Verfärbung oder Reste eines Steinschutzes (vermutlich verschleppte Funde).

Funde: SH2014-111.178**Befund: 98****Interpretation:** Urnengrab**Datierung:** unbestimmt**Funde:** SH2014-111.179**Planum 1:**

Gestörte Grabstelle von 0,55m Dm. Faust bis kopfgroße Geröllsteine ungeordnet um plattigen Stein (Bodenstein) liegend. Eingrabung sichtbar. Zwischen den Steinen wenig verstreut liegender Leichenbrand. Gefäßreste aus weicher nicht haltbarer Keramik auf Bodenstein beobachtet. In gelben anstehenden Kies eingelassen. Grabstelle von Kreisgraben 143 im südlichen Bereich umgeben.

Planum 1:

Reste eines Steinschutzes (Dm. ca. 0,4 m) aus einer Bodenplatte und mehreren faust- bis doppelfaustgroßen Seitensteinen; dabei Leichenbrand und Keramik(?).

Anschnitt 1 (aus Profil: Profil A-B)

Im Profil muldenförmig mit einer Resttiefe von 0,18m. Ein plattiger Bodenstein. Kleine Steinmulde mit Leichenbrand. Wohl organisches Gefäß? Eingrabung gut im anstehenden Kiesboden abgrenzbar.

Befund: 99**Interpretation:** Urnengrab**Datierung:** Vorrömische Eisenzeit**Funde:** SH2014-111.180, SH2014-111.376**Planum 1:**

Reste eines Steinschutzes (Dm. ca. 0,35 m) aus mehreren überwiegend plattigen Seitensteinen und drei Bodenplatten; dabei Leichenbrand und Keramik.

Befund: 100**Interpretation:** Urnengrab**Datierung:** Vorrömische Eisenzeit**Funde:** SH2014-111.67, SH2014-111.181, SH2014-111.377**Planum 1:**

Keramikscherben und Leichenbrand ohne eine Verfärbung oder Resten eines Steinschutzes (verschleppte Funde?).

Tafel: 297.**Befund: 101****Interpretation:** Fundstelle (LB/KER)**Datierung:** unbestimmt**Funde:** SH2014-111.182, SH2014-111.378**Planum 1:**

Wenig Leichenbrand und Keramik ohne Steinschutz oder Verfärbung (vermutlich verschleppte Funde von Befund 102; Leichenbrand auch zwischen Befund 101 und 102) im westlichen Randbereich einer Baumwurfgrube. Die Keramik sind umgelagerte Reste von Urne zu Befund 100.

Befund: 102**Interpretation:** Urnengrab**Datierung:** Vorrömische Eisenzeit**Funde:** SH2014-111.183, SH2014-111.379**Planum 1:**

Reste eines Steinschutzes aus mehreren Bodensteinen am westlichen Rande einer Baumwurfgrube; dabei Leichenbrand und Keramik (vermutl. teilweise verlagert in Richtung Befund 101).

Befund: 103**Interpretation:** Urnengrab**Datierung:** Vorrömische Eisenzeit**Funde:** SH2014-111.184, SH2014-111.380**Planum 1:**

Reste eines Steinschutzes aus zehn bis zu faustgroßen Bodensteinen; dabei Leichenbrand und Keramik.

Befund: 104**Interpretation:** Urnengrab**Datierung:** Vorrömische Eisenzeit

Reste eines Steinschutzes aus einer Steinplatte (Bodenstein?) mit wenig Keramik und Leichenbrand. (Dm 0,35)

Funde: SH2014-111.185, SH2014-111.381

Befund: 105**Interpretation:** Urnengrab**Datierung:** Vorrömische Eisenzeit**Funde:** SH2014-111.186**Planum 1:**

Reste eines Steinschutzes aus faust- bis doppelfaustgroßen Rollsteinen und drei etwa kopfgroßen Spaltstücken; dabei Leichenbrand und Keramik.

Befund: 106**Interpretation:** Urnengrab**Datierung:** Vorrömische Eisenzeit**Funde:** SH2014-111.187, SH2014-111.382**Planum 1:**

Reste eines Steinschutzes (Dm. ca. 0,5 m) aus überwiegend doppelhandtellergrößen Spaltstücken des Seitenschutzes und einer Bodenplatte; dabei Urnenunterteil in situ und Leichenbrand

Befund: 107**Interpretation:** Steingrube**Datierung:** unbestimmt**Funde:** SH2014-111.533**Planum 1:**

Viele bis zu kopfgroßen Steinen in einer dunkelgrauen, gering kohlehaltigen Füllung; unklar, ob rezent.

Befund: 108**Interpretation:** Fundstelle (LB)**Datierung:** unbestimmt**Planum 1:**

Wenige Leichenbrandfragmente ohne Steinschutz oder Verfärbung (vermutlich verschleppte Funde von Befund 106).

Befund: 109**Interpretation:** Fundstelle (LB/KER.)**Datierung:** unbestimmt**Funde:** SH2014-111.188, SH2014-111.383**Planum 1:**

Wenige Leichenbrandfragmente ohne Steinschutz oder Verfärbung (vermutlich verschleppte Funde von Befund 106).

Befund: 110**Interpretation:** Fundstelle (LB)**Datierung:** unbestimmt**Funde:** SH2014-111.189**Planum 1:**

Wenige Leichenbrandfragmente ohne Steinschutz oder Verfärbung (vermutlich verschleppte Funde von Befund 106).

Befund: 111**Interpretation:** Urnengrab**Datierung:** Vorrömische Eisenzeit**Funde:** SH2014-111.190, SH2014-111.384**Planum 1:**

Reste eines Steinschutzes aus einem Bodenstein; dabei Leichenbrand und Keramik.

Befund: 112**Interpretation:** Verfärbung**Datierung:** unbestimmt**Planum 1:**

Eine etwa ovale, dunkelgraue Verfärbung (Dm. 0,7 × 0,5 m; Resttiefe: ca. 0,1 m).

Befund: 113**Interpretation:** Urnengrab**Datierung:** Vorrömische Eisenzeit**Funde:** SH2014-111.191, SH2014-111.385**Planum 1:**

Wenig Leichenbrand und Keramik ohne Verfärbung oder Resten eines Steinschutzes.

Befund: 114**Interpretation:** Fundstelle (LB)**Datierung:** unbestimmt**Funde:** SH2014-111.192**Planum 1:**

Wenig Leichenbrand ohne Verfärbung oder Resten eines Steinschutzes (vermutlich verschleppte Funde).

Befund: 115**Interpretation:** Urnengrab**Datierung:** Vorrömische Eisenzeit**Funde:** SH2014-111.193, SH2014-111.386**Planum 1:**

Im Randbereich einer Baumwurfgrube einige doppelfaust- bis kopfgroße Steine (u.a. zwei Platten); dabei Leichenbrand u. Keramik.

Befund: 116**Interpretation:** Urnengrab**Datierung:** Vorrömische Eisenzeit**Funde:** SH2014-111.194, SH2014-111.387**Planum 1:**

Im Randbereich einer Baumwurfgrube mehrere etwa faustgroße Rollsteine sowie eine doppelhandtellergroße Steinplatte; dabei Leichenbrand und Keramik.

Befund: 117**Interpretation:** Urnengrab**Datierung:** Vorrömische Eisenzeit**Funde:** SH2014-111.41, SH2014-111.195, SH2014-111.388**Planum 1:**

Nur Keramikscherben und Leichenbrand ohne eine Verfärbung oder Resten eines Steinschutzes.

Tafel: 297.**Befund: 118****Interpretation:** Fundstelle (Ker.)**Datierung:** unbestimmt**Funde:** SH2014-111.389**Planum 1:**

Keramikscherbenkonzentration (Dm 0,35)

Befund: 119**Interpretation:** Leichenbranddepot**Datierung:** Vorrömische Eisenzeit**Funde:** SH2014-111.40, SH2014-111.196**Planum 1:**

Reste eines Steinschutzes aus einem Bodenstein und vermutlich mehreren Seitenplatten; dabei nur Leichenbrand. (Dm0,4m)

Tafel: 297.**Befund: 120****Interpretation:** Urnengrab**Datierung:** Vorrömische Eisenzeit**Funde:** SH2014-111.197, SH2014-111.390**Planum 1:**

Leichenbrand und Keramik ohne Verfärbung oder Resten eines Steinschutzes.

Befund: 121**Interpretation:** Fundstelle (LB)**Datierung:** unbestimmt**Funde:** SH2014-111.198**Planum 1:**

Bei einem etwa kopfgroßen Stein wenig Leichenbrand (vermutlich verschleppte Funde).

Befund: 122**Interpretation:** Steinstandspur**Datierung:** unbestimmt**Planum 1:**

Eine runde Verfärbung (Dm. ca. 0,2 m; Resttiefe: ca. 0,1 m).

Befund: 123**Interpretation:** Verfärbung**Datierung:** unbestimmt**Planum 1:**

Im Planum eine braungraue Verfärbung, die im Anschnitt keine klaren Grenzen aufwies.

Befund: 124**Interpretation:** Fundstelle (LB)**Datierung:** unbestimmt**Planum 1:**

Wenig Leichenbrand ohne Verfärbung oder Resten eines Steinschutzes (vermutlich verschleppte Funde).

Befund: 125**Interpretation:** Verfärbung**Datierung:** unbestimmt**Planum1:**

Im Planum eine braungraue Verfärbung, die im Anschnitt keine klaren Grenzen aufwies.

Befund: 126**Interpretation:** Pfostengrube**Datierung:** unbestimmt**Planum 1:**

Runde Verfärbung aus gelblich grauem lehmigem Sand.

Anschnitt 1 (aus Profil: Profil A-B)

Wannenförmig mit einer Verfüllung aus grau bis dunkelgrau lehmigen Sand und einer schwachen Abgrenzung zum anstehenden Kiesboden

Tafel: 281.**Befund: 127****Interpretation:** Urnengrab**Datierung:** Vorrömische Eisenzeit**Funde:** SH2014-111.199, SH2014-111.391**Planum 1:**

Reste eines Steinschutzes aus einem Bodenstein und mehreren faust- bis doppelfaustgroßen Steinen; auf und neben dem Bodenstein Leichenbrand und Keramik.

Befund: 128**Interpretation:** Urnengrab**Datierung:** Vorrömische Eisenzeit**Funde:** SH2014-111.200**Planum1:**

Reste eines Steinschutzes (Dm. ca. 0,3 m) aus mehreren faust- bis doppelfaustgroßen Bodensteinen; dabei Leichenbrand und Keramik.

Befund: 129**Interpretation:** Urnengrab**Datierung:** Ältere vorrömische Eisenzeit**Funde:** SH2014-111.201, SH2014-111.392**Planum 1:**

Reste eines Steinschutzes (ca. 0,4 × 0,2 m) aus mehreren faust- bis doppelfaustgroßen Steinen; dabei Leichenbrand und Keramik.

Befund: 130**Interpretation:** Grube/Raubgrabung**Datierung:** unbestimmt**Funde:** SH2014-111.393, SH2014-111.534, SH2014-111.539**Planum 1:**

Ovale Verfärbung aus schwärzlich grauem mutterbodenhaltigem Sand durchsetzt mit HKP. NW zu SO (3 x1, 5m) ausgerichtet. Mit sehr unregelmäßiger Sohle.

Anschnitt 1 (aus Profil: Profil A-M-C)

Im Profil wannenförmig mit unregelmäßiger Sohle einer Verfüllung aus dunkelgrauem humosem Sand welcher im oberen Teil mit HKP durchsetzt ist. Resttiefe von 0,3m im anstehenden Kiesboden.

Anschnitt 1 (aus Profil: Profil B-M-D)

Im Profil wannenförmig mit ebener Sohle einer Verfüllung aus dunkelgrauem humosem Sand welcher im oberen Teil mit HKP durchsetzt ist. Resttiefe von 0,13m im anstehenden Kiesboden.

Tafel: 279.**Befund: 131** - ohne archäologische Relevanz.**Befund: 132****Interpretation:** Urnengrab**Datierung:** Vorrömische Eisenzeit**Funde:** SH2014-111.8, SH2014-111.91, SH2014-111.202, SH2014-111.203, SH2014-111.394**Planum 1:**

Reste eines Steinschutzes aus mehreren Seiten- und Bodensteinen; darin Urne (Bef. 1) mit einem danebenstehenden Gefäß (verziert Bef. 2).

Tafel: 297.**Befund: 133** - ohne archäologische Relevanz.**Befund: 134****Interpretation:** Steingrube**Datierung:** unbestimmt

Rezente Steingrube

Befund: 135**Interpretation:** Grube**Datierung:** unbestimmt**Planum 1:**

Etwa dreieckige Verfärbung aus grauem bis hellgrauen, gering kohlehaltigen, lehmigen Sand (Resttiefe: 0,25 m).

Befund: 136**Interpretation:** Grube**Datierung:** unbestimmt**Planum 1:**

Rezente Grube mit Ziegelbruch und Eisenfragmenten.

Befund: 137 - ohne archäologische Relevanz.**Befund: 138****Interpretation:** Fundstelle (HK)**Datierung:** unbestimmt

Konzentration von Holzkohlefragmenten.

Befund: 139**Interpretation:** Urnengrab**Datierung:** Vorrömische Eisenzeit**Funde:** SH2014-111.39, SH2014-111.115, SH2014-111.204, SH2014-111.395**Planum 1:**

Reste eines Steinschutzes aus doppelfaustgroßen Seitensteinen und vermutlich mehreren Bodensteinen; dabei Leichenbrand und Keramik.

Tafel: 298.**Befund: 140****Interpretation:** Steingrube**Datierung:** unbestimmt

Auffallend scharf abgegrenzte humose Verfärbung mit vielen bis zu doppelkopfgroßen Steinen und wenig Holzkohlestücke (= rezenter Befund).

Befund: 141**Interpretation:** Urnengrab**Datierung:** Vorrömische Eisenzeit**Funde:** SH2014-111.205, SH2014-111.396**Planum 1:**

Reste eines Steinschutzes aus einem Bodenstein (Dm. ca. 0,2 m) und mehreren Seitenplatten; dabei Leichenbrand und Keramik (u.a. eine Randscherbe).

Befund: 142**Interpretation:** Urnengrab**Datierung:** Vorrömische Eisenzeit**Funde:** SH2014-111.206, SH2014-111.397**Planum 1:**

Reste eines Steinschutzes (Dm. ca. 0,5 m) aus vier faust- bis doppelfaustgroßen Steinen; dabei wenig Leichenbrand und Keramik.

Befund: 143**Interpretation:** Ringgraben (6)**Datierung:** unbestimmt**Planum 1:**

Ringförmig um Urnengrab 98 im Abstand von 2,6m im südlichen Bereich verlaufend. 0,2 bis 0,5m breite Verfärbung aus grauem

leicht lehmigem schwach humosem Sand im anstehenden braunen Kies.

Anschnitt 1 (aus Profil: Profil A-B)

Im Profil noch 12cm tief mit einer Verfüllung aus graubraunem humosem Sand. Sohle und Verfüllung durchsetzt mit Tiergängen. Gute Abgrenzbarkeit zum anstehenden braunen Kies.

Anschnitt 1 (aus Profil: Profil C-D)

Im Profil nur noch 4 cm tief mit einer Verfüllung aus graubraunem humosem Sand. Sohle und Verfüllung durchsetzt mit Tiergängen. Schwache Abgrenzbarkeit zum anstehenden braunen Kies.

Anschnitt 1 (aus Profil: Profil E-F)

Im Profil nur noch 4 cm tief mit einer Verfüllung aus graubraunem humosem Sand. Sohle und Verfüllung durchsetzt mit Tiergängen. Schwache Abgrenzbarkeit zum anstehenden braunen Kies.

Befund: 144

Interpretation: Leichenbranddepot

Datierung: Vorrömische Eisenzeit

Funde: SH2014-111.207

Planum 1:

Reste eines Steinschutzes aus einem Bodenstein (Dm. ca. 0,25 m); dabei Leichenbrand.

Befund: 145

Interpretation: Verfärbung

Datierung: unbestimmt

Planum 1:

Dunkelgraue Verfärbung aus sandigem Lehm mit hellen Flecken; verwaschene Kontur (Resttiefe: ca. 0,1 m).

Befund: 146

Interpretation: Urnengrab

Datierung: Vorrömische Eisenzeit

Funde: SH2014-111.208, SH2014-111.398

Planum 1:

streichen Im Kolluvium zwei kopfgroße Steine Dm 60cm dazwischen Urne von 30cm Dm. Schwach sichtbare Eingrabung von 65 cm Dm.

Anschnitt 1 (aus Profil: Profil A-B)

Sichtbare Eingrabung mit einer Resttiefe von 18cm aus grau humosem Sand bis zu 12 cm in den anstehenden Kiesboden reichend. Boden plus 13 cm noch in situ. Ein plattiger Bodenstein 4 x 25cm.

Befund: 147

Interpretation: Urnengrab

Datierung: Vorrömische Eisenzeit

Funde: SH2014-111.61, SH2014-111.111, SH2014-111.209, SH2014-111.399

Planum 1:

Drei faustgroße Geröllsteine bei einem Dm von 0,7m liegend neben einer gestörten Urne von 0,3m Dm. Eingelassen in Kolluvium.

Anschnitt 1 (aus Profil: Profil A-B)

Schwach sichtbare Eingrabung aus grau humosem Sand. Bis zu 8cm in den anstehenden Kies reichend. Ein plattiger Bodenstein 23 x 3 cm. Boden plus 4cm noch in situ.

Tafel: 298.

Befund: 148

Interpretation: Urnengrab

Datierung: Ältere vorrömische Eisenzeit

Funde: SH2014-111.210, SH2014-111.400

Planum 1:

Gestörtes Urnengrab von 0,3m Dm und einer Urne mit 0,23 m Dm im gelben Kiesboden.

Anschnitt 1 (aus Profil: Profil A-B)

Gutsichtbare Eingrabung mit grau humosem Sand. Bis 15cm in den anstehenden Kiesboden reichend. Zwei Bodensteine 16x 13 cm. Boden plus 8cm in situ.

Befund: 149 - ohne archäologische Relevanz.

Befund: 150 - ohne archäologische Relevanz.

Befund: 151

Interpretation: Steinstandspur

Datierung: unbestimmt

Planum 1:

Auffallend scharfe Abgrenzung.

Befund: 152

Interpretation: Urnengrab

Datierung: Vorrömische Eisenzeit

Funde: SH2014-111.211, SH2014-111.401

Planum 1:

Keramik und Leichenbrand ohne erhaltenen Steinschutz (Dm ca. 0,25m).

Befund: 153**Interpretation:** Urnengrab**Datierung:** Vorrömische Eisenzeit**Funde:** SH2014-111.68, SH2014-111.113, SH2014-111.116**Planum 1:**

Runde Verfärbung von Dm 0,4m aus grau humosem Sand im anstehenden Kiesboden.

Anschnitt 1 (aus Profil: Profil A_B)

Gut sichtbare Eingrabung bis 17cm in den anstehenden Sandboden. Urne plus 12 cm noch gut in situ. Ein plattiger Bodenstein Dm 14cm. Blockbergung.

Tafel: 299-300.**Befund: 154****Interpretation:** Urnengrab**Datierung:** Vorrömische Eisenzeit**Funde:** SH2014-111.69, SH2014-111.114, SH2014-111.212**Planum 1:**

Runde Eingrabung von 0,4m aus schwarz grau humosem Boden mit einem faustgroßen Geröllstein am Rand.

Anschnitt 1 (aus Profil: Profil A_B)

Gut sichtbare muldenförmige Eingrabung aus grau humosem Feinsand. Einer Resttiefe von 0,25m im anstehenden gelben Kiesboden. Kompakter Seitenschutz aus plattigen hochkant stehenden Steinen. Ein Bodenstein aus Rotsandstein 22 × 19 × 5 cm. Weiche mürbe stark zusammengedrückte Keramik. Grabbau noch gut in situ.

Tafel: 301.**Befund: 155****Interpretation:** Ringgraben (5)**Datierung:** Vorrömische Eisenzeit**Planum 1:**

Ringgraben um Urne Bef.154 von 3,1m Durchmesser und einer Breite von ca.0,3m aus grauschwarzem humosem Sand im anstehenden Kiesboden.

Anschnitt 1 (aus Profil: Profil A_B)

Mit muldenförmigem Profil und einer ebenen Sohle. Die Verfüllung ein graubrauner leicht humoser Feinsand. Gut Abgrenzbar zum anstehenden kiesigen gelben Sand. Einer Resttiefe von 10cm.

Anschnitt 1 (aus Profil: Profil C_D)

Mit muldenförmigem Profil und einer unebenen Sohle. Die Verfüllung ein graubrauner leicht humoser Feinsand durchsetzt mit einigen schottergroßen Geröllsteinen. Gut Abgrenzbar zum anstehenden kiesigen gelben Sand. Einer Resttiefe von 12cm.

Anschnitt 1 (aus Profil: Profil E_F)

Mit muldenförmigem Profil und einer ebenen Sohle. Die Verfüllung ein graubrauner leicht humoser Feinsand gut Abgrenzbar zum anstehenden kiesigen gelben Sand. Einer Resttiefe von 7cm.

Anschnitt 1 (aus Profil: Profil G_H)

Mit muldenförmigem Profil und einer unebenen Sohle. Die Verfüllung ein graubrauner leicht humoser Feinsand. Gut

Abgrenzbar zum anstehenden kiesigen gelben Sand. Einer Resttiefe von 8cm.

Befund: 156**Interpretation:** Urnengrab**Datierung:** Vorrömische Eisenzeit**Funde:** SH2014-111.213, SH2014-111.402**Planum 1:**

Unregelmäßige Verfärbung 0,6 bis 0,8m aus grau-humosem Sand und einem doppeltfaustgroßen Geröllstein.

Anschnitt 1 (aus Profil: Profil A-B)

Unregelmäßige Eingrabung (einseitig gestörtes Grab/Baumwurf). Verfüllt mit grauem humosem Sand. Resttiefe von 0,3m im anstehenden Kiesboden.

Anschnitt 1 (aus Profil: Profil A_B)

Um 5cm zurückgesetztes Profil. Unregelmäßige Eingrabung (Einseitig gestörtes Grab/Baumwurf). Verfüllt mit grau humosem Sand und hellgelben anstehenden Sand. Resttiefe von 0,3m im anstehenden Kiesboden. Zwei übereinander liegende plattige Bodensteine. Dabei vergangene Keramik und LB. Zerstörter Seitenschutz aus faustgroßen Geröllsteinen.

Befund: 157**Interpretation:** Ringgraben (4)**Datierung:** Vorrömische Eisenzeit**Planum 1:**

Ringgraben 4 um Urne Bef.156 von 4,0m Durchmesser und einer Breite von ca.0,25 bis 0,4m aus grau humosem Sand im anstehenden Kiesboden.

Anschnitt 1 (aus Profil: Profil A_B)

Grabenförmig mit ebener Sohle und einer Verfüllung aus grau humosem Feinsand. Seiten sind stark mit Tiergängen durchzogen (schlechte Abgrenzbarkeit). Einer Resttiefe von 12cm im anstehenden gelblichen Kiesboden.

Anschnitt 1 (aus Profil: Profil C-D)

Pfahlartig mit ebener Sohle und einer Verfüllung aus grau humosem Feinsand. Seiten sind stark mit Tiergängen durchzogen (schlechte Abgrenzbarkeit). Einer Resttiefe von 12cm im anstehenden gelblichen Kiesboden.

Anschnitt 1 (aus Profil: Profil E-F)

Im Profil keinerlei Abgrenzung zu erfassen.

Anschnitt 1 (aus Profil: Profil G_H)

Muldenförmig mit ebener Sohle und einer Verfüllung aus grau humosem Feinsand. Einer Resttiefe von 6cm im anstehenden gelblichen Kiesboden.

Anschnitt 1 (aus Profil: Profil A-B)

Grabenförmig mit unebener Sohle und einer Verfüllung aus grau humosem Feinsand. Seiten sind stark mit Tiergängen durchzogen (schlechte Abgrenzbarkeit). Einer Resttiefe von 6cm im anstehenden gelblichen Kiesboden.

Befund: 158**Interpretation:** Urnengrab**Datierung:** Vorrömische Eisenzeit**Funde:** SH2014-111.38, SH2014-111.214, SH2014-111.403**Planum 1:**

Grauschwarze humose Verfärbung mit Keramik und LB im anstehenden Kies. Unregelmäßige Form ca. 0,6 cm Dm. Grabstelle zum Ringgraben 3 (Bef. 159).

Anschnitt 1 (aus Profil: Profil A_B)

Schüsselförmige Eingrabung mit graubrauen humosen Sand. Resttiefe von 0,12m im anstehenden Kiesboden. Bodenstein einseitig plattig 25 x5 cm. Nur noch Boden plus 2cm in situ.

Tafel: 302-304.**Befund: 159****Interpretation:** Ringgraben (3)**Datierung:** unbestimmt**Planum 1:**

Ringgraben um Urne Bef.158 von 6,0m Durchmesser und einer Breite von ca.0,5m aus grauschwarzem humosem Sand im anstehenden Kiesboden.

Anschnitt 1 (aus Profil: Profil A-B)

Zylindrisches Profil mit schräg verlaufender Sohle. Einer Verfüllung aus humosem grauem Feinsand durchsetzt mit Tiergängen. Eine Resttiefe von 0,12 m in den anstehenden gelben Feinsand reichend.

Anschnitt 1 (aus Profil: Profil C-D)

Grabenförmiges Profil mit ebener Sohle. Einer Verfüllung aus humosem grauem Feinsand durchsetzt mit Tiergängen. Eine Resttiefe von 0,14 m in den anstehenden kiesigen Boden reichend.

Befund: 160**Interpretation:** Pfostengrube**Datierung:** unbestimmt**Planum 1:**

Runde Verfärbung (Dm 0,3m) aus graubraunem Sand im anstehenden Kiesboden. Im Profil muldenförmig mit einer Verfüllung aus graubraunem Sand im gelben anstehenden Kies mit einer Resttiefe von 0,13m

Befund: 161**Interpretation:** Urnengrab**Datierung:** unbestimmt**Funde:** SH2014-111.215, SH2014-111.404**Planum 1:**

Rundliche (Dm 0,5m) Verfärbung im anstehenden Kiesboden. Einem Deckstein aus plattigen Rotsandstein (0,18 x0,04m) und zwei faustgroßen Geröllsteinen. Leichenbrand und Keramik an der Oberfläche liegend.

Anschnitt 1 (aus Profil: Profil A-B)

Sichtbare Eingrabung aus grau humosem Sand bis 13 cm in den anstehenden Kiesboden reichend. Ein geschlossener Seitenschutz aus faustgroßen Geröllsteinen und einem einseitig plattigen Bodenstein. Urne bis auf 4cm zusammengedrückt.

Befund: 162**Interpretation:** Urnengrab**Datierung:** Vorrömische Eisenzeit**Funde:** SH2014-111.36, SH2014-111.216, SH2014-111.405**Planum 1:**

Reste eines Steinschutzes aus einem Bodenstein (Dm. ca. 0,3 m); dabei Leichenbrand und Keramik.

Tafel: 305.**Befund: 163** - ohne archäologische Relevanz.**Befund: 164****Interpretation:** Verfärbung**Datierung:** unbestimmt**Planum 1:**

Graue bis dunkelgraue Verfärbung aus leicht lehmigem Sand; im Anschnitt keine klare Kontur.

Befund: 165**Interpretation:** Urnengrab**Datierung:** unbestimmt**Funde:** SH2014-111.406**Planum 1:**

Gestörte Urne von 15 cm Dm. im Kolluvium und einige schottergroße Geröllsteine westlich um Urnenrest liegend.

Anschnitt 1 (aus Profil: Profil A-B)

Ohne sichtbare Eingrabung. Eingelassen in Kolluvium. Resttiefe von 10cm bis in den anstehenden gelben Kies reichend. Als Seitenschutz einige schottergroße Geröllsteine locker um Urne liegend. Ein plattiger Bodenstein 12 x 3 cm. Boden plus 4cm in situ.

Befund: 166**Interpretation:** Verfärbung**Datierung:** unbestimmt**Planum 1:**

Braungraue bis dunkelgraue Verfärbung aus leicht lehmigem Sand; im Anschnitt keine klare Kontur.

Befund: 167**Interpretation:** Verfärbung**Datierung:** unbestimmt**Planum 1:**

Dunkel- bis hellgraue, kohlehaltige Verfärbung aus leicht lehmigem Sand (nach außen teilweise rötlichbraun; = Brand?).

Befund: 168**Interpretation:** Verfärbung**Datierung:** unbestimmt**Planum 1:**

Graue Verfärbung aus leicht lehmigem Sand; im Anschnitt keine klare Kontur.

Befund: 169 - ohne archäologische Relevanz.

Befund: 170

Interpretation: Verfärbung

Datierung: unbestimmt

Planum 1:

Braungrauer bis graubraunen Sand / kiesiger Sand; im Anschnitt keine klare Kontur.

Befund: 171

Interpretation: Verfärbung

Datierung: unbestimmt

Planum 1:

Braungrauer bis graubraunen Sand / kiesiger Sand; im Anschnitt keine klare Kontur.

Befund: 172

Interpretation: Verfärbung

Datierung: unbestimmt

Planum 1:

Graue bis dunkelgraue Verfärbung aus Sand.

Befund: 173

Interpretation: Grabbau

Datierung: Vorrömische Eisenzeit

Planum 1:

Flachliegende Steinplatte (Dm. ca. 0,4 m); keine weiteren Funde.

Befund: 174

Interpretation: Grabbau

Datierung: Vorrömische Eisenzeit

Planum 1:

Flachliegende Steinplatte (Dm. ca. 0,35 m); keine weiteren Funde.

Befund: 175

Interpretation: Ringgraben (7)

Datierung: unbestimmt

Funde: SH2014-111.217, SH2014-111.218

Planum 1:

Abgerundete rechteckige (1,8m und 0,2 -0,6m breite) Verfärbung aus grau humosem Sand im anstehenden Kiesboden. Im Graben Urne Bef.176 und Zentralbestattung Bef.85

Planum 2:

Ringgraben abschnittsweise ausgehoben. Schüssel bis zylinderförmig im Profil. Grabensohle eher regelmäßig aber stark mit Tiergängen durchzogen. Die schwärzlich braune schwach humose Verfüllung ist gut abgrenzbar zum anstehenden braunen Kiesboden.

Anschnitt 1 (aus Profil: Profil A-B)

Alle Anschnitte sind im Profil schüssel- bis zylinderartig und einer gleichmäßigen Verfüllung aus schwärzlich braunem leicht humosem Sand.

Anschnitt 1 (aus Profil: Profil C-D)

Anschnitt 1 (aus Profil: Profil E-F)

Befund: 176

Interpretation: Urnengrab

Datierung: Vorrömische Eisenzeit

Funde: SH2014-111.57, SH2014-111.117

Planum 1:

Kleine, dreigliedrige Urne (Gefäßhöhe: ca. 10 cm; Bodendurchmesser: 12 cm) ohne Steinschutz im Graben des Kreises 7 (Befund 175).

Befund: 177

Interpretation: Urnengrab

Datierung: Vorrömische Eisenzeit

calz. Knochen und Keramik

Vermessung:DS: 887 - Mittelpunkt

Funde: SH2014-111.219

Befund: 178

Interpretation: Urnengrab

Datierung: Ältere vorrömische Eisenzeit

Funde: SH2014-111.407

Planum 1:

Reste eines Steinschutzes aus einem kopfgroßen und vielen faustgroßen Steinen im Bereich einer Baumwurfgrube; dabei Keramik und wenig Leichenbrand.

Befund: 179

Interpretation: Urnengrab

Datierung: Vorrömische Eisenzeit

Funde: SH2014-111.220, SH2014-111.408

Planum 1:

Einer Bodenplatte und mehreren Seitenplatten bzw. Spaltstücken; dabei sehr stark zerdrückte Keramik und Leichenbrand.

Befund: 180

Interpretation: Urnengrab

Datierung: Vorrömische Eisenzeit

Funde: SH2014-111.37, SH2014-111.98, SH2014-111.221, SH2014-111.409

Planum 1:

Reste eines Steinschutzes aus einer Bodenplatte (Dm. 0,28 m); dabei Urne mit Leichenbrand und Eisen.

Tafel: 305.

Befund: 181**Interpretation:** Ringgraben (8)**Datierung:** unbestimmt**Planum 1:**

Halber Ringgrabens mit 3,4m Dm und einer Breite von 0,3m aus graubraunem humosem Sand. In der Mitte ein Urnengrab Bef.49. Schwer Abgrenzbar zum anstehenden gelben Kies.

Anschnitt 1 (aus Profil: Profil A-B)

Parallel zum Graben verlaufender Schnitt. Eine ebene Sohle. Die Verfüllung ein dunkelgrau bis mittelgrauen Sand. Resttiefe von 1cm im anstehenden gelben Kies.

Anschnitt 1 (aus Profil: Profil B-C)

Parallel zum Graben verlaufender Schnitt. Eine ebene Sohle. Die Verfüllung ein dunkelgrau bis mittelgrauen Sand. Resttiefe von 4cm im anstehenden gelben Kies.

Anschnitt 1 (aus Profil: Profil C-D)

Parallel zum Graben verlaufender Schnitt. Eine unebene Sohle teils sehr stark durch Tiergänge gestört. Die Verfüllung ein grauer Sand. Resttiefe von 4cm im anstehenden gelben Kies.

Anschnitt 1 (aus Profil: Profil D-E)

Parallel zum Graben verlaufender Schnitt. Eine ebene Sohle. Die Verfüllung ein dunkelgrau bis mittelgrauen Sand. Resttiefe von 5cm im anstehenden gelben Kies.

Anschnitt 1 (aus Profil: Profil F-G)

Parallel zum Graben verlaufender Schnitt. Eine unebene Sohle teils sehr stark durch Tiergänge gestört. Die Verfüllung ein dunkelgrau bis mittelgrauen Sand. Resttiefe von 8cm im anstehenden gelben Kies.

Anschnitt 1 (aus Profil: Profil H-I)

Parallel zum Graben verlaufender Schnitt. Eine unebene Sohle teils durch Tiergänge gestört. Die Verfüllung ein dunkelgrau bis mittelgrauen Sand. Resttiefe von 5cm im anstehenden gelben Kies.

Anschnitt 1 (aus Profil: Profil J-K)

Parallel zum Graben verlaufender Schnitt. Eine unebene Sohle teils sehr stark durch Tiergänge gestört. Die Verfüllung ein dunkelgrau bis mittelgrauen Sand. Resttiefe von 12cm im anstehenden gelben Kies.

Anschnitt 1 (aus Profil: Profil K-L)

Parallel zum Graben verlaufender Schnitt. Eine ebene Sohle im grabenförmigen Profil. Die Verfüllung ein gelbgrauer Sand. Resttiefe von 28cm im anstehenden gelben Kies.

Anschnitt 1 (aus Profil: Profil Quer 2)

Quer zum Graben verlaufender Schnitt. Eine ebene Sohle. Die Verfüllung ein gelbbrauner Sand. Resttiefe von 7cm mit flach auslaufenden Rändern im anstehenden gelben Kies.

Anschnitt 1 (aus Profil: Profil Quer 1)

Quer zum Graben verlaufender Schnitt. Eine unebene Sohle teils sehr stark durch Tiergänge gestört. Die Verfüllung ein dunkelgrau bis mittelgrauen Sand. Resttiefe von 5cm mit flach auslaufenden Rändern im anstehenden gelben Kies.

Befund: 182**Interpretation:** Urnengrab**Datierung:** Vorrömische Eisenzeit**Funde:** SH2014-111.222, SH2014-111.410**Planum 1:**

Etwa kreisrunde Verfärbung (Dm. ca. 0,45 m); darin Reste eines Steinschutzes aus einer Bodenplatte (0,27 × 0,24 m) und einer geschlossenen Seitenpackung aus faust- bis doppelfaustgroßen Steinen (u.a. 1-2 Klopffsteine, nicht geborgen); innerhalb des Steinschutzes eine Urne, deren Oberteil nach innen eingestürzt ist.

Befund: 183**Interpretation:** Urnengrab**Datierung:** Vorrömische Eisenzeit**Funde:** SH2014-111.58, SH2014-111.223, SH2014-111.411**Planum 1:**

Im breiten auslaufenden Ringgraben von Bef. 184 zwei zerstreut liegende faustgroße Steine und rundliche Verfärbung im Graben.

Anschnitt 1 (aus Profil: Profil A-B)

Im Profil grabenförmige Eintiefung bis zu 0,7m und einer dunkelgrauen schwach HKP haltigen sandigen Verfüllung. Wohl ein Baumwurf. Darin ein Urnengrab ohne Steinschutz. Keramik ist identisch derer aus Bef.45 und 185.

Tafel: 306.**Befund: 184****Interpretation:** Ringgraben (9)**Datierung:** unbestimmt**Funde:** SH2014-111.412**Planum 1:**

Ein Ringgraben aus graubraunem schwach humosem Sand mit einem Dm von 2,7m und einer Breite von ca. 0,5m. Einer nördlichen und einer südlichen Öffnung. Ein mittig liegendes Urnengrab Bef. 185. Ein nordöstlich davon liegendes Bef.45. Ein im Ringgraben liegendes Bef. 183. Keramikscherben von beiden Befunden sind Identisch.

Anschnitt 1 (aus Profil: Profil A-B)

Grabenförmiges Profil mit ebener Sohle und einer Verfüllung aus dunkelgrauem Sand. Schwer abgrenzbar zum anstehenden gelbgrauen Kies. Eine Resttiefe von 10cm.

Anschnitt 1 (aus Profil: Profilgraben C)

Grabenförmiges Profil mit ebener Sohle und einer Verfüllung aus dunkelgrauem Sand. Schwer abgrenzbar zum anstehenden gelbgrauen Kies. Eine Resttiefe von 9cm.

Anschnitt 1 (aus Profil: Profil E)

Profil mit ebener Sohle und einer Verfüllung aus grauem Sand. Schwer abgrenzbar zum anstehenden gelbgrauen Kies. Eine Resttiefe von 14cm.

Anschnitt 1 (aus Profil: Profil graben E)

Grabenförmiges Profil mit ebener Sohle und einer Verfüllung aus dunkelgrauen mit Roststreifen durchzogener Sand.

Schwer abgrenzbar zum anstehenden gelbgrauen Kies. Eine Resttiefe von 7cm.

Anschnitt 1 (aus Profil: Profil?)

Profil mit ebener Sohle und einer Verfüllung aus dunkelgrauem Sand. Schwer abgrenzbar zum anstehenden gelbgrauen Kies. Eine Resttiefe von 10cm. Übergang zum Baumwurf bei bef.183.

Tafel: 306-307.

Befund: 185

Interpretation: Urnengrab

Datierung: Vorrömische Eisenzeit

Funde: SH2014-111.224, SH2014-111.413

Planum 1:

Vermutlich der Rest eines Steinschutzes aus einer flach liegenden Steinplatte (Bodenplatte? 0,2 × 0,15 m); dabei Leichenbrand und Keramik.

Befund: 186

Interpretation: Verfärbung

Datierung: unbestimmt

Planum 1:

Runde 0,3m Verfärbung aus grauem Sand.

Befund: 187

Interpretation: Verfärbung

Datierung: unbestimmt

Planum 1:

Runde 0,4m Verfärbung aus grauem Sand.

Befund: 188

Interpretation: Steinstandspur

Datierung: unbestimmt

Planum 1:

Runde 0,5m Verfärbung aus grauem humosem Sand.

Anschnitt 1 (aus Profil: Profil A-B)

Im Profil schüsselförmig mit welliger Sohle und einer Verfüllung aus fleckigem grauem Sand.

Befund: 189

Interpretation: Leichenbranddepot

Datierung: Vorrömische Eisenzeit

Funde: SH2014-111.225

Planum 1:

Leichenbrandkonzentration auf einer Fläche von 0,3m; vermutlich Reste eines Steinschutzes aus vier faust- bis doppelfaustgroßen Steinen; dabei Leichenbrand.

Befund: 190

Interpretation: Urnengrab

Datierung: Vorrömische Eisenzeit

Funde: SH2014-111.226, SH2014-111.414

Planum 1:

Urne mit lockerem Seitenschutz auf einer Bodenplatte.

Anschnitt 1 (aus Profil: Profil A-B)

Gut sichtbare Eingrabung der Urne im anstehenden gelben Kies.

Doppelbestattung Bef, 191

Tafel: 307.

Befund: 191

Interpretation: Leichenbranddepot

Datierung: Vorrömische Eisenzeit

Funde: SH2014-111.227

Planum 1:

Grab auf Bodenplatte (0,19 × 0,14 m) in einem geschlossenen Seitenschutz aus etwa handtellergroßen Steinplatten und faustgroßen Steinen.

Anschnitt 1 (aus Profil: Profil A-B)

Gut sichtbare Eingrabung im anstehenden gelben Kies.

Doppelbestattung Bef, 192

Tafel: 307.

Befund: 192 - ohne archäologische Relevanz.

Tafel: 307.

Befund: 193

Interpretation: Urnengrab

Datierung: Vorrömische Eisenzeit

Funde: SH2014-111.66, SH2014-111.228, SH2014-111.415

Planum 1:

Rest eines lockeren Seitenschutzes (Dm. ca. 0,3 m) aus faustgroßen Steinen; darin glänzend schwarz polierte Urne auf fünf Bodensteinen; mit einer gekröpften Rollenkopfnadel aus Bronze.

Tafel: 307-308.

Befund: 194

Interpretation: Urnengrab

Datierung: unbestimmt

Funde: SH2014-111.229, SH2014-111.416

Planum 1:

Etwa kreisrunde Verfärbung (Dm. ca. 0,6 m) aus dunkelgrauem, kohlehaltigem Sand; im Südosten eine etwa handtellergroße Steinplatte leicht schräg liegend; in der Füllung vor allem im südlichen Teil ohne erkennbare Konzentration Leichenbrand und überwiegend sehr kleine Keramikscherben.

Anschnitt 1 (aus Profil: Profil?)

Im Profil schüsselförmige Eingrabung mit einer graubraun sandigen Verfüllung, und einem obenliegenden gestörten Urnengrab.

Tafel: 309.

Befund: 195**Interpretation:** Pfostengrube**Datierung:** unbestimmt**Anschnitt 1** (aus Profil: Profil?)

Im Profil trapezförmig mit ebener Sohle und einer Verfüllung aus braungrauen schwach Holzkohle haltigen Sand. Einer Resttiefe von 0,3m im anstehenden gelbbraunen sandigen Lehm.

Befund: 196**Interpretation:** Urnengrab**Datierung:** Vorrömische Eisenzeit**Funde:** SH2014-111.230, SH2014-111.417**Planum 1:**

Rest eines Steinschutzes (Dm. ca. 0,25 m) aus einer Bodenplatte (0,16 × 0,22 m) und einer verdrückten Seitenplatte; dabei Leichenbrand und Keramik.

Befund: 197**Interpretation:** Urnengrab**Datierung:** Vorrömische Eisenzeit**Funde:** SH2014-111.231, SH2014-111.418**Planum 1:**

Rest eines Steinschutzes aus vier faust- bis doppelfaustgroßen Bodensteinen; dabei Leichenbrand und Keramik.

Befund: 198**Interpretation:** Urnengrab**Datierung:** Vorrömische Eisenzeit**Funde:** SH2014-111.17, SH2014-111.83, SH2014-111.232, SH2014-111.419**Planum 1:**

Rest eines Steinschutzes aus einem Bodenstein und überwiegend faustgroßen Steinen; dabei Leichenbrand, Keramik, Gürtelhaken, Ring(?) und Nadel.

Tafel: 309.**Befund: 199** - ohne archäologische Relevanz.**Befund: 200****Interpretation:** Urnengrab**Datierung:** Vorrömische Eisenzeit**Funde:** SH2014-111.233, SH2014-111.420**Planum 1:**

Rest eines Steinschutzes aus einer Bodenplatte (Dm. 0,2 m); dabei wenig Leichenbrand und eine Wandungsscherbe.

Befund: 201**Interpretation:** Urnengrab**Datierung:** Vorrömische Eisenzeit**Funde:** SH2014-111.234, SH2014-111.421**Planum 1:**

Urnenrest (Dm. ca. 0,1 m; Boden + Ansatz der Seitenwandung) in situ ohne eindeutigen Steinschutz (unmittelbar südlich daneben eine handtellergroße Steinplatte = Rest eines Steinschutzes?).

Befund: 202**Interpretation:** Urnengrab**Datierung:** Vorrömische Eisenzeit**Funde:** SH2014-111.235, SH2014-111.422**Planum 1:**

Rest eines Steinschutzes (Dm. 0,28 m) fünf etwa faustgroßen Bodensteinen; dabei Leichenbrand und Keramik.

Befund: 203**Interpretation:** Urnengrab**Datierung:** Vorrömische Eisenzeit**Funde:** SH2014-111.236, SH2014-111.423**Planum 1:**

Rest eines Steinschutzes aus einer Bodenplatte (Dm. 0,15 m) und eines schräg stehenden Seitensteines im Südosten; dabei Leichenbrand und wenig Keramik.

Befund: 204**Interpretation:** Urnengrab**Datierung:** Vorrömische Eisenzeit**Funde:** SH2014-111.237, SH2014-111.424**Planum 1:**

Rest eines Steinschutzes aus einer Bodenplatte (0,3 × 0,2 m); dabei wenig Leichenbrand und Keramik (nach Norden um etwa 0,2 m verzogen).

Befund: 205**Interpretation:** Urnengrab**Datierung:** Vorrömische Eisenzeit**Funde:** SH2014-111.33, SH2014-111.94, SH2014-111.95, SH2014-111.238, SH2014-111.425**Planum 1:**

Runde 0,8m Verfärbung aus grau humosem Sand im anstehenden gelben lehmigen Sand. Mittig ein plattiger handtellergroßer 30cm Deckstein und zwei faustgroßen Geröllsteinen.

Anschnitt 1 (aus Profil: Profil?)

Im Profil schüsselartige Eingrabung aus grauem Sand. Ein plattiger Bodenstein (ein 9cm starker Granitstein mit einer einseitig glattgeschliffenen Oberfläche von 15 x16 cm; Bruchstück eines Unterliegers) Offener Seitenschutz mit hochkant stehenden plattigen Steinen. Resttiefe von 0,15m in anstehenden lehmigen Sand.

Tafel: 310.**Befund: 206****Interpretation:** Urnengrab**Datierung:** Vorrömische Eisenzeit**Funde:** SH2014-111.239, SH2014-111.426**Planum 1:**

Rest eines Steinschutzes und einer Bodenplatte; dabei wenig Leichenbrand und Keramik.

Befund: 207**Interpretation:** Leichenbranddepot**Datierung:** Vorrömische Eisenzeit**Funde:** SH2014-111.240**Planum 1:**

Wenig Leichenbrand in einer zerdrückten Steinkiste (0,5 × 0,4 m) aus einer Bodenplatte und 7-8 etwa handteller- bis kopfgroßen Seitenplatten; unmittelbar südwestlich eine weitere Steinplatte, die vermutlich in die Lücke im Süden des Seitenschutzes gehörte.

Befund: 208**Interpretation:** Urnengrab**Datierung:** Vorrömische Eisenzeit**Funde:** SH2014-111.34, SH2014-111.241, SH2014-111.432**Planum 1:**

Urne in einem kompakten Steinschutz aus einer Bodenplatte (Dm. 0,38 m) und mehreren Seitensteinen.

Anschnitt 1 (aus Profil: Profil A-B)

Urne in einem kompakten Steinschutz aus einer Bodenplatte (Dm. 0,38 m) und mehreren plattigen Seitensteinen. Resttiefe 33cm in den anstehenden braunen Kies reichend. Schwach Abgrenzbar zum anstehenden Boden. Urne: zweigliedriges Gefäß mit kurzem, geschwungenen Kegelhals (Unterteil + Schulter geraut; Halsrand unregelmäßig poliert).

Tafel: 311-312.**Befund: 209** - ohne archäologische Relevanz.**Befund: 210****Interpretation:** Urnengrab**Datierung:** Vorrömische Eisenzeit**Funde:** SH2014-111.242, SH2014-111.427**Planum 1:**

Langovales gestörtes Steinpflaster aus faust- doppelfaustgroßen Geröllsteinen in dunkelbraungrauen Sand.

Anschnitt 1 (aus Profil: Profil A-B)

Unterhalb einer gestörten Steinpflasterung eine kopfgroße Decksteinplatte und eine Bodenplatte (Dm. ca. 0,15 m). Einer Resttiefe von 0,5m im dunkelgrauen leicht lehmigen Sand. Urne komplett ungestört im Befund.

Befund: 211**Interpretation:** Urnengrab**Datierung:** Vorrömische Eisenzeit**Funde:** SH2014-111.32, SH2014-111.243, SH2014-111.431**Planum 1:**

Rest eines Steinschutzes (0,38 × 0,35 m) aus zwei bis drei etwa faustgroßen Bodensteinen und faust- bis doppelfaustgroßen Seitensteinen; darin Urnenunterteil in situ mit nach innen eingebrochenem Oberteil; in der Urne ein Haftarmgürtelhaken aus Eisen.

Tafel: 313-314.**Befund: 212****Interpretation:** Urnengrab**Datierung:** Vorrömische Eisenzeit**Planum 1:**

Reste eines Steinschutzes (?) aus mehreren faust- bis kopfgroßen Steinen; dabei wenig Leichenbrand und eine Wandungsscherbe; Funde mit denen aus Befund 213 vermischt! Funde aus Befund 213 gehören zur Grabstelle von Befund 212

Befund: 213**Interpretation:** Fundstelle LB/ Keramik**Datierung:** Vorrömische Eisenzeit**Funde:** SH2014-111.35, SH2014-111.96, SH2014-111.97, SH2014-111.244, SH2014-111.433**Planum 1:**

Konzentration von Leichenbrand und Keramik ohne Steinschutz (vermutlich verschleppt aus Befund 212); Funde sind aus Befund 213 nach hier verschleppt.

Tafel: 315.**Befund: 214****Interpretation:** Urnengrab**Datierung:** Vorrömische Eisenzeit**Funde:** SH2014-111.45, SH2014-111.100, SH2014-111.245, SH2014-111.428**Planum 1:**

Reste eines Steinschutzes (Dm. ca. 0,4m) aus drei plattigen Seitensteinen. Ein plattiger Bodenstein von 28cm Dm und 4cm stark. Eingelassen in Kolluvium. Eingrabung nicht sichtbar. Urnenreste von Keramik mit schwarz glatt polierter Oberfläche. Klein zerscherbte und sehr brüchig.

Befund: 215**Interpretation:** Urnengrab**Datierung:** Vorrömische Eisenzeit**Vermessung:** DS: 1024 - Mittelpunkt**Funde:** SH2014-111.246, SH2014-111.429, SH2014-111.430**Befund: 216****Interpretation:** Grabbau**Datierung:** unbestimmt**Planum 1:**

Ein plattiger tellergroßer Bodenstein und zwei gegenüberstehende plattige Seitensteine. Eingebaut in Kolluvium. Kein LB und keine Keramik.

Befund: 217**Interpretation:** Urnengrab**Datierung:** Vorrömische Eisenzeit**Funde:** SH2014-111.55, SH2014-111.118, SH2014-111.329**Planum 1:**

Leicht gestörtes Urnengrab mit 0,4m Dm. Faustgroße Geröllsteine kranzförmig um Urne liegend. Plattige Steine vollständig als

Seiteneinfassung gesetzt. Ein plattiger Boden Stein 0,22m und 8cm stark. Grabanlage gut in Situ.

Anschnitt 1 (aus Profil: Profil A-B)

Vollständiger Seitenschutz um Urne aus handtellergrößen plattigen Steinen. Als Boden Stein ein plattiger Geröllstein 18cm Dm und 12 cm stark. Keine sichtbare Eingrabung. Eingelassen in Kolluvium.

Befund: 218

Interpretation: Leichenbranddepot

Datierung: Vorrömische Eisenzeit

Funde: SH2014-111.247

Planum 1:

Verstreut liegender Leichenbrand zwischen zwei 50cm auseinanderliegender doppelfaustgroßer Geröllsteine.

Befund: 219

Interpretation: Urnengrab

Datierung: Vorrömische Eisenzeit

Funde: SH2014-111.54, SH2014-111.119

Planum 1:

Offene Steinsetzung aus doppelfaustgroßen Geröllsteinen von 1,2 × 1,6m. Angelegt in Kolluvium.

Anschnitt 1 (aus Profil: Profil A-B)

Ein Urnengrab aus Keramik mit glattschwarz polierter Oberfläche. Ein plattiger Boden Stein von 0,21m und 5cm stark. Einseitig mit Seitensteinen versehen. Alles in Kolluvium mit einer Resttiefe von 18cm eingelassen. 30cm über anstehenden Kiesboden liegend.

Befund: 220

Interpretation: Fundstelle (Ker.)

Datierung: unbestimmt

Funde: SH2014-111.434

Befund: 221

Interpretation: Fundstelle (Ker.)

Datierung: unbestimmt

Funde: SH2014-111.435

Befund: 222

Interpretation: Fundstelle (Ker.)

Datierung: unbestimmt

Funde: SH2014-111.436

Befund: 223

Interpretation: Fundstelle (LB)

Datierung: unbestimmt

Funde: SH2014-111.248

Befund: 224

Interpretation: Urnengrab

Datierung: Vorrömische Eisenzeit

Funde: SH2014-111.437

Planum 1:

Urnengrab aus schwarztoniger Keramik. Ohne nachweisbaren Leichenbrand. Keramik auf plattigen viereckigen Boden Stein 0,2 × 0,22 m. BDM 9 cm. 30cm neben der Grabstelle drei 40cm große Geröllsteine. Ein Seitenschutz aus plattigen Geröllsteinen.

Befund: 225

Interpretation: Urnengrab

Datierung: Vorrömische Eisenzeit

Funde: SH2014-111.249, SH2014-111.438

Planum 1:

Lockere Steinsetzung von 1,2 × 0,6m aus kopfgroßen Geröllsteinen auf Kolluvium liegend.

Anschnitt 1 (aus Profil: Profil A-B)

Grabstelle mit Boden 15 x5cm und Deckstein 20 x10cm aus einseitig plattigen Geröllsteinen. Alles in Kolluvium ohne sichtbare Eingrabung. 25cm unter Boden Stein anstehender gelber Kies. Keramik mit glattpolierter Oberfläche. Noch alles gut in Situ (Geschlossener Befund).

Befund: 226

Interpretation: Urnengrab

Datierung: Vorrömische Eisenzeit

Funde: SH2014-111.250, SH2014-111.439

Planum 1:

Urnengrab von 0,4m Dm in Kolluvium. Einer kranzförmigen Einfassung um Urne aus faustgroßen und schotterartig zersprungenen Geröllsteinen.

Anschnitt 1 (aus Profil: Profil A-B)

Ein plattiger Boden Stein Dm 0,23 und 8cm stark bis in den anstehenden Kies reichend. Kompakter Seitenschutz aus faustgroßen Steinen. Keine sichtbare Eingrabung.

Befund: 227

Interpretation: Urnengrab

Datierung: Vorrömische Eisenzeit

Funde: SH2014-111.50, SH2014-111.51, SH2014-111.52, SH2014-111.107, SH2014-111.108, SH2014-111.109, SH2014-111.120

Planum 1:

Urnengrab (zu Ringgraben 257) mit einem plattigen Stein in einer Verfärbung von 0,8m. Ein plattiger Rotsandstein 0,4 × 0,36m 0,07 m stark und leicht verzogen. Einige unregelmäßig liegende kopfgroße Geröllsteine neben Deckstein. Die 0,4 m Tiefe Grabgrube mit einer graubraun sandigen Verfüllung hebt gut sichtbar vom anstehenden Kies ab. Unter den 45° schräg liegenden Deckstein die Urnenreste aus weicher nicht haltbarer Keramik und verstreuten Leichenbrand. Metallfunde 2cm unter Deckstein geborgen. Teilblockbergung

Anschnitt 1 (aus Profil: Profil A-B)

Die 0,25 m Tiefe zylindrische Grabgrube mit einer graubraun sandigen Verfüllung hebt sich gut vom anstehenden Kies ab.

Unter den 45° schräg liegenden Deckstein die Urnenreste aus weicher nicht haltbarer Keramik und verstreuten Leichenbrand. Metallfunde 2cm unter Deckstein geborgen. Teilblockbergung. Ein geschlossener Befund.

Tafel: 316-317.

Befund: 228

Interpretation: Urnengrab

Datierung: Vorrömische Eisenzeit

Funde: SH2014-111.53, SH2014-111.121

Planum 1:

Grabstelle von 0,55m mit Urne und faust- bis kopfgroßen Geröllsteinen ungeordnet im anstehenden Kies liegend (verrissener Seitenschutz).

Keine sichtbare Eingrabung im anstehenden Kiesboden. Ein Bodenstein plus 12 cm in Situ. Urne bis auf ein faustgroßen Seitenschutzstein freistehend in anstehenden braungelben Kiesboden. Boden plus 15 cm in situ. Größter Dm der Urne ca. 0,3m.

Befund: 229

Interpretation: Urnengrab

Datierung: Vorrömische Eisenzeit

Funde: SH2014-111.251, SH2014-111.441

Planum 1:

Leichenbrandkonzentration mit zwei Wandungsscherben.

Befund: 230

Interpretation: Urnengrab

Datierung: Ältere vorrömische Eisenzeit

Funde: SH2014-111.44, SH2014-111.252, SH2014-111.440

Planum 1:

Gestörtes Urnengrab in Kolluvium mit einem Dm von 0,3m. Ein neben der Urne liegender plattiger 0,2m Dm Deckstein. Boden plus 3 cm noch in situ. Einer nur schwach sichtbaren Eingrabung. Als Standstein zwei faustgroße Geröllsteine. Als Seitensteine einige schottergroße Geröllsteine.

Tafel: 318.

Befund: 231

Interpretation: Urnengrab

Datierung: Vorrömische Eisenzeit

Funde: SH2014-111.48, SH2014-111.102, SH2014-111.103, SH2014-111.104, SH2014-111.105, SH2014-111.106, SH2014-111.122

Planum 1:

Gut erhaltenes Urnengrab mit glatt dunkelbrauner Keramik in Kolluvium. Ein einseitig plattiger Deckstein Dm 0,20m. Mit plattigen Steinen als Seitenschutz um Urne und einen plattigen Bodenstein von Dm 0,15m.

Anschnitt 1 (aus Profil: Profil A-B)

Eingelassen in Kolluvium. Unterbrochener Seitenschutz aus plattigen Steinen. Zwei plattigen Bodensteine 15 × 8 cm

und 17 × 11,3 cm. Eingrabung nicht sichtbar. Bis 10cm über anstehenden Boden reichend.

Tafel: 318-320.

Befund: 232

Interpretation: Urnengrab

Datierung: Vorrömische Eisenzeit

Funde: SH2014-111.253, SH2014-111.442

Planum 1:

Urnengrab eingelassen in Kolluvium. Einem Dm von 0,45 m mit einer Steineinfassung aus plattigen um die Urne gesetzten Steinen. Daneben liegend drei handgroße plattige Steine (Deckstein). Boden plus 10cm der Urne in Situ erhalten. BDM von 10cm. Ein einseitig plattiger Standstein von 0,2m Dm und 6cm Stärke. Bis 10cm über anstehenden gelben Kies reichend.

Anschnitt 1 (aus Profil: Profil A-B)

Boden plus 10cm der Urne in Situ erhalten. BDM von 10cm. Seitenschutz durch plattige um Urne stehende Steine. Ein einseitig plattiger Standstein von 0,2m Dm und 6cm Stärke. Einer nicht sichtbaren Eingrabung. Bis 10cm über anstehenden gelben Kies reichend.

Befund: 233

Interpretation: Urnengrab

Datierung: Vorrömische Eisenzeit

Funde: SH2014-111.42, SH2014-111.43, SH2014-111.99, SH2014-111.254, SH2014-111.443

Planum 1:

Urnengrab in Kolluvium Dm ca.0,53m. Einer teils offenen sorgfältig gesetzten Einfassung aus einseitig plattigen Steinen (Kantenlängen bis 25 cm) um Urne.

Anschnitt 1 (aus Profil: Profil A-B)

Einem plattigen Bodenstein 26 × 9cm und einem kompakten Seitenschutz aus teils plattigen Steinen. Eingrabung im anstehenden Kiesboden nicht sichtbar.

Tafel: 321.

Befund: 234

Interpretation: Grabbau

Datierung: Vorrömische Eisenzeit

Funde: SH2014-111.445

Planum 1:

Halbkreisförmige Steinsetzung aus fünf kopfgroßen Geröllsteinen in Kolluvium liegend. Einige wenige Scherben neben den Steinen liegend.

Befund: 235

Interpretation: Urnengrab

Datierung: Vorrömische Eisenzeit

Funde: SH2014-111.255, SH2014-111.446

Planum 1:

Rest eines Steinschutzes aus einer Bodenplatte (Dm. 0,3 m); dabei Leichenbrand und Keramik.

Befund: 236**Interpretation:** Urnengrab**Datierung:** Vorrömische Eisenzeit**Funde:** SH2014-111.256, SH2014-111.444**Planum 1:**

Rest eines Steinschutzes (Dm. 0,37 m) aus vier faust- bis doppelfaustgroßen Bodensteinen und einem faustgroßen Seitenstein; Urnenunterteil in situ.

Befund: 237**Interpretation:** Urnengrab**Datierung:** Vorrömische Eisenzeit**Funde:** SH2014-111.257, SH2014-111.447**Planum 1:**

Rest eines Steinschutzes (Dm. ca. 0,4 m) aus einer Bodenplatte (Dm. ca. 0,25 m) und Seitensteinen im Norden; dabei Leichenbrand und Keramik.

Befund: 238 - ohne archäologische Relevanz.**Befund: 239****Interpretation:** Urnengrab**Datierung:** Vorrömische Eisenzeit**Funde:** SH2014-111.11, SH2014-111.81, SH2014-111.258**Planum 1:**

Reste eines Steinschutzes (Dm. 0,3 m) aus mehreren faust- bis kopfgroßen Steinen; dabei Keramik, Leichenbrand, Eisen.

Tafel: 322.**Befund: 240****Interpretation:** Urnengrab**Datierung:** Vorrömische Eisenzeit**Funde:** SH2014-111.259, SH2014-111.448**Planum 1:**

Um einen kopfgroßen Stein mehrere faustgroße Steine sowie Leichenbrand und wenig Keramik.

Befund: 241**Interpretation:** Urnengrab**Datierung:** Vorrömische Eisenzeit**Funde:** SH2014-111.3, SH2014-111.4, SH2014-111.5, SH2014-111.6, SH2014-111.7, SH2014-111.15, SH2014-111.76, SH2014-111.77, SH2014-111.78, SH2014-111.79, SH2014-111.82, SH2014-111.123**Planum 1:**

Rest eines Steinschutzes aus einer Bodenplatte und fünf faust- bis kopfgroßen Spaltstücken (im Norden eine Lücke); auf der Bodenplatte zerdrückte Urnenreste, Leichenbrand, Gürtelhaken (Eisen), Riemenzunge (Bronze) und Holsteiner Nadel (Bronze); direkt östlich des Bodensteins eine zweite Riemenzunge (Bronze).

Befund: 242**Interpretation:** Urnengrab**Datierung:** Vorrömische Eisenzeit**Funde:** SH2014-111.260, SH2014-111.449**Planum 1:**

Urnenunterteil (Dm. 0,3 m) in situ auf einer Bodenplatte (ein 6 cm starker Granitstein mit einer einseitig glattgeschliffenen Oberfläche von 19 x 16 cm; Bruchstück eines Unterliegers) ohne Seitenschutz; Urne mit Gittermuster am Unterteil.

Befund: 243**Interpretation:** Urnengrab**Datierung:** Vorrömische Eisenzeit**Funde:** SH2014-111.261, SH2014-111.450**Planum 1:**

Rest eines Steinschutzes aus einem Bodenstein (Dm. 0,13 m); dabei Leichenbrand und Keramik.

Befund: 244**Interpretation:** Urnengrab**Datierung:** Vorrömische Eisenzeit**Funde:** SH2014-111.451**Planum 1:**

In einer auffallend scharf abgegrenzten dunklen Verfärbung wenig Leichenbrand und zwei Wandungsscherben.

Befund: 245**Interpretation:** Urnengrab**Datierung:** Vorrömische Eisenzeit**Funde:** SH2014-111.1, SH2014-111.2, SH2014-111.74, SH2014-111.75, SH2014-111.124, SH2014-111.452**Planum 1:**

Reste eines Steinschutzes aus einer Bodenplatte; dabei Leichenbrand, eine Wandungsscherbe und Eisenobjekte (Plattengürtelhaken, Ring) und Bronzeobjekt (Holsteiner Nadel).

Befund: 246**Interpretation:** Urnengrab**Datierung:** Vorrömische Eisenzeit**Funde:** SH2014-111.14, SH2014-111.262, SH2014-111.453**Planum 1:**

Rest eines Steinschutzes aus einer Bodenplatte (Dm. 0,18 m); dabei Leichenbrand und wenig Keramik.

Befund: 247**Interpretation:** Urnengrab**Datierung:** Vorrömische Eisenzeit**Funde:** SH2014-111.263, SH2014-111.454**Planum 1:**

Ovale Verfärbung (Dm. 0,4 m) aus dunkelgrauem, sandigem Material; darin Leichenbrandfragmente (keine Keramik).

Befund: 248**Interpretation:** Urnengrab**Datierung:** Vorrömische Eisenzeit**Funde:** SH2014-111.264, SH2014-111.455**Planum 1:**

Vermutlich nur der Rest eines Steinschutzes aus einer Bodenplatte (vor der Beschreibung abgearbeitet).

Befund: 249**Interpretation:** Urnengrab**Datierung:** Vorrömische Eisenzeit**Funde:** SH2014-111.265, SH2014-111.456**Planum 1:**

Bei einem etwa doppelkopfgroßen Stein Leichenbrand und Keramik.

Befund: 250**Interpretation:** Urnengrab**Datierung:** Vorrömische Eisenzeit**Funde:** SH2014-111.266, SH2014-111.457**Planum 1:**

Wenig Leichenbrand und wenig Keramik ohne Rest eines Steinschutzes.

Befund: 251 - ohne archäologische Relevanz.**Befund: 252** - ohne archäologische Relevanz.**Befund: 253****Interpretation:** Leichenbranddepot**Datierung:** Vorrömische Eisenzeit**Funde:** SH2014-111.267**Planum 1:**

Vermutlich der Rest eines Steinschutzes aus einer Steinplatte (Dm. ca. 0,2 m; flache Seite nach oben = Bodenplatte?); ein Leichenbrandfragment in einem Tiergang neben der Steinplatte.

Befund: 254**Interpretation:** Urnengrab**Datierung:** Vorrömische Eisenzeit**Funde:** SH2014-111.268, SH2014-111.458**Planum 1:**

In einer etwa kreisrunden Verfärbung (Dm. 0,4 m) Rest eines Steinschutzes aus einer Bodenplatte (Dm. 0,25 m); dabei Leichenbrand und Keramik.

Befund: 255**Interpretation:** Leichenbranddepot**Datierung:** Vorrömische Eisenzeit**Funde:** SH2014-111.269**Planum 1:**

In einer etwa kreisrunden Verfärbung (Dm. 0,28 m) Rest eines Steinschutzes aus einer Bodenplatte (Dm. 0,22 m); dabei Leichenbrand (keine Keramik).

Befund: 256 - ohne archäologische Relevanz.**Befund: 257****Interpretation:** Ringgraben (11)**Datierung:** Vorrömische Eisenzeit**Planum 1:**

Annähernd kreisrunder Ringgraben von 4,6m Dm um Urne Bef. 227 verlaufend. Die breite liegt zwischen 0,5 und 0,7m und ist durch Baumwürfe gestört. Eingelassen in gelben anstehenden Kies. Die angelegten Profile S1 bis S4 weisen Resttiefen von 2 bis 15 cm aus (Wohl Materialentnahme für die Flachhügelschüttung) mit einer Verfüllung aus graubraunem leicht humosem Sand.

Anschnitt 1 (aus Profil: Profil S1)

50 cm breiter Grabenabschnitt mit einer Resttiefe von 8 cm und einer Verfüllung aus humosem Sand vermischt mit anstehendem Kies.

Anschnitt 1 (aus Profil: Profil S2)

35 cm breiter Grabenabschnitt mit einer Resttiefe von 15cm und einer Verfüllung aus humosem Sand vermischt mit anstehendem Kies.

Anschnitt 1 (aus Profil: Profil S3)

60 cm breiter Grabenabschnitt mit einer Resttiefe von 10cm und einer Verfüllung aus humosem Sand vermischt mit anstehendem Kies.

Anschnitt 1 (aus Profil: Profil S4)

25 cm breiter Grabenabschnitt mit einer Resttiefe von 2cm und einer Verfüllung aus humosem Sand vermischt mit anstehendem Kies.

Befund: 258**Interpretation:** Urnengrab**Datierung:** Vorrömische Eisenzeit**Funde:** SH2014-111.270, SH2014-111.459**Planum 1:**

Konzentration von Leichenbrand und Keramik ohne Reste eines Steinschutzes.

Befund: 259**Interpretation:** Steinstandspur**Datierung:** unbestimmt**Befund: 260** - ohne archäologische Relevanz.**Befund: 261****Interpretation:** Urnengrab**Datierung:** Vorrömische Eisenzeit**Planum 1:**

Urnenunterteil in situ; Keramik sehr weich; kein Steinschutz.

Befund: 262**Interpretation:** Urnengrab**Datierung:** Vorrömische Eisenzeit**Funde:** SH2014-111.16, SH2014-111.460**Planum 1:**

Leichenbrand und Keramik ohne Verfärbung oder Resten eines Steinschutzes.

Befund: 263**Interpretation:** Urnengrab**Datierung:** Vorrömische Eisenzeit**Funde:** SH2014-111.271, SH2014-111.461**Planum 1:**

Leichenbrand und Keramikscherben ohne Reste eines Steinschutzes.

Befund: 264**Interpretation:** Urnengrab**Datierung:** Vorrömische Eisenzeit**Funde:** SH2014-111.12, SH2014-111.272, SH2014-111.462**Planum 1:**

Urnenunterteil in situ auf einer Bodenplatte (Dm. 0,16 m x 0,17 m); darin Eisen.

Befund: 265**Interpretation:** Urnengrab**Datierung:** Vorrömische Eisenzeit**Funde:** SH2014-111.273, SH2014-111.463**Planum 1:**

Konzentration von Leichenbrand und Keramik vermutlich drei Bodensteine.

Befund: 266**Interpretation:** Baumwurf**Datierung:** unbestimmt**Befund: 267****Interpretation:** Urnengrab**Datierung:** Vorrömische Eisenzeit**Funde:** SH2014-111.274, SH2014-111.464, SH2014-111.465**Planum 1:**

Reste eines Steinschutzes (Dm. ca. 0,3 m) aus faustgroßen Steinen (unmittelbar angrenzend an Steinsetzung zu Grab 285) und einer Bodenplatte (0,21 × 0,16 m); darin sehr weiches Urnenunterteil.

Befund: 268**Interpretation:** Urnengrab**Datierung:** unbestimmt**Funde:** SH2014-111.275, SH2014-111.466**Planum 1:**

Etwa abgerundet rechteckige Verfärbung aus dunkelgrauem, humosem Sand mit vielen kopf- bis doppelkopfgroßen Steinen und v.a. in der Nordostecke Leichenbrand und Keramik (Funde vermutlich zufällig mit den Steinen verlappt); Resttiefe: 0,3 - 0,4 m.

Befund: 269**Interpretation:** Urnengrab**Datierung:** Vorrömische Eisenzeit**Funde:** SH2014-111.276, SH2014-111.467**Planum 1:**

Urnenunterteil in situ in einem zumindest unten geschlossenen Seitenschutz (Dm. 0,4 m) aus etwa handtellergrößen Steinplatten auf einer Bodenplatte (0,2 × 0,17 m); Urnenboden sehr weich.

Befund: 270**Interpretation:** Urnengrab**Datierung:** Vorrömische Eisenzeit**Funde:** SH2014-111.277, SH2014-111.468**Planum 1:****Vermessung:** DS: 1138,**Anschnitt 1** (aus Profil: Profil A-B)

Urnenunterteil in situ auf einer Bodenplatte (0,18 × 0,17 m) in einem nach außen gedrückten Seitenschutz aus faustgroßen Steinen und überwiegend handtellergrößen Platten. In Kolluvium ohne sichtbare Eingrabung bis in den Vergrauungshorizont reichend.

Befund: 271**Interpretation:** Urnengrab**Datierung:** Vorrömische Eisenzeit**Funde:** SH2014-111.278, SH2014-111.475**Planum 1:**

Reste eines kompakten Steinschutzes (Dm. ca. 0,55 m) aus überwiegend faustgroßen Steinen (wenige Spaltstücke) und vier etwa handtellergrößen Bodensteinen; darin Urne, deren Oberteil nach innen eingedrückt war; Oberfläche des dreigliedrigen Gefäßes bis zum Halsansatz geraut.

Befund: 272**Interpretation:** Urnengrab**Datierung:** Vorrömische Eisenzeit**Funde:** SH2014-111.279, SH2014-111.469**Planum 1:**

Urnenunterteil ohne Seitenschutz in situ auf einer Bodenplatte; Bodendurchmesser der Urne: 0,09 m.

Befund: 273**Interpretation:** Baumwurf**Datierung:** unbestimmt**Funde:** SH2014-111.280**Befund: 274****Interpretation:** Urnengrab**Datierung:** Vorrömische Eisenzeit**Funde:** SH2014-111.281, SH2014-111.470**Planum 1:**

Rest eines geschlossenen Steinschutzes (Dm. 0,4 m) aus sieben faustgroßen Steinen (davon vier senkrecht - schräg stehende Platten); darin eine stark zerdrückte Urne auf einer Bodenplatte (0,3 × 0,21 m).

Befund: 275**Interpretation:** Urnengrab**Datierung:** Vorrömische Eisenzeit**Funde:** SH2014-111.282, SH2014-111.471**Planum 1:**

Drei faustgroße Steine mit wenig Leichenbrand und Keramik (evtl. verschleppte Funde).

Befund: 276**Interpretation:** Steinstandspur**Datierung:** unbestimmt**Befund: 277****Interpretation:** Urnengrab**Datierung:** Vorrömische Eisenzeit**Funde:** SH2014-111.72, SH2014-111.283, SH2014-111.472**Planum 1:**

Urnenunterteil in situ ohne Steinschutz; darin Leichenbrand und Eisen.

Befund: 278**Interpretation:** Pfostengrube**Datierung:** unbestimmt**Planum 1:****Anschnitt 1** (aus Profil: Profil A-B)

Zylindrische Eintiefung im anstehenden Kiesboden mit einer Verfüllung aus gelblich grauem mit Holzkohlefitter durchsetzter Sand. Sehr diffuse Grenzen zum anstehenden Kiesboden. Befund wird durch einen Baumwurf gestört.

Tafel: 282.**Befund: 279** - ohne archäologische Relevanz.**Befund: 280** - ohne archäologische Relevanz.**Befund: 281** - ohne archäologische Relevanz.**Befund: 282** - ohne archäologische Relevanz.**Befund: 283****Interpretation:** Pfostengrube**Datierung:** unbestimmt**Planum 1:****Anschnitt 1** (aus Profil: Profil A-B)

Muldenförmige Eintiefung im anstehenden Kiesboden mit einer Verfüllung aus dunkel braun grauem mit Holzkohlefitter durchsetzter Sand. Sehr diffuse Grenzen zum anstehenden Kiesboden.

Anschnitt 1 (aus Profil: Profil A-B)

Muldenförmige Eintiefung im anstehenden Kiesboden mit einer Verfüllung aus dunkel grauem mit Holzkohlefitter durchsetzter Sand. Sehr diffuse Grenzen zum anstehenden Kiesboden.

Tafel: 283.**Befund: 284****Interpretation:** Pfostengrube**Datierung:** unbestimmt**Planum 1:****Anschnitt 1** (aus Profil: Profil A-B)

Muldenförmige Eintiefung im anstehenden Kiesboden mit einer Verfüllung aus dunkel grauem mit Holzkohlefitter durchsetzter Sand. Sehr diffuse Grenzen zum anstehenden Kiesboden.

Anschnitt 1 (aus Profil: Profil A-B)**Tafel:** 283.**Befund: 285****Interpretation:** Urnengrab**Datierung:** Vorrömische Eisenzeit**Funde:** SH2014-111.284, SH2014-111.473**Planum 1:**

Reste eines Steinschutzes (0,46 m) aus etwa faustgroßen Seitensteinen und einer Bodenplatte (ein 6cm starker Granitstein mit einer einseitig glattgeschliffenen Oberfläche von 27 x17 cm; Bruchstück eines Unterliegers); darin Keramik, Leichenbrand.

Befund: 286**Interpretation:** Branderdestelle**Datierung** von: Ältere vorrömische Eisenzeit bis: Jüngere vorrömische Eisenzeit**Funde:** SH2014-111.299, SH2014-111.300, SH2014-111.301, SH2014-111.302, SH2014-111.303, SH2014-111.304, SH2014-111.305, SH2014-111.515, SH2014-111.516, SH2014-111.517, SH2014-111.518, SH2014-111.519, SH2014-111.520, SH2014-111.531, SH2014-111.536, SH2014-111.540**Planum 1:**

Schwarze stark HKP haltige Branderdeschicht von 6 x 5m durchsetzt mit einigen feuerzermürbten Steinen und calz. Knochen sowie Keramikscherben im anstehenden Kiesboden.

Anschnitt 1 (aus Profil: Profil E-F) Auf dem Boden der Branderdestelle eine rundliche (Dm 0,78m) Verfärbung. Im Profil schüsselförmig mit einer Verfüllung aus stark HKP haltiger Branderde und einer Resttiefe von 12 cm.**Anschnitt 1** (aus Profil: Profil G-H)

Auf dem Boden der Branderdestelle eine rundliche (Dm 0,8m) Verfärbung. Im Profil schüsselförmig mit einer Verfüllung aus stark HKP haltiger Branderde und einer Resttiefe von 13cm.

Funde in diesem Anschnitt: Fundnummer:SH2014-111.524

Anschnitt 1 (aus Profil: Profil Q-R)

Auf dem Boden der Branderdestelle rundliche (Dm 0,7m) Verfärbung. Im Profil kesselförmig mit einer Verfüllung aus

stark HKP haltiger Branderde mit verglühten faustgroßen Geröllsteinen.

Funde in diesem Anschnitt: Fundnummer:SH2014-111.523

Anschnitt 1 (aus Profil: Profil S-T)

Auf dem Boden der Branderdestelle eine rundliche (Dm 0,3m) Verfärbung. Im Profil schüsselförmig mit einer Verfüllung aus stark HKP haltiger Branderde und einer Resttiefe von 5cm.

Funde in diesem Anschnitt: Fundnummer:SH2014-111.529

Anschnitt 1 (aus Profil: Profil U-V)

Auf dem Boden der Branderdestelle eine rundliche (Dm 0,23m) Verfärbung. Im Profil schüsselförmig mit einer Verfüllung aus stark HKP haltiger Branderde und einer Resttiefe von 5cm.

Anschnitt 1 (aus Profil: Profil W-X)

Auf dem Boden der Branderdestelle eine rundliche (Dm 0,3m) Verfärbung. Im Profil schüsselförmig mit einer Verfüllung aus stark HKP haltiger Branderde und einer Resttiefe von 7cm.

Funde in diesem Anschnitt: Fundnummer:SH2014-111.528

Anschnitt 1 (aus Profil: Profil Y-Z)

Funde in diesem Anschnitt: Fundnummer:SH2014-111.522

Anschnitt 1 (aus Profil: Profil A-B)

Branderdeschicht schüsselförmig mit unregelmäßiger Sohle. Eine 20 bis 25 cm starke Branderdeschicht stark durchsetzt mit HKP und Keramikfragmenten; calz. Knochen und Keramikscherben. Eingelassen in anstehenden gelben Kiesboden.

Anschnitt 1 (aus Profil: Profil-J)

Auf dem Boden der Branderdestelle eine rundliche (Dm 0,25m) Verfärbung. Im Profil kesselförmig mit einer Verfüllung aus stark HKP haltiger Branderde und einer Resttiefe von 15cm.

Funde in diesem Anschnitt: Fundnummer:SH2014-111.527

Anschnitt 1 (aus Profil: Profil K-L)

Auf dem Boden der Branderdestelle eine rundliche (Dm 0,7m) Verfärbung. Im Profil schüsselförmig mit einer Verfüllung aus stark HKP haltiger Branderde und einem großen Geröllstein 0,3 x 0,22 m einer Resttiefe von 14cm.

Funde in diesem Anschnitt: Fundnummer:SH2014-111.526

Anschnitt 1 (aus Profil: Profil M-N)

Auf dem Boden der Branderdestelle eine rundliche (Dm 0,4m) Verfärbung. Im Profil flach schüsselförmig mit einer Verfüllung aus stark HKP haltiger Branderde und einer Resttiefe von 4cm.

Funde in diesem Anschnitt: Fundnummer:SH2014-111.530

Anschnitt 1 (aus Profil: Profil O-P)

Auf dem Boden der Branderdestelle eine rundliche (Dm 0,4m) Verfärbung. Im Profil schüsselförmig mit einer Verfüllung aus stark HKP haltiger Branderde und einer Resttiefe von 8cm.

Funde in diesem Anschnitt: Fundnummer:SH2014-111.521

Tafel: 266-275.

Befund: 287 - ohne archäologische Relevanz.

Befund: 288

Interpretation: Pfostengrube

Datierung: unbestimmt

Planum1:

Anschnitt 1 (aus Profil: Profil A-B)

Muldenförmige Eintiefung im anstehenden Kiesboden mit einer Verfüllung aus dunkel grauen mit Holzkohlefliitter durchsetzen Sand. Sehr diffuse Grenzen zum anstehenden Kiesboden.

Tafel: 283.

Befund: 289 - ohne archäologische Relevanz.

Befund: 290 - ohne archäologische Relevanz.

Befund: 291

Interpretation: Pfostengrube

Datierung: unbestimmt

Planum 1:

Anschnitt 1 (aus Profil: Profil A-B)

Anschnitt 1 (aus Profil: Profil A-B)

Zylindrische Eintiefung im anstehenden Kiesboden mit einer Verfüllung aus braungrauen mit Holzkohlefliitter durchsetztem Sand. Sehr diffuse Grenzen zum anstehenden Kiesboden.

Tafel: 284.

Befund: 292 - ohne archäologische Relevanz.

Befund: 293 - ohne archäologische Relevanz.

Befund: 294 - ohne archäologische Relevanz.

Befund: 295 - ohne archäologische Relevanz.

Befund: 296 - ohne archäologische Relevanz.

Befund: 297 - ohne archäologische Relevanz.

Befund: 298 - ohne archäologische Relevanz.

Befund: 299 - ohne archäologische Relevanz.

Befund: 300 - ohne archäologische Relevanz.

Befund: 301 - ohne archäologische Relevanz.

Befund: 302 - ohne archäologische Relevanz.

Befund: 303 - ohne archäologische Relevanz.

Befund: 304**Interpretation:** Urnengrab**Datierung:** Vorrömische Eisenzeit

Stark gestörtes Urnengrab. Einer Bodenplatte 23 x14 cm. Reste eines Seitenschutzes aus plattigen Steinen und faustgroßen Geröllsteinen. Dm ca. 0,3 -0,5m.

Funde: SH2014-111.285, SH2014-111.476**Befund: 305****Interpretation:** Urnengrab**Datierung:** Vorrömische Eisenzeit

Reste eines geschlossenen Seitenschutzes aus handteller-doppelhandteller-großen plattigen Steinen Dm. 0,4m. Eine auffallend runde Bodenplatte Dm.0,27m.

Funde: SH2014-111.286, SH2014-111.477**Befund: 306** - ohne archäologische Relevanz.**Befund: 307** - ohne archäologische Relevanz.**Befund: 308****Interpretation:** Kochsteingrube**Datierung:** unbestimmt**Funde:** SH2014-111.478**Planum 1:**

Konzentration von faust-doppeltfaustgroßen Steinen im Kolluvium.

Anschnitt 1 (aus Profil: Profil A-B)

Im Profil mehrlagiger Steinhauflinien aus hitzeermürbten Steinen im dunkelgrauen Sand eingebettet. Keine Holzkohleeinlagerungen dazwischen. Höhe der Steinpackung 0,4m. Darunter anstehender gelbgrauer lehmiger Sand

Tafel: 280.**Befund: 309** - ohne archäologische Relevanz.**Befund: 310****Interpretation:** Urnengrab**Datierung:** Vorrömische Eisenzeit**Funde:** SH2014-111.288, SH2014-111.480**Planum 1:**

Gestörte Steinsetzung. Wohl Steinpflaster aus faustgroßen Geröllsteinen. Anbei Keramik und Leichenbrand.

Anschnitt 1 (aus Profil: Profil?)

Ein durch Baumwurf gestörtes Urnengrab. Auf zwei plattigen Steinen verstreut liegender Leichenbrand und Keramikscherben. Der Boden ein grauer bis dunkelgrauen homogenen Sand. Der Untergrund ein gelblich grauer lehmiger Sand.

Anschnitt 1 (aus Profil: Profil A-B)

Ein durch Baumwurf (Bef.273) gestörtes Urnengrab. Auf zwei plattigen Steinen verstreut liegender Leichenbrand und Keramikscherben. Der Boden ein grauer bis dunkelgrauen homogenen Sand. Der Untergrund ein gelblich grauer lehmiger Sand. Der Anschnitt ist um 10cm nach Westen versetztes Profil.

Tafel: 328**Befund: 311****Interpretation:** Urnengrab**Datierung:** unbestimmt

Nur oberflächlich LB und Keramik liegend.

Funde: SH2014-111.289, SH2014-111.481**Befund: 312****Interpretation:** Urnengrab**Datierung:** unbestimmt**Funde:** SH2014-111.290, SH2014-111.482**Planum 1:****Anschnitt 1** (aus Profil: Profil A-B)

Eine muldenförmige Eingrabung in gelbgrauen leicht lehmigen Sand und einer Verfüllung aus grauem Sand mit hellen Flecken. Dazu Leichenbrand und Keramikscherben.

Befund: 313**Interpretation:** Urnengrab**Datierung:** unbestimmt**Funde:** SH2014-111.291, SH2014-111.483**Anschnitt 1** (aus Profil: Profil A-B)

Eine 15cm tiefe Verfärbung aus grauem Sand im anstehenden im grau gelb lehmigen Sand. Einem kopfgroßen Geröllstein an der Oberfläche. Dabei LB und Keramik.

Befund: 314**Interpretation:** Urnengrab**Datierung:** Vorrömische Eisenzeit

Gestörtes Urnengrab Dm. ca.0,3m.

Funde: SH2014-111.292, SH2014-111.484**Befund: 315****Interpretation:** Urnengrab**Datierung:** unbestimmt

Nur Oberflächlich liegend LB und Keramik.

Funde: SH2014-111.293, SH2014-111.485**Befund: 316** - ohne archäologische Relevanz.**Befund: 317** - ohne archäologische Relevanz.**Befund: 318** - ohne archäologische Relevanz.**Befund: 319****Interpretation:** Ringgraben (12)**Datierung:** unbestimmt**Planum 1:**

Anschnitt 1 (aus Profil: Profil A-B) Im Profil eben und flach bis 6cm im anstehenden braunen Kies. Eine Verfüllung aus grauem schwach humosem Sand. Schlechte Abgrenzbarkeit zum anstehenden Boden auch durch mit Tiergängen durchzogene Sohle.

Anschnitt 1 (aus Profil: Profil C-D)

m Profil eben und flach bis 6cm im anstehenden braunen Kies. Eine Verfüllung aus grauem schwach humosem Sand. Schlechte

Abgrenzbarkeit zum anstehenden Boden auch durch mit Tiergängen durchzogene Sohle.

Anschnitt 1 (aus Profil: Profil E-F)

Im Profil muldenförmig bis 15 cm im anstehenden braunen Kies. Eine Verfüllung aus grauem schwach humosem Sand. Schlechte Abgrenzbarkeit zum anstehenden Boden auch durch mit Tiergängen durchzogene Sohle.

Befund: 320

Interpretation: Steinstandspur

Datierung: unbestimmt

Planum 1:

Steinstandspur eines 0,4m x 0,3m großen Steines. Tiefe noch 10cm im anstehenden Kiesboden erkennbar.

Befund: 321

Interpretation: Urnengrab

Datierung: jüngere Bronzezeit

Funde: SH2014-111.62, SH2014-111.65, SH2014-111.112, SH2014-111.125

Planum 1:

Ein plattiger Deckstein (Dm 0,35) umgeben von plattig behauenen hochkant stehenden Steinplatten. Eingelassen in gelben Kiesboden.

Anschnitt 1 (aus Profil: Profil A-B)

Gut sichtbare Eingrabung aus braungrau humosem Sand im anstehenden Kiesboden. Bis in einer Tiefe von 38cm reichend. Ein geschlossener Seitenschutz aus plattigen hochkant stehenden Steinen um und unter der Urne.

Tafel: 329.

Befund: 322

Interpretation: Urnengrab

Datierung: Vorrömische Eisenzeit

Funde: SH2014-111.295, SH2014-111.487

Planum 1:

Urnengrab gestört: Urne 25cm Dm und ein doppeltfaustgroßer Geröllstein als Seitenschutz im anstehenden Kiesboden.

Anschnitt 1 (aus Profil: Profil A-B)

Im Profil freistehende Urne. Boden plus 10cm in Situ. Einer schwach sichtbaren Eingrabung.

Befund: 323

Interpretation: Urnengrab

Datierung: Vorrömische Eisenzeit

Funde: SH2014-111.63, SH2014-111.126

Planum 1:

Gestörtes Urnengrab. Dm 35 cm im anstehenden Kiesboden.

Anschnitt 1 (aus Profil: Profil A-B)

Im Profil freistehende Urne. Boden plus 12 cm in situ. Einer sichtbaren Eingrabung mit grau humosem Sand.

Befund: 324

Interpretation: Steinstandspur

Datierung: unbestimmt

Planum:

Steinstandspur von 0,4 × 0,2 m im Kiesboden.

Befund: 325

Interpretation: Pfostengrube

Datierung: unbestimmt

Planum 1:

Verfärbung von 0,25 m Dm aus schwarzgrau humosem Sand durchsetzt mit Holzkohle im anstehenden Kiesboden und einer Resttiefe von 0,03m.

Befund: 326

Interpretation: Urnengrab

Datierung: Vorrömische Eisenzeit

Funde: SH2014-111.296

Planum 1:

Urnengrab 0,4m Dm stark gestört mit Urnenresten (stark vergänglicher weicher Keramik) auf einem plattigen Bodenstein (0,22x 0,05m) liegend. Ohne sichtbarer Eingrabung. Im anstehenden Kiesboden liegend.

Befund: 327

Interpretation: Urnengrab

Datierung: Vorrömische Eisenzeit

Funde: SH2014-111.297, SH2014-111.488

Planum 1:

Ein faustgroßer plattiger Feuerstein als Bodenstein im anstehenden Kiesboden. Darauf die Bodenscherben + 2cm der Urne noch in situ.

Befund: 328

Interpretation: Leichenbranddepot

Datierung: Vorrömische Eisenzeit

Funde: SH2014-111.306

Planum 1:

Grabstelle stark gestört. Drei faustgroße in mutterbodenhaltiger Erde. Drei weitere Steinstandspuren von doppelkopfgroßen Geröllsteinen. Im Grabenförmiger Vertiefung liegend. Dazwischen verstreut liegender grober Leichenbrand.

Befund: 329

Interpretation: Urnengrab

Datierung: unbestimmt

Funde: SH2014-111.298

Planum 1:

Runde humose Verfärbung. Grabstelle völlig zerstört durch Baumwurf. Nur noch wenig Leichenbrand und einige Keramikscherben. Kein Profil aufgenommen.

Anschnitt 1 (aus Profil: Profil A-B)

Befund: 330**Interpretation:** Leichenbranddepot**Datierung:** unbestimmt**Funde:** SH2014-111.307**Planum 1:**

Grabstelle zerstört und verrissen durch einen Baumwurf. Keine Angaben zum Grab bau möglich. Sechs doppel Faustgroße Geröllsteine und zwei größere Geröllsteine neben der Leichenbrandanhäufung.

Anschnitt 1 (aus Profil: Profil A-B)

Doppelkopfgröße und Faustgröße verrissene Steine im humosen Kies liegend. Bis 20cm in den anstehenden Kies reichend. Eine kleine LB Konzentration zwischen den Faustgroßen Geröllsteinen.

Befund: 331 - ohne archäologische Relevanz.**Befund: 332****Interpretation:** Steinstandspur**Datierung:** unbestimmt**Befund: 333****Interpretation:** Pfostengrube**Datierung:** unbestimmt**Planum 1:**

Runde Verfärbung von 0,4m Dm aus schwarz grauem Sand und einer Pfostenstandspur von 0,25 m im anstehenden Kies.

Anschnitt 1 (aus Profil: Profil A_B)

Im Profil zylindrisch mit ebener Sohle bei einer Verfüllung aus schwarzgrauen HKP haltigen Sand und einer 10cm breiten Pfostenstandspur. Einer Resttiefe von 0,08m im anstehenden Kiesboden.

Tafel: 284.**Befund: 334** - ohne archäologische Relevanz.**Befund: 335****Interpretation:** Feuerstelle**Datierung:** unbestimmt**Planum 1:**

Unregelmäßige Verfärbung aus braungrauem Boden mit einer HK Konzentration.

Anschnitt 1 (aus Profil: Profil A-B)

Im Profil wannenförmig mit einer Verfüllung aus graubraunem Sand mit einer Resttiefe von 0,38m im anstehenden Kiesboden. Darin eine muldenförmige Eintiefung aus schwarzen stark HKP haltigen Sand mit einer Resttiefe von 8cm.

Tafel: 276.**Befund: 336** - ohne archäologische Relevanz.**Befund: 337** - ohne archäologische Relevanz.**Befund: 338****Interpretation:** Feuerstelle**Datierung:** unbestimmt**Planum 1:**

Am Rand der großen Senke im Kolluvium eine Holzkohlekonzentration von 0,35 m Dm. Im Profil kleiner als 2cm.

Befund: 339**Interpretation:** Feuerstelle**Datierung:** unbestimmt**Planum 1:****Anschnitt 1** (aus Profil: Profil Quer 2)**Anschnitt 1** (aus Profil: Profil A-B)

Schüsselförmig mit regelmäßiger Sohle und einer Verfüllung aus schwarz grauen mit HKP durchsetzter Sand sowie einigen schottergroßen Steinen. Einer etwas stärkeren HK Konzentration am Rand. Resttiefe von 0,22m im anstehenden gelben Sand.

Tafel: 277.**Befund: 340** - ohne archäologische Relevanz.**Befund: 341****Interpretation:** Pfostengrube**Datierung:** unbestimmt**Planum 1:****Anschnitt 1** (aus Profil: Profil A-B)

Eine trichterförmig in den anstehenden gelbgrauen sandigen Lehm eingelassene Grube mit einer Verfüllung aus braungrauenlehmigem Sand sowie einer Pfostenstandspur aus dunkelgrauem lehmigem Sand durchmischt mit wenig Holzkohlepartikel.

Tafel: 285.**Befund: 342****Interpretation:** Pfostengrube**Datierung:** unbestimmt**Planum 1:****Anschnitt 1** (aus Profil: Profil A-B)

Eine trichterförmig in den anstehenden gelbgrauen lehmigen Sand eingelassene Grube mit einer Verfüllung aus grau gelb lehmigem Sand sowie einer Pfostenstandspur aus dunkelgrauem lehmigem Sand.

Tafel: 285.

Befund: 343**Interpretation:** Pfostengrube**Datierung:** unbestimmt**Planum 1:****Anschnitt 1** (aus Profil: Profil A-B)

Eine trichterförmig in den anstehenden gelbgrauen Kies eingelassene Grube mit einer Verfüllung aus dunkelgrauem lehmigem Sand.

Tafel: 285.**Befund: 344****Interpretation:** Grube**Datierung:** unbestimmt**Planum 1:**

Etwa kreisrunde Verfärbung (Dm. 1,5 m) aus dunkelgrauem, gering kohlehaltigem Sand; im Anschnitt verwaschen trichterförmig eingetieft (Resttiefe: 0,27 m).

Befund: 345**Interpretation:** Fundstelle (Ker.)**Datierung:** unbestimmt**Funde:** SH2014-111.489**Planum 1:**

Kleine Konzentration von Keramikscherben (nicht geborgen).

Befund: 346**Interpretation:** Urnengrab**Datierung:** Vorrömische Eisenzeit**Funde:** SH2014-111.308, SH2014-111.490**Planum 1:**

Rest einer Steinkiste (Dm. 0,4 m) aus einer Bodenplatte (Dm. ca. 0,25 m) und etwa kopfgroßen Seitenplatten (im Süden, Osten und Norden in situ); dabei Leichenbrand und Keramik.

Befund: 347**Interpretation:** Urnengrab**Datierung:** Vorrömische Eisenzeit**Funde:** SH2014-111.309, SH2014-111.491**Planum 1:**

Rest eines Steinschutzes (Dm. ca. 0,35 m) aus einer Bodenplatte (Dm. ca. 0,25 m) und drei zerdrückten Seitenplatten; dabei drei Keramikscherben und Leichenbrand.

Befund: 348 - ohne archäologische Relevanz.**Befund: 349****Interpretation:** Feuerstelle**Datierung:** unbestimmt**Funde:** SH2014-111.541**Planum 1:** Runde Dm 0,9m Verfärbung aus braungrauen gering HKP haltigen Sand im anstehenden gelben leicht lehmigen Sand.**Anschnitt 1** (aus Profil: Profil A-B)

Im Profil wannenförmig mit unebener Sohle. Resttiefe 0,11m Zwei kopfgroßen Geröllsteinen bis in den anstehenden Untergrund

reichend. Die Verfüllung ist eine braungraue verschieden stark mit HKP durchsetzter Branderde.

Tafel: 277.**Befund: 350****Interpretation:** Pfostengrube**Datierung:** unbestimmt**Funde:** SH2014-111.542**Planum 1:**

Rundliche 0,22m Dm Verfärbung aus schwarzen stark HKP haltigen fleckigen Sand im anstehenden gelben Kiesboden.

Anschnitt 1 (aus Profil: Profil A-B)

Resttiefe von 3cm aus schwarzer Branderde.

Tafel: 286.**Befund: 351****Interpretation:** Pfostengrube**Datierung:** unbestimmt**Funde:** SH2014-111.543**Planum 1:**

Rundliche 0,24m Dm Verfärbung aus dunkelgrauen stark HKP haltigen fleckigen Sand im anstehenden gelben Kiesboden.

Anschnitt 1 (aus Profil: Profil A-B)

Im Profil kesselförmig mit einer Verfüllung aus dunkelgrauen stark HKP haltigen fleckigen Sand bis 8cm tief in den anstehenden gelben Kiesboden reichend.

Tafel: 286.**Befund: 352****Interpretation:** Pfostengrube**Datierung:** unbestimmt**Funde:** SH2014-111.544**Planum 1:**

Ovale 0,22 × 0,16 m Verfärbung aus schwarzen stark HKP haltigen fleckigen Sand im anstehenden gelben Kiesboden.

Anschnitt 1 (aus Profil: Profil A-B)

Im Profil nur noch ein mit Branderde verfüllter Tiergang. 10cm tief in den anstehenden Kies reichend.

Tafel: 286.**Befund: 353****Interpretation:** Pfostengrube**Datierung:** unbestimmt**Planum 1:**

Rundliche 0,24m Dm Verfärbung aus schwarzen stark HKP haltigen fleckigen Sand im anstehenden gelben Kiesboden.

Anschnitt 1 (aus Profil: Profil A-B)

Im Profil wannenförmig mit einer Branderdeverfüllung. Resttiefe von 7cm in den anstehenden Kies reichend.

Tafel: 286.

Befund: 354**Interpretation:** Urnengrab**Datierung:** unbestimmt**Funde:** SH2014-111.310, SH2014-111.492, SH2014-111.493**Planum 1:**

Gestörtes Urnengrab mit sichtbarer Eingrabung Dm 0,42m mit einem faustgroßen Stein als Seitenschutz.

Anschnitt 1 (aus Profil: Profil C-D)

Im Profil abgebrochene Urne.

Anschnitt 1 (aus Profil: Profil A-B)

Freistehende Urne im anstehenden Kiesboden. Boden plus 18cm noch gut in situ.

Tafel: 331.**Befund: 355****Interpretation:** Urnengrab**Datierung:** unbestimmt**Funde:** SH2014-111.9, SH2014-111.311, SH2014-111.494**Planum 1:**

Rest eines Steinschutzes (Dm. ca. 0,4 m) aus einer Bodenplatte und mehreren Seitenplatten (im Norden noch in situ); dabei Leichenbrand, Keramik, Eisen.

Befund: 356 - ohne archäologische Relevanz.**Befund: 357****Interpretation:** Urnengrab**Datierung:** Eisenzeit**Funde:** SH2014-111.312, SH2014-111.495**Planum 1:**

Reste eines Steinschutzes (Dm. 0,3 m) aus sieben etwa faustgroßen Bodensteinen; dabei Leichenbrand und Keramik.

Befund: 358**Interpretation:** Pfostengrube**Datierung:** unbestimmt**Anschnitt 1** (aus Profil: Profil A-B)

Eine trichterförmig in den anstehenden Kies eingelassene Grube mit einer Verfüllung aus dunkelbraunem Sand durchmischt mit Holzkohlepartikel.

Tafel: 286.**Befund: 359****Interpretation:** Urnengrab**Datierung:** Vorrömische Eisenzeit**Funde:** SH2014-111.313, SH2014-111.496, SH2014-111.545

Planum 1: Reste eines Steinschutzes (Dm. ca. 0,3m) aus vier handtellergroßen Steinplatten (davon eine senkrecht stehend = Seitenstein; Bodensteine unklar); dabei Leichenbrand und Keramik.

Befund: 360**Interpretation:** Leichenbranddepot**Datierung:** unbestimmt**Planum 1:**

Grabstelle im Zentrum von Ringgraben 12 (Bef. 319). Runde Verfärbung von 0,3m Dm aus grauem Sand. Durchsetzt mit Tiergängen und wenig Leichenbrandsplittern im braungrauen anstehenden Kies. Im Profil nur noch 2cm erhalten.

Befund: 361**Interpretation:** Urnengrab**Datierung:** Vorrömische Eisenzeit**Funde:** SH2014-111.13, SH2014-111.314, SH2014-111.497**Planum 1:**

Rest eines Steinschutzes aus einem Bodenstein (Dm. ca. 0,3 m); dabei Leichenbrand und Keramik.

Befund: 362**Interpretation:** Urnengrab**Datierung:** Vorrömische Eisenzeit**Funde:** SH2014-111.10, SH2014-111.80, SH2014-111.315, SH2014-111.498**Planum 1:**

In einer humosen Verfärbung (Dm. ca. 0,5 m) Rest eines Steinschutzes aus einem Bodenstein; dabei Leichenbrand und Keramik.

Befund: 363**Interpretation:** Urnengrab**Datierung:** Vorrömische Eisenzeit**Funde:** SH2014-111.316, SH2014-111.499**Planum 1:**

Rest eines Steinschutzes aus einer Bodenplatte und mehreren Seitensteinen (z.T. Platten); dabei Leichenbrand, Keramik, Bronzespuren am Leichenbrand.

Befund: 364**Interpretation:** Pfostengrube**Datierung:** unbestimmt**Funde:** SH2014-111.546**Planum 1:**

Rundliche 0,25 Dm Verfärbung aus grau lehmigen HKP haltigen Sand im anstehenden gelben Kiesboden.

Anschnitt 1 (aus Profil: Profil A-B)

Im Profil kesselförmig mit einer Verfüllung aus grauem Kies. 22 cm tief in den anstehenden Kies reichend.

Tafel: 286.**Befund: 365****Interpretation:** Urnengrab**Datierung:** Vorrömische Eisenzeit**Funde:** SH2014-111.317, SH2014-111.500, SH2014-111.549**Planum 1:**

Urnenunterteil in situ in lockerem Seitenschutz aus faustgroßen Steinen und Spaltstücken auf einer Bodenplatte (0,2×0,18 m); Urnenboden so weich, dass er nicht mehr geborgen werden konnte.

Befund: 366**Interpretation:** Pfostengrube**Datierung:** unbestimmt**Planum 1:****Anschnitt 1** (aus Profil: Profil A-B)

Zylindrisch schräg verlaufende Eintiefung im anstehenden Kiesboden mit einer Verfüllung aus dunkel grauem Sand. Sehr diffuse Grenzen zum anstehenden Kiesboden.

Tafel: 286.**Befund: 367****Interpretation:** Urnengrab**Datierung:** Vorrömische Eisenzeit**Funde:** SH2014-111.318, SH2014-111.501**Planum 1:**

Gestörte Steinsetzung (Dm ca. 0,4m). Ein plattiger Bodenstein mit 0,3m Dm und 0,03m stark. Eingefasst von 3 plattigen 0,15 bis 0,2m großen Geröllsteinen. Einige Wandungsscherben mit schwarzer glatt polierter Oberfläche. Wenig Leichenbrand zwischen den Steinen. Eingelassen in anstehenden gelblichen Kies.

Befund: 368**Interpretation:** Urnengrab**Datierung:** Vorrömische Eisenzeit**Funde:** SH2014-111.319, SH2014-111.502**Planum 1:**

Steinsetzung von 0,5m Dm. im anstehenden gelben Kiesboden. Ovale Eingrabung von 0,3m sichtbar. Neben der Urne plattige 15 bis 20 cm lange Steine (verrissen). Um Urne plattige Handgroße stehende Seitensteine. Ein plattiger Bodenstein.

Anschnitt 1 (aus Profil: Profil E_F)**Befund: 369****Interpretation:** Grabbau**Datierung:** unbestimmt**Planum 1:**

Zerstörte Grabsteinsetzung von 0,6m Dm aus plattigen Steinen von ca. 0,3m Dm und 3 cm stark. In Kolluvium 5 cm über anstehenden gelben Kies liegend. Keine Reste von Leichenbrand oder Keramik festgestellt.

Befund: 370**Interpretation:** Urnengrab**Datierung:** Vorrömische Eisenzeit**Funde:** SH2014-111.49, SH2014-111.320, SH2014-111.503**Planum 1:**

Steinsetzung aus zwei plattigen und drei schottergroßen Geröllsteinen von 0,4m Dm. Unter den Geröllsteinen wenig verstreut liegender Leichenbrand und weicher schwarzbrauner Keramikreste. Darunter ein plattiger Bodenstein von 5 cm Stärke und 0,2m Dm. Eingelassen in Kolluvium bis auf anstehenden Kies reichend.

Befund: 371**Interpretation:** Urnengrab**Datierung:** Vorrömische Eisenzeit**Funde:** SH2014-111.321, SH2014-111.504**Planum 1:**

Urnenrest von Dm 0,45m im Kolluvium aus schwarz polierter Keramik. Boden plus 10cm noch in situ. Auf plattigen 0,22m großen Bodenstein liegend. Kranzförmig um Bodenstein liegende schottergroße Geröllsteine. Bodenstein im anstehenden gelben Kies liegend.

Befund: 372**Interpretation:** Urnengrab**Datierung:** Vorrömische Eisenzeit**Funde:** SH2014-111.322, SH2014-111.505**Planum 1:**

Gestörtes Urnengrab von 0,25m Dm in Kolluvium. Glatt schwarz polierte Keramik. Einseitig plattige Geröllsteine als offener Seitenschutz. Ein 8 cm starker einseitig platter Geröllstein von 0,3 m Dm.

Anschnitt 1 (aus Profil: Profil A-B)

Bodenstein plus 10cm in situ. Bis zu 8cm in den anstehenden Kiesboden reichend. Ein plattiger Bodenstein 30×8cm; bis zu 20cm lange plattige Seitenschutzsteine.

Befund: 373**Interpretation:** Urnengrab**Datierung:** Vorrömische Eisenzeit**Funde:** SH2014-111.323, SH2014-111.506**Planum 1:**

Gestörtes Urnengrab mit glatter schwarzpolierter Keramik. Umgeben von faustgroßen Geröllsteinen als offene Steinsetzung. Ein einseitig plattiger Bodenstein von 5cm Stärke und 0,26 m Dm.

Befund: 374**Interpretation:** Urnengrab**Datierung:** Ältere vorrömische Eisenzeit**Funde:** SH2014-111.46, SH2014-111.324, SH2014-111.507**Planum 1:**

Durch einen Baumwurf gestörtes Urnengrab im anstehenden gelben Kiesboden. Mit einer offenen Steineinfassung aus doppeltfaustgroßen Geröllsteinen. Ein verrissener plattiger Handteller großer Stein (wohl Deckstein) und einem plattigen 18 x12 cm großen Bodenstein. Einer sehr brüchigen Keramik mit glatter schwarzpolierter Oberfläche. Umriss mittels Tachyaufnahme.

Anschnitt 1 (aus Profil: Profil A-B)

Befund: 375**Interpretation:** Urnengrab**Datierung:** Vorrömische Eisenzeit**Funde:** SH2014-111.325, SH2014-111.508, SH2014-111.509**Planum 1:**

Grau humose Verfärbung von 0,5m Dm mit 0,2 m großen plattigen Stein im grauen an lehmigen Kiesboden.

Anschnitt 1 (aus Profil: Profil A-B)

Gut sichtbare Eingrabung aus grau humosem Sand bis 22cm in den anstehenden Kiesboden reichend. Geschlossener Steinschutz aus faustgroßen Geröllsteinen muldenförmig um und unter Urne gesetzt.

Befund: 376**Interpretation:** Ringgraben (10)**Datierung:** Vorrömische Eisenzeit**Planum 1:**

Halbkreisförmig erhaltener Ringgraben (Dm. 4,4m) um Grabstelle (Bef. 377). Eine 0,3 bis 0,4 m breite kreisförmige Verfärbung aus grau humosem Sand im anstehenden Kiesboden.

Anschnitt 1 (aus Profil: Profil A-B)

Restgraben von 4cm tiefe im anstehenden braunen Feinkies. Sohle mit tiefgehenden Tiergängen durchzogen. Die Verfüllung ein dunkler humoser Feinsand.

Anschnitt 1 (aus Profil: Profil C-D)

Restgraben von 8cm tiefe im anstehenden braunen Feinkies. Sohle mit tiefgehenden Tiergängen durchzogen. Die Verfüllung ein dunkler humoser Feinsand.

Anschnitt 1 (aus Profil: Profil E-F)

Restgraben von 6cm tiefe im anstehenden braunen Feinkies. Die Verfüllung ein dunkler humoser Feinsand.

Anschnitt 1 (aus Profil: Profil G-H)

Im Profil kleiner als 2cm.

Befund: 377**Interpretation:** Urnengrab**Datierung:** Vorrömische Eisenzeit**Funde:** SH2014-111.56, SH2014-111.548**Planum 1:**

Grab zum Ringgraben Nr. 10. Sichtbare Grabgrube von 0,4m aus grauhumosem Sand im anstehenden braunen Kiesboden. Einige verrissene faustgroße Geröllsteine neben der Urne.

Anschnitt 1 (aus Profil: Profil A-B)

Bodenstein plus 12cm noch in situ. Ein plattiger Bodenstein von 25 × 6cm im anstehenden braunen Kies. Gute Abgrenzbarkeit der Eingrabung zum anstehenden Boden.

Befund: 378**Interpretation:** Grabbau**Datierung:** unbestimmt**Funde:** SH2014-111.510**Planum 1:**

Kranzförmige Steinsetzung aus faustgroßen Geröllsteinen mit einem plattigen Bodenstein in der Mitte. Angelegt in einer schwarzen starken Holzkohle haltigen Brandschicht (Befund 286).

Anschnitt 1 (aus Profil: Profil A-B)

Grabähnliche Steinsetzung aus faust- bis doppelfaustgroßen Geröllsteinen um einen plattigen Bodenstein platziert. Angelegt in der Branderdeschicht Bef.286.

Anschnitt 1 (aus Profil: Profil A-B)

Grabähnliche Steinsetzung aus faust- bis doppelfaustgroßen Geröllsteinen um einen plattigen Bodenstein platziert. Angelegt in der Branderdeschicht Bef.286.

Befund: 379**Interpretation:** Steinstandspur**Datierung:** unbestimmt**Planum 1:**

Eine ovale (1,4 × 0,9m) Nord Süd ausgerichtete Verfärbung aus braun humosem Sand durchsetzt mit einzelnen faustgroßen Steinen. Im anstehenden braunen Kiesboden.

Befund: 380**Interpretation:** Grube**Datierung:** unbestimmt**Funde:** SH2014-111.511, SH2014-111.537, SH2014-111.547**Planum 1:**

Rundliche (Dm 1.18m) Verfärbung aus graubraunem Sand mit HK Konzentration in der Mitte und rotbrauner Verziegelung. Eingelassen in einen großen Baumwurf. (aufgenommen im Planum mit Tachykontur). Gut abgrenzbar zum anstehenden Kies.

Anschnitt 1 (aus Profil: Profil A-B)

Muldenförmige Eingrabung in einem Baumwurf. Die Verfüllung ein mit HKP und VzL stücken durchsetzter Sand. Bis 0,3m tief in den Baumwurf reichend.

Tafel: 280.**Befund: 381****Interpretation:** Urnengrab**Datierung:** unbestimmt**Funde:** SH2014-111.326, SH2014-111.512**Planum 1:**

Urnengrabreste einer völlig zerstörten Grabstelle. Einige Scherben und wenig Leichenbrand sowie einigen faustgroßen Geröllsteinen in tiefer und breiter Pflugsfur.

Befund: 382**Interpretation:** Feuerstelle**Datierung:** unbestimmt**Planum 1:**

Langovale Ost west ausgerichtete humose Verfärbung (0,8 × 0,4m) aus grau humosem Sand mit HKP durchsetzt. Im anstehenden gelbbraunen Sand.

Anschnitt 1 (aus Profil: Profil A_B)

Schüsselförmig mit unregelmäßiger Sohle und einer Verfüllung aus schwarz grauen mit HKP durchsetzter Sand. Resttiefe von 0,2m im anstehenden gelben Sand.

Tafel: 277.**Befund: 383****Interpretation:** Feuerstelle**Datierung:** unbestimmt**Funde:** SH2014-111.532, SH2014-111.535**Planum 1:**

Unregelmäßige Verfärbung (1,1 × 0,6m) aus schwarzen stark Holzkohlehaltigen Sand auf anstehenden gelbbraunen Sandboden.

Anschnitt 1 (aus Profil: Profil A-B)

Schüsselförmig mit unregelmäßiger Sohle und einer Verfüllung aus schwarz grauen mit HKP und HK Stücken, gebrannten Silex durchsetzter Sand. Resttiefe von 0,19m im anstehenden gelben Sand.

Tafel: 278.**Befund: 384****Interpretation:** Feuerstelle**Datierung:** unbestimmt**Planum 1:**

Runde Verfärbung (Dm 0,27m) aus schwarzen stark Holzkohlehaltigen Sand auf anstehenden gelbbraunen Sandboden.

Anschnitt 1 (aus Profil: Profil A-B)

Schüsselförmig mit regelmäßiger Sohle und einer Verfüllung aus schwarz grauen mit HKP durchsetzter Sand. Resttiefe von 0,18m im anstehenden gelben Sand.

Tafel: 278.**Befund: 385****Interpretation:** Feuerstelle**Datierung:** unbestimmt**Planum 1:**

Runde stark Holzkohlehaltige Verfärbung (Dm 0,7m) in anstehenden Kiesboden. Im Profil < 2cm mit Tiergängen.

Befund: 386**Interpretation:** Urnengrab**Datierung:** Vorrömische Eisenzeit**Funde:** SH2014-111.327, SH2014-111.513**Planum 1:**

Rundliche Verfärbung von 0,7m Dm bei gut sichtbarer Eingrabung. In dem grau sandigen humosen Boden verrissene faust- bis doppelfaustgroßen Geröllsteinen (10 Stück).

Anschnitt 1 (aus Profil: Profil A-B)

Gursichtbare Eingrabung bis 21 cm in den anstehenden Kiesboden. Darin kompakter Seitenschutz mit faust- doppelfaustgroßen Geröllsteinen um Urne und einem plattigen Bodenstein (0,28m Dm) Dazwischen bis auf 2cm Stärke zusammengedrückte Urne.

Befund: 387**Interpretation:** Urnengrab**Datierung:** unbestimmt**Funde:** SH2014-111.328, SH2014-111.514**Planum 1:**

Rundliche (0,3m Dm.) grau humose Verfärbung mit verstreut liegender Keramik und Leichenbrand. Im Profil kleiner als 2cm.

Befund: 388**Interpretation:** Hügelerschüttung**Datierung:** unbestimmt

Auf dem unter der LA Nummer 22 eingetragenen Grabhügel konnte eine 10 bis 20cm starke Hügelerschüttung erfasst werden. Der Durchmesser dieser als Hügelerschicht angesprochen Schicht konnte nur in sehr diffusen Grenzen (ca. 10m) erfasst werden. Ein Grabgelege konnte nicht nachgewiesen werden. Sechs Meter südlich der Hügelmitte ein gestörtes Urnengrab als Randbestattung.

Planum 1:

Graugelber bis gelbbraunen schwach gefleckten humosen Sand. Im Dm von ca. 10m in sehr diffusen Grenzen. Zur Hügelmitte ein graubrauner humoser gefleckter Sand mit Anteilen vom A-Horizont. Im Dm von ca. 4,5m in sehr diffusen Grenzen.

Planum 2:

Übergang der Hügelerschüttung zum anstehenden Boden welcher stark durchsetzt ist mit Tiergängen. Schwer Abgrenzbar in den Übergängen. Grenzen sind nur sehr diffus zu erfassen. Der anstehende Boden besteht aus sehr unterschiedlichen (Lehm; Kies; Feinsand) linsenartig abgelagerten Sedimenten.

Anschnitt 1 (aus Profil: Profil M-E)

Unterhalb des Rest A Horizontes eine ca. 20cm starke Schicht aus graugelben bis gelbbraunen schwach gefleckten humosen Sand (Hügelerschüttung). Stark durchsetzt mit Tiergängen welche tief in den anstehenden Boden reichen. Den Rand der Hügelerschüttung wie im Planum konnte hier erfasst werden.

Anschnitt 1 (aus Profil: Profil F-M)

Unterhalb des Rest A Horizontes eine ca. 20cm starke Schicht aus graugelben bis gelbbraunen schwach gefleckten humosen Sand (Hügelerschüttung). Stark durchsetzt mit Tiergängen welche tief in

den anstehenden Boden reichen. Den Rand der Hügelschüttung wie im Planum sind im Profil nicht mehr zu erkennen.

Anschnitt 1 (aus Profil: Profil A-M)

Unterhalb des Rest A Horizontes eine ca. 22cm starke Schicht aus graugelben bis gelbbraunen schwach gefleckten humosen Sand (Hügelschüttung). Stark durchsetzt mit Tiergängen welche tief in den anstehenden Boden reichen. Den Rand der Hügelschüttung wie im Planum konnte hier erfasst werden.

Anschnitt 1 (aus Profil: Profil L-M)

Unterhalb des Rest A Horizontes eine ca. 18cm starke Schicht aus graugelben bis gelbbraunen schwach gefleckten humosen Sand (Hügelschüttung). Stark durchsetzt mit Tiergängen welche tief in den anstehenden Boden reichen. Den Rand der Hügelschüttung wie im Planum sind im Profil nicht mehr zu erkennen.

LA 116

(Tafel 254-259)

Befund: 1

Deutung: Pfostengrube.

Kontext: Fläche: Suchschnitt 8/ Hügelgrabverdacht.

Runde Dm 0,4m Verfärbung aus schwarzen stark Holzkohlepartikel haltigen Sand. Im Profil kesselartig mit einer Verfüllung aus lehmigem Sand mit viel Holzkohlestücke durchsetzt und einer Resttiefe von 0,23m im anstehenden braunen Lehm.

Funde: Keine

Tafel: 259.

Befund: 2

Deutung: Ofengrube [¹⁴C-datiert: Altholzeffekt].

Kontext: Fläche: Suchschnitt 8/ Hügelgrabverdacht.

Eine ovale 1,5 × 1m große Verfärbung mit einem Teil aus rot braun verziegeltem Lehm und aus schwach angeziegeltem Lehm sowie einer stark gebrannten Stelle (Holzkohlekonzentration). Im Profil West stufig abgesetzte kegelförmige Grube. Ein Bereich mit wohl eingestürzter Ofenkuppel sonst mit schwach verziegeltem Lehm durchmischt mit Holzasche und einigen hitzeermürbten Geröllsteinen. Im Ostprofil schwach verziegelt mit Holzkohleerde am südlichen Rand. Einer Resttiefe von 0,6m im anstehenden sandigen Lehm.

Funde: Gebrannter Lehm (SH2014-473.1), Flint (SH2014-473.2), Pflanzlicher Überrest (SH2014-473.9), Holzkohle (SH2014-473.17).

Tafel: 257-258.

Befund: 3

Deutung: Feuerstelle.

Kontext: Fläche: Suchschnitt 8/ Hügelgrabverdacht.

Runde Dm 0,4m Verfärbung aus stark holzkohlehaltigem Sand im anstehenden braunen Lehm.

Funde: Pflanzlicher Überrest (SH2014-473.13)

Befund: 4

Deutung: Feuerstelle.

Kontext: Fläche: Suchschnitt 8/ Hügelgrabverdacht.

Ovale 1,3m x 0,3m Verfärbung aus stark holzkohlehaltigem Sand im anstehenden braunen Lehm.

Funde: Pflanzlicher Überrest (SH2014-473.10)

Befund: 5

Deutung: Grube.

Kontext: Fläche: Suchschnitt 8/ Hügelgrabverdacht.

Runde Dm 1.02m große Verfärbung aus grau humosem Sand. Im Profil kesselförmig mit einer Verfüllung aus grauhumosem Sand durchsetzt mit faustgroßen Geröllsteinen und einer Resttiefe von 0,56m im anstehenden dunkelbraunen Kies.

Tafel: 254.

Befund: 6

Deutung: Grube.

Kontext: Fläche: Suchschnitt 6.

Ovale 1,2 × 0,8m große Verfärbung aus dunkelgrau humosem Boden. Im Profil unregelmäßig mit einer Verfüllung aus schwärzlichen leicht humosen mit Holzkohlen durchsetzter Sand. Mit einer Resttiefe von 0,2m im anstehenden braunen Kies.

Funde: Pflanzlicher Überrest (SH2014-473.11)

Tafel: 255.

Befund: 7

Deutung: Steinstandspur.

Kontext: Fläche: Suchschnitt 6.

Befund: 8

Deutung: Grube [¹⁴C-datiert].

Kontext: Fläche: Suchschnitt 6.

Ovale 3.1 x 1,4m große Verfärbung aus grau-humosem Boden. Im Profil schüsselförmig bestehend aus zwei Gruben. Eine Verfüllung aus mit HKP durchsetzter Sand sowie einigen hitzeermürbten faustgroßen Geröllsteinen. Mit einer Resttiefe von 0,2m im anstehenden braunen Kies.

Funde: Gebrannter Lehm (SH2014-473.3), Keramik (SH2014-473.4; SH2014-473.5; SH2014-473.6), Flint (SH2014-473.8), Pflanzlicher Überrest (SH2014-473.12)

Tafel: 255.

Befund: 9

Deutung: Grube.

Kontext: Fläche: Suchschnitt 6.

Runde Dm 0,7m große Verfärbung aus leicht verziegeltem mürbem Lehm. Im Profil wannenförmig mit unebener Sohle und einer Verfüllung aus verziegelten rötlichen Lehm mit einer Resttiefe von 0,1m im anstehenden braunen Lehm.

Funde: Pflanzlicher Überrest (SH2014-473.14)

Tafel: 255.

Befund: 10**Deutung:** Störung.**Kontext:** Fläche: Suchschnitt 7.

Ovale 2,4 × 0,7m große Verfärbung aus humosem Sand. Im Profil nur noch 0,05m.

Befund: 11**Deutung:** Grube.**Kontext:** Fläche: Suchschnitt 7.

Ovale 2,5m x 0,7m teilerfasste Verfärbung aus graubraun geflecktem humosem Sand. Im Profil unregelmäßig. Mit einer Resttiefe 0,25m im anstehenden Kies.

Funde: Keine**Tafel:** 256.**Befund: 12****Deutung:** Grube.**Kontext:** Fläche: Suchschnitt 7.

Ovale 1,5 × 0,6 m große Verfärbung aus braun humosem Sand. Im Profil kastenförmig mit einer Verfüllung aus humosem Sand mit einer Resttiefe von 0,76 m im anstehenden braunen Lehm.

Funde: Pflanzlicher Überrest (SH2014-473.15)**Tafel:** 256.**Befund: 13****Deutung:** Feuerstelle.**Kontext:** Fläche: Suchschnitt 7.

Rundliche Dm 1.1m große Verfärbung aus stark Holzkohlepartikel haltigen Sand. Bis in 8cm tiefe in den anstehenden Kies reichend.

Funde: Keine**Tafel:** 254.**Befund: 14** - ohne archäologische Relevanz.**Befund: 15** - ohne archäologische Relevanz.**Befund: 16** - ohne archäologische Relevanz.**Befund: 17****Deutung:** Feuerstelle.**Kontext:** Fläche: Suchschnitt 7.

Rundliche Dm 1.4 m Verfärbung aus stark Holzkohle haltigen Sand im anstehenden braunen Kies.

Funde: Pflanzlicher Überrest (SH2014-473.16)**Tafel:** 254.**Befund: 18** - ohne archäologische Relevanz.**Befund: 19** - ohne archäologische Relevanz

AU2017-54

(Tafel 260)

Befund 1000**Deutung:** Übergang Oberboden – Kulturschicht, der sich nicht sonderlich abzeichnete**Beschreibung:** braune Schicht mit Steinen und teilweise Ansätzen von Steinpackungen; teilweise mit ersten Anzeichen von Bef. 1001; mit Funden von Keramik und Flint; wird „geschnitten“ von Bef. 1001.**Funde:** Keine.**Befund 1001****Deutung:** Kulturschicht?**Beschreibung:** lockere sandige Schicht mit teilweise vielen bis mäßig vielen kleinen bis faustgroßen Steinen; vereinzelt bis häufig auftretende hellbraune bis gelblich-ockerfarbene Flecken; in der südöstlichen Ecke zeigt sich eine hohe Konzentration an hellen Flecken in Verbindung mit Bef. 1002 (= Steinschüttung + Keramik); mit Funden von Keramik, Flint und gebranntem Flint; schneidet Bef. 1002.**Funde:** Flint (FNR. 1008; 1010; 1019; 1024; 1029; 1033; 1035; 1036; 1055), Keramik (FNR. 1013; 1015; 1016; 1017; 1021; 1026; 1027; 1028; 1030; 1031; 1034; 1038; 1039; 1044; 1049; 1048), Gebrannter Flint (FNR. 1011; 1018; 1022; 1025; 1037).**Tafel:** 260.**Befund 1002****Deutung:** Teil der Kulturschicht?**Beschreibung:** Steinschüttung in Erde (Bef. 1001); zwischen Bef. 1001; Keramikkonzentration (Urnenreste?) in der südöstlichen Ecke; Steinschüttung auf Planum 1 scheint eine leichte kreisförmige Form zu haben; Steine von kleinen bis faustgroßen Steinen, auch Rollsteine; Fortsetzung nach Südwesten wird vermutet; mit Funden von Keramik; schneidet Bef. 1001.**Funde:** Flint (FNR. 1012); Keramik (FNR. 1009).**Befund 1003****Deutung:** Steinpackung.**Beschreibung:** lockere Steinsetzung aus faustgroßen Steinen; im Profil neben dieser Steinsetzung wurde eine grüne Perle gefunden (F1020); u. a. wurde auch Keramik neben dieser Steinsetzung gefunden; wird von Bef. 1001 umschlossen; mit Funden von einer Glasperle und Keramik; umschlossen von 1001.**Funde:** Glasperle (FNR. 1020).**Befund 1004****Deutung:** Teil der Kulturschicht?**Beschreibung:** graubraune amorphe Struktur; mit Sand und kleinen Steinen durchsetzt; wird von Bef. 1001 umschlossen; mit Funden von Keramik.**Funde:** Keramik (FNR. 1032), angebrannter Stein (FNR. 1047).

Befund 1005

Deutung: Steinpackung (angrenzende Kochsteingrube?)

Beschreibung: dichte Steinpackung im Osten des Schnitts; von kleinen über Faust- bis Kindskopfgrößen Steinen; wird von Bef. 1001 umschlossen; möglicherweise handelt es sich um ein Grab, das nach Osten hin folgt (?); wird von Bef. 1001 umschlossen.

Funde: Flint (FNR. 1041).

Befund 1006

Deutung: Kulturschicht.

Beschreibung: braune Schicht mit einem Tiergang; vereinzelt bis konzentrierte Steine im Planum; steht in Verbindung mit Steinpackung im Süden von Schnitt 1; Funde von Keramik und Flint.

Funde: Flint (FNR. 1046; 1050), Keramik (1045; 1062).

Befund 1007

Deutung: Steinpackung.

Beschreibung: Steinpackung aus kleinen bis faustgroßen Steinen; wird von Bef. 1006 umschlossen.

Funde: Flint (FNR. 1052; 1056; 1057; 1063; 1066; 1067; 1068), Keramik (FNR. 1051; 1058; 1059; 1060; 1061; 1065), Holzkohle (FNR. 1053; 1054).

Befund 1008

Deutung: Kochsteingrube, gehört zusammen mit Befund 1009.

Beschreibung: Kochsteingrube aus angekohnten und zersprungenen Steinen, sowie schwarzen Erdresten; mit hitzeermürbten Steinen; setzt an die Steinsetzung von Bef. 1009 an und ist eine Fortsetzung von Bef. 1004.

Funde: Keine.

Abbildung: 39.

Befund 1009

Deutung: Kochsteingrube, gehört zusammen mit Befund 1008.

Beschreibung: Kochsteingrube: Steinsetzung aus großen bis faustgroßen und kindskopfgrößen Steinen; einige Steine sind schwärzlich angebrannt; Funde von gebranntem Flint.

Funde: Keramik (FNR. 1064).

Abbildung: 39.

AU2017-96

(Tafel 261-263)

Befund 1001

Deutung: Grube.

Planum: In der Aufsicht ist der Befund rundlich amorph und besteht aus dunkelbraunem humosem feinkörnigem Sand. Umschlossen ist er von hellbraunem gelblichem Sand, dem anstehenden Boden.

Profil: Im Anschnitt ist der Befund länglich, amorph und enthält Lehmeinschlüsse. Zum unteren Rand wird er von hellbraunem lehmigem Sand eingefasst.

Funde: Keine.

Tafel: 261.

Befund 1002

Deutung: Pfostenloch.

Planum: In der Aufsicht ist der Befund länglich bis rundlich-amorph und besteht aus humosem Lehm-Sand-Gemisch.

Profil: Im Anschnitt ist der Befund rundlich eingetieft. Das humose Lehm-Sand-Gemisch ist fest und feinkörnig. Es grenzt im Norden und Süden an sehr festen Lehm. Die Unterkante grenzt auf feinkörnigen Sand – den anstehenden Boden.

Funde: Keine.

Tafel: 262.

Befund 1003

Deutung: Schichtrest, nicht weiter dokumentiert.

Planum: Im Planum ist der Befund rundlich und deutlich erkennbar mit fast einem Meter Durchmesser.

Profil: nicht dokumentiert.

Funde: Keine.

Befund 1004

Deutung: Schichtrest mit Tiergang.

Planum: In der Aufsicht handelt es sich um eine rundlich-amorphe humose Verfärbung.

Profil: nach 3 Zentimetern nicht mehr vorhanden.

Funde: Keine.

Befund 1005

Deutung: Pfostenloch.

Planum: In der Aufsicht handelt es sich um eine kleine rundliche amorphe humose Verfärbung.

Profil: Im Anschnitt ist der Befund rundlich bis trichterförmig in den anstehenden Kies eingetieft. Der Befund setzt sich aus einem lockeren humosen, walnussbraunen Material mit vereinzelt kleinen Steineinschlüssen zusammen.

Funde: Keine.

Tafel: 262.

Befund 1006

Deutung: Pfostenloch oder Steinstandspur (eher Steinstandspur).

Planum: In der Aufsicht ist der Befund als kleine rundliche humose Verfärbung erkennbar.

Profil: Im Anschnitt ist der Befund nur wenige Zentimeter eingetieft und setzt sich dabei aus lockerem, humosem dunkelbraunem Material zusammen.

Funde: Keine.

Tafel: 262.

Befund 1007

Deutung: Doppelpfosten mit Pfostengrube.

Planum: Im Planum ist der Befund als länglich-rundliche, dunkelgraubraune Verfärbung erkennbar, die im Süden an graubraunen Lehm angrenzt und im Nordwesten an hellbraunem humosem Sand stößt.

Profil: Im Anschnitt ist der Befund länglich-amorph eingetieft mit einer Doppelpfostenartigen Struktur, sowie eine angrenzende Pfostengrube. Das Material setzt sich dabei aus graubraunem

humosem Sand zusammen. Im Süden grenzt sich an graubraunen Lehm und im Nordwesten an hellbraunen humosen Sand. An der Unterkante grenzt der Befund graubraunen lehmigen Sand – den anstehenden Boden.

Funde: Keine.

Tafel: 262.

Befund 1008

Deutung: Pfostenloch.

Planum: Im Planum hat der Befund eine rundlich-amorphe Form.

Profil: Im Profil ist der Befund rundlich eingetieft und setzt sich aus dunkelbraunem humosem Sand zusammen und weist dabei viele mittelbraune lehmig-sandige Einschlüsse sowie einige Steine auf. Umgrenzt wird der Befund von lehmigem Sand mit einigen Steinen – dem anstehenden Boden.

Funde: Keine.

Tafel: 262.

Befund 1009

Deutung: Steinstandspur.

Planum: In der Aufsicht ist der Befund rundlich geformt und von hellbraunem Lehm umgrenzt.

Profil: Im Anschnitt handelt es sich bei dem Befund um eine flache rundliche Eintiefung. Der Befund setzt sich aus einem dunkelbraunen humosen mittelkörnigen, festen Material zusammen, das einige Lehmeinschlüsse aufweist.

Funde: Keine.

Befund 1010

Deutung: Pfostenloch.

Planum: Im Planum ist der Befund rundlich bis leicht amorph geformt und grenzt an das Westprofil. Im Norden wird der Befund von hellbraunem Sand und im Süden und Osten von sandigem Humus umschlossen.

Profil: Im Anschnitt ist der Befund rundlich eingetieft und setzt sich aus dunkelbraunem, mittel- bis grobkörnigem Lehm mit einem Stein in der Mitte und einem Lehmeinschluss darunter. Umgrenzt wird er von Sandschichten, die dem anstehenden Boden zuzuordnen sind.

Funde: Keine.

Tafel: 262.

Befund 1011

Deutung: Steinstandspur.

Planum: In der Aufsicht ist der Befund rundlich geformt und von hellbraunem Lehm umgrenzt.

Profil: Im Anschnitt liegt der Befund nur wenige Zentimeter auf einer sandigen Lehmschicht mit vielen Steinen auf.

Funde: Keine.

AU2017-98

(Tafel 264)

Befund 1001 – Teilfläche 1

Deutung: Geologie.

Funde: Keine.

Befund 1002 – Teilfläche 1

Deutung: Grube?/Geologie?

Planum: Im Planum ist der Befund als längliche humose Verfärbung erkennbar.

Profil: Im Anschnitt weist der Befund eine stark amorphe Form auf, die sich aus humosem mittelfeinem Sand mit Lehmanteilen und Kies zusammensetzt.

Funde: Keine.

Befund 1003 – Teilfläche 1

Deutung: Steinstandspur.

Funde: Keine.

Befund 2001 – Teilfläche 2

Deutung: Steinstandspur?

Funde: Keine.

Befund 2002 – Teilfläche 2

Deutung: Grube.

Planum: In der Aufsicht hat der Befund eine längliche rundlich-amorphe Form.

Profil: Im Anschnitt weist der Befund eine längliche runde Vertiefung auf, die sich aus dunkelgrauem bis dunkelbraunem Sand mit humosen und lehmigen Anteilen sowie einigen Steineinschlüssen zusammensetzt. Der Befund wird von Sandschichten umgeben, die dem anstehenden Boden zuzuordnen sind.

Funde: Metall (F2006); Flint (F2003, 2007-2009); Stein (F2004).

Tafel: 264.

Befund 2003 – Teilfläche 2

Deutung: Steinstandspur?

Funde: Keine.

Befund 2004 – Teilfläche 2

Deutung: Steinstandspur.

Funde: Keine.

Befund 2005 – Teilfläche 2

Deutung: Steinstandspur.

Funde: Keine.

Befund 2006 – Teilfläche 2

Deutung: Steinstandspur.

Funde: Keine.

Befund 2007 – Teilfläche 2**Deutung:** Steinstandspur.**Funde:** Keine.**Befund 2008** – Teilfläche 2**Deutung:** Steinstandspur.**Funde:** Keine.**Befund 2009** – Teilfläche 2**Deutung:** Steinstandspur.**Funde:** Keine.**Befund 2010** – Teilfläche 2**Deutung:** Grube?/Geologie?**Planum:** In der Aufsicht handelt es sich um eine rundliche humose Verfärbung.**Profil:** Im Anschnitt weist der Befund eine länglich-rundliche Vertiefung auf, die sich aus dunkelgrauem bis dunkelbraunem Sand mit humosen und lehmigen Anteilen zusammensetzt und dabei einen großen und mehrere kleine Steine einschließt.**Funde:** Keine**Befund 3001** – Teilfläche 3**Deutung:** Baumwurf.**Funde:** Keine.**Befund 3002** – Teilfläche 3**Deutung:** Baumwurf.**Funde:** Keine.**Befund 3003** – Teilfläche 3**Deutung:** Baumwurf.**Funde:** Holzkohle (F3001).**Befund 3004** – Teilfläche 3**Deutung:** Grube?/Steinstandspur?**Planum:** In der Aufsicht handelt es sich um eine kleine amorphe humose Verfärbung.**Profil:** Im Anschnitt ist der Befund länglich und leicht rundlich eingetieft, jedoch sehr flach. Der Befund besteht aus hell- bis mittelbraunem Sand mit größeren Kieseln auf der Sohle und stößt im Südsüdosten an eine dunkelgraubraune humose Verfärbung, bei der es sich wahrscheinlich um eine Steinstandspur handelt. Umgrenzt ist der Befund von Sandschichten des anstehenden Bodens.**Funde:** Keine.**Befund 3005** – Teilfläche 3**Deutung:** Steinstandspur.**Funde:** Keine.**Befund 3006** – Teilfläche 3**Deutung:** Steinstandspur.**Funde:** Keine.**Befund 3007** – Teilfläche 3**Deutung:** Steinstandspur.**Funde:** Keine.**Befund 3008** – Teilfläche 3**Deutung:** Steinstandspur.**Funde:** Keine.**Befund 3009** – Teilfläche 3**Deutung:** Steinstandspur.**Funde:** Keine.**Befund 4001** – Teilfläche 4**Deutung:** Steinstandspur.**Funde:** Keine.**Befund 4002** – Teilfläche 4**Deutung:** Grube?/Geologie?**Planum:** Im Planum ist der Befund rundlich und von sandigen Kiesschichten umschlossen.**Profil:** Im Anschnitt weist der Befund eine rundlich-amorphe Vertiefung auf, die sich aus hell- bis mittelbraunem Sand mit lehmigen Anteilen zusammensetzt. Die Befundgrenze schließt an Sandschichten des anstehenden Bodens an.**Funde:** Keine.**Befund 4003** – Teilfläche 4**Deutung:** Grube?**Planum:** In der Aufsicht ist der Befund rund und von hellbraunen Sandschichten umschlossen.**Profil:** Im Anschnitt weist der Befund eine rundliche Eintiefung auf, die sich aus dunkelbraunem bis dunkelgrauem Sand mit hohem Lehmanteil zusammensetzt. Im Westen grenzt der Befund an kompakten Lehm, während er im Osten von anstehendem Sand und an der Untergrenze von Kies umschlossen wird.**Funde:** Keine.**Befund 4004** – Teilfläche 4**Deutung:** gehört zu Befund 4005.**Funde:** Keine.**Befund 4005** – Teilfläche 4**Deutung:** Steinstandspur.**Funde:** Keine.

AU2018-173

(Tafel 265)

Fläche 1**Befund 1001****Deutung:** Steinsetzung.**Beschreibung:** in dunkelbrauner bis marmorierter humos-sandiger Schicht.**Funde:** Keine.

Befund 1002

Deutung: Schichtrest.

Beschreibung: Schicht, in der 1001 liegt, braun-leicht marmoriert mit hellbraunen Stellen, neben der Steinsetzung, wird später zu 1004.

Funde: Keine.

Befund 1003

Deutung: Kulturschicht?

Beschreibung: Erscheint mit Abtrag 2, Hellbraune-gelbliche marmorierte Schicht mit Holzkohle und vereinzelt Steinen, wurde mit Abtrag 3 heller und großflächiger, anstehender Boden

Funde: Keine.

Befund 1004

Deutung: Kulturschicht?

Beschreibung: Erscheint mit Abtrag 2, Graubraune Schicht mit mehreren Steinen und Holzkohle, wurde mit Abtrag 3 deutlicher und steiniger und braun humos-sandig.

Funde: Keramik (FNR. 1005; 1008; 1009), Flint (FNR. 1006).

Befund 1005

Deutung: Alter Grabungsschnitt? (Test-Schnitt, September 2018)

Beschreibung: Zwischen 1003 und 1004, dunkelbraun/mittelbraun, rundlich, wahrscheinlich vom alten Grabungsschnitt, ist im Abtrag 3 verschwunden.

Funde: Keine.

Befund 1006

Deutung: Alter Grabungsschnitt? (Test-Schnitt, September 2018)

Beschreibung: Mittelbraun, leicht sandig-humos, mit HK, vereinzelte Steine, wahrscheinlich noch zu hoch.

Funde: Keramik (FNR. 1010; 1011; 1012; 1013).

Befund 1007

Deutung: Alter Grabungsschnitt? (Test-Schnitt, September 2018).

Beschreibung: Am Übergang von 1003/1004 zu 1006, dunkelbraun, weich, sandig-humos, wahrscheinlich Nachfolge von 1005 und vom alten Grabungsschnitt.

Funde: Keine.

Befund 1008

Deutung: Kochsteingrube.

Beschreibung: Kochsteingrube, zeigte sich im Planum als rundlich-amorphe Form, die vom anstehenden Boden umgrenzt wurde; sandig-humos, aschig, mit Holzkohle und vielen angebrannten, gerissenen und zersprungenen Steinen.

Funde: Flint (FNR. 1014).

Abbildung: 41, 42.

Fläche 2**Befund 1001**

Deutung: Kulturschicht?

Beschreibung: In 40-43 cm Tiefe zeigte sich ein 2-3 lagiges Bodenpflaster, das mit Arbeitsfoto dokumentiert wurde. Die Schicht verhielt sich wie in Fläche 1 nur unwesentlich heller als der Humusboden aber wesentlich steiniger. Auch kleine Steine liegen dazwischen. Entweder wurden die Kochsteingruben, die ca. 20 cm tiefer liegen, über die Steinpflaster miteinander verbunden, oder die Pflasterungen sind jünger. Zur Klärung müsste das Areal großflächig geöffnet werden, um zu sehen, wie die Pflasterungen tatsächlich verteilt liegen.

Funde: Flint (FNR. 1001), Glasperle (FNR. 1002).

Befund 1002

Deutung: Kochsteingrube.

Beschreibung: Kochsteingrube zeigte sich im Planum als rundlich-amorphe Form, die vom anstehenden Boden umgrenzt wurde; sandig-humos, sehr aschig, mit wenig Holzkohle und vielen angebrannten, gerissenen und zersprungenen Steinen.

Funde: Keine.

Abbildung: 41, 43.

Anhang I.2: Fundkatalog

Der Fundkatalog kann der Online-Beilage über den folgenden Link entnommen werden:

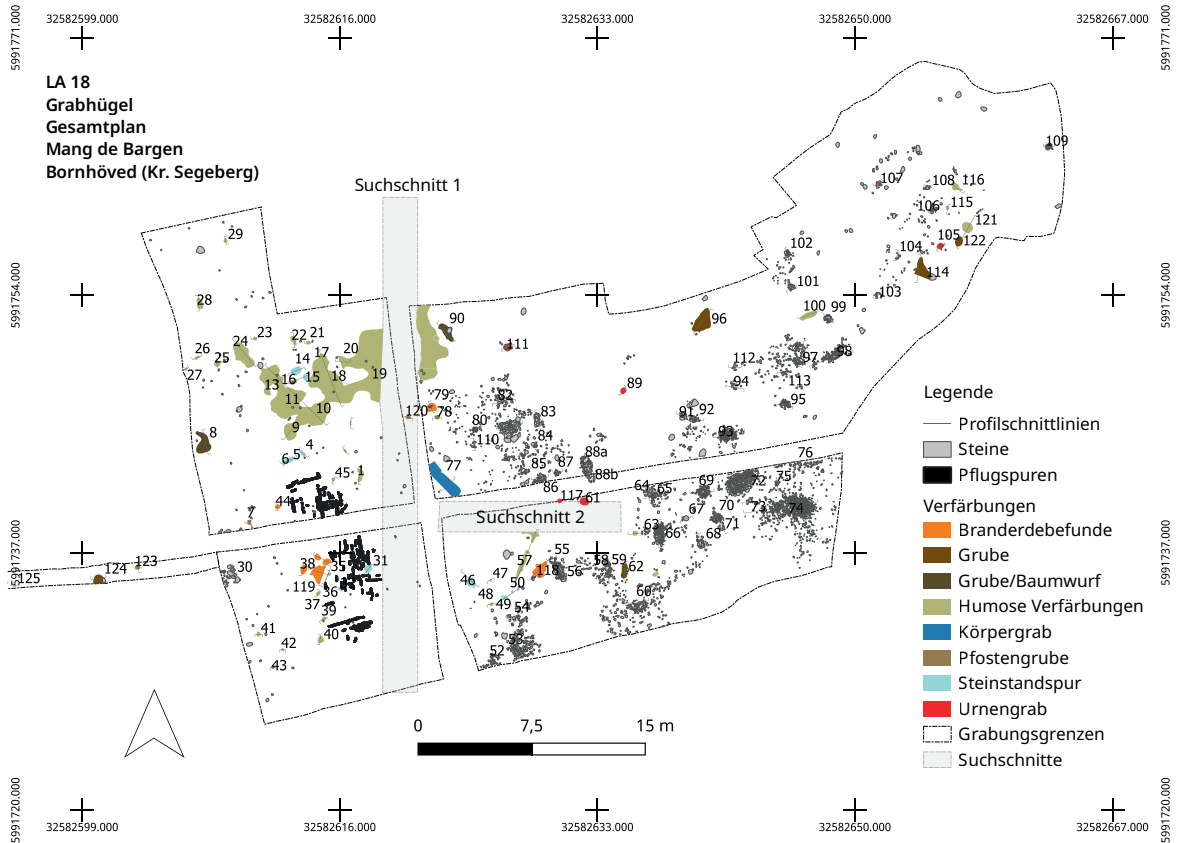
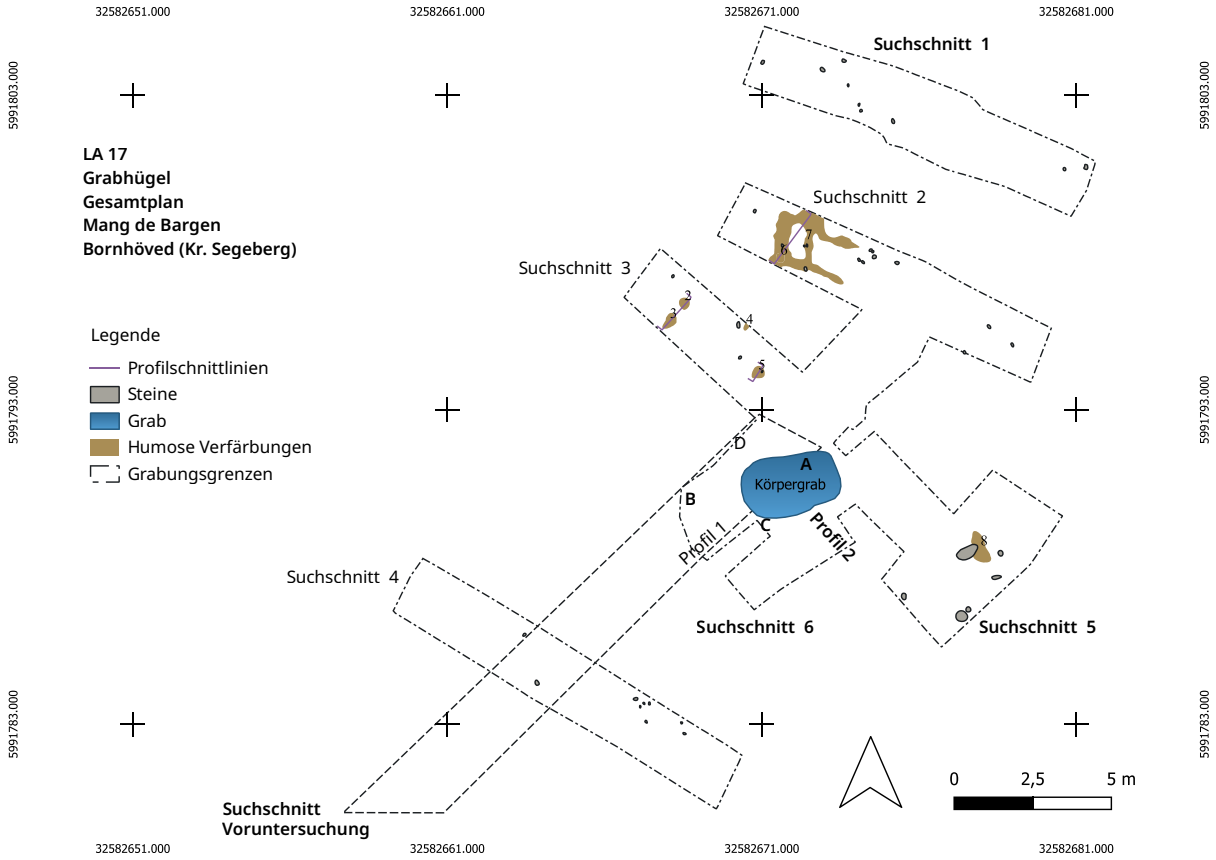
<https://www.jma.uni-kiel.de/en/research-projects/data-exchange-platform>

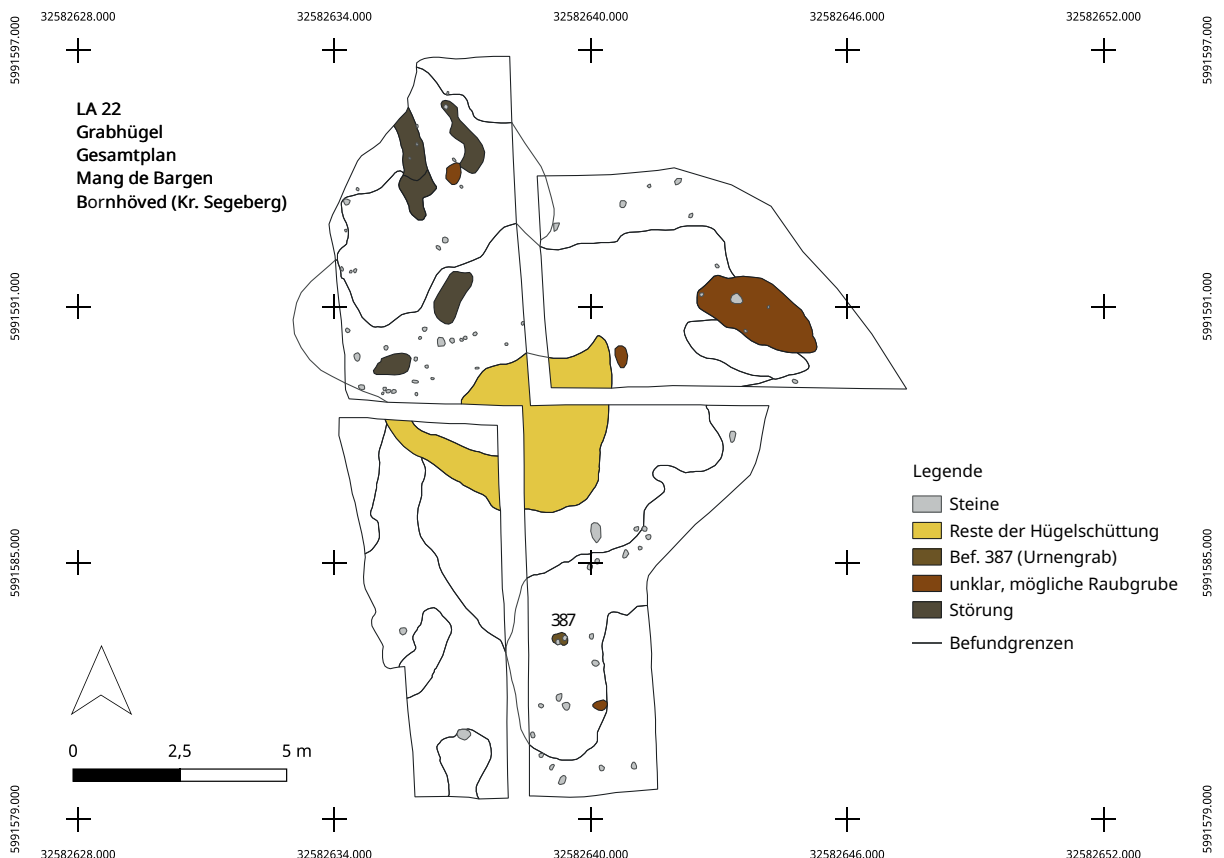
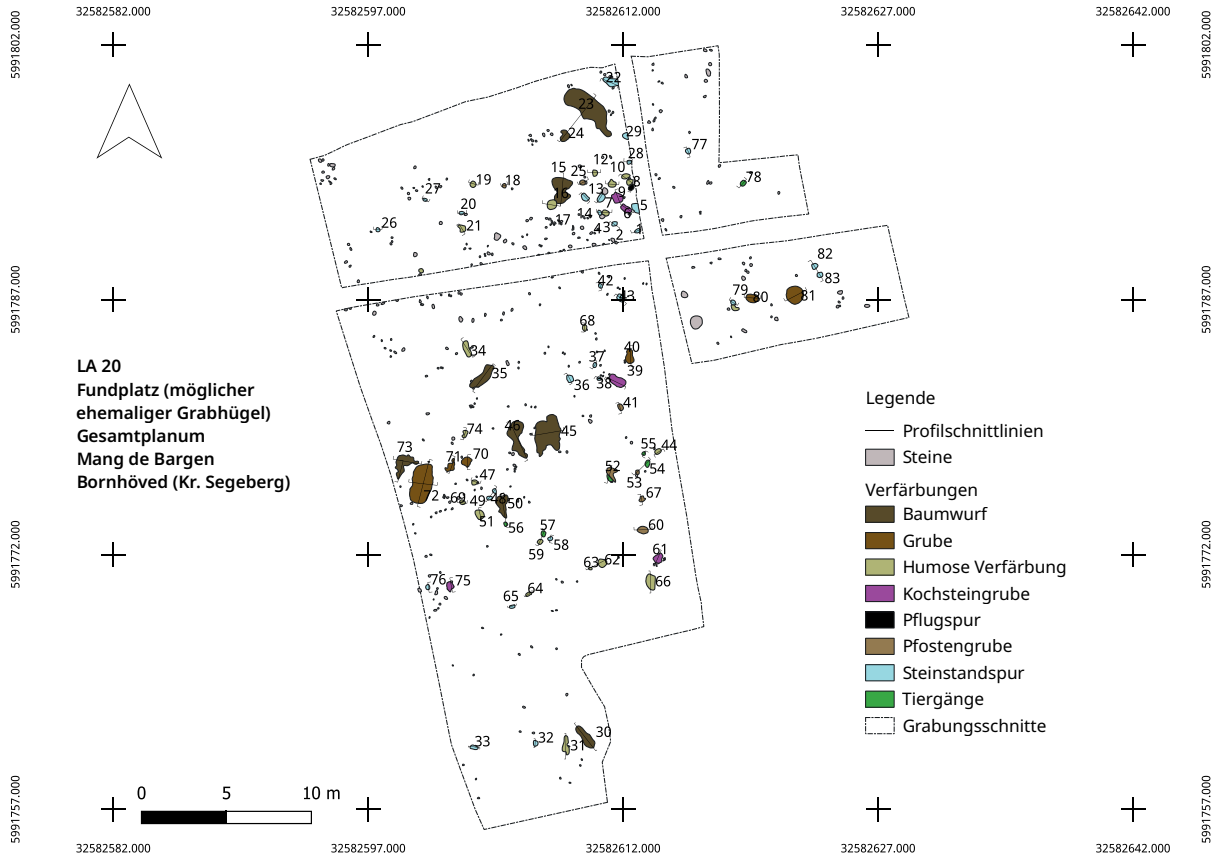
Anhang II: Gesamtplana

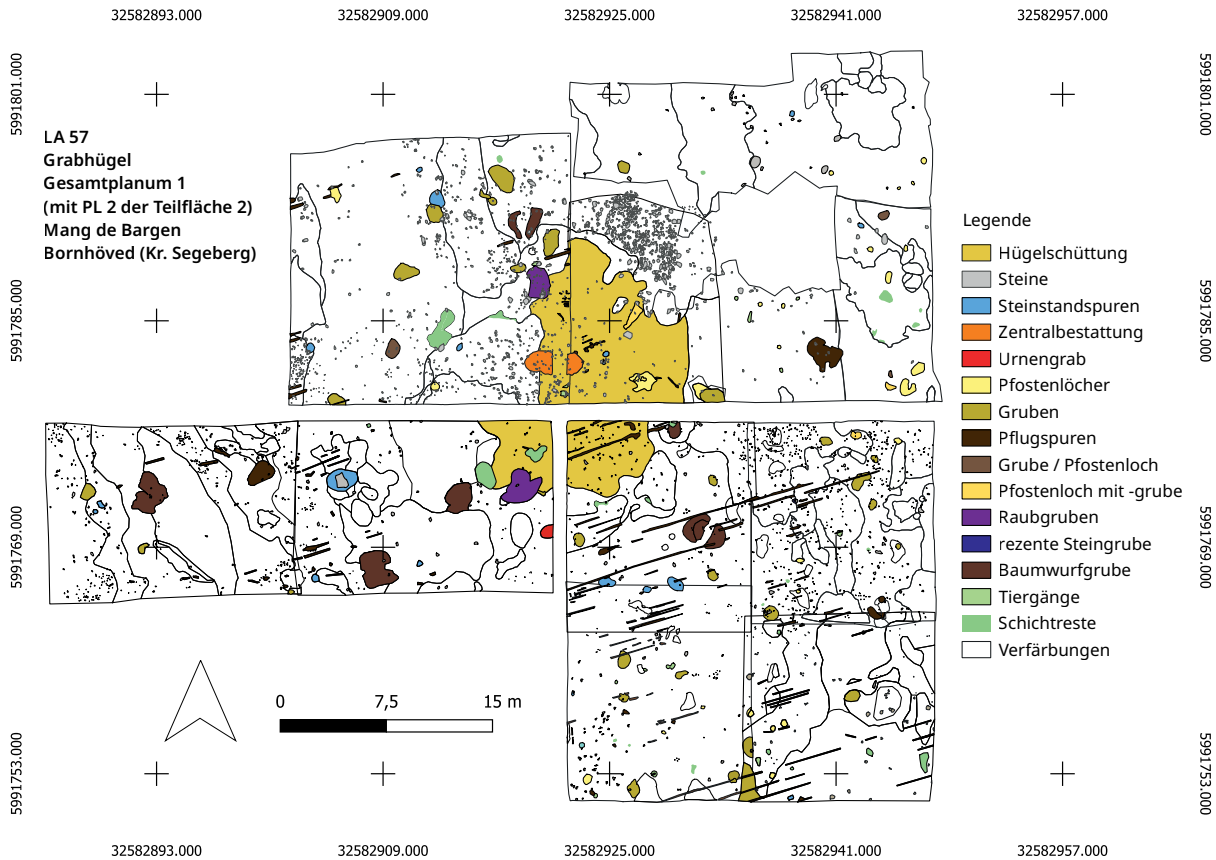
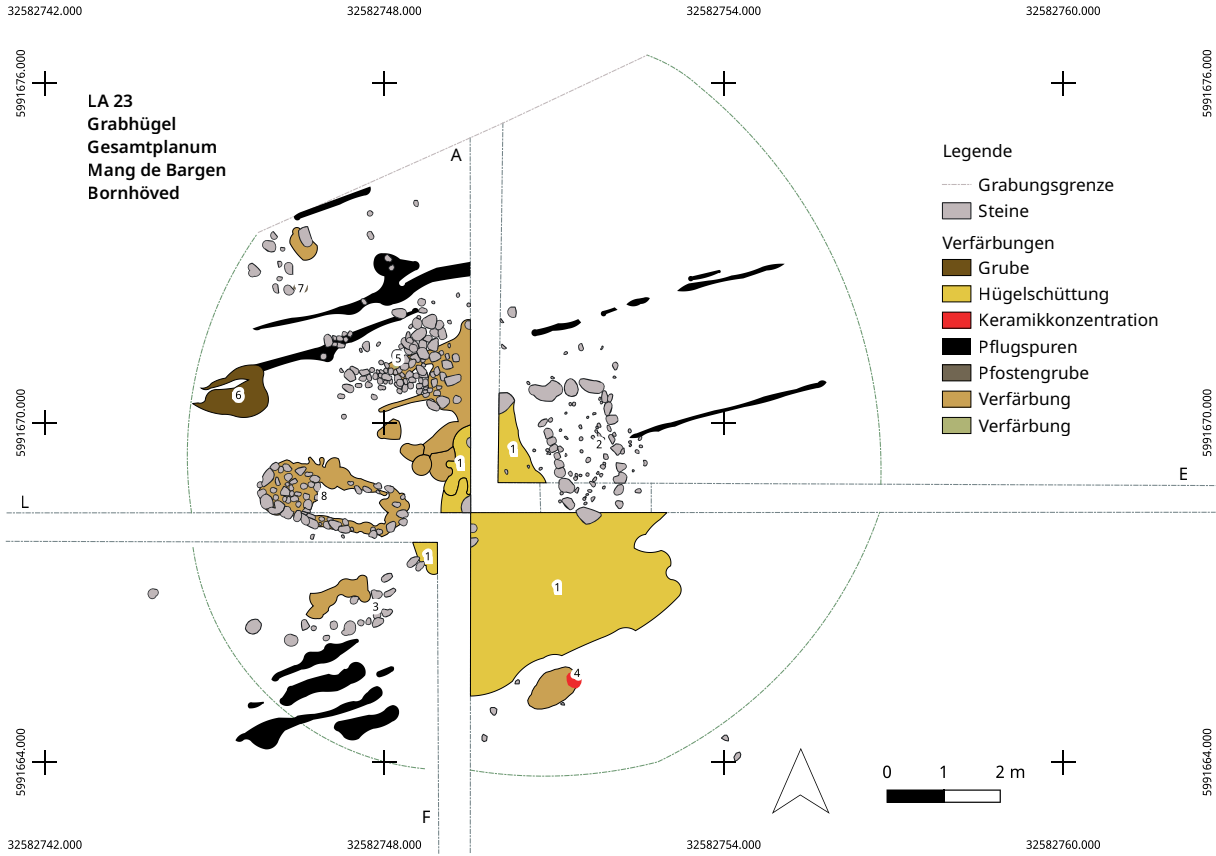
Die Gesamtplana basieren auf den Grabungsergebnissen der Ausgrabungen zwischen 2004 und 2018. Das Landesamt dokumentierte die Untersuchungen zwischen 2004 und 2014. Die Dokumentation wurde für die folgende Zusammenstellung der Gesamtplana digitalisiert, überarbeitet und angepasst. Hinzu kommen die im Rahmen dieser Dissertation neu untersuchten Fundstellen vom Fundplatz von Mang de Barga (LA 57, AU2017-54, 96, 98, AU2018-173). Die Gesamtplana können auch in besserer Auflösung der Online-Beilage über den folgenden Link entnommen werden: <https://www.jma.uni-kiel.de/en/research-projects/data-exchange-platform>.

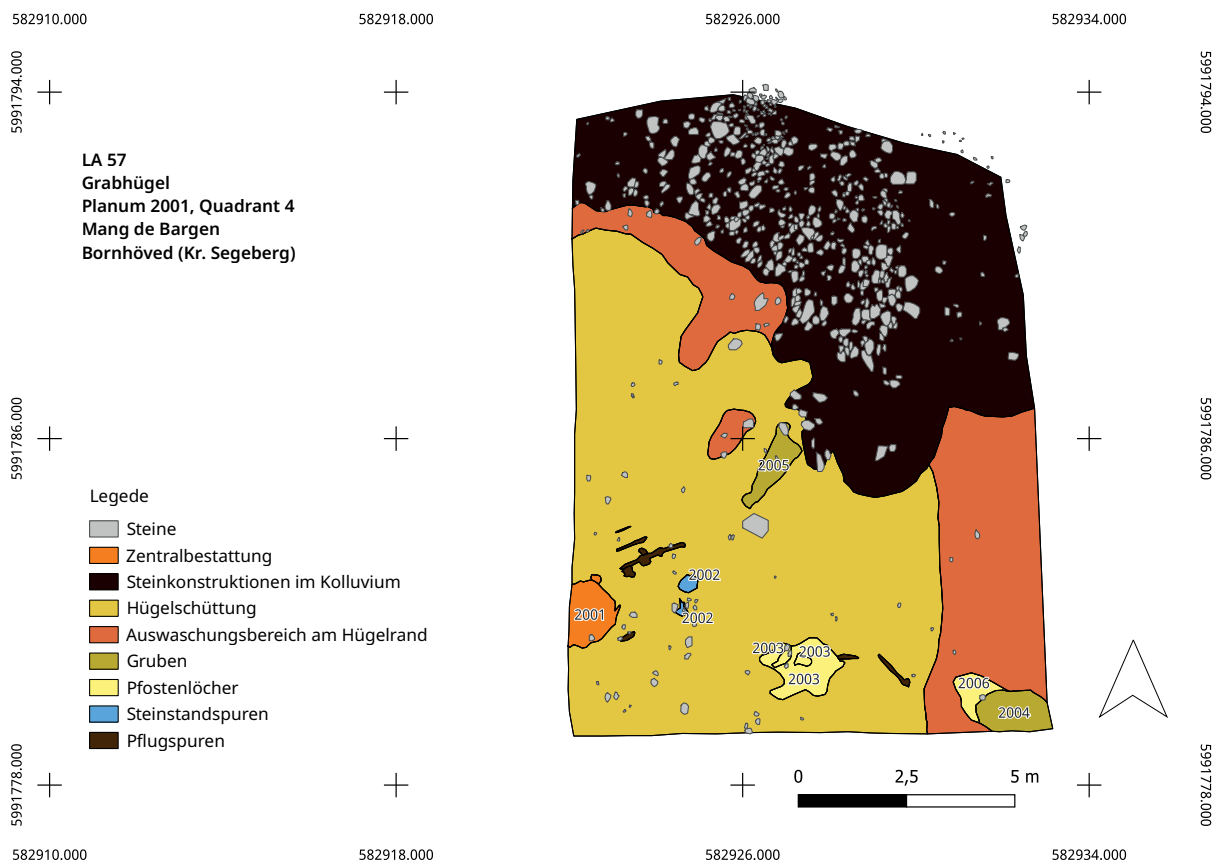
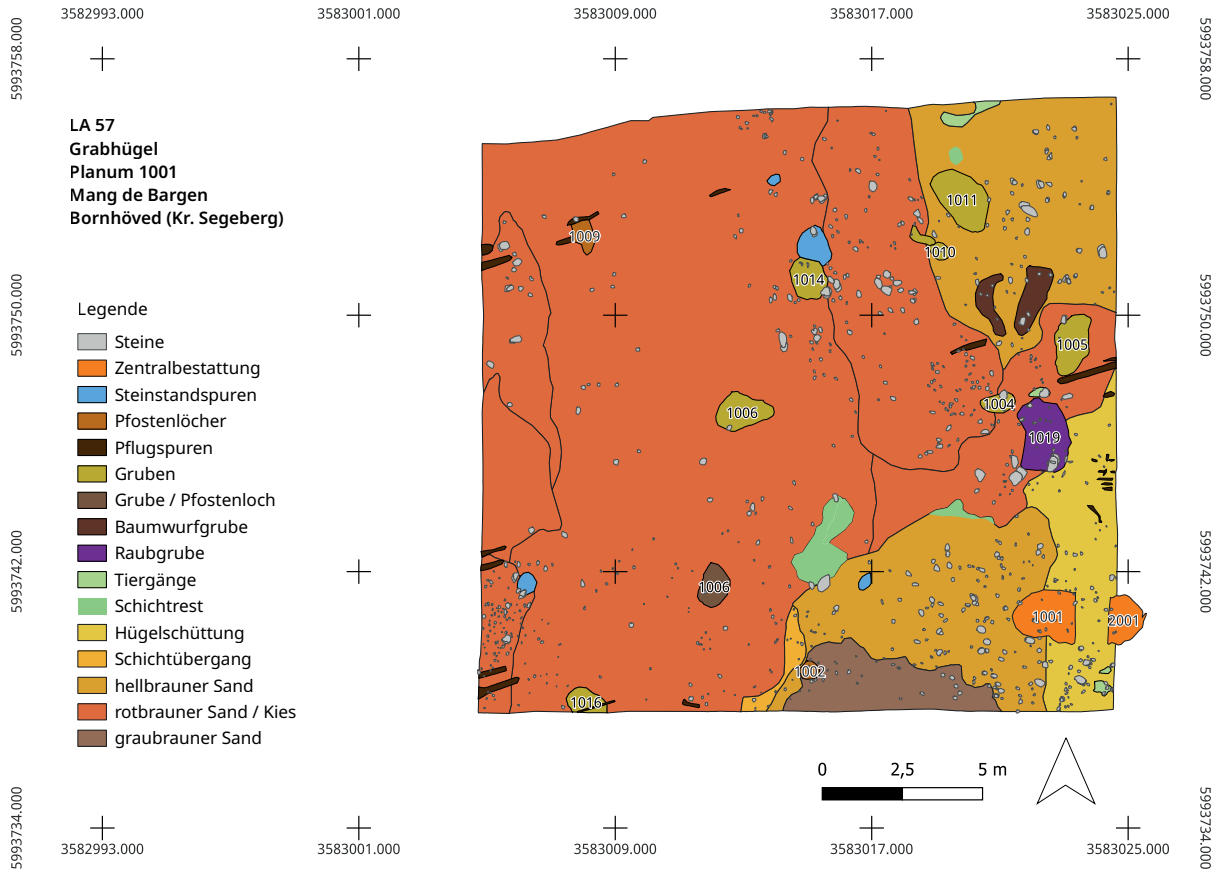
Reihenfolge der im Folgenden abgebildeten Gesamtplana:

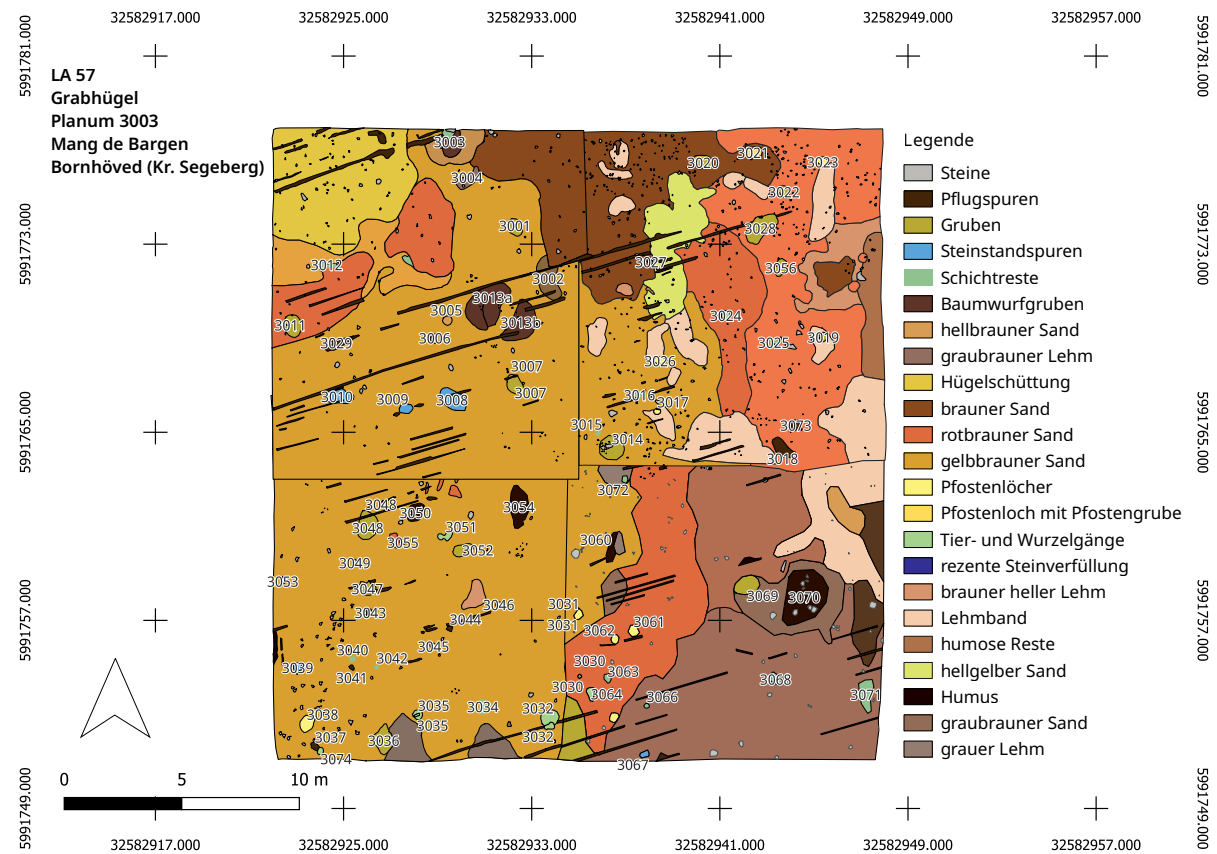
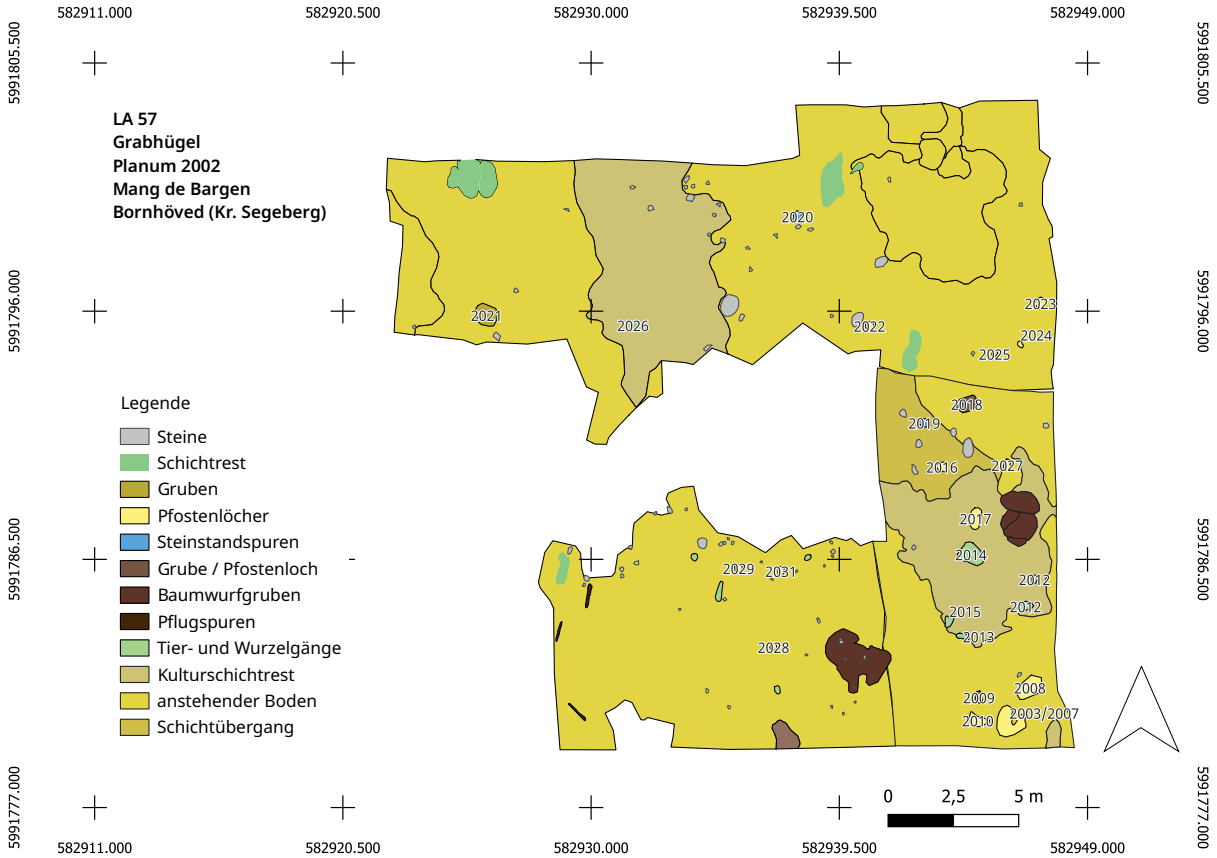
LA 17, Gesamtplanum 1
 LA 18, Gesamtplanum 1
 LA 20, Gesamtplanum 1
 LA 22, Gesamtplanum 1
 LA 23, Gesamtplanum 1
 LA 57, Gesamtplanum 1
 LA 57, Teilfläche 1, Planum 1
 LA 57, Teilfläche 2, Planum 1
 LA 57, Teilfläche 2, Planum 2
 LA 57, Teilfläche 3, Planum 1
 LA 57, Teilfläche 3, Planum 2
 LA 57, Teilfläche 3, Planum 3
 LA 57, Teilfläche 4, Planum 1
 LA 58, Gesamtplanum 1
 LA 59, Gesamtplanum 1
 LA 60, Gesamtplanum 1
 LA 63, Gesamtplanum 1
 LA 64, Gesamtplanum 1
 LA 65, 66, 68, Gesamtplanum
 LA 69, Gesamtplanum 1
 LA 115, Gesamtplanum 1
 LA 116, Gesamtplanum 1
 AU2017-96, Gesamtplanum 1
 AU2017-98, Gesamtplanum 1

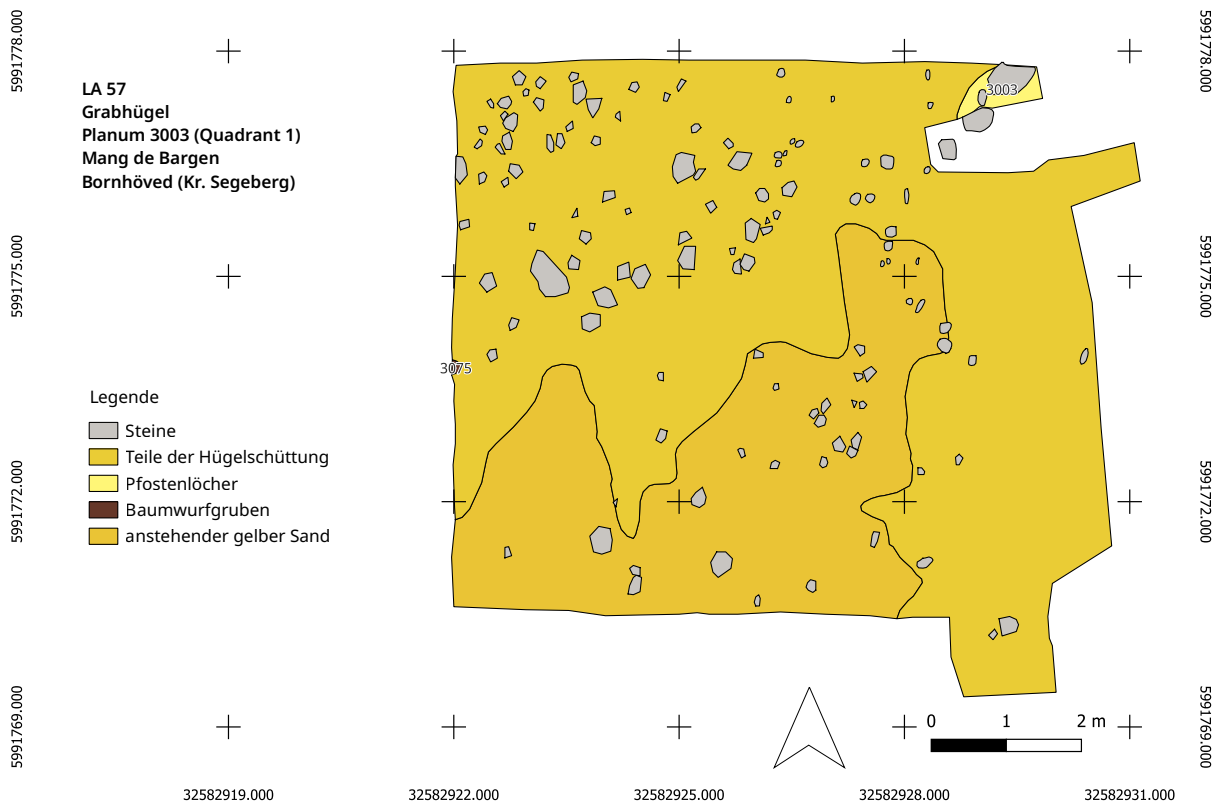
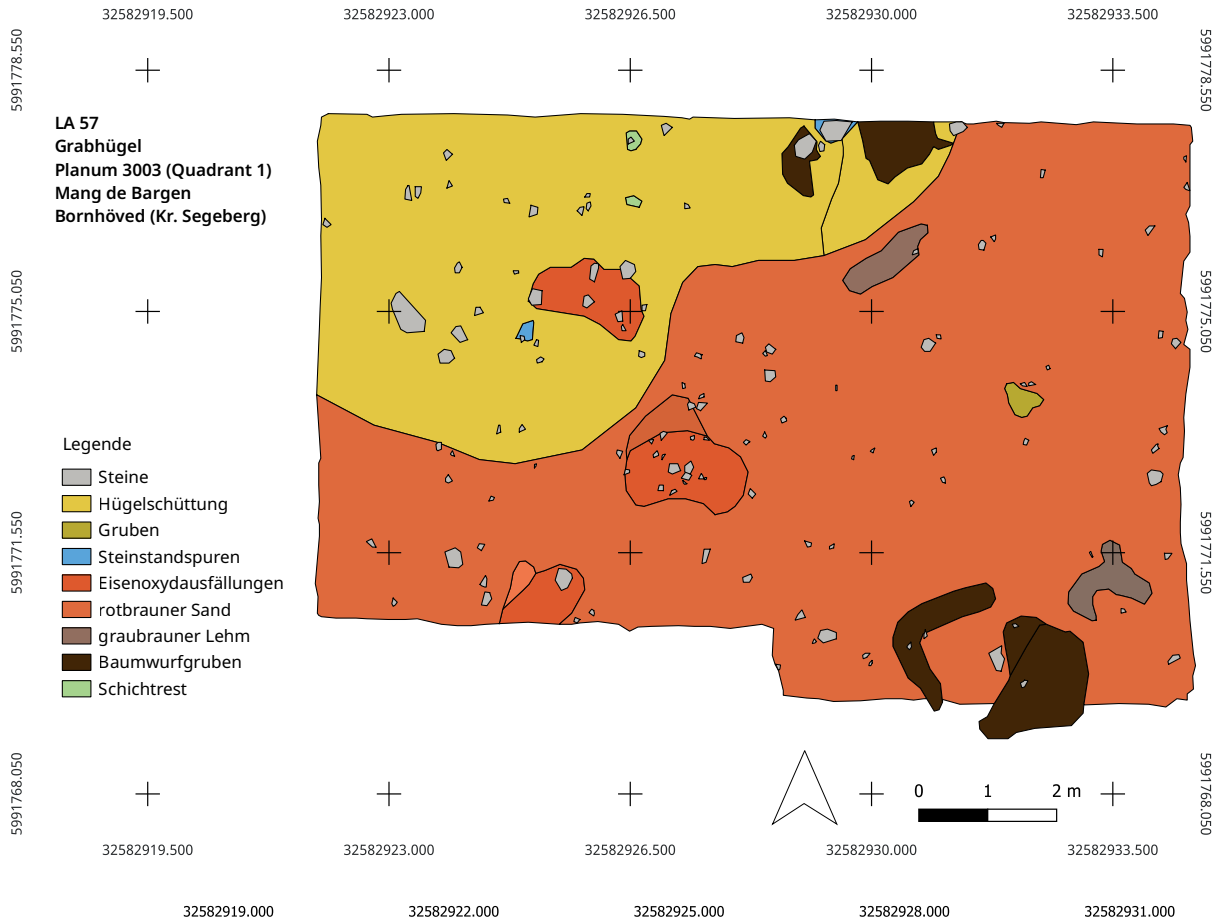


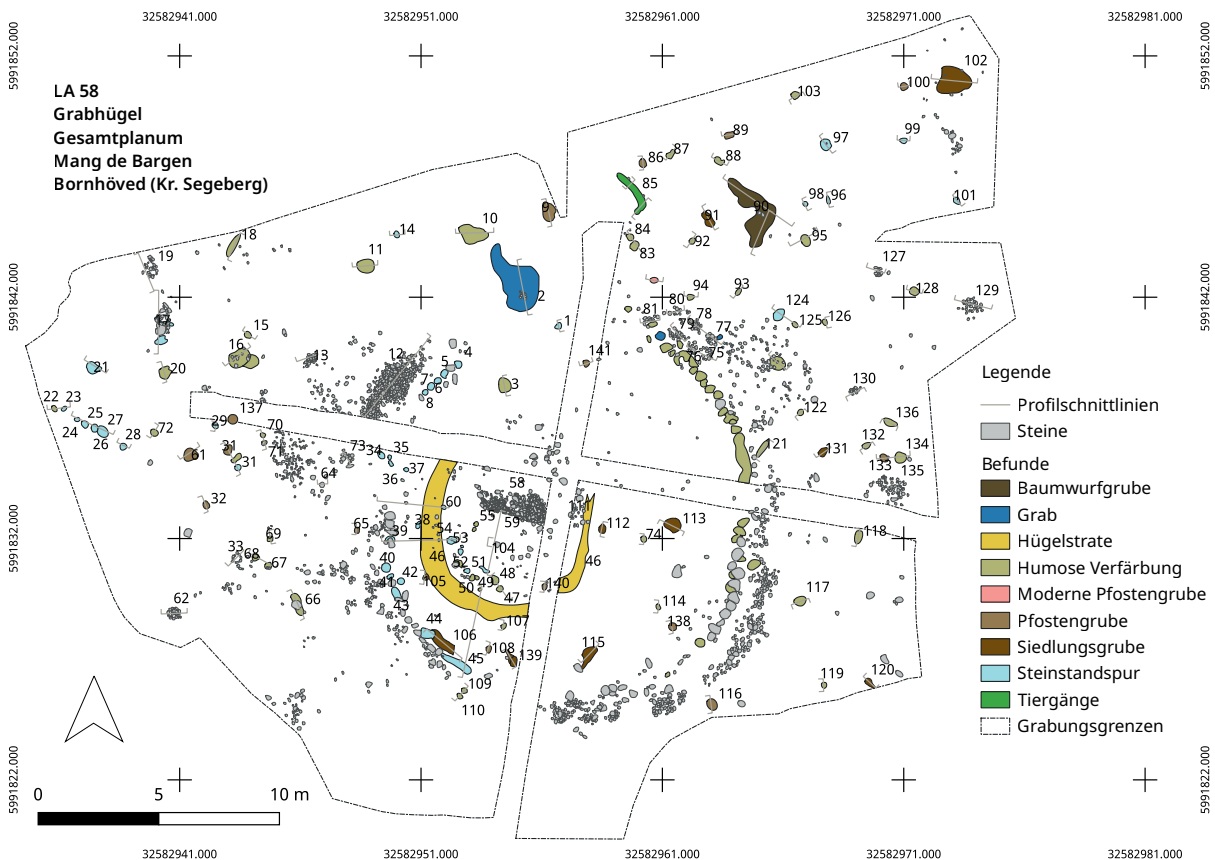
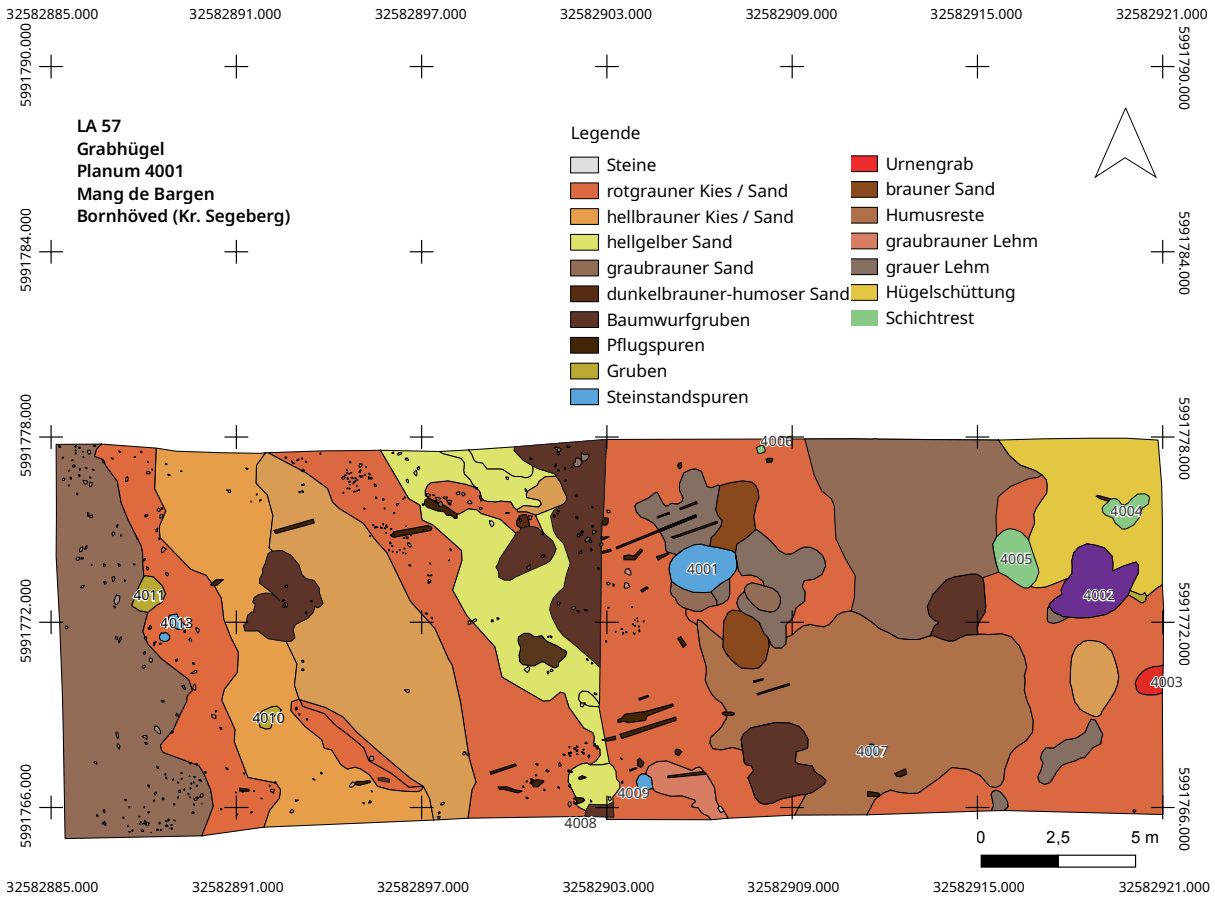


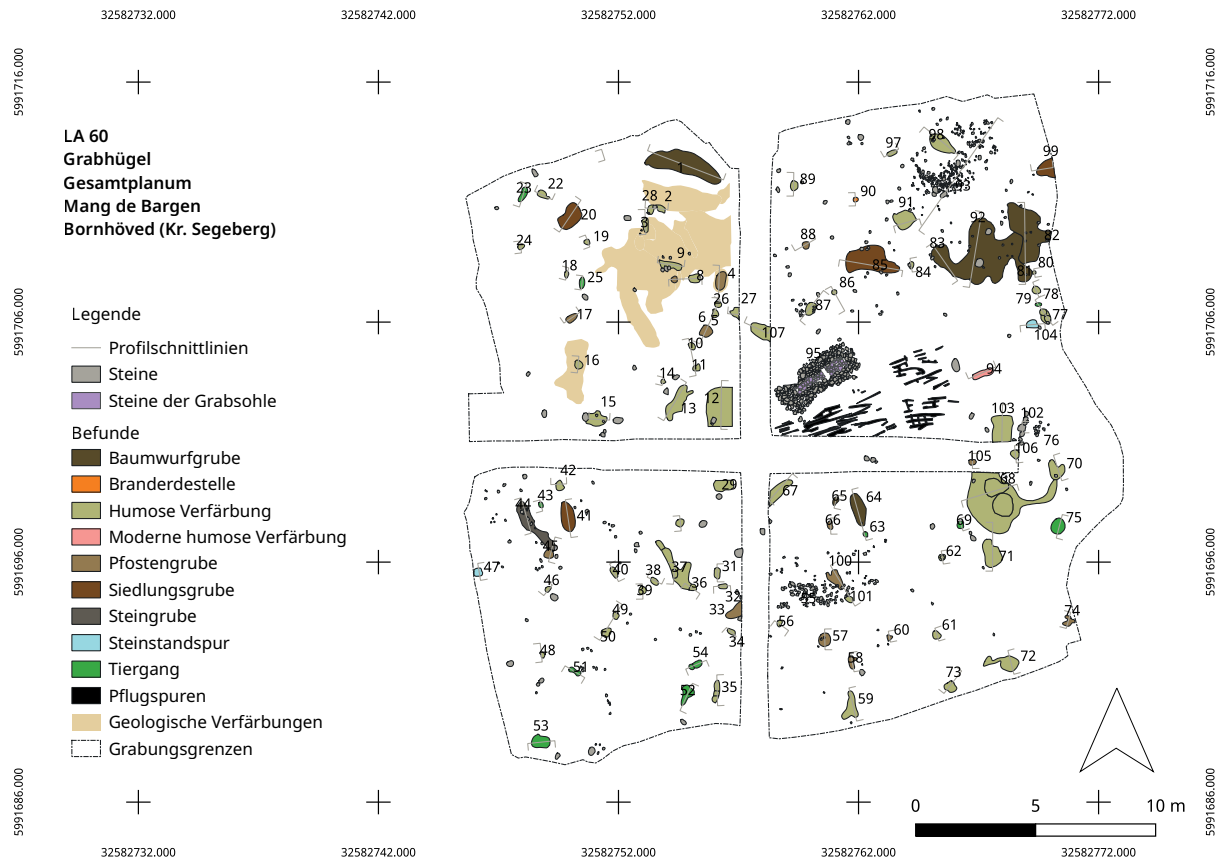
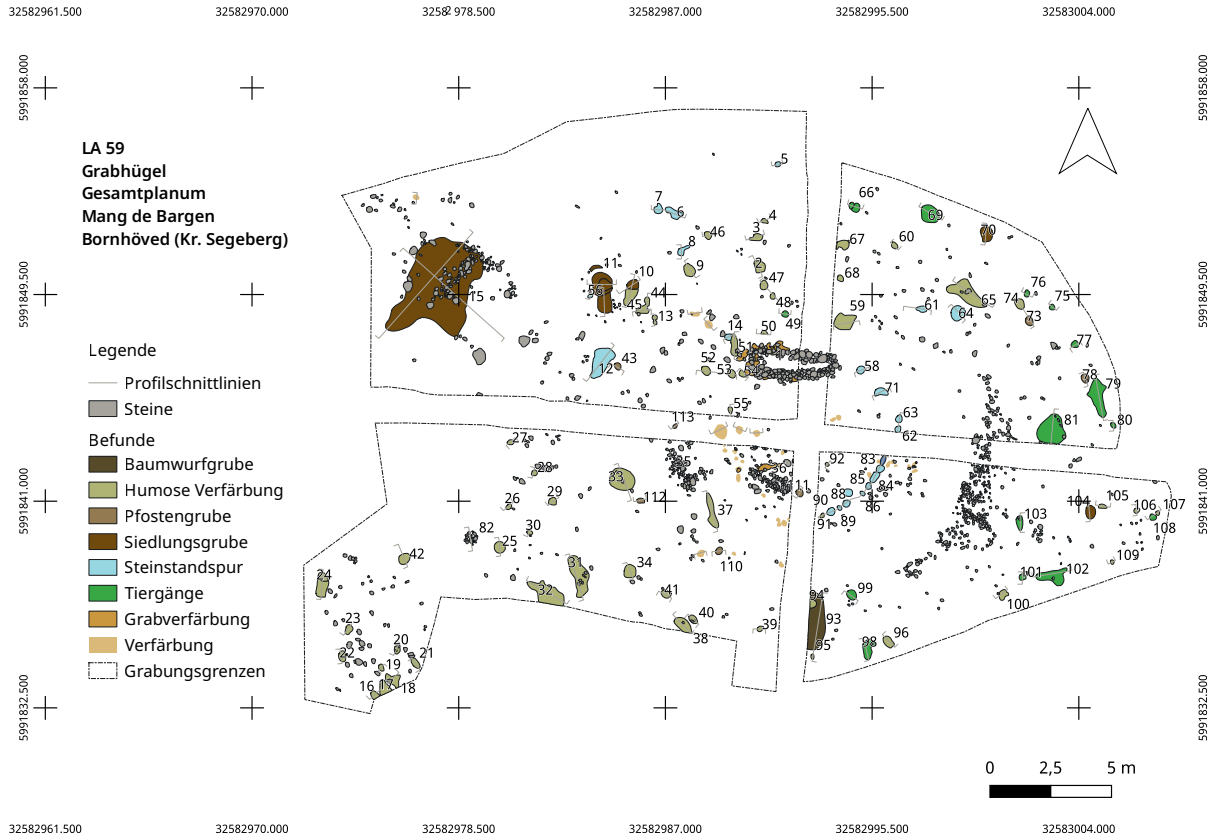


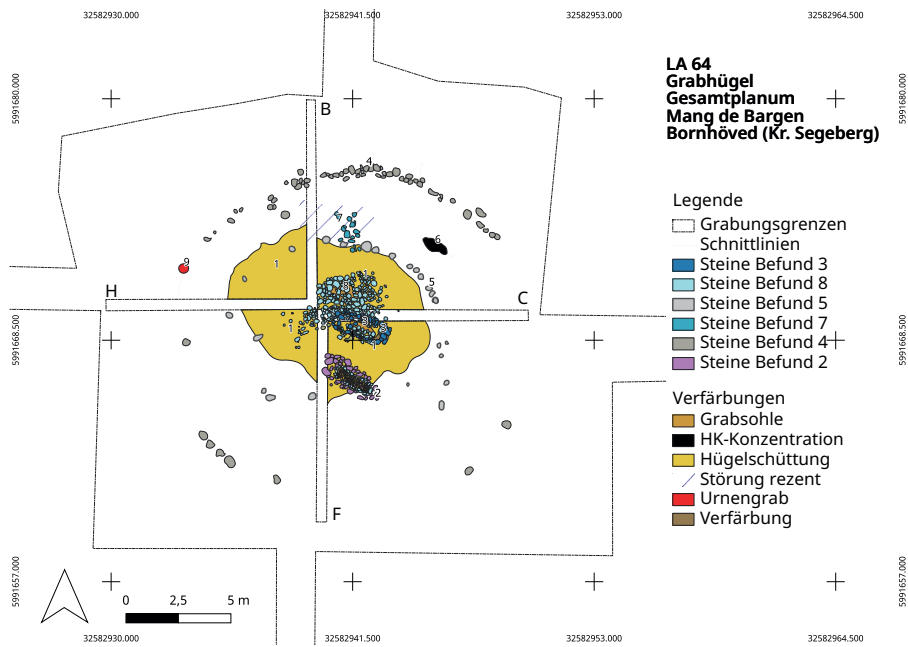
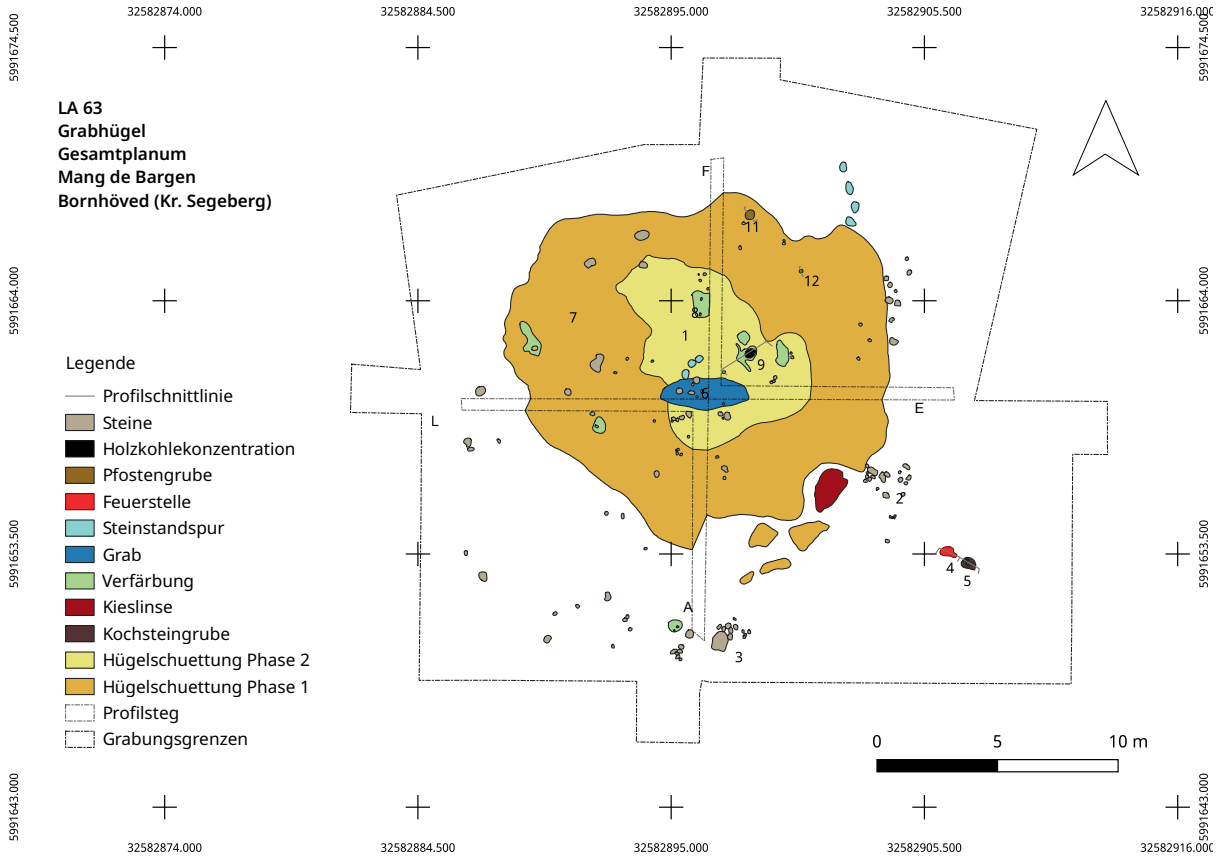


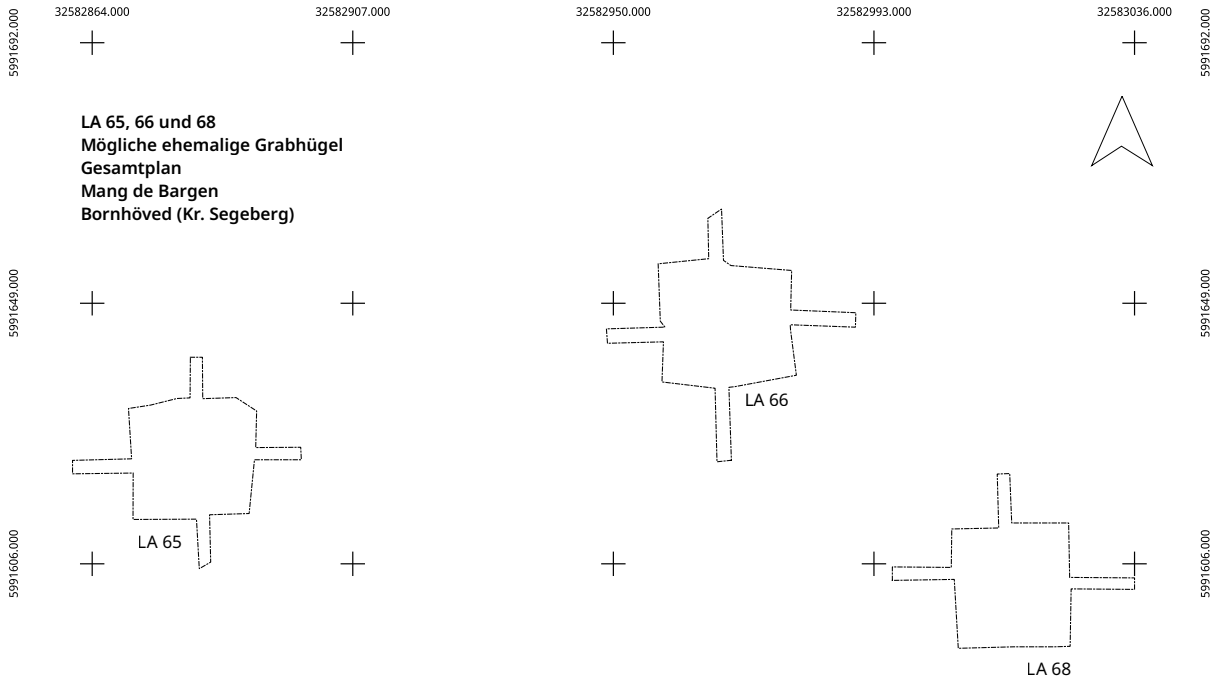




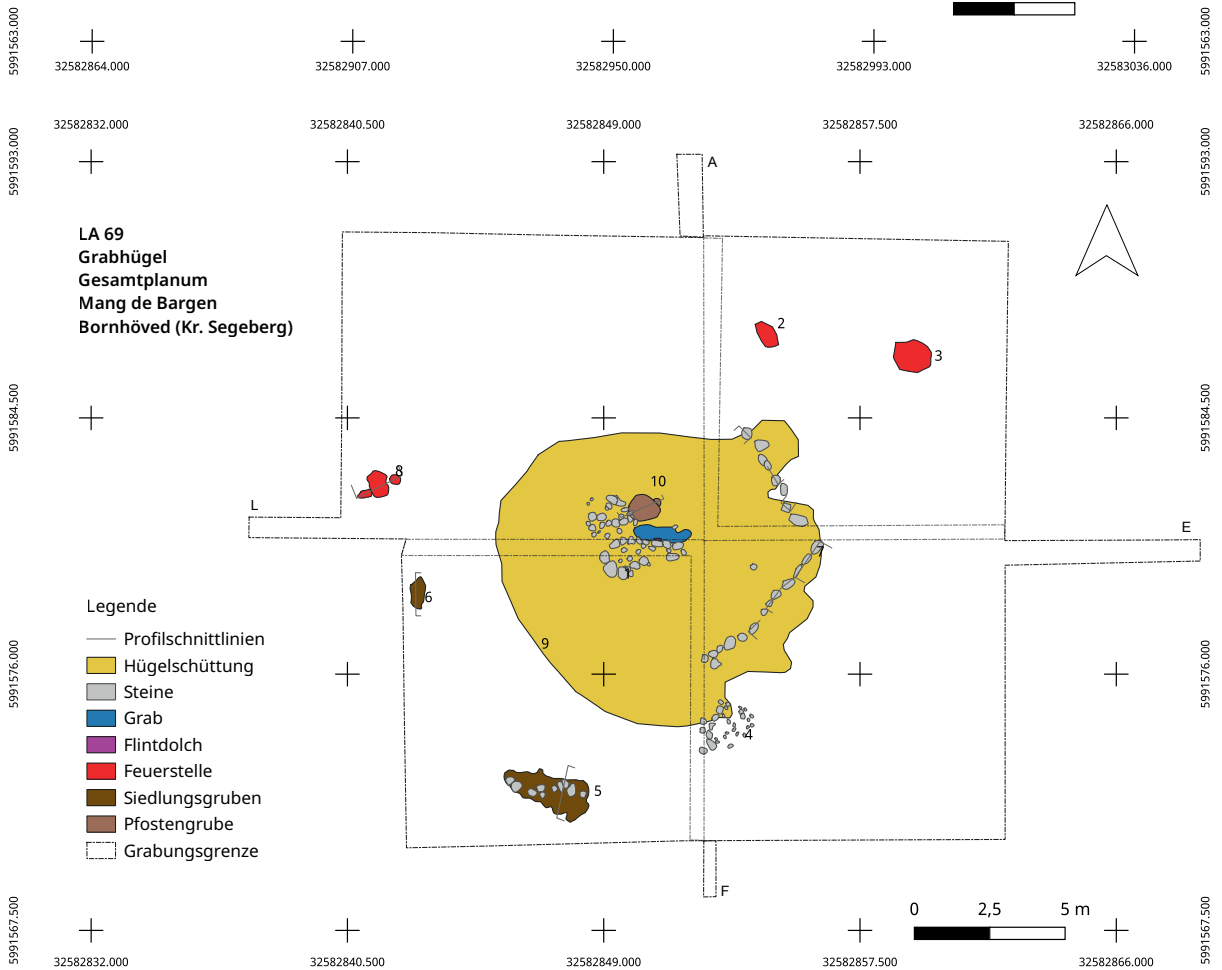
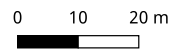


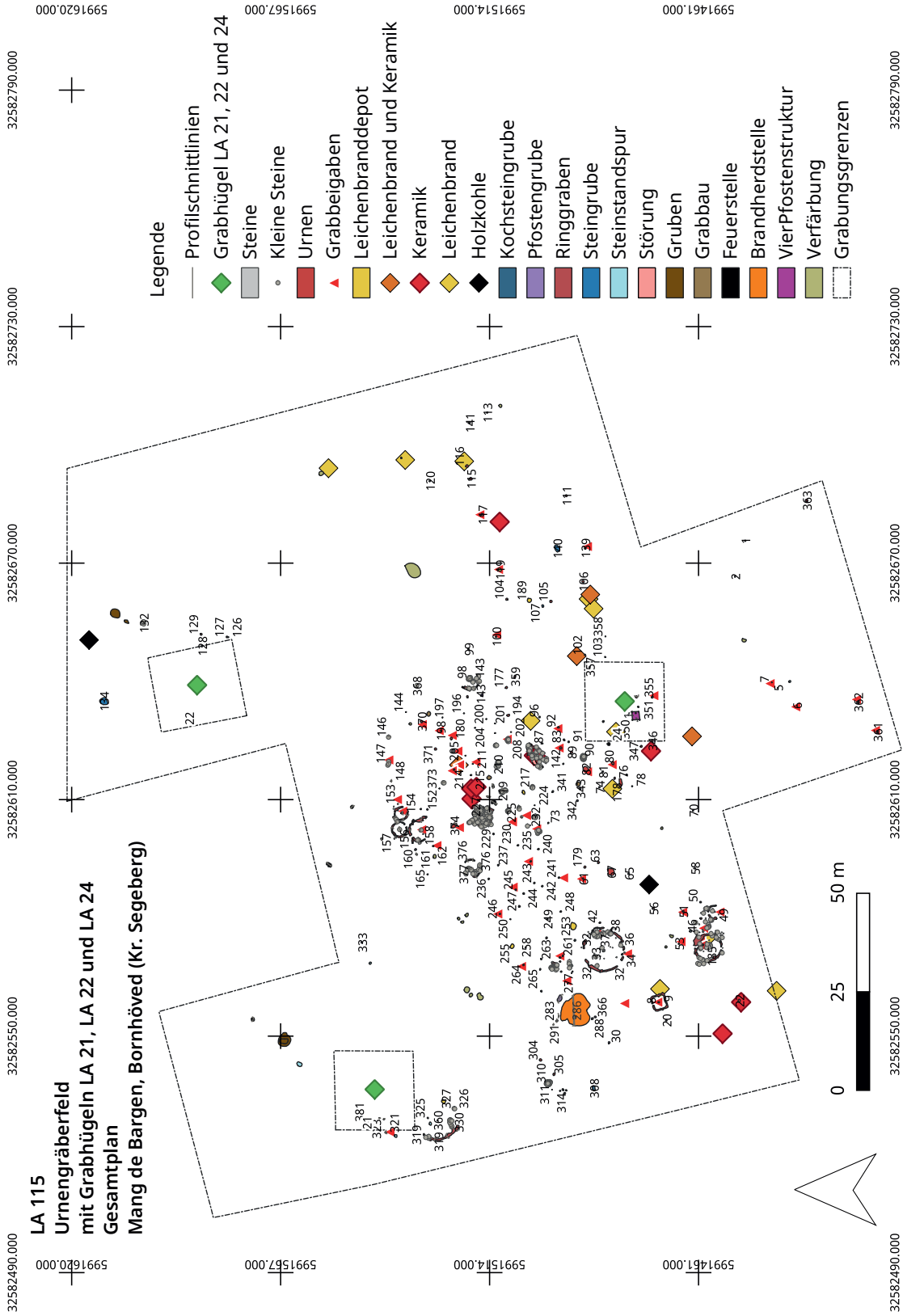


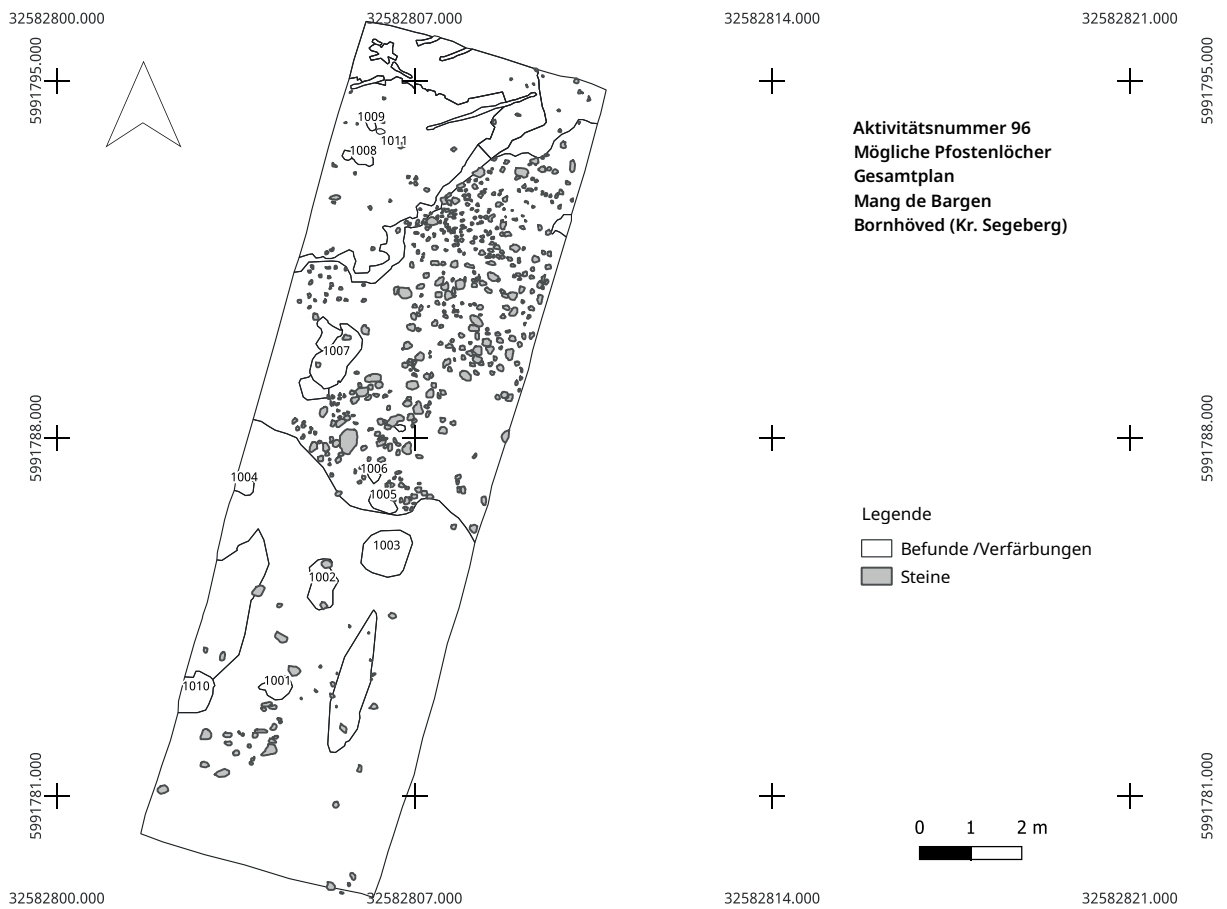
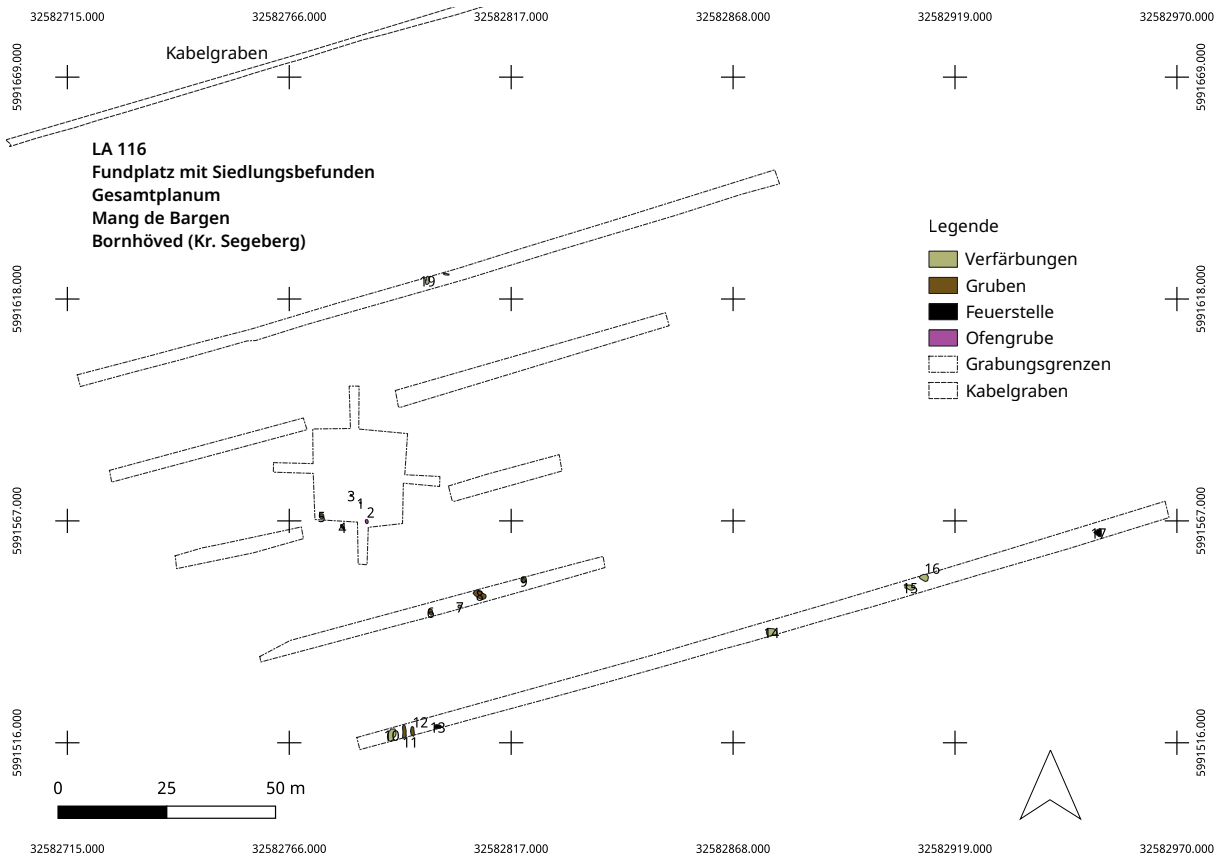




▭ Grabungsgrenzen





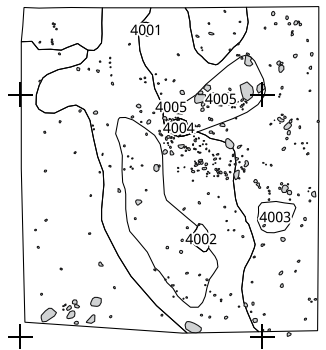
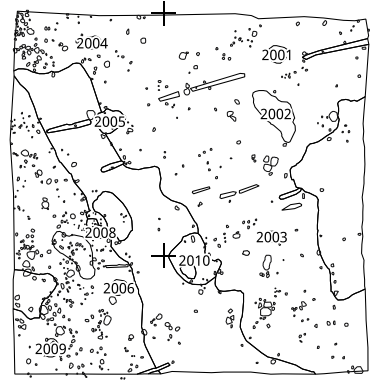
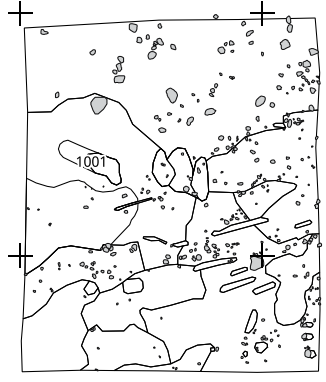
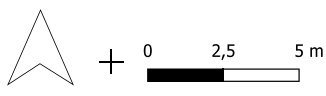


5991804.000
5991796.000
5991788.000
5991780.000

32582767.000 32582775.000 32582783.000 32582791.000 32582799.000

Aktivitätsnummer 98
Vereinzelte Grubenbefunde
Mang de Bergen
Bornhöved (Kr. Segeberg)

- Legende
- Steine
 - Befunde / Verfärbungen



5991804.000
5991796.000
5991788.000
5991780.000

32582767.000 32582775.000 32582783.000 32582791.000 32582799.000

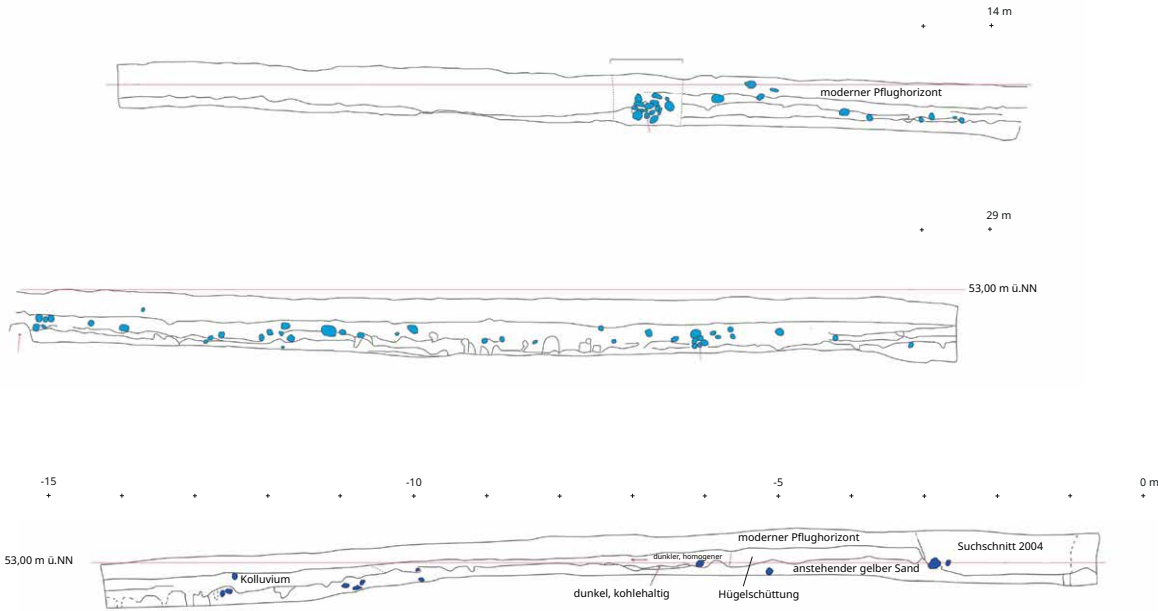
Anhang III: Hauptprofile

Die Hauptprofile basieren auf der Dokumentation der Ausgrabungen zwischen 2004 und 2018. Das Landesamt dokumentierte die Untersuchungen zwischen 2004 und 2014. Die Dokumentation wurde für die folgende Zusammenstellung der Hauptprofile teilweise digitalisiert, überarbeitet und angepasst. Hinzu kommen die im Rahmen dieser Dissertation neu untersuchten Fundstellen am Fundplatz von Mang de Barga (LA 57, AU2017-54, 96, 98, AU2018-173). Die Hauptprofile können auch in besserer Auflösung der Online-Beilage über den folgenden Link entnommen werden: <https://www.jma.uni-kiel.de/en/research-projects/data-exchange-platform>.

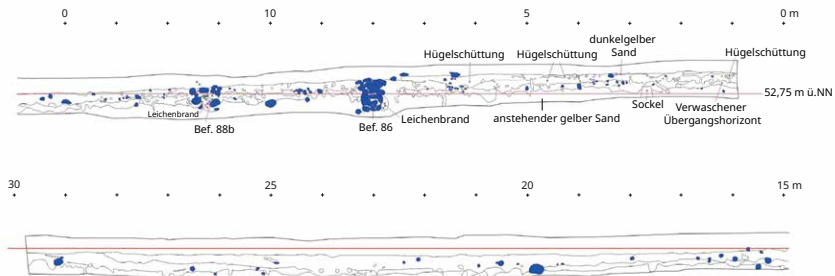
Reihenfolge der im Folgenden abgebildeten Hauptprofile:

- LA 18, Nordprofil
- LA 18, Südprofil
- LA 18, Ost- und Westprofil
- LA 23, Kreuzprofile
- LA 57, Nordprofil (Teilfläche 3, Quadrant 1)
- LA 57, Nordprofil (Teilfläche 3, Quadrant 2)
- LA 57, Westprofil (Teilfläche 2)
- LA 57, Westprofil (Teilfläche 3)
- LA 58, West-, Ost-, Süd- und Nordprofil
- LA 59, Ost-, West- und Nordprofil
- LA 60, Ost-West- und Nord-Südprofil
- LA 63, Kreuzprofile
- LA 64, Kreuzprofile
- LA 69, Kreuzprofile

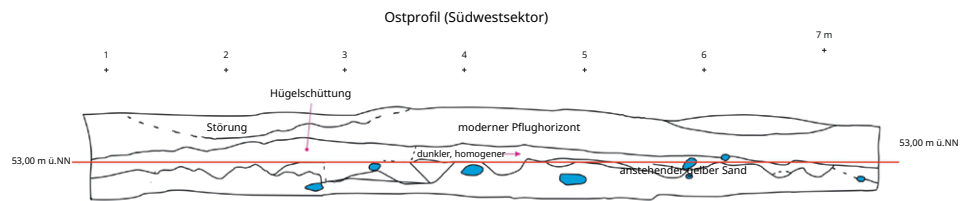
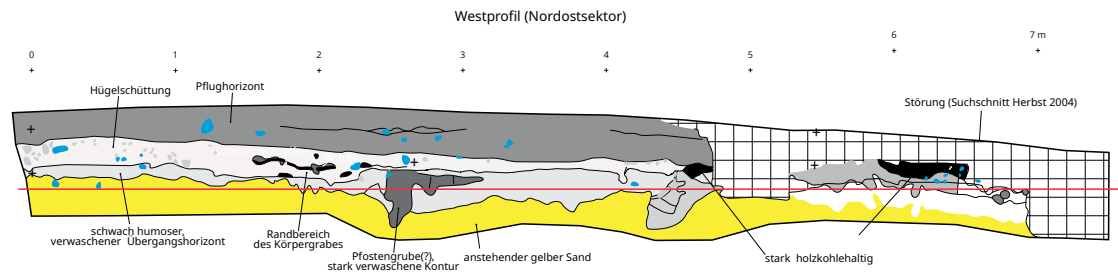
LA 18
 Mang de Bergen
 Bornhöved (Kr. Segeberg)
 2008-427 (Grabung ALSH 2005)



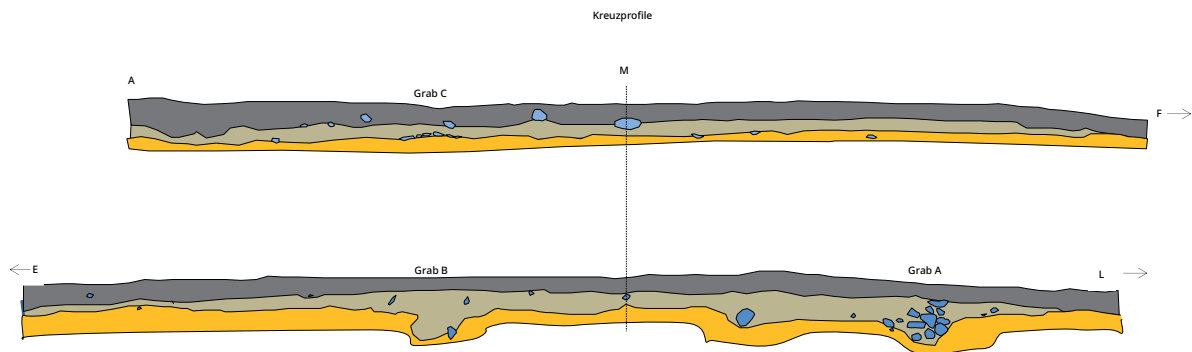
LA 18
 Mang de Bergen
 Bornhöved (Kr. Segeberg)
 2008-427 (Grabung ALSH 2005)



LA 18
 Mang de Borgen
 Bornhöved (Kr. Segeberg)
 2008-427 (Grabung ALSH 2005)

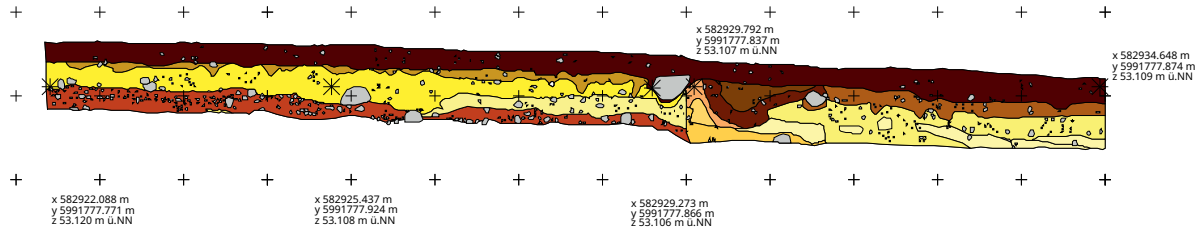


LA 23
 Mang de Borgen, Bornhöved (Kr. Segeberg)
 2014-241 (Grabung ALSH 2014)
 M 1:50



LA 57
 Mang de Bergen
 Bornhöved (Kr. Segeberg)
 Fläche 3
 Grabung Uni Kiel 2017
 M 1:150

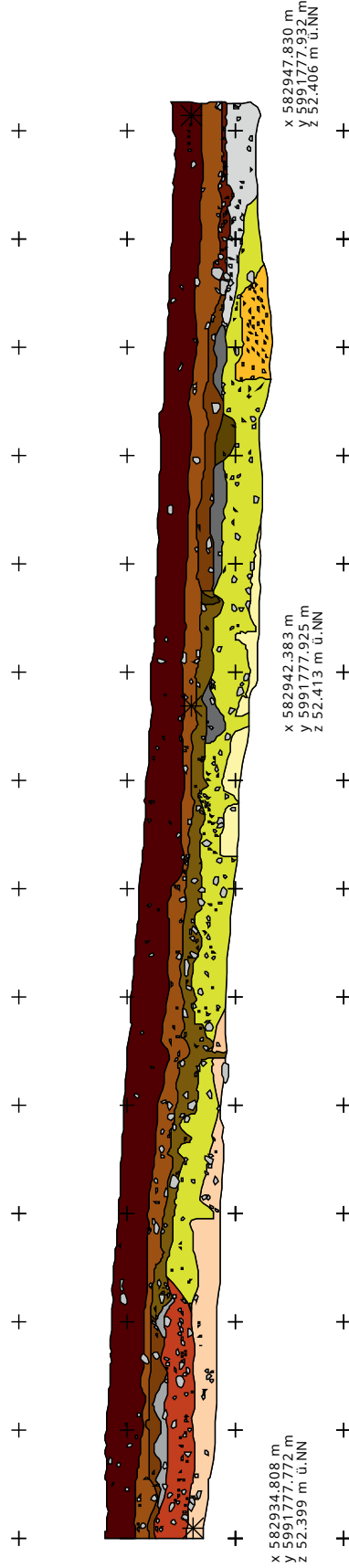
Nordprofil (Quadrant 1)











- | | |
|--|---|
| <ul style="list-style-type: none"> Steine Dunkelbrauner lockerer Humus (Ackerhorizont) Braugelber mittelfeiner bis grober Sand (älterer Pflughorizont) Gelber mittelfeiner Sand (Rest Hügelschüttung) Weißgelber mittelfeiner Sand (Auswaschungshorizont einer älteren Humusfläche, die vermutlich das Ende des Grabhügels anzeigt) Gelbhellbrauner feiner bis mittelfeiner Sand (Ausfällungshorizont unterhalb von Bef. 3003) | <ul style="list-style-type: none"> Braungelbes stark geflecktes mittelfeines Humus-Sand-Gemisch, durchzogen von Tiergängen, Kolluvium und dem alten Pflughorizont Teil es Brauwurfbefundes 3003 Dunkelbrauner mittelkörniger Sand (Brauwurfgrube Bef. 3003) Rotbrauner grober Kies (Anstehendes Kiesband) |
|--|---|

LA 57
 Mang de Bargaen
 Bornhöved (Kr. Segeberg)
 Fläche 3
 Grabung Uni Kiel 2017
 M 1:150

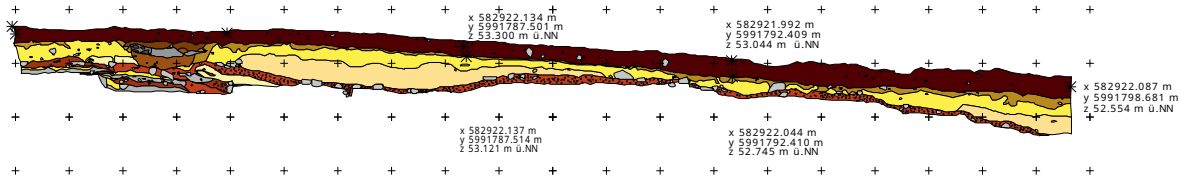
Nordprofil (Quadrant 2)



- | | | | |
|---|--|---|---|
|  | Steine |  | Dunkelgelber feiner Sand, nach unten heller werdend (Ausfällungshorizont) |
|  | Dunkelbrauner lockerer Humus (Ackerhorizont) |  | Grauer Lehm im Osten, nach unten hin rötlicher (anstehender Boden) |
|  | Übergangsbereich zum grauen Lehm (alter Ackerboden / Kolluvium) |  | Rotbrauner grober Sand mit vielen Kiesanteilen und Kiesbändern |
|  | Braungelbes mittelfeines changierendes Humus-Sand-Gemisch (alter Ackerboden / Kolluvium) |  | Im Westen: Weißgelber kompakter feiner Sand von Eisenoxidbändern abgegrenzt, im Osten: Rotgelber mittelfeiner lockerer Sand |
|  | Braungrauer lehmiger Sand | | |

LA 57
 Mang de Bargaen
 Bornhöved (Kr. Segeberg)
 Grabung Uni Kiel 2017
 Fläche 2
 M 1:100

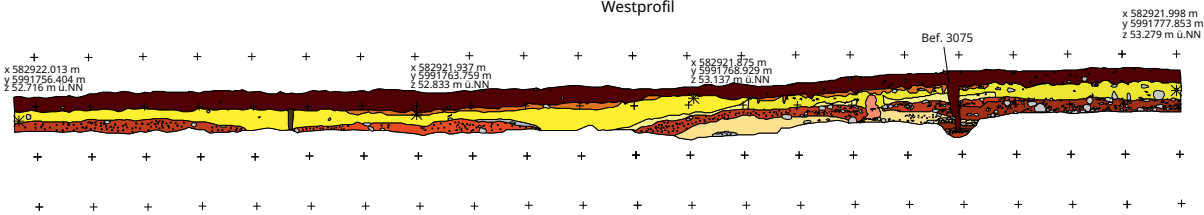
Westprofil



- | | |
|---|--|
| Steine | Graugelber mittelfeiner leicht humoser Sand (Auswaschungshorizont) |
| Dunkelbrauner lockerer Humus (Ackerhorizont) | Gelber fein- bis mittelfeinkörniger Sand (Hügelschüttung) |
| Mittel- bis graubrauner fein- bis mittelkörniger humoser Sand (Baumsargrest) | Graugelber mittelfeiner bis grobkörniger Sand (anstehender Boden) |
| Dunkelgrauer feinkörniger humoser Sand mit blauschwarzen schmierig-sandigen Flecken (Leichenreste mit organischen Materialien/Beigaben) | Rötlich-brauner kiesiger grober Sand mit vielen, teils kopfgroßen Steinen (anstehender Kies) |
| Dunkelgelber mittelfeinkörniger humoser Sand mit blauschwarzen Flecken (Grabssole mit Tiergang) | Hellgelber feiner Sand (anstehender Sand) |
| Mittel- bis dunkelbrauner feinkörniger humoser Sand (Pfoftenlochrest) | Kompakter Lehm (anstehender Lehm) |
| Hellgelber feiner Sand (Anstehender Sand) | |

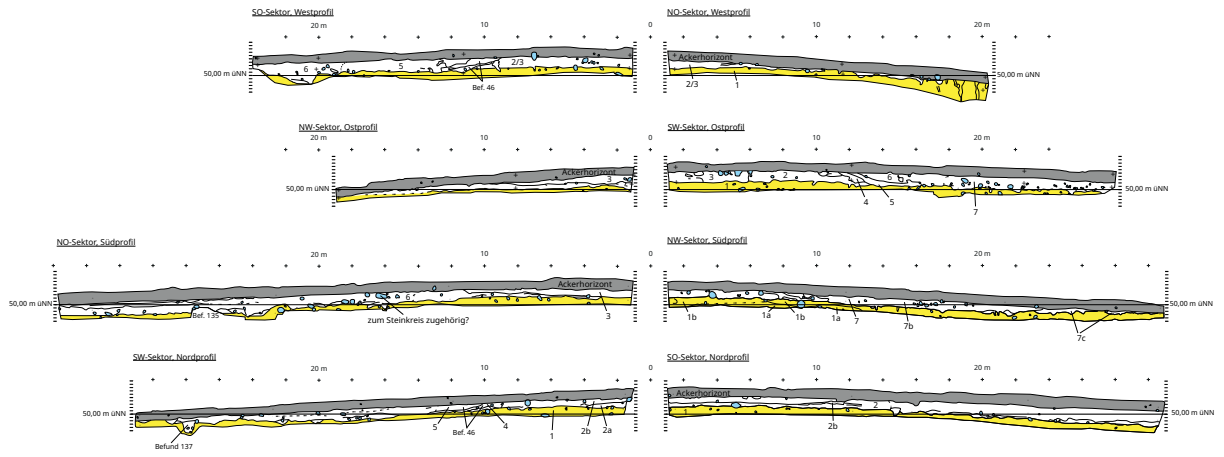
LA 57
 Mang de Bargaen
 Bornhöved (Kr. Segeberg)
 Fläche 3
 Grabung Uni Kiel 2017
 M 1:100

Westprofil



- | | |
|---|--|
| Steine | Graugelber mittelfeiner leicht humoser Sand (Auswaschungshorizont) |
| Dunkelbrauner lockerer Humus (Ackerhorizont) | Rötlich-brauner kiesiger grober Sand mit vielen, teils kopfgroßen Steinen (anstehender Kies) |
| Gelber lockerer Sand (Anstehender Boden) | Kompakter Lehm (anstehender Lehm) |
| Gelber fein- bis mittelfeinkörniger Sand (Hügelschüttung) | Dunkelgelbe lockere sandig-humose Schicht (alter Pflughorizont) |
| Graugelber mittelfeiner bis grobkörniger Sand (Anstehender Boden) | |
| Beige-gelber feiner teils kiesiger Sand (Anstehender Boden) | |

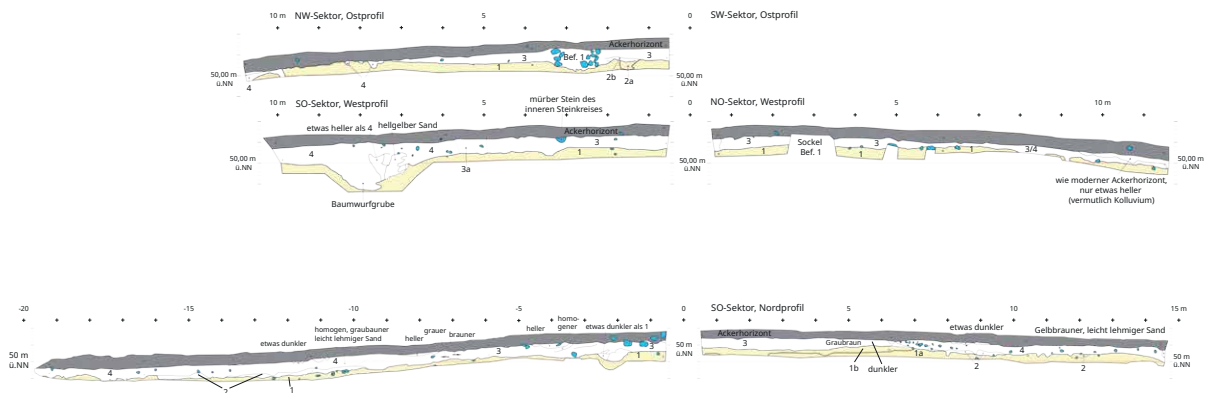
LA 58
Mang de Bergen
Bornhöved (Kr. Segeberg)
2008-429 (Grabung ALSH 2005)



Schicht 1: Hellgelbgrauer bis Gelbbrauner Sand
 Schicht 1a: Gelbbrauner Sand
 Schicht 1b: Hellgelbgrauer Sand
 Schicht 2: Hellgelbgrauer bis gelbbrauner humoser bis lehmiger Sand
 Schicht 2a: Braungelbgrauer kohlehaltiger humoser lehmiger Sand mit wenigen hellen Flecken
 Schicht 2b: Wie Schicht 2a, nur etwas heller
 Schicht 3: Braungrauer kohlehaltiger humoser Sand mit vielen gelbbraunen Flecken

Schicht 4: Graubrauner stark kohlehaltiger humoser Sand
 Schicht 5: Braungrauer kohlehaltiger humoser Sand mit vielen gelbbraunen Flecken
 Schicht 6: Wie Schicht 5, nur etwas heller
 Schicht 7: Braungrauer kohlehaltiger humoser Sand mit vielen gelbbraunen Flecken
 Schicht 7b: Braungrauer humoser Sand mit wenigen gelbbraunen Flecken (homogener als Schicht 7)
 Schicht 7c: Wie Schicht 7, nur etwas dunkler und rotbrauner im Farbton

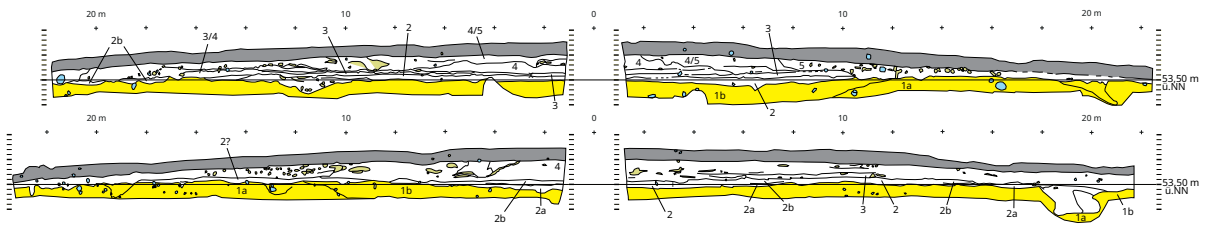
LA 59
Mang de Bergen
Bornhöved (Kr. Segeberg)
2008-430 (Grabung ALSH 2005)



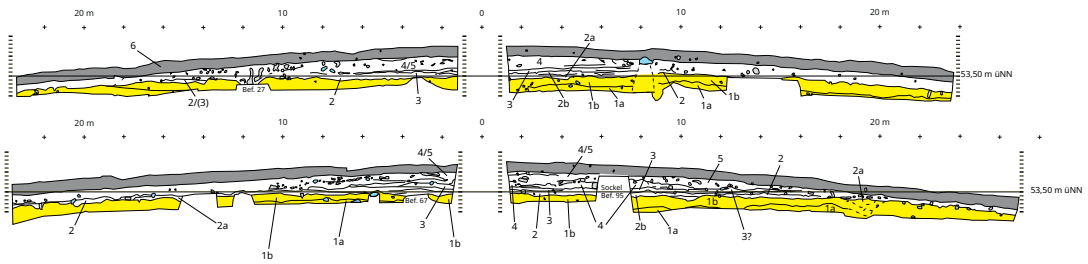
Schicht 1: Hellbraungelber-braungelber-gelber Sand / leicht lehmiger Sand (z. T. steinig, kiesig, anstehender Boden)
 Schicht 2: Hellbraungrauer-gelbbrauner, stark fleckiger Übergangsbereich (Verwachsener Übergangshorizont)
 Schicht 3: Graubrauner-braungrauer, humoser Sand mit vielen gelbbraunen Flecken, z. T. kohlehaltig (Hügelschüttung)
 Schicht 4: Homogener, graubrauner-braungrauer, leicht lehmiger Sand (Kolluvium)

LA 60
Mang de Bargaen
Bornhöved (Kr. Segeberg)
2008-431 (Grabung ALSH 2005)

West-Ost-Profil



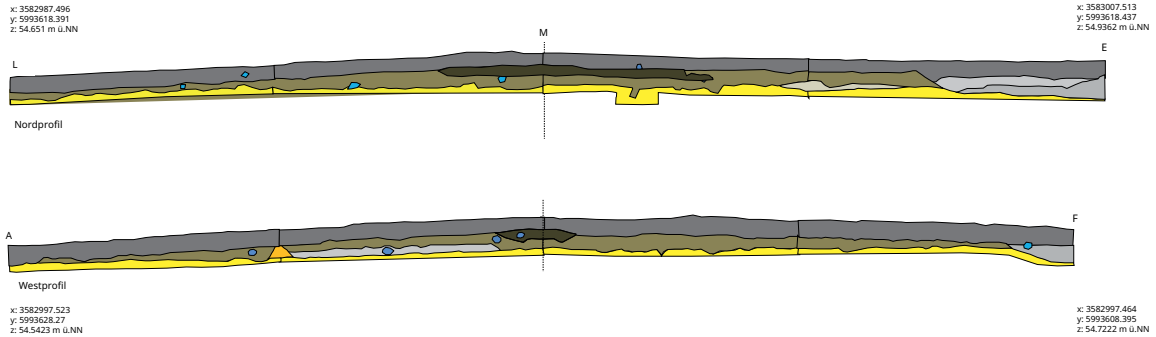
Nord-Süd-Profil



- Schicht 1a: Rotbrauner-brauner sandiger Kies (Anstehender Boden)
- Schicht 1b: Hellbraungelbgrauer leicht sandiger Lehm (Anstehender Boden)
- Schicht 2a: Unterer verwaschener Übergangsbereich zwischen Schicht 1b und 2b, sandiger als 1b mit vereinzelt Holzkohlestücken
- Schicht 2b: Hellbraungelbgrauer lehmiger humoser Sand mit vereinzelt Holzkohlestücken (Oberer, verwaschener Übergangsbereich zwischen 2a und 3)
- Schicht 3: Brauner, humoser lehmiger Sand mit vereinzelt Holzkohlestücken und Manganoxidflecken (Alte Oberfläche)
- Schicht 4: Grauer bis braungrauer, z. T. blaugrauer, humoser lehmiger Sand mit Holzkohlestücken und vielen Rostflecken, v. a. im unteren Bereich dunkelbraune Manganoxidflecken (Hügelschüttung)
- Schicht 5: Graubrauner humoser lehmiger Sand mit vielen hellen Flecken, ähnlich wie 4, nur brauner und weniger rostfleckig mit mehr hellen Flecken (Hügelschüttung)
- Schicht 6: Moderner Pflughorizont

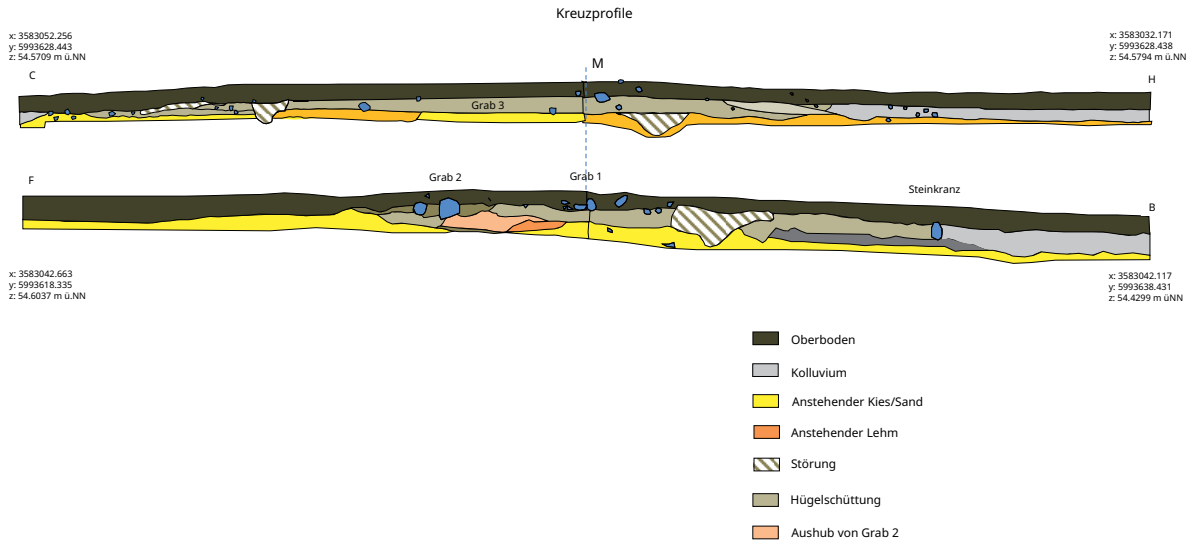
LA 63
Mang de Bargaen
Bornhöved (Kr. Segeberg)
2014-346 (Grabung ALSH 2014)

Kreuzprofile

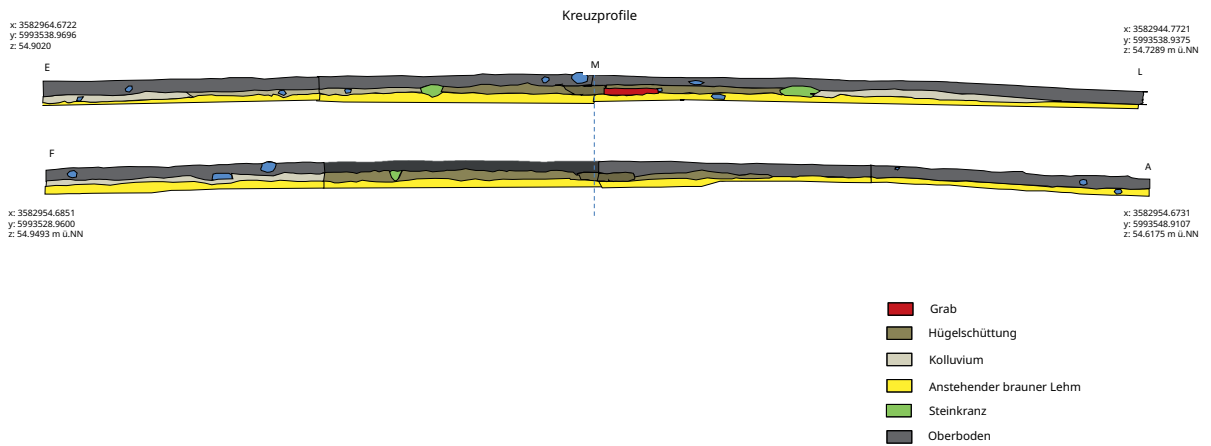


- Oberboden
- Grab 1
- Hügelschüttung
- Kolluvium
- Vergrauung
- Anstehender Boden

LA 64
 Mang de Bargaen
 Bornhöved (Kr. Segeberg)
 2014-351 (Grabung ALSH 2014)



LA 69
 Mang de Bargaen
 Bornhöved (Kr. Segeberg)
 2014-472 (Grabung ALSH 2014)



Anhang IV: Tabelle zu den ^{14}C -Datierungsergebnissen

Fundort	LA	Kontext	Befund-Nr.	Methode	Labor-Nr. KIA-	Fund-Nr.	Probenmaterial
Mang de Bargaen	AU2018-173	Kochsteingrube (K2_2018)	Bef. 1001	AMS	53555	C1001	Holzkohle (Quercus)
Mang de Bargaen	AU2018-173	Kochsteingrube (K1_2018)	Bef. 1008	AMS	53556	C10067	Holzkohle (Corylus)
Mang de Bargaen	AU2018-173	Kochsteingrube (K1_2018)	Bef. 11008	AMS	53557	C1008	Holzkohle (Corylus)
Mang de Bargaen	LA 115	Urne	8	AMS	55423	SH2014-111.132	kremierter Knochen/Apatit
Mang de Bargaen	LA 115	Urne	33	AMS	55424	SH2014-111.137	kremierter Knochen/Apatit
Mang de Bargaen	LA 115	Urne	34	AMS	55425	SH2014-111.138	kremierter Knochen/Apatit
Mang de Bargaen	LA 115	Urne	36	AMS	55426	SH2014-111.140	kremierter Knochen/Apatit
Mang de Bargaen	LA 115	Urne	37	AMS	55427	SH2014-111.141	kremierter Knochen/Apatit
Mang de Bargaen	LA 115	Urne	38	AMS	55428	SH2014-111.142	kremierter Knochen/Apatit
Mang de Bargaen	LA 115	Urne	39	AMS	55429	SH2014-111.143	kremierter Knochen/Apatit
Mang de Bargaen	LA 115	Urne	42	AMS	55430	SH2014-111.145	kremierter Knochen/Apatit
Mang de Bargaen	LA 115	Urne	49	AMS	55431	SH2014-111.149	kremierter Knochen/Apatit
Mang de Bargaen	LA 115	Leichenbranddepot	86	AMS	55432	SH2014-111.169	kremierter Knochen/Apatit
Mang de Bargaen	LA 115	Urne	98	AMS	55433	SH2014-111.179	kremierter Knochen/Apatit
Mang de Bargaen	LA 115	Urne	139	AMS	55434	SH2014-111.204	kremierter Knochen/Apatit
Mang de Bargaen	LA 115	Urne	152	AMS	55435	SH2014-111.211	kremierter Knochen/Apatit
Mang de Bargaen	LA 115	Urne	153	AMS	55436	SH2014-111.116	kremierter Knochen/Apatit
Mang de Bargaen	LA 115	Urne	154	AMS	55437	SH2014-111.212	kremierter Knochen/Apatit
Mang de Bargaen	LA 115	Urne	156	AMS	55438	SH2014-111.213	kremierter Knochen/Apatit
Mang de Bargaen	LA 115	Urne	158	AMS	55439	SH2014-111.214	kremierter Knochen/Apatit
Mang de Bargaen	LA 115	Urne	185	AMS	55440	SH2014-111.224	kremierter Knochen/Apatit
Mang de Bargaen	LA 115	Urne	190	AMS	55441	SH2014-111.226	kremierter Knochen/Apatit
Mang de Bargaen	LA 115	Urne	193	AMS	55442	SH2014-111.228	kremierter Knochen/Apatit
Mang de Bargaen	LA 115	Urne	227	AMS	55443	SH2014-111.120	kremierter Knochen/Apatit
Mang de Bargaen	LA 115	Urne	228	AMS	55444	SH2014-111.121	kremierter Knochen/Apatit
Mang de Bargaen	LA 115	Urne	229	AMS	55445	SH2014-111.251	kremierter Knochen/Apatit
Mang de Bargaen	LA 115	Urne	310	AMS	55446	SH2014-111.288	kremierter Knochen/Apatit
Mang de Bargaen	LA 115	Leichenbranddepot	330	AMS	55447	SH2014-111.307	kremierter Knochen/Apatit
Mang de Bargaen	LA 115	Urne	354	AMS	55448	SH2014-111.310	kremierter Knochen/Apatit
Mang de Bargaen	LA 115	Urne	377	AMS	55449	SH2014-111.548	kremierter Knochen/Apatit
Mang de Bargaen	LA 115	Urne	386	AMS	55450	SH2014-111.327	kremierter Knochen/Apatit
Mang de Bargaen	LA 115/LA 21	Urne	321	AMS	54116	SH2014-111.125	kremierter Knochen/Apatit
Mang de Bargaen	LA 116	Ofengrube	2	AMS	54349	SH2014-473.17	Holzkohle/Laugenrückstand (Pinus, max. 11 Jahrringe)
Mang de Bargaen	LA 116	Ofengrube	2	AMS	55451	SH2014-473.9	Holzkohle/Laugenrückstand
Mang de Bargaen	LA 116	Grube	8	AMS	54421	SH473.12	Getreide, Samen/Laugenrückstand
Mang de Bargaen	LA 18	Urne	30	AMS	54108	SH2008-427.84 (218)	kremierter Knochen/Apatit
Mang de Bargaen	LA 18	Urne	55	AMS	54083	SH2008-427.161 (29)	kremierter Knochen/Apatit
Mang de Bargaen	LA 18	Leichenbrandschüttung	56	AMS	55412	SH2008-427.173	kremierter Knochen/Apatit
Mang de Bargaen	LA 18	Urne	58	AMS	55413	SH2008-427.170	kremierter Knochen/Apatit
Mang de Bargaen	LA 18	LBS	59	AMS	54112	SH2008-427.172 (177)	kremierter Knochen/Apatit
Mang de Bargaen	LA 18	Urne	61	AMS	54084	SH2008-427.171 (176)	kremierter Knochen/Apatit
Mang de Bargaen	LA 18	Urne	63	AMS	54111	SH2008-427.168 (118)	kremierter Knochen/Apatit
Mang de Bargaen	LA 18	Urne	64	AMS	54082	SH2008-427.146 (104)	kremierter Knochen/Apatit

Table 12: ¹⁴C-Datierungsergebnissen: Mang de Bargaen.

14C-Alter BP	±	Kalibriertes Alter BC (2σ) 95.4% VON	Kalibriertes Alter BC (2σ) 95.4% BIS	Kalibriertes Alter BC (1σ) 68.2% VON	Kalibriertes Alter BC (1σ) 68.2% BIS	13C (‰)	error d13C / ‰	Projekt
3072	24	-1412	-1267	-1396	-1292			SFB 1266, D3
3021	25	-1389	-1133	-1370	-1221			SFB 1266, D3
3119	24	-1446	-1298	-1427	-1320			SFB 1266, D3
2160	25	-355	-60	-349	-156	-18.65	0.17	SFB 1266, D3
2395	25	-715	-399	-511	-404	-19.61	0.11	SFB 1266, D3
2217	25	-381	-197	-360	-205	-22.98	0.07	SFB 1266, D3
2231	25	-386	-202	-367	-209	-21.4	0.15	SFB 1266, D3
2211	26	-376	-180	-359	-203	-23.3	0.12	SFB 1266, D3
2239	25	-387	-204	-377	-211	-20.83	0.09	SFB 1266, D3
2248	25	-390	-206	-382	-231	-22.23	0.09	SFB 1266, D3
2192	25	-361	-172	-354	-197	-23.33	0.12	SFB 1266, D3
2185	25	-361	-166	-352	-178	-19.4	0.08	SFB 1266, D3
2298	24	-405	-232	-400	-366	-21.86	0.1	SFB 1266, D3
2479	25	-770	-483	-753	-544	-24.93	0.12	SFB 1266, D3
2467	26	-761	-421	-751	-520	-21.22	0.11	SFB 1266, D3
2233	24	-384	-203	-370	-209	-19.97	0.14	SFB 1266, D3
2230	24	-384	-202	-366	-209	-17.81	0.27	SFB 1266, D3
2231	24	-384	-203	-367	-209	-21.02	0.4	SFB 1266, D3
2194	24	-361	-173	-355	-197	-19.19	0.22	SFB 1266, D3
2210	24	-372	-197	-358	-203	-18.8	0.38	SFB 1266, D3
2214	24	-377	-197	-359	-204	-22.04	0.18	SFB 1266, D3
2272	25	-398	-209	-393	-234	-19.7	0.14	SFB 1266, D3
2260	24	-394	-208	-388	-233	-16.07	0.12	SFB 1266, D3
2250	24	-390	-207	-384	-231	-16.49	0.15	SFB 1266, D3
2251	23	-390	-207	-384	-232	-21.4	0.23	SFB 1266, D3
2238	23	-386	-204	-376	-211	-20.98	0.19	SFB 1266, D3
2380	35	-726	-390	-513	-397	-15.29	0.38	SFB 1266, D3
2170	30	-360	-103	-351	-167	-18.17	0.41	SFB 1266, D3
2381	24	-540	-395	-477	-398	-20.94	0.14	SFB 1266, D3
2216	24	-379	-198	-359	-205	-21.85	0.17	SFB 1266, D3
2458	24	-755	-417	-749	-484	-23.47	0.15	SFB 1266, D3
2798	26	-1015	-844	-986	-911	-22.45	0.48	SFB 1266, D3
8895	40	-8241	-7858	-8206	-7964	-25.47	0.24	SFB 1266, D3
8900	40	-8243	-7874	-8211	-7966	-22.92	0.2	SFB 1266, D3
2496	24	-774	-541	-759	-550	-22.44	0.14	SFB 1266, D3
2893	24	-1200	-1002	-1116	-1019	-23.64	0.27	SFB 1266, D3
2800	35	-1048	-836	-1001	-911	-24.71	0.22	SFB 1266, D3
3017	26	-1386	-1131	-1370	-1218	-20.23	0.1	SFB 1266, D3
3105	26	-1433	-1291	-1419	-1310	-25.15	0.12	SFB 1266, D3
2801	27	-1043	-846	-990	-916	-24.02	0.77	SFB 1266, D3
2810	35	-1055	-837	-1007	-921	-27.42	0.15	SFB 1266, D3
2772	24	-994	-834	-975	-843	-26.77	0.22	SFB 1266, D3
2479	27	-771	-481	-754	-544	-24.09	0.09	SFB 1266, D3

Fundort	LA	Kontext	Befund-Nr.	Methode	Labor-Nr. KIA-	Fund-Nr.	Probenmaterial
Mang de Bargaen	LA 18	Urne	71	AMS	54113	SH2008-427.147 (115)	kremierter Knochen/Apatit
Mang de Bargaen	LA 18	Urne	76	AMS	55414	SH2008-427.149	kremierter Knochen/Apatit
Mang de Bargaen	LA 18	Urne	80	AMS	54110	SH2008-427.152 (132)	kremierter Knochen/Apatit
Mang de Bargaen	LA 18	Leichenbrandschüttung	81	AMS	54064	SH2008-427.148 (125)	kremierter Knochen/Apatit
Mang de Bargaen	LA 18	Urne	82	AMS	55415	SH2008-427.131	kremierter Knochen/Apatit
Mang de Bargaen	LA 18	Leichenbrandschüttung	83	AMS	55416	SH2008-427.135	kremierter Knochen/Apatit
Mang de Bargaen	LA 18	Urne	86	AMS	54109	SH2008-427.138 (189)	kremierter Knochen/Apatit
Mang de Bargaen	LA 18	Urne	87	AMS	54081	SH2008-427.133 (168)	kremierter Knochen/Apatit
Mang de Bargaen	LA 18	Urne	89	AMS	54079	SH2008-427.110 (173)	kremierter Knochen/Apatit
Mang de Bargaen	LA 18	Urne	91	AMS	54073	SH2008-427.32 (160)	kremierter Knochen/Apatit
Mang de Bargaen	LA 18	Urne	92	AMS	54076	SH2008-427.82 (150)	kremierter Knochen/Apatit
Mang de Bargaen	LA 18	Urne	95	AMS	55417	SH2008-427.86	kremierter Knochen/Apatit
Mang de Bargaen	LA 18	Urne	99	AMS	54114	SH2008-427.81 (101)	kremierter Knochen/Apatit
Mang de Bargaen	LA 18	Urne	101	AMS	54077	SH2008-427.85 (220)	kremierter Knochen/Apatit
Mang de Bargaen	LA 18	Urne	102	AMS	55418	SH2008-427.88	kremierter Knochen/Apatit
Mang de Bargaen	LA 18	Urne	103	AMS	54078	SH2008-427.89 (57)	kremierter Knochen/Apatit
Mang de Bargaen	LA 18	Urne	104	AMS	55419	SH2008-427.90	kremierter Knochen/Apatit
Mang de Bargaen	LA 18	Urne	105	AMS	54074	SH2008-427.46 (61)	kremierter Knochen/Apatit
Mang de Bargaen	LA 18	Urne	106	AMS	54075	SH2008-427.47 (63)	kremierter Knochen/Apatit
Mang de Bargaen	LA 18	Urne	107	AMS	55420	SH2008-427.121	kremierter Knochen/Apatit
Mang de Bargaen	LA 18	Urne	108	AMS	55421	SH2008-427.122	kremierter Knochen/Apatit
Mang de Bargaen	LA 18	Urne	109	AMS	54138	SH2008-427.123 (124)	kremierter Knochen/Apatit
Mang de Bargaen	LA 18	Urne	111	AMS	54080	SH2008-427.124 (155)	kremierter Knochen/Apatit
Mang de Bargaen	LA 18	Urne	117	AMS	55422	SH2008-427.126	kremierter Knochen/Apatit
Mang de Bargaen	LA 18	Urne	88a	AMS	54115	SH2008-427.106 (99)	kremierter Knochen/Apatit
Mang de Bargaen	LA 18	Leichenbrandschüttung	88b	AMS	54063	SH2008-427.111 (192)	kremierter Knochen/Apatit
Mang de Bargaen	LA 20	Grube	72	AMS	54066	SH2008-428.4 (10)	kremierter Knochen/Apatit
Mang de Bargaen	LA 23	Körper-/ Leichenbrandschüttung	2	AMS	54347	SH2014-241.13	Holzkohle/Laugenrückstand (Quercus, 1 Jahrring)
Mang de Bargaen	LA 57	Leichenbrandschüttung im Baumsarg	1001	AMS	53284	F2035	kremierter Knochen/Apatit
Mang de Bargaen	LA 57	Grube	1006	AMS	55333	C1049	Holzkohle/Laugenrückstand (Betula)
Mang de Bargaen	LA 57	Grube/Pfostenloch	1008	AMS	55331	C1040	Holzkohle/Laugenrückstand (Pinus)
Mang de Bargaen	LA 57	Urne oder Steingrube	1019	AMS	55330	C1015	Holzkohle/Laugenrückstand (Quercus, jung, mit Mark)
Mang de Bargaen	LA 57	Bef. neben grab	1020	AMS	55332	C1043	Holzkohle/Laugenrückstand (Pinus)
Mang de Bargaen	LA 57	Bef. neben grab	1020	AMS	55342	SED1125	Holzkohle/Laugenrückstand (Quercus)
Mang de Bargaen	LA 57	Pfostenloch	2022	AMS	55336	C2029	Holzkohle/Laugenrückstand (Pinus)
Mang de Bargaen	LA 57	Pfostenloch	2031	AMS	55337	C2030	Holzkohle/Laugenrückstand (Pinus)

Table 12: ¹⁴C-Datierungsergebnissen: Mang de Bargaen.

14C-Alter BP	±	Kalibriertes Alter BC (2σ) 95.4% VON	Kalibriertes Alter BC (2σ) 95.4% BIS	Kalibriertes Alter BC (1σ) 68.2% VON	Kalibriertes Alter BC (1σ) 68.2% BIS	13C (‰)	error d13C / ‰	Projekt
2484	23	-771	-517	-755	-545	-23.15	0.31	SFB 1266, D3
2423	25	-744	-404	-539	-415	-20.32	0.18	SFB 1266, D3
2835	23	-1077	-912	-1016	-931	-24.24	0.15	SFB 1266, D3
2784	24	-1006	-841	-982	-901	-24.56	0.37	SFB 1266, D3
2822	26	-1048	-906	-1007	-931	-19.05	0.09	SFB 1266, D3
3007	27	-1383	-1127	-1369	-1209	-23.03	0.13	SFB 1266, D3
2733	23	-921	-819	-901	-833	-25.53	0.25	SFB 1266, D3
2834	25	-1104	-910	-1015	-931	-22.68	0.15	SFB 1266, D3
2753	29	-981	-820	-923	-835	-23.72	0.2	SFB 1266, D3
2921	27	-1214	-1016	-1194	-1053	-21.19	0.1	SFB 1266, D3
2851	27	-1111	-927	-1051	-935	-21.54	0.26	SFB 1266, D3
2800	22	-1014	-897	-986	-916	-26.22	0.21	SFB 1266, D3
2800	24	-1015	-852	-986	-916	-21.19	0.16	SFB 1266, D3
2887	28	-1200	-939	-1113	-1016	-25.74	0.23	SFB 1266, D3
2770	30	-999	-832	-973	-840	-20.71	0.05	SFB 1266, D3
2834	28	-1107	-908	-1016	-930	-23.8	0.2	SFB 1266, D3
2829	26	-1055	-905	-1012	-931	-21.82	0.07	SFB 1266, D3
2804	27	-1046	-850	-996	-921	-19.75	0.1	SFB 1266, D3
2866	28	-1124	-930	-1110	-999	-21.59	0.2	SFB 1266, D3
2801	22	-1015	-897	-986	-918	-24.94	0.06	SFB 1266, D3
2752	27	-979	-822	-921	-835	-23.81	0.18	SFB 1266, D3
2837	26	-1107	-913	-1043	-932	-29.1	0.46	SFB 1266, D3
2822	23	-1047	-909	-1007	-931	-23.72	0.13	SFB 1266, D3
2863	26	-1120	-931	-1108	-987	-23.11	0.26	SFB 1266, D3
2850	30	-1114	-924	-1053	-933	-23.56	0.33	SFB 1266, D3
2854	23	-1110	-931	-1053	-936	-21.32	0.38	SFB 1266, D3
2756	23	-978	-828	-922	-838	-18.09	0.35	SFB 1266, D3
3137	26	-1496	-1305	-1443	-1325	-25.29	0.11	SFB 1266, D3
3109	25	-1438	-1293	-1422	-1312	-25.7	0.2	SFB 1266, D3
1274	23	667	817	682	768	-26.03	0.26	SFB 1266, D3
9450	40	-9112	-8622	-8785	-8640	-22.72	0.08	SFB 1266, D3
3212	26	-1516	-1426	-1503	-1449	-23.33	0.18	SFB 1266, D3
8810	40	-8197	-7732	-8159	-7764	-25.22	0.11	SFB 1266, D3
3510	23	-1917	-1747	-1885	-1774	-24.54	0.07	SFB 1266, D3
8985	35	-8289	-7973	-8278	-8024	-24.16	0.08	SFB 1266, D3
8895	35	-8236	-7946	-8205	-7965	-21.3	0.12	SFB 1266, D3

Fundort	LA	Kontext	Befund-Nr.	Methode	Labor-Nr. KIA-	Fund-Nr.	Probenmaterial
Mang de Bargaen	LA 57	Pfostenloch mit Pfostenstandspur	3021	AMS	55344	C3004	Holzkohle/Laugenrückstand (Quercus)
Mang de Bargaen	LA 57	Pfostenloch	3038	AMS	55328	SED3023	Getreide/Laugenrückstand (Triticum)
Mang de Bargaen	LA 57	riesige Grube, mögliches Grab	3048	AMS	55338	C3010	Holzkohle/Laugenrückstand (Corylus)
Mang de Bargaen	LA 57	riesige Grube, mögliches Grab	3048	AMS	55339	C3019	Holzkohle/Laugenrückstand (Alnus)
Mang de Bargaen	LA 57	riesige Grube, mögliches Grab	3048	AMS	55343	SED3022	Samen/Laugenrückstand (Haselnusschale)
Mang de Bargaen	LA 57	Raubgrube/Grube	4002	AMS	55341	C4010	Holzkohle/Laugenrückstand (Quercus)
Mang de Bargaen	LA 57	Urne	4003	AMS	55340	C4009	Holzkohle/Laugenrückstand (Corylus)
Mang de Bargaen	LA 57	Unterkante Kolluvium	Bagger	AMS	55329	SED2001	Getreide/Laugenrückstand (Hordeum vulgare)
Mang de Bargaen	LA 57	Steinbereich, HK-Konzentration	2032	AMS	55334	C2007	Holzkohle/Laugenrückstand (Corylus)
Mang de Bargaen	LA 57	Steinbereich, HK-Konzentration	2032	AMS	55335	C2021	Holzkohle/Laugenrückstand (Corylus)
Mang de Bargaen	LA 58	Urne	2	AMS	54069	SH2008-429.33 (105)	kremierter Knochen/Apatit
Mang de Bargaen	LA 58	Urne	13	AMS	54131	SH2008-429.2 (2)	kremierter Knochen/Apatit
Mang de Bargaen	LA 58	Leichenbrandschüttung	17	AMS	54065	SH2008-429.60	kremierter Knochen/Apatit
Mang de Bargaen	LA 58	Urnen-Doppelgrab (südliche Urne)	19	AMS	54067	SH2008-429.14 (16)	kremierter Knochen/Apatit
Mang de Bargaen	LA 58	Urnen-Doppelgrab (nördliche Urne)	19	AMS	54132	SH2008-429.21 (23)	kremierter Knochen/Apatit
Mang de Bargaen	LA 58	Urne	33	AMS	54070	SH2008-429.45 (40)	kremierter Knochen/Apatit
Mang de Bargaen	LA 58	Urne	62	AMS	54137	SH2008-429.54 (97)	kremierter Knochen/Apatit
Mang de Bargaen	LA 58	Urne	75	AMS	54072	SH2008-429.51 (193)	kremierter Knochen/Apatit
Mang de Bargaen	LA 58	Urne	76	AMS	54134	SH2008-429.32 (179)	kremierter Knochen/Apatit
Mang de Bargaen	LA 58	Urne	79	AMS	54071	SH2008-429.50 (191)	kremierter Knochen/Apatit
Mang de Bargaen	LA 58	Urne	80	AMS	54136	SH2008-429.49 (180)	kremierter Knochen/Apatit
Mang de Bargaen	LA 58	Urne	81	AMS	54135	SH2008-429.42 (176)	kremierter Knochen/Apatit
Mang de Bargaen	LA 58	Urne	127	AMS	54068	SH2008-429.28 (143)	kremierter Knochen/Apatit
Mang de Bargaen	LA 58	Urne	130	AMS	54133	SH2008-429.29 (145)	kremierter Knochen/Apatit
Mang de Bargaen	LA 63	Körper-/ Leichenbrandschüttung	6	AMS	54423	SH346.19	Getreide, Samen/ Laugenrückstand
Mang de Bargaen	LA 64	Körper-/ Leichenbrandschüttung	2	AMS	54348	SH2014-351.15	Holzkohle/Laugenrückstand (Betula, max. 6 Jahrringe)
Mang de Bargaen	LA 64	Körper-/ Leichenbrandschüttung	2	AMS	54422	SH351.10	Getreide, Samen/ Laugenrückstand
Mang de Bargaen	LA 18	Pfostengrube	78	AMS	54920	kA	Getreide/Laugenrückstand (Triticum spelta)
Mang de Bargaen	LA 18	Pfostengrube	120	AMS	54921	kA	Getreide/Laugenrückstand (Triticum spelta)
Mang de Bargaen	LA 18	Pfostengrube	78	AMS	40037	kA	Getreide/Laugenrückstand (Triticum spelta)
Mang de Bargaen	LA 18	Branderdeflecken	79	AMS	40038	kA	Getreide/Laugenrückstand (Triticum dicoccum)

Table 12: ¹⁴C-Datierungsergebnissen: Mang de Bargaen.

14C-Alter BP	±	Kalibriertes Alter BC (2σ) 95.4% VON	Kalibriertes Alter BC (2σ) 95.4% BIS	Kalibriertes Alter BC (1σ) 68.2% VON	Kalibriertes Alter BC (1σ) 68.2% BIS	13C (‰)	error d13C / ‰	Projekt
5097	26	-3966	-3800	-3957	-3810	-25.37	0.08	SFB 1266, D3
3448	26	-1880	-1645	-1871	-1693	-22.76	0.23	SFB 1266, D3
3622	28	-2121	-1894	-2027	-1945	-21	0.08	SFB 1266, D3
3644	27	-2135	-1930	-2112	-1955	-22.14	0.16	SFB 1266, D3
3571	24	-2020	-1782	-1951	-1886	-24.28	0.07	SFB 1266, D3
1372	24	606	758	646	666	-21.46	0.13	SFB 1266, D3
3662	27	-2137	-1952	-2131	-1976	-24.29	0.06	SFB 1266, D3
2510	26	-777	-544	-770	-569	-23.38	0.14	SFB 1266, D3
1272	23	667	820	683	767	-22.55	0.09	SFB 1266, D3
1303	20	662	775	669	772	-25.23	0.08	SFB 1266, D3
2808	24	-1043	-901	-996	-925	-22.15	0.25	SFB 1266, D3
2699	26	-902	-807	-896	-810	-21.09	0.26	SFB 1266, D3
2778	24	-1005	-836	-981	-851	-20.79	0.4	SFB 1266, D3
2880	24	-1191	-937	-1110	-1012	-22.45	0.29	SFB 1266, D3
2803	26	-1044	-852	-996	-919	-24.12	0.34	SFB 1266, D3
2818	23	-1045	-906	-1003	-931	-20.53	0.2	SFB 1266, D3
2869	26	-1125	-931	-1110	-1004	-25.28	0.19	SFB 1266, D3
2819	23	-1046	-906	-1004	-931	-19.1	0.21	SFB 1266, D3
2851	26	-1111	-927	-1051	-935	-23.23	0.31	SFB 1266, D3
2870	24	-1125	-932	-1109	-1006	-24.09	0.16	SFB 1266, D3
2861	26	-1119	-931	-1107	-983	-22.33	0.15	SFB 1266, D3
2833	26	-1106	-908	-1015	-931	-21.74	0.3	SFB 1266, D3
2871	25	-1125	-932	-1110	-1006	-21.96	0.18	SFB 1266, D3
2804	25	-1044	-859	-991	-921	-21.5	0.3	SFB 1266, D3
3695	25	-2196	-1981	-2136	-2035	-24.9	0.1	SFB 1266, D3
3851	27	-2456	-2204	-2402	-2209	-23.46	0.1	SFB 1266, D3
3679	29	-2192	-1961	-2134	-1985	-23.91	0.06	SFB 1266, D3
3116	28	-1446	-1291	-1427	-1315	-21.9	0.3	SFB 1266, F3
3085	29	-1421	-1268	-1408	-1301	23.9	0.3	SFB 1266, F3
3168	29	-1504	-1397	-1495	-1416	-23.25	0.2	„Siedlungen der Bronzezeit“, Archäologisches Landesmuseum (Alsleben 2013, 236)
3111	24	-1439	-1298	-1421	-1316	-22.75	0.22	„Siedlungen der Bronzezeit“, Archäologisches Landesmuseum (Alsleben 2013, 236)

Fundort	LA	Kontext	Befund-Nr.	Methode	Labor-Nr. KIA-	Fund-Nr.	Probenmaterial
Mang de Bergen	LA 18	Branderdestelle	119	AMS	40039	kA	Getreide/Laugenrückstand (Triticum dicoccum/Hordeum vulgare)
Mang de Bergen	LA 18	Pfostengrube	120	AMS	40040	kA	Getreide/Laugenrückstand (Triticum spelta)
Mang de Bergen	LA 58	Hügelschüttung A/B	46	AMS	40041	kA	Getreide/Laugenrückstand (Triticum dicoccum)
Mang de Bergen	LA 57	Kulturschicht	Nordprofil	OSL	loi bor 17	kA	Sediment, 90 cm
Mang de Bergen	LA 57	Kolluvium 1	Nordprofil	OSL	loi bor 17	kA	Sediment, 73 cm
Mang de Bergen	LA 57	Kolluvium 2	Nordprofil	OSL	loi bor 17	kA	Sediment, 54 cm
Mang de Bergen	LA 17	Zentrale Körperbestattung	1	AMS	37473	kA	Schädelknochen

Table 12: ¹⁴C-Datierungsergebnissen: Mang de Bergen.

Fundort	LA	Kontext	Befund-Nr.	Labor-Nr.	Fund-Nr.	Probenmaterial
Bornhöved	LA 4	DoppelBrandbestattung im Baumsarg		54085	SH1904-4.17	kremierter Knochen/Apatit
Leezen	LA 64	Brandbestattung im Baumsarg	Zentralgrab	54086	SH1967-29.1	kremierter Knochen/Apatit
Nützen	LA 13	Brandbestattung in Grube	Grab 6	54087	SH1968-21.1	kremierter Knochen/Apatit
Nützen	LA 13	Brandbestattung im Baumsarg	Grab 2	54088	SH1968-21.3	kremierter Knochen/Apatit
Albersdorf	LA 29	Brandschüttungsgrab	Grab 4 /D	54089	SH1962-77.1	kremierter Knochen/Apatit
Grevenkrug	LA 2	Zentralgrab (Doppelbestattung: 1x Körper- und 1x Brandbestattung)	Grab A	54092	SH1975-63.18	kremierter Knochen/Apatit
Bornhöved	LA 4	Doppelbestattung im Baumsarg		54117	SH1904-4.19	kremierter Knochen/Apatit
Wahlstedt	LA 31	Urne		54118	SH1929-3.3	kremierter Knochen/Apatit
Wahlstedt	LA 31	Urne		54119	SH1929-3.9	kremierter Knochen/Apatit
Wahlstedt	LA 31	Urne		54120	SH1929-3.11	kremierter Knochen/Apatit
Wahlstedt	LA 31	Urne		54121	SH1929-3.16	kremierter Knochen/Apatit
Wahlstedt	LA 31	Urne		54122	SH1929-3.21	kremierter Knochen/Apatit
Wahlstedt	LA 31	Urne		54123	SH1929-3.24	kremierter Knochen/Apatit
Albersdorf	LA 29	Brandbestattung in Grabgrube beim Hügelmantel	Grab 3/E	54124	SH1962-77.2	kremierter Knochen/Apatit
Grevenkrug	LA 2	Urne	Urne 1	54125	SH1975-63.2	kremierter Knochen/Apatit
Grevenkrug	LA 2	Urne	Urne 3	54126	SH1975-63.6	kremierter Knochen/Apatit
Grevenkrug	LA 2	Urne	Urne 4	54127	SH1975-63.8	kremierter Knochen/Apatit
Grevenkrug	LA 2	Urne	Urne 5	54128	SH1975-63.11	kremierter Knochen/Apatit
Grevenkrug	LA 2	Urne	Urne 6	54129	SH1975-63.13	kremierter Knochen/Apatit
Grevenkrug	LA 2	Urne	Urne 7	54130	SH1975-63.15	kremierter Knochen/Apatit

Table 13: ¹⁴C-Datierungsergebnissen: Vergleichsfundplätze Schleswig-Holstein.

14C-Alter BP	±	Kalibriertes Alter BC (2σ) 95.4% VON	Kalibriertes Alter BC (2σ) 95.4% BIS	Kalibriertes Alter BC (1σ) 68.2% VON	Kalibriertes Alter BC (1σ) 68.2% BIS	13C (‰)	error d13C / ‰	Projekt
3536	26	-1951	-1767	-1924	-1776	-24.92	0.19	„Siedlungen der Bronzezeit“, Archäologisches Landesmuseum (Alsleben 2013, 236)
3111	24	-1439	-1298	-1421	-1316	-23.94	0.1	„Siedlungen der Bronzezeit“, Archäologisches Landesmuseum (Alsleben 2013, 236)
3200	26	-1507	-1423	-1498	-1446	-22.51	0.17	„Siedlungen der Bronzezeit“, Archäologisches Landesmuseum (Alsleben 2013, 236)
-4.85	0.24							SFB 1266, F2
-2.78	0.27							SFB 1266, F2
-1.46	0.10							SFB 1266, F2
3670	30	2141	1951	2133	1980			Archäologisches Landesamt (Lütjens)

Alter BP	Age-Error (±)	Kalibriertes Alter BC (2σ) 95.4% VON	Kalibriertes Alter BC (2σ) 95.4% BIS	Kalibriertes Alter BC (1σ) 68.2% VON	Kalibriertes Alter BC (1σ) 68.2% BIS	13C (‰)	error d13C / ‰	Projekt
3065	28	-1413	-1234	-1391	-1283	-25.97	0.16	SFB 1266, D3
3070	30	-1417	-1236	-1396	-1286	-23.42	0.18	SFB 1266, D3
3133	27	-1495	-1303	-1441	-1323	-24.79	0.15	SFB 1266, D3
3095	30	-1429	-1274	-1416	-1303	-28.79	0.66	SFB 1266, D3
3220	30	-1533	-1427	-1507	-1448	-26.56	0.64	SFB 1266, D3
3025	30	-1396	-1131	-1375	-1222	-24.3	0.35	SFB 1266, D3
3050	26	-1401	-1226	-1383	-1266	-23.39	0.2	SFB 1266, D3
2799	26	-1015	-846	-988	-913	-24.29	0.18	SFB 1266, D3
2772	26	-996	-834	-975	-841	-19.43	0.15	SFB 1266, D3
2806	27	-1046	-856	-998	-923	-23.14	0.16	SFB 1266, D3
2816	26	-1047	-903	-1001	-931	-23.98	0.17	SFB 1266, D3
2807	27	-1047	-858	-998	-924	-22.97	0.2	SFB 1266, D3
2793	25	-1011	-845	-984	-907	-21.56	0.13	SFB 1266, D3
2782	24	-1006	-839	-983	-899	-22.49	0.12	SFB 1266, D3
2451	26	-752	-414	-746	-424	-22.17	0.15	SFB 1266, D3
2449	26	-752	-413	-744	-423	-21.66	0.12	SFB 1266, D3
2776	28	-1003	-835	-979	-846	-24.65	0.13	SFB 1266, D3
2759	25	-982	-828	-926	-837	-24.67	0.42	SFB 1266, D3
2724	25	-916	-813	-897	-830	-24.11	0.33	SFB 1266, D3
2649	26	-896	-786	-821	-796	-23.65	0.21	SFB 1266, D3

Anhang V. Tabelle zu den vorläufigen anthropologischen Analysen zu den Datierungsproben

LA	Fundort	Inventar-Nr.	weitere Fund-Nr.	Befund-Nr.	Kontext
20	Mang de Bargaen	SH2008-428.4	10	72	Grube
58	Mang de Bargaen	SH2008-429.2	2	13	Urne
58	Mang de Bargaen	SH2008-429.14	16	19	Urnen-Doppelgrab
58	Mang de Bargaen	SH2008-429.21	23	19	Urnen-Doppelgrab
58	Mang de Bargaen	SH2008-429.28	143	127	Urne
58	Mang de Bargaen	SH2008-429.30	144	127	Urne
58	Mang de Bargaen	SH2008-429.29	145	130	Urne
58	Mang de Bargaen	SH2008-429.32	179	76	Urne
58	Mang de Bargaen	SH2008-429.33	105	2	Urne
58	Mang de Bargaen	SH2008-429.42	176	81	Urne
58	Mang de Bargaen	SH2008-429.45	40	33	Urne
58	Mang de Bargaen	SH2008-429.49	180	80	Urne
58	Mang de Bargaen	SH2008-429.50	191	79	Urne
58	Mang de Bargaen	SH2008-429.51	193	75	Urne
58	Mang de Bargaen	SH2008-429.54	97	62	Urne
18	Mang de Bargaen	SH2008-427.32	160	91	Urne
18	Mang de Bargaen	SH2008-427.46	61	105	Urne
18	Mang de Bargaen	SH2008-427.47	63	106	Urne
18	Mang de Bargaen	SH2008-427.82	150	92	Urne
18	Mang de Bargaen	SH2008-427.85	220	101	Urne
18	Mang de Bargaen	SH2008-427.89	57	103	Urne
18	Mang de Bargaen	SH2008-427.110	173	89	Urne
18	Mang de Bargaen	SH2008-427.123	124	109	Urne
18	Mang de Bargaen	SH2008-427.124	155	111	Urne
18	Mang de Bargaen	SH2008-427.133	168	87	Urne
18	Mang de Bargaen	SH2008-427.146	104	64	Urne
18	Mang de Bargaen	SH2008-427.161	29	55	Urne
18	Mang de Bargaen	SH2008-427.171	176	61	Urne
18	Mang de Bargaen	SH2008-427.173		56	Leichenbrandschüttung
18	Mang de Bargaen	SH2008-427.170		58	Urne
18	Mang de Bargaen	SH2008-427.149		76	Urne
18	Mang de Bargaen	SH2008-427.131		82	Urne?
18	Mang de Bargaen	SH2008-427.135		83	Leichenbrandschüttung
18	Mang de Bargaen	SH2008-427.86		95	Urne
18	Mang de Bargaen	SH2008-427.88		102	Urne
18	Mang de Bargaen	SH2008-427.90		104	Urne
18	Mang de Bargaen	SH2008-427.121		107	Urne
18	Mang de Bargaen	SH2008-427.122		108	Urne
18	Mang de Bargaen	SH2008-427.126		117	Urne

Probenbestimmung	Farbe	Gewicht (g)	Alter (vorläufig)
Langknochen; wenig Kompakta (dünn)	beige	1.7	nicht bestimmbar
Langknochen; wenig Kompakta (dünn)	beige	2.8	nicht bestimmbar
Langknochen; Tibia; Kompakta	beige-weiß	4.4	≥ juvenil
Langknochen; Tibia, Femur oder Humerus; Kompakta	beige-weiß	2.2	≥ juvenil
Langknochen; Femur oder Humerus; Kompakta	beige-weiß	2.6	≥ 3 Jahre
Langknochen; Kompakta	beige-weiß	1.8	nicht bestimmbar
Langknochen; dünne Kompakta	beige-weiß	0.6	eher subadult
Schädel; keine Kompakta	beige	0.6	Kind
Langknochen; Femur, Tibia oder Humerus; wenig Kompakta	beige	1	nicht bestimmbar
Langknochen; Ulna; Kompakta	beige	1.5	≥ juvenil
Langknochen; Femur, Tibia oder Humerus; Kompakta	beige-weiß	2.7	≥ juvenil
Langknochen; Femur?; Kompakta; feinporöse Ablagerungen (Blutungen)	beige	2.1	Kind?
viele blaue Knochen (Temperatur war nicht so hoch); Langknochen, dünne Kompakta	beige-weiß	1.9	größeres Kind
Langknochen; Tibia; Kompakta	beige-weiß	2.9	≥ juvenil
Langknochen; Radius; Kompakta	grau	2.2	≥ juvenil
sehr große und viele Knochen im LB vorhanden; Langknochen; Femur oder Humerus; Kompakta	grau	4.5	≥ juvenil
Langknochen; Radius; Kompakta	beige-weiß	1.7	größeres Kind; ≥ juvenil
Langknochen; Kompakta	grau	1.8	Jugendlich
Langknochen; Femur, Humerus oder Ulna; Kompakta	grau	2.2	nicht bestimmbar
Langknochen; Kompakta	beige	1.7	adult
2 Kg LB; Langknochen; Tibia; Kompakta	beige	3.6	≥ juvenil
Langknochen; Humerus oder Femur; dünne Kompakta	beige-weiß	0.8	Kind
Langknochen; Femur, Tibia oder Humerus; Kompakta	beige-weiß	4.4	≥ juvenil
Langknochen; Humerus, Tibia oder Femur; Kompakta	beige	2.6	≥ juvenil
Langknochen; Kompakta	grau	3.2	Kind
Langknochen; Kompakta; feinporöse Knochenbildung	beige-weiß	1.4	Kind
Langknoche; Ulna; dünne Kompakta	weiß	0.5	≥ juvenil?
Langknochen; Ulna?; Kompakta	beige	1.3	nicht bestimmbar
Langknochen		1.29	Kind, 5-7 Jahre
Schädel		1.52	Kind, unter 10 Jahren
Langknochen	gut verbrannt	4.47	adult
Langknochen		3.46	nicht bestimmbar
Langknochen		1.24	Kind, unter 10 Jahren
2 Stücke Schädel		1.54	Kleinkind, Säugling bis ca. 1 Jahr alt
Langknochen	gut verbrannt	1.43	größeres Kind, 8-12 Jahre
Schädel		1.18	Kind, jünger als 1 Jahr
3 Stücke Schädel	gut verbrannt	1.89	Kind, unter 10 Jahren
Langknochen	gut verbrannt	2.28	vielleicht Erwachsenen
Schädel		1.88	Kind, unter 5 Jahren

LA	Fundort	Inventar-Nr.	weitere Fund-Nr.	Befund-Nr.	Kontext
115	Mang de Bargaen	SH2014-111.132		8	Urne
115	Mang de Bargaen	SH2014-111.137		33	Urne
115	Mang de Bargaen	SH2014-111.138		34	Urne
115	Mang de Bargaen	SH2014-111.140		36	Urne
115	Mang de Bargaen	SH2014-111.141		37	Urne
115	Mang de Bargaen	SH2014-111.142		38	Urne
115	Mang de Bargaen	SH2014-111.143		39	Urne
115	Mang de Bargaen	SH2014-111.145		42	Urne
115	Mang de Bargaen	SH2014-111.149		49	Urne
115	Mang de Bargaen	SH2014-111.169		86	Leichenbranddepot
115	Mang de Bargaen	SH2014-111.179		98	Urne
115	Mang de Bargaen	SH2014-111.204		139	Urne
115	Mang de Bargaen	SH2014-111.211		152	Urne
115	Mang de Bargaen	SH2014-111.116		153	Urne
115	Mang de Bargaen	SH2014-111.212		154	Urne
115	Mang de Bargaen	SH2014-111.213		156	Urne
115	Mang de Bargaen	SH2014-111.214		158	Urne
115	Mang de Bargaen	SH2014-111.224		185	Urne
115	Mang de Bargaen	SH2014-111.226		190	Urne
115	Mang de Bargaen	SH2014-111.228		193	Urne
115	Mang de Bargaen	SH2014-111.120		227	Urne
115	Mang de Bargaen	SH2014-111.121		228	Urne
115	Mang de Bargaen	SH2014-111.251		229	Urne
115	Mang de Bargaen	SH2014-111.288		310	Urne
115	Mang de Bargaen	SH2014-111.310		354	Urne
115	Mang de Bargaen	SH2014-111.307		330	Leichenbranddepot
115	Mang de Bargaen	SH2014-111.548		377	Urne
115	Mang de Bargaen	SH2014-111.327		386	Urne

Probenbestimmung	Farbe	Gewicht (g)	Alter (vorläufig)
Langknochen	bläulich-schwarz verfärbt, nicht gut verbrannt, grüne Verfärbungen (Bronze)	3.25	adult, 20-40 Jahre
Langknochen		3.68	adult
Langknochen		3.68	adult
Langknochen	bläulich verfärbt, nicht gut verbrannt (v. a. innen)	3.81	adult
Langknochen		2.43	nicht bestimmbar
Langknochen	nicht gut verbrannt, leicht bläulich verfärbt	3.27	älter als 30 Jahre
Langknochen	nicht gut verbrannt, leicht bläulich verfärbt	5.06	Erwachsen
Langknochen		4.74	möglicherweise Erwachsene
Langknochen		3.34	Erwachsen
Langknochen		3.23	adult
Langknochen		3.62	möglicherweise adult
Langknochen		3.28	Erwachsen
Langknochen	nicht gut verbrannt, bläulich verfärbt	1.36	nicht bestimmbar
Langknochen	nicht gut verbrannt, bläulich bis schwarz verfärbt	2.89	Erwachsen, nicht älter als 40 Jahre
Langknochen	nicht gut verbrannt, leicht bläulich verfärbt, Eisenverfärbung	3.02	adult, älter als 35 Jahre
Langknochen	sehr gut verbrannt	2.87	adult
Langknochen	nicht gut verbrannt, leicht bläulich verfärbt	3.98	adult
2 Stücke: 1x Langknochen, 1x Schädel		1.12	nicht bestimmbar
Langknochen	nicht gut verbrannt, bläulich verfärbt	4.92	adult
Langknochen	nicht gut verbrannt, bläulich verfärbt	2.96	Erwachsen, zwischen 25 und 50 Jahren
Langknochen	nicht gut verbrannt, bläulich verfärbt, Eisenverfärbung	3.62	Erwachsen
Schädel	nicht gut verbrannt, leicht bläulich verfärbt	3.57	nicht bestimmbar
Langknochen	nicht gut verbrannt, bläulich verfärbt	1.65	nicht bestimmbar
Langknochen / Schädel ?		0.82	Kind, unter 6 Jahren
Langknochen	nicht gut verbrannt, bläulich verfärbt, Grünverfärbung (Bronze)	3.37	möglicherweise Erwachsene
Langknochen		0.85	nicht bestimmbar
Langknochen	gut verbrannt, Eisenverfärbung	4.28	Erwachsen
Schädel		0.88	nicht bestimmbar

STPAS: Scales of Transformation in Prehistoric and Archaic Societies

The book series 'Scales of Transformation in Prehistoric and Archaic Societies' (STPAS) is an international scientific series that covers major results deriving from or being associated with the research conducted in the Collaborative Research Centre 'Scales of Transformation: Human-Environmental Interaction in Prehistoric and Archaic Societies' (CRC 1266). Primarily located at Kiel University, Germany, the CRC 1266 is a large interdisciplinary project investigating multiple aspects of socio-environmental transformations in ancient societies between 15,000 and 1 BCE across Europe.

Volume 1

Das Jungneolithikum in Schleswig-Holstein

Sebastian Schultrich | 2018

ISBN: 9789088907425

Format: 210x280mm | 506 pp. | Language: German | 43 illus. (bw) | 103 illus. (fc)

Keywords: Late Neolithic, Single Grave Culture, Corded Ware Culture, transformation, solid stone axe, battle axe, fragments of axes | Jungneolithikum, Einzelgrabkultur, Schnurkeramische Kultur, Transformation, Felsgesteinäxte, Streitäxte, Axtfragmente

Volume 2

Embracing Bell Beaker

Adopting new ideas and objects across Europe during the later 3rd millennium BC (c. 2600-2000 BC)

Jos Kleijne | 2019

ISBN: 9789088907555

Format: 210x280mm | 300 pp. | Language: English | 91 illus. (fc)

Keywords: archaeology; Late Neolithic; Bell Beaker phenomenon; settlement archaeology; innovation; network analysis; mobility; prehistoric potter

Volume 3

Habitus?

The Social Dimension of Technology and Transformation

Edited by Sławomir Kadrow & Johannes Müller | 2019

ISBN: 9789088907838

Format: 210x280mm | 232 pp. | Language: English | 15 illus. (bw) | 65 illus. (fc)

Keywords: European prehistory; archaeology; habitus; technology; transformation; social dimension; ethnoarchaeology

Volume 4

How's Life?

Living Conditions in the 2nd and 1st Millennia BCE

Edited by Marta Dal Corso, Wiebke Kirleis, Jutta Kneisel, Nicole Taylor, Magdalena Wieckowska-Lüth, Marco Zanon | 2019

ISBN: 9789088908019

Format: 210x280mm | 220 pp. | Language: English | 29 illus. (bw) | 43 illus. (fc)

Keywords: Bronze Age, domestic archaeology, household archaeology, daily life, routine activities, diet, waste, violence, health, natural resources, food production

Volume 5

Megalithic monuments and social structures

Comparative studies on recent and Funnel Beaker societies

Maria Wunderlich | 2019

ISBN: 9789088907869

Format: 210x280mm | 382 pp. | Language: English | 114 illus. (bw) | 246 illus. (fc)

Keywords: Megalithic graves, monumentality, Funnel Beaker Complex, ethnoarchaeology, Sumba, Nagaland, social organisation, cooperation

Volume 6

Gender Transformations in Prehistoric and Archaic Societies

Edited by Julia Katharina Koch & Wiebke Kirleis | 2019

ISBN: 9789088908217

Format: 210x280mm | 502 pp. | Language: English | 114 illus. (bw) | 58 illus. (fc)

Keywords: academic fieldwork; gender archaeology; social archaeology; environmental archaeology; history of archaeology; Mesolithic; Neolithic; Bronze Age; Iron Age; Europe; South-west Asia; Central Asia

Volume 7

Maidanets'ke

Development and decline of a Trypillia mega-site in Central Ukraine

René Ohlrau | 2020

ISBN: 9789088908484

Format: 210x280mm | 326 pp. | Language: English | 141 illus. (bw) | 93 illus. (fc)

Keywords: settlement archaeology; prehistoric archaeology; early urbanism; geophysical survey; paleodemography; Trypillia; mega-site

Volume 8

Detecting and explaining technological innovation in prehistory

Edited by Michela Spataro & Martin Furholt | 2020

ISBN: 9789088908248

Format: 210x280mm | 248 pp. | Language: English | 22 illus. (bw) | 37 illus. (fc)

Keywords: archaeology; prehistory; technology; innovation; invention; tradition; chaîne opératoire; knowledge acquisition; knowledge transfer; Neolithic; Bronze Age; Iron Age; ethnography; ceramic; metal; bone

Volume 9

Archaeology in the Žitava Valley I

The LBK and Želiezovce settlement site of Vráble

Edited by Martin Furholt, Ivan Cheben, Johannes Müller, Alena Bistáková, Maria Wunderlich & Nils Müller-Scheeßel | 2020

ISBN: 9789088908972

Format: 210x280 | 546 pp. | Language: English | 50 illus. (bw) | 157 illus. (fc)
Keywords: European Early Neolithic; LBK, settlement patterns; social organization; social conflict; village and neighbourhood structures; burial rites; enclosure; excavation report

Volume 10

Hellenistic Architecture and Human Action

A Case of Reciprocal Influence

Edited by Annette Haug & Asja Müller | 2020

ISBN: 9789088909092

Format: 210x280mm | 208 pp. | Language: English | 38 illus. (bw) | 29 illus. (fc)

Keywords: Classical archaeology; Hellenistic architecture; agency; perception

Volume 11

Interdisciplinary analysis of the cemetery Kudachurt 14

Evaluating indicators of social inequality, demography, oral health and diet during the Bronze Age key period 2200-1650 BCE in the Northern Caucasus

Katharina Fuchs | 2020

ISBN: 9789088909030

Format: 210x280mm | 406 pp. | Language: English | 25 illus. (bw) | 137 illus. (fc)

Keywords: North Caucasian archaeology; Bronze Age; burial practice; social inequality; human remains; palaeopathology; oral health; C and N stable isotopes

Volume 12

Tripolye Typo-chronology

Mega and Smaller Sites in the Sinyukha River Basin

Liudmyla Shatilo | 2021

ISBN: 9789088909511

Format: 210x280mm | 422 pp. | Language: English | 100 illus. (bw) | 90 illus. (fc)

Keywords: Prehistoric archaeology; Tripolye; chronology; mega-sites; Sinyukha River Basin; pottery; carbon dating; typochronology; Eastern Europe

Volume 13

Vom Kollektiv zum Individuum

Transformationsprozesse am Übergang vom 4. zum 3. Jahrtausend v. Chr. in der Deutschen Mittelgebirgszone

Clara Drummer | 2022

ISBN: 9789464270129

Format: 210x280mm | 343 pp. | Language: German | 53 illus. (bw) | 95 illus. (fc)

Keywords: Neolithic; Germany; Lower Mountain Range; migrations; identities; social transformations; Corded Ware; Bell Beaker; funerary archaeology; ancient DNA

Volume 14

Millet and What Else?

The Wider Context of the Adoption of Millet Cultivation in Europe

Edited by Wiebke Kirleis, Marta Dal Corso & Dragana Filipović | 2022

ISBN: 9789464270150

Format: 210x280mm | 328 pp. | Scales of Transformation 14 | Series: Scales of

Transformation | Language: English | 61 illus. (bw) | 13 illus. (fc) | Keywords:

archaeology; millet; Europe prehistory; Bronze Age; archaeobotany; zooarchaeology; miliacin; prehistoric agriculture

Volume 15

The Life and Journey of Neolithic Copper Objects

Transformations of the Neuenkirchen Hoard, North-East Germany (3800 BCE)

Henry Skorna | 2022

ISBN: 9789464270303

Format: 210x280mm | 198 pp. | Scales of Transformation 15 | Series: Scales of Transformation | Language: English | 50 illus. (bw) | 37 illus. (fc) | Keywords: neolithic; copper; metallurgy; hoard; isotopes; archaeometry; dagger; transformation

Volume 16.1

Unter Hügeln (Band 1)

Bronzezeitliche Transformationsprozesse in Schleswig-Holstein am Beispiel des Fundplatzes von Mang de Barga (Bornhöved, Kr. Segeberg)

Stefanie Schaefer-Di Maida | 2023

ISBN: 9789464280487

Format: 210x280mm | 540 pp. | Scales of Transformation 16.1 | Series: Scales of Transformation | Language: German | 9 illus. (bw) | 164 illus. (fc) | Keywords: bronze age; northern Germany; funerary archaeology; chronology; burial rites; barrows; urnfields; radiocarbon dating; anthropology; palynology; archaeobotany

Volume 16.2

Unter Hügeln (Band 2)

Bronzezeitliche Transformationsprozesse in Schleswig-Holstein am Beispiel des Fundplatzes von Mang de Barga (Bornhöved, Kr. Segeberg)

Stefanie Schaefer-Di Maida | 2023

ISBN: 9789464280517

Format: 210x280mm | 446 pp. | Scales of Transformation 16.2 | Series: Scales of Transformation | Language: German | 9 illus. (bw) | 164 illus. (fc) | Keywords: bronze age; northern Germany; funerary archaeology; chronology; burial rites; barrows; urnfields; radiocarbon dating; anthropology; palynology; archaeobotany

UNTER HÜGELN

Bronzezeitliche Transformationsprozesse in Schleswig-Holstein am Beispiel des Fundplatzes von Mang de Barga (Bornhöved, Kr. Segeberg)

Mit der Bronzezeit verbreitete sich das begehrte neue Metall über ganz Europa. Es veränderte Arbeitssektoren, Netzwerke, Weltanschauungen und Gesellschaften und brachte unterschiedliche Transformationen in diversen Lebensbereichen mit sich. Mit diesem Buch werden alle Transformationsprozesse der Bronzezeit für den Raum Schleswig-Holstein in den Blick genommen.

In diesem Forschungsrahmen entwickelte sich die Fundstelle Mang de Barga bei Bornhöved (Kreis Segeberg), einst Ziel von Kieswerken, zu einer der bestdatierten bronzezeitlichen Fundstelle in Schleswig-Holstein. Das Gräberfeld wurde vom Spätneolithikum bis in die vorrömische Eisenzeit als Bestattungsplatz genutzt. Während dieser langen Nutzungszeit lassen sich mehrere kulturelle Veränderungen, wie Bestattungsriten, Grabausstattungen und weitere Aktivitäten, nachweisen. Die konsistente Datierung fast aller Gräber erlaubt es insbesondere, den Zeitpunkt des Übergangs von der Körper- zur Brandbestattung und den Übergang von Grabhügeln mit Baumsärgen zum Beginn der Verwendung von Urnen in Norddeutschland genau zu bestimmen.

Anthropologische Analysen der Brandgräber aus Mang de Barga und anderen Fundorten in der Region geben auch Aufschluss über die altersbedingte Platzierung und Ausstattung, was wiederum zu neuen Diskussionen anregt. Ein Vergleich mit Umweltdaten (Archäobotanik und Palynologie) zeigt zudem das Ausmaß des menschlichen Einflusses im Vergleich zu den archäologischen Untersuchungen. Die Einbeziehung von Daten zu Gräbern, Horten und Siedlungen für ganz Schleswig-Holstein ermöglicht die Einbettung dieses vollständig untersuchten Gräberfeldes und zeigt, wie und wie unterschiedlich sich Transformationsprozesse auf lokaler, regionaler und überregionaler Ebene manifestierten.

Band 1 umfasst den Haupttext, den Befundkatalog, die Gesamtplana, die Hauptprofile, die Datierungsergebnisse und die vorläufigen Ergebnisse der anthropologischen Voruntersuchungen.



sidestonepress

ISBN: 978-94-6428-048-7

